

# مماثل برقیات

خالد خان یوسفزئی

جامعہ کامیٹ، اسلام آباد

khalidyoufazai@comsats.edu.pk





# عنوان

xvii

دیباچہ

xix

میری پہلی کتاب کا دیباچہ

1	1	حسابی ایپلیٹائر
2	1.1	حسابی ایپلیٹائر کے سرے پا پینے . . . . .
3	1.2	حسابی ایپلیٹائر کی بنیادی کارکردگی . . . . .
7	1.3	حسابی ایپلیٹائر کا مساوی دور یا ریاضی نمونہ . . . . .
8	1.3.1	داخلی سروں پر برابر برقی دباؤ رہتا ہے . . . . .
9	1.3.2	داخلی سروں پر برقی رد صفر ہوتی ہے . . . . .
10	1.3.3	داخلی مزاحمت کو لا محدود تصور کیا جاتا ہے . . . . .
10	1.3.4	تفرقی افزائش کو لا محدود تصور کیا جاتا ہے . . . . .
10	1.3.5	خارجی مزاحمت کو صفر اوہم تصور کیا جاسکتا ہے . . . . .
11	1.4	کامل حسابی ایپلیٹائر . . . . .

15	حسابی ایپلیٹاز کے ادوار	1.5
16	منفی ایپلیٹاز	1.5.1
31	مثبت ایپلیٹاز	1.5.2
34	مستحکم کار	1.5.3
38	تفرق کار	1.5.4
40	تکمل کار	1.5.5
43	جمع کار	1.5.6
45	منفی کار	1.5.7
51	جمع و منفی کار	1.5.8
52	آلاتی ایپلیٹاز	1.5.9
61	حسابی ایپلیٹاز کا ناقص پن	1.6
61	حسابی ایپلیٹاز کا لبریز ہونا	1.6.1
62	حسابی ایپلیٹاز کی رفتار چال	1.6.2
65	عددی اشارے سے مماثلٹی اشارے کا حصول	1.7
67	یک سمتی اندرونی داخلی انحرافی برقی دباؤ کا مسئلہ	1.7.1
71	داخلی برقی رو کا مسئلہ	1.7.2
77	موازنہ کار	1.8

91	2 ڈایوڈ
100 . . . . .	2.1 کامل ڈایوڈ
101 . . . . .	2.2 ڈایوڈ کے چند ادوار
104 . . . . .	2.3 بدلتی دباؤ سے ایک سمتی دباؤ کا حصول (سمت کاری)
104 . . . . .	2.3.1 نصف اہر سمت کاری
107 . . . . .	2.3.2 مکمل اہر سمت کاری
109 . . . . .	2.4 چوٹی حاصل کار
110 . . . . .	2.5 جیٹ اتار کار
113 . . . . .	2.6 منبع برقی دباؤ
116 . . . . .	2.6.1 برقیاتی نتائج
117 . . . . .	2.7 برقیاتی تراش
119 . . . . .	2.8 حسابی ایپلیٹائر کی مدد سے ڈایوڈ کے کامل ادوار
119 . . . . .	2.8.1 کامل نصف اہر سمت کار
120 . . . . .	2.8.2 کامل چوٹی حاصل کار
120 . . . . .	2.8.3 کامل جیٹ اتار کار
121 . . . . .	2.8.4 ڈایوڈ لوگار تقبی ایپلیٹائر
122 . . . . .	2.8.5 ضرب کار
123 . . . . .	2.8.6 کامل مکمل اہر سمت کار
126 . . . . .	2.9 ڈایوڈ کے مثبتی ادوار
128 . . . . .	2.10 ایک سمتی رو خط بوجھ

128	2.10.1	گراف کا طریقہ
131	2.10.2	دہرائے کا طریقہ
133	2.11	کار تہی محدود اور ترسیم
133	2.11.1	محدود کی منتقلی
133	2.11.2	خط کا چھوٹا حصہ سیدھا تصور کیا جاسکتا ہے
134	2.11.3	گراف سے قیمت حاصل کرنے کا عمل
138	2.12	باریک اشاراتی تجزیہ
141	2.12.1	بدلتی رو، خط بوجھ
144	2.12.2	باریک اشاراتی مزاحمت
146	2.12.3	خط مماس سے باریک اشاراتی مزاحمت کا حصول
147	2.13	طبیعیات نیم موصل اشیاء
151	2.14	منفی قسم کا نیم موصل
153	2.15	مثبت قسم کا نیم موصل
156	2.16	مال برداری
156	2.16.1	نفوذ
159	2.16.2	بہاو
162	2.17	مثبت اور منفی اقسام کے نیم موصل مواد کا ملاپ
166	2.18	الٹا مائل ڈیوڈ
168	2.18.1	الٹا مائل ڈیوڈ بطور کیپیسٹر
169	2.19	بے قابو صورت

171	2.19.1 زیر برقی دباؤ بالمتقابل درجہ حرارت . . . . .
171	2.20 سیدھمائل ڈایوڈ . . . . .
172	2.20.1 سیدھے مائل ڈایوڈ کی نفوذی کمیشنس . . . . .
173	2.21 ڈایوڈ کے دیگر اقسام . . . . .
173	2.21.1 شاکلی ڈایوڈ . . . . .
175	2.21.2 وریکٹر ڈایوڈ . . . . .
175	2.21.3 فوٹو ڈایوڈ یا شمسی ڈایوڈ . . . . .
175	2.21.4 نوری ڈایوڈ . . . . .
176	2.21.5 ضیائی وابستہ کار . . . . .
176	2.21.6 ضیائی ذرائع ابلاغ . . . . .
177	2.22 ڈایوڈ کے ریاضی نمونے . . . . .
177	2.22.1 سیدھے خطوط کار ریاضی نمونہ . . . . .
181	2.22.2 کامل ڈایوڈ ریاضی نمونہ . . . . .
182	2.22.3 ڈایوڈ کا پست تعدد باریک اشاراتی ریاضی نمونہ . . . . .
184	2.22.4 ڈایوڈ کا بلند تعدد باریک اشاراتی ریاضی نمونہ . . . . .
185	2.23 زیر ڈایوڈ اور اس کار ریاضی نمونہ . . . . .
195	2.24 یک سمتی اور بدلتے متغیرات کے حساب کی علیحدگی . . . . .
198	2.25 قانون مربع جھٹ اتار کار . . . . .
200	2.26 سپائٹ ریاضی نمونہ . . . . .

3	ٹرانزسٹر (دو جوڑ ٹرانزسٹر)	213
3.1	ٹرانزسٹر کی ساخت اور اس کی بنیادی کارکردگی	213
3.2	افزائندہ حال منفی-جمع-منفی $nnp$ ٹرانزسٹر کی کارکردگی	215
3.3	غیر افزائندہ کردہ برقی دباؤ	223
3.4	افزائندہ حال جمع-منفی-جمع $pnp$ ٹرانزسٹر کی کارکردگی	223
3.4.1	$pnp$ کے $V_{EB}$ اور $V_{EC}$	225
3.5	نقطہ کارکردگی اور یک سمتی ادوار کا تحلیلی تجزیہ	225
3.5.1	افزائندہ ٹرانزسٹر کے یک سمتی ادوار کا حل	226
3.5.2	غیر افزائندہ ٹرانزسٹر کے دور کا حل	249
3.5.3	منقطع ٹرانزسٹر کے دور کا حل	253
3.6	ڈرائنگن جوڑی	255
3.7	تعیین نقطے سے نقطہ کارکردگی کا انحراف	257
3.7.1	تبدیلی $\beta$ سے لاحق مسائل استوار کرنے کا شرط	257
3.7.2	تبدیلی $V_{BE}$ سے نقطہ کارکردگی کا سرک جانا	264
3.7.3	نقطہ کارکردگی سوار کرنے کے اسباب	265
3.8	مزاحمت کا عکس	268
3.9	ٹرانزسٹر کے خط	273
3.9.1	$i_C - v_{BE}$ خط	273
3.9.2	$i_C - v_{CE}$ خط	275

3.10	یک سمتی اور کاتر سی تجزیہ	279
3.10.1	یک سمتی رو خط بوجھ	279
3.10.2	باریک اشارات	281
3.10.3	برقی دباؤ $V_{CC}$ اور مزاحمت $R_C$ کے نقطہ کارکردگی پر اثرات	281
3.10.4	داخلی برقی رو کے نقطہ کارکردگی پر اثرات	283
3.10.5	خارجی اشارہ کے حدود	284
3.10.6	بدلتی رو، خط بوجھ	286
3.11	ٹرانزسٹر ریاضی نمونہ برائے وسیع اشارات	297
3.11.1	ایمرز-مال ریاضی نمونہ	298
3.11.2	$pnp$ ٹرانزسٹر کا ایمرز-مال ماڈل	307
3.11.3	مال برداری ریاضی نمونہ	307
3.12	نئی کار	314
3.13	باریک اشاراتی تجزیہ	319
3.13.1	ترسی تجزیہ	319
3.13.2	باریک اشاراتی داخلی مزاحمت $r_{be}$ اور $r_e$	321
3.13.3	تحلیلی تجزیہ	322
3.14	پست تعددی ٹرانزسٹر ریاضی نمونہ برائے باریک اشارات	331
3.14.1	ٹی ریاضی نمونہ	335
3.14.2	پائے ریاضی نمونہ بمبہ خارجی مزاحمت $r_o$	338
3.15	یک سمتی اور بدلتے متغیرات کی علیحدگی	338

- 3.16 باریک اشاراتی ادوار کا پائے ریاضی نمونے کی مدد سے حل 343 . . . . .
- 3.16.1 زنجیری ضرب کا طریقہ 365 . . . . .
- 3.17 برقی بار، داخلی مزاحمت اور ایمپلیفائر کی افزائش 387 . . . . .
- 3.18 زنجیری ایمپلیفائر 390 . . . . .
- 3.19 ایمنٹر مشترک، کلکٹر مشترک اور بیس مشترک ایمپلیفائر 399 . . . . .
- 3.20 خطی لحاظ سے ایمپلیفائر کی درجہ بندی 414 . . . . .
- 3.21 ٹرانزسٹر سے ڈیوڈ کا حصول 415 . . . . .
- 3.22 منبع برقی دباؤ 417 . . . . .
- 3.23 ٹرانزسٹر لوگار تھمی ایمپلیفائر 420 . . . . .
- 3.24 شاہکی ٹرانزسٹر 421 . . . . .
- 3.25 قوی ٹرانزسٹر 424 . . . . .
- 3.26 قابو ریکٹیفائر 424 . . . . .
- 4 میدانی ٹرانزسٹر 435
- 4.1  $n$  ماسفیٹ کی ساخت (بڑھاتا  $n$  ماسفیٹ) 436 . . . . .
- 4.2  $n$  ماسفیٹ کی بنیادی کارکردگی 438 . . . . .
- 4.2.1 گیٹ پر برقی دباؤ کی عدم موجودگی 438 . . . . .
- 4.2.2 گیٹ کے ذریعہ برقی رو کے لئے راہ کی تیاری 439 . . . . .
- 4.3  $n$  ماسفیٹ کی مساوات 447 . . . . .
- 4.3.1 قابل برداشت برقی دباؤ 455 . . . . .



455	4.3.2	درج حرارت کے اثرات
456	4.4	بڑھتا pMOSFET ماسفیٹ
458	4.4.1	غیر افزائندہ
459	4.5	گھٹتا $n$ ماسفیٹ
460	4.5.1	منقطع صورت
460	4.5.2	غیر افزائندہ
461	4.5.3	دبوج
461	4.5.4	افزائندہ
461	4.6	گھٹتا $p$ ماسفیٹ
462	4.7	جڑوا ماسفیٹ CMOS
462	4.8	ماسفیٹ کے یک سمتی ادوار کا حل
483	4.9	ماسفیٹ ایکپلیٹائر کا تریسی تجزیہ
484	4.10	ماسفیٹ ایکپلیٹائر کا تحلیلی تجزیہ
484	4.10.1	یک سمتی تجزیہ
485	4.10.2	بدلتی رو تجزیہ
488	4.11	ماسفیٹ ریاضی نمونہ
488	4.11.1	خارجی مزاحمت $r_o$
490	4.11.2	وسیع اشاراتی ماسفیٹ ریاضی نمونہ
490	4.11.3	باریک اشاراتی ماسفیٹ $\pi$ ریاضی نمونہ
493	4.11.4	باریک اشاراتی ماسفیٹ ٹی ریاضی نمونہ

494	4.11.5	یک سمتی اور دبلے لے متغیرات کی علیحدگی
503	4.12	سیاس نفی کار
506	4.13	جوڈار فیٹ ( $JFET$ )
509	4.13.1	برقی رو بالمتقابل برقی دہاو
511	4.13.2	pJFET
512	4.13.3	باریک اشاراتی ریاضی نمونہ
518	4.14	مخلوط ادوار میں ماسفیٹ کا نقطہ کار کردگی تعین کرنے کے ادوار
519	4.14.1	منبع مستقل برقی رو
525	4.15	مزاحمت کے عکس
528	4.16	تابع سورس (ڈرین مشترک ایپلیٹائر)
535	4.17	گیٹ مشترک ایپلیٹائر
536	4.18	زنجیری ایپلیٹائر
541	4.19	قوی ماسفیٹ

555	5 تفرقی ایپلیٹائر
555 . . . . .	5.1 دو جوڑ ٹرانزسٹر کا تفرقی جوڑا
555 . . . . .	5.1.1 تفرقی اشارہ کی عدم موجودگی
559 . . . . .	5.1.2 تفرقی اشارہ موجود
561 . . . . .	5.2 باریک داخلی تفرقی اشارہ پر تفرقی جوڑے کی بنیادی کارکردگی
562 . . . . .	5.3 وسیع داخلی اشارہ پر تفرقی جوڑے کی کارکردگی
567 . . . . .	5.4 باریک اشارہ پر تفرقی جوڑے کے کارکردگی پر تفصیلی غور
567 . . . . .	5.4.1 باریک اشاراتی مساوات
569 . . . . .	5.4.2 برقی رد کا حصول بذریعہ ٹرانزسٹر ریاضی نمونہ
572 . . . . .	5.4.3 داخلی تفرقی مزاحمت
575 . . . . .	5.4.4 داخلی مشترکہ مزاحمت اور مشترکہ افزائش
578 . . . . .	5.5 غیر کامل تفرقی جوڑے کا ناقص پن
578 . . . . .	5.5.1 داخلی انحرافی برقی دباؤ
581 . . . . .	5.5.2 داخلی میلان برقی رد اور انحرافی داخلی میلان برقی رد
582 . . . . .	5.6 مخلوط ادوار میں دو جوڑ ٹرانزسٹر کے مائل کرنے کے طریقے
582 . . . . .	5.7 یک سمتی منبع برقی رد
584 . . . . .	5.8 آئینہ برقی رد
590 . . . . .	5.8.1 متعدد یک سمتی منبع رد
592 . . . . .	5.9 ٹرانزسٹر بوجھ سے لدا دو جوڑ ٹرانزسٹر کا تفرقی ایپلیٹائر
606 . . . . .	5.10 واٹنر منبع برقی رد
610 . . . . .	5.11 ولسن آئینہ
615 . . . . .	5.12 کیسکوڈ ایپلیٹائر
618 . . . . .	5.13 ماسفیٹ کے تفرقی جوڑے
628 . . . . .	5.14 داخلی انحرافی برقی دباؤ
632 . . . . .	5.15 ماسفیٹ آئینہ برقی رد
636 . . . . .	5.15.1 منبع دباؤ کے اثرات سے آزاد منبع رد
638 . . . . .	5.16 ماسفیٹ کیسکوڈ تفرقی ایپلیٹائر

645	6	ایپلیٹار کا تعددی رد عمل اور فلٹر
645	6.1	پست تعددی رد عمل
647	6.2	بیس سرے پر کپیسٹر $C_B$
656	6.3	ایسٹر سرے پر کپیسٹر $C_E$
663	6.4	کلکٹر سرے پر کپیسٹر $C_C$
665	6.5	بوڈا خطوط
672	6.6	بیس اور کلکٹر بیرونی کپیسٹر
676	6.7	بیس اور ایسٹر بیرونی کپیسٹروں کا مجموعی اثر
684	6.8	بیس، ایسٹر اور کلکٹر بیرونی کپیسٹروں کا مجموعی اثر
687	6.9	پست انقطاعی تعدد بذریعہ سورس کپیسٹر
694	6.10	مسئلہ ملر
697	6.11	بلند تعددی رد عمل
698	6.11.1	بلند تعددی پائے $\pi$ ریاضی نمونہ
702	6.11.2	مشترکہ ایسٹر بلند انقطاعی تعدد
705	6.11.3	مشترکہ بیس بلند انقطاعی تعدد
707	6.11.4	$f_T$ کا تجرباتی تخمینہ
708	6.11.5	برقی بوجھ کے موجودگی میں بلند تعددی رد عمل
716	6.11.6	مشترکہ سورس ماسنیٹ ایپلیٹار کا بلند تعددی رد عمل
720	6.12	مشترکہ کلکٹر ایپلیٹار کا بلند تعددی رد عمل
725	6.13	مشترکہ بیس ایپلیٹار کا بلند انقطاعی تعدد
729	6.14	کیسکوڈ ایپلیٹار
742	6.15	فلٹر یا چھلنی
742	6.16	بڑورت فلٹر (چھلنی)
750	6.16.1	بڑورت فلٹر کا دور

765	7	واپسی ادوار
766	7.1	ایمپلیفائر کی جماعت بندی
767	7.1.1	برقی دباؤ ایمپلیفائر
769	7.1.2	برقی روا ایمپلیفائر
770	7.1.3	موصل نما ایمپلیفائر
772	7.1.4	مزاحمت نما ایمپلیفائر
773	7.2	واپسی اشارہ
776	7.3	بنیادی کارکردگی
778	7.3.1	افزائشی دائرہ
779	7.3.2	بنیادی مفروضے
780	7.4	واپسی ایمپلیفائر کی خوبیاں
780	7.4.1	مسکلم افزائش
785	7.4.2	تعددی ہکاڑ
785	7.4.3	دائرہ کارکردگی کے پٹی میں وسعت
787	7.5	داخلی مزاحمت
787	7.5.1	واپسی برقی دباؤ ایمپلیفائر کا داخلی مزاحمت
789	7.5.2	واپسی برقی روا ایمپلیفائر کا داخلی مزاحمت
791	7.5.3	واپسی موصل نما ایمپلیفائر کا داخلی مزاحمت
793	7.5.4	واپسی مزاحمت نما ایمپلیفائر کا داخلی مزاحمت
795	7.6	خارجی مزاحمت

796	7.6.1	واپسی برقی دباؤ ایسیلیٹائر کا خارجی مزاحمت
797	7.6.2	واپسی برقی رو ایسیلیٹائر کا خارجی مزاحمت
799	7.6.3	واپسی موصل نما ایسیلیٹائر کا خارجی مزاحمت
800	7.6.4	واپسی مزاحمت نما ایسیلیٹائر کا خارجی مزاحمت
802	7.7	واپسی ایسیلیٹائر کے جماعت بندی کی مثالیں
803	7.7.1	واپسی برقی دباؤ ایسیلیٹائر
804	7.7.2	واپسی مزاحمت نما ایسیلیٹائر
806	7.7.3	واپسی موصل نما ایسیلیٹائر
808	7.7.4	واپسی برقی رو ایسیلیٹائر
811	7.7.5	واپسی مزاحمت نما ایسیلیٹائر
813	7.8	واپسی ایسیلیٹائر کا تفصیلی تجزیہ
815	7.9	واپسی برقی دباؤ ایسیلیٹائر
818	7.10	واپسی برقی دباؤ زنجیری ایسیلیٹائر

823	8	مرتعش
826	8.1	مرتعش کی تخلیق
828	8.2	مزاحمت-کپیسٹر RC مرتعش
835	8.3	وائن مرتعش
837	8.4	nJFET پر مبنی امالہ-کپیسٹر LC ہسٹر مرتعش
841	8.4.1	خود-مائل دور
841	8.5	ٹرانزسٹر ہسٹر مرتعش
845	8.6	عمومی مرتعش
848	8.7	بارٹلے اور کاپلنس مرتعش
854	8.7.1	قلبی مرتعش

## دیباچہ

برقی آلات اور عددی ادوار کے بعد مماثل برقیات میری تیسری کتاب ہے۔ یہ کتاب بھی اس امید کے ساتھ لکھی گئی ہے کہ یہ ایک دن برقی انجینئرنگ کی نصابی کتاب کے طور پر پڑھائی جائے گی۔ امید کی جاتی ہے کہ اب بھی طلبہ و طالبات اس سے استفادہ کر سکیں گے۔

اس کتاب میں تقریباً 503 اشکال اور 174 حل شدہ مثال دئے گئے ہیں۔ اس کے علاوہ مشق کے لئے 175 سوالات بمع جوابات بھی دیے گئے ہیں۔

یہ کتاب Ubuntu استعمال کرتے ہوئے XeLatex میں تشکیل دی گئی۔ یہ کتاب خطِ جمیل نوری نستعلیق میں لکھی گئی ہے۔ پرزہ جات کے خط Octave جبکہ ادوار کو gEDA کی مدد سے بنایا گیا ہے۔ کئی ادوار پر GnuCap کی مدد سے غور کیا گیا۔ میں ان سافٹ ویئر لکھنے والوں کا دل سے شکر گزار ہوں۔ میں طلبہ و طالبات سے گزارش کرتا ہوں کہ وہ آگے بڑھیں اور اس قسم کے سافٹ ویئر لکھیں یا ان کا ترجمہ علاقائی زبانوں میں کریں۔

اس کتاب کی تشکیل میں ہر موڑ پر کئی کتابوں کا سہارا لیا گیا۔ ان میں مندرجہ ذیل کا ذکر ضروری ہے۔

- Electronic Circuits by Schilling-Belove
- Integrated Electronics by Millman-Halkias
- Microelectronic Circuits by Sedra-Smith

جبکہ اردو اصطلاحات چننے میں درج ذیل لغت سے استفادہ کیا گیا۔

- <http://www.urduenglishdictionary.org>
- <http://www.nlpd.gov.pk/lughat/>

میں یہاں ان تمام خواتین و حضرات کا شکریہ ادا کرنا چاہتا ہوں جنہوں نے اس کتاب کو مکمل کرنے میں میری مدد کی، بالخصوص کامیٹی میں میرے ساتھی ڈاکٹر عابد حسن مجھے جنہوں نے کتاب کی شکل نکھاری اور میرے شاگرد سید زین عباس، حافظہ مریم اسلم، حرا خان اور سنجیہ شوکت جنہوں نے اس کتاب کی درستگی میں مدد کی۔

اس کتاب کو پہلی مرتبہ بطور نصابی کتاب جن طلباء و طالبات نے پڑھا ان کے نام طلحہ زاہد، عبداللہ رضا، عائشہ رباب، سمیاء الرحمان، صبح صادق، فیصل پرویز، جبران شبیر اور شاہ زیب علی ہیں۔ انہوں نے کتاب کو درست کرنے میں میری مدد کی جس کا میں شکر گزار ہوں۔

آپ سے گزارش ہے کہ اس کتاب کو زیادہ سے زیادہ طلبہ و طالبات تک پہنچائیں اور کتاب میں غلطیوں کی نشاندہی میرے برقیاتی پتہ [khalidyousofzai@comsats.edu.pk](mailto:khalidyousofzai@comsats.edu.pk) پر کریں۔ میری تمام کتابوں کی مکمل XeLatex معلومات

<https://www.github.com/khalidyousofzai>

سے حاصل کی جاسکتی ہیں جنہیں آپ مکمل اختیار کے ساتھ استعمال کر سکتے ہیں۔

خالد خان یوسفزئی

9 نومبر 2014



## میری پہلی کتاب کا دیباچہ

گزشتہ چند برسوں سے حکومتِ پاکستان اعلیٰ تعلیم کی طرف توجہ دے رہی ہے جس سے ملک کی تاریخ میں پہلی مرتبہ اعلیٰ تعلیمی اداروں میں تحقیق کا رجحان پیدا ہوا ہے۔ امید کی جاتی ہے کہ یہ سلسلہ جاری رہے گا۔

پاکستان میں اعلیٰ تعلیم کا نظام انگریزی زبان میں رائج ہے۔ دنیا میں تحقیقی کام کا بیشتر حصہ انگریزی زبان میں ہی چھپتا ہے۔ انگریزی زبان میں ہر موضوع پر لاتعداد کتابیں پائی جاتی ہیں جن سے طلبہ و طالبات استفادہ کرتے ہیں۔

ہمارے ملک میں طلبہ و طالبات کی ایک بہت بڑی تعداد بنیادی تعلیم اردو زبان میں حاصل کرتی ہے۔ ان کے لئے انگریزی زبان میں موجود مواد سے استفادہ کرنا تو ایک طرف، انگریزی زبان از خود ایک رکاوٹ کے طور پر ان کے سامنے آتی ہے۔ یہ طلبہ و طالبات ذہین ہونے کے باوجود آگے بڑھنے اور قوم و ملک کی بھرپور خدمت کرنے کے قابل نہیں رہتے۔ ایسے طلبہ و طالبات کو اردو زبان میں نصاب کی اچھی کتابیں درکار ہیں۔ ہم نے قومی سطح پر ایسا کرنے کی کوئی خاطر خواہ کوشش نہیں کی۔

میں برسوں تک اس صورت حال کی وجہ سے پریشانی کا شکار رہا۔ کچھ کرنے کی نیت رکھنے کے باوجود کچھ نہ کر سکتا تھا۔ میرے لئے اردو میں ایک صفحہ بھی لکھنا ناممکن تھا۔ آخر کار ایک دن میں نے اپنی اس کمزوری کو کتاب نہ لکھنے کا جواز بنانے سے انکار کر دیا اور یوں یہ کتاب وجود میں آئی۔

یہ کتاب اردو زبان میں تعلیم حاصل کرنے والے طلبہ و طالبات کے لئے نہایت آسان اردو میں لکھی گئی ہے۔ کوشش کی گئی ہے کہ اسکول کی سطح پر نصاب میں استعمال ہونے والے تکنیکی الفاظ ہی استعمال کئے جائیں۔ جہاں ایسے الفاظ موجود نہ تھے وہاں روزمرہ میں استعمال ہونے والے الفاظ چنے گئے۔ تکنیکی الفاظ کی چٹائی کے وقت اس بات کا دہان رکھا گیا کہ ان کا استعمال دیگر مضامین میں بھی ممکن ہو۔

کتاب میں بین الاقوامی نظام اکائی استعمال کی گئی ہے۔ اہم متغیرات کی علامتیں وہی رکھی گئی ہیں جو موجودہ نظام تعلیم کی نصابی کتابوں میں رائج ہیں۔ یوں اردو میں لکھی اس کتاب اور انگریزی میں اسی مضمون پر لکھی کتاب پڑھنے والے طلبہ و طالبات کو ساتھ کام کرنے میں دشواری نہیں ہوگی۔

امید کی جاتی ہے کہ یہ کتاب ایک دن خالصتاً اردو زبان میں انجینئرنگ کی نصابی کتاب کے طور پر استعمال کی جائے گی۔ اردو زبان میں برقی انجینئرنگ کی مکمل نصاب کی طرف یہ پہلا قدم ہے۔

اس کتاب کے پڑھنے والوں سے گزارش کی جاتی ہے کہ اسے زیادہ سے زیادہ طلبہ و طالبات تک پہنچانے میں مدد دیں اور انہیں جہاں اس کتاب میں غلطی نظر آئے وہ اس کی نشاندہی میری ای۔ میل پر کریں۔ میں ان کا نہایت شکر گزار ہوں گا۔

اس کتاب میں تمام غلطیاں مجھ سے ہی سرزد ہوئی ہیں البتہ انہیں درست کرنے میں بہت لوگوں کا ہاتھ ہے۔ میں ان سب کا شکریہ ادا کرتا ہوں۔ یہ سلسلہ ابھی جاری ہے اور مکمل ہونے پر ان حضرات کے تاثرات یہاں شامل کئے جائیں گے۔

میں یہاں کامیٹ یونیورسٹی اور ہائر ایجوکیشن کمیشن کا شکریہ ادا کرنا چاہتا ہوں جن کی وجہ سے ایسی سرگرمیاں ممکن ہوئیں۔

خالد خان یوسفزئی

28 اکتوبر 2011

## علامات

اس کتاب میں بین الاقوامی نظام اکائی SI استعمال کیا گیا ہے۔ یوں میٹر، کلو گرام اور سیکنڈ کے علاوہ ولٹ، ایمپیئر، اوہم اور واٹ کو جوں کا توں استعمال کیا جائے گا۔

برقی دباؤ، برقی رو اور ان کی مخصوص خصلتیں اجاگر کرانے کی خاطر مختلف علامتیں استعمال کی جاتی ہیں۔ ان علامتوں کو، جن سے بخوبی واقف ہونا ضروری ہے، یہاں پیش کرتے ہیں۔

منبع یک سمتی برقی دباؤ  $V_{DD}, V_{CC}, V_{EE}, V_{BB}$

یک سمتی برقی دباؤ اور برقی رو (اشارہ موجود یا عدم موجود)  $V_{BE}, V_{CE}, I_D, I_C$

نقطہ کارکردگی پر یک سمتی برقی دباؤ اور برقی رو (اشارہ عدم موجود)  $V_{CEQ}, I_{CQ}$

بدلتا اشارہ (اوسط قیمت صفر)  $v_d, v_{be}, i_d, i_c, i_e$

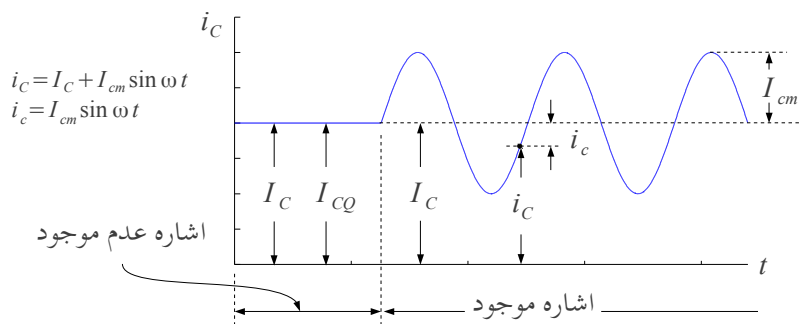
سائن نما برقی رو کی موثر قیمت (rms)  $I_d, I_c, I_e, I_b$

اشارے کی چوٹی  $V_{dm}, V_{cem}, I_{dm}, I_{cm}$

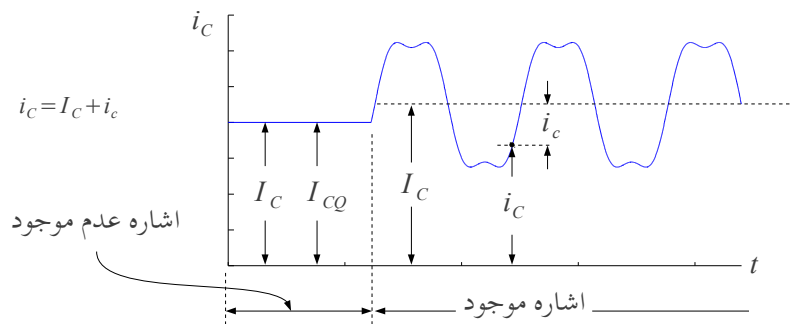
لحاتی برقی دباؤ  $v_D, v_{BE}, v_{CE}, v_{BC}$

لحاتی برقی رو  $i_D, i_C, i_E, i_B$

ان کی مزید وضاحت شکل 0.1 اور شکل 0.2 میں کی گئی ہے۔



شکل 0.1: سائن نما اشاره



شکل 0.2: غير سائن نما اشاره

---

اصطلاحات

---

voltage	برقی دباو
current	برقی رو
resistance	برقی مزاحمت
capacitor	برق گیر (کپیسٹر)
inductor	امالہ گیر
impedance	برقی رکاوٹ
voltage source	منبع برقی دباو
current source	منبع برقی رو
dependent voltage source	تابع منبع برقی دباو
independent voltage source	غیر تابع منبع برقی دباو
OPAMP	حسابی ایمپلیفائر
difference pair	تفرقی جوڑا
signal	اشارہ
signal generator	منبع اشارہ
frequency	تعدد
BJT transistor	دو جوڑ ٹرانزسٹر
diode	ڈایوڈ
mosfet	ماسفیٹ
AM signal	حیطہ سوار اشارہ



## باب 1

### حسابی ایمپلیفائر

ٹرانزسٹر<sup>1</sup> کی ایجاد سے اب تک الیکٹرانکس کے میدان میں ناقابل یقین اور حیرت انگیز ترقی ہوئی ہے۔ شروع میں الگ الگ ٹرانزسٹر استعمال کر کے الیکٹرانک ادوار بنائے جاتے تھے۔ بعد میں سیلیکان کی پتري<sup>2</sup> پر ایک سے زیادہ ٹرانزسٹر بنانے کا رجحان پیدا ہوا۔ اس طرح مخلوط ادوار<sup>3</sup> وجود میں آئے۔ ایک مربع سنٹی میٹر رقبہ کی سیلیکان پتري<sup>4</sup> پر اربوں ٹرانزسٹر بنانا ممکن ہوا اور دیکھتے ہی دیکھتے الیکٹرانک اشیاء زندگی کے ہر شعبے پر چھا گئیں۔

اس کتاب میں الیکٹرانک پرزہ جات کی کارکردگی اور ان کے استعمال سے الیکٹرانک ادوار بنانے پر غور کیا جائے گا۔ پہلے باب میں حسابی ایمپلیفائر<sup>5</sup> پر غور کیا جائے گا۔ حسابی ایمپلیفائر در حقیقت کئی ٹرانزسٹر پر مبنی ایک نہایت مقبول مخلوط دور ہے جس کا استعمال، برقی پرزہ جات مثلاً مزاحمت، کپیسٹر وغیرہ کی طرح، نہایت آسان ہے۔ حسابی ایمپلیفائر کی اندرونی ساخت پر اس کتاب میں آگے جا کر ایک مکمل باب ہے۔

---

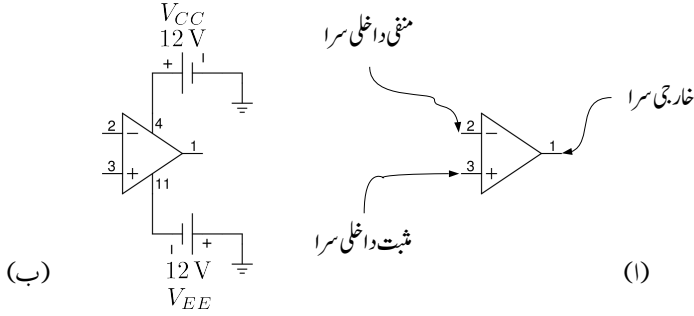
transistor<sup>1</sup>

silicon chip<sup>2</sup>

integrated chip (IC)<sup>3</sup>

ہائڈروجن اور آکسیجن کے ملاپ سے پانی H<sub>2</sub>O بنتا ہے۔ اسی طرح سیلیکان اور آکسیجن کے ملاپ سے SiO<sub>2</sub> یعنی ریت یا مٹی بنتی ہے

operational amplifier (OPAMP)<sup>5</sup>



شکل 1.1: حسابی ایمپلیفائر کی علامت

## 1.1 حسابی ایمپلیفائر کے سرے یا پینے

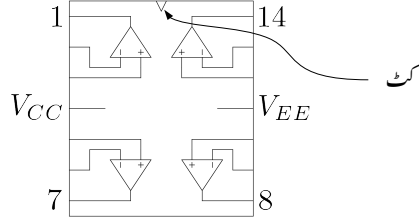
حسابی ایمپلیفائر کی علامت شکل 1.1 الف میں دکھائی گئی ہے۔ حسابی ایمپلیفائر کے عموماً تین سرے ہوتے ہیں جن میں سے دو اس کے داخلی اور ایک خارجی سرا ہوتا ہے۔ یوں شکل-الف میں ایک نمبر پینا<sup>6</sup> اس کا خارجی سرا ہے جبکہ دو اور تین نمبر پینے اس کے داخلی سرے ہیں۔ شکل الف میں حسابی ایمپلیفائر کی علامت میں دو مزید طاقت کے سرے بھی دکھائے گئے ہیں جو حسابی ایمپلیفائر کو برقی طاقت مہیا کرنے کی خاطر استعمال ہوتے ہیں۔ حسابی ایمپلیفائر اُسی وقت کام کر سکتا ہے جب ان طاقت کے پینوں پر درکار برقی طاقت مہیا کی جائے۔ شکل 1.1 ب میں چار نمبر سرا مثبت برقی طاقت کا سرا ہے لہذا اس پر مثبت برقی دباؤ مہیا کی گئی ہے جبکہ گیارہ نمبر سرا منفی طاقت کا سرا ہے لہذا اس پر منفی برقی دباؤ مہیا کی گئی ہے۔ حسابی ایمپلیفائر ان مہیا کردہ برقی دباؤ سے برقی طاقت حاصل کرتا ہے۔ روایتی طور پر مثبت برقی دباؤ کو  $V_{CC}$  اور منفی برقی دباؤ کو  $V_{EE}$  پکارا جاتا ہے۔ یوں شکل میں  $V_{CC} = 12V$  اور  $V_{EE} = -12V$  ہیں۔ حسابی ایمپلیفائر کو عموماً شکل 1.1 الف کی علامت سے ظاہر کرتے ہوئے طاقت پینوں کو نہیں دکھایا جاتا۔

مثبت برقی دباؤ اور منفی برقی دباؤ عموماً **منبع برقی دباؤ** سے مہیا کیا جاتا ہے۔ اس کتاب میں اس آلہ کو **منبع برقی دباؤ**، **برقی دباؤ کے منبع**<sup>7</sup> یا **طاقت کے منبع**<sup>8</sup> پکارا جائے گا۔

صنعت کار ایک یا ایک سے زیادہ تعداد میں حسابی ایمپلیفائر پلاسٹک کی ڈبیا میں بند کرتے ہیں۔ شکل 1.2 میں ایک ہی ڈبیا میں چار حسابی ایمپلیفائر دکھائے گئے ہیں۔ ڈبیا میں بند تمام حسابی ایمپلیفائر کے  $V_{CC}$  آپس میں جوڑ کر چار نمبر

<sup>6</sup> پینوں کو نمبر کرنے کا طریقہ جلد بتلایا جائے گا  
<sup>7</sup> voltage source  
<sup>8</sup> power supply





شکل 1.2: حسابی ایمپلیفائر کی ڈیا

پنیا پر جبکہ تمام  $V_{EE}$  کو آپس میں جوڑ کر گیارہ نمبر پنیا پر پہنچایا گیا ہے۔ ڈیا پر باریک کٹ لگایا جاتا ہے۔ اس کٹ سے گھڑی کی الٹ سمت گھومتے ہوئے پنوں کو نمبر کیا جاتا ہے۔ شکل 1.1 میں حسابی ایمپلیفائر کے پنوں پر لکھے گئے نمبر ڈیا کے پنوں کو ظاہر کرتے ہیں۔

## 1.2 حسابی ایمپلیفائر کی بنیادی کارکردگی

حسابی ایمپلیفائر کی بنیادی کارکردگی کچھ یوں ہے۔ اگر حسابی ایمپلیفائر کے دو داخلی سروں کے مابین تفرقہ برقی اشارہ  $v_d$  9 مہیا کیا جائے تو یہ خارجی سرے پر  $v_d$  کو  $A_d$  گنا بڑھا کر خارج کرے گا، یعنی خارجی اشارہ  $v_o$  اور داخلی اشارہ  $v_d$  کا تعلق مندرجہ ذیل ہے

$$(1.1) \quad v_o = A_d \times v_d$$

جہاں

$$(1.2) \quad v_d = v_2 - v_1$$

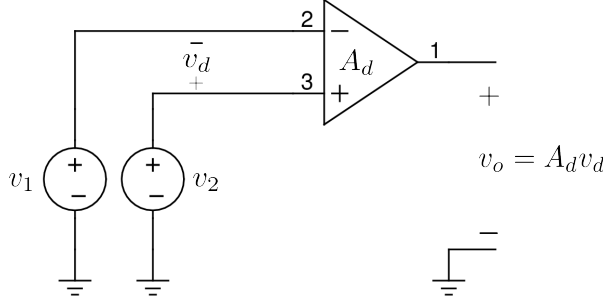
کے برابر ہے۔ شکل 1.3 میں اس حقیقت کو دکھایا گیا ہے۔  $A_d$  کو ایمپلیفائر کا تفرقہ برقی دباؤ<sup>10</sup> افزائش<sup>10</sup> یا برقی دباؤ کے تفرقہ افزائش<sup>11</sup> کہتے ہیں۔ یوں حسابی ایمپلیفائر کو تفرقہ ایمپلیفائر<sup>11</sup> بھی کہتے ہیں۔ مساوات 1.1 میں اگر داخلی اشارہ کو دگنا کر دیا جائے تو خارجی اشارہ بھی دگنا ہو جائے گا۔ یوں حسابی ایمپلیفائر کی کارکردگی خطی<sup>12</sup> نوعیت کی ہے۔

<sup>9</sup> differential voltage signal

<sup>10</sup> differential voltage gain

<sup>11</sup> difference amplifier

<sup>12</sup> linear relation



شکل 1.3: حسابی ایمپلیفائر کی کارکردگی

یہاں اس بات کا ذکر کرنا ضروری ہے کہ حسابی ایمپلیفائر کے خارجی اشارہ  $v_o$  کی قیمت کسی صورت مثبت برقی دباؤ  $V_{CC}$  سے زیادہ یا منفی برقی دباؤ  $V_{EE}$  سے کم نہیں ہو سکتی۔ حقیقت میں  $v_o$  کی زیادہ سے زیادہ ممکنہ حد  $V_{CC}$  سے 1 تا 3 وولٹ کم ہوتا ہے۔ اسی طرح  $v_o$  کی کم سے کم ممکنہ حد  $V_{EE}$  سے، 1 تا 3 وولٹ زیادہ ہوتا ہے۔ یعنی

$$(1.3) \quad (V_{EE} + \Delta_-) < v_o < (V_{CC} - \Delta_+)$$

اس مساوات میں  $\Delta_+$  اور  $\Delta_-$  ایک سے تین وولٹ کو ظاہر کرتے ہیں۔ اس کتاب میں جب تک کہا نہ جائے ہم  $\Delta_+$  اور  $\Delta_-$  کی قیمت صفر تصور کریں گے۔ یوں  $v_o$  مثبت برقی دباؤ  $V_{CC}$  سے لے کر منفی برقی دباؤ  $V_{EE}$  تک کی قیمت اختیار کر سکتا ہے۔ حصہ 1.6.1 میں اس عمل پر تذکرہ کیا جائے گا۔

اگر حسابی ایمپلیفائر کو مہیا تفرقی اشارہ  $v_d$  کی قیمت اتنی ہو کہ مساوات 1.1 سے حاصل  $v_o$  کی قیمت مساوات 1.3 میں دیے حدود سے تجاوز کرے تو اس صورت میں حسابی ایمپلیفائر مساوات 1.1 پر پورا نہیں اترے گا جبکہ اس کی  $v_o$  مساوات 1.3 میں دیے حدود کے اندر ہی رہے گی۔ اس صورت میں مثبت جانب بڑھتے ہوئے  $v_o$  کی قیمت  $(V_{CC} - \Delta_+)$  تک پہنچ کر رک جائے گی یا پھر منفی جانب گھٹتے ہوئے  $v_o$  کی قیمت  $(V_{CC} - \Delta_-)$  تک پہنچ کر رک جائے گی۔ اس صورت میں  $|v_d|$  کو مزید بڑھانے سے  $v_o$  کی قیمت پر کوئی اثر نہیں ہوتا۔ اس صورت میں حسابی ایمپلیفائر کی کارکردگی غیر خطی ہو گی اور اس کو حسابی ایمپلیفائر کا لبریز<sup>13</sup> ہونا کہتے ہیں۔

مثال 1.1: ایک حسابی ایمپلیفائر جس کی تفرقہ افزائش برقی دباؤ  $A_d$  کی قیمت  $100\,000 \frac{V}{V}$  ہے کو اس کے داخلی سروں پر مندرجہ ذیل برقی دباؤ مہیا کئے جاتے ہیں۔

$$1. \quad v_2 = 10 \mu V \text{ اور } v_1 = 0 V$$

$$2. \quad v_2 = 0 V \text{ اور } v_1 = 10 \mu V$$

$$3. \quad v_2 = 2.000\,05 V \text{ اور } v_1 = 2.000\,03 V$$

$$4. \quad v_2 = 2.0005 V \text{ اور } v_1 = 2.0003 V$$

$$5. \quad v_2 = 2.03 V \text{ اور } v_1 = 2.05 V$$

$$6. \quad v_2 = 2.03 V \text{ اور } v_1 = 2.03 V$$

جبکہ  $V_{EE} = -12 V$  اور  $V_{CC} = 12 V$  ہونے کی صورت میں حسابی ایمپلیفائر کی  $v_o$  دریافت کریں۔

حل: جب تک  $v_o$  مساوات 1.3 میں دیے حدود کے اندر رہے، حسابی ایمپلیفائر داخلی برقی دباؤ کو ایک لاکھ مرتبہ بڑھا کر خارج کرے گا۔ یوں

$$\begin{aligned} 1. \quad v_o &= A_d \times v_d \\ &= A_d \times (v_2 - v_1) \\ &= 100000 \times (10 \times 10^{-6} - 0) \\ &= 1 V \end{aligned}$$

$$\begin{aligned} 2. \quad v_o &= A_d \times v_d \\ &= A_d \times (v_2 - v_1) \\ &= 100000 \times (0 - 10 \times 10^{-6}) \\ &= -1 V \end{aligned}$$

$$\begin{aligned} 3. \quad v_o &= A_d \times v_d \\ &= A_d \times (v_2 - v_1) \\ &= 100000 \times (2.00005 - 2.00003) \\ &\approx 2 V \end{aligned}$$

$$\begin{aligned}
 4. \quad v_0 &= A_d \times v_d \quad \text{چوتھے صورت میں } v_0 \text{ کی قیمت مساوات 1.3 میں دیے} \\
 &= A_d \times (v_2 - v_1) \\
 &= 100000 \times (2.0005 - 2.0003) \\
 &= 20 \text{ V}
 \end{aligned}$$

حدود سے تجاوز کر گئی جو کہ ناممکن صورت حال ہے۔ لہذا اس جواب کو رد کیا جاتا ہے۔ اس صورت میں حسابی ایمپلیفائر کی کوشش ہو گی کہ  $v_0$  کی قیمت بیس وولٹ ہو لیکن حسابی ایمپلیفائر ایسا کرنے سے عاجز ہے کیونکہ اس کے خارجی اشارے کی قیمت  $V_{CC}$  کی قیمت سے زیادہ نہیں ہو سکتی۔ لہذا  $\Delta_+ = \Delta_- = 0$  لیتے ہوئے اس صورت میں  $v_0$  زیادہ سے زیادہ ممکنہ برقی دباؤ کے برابر ہو گا یعنی  $v_0 = +12\text{V}$  ہو گا۔ حقیقت میں  $v_0$  کی زیادہ سے زیادہ ممکنہ قیمت  $V_{CC}$  سے ایک یا دو وولٹ کم ہوتی ہے۔ حسابی ایمپلیفائر بنانے والے یہ معلومات فراہم کرتے ہیں۔

$$\begin{aligned}
 5. \quad v_0 &= A_d \times v_d \quad \text{یہاں } v_0 \text{ کی قیمت مساوات 1.3 میں دیے حدود سے تجاوز کر} \\
 &= A_d \times (v_2 - v_1) \\
 &= 100000 \times (2.03 - 2.05) \\
 &= -2000 \text{ V}
 \end{aligned}$$

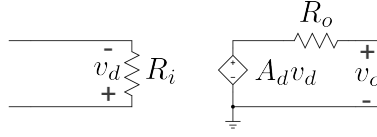
گئی جو کہ ناممکن صورت حال ہے۔ اس صورت میں  $v_0$  کی قیمت  $V_{EE}$  سے قدر زیادہ قیمت اختیار کرے گی۔  $\Delta_+ = \Delta_- = 0$  لیتے ہوئے اس صورت  $v_0 = -12\text{V}$  ہو گی۔

$$\begin{aligned}
 6. \quad v_0 &= A_d \times v_d \\
 &= A_d \times (v_2 - v_1) \\
 &= 100000 \times (2.03 - 2.03) \\
 &= 0 \text{ V}
 \end{aligned}$$

یہاں آپ نے دیکھا کہ دونوں داخلی سروں پر برابر برقی دباؤ مہیا کرنے سے حسابی ایمپلیفائر صفر وولٹ خارج کرتا ہے۔ دونوں داخلی سروں پر برابر مہیا کردہ برقی دباؤ کو مشترکہ برقی دباؤ<sup>14</sup> کہتے ہیں۔ حسابی ایمپلیفائر مشترکہ برقی دباؤ کو رد کرتا ہے۔

یہاں یہ بتلاتا چلوں کہ کسی بھی داخلی برقی دباؤ کو مشترکہ برقی دباؤ  $v_{CM}$  اور تفرق برقی دباؤ<sup>15</sup>  $v_d$  میں تقسیم کیا جاسکتا ہے۔ پانچویں جزو میں  $v_1 = 2.05\text{V}$  اور  $v_2 = 2.03\text{V}$  کو یوں بیان کیا جاسکتا ہے کہ حسابی

<sup>14</sup> common mode voltage  
<sup>15</sup> differential mode voltage



شکل 1.4: حسابی ایمپلیفائر کا مساوی دور (ریاضی نمونہ)

ایمپلیفائر کو  $\frac{2.05+2.03}{2} = 2.04 \text{ V}$  بطور مشترکہ برقی دباؤ فراہم کئے گئے جبکہ اسے  $-0.02 \text{ V} = 2.03 - 2.05$  بطور تفرقی برقی دباؤ مہیا کئے گئے۔

اس مثال میں آپ نے دیکھا کہ چند مائیکرو وولٹ <sup>16</sup> برقی دباؤ کو حسابی ایمپلیفائر بڑھا کر وولٹ کی حد میں لے آتا ہے۔ یہاں آپ کی دلچسپی کی خاطر بتلاتا چلوں کہ انسانی اعصابی نظام ستر ملی وولٹ  $70 \text{ mV}$  کے لگ بھگ برقی دباؤ پر کام کرتا ہے۔ یوں حسابی ایمپلیفائر استعمال کرتے ہوئے آپ اعصابی نظام کے کارکردگی پر تحقیق کر سکتے ہیں۔

اس مثال کے پہلے دو حصوں میں آپ نے دیکھا کہ اگر داخلی برقی دباؤ کو حسابی ایمپلیفائر کے مثبت داخلے سرے <sup>17</sup> پر مہیا کیا جائے تو اس سے حاصل خارجی برقی دباؤ کی علامت تبدیل نہیں ہوتی۔ یعنی اگر مثبت برقی دباؤ مہیا کی جائے تو مثبت برقی دباؤ ہی خارج کی جاتی ہے۔ اس کے برعکس اگر برقی دباؤ کو حسابی ایمپلیفائر کے منفی داخلے سرے <sup>18</sup> پر مہیا کیا جائے تو اس سے حاصل خارجی برقی دباؤ کی علامت تبدیل ہو جاتی ہے۔ یعنی اگر مثبت برقی دباؤ مہیا کی جائے تو منفی برقی دباؤ خارج کی جاتی ہے۔

### 1.3 حسابی ایمپلیفائر کا مساوی دور یا ریاضی نمونہ

حسابی ایمپلیفائر کا مساوی دور شکل 1.4 میں دکھایا <sup>19</sup> گیا ہے۔ جیسا کہ شکل سے واضح ہے داخلی جانب سے حسابی

<sup>16</sup>  $\mu\text{V}$

<sup>17</sup> non-inverting input

<sup>18</sup> inverting input

<sup>19</sup> اس شکل میں تفرقی برقی دباؤ کا مثبت سراغ داخلی جانب ہے۔

ایمپلیفائر بالکل ایک مزاحمت  $R_i$  کی طرح معلوم ہوتا ہے جبکہ خارجی جانب یہ تابع منبع دباؤ<sup>20</sup> جس کے ساتھ سلسلہ وار مزاحمت  $R_o$  جڑی ہو معلوم ہوتا ہے۔ تابع منبع دباؤ، داخلی جانب مہیا اشارہ  $v_d$  کے تابع ہے۔

حسابی ایمپلیفائر کے صنعت کاروں کی کوشش ہوتی ہے کہ حسابی ایمپلیفائر کے داخلی مزاحمت  $R_i$  کی قیمت زیادہ سے زیادہ جبکہ خارجی مزاحمت  $R_o$  کی قیمت کم سے کم ہو۔ اسی طرح کوشش کی جاتی ہے کہ تفرق افزائش برقی دباؤ  $A_d$  کی قیمت زیادہ سے زیادہ ہو۔ جدول 1.1 میں آپ کے اندازے کی خاطر ایک عام دستیاب حسابی ایمپلیفائر<sup>21</sup> کے ریاضی نمونے<sup>22</sup> کے اجزاء دئے گئے ہیں۔ ان مقداروں کو مثال بناتے ہوئے شکل 1.4 پر غور کرتے ہیں۔

جدول 1.1: عام دستیاب حسابی ایمپلیفائر کے ریاضی نمونے کی مقررہ مقداریں

$10^{12} \Omega$	$R_i$
$100 \Omega$	$R_o$
$100\,000 \frac{V}{V}$	$A_d$

### 1.3.1 داخلی سروں پر برابر برقی دباؤ ہوتا ہے

حسابی ایمپلیفائر کو عام طور خطی کارکردگی کے احاطے میں استعمال کیا جاتا ہے یعنی اسے استعمال کرتے ہوئے  $v_d$  کی قیمت اتنی رکھی جاتی ہے کہ  $v_o$  مساوات 1.3 میں دیے حدود کے اندر رہے۔  $V_{CC} = 12V$  اور  $V_{EE} = -12V$  لیتے ہوئے  $v_o$  کی زیادہ سے زیادہ ممکنہ قیمت تقریباً  $12V$  اور کم سے کم ممکنہ قیمت تقریباً  $-12V$  ہے۔ جب  $v_o = 12V$  ہو، اس وقت مساوات 1.1 کے تحت  $v_d = 120 \mu V$  ہو گا اور جب  $v_o = -12V$  ہو اس وقت  $v_d = -120 \mu V$  ہو گا۔ یوں حسابی ایمپلیفائر کو خطی خطے میں استعمال کرتے ہوئے  $|v_d| < 120 \mu V$  رہے گا۔ شکل 1.3 کو دیکھتے ہوئے اس بات کو یوں بیان کر سکتے ہیں کہ

$$(1.4) \quad |v_d| = |v_2 - v_1| < 120 \mu V$$

رکھتے ہوئے حسابی ایمپلیفائر خطی خطے میں رہتا ہے۔  $120 \mu V$  اتنی کم برقی دباؤ ہے کہ اسے نظر انداز کیا جاسکتا ہے۔ ایسا کرنے سے حسابی ایمپلیفائر پر مبنی ادوار کو حل کرنا نہایت آسان ہو جاتا ہے۔ یوں اس مساوات کو اس طرح

<sup>20</sup> depended voltage source

<sup>21</sup> عام دستیاب ایمپلیفائر کی قیمت بازار میں فروخت ہونے والی تہذیب کی دوروئیوں کے لگ بھگ ہے

<sup>22</sup> model

لکھا جاسکتا ہے

$$(1.5) \quad \begin{aligned} |v_2 - v_1| &\approx 0 \\ v_2 &\approx v_1 \end{aligned}$$

یہ نہایت اہم مساوات ہے جسے بار بار استعمال کیا جائے گا۔ اس مساوات کے تحت جب تک حسابی ایمپلیفائر کو خطی احاطے میں استعمال کیا جائے اس وقت تک اس کے دونوں داخلی سروں پر تقریباً برابر برقی دباؤ ہو گا۔

اوپر مثال کو دوبارہ دیکھتے ہوئے پہلی دو صورتوں میں  $v_2 \approx v_1 \approx 0$  ہے جبکہ تیسری صورت میں  $v_2 \approx 2V$  ہے۔ ان میں حسابی ایمپلیفائر خطی احاطے میں کام کر رہا ہے۔ چونکہ اور پانچویں صورتوں میں یہ غیر خطی احاطے میں کام کر رہا ہے۔ پانچویں صورت میں یہ بات زیادہ واضح سامنے آتی ہے کہ  $v_2$  اور  $v_1$  برابر نہیں۔ یہاں ان میں 20 mV کا فرق ہے جسے نظر انداز نہیں کیا جاسکتا۔

### 1.3.2 داخلی سروں پر برقی رو صفر ہوتی ہے

آپ نے دیکھا کہ حسابی ایمپلیفائر کو خطی احاطے میں استعمال کرتے ہوئے  $|v_d| < 120 \mu V$  رہتا ہے۔ اگر  $R_i = 10^{12} \Omega$  ہو تو شکل 1.4 کو دیکھتے ہوئے مزاحمت  $R_i$  میں برقی رو  $i$  کی قیمت

$$(1.6) \quad i = \frac{v_d}{R_i} = \frac{120 \times 10^{-6}}{10^{12}} = 1.2 \times 10^{-16} A$$

ہو گی جو کہ قابل نظر انداز قیمت ہے۔ یوں ہم کہہ سکتے ہیں کہ حسابی ایمپلیفائر کے داخلی سروں پر برقی رو کی قیمت صفر ایمپیر ہو گی یا یہ کہ ان سروں کو مکمل طور منقطع تصور کیا جاسکتا ہے۔ یوں

$$(1.7) \quad i \approx 0 A$$

تصور کیا جاتا ہے۔

## 1.3.3 داخلی مزاحمت کو لامحدود تصور کیا جاتا ہے

جیسا کہ جدول میں ذکر ہوا حسابی ایمپلیفائر کے داخلی مزاحمت  $R_i$  کی قیمت نہایت بڑی ہوتی ہے۔ اتنی مزاحمت کو یقیناً لامحدود تصور کیا جاسکتا ہے یعنی

$$(1.8) \quad R_i \rightarrow \infty$$

اس کا مطلب ہے کہ داخلی سروں کو آپس میں مکمل طور منقطع سمجھا جاسکتا ہے۔

## 1.3.4 تفرقی افزائش کو لامحدود تصور کیا جاتا ہے

جدول 1.1 میں تفرقی افزائش برقی دباؤ کی مثال  $A_d = 100\,000 \frac{V}{V}$  دی گئی ہے جسے لامحدود تصور کیا جاسکتا ہے یعنی

$$(1.9) \quad A_D \rightarrow \infty$$

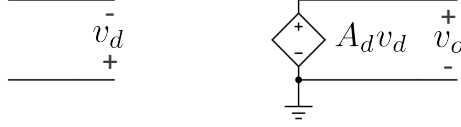
اس مساوات کو دیکھتے یہ خیال آتا ہے کہ لامحدود افزائش کی صورت میں اسے استعمال کیسے کیا جائے گا۔ درحقیقت حسابی ایمپلیفائر کو عموماً واپسی اشارہ<sup>23</sup> مہیا کرتے ہوئے استعمال کیا جاتا۔ اس بات کی وضاحت حصہ 1.5 میں ہو جائے گی۔

## 1.3.5 خارجی مزاحمت کو صفر اور ہم تصور کیا جاسکتا ہے

آپ دیکھیں گے کہ عام استعمال میں حسابی ایمپلیفائر کے خارجی جانب جڑے بیرونی مزاحمتوں کی قیمتیں کلو اوہم  $k\Omega$  کے حدود میں ہو گی جو کہ  $R_o$  کی قیمت سے کئی گنا زیادہ ہے۔ یوں حسابی ایمپلیفائر پر مبنی ادوار حل کرتے وقت اگر  $R_o$  کو بالکل نظر انداز کر دیا جائے تو حاصل جواب پر خاص فرق نہیں پڑے گا۔ عام استعمال میں ایسا ہی تصور کیا جاتا ہے یعنی

$$(1.10) \quad R_o \approx 0 \Omega$$





شکل 1.5: کامل حسابی ایمپلیفائر کا مساوی دور یا ریاضی نمونہ

## 1.4 کامل حسابی ایمپلیفائر

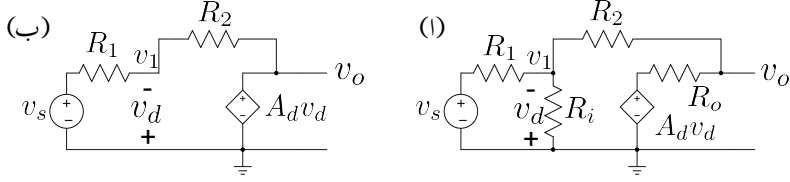
خطی خطے میں استعمال ہوتے ہوئے حسابی ایمپلیفائر کی کارکردگی پر غور کرتے ہوئے کچھ حقائق سامنے آئے جنہیں مساوات 1.5، 1.7، 1.8 اور 1.10 میں بیان کیا گیا۔ ان مساوات کو یہاں یکجا کر کے پیش کرتے ہیں۔

$$\begin{aligned}
 v_2 &= v_1 & \text{خطی خطہ} \\
 i &= 0 \\
 R_i &= \infty \\
 R_o &= 0
 \end{aligned}
 \tag{1.11}$$

ایسا کرتے وقت  $\approx$  اور  $\rightarrow$  کے علامات کی جگہ  $=$  کی علامت استعمال کی گئی ہے۔ ان مساوات کے پہلے جزو میں خطی خطہ لکھ کر اس بات کی یاد دہانی کرائی جاتی ہے کہ داخلی سرے صرف اس صورت برابر برقی دباؤ پر رہتے ہیں جب تک ایمپلیفائر خطی خطے میں رہے۔ اس بات کی وضاحت مثال 1.5 میں ہوگی۔ ان مساوات کو مد نظر رکھتے ہوئے ہم شکل 1.4 کو دوبارہ بناتے ہیں۔ ایسا کرنے سے شکل 1.5 حاصل ہوتا ہے جو کہ کامل حسابی ایمپلیفائر<sup>24</sup> کا مساوی دور یا ریاضی نمونہ<sup>25</sup> ہے۔ اس شکل سے واضح ہے کہ داخلی سروں پر برقی رو صفر ایمپیئر ہے، داخلی مزاحمت لامحدود جبکہ خارجی مزاحمت صفر اوہم ہے۔

مثال 1.2:

<sup>24</sup>ideal  
<sup>25</sup>model



شکل 1.6: حسابی ایپلیفائر کے مساوی دور (ریاضی نمونے) کا استعمال

- جدول 1.1 میں دیے مقدار اور حسابی ایپلیفائر کا غیر کامل مساوی دور (ریاضی نمونہ) استعمال کرتے ہوئے  $v_s = 1\text{ V}$  پر شکل 1.7 میں  $v_o$  کی قیمت حاصل کریں۔  $R_1 = 1\text{ k}\Omega$  اور  $R_2 = 10\text{ k}\Omega$  ہیں۔
- حسابی ایپلیفائر کا کامل مساوی دور اور جدول 1.1 میں دیے گئے  $A_d$  کی قیمت استعمال کرتے ہوئے دوبارہ  $v_o$  کی قیمت حاصل کریں۔
- دونوں جوابات کا موازنہ کریں۔

حل: شکل 1.6-الف میں حسابی ایپلیفائر کا غیر کامل مساوی دور جبکہ شکل 1.6-ب میں اس کا کامل مساوی دور استعمال کرتے ہوئے شکل 1.7 کو بنایا گیا ہے۔

- شکل-الف میں کرخوف کے قانون برائے برقی رو استعمال کرتے ہوئے

$$\frac{v_1 - v_s}{R_1} + \frac{v_1}{R_i} + \frac{v_1 - v_o}{R_2} = 0$$

$$\frac{v_o - v_1}{R_2} + \frac{v_o - A_d v_d}{R_o} = 0$$

حاصل ہوتا ہے۔ دیے گئے قیمتیں استعمال کرتے ہوئے اور  $v_1 = -v_d$  لکھ کر حل کرتے ہیں۔

$$\frac{-v_d - 1}{1000} + \frac{-v_d}{10 \times 10^{12}} + \frac{-v_d - v_o}{10000} = 0$$

$$\frac{v_o + v_d}{10000} + \frac{v_o - 100000v_d}{100} = 0$$

$\frac{v_d}{10^{12}}$  کو نظر انداز کرتے ہوئے حاصل ہوتا ہے۔

$$v_d = \frac{1 + 0.1v_o}{1.1}$$

$$v_o = \frac{10\,000\,001}{101}v_d$$

اور یوں

$$v_o = -10.001\,11\text{ V}$$

حاصل ہوتا ہے۔

• شکل 1.6 ب پر کر خوف کے قانون برائے برقی رو کے استعمال کرتے ہوئے حل کرتے ہیں۔

$$\frac{v_1 - v_s}{R_1} + \frac{v_1 - A_d v_d}{R_2} = 0$$

$$\frac{-v_d - v_s}{R_1} + \frac{-v_d - A_d v_d}{R_2} = 0$$

$$v_d = \frac{-v_s}{1 + \frac{R_1}{R_2}(1 + A_d)}$$

اور یوں  $v_o = A_d v_d$  لکھتے ہوئے

$$(1.12) \quad v_o = \frac{-A_d v_s}{1 + \frac{R_1}{R_2}(1 + A_d)}$$

یعنی

$$v_o = \frac{-100\,000v_s}{1 + \frac{1000}{10\,000}(1 + 100\,000)} = -9.9989\text{ V}$$

حاصل ہوتا ہے جہاں  $v_s = 1\text{ V}$  پُر کیا گیا ہے۔

• پہلے جواب کی نسبت سے دیکھتے ہوئے دونوں جوابات میں صرف

$$\left| \frac{-10.00111 + 9.9989}{10.00111} \right| \times 100 = 0.0221\%$$

کا فرق ہے جو کہ قابل نظر انداز ہے۔ یوں اس مثال میں غیر کامل اور کامل مساوی ادوار استعمال کرتے ہوئے یکساں جوابات حاصل ہوتے ہیں۔

مساوات 1.12 میں  $A_d \gg 1$  اور  $\frac{R_1}{R_2} (1 + A_d) \gg 1$  ہے۔ یوں اس مساوات کو با آسانی اس طرح بھی حل کیا جاسکتا ہے

$$v_o = \frac{-A_d v_s}{1 + \frac{R_1}{R_2} (1 + A_d)} \approx \frac{-A_d v_s}{\frac{R_1}{R_2} (1 + A_d)} \approx \frac{-A_d v_s}{\frac{R_1}{R_2} (A_d)} = -\frac{R_2}{R_1} v_s$$

یہی جواب  $A_d \gg 1$  اور  $\frac{R_1}{R_2} (1 + A_d) \gg 1$  کے حقائق (یا شرائط) کی بجائے  $A_d \rightarrow \infty$  تصور کرتے ہوئے بھی حاصل کیا جاسکتا تھا۔

اس مثال میں حسابی ایپلیفائر کے ساتھ بیرونی جوڑے گئے مزاحمت  $R_1$  اور  $R_2$  کی قیمتیں حسابی ایپلیفائر کے اندرونی مزاحمت  $R_i$  سے بہت کم اور اندرونی مزاحمت  $R_o$  سے بہت زیادہ تھیں۔ مزید یہ کہ  $A_d$  کی قیمت کو لامحدود تصور کرتے ہوئے زیادہ آسانی سے جواب حاصل ہوتا ہے۔

جب بھی حسابی ایپلیفائر کے ساتھ بیرونی جڑے مزاحمت کی قیمت  $R_i$  سے بہت کم اور  $R_o$  سے بہت زیادہ ہو، ایسی صورت میں غیر کامل اور کامل مساوی ادوار دونوں کے استعمال سے یکساں جوابات حاصل ہوتے ہیں۔ چونکہ کامل دور استعمال کرتے ہوئے جواب زیادہ آسانی سے حاصل ہوتا ہے لہذا ایسی صورت میں کامل مساوی دور (ریاضی نمونہ) ہی استعمال کیا جاتا ہے۔ مزید یہ کہ  $A_d \rightarrow \infty$  تصور کرنے سے مسئلہ حل کرنا نہایت آسان ہو جاتا ہے۔ ان تین حقائق کو یہاں بیان کرتے ہیں۔

$$(1.13) \quad \begin{aligned} R_{\text{بیرونی}} &\ll R_i \\ R_{\text{بیرونی}} &\gg R_o \\ A_d &\rightarrow \infty \end{aligned}$$

حسابی ایپلیفائر کے استعمال میں بیرونی مزاحمتوں کی قیمتیں تعین کرتے وقت اس بات کو یقینی بنایا جاتا ہے کہ یہ مساوات 1.13 پر پورا اتریں۔ آئیں اب ایسے ادوار دیکھیں جو مساوات 1.13 پر پورا اترتے ہوں۔

مثال 1.3: شکل 1.7 میں حسابی ایمپلیفائر کا کامل مساوی دور (ریاضی نمونہ) استعمال کرتے ہوئے داخلی مزاحمت کی مساوات حاصل کریں۔

حل: شکل 1.6 ب میں کامل دور استعمال کرتے ہوئے اسی کو دوبارہ دکھایا گیا ہے۔ منفی داخلی سرے پر کرخوف کے قانون برائے برقی رو استعمال کرتے ہوئے اس میں  $v_o = A_d v_d$  یعنی  $v_o = -A_d v_1$  ڈالتے ہیں۔

$$\begin{aligned}\frac{v_1 - v_s}{R_1} + \frac{v_1 - v_o}{R_2} &= 0 \\ \frac{v_1 - v_s}{R_1} + \frac{v_1 + A_d v_1}{R_2} &= 0 \\ v_1 &= \left( \frac{1}{R_1} + \frac{1 + A_d}{R_2} \right) = \frac{v_s}{R_1} \\ v_1 &= \frac{v_s}{R_1} \left( \frac{1}{\frac{1}{R_1} + \frac{1 + A_d}{R_2}} \right)\end{aligned}$$

اس نتیجے کو استعمال کرتے ہوئے  $v_s$  سے  $v_1$  کی جانب برقی رو  $i_s$  یوں حاصل ہوگی۔

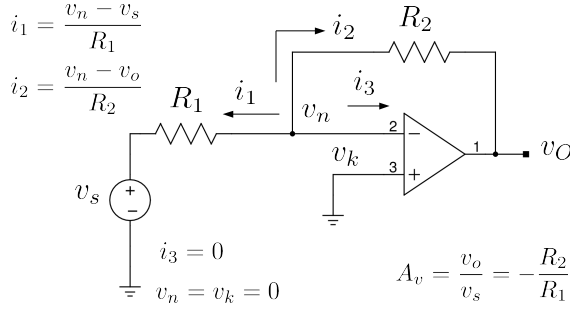
$$i_s = \frac{v_s - v_1}{R_1} = \frac{v_s}{R_1} - \frac{v_s}{R_1^2} \left( \frac{1}{\frac{1}{R_1} + \frac{1 + A_d}{R_2}} \right)$$

جس سے داخلی مزاحمت کی مساوات یوں حاصل ہوتی ہے۔

$$(1.14) \quad R_{\text{داخلی}} = \frac{v_s}{i_s} = R_1 + \frac{R_2}{1 + A_d}$$

## 1.5 حسابی ایمپلیفائر کے ادوار

حسابی ایمپلیفائر کو استعمال کرتے خارجی اشارہ کا کچھ حصہ لے کر اسے دوبارہ داخلی اشارہ کے طور استعمال کیا جاتا ہے۔ ایسے ادوار کو واپس ادوار کہتے ہیں اور ایسے واپس کردہ اشارے کو واپس اشارہ<sup>26</sup> کہتے ہیں۔ اس بات کی وضاحت جلد ہوگی۔



شکل 1.7: منفی ایمپلیفائر

## 1.5.1 منفی ایمپلیفائر

شکل 1.7 میں دکھائے دور کو مثال بناتے ہوئے ہم حسابی ایمپلیفائر پر مبنی ادوار حل کرنا سیکھتے ہیں۔ شکل میں حسابی ایمپلیفائر کے داخلی سروں پر برقی دباؤ کو  $v_k$  اور  $v_n$  جبکہ خارجی سرے پر برقی دباؤ کو  $v_o$  کہا گیا ہے۔ اس کتاب میں یہی علامتیں استعمال کی جائیں گی۔ اس دور کو منفی ایمپلیفائر<sup>27</sup> کہتے ہیں۔

ایسے ادوار حل کرنے کی خاطر ہم حسابی ایمپلیفائر کے داخلی سروں پر کرفوف کے قوانین<sup>28</sup> کا سہارا لیتے ہیں۔ جو<sup>29</sup>  $v_n$  سے تین شاخیں نکلتی ہیں۔ شکل میں ان شاخوں میں برقی رو کو  $i_1$ ،  $i_2$  اور  $i_3$  کہا گیا ہے۔ کرفوف کا قانون برائے برقی رو<sup>30</sup> کہتا ہے کہ کسی بھی جوڑ پر اندر کی جانب کل برقی رو اس جوڑ پر باہر کی جانب کل برقی رو کے برابر ہوگی۔ چونکہ ہم نے جوڑ پر تمام برقی رو کو باہر کی جانب نکلتے تصور کیا ہے لہذا اس صورت میں ان کا مجموعہ صفر ہو گا یعنی

$$(1.15) \quad i_1 + i_2 + i_3 = 0$$

مساوات 1.11 کے تحت حسابی ایمپلیفائر کے داخلی سرے پر برقی رو کی قیمت صفر ہوتی ہے۔ اس مثال میں اس برقی رو کو  $i_3$  کہا گیا ہے لہذا

$$(1.16) \quad i_3 = 0$$

<sup>27</sup> inverting amplifier<sup>28</sup> Kirchoff's laws<sup>29</sup> node<sup>30</sup> Kirchoff's current law

ہے۔ اُوہم کا قانون استعمال کرتے ہم  $i_1$  اور  $i_2$  حاصل کرتے ہیں۔

$$\begin{aligned} i_1 &= \frac{v_n - v_s}{R_1} \\ i_2 &= \frac{v_n - v_o}{R_2} \end{aligned} \quad (1.17)$$

مساوات 1.16 اور 1.17 کو مساوات 1.15 میں استعمال کرتے حاصل ہوتا ہے

$$\frac{v_n - v_s}{R_1} + \frac{v_n - v_o}{R_2} + 0 = 0 \quad (1.18)$$

جوڑ  $v_n$  پر کرخوف کا قانون برقی روا استعمال کرتے ہم نے مساوات 1.18 حاصل کی۔ اگر جوڑ  $v_k$  پر بھی برقی ارکان مثلاً مزاحمتیں یا برقی اشارات جڑے ہوتے، تب اس جوڑ کو بھی بالکل جوڑ  $v_n$  کی طرح حل کرتے۔ موجودہ مثال میں ایسا نہیں۔ جوڑ  $v_k$  برقی زمین<sup>31</sup> کے ساتھ جڑا ہے اور یوں ہم اس جوڑ کے لئے لکھ سکتے ہیں

$$v_k = 0 \quad (1.19)$$

حسابی ایپلیفائر کے دونوں داخلی برقی سروں والے جوڑوں کے لئے یوں مساواتیں حاصل کرنے کے بعد ہم مساوات 1.11 کی پہلی شق استعمال کرتے ہیں۔ مساوات 1.19 سے  $v_k$  کی قیمت کو مساوات 1.18 میں  $v_n$  میں استعمال کرتے حل کرتے ہیں۔

$$\begin{aligned} \frac{0 - v_s}{R_1} + \frac{0 - v_o}{R_2} &= 0 \\ -\frac{v_s}{R_1} - \frac{v_o}{R_2} &= 0 \\ v_o &= -\frac{R_2}{R_1} v_s \end{aligned} \quad (1.20)$$

اس مساوات کو عموماً یوں لکھا جاتا ہے۔

$$A_v = \frac{v_o}{v_s} = -\frac{R_2}{R_1} \quad (1.21)$$

یہ مساوات شکل 1.7 میں دیے منفی ایپلیفائر کے خارجی اشارہ  $v_o$  اور مہیا کردہ داخلی اشارہ  $v_s$  کا تعلق بیان کرتا ہے۔ اس مساوات میں  $v_o$  اور  $v_s$  کے کسر کو منفی ایپلیفائر کے برقی دباؤ کو<sup>32</sup> افزائش<sup>32</sup>  $A_v$  کہا گیا ہے۔ اس

ground<sup>31</sup>  
voltage gain<sup>32</sup>

اصطلاح کو عموماً چھوٹا کر کے منفی افزائش یا صرف افزائش<sup>33</sup> کہا جاتا ہے۔ اس مساوات میں منفی کی علامت اس حقیقت کو بیان کرتا ہے کہ خارجی اور داخلی اشارے آپس میں 180° کے زاویہ پر ہیں۔

مثال 1.4: شکل 1.7 میں دکھائے منفی ایمپلیفائر میں  $R_1 = 1\text{ k}\Omega$  اور  $R_2 = 10\text{ k}\Omega$  تصور کریں۔ اس منفی ایمپلیفائر کو باری باری مندرجہ ذیل برقی اشارات بطور  $v_s$  مہیا کیا جاتا ہے۔ ان تمام کے لئے حسابی دور کا خارجی اشارہ  $v_o$  حاصل کریں۔ حل کرتے وقت  $V_{CC} = 15\text{ V}$  اور  $V_{EE} = -15\text{ V}$  تصور کریں۔

$$1. \quad v_s = 0.2\text{ V}$$

$$2. \quad v_s = 0.31\text{ V}$$

$$3. \quad v_s = -0.52\text{ V}$$

$$4. \quad v_s = 0.1 \sin(t)$$

$$5. \quad v_s = 2 \sin(t)$$

حل: جب تک خارجی اشارہ  $v_o$  مساوات 1.3 میں دیے حدود کے اندر رہتا ہے، اس وقت تک مساوات 1.21 منفی ایمپلیفائر کی خارجی اشارہ  $v_o$  حاصل کرنے کے لئے استعمال ہو گا یعنی

$$v_o = -\left(\frac{R_2}{R_1}\right) v_s = -\left(\frac{10000}{1000}\right) v_s = -10v_s$$

$$1. \quad v_o = -10 \times 0.2 = -2\text{ V}$$

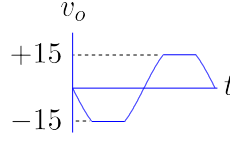
$$2. \quad v_o = -10 \times 0.31 = -3.1\text{ V}$$

$$3. \quad v_o = -10 \times (-0.52) = 5.2\text{ V}$$

$$4. \quad v_o = -10 \times 0.1 \sin(t) = -\sin(t)$$

$$5. \quad v_o = -10 \times 2 \sin(t) = \underbrace{-20 \sin(t)}_{\text{غیر خطی خطہ}}$$



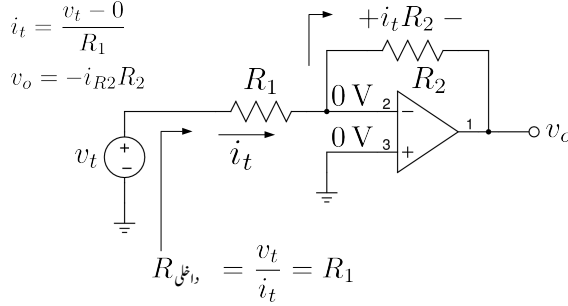


شکل 1.8: حسابی ایمپلیفائر کے لہریز ہونے سے خارجی اشارہ تراشا جاتا ہے

اس مثال کی پہلی چار صورتوں میں مساوات 1.21 سے صحیح جواب حاصل ہوتا ہے۔ آخری صورت میں چونکہ حاصل  $v_o$  کی قیمت حسابی ایمپلیفائر کے خطی حدود سے تجاوز کرتی ہے لہذا اس جواب کو رد کیا جاتا ہے۔ اس جواب کے نیچے غیر خطی خطہ لکھ کر اسی بات کی وضاحت کی گئی ہے۔ اس صورت میں  $t$  کی قیمت تبدیل کرتے  $v_o$  کی قیمت  $v_o = -20 \sin(t)$  سے ہی حاصل کی جاتی ہے۔ جب تک حاصل جواب مساوات 1.3 میں دیے حدود کے اندر رہے اسے صحیح تصور کیا جاتا ہے۔ جہاں  $v_o$  کی قیمت  $V_{CC}$  سے بلند ہونے کی کوشش کرے وہاں  $v_o = V_{CC}$  لیا جاتا ہے۔ اسی طرح جہاں  $v_o$  کی قیمت  $V_{EE}$  سے تجاوز کرے وہاں  $v_o = V_{EE}$  لیا جاتا ہے۔ اس بات کی وضاحت شکل 1.8 میں کی گئی ہے۔ اس شکل کی مدد سے آپ دیکھ سکتے ہیں کہ حسابی ایمپلیفائر  $V_{CC}$  تا  $V_{EE}$  کے حدود میں خطی رد عمل رکھتا ہے جبکہ ان حدود کے باہر یہ غیر خطی رد عمل رکھتا ہے جس سے خارجی اشارہ تراشا جاتا ہے۔

اس مثال میں آپ نے دیکھا کہ  $v_s$  کے مثبت ہونے کی صورت میں  $v_o$  کی قیمت منفی ہوتی ہے جبکہ  $v_s$  کے منفی ہونے کی صورت میں  $v_o$  کی قیمت مثبت ہوتی ہے یعنی منفی ایمپلیفائر مہیا کردہ داخلی اشارے  $v_s$  کی قیمت کو الٹ کرتا ہے۔ اسی لئے اسے منفی ایمپلیفائر<sup>34</sup> کہا جاتا ہے۔

اسی مثال میں آپ نے دیکھا کہ  $v_o$  کی قیمت  $v_s$  کے منفی دس  $-10$  گنا ہے یعنی یہ دور مہیا کردہ اشارہ کے جیٹھ کو بڑھا کر خارج کرتا ہے۔ اس مثال میں منفی ایمپلیفائر کی برقی دباؤ کی افزائش کی قیمت  $-10$  ہے۔ منفی ایمپلیفائر کی افزائش مساوات 1.21 سے حاصل ہوتی ہے۔



شکل 1.9: منفی حسابی ایملیفائر کی داخلی مزاحمت

مثال 1.5: مثال 1.4 کے پہلے اجزاء میں ایملیفائر خطی خطے میں رہتا ہے جبکہ آخری جزو میں یہ غیر خطی خطے میں داخل ہوتا ہے۔ انہیں پر مزید غور کرتے ہیں۔  $v_s = 0.52 \text{ V}$  اور  $v_s = 2 \text{ V}$  کی صورت میں  $v_n$  حاصل کریں۔

حل: پہلی صورت میں  $v_o = -5.2 \text{ V}$  اور دوسری صورت میں  $v_o = -15 \text{ V}$  ہوں گے۔ جوڑ  $v_n$  پر کرونوف کے قانون برائے برقی رو سے

$$\frac{v_n - v_s}{R_1} + \frac{v_n - v_o}{R_2} = 0$$

$$v_n = \frac{v_s R_2 + v_o R_1}{R_1 + R_2}$$

حاصل ہوتا ہے لہذا پہلی صورت میں  $v_n = 0 \text{ V}$  جبکہ دوسری صورت میں  $v_n = 0.45 \text{ V}$  ہوں گے۔ دونوں صورتوں میں مثبت داخلی سرا برقی زمین کے ساتھ جڑا ہے لہذا  $v_k = 0 \text{ V}$  رہتا ہے۔

آپ دیکھ سکتے ہیں کہ جب تک ایملیفائر خطی خطے میں رہے  $v_n = v_k$  رہتا ہے جبکہ غیر خطی خطے میں داخل ہوتے ہی  $v_n \neq v_k$  ہو جاتا ہے۔

(1.22)  $v_d = 0$  خطی خطے

(1.23)  $v_d \neq 0$  غیر خطی خطے

منفی حسابی ایپلیفائر کا داخلی مزاحمت  $R_{داخلی}$  حاصل کرنے کی خاطر شکل 1.9 سے رجوع کریں۔ داخلی مزاحمت حاصل کرنے کی خاطر دور پر  $v_t$  لاگو کرتے ہوئے  $i_t$  ناپا جاتا ہے۔ ان دو مقداروں کی شرح کو داخلی مزاحمت کہا جاتا ہے یعنی

$$R_{داخلی} = \frac{v_t}{i_t}$$

چونکہ جوڑ  $v_k$  برقی زمین کے ساتھ جڑا ہے لہذا  $v_k = 0$  ہو گا اور یوں  $v_n$  بھی صفر وولٹ پر ہو گا۔ اس طرح  $R_1$  کا دایاں سرا صفر وولٹ پر ہے جبکہ اس کے بائیں سرے پر  $v_t$  لاگو کیا گیا ہے لہذا  $i_t = \frac{v_t}{R_1}$  ہو گا۔ اس قیمت کو مندرجہ بالا مساوات میں استعمال کرتے ہوئے

$$(1.24) \quad R_{داخلی} = R_1$$

حاصل ہوتا ہے۔ جیسا شکل میں دکھایا گیا ہے، مزاحمت  $R_1$  سے گزرتی برقی رو  $i_t$  جوڑ  $v_n$  پر صرف  $R_2$  کے جانب جاسکتی ہے۔ یوں  $R_2$  میں بھی  $i_t$  برقی رو پائی جائے گی جس سے اس مزاحمت کے دو سروں کے درمیان  $i_t R_2$  برقی دباؤ پیدا ہو گا۔ چونکہ  $R_2$  کا بائیں سرا صفر وولٹ پر ہے لہذا اس کا دایاں سرا یعنی جوڑ  $v_0$  پر  $-i_t R_2$  برقی دباؤ پایا جائے گا۔ اس طرح

$$v_0 = -i_t R_2 = -\frac{v_t}{R_1} R_2$$

ہو گا جس سے منفی حسابی ایپلیفائر کی جانی پہچانی مساوات

$$(1.25) \quad A_v = \frac{v_0}{v_t} = -\frac{R_2}{R_1}$$

حاصل ہوتی ہے۔

منفی حسابی ایپلیفائر کی افزائش برقرار رکھتے ہوئے اس کے داخلی مزاحمت کو بڑھانے کی خاطر  $R_1$  کی قیمت بڑھانی ہو گی۔ چونکہ  $A_v = -\frac{R_2}{R_1}$  ہے لہذا  $R_1$  بڑھاتے وقت  $R_2$  کی قیمت بھی بڑھانی ہو گی۔ کبھی کبھار  $R_2$  کی قیمت اتنی بڑھ جاتی ہے کہ اس سے دیگر مسائل پیدا ہوتے ہیں۔ آئیں دیکھیں کہ ایسی صورت حال سے کیسے بچنا جاسکتا ہے۔

مثال 1.6: شکل 1.10 میں دکھائے دور کی انفرانش حاصل کریں۔

حل:  $v_k = 0$  کی وجہ سے  $v_n = 0$  ہے لہذا  $i_1 = \frac{v_s}{R_1}$  ہو گا۔  $i_1$  جوڑ  $v_n$  پر  $R_2$  کے جانب مڑ جائے گی۔ یوں  $i_2 = i_1$  ہو گا جس سے  $v_1 = -i_1 R_2$  یعنی

$$v_1 = -\frac{R_2}{R_1} v_s$$

اور

$$i_3 = \frac{0 - v_1}{R_3} = \frac{R_2}{R_1 R_3} v_s$$

ہوں گے۔  $i_4 = i_2 + i_3$  یعنی

$$i_4 = \frac{v_s}{R_1} + \frac{R_2}{R_1 R_3} v_s = \left(1 + \frac{R_2}{R_3}\right) \frac{v_s}{R_1}$$

ہو گا جو مزاحمت  $R_4$  میں سے گزرتے ہوئے اس پر  $i_4 R_4$  برقی دباؤ پیدا کرے گا۔ یوں

$$v_1 - v_o = i_4 R_4 = \left(1 + \frac{R_2}{R_3}\right) \frac{R_4 v_s}{R_1}$$

$v_1$  کی قیمت کے استعمال سے

$$-\frac{R_2}{R_1} v_s - v_o = \left(1 + \frac{R_2}{R_3}\right) \frac{R_4 v_s}{R_1}$$

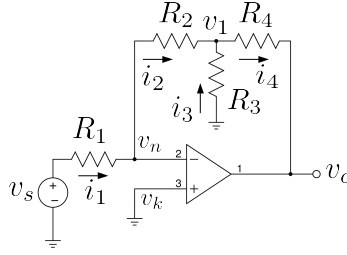
یعنی

$$(1.26) \quad A_v = \frac{v_o}{v_s} = -\frac{R_2}{R_1} \left[1 + \left(\frac{1}{R_2} + \frac{1}{R_3}\right) R_4\right]$$

حاصل ہوتا ہے۔

اس ایپلیٹائر کے داخلی مزاحمت کی قیمت  $R_1$  ہے۔

اس مثال کے نتائج مد نظر رکھتے ہوئے ہم دیکھتے ہیں کہ داخلی مزاحمت بڑھانے کی خاطر اگر  $R_1$  کی قیمت بڑھائی جائے تو انفرانش برقرار رکھنے کی خاطر یہ ضروری نہیں کہ  $R_2$  کی قیمت بھی بڑھائی جائے۔ ہم  $R_3$  اور



شکل 1.10: منفی حسابی ایپلیٹائر کا داخلی مزاحمت بڑھایا گیا ہے

$R_4$  کے قیمتیں ایسی رکھ سکتے ہیں کہ درکار افزائش حاصل کی جائے۔ یہ بات خصوصی طور پر غور طلب ہے کہ  $R_3$  کے قیمت کو کم کرتے ہوئے افزائش بڑھائی جاسکتی ہے لہذا  $R_1$  کی قیمت زیادہ سے زیادہ رکھتے ہوئے داخلی مزاحمت بڑھائی جاسکتی ہے۔

مثال 1.7: شکل 1.10 میں داخلی مزاحمت  $300\text{ k}\Omega$  جبکہ  $A_v = -100 \frac{\text{V}}{\text{V}}$  درکار ہے۔ تمام مزاحمت حاصل کریں۔

حل: داخلی مزاحمت کی شرط کی وجہ سے  $R_1 = 300\text{ k}\Omega$  رکھی جاتی ہے۔ ایسی صورت میں  $R_2$  اور  $R_4$  کو بھی  $300\text{ k}\Omega$  ہی رکھتے ہوئے  $R_3$  کی قیمت مساوات 1.26 سے  $3061\text{ }\Omega$  حاصل ہوتی ہے۔

مزاحمت کو اس کے قیمت سے پکارا جاتا ہے۔ یوں  $1\text{ k}\Omega$  قیمت کے مزاحمت کو  $1\text{ k}\Omega$  کا مزاحمت پکارا جائے گا۔  $\pm 5\%$  مزاحمت سے مراد ایسا مزاحمت ہے جس کی قیمت پکارے قیمت سے پانچ فی صد زیادہ یا کم ممکن ہے۔ یوں  $1\text{ k}\Omega \pm 5\%$  مزاحمت کی قیمت  $0.95\text{ k}\Omega$  تا  $1.05\text{ k}\Omega$  ممکن ہے۔  $1\text{ k}\Omega$  کو مزاحمت کی پکارے گئے قیمت<sup>35</sup> جبکہ  $\pm 5\%$  کو قیمت میں غلطی<sup>36</sup> کہا جاتا ہے۔

nominal value<sup>35</sup>  
tolerance<sup>36</sup>

مزاحمت  $R$  کی قیمت 5% بڑھنے سے  $\frac{5}{100}R$  بڑھ کر  $(1 + 0.05)R$  ہو جائے گی۔ اسی طرح  $R$  کی قیمت 5% کم ہونے سے  $(1 - 0.05)R$  ہو جائے گی۔ ان دو قیمتوں کو ہم  $(1 + \epsilon)R$  اور  $(1 - \epsilon)R$  لکھ سکتے ہیں جہاں  $\epsilon = 0.05$  کے برابر ہے۔

مثال 1.8: منفی حسابی ایمپلیفائر میں  $R_2 = 47\text{ k}\Omega$  جبکہ  $R_1 = 1\text{ k}\Omega$  رکھا گیا۔ دونوں مزاحمتوں کے قیمت میں  $\pm 5\%$  غلطی کی گنجائش ہے۔ اس ایمپلیفائر کے ممکنہ افزائش کے حدود حاصل کریں۔

حل: منفی حسابی ایمپلیفائر کی افزائش  $A = -\frac{R_2}{R_1}$  کے برابر ہے۔ اس کا حتمی قیمت اس وقت کم سے کم ہو گا جب  $R_2$  کی حقیقی قیمت 5% کم یعنی  $(1 - \epsilon)R_2$  جبکہ  $R_1$  کی حقیقی قیمت 5% زیادہ یعنی  $(1 + \epsilon)R_1$  ہو جہاں  $\epsilon = 0.05$  کے برابر ہے۔ اسی طرح افزائش کی زیادہ سے زیادہ قیمت اس وقت حاصل ہو گی جب  $R_2$  کی حقیقی قیمت 5% زیادہ جبکہ  $R_1$  کی حقیقی قیمت 5% کم ہو۔ یوں

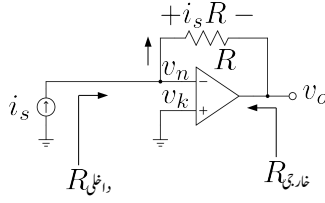
$$A_{\text{کمتر}} = -\frac{1 - \epsilon}{1 + \epsilon} \left( \frac{R_2}{R_1} \right) = -\frac{0.95}{1.05} \left( \frac{47000}{1000} \right) = -42.524$$

$$A_{\text{بلندتر}} = -\frac{1 + \epsilon}{1 - \epsilon} \left( \frac{R_2}{R_1} \right) = -\frac{1.05}{0.95} \left( \frac{47000}{1000} \right) = -51.947$$

اس مثال میں آپ نے دیکھا کہ مزاحمتوں کے قیمت میں غلطی کے گنجائش کی وجہ سے افزائش کی قیمت درکار قیمت سے انحراف کر سکتی ہے۔ موجودہ مثال میں ایمپلیفائر کے افزائش کی پکاری گئی قیمت  $-47\text{ V}$  ہے جبکہ حقیقت میں یہ  $-42.524\text{ V}$  تا  $-51.947\text{ V}$  کے درمیان کہیں پر بھی ہو سکتی ہے۔ یوں حقیقی افزائش، پکاری گئی قیمت سے

$$\left| \frac{51.947 - 47}{47} \times 100 \right| \approx 10\%$$

زیادہ یا کم ممکن ہے۔



شکل 1.11: حسابی مزاحمت نما ایمپلیفائر

مثال 1.9: شکل 1.11 میں دکھائے دور کا داخلی مزاحمت، خارجی مزاحمت اور مزاحمت نما افزائش<sup>37</sup> حاصل کریں۔ اس دور کو استعمال کرتے ہوئے برقی رو اشارے  $i_s$  سے برقی دباؤ کا اشارہ  $v_o$  حاصل کیا جاتا ہے۔

حل: جوڑ  $v_k$  برقی زمین کے ساتھ جڑا ہے لہذا  $v_k = 0$  اور یوں  $v_n = 0$  ہو گا۔ داخلی جانب برقی رو  $i_s$  جبکہ برقی دباؤ  $v_n$  ہے لہذا

$$R_{\text{داخلی}} = \frac{v_n}{i_s} = \frac{0}{i_s} = 0 \Omega$$

حاصل ہوتا ہے۔

خارجی مزاحمت حاصل کرنے کی خاطر کامل حسابی ایمپلیفائر کا دور جسے شکل 1.5 میں دکھایا گیا ہے کو زیر استعمال لاتے ہیں۔  $v_d = 0$  ہونے کی صورت میں اس کے خارجی جانب صفر اؤہم حاصل ہوتا ہے لہذا

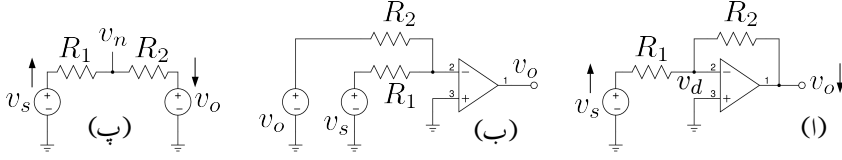
$$R_{\text{خارجی}} = 0 \Omega$$

حاصل ہوتا ہے۔

آئیں اب مزاحمت نما افزائش  $R_m$  حاصل کریں۔ جیسے شکل میں دکھایا گیا ہے، جوڑ  $v_n$  پر آمد برقی رو  $i_s$  صرف مزاحمت  $R$  کی جانب جاسکتی ہے۔ یوں اس مزاحمت پر  $i_s R$  برقی دباؤ پیدا ہو گا۔ مزاحمت کا بایاں سرا برقی زمین پر ہے لہذا

$$v_o = -i_s R$$

$$R_m = \frac{v_o}{i_s} = -R$$



شکل 1.12: واپسی حسابی منفی ایمپلیفائر

ہو گا۔

حسابی منفی ایمپلیفائر کو شکل 1.12 الف میں دوبارہ دکھایا گیا ہے جبکہ شکل الف میں اسی کو قدر مختلف طرز پر بنایا گیا ہے۔ شکل الف میں یہ بات کھل کر سامنے آتی ہے کہ خارجی اشارہ  $v_o$  کو بھی بطور داخلی اشارہ استعمال کیا جا رہا ہے۔

ایسے ادوار جن میں خارجی اشارہ کو بطور داخلی اشارہ استعمال کیا گیا ہو کو واپسی ادوار<sup>38</sup> کہتے ہیں اور جن خارجی اشارات کو یوں بطور داخلی اشارات استعمال کیا گیا ہو انہیں واپسی اشارات<sup>39</sup> کہتے ہیں۔ یوں منفی ایمپلیفائر واپسی ادوار کی ایک مثال ہے۔

حسابی ایمپلیفائر کے تفرقی افزائش برقی دباؤ  $A_d$  کی قیمت لامحدود ہونے کے وجہ سے نہایت کم داخلی اشارے پر بھی اس کو غیر خطی خطے میں داخل ہونا چاہیے۔ حقیقت میں ایمپلیفائر استعمال ہی خطی خطے میں ہوتا ہے اور واپسی اشارے کی شمولیت اس کو ممکن بناتی ہے۔

حسابی منفی ایمپلیفائر پر دوبارہ غور کریں۔ داخلی اشارہ  $v_s$  کو منفی داخلی سرے پر مہیا کیا گیا ہے۔ جیسا شکل میں تیر کے نشانوں سے دکھایا گیا ہے کہ اگر داخلی اشارہ  $v_s$  کو مثبت جانب ( $\uparrow$ ) لے جایا جائے تو خارجی اشارہ  $v_o$  منفی جانب ( $\downarrow$ ) حرکت کرتا ہے۔ اسی طرح اگر داخلی اشارہ  $v_s$  کو منفی جانب ( $\downarrow$ ) لے جایا جائے تو خارجی اشارہ  $v_o$  مثبت جانب حرکت کرتا ہے۔ منفی داخلی سرے پر کرخوف کے قانون برائے برقی رو سے

$$(1.27) \quad \frac{v_n - v_s}{R_1} + \frac{v_n - v_o}{R_2} = 0$$

$$(1.28) \quad v_o = \frac{R_2}{R_1} v_s$$

feedback circuits<sup>38</sup>  
feedback signals<sup>39</sup>



حاصل ہوتا ہے جہاں دوسرے قدم پر  $v_k = 0$  کی وجہ سے  $v_n = 0$  کا استعمال کیا گیا۔ اسی حقیقت کو یوں بھی دیکھا جاسکتا ہے کہ حسابی ایپلیفائر  $v_o$  کو یوں رکھتا ہے کہ  $v_d = 0$  یعنی  $v_k = v_n$  حاصل ہو۔ چونکہ منفی حسابی ایپلیفائر میں  $v_k = 0$  ہے لہذا حسابی ایپلیفائر  $v_o$  کو یوں رکھے گا کہ  $v_n = 0$  حاصل ہو۔ شکل 1.12 پ میں  $v_n$  کی مساوات حاصل کرتے ہوئے اس مساوات پر  $v_n = 0$  کی شرط لاگو کریں۔ ایسا کرنے سے مساوات 1.27 ہی حاصل ہوتے ہیں۔

مثال 1.10: حسابی منفی ایپلیفائر میں  $R_2 = 5\text{ k}\Omega$ ,  $R_1 = 1\text{ k}\Omega$  لیتے ہوئے  $v_s = v_s = 1\text{ V}$  اور  $v_s = 2\text{ V}$  پر  $v_o$  حاصل کریں۔ تینوں جوابات کو استعمال کرتے ہوئے شکل 1.12 پ میں  $v_n$  کی قیمت حاصل کریں۔

حل: ان داخلی اشارات پر

$$v_o = - \left( \frac{5000}{1000} \right) \times 1 = -5\text{ V}$$

$$v_o = - \left( \frac{5000}{1000} \right) \times 1.5 = -7.5\text{ V}$$

$$v_o = - \left( \frac{5000}{1000} \right) \times 2 = -10\text{ V}$$

حاصل ہوتے ہیں۔ آئیں ہر داخلی-خارجی برقی دباؤ کے جوڑے کو استعمال کرتے ہوئے شکل 1.12 پ میں  $v_n$  حاصل کریں۔ کرخوف کے قانون برائے برقی رو سے

$$\frac{v_n - v_s}{R_1} + \frac{v_n - v_o}{R_2} = 0$$

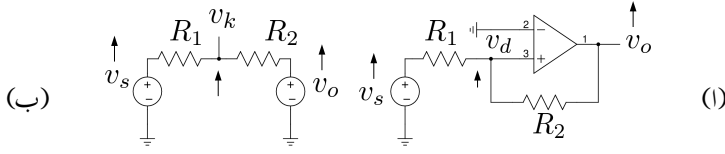
$$v_n = \frac{R_2 v_s + R_1 v_o}{R_1 + R_2}$$

حاصل ہوتا ہے اور یوں

$$v_n = \frac{5000 \times 1 + 1000 \times (-5)}{1000 + 5000} = 0\text{ V}$$

$$v_n = \frac{5000 \times 1.5 + 1000 \times (-7.5)}{1000 + 5000} = 0\text{ V}$$

$$v_n = \frac{5000 \times 2 + 1000 \times (-10)}{1000 + 5000} = 0\text{ V}$$



شکل 1.13: مثبت واپسی دور کی مثال

حاصل ہوتے ہیں۔

مندرجہ بالا مثال میں ہم نے دیکھا کہ  $v_o$  اس جانب حرکت کرتا ہے جس جانب  $v_k - v_n$  یعنی  $v_d$  کی قیمت صفر حاصل ہو۔ وہ واپسی دور جس کا خارجی اشارہ، دور کے داخلی اشارے کے الٹ کام کرے کو منفی واپسی دور<sup>40</sup> کہتے ہیں اور اس عمل کو منفی واپسی غلے یا صرف منفی واپسی کہتے ہیں۔ اس باب میں منفی واپسی ادوار حل کرنے پر غور کیا جائے گا۔ مثبت واپسی کا استعمال باب 8 میں دیکھا جائے گا۔

شکل 1.13 میں مثبت واپسی دور کی مثال دکھائی گئی ہے۔ یہاں  $v_s$  حسابی ایمپلیفائر کے مثبت داخلی سرے پر مہیا کیا گیا ہے۔ یوں  $v_s$  بڑھانے سے  $v_d$  بڑھے گا اور یوں  $v_o$  بھی مثبت جانب بڑھے گا۔ جیسے شکل الف میں دکھایا گیا ہے کہ  $v_s$  اور  $v_o$  دونوں بڑھنے سے  $v_k$  صرف بڑھ ہی سکتا ہے۔ اگر  $v_o$  کو بطور واپسی اشارہ داخلی سرے پر مہیا نہ کیا جاتا تب بھی  $v_s$  بڑھانے سے  $v_k$  اور  $v_d$  بڑھتے لیکن  $v_o$  کا بطور واپسی اشارہ استعمال کرنے کی وجہ سے  $v_k$  اور  $v_d$  مزید زیادہ بڑھتے ہیں۔ ایسے ادوار جن میں واپسی اشارہ اور داخلی اشارہ ایک ہی جانب کو حرکت کریں کو مثبت واپسی ادوار<sup>41</sup> کہتے ہیں۔ مثبت واپسی ادوار کا خارجی اشارہ عموماً مکمل مثبت یا مکمل منفی جانب غیر خطی خطے میں رہتا ہے ماسوائے ان لمحات کے جب یہ منفی سے مثبت یا مثبت سے منفی جانب حرکت کر رہا ہو۔ آئیں شکل 1.13 کو مثال بناتے ہوئے مثبت واپسی ادوار حل کرنا دیکھتے ہیں۔ تصور کریں کہ  $v_s = 0$  اور  $v_o = 0$  صفر ہیں۔ یوں شکل الف میں

$$v_k = \frac{R_2 v_s + R_1 v_o}{R_1 + R_2} = 0$$

negative feedback circuit<sup>40</sup>  
positive feedback circuit<sup>41</sup>

حاصل ہوتا ہے۔ یوں  $v_d = v_k - v_n$  بھی صفر رہے گا۔ جیسا کہ ہم اب دیکھیں گے کہ اس حال میں مثبت واپسی دور نہایت غیر مستحکم حال میں ہے۔ تصور کریں کہ کسی وجہ سے  $v_s$  کی قیمت بڑھ کر  $v_s = \Delta v$  ہو جاتی ہے۔ حسابی ایمپلیفائر کے رد عمل سے پہلے  $v_o = 0$  ہی رہے گا اور یوں

$$v_k = \frac{R_2 \times \Delta v + R_1 \times 0}{R_1 + R_2} = \left( \frac{R_2}{R_1 + R_2} \right) \Delta v$$

$$v_d = v_k - v_n = \left( \frac{R_2}{R_1 + R_2} \right) \Delta v$$

ہوں گے۔ حسابی ایمپلیفائر  $v_d$  کو  $A_d$  گنا بڑھانا چاہے گا۔ آئیں  $v_o$  کے بڑھنے کے عمل کو دیکھیں۔ تصور کریں کہ خارجی اشارہ بڑھتے بڑھتے  $v_o = \Delta v_{o1}$  ہو جاتا ہے۔ اس طرح

$$v_k = \frac{R_2 \times \Delta v + R_1 \times \Delta v_{o1}}{R_1 + R_2} = v_d$$

ہو جائے گا۔ جیسا کہ آپ دیکھ سکتے ہیں  $v_d$  کی قیمت پہلے سے بڑھ گئی ہے۔ یوں  $v_o$  مزید بڑھے گا جس سے  $v_d$  مزید بڑھے گا۔ آخر کار  $v_o$  مثبت منبع پر رکھ جائے گا یعنی  $v_o = V_{CC}$  ہو جائے گا۔ اس وقت

$$v_k = \frac{R_2 \times \Delta v + R_1 \times V_{CC}}{R_1 + R_2} \approx \left( \frac{R_1}{R_1 + R_2} \right) V_{CC} = v_d$$

ہو گا۔ آپ دیکھ سکتے ہیں کہ مثبت واپسی دور میں

$$(1.29) \quad v_k \neq v_n$$

ہوتے ہیں۔ اسی وجہ سے مثبتے ادوار کو اس باب میں استعمال ہونے والے طریقے سے حل نہیں کیا جاسکتا جہاں ہم  $v_k$  اور  $v_n$  کے مساوات حاصل کرتے ہوئے  $v_k = v_n$  تصور کر کے  $v_o$  کے لئے حل کرتے ہیں۔

مثبتے والی دور کی پہچان یہ ہے کہ اس کا خارجی اشارہ جب بھی حرکت کرے تو یہ اسی جانب حرکت کرتا ہے جس جانب دور کا داخلی اشارہ (بغیر واپس آئے) حرکت کرے۔

مثال 1.11: شکل 1.13 میں

$$R_1 = 1 \text{ k}\Omega \quad R_2 = 9 \text{ k}\Omega \quad V_{CC} = 12 \text{ V} \quad V_{EE} = -12 \text{ V}$$

لیتے ہوئے  $v_s$  کی وہ قیمت حاصل کریں جس پر خارجی اشارہ مکمل منفی سے مکمل مثبت جانب حرکت کرے گا۔ اسی طرح  $v_s$  کی وہ قیمت حاصل کریں جس پر خارجی اشارہ مکمل مثبت سے مکمل منفی جانب حرکت کرے گا۔

حل: تصور کریں کہ خارجی اشارہ مکمل منفی جانب ہے یعنی  $v_o = -12\text{ V}$  جبکہ  $v_s = 0$  ہے۔ اس وقت

$$v_k = v_d = \frac{9000 \times 0 + 1000 \times 12}{1000 + 9000} = 1.2\text{ V}$$

ہو گا۔  $v_o$  اس لمحہ منفی جانب حرکت کرے گا جب  $v_d$  کی قیمت منفی ہو جائے۔ آئیں  $v_d = 0$  پر درکار  $v_s$  کی قیمت حاصل کریں۔

$$0 = \frac{9000 \times v_s + 1000 \times 12}{1000 + 9000}$$

$$v_s = -1.333\text{ V}$$

حاصل ہوتا ہے۔ جوں ہی  $v_s$  کی قیمت  $-1.333\text{ V}$  سے کم ہو جائے، اسی لمحہ  $v_o = -12\text{ V}$  ہو جائے گا۔

اسی طرح اگر  $v_o = -12\text{ V}$  ہے تو خارجی اشارہ اس وقت مثبت جانب حرکت کرے گا جب

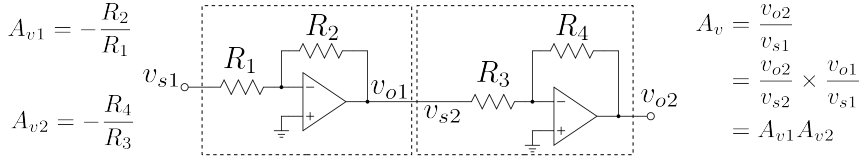
$$0 = \frac{9000 \times v_s + 1000 \times (-12)}{1000 + 9000}$$

$$v_s = 1.333\text{ V}$$

ہو۔  $v_s > 1.333\text{ V}$

شکل 1.14 میں دو منفی حسابی ایملیفائر سلسلہ وار جوڑتے ہوئے زنجیری ایملیفائر حاصل کیا گیا ہے۔ زنجیر کے پہلی کڑی کا داخلی اشارہ  $v_{s1}$  جبکہ اس کا خارجی اشارہ  $v_{o1}$  اور اس کی افزائش  $A_{v1} = -\frac{R_2}{R_1}$  ہے۔ زنجیر کے دوسری کڑی کا داخلی اشارہ  $v_{s2}$  جبکہ اس کا خارجی اشارہ  $v_{o2}$  اور اس کی افزائش  $A_{v2} = -\frac{R_4}{R_3}$  ہے۔ پہلے کڑی کے خارجی اشارے کو دوسرے کڑی کو بطور داخلی اشارہ مہیا کیا گیا ہے لہذا  $v_{s2} = v_{o1}$  ہے۔ یوں ہم لکھ سکتے ہیں۔

$$v_{o1} = A_{v1}v_{s1}$$



شکل 1.14: زنجیری حسابی ایمپلیفائر

اور

$$v_{o2} = A_{v2} v_{s2}$$

$$= A_{v2} v_{o1}$$

اس مساوات میں گزشتہ مساوات سے حاصل  $v_{o1}$  استعمال کرتے ہوئے

$$v_{o2} = A_{v2} A_{v1} v_{s1}$$

لکھا جاسکتا ہے۔ زنجیری ایمپلیفائر کا داخلی اشارہ  $v_{s1}$  جبکہ اس کا خارجی اشارہ  $v_{o2}$  ہے۔ یوں زنجیری ایمپلیفائر کی افزائش  $A_v = \frac{v_{o2}}{v_{s1}}$  کو مندرجہ بالا مساوات سے یوں حاصل کر سکتے ہیں۔

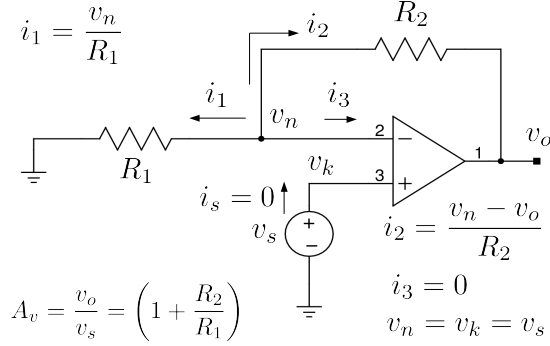
$$(1.30) \quad A_v = \frac{v_{o2}}{v_{s1}} = A_{v1} A_{v2}$$

یہ ایک اہم نتیجہ ہے جس کے مطابق ایمپلیفائر سلسلہ وار جوڑنے سے ان کی افزائش آپس میں ضرب ہوتی ہے۔ زنجیری ایمپلیفائر میں مزید کڑیاں اسی طرح سلسلہ وار جوڑی جاسکتی ہیں۔

## 1.5.2 مثبت ایمپلیفائر

شکل 1.15 میں ایک اور واپسی دور دکھایا گیا ہے جسے مثبت ایمپلیفائر<sup>42</sup> کہتے ہیں۔ آئیں اس دور کو کرفوف کے قوانین کی مدد سے حل کرتے ہیں۔ اس شکل میں جوڑ  $v_n$  سے باہر کی جانب تین برقی رو  $i_1$ ،  $i_2$  اور  $i_3$  نکلتے دکھائے گئے ہیں۔  $i_3$  چونکہ حسابی ایمپلیفائر کے داخلی سرے پر اندر کی جانب جاتی برقی رو ہے لہذا یہ مساوات 1.11 کے

<sup>42</sup>non-inverting amplifier



شکل 1.15: مثبت ایپلیٹائر

شق نمبر دو کی وجہ سے صفر کے برابر ہے۔ باقی دو برقی رو کو اوہم کے قانون کی مدد سے حاصل کیا جاتا ہے۔ یوں

$$\begin{aligned}
 i_1 &= \frac{v_n}{R_1} \\
 i_2 &= \frac{v_n - v_o}{R_2} \\
 i_3 &= 0
 \end{aligned}
 \tag{1.31}$$

جوڑ  $v_k$  چونکہ سیدھا فراہم کردہ برقی اشارہ  $v_s$  کے ساتھ جڑا ہے لہذا اس کے لئے ہم لکھ سکتے ہیں

$$v_k = v_s \tag{1.32}$$

کرخوف کے قانون برائے برقی رو کو مساوات 1.31 کے ساتھ مل کر استعمال کرتے حاصل ہوتا ہے

$$\begin{aligned}
 i_1 + i_2 + i_3 &= 0 \\
 \frac{v_n}{R_1} + \frac{v_n - v_o}{R_2} + 0 &= 0
 \end{aligned}
 \tag{1.33}$$

مساوات 1.11 کی پہلی شق کے مطابق  $v_k$  اور  $v_n$  کی قیمتیں برابر رہتی ہیں۔ یوں مساوات 1.32 میں دیے  $v_k$  کی قیمت کو مساوات 1.33 میں  $v_n$  کی جگہ استعمال کرتے ہم مساوات 1.33 کو حل کرتے ہیں۔

$$\begin{aligned} \frac{v_s}{R_1} + \frac{v_s - v_o}{R_2} &= 0 \\ \frac{v_s}{R_1} + \frac{v_s}{R_2} - \frac{v_o}{R_2} &= 0 \\ \left( \frac{v_s}{R_1} + \frac{v_s}{R_2} \right) R_2 &= v_o \\ \left( 1 + \frac{R_2}{R_1} \right) v_s &= v_o \end{aligned} \quad (1.34)$$

اس مساوات کو عموماً یوں لکھا جاتا ہے۔

$$A_v = \frac{v_o}{v_s} = \left( 1 + \frac{R_2}{R_1} \right) \quad (1.35)$$

$v_o$  اور  $v_s$  کے کسر کو مثبت ایمپلیفائر کی برقی دباؤ کی افزائش<sup>43</sup>  $A_v$  کہتے ہیں۔ اس اصطلاح کو عموماً چھوٹا کر کے اسے صرف مثبت افزائش کہتے ہیں۔

اس ایمپلیفائر کا داخلی مزاحمت حاصل کرنے کی خاطر  $v_s$  لاگو کرتے ہوئے  $i_s$  ناپتے ہیں۔ چونکہ حسابی ایمپلیفائر کا داخلی برقی رو صفر ہوتا ہے لہذا  $i_s = 0$  ہو گا۔ یوں

$$R_{داخلی} = \frac{v_s}{i_s} = \frac{v_s}{0} \rightarrow \infty \quad (1.36)$$

حاصل ہوتا ہے۔

مثال 1.12: شکل 1.15 میں دکھائے مثبت ایمپلیفائر میں  $R_1 = 2 \text{ k}\Omega$  اور  $R_2 = 15 \text{ k}\Omega$  تصور کریں۔ اس مثبت ایمپلیفائر کو باری باری مندرجہ ذیل برقی اشارات بطور  $v_s$  مہیا کیا جاتا ہے۔ ان تمام کے لئے حسابی دور کا خارجی اشارہ  $v_o$  حاصل کریں۔ حل کرتے وقت  $V_{CC} = 15 \text{ V}$  اور  $V_{EE} = -15 \text{ V}$  تصور کریں۔

$$v_s = 1.2 \text{ V} \quad 1.$$

voltage gain<sup>43</sup>

$$v_s = -0.25 \text{ V} \quad .2$$

$$v_s = 0.33 \cos(\omega t) \quad .3$$

حل: مساوات 1.35 سے اس مثبت ایمپلیفائر کی افزائش حاصل کرتے ہیں۔

$$A_v = \left(1 + \frac{15000}{2000}\right) = 8.5 \frac{\text{V}}{\text{V}}$$

یوں

$$v_o = A_v \times v_s = 8.5 \times 1.2 = 10.2 \text{ V} \quad .1$$

$$v_o = A_v \times v_s = 8.5 \times (-0.25) = 2.125 \text{ V} \quad .2$$

$$v_o = A_v \times v_s = 8.5 \times 0.33 \cos(\omega t) = 2.805 \cos(\omega t) \quad .3$$

اس مثال میں داخلی اشارہ مثبت ہونے کی صورت میں خارجی اشارہ مثبت ہے جبکہ داخلی اشارہ منفی ہونے کی صورت میں خارجی اشارہ بھی منفی ہے۔ یوں مثبت ایمپلیفائر داخلی اشارہ کو بغیر الٹائے بڑھا کر خارج کرتا ہے۔ اسی لئے اسے مثبت ایمپلیفائر<sup>44</sup> کہتے ہیں۔

### 1.5.3 مستحکم کار

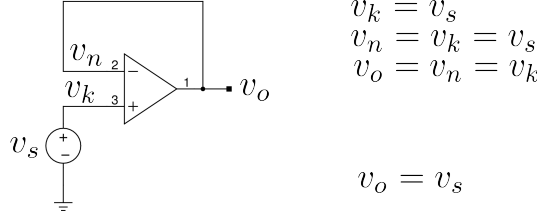
مثبت ایمپلیفائر کی افزائش یہاں دوبارہ پیش کرتے ہیں۔

$$(1.37) \quad A_v = 1 + \frac{R_2}{R_1}$$

اگر مثبت ایمپلیفائر میں  $R_1$  کی قیمت لامحدود لی جائے اور  $R_2$  کی قیمت صفر اوہم لی جائے تو اس مساوات کے مطابق اس کی افزائش

$$(1.38) \quad A_v = 1 + \frac{0}{\infty} = 1$$





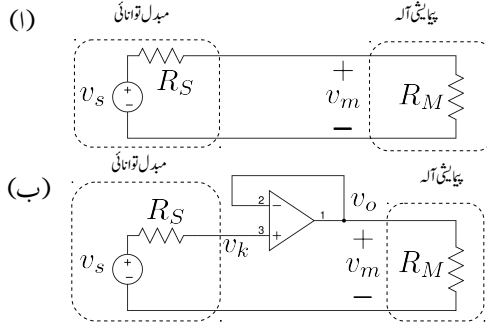
شکل 1.16: مستحکم کار

ہو گی۔ ایسا دور جسے مستحکم کار<sup>45</sup> کہتے ہیں کو شکل 1.16 میں دکھایا گیا ہے۔ اس دور کی افزائش ایک کے برابر جبکہ داخلی مزاحمت لامحدود ہے۔ اس دور کو یوں بھی سمجھا جاسکتا ہے کہ مثبت داخلی سرے پر برقی دباؤ  $v_s$  ہے۔ یوں منفی داخلی سرے پر بھی اتنا ہی برقی دباؤ ہو گا مگر یہ سرا اور خارجی سرا آپس میں جڑے ہیں۔ یوں خارجی سرے پر بھی یہی برقی دباؤ ہو گا یعنی  $v_o = v_s$  ہو گا جس سے افزائش  $\frac{v_o}{v_s} = 1$  حاصل ہوتی ہے۔ آئیں مستحکم کار کا استعمال جانیں۔

طبعی متغیرات<sup>46</sup> مثلاً کمیت، حرارت وغیرہ کی برقیاتی پیمائش سے پہلے انہیں عموماً مبدل توانائی<sup>47</sup> کے مدد سے برقی اشارات میں تبدیل کیا جاتا ہے اور ان برقی اشارات کو پیمائشی آلہ<sup>48</sup> سے ناپا جاتا ہے۔

جیسا کہ آپ جانتے ہیں کہ کسی بھی دور کا تھونض مساویہ دور<sup>49</sup> بنایا جاسکتا ہے جسے ایک عدد منبع برقی دباؤ اور ایک عدد مزاحمت کی شکل دی جاتی ہے۔ مبدل توانائی کا تھون دور شکل 1.17 الف میں بائیں جانب نقطہ دار لکیر میں گھیرا دکھایا گیا ہے جہاں  $v_s$  اس کی تھون برقی دباؤ اور  $R_S$  اس کی تھون مزاحمت ہے۔ پیمائشی آلہ داخلی سروں پر کسی قسم کا برقی اشارہ خارج نہیں کرتا بلکہ ان سروں پر یہ صرف اشارہ حاصل کرنے کی صلاحیت رکھتا ہے لہذا اس کے داخلی جانب کا تھون دور صرف ایک عدد مزاحمت  $R_M$  پر مبنی ہوتا ہے جیسے شکل الف میں دائیں جانب دکھایا گیا ہے۔ شکل الف میں مبدل توانائی کے خارجی سروں کو پیمائشی آلہ کے داخلی سروں کے ساتھ جوڑا گیا ہے تاکہ مبدل توانائی کا اشارہ  $v_s$  ناپا جاسکے۔ پیمائشی آلہ داخلی سروں پر لاگو برقی دباؤ  $v_m$  ناپتا ہے۔ شکل الف

non-inverting amplifier<sup>44</sup>buffer<sup>45</sup>variables<sup>46</sup>transducer<sup>47</sup>measuring instrument<sup>48</sup>Thevenin circuit<sup>49</sup>



شکل 1.17: مستحکم کار کی مدد سے حساس اشارہ کی پیمائش

میں پیمائشی آلہ کے داخلی سروں پر

$$v_m = \left( \frac{R_M}{R_M + R_S} \right) v_s$$

پایا جاتا ہے جسے پیمائشی آلہ پڑھے گا اگرچہ حقیقت میں اشارہ کی اصل قیمت  $v_s$  ہے۔

مثال کے طور پر اگر  $R_S = 5 \text{ M}\Omega$ ،  $R_M = 10 \text{ M}\Omega$  اور اشارہ کی قیمت  $v_s = 100 \text{ mV}$  ہو تب پیمائشی آلہ

$$v_m = \frac{10 \times 10^6 \times 100 \times 10^{-3}}{10 \times 10^6 + 5 \times 10^6} = 66.66 \text{ mV}$$

پڑھے گا۔ آپ دیکھ سکتے ہیں کہ یہ ناقابل قبول صورت حال ہے۔

مبدل توانائی تخلیق دیتے وقت کوشش کی جاتی ہے کہ اس کے تھوخن مساوی مزاحمت  $R_S$  کی قیمت کم سے کم ہو۔ اسی طرح پیمائشی آلہ تخلیق دیتے وقت کوشش کی جاتی ہے کہ اس کے داخل مزاحمت  $R_M$  کی قیمت زیادہ سے زیادہ ہو۔ یوں آپ دیکھ سکتے ہیں کہ اگر  $R_M \gg R_S$  ہو تب  $v_m \approx v_s$  ہو گا۔

آپ دیکھ سکتے ہیں کہ پیمائشی آلے کی داخلی مزاحمت مبدل توانائی پر بوجھ ڈالتی ہے جس سے مبدل کے بیرونی سروں پر میسر اشارے کی قیمت میں کمی رونما ہوتی ہے۔ یوں بوجھ کو ہلکا کرنے کی خاطر  $R_M$  کی قیمت بڑھانی ہو گی۔ اس مثال میں مبدل توانائی کو پیمائشی آلہ بطور برقی بوجھ<sup>50</sup> نظر آتا ہے۔ یہ بوجھ جتنا کم ہو اتنا بہتر ہو گا۔

load<sup>50</sup>

اس مسئلے کو مستحکم کار کی مدد سے با آسانی حل کیا جاسکتا ہے۔ شکل 1.17 ب میں مبدل توانائی اور پیمائشی آلہ کے وسط میں مستحکم کار نسب کیا گیا ہے۔ چونکہ حسابی ایمپلیفائر کا داخلی مزاحمت لامحدود ہوتا ہے اور اس کی داخلی برقی رو صفر ہوتی ہے لہذا اس دور میں مزاحمت  $R_S$  میں اُوہم کے قانون کے تحت صفر برقی دباؤ گھٹے گا اور یوں  $v_k = v_s$  اور  $v_o = v_s$  ہو گا۔ چونکہ مزاحمت  $R_M$  کو یہی برقی دباؤ فراہم کیا جاتا ہے لہذا  $v_m = v_o = v_s$  ہو گا۔

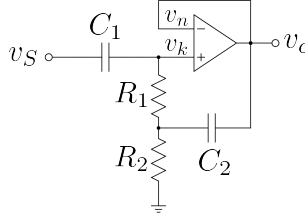
مستحکم کار کا کمال یہ ہے کہ یہ برقی بوجھ  $R_M$  کو از خود اٹھالیتا ہے اور اس کا بوجھ مبدل توانائی پر نہیں ڈالتا۔ یوں یہ حساس اشارات کو مستحکم کرتا ہے۔

آپ نے دیکھا کہ مستحکم کار کی مدد سے اشارہ کی صحیح قیمت حاصل ہوتی ہے۔ حساس اور باریک اشارات کی پیمائش عموماً مستحکم کار کے مدد سے ہی کی جاتی ہے۔

#### 1.5.3.1 بدلتی رو مستحکم کار

عموماً اشارے کے یک سمتی حصے کو روکتے ہوئے اس کے بدلتے حصے کو مستحکم بنانے کی ضرورت ہوتی ہے۔ ایسی صورت میں بدلتا رو مستحکم کار جسے شکل 1.18 میں دکھایا گیا ہے استعمال کیا جائے گا۔  $C_1$  اور  $C_2$  کی قیمت اتنی رکھی جاتی ہے کہ درکار تعدد پر انہیں قصر دور تصور کیا جاسکے۔ مزاحمت  $R_1$  اور  $R_2$  حسابی ایمپلیفائر کے مثبت داخلی سرے کے داخلی میلان برقی رو<sup>51</sup> کے لئے راستہ فراہم کرتے ہیں۔  $C_1$  داخلی اشارے کے بدلتے جزو کو حسابی ایمپلیفائر کے مثبت داخلی سرے تک پہنچنے کا راستہ فراہم کرتے ہوئے یک سمتی جزو کو روکتا ہے۔  $C_2$  کے عدم موجودگی میں داخلی اشارے کو بدلتا داخلی مزاحمت  $R_1 + R_2$  نظر آتا جبکہ مستحکم کار سے توقع کی جاتی ہے کہ اس کا داخلی مزاحمت بہت زیادہ ہو۔ آئیں دیکھیں کہ  $C_2$  کی شمولیت سے داخلی مزاحمت کیسے بڑھتی ہے۔  $v_s$  کا بدلتا جزو  $v_s$  مثبت داخلی سرے پر پہنچتا ہے۔ یوں  $v_n = v_s$  ہو گا جس سے  $v_k = v_s$  اور  $v_o = v_s$  ہو گا۔  $C_2$  درکار تعدد پر قصر دور ہو گا اور یوں  $R_1$  اور  $R_2$  کے جوڑ پر بھی  $v_s$  اشارہ پایا جائے گا۔ اب دوبارہ داخلی جانب سے سوچیں۔ حسابی ایمپلیفائر کا مثبت داخلی سرا از خود کوئی برقی رو گزرنے نہیں دیتا۔ چونکہ مزاحمت  $R_1$  کے دونوں سروں پر  $v_s$  برقی دباؤ پایا جاتا ہے لہذا اس میں گزرتی برقی رو بھی صفر ہے۔ یوں  $v_s$  سے کسی قسم کا

<sup>51</sup> داخلی میلان برقی پر حصہ 1.7.2 میں غور کیا جائے گا۔



شکل 1.18: بدلتا و مستحکم کار

برقی رو حاصل نہیں کیا جاتا جو کہ منقطع صورت کی نشانی ہے۔ یوں بدلتا مستحکم کار درکار تعدد پر لامحدود داخلی مزاحمت پیش کرتے ہوئے حساس اشارے پر بالکل بوجھ نہیں ڈالتا۔

کسی بھی ایپلیفائر جس کی  $A_v \approx 1$  ہو، کے خارجی سرے سے داخلی جانب یوں کیپیسٹر نسب کر کے اس کا داخلی مزاحمت بڑھایا جاسکتا ہے۔ شرط صرف یہ ہے کہ درکار تعدد پر کیپیسٹر قصر دور کام کرتے ہوئے مکمل خارجی اشارے کو داخلی جانب مزاحمت  $R_1$  تک پہنچا سکے۔ مزاحمت  $R_1$  کے ایک سرے کو جس جانب داخلی اشارہ کھینچتا ہے، خارجی اشارہ بھی اسی جانب مزاحمت کا دوسرا سرا کھینچتا ہے۔

#### 1.5.4 تفرق کار

ایک اور اہم دور جسے تفرق کار<sup>52</sup> کہتے ہیں کو شکل 1.19 میں دکھایا گیا ہے۔ اس دور کو بالکل پہلی دو ادوار کی طرح حل کرتے ہیں۔ جوڑ پر تین برقی رو کے لئے لکھ سکتے ہیں۔

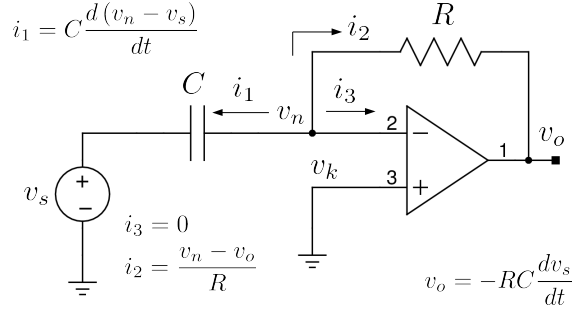
$$\begin{aligned} i_1 &= C \frac{d(v_n - v_s)}{dt} \\ i_2 &= \frac{v_n - v_o}{R} \\ i_3 &= 0 \end{aligned} \quad (1.39)$$

جبکہ جوڑ  $v_k$  کے لئے لکھ سکتے ہیں۔

$$v_k = 0 \quad (1.40)$$

---

differentiator<sup>52</sup>



شکل 1.19: تفریق کار

کرخوف کے قانون برائے برقی رو کو جوڑ  $v_n$  پر یوں لکھا جاسکتا ہے۔

(1.41)

$$i_1 + i_2 + i_3 = 0$$

مساوات 1.39 میں دیے گئے قیمتوں کو مساوات 1.41 میں پر کرتے ہیں

$$C \frac{d(v_n - v_s)}{dt} + \frac{v_n - v_o}{R} + 0 = 0$$

لیتے ہوئے  $v_n = v_k$  کرتے ہوئے  $v_n = 0$

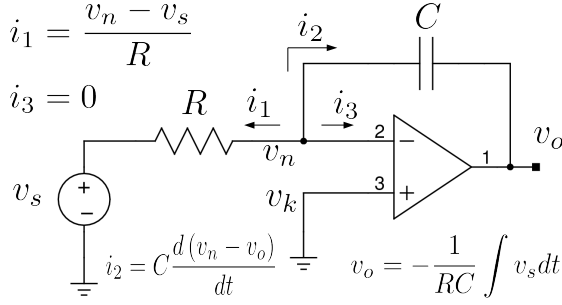
$$-C \frac{dv_s}{dt} - \frac{v_o}{R} = 0$$

حاصل ہوتا ہے جسے یوں لکھ سکتے ہیں۔

(1.42)

$$v_o = -RC \frac{dv_s}{dt}$$

اس مساوات کے تحت یہ دور مہیا کردہ اشارہ  $v_s$  کے تفرق کے نسبت سے خارجی اشارہ  $v_o$  پیدا کرتا ہے۔ اسی سے اس دور کو تفرق کار<sup>53</sup> کہتے ہیں۔



شکل 1.20: بحمل کار

## 1.5.5 تکمل کار

تفرقی دور کو دیکھنے کے بعد خیال آتا ہے کہ کیا حسابی ایپلیفائر کو استعمال کرتے کسی تفاعل کا تکمل<sup>54</sup> حاصل کیا جاسکتا ہے۔ جواب ہے جی ہاں۔ تکمل کار<sup>55</sup> کو شکل 1.20 میں دکھایا گیا ہے۔ اس دور کے لئے ہم لکھ سکتے ہیں

$$\begin{aligned}
 i_1 &= \frac{v_n - v_s}{R} \\
 i_2 &= C \frac{d(v_n - v_o)}{dt} \\
 i_3 &= 0
 \end{aligned}
 \tag{1.43}$$

اور

$$v_k = 0 \tag{1.44}$$

کرخوف کا قانون برائے برقی رو استعمال کرتے ہوئے اور  $v_n$  میں  $v_k$  کی قیمت (یعنی صفر وولٹ) استعمال کرتے ہوئے حل کرتے ہیں۔

$$\begin{aligned}
 i_1 + i_2 + i_3 &= 0 \\
 \frac{v_n - v_s}{R} + C \frac{d(v_n - v_o)}{dt} + 0 &= 0 \\
 -\frac{v_s}{R} - C \frac{dv_o}{dt} &= 0
 \end{aligned}$$

<sup>54</sup>integral  
<sup>55</sup>integrator

اس کا تکملہ لیتے ہیں

$$\begin{aligned}\frac{dv_o}{dt} &= -\frac{v_s}{RC} \\ dv_o &= -\frac{v_s}{RC} dt \\ \int dv_o &= -\int \frac{v_s}{RC} dt\end{aligned}$$

یعنی

$$(1.45) \quad v_o = -\frac{1}{RC} \int v_s dt$$

اس مساوات میں  $v_o$  حاصل کرنے کی خاطر مساوات کے نشان کے دونوں جانب کا تکملہ لیا گیا ہے۔ اس طرح تکمل کار کا خارجی اشارہ  $v_o$  اسے مہیا کئے گئے اشارہ  $v_s$  کے تکملہ کے براہ راست متناسب ہوتا ہے۔ اسی خاصیت کی وجہ سے اس دور کو تکمل کار<sup>56</sup> کہتے ہیں۔

مثال 1.13:  $R = 1 \text{ k}\Omega$  اور  $C = 6.8 \mu\text{F}$  اور  $v_s = V_p \sin \omega t$  کی صورت میں

- تکمل کار کا خارجی اشارہ حاصل کریں۔
- کتنی تعدد پر خارجی اشارے کا حیطہ داخلی اشارے کے حیطے کے برابر ہو گا۔
- خارجی اور داخلی اشارے کا زاویاتی تعلق کیا ہے۔

حل:

- مساوات 1.45 کی مدد سے

$$v_o = -\frac{1}{1000 \times 6.8 \times 10^{-6}} \int V_p \sin \omega t dt = \frac{147 V_p}{\omega} \cos \omega t$$

حاصل ہوتا ہے۔

integrator<sup>56</sup>

• دونوں حیطے برابر اس وقت ہوں گے جب

$$\frac{147V_p}{\omega} = V_p$$

$$\omega = 147$$

$$f = \frac{147}{2\pi} = 23.396 \text{ Hz}$$

ہو گا۔

• داخلی اشارے کو یوں لکھتے ہوئے

$$v_s = V_p \sin \omega t = V_p \cos (\omega t - 90)$$

ہم دیکھتے ہیں کہ داخلی اشارے سے خارجی اشارہ 90 آگے <sup>57</sup> ہے۔

مثال 1.14:  $R = 1 \text{ k}\Omega$  اور  $C = 10 \mu\text{F}$  اور  $v_s = -0.1 \text{ V}$  کی صورت میں  $v_o$  حاصل کریں۔

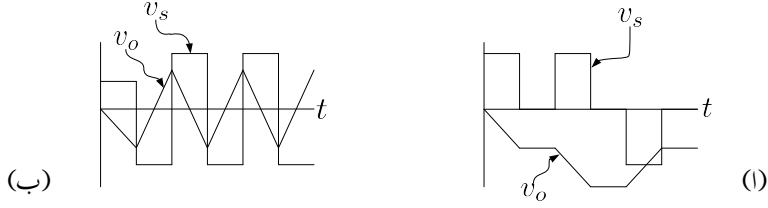
حل:

$$v_o = -\frac{1}{1000 \times 10 \times 10^{-6}} \int -0.1 \text{ dt} = 10t$$

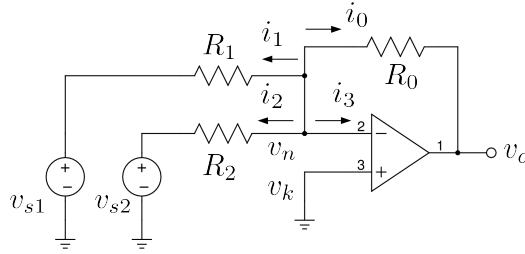
حاصل ہوتا ہے۔ آپ دیکھ سکتے ہیں کہ خارجی اشارہ وقت کے راست تناسب بڑھتا ہے۔ یہ ایک سیکنڈ میں دس وولٹ بڑھ رہا ہے۔ اگر داخلی اشارہ مثبت کر دیا جائے تو خارجی اشارہ منفی جانب رواں ہو جائے گا۔

شکل 1.21 میں دو مختلف داخلی اشارات پر مکمل کاردار عمل دکھایا گیا ہے۔ آپ یہاں رک کر تسلی کر لیں کہ خارجی اشارات آپ کے توقع کے عین مطابق ہیں۔





شکل 1.21: عمل کار کی کارکردگی کے مثال



شکل 1.22: جمع کار

### 1.5.6 جمع کار

حسابی ایپلیفائر کو دو یا دو سے زیادہ اشارات کا مجموعہ حاصل کرنے کے لئے بھی استعمال کیا جاسکتا ہے۔ ایسے ہی جمع کار<sup>58</sup> کو شکل 1.22 میں دکھایا گیا ہے۔ اس شکل میں دو اشارات  $v_{s1}$  اور  $v_{s2}$  مہیا کئے گئے ہیں۔ اشارہ  $v_{s1}$  مزاحمت  $R_1$  کے ذریعہ حسابی ایپلیفائر کے  $v_n$  سرے کے ساتھ جڑا ہے۔ اسی طرح اشارہ  $v_{s2}$  مزاحمت  $R_2$  کے ذریعہ حسابی ایپلیفائر کے  $v_n$  سرے کے ساتھ جڑا ہے۔ مزید اشارات کو بھی اسی ترکیب سے جوڑا جاسکتا

ہے۔ شکل میں دکھائی گئی برقی رو کے لئے یوں لکھ سکتے ہیں۔

$$\begin{aligned} i_1 &= \frac{v_n - v_{s1}}{R_1} \\ i_2 &= \frac{v_n - v_{s2}}{R_2} \\ i_3 &= 0 \\ i_o &= \frac{v_n - v_o}{R_0} \end{aligned} \quad (1.46)$$

اسی طرح جوڑ  $v_k$  کے لئے لکھ سکتے ہیں

$$v_k = 0 \quad (1.47)$$

جوڑ  $v_n$  پر کرخوف کے قانون برائے برقی رو استعمال کرتے ہوئے حل کرتے ہیں۔

$$\begin{aligned} i_1 + i_2 + i_3 + i_4 &= 0 \\ \frac{v_n - v_{s1}}{R_1} + \frac{v_n - v_{s2}}{R_2} + 0 + \frac{v_n - v_o}{R_0} &= 0 \end{aligned}$$

لیتے ہوئے  $v_n = v_k$  پر کرتے ہوئے

$$-\frac{v_{s1}}{R_1} - \frac{v_{s2}}{R_2} - \frac{v_o}{R_0} = 0$$

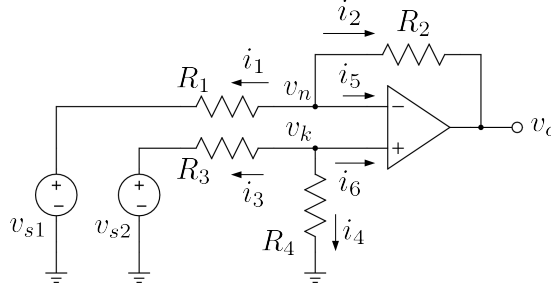
حاصل ہوتا ہے جسے

$$v_o = -R_0 \left( \frac{v_{s1}}{R_1} + \frac{v_{s2}}{R_2} \right) \quad (1.48)$$

لکھ سکتے ہیں۔  $R_0$ ،  $R_1$  اور  $R_2$  کی قیمتیں برابر ہونے کی صورت میں اس مساوات کو یوں لکھ سکتے ہیں

$$v_o = -R \left( \frac{v_{s1}}{R} + \frac{v_{s2}}{R} \right) = -(v_{s1} + v_{s2}) \quad (1.49)$$

اس صورت میں آپ دیکھ سکتے ہیں کہ منفی علامت کے علاوہ،  $v_o$  دونوں اشارات کا مجموعہ ہے۔ اسی لئے اس دور کو جمع کار<sup>59</sup> کہتے ہیں۔



شکل 1.23: منفی کار

## 1.5.7 منفی کار

حسابی ایپلیٹائر سے دو اشارات منفی کرنے والے دور پر اس حصہ میں غور کرتے ہیں۔ اس دور کو شکل 1.23 میں دکھایا گیا ہے۔ شکل کو دیکھتے ہم لکھ سکتے ہیں۔

$$\begin{aligned}
 i_1 &= \frac{v_n - v_{s1}}{R_1} \\
 i_2 &= \frac{v_n - v_o}{R_2} \\
 i_3 &= \frac{v_k - v_{s2}}{R_3} \\
 i_4 &= \frac{v_k}{R_4} \\
 i_5 &= 0 \\
 i_6 &= 0
 \end{aligned}
 \tag{1.50}$$

انہیں کرخوف کے قانون برائے برقی رو میں استعمال کرتے ہوئے، جوڑ  $v_n$  کے لئے یوں لکھ سکتے ہیں۔

$$\begin{aligned}
 i_1 + i_2 + i_5 &= 0 \\
 \frac{v_n - v_{s1}}{R_1} + \frac{v_n - v_o}{R_2} + 0 &= 0 \\
 v_n \left( \frac{1}{R_1} + \frac{1}{R_2} \right) &= \frac{v_{s1}}{R_1} + \frac{v_o}{R_2} \\
 v_n &= \frac{\frac{v_{s1}}{R_1} + \frac{v_o}{R_2}}{\frac{1}{R_1} + \frac{1}{R_2}}
 \end{aligned}
 \tag{1.51}$$

اسی طرح جوڑ  $v_k$  پر کر خوف کا قانون برائے برقی رولاگو کرتے ہوئے اسے یوں حل کر سکتے ہیں۔

$$\begin{aligned}
 i_3 + i_4 + i_6 &= 0 \\
 \frac{v_k - v_{s2}}{R_3} + \frac{v_k}{R_4} + 0 &= 0 \\
 v_k \left( \frac{1}{R_3} + \frac{1}{R_4} \right) &= \frac{v_{s2}}{R_3} \\
 v_k &= \frac{\frac{v_{s2}}{R_3}}{\frac{1}{R_3} + \frac{1}{R_4}}
 \end{aligned}
 \tag{1.52}$$

مساوات 1.11 کی پہلی شق کے تحت  $v_k$  اور  $v_n$  برابر ہوتے ہیں۔ یوں مساوات 1.51 اور 1.52 کو برابر ڈالتے ہوئے

$$\begin{aligned}
 v_n &= v_k \\
 \frac{\frac{v_{s1}}{R_1} + \frac{v_o}{R_2}}{\frac{1}{R_1} + \frac{1}{R_2}} &= \frac{\frac{v_{s2}}{R_3}}{\frac{1}{R_3} + \frac{1}{R_4}}
 \end{aligned}$$

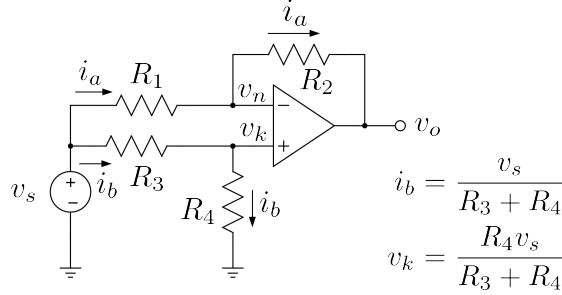
یعنی

$$\begin{aligned}
 v_o &= \frac{R_4}{R_1} \left( \frac{R_1 + R_2}{R_3 + R_4} \right) v_{s2} - \frac{R_2}{R_1} v_{s1} \\
 &= \left( \frac{1 + \frac{R_2}{R_1}}{1 + \frac{R_3}{R_4}} \right) v_{s2} - \frac{R_2}{R_1} v_{s1}
 \end{aligned}
 \tag{1.53}$$

حاصل ہوتا ہے۔ یہ دور کی عمومی مساوات ہے۔ اگر دور میں  $R_1 = R_3 = R_a$  جبکہ  $R_2 = R_4 = R_b$  ہوں تب اس مساوات سے

$$v_o = \frac{R_b}{R_a} (v_{s2} - v_{s1})
 \tag{1.54}$$

حاصل ہوتا ہے۔ اگر  $R_a$  اور  $R_b$  کی قیمتیں برابر ہوں تو اس صورت میں دور دونوں اشارات کو منفی کرے گا۔ اسی لئے اس دور کو منفی کار<sup>60</sup> کہتے ہیں۔ اگر  $R_a$  اور  $R_b$  برابر نہ ہوں تو دور دونوں اشارات میں فرق کو بڑھانے یا گھٹانے کی صلاحیت بھی رکھتا ہے



شکل 1.24: منفی کار کا مشترکہ داخلی مزاحمت

مثال 1.15: منفی کار کا مشترکہ داخلی مزاحمت تمام مزاحمت برابر ہونے کی صورت میں حاصل کریں۔ تمام مزاحمت مختلف ہونے کی صورت میں جواب کیا ہو گا۔

حل: مشترکہ داخلی مزاحمت حاصل کرنے کی خاطر دونوں داخلی سروں کو آپس میں جوڑتے ہوئے ان پر مشترکہ اشارہ  $v_s$  لاگو کیا جاتا ہے۔ اشارے سے  $i_a$  اور  $i_b$  برقی رو منفی کار میں داخل ہوں گے۔ مشترکہ مزاحمت داخلی برقی دباؤ اور داخلی برقی رو کے مجموعہ کی شرح کو کہتے ہیں یعنی

$$R_{\text{مشترکہ}} = \frac{v_s}{i_a + i_b}$$

آئیں داخلی مزاحمت کو پہلے حساب و کتاب سے حاصل کریں۔ تمام مزاحمت  $R$  کے برابر ہونے کی صورت میں

$$\begin{aligned} v_0 &= 0 \\ v_k &= \frac{v_s}{2} \\ v_n &= \frac{v_s}{2} \end{aligned}$$

حاصل ہوتے ہیں۔ لہذا

$$\begin{aligned} i_a &= \frac{v_s - v_n}{R} = \frac{v_s}{2R} \\ i_b &= \frac{v_s - v_k}{R} = \frac{v_s}{2R} \\ i_a + i_b &= \frac{v_s}{R} \end{aligned}$$

اور یوں

$$R_{\text{داخلی}} = R$$

حاصل ہوتا ہے۔

اس جواب کو یوں بھی حاصل کیا جاسکتا ہے۔ حسابی ایپلیفائر کے دونوں داخلی سروں پر داخلی برقی رو صفر ہوتی ہے۔  $v_k$  پر داخلی برقی رو صفر ہونے کی وجہ سے اسے کھلے سرے تصور کیا جاسکتا ہے۔ اس طرح  $R_3$  اور  $R_4$  کو  $v_s$  اور برقی زمین کے مابین سلسلہ وار جڑا تصور کیا جاسکتا ہے۔ تمام مزاحمت برابر ہونے کی وجہ سے  $v_0 = 0V$  ہے لہذا اسے برقی زمین تصور کیا جاسکتا ہے۔  $v_n$  پر برقی رو صفر ہونے کی وجہ سے اس داخلی سرے کو بھی کھلے سرے تصور کیا جاسکتا ہے۔ یوں  $R_1$  اور  $R_2$  کو بھی  $v_s$  اور برقی زمین کے مابین سلسلہ وار جڑا تصور کیا جاسکتا ہے۔ اس طرح سلسلہ وار جڑے  $R_1$  اور  $R_2$  کو سلسلہ وار جڑے  $R_3$  اور  $R_4$  کے متوازی تصور کیا جاسکتا ہے لہذا

$$\frac{1}{R_{\text{داخلی}}} = \frac{1}{R_1 + R_2} + \frac{1}{R_3 + R_4} = \frac{1}{2R} + \frac{1}{2R} = \frac{1}{R}$$

$$R_{\text{داخلی}} = R$$

حاصل ہوتا ہے۔

تمام مزاحمت مختلف ہونے کی صورت میں مساوات 1.53 سے خارجی اشارہ یوں حاصل ہوتا ہے۔

$$v_0 = \left[ \left( \frac{R_1 + R_2}{R_3 + R_4} \right) \frac{R_4}{R_1} - \frac{R_2}{R_1} \right] v_s$$

حسابی ایپلیفائر کے دونوں داخلی سروں پر داخلی برقی رو صفر ہونے کی وجہ سے  $R_1$  اور  $R_2$  میں یکساں برقی رو  $i_a$  پایا جائے گا۔ اسی طرح  $R_3$  اور  $R_4$  میں  $i_b$  پایا جائے گا جہاں

$$\begin{aligned} i_a &= \frac{v_s - v_0}{R_1 + R_2} \\ &= v_s \left[ \frac{1}{R_1 + R_2} - \frac{R_4}{R_1(R_3 + R_4)} + \frac{R_2}{R_1(R_1 + R_2)} \right] \\ &= \frac{R_3 v_s}{R_1(R_3 + R_4)} \\ i_b &= \frac{v_s}{R_3 + R_4} \end{aligned}$$

کے برابر ہیں۔ یوں

$$R_{\text{داخلی}} = \frac{v_s}{i_a + i_b} = \frac{R_1 (R_3 + R_4)}{R_1 + R_3}$$

حاصل ہوتا ہے۔

اسی جواب کو قدر آسان طریقے سے یوں حاصل کیا جاسکتا ہے۔ حسابی ایمپلیفائر کے مثبت داخلی سرے کو کھلے سرے تصور کیا جاسکتا ہے۔ اس طرح  $R_3$  اور  $R_4$  کو  $v_s$  اور برقی زمین کے مابین دو سلسلہ وار جڑے مزاحمت تصور کیا جاسکتا ہے۔ ان دو مزاحمتوں میں برقی دباؤ کے تقسیم سے

$$v_k = \frac{R_4 v_s}{R_3 + R_4}$$

حاصل ہوتا ہے۔ اسی طرح ان میں برقی رو

$$i_b = \frac{v_s}{R_3 + R_4}$$

حاصل ہوتا ہے۔  $v_k = v_n$  ہونے کی بدولت  $v_n$  بھی یہی ہوگا۔ لہذا  $R_1$  میں برقی رو

$$i_a = \frac{v_s - v_n}{R_1} = \frac{v_s - \frac{R_4 v_s}{R_3 + R_4}}{R_1}$$

ہوگا۔ ان دو برقی رو سے داخلی مزاحمت حاصل ہوتا ہے۔  $v_n$  کی قیمت  $v_k$  تعین کرتا ہے۔ چونکہ  $v_k$  کا دارومدار مزاحمت  $R_3$  اور  $R_4$  پر ہے جبکہ  $i_a$  کا دارومدار  $v_n$  اور  $R_1$  پر ہے لہذا  $i_a$  اور  $i_b$  دونوں پر  $R_2$  کا کوئی اثر نہیں۔ اسی لئے داخلی مزاحمت میں  $R_2$  کا کوئی کردار نہیں۔

مثال 1.16: منفی کار کے تمام مزاحمت برابر ہونے کی صورت میں دونوں داخلی سروں پر مشترکہ داخلی اشارہ  $v_s$  مہیا کرنے سے  $v_0 = 0V$  حاصل ہوتا ہے۔ اس صورت میں منفی کار کی مشترکہ افزائش صفر حاصل ہوتی ہے۔  $6.8 \text{ k}\Omega \pm 5\%$  کے مزاحمت استعمال کرتے ہوئے ایمپلیفائر کی خراب سے خراب تر مشترکہ افزائش کیا ممکن ہے۔ مشترکہ افزائش جتنی زیادہ ہو اتنا ہی اسے خراب سمجھا جاتا ہے۔

حل: مساوات 1.53 کے مطابق مشترکہ داخلی اشارے کی صورت ( $v_{s2} = v_{s1} = v_s$ ) میں مشترکہ افزائش

$$\begin{aligned}\frac{v_o}{v_s} &= \left( \frac{R_1 + R_2}{R_3 + R_4} \right) \frac{R_4}{R_1} - \frac{R_2}{R_1} \\ &= \frac{R_1 R_4 - R_2 R_3}{R_1 (R_3 + R_4)} \\ &= \frac{1 - \frac{R_2 R_3}{R_1 R_4}}{1 + \frac{R_3}{R_4}}\end{aligned}$$

حاصل ہوتی ہے۔ اس مساوات میں  $v_o$  کی زیادہ سے زیادہ قیمت اس صورت حاصل ہوگی جب  $\frac{R_3}{R_4}$  اور  $\frac{R_2 R_3}{R_1 R_4}$  کے قیمت کم سے کم ہوں۔  $\frac{R_3}{R_4}$  کی قیمت کم سے کم تب ہوگی جب  $R_3$  پانچ فی صد کم اور  $R_4$  پانچ فی صد زیادہ ہو یعنی جب  $R_3 = 6.46 \text{ k}\Omega$  اور  $R_4 = 7.14 \text{ k}\Omega$  ہوں۔ اسی طرح  $\frac{R_2 R_3}{R_1 R_4}$  کی قیمت کم سے کم تب ہوگی جب  $R_2 = 6.46 \text{ k}\Omega$  اور  $R_1 = 7.14 \text{ k}\Omega$  ہوں گے۔ ان قیمتوں کے استعمال سے خراب تر مشترکہ افزائش

$$\frac{v_o}{v_s} = \frac{1 - \frac{6.46 \times 6.46}{7.14 \times 7.14}}{1 + \frac{6.46}{7.14}} = 0.095238 \frac{\text{V}}{\text{V}}$$

حاصل ہوتی ہے۔

مثال 1.17: مثال 1.16 میں تمام مزاحمت مختلف ہونے کی صورت میں مزاحمت کے قیمت میں غلطی کی وجہ سے خراب تر مشترکہ افزائش کی عمومی جواب حاصل کریں۔

حل: گزشتہ مثال میں

$$\frac{v_o}{v_s} = \frac{1 - \frac{R_2 R_3}{R_1 R_4}}{1 + \frac{R_3}{R_4}}$$



حاصل کی گئی۔ جیسا وہاں بتلایا گیا  $R_2$  اور  $R_3$  کے قیمت کم سے کم یعنی  $(1 - \epsilon) R_2$  اور  $(1 - \epsilon) R_3$  جبکہ  $R_1$  اور  $R_4$  کے قیمت زیادہ سے زیادہ یعنی  $(1 + \epsilon) R_1$  اور  $(1 + \epsilon) R_4$  ہونے ہوں گے۔ اس طرح

$$\frac{v_o}{v_s} = \frac{1 - \left(\frac{1-\epsilon}{1+\epsilon}\right)^2 \frac{R_2 R_3}{R_1 R_4}}{1 + \left(\frac{1-\epsilon}{1+\epsilon}\right) \frac{R_3}{R_4}}$$

حاصل ہوتا ہے۔ تمام مزاحمت ایک ہی قیمت کے ہونے کی صورت میں

$$\frac{v_o}{v_s} = \frac{2\epsilon}{1 + \epsilon}$$

حاصل ہوتا ہے۔

آپ نے حسابی ایمپلیفائر پر مبنی کئی ادوار دیکھے۔ یہ ادوار جمع، منفی، تفرق اور مکملہ جیسے حسابی اعمال سرانجام دیتے ہیں یا پھر اشارات کی افزائش کرتے ہیں۔ انہیں خوبیوں کی بدولت ہم اسے حسابی ایمپلیفائر پکارتے ہیں۔<sup>61</sup>

### 1.5.8 جمع و منفی کار

شکل 1.25 میں متعدد داخلی سروں والا جمع و منفی کار دکھایا گیا ہے۔ مثبت داخلی سروں پر  $v_{j1}$  تا  $v_{js}$  جبکہ منفی داخلی سروں پر  $v_{m1}$  تا  $v_{mn}$  اشارات مہیا کئے گئے ہیں۔ آئیں اس دور کو حل کریں۔ جوڑ  $v_n$  پر کر خوف کے قانون برائے برقی رو سے ہم لکھ سکتے ہیں

$$\frac{v_n - v_{m1}}{R_{m1}} + \frac{v_n - v_{m2}}{R_{m2}} \dots + \frac{v_n - v_{mn}}{R_{mn}} + \frac{v_n - v_o}{R_0} = 0$$

$$v_n \left( \frac{1}{R_{m1}} + \frac{1}{R_{m2}} \dots + \frac{1}{R_{mn}} + \frac{1}{R_0} \right) = \frac{v_{m1}}{R_{m1}} + \frac{v_{m2}}{R_{m2}} \dots + \frac{v_{mn}}{R_{mn}} + \frac{v_o}{R_0}$$

جس میں

$$\frac{1}{R_{m1}} + \frac{1}{R_{m2}} \dots + \frac{1}{R_{mn}} = \frac{1}{R_m}$$

لکھتے ہوئے

$$v_n \left( \frac{1}{R_m} + \frac{1}{R_0} \right) = \frac{v_{m1}}{R_{m1}} + \frac{v_{m2}}{R_{m2}} \dots + \frac{v_{mn}}{R_{mn}} + \frac{v_o}{R_0}$$

$$v_n = \left( \frac{R_m R_0}{R_m + R_0} \right) \left( \frac{v_{m1}}{R_{m1}} + \frac{v_{m2}}{R_{m2}} \dots + \frac{v_{mn}}{R_{mn}} + \frac{v_o}{R_0} \right)$$

حاصل ہوتا ہے۔ اسی طرح جوڑ  $v_k$  کے لئے حل کرتے ہیں۔

$$\frac{v_k - v_{j1}}{R_{j1}} + \frac{v_k - v_{j2}}{R_{j2}} \dots + \frac{v_k - v_{js}}{R_{js}} = 0$$

$$v_k \left( \frac{1}{R_{j1}} + \frac{1}{R_{j2}} \dots + \frac{1}{R_{js}} \right) = \frac{v_{j1}}{R_{j1}} + \frac{v_{j2}}{R_{j2}} \dots + \frac{v_{js}}{R_{js}}$$

جس میں

$$\frac{1}{R_{j1}} + \frac{1}{R_{j2}} \dots + \frac{1}{R_{js}} = \frac{1}{R_j}$$

استعمال کرتے ہوئے

$$v_k = \frac{R_j}{R_{j1}} v_{j1} + \frac{R_j}{R_{j2}} v_{j2} \dots + \frac{R_j}{R_{js}} v_{js}$$

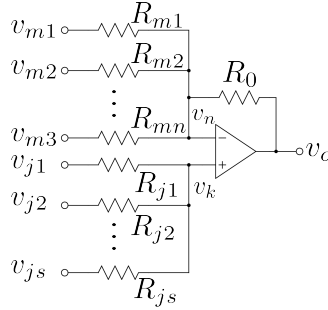
حاصل ہوتا ہے۔  $v_n = v_k$  لکھتے ہوئے  $v_o$  کے لئے حل کرتے ہوئے حاصل ہوتا ہے۔

$$(1.55) \quad v_o = \left( 1 + \frac{R_0}{R_m} \right) \left( \frac{R_j}{R_{j1}} v_{j1} + \frac{R_j}{R_{j2}} v_{j2} \dots \right.$$

$$(1.56) \quad \left. \dots + \frac{R_j}{R_{js}} v_{js} \right) - \left( \frac{R_0}{R_{m1}} v_{m1} + \frac{R_0}{R_{m2}} v_{m2} \dots + \frac{R_0}{R_{mn}} v_{mn} \right)$$

### 1.5.9 آلائی ایمپلیفائر

حسابی ایمپلیفائر پر تبصرہ کرتے ہوئے آلائی ایمپلیفائر<sup>62</sup> کا ذکر کرنا لازم ہے۔ آلائی ایمپلیفائر باریک اور حساس اشارات کے حصول کے لئے استعمال کیا جاتا ہے۔ موجودہ دور میں ہر قسم کے طبعی متغیرات کو برقی اشارات میں تبدیل کر کے



شکل 1.25: جمع و منفی کار

ان پر کمپیوٹر کی مدد سے غور کیا جاتا ہے۔ آپ برقی قلب نگار<sup>63</sup> سے بخوبی واقف ہوں گے جو دل کے کارکردگی کے اشارات کھینچتا ہے۔ برقی قلب نگار کو آلاتی ایپلیفائر کے مدد سے ہی بنایا جاتا ہے۔<sup>64</sup>

ان حساس اشارات کے حصول کے لئے زیادہ سے زیادہ داخلی برقی رکاوٹ<sup>65</sup> والے ادوار استعمال کئے جاتے ہیں۔ ایسے جگہوں پر عموماً آلاتی ایپلیفائر استعمال کیا جاتا ہے جس کا داخلی برقی رکاوٹ لامحدود تصور کیا جاسکتا ہے۔ آلاتی ایپلیفائر کو شکل 1.26 میں دکھایا گیا ہے۔

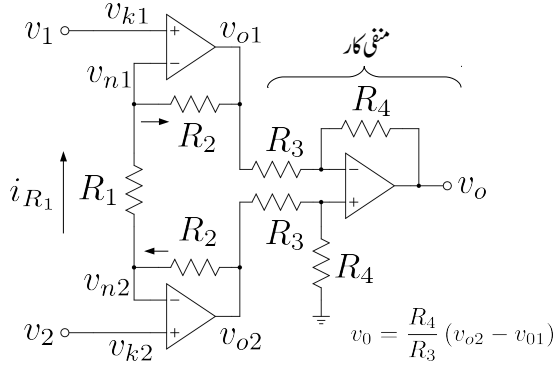
اس دور میں  $v_1$  اور  $v_2$  داخلی اشارات ہیں۔ کسی بھی حسابی ایپلیفائر کے داخلی سروں پر برقی دباؤ برابر رہتا ہے۔ یوں  $v_{n1} = v_{k1} = v_1$  اور  $v_{n2} = v_{k2} = v_2$  ہو گا۔ اس طرح مزاحمت  $R_1$  کے نیچے جانب سرے پر برقی دباؤ کی قیمت  $v_2$  اور اس کے اوپر جانب سرے پر برقی دباؤ کی قیمت  $v_1$  ہو گی۔ یوں  $R_1$  کے سروں کے مابین برقی دباؤ کی قیمت  $(v_2 - v_1)$  ہو گی اور اس میں برقی رو

$$i_{R_1} = \frac{v_2 - v_1}{R_1} \quad (1.57)$$

ہو گی۔

جوڑ  $v_{n1}$  پر کرخوف کے قانون برائے برقی رو لاگو کرنے سے ثابت ہوتا ہے کہ اس جوڑ پر نسب  $R_2$  میں  $i_{R_1}$  کے برابر برقی رو گزرے گی جسے شکل میں تیر کے نشان سے دکھایا گیا ہے۔ اسی طرح جوڑ  $v_{n2}$  پر کرخوف

<sup>63</sup>ecg  
<sup>64</sup>آج مورخہ 21 مارچ 2014 کو میری بیٹی عفت بریجن نے انجینئرنگ کے آخری سال کے پڑھائی کے دوران آلاتی ایپلیفائر سے برقی قلب نگار بناتے ہوئے دل کی دھڑکن کے اشارات حاصل کئے۔  
<sup>65</sup>input impedance



شکل 1.26: آلائی ایپلیکیشنز

کے قانون سے ثابت ہوتا ہے کہ اس جوڑ پر نسب  $R_2$  میں بھی  $i_{R1}$  گزرے گی جسے تیر کے نشان سے دکھایا گیا ہے۔ اس طرح  $i_{R1}$  تین سلسلہ وار جڑی مزاحمت  $R_1$ ،  $R_2$  اور  $R_2$  سے گزرتی ہے۔ ان سلسلہ وار جڑے مزاحمتوں کے آخری سروں کے مابین برقی دباؤ کو یوں لکھ سکتے ہیں۔

$$\begin{aligned}
 v_{o2} - v_{o1} &= i_{R1} \times (R_2 + R_1 + R_2) \\
 &= \frac{(v_2 - v_1)}{R_1} (R_1 + 2R_2) \\
 &= \left(1 + \frac{2R_2}{R_1}\right) (v_2 - v_1)
 \end{aligned}
 \tag{1.58}$$

اس برقی دباؤ کو خارجی جانب منفی کار کو مہیا کیا جاتا ہے اور یوں

$$v_o = \frac{R_4}{R_3} (v_{o2} - v_{o1}) = \frac{R_4}{R_3} \left(1 + \frac{2R_2}{R_1}\right) (v_2 - v_1)
 \tag{1.59}$$

جو کہ آلائی ایپلیکیشنز کی درکار مساوات ہے۔

مثال 1.18: ایک آلٹی ایمپلیفائر میں

$$R_1 = 500 \Omega \quad R_2 = 50 \text{ k}\Omega$$

$$R_3 = 10 \text{ k}\Omega \quad R_4 = 10 \text{ k}\Omega$$

$$v_2 = 4 + 0.003 \sin \omega t$$

$$v_1 = 4 - 0.003 \sin \omega t$$

ہیں۔ آلٹی ایمپلیفائر کے ہر جوڑ پر برقی دباؤ حاصل کریں۔ مشترک اشارہ رد کرنے کی صلاحیت  $CMRR$  حاصل کریں۔

حل:

دونوں داخلی سروں پر یکساں برقی دباؤ کو مشترک برقی دباؤ کہتے ہیں جبکہ دونوں داخلی سروں کے مابین برقی دباؤ کو تفرق برقی دباؤ کہتے ہیں۔ یوں

$$v_{\text{مشترک}} = 4 \text{ V}$$

$$v_{\text{تفرق}} = 0.06 \sin \omega t$$

ہیں۔ یوں انہیں

$$v_2 = v_{\text{مشترک}} + \frac{v_{\text{تفرق}}}{2}$$

$$v_1 = v_{\text{مشترک}} - \frac{v_{\text{تفرق}}}{2}$$

لکھا جاسکتا ہے۔

جوڑ  $v_{n1}$  پر  $v_1$  جبکہ جوڑ  $v_{n2}$  پر  $v_2$  پایا جائے گا۔ یوں  $R_1$  میں برقی رو کی قیمت

$$I_{R1} = \frac{(4 + 0.003 \sin \omega t) - (4 - 0.003 \sin \omega t)}{500} = 12 \times 10^{-6} \sin \omega t$$

ہوگی۔ یوں مزاحمت  $R_2$  کے دو سروں کے مابین برقی دباؤ کی قیمت

$$12 \times 10^{-6} \sin \omega t \times 50 \times 10^3 = 0.6 \sin \omega t$$

ہوگی۔ نچلے  $R_2$  میں برقی رو کی سمت مزاحمت کے دائیں سرے سے بائیں سرے کی جانب ہے۔ یوں اس کا دایاں سرا مثبت جبکہ بائیں سرا منفی ہوگا۔ چونکہ ان سروں پر برقی دباؤ کو  $v_{o2}$  اور  $v_{n2}$  کہا گیا ہے لہذا

$$v_{o2} - v_{n2} = 0.6 \sin \omega t$$

$$v_{o2} = 4 + 0.003 \sin \omega t + 0.6 \sin \omega t$$

$$= 4 + 0.603 \sin \omega t$$

ہو گا۔ اسی طرح اوپر والے  $R_2$  میں برقی رو کی سمت  $v_{n1}$  سے  $v_{o1}$  کے جانب ہے لہذا

$$\begin{aligned} v_{n1} - v_{o1} &= 0.6 \sin \omega t \\ v_{o1} &= 4 - 0.003 \sin \omega t - 0.6 \sin \omega t \\ &= 4 - 0.603 \sin \omega t \end{aligned}$$

حاصل ہو گا۔ یہاں رک کر نتائج پر غور کریں۔ مشترکہ اشارہ جوں کا توں ہے جبکہ تفرق اشارہ دونوں خارجی سروں پر بڑھ گیا ہے۔  $v_{o2}$  اور  $v_{o1}$  کو منفی کار کے حوالے کیا جاتا ہے۔ منفی کار کے مثبت داخلی سرا  $v_k$  پر کر خوف کے قانون برائے برقی رو لکھتے ہوئے

$$\begin{aligned} \frac{v_k - v_{o2}}{R_3} + \frac{v_k}{R_4} &= 0 \\ v_k &= \left( \frac{R_4}{R_3 + R_4} \right) v_{o2} \\ &= 2 + 0.3015 \sin \omega t \end{aligned}$$

حاصل ہوتا ہے۔  $v_n$  اور  $v_k$  برابر ہونے کی وجہ سے  $v_n$  بھی یہی ہو گا۔ مندرجہ بالا جواب  $R_3$  اور  $R_4$  کو سلسلہ وار  $v_{o2}$  اور برقی زمین کے مابین جڑا تصور کرتے ہوئے برقی دباؤ کے تقسیم کی مساوات سے بھی حاصل ہوتا ہے۔ منفی کار کا خارجی اشارہ

$$\begin{aligned} v_o &= \frac{R_4}{R_3} (v_{o2} - v_{o1}) \\ &= \frac{10000}{10000} [(4 + 0.603 \sin \omega t) - (4 - 0.603 \sin \omega t)] \\ &= 1.206 \sin \omega t \end{aligned}$$

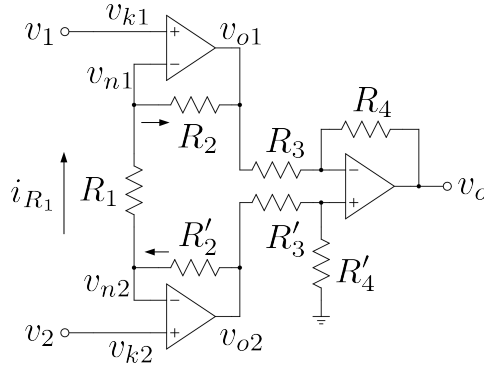
حاصل ہوتا ہے۔

چونکہ خارجی اشارے میں مشترکہ اشارے کا نام و نشان تک نہیں لہذا مشترکہ افزائش صفر کے برابر ہے یعنی  $A_m = 0$  جبکہ تفرقی افزائش کو مندرجہ بالا مساوات سے یوں حاصل کیا جاسکتا ہے۔

$$A_d = \frac{v_o}{v_d} = \frac{1.206 \sin \omega t}{0.06 \sin \omega t} = 20.1 \frac{V}{V}$$

اس طرح مشترکہ اشارہ رد کرنے کی صلاحیت

$$CMRR = \frac{A_d}{A_m} = \infty$$



شکل 1.27: آلاقی ایمپلیفائر کی مثال

حاصل ہوتا ہے۔

اس مثال میں آلاقی ایمپلیفائر نے مشترکہ اشارے کو مکمل رد کرتے ہوئے تفرق اشارے کو 201 گنا بڑھایا۔ یہاں اس بات پر توجہ دیتے ہوئے ذہن نشین کریں کہ مزاحمتوں کے قیمتیں جس طرح بھی رکھی جائیں  $v_{o2}$  اور  $v_{o1}$  میں کسی صورت بھی مشترکہ اشارہ بڑھتا نہیں۔ یہ جوں کا توں ان دو خارجی سروں پر پایا جاتا ہے۔ آلاقی ایمپلیفائر کا دوسرا حصہ یعنی منفی کار  $v_{o2}$  سے  $v_{o1}$  منفی کرتے ہوئے مشترکہ اشارے کو مکمل طور رد کر دیتا ہے۔ تفرق اشارے کو آلاقی ایمپلیفائر کے دونوں حصے بڑھانے کی صلاحیت رکھتے ہیں۔ اگلے مثال میں ان حقائق پر مزید غور کیا جائے گا۔

آلاقی ایمپلیفائر میں دونوں مزاحمت جنہیں  $R_2$  لکھا گیا ہے کے قیمتیں برابر رکھی جاتی ہیں۔ البتہ مزاحمت کے قیمتوں میں غلطی کی بنا پر ان کی قیمت  $(1 - \epsilon) R_2$  تا  $(1 + \epsilon) R_2$  ممکن ہوتی ہیں۔ مزاحمت کے قیمت میں  $\pm 1\%$  غلطی کی صورت میں  $\epsilon = 0.01$  کے برابر ہو گا۔ شکل 1.27 میں آلاقی ایمپلیفائر کو دوبارہ دکھاتے ہوئے ان حقائق کو واضح کیا گیا ہے جہاں ایک مزاحمت کو  $R_2$  جبکہ دوسرے کو  $R'_2$  لکھا گیا ہے۔ اسی طرح  $R_3$  اور  $R_4$  کو بھی دکھایا گیا ہے۔

مثال 1.19:

• شکل 1.27 کو استعمال کرتے ہوئے آلاقی ایپلیٹائر کے مشترکہ افزائش  $A_m$  اور تفرق افزائش  $A_d$  کے مساوات حاصل کریں۔

• مزاحمتوں کے قیمت مکمل طور درست ہونے کی صورت میں  $A_m = 0$  اور یوں  $CMRR = \infty$  حاصل ہوتا ہے۔ مندرجہ ذیل  $\pm 1\%$  مزاحمت استعمال کرتے ہوئے مشترکہ اشارہ رد کرنے کے صلاحیتے  $CMRR$  کی کمتر قیمت کیا ممکن ہے۔

$$R_1 = 10 \text{ k}\Omega \quad R_2 = R'_2 = 100 \text{ k}\Omega \\ R_3 = R'_3 = 10 \text{ k}\Omega \quad R_4 = R'_4 = 10 \text{ k}\Omega$$

•  $R_1 = 1 \text{ k}\Omega$  کر دینے سے جواب کیا حاصل ہوتا ہے۔

• مزاحمت کے ان قیمتوں سے مشترکہ اشارہ رد کرنے کے صلاحیتے  $CMRR$  کی کمتر قیمت کیا ممکن ہے۔

$$R_1 = 10 \text{ k}\Omega \quad R_2 = R'_2 = 10 \text{ k}\Omega \\ R_3 = R'_3 = 10 \text{ k}\Omega \quad R_4 = R'_4 = 100 \text{ k}\Omega$$

حل:

• مشترکہ اشارے کو  $v_c$  جبکہ تفرق اشارے کو  $v_d$  لکھتے ہوئے

$$v_2 = v_c + \frac{v_d}{2} \\ v_1 = v_c - \frac{v_d}{2}$$

لیتے ہوئے حل کرتے ہیں۔



• آلالتی ایپلیٹاز کے پہلے حصے کے لئے ہم لکھ سکتے ہیں۔

$$\begin{aligned}
 i_{R1} &= \frac{v_{n2} - v_{n1}}{R_1} = \frac{v_2 - v_1}{R_1} \\
 v_{o2} &= v_{n2} + i_{R1} R_2' = \left(1 + \frac{R_2'}{R_1}\right) v_2 - \frac{R_2'}{R_1} v_1 \\
 &= \left(1 + \frac{R_2'}{R_1}\right) \left(v_c + \frac{v_d}{2}\right) - \frac{R_2'}{R_1} \left(v_c - \frac{v_2}{2}\right) \\
 (1.60) \quad &= v_c + \left(\frac{1}{2} + \frac{R_2'}{R_1}\right) v_d \\
 v_{o1} &= v_{n1} - i_{R1} R_2 = -\frac{R_2}{R_1} v_2 + \left(1 + \frac{R_2}{R_1}\right) v_1 \\
 &= -\frac{R_2}{R_1} \left(v_c + \frac{v_d}{2}\right) + \left(1 + \frac{R_2}{R_1}\right) \left(v_c - \frac{v_2}{2}\right) \\
 &= v_c - \left(\frac{1}{2} + \frac{R_2}{R_1}\right) v_d
 \end{aligned}$$

آلاتی ایپلیٹاز کے دوسرے حصے کو مساوات 1.53 بیان کرتا ہے جس میں مزاحمتوں کے موجودہ نام استعمال کرتے ہوئے یہاں دوبارہ پیش کرتے ہیں۔

$$v_o = \left(\frac{1 + \frac{R_4}{R_3}}{1 + \frac{R_3'}{R_4'}}\right) v_{o2} - \frac{R_4}{R_3} v_{o1}$$

اس میں مساوات 1.60 کا استعمال کرتے ہوئے

$$\begin{aligned}
 v_o &= \left(\frac{1 + \frac{R_4}{R_3}}{1 + \frac{R_3'}{R_4'}}\right) \left[v_c + \left(\frac{1}{2} + \frac{R_2'}{R_1}\right) v_d\right] - \frac{R_4}{R_3} \left[v_c - \left(\frac{1}{2} + \frac{R_2}{R_1}\right) v_d\right] \\
 &= \left[\frac{1 + \frac{R_4}{R_3}}{1 + \frac{R_3'}{R_4'}} - \frac{R_4}{R_3}\right] v_c + \left[\left(\frac{1 + \frac{R_4}{R_3}}{1 + \frac{R_3'}{R_4'}}\right) \left(\frac{1}{2} + \frac{R_2'}{R_1}\right) + \frac{R_4}{R_3} \left(\frac{1}{2} + \frac{R_2}{R_1}\right)\right] v_d \\
 &= A_c v_c + A_d v_d
 \end{aligned}$$

جہاں

$$A_c = \frac{1 + \frac{R_4}{R_3}}{1 + \frac{R'_3}{R'_4}} - \frac{R_4}{R_3} = \frac{1 + \frac{R_4}{R_3} - \frac{R_4}{R_3} - \frac{R'_3 R_4}{R'_4 R_3}}{1 + \frac{R'_3}{R'_4}} = \frac{1 - \frac{R'_3 R_4}{R'_4 R_3}}{1 + \frac{R'_3}{R'_4}}$$

$$A_d = \left( \frac{1 + \frac{R_4}{R_3}}{1 + \frac{R'_3}{R'_4}} \right) \left( \frac{1}{2} + \frac{R'_2}{R_1} \right) + \frac{R_4}{R_3} \left( \frac{1}{2} + \frac{R_2}{R_1} \right)$$

ہیں۔

• کمر CMRR اس وقت حاصل ہوگی جب مشترکہ افزائش بلند تر جبکہ تفرق افزائش کمر ہو یعنی

$$CMRR_{\text{کمر}} = \left| \frac{A_{d\text{کمر}}}{A_{c\text{بلند تر}}} \right|$$

$A_c$  کی بلند تر قیمت اس وقت حاصل ہوگی جب  $\frac{R'_3 R_4}{R'_4 R_3}$  کی قیمت کم سے کم ہو یعنی

$$R'_4 = (1 + 0.01) 10000 = 10100$$

$$R'_3 = (1 - 0.01) 10000 = 9900$$

$$R_4 = (1 - 0.01) 10000 = 9900$$

$$R_3 = (1 + 0.01) 10000 = 10100$$

اسی طرح  $A_d$  کی کمر قیمت اس وقت حاصل ہوگی جب

$$R_1 = (1 + 0.01) 10000 = 10100$$

$$R'_2 = (1 - 0.01) 100000 = 99000$$

$$R_2 = (1 - 0.01) 100000 = 99000$$

ہوں۔ ان سے

$$CMRR_{\text{کمر}} = 1030$$

حاصل ہوتا ہے۔

•  $R_1 = 1 \text{ k}\Omega$  کرنے سے

$$CMRR_{\text{کمر}} = 9852$$

ہو جاتا ہے۔

• ان نئے قیمتوں سے

$$\begin{aligned}
 R'_4 &= (1 + 0.01) 100000 = 101000 \\
 R'_3 &= (1 - 0.01) 10000 = 9900 \\
 R_4 &= (1 - 0.01) 100000 = 99000 \\
 R_3 &= (1 + 0.01) 10000 = 10100 \\
 R_1 &= (1 + 0.01) 10000 = 10100 \\
 R_2 = R'_2 &= (1 - 0.01) 10000 = 9900
 \end{aligned}$$

اور

$$CMRR_{\text{نئے}} = 814$$

حاصل ہوتا ہے۔

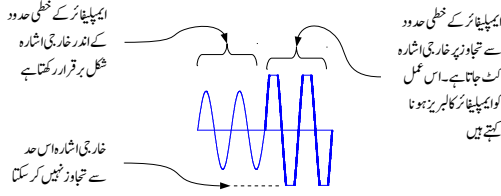
اس مثال میں دو حقائق سامنے آئے۔ پہلا یہ کہ  $A_d$  بڑھانے سے  $CMRR$  کی کمتر قیمت بڑھتی ہے۔ دوسری یہ ہے کہ آلاتی ایمپلیفائر کے  $A_d$  کو پہلے حصے سے حاصل کرنا زیادہ بہتر ہے۔

## 1.6 حسابی ایمپلیفائر کا ناقص پن

اب تک حسابی ایمپلیفائر پر مبنی جتنے بھی ادوار پر غور ہوا، ان تمام میں حسابی ایمپلیفائر کو کامل تصور کیا گیا۔ اس حصہ میں غیر کامل حسابی ایمپلیفائر پر غور کیا جائے گا۔

### 1.6.1 حسابی ایمپلیفائر کا لبریز ہونا

حسابی ایمپلیفائر کا  $v_o$  ہر صورت مساوات 1.3 میں دیے گئے حدود کے اندر رہتا ہے۔  $v_o$  ان حدود سے تجاوز کرنے کی کوشش کرتے ہی غیر خطی صورت اختیار کر لیتا ہے۔ حسابی ایمپلیفائر کے اس غیر خطی عمل کو حسابی ایمپلیفائر کا لبریز<sup>66</sup> ہونا کہتے ہیں۔ شکل 1.28 میں یہ عمل دکھایا گیا ہے۔



شکل 1.28: حسابی ایمپلیفائر کا لیریٹ ہونا

## 1.6.2 حسابی ایمپلیفائر کی رفتار چال

کوئی بھی اشارہ لامحدود رفتار سے تبدیل نہیں ہو سکتا۔ یہی حسابی ایمپلیفائر کے خارجی اشارے کے لئے بھی درست ہے۔ اگر حسابی ایمپلیفائر کو مستطیلی اشارہ بطور داخلی اشارہ فراہم کیا جائے تو اس کا خارجی اشارہ ترچھی شکل کا ہو گا۔ انہیں اس عمل کو مستحکم کار کی مدد سے سمجھیں۔ اگر مستحکم کار کا شکل 1.29 میں دکھایا مستطیلی داخلی اشارہ فراہم کیا جائے تو اس کا خارجی اشارہ ترچھا ہو گا۔ خارجی اشارے کو کسی ایک برقی دباؤ سے کسی دوسرے برقی دباؤ کو حاصل کرنے کے لئے وقت درکار ہوتا ہے۔ خارجی اشارہ جس رفتار سے حرکت کرتا ہے اسے حسابی ایمپلیفائر کا رفتار چال<sup>67</sup> پکارا جائے گا۔ رفتار چال کی وضاحت شکل میں کی گئی ہے۔ رفتار چال کو عموماً وولٹ فی مائیکرو سیکنڈ  $\frac{V}{\mu s}$  لکھا جاتا ہے۔

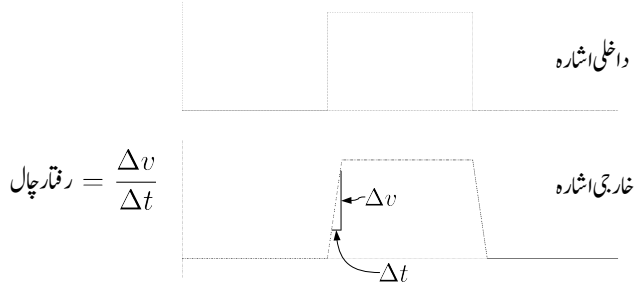
$$(1.61) \quad \text{چال رفتار} = \left| \frac{\Delta v}{\Delta t} \right|$$

سائن نما اشارہ  $V_p \sin \omega t$  کے تفرق کی زیادہ سے زیادہ قیمت  $t = 0$  پر پائی جاتی ہے یعنی

$$\left. \frac{dv_s}{dt} \right|_{t=0} = \omega V_p \cos \omega t \Big|_{t=0} = \omega V_p$$

جب تک یہ مقدار حسابی ایمپلیفائر کے رفتار چال سے کم ہو اس وقت تک حسابی ایمپلیفائر خوش اسلوبی سے اس اشارے کو خارج کرے گا۔ جیسے ہی یہ مقدار رفتار چال سے بڑھ جائے، حسابی ایمپلیفائر کے خارجی اشارے میں خلل پیدا ہو

<sup>67</sup>slew rate



شکل 1.29: حسابی ایپلیفائر کا رفتار چال

جائے گا۔ حسابی ایپلیفائر کے رفتار چال کو اس کی پوری طاقت پر تعدد دائرہ کار کردگی<sup>68</sup> کی شکل میں یوں بیان کیا جاتا ہے

$$(1.62) \quad \omega_{\text{دائرہ کار کردگی}} = \frac{\text{رفتار چال}}{V_p}$$

$$(1.63) \quad f_{\text{دائرہ کار کردگی}} = \frac{\text{رفتار چال}}{2\pi V_p}$$

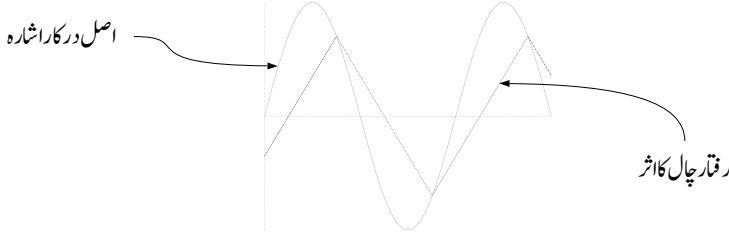
جہاں  $V_p$  حسابی ایپلیفائر کی زیادہ سے زیادہ ممکنہ خارجی برقی دباؤ ہے۔ کم برقی دباؤ خارج کرتے ہوئے اس تعدد کی قیمت بڑھ جاتی ہے۔ یوں  $V_0$  برقی دباؤ خارج کرتے ہوئے

$$(1.64) \quad \omega_{\text{بلند تر}} = \frac{\text{رفتار چال}}{V_0}$$

ہو گا۔ شکل 1.30 میں خارجی اشارے پر رفتار چال کا اثر دکھایا گیا ہے۔ یہ اشارہ اپنی اصل صورت کھو کر متکونی شکل اختیار کر گیا ہے جہاں تکون کے اطراف سے بلند اور پست ہو رہے ہیں۔

مثال 1.20: ایک حسابی ایپلیفائر جس کی رفتار چال  $100 \frac{V}{\mu s}$  ہے کا مستحکم کار بنایا جاتا ہے جسے نہایت کم دورانیے والے 5 V چوٹی کے موٹا مستطیلی پتے اشارات<sup>69</sup> مہیا کئے جاتے ہیں۔

<sup>68</sup> full power band width  
<sup>69</sup> pulses



شکل 1.30: رفتار چال کا اثر

- اشارے کے چوٹی کی کم سے کم وہ دورانیہ  $t_p$  دریافت کریں جس پر خارجی اشارہ بھی 5V تک پہنچ پاتا ہے۔
- اگر داخلی اشارہ متواتر تبدیل ہوتے ہوئے حاصل کردہ دورانیہ  $t_p$  کے لئے 5V اور اتنے ہی دورانیے کے لئے 0V پر رہتا ہو تو خارجی اشارے کی شکل کیا ہوگی۔

حل:

- رفتار چال کے مطابق خارجی اشارہ ایک مائیکرو سیکنڈ میں سو وولٹ حاصل کرنے کی صلاحیت رکھتا ہے۔ پانچ وولٹ حاصل کرنے کے لئے یوں 50 ns درکار ہیں۔ داخلی اشارے کی چوٹی کم سے کم 50 ns کے لئے برقرار رہے گی تو مستحکم کار کا خارجی اشارہ بھی پانچ وولٹ تک پہنچ جائے گا۔
- اس صورت میں جیسے ہی خارجی اشارہ پانچ وولٹ پر پہنچتا ہے اسی لمحہ داخلی اشارہ صفر وولٹ ہو جاتا ہے اور یوں حسابی ایمپلیفائر کا خارجی اشارہ  $100 \frac{V}{\mu s}$  کے رفتار سے اب 5V سے 0V کی جانب روانہ ہوتا ہے۔ یوں خارجی اشارہ ٹکوئی شکل کا ہو گا جو متواتر 50 ns لیتے ہوئے 5V تک اور اسی طرح 50 ns لیتے ہوئے 0V کے درمیان ارتعاش کرتا رہے گا۔

مثال 1.21: ایک منفی حسابی ایمپلیفائر  $0.1 \sin \omega t$  کا اشارہ تیس گنا بڑھاتا ہے۔ اگر حسابی ایمپلیفائر کا رفتار چال  $1000 \frac{V}{\mu s}$  ہو تب داخلی اشارے کی وہ بلند ترین تعدد حاصل کریں جس پر خارجی اشارہ نہ بگڑے۔

حل: خارجی اشارہ  $-3 \sin \omega t$  ہے جس کا تیز ترین رفتار  $t = 0$

$$|-3\omega \cos \omega t|_{t=0} = 3\omega$$

ہے۔ یوں

$$f = \frac{1000 \times 10^6}{2 \times \pi \times 3} = 53 \text{ MHz}$$

وہ بلند ترین تعدد ہے جس کے اشارے کو ایمپلیفائر بالکل درست خارج کر سکتا ہے۔

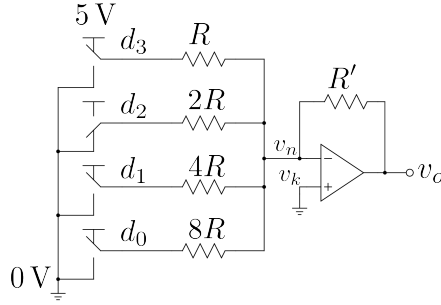
## 1.7 عددی اشارے سے مماثل اشارے کا حصول

شکل 1.31 میں عددی اشارے سے مماثل اشارہ حاصل کرنے والا دور دکھایا گیا ہے جسے ہم عددی سے مماثل کار<sup>70</sup> کہیں گے۔ اس دور کے چار داخلی اشارات  $d_0$  تا  $d_3$  ہیں جنہیں انفرادی طور پر برقی زمین یعنی 0 V یا مثبت برقی دباؤ یعنی 5 V کے ساتھ جوڑا جاسکتا ہے۔ شکل میں  $d_2 = 0 \text{ V}$  پر جبکہ  $d_0$ ،  $d_1$  اور  $d_3$  کو 5 V پر دکھایا گیا ہے۔ آئیں اس دور کو حل کرتے ہیں۔

$$\begin{aligned} v_k &= 0 \\ \frac{v_n - d_3}{R} + \frac{v_n - d_2}{2R} + \frac{v_n - d_1}{4R} + \frac{v_n - d_0}{8R} + \frac{v_n - v_o}{R'} &= 0 \\ v_o &= -\frac{R'}{8R} (8d_3 + 4d_2 + 2d_1 + d_0) \end{aligned}$$

جسے یوں بہتر طریقے سے لکھا جاسکتا ہے۔

$$(1.65) \quad v_o = -\frac{R'}{8R} (2^3 d_3 + 2^2 d_2 + 2^1 d_1 + 2^0 d_0)$$



شکل 1.31: چارِٹ کا عددی سے مماثل کار

عدد سے مماثل کار عددی<sup>71</sup> متغیرہ لیتے ہوئے اس کا مماثل<sup>72</sup> متغیرہ خارج کرتا ہے۔ عددی متغیرات کو دہری نظام اعداد<sup>73</sup> میں لکھا جاتا ہے۔ دہری نظام اعداد کے دو ہی ہندسے ہیں یعنی 0 (صفر) اور 1 (ایک)۔ 0 کو 0V اور 1 کو 5V سے ظاہر کیا جاتا ہے۔  $d_3$  تا  $d_0$  کو  $d_3d_2d_1d_0$  لکھتے ہوئے چار بٹ<sup>74</sup> کا دہرا عدد حاصل ہوتا ہے۔ یوں شکل میں دکھائی صورت

$$d_3d_2d_1d_0 = 1011_2$$

کو ظاہر کرتی ہے جو کہ اعشاری نظام گنتی<sup>75</sup> میں گیارہ  $11_{10}$  کے برابر ہے۔

اگر تمام داخلی دہرے ہندسے صفر کر دیے جائیں تو مساوات 1.65 کے مطابق عددی سے مماثل کار  $v_o = 0V$  خارج کرے گا جبکہ اگر تمام داخلی دہرے ہندسے ایک کر دیے جائیں یعنی انہیں 5V سے ظاہر کیا جائے تب دور

$$\begin{aligned} v_o &= -\frac{R'}{8R} (2^3 \times 5 + 2^2 \times 5 + 2^1 \times 5 + 2^0 \times 5) \\ &= -\frac{R'}{8R} (2^3 + 2^2 + 2^1 + 2^0) \times 5 \\ &= -\frac{R'}{8R} (8 + 4 + 2 + 1) \times 5 \\ &= -\frac{R'}{8R} \times 75 \end{aligned}$$

digital<sup>71</sup>

analog<sup>72</sup>

binary number system<sup>73</sup>

bit<sup>74</sup>

decimal number system<sup>75</sup>



خارج کرے گا۔

$R'$  اور  $R$  کی قیمت سے درکار قیمت تعین کی جاسکتی ہے۔ مثلاً  $R' = \frac{8R}{15}$  رکھتے ہوئے مندرجہ بالا مساوات کے مطابق عددی سے مماثلہ کار  $v_o = -5V$  خارج کرے گا۔ چونکہ  $d_0$  تا  $d_3$  کے چار ہندسوں پر مبنی دہرا عدد سولہ  $16_{10}$  مختلف قیمتیں ظاہر کر سکتا ہے لہذا عددی سے مماثلہ کار صفر وولٹ تا منفی پانچ وولٹ سولہ مختلف قیمتیں خارج کر سکتا ہے۔

عددی سے مماثلہ کار میں اسی طرز پر مزید داخلی اشارات جوڑتے ہوئے زیادہ ہندسوں کا عددی سے مماثلہ کار بنایا جاتا ہے۔

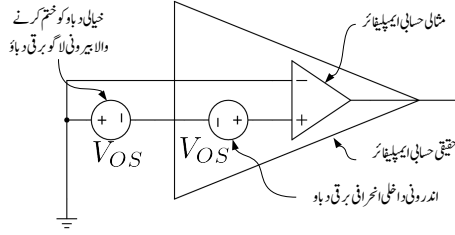
مثال 1.22:  $R' = \frac{8R}{15}$  رکھتے ہوئے  $d_3d_2d_1d_0$  کی قیمت  $1010_2$  ہونے کی صورت میں عددی سے مماثلہ کار کتنی برقی دباؤ خارج کرے گا۔

حل:

$$\begin{aligned} v_o &= -\frac{R'}{8R} (2^3 \times 5 + 2^2 \times 0 + 2^1 \times 5 + 2^0 \times 0) \\ &= -\frac{R'}{8R} (2^3 + 2^1) \times 5 \\ &= -3.333 V \end{aligned}$$

### 1.7.1 ایک سمتی اندرونی داخلی انحرافی برقی دباؤ کا مسئلہ

اگر کامل حسابی ایمپلیفائر کے دونوں داخلی سرے آپس میں جوڑ کر انہیں برقی زمین کے ساتھ جوڑا جائے، یعنی  $v_k = v_n = 0$  کر دیا جائے، تو ہم توقع کرتے ہیں کہ اس کا خارجی اشارہ صفر وولٹ کا ہو گا، یعنی  $v_o = A_d v_d = 0$



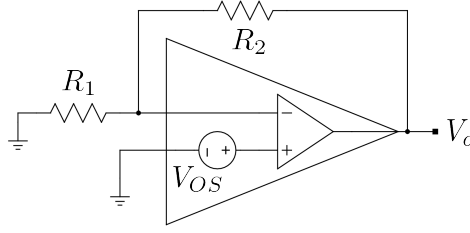
شکل 1.32: داخلی انحرافی برقی دباؤ اور اس کا خاتمہ

ہو گا۔ حقیقت میں ایسا نہیں ہوتا<sup>76</sup> اور عموماً اس طرح جڑا حسابی ایپلیفائر مثبت یا منفی جانب لبریز پایا جاتا ہے۔ حسابی ایپلیفائر کے  $v_o$  کو صفر وولٹ پر لانے کی خاطر حسابی ایپلیفائر کے دونوں داخلی سروں کے مابین برقی دباؤ  $V_{OS}$  مہیا کرنا پڑتا ہے۔

اس حقیقت کو یوں بھی بیان کیا جاسکتا ہے کہ حسابی ایپلیفائر بناتے وقت پوری کوشش کے باوجود اسے کامل بنانا ناممکن ہوتا ہے اور اس میں کچھ کمی رہ جاتی ہے جس کی وجہ سے اس کا عمل یوں پایا جاتا ہے جیسے اس کے داخلی سروں کے مابین برقی دباؤ  $V_{OS}$  جڑی ہو۔ اس خیالی برقی دباؤ  $V_{OS}$  کو ختم کرنے کی خاطر ہمیں اتنی ہی، مگر الٹ علامت والی، برقی دباؤ  $V_{OS}$  اس کے دونوں داخلی سروں کے مابین فراہم کرنی پڑتی ہے۔ اس خیالی برقی دباؤ کو اندرونی داخلی انحرافی برقی دباؤ<sup>77</sup> کہتے ہیں۔ شکل 1.32 میں اس کی وضاحت کی گئی ہے۔

اندرونی داخلی انحرافی برقی دباؤ کی موجودگی غیر پسندیدہ حقیقت ہے جسے ختم کرنے کی تمام تر کوشش کی جاتی ہے۔ حسابی ایپلیفائر بنانے والے صنعت کار اپنے بنائے گئے حسابی ایپلیفائر میں پائے جانے والے اندرونی داخلی انحرافی برقی دباؤ کے حدود کی معلومات فراہم کرتے ہیں۔ یہ حدود عموماً  $\pm 1 \text{ mV}$  تا  $\pm 5 \text{ mV}$  تک ہوتے ہیں۔ اندرونی داخلی انحرافی برقی دباؤ کی علامت نہیں بتلائی جاتی چونکہ قبل از استعمال اس کا جاننا ممکن نہیں ہوتا۔ اندرونی داخلی انحرافی برقی دباؤ کا تخمینہ لگانے کی خاطر مثبت ایپلیفائر استعمال کیا جاسکتا ہے۔ شکل 1.33 میں اسے دکھایا گیا ہے۔ اس شکل میں مثبت سرے کو برقی زمین کے ساتھ جوڑا گیا ہے۔ مزاحمت  $R_2$  کی قیمت کو  $R_1$  کی قیمت سے اتنا بڑا رکھا جاتا ہے کہ خارجی سرے پر چند وولٹ کی یک سمتی برقی دباؤ  $V_{OS}$  پایا جائے۔ اس دور میں اندرونی داخلی انحرافی برقی دباؤ کو بطور داخلی اشارہ استعمال کیا گیا ہے۔ اگر اس اندرونی داخلی انحرافی برقی دباؤ کی قیمت  $V_{OS}$  ہو تب مثبت

<sup>76</sup> اس مسئلہ کے پیدا ہونے کی وجوہات پر حصہ 5.5.1 میں تفصیلاً تبصرہ کیا جائے گا  
<sup>77</sup> input offset voltage



شکل 1.33: داخلی انحرافی برقی دباؤ کی پیمائش

ایمپلیفائر کے لئے یوں لکھا جاسکتا ہے۔

$$(1.66) \quad V_O = \left(1 + \frac{R_2}{R_1}\right) V_{OS} = \frac{(R_1 + R_2)}{R_1} V_{OS}$$

اس مساوات میں  $V_{OS}$  کے علاوہ تمام متغیرات ہمیں معلوم ہیں۔ یوں ان سے  $V_{OS}$  حاصل کی جاسکتی ہے یعنی

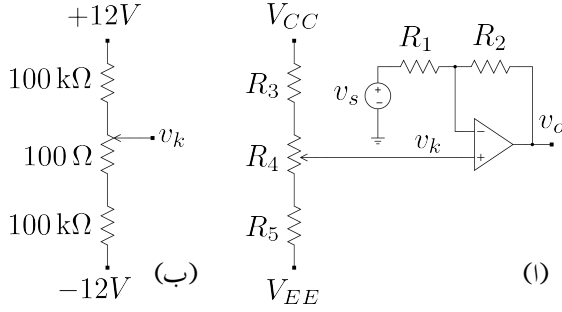
$$(1.67) \quad V_{OS} = \frac{R_1}{R_1 + R_2} V_O$$

شکل 1.34 الف میں اندرونی داخلی انحرافی برقی دباؤ کے اثر کو ختم کر کے منفی ایمپلیفائر کا استعمال دکھایا گیا ہے۔ ایسے ادوار میں  $R_3$  اور  $R_5$  کی قیمتیں کئی کلو اوہم  $k\Omega$  ہوتی ہیں جبکہ متغیر مزاحمت  $R_4$  کی قیمت اتنی رکھی جاتی ہے کہ اس کے درمیانی پنیاسے قابل حصول برقی دباؤ استعمال کردہ حسابی ایمپلیفائر کے اندرونی داخلی انحرافی برقی دباؤ  $V_{OS}$  کے حدود سے قدر زیادہ ہو۔ ایسے متغیر مزاحمت پر پیچ نسب ہوتا ہے جسے گھماتے ہوئے حسابی ایمپلیفائر کے خارجی اشارے  $V_O$  کو صفر وولٹ کرتے ہوئے اندرونی داخلی انحرافی برقی دباؤ کے اثر کو ختم کیا جاتا ہے۔

مثال 1.23: اگر شکل 1.34 الف میں

$$V_{CC} = 12\text{ V} \quad V_{EE} = -12\text{ V} \quad V_{OS} = 2\text{ mV}$$

ہیں۔ داخلی انحرافی برقی دباؤ کے خاتمے کے لئے درکار مزاحمت  $R_3$ ،  $R_4$  اور  $R_5$  منتخب کریں۔



شکل 1.34: داخلی انحرافی برقی دباؤ سے پاک، منفی ایپلیکیشنز

حل: چونکہ داخلی انحرافی برقی دباؤ کی قیمت معلوم ہونے کے باوجود اس کا رخ معلوم نہیں ہوتا لہذا ہمیں ان مزاحمت کو یوں منتخب کرنا ہو گا کہ  $R_4$  تبدیل کرتے ہوئے ہم  $-2\text{mV}$  تا  $2\text{mV}$  یعنی کل  $4\text{mV}$  کی تبدیلی حاصل کر سکیں۔ ہم  $R_3 = R_5 = 100\text{k}\Omega$  لیتے ہوئے  $R_4$  کی قیمت حاصل کرتے ہیں۔

$$(+12 - (-12)) \times \left( \frac{R_4}{R_3 + R_4 + R_5} \right) = 0.004$$

$$24 \times \left( \frac{R_4}{200000 + R_4} \right) = 0.004$$

$$R_4 = 33.34\Omega$$

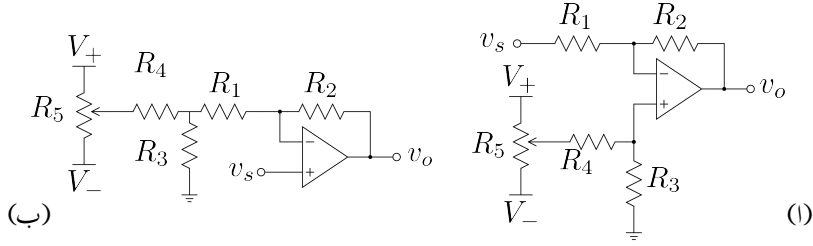
ہم اس سے قدر زیادہ مزاحمت منتخب کرتے ہیں مثلاً  $R_4 = 100\Omega$  -

آئیں دیکھیں کہ ان قیمتوں سے  $v_k$  میں کن حدود کے مابین تبدیلی ممکن ہے۔  $R_4$  کے متغیر سرے کو ایک جانب پورا گھما کر شکل الف میں دکھایا گیا ہے۔ اس صورت میں کرخوف کے قانون برائے برقی رو کی مدد سے ہم لکھ سکتے ہیں

$$\frac{v_k - V_{CC}}{R_3} + \frac{v_k - V_{EE}}{R_4 + R_5} = 0$$

$$\frac{v_k - 12}{100000} + \frac{v_k + 12}{100 + 100000} = 0$$

$$v_k = 5.99\text{mV}$$



شکل 1.35: داخلی انحرافی برقی دباؤ سے پاک ایپلیفائر

اسی طرح اگر  $R_4$  کو دوسری جانب پورا گھمایا جائے تب

$$\frac{v_k - V_{CC}}{R_3 + R_4} + \frac{v_k - V_{EE}}{R_5} = 0$$

$$\frac{v_k - 12}{100000 + 100} + \frac{v_k + 12}{100000} = 0$$

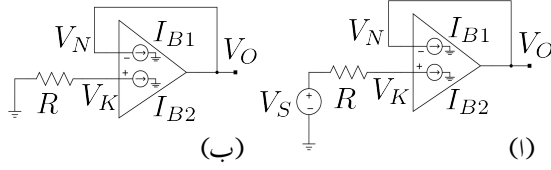
$$v_k = -5.99 \text{ mV}$$

حاصل ہوتا ہے۔ موجودہ مثال میں حسابی ایپلیفائر کا داخلی انحرافی برقی دباؤ  $-2 \text{ mV}$  تا  $2 \text{ mV}$  کے مابین کہیں پر بھی ہو سکتا ہے۔ حسابی ایپلیفائر کا داخلی اشارہ  $v_s = 0$  رکھتے ہوئے اس کے خارجی اشارے  $v_o$  پر نظر رکھ کر  $R_4$  کو اس مقام پر لایا جاتا ہے جہاں  $v_o = 0$  حاصل ہو۔  $R_4$  کو اسی قیمت پر پکا چھوڑ دیا جاتا ہے۔

شکل 1.35 میں داخلی انحرافی برقی دباؤ سے پاک منفی اور مثبت ایپلیفائر دکھائے گئے ہیں۔ ان ادوار میں  $R_3 = 100 \Omega$ ،  $R_4 = 150 \text{ k}\Omega$ ،  $R_5 = 50 \text{ k}\Omega$  اور  $V_+ = 12 \text{ V}$  اور  $V_- = -12 \text{ V}$  کی صورت میں  $\pm 8 \text{ mV}$  کے داخلی انحرافی برقی دباؤ کا خاتمہ ممکن ہو گا۔

## 1.7.2 داخلی برقی رد کا مسئلہ

اگرچہ حسابی ایپلیفائر کی داخلی برقی رد  $I_B$  کی قیمت عموماً قابل نظر انداز ہوتی ہے البتہ کبھی کبھار نہایت حساس یا باریک اشارات کی قیمت بھی  $I_B$  کے لگ بھگ ہوتی ہے۔ ایسی صورت میں  $I_B$  کو نظر انداز کرنا ممکن نہیں



شکل 1.36: داخلی برقی رو کا مسئلہ

ہوتا۔ اس طرح کے مجبوری کے علاوہ بھی ادوار بناتے وقت اگر  $I_B$  کو مد نظر رکھا جائے تو کچھ حرج نہیں۔ داخلی برقی رو یک سمتی نوعیت کی ہوتی ہے۔ حسابی ایمپلیفائر کے درست کارکردگی کے لئے یہ ضروری ہے کہ اس کے دونوں داخلی سروں پر یک سمتی برقی رو کے لئے راستہ موجود ہو۔ انہیں دیکھتے ہیں کہ اس  $I_B$  کے بارے میں عموماً کیا کیا جاتا ہے۔

حسابی ایمپلیفائر کی اندرونی ساخت کی وجہ سے اس کے داخلی سروں پر یک سمتی برقی رو درکار ہوتی ہے۔ مزید یہ کہ دونوں داخلی سروں پر برقی رو کا رخ ایک ہی سمت میں ہوتا ہے۔ اگر کسی ایک قسم کے ایمپلیفائر میں برقی رو کا رخ داخلی سروں پر اندر کی جانب ہو تو کسی دوسرے قسم کے ایمپلیفائر میں دونوں یک سمتی داخلی برقی رو کا رخ باہر کی جانب ہو سکتا ہے۔ اس داخلی برقی رو جسے داخلے میں برقی رو<sup>78</sup> کہتے ہیں کے مقدار کا دار و مدار ایمپلیفائر کی ساخت پر ہوتا ہے۔ شکل 1.36 الف میں مستحکم کار دکھایا گیا ہے جہاں حسابی ایمپلیفائر کے داخلی برقی رو  $I_{B1}$  اور  $I_{B2}$  کو منبع مستقل برقی رو<sup>79</sup> تصور کیا گیا ہے۔ یک سمتی داخلی اشارہ  $V_S$  کی قیمت صفر ہونے کی صورت میں شکل الف حاصل ہوتا ہے۔ مستحکم کار کی خاصیت یہ ہے کہ یہ داخلی اشارہ کو بغیر تبدیلی خارج کرتا ہے۔ یوں ہم توقع رکھتے ہیں کہ  $V_S = 0$  کی صورت میں  $V_O = 0$  ہو گا مگر ایسا نہیں ہوتا۔ شکل الف پر غور کرنے سے معلوم ہوتا ہے کہ داخلی برقی رو کی وجہ سے

$$V_K = -I_{B2}R$$

حاصل ہوتا ہے۔  $V_N = V_K$  ہونے سے

$$V_O = -I_{B2}R \quad (1.68)$$

حاصل ہو گا۔ جیسا کہ پہلے ذکر ہوا، چونکہ عام حالات میں داخلے میں برقی رو کی قیمت نہایت کم ہوتی ہے لہذا اس برقی رو کو عموماً نظر انداز کرنا ممکن ہوتا ہے۔ اس وقت ہم کوئی ایسی ترکیب جاننا چاہیں گے کہ ناقابل نظر انداز داخلے میں برقی رو کی صورت میں یہ دور  $V_O = 0$  خارج کرے۔

<sup>78</sup> input bias current  
<sup>79</sup> constant current source

شکل 1.37 میں مستحکم کار کو ذرا تبدیل کرتے ہوئے اس میں مزاحمت  $R_1$  شامل کیا گیا ہے۔ مستحکم کار کی کارکردگی ایسا کرنے سے ہرگز متاثر نہیں ہوتی۔ اس دور میں بھی

$$V_K = -I_{B2}R$$

اور

$$V_N = V_K = -I_{B2}R$$

حاصل ہوتا ہے۔ البتہ  $R_1$  پر اُوہم کے قانون سے

$$V_O - V_N = I_{B1}R_1$$

لکھا جاسکتا ہے جس سے

$$V_O = V_N + I_{B1}R_1$$

حاصل ہوتا ہے۔ اگر دونوں داخلی میلاؤں برقی رو کے قیمتیں برابر ہوں ( $I_{B1} = I_{B2} = I_B$ ) تب ہم اس مساوات کو یوں لکھ سکتے ہیں۔

$$V_O = -I_BR + I_BR_1$$

دور میں

$$(1.69) \quad R_1 = R$$

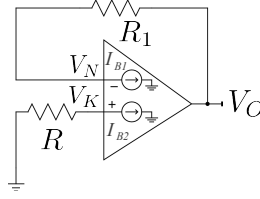
لینے سے  $V_O = 0$  حاصل ہوتا ہے یعنی

$$V_O = -I_BR + I_BR = 0$$

پس ہم نے دیکھا کہ دور میں دونوں دخول پر یک سمتی برقی رو کے لئے برابر مزاحمت نسب کرنے سے داخلی میلاؤں برقی رو کا مسئلہ حل ہو جاتا ہے۔

اگر  $R_1 = R$  لیتے ہوئے اس حقیقت کو مد نظر رکھا جائے کہ دونوں داخلی برقی رو کے قیمتیں برابر نہیں ہوتیں تو اس صورت میں گزشتہ مساوات سے

$$(1.70) \quad V_O = -I_{B2}R + I_{B1}R = (I_{B1} - I_{B2})R$$



شکل 1.37: داخلی برقی رو کے مسئلے کا حل

حاصل ہوتا ہے۔ اگرچہ اس صورت میں  $V_O = 0$  حاصل نہیں ہو گا مگر چونکہ

$$|I_{B1} - I_{B2}| \ll I_B$$

ہوتا ہے لہذا مساوات 1.70 سے حاصل  $V_O$  کی قیمت مساوات 1.68 سے حاصل  $V_O$  کی قیمت سے زیادہ بہتر (یعنی کم) ہے۔

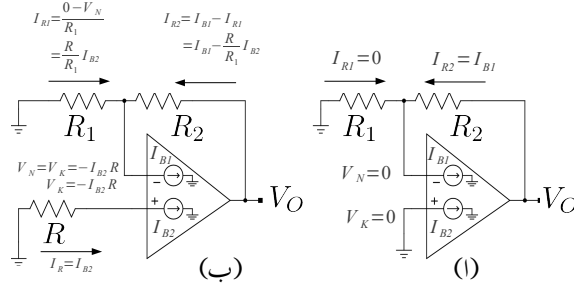
مثال 1.24: منفی ایپلیٹائر میں مسئلہ داخلی برقی دباؤ کی نشاندہی کریں اور اس سے نپٹنے کا حل دریافت کریں۔

حل: شکل 1.7 میں منفی ایپلیٹائر دکھایا گیا ہے جس میں داخلی اشارہ کی قیمت صفر کرنے سے شکل 1.38 الف حاصل ہوتا ہے۔ شکل-الف میں مثبت داخلی سرا برقی زمین کے ساتھ جڑا ہے لہذا  $V_K = 0$  ہے اور یوں  $V_N = V_K = 0$  ہو گا۔  $V_N = 0$  ہونے کی وجہ سے  $I_{R1} = 0$  ہو گا اور یوں منفی داخلی سرے کی داخلی برقی رو تمام کی تمام مزاحمت  $R_2$  سے گزرے گی یعنی  $I_{R2} = I_{B1}$  ہو گا۔ مزاحمت  $R_2$  پر اوہم کے قانون سے  $V_O$  یوں حاصل ہوتا ہے۔

$$\begin{aligned} V_O - V_N &= I_{R2}R_2 \\ V_O &= V_N + I_{R2}R_2 \\ V_O &= 0 + I_{B1}R_2 \\ V_O &= I_{B1}R_2 \end{aligned} \quad (1.71)$$

شکل 1.38 ب میں مثبت داخلی سرے سے برقی زمین تک مزاحمت  $R$  جوڑ کر داخلی برقی رو کے مسئلے کو حل کرنے کی کوشش کی گئی ہے۔ جیسا شکل میں دکھایا گیا ہے  $I_R = I_{B2}$  ہونے کی وجہ سے  $V_K = -I_{B2}R$  ہو





شکل 1.38: منفی ایڈپٹائز میں مسئلہ داخلی برقی رو اور اس کا حل

گاہیوں منفی داخلی سرے پر بھی اتنا ہی برقی دباؤ ہو گا (یعنی  $V_N = V_K = -I_{B2}R$ )۔ مزاحمت  $R_1$  کا بایاں سرا برقی زمین پر ہے جب کہ اس کا دایاں سرے پر منفی برقی دباؤ ہے لہذا اس میں بائیں سرے سے دائیں سرے کی جانب برقی رو گزرے گا

$$I_{R1} = \frac{R}{R_1} I_{B2}$$

منفی داخلی سرے پر کرخوف کے قانون برائے برقی رو کی مدد سے  $I_{R2}$  یوں حاصل کیا جاسکتا ہے۔

$$\begin{aligned} I_{R1} + I_{R2} &= I_{B1} \\ \frac{R}{R_1} I_{B2} + I_{R2} &= I_{B1} \\ I_{R2} &= I_{B1} - \frac{R}{R_1} I_{B2} \end{aligned}$$

مزاحمت  $R_2$  پر اوہم کا قانون استعمال کرتے ہوئے  $V_O$  حاصل کرتے ہیں۔

$$\begin{aligned} V_O - V_N &= I_{R2} R_2 \\ V_O &= V_N + I_{R2} R_2 \\ V_O &= -I_{B2} R + \left( I_{B1} - \frac{R}{R_1} I_{B2} \right) R_2 \end{aligned} \quad (1.72)$$

اگر دونوں داخلی میلان برقی رو کی قیمتیں برابر ہوں یعنی  $I_{B1} = I_{B2}$  تب اس مساوات سے حاصل ہوتا ہے۔

$$\begin{aligned} V_O &= -I_B R + \left( I_B - \frac{R}{R_1} I_B \right) R_2 \\ (1.73) \quad &= I_B \left( -R + R_2 - \frac{R R_2}{R_1} \right) \end{aligned}$$

ہم چاہتے ہیں کہ داخلی میلان برقی رو کی وجہ سے کسی قسم کا خارجی برقی دباؤ پیدا نہ ہو۔ اس مساوات میں  $V_O = 0$  استعمال کرتے ہوئے ہم  $R$  کی وہ قیمت دریافت کر سکتے ہیں جس سے ایسا ممکن ہو یعنی

$$(1.74) \quad R = \frac{R_1 R_2}{R_1 + R_2}$$

پس منفی ایملیفائر کے مثبت داخلی سرے اور برقی زمین کے درمیان متوازی جڑے  $R_1$  اور  $R_2$  کے برابر مزاحمت نسب کرنے سے داخلی میلان برقی رو کا مسئلہ حل ہو جاتا ہے۔

اگر دونوں داخلی میلان برقی رو برابر نہ ہوں تب مساوات 1.72 میں

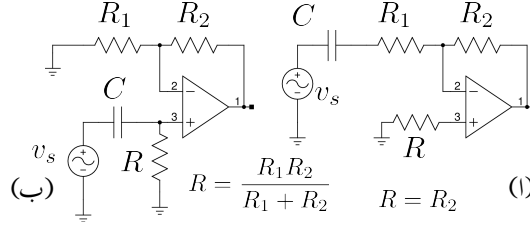
$$R = \frac{R_1 R_2}{R_1 + R_2}$$

لیتے ہوئے

$$(1.75) \quad V_O = (I_{B1} - I_{B2}) R_2$$

حاصل ہوتا ہے۔ یوں اس صورت میں اگرچہ داخلی میلان برقی رو کا مسئلہ پوری طرح حل نہیں ہوتا لیکن مساوات 1.71 کے ساتھ موازنہ کرنے سے (چونکہ  $I_{B1} \gg |I_{B1} - I_{B2}|$  ہے) ہم دیکھتے ہیں کہ  $V_O$  میں خاطر خواہ کمی آتی ہے۔

ہم دیکھتے ہیں کہ حسابی ایملیفائر کے دونوں داخلی سروں پر یک سمتی میلان برقی رو کو برقی زمین تک پہنچنے کی خاطر برابر مزاحمت فراہم کرنے سے داخلی برقی رو کا مسئلہ حل ہوتا ہے۔ یہاں یک سمتی میلان برقی رو کے راستے کی بات کی گئی نہ کہ بدلتے برقی رو کے راستے کی۔ اس بات کی وضاحت شکل 1.39 کی مدد سے کرتے ہیں۔ یاد رہے کہ کپیسٹر میں یک سمتی برقی رو نہیں گزر سکتا اور یہ بالکل لامحدود مزاحمت کی طرح کردار ادا کرتا ہے۔ شکل 1.38



شکل 1.39: مسئلہ داخلی برقی رو کے چند مثالیں اور یک سمتی برقی رو کا برقی زمین تک رسائی کا راستہ

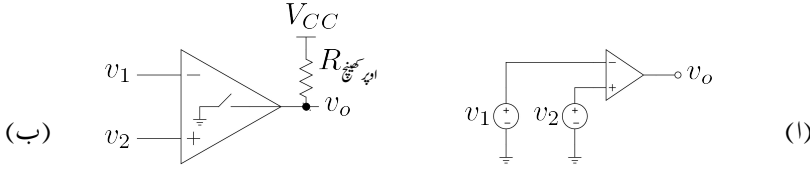
الف میں منفی ایمپلیفائر دکھایا گیا ہے جس کا عمومی طور پر مثبت داخلی سرا برقی زمین کے ساتھ جڑا ہوتا ہے۔ منفی داخلی سرے کے ایک سمتی میلان برقی رو کا برقی زمین تک راستہ  $R_2$  ہے اور یوں مثبت داخلی سرے اور برقی زمین کے درمیان  $R = R_2$  جوڑ کر داخلی میلان برقی رو کا مسئلہ حل کیا گیا ہے۔ شکل 1.38 ب میں مثبت ایمپلیفائر دکھایا گیا ہے۔ یہاں اشارہ کو کمپیسٹر کے ذریعہ ایمپلیفائر کے ساتھ جوڑا گیا ہے جس سے اس داخلی سرے کے میلان برقی رو کو برقی زمین تک راستہ میسر نہیں ہو گا اور یوں یہ ایمپلیفائر کام کرنے سے قاصر ہے۔ اس کی صحیح کارکردگی کے لئے ضروری ہے کہ اس داخلی سرے سے برقی زمین تک ایک سمتی میلان برقی رو کے لئے راستہ موجود ہو۔ چونکہ منفی داخلی سرے کے ایک سمتی میلان برقی رو کا برقی زمین تک راستہ  $R_1$  اور  $R_2$  کے ذریعہ ہے اور ایک سمتی میلان برقی رو کے نقطہ نظر سے یہ دونوں مزاحمت متوازی جڑے ہیں لہذا مثبت داخلی سرے اور زمین کے درمیان مزاحمت

$$R = \frac{R_1 R_2}{R_1 + R_2}$$

نسب کر کے اس داخلی سرے کے ایک سمتی میلان برقی رو کو زمین تک راستہ فراہم کیا جاتا ہے اور ساتھ ہی ساتھ مسئلہ داخلی میلان برقی رو کو بھی حل کیا جاتا ہے۔ یہاں یہ بتلانا ضروری ہے کہ مثبت داخلی سرے اور زمین کے درمیان مزاحمت  $R$  نسب کرنے سے اس داخلی سرے کا داخلی مزاحمت کم ہوتا ہے جو کہ عموماً قابل برداشت نہیں ہوتا۔

## 1.8 موازنہ کار

شکل 1.40 الف کے حسابی ایمپلیفائر میں  $v_2 > v_1$  کی صورت میں  $v_0$  مکمل مثبت یعنی  $V_{CC}$  پر ہو گا جبکہ  $v_2 < v_1$  کی صورت میں  $v_0$  مکمل منفی یعنی  $V_{EE}$  پر ہو گا۔ حسابی ایمپلیفائر داخلی اشارات کا موازنہ کرتے



شکل 1.40: موازنہ کار

ہوئے  $V_{CC}$  یا  $V_{EE}$  خارج کرتا ہے۔ یہ عمل نہایت اہم ہے اور اس عمل کی رفتار تیز تر درکار ہوتی ہے۔ موازنہ کار<sup>80</sup> ایسا مخلوط دور ہے جسے خاص اسی مقصد کے لئے تخلیق دیا گیا ہے۔

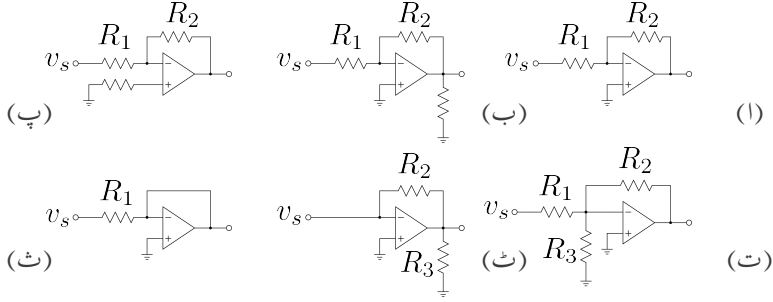
موازنہ کار کی علامت وہی ہے جو حسابی ایمپلیفائر کی ہے۔ حسابی ایمپلیفائر مثبت یا منفی اشارہ خارج کر سکتا ہے جبکہ موازنہ کار داخلی اشارات کا موازنہ کرتے ہوئے دو مختلف صورت اختیار کر سکتا ہے۔ ایک صورت میں یہ منقطع ہو جاتا ہے جبکہ دوسری صورت میں یہ مقرر برقی دباؤ خارج کرتا ہے جو عموماً  $0V$  یا  $V_{EE}$  ہوتا ہے۔

موازنہ کار کی کارکردگی کو شکل الف میں دکھایا گیا ہے جہاں اس کے ممکنہ خارجی صورت منقطع اور  $0V$  ہیں۔  $v_2 > v_1$  کی صورت میں سوئچ منقطع رہتا ہے جبکہ  $v_2 < v_1$  کی صورت میں سوئچ چالو ہو کر خارجی سرے کو برقی زمین کے ساتھ جوڑتا ہے۔ خارجی سرے اور  $V_{CC}$  کے درمیان مزاحمت  $R$  سوئچ اپر جوڑنے سے منقطع صورت میں  $v_o = V_{CC}$  حاصل کیا جاسکتا ہے۔

آئیں موازنہ کار کے استعمال کی ایک مثال دیکھیں۔

مثال 1.25: اس مثال میں چالو مشین کے درجہ حرارت اور اس میں میکانیکی دباؤ پر نظر رکھا جاتا ہے۔ اگر ان میں کوئی ایک یا دونوں مقررہ حد سے تجاوز کریں تو مشین کو منقطع کر دیا جاتا ہے۔ مشین اس وقت تک چالو رہتا ہے جب تک اسے چالو رکھنے والا  $5V$  کا اشارہ ملتا رہے۔ مشین اسی دم منقطع ہو جاتا ہے جب اسے منقطع کرنے والا  $v_o = 0V$  کا اشارہ ملے۔ منقطع کر دینے والے اشارے کو تیر کے نشان سے دکھایا گیا ہے۔





شکل 1.42: حسابی منفی ایمپلیفائر کے سوالات

## سوالات

سوال 1.1: شکل 1.42 میں

$$V_{CC} = 12 \text{ V} \quad V_{EE} = -12 \text{ V} \quad v_s = 0.5 \text{ V}$$

$$R_1 = 10 \text{ k}\Omega \quad R_2 = 200 \text{ k}\Omega \quad R_3 = 10 \text{ k}\Omega$$

ہیں۔

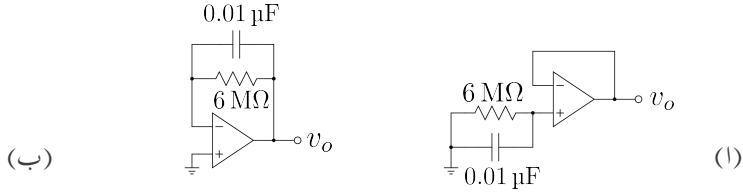
- کامل حسابی ایمپلیفائر تصور کرتے ہوئے ان تمام ادوار کے داخلی مزاحمت اور خارجی اشارے حاصل کریں۔
- غیر کامل حسابی ایمپلیفائر تصور کرتے ہوئے دوبارہ حل کریں۔ غیر کامل حسابی ایمپلیفائر کے جزو

$$A = 60\,000 \quad R_i = 100 \text{ M}\Omega \quad R_o = 200 \Omega$$

ہیں۔

جوابات: داخلی مزاحمت:  $10 \text{ k}\Omega, 10 \text{ k}\Omega, 10 \text{ k}\Omega, 10 \text{ k}\Omega, 10 \text{ k}\Omega, 10 \text{ k}\Omega$  اور  $0 \Omega$ ؛  
خارجی اشارہ:  $-10 \text{ V}, -10 \text{ V}, -10 \text{ V}, -10 \text{ V}, -12 \text{ V}$  اور  $0 \text{ V}$

سوال 1.2: کامل حسابی ایمپلیفائر تصور کرتے ہوئے  $10 \text{ M}\Omega$  سے کم مزاحمتوں کے استعمال سے صفحہ 16 پر دیے شکل 1.7 کے طرز پر منفی حسابی ایمپلیفائر تخلیق دیں۔



شکل 1.43: حسابی ایمپلیفائر کے میلان برقی رو کا حصول

- $A_v = -25 \frac{V}{V}$  کی صورت میں  $R_2$ ،  $R_1$  اور زیادہ سے زیادہ ممکنہ داخلی مزاحمت کیا ہوگی۔
- $A_v = -1000 \frac{V}{V}$  کی صورت میں زیادہ سے زیادہ ممکنہ داخلی مزاحمت کیا ہوگی۔

جوابات:  $R_1 = 400 \text{ k}\Omega$ ،  $R_2 = 10 \text{ M}\Omega$ ،  $R_{\text{داخلی}} = 400 \text{ k}\Omega$  اور  $R_{\text{داخلی}} = 10 \text{ k}\Omega$

سوال 1.3:  $200 \text{ k}\Omega$  سے کم مزاحمت استعمال کرتے ہوئے  $A_v = -1000 \frac{V}{V}$  کا منفی ایمپلیفائر بنانے سے زیادہ سے زیادہ ممکنہ داخلی مزاحمت صرف  $200 \Omega$  حاصل ہوتی ہے۔ صفحہ 23 پر دیے شکل 1.10 کے طرز پر ایمپلیفائر بنائیں جس کی داخلی مزاحمت زیادہ سے زیادہ ہو۔

جوابات:  $R_1 = R_2 = 200 \text{ k}\Omega$ ،  $R_{\text{داخلی}} = 200 \text{ k}\Omega$ ،  $\frac{R_4}{R_2} + \frac{R_4}{R_3} = 1000$ ،  $R_1 = R_2 = 200 \text{ k}\Omega$

سوال 1.4: حسابی ایمپلیفائر کی میلان برقی رو حاصل کرنے کی خاطر شکل 1.43 استعمال کیا جاتا ہے۔ کسٹمر کے استعمال سے برقی شور کا خاتمہ ہوتا ہے۔

- شکل-الف میں  $V_o = -1.2 \text{ V}$  جبکہ شکل الف میں  $V_o = -1.21 \text{ V}$  پایا جاتا ہے۔ مثبت داخلی سرے کی میلان برقی رو  $I_{B1}$  اور منفی داخلی سرے کی میلان برقی رو  $I_{B2}$  اور ان کی سمتیں حاصل کریں۔

•  $I_{B1}$  اور  $I_{B1}$  سے انحراف برقی رو حاصل کریں

- ایک حسابی ایمپلیفائر جس کی میلان برقی رو  $100 \text{ nA}$  کے لگ بھگ ہے کی مکمل درست میلان برقی رو حاصل کرنے کی خاطر شکل کو استعمال کیا جاتا ہے۔ قابل ناپ خارجی اشارہ حاصل کرنے کی خاطر مزاحمت کی وہ قیمت تجویز کریں جس پر  $v_o = 1.5 \text{ V}$  کے لگ بھگ حاصل ہو۔

سوال 1.5: عفت بریجنہ نے انجینئرنگ کے آخری سال میں آلاتی ایپلیفائر کو استعمال کرتے ہوئے برقی قلب نگار<sup>82</sup> بنانے کا منصوبہ بنایا۔ پہلے مرحلے میں انہوں نے شکل 1.26 میں  $R_1 = 250 \Omega$ ,  $R_2 = 2.5 \text{ k}\Omega$  اور  $R_3 = R_4 = 39 \text{ k}\Omega$  رکھ کر دائیں ہاتھ کی کلائی کو  $v_1$  جبکہ بائیں ہاتھ کی کلائی کو  $v_2$  کے ساتھ جوڑا۔ ایسا کرنے کی خاطر ہم محوری تار<sup>83</sup> استعمال کئے گئے جن کی بیرونی تابے کی چادر کو دور کے برقی زمین کے ساتھ جوڑا گیا تاکہ تار میں حساس اشارات پر بیرونی ناپسندیدہ برقی شور کے اثرات کم سے کم کئے جاسکیں۔ دایاں ٹخنہ بھی برقی زمین کے ساتھ جوڑا گیا جس سے 50 Hz کا برقی شور نہایت کم ہو جاتا ہے۔ حساس اشارات میں واپڈا کے 50 Hz کا شور عموماً پایا جاتا ہے جس سے نپٹنا ضروری ہوتا ہے۔

• اصل اشارہ  $v_2 - v_1$  کی قیمت دریافت کریں۔

• دل کا کون سا طرف دھڑکتے وقت مثبت برقی دباؤ پر تھا۔

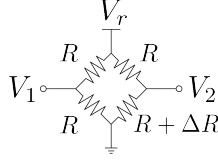
سوال 1.6: برقی قلب نگار میں برقی شور کے مسئلہ پر تحقیق کرنے کی خاطر عفت نے سائن نما داخلی اشارے کے سیٹ کو سوگنا بڑھانے کی خاطر شکل 1.7 میں دکھائے منفی حسابی ایمپلیفائر استعمال کیا جس میں  $R_1 = 1 \text{ k}\Omega$  اور  $R_2 = 100 \text{ k}\Omega$  رکھے گئے۔ بغیر زیادہ غور کئے لہریں <sup>84</sup> پر دیکھا گیا کہ  $0.1 \text{ V}$  کا اشارہ بڑھاتے وقت دور نہایت عمدگی سے کام کرتے ہوئے  $10 \text{ V}$  خارج کرتا ہے۔ عفت نے امید رکھی کہ  $10 \text{ mV}$  کے اشارے کو بھی دور خوش اسلوبی سے بڑھاتے ہوئے  $1 \text{ V}$  خارج کرے گا۔ لہریں میں غور سے دیکھتے ہوئے معلوم ہوا ہے کہ خارجی اشارے کی مثبت چوٹی  $1.2 \text{ V}$  جبکہ اس کی منفی چوٹی  $-0.8 \text{ V}$  پر تھی۔

•  $v_s = 0\text{ V}$  کی صورت میں  $v_o$  کی کیا قیمت متوقع ہے۔

• اگر مسئلہ میلاض برقی رو کی وجہ سے پیدا ہوا ہو تب حسابی ایکسیلفائر کے مثبت داخلی سرے پر کتنی مزاحمت نسب کرنے سے مسئلہ حل ہو گا۔

ecg<sup>82</sup>  
co-axial cable<sup>83</sup>  
oscilloscope<sup>84</sup>





شکل 1.44: ویٹسٹون چکور

- مثبت داخلی سرے پر درکار مزاحمت نسب کرنے سے  $v_s = 0V$  کی صورت میں  $v_o = 0.19V$  حاصل ہوتا ہے۔ یوں میلانز برقی رو کی وجہ سے خارجی اشارے میں  $10mV$  کا فرق پیدا ہو رہا تھا۔ میلانز برقی رو کی قیمت حاصل کریں۔
- توقع کی جاتی ہے کہ بقایا  $v_o = 0.19V$  داخلی انحرافی برقی دباؤ کی وجہ سے ہے۔ استعمال کئے گئے حسابی ایمپلیفائر کی داخلی انحرافی برقی دباؤ  $V_{OS}$  حاصل کریں۔

$$|V_{OS}| = 1.88mV \quad I_B = 100nA, 990\Omega, 0.2V \text{ جوابات:}$$

سوال 1.7: مال لادن سے پہلے اور لادن کے بعد ٹرک کا وزن کرتے ہوئے لگے مال کا وزن حاصل کیا جاتا ہے۔ ٹرک کا وزن ناپنے کی خاطر لوڈ سیل<sup>85</sup> استعمال کیا جاتا ہے جو درحقیقت ویٹسٹون چکور<sup>86</sup> پر مشتمل ہوتا ہے۔ ویٹسٹون چکور<sup>87</sup> کو شکل 1.44 میں دکھایا گیا ہے۔ عام صورت میں اس کے چاروں مزاحمتوں کی قیمت برابر  $R$  ہوتی ہے۔ وزن پڑنے پر ان میں سے ایک مزاحمت کی مزاحمت تبدیل ہو کر  $R + \Delta R$  ہو جاتی ہے۔ ویٹسٹون چکور سے اشارات  $V_1$  اور  $V_2$  حاصل کرتے ہوئے آلاتی ایمپلیفائر کو مہیا کئے جاتے ہیں جو ان میں نہایت باریک فرق  $V_2 - V_1$  کو بڑھا کر خارج کرتا ہے۔ ویٹسٹون چکور کو آلاتی ایمپلیفائر کے ساتھ جوڑ کر خارجی اشارہ  $v_o$  کی مساوات حاصل کریں۔ آلاتی ایمپلیفائر کو صفحہ 54 پر شکل 1.26 میں دکھایا گیا ہے۔

جواب: ویٹسٹون چکور کا

$$V_2 - V_1 = \frac{\Delta R}{4 \left( R + \frac{\Delta R}{2} \right)} V_r$$

<sup>85</sup>load cell

<sup>86</sup>Wheatstone bridge

<sup>87</sup>ویٹسٹون چکور کا نام چارلس ویٹسٹون سے منسوب ہے جنہوں نے اس کا استعمال عام بنایا

کے برابر ہے۔ اس کو آلاتی ایمپلیفائر کی افزائش سے ضرب دیتے ہوئے

$$v_o = \frac{\Delta R}{4 \left( R + \frac{\Delta R}{2} \right)} \left( \frac{R_4}{R_3} \right) \left( 1 + \frac{2R_2}{R_1} \right) V_r$$

حاصل ہوتا ہے۔

سوال 1.8: مثبت حسابی ایمپلیفائر میں  $R_1 = 1 \text{ k}\Omega$  اور  $R_2 = 14.7 \text{ k}\Omega$  رکھے گئے۔  $v_s = 0.5 \text{ V}$  اشارے پر  $v_o = 7.85 \text{ V}$  متوقع ہے۔ مزاحمتوں کے قیمتوں میں  $\pm 5\%$  غلطی کے گنجائش کی صورت میں

- $v_o$  کے ممکنہ حدود حاصل کریں۔
- کل غلطی اصل جواب کے کتنے فی صد ہے۔
- اگر کل غلطی کو  $5\%$  سے کم رکھا جائے تو مزاحمتوں کے قیمت میں زیادہ سے زیادہ کتنے فی صد غلطی قابل برداشت ہوگی۔

جوابات: خارجی اشارہ  $7.15 \text{ V}$  تا  $8.62368 \text{ V}$  ممکن ہے۔ زیادہ سے زیادہ  $v_o$  اس وقت حاصل ہوگا جب  $R_2$  کی قیمت  $5\%$  زیادہ اور  $R_1$  کی قیمت  $5\%$  کم ہو۔ کل غلطی  $18.77\%$  ہے۔  $\pm 1.33\%$

سوال 1.9: غیر کامل حسابی ایمپلیفائر استعمال کرتے ہوئے منفی حسابی ایمپلیفائر بنایا جاتا ہے جس میں  $R_1 = 5 \text{ k}\Omega$  اور  $R_2 = 50 \text{ k}\Omega$  رکھے جاتے ہیں۔ غور کرنے پر معلوم ہوتا ہے کہ  $\frac{v_o}{v_s} = -9.99 \frac{\text{V}}{\text{V}}$  حاصل ہوا ہے۔ کامل حسابی ایمپلیفائر کا مساوی دور استعمال کرتے ہوئے حسابی ایمپلیفائر کی  $A_d$  حاصل کریں۔

جوابات:  $A_d = 10989 \frac{\text{V}}{\text{V}}$

سوال 1.10: صفحہ 25 پر مزاحمت نما ایمپلیفائر دکھایا گیا ہے۔  $A_d \rightarrow \infty$  کی صورت میں مزاحمت نما ایمپلیفائر کی  $\frac{v_o}{i_s} = -R$  کے برابر ہوتی ہے۔ محدود  $A_d$  کی صورت میں حسابی ایمپلیفائر کے کامل مساوی دور کے استعمال سے  $\frac{v_o}{i_s}$  اور داخلی مزاحمت حاصل کریں۔

جوابات:  $R_{\text{داخلی}} = \frac{R}{A_d + 1}$  ،  $\frac{v_o}{i_s} = -\frac{A_d R}{A_d + 1}$

سوال 1.11: ایک منفی حسابی ایمپلیفائر جس کی  $A_d = 60\,000 \frac{V}{V}$  ہو خطی خطے میں رہتے ہوئے  $12\,V$  خارج کر رہا ہے۔ کامل مساوی دور استعمال کرتے ہوئے منفی داخلی سرے پر برقی دباؤ حاصل کریں۔ اگر  $A_d = 1000 \frac{V}{V}$  ہوتا تب جواب کیا ہوتا۔

جوابات:  $-200\,\mu V$ ،  $-12\,mV$

سوال 1.12: لامحدود  $A_d$  کی صورت میں منفی حسابی ایمپلیفائر کی  $A_v = -\frac{R_2}{R_1}$  حاصل ہوتی ہے۔

• محدود  $A_d$  کی صورت میں صفحہ 11 پر شکل 1.5 میں دیے کامل مساوی دور استعمال کرتے ہوئے  $A_v$  حاصل کریں۔

• لامحدود  $A_d$  کے جواب کی نسبت سے  $A_v$  میں غلطی کا فی صد حاصل کریں۔

•  $A_d = 10\,000 \frac{V}{V}$  کی صورت میں  $\frac{R_2}{R_1}$  کی وہ قیمت حاصل کریں جس پر  $A_v$  میں غلطی  $0.1\%$  ہو۔

•  $A_d = 10\,000 \frac{V}{V}$  کی صورت میں  $R_2 = 9\,k\Omega$  رکھتے ہوئے  $R_1$  کی وہ قیمت حاصل کریں جس پر  $A_v$  بالکل برابر  $-50 \frac{V}{V}$  ہو۔ اگر ایمپلیفائر میں  $R_1 = 180\,\Omega$  پہلے سے نسب ہو تو  $R_1$  کے متوازی کتنی مزاحمت جوڑنے سے بالکل صحیح درکار  $R_1$  حاصل ہوتی ہے۔

جوابات:  $A_v = \frac{-A_d R_2}{1 + R_1(A_d + 1)}$ ،  $100 \left( \frac{R_1 + R_2}{R_1 A_d + R_2} \right) \approx 9.009$ ،  $\frac{R_2}{R_1} = \frac{1}{0.111}$ ۔ آخری جواب سے ظاہر ہے کہ  $A_v = -9 \frac{V}{V}$  سے زیادہ انفرائنس پر فرق  $0.1\%$  سے زیادہ ہو گا۔  $R_1 = 179.9819\,\Omega$ ،  $1.8\,M\Omega$

سوال 1.13: صفحہ 40 پر تکھل کار دکھایا گیا ہے۔ اس میں  $R = 14.7\,k\Omega$  اور  $C = 0.01\,\mu F$  رکھیں۔ حسابی ایمپلیفائر کی داخلی انحرانی برقی دباؤ  $V_{OS} = 2\,mV$  ہونے کی وجہ سے خارجی اشارہ صفر وولٹ سے کتنی دیر میں  $V_{CC} = 12\,V$  یا  $V_{EE} = -12\,V$  تک پہنچ جائے گا۔ اگر  $C = 0.1\,\mu F$  کر دیا جائے تو جواب کیا ہو گا۔

جواب:  $0.882\,s$ ،  $8.82\,s$ ۔ ان جوابات سے آپ دیکھ سکتے ہیں کہ داخلی اشارے کی عدم موجودگی یعنی  $v_s = 0$  کی صورت میں مکمل کار صفر وولٹ خارج نہیں کرتا بلکہ خارجی اشارہ مکمل مثبت یا مکمل منفی جانب پہنچنے کی کوشش کرتا ہے۔  $RC$  کی قیمت بڑھا کر  $v_o$  کی رفتار آہستہ کرتے ہوئے اس عمل کو دیکھنے کی وضاحت دوسری جزو میں کی گئی۔

ایسا بدلتا داخلی اشارہ جس کے مثبت اور منفی حصے برابر ہوں گے ایک چکر کا اوسط صفر ہوتا ہے۔ مکمل کار ایسے اشارے کا مکمل لیتے ہوئے  $V_{OS}$  کا بھی مکمل لیتا ہے۔ نتیجتاً مکمل کار کا خارجی اشارہ اوسطاً صفر ولٹ پر نہیں رہتا بلکہ اس کی مثبت چوٹی  $V_{CC}$  یا منفی چوٹی  $V_{EE}$  پر رہتے ہوئے یہ داخلی اشارے کا مکمل لیتا ہے۔

سوال 1.14: صفحہ 65 پر عددوں سے مماثل کار دکھایا گیا ہے۔  $15_{10}$  سروں پر  $12V$  خارج کرنے کی خاطر  $R'$  کی قیمت حاصل کریں۔ اس صورت  $9_{10}$  پر کتنی مماثل برقی دباؤ خارج کیا جائے گا۔

جواب:  $15_{10}$  در حقیقت  $1111_2$  کو ظاہر کرتا ہے۔  $R' = 1.28R$  درکار قیمت ہے۔  $9_{10}$  پر  $v_o = -7.2V$  خارج کیا جائے گا۔

سوال 1.15: چالو ٹریکٹر پر بیٹھے ڈرائیور سے ٹی وی پر نشریات کی خاطر سوال و جواب کیا جاتا ہے۔ ٹریکٹر کی شور کو ختم کرنے کی خاطر دو مانک کا استعمال کیا جاتا ہے۔ ایک مانک کو ڈرائیور کے منہ سے دو فٹ کے فاصلے پر جبکہ دوسرے کو منہ کے قریب رکھا جاتا ہے۔ دور مانک صرف ٹریکٹر کا شور سنتے ہوئے  $v_{s1}$  اشارہ خارج کرتا ہے جبکہ قریب مانک ٹریکٹر کے شور کے ساتھ ساتھ ڈرائیور کی گفتگو بھی حاصل کرتے ہوئے اشارہ  $v_{s2}$  خارج کرتا ہے۔ ٹریکٹر کے شور کو  $V_t \cos \omega_t t$  جبکہ ڈرائیور کے گفتگو کو  $V_d \cos \omega_d t$  لکھتے ہوئے

$$v_{s2} = V_t \cos \omega_t t + V_d \cos \omega_d t$$

$$v_{s1} = V_t \cos \omega_t t$$

اشارات حاصل ہوتے ہیں۔ صفحہ 45 پر دکھائے منحنی کار استعمال کرتے ہوئے شور سے پاک اشارہ حاصل کریں۔

جواب: تمام مزاحمت برابر قیمت کے رکھیں۔

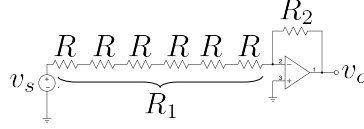
سوال 1.16: سوال 1.15 کے سوال و جواب لیتے وقت دیکھا گیا کہ دور مانک میں نسبتاً زیادہ شور پایا جاتا ہے۔ یوں

$$v_{s2} = V_t \cos \omega_t t + V_d \cos \omega_d t$$

$$v_{s1} = 1.2V_t \cos \omega_t t$$

اشارات حاصل ہوتے ہیں۔ حل تجویز کریں۔

$$\text{جواب: } \frac{R_4(R_1+R_2)}{R_1(R_3+R_4)} = 1.2 \frac{R_2}{R_1}$$



شکل 1.45: بلند برقی دباؤ کے اشارے کا حصول

سوال 1.17: لوہا پگھلانے والی بھٹی تخلیق دیتے وقت معلوم ہوا کہ 3 kV سے زیادہ برقی دباؤ پر مسائل پیدا ہوتے تھے۔ برقی دباؤ کو 3 kV سے کم رکھنے کی خاطر برقی دباؤ کا واپسی اشارہ درکار ہے۔ واپسی اشارے کو شکل 1.45 کے منفی ایمپلیفائر میں  $R_2 < R_1$  رکھتے ہوئے حاصل کیا جاتا۔ 3 kV پر 6 V - کا اشارہ درکار ہے۔ کسی بھی مزاحمت میں 30 mW سے زیادہ برقی طاقت ضائع نہیں ہونا چاہئے۔

جوابات:  $R = 8.33 \text{ M}\Omega$  اور  $R_1 = 6R = 500R_2$

سوال 1.18: منفی حسابی ایمپلیفائر کے داخلی سائن نما اشارے کی زیادہ سے زیادہ چوٹی کیا ہوگی جس پر ایمپلیفائر خطی خطے میں رہتا ہو۔ مثبت ایمپلیفائر کے لئے بھی جواب حاصل کریں۔

جوابات: 2.4 V اور 2 V

سوال 1.19: مستطیلی پتے اشارے<sup>88</sup> کے دورانیہ چڑائی<sup>89</sup> سے مراد اشارے کا 10 % سے 90 % چوٹی تک پہنچنے کا دورانیہ ہے۔ اسی طرح دورانیہ اترائی<sup>90</sup> سے مراد اشارے کا چوٹی کے 90 % سے 10 % تک پہنچنے کا دورانیہ ہے۔

5 V چوٹی اور  $1 \mu\text{s}$  دوری عرصے<sup>91</sup> والا پکورا اشارہ<sup>92</sup> مستحکم کار کو فراہم کیا جاتا ہے۔ دورانیہ چڑائی اور دارانیہ اترائی کا مجموعہ دوری عرصے کے 5 % سے کم ہونا درکار ہے۔ رفتار چال حاصل کریں۔

جواب:  $160 \frac{\text{V}}{\mu\text{s}}$

<sup>88</sup>pulses  
<sup>89</sup>rise time  
<sup>90</sup>fall time  
<sup>91</sup>time period  
<sup>92</sup>square wave

سوال 1.20: صفحہ 53 پر جمع و منفی کار دکھایا گیا ہے۔ جمع و منفی کار کے مثبت داخلی سروں سے جڑے  $v_{j1}$  تا  $v_{js}$  کو قصر دور کرتے ہوئے مزاحمت  $R_{j1}$  تا  $R_{js}$  کے داخلی سرے برقی زمین کے ساتھ جوڑتے ہوئے دور کا خارجی اشارہ  $v_{om}$  حاصل کریں۔ اسی طرح منفی داخلی سرے قصر دور کرتے ہوئے خارجی اشارہ  $v_{oj}$  حاصل کریں۔ تمام داخلی اشارات کے موجودگی میں خارجی اشارہ  $v_{oj} + v_{om}$  کے برابر ہو گا۔ اس طرح مساوات 1.55 حاصل کریں۔

سوال 1.21: لامحدود  $A_d$  کی صورت میں مضکم کار کا خارجی اشارہ اس کے داخلی اشارے کے برابر ہوتا ہے۔  
 $A_d = 1000 \frac{V}{V}$  اور  $A_d = 10000 \frac{V}{V}$  کی صورت میں خارجی اشارہ کتنے فی صد کم یا زیادہ ہو گا۔

جوابات: خارجی اشارہ  $9.999 \times 10^{-3} \%$  ،  $0.0999 \%$  فی صد کم ہو گا۔

سوال 1.22: منفی کار اور جمع کار میں تمام مزاحمت برابر ہونے کی صورت میں  $v_1$  کو صفر وولٹ کرتے ہوئے  $v_2$  کو نظر آنے والا داخلی مزاحمت کیا ہو گا۔ اسی طرح  $v_2$  کو صفر وولٹ کرتے ہوئے  $v_1$  کو نظر آنے والا داخلی مزاحمت کیا ہو گا۔ جواب بغیر حساب و کتاب کے بتائیں۔

جوابات:  $R, R, 2R$  اور  $R$

سوال 1.23: صفحہ 45 پر منفی کار دکھایا گیا ہے۔ مساوات 1.53 اس کی خارجی مساوات ہے۔ داخلی اشارات

$$v_{s2} = v_m + \frac{v_f}{2}$$

$$v_{s2} = v_m - \frac{v_f}{2}$$

کے داخلی اشارات منفی کار کو مہیا کئے جاتے ہیں جہاں  $v_m$  کو مشترکہ اشارہ  $v_{93}$  جبکہ  $v_f$  کو تفرقہ اشارہ  $v_{94}$  کہتے ہیں۔ خارجی مساوات کو

$$(1.76) \quad v_o = A_{مشترک} v_m + A_{تفرق} v_f$$

صورت میں لکھیں۔ مشترکہ افزائش تقسیم تفرق افزائش کو مشترکہ اشارہ رد کرنے کے صلاحیت  $CMRR^{95}$  کہتے ہیں۔ ثابت کریں کہ

$$CMRR = \frac{A_{تفرق}}{A_{مشترک}} = \frac{1 + \frac{1}{2} \left( \frac{R_1}{R_2} + \frac{R_3}{R_4} \right)}{\frac{R_1}{R_2} - \frac{R_3}{R_4}}$$

common mode signal<sup>93</sup>

differential mode signal<sup>94</sup>

common mode rejection ratio  $CMRR^{95}$

کے برابر ہے۔

سوال 1.24: منفی کار بناتے وقت  $\frac{R_2}{R_1} = \frac{R_3}{R_4}$  رکھا جاتا ہے جس سے اس کی مشترکہ اشارہ رد کرنے کے صلاحیت کی قیمت لامحدود حاصل ہوتی ہے۔ حقیقی مزاحمتوں کی قیمت ان کے پکارے گئے قیمتوں سے اوپر نیچے ہوتیں ہیں۔ سوال 1.23 میں حاصل جواب کو استعمال کرتے ہوئے ثابت کریں کہ ایسی صورت میں کم سے کم مشترکہ اشارہ رد کرنے کے صلاحیت کی قیمت  $\frac{A+1+\epsilon^2}{4\epsilon}$  کے برابر ہوگی جہاں  $A = \frac{R_2}{R_1} = \frac{R_4}{R_3}$  کے برابر ہے اور مزاحمت کے قیمتوں میں 5% غلطی کے لئے  $\epsilon = 0.05$  ہوگا۔

کی صورت میں اگر مزاحمتوں کے قیمتوں میں  $R_2 = R_4 = 21 \text{ k}\Omega$  اور  $R_1 = R_3 = 1 \text{ k}\Omega$  غلطی کی گنجائش ہو تب مشترکہ اشارہ رد کرنے کے صلاحیت کی قیمت کیا حاصل ہوگی۔  $\pm 0.1\%$  کی صورت میں جواب کیا ہوگا۔

جوابات: 110، 5500

سوال 1.25:  $\pm 12 \text{ V}$  پر چلنے والے ایک حسابی ایمپلیفائر کا خارجی اشارہ  $-10.5 \text{ V}$  تا  $10.5 \text{ V}$  بغیر بگڑے تبدیل ہو سکتا ہے۔ اسے استعمال کرتے ہوئے  $A_v = -40 \frac{\text{V}}{\text{V}}$  کا منفی حسابی ایمپلیفائر بنایا جاتا ہے۔ داخلی اشارے کی وہ چوٹی  $V_p$  حاصل کریں جس پر خارجی اشارہ بگڑ جائے گا۔

جواب:  $|V_p| > 0.2625 \text{ V}$

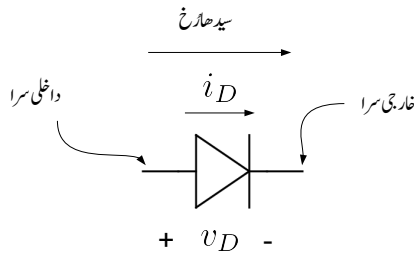




## باب 2

### ڈایوڈ

الیکٹرانک پرزہ جات میں ڈایوڈ<sup>1</sup> کلیدی مقام رکھتا ہے۔ ڈایوڈ کی علامت شکل 2.1 میں دکھائی گئی ہے۔ ڈایوڈ کی خاصیت یہ ہے کہ اس کے دو سروں کے مابین، برقی رو صرف ایک رخ میں گزر سکتی ہے۔ ڈایوڈ کی علامت میں تیر کا نشان اسی رخ کو ظاہر کرتا ہے۔ اس رخ کو ڈایوڈ کا سیدھا رخ کہتے ہیں۔ ڈایوڈ کے دو اہم اقسام سیلیکان ڈایوڈ اور جرمنیم ڈایوڈ ہیں۔ سیلیکان ڈایوڈ کے خصوصیات جرمنیم ڈایوڈ سے بہت بہتر ہیں۔ اسی لئے سیلیکان ڈایوڈ زیادہ مقبول ہیں۔ اس کتاب میں سیلیکان ڈایوڈ پر ہی تبصرہ کیا جائے گا۔ ڈایوڈ کے دو سروں کے مابین برقی دباؤ  $v_D$  اور ڈایوڈ میں سیدھے رخ



شکل 2.1: ڈایوڈ کی علامت

<sup>1</sup> diode

برقی رو  $i_D$  کو نانپن کا درست طریقہ اسی شکل میں دکھایا گیا ہے۔ ڈایوڈ کے کارکردگی کی مساوات  $v_D - i_D$  مندرجہ ذیل ہے۔

$$(2.1) \quad i_D = I_S \left( e^{\frac{qv_D}{nkT}} - 1 \right)$$

اس مساوات میں حرارتی برقی دباؤ  $V_T$  کو

$$(2.2) \quad V_T = \frac{kT}{q}$$

لکھتے ہوئے مساوات کو عموماً یوں لکھا جاتا ہے

$$(2.3) \quad i_D = I_S \left( e^{\frac{v_D}{V_T}} - 1 \right)$$

جہاں

$I_S$  لبریشن برقی رو<sup>3</sup>

$q$  الیکٹران کا برقی بار<sup>4</sup>  $1.6 \times 10^{-19} \text{ C}$

$k$  بولٹزمن<sup>5</sup> کا مستقل  $1.38 \times 10^{-23} \text{ J/K}$

$T$  کیلون پیمانہ حرارت<sup>6</sup>

$V_T$  حرارتی برقی دباؤ

$n$  اخراجی جزو<sup>7</sup> جس کی قیمت ایک تادو ہوتی ہے۔ مخلوط ادوار میں بنائے گئے ڈایوڈ کا عموماً  $n = 1$  جبکہ انفرادی دو سروں والے ڈایوڈ کا  $n = 2$  ہوتا ہے۔ اس کتاب میں  $n = 1$  تصور کیا جائے گا۔

$n = 1$  لیتے ہوئے

$$(2.4) \quad i_D = I_S \left( e^{\frac{v_D}{V_T}} - 1 \right)$$

thermal voltage<sup>2</sup>

saturation current<sup>3</sup>

charge<sup>4</sup>

Boltzmann constant<sup>5</sup>

Kelvin<sup>6</sup>

emission coefficient<sup>7</sup>

حاصل ہوتا ہے۔ اس کتاب میں یہی مساوات بطور ڈایوڈ کی مساوات استعمال کی جائے گی۔

مثال 2.1: مندرجہ ذیل حرارت پر حرارتی برقی دباؤ  $V_T$  کی قیمت حاصل کریں۔

1. پانی ابلنے کے درجہ حرارت یعنی  $100^\circ\text{C}$  پر<sup>8</sup>

2. پانی منجمد ہونے کے درجہ حرارت یعنی  $0^\circ\text{C}$  پر

3. تھیں ڈگری سیلسیئس یعنی  $27^\circ\text{C}$  پر

حل:

1. پانی سو ڈگری سیلسیئس یعنی  $100^\circ\text{C}$  پر اُبلتا ہے۔ اس درجہ حرارت جو کہ ڈگری سنٹی گریڈ یا ڈگری

سیلسیئس  $^\circ\text{C}$  میں ہے کو کیلون  $\text{K}$  حرارتی پیمائش میں تبدیل کرتے ہیں۔ چونکہ  $\text{K} = ^\circ\text{C} + 273$

ہوتا ہے لہذا  $V_T$  کی قیمت  $373\text{ K}$  پر درکار ہے۔ یوں

$$V_T = \frac{kT}{q} = \frac{1.38 \times 10^{-23} \times 373}{1.6 \times 10^{-19}} = 0.03217\text{ V}$$

2. پانی صفر ڈگری سیلسیئس یعنی  $273\text{ K}$  پر منجمد ہوتا ہے۔ اس حرارت پر

$$V_T = \frac{kT}{q} = \frac{1.38 \times 10^{-23} \times 273}{1.6 \times 10^{-19}} = 0.0236\text{ V}$$

یعنی  $23.6\text{ mV}$  کے برابر ہے۔

3. تھیں ڈگری سیلسیئس جسے عام زندگی کا رہائشی درجہ حرارت لیا جاتا ہے پر حرارتی برقی دباؤ کی قیمت

$$V_T = \frac{kT}{q} = \frac{1.38 \times 10^{-23} \times 300}{1.6 \times 10^{-19}} = 0.0259\text{ V}$$

یعنی  $25.9\text{ mV}$  ہے۔

عام طور ڈایوڈ کی مساوات میں حرارتی برقی دباؤ کو  $25 \text{ mV}$  لیا جاتا ہے جسے یاد رکھنا قدر آسان ہے یعنی

$$(2.5) \quad V_T = 25 \text{ mV}$$

مثال 2.2: ایک ایسے ڈایوڈ جس کا  $I_S = 5.1 \text{ fA}$  کے برابر ہو کی برقی دباؤ  $v_D$  ان برقی رو  $i_D$  پر حاصل کریں۔

$$1. \quad i_D = 1 \text{ mA}$$

$$2. \quad i_D = 10 \text{ mA}$$

$$3. \quad i_D = 100 \text{ mA}$$

حل: مساوات 2.3 میں  $n = 1$  اور  $V_T = 25 \text{ mV}$  لیتے ہوئے۔

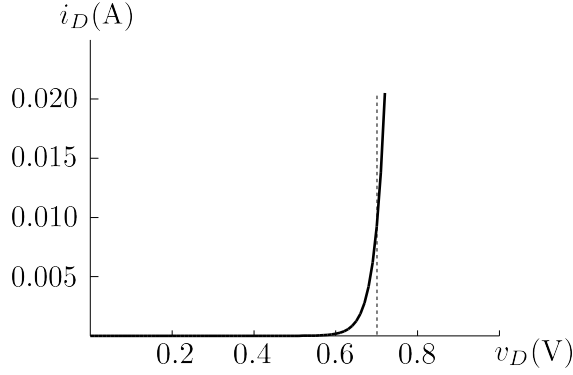
$$1. \quad v_D = V_T \ln \left( \frac{i_D}{I_S} + 1 \right) = 0.025 \times \ln \left( \frac{1 \times 10^{-3}}{5.1 \times 10^{-15}} + 1 \right) = 0.65 \text{ V}$$

$$2. \quad v_D = V_T \ln \left( \frac{i_D}{I_S} + 1 \right) = 0.025 \times \ln \left( \frac{10 \times 10^{-3}}{5.1 \times 10^{-15}} + 1 \right) = 0.708 \text{ V}$$

$$3. \quad v_D = V_T \ln \left( \frac{i_D}{I_S} + 1 \right) = 0.025 \times \ln \left( \frac{100 \times 10^{-3}}{5.1 \times 10^{-15}} + 1 \right) = 0.765 \text{ V}$$

مثال میں دئے ڈایوڈ سے گزرتے مثبت برقی رو  $i_D$  کی قیمت سو گنتا بڑھنے سے اس کے برقی دباؤ  $v_D$  کی قیمت  $0.65 \text{ V}$  سے بڑھ کر  $0.767 \text{ V}$  ہوئی۔ یہ ایک نہایت اہم اور عمومی نتیجہ ہے جسے استعمال کرتے ہم عام طور ایک ایسے سیلکان ڈایوڈ جس میں سیدھے رخ برقی رو کا بہاؤ ہو، کے دو سروں کے مابین برقی دباؤ کو  $0.7 \text{ V}$  ہی تصور کرتے ہیں یعنی

$$(2.6) \quad v_D = 0.7 \text{ V}$$



شکل 2.2: سیدھے مائل ڈایوڈ کا خط

یہاں بتلاتا چلوں کہ سیدھے مائل جرمنیم ڈایوڈ<sup>9</sup> پر 0.2 V پائے جاتے ہیں۔

مساوات 2.3 میں  $I_S = 5.1 \times 10^{-15} \text{ A}$  لیتے ہوئے اسے مثبت برقی دباؤ کے لئے شکل 2.2 میں گراف کیا گیا ہے جہاں افقی محور پر  $v_D$  کو وولٹ میں اور عمودی محور پر  $i_D$  کو ایمپیئر میں دکھایا گیا ہے۔ اس گراف سے واضح ہے کہ  $0.5 \text{ V} > v_D > 0 \text{ V}$  کے احاطے میں ڈایوڈ سے گزرتی برقی رو قابل نظر انداز ہے۔ اگرچہ جب بھی  $v_D > 0 \text{ V}$  ہو ڈایوڈ کو سیدھا مائل<sup>10</sup> تصور کیا جاتا ہے، حقیقت میں ڈایوڈ کو  $v_D > 0.5 \text{ V}$  کی صورت میں ہی چالو تصور کیا جاتا ہے۔ یوں  $v_D = 0.5 \text{ V}$  کو ڈایوڈ کی چالو برقی دباؤ<sup>11</sup> کہتے ہیں۔ چالو ڈایوڈ کی مساوات میں چونکہ

$$e \frac{v_D}{V_T} \gg 1$$

ہوتا ہے لہذا چالو ڈایوڈ کی مساوات یوں لکھی جاسکتی ہے۔

$$(2.7) \quad i_D \approx I_S e^{\frac{v_D}{V_T}}$$

شکل 2.2 میں 0.7 V پر نقطہ دار لکیر لگا کر اس بات کی وضاحت کی گئی ہے کہ سیدھے مائل ڈایوڈ کی برقی دباؤ  $v_D$  تقریباً 0.7 V وولٹ رہتی ہے۔ ڈایوڈ پر سیدھے رخ برقی دباؤ کو سیدھے رخ ڈایوڈ پر برقی دباؤ کا گھٹاؤ کہتے ہیں

germanium diode<sup>9</sup>  
forward biased<sup>10</sup>  
cut-in voltage<sup>11</sup>

جسے عموماً چھوٹا کر کے سیدھا برقی دباؤ کا گھٹاؤ یا مزید چھوٹا کر کے صرف سیدھا گھٹاؤ کہتے ہیں۔ یوں ڈایوڈ کا سیدھا گھٹاؤ تقریباً  $0.7\text{ V}$  وولٹ تصور کیا جاتا ہے۔

مثال 2.3: پچھلے مثال کے ڈایوڈ کی برقی رو  $i_D$  ان برقی دباؤ پر حاصل کریں۔

$$1. \quad v_D = -10\text{ V}$$

$$2. \quad v_D = -1\text{ V}$$

$$3. \quad v_D = -0.1\text{ V}$$

حل:

$$1. \quad i_D = I_S \left( e^{\frac{v_D}{V_T}} - 1 \right) = I_S \left( e^{-\frac{10}{0.025}} - 1 \right) = I_S \left( e^{-400} - 1 \right) \approx -I_S$$

$$2. \quad i_D = I_S \left( e^{\frac{v_D}{V_T}} - 1 \right) = I_S \left( e^{-\frac{1}{0.025}} - 1 \right) = I_S \left( e^{-40} - 1 \right) \approx -I_S$$

$$3. \quad i_D = I_S \left( e^{\frac{v_D}{V_T}} - 1 \right) = I_S \left( e^{-\frac{0.1}{0.025}} - 1 \right) = I_S \left( e^{-4} - 1 \right) \approx -I_S$$

مثال 2.4:  $I_S$  کی قیمت درجہ حرارت بڑھنے سے 15% فی کیلون بڑھتی ہے۔  $5^\circ\text{C}$  درجہ حرارت بڑھنے سے  $I_S$  کی قیمت کتنی ہو جائے گی۔

حل: درجہ حرارت  $1^\circ\text{C}$  بڑھنے سے نئی قیمت  $1.15I_S$  ہو جائے گی۔ مزید  $1^\circ\text{C}$  بڑھنے سے  $I_S$  مزید 15% بڑھ کر  $1.15 \times 1.15I_S$  یعنی  $1.15^2I_S$  ہو جائے گی۔ یوں  $5^\circ\text{C}$  بڑھنے سے

$$1.15^5 I_S \approx 2I_S$$

ہو جائے گا۔

اس مثال سے ہم دیکھتے ہیں کہ درجہ حرارت  $5^\circ\text{C}$  بڑھنے سے  $I_S$  کی قیمت دگنی ہو جاتی ہے۔ اس طرح اگر مثلاً  $25^\circ\text{C}$  پر  $I_S = 10^{-15}\text{ A}$  ہو تو  $30^\circ\text{C}$  پر  $I_S = 2 \times 10^{-15}\text{ A}$  اور  $35^\circ\text{C}$  پر  $I_S = 4 \times 10^{-15}\text{ A}$  ہو جائے گی۔

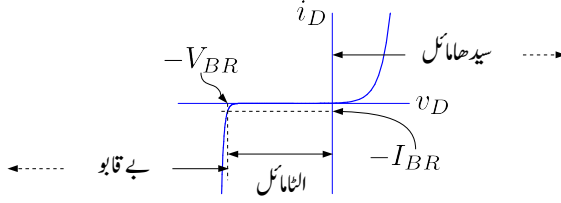
مشق 2.1:  $25^\circ\text{C}$  پر  $I_S = 10^{-15}\text{ A}$  ہے۔  $125^\circ\text{C}$  پر  $I_S$  کی قیمت حاصل کریں۔

جواب:  $2^{20} \times I_S \approx 1\text{ nA}$

آپ نے مثال 2.4 میں دیکھا کہ منفی  $v_D$  کی صورت میں برقی رو کی قیمت تقریباً  $-I_S$  کے برابر ہوتی ہے یعنی برقی رو کا بہاؤ ڈایوڈ میں الٹی رخ کی جانب ہوتا ہے جبکہ اس کا کل مقدار  $|I_S|$  رہتا ہے۔ یاد رہے کہ  $I_S$  ایک نہایت چھوٹی مقدار ہے جسے عموماً صفر ہی تصور کیا جاتا ہے۔ حقیقی ڈایوڈ میں الٹے رخ برقی رو کی قیمت  $I_S$  سے کئی درجہ زیادہ ہوتی ہے۔ مثلاً جہاں الٹے مائل ڈایوڈ کے مساوات کے مطابق  $I_S = 10^{-15}\text{ A}$  برقی رو گزرنا چاہئے وہاں حقیقت میں الٹے رخ  $10^{-9}\text{ A}$  برقی رو بھی ممکن ہے۔ مزید یہ کہ الٹا مائل کرنے والا برقی دباؤ بھی الٹے رخ برقی رو کی مقدار پر اثر انداز ہوتا ہے۔

الٹے رخ برقی رو کا بیشتر حصہ ڈایوڈ میں الٹے رخ رستا برقی رو<sup>12</sup> ہے جو ڈایوڈ کے pn جوڑ کے رقبے کے ساتھ راہ راست تناسب رکھتا ہے۔  $I_S$  بھی ڈایوڈ کے pn جوڑ کے رقبے کے ساتھ راہ راست تناسب رکھتا ہے۔ درجہ حرارت  $5^\circ\text{C}$  بڑھنے سے  $I_S$  کی قیمت دگنا ہو جاتی ہے جبکہ الٹے رخ رستا برقی رو کی قیمت  $10^\circ\text{C}$  بڑھنے سے دگنا ہوتی ہے۔

جب ڈایوڈ پر بیرونی لاگو برقی دباؤ ڈایوڈ میں الٹے رخ برقی رو گزارنے کی کوشش کرے ہم کہتے ہیں کہ ڈایوڈ الٹا مائل<sup>13</sup> کیا گیا ہے اور اسی طرح بیرونی لاگو برقی دباؤ ڈایوڈ میں سیدھے رخ برقی رو گزارنے کی کوشش کرے تب



شکل 2.3: ڈایوڈ کا برقی دباؤ بالقابل برقی رو کا خط

ہم کہتے ہیں کہ ڈایوڈ سیدھا مائل<sup>14</sup> کیا گیا ہے۔ شکل 2.3 میں ڈایوڈ کا برقی دباؤ بالقابل برقی رو ( $v_D - i_D$ ) کا خط دکھایا گیا ہے جس میں ڈایوڈ کے سیدھے مائل اور الٹے مائل خطے دکھائے گئے ہیں۔ اس شکل میں بے قابو خط<sup>15</sup> بھی دکھایا گیا ہے جو مساوات 2.3 سے کسی صورت اخذ نہیں کیا جاسکتا۔

در اصل مساوات 2.3 حاصل کرتے وقت ڈایوڈ کی کئی پیچیدگیاں نظر انداز کی گئیں اور یوں اگرچہ یہ مساوات سیدھے مائل ڈایوڈ کی کارکردگی کو بہت بہتر بیان کرتا ہے، الٹے مائل ڈایوڈ کی کارکردگی کو یہ پوری طرح صحیح بیان نہیں کرتا اور ڈایوڈ کے بے قابو خطے کو سراسر خطا کر جاتا ہے۔ بے قابو خطے پر آگے تبصرہ کیا جائے گا۔ یہاں صرف اتنا بتانا ضروری ہے کہ اگر ڈایوڈ پر الٹے رخ برقی دباؤ لاگو کر کے اسے الٹا مائل کیا جائے تو ڈایوڈ اس برقی دباؤ کو برداشت کرتا ہے اور الٹے رخ برقی رو نہیں گزرنے دیتا۔ اگر اس الٹا مائل کرنے والے برقی دباؤ کو بتدریج بڑھائی جائے تو آخر کار یہ ڈایوڈ کے برداشت کے حد سے تجاوز کر جائے گا اور ڈایوڈ یک دم الٹے رخ بے قابو برقی رو گزارنے دے گا۔ جس برقی دباؤ پر ایسا ہو اسے ڈایوڈ کی ناقابل برداشت<sup>16</sup> برقی دباؤ  $V_{BR}$  کہتے ہیں۔ اگرچہ گراف میں ناقابل برداشت برقی دباؤ منفی محور پر ہے، اس کی قیمت مثبت لکھی اور پڑھی جاتی ہے۔ مختلف ڈایوڈ کی ناقابل برداشت برقی دباؤ مختلف ہوتی ہے اور یہ چند وولٹ سے ہزاروں وولٹ تک ممکن ہے۔

شکل 2.3 میں دکھائے تین خطوں کی نشاندہی یوں کی جاتی ہے۔

• سیدھا مائل  $0 < v_D$

<sup>12</sup> reverse leakage current

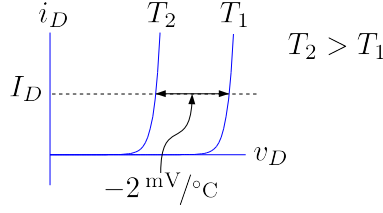
<sup>13</sup> reverse biased

<sup>14</sup> forward biased

<sup>15</sup> breakdown region

<sup>16</sup> reverse breakdown voltage





شکل 2.4: برقی دباؤ بالمتقابل درجہ حرارت

- الٹا مائل  $-V_{BR} < v_D < 0$
- بے قابو  $v_D < -V_{BR}$

ڈایوڈ کی مساوات میں  $V_T$  واضح طور پر درجہ حرارت پر منحصر ہے۔ اگرچہ  $I_S$  کو مستقل سمجھا گیا ہے، حقیقت میں یہ بھی درجہ حرارت پر منحصر ہوتا ہے۔ اگر ڈایوڈ میں سیدھے رخ برقی رو کی قیمت تبدیل نہ کرتے ہوئے درجہ حرارت بڑھایا جائے تو مساوات 2.3 میں  $V_T$  کی وجہ سے ہم توقع کرتے ہیں کہ ڈایوڈ پر برقی دباؤ کی قیمت بھی بڑھے گی۔ جیسا شکل 2.4 میں دکھایا گیا ہے، حقیقت میں ایسا نہیں ہوتا اور ہم دیکھتے ہیں کہ برقی رو بدلے بغیر،  $1^\circ\text{C}$  درجہ حرارت بڑھانے سے ڈایوڈ پر برقی دباؤ کی قیمت  $2\text{ mV}$  گھٹتی ہے۔ دراصل درجہ حرارت بڑھانے سے  $I_S$  کی قیمت بھی بڑھتی ہے اور  $I_S$  کا اثر  $V_T$  کے اثر پر غالب ہے۔ مزید یہ کہ حقیقت میں الٹے رخ برقی رو کی مقدار الٹے رخ برقی دباؤ کی قیمت بڑھانے سے معمولی بڑھتی ہے۔ درجہ حرارت کے ساتھ ڈایوڈ پر برقی دباؤ کی قیمت کی تبدیلی کو برقیاتی تھرمامیٹر<sup>17</sup> بنانے میں بروئے کار لایا گیا ہے۔

مثال 2.5: میں نے لاہور میں ٹھوکر نیاز بیگ کے مقام پر واقع عطا گروپ آف انڈسٹریز<sup>18</sup> میں کام کرتے ہوئے قوی برقیات<sup>19</sup> کے میدان میں  $100\text{ kW}$  تا  $1.5\text{ MW}$  کے لوہا پگھلانے کی بھٹیاں<sup>20</sup> بنائیں۔ قوی برقیات میں ہزاروں ایمپیئر اور وولٹ کے صلاحیت رکھنے والے ڈایوڈ استعمال کئے جاتے ہیں۔ یہ مثال مجھے اُس وقت درپیش مسائل میں سے لیا گیا ہے۔

<sup>17</sup> thermometer  
<sup>18</sup> Atta group of industries  
<sup>19</sup> power electronics  
<sup>20</sup> induction furnaces

ایک ڈایوڈ میں یکدم 1000 A گزارنے سے اس پر شروع میں  $V_D = 0.724 \text{ V}$  پائے جاتے ہیں جو کچھ دیر میں گھٹتے ہوئے  $0.708 \text{ V}$  ہو کر اسی قیمت پر برقرار رہتے ہیں۔

- برقی رو گزرنے سے ڈایوڈ کی اندرونی درجہ حرارت میں کتنا اضافہ پیدا ہوا۔
- گرم ہونے کے بعد ڈایوڈ میں برقی طاقت کا ضیاع حاصل کریں۔
- فی واٹ طاقت کے ضیاع سے درجہ حرارت میں اضافے کو ڈایوڈ کا حرارتی مزاحمت<sup>21</sup> کہتے ہیں۔ ڈایوڈ کا حرارتی مزاحمت حاصل کریں۔

حل:

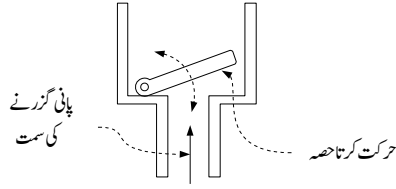
- $V_D$  میں  $0.724 - 0.708 = 0.016 \text{ V}$  یعنی  $-0.016 \text{ V}$  کی تبدیلی پیدا ہوئی۔ چونکہ  $1^\circ \text{C}$  درجہ حرارت بڑھنے سے  $V_D$  میں  $-2 \text{ mV}$  کی تبدیلی رونما ہوتی ہے لہذا ڈایوڈ کے اندرونی درجہ حرارت میں  $\frac{0.016}{0.002}$  یعنی  $8^\circ \text{C}$  کا اضافہ پیدا ہوا۔
- ڈایوڈ میں برقی طاقت کا ضیاع  $1000 \times 0.708 = 708 \text{ W}$  ہے۔
- حرارتی مزاحمت  $\frac{8}{708} = 0.011 \frac{^\circ \text{C}}{\text{W}}$  ہے۔

## 2.1 کامل ڈایوڈ

ڈایوڈ سمجھنے کی خاطر ہم کامل ڈایوڈ کی بات کرتے ہیں۔ کامل ڈایوڈ<sup>22</sup> حقیقت میں نہیں پایا جاتا مگر اسے سمجھنا آسان اور اسے سمجھ کر اصل ڈایوڈ کی کارکردگی سمجھنا زیادہ آسان ہوتا ہے۔

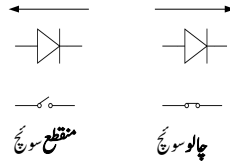
ڈایوڈ کی کارکردگی دل کے والو<sup>23</sup> کی مانند ہے۔ دل کا والو خون کو صرف ایک جانب گزرنے دیتا ہے۔ اسی طرح ڈایوڈ برقی رو کو صرف سیدھے رخ گزرنے دیتا ہے۔ شکل 2.5 میں پانی کے پائپ پر نسب والو دکھایا گیا ہے جس کی کارکردگی شکل سے ہی واضح ہے۔

thermal resistance<sup>21</sup>  
ideal diode<sup>22</sup>  
valve<sup>23</sup>



شکل 2.5: پانی کے پمپ پر نسب والو

الٹا رخ برقی رو  
کے لئے یہ منقطع  
سوئچ کی طرح  
کام کرتا ہے



سیدھی رخ برقی  
رو کی صورت  
میں ڈایوڈ ایک  
چالو سوئچ کی  
طرح کام کرتا ہے

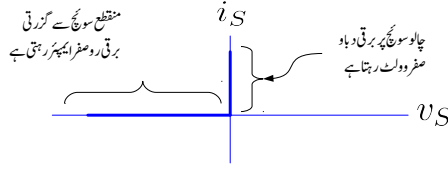
شکل 2.6: ڈایوڈ بطور برقی سوئچ

برقی نقطہ نظر سے کامل ڈایوڈ کو ایک ایسا خود کار برقی سوئچ<sup>24</sup> تصور کیا جاسکتا ہے جو ڈایوڈ میں سے گزرتی برقی رو کی سمت کو دیکھتے ہوئے چالو یا منقطع<sup>25</sup> ہو سکے۔ ڈایوڈ میں سیدھے رخ برقی رو اسے چالو کرتی ہے جبکہ الٹ رخ برقی رو اسے منقطع کرتی ہے۔ یوں ڈایوڈ میں الٹی رخ برقی رو کا گزر ممکن نہیں ہوتا۔ شکل 2.6 میں ایسا دکھایا گیا ہے۔ اس سوئچ کا خط شکل 2.7 میں دکھایا گیا ہے۔ اس شکل کا ڈایوڈ کے خط کے ساتھ موازنہ کریں۔ اگر ڈایوڈ کے  $0.7V$  کو نظر انداز کیا جائے تو یہ دونوں خطوط یکساں معلوم ہوتے ہیں

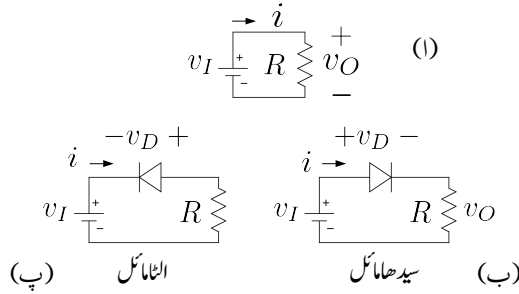
## 2.2 ڈایوڈ کے چند ادوار

شکل 2.8 میں تین ادوار دکھائے گئے ہیں۔ شکل الف میں برقی دباؤ  $V_I$ ، گھڑی کی سمت میں برقی رو  $i$  پیدا کرتا ہے جسے تیر کے نشان سے ظاہر کیا گیا ہے۔ شکل ب اور شکل پ میں مزاحمت کے ساتھ سلسلہ وار ڈایوڈ بھی نسب کر دئے گئے ہیں۔ شکل ب میں ڈایوڈ یوں جوڑا گیا ہے کہ برقی رو  $i$  کی سمت شکل 2.1 میں دکھائے ڈایوڈ کے سیدھے

<sup>24</sup>switch  
<sup>25</sup>switch OFF



شکل 2.7: ڈایوڈ سوئچ کا خط



شکل 2.8: سیدھا مائل ڈایوڈ اور الٹا مائل ڈایوڈ

رنگ کی جانب ہے جبکہ شکل پ میں برقی رو  $i$  کی سمت ڈایوڈ کی الٹ رنگ کی جانب ہے۔ یوں شکل ب میں برقی رو  $i$  کا گزر ممکن ہے جبکہ شکل پ میں برقی رو  $i$  کا گزر ناممکن ہے۔ شکل ب میں برقی دباؤ  $v_I$  ڈایوڈ کو مائل کرتا ہے کہ یہ برقی رو کو سیدھے رنگ گزرنے دے۔ ہم کہتے ہیں کہ ڈایوڈ سیدھے رنگ مائل کیا گیا ہے یا کہ ڈایوڈ سیدھا مائل<sup>26</sup> کیا گیا ہے۔ اس کے برعکس شکل پ میں برقی دباؤ  $v_I$  ڈایوڈ میں الٹے رنگ برقی رو گزرنے کی کوشش کرتا ہے۔ اس صورت میں ہم کہتے ہیں کہ ڈایوڈ الٹے رنگ مائل کیا گیا ہے یا کہ ڈایوڈ الٹا مائل<sup>27</sup> کیا گیا ہے۔ ڈایوڈ کے سیدھے مائل حال کو چالو مائل جبکہ اس کے الٹ مائل حال کو منقطع مائل بھی کہتے ہیں۔ شکل ب کے لئے کرخوف کی مساوات برائے برقی دباؤ لکھتے ہیں۔

$$(2.8) \quad v_I = v_D + iR$$

forward biased<sup>26</sup>  
reverse biased<sup>27</sup>

مثال 2.6: شکل 2.8 ب میں مزاحمت کی قیمت  $1\text{ k}\Omega$  تصور کریں۔ ڈایوڈ کے برقی دباؤ  $v_D$  کو پہلے نظر انداز کرتے ہوئے اور بعد میں اسے  $0.7\text{ V}$  لیتے ہوئے مندرجہ ذیل صورتوں میں برقی رو حاصل کریں۔

$$1. \quad v_I = 22.9\text{ V}$$

$$2. \quad v_I = 1.2\text{ V}$$

حل:  $v_D$  کو نظر انداز کرتے ہوئے مساوات 2.8 کی مدد سے حل کرتے ہیں۔

$$1. \quad i = \frac{v_I}{R} = \frac{22.9}{1000} = 22.9\text{ mA}$$

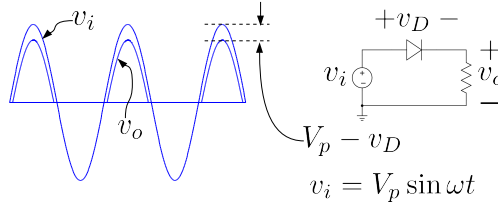
$$2. \quad i = \frac{v_I}{R} = \frac{1.2}{1000} = 1.2\text{ mA}$$

اب  $v_D = 0.7\text{ V}$  لیتے ہوئے دوبارہ حل کرتے ہیں۔

$$1. \quad i = \frac{v_I - 0.7}{R} = \frac{22.9 - 0.7}{1000} = 22.2\text{ mA}$$

$$2. \quad i = \frac{v_I - 0.7}{R} = \frac{1.2 - 0.7}{1000} = 0.5\text{ mA}$$

اس مثال میں  $v_I = 22.9\text{ V}$  کی صورت میں  $v_D$  کے اثر کو شامل کرنے سے حاصل برقی رو  $i$  کی قیمت پر خاطر خواہ اثر نہیں پڑتا جبکہ  $v_I = 1.2\text{ V}$  کی صورت میں اس کے شمولیت سے برقی رو کی قیمت آدھے سے بھی کم ہو جاتی ہے۔ اس سے ظاہر ہوتا ہے کہ  $v_D$  کو ہر جگہ نظر انداز نہیں کیا جاسکتا۔



شکل 2.9: نصف لہر مثبت سمت کار

## 2.3 بدلتی دباؤ سے یک سمتی دباؤ کا حصول (سمت کاری)

### 2.3.1 نصف لہر سمت کاری

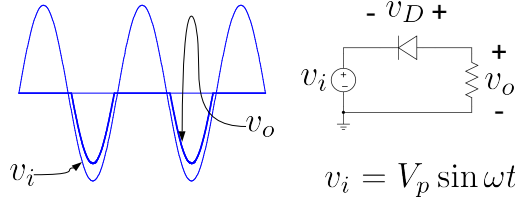
شکل 2.9 میں بدلتی داخلی برقی دباؤ  $v_i = V_p \sin \omega t$  کے مثبت حصے ڈائیوڈ کو سیدھا مائل کرتے ہیں۔ یوں اس دوران

$$v_o = v_i - v_D \approx V_p \sin \omega t - 0.7$$

ہوتا ہے جہاں سیدھے مائل ڈائیوڈ پر برقی دباؤ کو تقریباً  $0.7 \text{ V}$  لیا گیا ہے۔ اس کے برعکس  $v_i$  کے منفی حصے ڈائیوڈ کو الٹا مائل کر کے منقطع کر دیتے ہیں اور یوں اس دوران  $v_o = 0 \text{ V}$  ہوتا ہے۔ شکل 2.9 میں  $v_i$  اور  $v_o$  بھی گراف کئے گئے ہیں۔ آپ دیکھ سکتے ہیں کہ  $v_o$  کی چوٹی  $v_i$  کے چوٹی سے تقریباً  $0.7 \text{ V}$  کم ہے۔ عمومی استعمال میں  $v_i$  کی چوٹی کی قیمت  $0.7 \text{ V}$  سے گئی گنا زیادہ ہوتی ہے اور یوں  $v_o$  کے چوٹی کو  $v_i$  چوٹی کے برابر ہی تصور کیا جاتا ہے۔

اس دور کی مدد سے بدلتی داخلی برقی دباؤ جو مثبت اور منفی حصوں پر مشتمل ہے سے ایک ایسی خارجی برقی دباؤ حاصل کی گئی ہے جس میں داخلی برقی دباؤ کے صرف مثبت حصے موجود ہیں۔ بدلتی برقی دباؤ سے نصف لہر کی یک سمتی برقی دباؤ کے حصول کو نصف لہر سمت کاری<sup>28</sup> کہتے ہیں۔ یوں شکل 2.9 میں دئے دور کو نصف لہر مثبت سمت کاری<sup>29</sup> کہتے ہیں۔

half wave rectification<sup>28</sup>  
half wave positive rectifier<sup>29</sup>



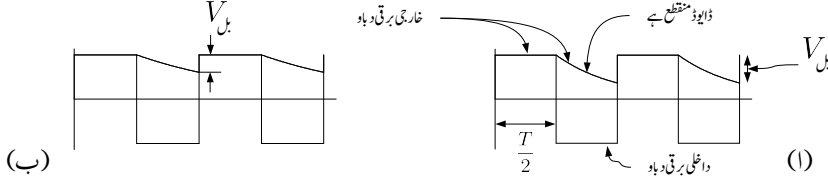
شکل 2.10: نصف لہر منفی سمت کار

نصف سمت کار جسے عام فہم میں آدھا ریگٹیفائر<sup>30</sup> کہتے ہیں ایک انتہائی اہم دور ہے جسے استعمال کرتے ہوئے کئی ادوار مثلاً **منبع برقی دباو**<sup>31</sup>، بیٹری چارج<sup>32</sup> وغیرہ بنائے جاتے ہیں۔ شکل 2.10 میں ڈایوڈ کو قدر مختلف طریقہ سے جوڑا گیا ہے۔ اس صورت میں داخلی برقی دباو  $v_i$  کے منفی حصے ڈایوڈ کو سیدھا مائل کرتے ہیں جبکہ اس کے مثبت حصے ڈایوڈ کو الٹا مائل کرتے ہیں۔ یوں خارجی برقی دباو میں داخلی برقی دباو کے صرف منفی حصے موجود ہوتے ہیں۔ اس دور کو **نصف لہر منفی سمت کار**<sup>33</sup> کہتے ہیں۔

مثال 2.7: بوجھ سے لدے مثبت نصف لہر سمت کار کو 50 Hz تعدد  $\pm 15V$  حیطے کا مستطیل داخلی اشارہ فراہم کیا جاتا ہے جس کے مثبت اور منفی حصے برابر دورانیہ کے ہیں۔ بوجھ  $R_L = 100 \Omega$  جبکہ  $C = 100 \mu F$  ہیں۔ خارجی برقی دباو بلداری ہوتا ہے۔ اس میں بلے<sup>34</sup> کی مقدار حاصل کریں۔ ڈایوڈ پر برقی دباو کے گٹھنے کو نظر انداز کریں۔ خارجی برقی دباو میں بلے کو 1 V سے کم رکھنے کی خاطر درکار کپیسٹر کی قیمت حاصل کریں۔ حل: شکل 2.11 الف میں صورت حال دکھائی گئی ہے جہاں خارجی برقی دباو کا بلداری ہونا واضح ہے۔ داخلی برقی دباو منفی ہونے کے صورت میں ڈایوڈ منقطع رہتا ہے۔ اس دوران کپیسٹر C برقی طاقت فراہم کرتا ہے۔ پچاس تعدد کے اشارے کا دورے عرصہ<sup>35</sup> بیس ملی سیکنڈ ہے۔ یوں کپیسٹر سے دس ملی سیکنڈ کے لئے بار کی نکاسی ہوتی ہے۔ داخلی برقی دباو کے منفی ہونے کے لمحے کو  $t = 0$  لیتے ہوئے کپیسٹر پر برقی دباو  $v_C$  کو یوں لکھا جاسکتا ہے

$$v_C = V_p e^{-\frac{t}{RC}}$$

<sup>30</sup> half wave rectifier<sup>31</sup> voltage source<sup>32</sup> موبائل فون رکھنے والے بیٹری چارج سے بخوبی آگاہ ہوں گے چونکہ بیٹری بھرنے کے لئے ان کی ضرورت پڑتی ہے۔<sup>33</sup> half wave negative rectifier<sup>34</sup> ripple<sup>35</sup> time period



شکل 2.11: نصف لہر سمت کار کے خارجی برقی دباؤ میں بل

جہاں  $V_p = 15\text{ V}$  ہے۔ اس مساوات سے دس ملی سیکنڈ بعد  $v_C = 5.5\text{ V}$  حاصل ہوتا ہے جس سے

$$V_{بل} = 15 - 5.5 = 9.5\text{ V}$$

حاصل ہوتا ہے۔

بل کو  $1\text{ V}$  رکھنے کی خاطر دس ملی سیکنڈ نکاسی کے بعد  $v_C = 15 - 1 = 14$  درکار ہے۔ یوں

$$14 = 15e^{-\frac{0.01}{100C}}$$

$$C = 1449\text{ }\mu\text{F}$$

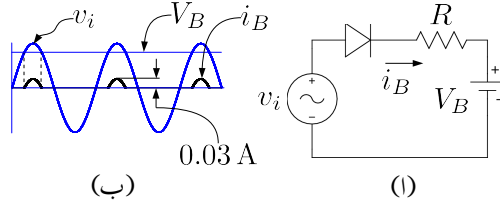
حاصل ہوتا ہے۔ کپیسٹر، مزاحمت وغیرہ متعین قیمتوں میں دستیاب ہوتے ہیں لہذا انہیں قیمتوں میں سے کپیسٹر، مزاحمت وغیرہ چنا ہوتا ہے۔ ہم  $1500\text{ }\mu\text{F}$  اور  $25\text{ V}$  کا کپیسٹر استعمال کریں گے۔ کپیسٹر کے برقی دباؤ کی صلاحیت درکار برقی دباؤ کی چوٹی سے زیادہ ہونا لازمی ہے۔

آپ نے دیکھا کہ کپیسٹر کی قیمت بڑھانے سے بل میں کمی آتی ہوتی ہے۔ یہ حقیقت برقی دباؤ کے منحنی<sup>36</sup> میں کام آئے گی۔

مثال 2.8: شکل 2.12-1 میں نصف لہر مثبت سمت کار کے خارجی جانب مزاحمت کی جگہ بیٹری نسب کی گئی ہے۔ یوں نصف لہر کار بیٹری میں بار بھرتا ہے۔ اس دور میں بیٹری کا برقی دباؤ  $V_B = 12\text{ V}$  جبکہ  $R = 100\text{ }\Omega$  اور  $v_i = 15\sin\omega t$  ہے جہاں  $\omega = 100\pi$  کے برابر ہے۔ اس بیٹری چارجر کی برقی رو  $i_B$  حاصل کر کے گراف کریں۔ مزاحمت  $R$  برقی رو کی چوٹی کو ڈایوڈ اور بیٹری کے قابل برداشت حد سے نیچے رکھتا ہے۔ حل:

<sup>36</sup>voltage supply





شکل 2.12: بیڑی چارجر

داخلی برقی دباو  $v_i$  کی قیمت مسلسل تبدیل ہوتا ہے۔ جب تک  $v_i$  کی قیمت بیڑی کے برقی دباو یعنی بارہ وولٹ سے کم رہے ڈائیوڈ الٹا مائل رہے گا اور اس میں برقی رو نہیں گزرے گی۔ جیسے ہی  $v_i$  کی قیمت 12 V سے تجاوز کرے ڈائیوڈ سیدھا مائل ہو کر برقی رو گزارے گا اور اس دوران  $v_D$  کو نظر انداز کرتے ہوئے مزاحمت پر اُوہم کے قانون سے ہم لکھ سکتے ہیں۔

$$i_R = i_B = \frac{v_i - V_B}{R} = \frac{15 \sin 100\pi t - 12}{100} = 0.15 \sin 100\pi t - 0.12$$

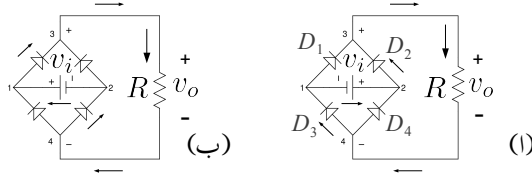
شکل 2.12- ب میں بیڑی بھرنے والی برقی رو  $i_B$  کے علاوہ  $v_i$  اور  $V_B$  بھی دکھائے گئے ہیں۔ برقی دباو اور برقی رو کو ایک ہی جگہ گراف کیا گیا ہے تاکہ وقت  $t$  کے ساتھ مختلف متغیرات کے تعلق کی وضاحت ہو سکے۔ جیسا آپ دیکھ سکتے ہیں بیڑی صرف ان اوقات بھری جاتی ہے جب  $v_i > V_B$  ہو۔ شکل میں نقطہ دار لکیریوں سے ایسے ایک دورانیہ کی نشاندہی کی گئی ہے جب بیڑی بھر رہی ہو۔ کی چوٹی 30 mA ہے جسے یوں حاصل کیا گیا۔

$$0.15 \sin \frac{\pi}{2} - 0.12 = 0.15 - 0.12 = 0.03 \text{ A}$$

### 2.3.2 مکمل لہر سمت کاری

شکل 2.13 میں مکمل لہر سمتی کار<sup>37</sup> دکھایا گیا ہے۔ اس دور میں چار ڈائیوڈ مربع کی شکل میں جوڑے گئے ہیں اور دور  $v_i$  بطور بدلتا داخلی برقی دباو مہیا کیا گیا ہے۔ دور کی کارکردگی سمجھنے کی خاطر شکل 2.14 الف پر توجہ رکھیں۔  $v_i$

<sup>37</sup>full wave rectifier



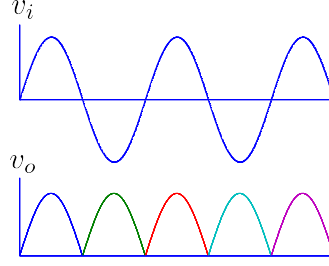
شکل 2.13: مکمل اہرست کار

کی قیمت مثبت ہونے کی صورت میں منبع برقی دباؤ کے مثبت (+) سرے سے برقی رو باہر کی جانب ہوگی۔ چونکہ برقی رو ڈایوڈ میں الٹی جانب نہیں گزر سکتی لہذا یہ ڈایوڈ  $D_2$  سے گزرے گی جبکہ اس دوران ڈایوڈ  $D_4$  منقطع حال رہے گا۔ برقی رو  $D_2$  سے خارج ہو کر چونکہ  $D_1$  میں الٹی جانب نہیں گزر سکتی لہذا یہ مزاحمت  $R$  میں داخل ہوگی۔

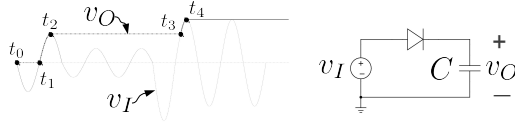
اسی طرح منبع برقی دباؤ کے منفی سرے سے برقی رو کی راہ معلوم کرنے کی خاطر ہم دیکھتے ہیں کہ منبع برقی دباؤ کے منفی (-) سرے پر برقی رو اندر کی جانب ہوگی۔ یہ برقی رو صرف  $D_3$  کے راستے ہی ممکن ہے چونکہ  $D_1$  میں الٹی برقی رو کا گزر ناممکن ہے۔ ہم دیکھتے ہیں کہ مثبت برقی دباؤ کی صورت میں برقی رو ڈایوڈ  $D_2$  اور  $D_4$  سے گزرتی ہے جبکہ ڈایوڈ  $D_1$  اور  $D_3$  منقطع رہتے ہیں۔ اس دوران مزاحمت میں برقی رو کی سمت شکل میں دکھائی گئی ہے۔

اب دیکھتے ہیں کہ منبع برقی دباؤ کے برقی دباؤ کی قیمت منفی ہونے کی صورت میں کیا ہوتا ہے۔ یہ صورت حال شکل 2.13- ب میں دکھائی گئی ہے۔ اس صورت میں برقی رو ڈایوڈ  $D_1$  اور  $D_4$  سے گزرے گی جبکہ  $D_2$  اور  $D_3$  منقطع رہیں گے۔ برقی رو اب بھی مزاحمت میں گزشتہ سمت میں ہی گزرے گی۔

یوں جیسا شکل 2.14 میں دکھایا گیا ہے، بدلتے داخلی دباؤ  $v_i$  کی قیمت مثبت یا منفی ہو، مزاحمت پر ہر وقت برقی دباؤ  $v_o$  مثبت ہی رہتا ہے۔ چونکہ  $v_o$  کی سمت تبدیل نہیں ہوتی لہذا یہ یک سمتی برقی دباؤ ہے۔



شکل 2.14: مکمل لہر سمت کار کے داخلی اور خارجی خط



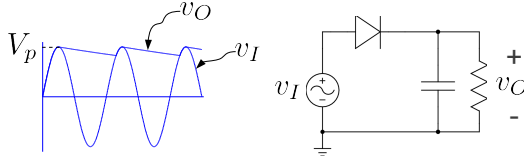
شکل 2.15: چوٹی حاصل کار

## 2.4 چوٹی حاصل کار

شکل 2.15 میں چوٹی حاصل کار<sup>38</sup> دکھایا گیا ہے۔ اس دور کو مثبت آدھے لہر سمت کار میں ڈائیوڈ کے خارجی جانب مزاحمت کی جگہ کپیسٹر نسب کر کے حاصل کیا گیا ہے۔ ڈائیوڈ پر برقی دباؤ کے  $0.7V$  گھٹنے کو نظر انداز کرتے ہوئے چوٹی حاصل کار کی کارکردگی کچھ یوں ہے۔ وقت  $t = 0$  پر<sup>39</sup>  $v_I$  چالو کیا جاتا ہے۔ لمحہ  $t_0$  یعنی  $t = 0$  پر داخلی برقی دباؤ  $v_I$  اور خارجی برقی دباؤ  $v_O$  دونوں صفر وولٹ کے برابر ہیں۔ لمحہ  $t_0$  سے لمحہ  $t_1$  تک داخلی برقی دباؤ ڈائیوڈ کو الٹ مائل کرتے ہوئے منقطع رکھتا ہے اور یوں اس دوران  $v_O$  صفر رہے گا۔  $t_1$  سے  $t_2$  تک خارجی برقی دباؤ  $v_O$  خوش اسلوبی سے داخلی برقی دباؤ  $v_I$  کی پیروی کرتے ہوئے کپیسٹر کو بھرتا ہے۔ اس دوران دور میں برقی رو کی مساوات مندرجہ ذیل ہے۔

$$i = C \frac{dv_O}{dt}$$

<sup>38</sup> peak detector  
<sup>39</sup>  $t_0$ ، غیرہ کو نقطوں سے ظاہر کیا گیا ہے



شکل 2.16: جیٹ اتار کار

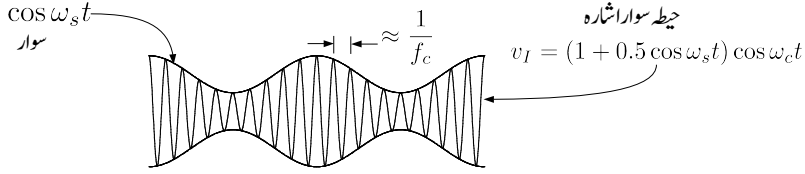
$t_2$  گزرتے ہی  $v_I$  کی قیمت کم ہونا شروع ہو جاتا ہے۔ یوں  $t_2$  سے  $t_3$  تک  $v_I < v_O$  رہتا ہے جس کی وجہ سے ڈیوڈ منقطع رہتا ہے۔ اس دوران کپیسٹر سے بار کے نکاسی کا کوئی راستہ موجود نہیں ہوتا لہذا کپیسٹر پر برقی دباؤ برقرار رہتا ہے جسے افقی لکیر سے دکھایا گیا ہے۔  $t_3$  گزرتے ہی  $v_I$  کی قیمت کپیسٹر پر پائے جانے والے برقی دباؤ سے بڑھ گیا ہے۔ یوں ڈیوڈ ایک مرتبہ پھر سیدھا مائل ہوتے ہوئے چالو صورت اختیار کر لیتا ہے۔  $t_3$  تا  $t_4$   $v_O$  دوبارہ  $v_I$  کی پیروی کرتا ہے۔  $t_4$  کے بعد کپیسٹر پر برقی دباؤ تبدیل نہیں ہوتا۔

اس تجزیہ سے واضح ہے کہ یہ دور داخلی اشارہ کی چوٹی حاصل کر کے اس پر برقرار رہتا ہے۔ اسی لئے اسے مثبت چوٹی حاصل کار کہتے ہیں۔ اگر اس دور میں ڈیوڈ الٹے رخ لگایا جائے تو خارجی اشارہ  $v_O$  منفی چوٹی حاصل کرے گا اور یوں اس دور کو منفی چوٹی حاصل کار کہا جائے گا۔

## 2.5 جیٹ اتار کار

مثبت چوٹی حاصل کار میں کپیسٹر کے متوازی مزاحمت جوڑنے سے جیٹ اتار کار<sup>40</sup> حاصل ہوتا ہے جسے شکل 2.16 میں دکھایا گیا ہے۔ جیسا کہ آپ دیکھ سکتے ہیں چوٹی  $V_p$  کے فوراً بعد داخلی برقی دباؤ گھٹتا ہے جبکہ خارجی جانب کپیسٹر اسی چوٹی پر رہ جاتا ہے۔ اس سے ڈیوڈ الٹا مائل ہو جاتا ہے اور اس میں سے برقی رو کا گزر ناممکن ہو جاتا ہے۔ ڈیوڈ کو منقطع تصور کریں تو ہمارے پاس بار سے بھرا شدہ کپیسٹر  $C$  اور اس کے متوازی جڑا مزاحمت  $R$  رہ جاتا ہے۔ کپیسٹر کا بار اسی مزاحمت کے راستے خارج ہو کر اس پر برقی دباؤ گھٹاتا ہے۔ ایسا مندرجہ ذیل مساوات کے تحت ہوتا ہے۔

$$(2.9) \quad v_O = V_p e^{-\frac{t}{RC}}$$



شکل 2.17: چیطہ سوار اشارہ

اس مساوات میں چوٹی کو  $t = 0$  تصور کیا گیا ہے۔ کپیٹر سے بار اس لمحہ تک خارج ہوتا ہے جب تک کپیٹر پر برقی دباؤ  $v_O$  دور کے داخلی برقی دباؤ  $v_I$  سے زیادہ رہے۔ جیسے ہی  $v_I$  کی مقدار ایک مرتبہ پھر  $v_O$  کی مقدار سے تجاوز کر جائے، اسی لمحہ ڈائیوڈ دوبارہ سیدھا مائل ہو کر کپیٹر کو دوبارہ بھرنا شروع کر دیتا ہے۔ شکل میں باریک لکیر سے داخلی برقی دباؤ جبکہ موٹی لکیر سے خارجی برقی دباؤ دکھایا گیا ہے۔ چیطہ اتار کار میں RC کو یوں رکھا جاتا ہے کہ کپیٹر پر  $v_I$  کے چوٹیوں کے برابر برقی دباؤ رہے جو دراصل  $v_s$  ہی ہے۔ یوں اصل اشارہ دوبارہ حاصل ہوتا ہے۔

کسی بھی اشارہ یعنی اطلاع  $v_s$  کو ایک جگہ سے دوسری جگہ منتقل کرنے کی خاطر اسے بلند تعدد کے سائن-منا اشارہ  $v_c$  کے چیطے پر چیطہ سوار کار<sup>41</sup> کی مدد سے سوار کیا جاتا ہے۔ منتقلی کے مقام پر بچنے کے بعد چیطہ سوار اشارے سے چیطہ اتار کار کی مدد سے اصل اشارہ یعنی اطلاع  $v_s$  کو دوبارہ حاصل کیا جاتا ہے۔  $v_c$  کے چیطے پر سوار کرنے سے مراد  $v_c$  کے چیطے کو  $v_s$  کے مطابق تبدیل کرنے کو کہتے ہیں۔ اشارہ  $v_s$  کو سوار موج<sup>42</sup> کہتے ہیں جبکہ اس کی تعدد کو تعدد سوار<sup>43</sup> کہتے ہیں۔ اسی طرح  $v_c$  کو سوار موج<sup>44</sup> کہتے ہیں جبکہ اس کی تعدد کو تعدد سوار<sup>45</sup> کہتے ہیں۔

$v_s = 0.5 \cos \omega_s t$  کو مثال بناتے ہوئے آگے بڑھتے ہیں۔ چیطہ سوار اشارہ حاصل کرنے کی خاطر  $v_s$  اور  $v_c$  کو چیطہ سوار کار سے گزارا جاتا ہے جس سے

$$(2.10) \quad v_I = (1 + 0.5 \cos \omega_s t) \cos \omega_c t = V_p \cos \omega t$$

حاصل ہوتا ہے۔ اس اشارہ جس کو شکل 2.17 میں دکھایا گیا ہے کو چیطہ سوار اشارہ<sup>46</sup>  $v_I$  کہتے ہیں۔

AM modulator<sup>41</sup>carrier wave<sup>42</sup>modulating frequency<sup>43</sup>modulating wave<sup>44</sup>carrier frequency<sup>45</sup>AM signal<sup>46</sup>

$v_I$  کے دو متواتر چوٹیوں کے درمیان جیٹہ اتار کار کے کپیسٹر پر برقی دباؤ گھٹتا ہے۔ یہ وقفہ تقریباً  $\frac{1}{f_c}$  کے برابر ہے جسے استعمال کرتے ہوئے مساوات 2.9 سے مسئلہ مکالمہ کی مدد سے وقفے کے آخر میں برقی دباؤ

$$(2.11) \quad v_O = V_p e^{-\frac{1}{RCf_c}} \approx V_p \left( 1 - \frac{1}{RCf_c} + \dots \right)$$

حاصل ہوتا ہے۔ یوں اس دوران برقی دباؤ میں تبدیلی

$$|\Delta v_O| = \frac{V_p}{RCf_c}$$

حاصل ہوتی ہے یعنی اس وقفے کے دوران خارجی اشارے کی وقت کے ساتھ شرح تبدیلی

$$(2.12) \quad \frac{|\Delta v_O|}{\frac{1}{f_c}} = \frac{V_p}{RC}$$

ہے۔ جیٹہ اتار کار میں  $RC$  کو یوں رکھا جاتا ہے کہ بھیجے گئے اشارے  $v_s$  میں زیادہ سے زیادہ تبدیلی کو بھی پکڑا جاسکے۔  $v_s$  میں تبدیلی کی شرح

$$\frac{dv_s}{dt} = -0.5\omega_s \sin \omega_s t$$

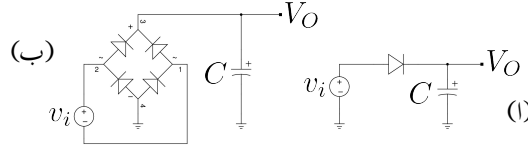
ہے جس کی زیادہ سے زیادہ قیمت  $\omega_s t = \frac{n\pi}{2}$  پر حاصل ہوتی ہے جہاں  $n = 1, 3, 5, \dots$  ہے۔ یہ قیمت

$$\left| \frac{dv_s}{dt} \right| = 0.5\omega_s$$

ہے۔ اس زیادہ سے زیادہ داخلی اشارے کے تبدیلی کی شرح کو جیٹہ اتار کار کے تبدیلی کے شرح کے برابر رکھا جاتا ہے۔  $\omega_s t = \frac{n\pi}{2}$  پر مساوات 2.10 کے تحت  $V_p = 1$  حاصل ہوتا ہے جسے مساوات 2.12 میں استعمال کرتے ہوئے یوں

$$(2.13) \quad \frac{1}{RC} = 0.5\omega_s$$

رکھا جاتا ہے۔ یہ مساوات جیٹہ اتار کار کی مساوات ہے۔ اگر کپیسٹر کو اس مساوات سے حاصل قیمت سے زیادہ رکھا جائے تب خارجی اشارہ تیزی سے تبدیل ہونے والے داخلی اشارے کو نہیں پکڑ سکے گا۔ اگر کپیسٹر کی قیمت اس سے کم رکھی جائے تب خارجی اشارے میں <sup>47</sup> زیادہ پایا جائے گا۔



شکل 2.18: منبع برقی دباو

## 2.6 منبع برقی دباو

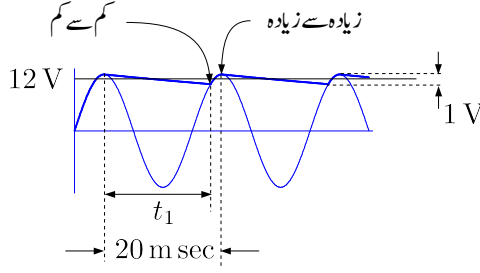
سمت کار کے خارجی جانب زیادہ قیمت کا کپیسٹر نسب کر کے **منبع برقی دباو**<sup>48</sup> حاصل ہوتا ہے جیسا شکل 2.18 الف میں دکھایا گیا ہے۔ اس پر کپیسٹر کے متوازی برقی بوجھ لادا جاتا ہے جسے عموماً  $R_L$  سے ظاہر کیا جاتا ہے۔ **منبع برقی دباو** یعنی برقی طاقت کے **منبع** کو گھریلو بجلی یا صنعتی بجلی فراہم کرتے ہوئے ایک سمتی برقی دباو  $V$  یکسٹی حاصل کیا جاتا ہے۔

بے بوجھ **منبع برقی دباو** کی کارکردگی بالکل چوٹی حاصل کار کی طرح ہے جبکہ برقی بوجھ سے لدے **منبع برقی دباو** کی کارکردگی حیثہ اتار کار کی طرح ہے۔ البتہ **منبع** میں ہماری کوشش ہوتی ہے کہ  $V$  میں بلھ کم سے کم ہوتا کہ اسے ایک سمتی برقی دباو کے طور استعمال کرنا ممکن ہو۔ **منبع برقی دباو** تقریباً ہر برقیاتی آلہ یا مشین میں پایا جاتا ہے۔

چونکہ **منبع برقی دباو** داخلی طاقت 50 Hz کے سائن نما  $v_i$  سے حاصل کرتا ہے لہذا  $C$  بھی اسی تعدد سے بھرتا ہے۔  $v_i$  کے دو چوٹیوں کے مابین  $\frac{1}{50} = 20 \text{ ms}$  (بیس ملی سیکنڈ) کے وقفے کے دوران  $R_L$  کو کپیسٹر  $C$  طاقت مہیا کرتا ہے۔

مثال 2.9: ایک عدد 12 V کا **منبع برقی دباو** درکار ہے جس سے  $6 \text{ k}\Omega$  داخلی مزاحمت کے برقی بوجھ کو طاقت مہیا کرنا ہے۔ برقی بوجھ کو دی جانے والے برقی دباو کے قیمت میں کل تبدیلی  $\pm 0.5 \text{ V}$  سے کم ہونا ضروری ہے۔ کپیسٹر  $C$  کی قیمت حاصل کریں۔

حل: شکل 2.19 میں ان معلومات کو دکھایا گیا ہے۔ کپیسٹر  $t_1$  دورانیہ کے لئے برقی بوجھ کو طاقت فراہم کرتا ہے اور یوں اس دوران اس سے بار کی نکاسی ہوتی ہے۔ البتہ  $t_1$  کو دو چوٹیوں کے درمیان وقفے کے برابر ہی عموماً تصور کیا جاتا ہے۔ یوں  $t_1 = 20 \text{ ms}$  لیا جاتا ہے۔



شکل 2.19: مثال منبع برقی دباؤ

اس مسئلے کو دو طریقوں سے حل کرتے ہیں۔ پہلے مثال 2.7 کی طرح حل کرتے ہیں۔ کپیسٹر نکاسی کا دورانیہ بیس ملی سیکنڈ ہے۔ اس دورانیہ میں کپیسٹر پر برقی دباؤ 12.5 V سے گھٹ کر 11.5 V رہ جاتا ہے یوں

$$11.5 = 12.5e^{-\frac{0.02}{6000C}}$$

$$C = 39.98 \mu F$$

حاصل ہوتا ہے۔ انہیں اسی مسئلے کو قدر مختلف اور زیادہ آسان طریقے سے حل کریں۔

درکار بارہ وولٹ کو شکل 2.19 میں پختہ لکیر سے دکھایا گیا ہے۔ برقی دباؤ اس سے 0.5 V کم یا زیادہ ہو سکتا ہے۔ یوں برقی بوجھ میں بلے<sup>49</sup> 0.5 V یا 1 V کے برابر ہے جبکہ زیادہ سے زیادہ برقی دباؤ 12.5 V اور کم سے کم برقی دباؤ 11.5 V ہے۔ بارہ وولٹ پر  $R_L$  میں  $\frac{12}{6000} = 2 \text{ mA}$  جبکہ زیادہ سے زیادہ برقی دباؤ پر  $\frac{11.5}{6000} = 1.9167 \text{ mA}$  کا برقی رو گزرے گا۔

برقی دباؤ کے تبدیلی سے برقی رو کے تبدیلی کو نظر انداز کرتے ہوئے اس کی اوسط قیمت لی جاتی ہے۔ یوں ہم تصور کرتے ہیں کہ  $R_L$  میں 2 mA گزرتا ہے جس سے کپیسٹر کے بار کی نکاسی ہوتی ہے۔ ہم جانتے ہیں کہ

$$I = \frac{\Delta Q}{\Delta t}$$

کے برابر ہوتا ہے۔ اس سے کپیسٹر میں  $t_1$  کے دوران کپیسٹر پر پائے جانے والے بار میں تبدیلی  $\Delta Q$  حاصل کرتے ہیں۔

$$\Delta Q = I \times \Delta t = (2 \times 10^{-3}) \times (20 \times 10^{-3}) = 40 \times 10^{-6}$$



کپیسٹر کی مساوات  $Q = CV$  کو  $\Delta Q = C\Delta V$  لکھتے ہیں جہاں  $\Delta V = 1V$  کے برابر ہے۔ یوں

$$\Delta Q = I \times \Delta t = C\Delta V$$

لکھا جاسکتا ہے جس سے

$$C \times 1 = 40 \times 10^{-6}$$

$$C = 40 \mu F$$

حاصل ہوتا ہے۔

آپ نے دیکھا کہ دونوں طریقوں سے حل کرتے تقریباً برابر جوابات حاصل ہوتے ہیں۔ البتہ دوسرا طریقہ استعمال کرتے ہوئے صرف کاغذ اور قلم استعمال کرتے ہوئے جواب کا حصول ممکن ہے۔

کپیسٹر کی قیمت بڑھانے سے منبع کے خارجی برقی دباو میں بلے کم کیا جاسکتا ہے۔ حقیقت میں ڈاپوڈ میں برقی دباو کا گھٹاؤ اور داخلی بدلتے برقی دباو میں تبدیلی ہمارے قابو میں نہیں ہوتے لہذا اس طرح کی منبع برقی دباو سے قطعی یک سمتی برقی دباو کا حصول ممکن نہیں ہوتا۔ جہاں درکار یک سمتی برقی دباو کی قیمت چند وولٹ زیادہ یا کم قابل برداشت ہو وہاں اس طرح کی منبع استعمال کی جاسکتی ہے۔ یک سمتی برقی دباو کی قیمت زیادہ یا کم ہونے کے باوجود برقی دباو میں بلے<sup>50</sup> کو کپیسٹر سے قابو رکھنا ممکن ہے۔

مشق 2.2: 10 mA کے برقی بوجھ کو چلانے کی خاطر 5 V کی منبع برقی دباو درکار ہے جس میں بلے  $\pm 0.1 V$  سے کم ہونا ضروری ہے۔ کپیسٹر کی قیمت حاصل کریں۔ اس قسم کی منبع برقی دباو<sup>51</sup> برقیاتی ادوار کو چلانے کی خاطر عموماً درکار ہوتی ہے۔

جواب: 1000  $\mu F$

<sup>50</sup> ripple

<sup>51</sup> voltage source

مندرجہ بالا مثال کو مد نظر رکھتے ہوئے ہم دیکھتے ہیں کہ شکل 2.18 ب میں دکھائے منع برقی دباؤ میں درکار کپیسٹر کی قیمت شکل الف کے حوالے سے آدھی ہو گی کیوں کہ اس میں ایک ڈایوڈ یعنی آدھے سمت کار کی جگہ مربع ڈایوڈ یعنی مکمل سمت کار استعمال کیا گیا ہے۔ مکمل سمت کار میں کپیسٹر ہر  $10 \text{ ms}$  بھرا جائے گا۔ مثال 2.9 کو شکل 2.18 ب کے لئے حل کرتے ہوئے  $t_1 = 10 \text{ ms}$  لیا جائے گا جس سے  $C = 20 \mu\text{F}$  حاصل ہوتا ہے۔

کامل ڈایوڈ تصور کرتے ہوئے خارجی برقی دباؤ کی زیادہ سے زیادہ قیمت  $V_p$  جبکہ اس میں کل بل  $\Delta V$  لکھتے ہوئے

$$(2.14) \quad V_{\text{یکستی}} = V_p - \frac{\Delta V}{2}$$

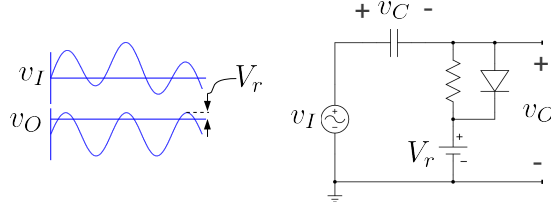
حاصل ہو گا۔

### 2.6.1 برقیاتی شکبہ

عموماً برقیاتی اشارات مطلوبہ جگہ تک پہنچتے پہنچتے اپنی اصل شکل کھو جاتے ہیں۔ ایک عمومی مسئلہ اشارہ کے حیث کا برقرار نہ رہنا ہے۔ انہیں اس کی ایک مثال دیکھیں۔

آپ جانتے ہیں کہ بدلتی برقی رو مقناطیس پیدا کرتی ہے اور بدلتی مقناطیسی میدان برقی دباؤ کو جنم دیتا ہے۔ یوں اگر باریک اشاراتی تاروں کے قریب عام استعمال کے گھریلو یا صنعتی بجلی کے تار گزریں تو ان میں بدلتی برقی رو باریک اشاراتی تاروں میں برقی دباؤ پیدا کرتا ہے جس سے اشارہ کا حیث متاثر ہوتا ہے۔ شکل 2.20 میں اشارہ  $v_I$  کا حیث یوں متاثر ہوا دکھایا گیا ہے۔ یہ اشارہ دراصل سائن شکل کا تھا لیکن یہاں تک پہنچتے پہنچتے اس کا یہ حال ہو چکا ہے۔ شکل 2.20 میں دکھایا دور اشارہ کے مثبت حیث کو  $V_r$  کی قیمت پر زبردستی رکھتا ہے جس سے اشارہ کی اصل صورت رونما ہو جاتی ہے۔ گویا یہ دور اشارہ کے حیث کو شکبہ میں پکڑے رکھتا ہے۔ اسی سے اس دور کا نام برقیاتی شکبہ<sup>52</sup> نکلا ہے جسے عموماً چھوٹا کر کے صرف شکبہ کہتے ہیں اس دور کی کارکردگی پچھلے حصہ میں دکھائے دور کی طرح ہے۔ اسے سمجھنے کی خاطر ڈایوڈ کو کامل ڈایوڈ اور مزاحمت  $R$  کو لامحدود تصور کریں۔ یہ بھی تصور کریں کہ داخلی اشارہ  $v_I$  کے حیث  $v_p$  کی مقدار خارجی جانب جڑے بیڑی کی برقی دباؤ  $V_r$  سے زیادہ ہے۔

خارجی جانب کی برقی دباؤ  $v_O$  پر غور کرتے معلوم ہوتا ہے کہ یہ کسی صورت  $V_r$  سے تجاوز نہیں کر سکتا کیوں کہ جب بھی  $v_O$  کی مقدار  $V_r$  سے تجاوز کرے، ڈایوڈ سیدھا مائل ہو جائے گا۔ سیدھے مائل ڈایوڈ کی



شکل 2.20: کلنچ

صورت میں  $v_O$  اور  $V_r$  برابر رہیں گے۔ کرخوف کے قانون برقی دباؤ کے تحت سیدھے مائل ڈایوڈ کی صورت میں

$$v_I = v_C + v_D + V_r$$

ہو گا۔ داخلی برقی دباؤ کے چوٹی پر  $v_D$  کو صفر وولٹ اور  $v_I$  کو  $v_p$  لیتے ہوئے اس مساوات سے کپیسٹر کا برقی دباؤ یوں حاصل ہوتا ہے

$$v_C = v_I - v_D - V_r \approx v_p - V_r$$

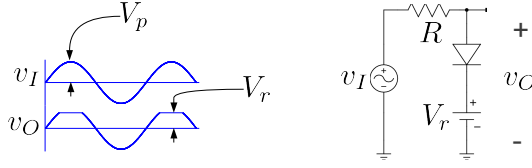
یوں کپیسٹر اس برقی دباؤ پر رہتے ہوئے خارجی برقی دباؤ کے مثبت حیثہ کو  $V_r$  سے تجاوز کرنے سے روکتا ہے۔

جیسا کہ پہلے ذکر ہوا اصل استعمال میں داخلی اشارہ کا حیثہ از خود کم اور زیادہ ہوتا ہے۔ اس صورت کو شکل میں دکھایا گیا ہے۔ اس صورت سے نمٹنے کی خاطر دور میں ڈایوڈ کے متوازی مزاحمت  $R$  نسب کی گئی ہے تاکہ اس کے راستے کپیسٹر کا بار خارج ہو سکے اور یہ بعد میں آنے والی کم چوٹی کو بھی قابو کر سکے۔

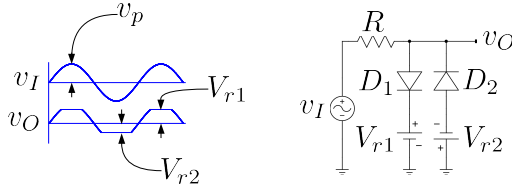
## 2.7 برقیاتی تراش

کلنچ کے دور میں کپیسٹر کی جگہ مزاحمت استعمال کرنے سے برقیاتی تراش<sup>53</sup> کا دور حاصل ہوتا ہے جسے شکل 2.21 میں دکھایا گیا ہے۔ برقیاتی تراش یا تراش ایک ایسا دور ہے جو اشارہ کے چوٹی کو ایک خاص حد سے تجاوز نہیں کرنے دیتا بلکہ اسے کاٹ دیتا ہے۔ دکھایا دور صرف ایک جانب کی چوٹی کاٹتا ہے لہذا اس کو ایک طرف کا تراش کہا جائے گا۔ جب تک داخلی برقی دباؤ کی قیمت  $V_r$  سے کم ہو ڈایوڈ الٹ مائل یعنی منقطع رہتا ہے۔ اس صورت میں خارجی برقی

clipper<sup>53</sup>



شکل 2.21: ایک طرف کا تراش



شکل 2.22: دو اطراف کا تراش

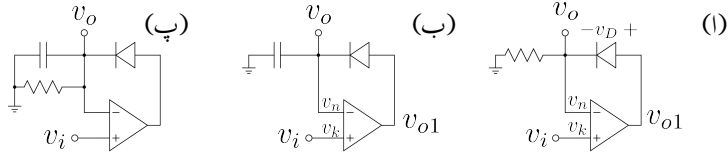
دباؤ داخلی برقی دباؤ کے برابر رہے گا یعنی ہو گا اور مزاحمت  $R$  میں برقی رو کی مقدار صفر ایمپیر رہے گی۔ جیسے ہی داخلی برقی دباؤ کی قیمت  $V_r$  سے تجاوز کر جائے ڈایوڈ سیدھا مائل ہو جاتا ہے۔ جتنی دیر  $v_I > V_r$  رہے اتنی دیر کے لئے ڈایوڈ کو چالو سوچ سبھا جاسکتا ہے اور یوں اس دوران خارجی برقی دباؤ کی قیمت  $V_r$  رہے گی۔ اس دوران مزاحمت اور ڈایوڈ دونوں میں برقی رو کی مقدار

$$i_R = \frac{v_I - V_r}{R}$$

ہوگی۔

آپ نے دیکھا کہ یہ دور داخلی برقی دباؤ کو  $V_r$  پر تراشتا ہے۔ اس دور میں دو ڈایوڈ کے استعمال سے دو اطراف کا تراش حاصل ہوتا ہے جسے شکل 2.22 میں دکھایا گیا ہے۔ اس دور میں جب تک  $v_I$  کی قیمت مثبت ہو ڈایوڈ  $D_2$  الٹا مائل رہتا ہے۔ یوں مثبت داخلی برقی دباؤ کے لئے یہ دور بالکل پچھلے دئے گئے ایک طرف کے تراش کی طرح کام کرتا ہے اور داخلی اشارہ کے مثبت چوٹی کو  $V_{r1}$  پر تراشتا ہے۔

منفی داخلی برقی دباؤ کی صورت میں ڈایوڈ  $D_1$  الٹ مائل رہتا ہے اور یہ دور داخلی اشارہ کے منفی چوٹی کو  $V_{r2}$  پر تراشتا ہے۔ شکل میں داخلی اور تراشے گئے خارجی برقی دباؤ بھی دکھائے گئے ہیں۔



شکل 2.23: کامل ادوار

## 2.8 حسابی ایمپلیفائر کی مدد سے ڈایوڈ کے کامل ادوار

## 2.8.1 کامل نصف لہر سمت کار

ڈایوڈ پر مبنی نصف لہر سمت کار کے خارجی اشارے کی چوٹی مہیا کردہ داخلی اشارے کے چوٹی سے تقریباً  $0.7V$  کم ہوتی ہے۔ یہ حقیقت شکل 2.9 میں واضح کی گئی۔ حسابی ایمپلیفائر استعمال کرتے ہوئے ایسا کامل نصف لہر سمت کار حاصل ہوتا ہے جس کے خارجی اشارے کی چوٹی داخلی اشارے کے چوٹی کے بالکل برابر ہوتی ہے۔ شکل 2.23 الف میں ایسا کامل نصف لہر مثبت سمت کار دکھایا گیا ہے جس میں خارجی اشارہ  $v_o$  کو ڈایوڈ کے خارجی سرے سے حاصل کیا گیا ہے۔ ڈایوڈ کی سمت الثانیے سے کامل نصف لہر منفی سمت کار حاصل ہو گا۔

تصور کریں کہ  $v_i = 0V$  اور یوں حسابی ایمپلیفائر کا خارجی اشارہ  $v_{o1}$  بھی صفر وولٹ ہے۔ اب تصور کریں کہ داخلی اشارہ مثبت جانب بڑھتا ہے۔ حسابی ایمپلیفائر کا خارجی اشارہ اس قدر مثبت جانب بڑھے گا کہ  $v_k = v_n$  یعنی  $v_i = v_k = v_o$  ہو۔ یوں  $v_o = v_i$  ہو گا۔ آپ دیکھ سکتے ہیں کہ اس صورت میں ڈایوڈ سیدھا مائل ہو گا۔ مزید یہ کہ  $v_{o1} = v_i + v_D$  کے برابر ہو گا۔

اب تصور کریں کہ داخلی اشارہ منفی جانب بڑھتا ہے۔ حسابی ایمپلیفائر کا خارجی اشارہ  $v_{o1}$  اس قدر منفی جانب بڑھنے کی کوشش کرے گا کہ  $v_k = v_n$  ہوں۔ البتہ  $v_{o1}$  منفی ہوتے ہی ڈایوڈ الٹا مائل ہو کر منقطع ہو جاتا ہے۔ یوں حسابی ایمپلیفائر کا خارجی اشارہ  $v_k$  پر اثر انداز نہیں ہو پاتا۔ ایسی صورت میں حسابی ایمپلیفائر کا خارجی اشارہ مکمل منفی یعنی  $v_{o1} = V_{EE}$  ہو کر رہ جائے گا۔ ڈایوڈ منقطع ہونے سے حسابی ایمپلیفائر کا منفی مدخل مزاحمت  $R$  کے ذریعہ برقی زمین سے جڑ جاتا ہے۔ حسابی ایمپلیفائر کا داخلی برقی رو صفر ہونے کے ناطے مزاحمت میں بھی برقی رو  $I$  کا گزر ممکن نہیں۔ یوں  $v_k = IR = 0$  یعنی  $v_o = 0V$  ہو گا۔ آپ دیکھ سکتے ہیں کہ منفی داخلی اشارے کی صورت میں خارجی اشارہ صفر وولٹ رہتا ہے۔

مثبت داخلی اشارے کی صورت میں  $v_o = v_i$  جبکہ منفی داخلی اشارے کی صورت میں  $v_o = 0V$  حاصل ہوتا ہے جو کہ مثبت نصف لہر سمت کار کی کارکردگی ہے۔

### 2.8.2 کامل چوٹی حاصل کار

شکل 2.23 الف میں مزاحمت کی جگہ کپیسٹر نسب کرنے سے شکل ب حاصل ہوتا ہے جو کامل مثبت چوٹی حاصل کار کا دور ہے۔  $v_i = 0V$  اور  $v_o = 0V$  سے شروع کرتے ہوئے اس دور کی کارکردگی دیکھتے ہیں۔ داخلی اشارہ مثبت جانب بڑھنے سے  $v_{o1}$  اس قدر بڑھتا ہے کہ  $v_k = v_n$  رہے۔ یوں  $v_o = v_i$  رہتا ہے۔ جب داخلی اشارہ اپنے چوٹی  $V_p$  پر پہنچتا ہے، اس لمحہ  $v_k = V_p$  اور یوں  $v_n = V_p$  ہوتا ہے۔ اس لمحہ کپیسٹر بھی برقی دباؤ تک بھرا جاتا ہے۔  $v_k = v_n$  حاصل کرنے کی خاطر اس لمحہ  $v_{o1} = V_p + v_D$  کے برابر ہو گا۔

داخلی اشارہ اپنے چوٹی تک پہنچنے کے بعد کم ہونا شروع ہوتا ہے۔ حسابی ایمپلیفائر کا خارجی اشارہ  $v_{o1}$  کم ہو کر کوشش کرتا ہے کہ  $v_k = v_n$  رکھ سکے۔ البتہ ڈایوڈ کے خارجی جانب نسب کپیسٹر پر  $V_p$  برقی دباؤ پایا جاتا ہے اور  $v_{o1}$  کی قیمت جیسے ہی  $V_p$  سے کم ہوتا ہے اسی لمحہ ڈایوڈ الٹ مائل ہو کر منقطع ہو جاتا ہے۔ ڈایوڈ منقطع ہونے سے کپیسٹر پر بار کے نکاسی کا کوئی راستہ نہیں رہتا اور یوں اس پر برقرار  $V_p$  برقی دباؤ رہتا ہے۔ اس طرح  $v_o = V_p$  رہتا ہے۔

آپ نے دیکھا کہ کپیسٹر پر داخلی اشارے کے چوٹی کے بالکل برابر برقی دباؤ حاصل ہوتا ہے جسے بطور خارجی اشارہ  $v_o$  لیا جاتا ہے۔ صرف ڈایوڈ پر مبنی چوٹی حاصل کار میں کپیسٹر پر داخلی اشارے کے چوٹی سے  $v_D$  برابر کم برقی دباؤ پایا جاتا ہے جبکہ موجودہ دور حقیقی چوٹی حاصل کرتا ہے۔

### 2.8.3 کامل حیثہ اتار کار

شکل 2.23 پ میں کامل حیثہ اتار کار دکھایا گیا ہے۔ امید کی جاتی ہے کہ اس کی کارکردگی آپ خود سمجھ پائیں گے۔

## 2.8.4 ڈایوڈ لوگار تھی ایمپلیفائر

حسابی منفی ایمپلیفائر میں مزاحمت کی جگہ ڈایوڈ نسب کرنے سے شکل 2.24 الف کا لوگار تھی ایمپلیفائر<sup>54</sup> حاصل ہوتا ہے۔ مثبت  $v_i$  کی صورت میں  $v_o$  منفی ہو گا جس سے  $D_1$  سیدھا مائل جبکہ  $D_2$  الٹا مائل ہو گا۔ اسی طرح منفی  $v_i$  کی صورت میں  $v_o$  مثبت ہو گا جس سے  $D_1$  الٹا مائل جبکہ  $D_2$  سیدھا مائل ہو گا۔ یوں کسی بھی وقت ایک ڈایوڈ منقطع رہتا ہے جبکہ دوسرا سیدھا مائل رہتا ہے۔ اگرچہ حقیقت میں منفی متغیر کا لوگار تھم نہیں پایا جاتا اور یوں دور میں صرف  $D_1$  ہونا چاہئے تھا لیکن عموماً دو ڈایوڈ استعمال کئے جاتے ہیں۔ یوں داخلی اشارہ مثبت یا منفی ممکن ہوتا ہے۔

مثبت  $v_i$  کی صورت میں حل کرتے ہیں۔ حسابی ایمپلیفائر کے مثبت مداخل برقی زمین کے ساتھ جڑا ہے لہذا اس پر برقی دباؤ  $v_k$  صفر ہو گا۔ منفی مداخل پر برقی دباؤ  $v_n$  لکھتے ہوئے کرخوف کے قانون برائے برقی رو کی مدد سے

$$\frac{v_n - v_i}{R} + i_D = 0$$

لکھا جاسکتا ہے جہاں  $i_D$  ڈایوڈ  $D_1$  کی برقی رو ہے۔ اس مساوات میں  $v_n = 0$  اور  $i_D$  کی جگہ ڈایوڈ کی مساوات استعمال کرتے ہوئے

$$\frac{v_n - v_i}{R} + I_S e^{\frac{v_n - v_o}{V_T}} = 0$$

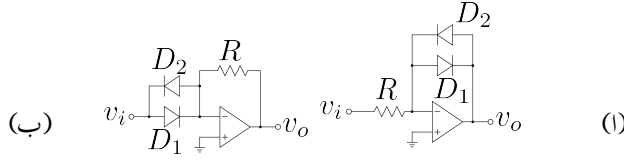
$$-\frac{v_i}{R} + I_S e^{\frac{-v_o}{V_T}} = 0$$

$$\frac{v_i}{I_S R} = e^{\frac{-v_o}{V_T}}$$

حاصل ہوتا ہے جہاں ڈایوڈ پر برقی دباؤ کو  $v_n - v_o$  لیا گیا ہے۔ دونوں جانب قدرتی لوگار تھم<sup>55</sup> لیتے ہوئے حاصل ہوتا ہے۔

$$v_o = -V_T \ln \left( \frac{v_i}{I_S R} \right)$$

<sup>54</sup> log amplifier  
<sup>55</sup> natural log



شکل 2.24: لوگار تھمی ایپلیفائر

شکل ب میں قدرتی الٹے۔ لوگار تھم ایپلیفائر<sup>56</sup> دکھایا گیا ہے۔ حسابی ایپلیفائر کے دونوں مدخل کو برقی زمین تصور کرتے ہوئے مثبت  $v_i$  کی صورت میں ڈایوڈ  $D_1$  سیدھا مائل ہوتے ہوئے

$$i_D = I_S e^{\frac{v_i - v_n}{V_T}} \\ = I_S e^{\frac{v_i}{V_T}}$$

برقی رو گزارے گا جو حسابی ایپلیفائر کے منفی مدخل پر مزاحمت کی جانب مڑ جائے گا۔ یوں

$$I_S e^{\frac{v_i}{V_T}} = \frac{v_n - v_o}{R} \\ v_o = -I_S R e^{\frac{v_i}{V_T}}$$

حاصل ہوتا ہے۔ آپ دیکھ سکتے ہیں کہ یہ دور داخلی اشارے کا قدرتی الٹے۔ لوگار تھم حاصل کرتا ہے۔

## 2.8.5 ضرب کار

$v_A$  اور  $v_B$  کے لوگار تھم جمع کرنے سے  $\ln v_A + \ln v_B = \ln v_A v_B$  حاصل ہوتا ہے جس کا الٹ۔ لوگار تھم لینے سے  $v_A v_B$  یعنی دونوں متغیرات کا حاصل ضرب حاصل ہوتا ہے۔ اسی حقیقت کو استعمال کرتے ہوئے لوگار تھمی اور الٹ لوگار تھمی ایپلیفائر استعمال کرتے ہوئے شکل 2.25 میں ضرب کار<sup>57</sup> حاصل کیا گیا ہے۔ لوگار تھمی ایپلیفائر کے مساوات استعمال کرتے ہوئے ہم لکھ سکتے ہیں۔

natural anti-log<sup>56</sup>  
multiplier<sup>57</sup>



$$v_{o1} = -V_T \ln \frac{v_{i1}}{I_S R}$$

$$v_{o2} = -V_T \ln \frac{v_{i1}}{I_S R}$$

اسی طرح جمع کار کے مساوات سے

$$\begin{aligned} v_{o3} &= -(v_{o1} + v_{o2}) \\ &= V_T \ln \frac{v_{i1}}{I_S R} + V_T \ln \frac{v_{i2}}{I_S R} \\ &= V_T \ln \frac{v_{i1} v_{i2}}{I_S^2 R^2} \end{aligned}$$

اور الٹ لوگار تھمی کے مساوات سے

$$\begin{aligned} v_0 &= -I_S R e^{\frac{v_{o3}}{V_T}} \\ &= -I_S R e^{\ln \frac{v_{i1} v_{i2}}{I_S^2 R^2}} \\ &= -\frac{v_{i1} v_{i2}}{I_S R} \end{aligned}$$

حاصل ہوتا ہے۔ یہ ضربے کار داخلی متغیرات کو آپس میں ضرب دیتے ہوئے  $\frac{-1}{I_S R}$  سے بھی ضرب دیتا ہے۔

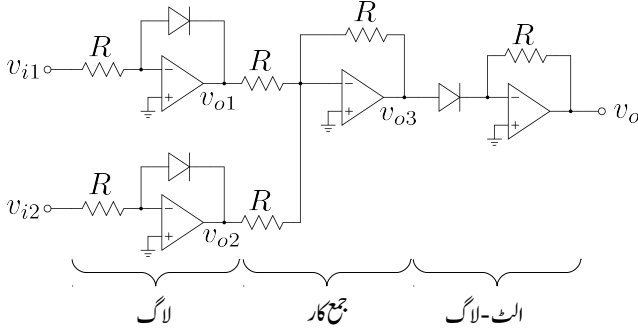
شکل میں جمع کار کی بجائے منفی کار کے استعمال سے تقسیم کار<sup>58</sup> حاصل ہوتا ہے۔

## 2.8.6 کامل مکمل لہر سمت کار

شکل 2.26 میں کامل مکمل لہر سمتے کار دکھایا گیا ہے۔ آئیں اس کی کارکردگی مثبت اور منفی  $v_i$  کی صورت میں دیکھیں۔

مثبت  $v_i$  کی صورت میں  $v_{o1}$  منفی ہو جائے گا جس سے  $D_1$  الٹا مائل ہو کر منقطع جبکہ  $D_2$  سیدھا مائل ہو جائے گا۔  $D_2$  سیدھا مائل ہونے سے  $U_1$  پر  $v_n = v_k$  ہو گا۔  $D_1$  کو منقطع اور  $U_1$  کے منفی مدخل کو برقی زمین پر تصور کرتے ہوئے شکل 2.27 الف حاصل ہوتا ہے جو کہ سیدھا سادہ جمع کار ہے جس سے

$$v_0 = -v_i$$



شکل 2.25: ضرب کار

حاصل ہوتا ہے۔ شکل 2.27 الف میں  $v_1$  بھی دکھایا گیا ہے۔ چونکہ اس کے دونوں جانب مزاحمتوں کے سرے صفر وولٹ پر ہیں لہذا اس صورت  $v_1 = 0V$  رہے گا۔ شکل 2.27 ت میں مثبت  $v_i$  کی صورت میں  $v_o$  اور  $v_1$  دکھائے گئے ہیں۔

منفی  $v_i$  کی صورت میں  $v_{o1}$  مثبت ہو جائے گا جس سے  $D_2$  الٹا مائل ہو کر منقطع جبکہ  $D_1$  سیدھا مائل ہو جائے گا۔ یوں  $U_1$  حسابی ایمپلیفائر شکل 2.27 ب صورت اختیار کر لے گا جس کے لئے ہم لکھ سکتے ہیں

$$v_k = 0$$

$$\frac{v_n - v_i}{R} + \frac{v_k - v_1}{R} = 0$$

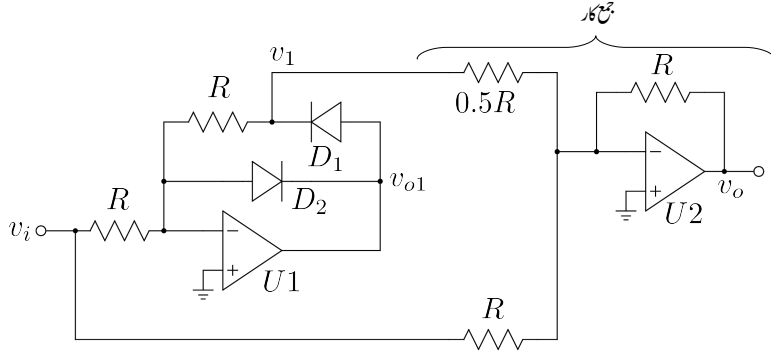
اور یوں

$$v_1 = -v_i$$

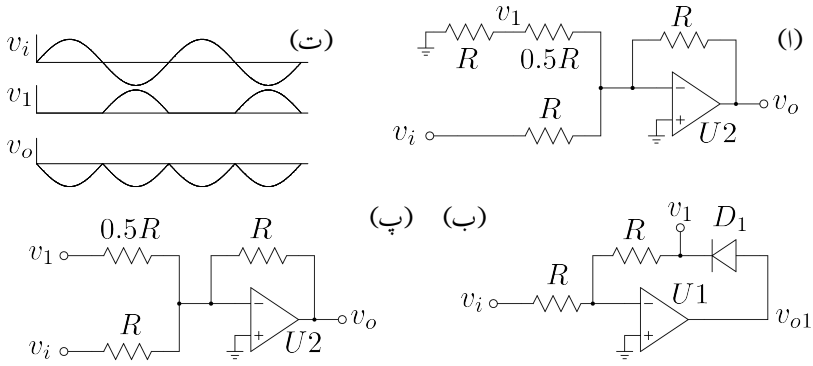
حاصل ہوتا ہے۔ آپ دیکھ سکتے ہیں کہ  $v_{o1} = v_1 + v_D$  ہو گا جہاں  $v_D$  سیدھے مائل ڈایوڈ  $D_1$  پر برقی دباؤ ہے۔  $v_1$  کے استعمال سے جمع کار کو شکل 2.27 پ کے طرز پر بنایا جاسکتا ہے جس سے

$$v_o = -v_i - 2v_1$$

حاصل ہوتا ہے۔ شکل 2.27 ت میں منفی  $v_i$  کی صورت میں  $v_1$  اور  $v_o$  دکھائے گئے ہیں۔



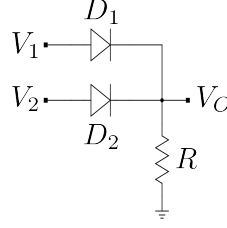
شکل 2.26: کامل مکمل اہر سمت کار



شکل 2.27: کامل مکمل اہر سمت کار کی کارکردگی

منتقی جمع

$V_1$	$V_2$	$V_O$
0	0	0
0	5	5
5	0	5
5	5	5



شکل 2.28: منتقی جمع

## 2.9 ڈایوڈ کے منتقی ادوار

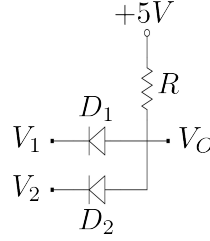
ڈایوڈ پر مبنی ادوار حل کرنے کے طریقہ پر اس حصہ میں غور کیا جائے گا۔ ڈایوڈ پر مبنی ادوار حل کرتے وقت اگر سیدھے مائل اور اُلٹے مائل ڈایوڈوں کے نشان ہی کر دی جائے تو ان ادوار کو حل کرنا نہایت آسان ہو جاتا ہے۔ اس صورت میں سیدھے مائل ڈایوڈوں کی جگہ چالو سوئچ اور اُلٹے مائل ڈایوڈوں کی جگہ منقطع سوئچ نسب کر کے دور کو حل کیا جاسکتا ہے۔ بد قسمتی سے قبل از وقت یہ جاننا کہ کون کون سے ڈایوڈ سیدھے مائل اور کون کون سے ڈایوڈ اُلٹے مائل ہیں عموماً ناممکن ہوتا ہے۔ ڈایوڈ کے ادوار حل کرنے کا کوئی ایک سادہ طریقہ نہیں پایا جاتا البتہ گھبرانے کی بات نہیں چونکہ ایسے ادوار حل کرنے کے مشق سے یہ اندازہ لگانا کہ کون کون سے ڈایوڈ سیدھے یا اُلٹے مائل ہیں عموماً ممکن ہوتا ہے۔ اس طریقہ کو مشق سے بہتر سیکھا جاسکتا ہے۔ ایسا کرنے کی خاطر شکل 2.28 میں دئے دور پر غور کریں۔

اس دور میں دو ڈایوڈ استعمال کئے گئے ہیں۔ دور کے دو غیر تابع داخلی برقی دباؤ (اشارات) کو  $V_1$  اور  $V_2$  جبکہ خارجی برقی دباؤ کو  $V_O$  کہا گیا ہے۔ یہ ایک مخصوص دور ہے جس کے داخلی برقی دباؤ کے دو ہی ممکنہ قیمتیں ہیں۔ یہ تو یا صفر وولٹ (0V) اور یا پھر پانچ وولٹ (5V) ہو سکتے ہیں۔ یوں داخلی جانب چار ممکنہ صورتیں پائی جاتی ہیں جنہیں شکل میں بطور جدول دکھایا گیا ہے۔ آئیں باری باری ان چار صورتوں پر غور کریں۔

پہلی صورت میں دونوں داخلی برقی دباؤ صفر وولٹ ہیں یعنی  $V_1 = 0$  اور  $V_2 = 0$  ہیں۔ یہ جدول کی پہلی صف میں دکھایا گیا ہے۔ اس صورت میں واضح ہے کہ دور میں برقی رو ممکن نہیں۔ یوں خارجی جانب نسب مزاحمت

منتهی ضرب

$V_1$	$V_2$	$V_O$
0	0	0
0	5	0
5	0	0
5	5	5



شکل 2.29: منتهی ضرب

میں برقی رو صفر ہونے کی وجہ سے اس کے سروں کے مابین برقی دباؤ بھی صفر وولٹ ہو گا۔ جدول کی پہلی صف میں دائیں جانب  $V_O$  کی صف میں 0 اسی کو ظاہر کرتا ہے۔

دوسری صورت  $V_1 = 0V$  جبکہ  $V_2 = 5V$  ہے۔ اس صورت کو جدول کے دوسری صف میں دکھایا گیا ہے۔ غور کرنے سے آپ دیکھ سکتے ہیں کہ اس صورت میں ڈایوڈ  $D_2$  سیدھا مائل جبکہ  $D_1$  الٹ مائل ہے۔ یوں  $D_2$  کو چالو سوچیں جبکہ  $D_1$  کو منقطع سوچیں تصور کر کے یہ واضح ہے کہ خارجی برقی دباؤ پانچ وولٹ ہے یعنی  $V_O = 5V$  ہے۔

اسی طرح جدول کی تیسری صف کے حوالے سے  $D_1$  سیدھا مائل جبکہ  $D_2$  الٹ مائل ہو گا اور یوں  $V_O = 5$  ہو گا۔ جدول کی آخری صف میں دونوں ڈایوڈ سیدھے مائل ہوں گے اور یوں  $V_O = 5$  ہو گا۔ اس دور کی جدول منتهی جمع کو ظاہر کرتی ہے لہذا یہ جمع گئیے<sup>59</sup> ہے۔ اس شکل میں مزید ڈایوڈ جوڑ کر داخلی اشارات کی تعداد بڑھائی جاسکتی ہے۔

شکل 2.29 میں ڈایوڈ پر مبنی ضرب گئیے<sup>60</sup> دکھایا گیا ہے۔ پہلے جدول میں دئے آخری صف پر غور کرتے ہیں۔ اگر دونوں داخلی اشارات کی قیمتیں پانچ وولٹ (5V) ہوں تو مزاحمت میں برقی رو صفر ایمپیر ہو گی لہذا خارجی برقی دباؤ بھی پانچ وولٹ ہو گا یعنی  $V_O = 5$  ہو گا۔

جدول میں دئے بقایا ممکنات پر غور کرتے آپ آسانی سے تمام صورتوں میں خارجی برقی دباؤ حاصل کر سکتے ہیں۔

OR gate<sup>59</sup>  
AND gate<sup>60</sup>

## 2.10 یک سمتی رو خطِ بوجھ

خطِ بوجھ کا اس کتاب میں آگے جا کر ٹرانزسٹر<sup>61</sup> کے ادوار میں نہایت کارآمد ثابت ہوں گے۔ ڈایوڈ کے ادوار میں اسے متعارف کرانے سے ان خط کا سمجھنا نسبتاً آسان ہوتا ہے۔

گزشتہ صفحات میں ڈایوڈ کے ادوار حل کرتے سیدھے مائل ڈایوڈ کو چالو سوئچ جبکہ اُلٹے مائل ڈایوڈ کو منقطع سوئچ تصور کیا جاتا رہا۔ ایسا کرنے سے ڈایوڈ کی خاصیت نظر انداز ہو جاتی ہے۔ اگرچہ بیشتر مواقع پر ایسا کرنا درست ہوتا ہے، بہر حال کبھی کبھار ڈایوڈ کی خاصیت کو مدِ نظر رکھنا ضروری ہوتا ہے۔ اس حصہ میں ایسا ہی کیا جائے گا۔

شکل 2.30 میں دکھائے گئے دور کو مثال بناتے ہیں۔ کرخوف کے قانون برائے برقی دباؤ کے مطابق اس دور کے لئے ہم یوں لکھ سکتے ہیں۔

$$(2.15) \quad V_B = v_D + i_D R$$

اس مساوات میں  $i_D$  اور  $v_D$  دو متغیرات ہیں اور یوں اسے حل کرنا ممکن نہیں۔ اسے حل کرنے کی خاطر ہمیں ڈایوڈ کی مساوات بھی درکار ہے یعنی

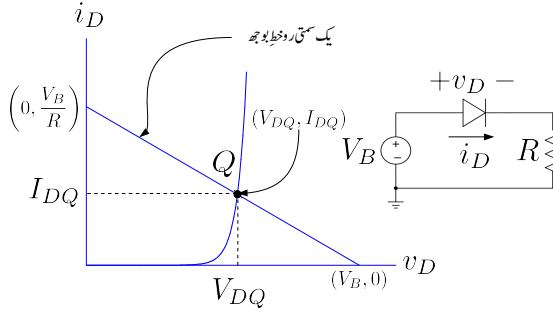
$$(2.16) \quad i_D = I_S \left( e^{\frac{v_D}{V_T}} - 1 \right) \approx I_S e^{\frac{v_D}{V_T}}$$

ان دو مساوات کو کئی طریقوں سے حل کر کے  $i_D$  اور  $v_D$  اصل کئے جاسکتے ہیں۔ آئیں انہیں حل کرنے کے چند طریقے دیکھیں۔

## 2.10.1 گراف کا طریقہ

شکل 2.30 میں مساوات 2.15 اور مساوات 2.16 کو گراف کیا گیا ہے۔ جس نقطے پر دونوں مساوات کے خط ٹکراتے ہیں یہی ان کا حل ہے یعنی  $(V_{DQ}, I_{DQ})$ ۔ اس نقطے کو یکے سمتی نقطہ مانگ<sup>62</sup> یا یکے سمتی نقطہ کارکردگی کہتے ہیں۔ ان ناموں کو عموماً چھوٹا کر کے نقطہ مانگ یا نقطہ کارکردگی پکارتے ہیں۔ نقطہ کارکردگی کو Q سے ظاہر کیا جاتا ہے۔

<sup>61</sup> transistor  
<sup>62</sup> DC bias point



شکل 2.30: خط بوجھ اور نقطہ مائل

شکل 2.30 میں مساوات 2.15 کے خط کو ایک سستی رو خط بوجھ<sup>64</sup> کہا گیا ہے۔ اس نام کو چھوٹا کر کے اسے خط بوجھ بھی کہتے ہیں۔ آئیں اس خط پر غور کرتے ہیں۔ خط بوجھ کی ڈھلوان<sup>65</sup>

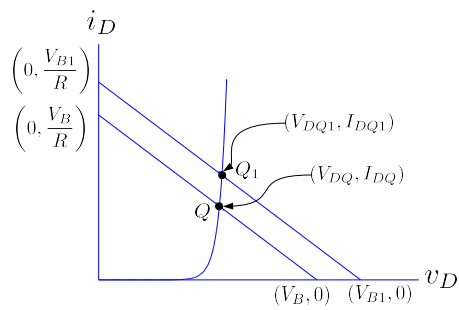
$$\frac{\Delta i_D}{\Delta v_D} = -\frac{1}{R}$$

کے برابر ہے۔ خط بوجھ افقی محور یعنی برقی دباؤ  $v_D$  کے محور کو  $(V_B, 0)$  پر ٹکراتا ہے جبکہ عمودی محور یعنی برقی رو  $i_D$  کے محور کو  $(0, \frac{V_B}{R})$  پر ٹکراتا ہے۔

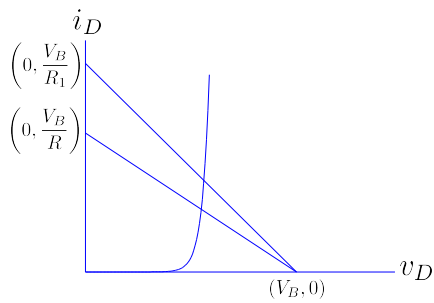
یوں اگر مزاحمت برقرار رکھتے ہوئے دور میں داخلی برقی دباؤ  $V_B$  کی قیمت بڑھا کر  $V_{B1}$  کر دی جائے تو خط بوجھ افقی محور کو موجودہ جگہ سے قدرِ دائیں جانب  $(V_{B1}, 0)$  پر ٹکرائے گا اور عمودی محور کو  $(0, \frac{V_{B1}}{R})$  پر ٹکرائے گا۔

شکل 2.31 میں خطوط بوجھ کو داخلی برقی  $V_B$  اور  $V_{B1}$  کے لئے گراف کیا گیا ہے۔ آپ دیکھ سکتے ہیں کہ بیرونی برقی دباؤ  $V_B$  بڑھانے سے خط بوجھ کا ڈھلوان تبدیل نہیں ہوتا اور یوں دونوں خطوط آپس میں متوازی ہوتے ہیں۔ اس کے برعکس اگر بیرونی برقی دباؤ  $V_B$  برقرار رکھی جائے اور مزاحمت  $R_1$  کر دیا جائے تو خط بوجھ کی ڈھلوان تبدیل ہو گا جبکہ یہ اب بھی محور برقی دباؤ کو  $(V_B, 0)$  پر ٹکرائے گا۔ محور برقی رو سے ٹکرانے کا مقام تبدیل ہو کر  $(0, \frac{V_B}{R_1})$  ہو جائے گا۔ شکل 2.32 میں اس صورت کو دکھایا گیا ہے جہاں مزاحمت کی نئی قیمت  $R_1$  کو اس کی پرانی قیمت  $R$  سے کم تصور کیا گیا ہے۔

<sup>63</sup> ٹھوڑے پ بوجھ لا دیا جاتا ہے۔ یہاں  $R$  بطور برقی بوجھ کر دار ادا کرتا ہے اور اس کے مساوات کے گراف کو خط بوجھ کہتے ہیں  
<sup>64</sup> DC load line  
<sup>65</sup> gradient



شکل 2.31: داخلی برقی دباؤ کا خطی بوجھ پر اثر



شکل 2.32: مزاحمت کی تبدیلی کا خطی بوجھ پر اثر



## 2.10.2 دہرانے کا طریقہ

عموماً مساوات دہرانے کے طریقے<sup>66</sup> سے با آسانی حل کئے جاتے ہیں۔ موجودہ مسئلہ بھی کچھ اسی نوعیت کا ہے اور اسے بھی دہرانے کے طریقے سے نپٹا جاسکتا ہے۔ اس طریقے کو مثال کی مدد سے دیکھتے ہیں۔

مثال 2.10: شکل 2.30 میں  $V_B = 15\text{ V}$  اور  $R = 15\text{ k}\Omega$  ہیں۔ اگر اس ڈایوڈ میں  $V_D = 0.6\text{ V}$  پر  $I_D = 2\text{ mA}$  برقی رو گزرتا ہے تو اس دور میں برقی رو حاصل کریں۔

حل: مساوات 2.16 سے

$$I_S = \frac{i_D}{\left(e^{\frac{v_D}{V_T}}\right)} = \frac{2 \times 10^{-3}}{e^{\frac{0.6}{0.025}}} = 7.550269 \times 10^{-14}\text{ A}$$

حاصل ہوتا ہے۔ ہمیں قبل از وقت ڈایوڈ کی برقی رو یا اس پر برقی دباؤ معلوم نہیں مگر دئے گئے معلومات سے ہم یہ اخذ کر سکتے ہیں کہ اگر برقی رو دو ملی امپیر کے قریب ہو تو برقی دباؤ اشاریہ چھ ولٹ کے قریب ہو گا۔

$2\text{ mA}$  کو  $I_{D_0}$  لکھتے ہوئے (یعنی  $I_{D_0} = 2\text{ mA}$ ) اور  $0.6\text{ V}$  کو  $V_{D_0}$  لکھتے ہوئے (یعنی  $V_{D_0} = 0.6\text{ V}$ ) ہم سوال حل کرتے ہیں۔ طریقہ کار کچھ یوں ہے کہ ہم اخذ کریں گے کہ ڈایوڈ پر  $V_{D_0}$  برقی دباؤ ہے۔ اس قیمت کو استعمال کرتے ہوئے مساوات 2.15 کی مدد سے ہم برقی رو حاصل کریں گے جسے ہم  $I_{D_1}$  کہیں گے۔ مساوات 2.16 میں  $I_{D_1}$  کی قیمت استعمال کرتے ہوئے ڈایوڈ پر برقی دباؤ حاصل کیا جائے گا جسے ہم  $V_{D_1}$  کہیں گے۔

ڈایوڈ پر  $V_{D_0}$  برقی دباؤ اس صورت ہوتا جب اس میں  $I_{D_0}$  برقی رو گزرتی جبکہ ہم دیکھ سکتے ہیں کہ اصل دور میں برقی رو  $I_{D_1}$  کے قریب ہو گی اور یوں  $I_{D_1}$  کے نسبت سے حاصل شدہ برقی دباؤ  $V_{D_1}$  اصل قیمت کے زیادہ قریب برقی دباؤ ہو گا۔ یوں اگر  $V_{D_1}$  استعمال کرتے ہوئے یہ سارا سلسلہ دوبارہ دہرایا جائے یعنی مساوات 2.15 میں  $V_{D_1}$  استعمال کرتے ہوئے  $I_{D_2}$  حاصل کیا جائے تو حاصل برقی رو مزید بہتر جواب ہو گا اور اگر مساوات 2.16 میں  $I_{D_2}$  استعمال کرتے ہوئے  $V_{D_2}$  حاصل کیا جائے تو یہ  $V_{D_1}$  سے بہتر جواب ہو گا۔ اس

طریقے کو اس وقت تک دہرایا جاتا ہے جب تک حاصل قیمتوں میں تبدیلی قابل نظر انداز ہو جائے۔ آئیں دہرانے کے اس طریقے کو استعمال کریں۔

مساوات 2.15 میں  $V_{D_0} = 0.6 \text{ V}$  استعمال کرنے سے

$$I_{D_1} = \frac{V_B - V_{D_0}}{R} = \frac{15 - 0.6}{15000} = 0.96 \text{ mA}$$

اور مساوات 2.16 میں  $I_{D_1}$  کے استعمال سے

$$V_{D_1} = V_T \ln \frac{I_{D_1}}{I_S} = 0.025 \times \ln \left( \frac{0.96 \times 10^{-3}}{7.550269 \times 10^{-14}} \right) = 0.58165077 \text{ V}$$

یہ برقی دباؤ گزشتہ اخذ کردہ قیمت سے زیادہ درست قیمت ہے لہذا اس کو استعمال کرتے ہوئے ہم ایک مرتبہ پھر مساوات 2.15 حل کرتے ہیں۔

$$I_{D_2} = \frac{15 - 0.58165}{15000} = 0.9612233 \text{ mA}$$

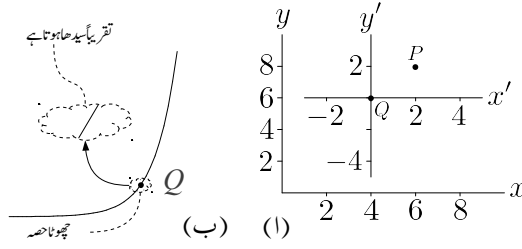
یہ جواب بالکل درست تب ہوتا اگر  $0.9612233 \text{ mA}$  پر ڈایوڈ کا برقی دباؤ  $0.58165077 \text{ V}$  ہوتا مگر ایسا نہیں ہے لہذا ہمیں ایک مرتبہ پھر ڈایوڈ کے برقی دباؤ کا بہتر اندازہ لگانا ہو گا۔ یوں  $0.9612233 \text{ mA}$  کو  $I_{D_2}$  اور ڈایوڈ پر برقی دباؤ کو  $V_{D_2}$  لیتے ہوئے۔

$$V_{D_2} = V_T \ln \frac{I_{D_2}}{I_S} = -0.025 \times \ln \left( \frac{0.9612233 \times 10^{-3}}{7.550269 \times 10^{-14}} \right) = 0.58168261 \text{ V}$$

حاصل ہوتا ہے۔ اور اس نئی قیمت کو استعمال کرتے ہوئے

$$I_{D_3} = \frac{V_B - V_{D_2}}{R} = \frac{15 - 0.58168261}{15000} = 0.9612211 \text{ mA}$$

حاصل ہوتا ہے۔ ہم دیکھتے ہیں کہ گزشتہ دو حاصل جواب یعنی  $I_{D_2}$  اور  $I_{D_3}$  تقریباً برابر ہیں۔ ایسا ہونا اس بات کی نشانی ہے کہ جواب اصل جواب کے بہت قریب ہے اور یوں  $I_{D_4} = 0.96122 \text{ mA}$  کو ہم درست جواب تسلیم کر لیتے ہیں۔



شکل 2.33: (a) کار تیمی محدود۔ (ب) خط کے چھوٹے حصے کا سیدھا پن

## 2.11 کار تیمی محدود اور ترسیم

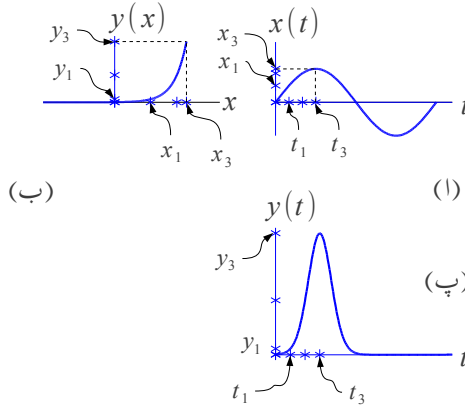
اس حصے میں کار تیمی محدود اور ترسیم پر غور کیا جائے گا جس کی اس کتاب میں کئی جگہ ضرورت پیش آئے گی۔ اگرچہ اس حصے کو کتاب کے آخر میں ضمیمہ کے طور پر رکھنا چاہئے تھا مگر اس کی اہمیت کو دیکھتے ہوئے میں نے اسے اس باب کا حصہ بنا لیا ہے۔ طلبہ سے گزارش کی جاتی ہے کہ وہ اس حصے کو بخوبی سمجھیں۔

### 2.11.1 محدود کی منتقلی

شکل 2.33 الف میں دو کار تیمی محدود دکھائے گئے ہیں۔  $(x - y)$  کار تیمی محدود میں دو نقطے  $P(6, 8)$  اور  $Q(4, 6)$  دکھائے گئے ہیں۔  $(x' - y')$  محدود میں یہی نقطے  $P'(2, 2)$  اور  $Q'(0, 0)$  بن جاتے ہیں۔

### 2.11.2 خط کا چھوٹا حصہ سیدھا تصور کیا جاسکتا ہے

شکل 2.33 ب میں یہ حقیقت دکھایا گیا ہے کہ کسی بھی خط کے چھوٹے حصے کو سیدھا تصور کیا جاسکتا ہے۔ اگر کبھی آپ کسی خط کا چھوٹا حصہ لیں اور آپ کو لگے کہ یہ چھوٹا حصہ سیدھا تصور کرنے کے قابل نہیں ہے تو اس سے مزید چھوٹا حصہ لیجئے۔ اس شکل میں چھوٹے بلبلے میں گھیرے خط کو بڑھے بلبلے میں بڑھا چڑھا کر دکھایا گیا ہے جہاں اس کا سیدھا پن صاف واضح ہے۔



شکل 2.34: وقت کے ساتھ بدلنے والے متغیرات کی مثال

### 2.11.3 گراف سے قیمت حاصل کرنے کا عمل

شکل 2.34 ب کے گراف سے مختلف  $x$  پر  $y(x)$  کی قیمت حاصل کر کے انہیں جدول 2.1 میں دکھایا گیا ہے۔ آپ گراف سے قیمت حاصل کرنے کے اس عمل سے بخوبی واقف ہیں۔ اس شکل میں  $y(x)$  خم دار خط ہے۔

جدول 2.1: گراف سے حاصل کی گئی قیمتیں

x	0	1	2	3	4	5
y	0	0.03	0.12	0.44	1.49	4.99

اب تصور کریں کہ  $x(t)$  وقت کے ساتھ تبدیل ہوتا تعامل ہے اور ہم چاہتے ہیں کہ وقت کے ساتھ  $y(t)$  کی تبدیلی گراف کریں۔  $x(t)$  کے وقت کے ساتھ گراف کی شکل کچھ بھی ہو سکتی ہے۔ شکل 2.34 الف میں  $x(t)$  کو سائن نما تصور کیا گیا ہے۔

شکل 2.34 الف میں مختلف اوقات مثلاً  $t_0, t_1, t_2, \dots, t_n$  پر  $x_0, x_1, x_2, \dots, x_n$  کی قیمت حاصل کریں جہاں  $x_0$  سے مراد  $t_0$  پر  $x$  کی قیمت یعنی  $x(t_0)$  ہے۔  $t_0$  تا  $t_n$  نقاط کی کل تعداد یعنی  $(n+1)$  کا تعین آپ جیسے اور جتنی چاہیں کر سکتے ہیں۔ اسی طرح کسی دو قریبی نقاط کے مابین فاصلہ مثلاً

$$\Delta t_2 = t_3 - t_2$$

آپ جتنی چاہیں رکھ سکتے ہیں۔ اس کے علاوہ کسی دو قریبی نقاط کے درمیان فاصلہ مثلاً

$$\Delta t_5 = t_6 - t_5$$

اور کسی اور دو قریبی نقاط کے درمیان فاصلہ مثلاً

$$\Delta t_8 = t_9 - t_8$$

ایک دونوں سے مختلف ہو سکتے ہیں۔ اس طرح آپ کے پاس جدول 2.2 حاصل ہو گا۔

جدول 2.2:  $x(t)$  بالقابل  $t$  کا جدول

$t_0$	$t_1$	$t_2$	$\cdots$	$t_n$
$x_0$	$x_1$	$x_2$	$\cdots$	$x_n$

جدول 2.2 میں دئے  $x$  پر شکل 2.34 ب سے  $y$  کے قیمتیں حاصل کریں۔ یوں حاصل  $y_0, y_1, y_2, \dots, y_n$  کو استعمال کرتے ہوئے  $y(t)$  بالقابل  $t$  کا جدول 2.3 حاصل ہو گا جسے شکل 2.34 پ کی طرح گراف کریں۔

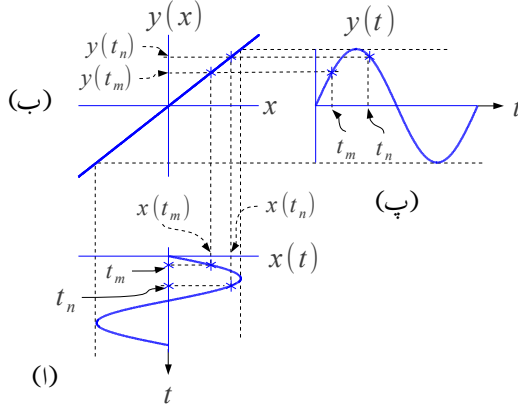
جدول 2.3:  $y(t)$  بالقابل  $t$  کا جدول

$t_0$	$t_1$	$t_2$	$\cdots$	$t_n$
$y_0$	$y_1$	$y_2$	$\cdots$	$y_n$

یہاں میں بتلانا چاہوں گا کہ اس مثال میں تفاعل  $y(x)$  خم دار<sup>67</sup> تھا۔ اس کو استعمال کرتے ہوئے تفاعل  $x(t)$  سے تفاعل  $y(t)$  حاصل کی گئی۔ اور  $x(t)$  اور  $y(t)$  کی شکلیں بالکل مختلف ہیں۔

مندرجہ بالا تمام عمل کو نہایت عمدگی اور نسبتاً زیادہ آسانی کے ساتھ بھی سرانجام دیا جاسکتا ہے۔ آئیں اس بہتر طریقے کو شکل 2.35 کی مدد سے دیکھیں جہاں بدلتے اشارہ  $x(t)$  کو شکل 2.35 الف میں گھما کر دکھایا گیا ہے۔ اس مثال میں بھی  $x(t)$  کو سائن نما تصور کیا گیا ہے جبکہ تفاعل  $y(x)$  کو سیدھا خط یعنی

$$(2.17) \quad y(x) = mx$$



شکل 2.35: سیدھا متقابل اشارے کی شکل برقرار رکھتا ہے

تصور کرتے ہوئے شکل ب میں دکھایا گیا ہے۔<sup>68</sup> جیسے کہ آپ آگے دیکھیں گے، سیدھا  $y(x)$  نہایت اہمیت کا حامل ہے اور اس موقع سے فائدہ اٹھاتے ہوئے ہم اسی کو استعمال کرتے ہوئے آگے بڑھتے ہیں۔ مساوات 2.17 میں  $m$  شکل 2.33 ب میں نقطہ  $Q$  پر خط کے چھوٹے سیدھے حصے کی ڈھلوان ہے یعنی

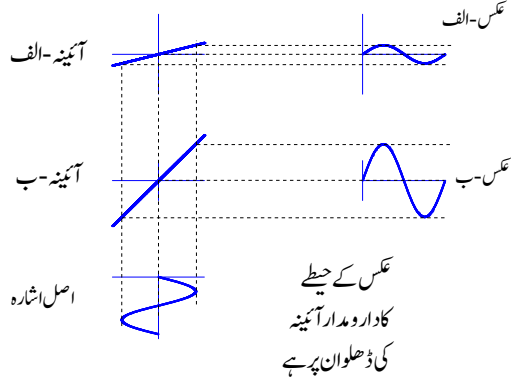
$$(2.18) \quad m = \left. \frac{\partial y}{\partial x} \right|_Q$$

شکل 2.35 الف میں دو نقطے  $t_m$  اور  $t_n$  کو مثال بناتے ہوئے پورے عمل کو سمجھایا گیا ہے۔ ان دو نقطوں پر حاصل کئے جاتے ہیں۔ ان کی قیمت جاننا ضروری نہیں، بس اتنا درکار ہے کہ ان کی نشاندہی گراف پر کر دی جائے۔

شکل الف اور شکل ب یوں بنائے جاتے ہیں کہ شکل ب کا  $x$  محدود شکل الف کے  $x$  محدود کے متوازی ہو اور ان کی جسامت بھی برابر ہو۔ یوں شکل الف میں  $x(t_m)$  اور  $x(t_n)$  سے سیدھی لکیریں شکل ب تک لے جائیں۔ اس طرح شکل ب سے  $y(t_m)$  اور  $y(t_n)$  حاصل ہوں گے۔

شکل ب اور شکل پ یوں بنائے جاتے ہیں کہ شکل پ کا  $y$  محدود شکل ب کے  $y$  محدود کے بالکل دائیں جانب برابر رکھا جائے اور ان کی جسامت بھی برابر ہو۔ یوں شکل ب کے  $y(t_m)$  اور  $y(t_n)$  نقطوں سے شکل

<sup>68</sup> سیدھے خط کی مساوات  $y = mx + c$  ہے جہاں  $c$  وہ نقطہ ہے جہاں خط  $y$  محور کو کاٹتا ہے۔ سیدھا خط  $(0, 0)$  سے گزرنے کی صورت میں  $c = 0$  ہو گا اور یوں سیدھے خط کی مساوات  $y = mx$  ہو گی۔



شکل 2.36: عکس کا حیطے بالقابل آئینہ کی ڈھلوان

پ تک افقی لکیریں بنائیں۔ شکل پ پر ان نقطوں کو وقت  $t_m$  اور  $t_n$  کے ساتھ گراف کریں۔ مندرجہ بالا پورا عمل شکل 2.35 کو دیکھتے ہی ایک دم سمجھ آ جانا چاہئے۔

شکل 2.35 میں  $y(x)$  ایک خطی (یعنی غیر-خم دار) تفاعل ہے۔ اسے استعمال کرتے ہوئے شکل پ حاصل کی گئی۔ شکل پ اور شکل الف ہو بہو ایک ہی طرح ہیں۔ ان کے صرف حیطے مختلف ہو سکتے ہیں۔ یہ ایک نہایت اہم نتیجہ ہے جس کا برقیات کے میدان میں کلیدی کردار ہے۔ اس حقیقت کو استعمال کرتے ہوئے غیر-خم دار تفاعل کے اشکال میں چونکہ صرف حیطے تبدیل ہوتا ہے لہذا عموماً اشارہ  $x(t)$  کے چوٹیوں سے شکل ب تک اور یہاں سے شکل پ تک لکیریں کھینچ کر شکل پ مکمل کر دیا جاتا ہے۔

شکل 2.34 اور شکل 2.35 میں  $x(t)$  کو داخلی (یا اصل) اشارہ،  $y(t)$  کو خارجی (یا منعکس)<sup>69</sup> اشارہ جبکہ  $y(x)$  کو آئینہ<sup>70</sup> تصور کریں۔ یوں ہم کہہ سکتے ہیں کہ غیر-خم دار آئینے میں اشارے کی شکل جوں کی توں رہتی ہے جبکہ خم دار آئینہ شکل بگاڑ دیتا ہے۔ شکل 2.36 میں آئینہ کی ڈھلوان کا عکس کے حیطے پر اثر دکھایا گیا ہے۔ آئینہ الف کی ڈھلوان آئینہ ب کی ڈھلوان سے زیادہ ہے۔ جیسے آپ دیکھ سکتے ہیں کہ آئینے کی ڈھلوان بڑھانے سے عکس کا حیطے بڑھتا ہے جبکہ آئینہ کی ڈھلوان گھٹانے سے عکس کا حیطے گھٹتا ہے۔ آئینے کی ڈھلوان یوں بھی رکھی جا سکتی ہے کہ عکس کے حیطے میں کوئی تبدیلی پیدا نہ ہو اور یہ اصل اشارہ کے حیطے کے برابر ہی رہے۔

image<sup>69</sup>  
mirror<sup>70</sup>

مندرجہ بالا تذکرہ کو تحلیلی جامہ پہناتے ہیں۔ مساوات 2.17 میں  $x(t)$  لکھتے ہوئے اس مساوات کو یوں لکھا جاسکتا ہے۔

$$(2.19) \quad \begin{aligned} y[x(t)] &= mx(t) \\ y(t) &= mx(t) \end{aligned}$$

اس مساوات کے تحت  $y(t)$  کا حیظ  $x(t)$  کے حیظ کا  $m$  گنا ہو گا جہاں  $m$  آئینہ کی ڈھلوان ہے۔

برقیات کے میدان میں برقی دباؤ  $v$  اور برقی رو  $i$  کا استعمال ہوتا ہے۔ روایتی طور پر برقی دباؤ کو  $x(t)$  جبکہ برقی رو کو  $y(t)$  تصور کیا جاتا ہے۔ شکل 2.37 میں ایسا دکھایا گیا ہے۔ آپ جانتے ہیں کہ یک سمتی برقی دباؤ تقسیم یک سمتی برقی رو کو مزاحمت  $R$  جبکہ یک سمتی برقی دباؤ کو موصلیت  $G$  لکھا جاتا ہے۔ مزید یہ کہ باریک اشاراتی مزاحمت کو  $r$  جبکہ باریک اشاراتی موصلیت کو  $g$  لکھا جاتا ہے۔ یوں مساوات 2.18 میں چھوٹے (یعنی باریک) سیدھے حصے کی ڈھلون  $m$  کی جگہ باریک اشاراتی موصلیت  $g$  کا استعمال ہو گا۔ یوں مساوات 2.17 کو برقیات کے میدان میں استعمال کرتے وقت مندرجہ ذیل طرز پر لکھا جائے گا۔

$$(2.20) \quad i(t) = gv(t)$$

اسی طرح مساوات 2.18 کو یوں لکھا جائے گا

$$(2.21) \quad g = \left. \frac{\partial i}{\partial v} \right|_Q$$

اور باریک اشاراتی مزاحمت  $r$  کے لئے یوں لکھا جائے گا۔

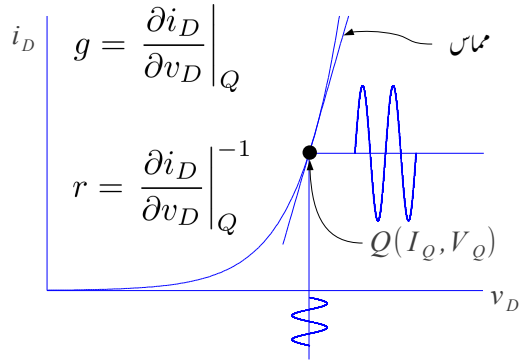
$$(2.22) \quad r = \left. \frac{\partial i}{\partial v} \right|_Q^{-1}$$

## 2.12 باریک اشاراتی تجزیہ

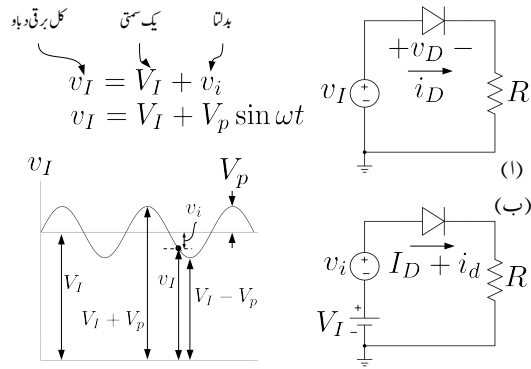
شکل 2.38 الف میں داخلی برقی دباؤ  $v_I$  استعمال کی گئی ہے۔ گراف میں  $v_I$  کی قیمت مثبت رہتے ہوئے مسلسل تبدیل ہوتی دکھائی گئی ہے۔ جیسا شکل ب میں دکھایا گیا ہے،  $v_I$  کو یوں بھی تصور کیا جاسکتا ہے کہ اسے یک سمتی برقی دباؤ  $V_I$  اور بدلنے والے برقی دباؤ  $v_i$  کو سلسلہ وار جوڑ کر حاصل کیا گیا ہے یعنی

$$(2.23) \quad v_I = V_I + v_i$$

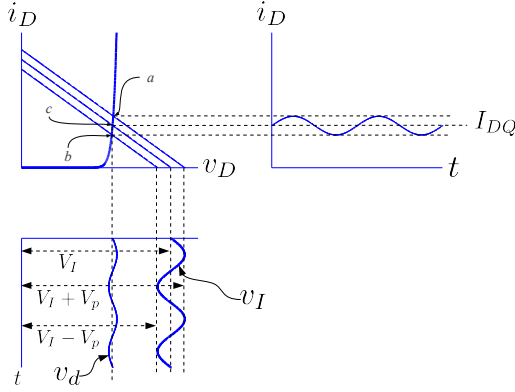




شکل 2.37: باریک اشاراتی موصلیت اور باریک اشاراتی مزاحمت



شکل 2.38: باریک اشارہ



شکل 2.39: ڈایوڈ پر باریک اشارات

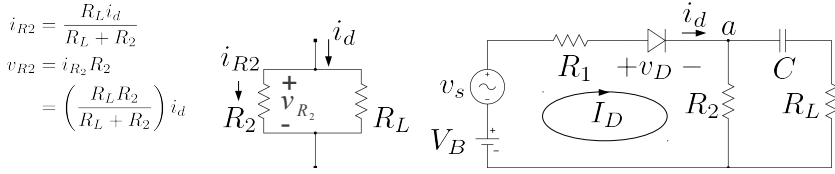
باریک اشارہ <sup>71</sup> سے مراد وہ بدلتا اشارہ ہے جس کا جیٹہ دور میں پائے جانے والے یک سمتی برقی دباؤ یا یک سمتی برقی رو کی قیمتوں سے نہایت کم ہو (یعنی  $v_i < V_I$ )۔

شکل 2.31 میں تغیر پذیر داخلی برقی دباؤ کا خطِ بوجھ پر اثر دکھایا گیا۔ اسی ترکیب کو یہاں استعمال کرتے ہوئے باریک داخلی اشارہ  $v_i$  کی موجودگی میں ڈایوڈ کی کارکردگی پر غور کیا جائے گا۔ تغیر پذیر داخلی برقی دباؤ  $v_I$  سے نپٹنے کی خاطر مختلف لمحات پر وقت کو ساکن تصور کرتے ہوئے ان لمحات پر داخلی برقی دباؤ کی کل قیمت لی جاتی ہے۔ ان قیمتوں پر خطِ بوجھ اور ڈایوڈ کی مساوات کا خط گراف کیا جاتا ہے۔ یوں مختلف اوقات پر ڈایوڈ کے مختلف نقطہ مائل حاصل کئے جاتے ہیں۔ ( $V_{DQ}, I_{DQ}$ )

شکل 2.39 میں  $\omega t_0 = 0$ ،  $\omega t_0 = 90$  اور  $\omega t_0 = 270$  پر داخلی برقی دباؤ  $v_I(t_1) = V_I + V_p$  اور  $v_I(t_2) = V_I - V_p$  استعمال کرتے خطِ بوجھ گراف کئے گئے ہیں۔

شکل 2.38 کے داخلی برقی دباؤ کے گراف کو گھڑی کی سمت 90 کے زاویہ گھما کر شکل 2.39 میں بنایا گیا ہے۔ یوں تغیر پذیر داخلی برقی دباؤ سے خطِ بوجھ حاصل کرتے ہوئے دور میں بدلتی برقی رو حاصل کی جاتی ہے۔ یہ ترکیب شکل پر غور کرنے سے واضح ہو گی۔

<sup>71</sup>small signal



شکل 2.40: ڈایوڈ کے دور میں کپیسٹر کے استعمال سے بدلتی رو، خطِ بوجھ پیدا ہوتا ہے

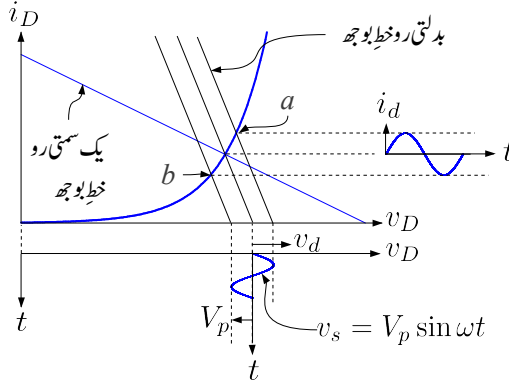
### 2.12.1 بدلتی رو، خطِ بوجھ

حصہ 2.10 میں یک سمتی خطِ بوجھ پر گفتگو کی گئی۔ اسی کو آگے بڑھاتے ہوئے بدلتی رو، خطِ بوجھ<sup>72</sup> کو یہاں پیش کیا جائے گا جس کا اگلے بابوں میں کلیدی کردار ہو گا۔ شکل 2.40 میں دکھائے ڈایوڈ کے دور میں کپیسٹر بھی استعمال کیا گیا ہے۔ تصور کریں کہ باریک اشارہ  $v_s$  کے تعدد پر کپیسٹر کو قصر دور (یعنی  $|X_C| \rightarrow 0$ ) تصور کیا جاسکتا ہے۔ چونکہ کپیسٹر میں سے یک سمتی برقی رو نہیں گزرتی لہذا یک سمتی برقی رو  $R_L$  سے نہیں گزرے گی۔ کپیسٹر کو یک سمتی متغیرات کے لئے کھلے دور تصور کیا جاسکتا ہے۔ ایسا کرنے سے یک سمتی دور حاصل ہوتا ہے جس کے یک سمتی خطِ بوجھ کی ڈھلوان  $\frac{-1}{R_1 + R_2}$  ہوگی اور  $R_L$  کا اس میں کوئی کردار نہیں ہوگا۔

بدلتے اشارہ کے نقطہ نظر سے ڈایوڈ کے خارجی جانب دو متوازی جڑے مزاحمت پائے جاتے ہیں جن کی کل مزاحمت  $R_t$  ہے یعنی

$$(2.24) \quad R_t = \frac{R_L R_2}{R_L + R_2}$$

بدلتے اشارہ کو  $R_t$  برقی بوجھ دکھائی دیتا ہے۔ یوں بدلتے اشارہ کے خطِ بوجھ کی ڈھلوان  $-\frac{1}{R_t}$  ہوگی جو کہ یک سمتی رو خطِ بوجھ کی ڈھلوان سے مختلف ہے۔ یوں بدلتی رو، خطِ بوجھ کھینچتے کرتے وقت اس کی ڈھلوان  $-\frac{1}{R_t}$  رکھی جائے گی۔ بدلتے اشارہ کے تبدیل کے ساتھ بدلتی رو، خطِ بوجھ بھی جگہ تبدیل کرتا ہے۔ یہ بالکل ایسا ہی ہے جیسے شکل 2.39 میں یک سمتی رو خطِ بوجھ کے لئے دکھایا گیا۔ چونکہ بدلتی رو خطِ بوجھ کی ڈھلوان ہمیں معلوم ہے لہذا اسے گراف کرنے کی خاطر ہمیں مزید صرف اس پر ایک نقطہ درکار ہے۔ اگر بدلتے اشارے کا حیطہ کم کرتے کرتے صفر کر دیا جائے تو یک سمتی صورت حال پیدا ہوتی ہے اور ہم جانتے ہیں کہ یک سمتی خطِ بوجھ نقطہ مائل سے گزرتا ہے۔ یوں صاف ظاہر ہے کہ بدلتے خطِ بوجھ بھی نقطہ مائل سے گزرتا ہے۔ شکل 2.41 میں دونوں خطِ بوجھ گراف کئے گئے ہیں۔



شکل 2.41: بدلتی رو خط بوجھ

اس طرح پہلے یک سمتی رو خط بوجھ گراف کیا جاتا ہے جس سے نقطہ مائل حاصل کیا جاتا ہے۔ نقطہ مائل سے گزرتا بدلتی رو، خط بوجھ گراف کیا جاتا ہے جس کی ڈھلوان بدلتے اشارہ کی بوجھ سے حاصل کی جاتی ہے۔ بدلتے اشارہ کے موجودگی میں بدلتی رو، خط بوجھ ڈایوڈ کے خط پر نقطہ Q کے قریب قریب رہتے ہوئے a اور b کے درمیان چال قدمی کرتا ہے۔ یہاں بھی نقطہ کارکردگی پر باریک اشارات کے لئے ڈایوڈ کے خط کو سیدھا تصور کرتے ہوئے محدود  $v_d - i_d$  بنائے جاسکتے ہیں جن سے  $i_d$  اور  $v_d$  کو پڑھا جاسکتا ہے۔

اس طرح پہلے یک سمتی رو خط بوجھ گراف کیا جاتا ہے جس سے نقطہ مائل حاصل کیا جاتا ہے۔ نقطہ مائل سے گزرتا بدلتی رو، خط بوجھ گراف کیا جاتا ہے جس کی ڈھلوان بدلتے اشارہ کی بوجھ سے حاصل کی جاتی ہے۔ بدلتے اشارہ کے موجودگی میں بدلتی رو، خط بوجھ ڈایوڈ کے خط پر نقطہ Q کے قریب قریب رہتے ہوئے a اور b کے درمیان چال قدمی کرتا ہے۔ یہاں بھی نقطہ کارکردگی پر باریک اشارات کے لئے ڈایوڈ کے خط کو سیدھا تصور کرتے ہوئے محدود  $v_d - i_d$  بنائے جاسکتے ہیں جن سے  $i_d$  اور  $v_d$  کو پڑھا جاسکتا ہے۔

$$(2.25) \quad \frac{1}{Z} = \frac{1}{R_2} + \frac{1}{R_L + \frac{1}{j\omega C}}$$

$$(2.26) \quad Z = \frac{R_2 \left( R_L + \frac{1}{j\omega C} \right)}{R_2 + R_L + \frac{1}{j\omega C}}$$

کے برابر ہے۔ کپیسٹر یک سمتی برقی رو کے لئے کھلے سرے کردار ادا کرتا ہے لہذا  $R_L$  میں یک سمتی برقی رو کی قیمت صفر کپیسٹر ہوگی اور اس پر یک سمتی برقی دباؤ کی قیمت بھی صفر وولٹ ہوگی۔ کپیسٹر C جوڑ a پر پائے جانے

والے یک سمتی برقی دباؤ کو برداشت کرے گا اور یوں کیپیسٹر پر  $V_C = I_D R_2$  برقی دباؤ پایا جائے گا۔ کرخوف کے قانون برائے برقی دباؤ سے لکھا جاسکتا ہے۔

$$(2.27) \quad V_B = I_D R_1 + V_D + I_D R_2$$

آئیں اب شکل 2.40 میں یک سمتی برقی دباؤ  $V_B$  برقرار رکھتے ہوئے  $v_s$  کو صفر سے بڑھایا جاتا ہے تاہم  $v_s \ll V_B$  رکھا جاتا ہے۔ اب کل برقی رو  $i_D = I_D + i_d$  پیدا کریں گے۔  $I_D$  کی کہانی تبدیل نہیں ہوتی البتہ  $i_d$  پر غور درکار ہے۔  $i_d$  مزاحمت  $R_1$  اور ڈائیوڈ سے گزرتے ہوئے جوڑ  $a$  پر پہنچتی ہے جہاں اسے دو راستے ملتے ہیں۔ اس مثال کی خاطر کیپیسٹر کو یک سمتی برقی رو کے لئے قصر دور تصور کرتے ہوئے صورت حال کو شکل میں دکھایا گیا ہے۔  $i_d$  کا کچھ حصہ  $R_2$  میں گزرے کا یعنی

$$(2.28) \quad i_{R2} = \left( \frac{R_L}{R_L + R_2} \right) i_d$$

یوں  $R_2$  میں کل برقی رو کی قیمت  $I_D + i_{R2}$  ہوگی۔ کرخوف کے قانون برائے برقی دباؤ کو بائیں دائرے میں استعمال کرتے ہوئے

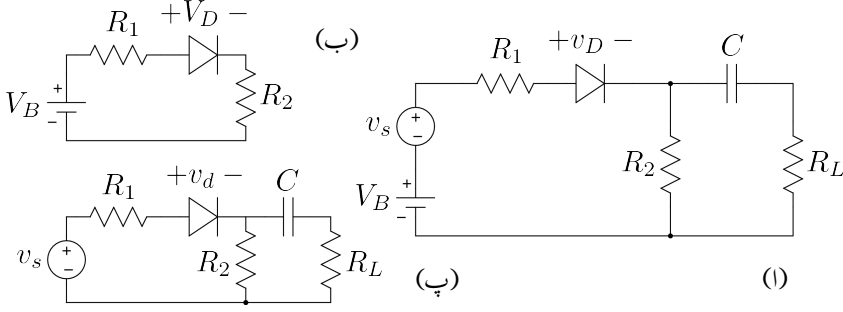
$$\begin{aligned} V_B + v_s &= i_D R_1 + v_D + (I_D + i_{R2}) R_2 \\ &= (I_D + i_d) R_1 + (V_D + v_d) + \left[ I_D + \left( \frac{R_L}{R_L + R_2} \right) i_d \right] R_2 \end{aligned}$$

لکھا جائے گا جہاں دوسرے قدم پر  $i_D = I_D + i_d$  اور  $v_D = V_D + v_d$  کا استعمال کیا گیا۔ اس مساوات کو دو مساوات میں یوں لکھا جاسکتا ہے۔

$$(2.29) \quad V_B = I_D R_1 + V_D + I_D R_2$$

$$(2.30) \quad v_s = i_d R_1 + v_d + i_d \left( \frac{R_L R_2}{R_L + R_2} \right)$$

مندرجہ بالا مساوات کا پہلا جزو یک سمتی خط بوجھ کی مساوات ہے جبکہ اس کا دوسرا جزو بدلتی رو خط بوجھ کی مساوات ہے۔ شکل 2.40 کو شکل 2.42 میں دوبارہ دکھایا گیا ہے جہاں اصل دور کے ساتھ ساتھ دو مزید ادوار دکھائے گئے ہیں۔ شکل 2.42 ب میں صرف یک سمتی منبع  $V_B$  استعمال کرتے ہوئے اصل دور کے وہ حصے دکھائے گئے ہیں جن میں یک سمتی برقی رو  $I_D$  گزرتی ہے۔ اس میں کرخوف کے قانون برائے برقی دباؤ سے مساوات 2.29 کا پہلا جزو حاصل ہوتا ہے۔ اسی طرح شکل 2.42 پ میں صرف بدلتا منبع  $v_s$  استعمال کرتے ہوئے اصل دور کے وہ حصے شامل کئے گئے ہیں جن میں بدلتی برقی رو  $i_d$  گزرتی ہے۔ اس شکل میں ڈائیوڈ پر برقی دباؤ کو  $v_d$  لکھتے ہوئے اس بات کی وضاحت کی گئی ہے کہ ڈائیوڈ پر بدلتے برقی دباؤ کی بات کی جارہی ہے۔ اس دور پر کرخوف کے قانون



شکل 2.42: دو کایک سمتی اور بدلتے حصے میں تقسیم

برائے برقی دباؤ سے مساوات 2.29 کا دوسرا جزو حاصل ہوتا ہے۔ بدلتی رو خطِ بوجھ کی مساوات میں ڈایوڈ کا باریک اشارات مزاحمت  $r_d$  استعمال کرتے ہوئے  $v_d = i_d r_d$  لکھا جاسکتا ہے اور یوں اس خط سے  $i_d$  حاصل کیا جاسکتا ہے۔

$$v_s = i_d R_1 + i_d r_d + i_d \left( \frac{R_L R_2}{R_L + R_2} \right)$$

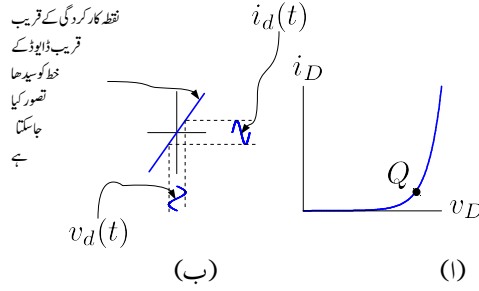
$$i_d = \frac{v_s}{R_1 + r_d + \left( \frac{R_L R_2}{R_L + R_2} \right)}$$

اور  $v_d = i_d r_d$  کے استعمال سے  $v_d$  حاصل کیا جاسکتا ہے۔

یوں اصل شکل کو شکل ب اور شکل پ کے طرز پر بناتے ہوئے یک سمتی اور بدلتی برقی رو (اور بدلتے برقی دباؤ) باری باری حاصل کئے جاسکتے ہیں۔ یہ نہایت اہم اور عمومی ترکیب ہے جسے برقیات کے میدان میں عموماً استعمال کیا جاتا ہے۔ اس کتاب میں اس ترکیب کا بار بار استعمال کیا جائے گا۔

## 2.12.2 باریک اشاراتی مزاحمت

تغیر پذیر داخلی برقی دباؤ میں باریک اشارات کو نظر انداز کرتے ہوئے حاصل نقطہ مائل کو شکل 2.39 میں c سے ظاہر کیا گیا ہے۔ باریک اشارہ کی موجودگی میں یہ نقطہ تبدیل ہوتے ہوئے a اور b کے درمیان رہتا ہے۔ ان دو



شکل 2.43: ڈایوڈ کے باریک اشارات کا حصول

نکلتوں کے مابین ڈایوڈ کا خط تقریباً ایک سیدھی لکیر کی مانند ہے۔<sup>73</sup> یاد رہے کہ مزاحمت کی برقی دباؤ بالمتقابل برقی رو کا خط سیدھی لکیر ہوتا ہے۔ اگر نقطہ  $c$  پر  $v_d - i_d$  کا کارتیسی محدود بنایا جائے<sup>74</sup> اور گراف کو  $a$  سے  $b$  تک محدود کر دیا جائے تو اس خطے میں ڈایوڈ کے مساوات کا گراف عام مزاحمت کا گراف معلوم ہوتا ہے۔ شکل 2.43 الف کے نقطہ کارکردگی  $Q$  کے قریب قریب رہتے ہوئے ڈایوڈ کے خط کو سیدھا تصور کرتے ہوئے شکل ب میں دکھایا گیا ہے۔ یوں ان دو نکلتوں کے مابین ڈایوڈ کو مزاحمت  $r_d$  تصور کیا جاسکتا ہے جہاں

$$(2.31) \quad r_d = \frac{v_d}{i_d}$$

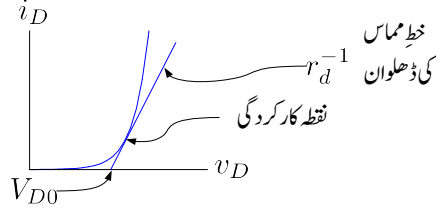
شکل 2.43 الف میں وسیع اشاراتی محدود  $(i_D - v_D)$  جبکہ شکل 2.43 ب میں باریک اشاراتی محدود  $(i_d - v_d)$  استعمال کئے گئے ہیں۔ شکل ب میں ہم یہ بھی دیکھتے ہیں کہ نقطہ کارکردگی پر ڈایوڈ کے باریک اشاراتی مزاحمت  $r_d$  کو استعمال کرتے ہوئے ڈایوڈ کے باریک اشاراتی برقی دباؤ  $v_d(t)$  پر اس کے باریک اشاراتی برقی رو  $i_d(t)$  کا خط بھی نہایت آسانی کے ساتھ حاصل کیا جاسکتا ہے۔ باریک اشارہ کے موجودگی میں ڈایوڈ نقطہ مائل کے قریب قریب رہے گا۔ یوں اگر نقطہ  $c$  کو  $(V_{DQ}, I_{DQ})$  لکھا جائے تو نقطہ  $a$  کو  $(V_{DQ} + \Delta V_{DQ}, I_{DQ} + \Delta I_{DQ})$  جبکہ نقطہ  $b$  کو  $(V_{DQ} - \Delta V_{DQ}, I_{DQ} - \Delta I_{DQ})$  لکھا جاسکتا ہے۔ یوں نقطہ  $c$  پر ڈایوڈ کی مزاحمت  $r_d$  یوں حاصل کی جائے گی۔

$$(2.32) \quad r_d = \left. \frac{\Delta v_D}{\Delta i_D} \right|_{I_{DQ}} = \frac{\Delta V_{DQ}}{\Delta I_{DQ}}$$

مساوات 2.31 اور مساوات 2.32 اس مزاحمت کو سمجھنے کے مختلف طریقے ہیں۔

<sup>73</sup> حصہ 2.11.2 میں دیکھا گیا کہ کسی بھی خط کے باریک حصے کو سیدھا تصور کیا جاسکتا ہے

<sup>74</sup> حصہ 2.11.1 میں محدود کی منتقلی پر بحث کی گئی



شکل 2.44: نقطہ کارکردگی پر خط مماس سے باریک اشاراتی مزاحمت کا حصول

$r_d$  کو ڈایوڈ کا باریک اشاراتی مزاحمت<sup>75</sup> کہتے ہیں اور اس کی قیمت نقطہ کارکردگی پر منحصر ہے۔

### 2.12.3 خط مماس سے باریک اشاراتی مزاحمت کا حصول

شکل 2.44 میں نقطہ کارکردگی پر خط مماس<sup>76</sup> دکھایا گیا ہے۔ آپ دیکھ سکتے ہیں کہ نقطہ کارکردگی پر خط مماس سے ڈایوڈ کا باریک اشاراتی مزاحمت  $r_d$  حاصل کیا جاسکتا ہے۔ آئیں  $r_d$  کو چالو ڈایوڈ کے مساوات (یعنی مساوات 2.7) کے خط مماس سے حاصل کریں۔ نقطہ کارکردگی پر چالو ڈایوڈ کا خط مماس حاصل کرنے کی خاطر چالو ڈایوڈ کی مساوات کا تفرق<sup>77</sup> لیں گے۔ اس تفرق کی قیمت نقطہ  $i_D = I_{DQ}$  پر حاصل کر کے نقطہ کارکردگی پر مزاحمت  $r_d$  حاصل کی جائے گی یعنی

$$(2.33) \quad i_D = I_S \left( e^{\frac{v_D}{V_T}} - 1 \right) \approx I_S e^{\frac{v_D}{V_T}}$$

$$\frac{di_D}{dv_D} = \frac{I_S e^{\frac{v_D}{V_T}}}{V_T}$$

چونکہ  $i_D = I_S e^{\frac{v_D}{V_T}}$  ہے لہذا ہم لکھ سکتے ہیں کہ

$$(2.34) \quad \frac{di_D}{dv_D} = \frac{I_S e^{\frac{v_D}{V_T}}}{V_T} = \frac{i_D}{V_T}$$

$$\left. \frac{di_D}{dv_D} \right|_{I_{DQ}} = \frac{I_{DQ}}{V_T}$$

<sup>75</sup> small signal resistance

<sup>76</sup> tangent

<sup>77</sup> differentiation



خط مماس کے اس ڈھلوان سے باریک اشاراتی مزاحمت حاصل کرتے ہیں۔

$$(2.35) \quad r_d = \left( \frac{di_D}{dv_D} \right)^{-1} \Big|_{I_{DQ}} = \frac{V_T}{I_{DQ}}$$

مثال 2.11: ایک ڈایوڈ جس کا  $I_S = 9.32 \times 10^{-14} \text{ A}$  کے برابر ہو کی  $i_D = 25 \mu\text{A}$  اور  $15 \text{ mA}$  کی برقی رو پر باریک اشاراتی مزاحمت حاصل کریں۔

حل: مساوات 2.35 کے تحت  $i_D = 15 \text{ mA}$  پر

$$(2.36) \quad r_d = \frac{25 \times 10^{-3}}{15 \times 10^{-3}} = 1.667 \Omega$$

اور  $i_D = 25 \mu\text{A}$  پر

$$(2.37) \quad r_d = \frac{25 \times 10^{-3}}{25 \times 10^{-6}} = 1000 \Omega$$

## 2.13 طبیعیات نیم موصل اشیاء

ڈایوڈ نیم موصل<sup>78</sup> مواد سے بنائے جاتے ہیں۔ اس حصہ میں نیم موصل اشیاء کی طبیعیات پر غور کیا جائے گا۔ اگرچہ برقیاتی پرزہ جات جرمنیم یا سیلیکان دونوں سے بنائے جاسکتے ہیں، حقیقت میں سیلیکان کی عمدہ خوبیوں کی بدولت برقیاتی پرزہ جات زیادہ تر سیلیکان سے ہی بنایا جاتا ہے۔ اسی وجہ سے اس کتاب میں صرف سیلیکان پر بات کی جائے گی۔

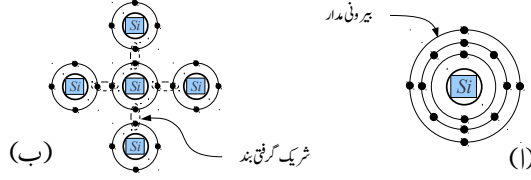
کیمیائی دورے جدول<sup>79</sup> کے چوتھے قطار یعنی چوتھے جماعت<sup>80</sup> میں کاربن C<sup>81</sup>، سیلیکان Si<sup>82</sup>، جرمینیم Ge<sup>83</sup> وغیرہ پائے جاتے ہیں۔ ان تمام عناصر<sup>84</sup> کے ایٹمی نمونہ ایٹمی نمونہ<sup>85</sup> کے بیرونی مدار<sup>86</sup> میں چار الیکٹران<sup>87</sup> پائے جاتے ہیں۔ یوں ان کی کیمیائی گرفت<sup>88</sup> +4 یا -4 ممکن ہے۔ اس جماعت کے عناصر شریکے گرفت بند<sup>89</sup> بناتے ہیں۔

برقیاتی پرزہ جات بنانے کی خاطر 99.9999999 فی صد خالص سیلیکان درکار ہوتا ہے جسے عموماً نو-نوصاف سیلیکان پکارا جاتا ہے۔ اتنی خالص سیلیکان حاصل کرنا از خود فنی مہارت کی انتہا ہے۔ خالص سیلیکان غیر موصل ہوتا ہے البتہ اس میں، نہایت باریک مقدار میں، مختلف اجزاء کی ملاوٹ<sup>90</sup> سے اس کے موصلیت<sup>91</sup> کو تبدیل کر کے اسے موصل بنایا جاسکتا ہے۔ اسی لئے سیلیکان کو نیم موصل<sup>92</sup> پکارا جاتا ہے۔ وزن کے لحاظ سے زمین کے بیرونی ٹھوس سطح کا 28% سیلیکان پر مشتمل ہے۔ عام ریت سیلیکان اور آکسیجن کا مرکب SiO<sub>2</sub> ہے۔

سیلیکان کا ایٹمی عدد<sup>93</sup> یا جوہری عدد 14 ہے۔ یوں اس کے بیرونی مدار میں چار الیکٹران پائے جاتے ہیں۔ اس کے بیرونی مدار میں آٹھ الیکٹران پورا کرنے کی خاطر یہ چار قریبی سیلیکان ایٹموں کے ساتھ شریک گرفت بند بنا کر سیلیکان کا قلم<sup>94</sup> بناتا ہے۔ شکل 2.45 میں اس کی سادہ صورت دکھائی گئی ہے۔ حتیٰ صفر حرارت 0 K پر موجود سیلیکان کے قلم میں تمام شریک گرفت بند برقرار رہتے ہیں اور یوں اس میں آزاد الیکٹران کے عدم موجودگی کی وجہ سے یہ غیر موصل ہوتا ہے۔ جیسے جیسے سیلیکان کا درجہ حرارت بلند کیا جائے، حرارتی توانائی کی بنا پر اس میں جگہ جگہ شریک گرفت بند منقطع ہونا شروع ہو جاتے ہیں۔

شریک گرفت بند میں قید الیکٹران اس بند کے ٹوٹنے سے آزاد ہو جاتا ہے۔ بند کے ٹوٹنے سے الیکٹران خارج ہو کر آزاد منفی بار کے طور سیلیکان میں حرکت کرتا ہے اور یوں یہ قلم کی موصلیت میں کردار ادا کرتا ہے۔ اس طرح

- periodic table<sup>79</sup>  
group<sup>80</sup>  
carbon<sup>81</sup>  
silicon<sup>82</sup>  
germanium<sup>83</sup>  
elements<sup>84</sup>  
atomic model<sup>85</sup>  
shell<sup>86</sup>  
electrons<sup>87</sup>  
valency<sup>88</sup>  
covalent bond<sup>89</sup>  
doping<sup>90</sup>  
conductance<sup>91</sup>  
semiconductor<sup>92</sup>  
atomic number<sup>93</sup>  
crystal<sup>94</sup>



شکل 2.45: سیلیکان ایٹم اور سیلیکان قلم میں شریک گرفتہ بند

شریک گرفتہ بند کی قید سے آزاد ہوا الیکٹران جو اب سیلیکان میں آزادی سے حرکت کر سکتا ہو کو آزاد الیکٹران<sup>95</sup> یا متحرک الیکٹران<sup>96</sup> کہتے ہیں۔ اسی طرح شریک گرفتہ بند ٹوٹنے کی وجہ سے الیکٹران کے اخراج سے اس مقام پر خلاء غلاء رہ جاتا ہے اور یہاں موجود سیلیکان کا ایٹم مثبت بار اختیار کر لیتا ہے۔ مثبت ایٹم قریب موجود شریک گرفتہ بندوں سے الیکٹران کھینچنے کی کوشش کرتا ہے اور کبھی کبھار ایسا کرنے میں کامیاب ہو جاتا ہے۔ یوں اس ایٹم کا بار دوسرے ایٹم کو منتقل ہو جاتا ہے اور ساتھ ہی ساتھ اس خلاء کا مقام بھی تبدیل ہو کر دوسرے ایٹم کے مقام پر منتقل ہو جاتا ہے۔ ایسا بار بار ہونے سے خلاء مسلسل جگہ تبدیل کرتا ہے۔ خلاء اور مثبت ایٹم کا مقام ایک ساتھ حرکت کرتے ہیں گویا کہ خلاء از خود مثبت بار ہو۔ یوں سیلیکان میں آزادی سے حرکت کرتے مثبت خلاء کو آزاد خول<sup>97</sup> یا متحرک خول<sup>98</sup> کہتے ہیں۔ آزاد خول بالکل آزاد الیکٹران کی طرح سیلیکان کی موصلیت میں کردار ادا کرتا ہے۔ آزاد خول کا بار الیکٹران کے بار کے برابر مگر مثبت ہوتا ہے۔

حرارت سے شریک گرفتہ بند ٹوٹنے کی وجہ سے پیدا آزاد الیکٹران (منفی بار) کو حرارتی الیکٹران<sup>99</sup> جبکہ اس سے پیدا آزاد خول (مثبت بار) کو حرارتی خول<sup>100</sup> بھی کہتے ہیں۔ چونکہ ایک شریک گرفتہ بند ٹوٹنے سے ایک آزاد الیکٹران اور ایک آزاد خول وجود میں آتے ہیں لہذا حرارتی الیکٹران اور حرارتی خول کی تعداد ہر صورت برابر رہتی ہے۔ حرارت سے پیدا الیکٹران اور خول کو اقلیتی الیکٹران<sup>101</sup> اور اقلیتی خول<sup>102</sup> بھی کہتے ہیں۔ حرارت سے آزاد الیکٹران اور آزاد

free electron<sup>95</sup>  
mobile electron<sup>96</sup>  
free hole<sup>97</sup>  
mobile hole<sup>98</sup>  
thermal electron<sup>99</sup>  
thermal hole<sup>100</sup>  
minority electrons<sup>101</sup>  
minority hole<sup>102</sup>

خول کے پیدائش کے عمل کو حرارتی پیدائش<sup>103</sup> کہتے ہیں۔ حرارتی پیدائش<sup>104</sup> کا انحصار درجہ حرارت پر ہے۔

آزاد الیکٹران اور آزاد خول سیلکان میں بلا ترتیب حرکت کرتے ہیں اور ایسا کرتے ہوئے کبھی کبھار آپس میں دوبارہ جڑ جاتے ہیں۔ ان کے جڑنے سے ایک آزاد الیکٹران اور ایک آزاد خول کا وجود ختم ہو جاتا ہے۔ اس عمل کو دوبارہ جوٹا<sup>105</sup> جبکہ اس کی شرح کو دوبارہ جڑنے کی شرح<sup>106</sup> کہتے ہیں۔

جب حرارتی پیدائش کی شرح اور دوبارہ جڑنے کی شرح برابر ہو تو اس صورت کو حرارتی توازن<sup>107</sup> کہتے ہیں۔ نیم موصل اشیاء کی طبیعیات سے معلوم ہوتا ہے کہ حرارتی پیدائش سے پیدا آزاد الیکٹران کی تعداد کا کثافت<sup>107</sup>  $n$  یا آزاد خول کی تعدادی کثافت  $p$  کو مندرجہ ذیل مساوات سے حاصل کیا جاسکتا ہے۔

$$(2.38) \quad p_i^2 = n_i^2 = BT^3 e^{-\frac{E_g}{kT}}$$

جہاں

$n_i$  حرارتی الیکٹران کی تعداد فی مربع سنٹی میٹر ہے۔

$p_i$  حرارتی خول کی تعداد فی مربع سنٹی میٹر ہے۔

$B$  کی مقدار ہر عنصر کے لئے مختلف ہے۔ سیلکان کے لئے اس کی قیمت  $5.4 \times 10^{31}$  ہے۔

$T$  حتمی حرارت ہے۔ اس کی اکائی کیلون K ہے۔

$k$  بولٹزمن کا مستقل  $8.62 \times 10^{-5} \text{ eV/K}$

$E_g$  یہ شریک گرفتی بند منقطع کرنے کے لئے درکار توانائی ہے جس کی قیمت سیلکان کے لئے 1.12 eV ہے۔

یاد رہے کہ حرارتی الیکٹران اور حرارتی خول کی تعدادی کثافتیں برابر ہوتی ہیں۔ یعنی

$$(2.39) \quad n_i = p_i$$

<sup>103</sup> thermal generation

<sup>104</sup> thermal generation rate

<sup>105</sup> recombination

<sup>106</sup> recombination rate

<sup>107</sup> number density

## 2.14 منفی قسم کا نیم موصل

کیمیائی دوری جدول کے پانچویں جماعت میں نائٹروجن N، فاسفورس P وغیرہ پائے جاتے ہیں۔ ان عناصر کے ایٹموں کے بیرونی مدار میں پانچ الیکٹران پائے جاتے ہیں۔ نائٹروجن کو مثال بناتے دیکھتے ہیں کہ سیلیکان کے قلم میں ان عناصر کی، نہایت باریک مقدار میں، موجودگی کے کیا اثرات مرتب ہوتے ہیں۔

سیلیکان کے قلم میں سیلیکان کے ایٹم ایک خاص ترتیب سے جڑے ہوتے ہیں۔ سیلیکان کے قلم میں شامل کئے جانے والے ملاوٹی نائٹروجن کے ایٹموں کی تعداد نہایت کم ہوتی ہے اور یوں نائٹروجن کے ایٹموں کی موجودگی کا قلم میں ایٹموں کے ترتیب پر کوئی اثر نہیں ہوتا۔ شامل کئے جانے والے ملاوٹی نائٹروجن کے ایٹم قلم میں جگہ جگہ سیلیکان ایٹم کی جگہ لے کر قلم کا حصہ بن جاتے ہیں۔ شکل 2.46 میں نائٹروجن کے ایٹم کو سیلیکان کے قلم میں بستے دکھایا گیا ہے۔ نائٹروجن ایٹم کے بیرونی مدار میں موجود پانچ الیکٹرانوں میں سے چار الیکٹران قلم میں قریب چار سیلیکان ایٹموں کے ساتھ شریک گرتی بند بنانے میں جبکہ پانچواں الیکٹران فالتو رہ جاتا ہے۔ اس فالتو الیکٹران کا نائٹروجن ایٹم کے ساتھ کمزور بند<sup>108</sup> ہوتا ہے جسے الیکٹران کی حرارتی توانائی جلد منقطع کر کے الیکٹران کو آزاد کر دیتی ہے۔ اس طرح آزاد الیکٹران قلم میں مکمل آزادی کے ساتھ حرکت کر سکتے ہیں جس سے قلم موصل ہو جاتا ہے۔ قلم میں نائٹروجن ایٹموں کی تعداد تبدیل کر کے اس کی موصلیت پر قابو رکھا جاتا ہے۔ شکل 2.46 میں ایک آزاد الیکٹران<sup>109</sup> کو سیلیکان ایٹموں کے مابین دکھایا گیا ہے۔ یوں اگر شامل کئے گئے ملاوٹی نائٹروجن ایٹموں کی تعدادی کثافت  $N_D$  ایٹم فی مرلے سنٹی میٹر ہو تب اس سے پیدا آزاد الیکٹرانوں کی کثافت  $n_{n0}$  تقریباً اتنی ہی ہو گی یعنی

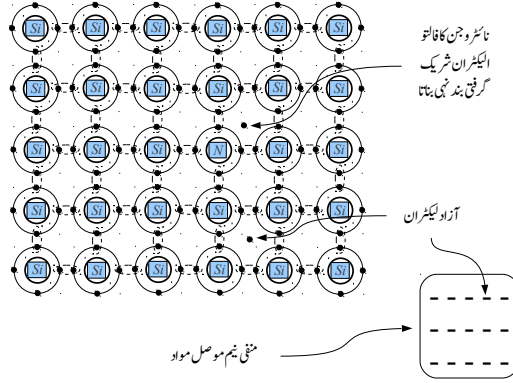
$$(2.40) \quad n_{n0} \approx N_D$$

اس مساوات میں حرارتی آزاد الیکٹرانوں کی تعداد کو نظر انداز کیا گیا ہے جو کہ ایک جائز قدم ہے۔ نیم موصل اشیاء کی طبیعیات سے معلوم ہوتا ہے کہ حرارتی توازن کی صورت میں آزاد الیکٹران کی کثافت  $n_{n0}$  اور آزاد خول کی کثافت  $p_{n0}$  کے ضرب کا جواب اٹل ہوتا ہے یعنی

$$(2.41) \quad n_{n0} p_{n0} = n_i^2$$

جہاں کسی بھی درجہ حرارت پر  $n_i^2$  کی قیمت مساوات 2.38 سے حاصل ہو گی۔ یوں منفی نیم موصل سیلیکان میں آزاد خول کی کثافت

$$(2.42) \quad p_{n0} = \frac{n_i^2}{n_{n0}} \approx \frac{n_i^2}{N_D}$$



شکل 2.46: ناکروجن کی شمولیت سے منفی قسم کے نیم موصل کا حصول

ہوگی۔ منفی نیم موصل میں اکثریتی الیکٹرانوں<sup>110</sup> کی کثافت شامل کئے جانے والے ملاوٹی ایٹموں کی تعداد پر منحصر ہے جبکہ اس میں اقلیتی خول<sup>111</sup> کی کثافت درجہ حرارت پر منحصر ہے۔ منفی نیم موصل میں آزاد الیکٹران کی تعداد آزاد خول کی تعداد سے کئی درجہ زیادہ ہوگی۔

اس مثال میں ناکروجن کی شمولیت سے سیلیکان میں متحرک آزاد الیکٹران یعنی متحرک منفی بار<sup>112</sup> نے موصلیت پیدا کی۔ ایسے سیلیکان کو منفی قسم کا نیم موصل یا منفی نیم موصل<sup>113</sup> کہتے ہیں۔ یوں منفی نیم موصل تیار کرنے کی خاطر سیلیکان میں کییمیائی دوری جدول کے پانچویں جماعت کے عناصر بطور ملاوٹے شامل کئے جاتے ہیں۔ کسی بھی مکمل ایٹم میں پروٹون اور الیکٹران کی تعداد برابر ہوتی ہے۔ یوں ایٹم کا کل بار صفر ہوتا ہے۔ سیلیکان میں ناکروجن بطور ملاوٹ شامل کرنے سے اس کا کل بار صفر ہی رہتا ہے۔ ناکروجن ایٹم کے فالٹو الیکٹران کی جدائی کے بعد ناکروجن ایٹم مثبت بار رکھتا ہے۔ یوں اگرچہ قلم کا کل بار اب بھی صفر ہی ہے لیکن جس مقام پر ناکروجن کا مثبت ایٹم موجود ہو اس مقام پر کل بار مثبت ہو گا اور جس مقام پر آزاد الیکٹران موجود ہو وہاں کل بار منفی ہو گا۔

قلم میں تمام ایٹم اپنی اپنی جگہ جکڑے رہتے ہیں۔ یہ اپنی اپنی جگہ جھول سکتے ہیں لیکن جگہ تبدیل نہیں کر سکتے۔ ایسے ایٹموں کو ساکن تصور کرتے ہوئے ہم دیکھتے ہیں کہ قلم میں جگہ جگہ ساکن مثبت بار والے ناکروجن ایٹم

<sup>110</sup> majority electrons

<sup>111</sup> minority holes

<sup>112</sup> mobile negative charge

<sup>113</sup> n-type semiconductor

پائے جاتے ہیں۔ یوں منفی قسم کے نیم موصل قلم میں مثبت بار ساکن رہتے ہیں جبکہ اس میں منفی بار (آزاد الیکٹران) حرکت پذیر ہوتے ہیں۔ یوں منفی قسم کا نیم موصل مواد میں برقی رو کا بہاؤ آزاد الیکٹران کے حرکت سے ہوتا ہے۔ آزاد الیکٹران نیم موصل مواد کے وجود میں بالکل اسی طرح حرکت کرتے ہیں جیسے بند ڈبہ میں گیس کے ایٹم یا مالیکیول حرکت کرتے ہیں۔ اسی وجہ سے آزاد الیکٹران کو کبھی کبھار *ایکٹرائزڈ گیس*<sup>114</sup> بھی کہا جاتا ہے۔

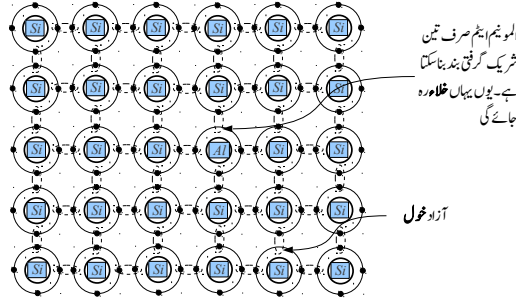
ان دو اقسام کے باروں کا تذکرہ کرتے عموماً ساکن بار<sup>115</sup> اور متحرک بار<sup>116</sup> کی بات کی جاتی ہے۔ یوں منفی قسم کے نیم موصل مادے میں موصلیت صرف متحرک باروں کی وجہ سے پیدا ہوتی ہے۔ ساکن بار کا قلم کے موصلیت پیدا کرنے میں کوئی کردار نہیں۔ منفی نیم موصل مواد کو ظاہر کرنا بھی شکل میں دکھایا گیا ہے جہاں (–) آزاد الیکٹران کے وجود کو اجاگر کرتا ہے ناکہ کل برقی بار کو۔ سیلیکان میں بیرونی مادہ مثلاً نائٹروجن کے شمولیت سے پیدا آزاد الیکٹران کو اکثریتی *ایکٹرائزڈ*<sup>117</sup> بھی کہتے ہیں۔

## 2.15 مثبت قسم کا نیم موصل

کیمیائی دوری جدول کے تیسرے جماعت میں بوران B، المونیم Al وغیرہ پائے جاتے ہیں جن کے بیرونی مدار میں صرف تین الیکٹران ہوتے ہیں۔ سیلیکان کے قلم میں اس جماعت کے عناصر کی شمولیت کے اثرات دیکھنے کی خاطر المونیم کی شمولیت کو مثال بناتے ہیں۔ سیلیکان کے قلم میں سیلیکان کے ایٹم ایک خاص ترتیب سے جڑے ہوتے ہیں۔ سیلیکان کے قلم میں بطور ملاوٹ شامل کئے جانے والے المونیم ایٹموں کی تعداد نہایت کم ہونے کی بنا پر یہ قلم میں ایٹموں کے ترتیب پر اثر انداز نہیں ہوتے۔ شامل کئے جانے والے ملاوٹی المونیم کے ایٹم قلم میں جگہ جگہ سیلیکان ایٹم کی جگہ لے کر قلم کا حصہ بن جاتے ہیں۔

شکل 2.47 میں المونیم کے ایٹم کو سیلیکان کے قلم میں بستے دکھایا گیا ہے۔ قلم میں بستے المونیم ایٹم کے بیرونی مدار میں موجود تین الیکٹران قلم میں قریب ترین سیلیکان ایٹموں کے ساتھ شریک گرفتی بند بنالیتے ہیں۔ المونیم ایٹم کے بیرونی مدار میں چوتھے الیکٹران کی عدم موجودگی کی بنا پر قریب چوتھے سیلیکان ایٹم کے ساتھ شریک گرفتی بند بنانا ممکن نہیں ہوتا۔ یوں اس بند کی جگہ خلاء رہ جاتی ہے۔

electron gas<sup>114</sup>  
immobile charges<sup>115</sup>  
mobile charges<sup>116</sup>  
majority electrons<sup>117</sup>



شکل 2.47: المونیم ایٹم میں سیلیکان ایٹم کی جگہ لیتا ہے

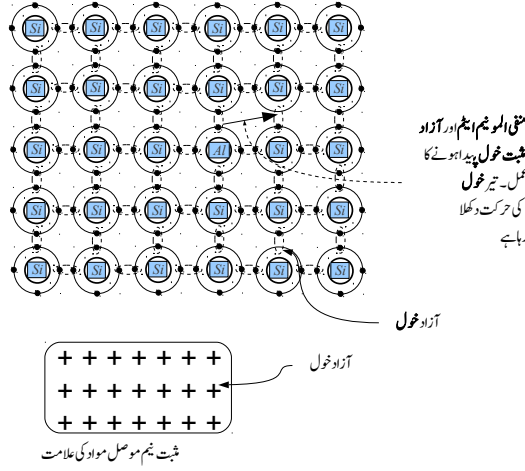
شکل 2.48 کو دیکھتے ہوئے آگے پڑھیں۔ حرارتی توانائی سے عین ممکن ہوتا ہے کہ اس خلاء کے قریب کوئی شریک گرفتی بند منقطع ہو جائے اور وہاں سے الیکٹران خارج ہو جائے۔ خارج شدہ الیکٹران بھٹکتا بھٹکتا المونیم کے قریب خلاء کو پُر کر کے یہاں شریک گرفتی بند کو جنم دیتا ہے۔ ایسا ہونے سے المونیم ایٹم منفی بار اختیار کر لیتا ہے جبکہ جہاں سے الیکٹران خارج ہوا ہو اس مقام پر مثبت آزاد خول<sup>118</sup> رہ جاتا ہے۔ اس مثبت آزاد خول کو خول الف کہتے ہوئے گفتگو آگے بڑھاتے ہیں۔ اسی طرح حرارتی توانائی نو پیدا خول الف کے قریب کسی اور شریک گرفتی بند کو منقطع کر کے یہاں سے الیکٹران خارج کرتے ہوئے خول ب پیدا کرے گا اور خارج الیکٹران خول الف تک پہنچ کر اسے پُر کر کے یہاں خول کے وجود کو ختم کر دے گا۔ اسی طرح خول پ پیدا ہونے سے خول ب پُر ہو گا وغیرہ وغیرہ۔ یوں آزاد خول مسلسل جگہ تبدیل کرے گا جبکہ منفی المونیم ایٹم ساکن رہتا ہے۔ مسلسل حرکت پذیر مثبت خول (آزاد خول) کی بدولت قلم کی موصلیت وجود میں آتی ہے جبکہ ساکن منفی بار (المونیم ایٹم) کا قلم کی موصلیت میں کوئی کردار نہیں۔ یوں مثبت نیم موصل مواد میں برقی رو کا بہاؤ آزاد خول کے حرکت سے ہوتا ہے۔

چونکہ اس طرح کے قلم میں خول بطور مثبت بار کردار ادا کرتا ہے اور یہی موصلیت کو جنم دیتا ہے لہذا اسے مثبت قسم کی نیم موصل مواد یا مثبت نیم موصل<sup>119</sup> کہتے ہیں۔ مثبت نیم موصل مواد کو ظاہر کرنا بھی شکل 2.48 میں دکھایا گیا ہے جہاں (+) آزاد خول کے وجود کو اجاگر کرتا ہے تاکہ کل برقی بار کو۔

اس طرح آزاد خول قلم میں مکمل آزادی کے ساتھ حرکت کر سکتے ہیں جس سے قلم موصل ہو جاتا ہے۔ قلم میں المونیم ایٹموں کی تعداد تبدیل کر کے اس کی موصلیت پر قابو رکھا جاتا ہے۔ آزاد خول نیم موصل مواد کے وجود

<sup>118</sup> free hole  
<sup>119</sup> p-type semiconductor





شکل 2.48: آزاد خول کی حرکت اور مثبت نیم موصل مواد ظاہر کرنے کی علامت

میں بالکل اسی طرح حرکت کرتے ہیں جیسے بند ڈبہ میں گیس کے ایٹم یا مالیکیول حرکت کرتے ہیں۔ اسی وجہ سے آزاد خول کو کبھی کبھار **خول گیس**<sup>120</sup> بھی کہا جاتا ہے۔ سیلیکان میں بیرونی مواد مثلاً Al کے شمولیت سے پیدا آزاد خول کو اکثریتی **خول**<sup>121</sup> بھی کہتے ہیں۔ مثبت نیم موصل سیلیکان بناتے وقت اگر اس میں شامل کئے جانے والے ملاوٹی ایٹموں کی کثافت  $N_A$  ایٹم فی مربع سینٹی میٹر ہو تب اس میں حرارتی آزاد خول کو نظر انداز کرتے ہوئے اکثریتی آزاد خول کی کثافت  $p_{n0}$  بھی تقریباً اتنی ہو گی یعنی

$$(2.43) \quad p_{p0} = N_A$$

جبکہ حرارتی متوازن صورت میں اس میں آزاد الیکٹرانوں کی کثافت مساوات 2.41 کے تحت

$$(2.44) \quad n_{p0} = \frac{n_i^2}{p_{p0}} \approx \frac{n_i^2}{N_A}$$

ہو گا۔ مثبت نیم موصل میں اکثریتی خول<sup>122</sup> کی کثافت شامل کئے جانے والے ملاوٹی ایٹموں کی تعداد پر منحصر ہے جبکہ اس میں اقلیتی الیکٹرانوں<sup>123</sup> کی کثافت درجہ حرارت پر منحصر ہے۔

hole gas<sup>120</sup>  
majority holes<sup>121</sup>  
majority holes<sup>122</sup>  
minority electrons<sup>123</sup>

## 2.16 مال برداری

آزاد الیکٹران اور آزاد خول نفوذ<sup>124</sup> اور بہاؤ<sup>125</sup> کے ذریعہ سیلیکان میں حرکت کر کے ایک مقام سے دوسرے مقام منتقل ہو سکتے ہیں۔ کائنات میں قدرتی مال برداری<sup>126</sup> ان دو خود کار طریقوں سے ہوتی ہے۔ پانی میں سیاہی کا پھیلاؤ اور دریا میں پانی کا بہاؤ انہیں کی بدولت ہے۔

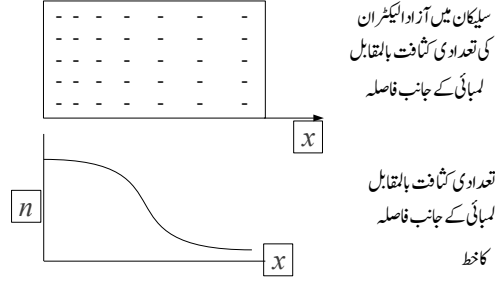
## 2.16.1 نفوذ

نفوذ سے مراد الیکٹران اور خول کی وہ بلا ترتیب حرکت ہے جو حرارتی توانائی کی وجہ سے پیدا ہوتی ہے۔ سیلیکان میں آزاد الیکٹران (آزاد خول) کی یکساں تعدادی کثافت کی صورت میں آزاد الیکٹران (آزاد خول) کے نفوذ سے برقی رو پیدا نہیں ہوتی البتہ اگر کسی طرح آزاد الیکٹران (یا آزاد خول) کی تعدادی کثافت ایک مقام پر زیادہ کر دی جائے تو اس صورت میں زیادہ تعدادی کثافت والے مقام سے کم تعدادی کثافت کے مقام کی جانب آزاد الیکٹرانوں (خولوں) کا بہاؤ ہو گا جس سے برقی رو پیدا ہو گی۔ ایسے برقی رو کو نفوذی برقی رو<sup>127</sup> کہتے ہیں۔ اس حقیقت کو شکل 2.49 کی مدد سے بہتر سمجھا جاسکتا ہے جہاں فرضی سیلیکان کے ایک سلاخ میں لمبائی کے جانب آزاد الیکٹرانوں کی تعداد تبدیل ہوتے دکھائی گئی ہے۔ اسی شکل میں اس کا گراف بھی دکھایا گیا ہے۔ اس شکل میں آزاد الیکٹران دائیں جانب نفوذ کریں گے۔ اس طرح سلاخ میں روایتی برقی رو کی سمت بائیں جانب ہو گی۔

پانی میں رنگ نفوذ کے ذریعہ حل ہوتا ہے۔ آزاد خول کے نفوذی برقی رو کی مساوات شکل 2.50 کی مدد سے حاصل کرتے ہیں۔ شکل میں سیلیکان کی مثبت نیم موصل سلاخ دکھائی گئی ہے جس کا رقبہ عمودی تراش A ہے۔ شکل میں نقطہ الف پر آزاد خولوں کی تعدادی کثافت (p) جبکہ اس کے قریب  $\Delta x$  فاصلہ پر نقطہ ب پر تعدادی کثافت  $p + \Delta p$  ہے۔ ان دو نقطوں پر سلاخ کے چھوٹی سی لمبائی  $\Delta x$  میں کل خولوں کی تعداد  $pA\Delta x$  اور  $(p + \Delta p)A\Delta x$  ہو گی۔ ہم تصور کرتے ہیں کہ سلاخ میں خول صرف لمبائی کے جانب حرکت کرتے ہیں۔ اس طرح حصہ الف کے آدھے خول، یعنی  $pA\Delta x/2$ ، بائیں جانب اور آدھے دائیں جانب حرکت کریں گے۔ اسی طرح حصہ ب کے آدھے خول، یعنی  $(p + \Delta p)A\Delta x/2$ ، بائیں جانب اور آدھے دائیں جانب حرکت کریں گے۔ یوں ان دو نقطوں کے درمیان نقطہ دار لکیر پر دائیں جانب گزرتے کل خولوں کی تعداد

$$\frac{pA\Delta x}{2} - \frac{(p + \Delta p)A\Delta x}{2} = -\frac{\Delta pA\Delta x}{2}$$

<sup>124</sup> diffusion<sup>125</sup> drift<sup>126</sup> transportation<sup>127</sup> diffusion current



شکل 2.49: تعدادی کثافت میں ناہمواری نفوذ پیدا کرتا ہے

ہوگی۔ خول کے بار کو  $q$  لکھتے ہوئے اس کلیئر سے دائیں جانب گزرتے کل بار کی مقدار کو یوں لکھا جاسکتا ہے۔

$$\Delta Q_p = -\frac{q\Delta p A \Delta x}{2}$$

تصور کریں کہ باروں کی یوں منتقلی وقت  $\Delta t$  میں عمل میں آتی ہے۔ اس طرح سلاخ میں برقی رو  $I_p = \Delta Q_p / \Delta t$  ہوگی یعنی

$$I_p = \frac{\Delta Q_p}{\Delta t} = -\frac{q\Delta p A \Delta x}{2\Delta t}$$

اس برقی رو کی کثافت  $J_p$  کو یوں لکھا جاسکتا ہے۔

$$(2.45) \quad J_p = \frac{I_p}{A} = -\frac{q\Delta p \Delta x}{2\Delta t}$$

کسی بھی تفاعل  $y$  کے لئے ہم لکھ سکتے ہیں  $\Delta y = \frac{dy}{dx} \Delta x$  یوں موجودہ صورت میں لکھا جاسکتا ہے۔

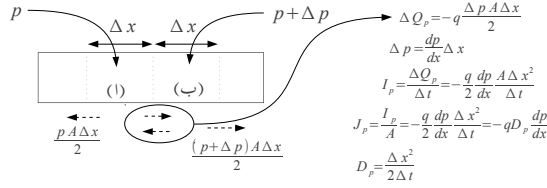
$$(2.46) \quad \Delta p = \frac{dp}{dx} \Delta x$$

ان دو مساواتوں سے حاصل ہوتا ہے

$$(2.47) \quad J_p = \frac{I_p}{A} = -q \frac{dp}{dx} \frac{\Delta x^2}{2\Delta t}$$

اس مساوات میں

$$(2.48) \quad D_p = \frac{\Delta x^2}{2\Delta t}$$



شکل 2.50: آزاد خول سے حاصل نفوذی برقی رو

لکھ کر حاصل ہوتا ہے

$$(2.49) \quad J_p = -q D_p \frac{dp}{dx}$$

یہ مساوات نفوذی برقی رو کی کثافت یا کثافت نفوذی<sup>128</sup> کو بیان کرتا ہے۔<sup>129</sup> جہاں

$J_p$  آزاد خولوں سے پیدا نفوذی برقی رو کی کثافت<sup>130</sup> ہے۔

$q$  خول کے برقی بار کی مقدار یعنی  $1.6 \times 10^{-19} \text{ C}$  ہے۔

$D_p$  خول کے نفوذ کا مستقل<sup>131</sup> ہے۔ سیلیکان میں  $D_p = 12 \text{ cm}^2/\text{s}$  کے برابر ہوتا ہے۔

$p$  آزاد خول کی تعدادی کثافت ہے۔

آزاد الیکٹرانوں کے لئے نفوذی برقی رو کی کثافت کی مساوات مندرجہ ذیل ہے۔

$$(2.50) \quad J_n = q D_n \frac{dn}{dx}$$

اس مساوات میں منفی کی علامت استعمال نہ کرنے سے ہی برقی رو کی صحیح سمت حاصل ہوتی ہے۔  $D_n$  آزاد الیکٹران

کے نفوذ کا مستقل<sup>132</sup> ہے جس کی قیمت سیلیکان کے لئے  $34 \text{ cm}^2/\text{s}$  ہے۔

<sup>128</sup> diffusion current density

<sup>129</sup> نفوذ کے ذریعہ مال برداری کے اس قافیہ کو آلف فیک Adolf Fick نے دریافت کیا

<sup>130</sup> diffusion current density

<sup>131</sup> hole's diffusion constant

<sup>132</sup> electron's diffusion constant

## 2.16.2 بہاو

آزاد الیکٹران اور آزاد خول کے حرکت کرنے کا دوسرا ذریعہ بہاو<sup>133</sup> ہے۔ بہاو سے پیدا ہوتی رو کو بہاو برقی<sup>134</sup> رو کہتے ہیں۔

اگر سیلیکان کے ایک سلاخ، جس کی لمبائی  $L$  ہو، کے دوسروں کے مابین برقی دباؤ  $V$  مہیا کی جائے تو اس سلاخ میں برقی شدت<sup>135</sup>  $E$  پیدا ہوگی جہاں

$$E = \frac{V}{L}$$

کے برابر ہے۔ برقی دباؤ کی شدت آزاد الیکٹران اور آزاد خول کو اسراع دے گا۔ آزاد خول کا رفتار برقی شدت کی سمت میں جبکہ آزاد الیکٹران کا رفتار اس کے الٹ سمت میں بڑھے گا۔ برقی شدت سے پیدا ہاروں کے رفتار کو رفتار بہاو<sup>136</sup> کہتے ہیں۔ آگے صرف آزاد الیکٹران پر گفتگو کرتے ہیں اگرچہ یہ سب کچھ آزاد خول کے لئے بھی درست ہے۔ اس گفتگو میں آزاد الیکٹران کو صرف الیکٹران کہیں گے۔

الیکٹران کی رفتار کے دو اجزاء ہیں۔ ایک جزو حرارتی رفتار ہے جبکہ دوسرا جزو بہاو کی رفتار یا رفتار بہاو ہے۔ اگر سیلیکان کے سلاخ میں ہر مقام پر حرارت یکساں ہو تب اس سلاخ میں حرارتی رفتار کی اوسط قیمت ہر مقام پر برابر ہوگی۔ حرارتی رفتار بلا ترتیب ہے اور یوں سمتی حرارتی رفتار کی اوسط قیمت صفر ہوتی ہے۔ لہذا اس صورت میں سمتی حرارتی رفتار کا سیلیکان میں برقی رو پیدا کرنے میں کوئی کردار نہیں۔ اس کے برعکس الیکٹران کی سمتی رفتار بہاو<sup>137</sup> برقی شدت کے الٹ سمت میں ہوتی ہے اور اس کی اوسط قیمت برقی شدت پر منحصر ہوتی ہے۔ یوں برقی شدت کے موجودگی میں سیلیکان میں برقی رو سمتی رفتار بہاو کے وجہ سے ہوتی ہے۔ سمتی رفتار بہاو پر اب گفتگو کرتے ہیں۔

برقی شدت کی وجہ سے حرکت کرتے ہار وقتاً فوقتاً ساکن ایٹموں کے ساتھ ٹکرا کر اپنی توانائی ضائع کر دیتے ہیں اور ان کی لمبائی سمتی رفتار بہاو<sup>138</sup> صفر ہو جاتی ہے۔ ٹکرانے کے بعد یہ ایک مرتبہ پھر برقی شدت کی وجہ سے رفتار پکڑتے ہیں۔ یوں ٹکرانے کی وجہ سے الیکٹران کی رفتار لگاتار نہیں بڑھتی بلکہ یہ کسی اوسط رفتار سے سیلیکان میں برقی شدت کے الٹ سمت حرکت کرتے ہیں۔ اس اوسط سمتی رفتار کو اوسط سمتی رفتار بہاو یا صرف سمتی رفتار بہاو کہتے ہیں۔

drift<sup>133</sup>  
drift current<sup>134</sup>  
electric field intensity<sup>135</sup>  
drift speed<sup>136</sup>  
drift velocity<sup>137</sup>  
instantaneous drift velocity<sup>138</sup>

سیلیکان کے قلم میں برقی شدت  $E$  کے موجودگی میں الیکٹران پر قوت  $F = -qE$  عمل کرے گا۔ اس قوت کی وجہ سے الیکٹران اسراع  $a$  پکڑے گا جسے نیوٹن<sup>139</sup> کے مساوات  $F = m_n a$  سے حاصل کیا جاسکتا ہے یعنی

$$a = -\frac{qE}{m_n}$$

اگر الیکٹران کے ٹکرانے کا اوسط وقفہ  $t_n$  ہو تو اتنے وقت میں ساکن حال سے چلا الیکٹران رفتار  $v_{t_n}$  اختیار کرے گا جہاں

$$v_{t_n} = a \times t_n = -\frac{qEt_n}{m_n}$$

دورانیہ  $t_n$  میں یوں الیکٹران کا اوسط رفتار اس کے آدھا ہو گا یعنی

$$v_n = \frac{v_{t_n}}{2} = -\frac{qEt_n}{2m_n}$$

اس مساوات میں  $\mu_n = \frac{qt_n}{2m_n}$  لکھنے سے اسے یوں لکھا جاسکتا ہے

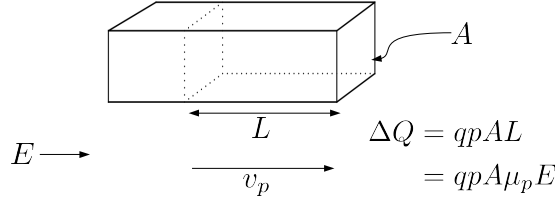
$$(2.51) \quad v_n = -\mu_n E$$

جہاں  $\mu_n$  کو الیکٹران کی حرکت پذیری<sup>140</sup> کہتے ہیں۔ اگر سمتی رفتار بہاو کو  $\text{cm/s}$  اور برقی شدت کو  $\text{V/cm}$  میں ناپا جائے تو سیلیکان میں الیکٹران کی حرکت پذیری  $\mu_n$  کی قیمت  $1350 \text{ cm}^2/\text{Vs}$  ہے۔ اسی طرح آزاد خول کے لئے ہم لکھ سکتے ہیں۔

$$(2.52) \quad v_p = \mu_p E$$

جہاں سیلیکان میں آزاد خول کی حرکت پذیری  $\mu_p$  کی قیمت  $480 \text{ cm}^2/\text{Vs}$  کے لگ بھگ ہے۔ سیلیکان کے سطح پر حرکت پذیری کی قیمت گہرائی پر حرکت پذیری کے قیمت سے دس گنا تک کم ہو سکتی ہے۔ یہاں گہرائی پر الیکٹران<sup>140</sup> کے حرکت پذیری اور گہرائی پر خول کے حرکت پذیری کی بات کی گئی۔ شکل 2.51 میں مثبت نیم موصل سیلیکان کا سلاخ دکھایا گیا ہے جس میں آزاد خول کی تعدادی کثافت  $p$  فی مربع سنٹی میٹر ہے۔ اگر اس سلاخ میں برقی شدت  $E$  ہو تو اس میں آزاد خول کی سمتی رفتار بہاو  $v_p$  اسی سمت میں ہو گی۔ یوں ایک سینڈ میں آزاد خول اس سلاخ میں  $v_p \times A \times L$  سنٹی میٹر کا فاصلہ طے کریں گے۔ سلاخ کے لمبائی  $L$  کا حجم  $A \times L$  ہے اور اتنے حجم میں  $p \times A \times L$

Newton' law<sup>139</sup>  
electron mobility<sup>140</sup>



شکل 2.51: برقی شدت سے برقی رو کا پیدا ہونا

آزاد خول ہوں گے۔ یوں اتنے حجم میں کل آزاد بار  $\Delta Q = qpAL$  ہو گا۔ اگر  $v_p$  سنٹی میٹر لمبائی کی بات کریں تو اتنے سلاخ میں موجود آزاد خول کا بار  $\Delta Q = qpAv_p$  ہو گا۔ سلاخ کے دائیں جانب سطح  $A$  سے یوں ہر سیکنڈ  $qpAv_p$  بار گزرے گا اور یوں اس سلاخ میں برقی رو  $I_p$  کی قیمت  $qpAv_p$  ہو گی۔ اس برقی رو کی کثافت  $J_p$

$$(2.53) \quad J_p = \frac{I_p}{A} = qp v_p = qp \mu_p E$$

ہو گا۔

بالکل اسی طرح آزاد الیکٹران کے لئے بھی مساوات لکھی جاسکتی ہے۔ آزاد الیکٹران کے بار کو  $(-q)$  لکھتے ہوئے چونکہ اس کے لئے  $v_n = \mu_n E$  ہے لہذا آزاد الیکٹران کے لئے اس مساوات کو یوں لکھا جاسکتا ہے۔

$$(2.54) \quad J_n = \frac{I_n}{A} = (-q)n v_n = (-q)n(-\mu_n)E = qn\mu_n E$$

آزاد الیکٹران اور آزاد خول کے موجودگی میں برقی رو دونوں باروں کی وجہ سے پیدا ہوگی اور یوں اس صورت میں ہم لکھ سکتے ہیں۔

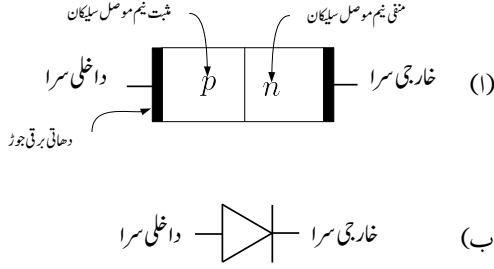
$$(2.55) \quad J_\sigma = qn\mu_n E + qp\mu_p E = q(n\mu_n + p\mu_p)E$$

اس مساوات میں

$$(2.56) \quad \sigma = (n\mu_n + p\mu_p)$$

لکھنے سے اسے یوں لکھا جاسکتا ہے۔

$$(2.57) \quad J_\sigma = q\sigma E$$



شکل 2.52: ڈایوڈ کی بناوٹ اور اس کی علامت

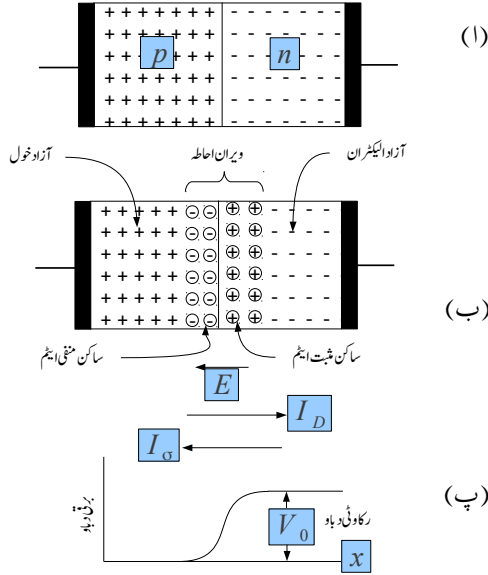
یہ مساوات برقی شدت کی بدولت بہاو سے پیدا ہونے والی برقی رو کی مساوات ہے جس میں  $\sigma$  سیلیکان کے موصلیت کا مستقل<sup>141</sup> ہے۔ مساوات 2.57 درحقیقت قانون اوہم<sup>142</sup> ہے۔

## 2.17 مثبت اور منفی اقسام کے نیم موصل مواد کا ملاپ

مثبت نیم موصل مواد اور منفی نیم موصل مواد کے ملاپ سے ڈایوڈ وجود میں آتا ہے۔ شکل 2.52 میں اس کی بناوٹ اور علامت دکھائی گئی ہے۔ حقیقت میں ڈایوڈ تیار کرتے وقت سیلیکان کی ایک ہی پتہری پر منفی اور مثبت قسم کے نیم موصل احاطے ملا کر بنائے جاتے ہیں۔ تصور کریں کہ مثبت نیم موصل اور منفی نیم موصل سیلیکان کو جوڑا جاتا ہے۔ اس وقت کا صورت حال شکل 2.53-1 میں دکھایا گیا ہے۔ نفوذ کی وجہ سے مثبت نیم موصل حصے سے آزاد خول منفی نیم موصل حصے کی جانب حرکت کریں گے اور اسی طرح منفی نیم موصل حصے سے آزاد الیکٹران مثبت نیم موصل حصے کی جانب حرکت کریں گے۔ مثبت نیم موصل حصے سے خولوں کے نکل جانے سے یہاں سرحد کے قریب ساکن منفی ایٹم نمودار یا بے پردہ ہوں گے۔ اسی طرح منفی نیم موصل حصے سے الیکٹران کے نکل جانے سے یہاں سرحد کے قریب ساکن مثبت ایٹم نمودار یا بے پردہ ہوں گے۔ مثبت نیم موصل حصے میں داخل الیکٹرانوں میں سے چند سرحد کے قریب آزاد خولوں سے مل کر ختم ہو جائیں گے جبکہ بقایا اس حصے میں بطور اقلیتی بار اس وقت تک بسیں گے جب تک یہ کسی خول کے ساتھ مل کر ختم نہ ہو جائیں۔ اسی طرح منفی حصے میں داخل آزاد خولوں میں سے چند یہاں

conductivity<sup>141</sup>  
Ohm' law<sup>142</sup>





شکل 2.53: رکاوٹی برقی دباؤ

آزاد الیکٹرانوں سے مل کر ختم ہو جائیں گے جبکہ بقایا اس حصے میں بطور اقلیتی بار اس وقت تک بسیں گے جب تک یہ کسی آزاد خول کے ساتھ مل کر ختم نہ ہو جائیں۔ یہ صورت حال شکل 2.53 ب میں دکھائی گئی ہے جہاں ساکن ایٹموں کو گول دائرے میں بند دکھایا گیا ہے۔ آزاد الیکٹرانوں اور آزاد خولوں کے اس حرکت سے پیدا نفوذی برقی رو کو  $I_D$  لکھتے ہیں جہاں نیچے کر کے نفوذ کے مستقل  $D$  لکھنے سے اس برقی رو کی بطور نفوذی برقی رو پہچان کی گئی ہے۔ نیم موصل سیلیکان از خود بے بار<sup>143</sup> ہوتا ہے۔ شکل ب کے دونوں جانب بے بار نیم موصل سیلیکان ہے جبکہ ان کے درمیانی سرحد پر بار بردار ساکن ایٹم نمودار ہو چکے ہیں۔ اس درمیانے خطے کو ویران خطہ<sup>144</sup> کہتے ہیں۔ یوں سرحد کے دائیں جانب مثبت ایٹم جبکہ اس کے بائیں جانب منفی ایٹم موجود ہیں۔ آپ جانتے ہیں کہ ایک جانب مثبت بار اور دوسرے جانب منفی بار کا وجود برقی شدت<sup>145</sup>  $E$  پیدا کرتا ہے اور ان کے مابین برقی دباؤ<sup>146</sup>  $V_0$  پایا جاتا ہے۔ یوں ویران خطے میں برقی شدت  $E$  پایا جائے گا۔

<sup>143</sup> neutral<sup>144</sup> depletion region<sup>145</sup> electric field intensity<sup>146</sup> voltage

اگر منفی نیم موصل حصے سے حرارتی توانائی کی بدولت حرکت کرتا آزاد خول<sup>147</sup> بھٹکتا ہوا ویران خطے میں داخل ہو جائے تو اس پر برقی شدت کی وجہ سے برقی قوت  $F = qE$  عمل کرے گی جو اسے مثبت نیم موصل حصے میں دھکیل دے گی۔ اسی طرح اگر مثبت نیم موصل حصے سے آزاد خول ویران خطے میں داخل ہو جائے تو اسے بھی مثبت نیم موصل حصے میں دھکیل دیا جاتا ہے۔

اگر مثبت نیم موصل حصے سے آزاد الیکٹران حرارتی توانائی کی بدولت حرکت کرتا ویران خطے پہنچ جائے تو اس پر برقی قوت  $F = -qE$  عمل کر کے اسے منفی نیم موصل حصے میں دھکیل دے گی۔ اسی طرح اگر منفی نیم موصل حصے سے آزاد الیکٹران ویران خطے میں داخل ہو جائے تو اسے بھی منفی نیم موصل حصے میں دھکیل دیا جاتا ہے۔

آپ دیکھ سکتے ہیں کہ یہ برقی شدت سے پیدا بہاؤ کا عمل ہے۔ اس عمل سے پیدا برقی رو  $I_S$  کو شکل میں دکھایا گیا ہے۔ چونکہ اس خطے میں کسی قسم کا آزاد بار زیادہ دیر نہیں ٹھہر سکتا اس لئے اسے ویران خطہ<sup>148</sup> کہتے ہیں۔

برقی رو  $I_S$  کی مقدار کا دارومدار حرارتی توانائی سے حرکت کرتے ان آزاد الیکٹرانوں اور آزاد خولوں پر ہے جو ویران خطے میں بھٹک جائیں۔ اس کے برعکس برقی رو  $I_D$  کی مقدار دونوں نیم موصل خطوں میں شامل کئے گئے ملاوٹی ایٹموں کی تعدادی کثافت اور رکاوٹی برقی دباؤ  $V_0$  پر ہے۔ یوں  $I_D$  کی مقدار  $V_0$  بڑھنے سے کم ہوتی ہے۔

جس لمحہ مثبت اور منفی نیم موصل سیلیکان کو آپس میں جوڑا جائے اس لمحہ<sup>149</sup> صرف  $I_D$  برقی رو پائی جائے گی۔ جیسے جیسے ویران خطے کے حدود بڑھیں گے ویسے ویسے  $E$  اور  $V_0$  کی مقداریں بڑھیں گے اور یوں  $I_D$  کی مقدار گھٹے گی جبکہ  $I_S$  کی مقدار بڑھے<sup>150</sup> گی۔ آخر کار ان دو قسموں کی برقی رو کی مقداریں برابر ہو جائیں گی (یعنی  $I_D = I_S$ ) اور نیم موصل جڑوا سیلیکان متوازن صورت اختیار کر لے گا۔

متوازن صورت حال کے حصول کے بعد اگر کسی وجہ سے  $I_D$  کی قیمت بڑھ جائے تو اس سے مزید بار بردار ایٹم نمودار ہوں گے جس سے  $E$  اور  $V_0$  کی قیمت میں اضافہ ہو گا جس سے  $I_D$  کے اضافے کی روک تھام ہو گی اور ایک مرتبہ دوبارہ متوازن صورت حال پیدا ہو گا۔ اس کے برعکس اگر کسی وجہ سے  $I_D$  کی قیمت میں کمی آئے تو چونکہ  $I_S$  مسلسل چالو<sup>151</sup> رہتا ہے لہذا بار بردار ایٹموں کی تعداد میں کمی آئے گی جس سے  $E$  اور  $V_0$

<sup>147</sup> یاد رہے کہ نیم موصل سیلیکان میں حرارتی توانائی کی بدولت ہر وقت حرارتی بار پیدا ہوتے رہتے ہیں۔

<sup>148</sup> depletion region

<sup>149</sup> ابھی ویران خطہ پیدا نہیں ہوا ہوتا لہذا  $I_S$  صفر ہوتا ہے

<sup>150</sup>  $I_S$  کی قیمت حرارتی توانائی سے حرکت کرتے آزاد باروں کے ویران خطے میں بھٹکنے پر منحصر ہے۔ ویران خطے کے حدود بڑھنے سے ایسا ہونے کے امکانات بڑھ جاتے ہیں۔

<sup>151</sup> عام حالات میں ویران خطے کے حدود نہایت کم تبدیل ہوتے ہیں لہذا  $I_S$  کی قیمت کو غیر تغیر پذیر یعنی اٹل تصور کیا جاتا سکتا ہے۔

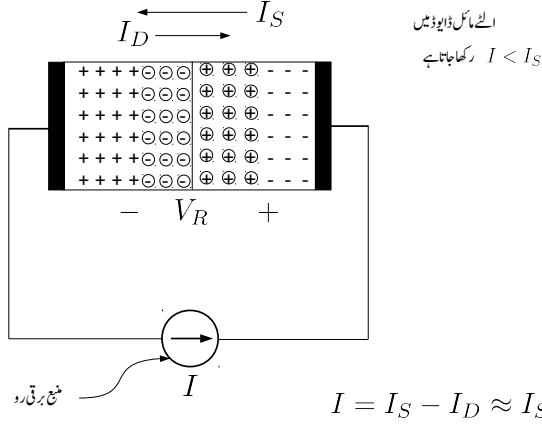
کی قیمتوں میں کمی آئے گی۔ رکاوٹی دباؤ میں کمی  $I_D$  کے گٹھنے کو روکے گی اور ایک مرتبہ دوبارہ متوازن صورت حال پیدا ہو گا۔

شکل میں دکھایا برقی دباؤ  $V_0$  نفوذ کے عمل کو روکتا ہے۔ اسی لئے اسے رکاوٹی برقی دباؤ<sup>152</sup> کہتے ہیں۔ سیلیکان میں رکاوٹی برقی دباؤ کی عمومی قیمت 0.6 V تا 0.8 V رہتی ہے۔ اس کی اوسط قیمت کو عموماً 0.7 V لیا جاتا ہے۔

مثال 2.12: اگر ڈایوڈ کے سروں کے مابین برقی تار جوڑی جائے تو کیا رکاوٹی برقی دباؤ کی وجہ سے برقی تار میں برقی رو پیدا ہوگی؟ حل: ہر گز نہیں۔ اگر ایسا ممکن ہوتا تو ہم ڈایوڈ سے لگاتار توانائی حاصل کر سکتے ہوتے جو کہ قانون برائے بقائے توانائی کے خلاف ہے۔

حقیقت میں ڈایوڈ کے سروں پر نیم موصل اور دھاتی برقی تار کے جوڑ پر برقی دباؤ پیدا ہوتا ہے جو رکاوٹی برقی دباؤ کے عین برابر اور اس کے الٹ جانب ہوتا ہے۔ اس طرح بیرونی برقی تار میں برقی رو نہیں پیدا ہوتی۔ نیم موصل اور برقی تار کے جوڑ پر پیدا برقی دباؤ ان کے آپس میں چھونے سے پیدا ہوتا ہے۔

مثال 2.13: رکاوٹی برقی دباؤ  $V_0$  کو وولٹ میٹر<sup>153</sup> سے کیسے ناپا جاتا ہے۔ حل: رکاوٹی برقی دباؤ کو وولٹ میٹر سے ناپنا ممکن نہیں۔ رکاوٹی برقی دباؤ ناپتے وقت جیسے ہی میٹر کی برقی تاریں ڈایوڈ کے سروں کو چھوتے ہیں، ان سروں پر برقی دباؤ پیدا ہوتا ہے جو رکاوٹی برقی دباؤ کے بالکل برابر اور اس کے الٹ سمت میں ہوتا ہے۔ یوں وولٹ میٹر صفر وولٹ جواب دیتا ہے۔



شکل 2.54: اُلٹا مائل ڈایوڈ

## 2.18 اُلٹا مائل ڈایوڈ

اُلٹے مائل ڈایوڈ میں برقی رو نہیں گزرتی یعنی اُلٹا مائل ڈایوڈ <sup>154</sup> منقطع رہتا ہے۔ اس حقیقت پر اس حصہ میں غور کیا جائے گا۔ اُلٹے مائل ڈایوڈ کی کارکردگی سمجھنا اس میں الٹی جانب برقی رو پر غور کرنے سے زیادہ آسان ہوتا ہے۔

اُلٹے مائل ڈایوڈ پر شکل 2.54 کی مدد سے غور کرتے ہیں جہاں بیرونی منبع برقی رو <sup>155</sup>، ڈایوڈ میں الٹی جانب برقی رو  $I$  گزرتا ہے۔ منبع برقی رو اس آلہ کو کہتے ہیں جو درکار برقی رو مہیا کر سکے۔ تصور کریں کہ  $I$  کی قیمت ڈایوڈ کے اندرونی بہاؤ سے پیدا برقی رو  $I_S$  سے کم ہے۔ عام حالات میں اُلٹے مائل ڈایوڈ میں ایسا ہی ہوتا ہے۔ حصہ 2.19 میں اس صورت پر غور ہو گا جب  $I$  کی قیمت  $I_S$  سے تجاوز کر جائے۔

بیرون ڈایوڈ، برقی رو موصل تار میں الیکٹرانوں کی حرکت سے پیدا ہوتی ہے۔ برقی تار میں الیکٹران برقی رو  $I$  کے الٹ جانب حرکت کرتے ہیں۔ یوں شکل میں ڈایوڈ کے دائیں جانب یعنی اس کے منفی نیم موصل حصے سے آزاد الیکٹران نکل کر برقی تار میں داخل ہوتے ہیں جس سے اس خطے میں مزید ایٹم بے پردہ یعنی بار بردار ہو کر ویران خطے کی لمبائی بڑھاتے ہیں۔

cut off<sup>154</sup>  
current source<sup>155</sup>

اسی طرح شکل میں ڈایوڈ کے بائیں جانب یعنی اس کے مثبت نیم موصل حصے میں برقی تار سے الیکٹران پہنچتے ہیں۔ آزاد خول اس سرے کے جانب حرکت کر کے ان الیکٹرانوں کے ساتھ مل کر ختم ہوتے ہیں۔ مثبت نیم موصل میں آزاد خولوں کے خاتمے کی وجہ سے یہاں بار بردار ایٹموں کی تعداد بڑھتی ہے اور یہاں کے ویران خطے کا رقبہ بھی بڑھتا ہے۔

ڈایوڈ میں ویران خطے کے بڑھنے سے رکاوٹی برقی دباؤ کی قیمت میں  $V_R$  کا اضافہ ہوتا ہے جس سے نفوذی برقی رو  $I_D$  کی قیمت نہایت کم ہو جاتی ہے۔ یہ اضافی رکاوٹی برقی دباؤ یعنی  $V_R$  ڈایوڈ کے سروں پر نمودار ہو جاتا ہے جسے ولٹ میٹر کی مدد سے ناپا جاسکتا ہے۔

کرخوف کے قانون برائے برقی رو کے تحت

$$(2.58) \quad I = I_S - I_D$$

اگر  $I_D$  کی قیمت نہایت کم ہو جائے، جیسا کہ عموماً ہوتا ہے، تو اس صورت میں اس مساوات کو یوں لکھ سکتے ہیں۔

$$(2.59) \quad I \approx I_S$$

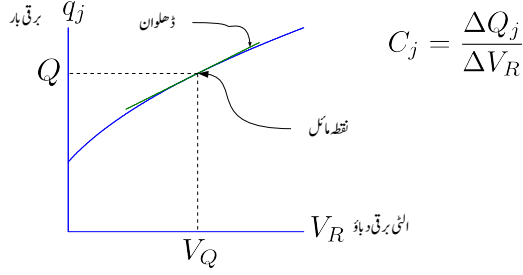
اس مساوات کے تحت اُلٹے مائل ڈایوڈ میں اُلٹی جانب برقی رو کی قیمت  $I_S$  کے برابر ہوتی ہے۔ مساوات 2.4 بھی یہی کہتا ہے۔  $I_S$  کی قیمت نہایت کم ہوتی ہے اور اسے عموماً صفر تصور کیا جاتا ہے۔

یوں ڈایوڈ کو اُلٹا مائل کرنے سے اس میں اُلٹی جانب لمحاتی برقی رو<sup>156</sup> <sup>157</sup> گزرتی ہے جو رکاوٹی برقی دباؤ کو تیزی سے اتنا بڑھا دیتا ہے کہ ڈایوڈ میں صرف  $I_S$  کے برابر برقی رو رہ جائے۔

آپ نے دیکھا کہ اگر منبع برقی دباؤ<sup>158</sup> کے ذریعہ ڈایوڈ کو اُلٹا مائل کیا جائے تو جب تک اُلٹے برقی دباؤ کی قیمت ڈایوڈ کے برداشت کی حد سے تجاوز نہ کر جائے اس وقت تک ڈایوڈ میں اُلٹی جانب صرف  $I_S$  برقی رو گزرے گی جو کہ ایک نہایت کم مقدار ہے۔ اس لئے اُلٹے مائل ڈایوڈ کو منقطع<sup>159</sup> تصور کیا جاتا ہے۔

یہاں یہ بتلانا ضروری ہے کہ حقیقت میں اُلٹے مائل ڈایوڈ میں  $I_S$  سے کئی گنا زیادہ برقی رو گزرتی ہے اور اس کی قیمت درحقیقت اُلٹے لاگو برقی دباؤ پر منحصر ہوتی ہے۔ اس کی وجہ یہ ہے کہ اوپر دیا گیا نظریہ حقیقی حالات کا ایک سادہ نمونہ ہے جو اُلٹے مائل صورت کی پیچیدگیاں نظر انداز کرتا ہے۔ ایک ڈایوڈ جس کی  $I_S$  کی قیمت  $10^{-15}$  A کے برابر ہو حقیقت میں اُلٹی جانب  $10^{-9}$  A تک برقی رو گزار سکتا ہے۔ چونکہ حقیقت میں اُلٹی جانب گزرتی برقی رو کی قیمت بھی نہایت کم ہوتی ہے لہذا اُلٹے مائل ڈایوڈ کو منقطع ہی تصور کیا جاتا ہے۔

<sup>156</sup> برداشت الٹے بحالہ دورانیہ  
reverse recovery time<sup>157</sup>  
voltage source<sup>158</sup>  
cut off<sup>159</sup>



شکل 2.55: بار بالمتقابل الٹا برقی دباؤ اور کپیسٹنس

### 2.18.1 الٹا مائل ڈایوڈ بطور کپیسٹر

آپ نے دیکھا کہ ڈایوڈ میں جوڑ کے ایک جانب مثبت ایٹم اور دوسری جانب منفی ایٹم نمودار ہو جاتے ہیں۔ یوں جوڑ کے ایک جانب ویران خطے میں مثبت بار  $(+q)$  اور دوسری جانب ویران خطے میں اس کے برابر مگر منفی بار یعنی  $(-q)$  پیدا ہوتا ہے۔ ان دو اقسام کے باروں کے درمیان رکاوٹی برقی دباؤ  $V_0$  پیدا ہوتا ہے۔ اگر ڈایوڈ پر الٹی برقی دباؤ  $V_R$  باہر سے لاگو کی جائے تو مزید بار بردار ایٹم نمودار ہوتے ہیں جس سے جوڑ کے دونوں جانب بار کی مقدار بڑھ جاتی ہے اور رکاوٹی برقی دباؤ میں  $V_R$  کا اضافہ ہو جاتا ہے۔ جوڑ پر بار  $q_j$  اور بیرونی برقی دباؤ  $V_R$  کا خط شکل 2.55 میں دکھایا گیا ہے۔ یہاں ایک لمحہ رک کر غور کریں کہ کیا ویران خطے کے دونوں جانب بار کے تہہ اور ان کے مابین رکاوٹی برقی دباؤ ایک کپیسٹر<sup>160</sup> نہیں بن جاتے۔ یقیناً ایسا ہی ہے۔ آپ کپیسٹر کی مساوات

$$Q = CV \quad (2.60)$$

سے بخوبی آشنا ہوں گے۔ اس مساوات میں برقی دباؤ اور بار خطی تعلق رکھتا ہے اور مساوات کا مستقل یعنی  $C$  کپیسٹر کی قیمت ہے۔ شکل 2.55 میں برقی دباؤ اور بار کا تعلق قدر مختلف ہے۔ اس خط پر کسی بھی نقطہ پر  $C_j$  کو یوں بیان کیا جاتا ہے۔

$$C_j = \left. \frac{dq_j}{dV_R} \right|_{V_Q} \quad (2.61)$$

شکل میں آپ دیکھ سکتے ہیں کہ کسی بھی نقطہ پر کپیسٹر کی قیمت درحقیقت اس نقطہ پر خط کے ڈھلوان کے برابر ہوتا ہے۔ یوں اس خط کی مدد سے کسی بھی نقطہ پر ڈایوڈ کی کپیسٹنس حاصل کرنے کی خاطر اس نقطہ پر مماس کا خط بنائیں

<sup>160</sup>capacitor

اور اس خط کی ڈھلوان حاصل کریں۔ یہی ڈیوڈ کی کپیسٹنس ہوگی۔

ڈیوڈ کی کپیسٹنس  $C_j$  کی قیمت مساوات 2.62 سے بھی حاصل کی جاسکتی ہے۔ یہ مساوات درحقیقت شکل 2.55 کے خط کو الجبرائی طور سے حل کرنے سے حاصل ہوتا ہے۔

$$(2.62) \quad C_j = \frac{C_{j0}}{\left(1 + \frac{V_R}{V_0}\right)^m}$$

جوڑ کے ایک جانب  $n$  ملاوٹی ایٹموں کی تعدادی کثافت کو جس انداز سے تبدیل کرتے ہوئے جوڑ کے دوسرے جانب  $p$  ملاوٹی ایٹموں کی تعدادی کثافت حاصل کی جاتی ہے،  $m$  کی قیمت اسی پر منحصر ہوتی ہے۔  $m$  کو شرح جزوبندی کہتے ہیں۔  $m$  کی عمومی قیمت  $\frac{1}{3}$  تا  $\frac{1}{2}$  ہے۔  $C_j$  کو ڈیوڈ کے جوڑ کی کپیسٹنس یا جوڑ کی کپیسٹنس<sup>161</sup> کہتے ہیں۔

سیدھے مائل ڈیوڈ کی الٹی کپیسٹنس  $C_j$  مساوات 2.62 میں  $V_R$  کی جگہ  $-V_{DQ}$  کے استعمال سے حاصل کرتے وقت دیکھا گیا ہے کہ صحیح حاصل نہیں ہوتا لہذا سیدھے مائل ڈیوڈ میں اس کی قیمت مندرجہ ذیل مساوات سے حاصل کی جاتی ہے۔

$$(2.63) \quad C_j = 2C_{j0}$$

## 2.19 بے قابو صورت

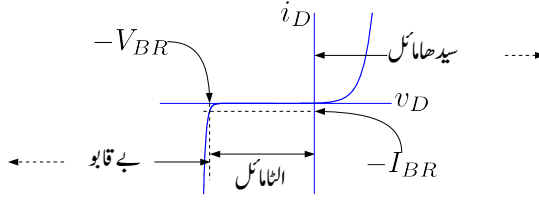
اگر ڈیوڈ الٹا مائل کرنے والے برقی دباؤ کو بتدریج بڑھایا جائے تو آخر کار یہ ڈیوڈ کے برداشت کی حد سے تجاوز کر جائے گا اور ڈیوڈ یکدم الٹی جانب بے قابو برقی رو گزرنے دے گا۔ اس برقی دباؤ کو ناقابل برداشت برقی دباؤ<sup>162</sup>  $V_{BR}$  کہتے ہیں۔ ڈیوڈ میں یکدم الٹی جانب برقی رو کا گزرنا دو مختلف وجوہات کی بنا پر عمل میں آ سکتا ہے۔ نیم موصل سیلکان میں باروں کے تودہ<sup>163</sup> کی وجہ سے یا پھر زیر اثر<sup>164</sup> سے ڈیوڈ میں یکدم بے قابو برقی رو گزار سکتا ہے۔ ان دونوں کو سمجھیں۔

<sup>161</sup> junction capacitance

<sup>162</sup> break down voltage

<sup>163</sup> avalanche

<sup>164</sup> کارنس میل ون زیر Zener Melvin Clarence نے زیر ڈیوڈ ایجاد کیا



شکل 2.56: ڈایوڈ کے برقی دباؤ بالقابل برقی رو کا خط

جب بھی الٹے مائل ڈایوڈ کے ویران خطے میں آزاد بار داخل ہو، اس پر برقی شدت  $E$  عمل کرتا ہے جس کی وجہ سے یہ تیزی سے ایک جانب ویران خطے سے نکل جاتا ہے۔ یوں اگر ایک آزاد الیکٹران ویران خطے میں داخل ہو تو یہاں کی برقی شدت  $E$  اس الیکٹران کو منفی نیم موصل خطے کی جانب دھکیل دیتا ہے۔ آزاد الیکٹران برقی شدت سے میکانیکی توانائی حاصل کرتے ہوئے اور ایٹموں کے ساتھ بار بار ٹکراتے ہوئے ویران خطے سے باہر جانب حرکت کرتا ہے۔

اگر آزاد الیکٹران برقی شدت سے اتنی میکانیکی توانائی حاصل کرے کہ اس کے ٹکرائے سے سیلیکان ایٹم ایک الیکٹران کھو بیٹھے تو اس صورت میں ویران خطے میں ایک آزاد الیکٹران جلد دوسرا آزاد الیکٹران پیدا کرے گا۔ یہ دو آزاد الیکٹران برقی شدت سے میکانیکی توانائی حاصل کرتے ہوئے دو مزید ایٹموں سے ٹکراتے ہوئے دو اور آزاد الیکٹران پیدا کریں گے اور یوں آزاد الیکٹرانوں کی تعداد بے قابو بڑھے گی جس سے ڈایوڈ میں الٹی جانب بے قابو برقی رو گزرے گی۔ یہ تمام بالکل برفانی تودہ گرنے کی طرح کا عمل ہے اور اسی لئے اس عمل کو بے قابو بوجہ تودہ <sup>165</sup> کہتے ہیں۔

ڈایوڈ کے الٹی جانب بے قابو ہونے کا دوسرا ذریعہ زیر عمل کہلاتا ہے۔ اگر الٹے مائل کرنے والے برقی دباؤ کے بڑھانے سے ویران خطے میں برقی شدت کی قیمت اتنی بڑھ جائے کہ اس کے کھینچنے سے ہی الیکٹران ایٹموں سے جدا ہو سکیں تو اس برقی دباؤ پر یکدم الٹی جانب بے قابو برقی رو گزرے گی۔ اس طرح الٹی جانب برقی رو گزارنے والے ڈایوڈ کو زیر ڈایوڈ <sup>166</sup> کہتے ہیں اور اس برقی دباؤ  $V_Z$  کو زیر برقی دباؤ <sup>167</sup> کہتے ہیں۔ زیر ڈایوڈ عموماً زیر عمل سے بے قابو حال میں ہی استعمال کئے جاتے ہیں۔ زیر ڈایوڈ کے خط کے بے قابو حصے کی ڈھلوان انتہائی زیادہ ہوتی ہے۔ زیر ڈایوڈ اس کے علاوہ بالکل عام ڈایوڈ کی مانند ہوتا ہے اور اسے عام ڈایوڈ کی جگہ استعمال کیا جاسکتا ہے۔

<sup>165</sup>avalanche breakdown

<sup>166</sup>zener diode

<sup>167</sup>zener voltage



عمومی طور پر پانچ وولٹ سے کم برقی دباؤ پر بے قابو ہونا زیئر عمل کی نشانی ہوتی ہے جبکہ سات وولٹ سے زیادہ برقی دباؤ پر بے قابو ہونا تودہ کے عمل کی نشانی ہوتی ہے۔ پانچ تا سات وولٹ کے مابین بے قابو ہونا زیئر اور تودہ دونوں کی وجہ سے ممکن ہوتا ہے۔

### 2.19.1 زیئر برقی دباؤ بالمقابل درجہ حرارت

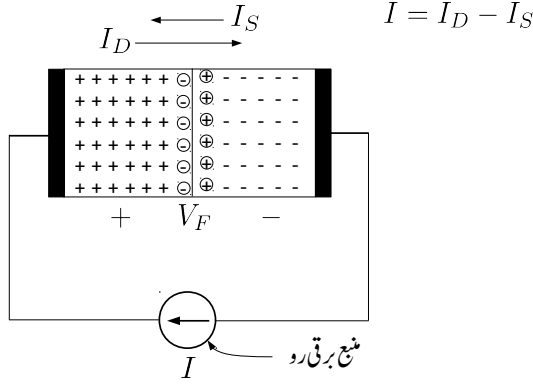
تقریباً 6V زیئر برقی دباؤ کے زیئر ڈایوڈ کی زیئر برقی دباؤ درجہ حرارت تبدیل ہونے سے تبدیل نہیں ہوتا۔ اس سے زیادہ زیئر برقی دباؤ والے زیئر ڈایوڈ کی زیئر برقی دباؤ درجہ حرارت بڑھانے سے بڑھتا ہے جبکہ اس سے کم زیئر برقی دباؤ والے زیئر ڈایوڈ کی زیئر برقی دباؤ درجہ حرارت بڑھانے سے گھٹتا ہے۔ یوں برقی دباؤ کے تبدیلی کی عمومی شرح کو ایک فی اکائی سیلسیئس لیتے ہوئے درجہ حرارت  $1^{\circ}\text{C}$  بڑھانے سے 7V زیئر ڈایوڈ کی زیئر برقی دباؤ 7.07V ہو جائے گا۔

### 2.20 سیدھامائل ڈایوڈ

سیدھے مائل چالو حال ڈایوڈ پر شکل 2.57 کی مدد سے غور کرتے ہیں جہاں ڈایوڈ کو بیرونی منبع برقی رو<sup>168</sup> کی مدد سے I فراہم کی گئی ہے۔ بیرونی برقی رو I، ڈایوڈ کے دونوں سروں پر اکثریتی بار فراہم کرتی ہے یعنی منفی نیم موصل کو آزاد الیکٹران اور مثبت نیم موصل کو آزاد خول۔ منفی نیم موصل کو فراہم کردہ آزاد الیکٹران اس جانب ویران خطے میں مثبت ایٹموں کے ساتھ مل کر انہیں بے بار بناتے ہیں جبکہ مثبت نیم موصل خطے میں مہیا کردہ آزاد خول اس جانب ویران خطے میں منفی ایٹموں کے ساتھ مل کر انہیں بے بار بناتے ہیں۔ یوں ویران خطے کی لمبائی کم ہو جاتی ہے اور یہاں کی رکاوٹی برقی دباؤ کی قیمت بھی کم ہو جاتی ہے۔ رکاوٹی برقی دباؤ کی قیمت کم ہونے سے نفوذی برقی رو  $I_D$  میں اضافہ ہوتا ہے۔ کرخوف کے مساوات برائے برقی رو کے مطابق یوں

$$(2.64)$$

$$I = I_D - I_S$$



شکل 2.57: سیدھا مائل ڈایوڈ

ہو گا۔ سیدھے مائل ڈایوڈ کی رکاوٹی برقی دباؤ میں  $V_F$  وولٹ کی کمی آتی ہے۔ یہ برقی دباؤ یعنی  $V_F$  ڈایوڈ کے سروں پر نمودار ہوتا ہے جسے وولٹ میٹر<sup>169</sup> کی مدد سے ناپا جاسکتا ہے۔  $V_F$  ناپتے وقت ڈایوڈ کا مثبت نیم موصل سر از زیادہ برقی دباؤ پر ہوتا ہے۔

اسی طرح اگر ڈایوڈ کو منبع برقی دباؤ  $V_F$  سے سیدھا مائل کیا جائے تو ڈایوڈ کی اندرونی رکاوٹی برقی دباؤ میں  $V_F$  وولٹ کی کمی پیدا ہوگی اور اس میں مساوات 2.64 کے تحت برقی رو گزرے گی۔

### 2.20.1 سیدھے مائل ڈایوڈ کی نفوذی کپیسٹنس

حصہ 2.18.1 میں ایلے مائل ڈایوڈ کے ویران خطے کی دونوں جانب باروں کے جمع ہونے سے پیدا کپیسٹنس پر غور کیا گیا جہاں آخر میں سیدھے مائل ڈایوڈ کی کپیسٹنس کا بھی ذکر کیا گیا۔ سیدھے مائل ڈایوڈ میں ایک اور نوعیت کی کپیسٹنس پائی جاتی ہے جس پر اس حصے میں غور کیا جائے گا۔ اس کپیسٹنس کو ڈایوڈ کی نفوذی کپیسٹنس<sup>170</sup> پکارا جائے گا۔

<sup>169</sup> volt meter  
<sup>170</sup> diffusion capacitance

آپ جانتے ہیں کہ ڈایوڈ میں الیکٹران ایک خالی جگہ سے دوسری خالی جگہ منتقل ہو کر برقی رو کو جنم دیتا ہے۔ اگر ایک خالی جگہ سے دوسری خالی جگہ منتقل ہونے کے لئے درکار اوسط دورانیہ  $\tau$  سیکنڈ ہو تب اوسط برقی رو  $I_D = \frac{Q}{\tau}$  ہوگی جہاں  $Q$  اوسط بار ہے۔ یوں ڈایوڈ کی مساوات کو یوں لکھا جاسکتا ہے

$$(2.65) \quad I_D = \frac{Q}{\tau} = I_{Se} \frac{V_D}{V_T}$$

اگر ہم سیدھے کپیسٹر کی تعریف  $C_d = \frac{dQ}{dV_D}$  کریں تب مندرجہ بالا مساوات سے

$$(2.66) \quad C_d = \frac{I_D \tau}{V_T}$$

حاصل ہوتا ہے۔ آپ دیکھ سکتے ہیں کہ اس کپیسٹر کی قیمت سیدھے برقی رو کے برائے راست متناسب ہے اور یوں اس کی قیمت کافی زیادہ ممکن ہے۔ مثال کے طور پر اگر  $\tau = 1 \text{ s}$  اور  $I_D = 1 \text{ mA}$  ہو تب  $C_d = 40 \text{ pF}$  ہوگا۔ ڈایوڈ استعمال کرتے تیز رفتار عددی ادوار<sup>171</sup> میں یہ وہ کپیسٹنس ہے جو بلند تر تعدد کی حد تعین کرتا ہے۔

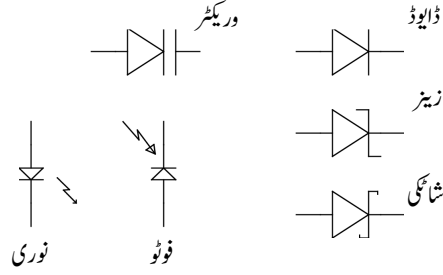
## 2.2.1 ڈایوڈ کے دیگر اقسام

زیر ڈایوڈ کی علاوہ دیگر اقسام کے ڈایوڈ بھی پائے جاتے ہیں۔ اس حصہ میں ان کا تعارف کرایا جائے گا۔ شکل 2.58 میں ان کے علامتیں دی گئی ہیں۔

### 2.2.1.1 شائکی ڈایوڈ

منفی نیم موصل اور مثبت نیم موصل کے ملاپ سے ڈایوڈ وجود میں آتا ہے۔ نیم موصل کے ساتھ دھات جوڑنے سے بھی ڈایوڈ وجود میں آتا ہے جسے شائکی ڈایوڈ<sup>172</sup> کہتے ہیں۔ ڈایوڈ کے علامت میں انگریزی حروف تہجی  $S$  کی شمولیت سے شائکی ڈایوڈ کی علامت حاصل ہوتی ہے۔ شائکی ڈایوڈ منفی نیم موصل اور دھات مسلاً پلاٹینم<sup>173</sup> کے ملاپ سے

digital circuits<sup>171</sup>  
schottky diode<sup>172</sup>  
platinum<sup>173</sup>



شکل 2.58: مختلف ڈایوڈ کے علامت

بنایا جاتا ہے۔ شائکی ڈایوڈ میں رکاوٹی برقی دباؤ کی قیمت 0.12 V تا 0.45 V ہوتا ہے جسے عمومی طور پر 0.3 V تصور کیا جاتا ہے۔

سیدھے مائل شائکی ڈایوڈ میں منفی نیم موصل سے الیکٹران کی ویران خطے سے گزر کر دھات تک پہنچنے سے برقی رواج میں آتی ہے۔ چونکہ دھات میں الیکٹران کی حرکت با آسانی ہوتی ہے لہذا دوبارہ جڑنے کا دورانیہ  $\tau$  نہایت کم ہوتا ہے۔  $\tau$  کی قیمت 10 ps کے لگ بھگ ہوتا ہے جو کہ pn ڈایوڈ کے دورانیہ سے کئی درجے کم ہے۔ اس طرح  $I_D = 1 \text{ ms}$  پر شائکی ڈایوڈ کا نفوذی کپیسٹر مساوات 2.66 سے  $C_d = 0.4 \text{ pF}$  حاصل ہوتا ہے۔

ان ڈایوڈ میں نہایت کم بار ذخیرہ ہوتا ہے۔ یوں انہیں انتہائی تیزی سے سیدھے مائل چالو حال سے اٹلے مائل منقطع حال یا اٹلے مائل منقطع حال سے سیدھے مائل چالو حال میں لایا جاسکتا ہے۔ نہایت بلند تعدد پر چلنے والے ادوار میں ان کا استعمال عام ہے۔

یہاں یہ بتلانا ضروری ہے کہ نیم موصل اور دھات کا ہر جوڑ شائکی ڈایوڈ نہیں بناتا۔ کسی بھی ڈایوڈ کو استعمال کرنے کی خاطر اس کے سروں پر دھاتی برقی تار جوڑا جاتا ہے۔ ایسے جوڑ جہاں شائکی ڈایوڈ پیدا نہیں ہوتا کو مزاحمتی جوڑ<sup>174</sup> کہتے ہیں۔ مزاحمتی جوڑ نہایت زیادہ ملاوٹ والے نیم موصل سطح پر دھات جوڑ کر بنائے جاتے ہیں۔

<sup>174</sup> ohmic contact

## 2.21.2 وریکٹر ڈایوڈ

الٹا مائل ڈایوڈ کے ویران خطے کے دونوں جانب بار پائے جاتے ہیں جس سے کپیسیٹر کا اثر پیدا ہوتا ہے۔ اس کپیسیٹر  $C_j$  کی قیمت الٹا مائل کرنے والے برقی دباؤ  $V_R$  پر منحصر ہے۔ یوں  $V_R$  تبدیل کر کے  $C_j$  کی قیمت تبدیل کی جاسکتی ہے۔ یوں الٹا مائل ڈایوڈ بطور قابل تبدیل کپیسیٹر کے استعمال کیا جاسکتا ہے جنہیں ریڈیو کو کسی چینل پر ٹیون کرنے کے لئے استعمال کیا جاتا ہے۔ اس مقصد کے لئے خاص ڈایوڈ بنائے جاتے ہیں جن میں  $C_j$  کی قیمت اور اس میں تبدیلی کی گنجائش کا زیادہ سے زیادہ رکھا جاتا ہے۔ ان ڈایوڈ کو وریکٹر ڈایوڈ<sup>175</sup> کہتے ہیں۔ اس کی علامت میں کپیسیٹر کی علامت شامل کر کے پہچان کی جاتی ہے۔

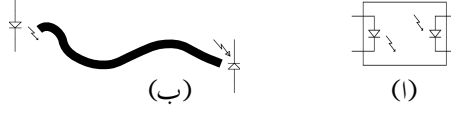
## 2.21.3 فوٹو ڈایوڈ یا شمسی ڈایوڈ

ڈایوڈ کے مثبت۔ منفی جوڑ پر روشنی چمکانے سے ویران خطے میں ضیائی ذرے یعنی فوٹان<sup>176</sup> شریکے گرتے ہیں<sup>177</sup> کو توڑ کر آزاد الیکٹران اور آزاد خول پیدا کرتے ہیں۔ ویران خطے میں برقی شدت ان باروں کو یہاں سے باہر نکال جاتے ہیں۔ یوں ڈایوڈ میں الٹے رخ برقی رو گزرتی ہے۔ ایسے ڈایوڈ کو شمسی ڈایوڈ<sup>178</sup> یا فوٹو ڈایوڈ پکارا جاتا ہے۔ فوٹو ڈایوڈ کو بطور شمسی پاور<sup>179</sup> استعمال کرنے کا رجحان دن بدن بڑھ رہا ہے اور یہ صاف و شفاف بجلی پیدا کرنے کا ذریعہ ہے۔ اس کی علامت میں تیر والے لکیر سے روشنی چمکانے کے عمل کو ظاہر کیا جاتا ہے۔ روشنی کا ایک ذرہ ایک شریک گرتی بند توڑتا ہے۔ یوں روشنی کی شدت بڑھا کر زیادہ آزاد بار پیدا کئے جاسکتے ہیں۔

## 2.21.4 نوری ڈایوڈ

فوٹو ڈایوڈ کے برعکس نوری ڈایوڈ<sup>180</sup> میں جب سیدھے رخ برقی رو گزاری جائے تو باروں کے ملاپ سے روشنی پیدا کی جاسکتی ہے۔ ایک الیکٹران اور ایک خول کے ملاپ سے ایک فوٹان وجود میں آتا ہے۔ یوں برقی رو کے بڑھانے سے پیدا روشنی کی شدت بڑھتی ہے۔ اس کی علامت میں تیر والے لکیر سے روشنی خارج کرنے کا عمل دکھا کر پہچان کی جاتی ہے۔

varactor diode<sup>175</sup>photon<sup>176</sup>covalent bond<sup>177</sup>photo diode<sup>178</sup>solar panel<sup>179</sup>light emitting diode LED<sup>180</sup>



شکل 2.59: ضیائی وابستہ کار اور ضیائی ذرائع ابلاغ

### 2.21.5 ضیائی وابستہ کار

شکل 2.59 الف میں ضیائی وابستہ کار<sup>181</sup> دکھایا گیا ہے جسے نوری ڈایوڈ اور شمسی ڈایوڈ کو ایک ہی ڈبے میں یوں بند کرتے بنایا گیا ہے کہ نوری ڈایوڈ سے خارج شعاعیں شمسی ڈایوڈ پر پڑیں۔ یوں اگر ضیائی وابستہ کار کے بائیں جانب نوری ڈایوڈ میں برقی رو گزاری جائے تو اس کے دائیں جانب شمسی ڈایوڈ سے برقی دباؤ حاصل ہو گا۔ اس طرح ضیائی وابستہ کار کے دونوں اطراف کا آپس میں برقی طور پر مکمل منقطع ہونے کے باوجود ایک جانب سے دوسری جانب برقی اشارہ منتقل کیا جاسکتا ہے۔ اس آلہ کو ایسے مقامات پر استعمال کیا جاتا ہے جہاں دو ادوار کو برقی طور پر منقطع رکھتے ہوئے ان کے مابین معلومات کی ترسیل کی ضرورت ہو۔

ضیائی وابستہ کار کے استعمال سے دو ادوار کے مابین برقی شور<sup>182</sup> کے منتقلی کو روکنے میں مدد ملتی ہے۔ اس کا استعمال عددی ادوار<sup>183</sup> کے علاوہ قوی برقیات<sup>184</sup> میں بھی بہت اہم ہے جہاں پانچ وولٹ پر چلنے والے مخلوط ادوار کی مدد سے ہزاروں وولٹ پر چلنے والے قوی برقیاتی ادوار کو قابو کیا جاتا ہے۔ طبی آلات میں اس کے استعمال سے مریض کو برقی جھٹکا لگنے کے امکانات کو ختم کیا جاتا ہے۔

### 2.21.6 ضیائی ذرائع ابلاغ

شکل 2.59 ب میں ضیائی ذرائع ابلاغ<sup>185</sup> کا نظام دکھایا گیا ہے جس کی کارکردگی کچھ یوں ہے۔ نوری ڈایوڈ اور شمسی ڈایوڈ کے مابین شیٹ ریٹھ<sup>186</sup> یوں نسب کیا جاتا ہے کہ نوری ڈایوڈ سے خارج شعاعیں شیٹ ریٹھ میں داخل ہوں اور

<sup>181</sup> optocoupler

<sup>182</sup> electrical noise

<sup>183</sup> digital circuits

<sup>184</sup> power electronics

<sup>185</sup> optical communication

<sup>186</sup> optical cable

شیش ریشہ کے دوسرے سرے سے خارج ہوتی شعاعیں شمسی ڈایوڈ پر پڑیں۔ یوں ایک جانب نوری ڈایوڈ میں برقی رو گزرنے سے تار کے دوسری جانب برقی دباؤ حاصل ہوتا ہے۔ اس نظام کو استعمال کرتے ہوئے ایک مقام سے دوسرے مقام اشارہ بھیجا جاسکتا ہے۔ موجودہ نظام ابلاغ اسی پر منحصر ہے۔ شیش ریشہ ایک ایسی تار کو کہتے ہیں جس میں روشنی کے شعاع بغیر گھٹے گزرتی ہے۔

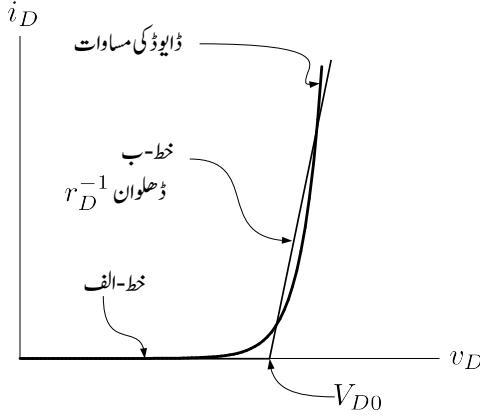
## 2.22 ڈایوڈ کے ریاضی نمونے

انجینئرنگ کے شعبے میں کسی چیز کا اصل بنانے سے پہلے اس کا ریاضی نمونہ<sup>187</sup> تیار کیا جاتا ہے۔ اس ریاضی نمونے پر مختلف تجربے کئے جاتے ہیں۔ ان تجربات کے نتائج کو مد نظر رکھتے ہوئے ڈیزائن کو بہتر بنایا جاتا ہے اور صرف اُس وقت اصل تیار کیا جاتا ہے جب ڈیزائن کامیاب ثابت ہو۔ موجودہ دور میں کمپیوٹر کا استعمال اس پہلو سے نہایت اہم ہے۔ یہاں یہ بتلانا ضروری ہے کہ انجینئرنگ مفاہمت کے بغیر، کمپیوٹر کے ریاضی نمونے استعمال کرتے کبھی بھی کوئی چیز تیار نہیں کی جاسکتی۔ کمپیوٹر صرف ایک آلہ ہے اور اس سے حاصل جوابات کی اہمیت کمپیوٹر استعمال کرنے والے کی قابلیت پر منحصر ہے۔

### 2.22.1 سیدھے خطوط کا ریاضی نمونہ

ڈایوڈ کی برقی رویا اس پر برقی دباؤ ڈایوڈ کی مساوات سے حاصل کی جاسکتی ہے۔ عموماً اوقات ہمیں عمومی جوابات مطلوب ہوتے ہیں اور ہم اس مساوات کو حل کرنے کی پیچیدگیوں میں نہیں پڑنا چاہتے۔ یہ بات خاص کر اس وقت کے لئے درست ہے جب قلم و کاغذ سے جواب حاصل کرنے کی کوشش کی جارہے ہو۔

شکل 2.60 میں ڈایوڈ کی مساوات کا گراف دکھایا گیا ہے۔ زیادہ باریکیوں کو نظر انداز کرتے ہوئے ڈایوڈ کے گراف کو دو سیدھے خط تصور کیا جاسکتا ہے جنہیں خط-1 اور خط-2 کہا گیا ہے۔ خط الف برقی دباؤ کے محور پر  $(0, 0)$  سے  $(V_{D0}, 0)$  تک ہے اور اس کی ڈھلوان صفر ہے جبکہ خط ب  $(V_{D0}, 0)$  سے شروع ہوتا ہے اور اس کی ڈھلوان  $\frac{1}{r_D}$  ہے۔ خط ب کی ڈھلوان اور نقطہ  $(V_{D0}, 0)$  اٹل نہیں ہیں بلکہ ان کو تبدیل کرتے ہوئے مختلف خطوں میں بہتر جوابات حاصل کئے جاسکتے ہیں۔ موجودہ مثال میں گراف کے اوپر والے حصے میں ڈایوڈ کی مساوات



شکل 2.60: مساوات کا سیدھے خطوط سے اظہار

اور خط ب سے حاصل جوابات میں فرق کم کرنے کی خاطر خط ب کی ڈھلوان بڑھائی جاسکتی ہے۔ ان دو سیدھے خطوط کو الجبرائی طرز پر یوں بیان کیا جائے گا

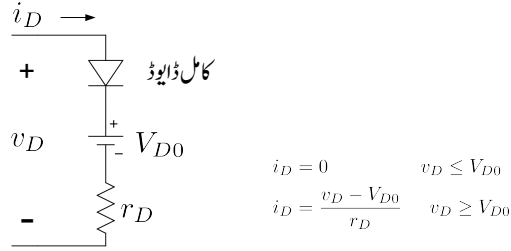
$$(2.67) \quad i_D = \begin{cases} 0 & v_D < V_{D0} \\ \frac{v_D - V_{D0}}{r_D} & v_D \geq V_{D0} \end{cases}$$

اور ان مساوات سے شکل 2.61 میں دکھایا وسیع اشاراتی سیدھے خطوط کا ریاضی نمونہ<sup>188</sup> حاصل ہوتا ہے۔ ڈایوڈ کے وسیع اشاراتی سیدھے خطوط کے ریاضی نمونے کو استعمال کرتے ہوئے  $i_D$  اور  $v_D$  کے تقریباً درست جوابات وسیع حدود کے اندر حاصل کئے جاسکتے ہیں۔ بعض اوقات ہمیں کسی ایک نقطے کے قریب قریب رہتے ہوئے زیادہ درست جواب درکار ہوتا ہے۔ شکل 2.62 الف میں اس نقطہ Q پر ڈایوڈ کی مساوات کا خط مماس دکھایا گیا ہے جس کی ڈھلوان  $r_d^{-1}$  ہے۔ ڈایوڈ کے سیدھے خطوط کے ریاضی نمونے میں  $r_d^{-1}$  استعمال کرتے ہوئے اس نقطے کے قریب بہترین جوابات حاصل ہوتے ہیں۔ باریک اشاراتی سیدھے خطوط کا ریاضی نمونہ<sup>189</sup> شکل 2.62 ب میں دکھایا گیا ہے۔

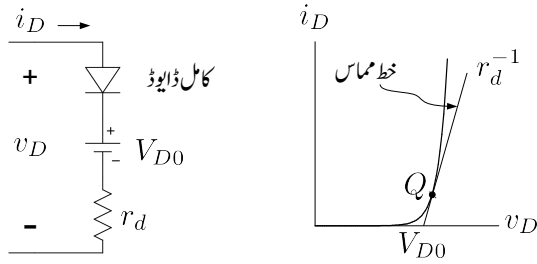
مثال 2.14: شکل 2.63 میں دئے گئے سیدھے خط کی مساوات حاصل کریں۔ شکل 2.60 کے ساتھ اس

<sup>187</sup> mathematical model  
<sup>188</sup> piece wise linear model  
<sup>189</sup> small signal piece wise linear model

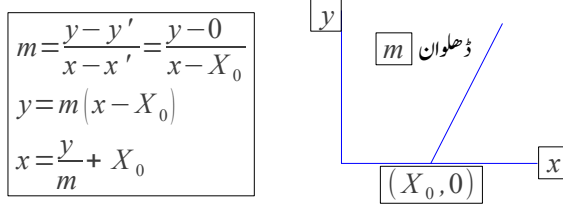




شکل 2.61: وسیع اشاراتی سیدھے خطوط کا ڈایوڈ ریاضی نمونہ



شکل 2.62: باریک اشاراتی سیدھے خطوط کا ڈایوڈ ریاضی نمونہ



شکل 2.63: سیدھے خط کی مساوات

کا موازنہ کرتے ہوئے مساوات 2.67 میں نیچے جزو کی مساوات حاصل کریں۔

حل: کسی بھی سیدھے خط جس کی ڈھلوان  $m$  ہو کی مساوات یوں لکھی جاسکتی ہے

$$m = \frac{y - y'}{x - x'}$$

جہاں  $(x', y')$  اس خط پر کوئی نقطہ ہے۔ شکل میں  $(X_0, 0)$  ایسا نقطہ ہے جو خط پر پایا جاتا ہے۔ یوں اس خط کی مساوات یوں لکھی جاسکتی ہے۔

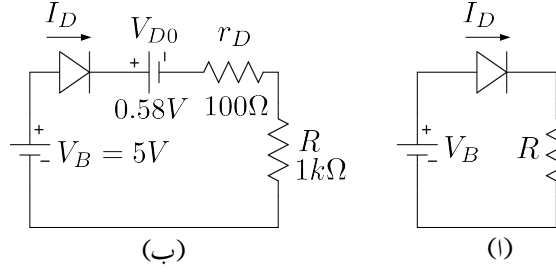
$$m = \frac{y - 0}{x - X_0}$$

اس کو مزید یوں دو طرح لکھا جاسکتا ہے۔

$$\begin{aligned} y &= m(x - X_0) \\ x &= \frac{y}{m} + X_0 \end{aligned} \quad (2.68)$$

شکل 2.60 پر غور کرتے ہوئے ہم دیکھتے ہیں کہ وہاں  $x$  اور  $y$  کی جگہ  $v_D$  اور  $i_D$  کا استعمال ہے جبکہ ڈھلوان  $\frac{1}{r_D}$  اور خط پر پائے جانے والا نقطہ  $(V_{D0}, 0)$  ہے۔ یوں مساوات 2.68 کے پہلے جزو کو اس طرح لکھا جائے گا۔

$$i_D = \frac{1}{r_D}(v_D - V_{D0}) = \frac{v_D - V_{D0}}{r_D}$$



شکل 2.64: سیدھے خطوط ڈایوڈ ریاضی نمونہ کی مثال

مثال 2.15: شکل 2.64 الف میں ڈایوڈ کی جگہ اس کے وسیع اشاراتی سیدھے خطوط کا ریاضی نمونہ استعمال کرتے ہوئے اسے حل کریں۔ اس ریاضی نمونے میں  $V_{D0} = 0.58\text{ V}$  اور  $r_D = 100\ \Omega$  لیں۔

حل: شکل ب میں ڈایوڈ کی جگہ اس کا ریاضی نمونہ نسب کیا گیا ہے جس سے

$$I_D = \frac{V_B - V_{D0}}{R + r_D} = \frac{5 - 0.58}{1000 + 100} = 4.018\text{ mA}$$

اور ڈایوڈ پر برقی دباؤ

$$V_D = V_{D0} + I_D r_D = 0.58 + 4.018 \times 10^{-3} \times 100 = 0.9818\text{ V}$$

حاصل ہوتا ہے۔

## 2.22.2 کامل ڈایوڈ ریاضی نمونہ

مندرجہ بالا ریاضی نمونوں میں سیدھے مائل ڈایوڈ پر برقی دباؤ  $v_D$  کو مختلف طریقوں سے نپٹا گیا۔ عموماً دور میں مختلف برقی دباؤ کی قیمتیں  $v_D$  سے کئی گنا ہوتی ہیں اور اس صورت  $v_D$  کی قیمت کو نظر انداز کیا جاسکتا ہے۔ ایسی جگہوں پر  $v_D = 0\text{ V}$  لیا جاسکتا ہے اور سیدھے مائل ڈایوڈ کو کامل<sup>190</sup> تصور کیا جاسکتا ہے۔

<sup>190</sup>ideal diode

مثال 2.16: مثال 2.15 میں اگر  $V_B = 200 \text{ V}$  اور  $R = 100 \text{ k}\Omega$  ہوں تب اس میں برقی رو سیدھے خطوط کے ریاضی نمونہ کی مدد سے اور دوبارہ کامل ریاضی نمونے کی مدد سے حاصل کریں۔

حل: سیدھے خطوط ریاضی نمونے سے

$$I_D = \frac{V_B - V_{D0}}{R + r_D} = \frac{200 - 0.58}{100000 + 100} = 1.9922 \text{ mA}$$

کامل ڈایوڈ کے ریاضی نمونے سے

$$I_D = \frac{V_B}{R} = \frac{200}{100000} = 2 \text{ mA}$$

آپ دیکھ سکتے ہیں کہ دونوں جواب تقریباً برابر ہیں۔

### 2.22.3 ڈایوڈ کا پست تعدد باریک اشاراتی ریاضی نمونہ

حصہ 2.12 میں باریک اشاراتی مزاحمت  $r_d$  پر تذکرہ کیا گیا۔ اس حصے میں اس پر مزید غور کیا جائے گا۔ شکل 2.65 الف میں  $V_D$  ڈایوڈ کا نقطہ کارکردگی تعین کرتا ہے جبکہ  $v_d$  باریک اشارہ ہے۔ یوں کسی بھی لمحہ ڈایوڈ پر کل برقی دباؤ

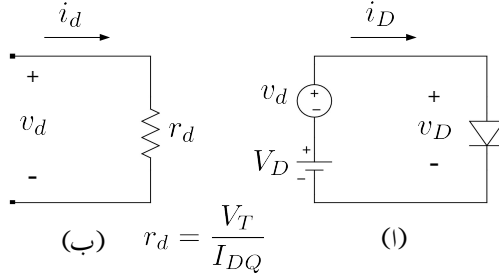
$$(2.69) \quad v_D = V_D + v_d$$

ہو گا اور اس میں برقی رو

$$(2.70) \quad i_D = I_D + i_d$$

ہو گی۔  $V_D$  اور  $I_D$  یک سمتی مقداریں ہیں۔ دراصل یہ  $V_{DQ}$  اور  $I_{DQ}$  ہی ہیں۔ صفر اشارہ یعنی  $v_d = 0 \text{ V}$  کی صورت میں  $v_D = V_D$  ہو گا اور ڈایوڈ کی مساوات سے

$$(2.71) \quad i_D = I_S e^{\frac{v_D}{V_T}} = I_{DQ}$$



شکل 2.65: پست تعدد باریک اشاراتی ریاضی نمونہ

حاصل ہوتا ہے۔ بدلتے اشارہ کی موجودگی میں ڈایوڈ کی مساوات کو یوں لکھ سکتے ہیں۔

$$(2.72) \quad i_D \approx I_S e^{\frac{v_D}{V_T}} = I_S e^{\frac{V_{DQ} + v_d}{V_T}} = I_{DQ} e^{\frac{v_d}{V_T}}$$

جہاں مساوات 2.71 کا استعمال کیا گیا۔ سلسلہ مکلا رین<sup>191</sup> سے اسے مزید یوں لکھ سکتے ہیں۔

$$(2.73) \quad i_D = I_{DQ} \left[ 1 + \frac{1}{1!} \frac{v_d}{V_T} + \frac{1}{2!} \left( \frac{v_d}{V_T} \right)^2 + \dots \right]$$

اس مساوات میں اگر  $v_d$  کی قیمت  $V_T$  کے قیمت سے بہت کم ہو (یعنی  $v_d \ll V_T$ ) تو پہلے دو جزو کے علاوہ بقایا کو نظر انداز کرنا ممکن ہو گا اور اسے یوں لکھا جاسکتا ہے۔

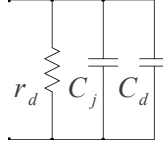
$$(2.74) \quad i_D \approx I_{DQ} \left( 1 + \frac{v_d}{V_T} \right)$$

جس سے حاصل ہوتا ہے

$$(2.75) \quad i_D \approx I_{DQ} + \left( \frac{I_{DQ}}{V_T} \right) v_d = I_{DQ} + \frac{v_d}{r_d}$$

جہاں مساوات 2.35 میں حاصل کیا گیا ڈایوڈ کا باریک اشاراتی مزاحمت  $r_d = \frac{V_T}{I_{DQ}}$  استعمال کیا گیا۔ چونکہ  $i_D = I_{DQ} + i_d$  ہوتا ہے لہذا مساوات 2.75 کا پہلا جزو نقطہ کارکردگی پر یک سمتی برقی رو  $I_{DQ}$  ہے جبکہ

<sup>191</sup> Maclaurin's series  $(e^x = 1 + \frac{x}{1!} + \frac{x^2}{2!} + \dots)$

$$\begin{aligned}
 r_d &= \frac{V_T}{I_{DQ}} \\
 C_j &= \frac{C_{j0}}{\left(1 - \frac{V_{DQ}}{V_o}\right)^n} \quad V_{DQ} < 0 \\
 C_j &\approx 2 C_{j0} \quad V_{DQ} > 0 \\
 C_d &= \frac{\tau I_{DQ}}{V_T}
 \end{aligned}$$


شکل 2.66: بلند تعدد باریک اشاراتی ڈایوڈ ریاضی نمونہ

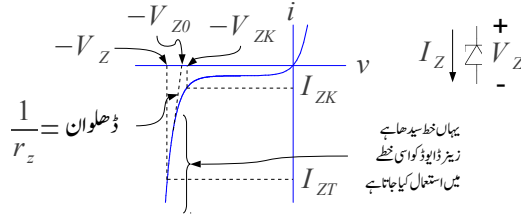
اس کا دوسرا جزو بدلتے اشارہ  $v_d$  پر منحصر برقی رو  $i_d$  ہے یعنی

$$(2.76) \quad i_d = \frac{v_d}{r_d}$$

ڈایوڈ کا پستے تعدد باریک اشاراتی ریاضی نمونہ شکل 2.65 ب میں دکھایا گیا ہے۔ آپ تسلی کر سکتے ہیں کہ پستے تعدد باریک اشاراتی ریاضی نمونہ بھی برقی رو  $i_d$  پر مساوات 2.76 کی طرح برقی دباؤ  $v_d$  دیتا ہے۔ ڈایوڈ کا باریک اشاراتی ریاضی نمونہ صرف ڈایوڈ کے باریک اشاراتی مزاحمت  $r_d$  پر مشتمل ہے۔

#### 2.22.4 ڈایوڈ کا بلند تعدد باریک اشاراتی ریاضی نمونہ

اب تک ہم ڈایوڈ کے وہ ریاضی نمونے دیکھتے رہے جو کم تعدد پر ڈایوڈ کے کارکردگی پر صحیح اترتے ہیں۔ اگر بلند تعدد کے اشارات پر ڈایوڈ کی کارکردگی پر غور کرنا ہو تو ڈایوڈ کا بلند تعدد باریک اشاراتی ریاضی نمونہ استعمال کرنا ہو گا جو ڈایوڈ کے اندرونی کپیسٹرز کا بھی حساب رکھتا ہو۔ ڈایوڈ کے اندرونی کپیسٹر دو طرح کے ہوتے ہیں۔ پہلا کپیسٹر  $C_j$  ویران خطے کے دونوں جانب الٹ برقی باروں کی وجہ سے پیدا ہوتا ہے جبکہ دوسرے قسم کا کپیسٹر  $C_d$  باروں کے بہاؤ سے پیدا ہوتا ہے۔ ان کپیسٹروں کو ڈایوڈ کے پستے تعدد باریک اشاراتی ریاضی نمونہ میں مزاحمت  $r_d$  کے متوازی نسب کر کے ڈایوڈ کا بلند تعدد باریک اشاراتی ریاضی نمونہ<sup>192</sup> حاصل ہوتا ہے جسے شکل 2.66 میں دکھایا گیا ہے۔ وسیع حیطے کے اشارات کے استعمال کے لئے اس ریاضی نمونے میں وسیع اشارہ کے کپیسٹر  $C_J$  اور  $C_D$  استعمال کئے جائیں گے۔



شکل 2.67: زیئر ڈایوڈ کے خط پر اہم نقطے

## 2.23 زیئر ڈایوڈ اور اس کا ریاضی نمونہ

شکل 2.67 میں زیئر ڈایوڈ کے برقی دباؤ بالمقابل برقی رو کا خط اور اس کی علامت دکھائی گئی ہے۔ اس کی علامت میں انگریزی حروف تہجی Z شامل کر کے اس کی پہچان کی جاتی ہے۔ سیدھا مائل زیئر ڈایوڈ بالکل ایک عام ڈایوڈ کے مانند کام کرتا ہے اور اسے آپ عام ڈایوڈ کی جگہ استعمال کر سکتے ہیں۔ بس یہ ذہن میں رکھیں کہ عام ڈایوڈ استعمال کرتے وقت ہم کبھی نہیں چاہتے کہ یہ الٹی برقی رو گزرنے دے جبکہ زیئر ڈایوڈ کو عموماً ان مقامات پر استعمال کیا جاتا ہے جہاں اس میں الٹی برقی رو ہی گزاری جاتی ہے۔ زیئر ڈایوڈ کے خط پر جہاں برقی رو بڑھنے شروع ہوتی ہے اسے زیئر ڈایوڈ کا گھٹنا<sup>193</sup> کہتے ہیں۔<sup>194</sup> زیئر ڈایوڈ بنانے والے صنعت کار زیئر ڈایوڈ کے گھٹنے پر برقی دباؤ  $V_{ZK}$  اور برقی رو  $I_{ZK}$  کی قیمت فراہم کرتے ہیں۔ چونکہ زیئر ڈایوڈ عموماً الٹا مائل رکھا جاتا ہے لہذا، جیسا شکل 2.67 میں دکھایا گیا ہے، اس پر برقی دباؤ اور اس میں برقی رو عام ڈایوڈ کے الٹ ناپی جاتی ہے۔ اس طرح اگر خط پر منفی تیس وولٹ  $-30\text{ V}$  پر زیئر گھٹنا پایا جائے تو صنعت کار اس کی قیمت  $V_{ZK} = 30\text{ V}$  فراہم کرے گا۔

اسی طرح صنعت کار، زیئر برقی دباؤ  $V_Z$  کی عمومی قیمت کسی خاص برقی رو  $I_{ZT}$  پر ناپ کر فراہم کرتا ہے۔ زیئر ڈایوڈ کو عموماً اس کے زیئر برقی دباؤ سے بھی پکارا جاتا ہے یعنی  $V_Z = 10\text{ V}$  کی صورت میں اسے دس وولٹ کا زیئر کہا جائے گا۔

اگر زیئر ڈایوڈ پر برقی دباؤ  $V_Z$  اور اس میں گزرتی برقی رو  $I_Z$  ہو تو اس میں برقی طاقت کے ضیاع<sup>195</sup>  $P$

<sup>193</sup> زیئر خط پر زیئر گھٹنا بالکل انسانی گھٹنے کی طرح معلوم ہوتا ہے۔

<sup>194</sup> knee

<sup>195</sup> power loss

کا تخمینہ یوں لگایا جاتا ہے۔

$$(2.77) \quad P = V_Z \times I_Z$$

صنعت کار زیئر ڈایوڈ میں برقی طاقت کے ضیاع کی مقررہ حد بھی فراہم کرتا ہے۔ زیئر ڈایوڈ استعمال کرتے وقت اس حد سے کسی صورت تجاوز کرنے سے زیئر ڈایوڈ تباہ ہو جاتا ہے۔

یوں اگر 5.6 V اور 0.25 W کے زیئر میں 10 mA کا برقی رو گزر رہا ہو تو اس میں برقی طاقت کا ضیاع  $5.6 \times 0.01 = 56 \text{ mW}$  ہو گا جو کہ اس زیئر ڈایوڈ کے طاقت کے ضیاع کی حد یعنی 0.25 W سے کم ہے لہذا زیئر ڈایوڈ صحیح سلامت کام کرتا رہے گا۔ اس کے برعکس اگر اسی زیئر میں 100 mA برقی رو گزرے تو اس میں برقی طاقت کا ضیاع  $5.6 \times 0.1 = 0.56 \text{ W}$  ہو گا جو کہ 0.25 W سے زیادہ ہے۔ اس صورت زیئر ڈایوڈ گرم ہو کر تباہ ہو جائے گا۔ ڈیزائن انجینئر<sup>196</sup> عموماً زیئر ڈایوڈ میں برقی طاقت کے ضیاع کو مقررہ حد کے نصف سے نیچے ہی رکھتے ہیں۔ یوں اس زیئر ڈایوڈ میں ڈیزائن انجینئر کبھی بھی 22 mA سے زیادہ برقی رو نہیں گزرنے دے گا۔ 22 mA پر طاقت کا ضیاع  $5.6 \times 0.022 = 0.123 \text{ W}$  ہو گا جو کہ تقریباً 0.25 W کا نصف ہے۔

زیئر ڈایوڈ میں برقی طاقت کے ضیاع سے حرارتی توانائی پیدا ہوتی ہے جس سے زیئر ڈایوڈ کا درجہ حرارت بڑھتا ہے۔ اگر زیئر ڈایوڈ سے حرارتی طاقت کے اخراج کی شرح اس میں برقی طاقت کے ضیاع سے پیدا حرارتی طاقت کی شرح سے کم ہو تو زیئر ڈایوڈ کا درجہ حرارت بڑھتے بڑھتے ناقابل برداشت ہو جاتا ہے جس سے یہ تباہ ہو جاتا ہے۔ برقیاتی پرزہ جات عموماً اسی طریقے سے تباہ ہوتے ہیں۔ درجہ حرارت بڑھنے سے نیم موصل مادہ پگھل جاتا ہے اور یوں پرزہ تباہ ہو جاتا ہے۔

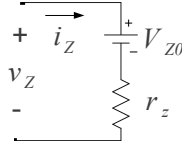
زیئر ڈایوڈ کے خط کی ڈھلوان اور اس کے باریک اشاراتی زیئر مزاحمت  $r_z$  کا تعلق عام ڈایوڈ کی طرح ہی ہے یعنی

$$(2.78) \quad \frac{1}{r_z} = \text{ڈھلوان}$$

بس فرق صرف اتنا ہے کہ زیئر ڈایوڈ یوں بنایا جاتا ہے کہ اس کی ڈھلوان زیادہ سے زیادہ ہو۔ یوں اس کی اشاراتی زیئر مزاحمت کم سے کم ہوتی ہے جس سے زیئر ڈایوڈ میں برقی رو کے تبدیلی سے اس پر برقی دباؤ میں کم سے کم تبدیلی رو نما ہوتی ہے۔ چونکہ  $r_z = \frac{\Delta v_Z}{\Delta i_Z}$  ہوتا ہے لہذا اس بات کو یوں لکھا جاسکتا ہے

$$(2.79) \quad \Delta v_Z = \Delta i_Z r_z$$





شکل 2.68: زیئر ڈایوڈ کا ریاضی نمونہ

آپ دیکھ سکتے ہیں کہ  $r_z$  کی قیمت جتنی کم ہو برقی رو کے تبدیلی سے برقی دباؤ میں اتنی کم تبدیلی رونما ہوگی۔

زیئر ڈایوڈ کا ریاضی نمونہ حاصل کرنے کی خاطر اس کے خط کو نقطہ  $(V_Z, I_Z)$  سے ڈھلوان  $\frac{1}{r_z}$  کے نقطے دار لکیر سے افقی محور تک پہنچایا جاتا ہے جہاں یہ محور کو  $-V_{Z0}$  پر ٹکراتا ہے۔ اس خط کی مساوات کو یوں لکھا جا سکتا ہے

$$(2.80) \quad v_Z = V_{Z0} + i_Z r_z$$

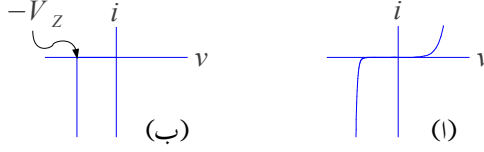
اس مساوات سے زیئر ڈایوڈ کا ریاضی نمونہ حاصل ہوتا ہے جسے شکل 2.68 میں دکھایا گیا ہے۔ زیئر گھٹنے کے قریب خط کافی زیادہ مڑتا ہے جبکہ زیادہ برقی رو (یعنی  $I_Z >> I_{ZK}$ ) پر یہ خط تقریباً سیدھا رہتا ہے۔ زیئر ڈایوڈ کا عمومی استعمال اس سیدھے خطے میں ہی کیا جاتا ہے۔

زیئر ڈایوڈ کو عموماً زیئر گھٹنے کے قریب استعمال نہیں کیا جاتا۔ زیئر گھٹنے کے قریب خطے کو نظر انداز کرتے ہوئے اور  $r_z = 0$  لیتے ہوئے زیئر ڈایوڈ کے خط کو سادہ شکل دی جاسکتی ہے جسے شکل میں دکھایا گیا ہے۔

شکل 2.67 میں زیئر ڈایوڈ کا لمبریزی برقی رو بڑھا چڑھا کر دکھایا گیا ہے تاکہ شکل میں اہم نکات دکھانا ممکن ہو۔ شکل 2.69 الف میں زیئر ڈایوڈ کے خط کو صحیح جسامت کے لحاظ سے دکھایا گیا ہے جہاں آپ دیکھ سکتے ہیں کہ لمبریزی برقی رو قابل نظر انداز ہوتی ہے۔

جیسا اوپر ذکر ہوا کہ زیئر ڈایوڈ کو عموماً الٹا ہی مائل کیا جاتا ہے اور ایسا کرتے وقت زیئر گھٹنے کے قریب خطے کے استعمال سے گریز کیا جاتا ہے۔ اگر زیئر گھٹنے کے قریب خطے کو نظر انداز کیا جائے اور  $r_z = 0$  تصور کیا جائے تو زیئر ڈایوڈ کے خط کو شکل 2.69-ب کے طرز پر بنایا جاسکتا ہے۔ اس سادہ خط کے مطابق زیئر ڈایوڈ دو ہی صورت اختیار کر سکتا ہے۔ پہلی صورت میں اس پر برقی دباؤ تبدیل ہو سکتی ہے مگر اس میں برقی رو کی قیمت صفر رہتی ہے یعنی

$$(2.81) \quad \begin{aligned} 0 &\leq |v_Z| < |V_Z| \\ |i_Z| &= 0 \end{aligned}$$



شکل 2.69: زیئر ڈایوڈ کا خط اور اس خط کی سادہ شکل

اس صورت میں اسے منقطع حالت میں تصور کیا جائے گا۔ دوسری صورت میں اس پر برقی دباؤ  $V_Z$  رہتا ہے جبکہ اس میں برقی رو قابل تبدیل ہے یعنی

$$(2.82) \quad |v_Z| = |V_Z|$$

$$0 \leq |i_Z| \leq |I_{Zmax}|$$

جہاں  $I_{Zmax}$  وہ برقی رو ہے جس پر زیئر ڈایوڈ میں برقی طاقت کا ضیاع قابل برداشت حد کے برابر ہوتا ہے۔ اس صورت میں اسے بے قابو حالت میں تصور کیا جائے گا۔

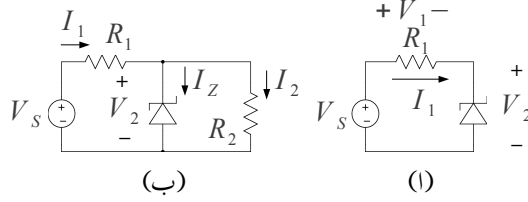
شکل 2.69 - ب زیادہ آسانی اور جلدی سے قابل قبول جوابات حاصل کرنے میں اہم کردار ادا کرتا ہے۔ شکل 2.70 - الف میں دئے دور میں زیئر ڈایوڈ کو بے قابو حالت میں رکھ کر اس دور کو عموماً سادہ منبع برقی دباؤ (یعنی برقی دباؤ کی منبع) کے طور استعمال کیا جاتا ہے جس کی خارجی یک سمتی برقی دباؤ کی قیمت  $V_Z$  کے برابر ہوتا ہے۔ اس پر، جیسا شکل ب میں دکھایا گیا ہے، برقی بوجھ کو مزاحمت  $R_2$  کی جگہ نسب کیا جاتا ہے۔ اس منبع کے مختلف پہلو پر چند مثالیں دیکھتے ہیں۔

مثال 2.17: شکل 2.70 الف میں زیئر برقی دباؤ  $V_Z$  کی قیمت 5.6 V ہے جبکہ  $R_1 = 1 \text{ k}\Omega$  ہے۔ مندرجہ ذیل  $V_S$  پر کامل زیئر ڈایوڈ کے برقی دباؤ اور اس میں گزرتی برقی رو حاصل کریں۔

$$1. \quad V_S = 3 \text{ V}$$

$$2. \quad V_S = 8 \text{ V}$$

$$3. \quad V_S = 20 \text{ V}$$



شکل 2.70: زیئر ڈایوڈ کا استعمال

حل: شکل 2.70 ب کو استعمال کرتے ہوئے حل کرتے ہیں۔

1. لاگو برقی دباؤ  $V_S = 3V$  کو پیش کرے گا کہ زیئر ڈایوڈ میں برقی رو گزارے۔ البتہ زیئر ڈایوڈ کے خط کے مطابق زیئر ڈایوڈ میں  $V_Z$  سے کم برقی دباؤ پر منقطع رہتا ہے یعنی مساوات 2.81 کے تحت  $I_Z = 0$  ہو گا۔ یوں اس دور میں مزاحمت  $R_1$  پر اُہم کے قانون سے

$$V_1 = V_S - V_2 = I_1 \times R_1 = 0$$

$$V_2 = V_S$$

$$V_2 = 3V$$

حاصل ہوتا ہے یعنی زیئر ڈایوڈ پر  $3V$  برقی دباؤ ہو گا جبکہ اس میں صفر برقی رو ہو گا۔

2. اس مرتبہ لاگو برقی دباؤ زیئر برقی دباؤ سے زیادہ ہے لہذا زیئر ڈایوڈ برقی رو گزارے گا۔ مساوات 2.82 کے تحت اس صورت زیئر ڈایوڈ پر  $V_Z$  یعنی  $5.6V$  کا برقی دباؤ ہو گا جبکہ مزاحمت پر اُہم کے قانون کے تحت

$$V_1 = V_S - V_Z = I_1 \times R_1$$

$$= 8 - 5.6 = I_1 \times 1000$$

$$I_1 = 2.4 \text{ mA}$$

ہو گا۔ چونکہ یہی برقی رو زیئر ڈایوڈ سے بھی گزرتا ہے لہذا  $I_Z = 2.4 \text{ mA}$  حاصل ہوتا ہے۔

3. یہاں بھی لاگو برقی دباؤ زیئر ڈایوڈ میں برقی رو گزارنے کی صلاحیت رکھتا ہے لہذا

$$V_1 = V_S - V_Z = I_1 \times R_1$$

$$= 20 - 5.6 = I_1 \times 1000$$

$$I_1 = 14.4 \text{ mA}$$

حاصل ہوتا ہے جس سے  $I_Z = 14.4 \text{ mA}$  حاصل ہوتا ہے۔

مثال 2.18: شکل 2.70 الف میں زیر ڈایوڈ کے متوازی مزاحمت  $R_2 = 1 \text{ k}\Omega$  جوڑ کر شکل 2.70 ب حاصل ہوتا ہے۔ مثال 2.17 میں دئے معلومات استعمال کرتے ہوئے برقی دباؤ  $V_2$  حاصل کریں۔  
حل:

1. گزشتہ مثال میں  $V_S = 3 \text{ V}$  پر دیکھا گیا کہ زیر ڈایوڈ منقطع رہتا ہے اور یوں  $I_Z = 0$  ہو گا۔ منقطع زیر کو دور سے نکالا جاسکتا ہے۔ ایسا کرنے سے دو سلسلہ وار مزاحمت رہ جاتے ہیں جن سے

$$V_2 = \frac{V_S \times R_2}{R_1 + R_2} = \frac{3 \times 1000}{1000 + 1000} = 1.5 \text{ V}$$

حاصل ہوتا ہے۔ چونکہ زیر ڈایوڈ میں صفر برقی رو گزرتا ہے لہذا دونوں مزاحمت میں برابر برقی رو گزرے گا جسے یوں حاصل کیا جاسکتا ہے۔

$$I_1 = I_2 = \frac{V_S}{R_1 + R_2} = \frac{3}{2000} = 1.5 \text{ mA}$$

2. یہاں  $V_S = 8 \text{ V}$  ہونے سے یوں معلوم ہوتا ہے کہ زیر ڈایوڈ بے قابو حال میں ہو گا مگر غور کرنے سے ثابت ہوتا ہے کہ ایسا نہیں ہے۔ یہ ایک دلچسپ مثال ہے جسے حل کرنے سے سوچ میں وسعت پیدا ہوتی ہے۔

شکل 2.70 ب کے تحت زیر ڈایوڈ دو ہی صورتوں میں رہ سکتا ہے یعنی منقطع یا بے قابو۔ انہیں دو صورتوں کو مساوات 2.81 اور مساوات 2.82 بیان کرتے ہیں۔

آئیں موجودہ مثال میں زیر کو منقطع تصور کریں۔ منقطع زیر ڈایوڈ کا دور پر کسی قسم کا کوئی اثر نہیں ہوتا اور اسے دور سے مکمل طور نکالا جاسکتا ہے۔ ایسا کرنے سے ہمارے پاس دو سلسلہ وار مزاحمت رہ جاتے ہیں جن سے

$$V_2 = \frac{V_S \times R_2}{R_1 + R_2} = \frac{8 \times 1000}{1000 + 1000} = 4 \text{ V}$$

حاصل ہوتا ہے۔  $V_2 = 4V$  ہونے سے صاف ظاہر ہے کہ زیئر ڈایوڈ منقطع رہے گا۔ یوں زیئر ڈایوڈ کو منقطع تصور کرنا درست تھا۔ منقطع زیئر ڈایوڈ میں  $I_Z = 0$  رہے گا جبکہ مزاحمت میں

$$I_1 = I_2 = \frac{V_S}{R_1 + R_2} = \frac{8}{2000} = 4 \text{ mA}$$

حاصل ہوتا ہے۔

اسی مثال کو یوں بھی حل کر سکتے ہیں کہ پہلے تصور کیا جائے کہ دور میں زیئر ڈایوڈ نہیں لگایا گیا۔ اس طرح  $V_2 = 4V$  حاصل ہوتا ہے۔ اب اگر زیئر ڈایوڈ نسب کر دیا جائے تو یہ منقطع ہی رہے گا۔  
 آئیں اسی مثال کو تیسری مرتبہ یوں حل کریں کہ زیئر ڈایوڈ کو بے قابو صورت میں تصور کیا جائے۔ چونکہ بے قابو زیئر ڈایوڈ پر زیئر برقی دباؤ ہی پایا جاتا ہے لہذا یوں  $V_2 = V_Z = 5.6V$  ہو گا۔ شکل 2.70 ب میں  $V_2 = 5.6V$  لیتے ہوئے اُوہم کے قانون سے

$$I_1 = \frac{V_S - V_2}{R_1} = \frac{8 - 5.6}{1000} = 2.4 \text{ mA}$$

$$I_2 = \frac{V_2}{R_2} = \frac{5.6}{1000} = 5.6 \text{ mA}$$

حاصل ہوتے ہیں۔ زیئر ڈایوڈ اور دونوں مزاحمت کے مشترکہ جوڑ پر کر خوف کے قانون برائے برقی رو کے تحت  $I_1 = I_2 + I_Z$  ہونا چاہئے جس سے

$$I_Z = I_1 - I_2 = 2.4 \text{ mA} - 5.6 \text{ mA} = -3.2 \text{ mA}$$

حاصل ہوتا ہے۔ منفی زیئر برقی رو کا مطلب ہے کہ زیئر ڈایوڈ میں برقی رو کی سمت شکل 2.70 ب کے الٹ ہے۔ ایسا ہونے سے صاف ظاہر ہے کہ زیئر ڈایوڈ ہر گز بے قابو حالت میں نہیں ہے۔ بے قابو حالت میں برقی رو شکل میں دکھائے رخ میں ہوتا۔ یوں ہم نے زیئر ڈایوڈ کو غلط حالت میں تصور کیا تھا اور یہ بے قابو صورت میں نہیں ہے۔ اس طرح زیئر ڈایوڈ منقطع ہی ہے۔ یہاں سے ہم پہلے ہی حل کر چکے ہیں۔

3. اس مثال کو بھی کئی طریقوں سے حل کیا جاسکتا ہے۔ ہم تصور کرتے ہیں کہ زیئر ڈایوڈ بے قابو ہے۔ اس صورت  $V_2 = V_Z = 5.6V$  ہو گا۔ یوں اُوہم کے قانون سے

$$I_1 = \frac{V_S - V_2}{R_1} = \frac{20 - 5.6}{1000} = 14.4 \text{ mA}$$

$$I_2 = \frac{V_2}{R_2} = \frac{5.6}{1000} = 5.6 \text{ mA}$$

حاصل ہوتے ہیں۔ کرخوف کے قانون برائے برقی رو سے

$$\begin{aligned} I_1 &= I_2 + I_Z \\ 14.4 \text{ mA} &= 5.6 \text{ mA} + I_Z \\ I_Z &= 8.8 \text{ mA} \end{aligned}$$

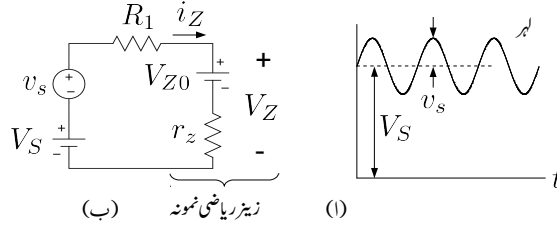
حاصل ہوتا ہے۔ چونکہ زیئر ڈایوڈ میں بے قابو برقی رو کے رخ ہی برقی رو گزر رہی ہے لہذا جواب درست ہے۔

آپ دیکھ سکتے ہیں کہ جب تک  $I_1$  کی قیمت  $I_2$  کے قیمت سے زیادہ ہو اس صورت میں زیئر ڈایوڈ میں بے قابو برقی رو گزرے گا جس کی قیمت  $I_Z = I_1 - I_2$  ہوگی۔ اس کے علاوہ یہی ممکن ہے کہ  $I_1 = I_2$  اور  $I_Z = 0$  ہو۔ تیسری صورت جہاں  $I_1$  کی قیمت  $I_2$  کے قیمت سے کم حاصل ہو درست نہیں اور اسے رد کیا جاتا ہے۔

شکل 2.70 الف کے برقی دباؤ کی منبع کو داخلی جانب برقی دباؤ مہیا کیا گیا ہے جس کو شکل 2.71 الف میں دکھایا گیا ہے۔ غور کرنے سے معلوم ہوتا ہے کہ داخلی برقی دباؤ مکمل طور یک سمتی نہیں ہے بلکہ اس میں ناپسندیدہ لہر  $v_s$  پایا جاتا ہے جبکہ یک سمتی برقی دباؤ  $V_S$  اس کا بیشتر حصہ ہے۔ ان دونوں حصوں کی نشاندہی شکل میں کی گئی ہے۔ زیئر ڈایوڈ سے بنائی گئی برقی دباؤ کے منبع سے توقع کی جاتی ہے کہ اس میں لہر کی مقدار کم سے کم ہوگی۔

مثال 2.19: شکل 2.70 الف میں  $V_S = 15 \text{ V}$ ،  $v_s = 1.2 \sin \omega t$  اور  $R_1 = 1 \text{ k}\Omega$  جبکہ زیئر ڈایوڈ کے ریاضی نمونے کے جزو  $V_{Z0} = 5.6 \text{ V}$  اور  $r_z = 10 \Omega$  ہونے کی صورت میں خارجی برقی دباؤ  $V_2$  حاصل کریں۔

حل: شکل 2.70 الف میں زیئر ڈایوڈ کا ریاضی نمونہ استعمال کرتے ہوئے شکل 2.71 ب حاصل ہوتا ہے۔ خارجی برقی دباؤ دراصل زیئر پر پائے جانے والا برقی دباؤ  $V_Z$  ہی ہے جسے یوں حاصل کرتے ہیں۔



شکل 2.71: زیئر منبع

پہلے دور میں برقی دباؤ حاصل کرتے ہیں۔

$$i_Z = \frac{V_S + v_s - V_{Z0}}{R_1 + r_z}$$

$$= \frac{15 + 1.2 \sin \omega t - 5.6}{1000 + 10}$$

$$= (9.3 + 1.18811 \sin \omega t) \times 10^{-3} A$$

اس سے زیئر برقی دباؤ حاصل کرتے ہیں۔

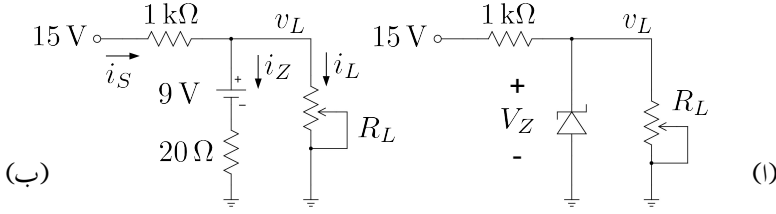
$$V_Z = V_{Z0} + i_Z r_z$$

$$= 5.6 + (9.3 + 1.18811 \sin \omega t) \times 10^{-3} \times 10$$

$$= 5.693 + 0.01188 \sin \omega t$$

آپ دیکھ سکتے ہیں کہ داخلی برقی دباؤ میں لہر، یک سمتی حصے کا  $\frac{1.2}{15} \times 100 = 8\%$  بنتا ہے جبکہ خارجی برقی دباؤ میں لہر صرف  $\frac{0.01188}{5.693} \times 100 = 0.2086\%$  بنتا ہے۔ زیئر ڈایوڈ کے استعمال سے لہر نہایت کم ہو گئی ہے۔

مثال 2.20: شکل 2.72 الف میں زیئر منبع کے متوازی برقی بوجھ  $R_L$  نسب کیا گیا ہے تاکہ برقی بوجھ کو مستقل برقی دباؤ مہیا کی جائے۔ برقی بوجھ کو تقریباً نو وولٹ درکار ہیں لہذا نو وولٹ کا زیئر استعمال کیا جاتا ہے۔ زیئر ڈایوڈ کا  $V_{Z0} = 9V$  جبکہ اس کا  $r_z = 20V$  ہے۔ برقی بوجھ کی مزاحمت  $2k\Omega$  تا  $9k\Omega$  تبدیل ہو سکتی ہے۔ ان حدود میں بوجھ پر برقی دباؤ  $v_L$  کا تخمینہ لگائیں۔



شکل 2.72: زینر منبع پر بدلتی بوجھ

حل: شکل ب میں اس کا پارٹیک مساوی دور دکھایا گیا ہے۔ ہم تصور کرتے ہیں کہ زینر ڈایوڈ بے قابو صورت میں رہتا ہے۔ یوں زینر ڈایوڈ اور برقی بوجھ پر تقریباً  $9\text{ k}\Omega$  رہتے ہیں اور

$$i_S = \frac{15 - 9}{1000} = 6\text{ mA}$$

ہو گا۔ اگر  $R_L = 2\text{ k}\Omega$  ہو تب

$$i_L = \frac{9}{2000} = 4.5\text{ mA}$$

اور

$$i_Z = 6\text{ mA} - 4.5\text{ mA} = 1.5\text{ mA}$$

ہوں گے۔ اس طرح حقیقت میں

$$(2.83) \quad v_L \Big|_{R_L=2\text{ k}\Omega} = V_{Z0} + i_Z r_z = 9 + 1.5 \times 10^{-3} \times 20 = 9.03\text{ V}$$

پایا جائے گا۔

اب چونکہ ہمیں زینر ڈایوڈ پر پائے جانے والے برقی دباؤ کی زیادہ درست قیمت دریافت ہو گئی ہے لہذا ہم مندرجہ بالا تمام معلومات دوبارہ حاصل کر سکتے ہیں۔ اس طرح  $i_S = 5.97\text{ mA}$  اور  $i_L = 4.515\text{ mA}$  حاصل ہوتا ہے جو تقریباً مساوات 2.83 میں دیا گیا  $1.455\text{ mA}$  حاصل ہوتے ہیں جن سے  $v_L = 9.0291\text{ V}$  حاصل ہوتا ہے جو تقریباً مساوات 2.83 میں دیا گیا جواب ہی ہے۔ آپ اس نئی قیمت کو استعمال کرتے ہوئے اور بہتر جواب حاصل کر سکتے ہیں لیکن جیسا کہ آپ نے دیکھا پہلا جواب عموماً قابل قبول ہوتا ہے۔ یوں  $2\text{ k}\Omega$  کے برقی بوجھ پر زینر منبع  $9.03\text{ V}$  برقی دباؤ مہیا کرتی ہے۔



برقی بوجھ  $6 \text{ k}\Omega$  کرنے سے  $i_s$  پر کوئی اثر نہیں ہوتا۔ بقایا معلومات حاصل کرتے ہیں۔ یوں

$$i_L = \frac{9}{6000} = 1.5 \text{ mA}$$

اور

$$i_Z = 6 \text{ mA} - 1.5 \text{ mA} = 4.5 \text{ mA}$$

ہوں گے۔ اس طرح حقیقت میں برقی بوجھ پر

$$(2.84) \quad v_L \Big|_{R_L=6 \text{ k}\Omega} = V_{Z0} + i_Z r_z = 9 + 4.5 \times 10^{-3} \times 20 = 9.09 \text{ V}$$

پائے جائیں گے۔

آپ نے دیکھا کہ برقی بوجھ کا  $2 \text{ k}\Omega$  تا  $2 \text{ k}\Omega$  تبدیل ہونے سے اس کی برقی رو  $4.5 \text{ mA}$  تا  $1.5 \text{ mA}$  تبدیل ہوتی ہے۔ زیر منبع کا برقی دباؤ صرف  $9.03 \text{ V}$  تا  $9.09 \text{ V}$  یعنی  $60 \text{ mV}$  تبدیل ہوتا ہے۔ چونکہ ہم نو وولٹ کی منبع بنانے نکلے تھے لہذا نو وولٹ کی نسبت سے دیکھتے ہوئے بوجھ کے برقی دباؤ میں صرف

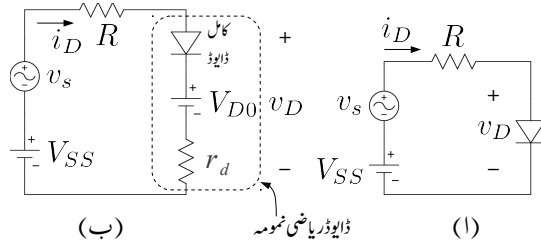
$$\frac{9.09 - 9.03}{9} \times 100 = 0.66 \%$$

کی تبدیلی آتی ہے۔ زیر منبع کے برقی دباؤ میں تبدیلی کا دارومدار زیر ڈایوڈ کے برقی رو میں تبدیلی پر ہے۔ اگر کسی طرح زیر ڈایوڈ کے برقی رو میں تبدیلی کو کم کیا جائے تو منبع سے حاصل برقی دباؤ میں تبدیلی مزید کم ہوگی۔ حصہ 3.22 میں ایسا کرنا دکھایا جائے گا۔

## 2.24 یک سمتی اور بدلنے متغیرات کے حساب کی علیحدگی

شکل 2.73 الف میں ڈایوڈ کا دور دکھایا گیا ہے۔ اس دور میں ڈایوڈ کی جگہ اس کا باریک اشاراتی ریاضی نمونہ (شکل 2.62) نسب کرنے سے شکل 2.73 ب حاصل ہوتا ہے۔ اس دور کو حل کرنے سے حاصل ہوتا ہے

$$(2.85) \quad \begin{aligned} V_{SS} + v_s &= V_{D0} + i_D(R + r_d) \\ &= V_{D0} + (I_D + i_d)(R + r_d) \\ &= V_{D0} + I_D R + I_D r_d + i_d R + i_d r_d \end{aligned}$$



شکل 2.73: یک سمتی اور بدلتے متغیرات کی علیحدگی

بدلتا اشارہ کے عدم موجودگی میں (یعنی جب  $v_d$  اور  $i_d$  کے قیمتیں صفر ہوں) اس مساوات کو یوں لکھا جائے گا

$$(2.86) \quad V_{SS} = V_{D0} + I_D R + I_D r_d$$

بدلتے متغیرات کے موجودگی میں مساوات 2.85 کو یوں حل کر سکتے ہیں۔

$$(2.87) \quad \widehat{V_{SS}} + v_s = \widehat{V_{D0} + I_D R + I_D r_d} + i_d R + i_d r_d$$

$$v_s = i_d R + i_d r_d$$

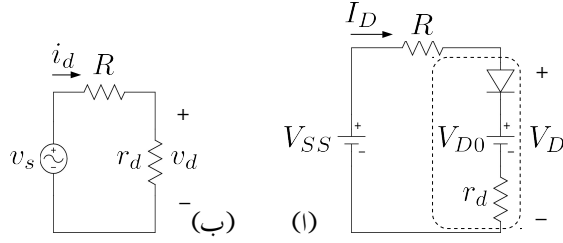
جہاں مساوات 2.86 کی مدد سے دائیں اور بائیں بازو کے یک سمتی مقداروں کی نشاندہی کرتے ہوئے انہیں کاٹ کر مساوات کا دوسرا جزو حاصل کیا گیا۔

مساوات 2.86 اور مساوات 2.87 کے دوسرے جزو کے ادوار شکل 2.74 میں دکھائے گئے ہیں۔ شکل 2.74 ب اس دور کا مساوی باریک اشاراتی دور کہلاتا ہے۔ ڈایوڈ کے باریک اشارات  $i_d$  اور  $v_d$  یوں حاصل کیا جائیں گے۔

$$(2.88) \quad i_d = \frac{v_s}{R + r_d}$$

$$v_d = i_d r_d = \frac{r_d v_s}{R + r_d}$$

مندرجہ بالا طریقہ کار ایک عمومی طریقہ کار ہے جس کو استعمال کرتے ہوئے ڈایوڈ کے ادوار بالعموم اور ٹرانزسٹر کے ادوار بالخصوص حل کئے جاتے ہیں۔ اس طریقے میں ادوار حل کرتے وقت پہلے بدلتے اشارات کو نظر انداز کرتے ہوئے نقطہ مائل حاصل کیا جاتا ہے۔ اس نقطے پر ڈایوڈ (ٹرانزسٹر) کے باریک اشاراتی ریاضی نمونے کے اجزاء حاصل کئے جاتے ہیں۔ باریک اشاراتی حساب و کتاب کی خاطر مساوی باریک اشاراتی دور بنایا جاتا ہے جس میں تمام یک سمتی



شکل 2.74: یک سمتی اور باریک اشاراتی مساوی ادوار

منبع برقی دباؤ کو قصر دور کرتے ہوئے ڈایوڈ (ٹرانزسٹر) کی جگہ اس کا باریک اشاراتی ریاضی نمونہ نسب کیا جاتا ہے۔ یوں حاصل مساوی باریک اشاراتی دور کو عام برقی دور کے مانند حل کرتے ہوئے باریک اشاراتی برقی دباؤ اور باریک اشاراتی برقی رو حاصل کئے جاتے ہیں۔

یک سمتی اور باریک اشاراتی حساب و کتاب کا یوں علیحدہ کرنا برقیات کے میدان میں عموماً استعمال کیا جاتا ہے۔ اگلے بابوں میں اس طریقہ کار کو بار بار بروئے کار لایا جائے گا۔

مثال 2.21: شکل 2.73 الف میں  $V_{SS} = 12\text{ V}$ ،  $v_s = 0.5 \sin \omega t$  اور  $R = 5\text{ k}\Omega$  لیتے ہوئے ڈایوڈ سے گزرتی بدلتی برقی رو  $i_d$  اور اس پر بدلتا برقی دباؤ  $v_d$  حاصل کریں۔

حل: اس دور کا مساوی باریک اشاراتی دور شکل 2.74 ب میں دکھایا گیا ہے جسے حل کرنے کی خاطر ڈایوڈ کے باریک اشاراتی مزاحمت  $r_d$  کی قیمت جاننا ضروری ہے۔ ڈایوڈ کا باریک اشاراتی مزاحمت نقطہ مائل سے مساوات 2.35 سے حاصل کیا جاتا ہے۔ شکل 2.73 کے یک سمتی حل سے

$$(2.89) \quad I_D = I_{DQ} = \frac{V_{SS} - 0.7}{R} = \frac{12 - 0.7}{5000} = 2.26\text{ mA}$$

حاصل ہوتا ہے جس سے

$$(2.90) \quad r_d = \frac{V_T}{I_{DQ}} = \frac{0.025}{0.00226} = 11.062\ \Omega$$

حاصل ہوتا ہے۔ یوں شکل 2.74 ب کے دور سے

$$\begin{aligned}
 i_d &= \frac{v_s}{R + r_d} \\
 &= \frac{0.5 \sin \omega t}{5000 + 11} \\
 (2.91) \quad &= 9.978 \times 10^{-5} \sin \omega t \\
 v_d &= i_d r_d \\
 &= (9.978 \times 10^{-5} \sin \omega t) \times 11 \\
 &= 1.0976 \times 10^{-3} \sin \omega t
 \end{aligned}$$

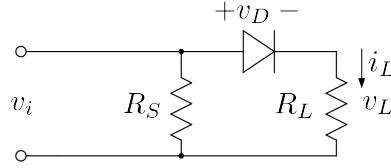
حاصل ہوتے ہیں۔

## 2.25 قانون مربع حیطہ اتار کار

اس باب میں زیادہ طاقت یعنی زیادہ حیطے کے اشارے کی صورت میں حیطہ اتار کار پر غور کیا گیا جہاں حیطہ اتر کار کا خارجی برقی دباؤ اس کے داخلی برقی دباؤ کے چوٹی کے برابر ہوتا ہے۔ اس حصے میں کم طاقت یعنی کم حیطے کے اشارے کی صورت میں حیطہ اتار کار کی کارکردگی پر غور کیا جائے گا جہاں آپ دیکھیں گے کہ حیطہ اتار کار کا خارجی برقی دباؤ اس کے داخلی برقی دباؤ کے مربع کے راست تناسب ہوتا ہے۔ اس حصے میں آپ یہ بھی دیکھیں گے کہ کم طاقت والے اشارے کی طاقت کو حیطہ اتار کار سے ناپا جاسکتا ہے۔

شکل 2.75 میں مزاحمت  $R_S$  کو ریڈیو اشارہ  $v_i$  فراہم کیا گیا ہے۔ دراصل جس بھی دور کو ریڈیو اشارہ فراہم کیا جا رہا ہو اس دور کے داخلی مزاحمت کو  $R_S$  سے ظاہر کیا جاتا ہے۔ ذرائع ابلاغ<sup>197</sup> کے ادوار میں  $R_S$  کی قیمت عموماً  $50 \Omega$  ہوتی ہے۔ آپ جانتے ہیں کہ سائن نما برقی دباؤ  $V_p \cos \omega t$  کی موثر<sup>198</sup> قیمت  $V_{rms} = \frac{V_p}{\sqrt{2}}$  کے برابر ہے۔ یوں مزاحمت  $R_S$  میں برقی طاقت کے ضیاع کو

$$(2.92) \quad P = \frac{V_{rms}^2}{R_S} = \frac{V_p^2}{2R_S}$$



شکل 2.75: ڈایوڈ قانون مربع جیٹ اتار کار

لکھا جاسکتا ہے۔ اس طاقت کو ناپنے کی غرض سے  $R_S$  کے متوازی ڈایوڈ اور مزاحمت  $R_L$  نسب کئے گئے ہیں جہاں سلسلہ وار جڑے ڈایوڈ اور  $R_L$  کے کل مزاحمت کی قیمت  $R_S$  کے قیمت سے بہت زیادہ رکھی جاتی ہے تاکہ ان کی شمولیت داخلی اشارے پر بوجھ نہ ڈالے۔ اگرچہ ایسا تصور کرنا ضروری نہیں لیکن ہم اس حصے میں تصور کریں گے کہ ڈایوڈ کو معمولی یک سمتی برقی دباؤ دے کر سیدھا مائل رکھا گیا ہے۔ شکل میں اس یک سمتی برقی دباؤ کو نہیں دکھایا گیا ہے۔ آئیں اب تحلیلی تجزیہ کریں۔

کسی بھی خمدار تفاعل  $f(x)$  کو سلسلہ طاقت<sup>199</sup>

$$f(x) = c_1x + c_2x^2 + c_3x^3 + \dots$$

سے ظاہر کیا جاسکتا ہے۔ اسی طرح اس شکل میں ڈایوڈ اور مزاحمت  $R_L$  کے برقی رو کو داخلی برقی دباؤ  $v_i = V_p \cos \omega t$  کے سلسلہ طاقت سے یوں ظاہر کیا جاسکتا ہے۔

$$i_L = c_1v_i + c_2v_i^2 + c_3v_i^3 + \dots$$

$$= c_1V_p \cos \omega t + c_2V_p^2 \cos^2 \omega t + \dots$$

اس مساوات میں  $\cos^2 \omega t = \frac{1 + \cos 2\omega t}{2}$  استعمال کرتے ہوئے

$$i_L = c_1V_p \cos \omega t + c_2V_p^2 \left( \frac{1 + \cos 2\omega t}{2} \right) + \dots$$

$$= \frac{c_2V_p^2}{2} + c_1V_p \cos \omega t + \frac{c_2V_p^2}{2} \cos 2\omega t + \dots$$

حاصل ہوتا ہے جہاں یک سمتی جزو کے پہلے رکھا گیا ہے۔ لہذا  $R_L$  پر برقی دباؤ  $v_L = i_LR_L$  یوں لکھا جاسکتا ہے۔

$$v_L = \frac{c_2V_p^2R_L}{2} + c_1V_pR_L \cos \omega t + \frac{c_2V_p^2R_L}{2} \cos 2\omega t + \dots$$

اس برقی دباؤ کو فلٹر کرتے ہوئے اس میں سے خالص یک سمتی جزو کو علیحدہ کیا جاسکتا ہے۔  $R_L$  کے متوازی ایک عدد کمپیوٹر نسب کرنے سے ہی بدلتے اجزاء کو ختم کرتے ہوئے

$$(2.93) \quad v_L = \frac{c_2 V_p^2 R_L}{2}$$

حاصل کیا جاسکتا ہے۔ اس مساوات کے تحت کم طاقت کے داخلی اشارے کی صورت میں ڈایوڈ کا خارجی یک سمتی برقی دباؤ اس کے داخلی بدلتے برقی دباؤ کے مربع کے راست تناسب ہوتا ہے۔ اس کے برعکس چوڑی حاصل کار کا خارجی برقی دباؤ اس کے داخلی برقی دباؤ کے چوٹی کے برابر ہوتا ہے۔ مساوات 2.93 قانون مربع<sup>200</sup> کی ایک شکل ہیں۔

مساوات 2.93 کو مساوات 2.92 کے ساتھ ملاتے ہوئے

$$(2.94) \quad v_L = c_2 R_L R_S P = cP$$

لکھا جاسکتا ہے جہاں  $c = c_2 R_L R_S$  لکھا گیا ہے۔ یہ قانون مربع کی دوسری شکل ہے جس کے تحت کم طاقت پر مزاحمت  $R_L$  کا یک سمتی برقی دباؤ اور  $R_S$  میں طاقت کا ضیاع راست تناسب کا تعلق رکھتے ہیں۔ اس حقیقت کو استعمال کرتے ہوئے ذرائع ابلاغ میں ڈایوڈ کے استعمال سے اشارے کی طاقت ناپی جاتی ہے۔ ڈایوڈ کے اس دور کو ڈایوڈ قانون مربع<sup>201</sup> کہتے ہیں۔

## 2.26 سپائٹ ریاضی نمونہ

انجنیئرنگ کے میدان میں کمپیوٹر کا استعمال ناگزیر ہے۔ برقیاتی ادوار عموماً کمپیوٹر پروگرام استعمال کرتے ہوئے تخلیق دئے جاتے ہیں۔ کمپیوٹر پر ہی دور کی کارکردگی دیکھتے ہوئے اس میں ردوبدل پیدا کیا جاتا ہے حتیٰ کہ درکار نتائج حاصل ہوں۔ اس کے بعد اصل دور بنانے کا مرحلہ آتا ہے۔ اس قسم کا نہایت مقبول کمپیوٹر پروگرام سپائٹ<sup>202</sup> کہلاتا ہے۔ آپ سے گزارش کی جاتی ہے کہ سپائٹ<sup>203</sup> کا بھرپور استعمال کریں۔ اس حصے میں سپائٹ میں استعمال کئے جانے والے ڈایوڈ کے ریاضی نمونے پر تبصرہ کیا جائے گا۔ یہاں یہ بتلانا ضروری ہے کہ برقیات کو سمجھے بغیر کمپیوٹر کی مدد سے کسی صورت کام کرتا ہوا دور تخلیق دینا ناممکن ہے۔

<sup>200</sup> diode square law

<sup>201</sup> diode square law detector

<sup>202</sup> spice

<sup>203</sup> پہلا سپائٹ کمپیوٹر پروگرام کیلے فورنیا، برقلے کے یونیورسٹی میں تیار کیا گیا۔

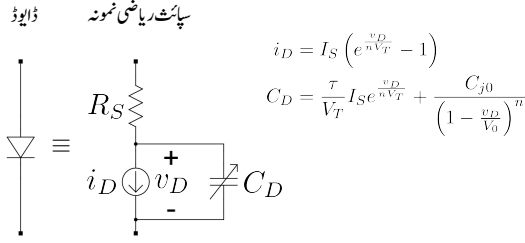
جدول 2.4: سپاٹ ریاضی نمونے کے جزو

ریاضی نمونے کے جزو کا نام	علامت	سپاٹ کا جزو	قیمت
لبریری برقی رو	$I_S$	IS	$10^{-14}$ A
مزاحمت	$R_S$	RS	$0 \Omega$
اخراجی جزو	$n$	N	1
اوسط دورانیہ عبور	$\tau_T$	TT	0 s
صفر برقی دباؤ پر الٹی کپیسٹنس	$C_{j0}$	CJ0	0 F
جزو شہ بندی	$m$	M	0.5
ناقابل برداشت برقی دباؤ	$V_{ZK}$	BV	$\infty$ V
ناقابل برداشت برقی رو	$I_{ZK}$	IBV	$10^{-19}$ A
رکاوٹی برقی دباؤ	$V_0$	VJ	1 V

شکل 2.76 میں ڈایوڈ کا سپاٹ ریاضی نمونہ دکھایا گیا ہے جو کہ وسیع اشاراتی ریاضی نمونہ ہے۔ اس ریاضی نمونے میں ڈایوڈ کے مثبت اور منفی خطوں کے مزاحمت کو  $R_S$  کہا گیا ہے۔ اس کی قیمت اکائی تادہائی کے حدود میں ہوتی ہے۔ یہ مزاحمت ڈایوڈ کی ناپسندیدہ خوبیوں میں سے ایک ہے۔

ڈایوڈ کے ساکن یا یک سمتی رو حال کو اس کے  $i_D - v_D$  مساوات سے ہی حاصل کیا جاتا ہے جبکہ بدلتی رو حال میں ڈایوڈ کی تغیر پذیر کپیسٹنس  $C_D$  بھی کردار ادا کرتا ہے۔ شکل میں  $i_D - v_D$  اور  $C_D$  کی مساواتیں دی گئی ہیں۔ باریک اشاراتی تجزیہ کے وقت سپاٹ پروگرام ڈایوڈ کا باریک اشاراتی مزاحمت  $r_d$  اور اس کی باریک اشاراتی کپیسٹنس  $C_d$  اور  $C_j$  استعمال کرتا ہے۔

جدول 2.4 ڈایوڈ کے سپاٹ ریاضی نمونے کے تمام اجزاء اور ان کے عمومی قیمتیں پیش کرتا ہے۔ اگر سپاٹ پروگرام استعمال کرتے وقت ان اجزاء کی قیمتیں فراہم نہ کی جائیں تو سپاٹ پروگرام جدول 2.4 میں دئے گئے قیمتیں استعمال کرتا ہے۔



شکل 2.76: ڈایوڈ کا سپائٹ ریاضی نمونہ

## سوالات

سوال 2.1: ایک ڈایوڈ جس کا  $n = 1$  کے برابر ہے میں  $1 \text{ mA}$  برقی رو گزرتے وقت اس پر  $0.61 \text{ V}$  کا برقی دباؤ پایا جاتا ہے۔ اس ڈایوڈ پر جب  $0.66 \text{ V}$  برقی دباؤ پایا جائے تو اس میں برقی رو حاصل کریں۔ اس ڈایوڈ کی  $I_S$  حاصل کریں۔

جوابات:  $7.389 \text{ mA}$ ،  $I_S = 2.53 \times 10^{-14} \text{ A}$

سوال 2.2: ایک ڈایوڈ کو  $0.57 \text{ mA}$  اور  $8.167 \text{ mA}$  پر چلاتے ہوئے اس پر  $0.65 \text{ V}$  اور  $0.72 \text{ V}$  برقی دباؤ پائے جاتے ہیں۔ اس ڈایوڈ کی  $n$  اور  $I_S$  حاصل کریں۔

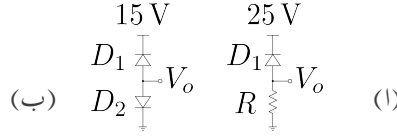
جوابات:  $n = 1.05$ ،  $I_S = 10^{-14} \text{ A}$

سوال 2.3: اٹلے مائل ڈایوڈ سے رستا برقی رو کو نانپنے کے لئے شکل 2.77 الف میں دکھایا دور استعمال کرتے ہیں۔ اتنا حساس اشارہ نانپنے کی خاطر نہایت زیادہ داخلی مزاحمت رکھنے والا آلہ استعمال کیا جاتا ہے۔  $30^\circ \text{C}$  پر شکل میں  $V_0 = 0.2 \text{ V}$  ناپا جاتا ہے۔  $60^\circ \text{C}$  اور  $0^\circ \text{C}$  پر کیا ناپے جائیں گے۔  $R = 500 \text{ k}\Omega$  ہے۔

جوابات:  $1.6 \text{ V}$ ،  $0.025 \text{ V}$

سوال 2.4: شکل 2.77 ب میں دونوں ڈایوڈ بالکل یکساں ہیں جن کا  $n = 1$  اور  $I_D = 10 \text{ mA}$  پر  $V_D = 0.62 \text{ V}$  ہے۔  $25^\circ \text{C}$  پر  $V_0 = 0.11 \text{ V}$  ناپا جاتا ہے۔





شکل 2.77: اٹلے برقی رو کی ناپ

• الٹارٹا برقی رو حاصل کریں۔

• الٹارٹا برقی رو لبریزی برقی رو  $I_S$  کے کتنے گنا ہے۔

جوابات: 13.8 pA، 81.45

سوال 2.5: ایک ڈایوڈ کی برقی رو دگنی کر دی جاتی ہے۔  $n = 1$  اور  $n = 2$  کی صورت میں برقی دباؤ میں تبدیلی حاصل کریں۔

جوابات: 17.328 mV، 34.657 mV

سوال 2.6: ایک ڈایوڈ کی برقی رو دس گنا کر دی جاتی ہے۔  $n = 1$  اور  $n = 2$  کی صورت میں برقی دباؤ میں تبدیلی حاصل کریں۔

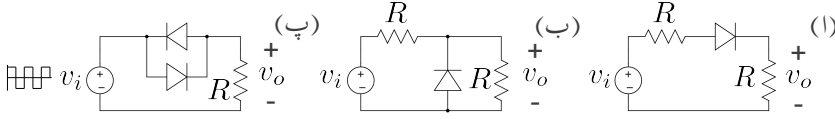
جوابات: 57.56 mV، 115 mV

سوال 2.7: ایک ڈایوڈ میں یکدم 2 A گزرنے سے اس پر شروع میں  $V_D = 0.69V$  پائے جاتے ہیں جو کچھ دیر میں گھٹتے ہوئے 0.64 V ہو کر اسی قیمت پر رہتے ہیں۔ برقی رو گزرنے سے ڈایوڈ کی اندرونی درجہ حرارت میں کتنا اضافہ پیدا ہوا۔ گرم ہونے کے بعد ڈایوڈ میں برقی طاقت کا ضیاع حاصل کریں۔ فی واٹ طاقت کے ضیاع سے درجہ حرارت میں اضافہ حاصل کریں۔ اس کو ڈایوڈ کی حرارتی مزاحمت<sup>204</sup> کہتے ہیں۔

جوابات: 25 °C، 1.28 W اور 19.53 °C/W

سوال 2.8: شکل 2.78 کے تینوں ادوار میں کامل ڈایوڈ تصور کرتے ہوئے مستطیل داخلی اشارہ  $v_i$  سے خارجی اشارہ  $v_o$  حاصل کریں۔ داخلی اشارے کا حیثہ  $\pm 1V$  لیں۔

<sup>204</sup> thermal resistance



شکل 2.78: ڈایوڈ کے سوالات

جوابات: الف) صرف مثبت  $0.5\text{ V}$  حیطے کا مستطیل اشارہ۔ ب) صرف مثبت  $0.5\text{ V}$  حیطے کا مستطیل اشارہ۔  
پ) بالکل داخلی اشارے کی طرح  $\pm 1\text{ V}$  کا مستطیل اشارہ۔

سوال 2.9: شکل 2.78 کے تینوں ادوار میں سیدھے ڈایوڈ پر  $0.7\text{ V}$  کا گھٹا لیتے ہوئے مستطیل داخلی اشارہ  $v_i$  سے خارجی اشارہ  $v_o$  حاصل کریں۔ داخلی اشارے کا حیطہ  $\pm 1\text{ V}$  لیں۔

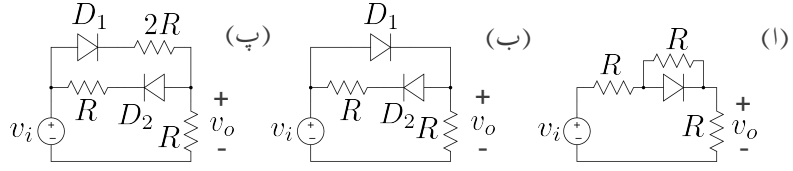
جوابات: الف) مستطیل اشارہ جس کا مثبت حیطہ  $0.15\text{ V}$  جبکہ منفی حیطہ صفر وولٹ ہے۔ ب) مستطیل جس کا مثبت حیطہ  $0.5\text{ V}$  جبکہ منفی حیطہ  $-0.7\text{ V}$  ہے۔ پ) مستطیل  $\pm 0.3\text{ V}$  حیطہ۔

سوال 2.10: شکل 2.78 کے تینوں ادوار میں کامل ڈایوڈ تصور کرتے ہوئے داخلی اشارے  $v_i$  کو سائن۔ نما لیتے ہوئے خارجی اشارے  $v_o$  حاصل کریں۔ داخلی اشارے کا حیطہ  $\pm 1\text{ V}$  لیں۔

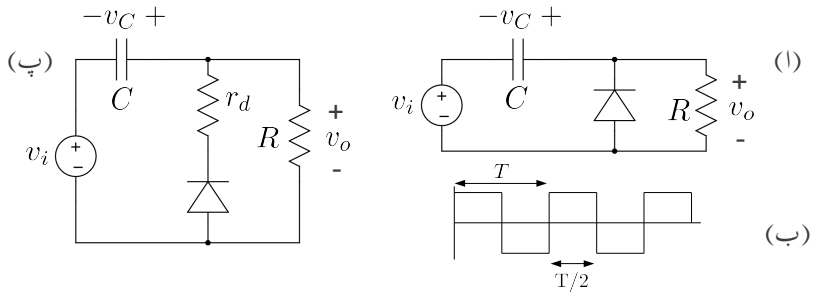
سوال 2.11: شکل 2.78 کے تینوں ادوار میں سیدھے مائل ڈایوڈ پر  $0.7\text{ V}$  برقی دباؤ کا گھٹا تصور کرتے ہوئے داخلی اشارے  $v_i$  کو سائن۔ نما لیتے ہوئے خارجی اشارے  $v_o$  حاصل کریں۔ داخلی اشارے کا حیطہ  $\pm 1\text{ V}$  لیں۔

سوال 2.12: شکل 2.79 میں  $\pm 15\text{ V}$  حیطے کا مستطیل داخلی اشارہ مہیا کیا جاتا ہے۔ کامل ڈایوڈ تصور کرتے ہوئے خارجی اشارات حاصل کریں۔

حل: ا) مثبت داخلی اشارے کی صورت میں ڈایوڈ سیدھا مائل ہو گا۔ یوں  $v_o = 7.5\text{ V}$  ہو گا۔ منفی داخلی اشارے کے وقت ڈایوڈ الٹا مائل ہو گا لہذا  $v_o = 5\text{ V}$  ہو گا۔ ب) مثبت  $v_i$  کے وقت  $D_1$  سیدھا مائل اور یوں  $v_o = 15\text{ V}$  ہو گا۔ منفی  $v_i$  کی صورت میں  $D_2$  سیدھا مائل ہو گا لہذا  $v_o = -7.5\text{ V}$  ہو گا۔ پ) مثبت  $v_i$  پر  $v_o = 5\text{ V}$  جبکہ منفی  $v_i$  پر  $v_o = -7.5\text{ V}$  ہے۔



شکل 2.79: ڈائیوڈ کے دیگر سوالات



شکل 2.80: ٹیکنیج

سوال 2.13: شکل 2.80 الف میں شے دیکھایا گیا ہے۔ اسے شکل ب میں دکھایا لگاتار مستطیلی داخلی اشارہ مہیا کیا جاتا ہے جس کا حیث  $\pm 10V$  ہے۔  $RC = \frac{T}{2}$  کی صورت میں کامل ڈایوڈ تصور کرتے ہوئے خارجی اشارے کا خط کھینچیں۔

جواب: داخلی اشارہ منفی ہوتے ہی خارجی اشارہ  $0V$  ہو جاتا ہے جبکہ کیپیسٹر جلدی سے  $v_C = 10V$  پر پہنچتا ہے۔ داخلی اشارہ مثبت ہوتے ہی خارجی اشارہ  $20V$  ہو جاتا ہے جو  $T/2$  سیکنڈوں میں گھٹتے ہوئے  $7.36V$  رہ جاتا ہے۔

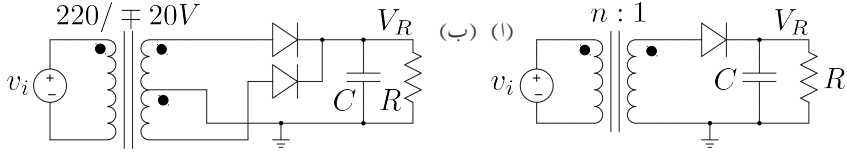
سوال 2.14: شکل 2.80 پ میں ڈایوڈ کی مزاحمت  $r_d$  کو واضح دکھاتے ہوئے شے دیکھایا گیا ہے۔ اسے شکل ب میں دکھایا لگاتار مستطیلی داخلی اشارہ مہیا کیا جاتا ہے جس کا حیث  $\pm 10V$  ہے۔  $RC = \frac{T}{2}$  اور  $r_d C \ll T$  کی صورت میں خارجی اشارے کا خط کھینچیں۔

جواب: پچھلے سوال کی طرح داخلی اشارہ مثبت ہونے کے لمحے پر  $v_C = 10V$  اور خارجی اشارہ  $20V$  ہوتا ہے۔  $\frac{T}{2}$  سیکنڈ بعد خارجی اشارہ  $7.36V$  جبکہ  $v_C = -2.64V$  ہوتے ہیں۔ جیسی ہی داخلی اشارہ منفی ہوتا ہے اس لمحہ  $v_o = -12.64V$  ہو گا۔  $r_d C \ll T$  ہونے کے ناطے یہ صورت زیادہ دیر نہیں پائی جائے گی اور جلد ہی کیپیسٹر  $r_d$  کے راستے  $10V$  پر پہنچ جائے گا جس سے  $v_o = 0V$  ہو جائے گا۔ یوں داخلی اشارہ منفی ہونے کے لمحات پر خارجی اشارے پر منفی سوئی نما برقی دباؤ پایا جائے گا۔

سوال 2.15: شکل 2.81 الف میں گھریلو واپڈا<sup>205</sup> کی بجلی استعمال کرتے ہوئے بارہ وولٹ کی منبع بنائی گئی ہے۔  $R_L = 1.2k\Omega$  ہے جبکہ یک سمتی برقی دباؤ میں بلے  $\pm 1V$  سے کم رکھنا ہے۔ ٹرانسفارمر کی شرح  $n:1$  اور کیپیسٹر کی قیمت حاصل کریں۔ واپڈا  $50Hz$  تعدد کی  $\sqrt{2} \times 220 \cos \omega t$  ہے جس کی موثر<sup>206</sup> قیمت  $220V$  ہے۔ ڈایوڈ پر برقی دباؤ کے گھٹاؤ کو نظر انداز کریں۔

جوابات:  $n = 23.93$  ،  $100 \mu F$

سوال 2.16: شکل 2.81 ب میں قدر مختلف ٹرانسفارمر استعمال کرتے ہوئے دو ڈایوڈ کی مدد سے مکمل سمتی کار حاصل کیا گیا ہے۔ ٹرانسفارمر کے داخلی جانب گزشتہ سوال کی طرح واپڈا کی بجلی فراہم کی گئی ہے۔ ٹرانسفارمر کے داخلی جانب  $220V$  موثر قیمت کا برقی دباؤ فراہم کیا جاتا ہے۔ خارجی جانب ٹرانسفارمر کے درمیانے پتیا کو برقی زمین تصور کرتے ہوئے باقی دو پتیوں پر آپس میں الٹ بیس وولٹ حاصل ہوتے ہیں۔  $R = 50\Omega$  اور



شکل 2.81: بارہ ولٹ کے برقی دباؤ کی منبع

کی صورت میں خارجی یک سمتی برقی دباؤ  $V_R$  اور اس میں بلے حاصل کریں۔ کامل ڈایوڈ تصور کریں۔  $C = 4700 \mu F$

جوابات: تقریباً  $27.68 V$ ، تقریباً  $\pm 0.6 V$

سوال 2.17:  $I_S = 5 fA$  کے ڈایوڈ کے برقی دباؤ بالمقابل برقی رو کا خط کھینچیں۔ اس پر سے چالو کردہ برقی دباؤ کا تخمینہ لگائیں۔

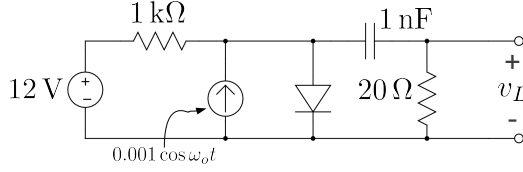
سوال 2.18: ڈایوڈ پر برقی دباؤ  $50 mV$  بڑھانے سے برقی رو  $i_{D1}$  اور  $i_{D2}$  کی شرح حاصل کریں۔ یہی شرح  $100 mV$ ،  $200 mV$  اور  $500 mV$  کے لئے بھی حاصل کریں۔

سوال 2.19: برقی رو دس گنا کرنے سے ڈایوڈ کے برقی دباؤ میں تبدیلی حاصل کریں۔ برقی رو سو گنا کرنے سے ڈایوڈ کے برقی دباؤ میں تبدیلی حاصل کریں۔

جوابات:  $57 mV$ ،  $115 mV$

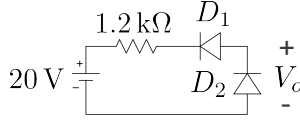
سوال 2.20: ڈایوڈ کے مساوات  $i_D = I_0 e^{\frac{v_D}{V_T}}$  کا مکلا ریز سلسلہ <sup>207</sup> حاصل کریں۔ اگر  $v_D \ll V_T$  ہو تب اس سلسلہ کے صرف پہلے دو جزو لیتے ہوئے ثابت کریں کہ  $i_D \approx I_D + \frac{v_d}{r_d}$  لکھا جاسکتا ہے جہاں  $r_d = \frac{V_T}{I_D}$  کے برابر ہے۔

سوال 2.21: شکل 2.82 میں ڈایوڈ کا دور دکھایا گیا ہے۔  $I_S = 10 fA$  اور  $V_T$  کو  $25 mV$  لیتے ہوئے ڈایوڈ میں یک سمتی برقی رو دہرانے کے طریقے <sup>208</sup> سے حاصل کریں۔



شکل 2.82: دہرانے کے طریقے کی مثال

$$i_D = \begin{cases} 2 \times 10^{-3} v_D^2, & v_D \geq 0 \\ -I_o, & v_D < 0 \end{cases}$$



شکل 2.83: ڈایوڈ کی مربع مساوات

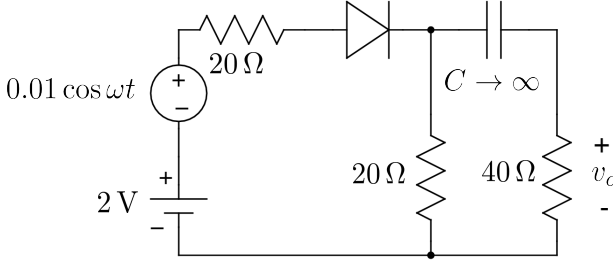
جواب:  $V_D = 0.7V$  تصور کرتے ہوئے  $11.3mA$  حاصل ہوتا ہے جسے استعمال کرتے ہوئے  $V_D$  کی قیمت  $0.69383V$  حاصل ہوتا ہے۔ اسی طرح متواتر حل کرتے ہوئے  $11.306mA$  ،  $0.69384V$  ،  $11.306mA$  حاصل ہوتے ہیں۔ یوں اس آخری جواب کو یک سمتی برقی رو لیا جاتا ہے۔

سوال 2.22: مندرجہ بالا مثال کے نتائج استعمال کرتے ہوئے  $\omega_o = 5 \times 10^6 \text{ rad/s}$  ،  $\omega_o = 5 \times 10^{10} \text{ rad/s}$  اور  $5 \times 10^8 \text{ rad/s}$  پر شکل میں بدلتا برقی دباؤ  $v_L$  حاصل کریں۔

جوابات:

$$\begin{aligned} r_d &= 2.2 \Omega \\ 0.000044 \cos(5 \times 10^6 t + 1.55) \\ 0.0018 \cos(5 \times 10^8 t + 0.42) \\ 0.00198 \cos(5 \times 10^{10} t + 0.0045) \end{aligned}$$

سوال 2.23: ڈایوڈ کے خط کے گول حصے کو دیکھتے ہوئے یوں معلوم ہوتا ہے جیسے یہ  $y = x^2$  کا خط ہے۔ ڈایوڈ کے خط کو کبھی کبھار سادہ بنانے کے غرض سے  $i_D = \alpha v_D^2$  لکھا جاتا ہے۔ شکل 2.83 میں بالکل یکساں ڈایوڈ استعمال کئے گئے ہیں جن کی مساوات بھی شکل میں دی گئی ہے۔  $V_o$  حاصل کریں۔



شکل 2.84: خط بوجھ کا سوال

جواب:  $V_o = 10 - 600I_o$

سوال 2.24: شکل 2.84 میں  $V_D = 0.68 \text{ V}$  پر ڈائیوڈ میں  $I_D = 30 \text{ mA}$  گزارتا ہے۔

1. ڈائیوڈ کے خط پر یک سمتی خط بوجھ کھینچ کر نقطہ مائل حاصل کریں۔

2. نقطہ مائل پر ڈائیوڈ کی مزاحمت  $r_d$  حاصل کریں۔

3. بدلتا برقی دباؤ  $v_o$  حاصل کریں۔

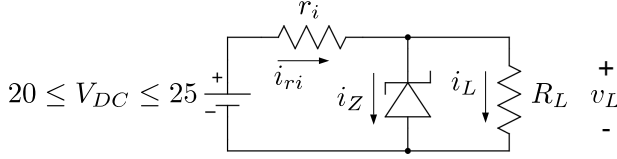
4. نقطہ مائل پر بدلتی رو، خط بوجھ کھینچیں۔

جوابات:  $0.0019 \cos \omega t$  ،  $36.7 \Omega$  ،  $(0.68 \text{ V}, 33 \text{ mA})$

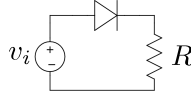
سوال 2.25: شکل 2.85 میں دکھائے زیر ڈائیوڈ پر اس وقت تک  $12 \text{ V}$  کا برقی دباؤ برقرار رہتا ہے جب تک اس میں  $2 \text{ mA}$  تا  $200 \text{ mA}$  کا برقی رو گزر رہا ہو۔  $R_L = 60 \Omega$  ہے۔

1.  $r_i$  کی وہ قیمت حاصل کریں جس پر یک سمتی برقی دباؤ  $20 \text{ V}$  تا  $25 \text{ V}$  تبدیل کرتے ہوئے زیر ڈائیوڈ پر  $12 \text{ V}$  برقرار رہیں۔

2. زیر ڈائیوڈ میں زیادہ سے زیادہ طاقت کا ضیاع حاصل کریں۔



شکل 2.85: زیئر ڈایوڈ کا سوال



شکل 2.86: ڈایوڈ کی برقی رو

جوابات: جب تک زیئر پر بارہ ولٹ رہیں تب تک  $i_L = \frac{12}{60} = 0.2 \text{ A}$  رہے گا۔ لہذا داخلی برقی دباؤ تبدیل کرنے سے صرف زیئر ڈایوڈ میں برقی رو تبدیل ہوتا ہے۔  $20 \text{ V}$  پر زیئر میں کم سے کم  $2 \text{ mA}$  رکھتے ہوئے  $i_{ri} = 0.202 \text{ A}$  ہو گا جس سے  $r_i = 39.6 \Omega$  حاصل ہوتا ہے۔ داخلی برقی دباؤ  $30 \text{ V}$  کرنے سے  $i_{ri} = \frac{25-12}{39.6} = 0.3282 \text{ A}$  ہو گا۔ یوں  $i_Z = 0.3282 - 0.2 = 0.1282 \text{ A}$  اور طاقت کا ضیاع  $1.5384 \text{ W}$  ہو گا۔

سوال 2.26: شکل 2.85 میں بدلتے مزاحمت  $R_L$  اور بدلتے داخلی برقی دباؤ کی صورت میں  $v_L$  کو زیئر ڈایوڈ کے مدد سے برقرار رکھا گیا ہے۔ اس سوال میں  $R_L$  کی قیمت  $150 \Omega$  تا  $1200 \Omega$  جبکہ داخلی برقی دباؤ  $20.2 \text{ V}$  تا  $20.2 \text{ V}$  تبدیل ہو سکتے ہیں۔ گزشتہ سوال میں اس زیئر ڈایوڈ کے خصوصیات بیان کئے گئے ہیں۔

1. درکار  $r_i$  کی قیمت حاصل کریں۔

2. حاصل کردہ  $r_i$  کو استعمال کرتے ہوئے  $150 \Omega$  بوجھ اور  $20.2 \text{ V}$  داخلی برقی دباؤ پر  $i_L$  ،  $i_{ri}$  اور  $i_Z$  حاصل کریں۔

3. حاصل کردہ  $r_i$  کو استعمال کرتے ہوئے  $150 \Omega$  بوجھ اور  $25 \text{ V}$  داخلی برقی دباؤ پر  $i_L$  ،  $i_{ri}$  اور  $i_Z$  اور حاصل کریں۔



4. حاصل کردہ  $r_i$  کو استعمال کرتے ہوئے  $1200 \Omega$  بوجھ اور  $20.2 \text{ V}$  داخلی برقی دباؤ پر  $i_{ri}$  ،  $i_L$  اور  $i_Z$  حاصل کریں۔

5. حاصل کردہ  $r_i$  کو استعمال کرتے ہوئے  $1200 \Omega$  بوجھ اور  $25 \text{ V}$  داخلی برقی دباؤ پر  $i_{ri}$  ،  $i_L$  اور  $i_Z$  حاصل کریں۔

جوابات:

$$1. \quad r_i = 100 \Omega$$

$$2. \quad i_L = 80 \text{ mA}, \quad i_{ri} = 82 \text{ mA}, \quad i_Z = 2 \text{ mA}$$

$$3. \quad i_L = 80 \text{ mA}, \quad i_{ri} = 130 \text{ mA}, \quad i_Z = 50 \text{ mA}$$

$$4. \quad i_L = 10 \text{ mA}, \quad i_{ri} = 82 \text{ mA}, \quad i_Z = 72 \text{ mA}$$

$$5. \quad i_L = 10 \text{ mA}, \quad i_{ri} = 130 \text{ mA}, \quad i_Z = 120 \text{ mA}$$

سوال 2.27: سوال 2.26 میں  $r_i = 100 \Omega$  استعمال کیا جاتا ہے۔ داخلی برقی دباؤ  $20.2 \text{ V}$  کی صورت میں  $R_L = 50 \Omega$  کر دیا جاتا ہے۔ اس صورت میں  $i_L$  ،  $i_Z$  اور  $v_L$  حاصل کریں۔

جوابات:  $6.7333 \text{ V}$  ،  $134.666 \text{ mA}$  اور زیر گنٹھے سے کم برقی دباؤ پر زیر ڈایوڈ میں برقی رو  $0 \text{ A}$  ہوتی ہے۔

سوال 2.28: شکل 2.86 میں آدھاسمت کار دکھایا گیا ہے جسے  $v_i = 310 \cos \omega t$  داخلی برقی دباؤ مہیا کیا گیا ہے۔ استعمال شدہ ڈایوڈ زیادہ سے زیادہ  $1 \text{ A}$  کی اوسط برقی رو برداشت کر سکتا ہے۔ مزاحمت کی کم سے کم ممکنہ قیمت حاصل کریں۔

جواب: ڈایوڈ آدھے لہر کے لئے چالو رہتا ہے۔ آدھے لہر کی اوسط برقی رو  $\frac{V_p}{\pi R}$  کے برابر ہے۔ یوں  $R = 98.676 \Omega$  حاصل ہوتا ہے۔



## باب 3

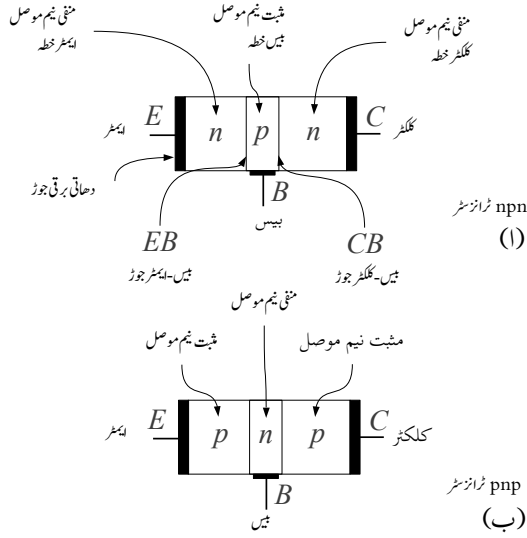
### ٹرانزسٹر (دو جوڑ ٹرانزسٹر)

برقیات میں دو اقسام کے پرزہ جات پائے جاتے ہیں۔ ان میں مزاحمت، کپیسٹر، امالہ اور ڈائیوڈ کو غیر عامل<sup>1</sup> پرزہ جات پکارا جاتا ہے جبکہ ٹرانزسٹر<sup>2</sup> کے دیگر اقسام کو عامل<sup>3</sup> پرزہ جات پکارا جاتا ہے۔ برقیات کی ترقی ٹرانزسٹر کی ایجاد کی وجہ سے ہے۔ اس باب میں دو جوڑ والے ٹرانزسٹر پر غور کیا جائے گا۔ دو جوڑ والے ٹرانزسٹر کو عموماً صرف ٹرانزسٹر کہتے ہیں۔ اگلے باب میں برقی میدان سے چلنے والے ٹرانزسٹر پر غور کیا جائے گا۔ برقی میدان سے چلنے والے ٹرانزسٹر کو اس کتاب میں میدان ٹرانزسٹر<sup>4</sup> کہا جائے گا۔

#### 3.1 ٹرانزسٹر کی ساخت اور اس کی بنیادی کارکردگی

شکل 3.1 میں دو اقسام کے ٹرانزسٹروں کی بناوٹ دکھائی گئی ہے۔ شکل الف میں دو منفی نیم موصل خطوں کے مابین ایک مثبت نیم موصل خطہ سمیٹا گیا ہے۔ اس قسم کے ٹرانزسٹر کو منفی-مجمع ٹرانزسٹر یا npn ٹرانزسٹر کہتے ہیں۔ ان تین نیم موصل خطوں کو ایمر خطہ<sup>5</sup>، بیس خطہ<sup>6</sup> اور کلکٹر خطہ<sup>7</sup> کہتے ہیں۔ شکل میں ان کی وضاحت کی گئی

passive<sup>1</sup>  
transistor<sup>2</sup>  
active<sup>3</sup>  
field effect transistor<sup>4</sup>  
emitter<sup>5</sup>  
base<sup>6</sup>  
collector<sup>7</sup>

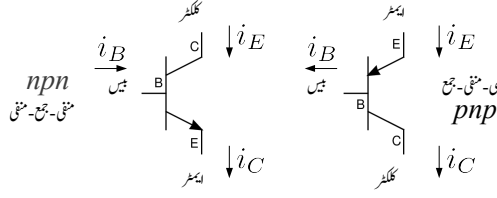


شکل 3.1: منفی-جمع-منفی ٹرانزسٹر اور جمع-منفی-جمع ٹرانزسٹر کی بناوٹ

ہے۔ اس کے برعکس شکل ب میں دو مثبت نیم موصل خطوں کے مابین ایک منفی نیم موصل خطہ سمینا گیا ہے۔ اس قسم کے ٹرانزسٹر کو جمع-منفی-جمع ٹرانزسٹر یا pnp ٹرانزسٹر کہتے ہیں۔ منفی-جمع-منفی npn ٹرانزسٹر کے تین برقی سرے ہیں جنہیں ایمر<sup>8</sup>، کلکٹر<sup>9</sup> اور بیس<sup>10</sup> کہتے ہیں۔ اس ٹرانزسٹر میں منفی نیم موصل n اور مثبت نیم موصل p خطوں کے درمیان دو p-n جوڑ ہیں جنہیں بیس-ایمر BE جوڑ اور بیس-کلکٹر BC جوڑ کہتے ہیں۔

شکل 3.2 میں دو جوڑ ٹرانزسٹر کے دو اقسام کے علامات دکھائے گئے ہیں۔ بیس-ایمر جوڑ پر تیر کا نشان ٹرانزسٹر میں اس جوڑ سے گزرتی برقی رو کی صحیح سمت دکھاتا ہے۔ یوں npn ٹرانزسٹر میں ایمر سرے سے برقی رو  $i_E$  باہر کی جانب کو جبکہ باقی دو سروں پر برقی رو ٹرانزسٹر کے اندر جانب کو ہوگی۔ pnp ٹرانزسٹر میں ایمر سرے پر برقی رو اندر جانب جبکہ باقی دو سروں پر برقی رو کی سمت ٹرانزسٹر کے باہر جانب کو ہوگی۔ ٹرانزسٹر کے بیس-ایمر جوڑ اور بیس-کلکٹر جوڑ کو سیدھا مانگنا یا الٹا مانگنا کر کے ٹرانزسٹر کو تین مختلف طریقوں پر چلایا جاسکتا ہے۔ جدول 3.1

emitter<sup>8</sup>  
collector<sup>9</sup>  
base<sup>10</sup>



شکل 3.2: ٹرانزسٹر کے علامات

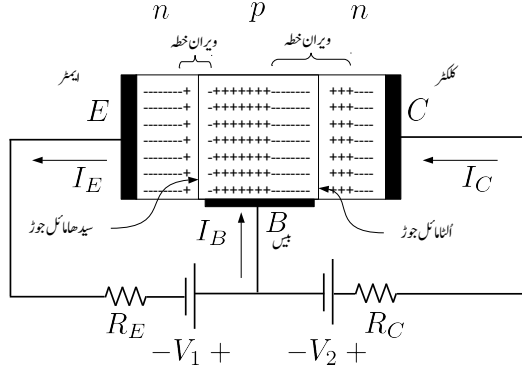
جدول 3.1: ٹرانزسٹر کے تین مختلف انداز کارکردگی

انداز کارکردگی	بیس-ایمٹر جوڑ	بیس-کلکٹر جوڑ
افزائندہ حال	سیدھا مائل	غیر چالو یا الٹا مائل
غیر افزائندہ حال	سیدھا مائل	چالو
منقطع حال	الٹا مائل	الٹا مائل

میں ٹرانزسٹر مائل کرنے کے تین ممکنہ طریقے دکھائے گئے ہیں۔ ٹرانزسٹر کو بطور ایمپلیفائر استعمال کرنے کی خاطر اسے افزائندہ حال میں رکھا جاتا ہے۔ عددیہ ادوار<sup>11</sup> میں ٹرانزسٹر کے غیر افزائندہ حال اور منقطع حال دونوں استعمال ہوتے ہیں۔

### 3.2 افزائندہ حال منفی-جمع-منفی npn ٹرانزسٹر کی کارکردگی

شکل 3.3 میں منفی-جمع-منفی npn ٹرانزسٹر کو اس طرح برقی دباؤ مہیا کئے گئے ہیں کہ اس کا بیس-ایمٹر BE جوڑ سیدھا مائل جبکہ اس کا بیس-کلکٹر BC جوڑ الٹا مائل ہو۔ یوں بیس-ایمٹر BE جوڑ پر پیداویران خطے کی لمبائی کم ہو جائے گی جبکہ بیس-کلکٹر BC جوڑ پر پیداویران خطے کی لمبائی بڑھ جائے گی۔ شکل میں منفی-جمع-منفی npn ٹرانزسٹر کے برقی سروں پر برقی رو کی سمتیں دکھائی گئی ہیں۔ شکل میں بیس خطے کے لمبائی کو بڑھا چڑھا کر دکھایا گیا ہے۔ npn ٹرانزسٹر کی کارکردگی کا دارومدار دو n خطوں کا انتہائی قریب قریب ہونے پر ہے۔ یوں حقیقت میں بیس خطے کی لمبائی چند مائیکرو میٹر  $\mu m$  ہوتی ہے۔ شکل 3.4 میں اس ٹرانزسٹر میں باروں کے حرکت کی وضاحت کی گئی ہے۔ بیس-ایمٹر جوڑ بالکل ڈایوڈ کی مانند عمل کرتا ہے۔ بیرونی برقی دباؤ کی وجہ سے آزاد الیکٹران



شکل 3.3: بیس-ایمٹر جوڑ سیدھا مائل جبکہ بیس-کلکٹر جوڑ اٹل مائل کیا گیا ہے

ایمٹر خطے سے بیس خطے میں داخل ہوتے ہیں۔ ان الیکٹرانوں کو شکل میں مدخل الیکٹران<sup>12</sup> کہا گیا ہے۔ اسی طرح بیس خطے سے آزاد خول ایمٹر خطے میں داخل ہوتے ہیں۔ ان خولوں کو شکل میں مدخل خول<sup>13</sup> کہا گیا ہے۔ منفی-جمع-منفی ٹرانزسٹر کی کارکردگی مدخل الیکٹرانوں پر منحصر ہوتی ہے جبکہ مدخل خول اس میں کوئی کردار ادا نہیں کرتے۔ چونکہ مدخل الیکٹرانوں کی تعداد ایمٹر خطے میں ملاوٹی ایٹموں کی تعداد<sup>14</sup>  $N_D$  پر منحصر ہے جبکہ مدخل خولوں کی تعداد بیس خطے میں ملاوٹی ایٹموں کی تعداد<sup>15</sup>  $N_A$  پر منحصر ہے لہذا ٹرانزسٹر کے ایمٹر خطے میں  $N_D$  کی قیمت بیس خطے میں  $N_A$  کی قیمت سے کئی درجہ زیادہ رکھی جاتی ہے۔ شکل 3.5 میں منفی-جمع-منفی  $npn$  ٹرانزسٹر میں باروں کی حرکت دکھائی گئی ہے۔ چونکہ روایتی برقی رو اور الیکٹران کے بہاؤ کی سمتیں آپس میں الٹ ہوتی ہیں لہذا اس ٹرانزسٹر کے ایمٹر سرے پر الیکٹران کا بہاؤ اندر کی جانب ہو گا۔ فرض کریں کہ ایمٹر سرے پر ہر سیکنڈ  $x$  الیکٹران ٹرانزسٹر میں داخل ہوتے ہیں۔ الیکٹران کا برقی بار<sup>15</sup>  $-q$  لکھتے ہوئے یوں ایمٹر سرے پر برقی رو  $I_E$  کی قیمت

$$(3.1) \quad I_E = xq$$

ہو گی۔ بیرونی برقی دباؤ بیس-ایمٹر جوڑ کو سیدھا مائل کئے ہوئے ہے۔ یوں اس جوڑ میں بالکل سیدھے مائل ڈیوڈ کی طرح برقی رو کا گزر ہو گا اور تمام کے تمام  $x$  الیکٹران بیس خطے میں پہنچ جائیں گے۔<sup>16</sup> بیس خطے میں مدخل

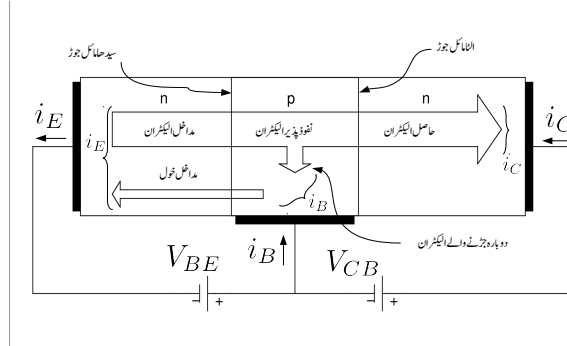
<sup>12</sup> injected electrons

<sup>13</sup> injected holes

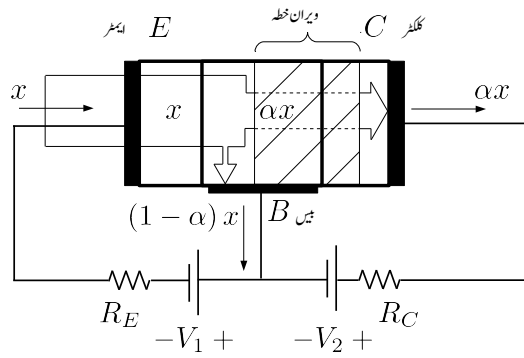
<sup>14</sup> number density

<sup>15</sup> charge

<sup>16</sup> یہاں خول کے بہاؤ کو نظر انداز کیا گیا ہے۔ اس کی بات آگے جاکر ہو گی



شکل 3.4: npn ٹرانزسٹر میں باروں کی حرکت



شکل 3.5: npn ٹرانزسٹر میں ایکٹرانوں کا بہاؤ

الیکٹران ہر جانب نفوذ پذیر ہوں گے۔ جیسا پہلے ذکر ہوا میں خطے کا بیشتر حصہ ویراض خطہ بن چکا ہے۔ میں خطے میں داخل الیکٹران اس باریک لمبائی والے میں خطے سے ٹرانزسٹر کے بیرونی سرے  $B$  تک پہنچنے کی کوشش کریں گے۔ ایسے الیکٹران حرارتی توانائی کی بدولت میں خطے میں ہر جانب نفوذ پذیر ہوں گے تاہم بیرونی برقی دباؤ  $V_I$  کی وجہ سے ان کی اوسط رفتار برقی سرے  $B$  کی جانب ہوتی ہے۔ ان الیکٹرانوں میں سے متعدد الیکٹران اس سفر کے دوران میں۔ کلکٹر جوڑ کے ویران خطے میں داخل ہو جاتے ہیں۔ جیسا کہ آپ جانتے ہیں کہ اس ویران خطے سے منفی بار تیزی سے دائیں جانب یعنی کلکٹر خطے میں منتقل ہو جاتے ہیں۔ یوں  $x$  الیکٹرانوں کا بیشتر حصہ کلکٹر خطے میں پہنچ جاتا ہے اور یہاں سے ٹرانزسٹر کے بیرونی کلکٹر سرے پر پہنچ کر برقی رو  $I_C$  پیدا کرتا ہے۔ کلکٹر خطے پہنچنے والے الیکٹرانوں کی تعداد کو  $\alpha x$  لکھا جاسکتا ہے جہاں  $\alpha$  کی قیمت عموماً 0.9 تا 0.99 ہوتی ہے۔ یوں کلکٹر سرے پر برقی رو  $I_C$  کی قیمت

$$(3.2) \quad I_C = \alpha x q$$

ہوگی۔ بقایا الیکٹران یعنی  $(1 - \alpha)x$  الیکٹران ٹرانزسٹر کے بیرونی میں سرے پہنچ کر برقی رو  $I_B$  کو جنم دیتے ہیں یعنی

$$(3.3) \quad I_B = (1 - \alpha)x q$$

ان تین مساواتوں سے حاصل ہوتا ہے

$$(3.4) \quad \begin{aligned} I_E &= x q \\ I_C &= \alpha x q = \alpha I_E \\ I_B &= (1 - \alpha)x q = (1 - \alpha) I_E \\ I_E &= I_B + I_C \end{aligned}$$

ان سے مزید حاصل ہوتا ہے

$$(3.5) \quad \begin{aligned} I_C &= \alpha I_E = \frac{\alpha}{1 - \alpha} I_B = \beta I_B \\ I_E &= I_C + I_B = (\beta + 1) I_B \end{aligned}$$

جہاں

$$(3.6) \quad \beta = \frac{\alpha}{1 - \alpha}$$



لکھا گیا ہے۔ مساوات 3.5 کو ٹکڑوں میں دوبارہ لکھتے ہیں۔

$$(3.7) \quad I_C = \alpha I_E$$

$$(3.8) \quad \beta = \frac{I_C}{I_B}$$

$$(3.9) \quad I_E = (\beta + 1) I_B$$

چونکہ  $\alpha \approx 1$  ہوتا ہے لہذا مساوات 3.7 سے ظاہر ہے کہ  $I_C$  کی قیمت تقریباً  $I_E$  کے برابر ہوگی۔ مساوات 3.8 سے ظاہر ہے کہ  $\beta$  ٹرانزسٹر کی افائنٹج برقیہ<sup>17</sup> ہے۔

مساوات 3.6 کو یوں بھی لکھ سکتے ہیں

$$(3.10) \quad \alpha = \frac{\beta}{\beta + 1}$$

مثال 3.1: مندرجہ ذیل کے لئے  $\beta$  حاصل کریں۔

$$1. \quad \alpha = 0.9$$

$$2. \quad \alpha = 0.99$$

$$3. \quad \alpha = 0.999$$

حل:

$$1. \quad \beta = \frac{\alpha}{1-\alpha} = \frac{0.9}{1-0.9} = 9$$

$$2. \quad \beta = \frac{\alpha}{1-\alpha} = \frac{0.99}{1-0.99} = 99$$

$$3. \quad \beta = \frac{\alpha}{1-\alpha} = \frac{0.999}{1-0.999} = 999$$

مثال 3.2:  $\beta = 74$  کے لئے  $\alpha$  حاصل کریں۔

$$\alpha = \frac{\beta}{\beta + 1} = \frac{74}{74 + 1} = 0.987 \text{ حل}$$

مثال 3.3: ایک ٹرانزسٹر میں ہر سیکنڈ  $6 \times 10^{15}$  الیکٹران ہیں۔ لیپٹر جوڑ سے گزرتے ہیں۔ اگر  $\alpha = 0.993$  ہو تب اس کے برقی سروں پر برقی رو حاصل کریں۔

حل: الیکٹران کا بار  $-1.6 \times 10^{-19} \text{ C}$  لیتے ہوئے

$$I_E = -nq = 6 \times 10^{15} \times 1.6 \times 10^{-19} = 9.6 \times 10^{-4} = 0.96 \text{ mA}$$

$$(3.11) \quad I_C = \alpha I_E = 0.993 \times 0.96 \times 10^{-3} = 0.95328 \text{ mA}$$

$$I_B = I_E - I_C = 6.72 \mu\text{A}$$

ٹرانزسٹر کی اہمیت  $\beta$  سے منسلک ہے۔ مساوات 3.8 کہتا ہے کہ  $I_C = \beta I_B$  ہے۔ یعنی کلکٹر سرے کا برقی رو بیس سرے کے برقی رو کے  $\beta$  گنا ہے۔ یوں اگر  $\beta$  کی قیمت 35 ہو تب بیس کے برقی رو کم یا زیادہ کرنے سے کلکٹر سرے پر برقی رو کی قیمت 35 گنا کم یا زیادہ ہو گی۔ آپ دیکھ سکتے ہیں کہ بیس سرے پر تھوڑی مقدار میں برقی رو کلکٹر سرے پر زیادہ مقدار کے برقی رو کو قابو کرتی ہے۔ اس عمل کو افزائش<sup>18</sup> کہتے ہیں۔ یوں  $\beta$  کو ٹرانزسٹر کی افزائش برقی<sup>19</sup> کہیں گے۔ ٹرانزسٹر کے افزائش کی صلاحیت ہی کی وجہ سے برقیات کے میدان کا وجود ہے۔

<sup>18</sup> gain  
<sup>19</sup> current gain

ٹرانزسٹر کا BE جوڑ بالکل سادہ ڈایوڈ کی طرح کردار ادا کرتا ہے۔ یوں اس جوڑ کے برقی رو کو

$$I_E = I'_S \left( e^{\frac{V_{BE}}{V_T}} - 1 \right)$$

لکھتے ہوئے

$$I_C = \alpha I'_S \left( e^{\frac{V_{BE}}{V_T}} - 1 \right)$$

$$I_B = \frac{\alpha I'_S}{\beta} \left( e^{\frac{V_{BE}}{V_T}} - 1 \right)$$

لکھا جاسکتا ہے۔ اگر ہم  $\alpha I'_S$  کو  $I_S$  لکھیں تب ان مساوات کو

$$I_E = \frac{I_C}{\alpha} \left( e^{\frac{V_{BE}}{V_T}} - 1 \right)$$

(3.12)

$$I_C = I_S \left( e^{\frac{V_{BE}}{V_T}} - 1 \right)$$

$$I_B = \frac{I_S}{\beta} \left( e^{\frac{V_{BE}}{V_T}} - 1 \right)$$

لکھا جاسکتا ہے۔ اس کتاب میں مساوات 3.12 ہی استعمال کئے جائیں گے۔ آپ نے دیکھا کہ  $I_B$  کم یا زیادہ کرنے سے  $I_C$  بھی کم یا زیادہ ہوتی ہے۔ حقیقت میں  $V_{BE}$  کم یا زیادہ کرنے سے  $I_B$  کم یا زیادہ کیا جاتا ہے۔ بیس-ایمپٹر جوڑ پر برقی دباؤ  $V_{BE}$  کم یا زیادہ کرنے سے  $I_E$  مساوات 3.12 کے تحت کم یا زیادہ ہوگی اور  $I_B$  بھی کم یا زیادہ ہوگی۔  $I_C$  اور  $I_B$  کی شرح  $\beta$  رہے گا۔

اب تک کی گفتگو سے ظاہر ہے کہ npn ٹرانزسٹر میں مداخل خولوں کا  $I_C$  کے پیدا کرنے میں کوئی کردار نہیں۔ اسی لئے جیسا شروع میں ذکر ہوا مداخل خولوں کی تعداد کم سے کم رکھی جاتی ہے۔

مندرجہ بالا گفتگو میں بیس-کلکٹر جوڑ کو الٹ مائل رکھا گیا۔ اُلٹے مائل ڈایوڈ کی طرح اس جوڑ میں الٹی جانب برقی رو  $I_S$  گزرے گی۔ ڈایوڈ کی طرح حقیقت میں الٹی برقی رو کی اصل قیمت تجزیہ سے حاصل  $I_S$  کی قیمت سے کئی درجہ زیادہ ہوتی ہے اور اس کی قیمت الٹی برقی دباؤ پر منحصر ہوتی ہے۔ ٹرانزسٹر میں اس برقی رو کو  $I_{CB0}$  لکھا

جاتا ہے۔  $I_{CB0}$  سے مراد ایمر سرے کو کھلے سرے رکھتے ہوئے ہیں۔ کلکٹر جوڑ پر الٹی برقی رو ہے۔ اوپر مساوات حاصل کرتے وقت  $I_{CB0}$  کو نظر انداز کیا گیا ہے۔ یوں حقیقت میں

$$(3.13) \quad I_C = \alpha I_E + I_{CB0}$$

کے برابر ہے۔  $I_{CB0}$  کی قیمت درجہ حرارت  $10^\circ\text{C}$  بڑھانے سے تقریباً دگنی ہوتی ہے۔ جدید ٹرانزسٹروں میں  $I_{CB0}$  قابل نظر انداز ہوتا ہے لہذا اس کتاب میں ہم  $I_{CB0}$  کو نظر انداز کریں گے۔

$n\text{pn}$  ٹرانزسٹر اسی صورت افزائندہ رہتا ہے جب اس کے بیس-ایمر جوڑ کو سیدھا مائل جبکہ اس کے بیس-کلکٹر جوڑ کو غیر چالو رکھا جائے۔ یوں ٹرانزسٹر کو افزائندہ حال رکھنے کی خاطر اس کے بیس-کلکٹر جوڑ پر برقی دباؤ  $V_{BE}$  مثبت رکھی جاتی ہے جبکہ اس کے بیس-کلکٹر جوڑ پر برقی دباؤ  $V_{BC}$  کو یا تو منفی رکھا جاتا ہے اور یا اسے چالو کردہ برقی دباؤ یعنی  $0.5\text{V}$  سے کم رکھا جاتا ہے۔ سیدھے مائل بیس-ایمر جوڑ پر کسی بھی سیدھے مائل جمع-منفی جوڑ کی طرح برقی دباؤ کو  $0.7\text{V}$  تصور کیا جاتا ہے۔

اب تک کے بحث میں  $\beta$  کو مستقل تصور کیا گیا۔ درحقیقت میں  $\beta$  کی قیمت از خود  $i_C$  پر منحصر ہوتی ہے۔ شکل 3.6 میں کسی ایک ٹرانزسٹر کو مثال بناتے ہوئے  $\beta$  اور  $i_C$  کا تعلق دکھایا گیا ہے۔ کسی بھی ٹرانزسٹر کو عموماً کسی خاص برقی رو کے لگ بھگ استعمال کیا گیا جاتا ہے۔ شکل میں اس کی نشاندہی کی گئی ہے۔ آپ دیکھ سکتے ہیں کہ اس خطے میں  $\beta$  کی قیمت بہت زیادہ تبدیل نہیں ہوتی اور یوں  $\beta$  میں تبدیلی کو نظر انداز کرتے ہوئے اس خطے میں اوسط  $\beta$  کے قیمت کو ٹرانزسٹر کا  $\beta$  تصور کیا جاتا ہے۔ اس کتاب میں  $i_C$  کے تبدیلی سے  $\beta$  کے تبدیلی کو نظر انداز کیا جائے گا۔

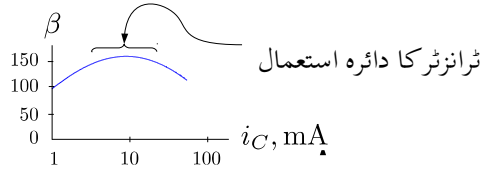
$\beta$  دو یک سمتی برقی رو یعنی  $I_C$  اور  $I_B$  کی شرح ہے جسے عموماً  $h_{FE}$  بھی لکھا جاتا ہے یعنی

$$(3.14) \quad \beta = h_{FE} = \frac{I_C}{I_B}$$

ٹرانزسٹر کو اشارے کی افزائش کے لئے استعمال کیا جاتا ہے جو کہ یک سمتی نہیں بلکہ بدلتا برقی دباؤ یا بدلتی برقی رو ہوتا ہے۔ یوں ٹرانزسٹر استعمال کرتے ہوئے ہمیں اس کے  $\frac{i_C}{i_b}$  یعنی  $\frac{\Delta i_C}{\Delta i_B}$  سے زیادہ دلچسپی ہے۔ اس شرح کو  $h_{fe}$  کہتے ہیں یعنی

$$(3.15) \quad h_{fe} = \frac{\Delta i_C}{\Delta i_B} = \frac{i_C}{i_b}$$

یوں  $h_{FE}$  کو ٹرانزسٹر کا یک سمتی افزائش برقی رو جبکہ  $h_{fe}$  کو اس کا بدلتا افزائش برقی رو کہا جاتا ہے۔ اگرچہ  $h_{FE}$  اور  $h_{fe}$  کے قیمتیں مختلف ہوتی ہیں لیکن ان میں فرق بہت زیادہ نہیں ہوتا۔ اس کتاب میں  $h_{FE}$  اور  $h_{fe}$  میں فرق کو نظر انداز کرتے ہوئے انہیں ایک ہی قیمت کا تصور کرتے ہوئے  $\beta$  سے ظاہر کیا جائے گا۔



شکل 3.6: افزائش بالمقابل برقی رو

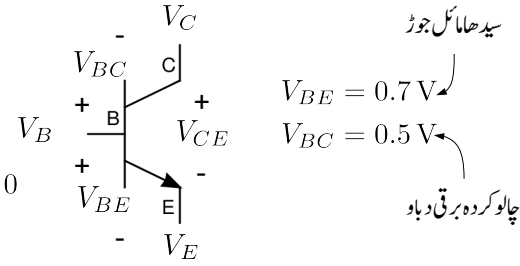
### 3.3 غیر افزائندہ کردہ برقی دباو

شکل 3.7 میں ٹرانزسٹر کے سیدھے مائل بیس-ایمیٹر جوڑ پر  $V_{BE} = 0.7V$  جبکہ اس کے بیس-کلکٹر جوڑ پر  $V_{BC} = 0.5V$  دکھائے گئے ہیں۔ جیسا شکل میں دکھایا گیا ہے اس صورت میں برقی دباو  $V_{CE}$  کی قیمت  $0.2V$  ہوتی ہے۔ اگر بیس-کلکٹر جوڑ پر برقی دباو کو اس حد (یعنی چالو کردہ برقی دباو) سے بڑھایا جائے تو  $V_{CE}$  کی قیمت  $0.2V$  سے کم ہو جائے گی اور ٹرانزسٹر غیر افزائندہ صورت اختیار کر لے گا۔ لہذا افزائندہ حال ٹرانزسٹر پر برقی دباو  $V_{CE}$  کی قیمت  $0.2V$  سے زیادہ رہتی ہے۔  $V_{CE}$  کے اس قیمت کو ٹرانزسٹر کا غیر افزائندہ برقی دباو غیر افزائندہ  $V_{CE}$  کہتے ہیں<sup>20</sup> یعنی

$$(3.16) \quad V_{CE \text{ افزائندہ}} = 0.2V$$

### 3.4 افزائندہ حال جمع-منفی $pnp$ ٹرانزسٹر کی کارکردگی

شکل 3.8 میں  $pnp$  ٹرانزسٹر کے بیس-ایمیٹر جوڑ کو سیدھا مائل جبکہ بیس-کلکٹر جوڑ کو الٹا مائل کرتے ہوئے اسے افزائندہ خطے میں رکھا گیا ہے۔  $pnp$  ٹرانزسٹر کی کارکردگی بالکل  $nnp$  ٹرانزسٹر کی طرح ہے۔ فرق صرف اتنا ہے کہ  $nnp$  ٹرانزسٹر میں برقی رو کا وجود ٹرانزسٹر میں الیکٹرانوں کی حرکت سے ہوتا ہے جبکہ  $pnp$  ٹرانزسٹر میں برقی رو کا وجود ٹرانزسٹر میں خولوں کی حرکت سے ہوتا ہے۔

$$\begin{aligned}
 V_{BC} &= V_B - V_C \\
 V_{BE} &= V_B - V_E \\
 V_{CE} &= V_C - V_E \\
 V_{CE} + V_{BC} - V_{BE} &= 0 \\
 V_{CE} &= V_{BE} - V_{BC} \\
 &= 0.7 - 0.5 \\
 &= 0.2 \text{ V}
 \end{aligned}$$


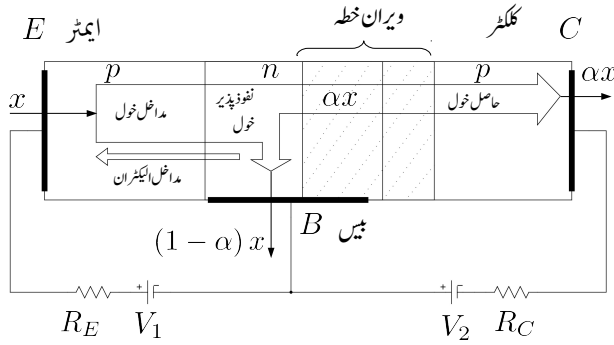
سیدھا مائل جوڑ

چالو کردہ برقی دباؤ

$V_{BE} = 0.7 \text{ V}$

$V_{BC} = 0.5 \text{ V}$

شکل 3.7: ٹرانزسٹر کی غیر افتراسندہ کردہ برقی دباؤ



شکل 3.8: pnp ٹرانزسٹر میں خول کا بہاؤ

جیسا شکل میں دکھایا گیا ہے، بیرونی لاگو برقی دباؤ  $V_1$  ایسٹر۔ بیس جوڑ کو سیدھا مائل کرتا ہے جس سے ایسٹر سے بیس خطے میں خول داخل ہوتے ہیں اور بیس خطے سے ایسٹر خطے میں الیکٹران داخل ہوتے ہیں۔ چونکہ بیس خطے میں الیکٹران کی تعدادی کثافت ایسٹر میں خول کی تعدادی کثافت سے کئی درجے کم رکھی جاتی ہے لہذا ایسٹر سے بیس خطے میں داخل ہونے والے خولوں کی تعداد بیس سے ایسٹر داخل ہونے والے الیکٹرانوں کی تعداد سے کئی درجے زیادہ ہوتی ہے۔ بیس خطے کی لمبائی نہایت کم ہوتی ہے اور یوں بیس خطے میں داخل ہونے والے خولوں کا بیشتر حصہ بیس۔ کلکٹر جوڑ پر پائے جانے والے ویران خطے تک پہنچتا ہے۔ ویران خطے میں خول داخل ہوتے ہی یہاں پائے جانے والے برقی میدان کی وجہ سے کلکٹر میں دھکیل دئے جاتے ہیں۔ یوں ایسٹر سے بیس میں خارج کئے جانے والے خولوں کا بیشتر حصہ کلکٹر پہنچ کر  $I_C$  پیدا کرتا ہے۔ کلکٹر کے دھاتی جوڑ پر پہنچنے والا ہر خول، ٹرانزسٹر میں باہر سے آنے والے الیکٹران کے ساتھ مل کر ختم ہوتا ہے۔ یوں بیرونی دور میں برقی رو الیکٹران کے حرکت سے جبکہ  $pnp$  کے اندر برقی رو خول کے حرکت سے پیدا ہوتا ہے۔

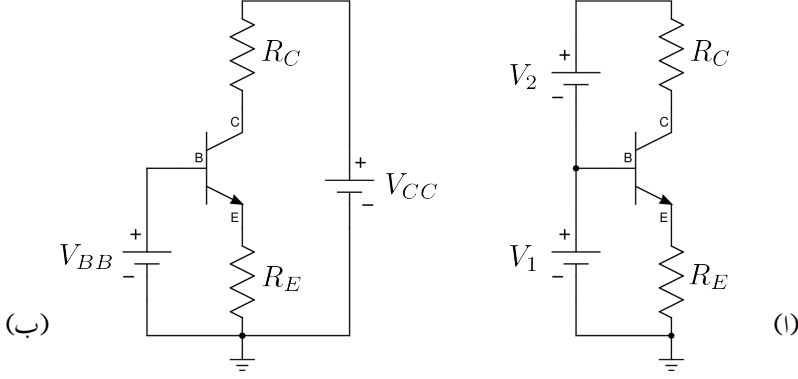
#### 3.4.1 $pnp$ کے $V_{EB}$ اور $V_{EC}$

$nnp$  ٹرانزسٹر کے سیدھے مائل بیس۔ ایسٹر جوڑ پر  $V_{BE} = 0.7V$  پایا جاتا ہے اور  $V_{CE} = 0.2V$  غیر افزائندہ  $pnp$  ٹرانزسٹر غیر افزائندہ ہو جاتا ہے۔  $pnp$  ٹرانزسٹر میں بھی ایسا ہی ہوتا ہے پس جوڑ کے نام لٹے لکھنے پڑتے ہیں یعنی  $pnp$  کے سیدھے مائل ایسٹر۔ بیس جوڑ پر  $V_{EB} = 0.7V$  پایا جاتا ہے اور  $V_{EC} = 0.2V$  غیر افزائندہ  $pnp$  ٹرانزسٹر غیر افزائندہ ہو جاتا ہے۔

### 3.5 نقطہ کارکردگی اور یک سمتی ادوار کا تحلیلی تجزیہ

ٹرانزسٹر کے ساتھ مزاحمت (مزاحمتیں) اور یک سمتی منبع برقی دباؤ (برقی رو) منسلک کر کے اسے تین مختلف طرز پر چلایا جاسکتا ہے۔ ان تین طریقوں کو جدول میں بیان کیا گیا ہے۔ ٹرانزسٹر کے نقطہ کارکردگی (نقطہ مائل) پر اس کے یک سمتی برقی رو کو  $I_E$ ،  $I_C$ ،  $I_B$  اور یک سمتی برقی دباؤ کو  $V_{BE}$ ،  $V_{CE}$ ،  $V_{BC}$  لکھتے ہیں۔ ڈیوڈ کے نقطہ مائل کی طرز پر ان قیمتوں کے لکھنے کا درست انداز  $I_{BQ}$ ،  $I_{CQ}$ ،  $I_{EQ}$ ،  $V_{CEQ}$  وغیرہ ہے۔ اس کتاب میں جہاں غلطی کی گنجائش نہ ہو وہاں ان قیمتوں کو پہلی طرز پر لکھا جائے گا جیسے  $I_{CQ}$  کو  $I_C$  لکھا جائے گا۔

اس حصے میں ٹرانزسٹر کے یک سمتی ادوار حل کرنے پر غور کیا جائے گا جہاں ٹرانزسٹر کے مختلف حال یعنی افزائندہ حال، غیر افزائندہ حال اور منقطع حال باری باری دیکھے جائیں گے۔



شکل 3.9: ٹرانزسٹر کو افزائندہ حال مائل کرنے کے طریقے

### 3.5.1 افزائندہ ٹرانزسٹر کے یک سمتی ادوار کا حل

ٹرانزسٹر کی علامت استعمال کرتے ہوئے شکل 3.5 کو شکل 3.9 الف میں دوبارہ دکھایا گیا ہے۔ شکل 3.9 الف کو شکل 3.9 ب کے طرز پر بھی بنایا جاسکتا ہے جہاں  $V_1$  کی جگہ  $V_{BB}$  لکھا گیا ہے اور  $(V_1 + V_2)$  کی جگہ  $V_{CC}$  لکھا گیا ہے۔ ٹرانزسٹر ادوار کو عموماً شکل ب کی طرز پر بنایا جاتا ہے۔

مثال 3.4: شکل 3.9 الف میں  $V_1$  کی قیمت تین وولٹ اور  $V_2$  کی قیمت آٹھ وولٹ ہونے کی صورت میں اس کے مساوی دور شکل 3.9 ب میں  $V_{BB}$  اور  $V_{CC}$  کی قیمتیں حاصل کریں۔

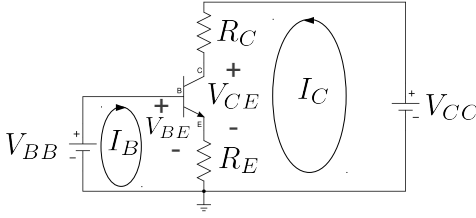
حل:

$$(3.17) \quad V_{BB} = V_1 = 3 \text{ V}$$

$$(3.18) \quad V_{CC} = V_1 + V_2 = 3 + 8 = 11 \text{ V}$$

لہذا  $V_{BB}$  کی قیمت تین وولٹ جبکہ  $V_{CC}$  کی قیمت گیارہ وولٹ ہے۔





$$V_{BB} = V_{BE} + (I_B + I_C) R_E$$

$$= V_{BE} + I_E R_E$$

$$I_E = \frac{V_{BB} - V_{BE}}{R_E} \approx I_C$$

$$V_{CC} = I_C R_C + V_{CE} + I_E R_E$$

$$\approx I_C R_C + V_{CE} + I_C R_E$$

$$V_{CE} = V_{CC} - I_C (R_C + R_E)$$

شکل 3.10: ٹرانزسٹر کا بنیادی دور

شکل 3.10 میں ٹرانزسٹر کا دور دکھایا گیا ہے۔ داخلی جانب کرخوف کے قانون برائے برقی دباؤ کی مدد سے ہم ٹرانزسٹر میں برقی رو  $I_C$  یوں حاصل کر سکتے ہیں۔

$$V_{BB} = V_{BE} + (I_B + I_C) R_E$$

$$V_{BB} = V_{BE} + I_E R_E$$

$$(3.19) \quad I_E = \frac{V_{BB} - V_{BE}}{R_E}$$

$$I_C = \alpha I_E$$

$$I_B = \frac{I_E}{\beta + 1}$$

جہاں دوسرے قدم پر  $I_B + I_C = I_E$  لکھا گیا ہے۔ ٹرانزسٹر کے ادوار حل کرتے ہوئے عموماً  $I_C$  کو  $I_E$  کے برابر ہی تصور کیا جاتا ہے۔ ٹرانزسٹر کے سیدھے مائل بیس-ایمٹر جوڑ پر برقی دباؤ کو  $V_{BE}$  لکھا جاتا ہے جس کی عمومی قیمت کسی بھی سیدھے مائل ڈایوڈ کی طرح 0.7V تصور کی جاتی ہے۔ یعنی

$$(3.20) \quad V_{BE} = 0.7V$$

اسی طرح خارجی جانب کرخوف کے قانون برائے برقی دباؤ کی مدد سے ٹرانزسٹر کے کلکٹر-ایمٹر سروں کے مابین برقی دباؤ  $V_{CE}$  یوں حاصل کی جاتی ہے۔

$$V_{CC} = I_C R_C + V_{CE} + (I_B + I_C) R_E$$

$$(3.21) \quad V_{CC} = I_C R_C + V_{CE} + I_E R_E$$

$$V_{CE} = V_{CC} - I_C R_C - I_E R_E$$

$$V_{CE} \approx V_{CC} - I_C (R_C + R_E)$$

جہاں آخری قدم پر  $I_E \approx I_C$  لیا گیا۔ حاصل کردہ برقی دباؤ  $V_{CE}$  کی قیمت غیر افزائندہ  $V_{CE}$  سے کم ہونے کی

صورت میں ٹرانزسٹر غیر افزائندہ ہو گا اور مندرجہ بالا جوابات درست نہیں ہوں گے۔ اس صورت حال پر آگے جا کر تجزیہ کیا جائے گا۔

مثال 3.5: شکل 3.10 میں

$$\begin{aligned} V_{CC} &= 12 \text{ V} \\ V_{BB} &= 1.2 \text{ V} \\ R_C &= 10 \text{ k}\Omega \\ R_E &= 1 \text{ k}\Omega \end{aligned}$$

ہونے کی صورت میں برقی رو  $I_C$  اور برقی دباؤ  $V_{CE}$  حاصل کریں۔

حل: مساوات 3.19 کی مدد سے

$$\begin{aligned} I_E &= \frac{V_{BB} - V_{BE}}{R_E} = \frac{1.2 - 0.7}{1000} = 0.5 \text{ mA} \\ I_C &\approx I_E = 0.5 \text{ mA} \end{aligned}$$

اور مساوات 3.21 کی مدد سے

$$\begin{aligned} V_{CE} &\approx V_{CC} - I_C(R_C + R_E) \\ &= 12 - 0.5 \times 10^{-3}(10000 + 1000) \\ &= 6.5 \text{ V} \end{aligned}$$

چونکہ حاصل کردہ  $V_{CE}$  کی قیمت غیر افزائندہ  $V_{CE}$  سے زیادہ ہے لہذا ٹرانزسٹر افزائندہ حال ہے اور یوں تمام حاصل کردہ جوابات درست ہیں۔

مثال 3.6: مثال 3.5 میں ٹرانزسٹر کی افزائش برقی رو  $\beta = 99$  تصور کرتے ہوئے برقی رو  $I_C$  اور برقی دباؤ  $V_{CE}$  کی اصل قیمتیں حاصل کریں۔ ان قیمتوں کا گزشتہ مثال میں حاصل کی گئی قیمتوں سے موازنہ کریں۔

حل: مساوات 3.10 سے  $\alpha = \frac{\beta}{\beta+1} = \frac{99}{99+1} = 0.99$  ہے۔

یوں  $I_C = \alpha I_E = 0.99 \times 0.5 \text{ mA} = 0.495 \text{ mA}$  جبکہ مساوات 3.21 سے

$$\begin{aligned} V_{CE} &= V_{CC} - I_C R_C - I_E R_E \\ &= 12 - (0.495 \times 10^{-3} \times 10000) - (0.5 \times 10^{-3} \times 1000) \\ &= 6.55 \text{ V} \end{aligned}$$

چونکہ حاصل کردہ  $V_{CE}$  کی قیمت غیر افراستہ  $V_{CE}$  سے زیادہ ہے لہذا ٹرانزسٹر افراستہ حال ہے اور یوں تمام حاصل کردہ جوابات درست ہیں۔

آپ دیکھ سکتے ہیں کہ  $\alpha$  کی قیمت ایک (1) تصور کر کے یعنی اس کے اثر کو نظر انداز کرتے ہوئے  $I_C$  کی قیمت  $0.495 \text{ mA}$  کے بجائے  $0.5 \text{ mA}$  حاصل ہوتی ہے۔ دونوں جوابات میں صرف 1.01 % فرق ہے یعنی

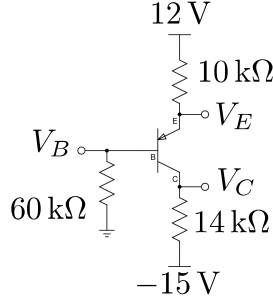
$$\left| \frac{0.495 \times 10^{-3} - 0.5 \times 10^{-3}}{0.495 \times 10^{-3}} \right| \times 100 = 1.01 \%$$

اسی طرح دونوں مثالوں میں حاصل کئے گئے برقی دباؤ  $V_{CE}$  میں 0.76 فی صد کا فرق ہے یعنی

$$\left| \frac{6.55 - 6.5}{6.55} \right| \times 100 = 0.76 \%$$

گزشتہ دو مثالوں سے ظاہر ہے کہ ٹرانزسٹر کے ادوار حل کرتے ہوئے  $\alpha$  کی قیمت ایک (1) تصور کی جا سکتی ہے۔ ٹرانزسٹر کے ادوار قلم و کاغذ کی مدد سے حل کرتے ہوئے عموماً ایسا ہی کیا جاتا ہے اور نتیجتاً  $I_E$  کی جگہ  $I_C$  ہی کی قیمت استعمال کی جاتی ہے۔  $I_C \approx I_E$  لینے کا مطلب  $I_B$  کو نظر انداز کرنا ہے۔

مثال 3.7: شکل 3.11 میں  $V_B = 1.884 \text{ V}$  اور  $V_E = 2.584 \text{ V}$  ہیں۔ ٹرانزسٹر کا  $\beta$  حاصل کریں۔ مزید  $V_C$  کا بھی تخمینہ لگائیں۔



شکل 3.11: ٹرانزسٹر کے  $\beta$  کا حصول۔

حل: شکل کو دیکھ کر

$$I_B = \frac{1.884}{60000} = 31.4 \mu\text{A}$$

$$I_E = \frac{12 - 2.584}{10000} = 0.942 \text{ mA}$$

لکھے جاسکتے ہیں جن سے

$$\beta + 1 = \frac{I_E}{I_B} = \frac{0.942 \text{ mA}}{31.4 \mu\text{A}} = 30$$

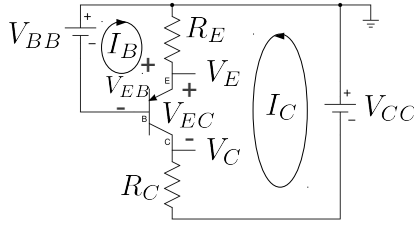
یعنی  $\beta = 29$  حاصل ہوتا ہے۔ اس طرح

$$I_C = \beta I_B = 29 \times 31.4 \mu\text{A} = 0.91 \text{ mA}$$

اور

$$V_C = 0.91 \times 10^{-3} \times 14000 - 15 = -2.26 \text{ V}$$

حاصل ہوتے ہیں۔



$$V_{BB} = (I_B + I_C) R_E + V_{EB}$$

$$= I_E R_E + V_{EB}$$

$$I_E = \frac{V_{BB} - V_{EB}}{R_E} \approx I_C$$

$$V_{CC} = I_E R_E + V_{EC} + I_C R_C$$

$$\approx I_C R_E + V_{EC} + I_C R_C$$

$$V_{EC} = V_{CC} - I_C (R_E + R_C)$$

شکل 3.12: جمع منفی جمع ٹرانزسٹر کا سادہ دور

مثال 3.8: شکل 3.12 میں

$$V_{CC} = 12 \text{ V}$$

$$V_{BB} = 1.2 \text{ V}$$

$$R_C = 10 \text{ k}\Omega$$

$$R_E = 1 \text{ k}\Omega$$

ہیں۔  $I_C$  اور  $V_{EC}$  حاصل کریں۔

حل: بیس جانب کرخوف کے قانون برائے برقی دباؤ کی مدد سے

$$V_{BB} = (I_B + I_C) R_E + V_{EB}$$

$$= I_E R_E + V_{EB}$$

لکھا جاسکتا ہے جہاں دوسرے قدم پر  $I_B + I_C$  کو  $I_E$  لکھا گیا ہے۔ یوں

$$I_E = \frac{V_{BB} - V_{EB}}{R_E} = \frac{1.2 - 0.7}{1000} = 0.5 \text{ mA}$$

$$I_C \approx I_E = 0.5 \text{ mA}$$

حاصل ہوتا ہے۔ اسی طرح کرخوف کے قانون برائے برقی دباؤ کی مدد سے

$$V_{CC} = (I_B + I_C) R_E + V_{EC} + I_C R_C$$

$$= I_E R_E + I_C R_C + V_{EC}$$

لکھا جاسکتا ہے۔ اگر  $I_E \approx I_C$  لیا جائے تب

$$V_{EC} = V_{CC} - I_C (R_E + R_C)$$

$$= 12 - 0.5 \times 10^{-3} \times (1000 + 10000)$$

$$= 6.5 \text{ V}$$

حاصل ہوتا ہے۔ اس مثال کا مثال 3.5 کے ساتھ موازنہ کریں۔

مثال 3.9: شکل 3.13 میں دکھائے گئے ٹرانزسٹر دور میں

$$V_{CC} = 15 \text{ V}$$

$$V_{BB} = 1.1 \text{ V}$$

$$R_C = 5.6 \text{ k}\Omega$$

$$R_E = 900 \Omega$$

$$\beta = 36$$

ہیں۔ اس دور میں ٹرانزسٹر کے تینوں سروں پر برقی دباؤ اور برقی رو حاصل کریں۔

حل: ٹرانزسٹر کے داخلی جانب کرخوف کے قانون برائے برقی دباؤ کی مدد سے  $I_E$  حاصل کرتے ہیں۔

$$V_{BB} = V_{BE} + I_E R_E$$

$$I_E = \frac{V_{BB} - V_{BE}}{R_E}$$

$$= \frac{1.1 - 0.7}{900}$$

$$= 0.44 \text{ mA}$$

عموماً  $I_C$  کو  $I_E$  کے برابر ہی تصور کیا جاتا ہے لیکن چونکہ یہاں خصوصی طور پر تمام برقی رومانگی گئی ہیں لہذا ہم

ان کی اصل قیمتیں حاصل کرتے ہیں۔

$$\begin{aligned}\alpha &= \frac{\beta}{\beta + 1} \\ &= \frac{36}{36 + 1} \\ &= 0.97297\end{aligned}$$

$$\begin{aligned}I_C &= \alpha I_E \\ &= 0.97297 \times 0.4444 \times 10^{-3} \\ &= 0.432 \text{ mA}\end{aligned}$$

$$\begin{aligned}I_B &= \frac{I_E}{\beta + 1} \\ &= \frac{0.4444 \times 10^{-3}}{36 + 1} \\ &= 12.01 \mu\text{A}\end{aligned}$$

آپ دیکھ سکتے ہیں کہ  $\beta$  کی قیمت کم ہونے کی صورت میں  $I_C$  اور  $I_E$  کی قیمتوں میں فرق بڑھ جاتا ہے اگرچہ انہیں پھر بھی، قلم و کاغذ کی مدد سے حل کرتے ہوئے، برابر ہی تصور کیا جاتا ہے۔

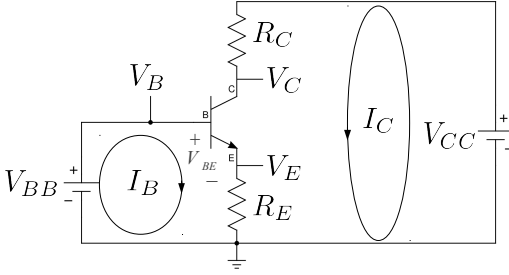
ٹرانزسٹر کے سروں پر برقی دباؤ حاصل کرتے ہیں۔

$$\begin{aligned}V_C &= V_{CC} - I_C R_C \\ &= 15 - 0.432 \times 10^{-3} \times 5.6 \times 10^3 \\ &= 12.581 \text{ V}\end{aligned}$$

$$\begin{aligned}V_E &= I_E R_E \\ &= 0.4444 \times 10^{-3} \times 900 \\ &\approx 0.4 \text{ V}\end{aligned}$$

$$\begin{aligned}V_B &= V_E + V_{BE} \\ &= 0.4 + 0.7 \\ &= 1.1 \text{ V}\end{aligned}$$

$$\begin{aligned}V_{CE} &= V_C - V_E \\ &= 12.581 - 0.4 \\ &= 12.181 \text{ V}\end{aligned}$$



$$V_{BB} = V_{BE} + (I_B + I_C) R_E$$

$$= V_{BE} + I_E R_E$$

$$I_E = \frac{V_{BB} - V_{BE}}{R_E} \approx I_C$$

$$V_C = V_{CC} - I_C R_C$$

$$V_E = I_E R_E$$

$$V_B = V_E + V_{BE}$$

$$= I_E R_E + V_{BE}$$

$$V_{CE} = V_C - V_E$$

$$= V_{CC} - I_C R_C - I_E R_E$$

شکل 3.13: ٹرانزسٹر دور کی مثال

چونکہ ٹرانزسٹر کے بیس پر 1.1 V لاگو کیا گیا ہے لہذا ایسٹر پر برقی دباؤ کو یوں بھی حاصل کیا جاسکتا ہے

$$V_E = V_B - V_{BE} = 1.1 - 0.7 = 0.4 \text{ V}$$

مثال 3.10: شکل 3.12 میں دکھائے گئے ٹرانزسٹر دور میں

$$V_{CC} = 15 \text{ V}$$

$$V_{BB} = 1.1 \text{ V}$$

$$R_C = 5.6 \text{ k}\Omega$$

$$R_E = 900 \Omega$$

$$\beta = 36$$

ہیں۔ اس دور میں ٹرانزسٹر کے تینوں سروں پر برقی دباؤ اور برقی رو حاصل کریں۔



حل: ٹرانزسٹر کے داخلی جانب کرخوف کے قانون برائے برقی دباؤ کی مدد سے  $I_E$  حاصل کرتے ہیں۔

$$\begin{aligned} V_{BB} &= I_E R_E + V_{EB} \\ I_E &= \frac{V_{BB} - V_{EB}}{R_E} \\ &= \frac{1.1 - 0.7}{900} \\ &= 0.44 \text{ mA} \end{aligned}$$

عموماً  $I_C$  اور  $I_E$  کے ٹھیک ٹھیک قیمتیں حاصل کرتے ہیں۔

$$\begin{aligned} \alpha &= \frac{\beta}{\beta + 1} \\ &= \frac{36}{36 + 1} \\ &= 0.97297 \end{aligned}$$

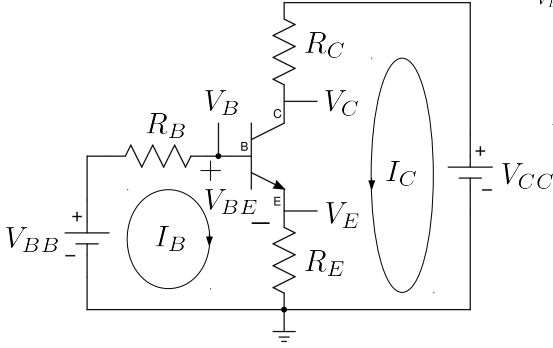
$$\begin{aligned} I_C &= \alpha I_E \\ &= 0.97297 \times 0.4444 \times 10^{-3} \\ &= 0.432 \text{ mA} \end{aligned}$$

$$\begin{aligned} I_B &= \frac{I_E}{\beta + 1} \\ &= \frac{0.4444 \times 10^{-3}}{36 + 1} \\ &= 12.01 \mu\text{A} \end{aligned}$$

ٹرانزسٹر کے سروں پر برقی دباؤ حاصل کرتے ہیں۔

$$\begin{aligned} V_C &= -V_{CC} + I_C R_C \\ &= -15 + 0.432 \times 10^{-3} \times 5.6 \times 10^3 \\ &= -12.581 \text{ V} \end{aligned}$$

$$\begin{aligned} V_E &= -I_E R_E \\ &= -0.4444 \times 10^{-3} \times 900 \\ &\approx -0.4 \text{ V} \end{aligned}$$



$$\begin{aligned}
 V_{BB} &= I_B R_B + V_{BE} + (I_B + I_C) R_E \\
 &= I_B R_B + V_{BE} + I_E R_E \\
 &= \frac{I_E}{\beta + 1} R_B + V_{BE} + I_E R_E \\
 I_E &= \frac{V_{BB} - V_{BE}}{\frac{R_B}{\beta + 1} + R_E} \approx I_C
 \end{aligned}$$

$$\begin{aligned}
 V_C &= V_{CC} - I_C R_C \\
 V_E &= I_E R_E \\
 V_B &= V_{BE} + V_E = V_{BE} + I_E R_E \\
 &= V_{BB} - I_B R_B
 \end{aligned}$$

شکل 3.14: ٹرانزسٹر دور جہاں تینوں سروں کے ساتھ مزاحمت منسلک ہیں

$$\begin{aligned}
 V_B &= V_E - V_{EB} \\
 &= -0.4 - 0.7 \\
 &= -1.1 \text{ V}
 \end{aligned}$$

$$\begin{aligned}
 V_{EC} &= V_E - V_C \\
 &= -0.4 + 12.581 \\
 &= 12.181 \text{ V}
 \end{aligned}$$

چونکہ بیس پر برقی دباؤ  $-1.1 \text{ V}$  لاگو کیا گیا ہے لہذا  $V_E = V_B + V_{EB}$  لکھ کر بھی حاصل کیا جاسکتا ہے  
یعنی

$$V_E = V_B + V_{EB} = -1.1 + 0.7 = -0.4 \text{ V}$$

شکل 3.14 میں دکھائے دور کے داخلی جانب  $R_B$  نصب کیا گیا ہے۔ اس دور کو بھی گزشتہ دوروں کی طرح

حل کیا جاتا ہے۔ داخلی جانب کرخوف کے قانون برائے برقی دباؤ کی مدد سے

$$\begin{aligned}
 V_{BB} &= I_B R_B + V_{BE} + (I_B + I_C) R_E \\
 V_{BB} &= \frac{I_E}{\beta + 1} R_B + V_{BE} + I_E R_E \\
 I_E &= \frac{V_{BB} - V_{BE}}{\frac{R_B}{\beta + 1} + R_E} \approx I_C
 \end{aligned}
 \tag{3.22}$$

حاصل ہوتا ہے۔ اسی طرح دور کے خارجی جانب ہم لکھ سکتے ہیں

$$V_{CC} = I_C R_C + V_{CE} + (I_B + I_C) R_E \tag{3.23}$$

$$V_{CC} = I_C R_C + V_{CE} + I_E R_E \tag{3.24}$$

$$V_{CE} = V_{CC} - I_C R_C - I_E R_E \tag{3.25}$$

$$V_{CE} \approx V_{CC} - I_C (R_C + R_E) \tag{3.26}$$

مثال 3.11: شکل 3.15 میں

$$V_{CC} = 15 \text{ V}$$

$$V_{BB} = 1.1 \text{ V}$$

$$R_C = 5.6 \text{ k}\Omega$$

$$R_E = 900 \Omega$$

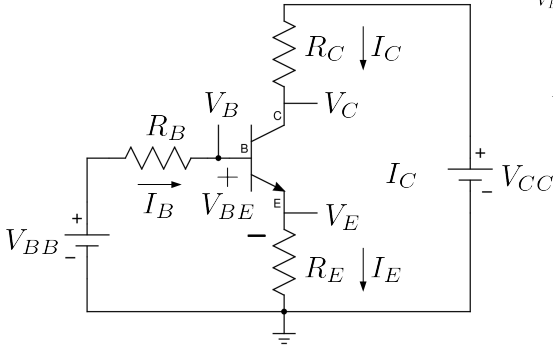
$$R_B = 3.3 \text{ k}\Omega$$

$$\beta = 36$$

ہونے کی صورت میں  $I_C$  اور  $V_{CE}$  حاصل کریں۔

حل: شکل میں ٹرانزسٹر کے تینوں سروں پر ٹرانزسٹر کے برقی رو لکھے گئے ہیں۔ یوں ہمیں جانب

$$\begin{aligned}
 V_{BB} &= I_B R_B + V_{BE} + I_E R_E \\
 &= \left( \frac{I_E}{\beta + 1} \right) R_B + V_{BE} + I_E R_E \\
 &= \left( \frac{R_B}{\beta + 1} \right) I_E + V_{BE}
 \end{aligned}$$



$$\begin{aligned}
 V_{BB} &= I_B R_B + V_{BE} + I_E R_E \\
 &= \frac{I_E}{\beta + 1} R_B + V_{BE} + I_E R_E \\
 I_E &= \frac{V_{BB} - V_{BE}}{\frac{R_B}{\beta + 1} + R_E} \approx I_C
 \end{aligned}$$

$$\begin{aligned}
 V_C &= V_{CC} - I_C R_C \\
 V_E &= I_E R_E \\
 V_B &= V_{BE} + V_E = V_{BE} + I_E R_E \\
 &= V_{BB} - I_B R_B
 \end{aligned}$$

شکل 3.15

لکھا جاسکتا ہے جس سے

$$I_E = \frac{1.1 - 0.7}{\frac{3300}{36+1} + 900} = 0.404 \text{ mA} \approx I_C$$

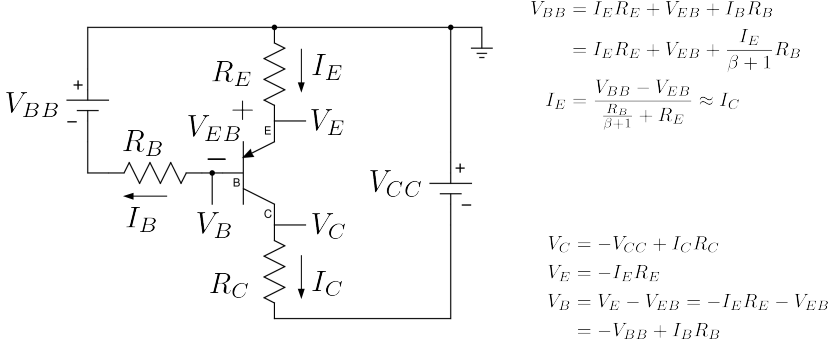
حاصل ہوتا ہے۔ اسی طرح خارجی جانب

$$\begin{aligned}
 V_{CC} &= I_C R_C + V_{CE} + I_E R_E \\
 &\approx (R_C + R_E) I_C + V_{CE}
 \end{aligned}$$

سے

$$V_{CE} = 15 - 4.04 \times 10^{-4} \times (5600 + 900) = 12.374 \text{ V}$$

حاصل ہوتا ہے۔ چونکہ  $V_{CE} < V_{CE \text{ فیڈ بک}}$  ہے لہذا ٹرانزسٹر فیڈ بک حالت میں ہے اور  $V_{CE}$  کا یہی درست جواب ہے۔



شکل 3.16

مثال 3.12: شکل 3.16 میں

$$\begin{aligned}
 V_{CC} &= 12 \text{ V} \\
 V_{BB} &= 1.2 \text{ V} \\
 R_C &= 4.7 \text{ k}\Omega \\
 R_E &= 1.2 \text{ k}\Omega \\
 R_B &= 2.8 \text{ k}\Omega \\
 \beta &= 27
 \end{aligned}$$

ہونے کی صورت میں  $I_C$  اور  $V_{EC}$  حاصل کریں۔

حل: پیس جانب

$$\begin{aligned}
 V_{BB} &= I_E R_E + V_{EB} + I_B R_B \\
 &= I_E R_E + V_{EB} + \left( \frac{I_E}{\beta + 1} \right) R_B \\
 &= V_{EB} + \left( R_E + \frac{R_B}{\beta + 1} \right) I_E
 \end{aligned}$$

سے

$$\begin{aligned}
 I_E &= \frac{V_{BB} - V_{EB}}{R_E + \frac{R_B}{\beta + 1}} \\
 &= \frac{1.2 - 0.7}{1200 + \frac{2800}{27 + 1}} \\
 &= 0.385 \text{ mA}
 \end{aligned}$$

حاصل ہوتا ہے۔ اسی طرح ہم لکھ سکتے ہیں۔

$$\begin{aligned}
 V_{CC} &= I_E R_E + V_{EC} + I_C R_C \\
 &\approx V_{EB} + I_C (R_E + R_C)
 \end{aligned}$$

جس سے

$$\begin{aligned}
 V_{EC} &= V_{CC} - I_C (R_E + R_C) \\
 &= 12 - 0.385 \times 10^{-3} \times (1200 + 4700) \\
 &= 9.73 \text{ V}
 \end{aligned}$$

حاصل ہوتا ہے۔ چونکہ حاصل  $V_{EC}$  کی قیمت  $0.2 \text{ V}$  سے زیادہ ہے لہذا ٹرانزسٹر افزائندہ ہی ہے اور یہی درست جوابات ہیں۔

ٹرانزسٹر کو افزائندہ حال رکھنے کی خاطر اس کے بیس-ایمٹر جوڑ کو سیدھا مائل جبکہ اس کے بیس-کلکٹر جوڑ کو غیر چالو رکھا جاتا ہے۔ اب تک دکھائے گئے ادوار میں ایسا کرنے کی خاطر دو عدد منبع برقی دباؤ یعنی  $V_{BB}$  اور  $V_{CC}$  استعمال کئے گئے۔ ٹرانزسٹر کے دونوں جوڑوں کو صرف ایک عدد منبع برقی دباؤ کی مدد سے بھی درست مائل کیا جاسکتا ہے۔ اس عمل کو دیکھتے ہیں۔

شکل 3.17 الف میں داخلی جانب  $R_1$  اور  $R_2$  نصب کئے گئے ہیں۔ شکل 3.17 ب میں اسی دور کو قدر مختلف طرز پر بنایا گیا ہے جہاں داخلی جانب کے حصے کو نقطے دار لکیر سے گھیرا گیا ہے۔

مسئلہ تھون کے مطابق کسی بھی خطی دور کا مساوی تھون دور حاصل کیا جاسکتا ہے جو ایک عدد تھون مزاحمت  $R_{th}$  اور ایک عدد تھون برقی دباؤ  $V_{th}$  پر مشتمل ہوتا ہے۔

جن دو برقی سروں پر تھون مساوی دور درکار ہو ان سروں کو آزاد یعنی کھلے سرے رکھ کر یہاں کا برقی دباؤ حاصل کیا جاتا ہے۔ یہی تھون برقی دباؤ  $V_{th}$  کہلاتا ہے۔ یہ عمل شکل 3.17 پ میں دکھایا گیا ہے۔ اسی طرح تھون مزاحمت  $R_{th}$  حاصل کرنے کی خاطر دور کے اندرونی منبع برقی دباؤ کو قصر دور<sup>21</sup> کر کے انہیں دو سروں پر برقی مزاحمت حاصل کی جاتی ہے۔ یہی تھون مزاحمت ہوتی ہے۔ یہ عمل شکل 3.17 ت میں دکھایا گیا ہے۔ یوں

$$\begin{aligned} V_{th} &= \frac{R_1 V_{CC}}{R_1 + R_2} \\ \frac{1}{R_{th}} &= \frac{1}{R_1} + \frac{1}{R_2} \\ R_{th} &= \frac{R_1 R_2}{R_1 + R_2} \end{aligned} \quad (3.27)$$

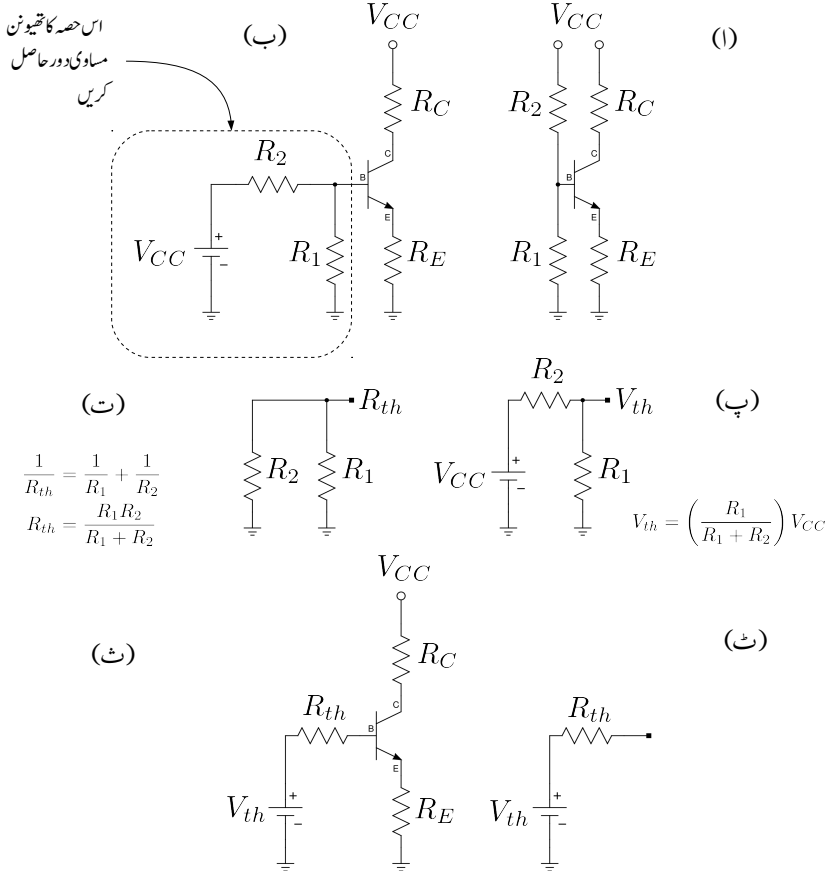
یوں نقطے دار لکیر میں گہرے حصے کا مساوی تھون دور شکل 3.17 ٹ میں دکھایا گیا ہے۔ شکل 3.17 الف میں داخلی جانب اس مساوی تھون دور کے استعمال سے شکل 3.17 ٹ حاصل ہوتا ہے جو کہ ہو بہو شکل 3.14 میں دکھایا دور ہے۔ فرق صرف اتنا ہے کہ  $V_{BB}$  کو  $V_{th}$  اور  $R_B$  کو  $R_{th}$  لکھا گیا ہے۔

شکل ٹ میں دکھائے دور کو بالکل شکل 3.14 میں دکھائے دور کی طرح حل کیا جاتا ہے۔ آئیں اس کی ایک مثال دیکھیں۔

مثال 3.13: شکل 3.17 الف میں

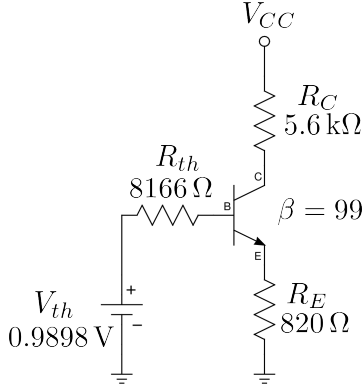
$$\begin{aligned} V_{CC} &= 12 \text{ V} \\ R_C &= 5.6 \text{ k}\Omega \\ R_E &= 820 \Omega \\ R_1 &= 8.9 \text{ k}\Omega \\ R_2 &= 99 \text{ k}\Omega \\ \beta &= 100 \end{aligned}$$

<sup>21</sup> اندرونی منبع برقی رو کو کھلے سرے کیا جاتا ہے



شکل 3.17: ایک عدد منبع برقی دباؤ کی مدد سے ٹرانزسٹر کا مکمل کرنا





$$\begin{aligned}
 V_{th} &= I_B R_{th} + V_{BE} + (I_B + I_C) R_E \\
 &= \frac{I_E}{\beta + 1} R_{th} + V_{BE} + I_E R_E \\
 I_E &= \frac{V_{th} - V_{BE}}{\frac{R_{th}}{\beta + 1} + R_E} \\
 &= \frac{0.9898 - 0.7}{\frac{8166}{99 + 1} + 820} = 0.3214 \text{ mA}
 \end{aligned}$$

$$\begin{aligned}
 V_{CC} &= I_C R_C + V_{CE} + (I_B + I_C) R_E \\
 &= I_C R_C + V_{CE} + I_E R_E \\
 &\approx I_C R_C + V_{CE} + I_C R_E \\
 V_{CE} &\approx V_{CC} - I_C (R_C + R_E) \\
 &= 12 - 0.3214 \times 10^{-3} \times (5600 + 820) \\
 &= 9.9366 \text{ V}
 \end{aligned}$$

شکل 3.18: مسئلہ تھونن کی مدد سے دور حل کرنے کا عمل

ہیں۔ ٹرانزسٹر کی برقی رو  $I_C$  اور اس پر برقی دباؤ  $V_{CE}$  حاصل کریں۔

حل: اس طرح کے ادوار حل کرنے کا طریقہ شکل 3.17 میں قدم بقدم دکھایا گیا ہے۔ مساوات 3.27 کی مدد سے

$$\begin{aligned}
 V_{th} &= \frac{12 \times 8900}{8900 + 99000} = 0.9898 \text{ V} \\
 R_{th} &= \frac{8900 \times 99000}{8900 + 99000} = 8166 \Omega
 \end{aligned}$$

ان مساوی تھونن مقداروں کو استعمال کرتے ہوئے شکل 3.18 میں مساوی دور دکھایا گیا ہے جسے حل کر کے  $V_{CE} = 9.9366 \text{ V}$  اور  $I_C = 0.3214 \text{ mA}$  حاصل ہوتے ہیں۔ چونکہ حاصل کردہ  $V_{CE}$  کی قیمت غیر افراطی ہے لہذا ٹرانزسٹر افراطی حالت ہے اور یوں حاصل کردہ جوابات درست ہیں۔

مثال 3.14: شکل 3.19 الف میں

$$\begin{aligned}
 V_{CC} &= 20 \text{ V}, \quad R_C = 10 \text{ k}\Omega, \quad R_B = 200 \text{ k}\Omega \\
 R_E &= 100 \Omega, \quad \beta = 99
 \end{aligned}$$

ہیں۔ نقطہ کارکردگی حاصل کریں۔

حل: ٹرانزسٹر کے کلکٹر پر کرنخوف کے قانون برائے برقی رو کی مدد سے

$$I_{RC} = I_B + I_C$$

لکھا جاسکتا ہے۔ چونکہ  $I_B + I_C = I_E$  ہوتا ہے لہذا  $I_{RC} = I_E$  ہو گا۔ یوں کرنخوف کے قانون برائے برقی دباؤ کے استعمال سے

$$V_{CC} = I_E R_C + I_B R_B + V_{BE} + I_E R_E$$

لکھ کر  $i_B = \frac{I_E}{\beta+1}$  پر کرتے حاصل ہوتا ہے

$$I_E = \frac{V_{CC} - V_{BE}}{R_C + \frac{R_B}{\beta+1} + R_E}$$

دئے گئے قیمتیں پر کرتے ہوئے

$$\begin{aligned} I_E &= \frac{20 - 0.7}{10000 + \frac{200000}{99+1} + 100} \\ &= 1.595 \text{ mA} \end{aligned}$$

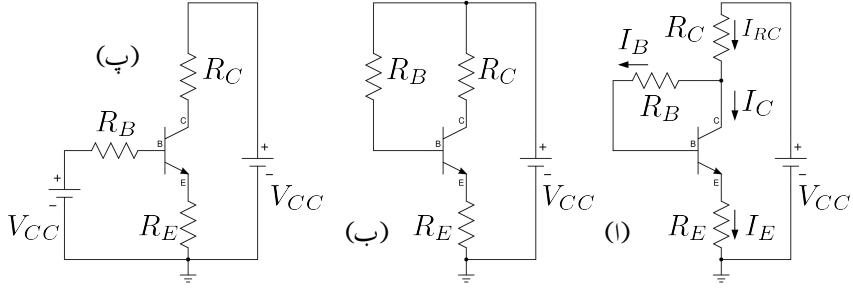
حاصل ہوتا ہے۔ کرنخوف کے قانون برائے برقی دباؤ کو خارجی جانب یوں لکھا جاسکتا ہے

$$V_{CC} = I_E R_C + V_{CE} + I_E R_E$$

جس سے

$$\begin{aligned} V_{CE} &= V_{CC} - I_E (R_C + R_E) \\ &= 20 - 1.595 \times 10^{-3} \times (10000 + 100) \\ &= 3.89 \text{ V} \end{aligned}$$

حاصل ہوتا ہے۔



شکل 3.19: ایک عدد منبع برقی دباؤ کے استعمال سے نقطہ کارکردگی کے دیگر اشکال

مثال 3.15: شکل 3.19 ب میں

$$V_{CC} = 20 \text{ V}, \quad R_C = 1 \text{ k}\Omega, \quad R_B = 500 \text{ k}\Omega \\ R_E = 1 \text{ k}\Omega, \quad \beta = 99$$

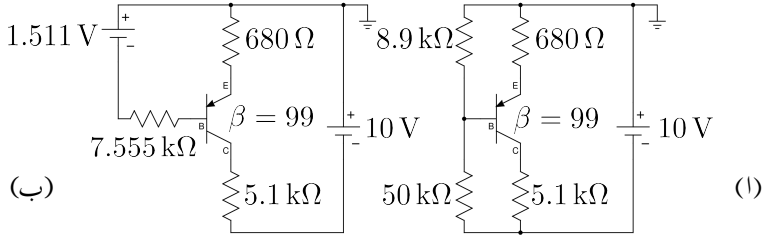
ہیں۔ نقطہ کارکردگی حاصل کریں۔

حل: شکل پ میں اسی کو دوبارہ بنایا گیا ہے جہاں داخلی اور خارجی جانب بالکل علیحدہ واضح نظر آتے ہیں۔ داخلی جانب کرخوف کے قانون برائے برقی دباؤ سے

$$V_{CC} = I_B R_B + V_{BE} + I_E R_E \\ = \frac{I_E}{\beta + 1} R_B + V_{BE} + I_E R_E \\ = V_{BE} + I_E \left( \frac{R_B}{\beta + 1} + R_E \right)$$

لکھا جاسکتا ہے جس میں دی گئی قیمتیں پر کرنے سے

$$I_E = \frac{V_{CC} - V_{BE}}{\frac{R_B}{\beta + 1} + R_E} \\ = \frac{20 - 0.7}{\frac{500000}{99 + 1} + 1000} \\ = 3.21 \text{ mA}$$



شکل 3.20

حاصل ہوتا ہے۔ اسی طرح خارجی جانب

$$V_{CC} = I_C R_C + V_{CE} + I_E R_E$$

میں  $I_C \approx I_E$  لیتے ہوئے

$$\begin{aligned} V_{CE} &= V_{CC} - I_C (R_C + R_E) \\ &= 20 - 3.21 \times 10^{-3} (1000 + 1000) \\ &= 13.58 \text{ V} \end{aligned}$$

حاصل ہوتا ہے۔

مثال 3.16: شکل 3.20 میں  $I_C$  اور  $V_{EC}$  حاصل کریں۔

حل: مسئلہ تھونن کی مدد سے شکل 3.20 ب حاصل ہوتا ہے جس میں

$$\begin{aligned} V_{th} &= \frac{-10 \times 8900}{8900 + 50000} = -1.511 \text{ V} \\ R_{th} &= \frac{8900 \times 50000}{8900 + 50000} = 7.555 \text{ k}\Omega \end{aligned}$$

ہیں۔ یوں شکل ب سے

$$\begin{aligned} 1.511 &= 680 \times I_E + 0.7 + 7555 \times I_B \\ &= 680 \times I_E + 0.7 + 7555 \times \frac{I_E}{99 + 1} \end{aligned}$$

لکھتے ہوئے

$$I_C \approx I_E = 1.07 \text{ mA}$$

حاصل ہوتا ہے۔ اسی طرح شکل ب سے ہی

$$\begin{aligned} 10 &\approx I_C (680 + 5100) + V_{EC} \\ &= 1.07 \times 10^{-3} \times (680 + 5100) + V_{EC} \end{aligned}$$

یعنی

$$V_{EC} = 3.81 \text{ V}$$

حاصل ہوتا ہے۔ چونکہ حاصل  $V_{EC}$  کی قیمت  $0.2 \text{ V}$  سے زیادہ ہے لہذا ٹرانزسٹر افزائندہ ہی ہے اور یہی درست جوابات ہیں۔

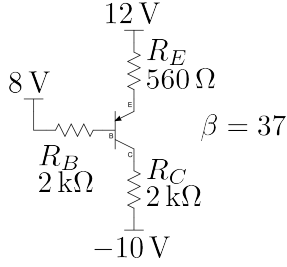
مثال 3.17: شکل 3.21 میں ٹرانزسٹر کے تینوں سروں پر برقی دباؤ حاصل کریں۔

حل: ہمیں جانب کرخوف کے قانون برائے برقی دباؤ سے

$$12 - 8 = I_B R_B + V_{EB} + I_E R_E$$

لکھا جاسکتا ہے جس میں  $I_B = \frac{I_E}{\beta + 1}$  پُر کرنے ہیں۔

$$\begin{aligned} 4 &= \frac{I_E}{37 + 1} \times 2000 + 0.7 + I_E \times 560 \\ I_E &= 5.39 \text{ mA} \end{aligned}$$



شکل 3.21

حاصل ہوتا ہے۔ یوں

$$V_E = 12 - I_E R_E = 12 - 5.39 \times 10^{-3} \times 560 = 8.98 \text{ V}$$

$$V_B = V_E - V_{EB} = 8.98 - 0.7 = 8.28 \text{ V}$$

$$V_C = -10 + I_C R_C \approx -10 + 5.39 \times 10^{-3} \times 2000 = 0.78 \text{ V}$$

حاصل ہوتے ہیں۔

مثال 3.18: مثال 3.13 کے تمام مزاحمت میں برقی طاقت کا ضیاع حاصل کریں۔ ٹرانزسٹر کے دونوں جوڑ پر بھی طاقت کا ضیاع حاصل کریں۔

حل: مزاحمت  $R_E$  میں  $0.3214 \text{ mA}$  برقی رو سے اس میں برقی طاقت کا ضیاع  $P_{RE} = I_E^2 R_E$  یعنی  $84.7 \mu\text{W}$  ہے۔ اسی طرح  $I_C = I_E$  لیتے ہوئے  $R_C$  میں  $578 \mu\text{W}$  حاصل ہوتا ہے۔

ٹرانزسٹر کے امیٹر سرے پر برقی دباؤ  $V_E$  کی قیمت  $I_E R_E = 0.26 \text{ V}$  اور یوں اس کے بیس سرے پر  $0.26 + 0.7 = 0.96 \text{ V}$  ہو گا۔ یوں  $R_1$  میں طاقت کا ضیاع  $\frac{0.96 \times 0.96}{8900}$  یعنی  $104 \mu\text{W}$  جبکہ  $R_2$  میں  $\frac{(12 - 0.96)^2}{99000}$  یعنی  $1.23 \text{ mW}$  ہو گا۔

ٹرانزسٹر کے کلکٹر پر  $V_C = 12 - 0.3214 \text{ mA} \times 5.6 \text{ k}\Omega = 10.2 \text{ V}$  ہے لہذا اس کا بیس۔ کلکٹر جوڑ  
 $9.24 \times 0.3214 \text{ mA} = V_C - V_B = 10.2 - 0.96 = 9.24 \text{ V}$  الٹا مائل ہے۔ اس جوڑ پر طاقت کا ضیاع  
 $2.97 \text{ mW}$  ہو گا۔ بیس۔ کلکٹر جوڑ سے  $I_C$  گزرتا ہے جسے  $I_E$  کے برابر ہی لیا گیا ہے۔ بیس۔ ایمر جوڑ پر برقی  
 دباؤ  $0.7 \text{ V}$  لیتے ہوئے اس جوڑ پر طاقت کا ضیاع  $0.7 \times 0.3214 \text{ mA} = 0.225 \text{ mW}$  ہو گا۔

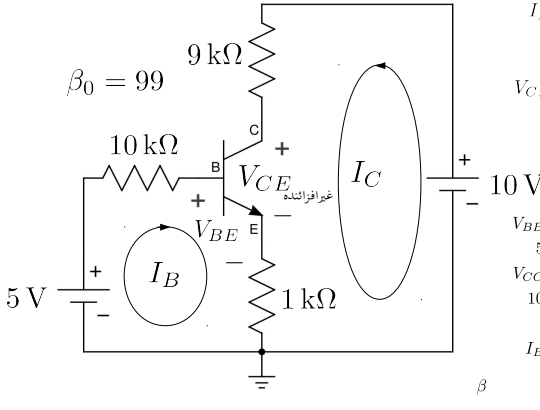
مندرجہ بالا مثال سے یہ حقیقت سامنے آتی ہے کہ عمومی استعمال میں طاقت کے ضیاع کا بیشتر حصہ بیس۔ کلکٹر  
 جوڑ پر پایا جاتا ہے۔ کم طاقت کے ٹرانزسٹر عموماً پلاسٹک ڈبیا میں بند مہیا کئے جاتے ہیں۔ پلاسٹک ڈبیا سے ٹرانزسٹر کے  
 تینوں سرے باہر نکلے پائے جاتے ہیں۔ زیادہ طاقت کے ٹرانزسٹر کو عموماً دھاتی ڈبے میں بند مہیا کیا جاتا ہے۔ ایسے  
 ٹرانزسٹر کے بیس۔ کلکٹر جوڑ کو ٹھنڈا رکھنے کی خاطر کلکٹر کو دھاتی ڈبے کے ساتھ جوڑا جاتا ہے۔ جوڑ سے دھات میں  
 گرمی کے منتقلی سے جوڑ ٹھنڈا ہوتا ہے۔ ہوا لگنے سے دھاتی ڈبہ ٹھنڈا رہتا ہے۔ اگر ضرورت درپیش آئے تو دھاتی ڈبے  
 کو از خود زیادہ بڑی جسامت کے سرد کار<sup>22</sup> کے ساتھ جوڑا جاتا ہے جس سے گرمی کی منتقلی مزید بڑھ جاتی ہے۔

جب بھی کوئی دور بنایا جائے، اس میں استعمال تمام اجزاء میں طاقت کا ضیاع حاصل کیا جاتا ہے۔ اگر کسی پرزے  
 میں طاقت کا ضیاع اس پرزے کی برداشت حد سے تجاوز کر جائے تو ایسا پرزہ جل کر تباہ ہو جائے گا۔ ایسی صورت  
 سے بچنے کی خاطر یا تو ڈیزائن کو تبدیل کیا جائے گا اور یا پھر زیادہ برداشت والا پرزہ استعمال کیا جائے گا۔

### 3.5.2 غیر افزائندہ ٹرانزسٹر کے دور کا حل

شکل 3.22 میں دکھائے دور میں اگر ٹرانزسٹر کو افزائندہ حال تصور کرتے ہوئے حل کیا جائے تو  $V_{CE}$  کی قیمت  
 منفی انیتس وولٹ  $-29 \text{ V}$  حاصل ہوتی ہے جو کہ غیر افزائندہ  $V_{CE}$  سے کم ہے۔ یوں ٹرانزسٹر کو افزائندہ تصور  
 کرنا درست نہیں اور اس جواب کو رد کرنا ہو گا۔ شکل میں اس جواب پر ترجیحی لکیر لگا کر رد کیا گیا ہے۔

ٹرانزسٹر ادوار حل کرتے ہوئے اسی طرح پہلے ٹرانزسٹر کو افزائندہ حال تصور کرتے ہوئے دور کو حل کیا جاتا  
 ہے۔ اگر حاصل  $V_{CE}$  کی قیمت غیر افزائندہ  $V_{CE}$  سے زیادہ یا اس کے برابر ہو تو جوابات کو درست تسلیم کر لیا جاتا  
 ہے ورنہ ان جوابات کو رد کرتے ہوئے، ٹرانزسٹر کو غیر افزائندہ تصور کر کے دور کو دوبارہ حل کیا جاتا ہے۔



~~$$I_E = \frac{V_{BB} - V_{BE}}{\frac{R_B}{\beta + 1} + R_E} = \frac{5 - 0.7}{\frac{10000}{99 + 1} + 1000}$$

$$= 3.9 \text{ mA}$$

$$V_{CE} \approx V_{CC} - I_C (R_C + R_E)$$

$$= 10 - 3.9 \times 10^{-3} \times (9000 + 1000)$$

$$= -29 \text{ V}$$~~

$$V_{BB} = I_B R_B + V_{BE} + (I_B + I_C) R_E$$

$$5 = I_B \times 10000 + 0.7 + (I_B + I_C) \times 1000$$

$$V_{CC} = I_C R_C + V_{CE} + (I_B + I_C) R_E$$

$$10 = I_C \times 9000 + 0.2 + (I_B + I_C) \times 1000$$

$$I_B = 0.304 \quad I_C = 0.956$$

$$\beta = \frac{I_C}{I_B} = \frac{0.956 \times 10^{-3}}{0.304 \times 10^{-3}} = 3.045$$

شکل 3.22: غیر افزائندہ مکمل ٹرانزسٹر کا حل

غیر افزائندہ ٹرانزسٹر پر پائے جانے والے برقی دباؤ  $V_{CE}$  کی قیمت غیر افزائندہ  $V_{CE}$  یعنی  $0.2 \text{ V}$  ہوتی ہے۔ مزید یہ کہ مساوات 3.7 اور مساوات 3.8 وغیرہ صرف افزائندہ حال ٹرانزسٹر کے لئے بیان کئے گئے۔ ان حقائق کو مد نظر رکھتے ہوئے غیر افزائندہ ٹرانزسٹر کے ادوار حل کرتے ہوئے  $\beta_0$  کو زیر استعمال نہیں لایا جاتا۔ دور کو بالکل ایک سادہ برقی دور کے طرز پر حل کیا جاتا ہے جہاں  $V_{BE} = 0.7 \text{ V}$  اور  $V_{CE} = 0.2 \text{ V}$  لیا جاتا ہے۔ شکل 3.22 میں دور کے حل کرنے کا درست طریقہ دکھایا گیا ہے جہاں  $I_C = 0.956 \text{ mA}$  اور  $I_B = 0.304 \text{ mA}$  حاصل کیا گیا ہے۔ ان قیمتوں سے غیر افزائندہ ٹرانزسٹر کی افزائش  $\beta = 3.045$  غیر افزائندہ  $\beta$  حاصل کی گئی ہے جو کہ اس کے دئے گئے افزائش  $\beta_0 = 99$  سے نہایت کم ہے۔

اگر دور حل کرنے سے پہلے ہی غیر افزائندہ  $\beta$  معلوم ہو تب اسے بالکل افزائندہ حال کی طرح حل کیا جاسکتا ہے۔ قوی برقیات کے میدان میں ٹرانزسٹر بطور برقیاتی سوئچ استعمال کیا جاتا ہے جہاں اسے فی سیکنڈ کئی مرتبہ غیر افزائندہ اور منقطع کیا جاتا ہے۔ افزائندہ صورت میں یہ چالو سوئچ اور منقطع صورت میں منقطع سوئچ کا کردار ادا کرتا ہے۔ تخلیق کار قبل از تخلیق فیصلہ کرتا ہے کہ ٹرانزسٹر کو کس حد تک غیر افزائندہ کیا جائے گا۔



مثال 3.19: شکل 3.22 میں

$$\begin{aligned}
 V_{CC} &= 10 \text{ V} \\
 R_C &= 9 \text{ k}\Omega \\
 R_B &= 10 \text{ k}\Omega \\
 R_E &= 1 \text{ k}\Omega \\
 \beta_0 &= 99
 \end{aligned}$$

ہی رکھتے ہوئے  $V_{BB}$  کی وہ قیمت دریافت کریں جہاں ٹرانزسٹر افرا سئدہ حال سے نکل کر غیر افرا سئدہ صورت اختیار کر لیتا ہے۔

حل: جس لمحہ ٹرانزسٹر افرا سئدہ سے غیر افرا سئدہ صورت حال اختیار کرتا ہے اس وقت دور حل کرنے کی خاطر اس کی عمومی افرا سئش  $\beta_0$  قابل استعمال ہوتی ہے یعنی مساوات 3.8 اور مساوات 3.9 قابل استعمال ہیں۔ مزید یہ کہ اس لمحہ پر  $V_{CE} = 0.2 \text{ V}$  ہی ہو گا لہذا ہم لکھ سکتے ہیں کہ

$$\begin{aligned}
 \alpha &= \frac{\beta_0}{\beta_0 + 1} = \frac{99}{99 + 1} = 0.99 \\
 V_{BB} &= I_B R_B + V_{BE} + (I_B + I_C) R_E \\
 &= V_{BE} + I_E \left( \frac{R_B}{\beta_0 + 1} + R_E \right) \\
 &= 0.7 + I_E \times 1100 \\
 V_{CC} &= I_C R_C + V_{CE} + (I_B + I_C) R_E \\
 &= V_{CE} + I_E (\alpha R_C + R_E) \\
 &= 0.2 + I_E \times 99100
 \end{aligned}$$

نچلی مساوات میں چونکہ  $V_{CC} = 10 \text{ V}$  ہے لہذا اس سے  $I_E = 0.9889 \text{ mA}$  حاصل ہوتا ہے جسے استعمال کرتے ہوئے دوسری مساوات سے  $V_{BB} = 1.78779 \text{ V}$  حاصل ہوتا ہے۔

مثال 3.20: شکل 3.22 میں

$$V_{CC} = 10 \text{ V}$$

$$V_{BB} = 5 \text{ V}$$

$$R_C = 9 \text{ k}\Omega$$

$$R_E = 1 \text{ k}\Omega$$

$$\beta_0 = 90$$

رکھتے ہوئے  $R_B$  کی وہ قیمت دریافت کریں جس سے ٹرانزسٹر اس حد تک غیر افزائندہ صورت اختیار کر لے گا کہ اس کی  $\beta_{\text{غیر افزائندہ}} = 30$  ہو۔ اس کو یوں بھی بیان کیا جاتا ہے کہ ٹرانزسٹر کو تین گنا غیر افزائندہ کریں یعنی غیر افزائندہ  $\beta$  کی قیمت  $\beta_0$  سے تین گنا کم ہو۔

حل: یہاں غیر افزائندہ  $\beta$  کی قیمت دی گئی ہے جسے استعمال کیا جاسکتا ہے۔ یوں

$$\alpha = \frac{\beta}{\beta + 1} = \frac{30}{30 + 1} = 0.9677$$

$$V_{CC} = I_C R_C + V_{CE} + I_E R_E$$

$$V_{CC} = \alpha I_E R_C + V_{CE} + I_E R_E$$

$$10 = 0.2 + 9709 \times I_E$$

$$I_E = 1.009 \text{ mA}$$

اسے استعمال کرتے ہوئے

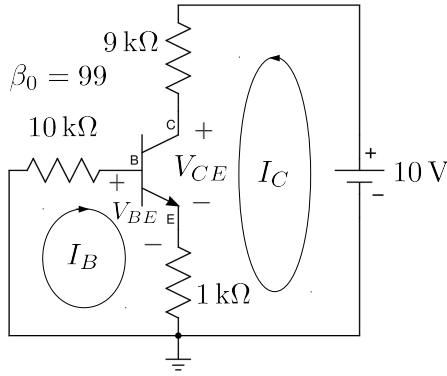
$$V_{BB} = I_B R_B + V_{BE} + I_E R_E$$

$$V_{BB} = V_{BE} + I_E \left( \frac{R_B}{\beta_{\text{غیر افزائندہ}} + 1} + R_E \right)$$

$$5 = 0.7 + 1.009 \times 10^{-3} \times \left( \frac{R_B}{30 + 1} + 1000 \right)$$

$$R_B = 101.1 \text{ k}\Omega$$

حاصل ہوتا ہے۔



$$\begin{aligned}
 V_{BE} &= 0 \\
 I_B &= 0 \\
 I_C &= 0 \\
 I_E &= 0 \\
 V_E &= I_E R_E = 0 \\
 V_C &= V_{CC} - I_C R_C = 10 \text{ V} \\
 V_{CE} &= V_C - V_E = 10 \text{ V}
 \end{aligned}$$

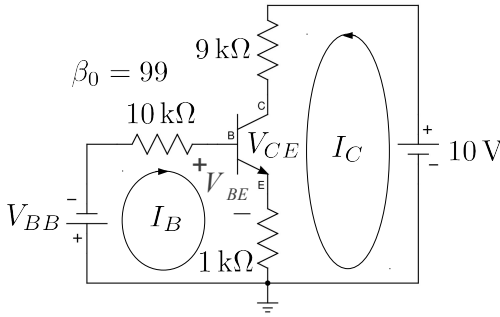
شکل 3.23: منقطع حال ٹرانزسٹر۔ بیس-ایمٹر جوڑ سیدھا مکمل نہیں ہے

### 3.5.3 منقطع ٹرانزسٹر کے دور کا حل

جدول کے تحت بیس-ایمٹر جوڑ کو غیر-چالو کرنے سے ٹرانزسٹر منقطع صورت اختیار کر لیتا ہے۔ حقیقت میں ٹرانزسٹر کو منقطع کرنے کی خاطر اس کے بیس-ایمٹر جوڑ کو عموماً الٹا مائل کیا جاتا ہے۔ ایسا کرتے وقت اس بات کا دھیان رکھا جاتا ہے کہ الٹ برقی دباؤ اس جوڑ کے قابل برداشت الٹ برقی دباؤ کی حد سے تجاوز نہ کر جائے۔ عموماً الٹ برقی دباؤ کی قیمت چند وولٹ ہی ہوتی ہے۔

منقطع ٹرانزسٹر بالکل ایک منقطع برقی سوئچ کی طرح عمل کرتا ہے یعنی اس میں سے کوئی برقی رو نہیں گزرتی۔ عموماً یہ صورت، دور کو دیکھتے ہی واضح ہو جاتی ہے جیسے شکل 3.23 میں ہے۔ اس شکل میں داخلی جانب کوئی برقی دباؤ مہیا نہیں کیا گیا۔ یوں ٹرانزسٹر کا بیس-ایمٹر جوڑ غیر چالو ہو گا۔ لہذا داخلی جانب برقی رو  $I_B$  کی قیمت صفر ہو گی۔  $I_B$  صفر ہونے کی وجہ سے ٹرانزسٹر کے باقی دو سروں پر بھی برقی رو کی قیمت صفر ہو گی۔ جیسا شکل میں حل کر کے دکھایا گیا اس صورت میں  $V_{CE} = V_{CC}$  ہو گا۔

مثال 3.21: شکل 3.24 میں داخلی جوڑ الٹا مائل ہے اور یوں ٹرانزسٹر منقطع ہو گا۔ اگرچہ اس دور کو دیکھتے ہی آپ کہہ سکتے ہیں کہ یہ منقطع ہے، ہم پھر بھی اسے حل کر کے دیکھتے ہیں۔ ایسا کرتے ہوئے تصور کریں کہ



داخلی جانب مہیا کردہ برقی دباؤ  
میں۔ لیٹر جوڑ کو الٹا ناکل کرتا ہے۔  
لہذا اس جوڑ سے برقی رو نہیں  
گزرے گا۔ یوں داخلی برقی رو صفر  
ہوگی جس کی وجہ سے خارجی  
برقی رو بھی صفر ہوگی۔

شکل 3.24: الٹا ناکل داخلی جوڑ

ٹرانزسٹر افتراسندہ حال ہے۔ یوں آپ  $V_{BE} = 0.7V$  لیں گے۔

$$V_{BB} = V_{BE} + I_B R_B + I_E R_E$$

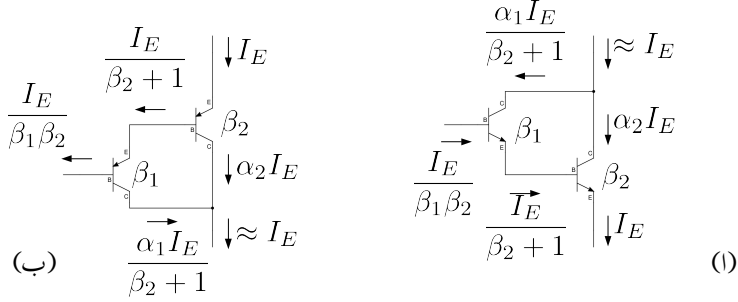
$$I_E = \frac{V_{BB} - V_{BE}}{\frac{R_B}{\beta + 1} + R_E}$$

$$= \frac{-3 - 0.7}{\frac{10000}{100} + 1000}$$

$$= -3.36 \text{ mA}$$

ہے جاتا کیا رد کو جواب ممکن نا اس

یہاں دھیان رہے کہ  $V_{BB} = -3V$  ہے۔ حاصل جواب منفی ہونے کا مطلب ہے کہ برقی رو کی سمت عمومی سمت کے الٹ ہے۔ جب بھی ٹرانزسٹر میں الٹی جانب یک سمتی برقی رو پیدا کرنے کی کوشش کی جائے یہ منقطع صورت اختیار کر لیتا ہے لہذا اس جواب کو رد کرتے ہوئے ٹرانزسٹر کو منقطع تصور کیا جائے گا اور اس کے تمام سروں پر برقی رو کی قیمت صفر تصور کی جائے گی۔ یوں  $V_{CE} = 10V$  ہو گا۔



شکل 3.25: ڈارلنگٹن جوڑیاں

## 3.6 ڈارلنگٹن جوڑی

شکل 3.25 الف میں دو عدد npn ٹرانزسٹر کو مخصوص طرز پر جوڑا گیا ہے جسے npn ڈارلنگٹن جوڑی<sup>23</sup> یا ڈارلنگٹن ٹرانزسٹر<sup>24</sup> کہتے ہیں۔ شکل ب میں pnp ڈارلنگٹن جوڑی دکھائی گئی ہے۔

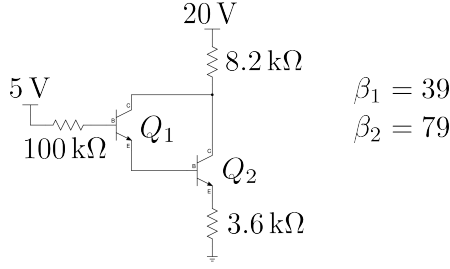
شکل الف میں اگر  $Q_2$  کے ایسٹر پر  $I_E$  برقی رو پایا جائے تو اس کے کلکٹر پر  $\alpha_2 I_E$  اور اس کے بیس پر  $\frac{I_E}{\beta_2 + 1}$  برقی رو پایا جائے گا۔  $Q_2$  کے بیس پر برقی رو  $Q_1$  کے ایسٹر پر برقی رو ہے لہذا  $Q_1$  کے ایسٹر پر  $\frac{I_E}{\beta_2 + 1}$  ہی پایا جائے گا۔ یوں  $Q_1$  کے کلکٹر پر  $\alpha_1 \frac{I_E}{\beta_2 + 1}$  اور اس کے بیس پر  $\frac{I_E}{(\beta_1 + 1)(\beta_2 + 1)}$  پایا جائے گا جو تقریباً  $\frac{I_E}{\beta_1 \beta_2}$  کے برابر ہے۔ یہ تمام شکل پر بھی دکھائے گئے ہیں۔ یوں اس جوڑی کو از خود ٹرانزسٹر تصور کیا جا سکتا ہے جس کی افزائش  $\beta_1 \beta_2$  کے برابر ہے۔ اسی طرز پر تین ٹرانزسٹر جوڑ کر  $\beta_1 \beta_2 \beta_3$  حاصل ہو گا۔ یقیناً زیادہ ٹرانزسٹر جوڑ کر زیادہ  $\beta$  حاصل کرنا ممکن ہے۔

مثال 3.22: شکل 3.26 کو حل کریں۔

حل: بیس جانب کر خوف کے قانون برائے برقی دہاؤ سے

$$5 = I_{B1} \times 100000 + V_{BE1} + V_{BE2} + I_{E2} \times 3600$$

<sup>23</sup> جناب سڈنی ڈارلنگٹن نے اس شکل کو دریافت کیا۔  
<sup>24</sup> npn darlington pair



شکل 3.26: ڈارلنگٹن جوڑی کا دور

لکھا جاسکتا ہے۔ اس میں  $V_{BE} = 0.7 \text{ V}$  اور  $I_{B1} = \frac{I_{E2}}{(\beta_1 + 1)(\beta_2 + 1)}$  لیتے ہوئے

$$5 = \frac{I_{E2}}{40 \times 80} \times 100000 + 0.7 + 0.7 + I_{E2} \times 3600$$

$$I_{E2} = 0.991 \text{ mA}$$

حاصل ہوتا ہے۔ یوں

$$V_{E2} = I_{E2} R_{E2} = 0.991 \times 10^{-3} \times 3600 = 3.5676 \text{ V}$$

$$V_{B2} = V_{E2} + V_{BE2} = 3.5676 + 0.7 = 4.2676 \text{ V}$$

$$V_{B1} = V_{E1} + V_{BE1} = V_{B2} + V_{BE1} = 4.9676 \text{ V}$$

$$V_{C2} \approx 20 - 0.991 \times 10^{-3} \times 8200 = 11.87 \text{ V}$$

اور

$$I_{B2} = I_{E1} = \frac{I_{E2}}{\beta_2 + 1} = \frac{0.991 \times 10^{-3}}{79 + 1} = 12.39 \mu\text{A}$$

$$I_{B1} = \frac{I_{E1}}{\beta_1 + 1} = \frac{12.39 \times 10^{-6}}{39 + 1} = 309.7 \text{ nA}$$

حاصل ہوتے ہیں۔

## 3.7 تعین نقطے سے نقطہ کارکردگی کا انحراف

3.7.1 تبدیلی  $\beta$  سے لاحق مسائل استوار کرنے کا شرط

مثال 3.1 سے ظاہر ہے کہ  $\alpha$  کی قیمت میں ذرا سی تبدیلی سے  $\beta$  کی قیمت میں نمایاں تبدیلی پیدا ہوتی ہے۔ ٹرانزسٹر بنانے والوں کی کوشش ہوتی ہے کہ ان کے کسی ایک قسم کے تمام ٹرانزسٹروں کے  $\beta$  کی قیمت یکساں ہو۔ ان کے تمام تر کوششوں کے باوجود ایسا ممکن نہ ہو سکا ہے اور کسی بھی ایک قسم کے ٹرانزسٹروں کے عمومی  $\beta_0$  کی قیمت دو حدود کے مابین رہتی ہے یعنی

$$(3.28) \quad \beta_{کمتر} \approx 3 \times \beta$$

مزید یہ کہ  $\beta_{کمتر}$  کی قیمت  $\beta$  کے تقریباً تین گنا ہوتی ہے یعنی

$$(3.29) \quad \beta_{کمتر} = 3 \times \beta$$

آئیں ایک مثال کی مدد سے دیکھیں کہ اس سے کس قسم کا مسئلہ پیدا ہو سکتا ہے۔

## مثال 3.23: شکل 3.27 کے دور میں

$$V_{CC} = 12 \text{ V}$$

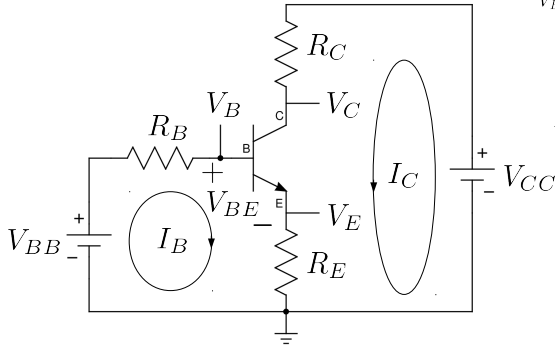
$$V_{BB} = 2.7 \text{ V}$$

$$R_C = 9 \text{ k}\Omega$$

$$R_E = 1 \text{ k}\Omega$$

$$R_B = 100 \text{ k}\Omega$$

ہیں۔ مزید یہ کہ اس دور میں استعمال کئے جانے والے ٹرانزسٹر کے عمومی افزائش برقی رو  $\beta_0$  کی قیمت ایک سو ہے (یعنی  $\beta_0 = 100$ )۔



$$\begin{aligned}
 V_{BB} &= I_B R_B + V_{BE} + (I_B + I_C) R_E \\
 &= I_B R_B + V_{BE} + I_E R_E \\
 &= \frac{I_E}{\beta + 1} R_B + V_{BE} + I_E R_E \\
 I_E &= \frac{V_{BB} - V_{BE}}{\frac{R_B}{\beta + 1} + R_E} \approx I_C
 \end{aligned}$$

$$\begin{aligned}
 V_C &= V_{CC} - I_C R_C \\
 V_E &= I_E R_E \\
 V_B &= V_{BE} + V_E = V_{BE} + I_E R_E \\
 &= V_{BB} - I_B R_B
 \end{aligned}$$

شکل 3.27: مثال 3.23 کا دور۔

1. اس صورت میں عمومی نقطہ کارکردگی پر برقی رو  $I_{CQ}$  اور برقی دباؤ  $V_{CQ}$  حاصل کریں۔
2.  $\beta$  کی قیمتیں اور  $\beta$  پر بھی  $I_C$  اور  $V_{CE}$  کی قیمتیں حاصل کریں۔

حل:

1. مساوات 3.22 اور مساوات 3.23 کی مدد سے عمومی برقی رو اور عمومی برقی دباؤ حاصل کرتے ہیں

$$\begin{aligned}
 I_{EQ} \approx I_{CQ} &= \frac{V_{BB} - V_{BE}}{\frac{R_B}{\beta_0 + 1} + R_E} \\
 &= \frac{2.7 - 0.7}{\frac{100000}{100 + 1} + 1000} \\
 &= 1.004975 \text{ mA} \\
 V_{CEQ} &\approx V_{CC} - I_{CQ} (R_C + R_E) \\
 &= 12 - 1.004975 \times 10^{-3} \times (9000 + 1000) \\
 &= 1.95 \text{ V}
 \end{aligned}$$

چونکہ حاصل کردہ  $V_{CE}$  کی قیمت غیر منفرد  $V_{CE}$  سے زیادہ ہے لہذا ٹرانزسٹر غیر منفرد حالت میں ہے اور یوں حاصل کردہ جوابات درست ہیں۔



2. آپ دیکھ سکتے ہیں کہ  $\beta_{سٹر} = 50$  اور  $\beta_{بلنڈر} = 150$  کے برابر ہیں چونکہ ان دو حدوں کے مابین عمومی قیمت 100 ہے یعنی

$$\beta_0 = \frac{\beta_{بلنڈر} + \beta_{سٹر}}{2} = \frac{150 + 50}{2} = 100$$

اور آپ دیکھ سکتے ہیں کہ  $\beta_{سٹر} \approx \beta_{بلنڈر}$  بھی ہے۔  
 $\beta_{سٹر}$  کی قیمت استعمال کرتے ہوئے حاصل ہوتا ہے

$$\begin{aligned} I_{EQ} \approx I_{CQ} &= \frac{V_{BB} - V_{BE}}{\frac{R_B}{\beta_{سٹر} + 1} + R_E} \\ &= \frac{2.7 - 0.7}{\frac{100000}{50 + 1} + 1000} \\ &= 0.6755 \text{ mA} \end{aligned}$$

یہ قیمت عمومی قیمت سے 32.78 % کم ہے یعنی

$$\frac{1.004975 - 0.6755}{1.004975} \times 100 = 32.78 \%$$

اور

$$\begin{aligned} V_{CEQ} &\approx V_{CC} - I_{CQ} (R_C + R_E) \\ &= 12 - 0.6755 \times 10^{-3} \times (9000 + 1000) \\ &= 5.245 \text{ V} \end{aligned}$$

آپ دیکھ سکتے ہیں کہ  $\beta_{سٹر}$  استعمال کرتے ہوئے جوابات تبدیل ہو گئے ہیں۔ حاصل کردہ  $V_{CE}$  کی قیمت غیر انفراسنڈ  $V_{CE}$  سے زیادہ ہے لہذا ٹرانزسٹراب بھی انفراسنڈہ حال ہو گا۔  
 $\beta_{بلنڈر} = 150$  کی قیمت استعمال کرتے ہوئے حاصل ہوتا ہے۔

$$\begin{aligned} I_{EQ} \approx I_{CQ} &= \frac{V_{BB} - V_{BE}}{\frac{R_B}{\beta_{بلنڈر} + 1} + R_E} \\ &= \frac{2.7 - 0.7}{\frac{100000}{150 + 1} + 1000} \\ &= 1.2032 \text{ mA} \end{aligned}$$

اور

$$\begin{aligned}
 V_{CE} &\approx V_{CC} - I_{CQ} (R_C + R_E) \\
 &= 12 - 1.203 \times 10^{-3} \times (9000 + 1000) \\
 &= -0.03 \text{ V} \quad \text{اس ناممکن جواب کو رد کیا جاتا ہے} \\
 &= 0.2 \text{ V} \quad \text{لہذا درست جواب یہ ہے}
 \end{aligned}$$

چونکہ حاصل کردہ  $V_{CE}$  کی قیمت غیر افزائندہ  $V_{CE}$  سے کم ہے لہذا ٹرانزسٹر غیر افزائندہ حال ہو گا اور یہ بطور ایمپلیفائر کام نہیں کرے گا۔

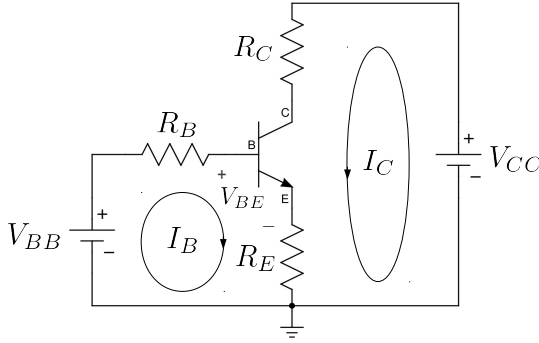
مثال 3.23 سے ایک اہم حقیقت سامنے آتی ہے۔ چونکہ ایک ہی قسم کے دو عدد ٹرانزسٹرز کے  $\beta$  کی قیمتیں اس کے عمومی قیمت  $\beta_0$  سے انحراف کر سکتے ہیں لہذا دو بالکل ایک ہی طرح بنائے گئے ادوار میں ٹرانزسٹروں کے نقطہ کارکردگی اپنی متعین جگہ سے سرک سکتی ہے۔ جیسا اس مثال میں دکھایا گیا، عین ممکن ہے کہ کسی ایک دور میں ٹرانزسٹر افزائندہ حال اور دوسرے میں غیر افزائندہ حال ہو۔

آج کل لاتعداد برقیاتی آلات مثلاً موبائل فون وغیرہ بنائے جاتے ہیں اور ایسے ہر ایک عدد آلہ میں لاتعداد ٹرانزسٹر استعمال ہوتے ہیں۔ ان آلات کے درست کارکردگی کے لئے یہ ضروری ہے کہ ان میں استعمال کئے گئے ٹرانزسٹر، ڈیزائن کردہ نقطہ کارکردگی پر ہی رہیں۔ انہیں دیکھتے ہیں کہ ایسا کس طرح ممکن بنایا جاسکتا ہے۔

شکل 3.28 میں مزاحمتوں اور منبع برقی دباؤ کی مدد سے ٹرانزسٹر مائل کیا گیا ہے۔ یاد دہانی کی خاطر مساوات 3.22 اور مساوات 3.23 کو یہاں دوبارہ پیش کرتے ہیں۔

$$\begin{aligned}
 V_{BB} &= I_B R_B + V_{BE} + (I_B + I_C) R_E \\
 &= \frac{I_E}{\beta + 1} R_B + V_{BE} + I_E R_E \\
 (3.30) \quad I_E &= \frac{V_{BB} - V_{BE}}{\frac{R_B}{\beta + 1} + R_E} \approx I_C
 \end{aligned}$$

$$\begin{aligned}
 V_{CC} &= I_C R_C + V_{CE} + (I_B + I_C) R_E \\
 &= I_C R_C + V_{CE} + I_E R_E \\
 (3.31) \quad V_{CE} &= V_{CC} - I_C R_C - I_E R_E \\
 &\approx V_{CC} - I_C (R_C + R_E)
 \end{aligned}$$



$$V_{BB} = \frac{I_E R_B}{\beta + 1} + V_{BE} + I_E R_E$$

$$I_E = \frac{V_{BB} - V_{BE}}{\frac{R_B}{\beta + 1} + R_E} \approx I_C$$

$$R_E = 10 \left( \frac{R_B}{\beta + 1} \right)$$

شکل 3.28: تبدیلی  $\beta$  سے لاحق مسئلہ استوار کرنے کا شرط

مساوات 3.30 کے مطابق اگرچہ  $I_C$  پر  $\beta$  کے اثر کو ختم نہیں کیا جاسکتا مگر  $R_E$  کی قیمت کو  $\frac{R_B}{\beta + 1}$  کے قیمت سے بڑھا کر اس اثر کو کم سے کم کرنا ممکن ہے یعنی

$$(3.32) \quad R_E \gg \frac{R_B}{\beta + 1}$$

عموماً شکل 3.28 کے طرز پر بنائے گئے ادوار میں  $\beta$  کے اثرات کو کم کرنے کی خاطر  $R_E$  کی قیمت کو  $\frac{R_B}{\beta + 1}$  سے دس گنا رکھا جاتا ہے یعنی

$$(3.33) \quad R_E = \frac{10R_B}{\beta_0 + 1}$$

$R_E$  کے قیمت کو  $\frac{R_B}{\beta + 1}$  کے دس گنا قیمت سے مزید بڑھانے سے دیگر معاملات متاثر ہوتے ہیں۔ مساوات 3.33 ٹرانزسٹر ادوار تخلیق دینے میں اہم کردار ادا کرتا ہے۔ مساوات 3.33 کو تبدیلی  $\beta$  سے لاحق مسائل استوار کرنے کا شرط کہتے ہیں۔ آئیں مساوات 3.33 کے تحت بنائے گئے دور کی مثال دیکھیں۔

مثال 3.24: شکل 3.28 میں

$$\begin{aligned} V_{CC} &= 12 \text{ V} \\ V_{BB} &= 1.8 \text{ V} \\ R_C &= 9 \text{ k}\Omega \\ R_E &= 1 \text{ k}\Omega \\ R_B &= 10.1 \text{ k}\Omega \end{aligned}$$

ہیں جبکہ  $\beta_0$  کی عمومی قیمت 100 ہے۔ اس دور میں برقی رو  $I_C$  اور  $V_{CE}$  کی ممکنہ حدود حاصل کریں۔

حل: اس مثال میں دئے گئے  $R_E$  اور  $R_B$  کے قیمتیں مساوات 3.33 کے عین مطابق ہیں۔ جیسا مثال 3.23 میں دیکھا گیا کہ  $\beta_{\text{سُر}} = 50$  اور  $\beta_{\text{بلد تر}} = 150$  ہیں۔

1.  $\beta_0 = 100$  پر برقی رو اور برقی دباؤ حاصل کرتے ہیں۔

$$\begin{aligned} I_{EQ} \approx I_{CQ} &= \frac{V_{BB} - V_{BE}}{\frac{R_B}{\beta_0 + 1} + R_E} \\ &= \frac{1.8 - 0.7}{\frac{10100}{100 + 1} + 1000} \\ &= 1 \text{ mA} \\ V_{CE} &\approx V_{CC} - I_{CQ} (R_C + R_E) \\ &= 12 - 1 \times 10^{-3} \times (9000 + 1000) \\ &= 2 \text{ V} \end{aligned}$$

2. کمتر افرائش  $\beta_{\text{سُر}} = 50$  پر ان کی قیمتیں

$$\begin{aligned} I_{EQ} \approx I_{CQ} &= \frac{V_{BB} - V_{BE}}{\frac{R_B}{\beta_{\text{سُر}} + 1} + R_E} = \frac{1.8 - 0.7}{\frac{10100}{50 + 1} + 1000} = 0.918 \text{ mA} \\ V_{CE} &\approx V_{CC} - I_{CQ} (R_C + R_E) \\ &= 12 - 0.918 \times 10^{-3} \times (9000 + 1000) \\ &= 2.82 \text{ V} \end{aligned}$$

ہوں گی۔ برقی رو اپنی عمومی قیمت سے 8.2% کم ہو گئی ہے یعنی

$$\frac{1 \times 10^{-3} - 0.918 \times 10^{-3}}{1 \times 10^{-3}} \times 100 = 8.2\%$$

3. بلند تر افزائش  $\beta = 150$  پر ان کی قیمتیں

$$I_{EQ} \approx I_{CQ} = \frac{V_{BB} - V_{BE}}{\frac{R_B}{\beta + 1} + R_E} = \frac{1.8 - 0.7}{\frac{10100}{150 + 1} + 1000} = 1.031 \text{ mA}$$

$$\begin{aligned} V_{CE} &\approx V_{CC} - I_{CQ} (R_C + R_E) \\ &= 12 - 1.031 \times 10^{-3} \times (9000 + 1000) \\ &= 1.69 \text{ V} \end{aligned}$$

ہوں گی۔ برقی رو اپنی عمومی قیمت سے 3.1 % بڑھ گئی ہے یعنی

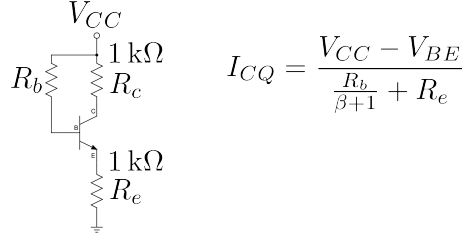
$$\frac{1.031 \times 10^{-3} - 1 \times 10^{-3}}{1 \times 10^{-3}} \times 100 = 3.1 \%$$

مثال 3.24 میں آپ نے دیکھا کہ مساوات 3.33 پر پورے اترتے دور میں برقی رو کی قیمت اس کی عمومی قیمت سے دس فی صد سے کم انحراف کرتی ہے۔ اس مثال میں زیادہ سے زیادہ انحراف 8.2 فی صد رہا ہے۔ منبع برقی دباؤ اور مزاحمتوں کے استعمال سے ٹرانزسٹر مائل کرتے ہوئے تخلیق کار مساوات 3.33 کو بروئے کار لا کر اس بات کو یقینی بناتا ہے کہ ٹرانزسٹر تخلیق کردہ نقطہ کارکردگی سے زیادہ تجاوز نہیں کرے گا۔ بعض اوقات ٹرانزسٹر استعمال کرنے سے پہلے اس کا  $\beta$  ناپا جاتا ہے۔ ایسی صورت میں چونکہ  $\beta$  کی قیمت ٹھیک ٹھیک معلوم ہوتی ہے لہذا مساوات 3.33 کے تحت دور تخلیق دینا لازم نہیں ہوتا۔ آئیں ایسی مثال دیکھیں جس میں مساوات 3.33 کو استعمال نہیں کیا گیا۔

مثال 3.25: شکل 3.29 میں  $V_{CC} = 12 \text{ V}$ ،  $R_b = 150 \text{ k}\Omega$  جبکہ  $\beta$  کی قیمت ٹھیک 50 ہے۔  $I_{CQ}$  اور  $V_{CEQ}$  حاصل کریں۔

حل: داخلی جانب کرخوف کے قانون برائے برقی دباؤ کے مطابق

$$\begin{aligned} V_{CC} &= I_B R_b + V_{BE} + I_E R_e \\ &= V_{BE} + I_E \left( \frac{R_b}{\beta + 1} + R_e \right) \end{aligned}$$



شکل 3.29

ہے جہاں دوسرے قدم پر  $I_E = (\beta + 1) I_B$  کا استعمال کیا گیا۔ یوں  $I_{CQ} \approx I_{EQ}$  لکھتے ہوئے

$$\begin{aligned} I_E \approx I_C &= \frac{V_{CC} - V_{BE}}{\frac{R_b}{\beta + 1} + R_e} \\ &= \frac{12 - 0.7}{\frac{150000}{49 + 1} + 1000} \\ &= 2.825 \text{ mA} \end{aligned}$$

حاصل ہوتا ہے۔ خارجی جانب ہم لکھ سکتے ہیں

$$\begin{aligned} V_{CC} &= I_{CQ} R_c + V_{CEQ} + I_{EQ} R_e \\ &\approx V_{CEQ} + I_{CQ} (R_c + R_e) \end{aligned}$$

جس سے

$$V_{CEQ} = 6.35 \text{ V}$$

حاصل ہوتا ہے۔

### 3.7.2 تبدیلی $V_{BE}$ سے نقطہ کارکردگی کا سرک جانا

ڈایوڈ کے باب میں صفحہ 99 پر شکل 2.4 میں درجہ حرارت کے تبدیلی سے سیدھے مائل ڈایوڈ کی برقی دباؤ  $V_D$  کا تبدیل ہونا دکھایا گیا۔ اس باب کے حصہ 3.9 میں آپ دیکھیں گے کہ ٹرانزسٹر کا  $V_{BE}$  بھی بالکل اسی طرح درجہ

حرارت کے ساتھ تبدیل ہوتا ہے۔ مساوات 3.30 پر دوبارہ غور کرنے سے معلوم ہوتا ہے کہ  $V_{BE}$  کے تبدیل ہونے سے  $I_C$  تبدیل ہو گا اور یوں نقطہ کارکردگی اپنے متعین جگہ سے سرک جائے گا۔ انہیں نقطہ کارکردگی کے سرک کا تخمینہ لگائیں اور اس سے نجات حاصل کرنے کے طریقے سمجھیں۔

دو مختلف درجہ حرارت  $T_1$  اور  $T_2$  پر  $V_{BE1}$  اور  $V_{BE2}$  لکھتے ہوئے مساوات 3.30 کے تحت دو مختلف برقی رو  $I_{C1}$  اور  $I_{C2}$  حاصل ہوں گے جہاں

$$(3.34) \quad I_{C1} = \frac{V_{BB} - V_{BE1}}{\frac{R_B}{\beta+1} + R_E}$$

$$(3.35) \quad I_{C2} = \frac{V_{BB} - V_{BE2}}{\frac{R_B}{\beta+1} + R_E}$$

برقی رو کی تبدیلی حاصل کرتے ہیں۔

$$(3.36) \quad \Delta I_C = I_{C2} - I_{C1} = \frac{V_{BE1} - V_{BE2}}{\frac{R_B}{\beta+1} + R_E} = - \left( \frac{\Delta V_{BE}}{\frac{R_B}{\beta+1} + R_E} \right)$$

جہاں  $(V_{BE2} - V_{BE1})$  کو  $\Delta V_{BE}$  لکھا گیا ہے۔ اگر ٹرانزسٹر کا یہ دور مساوات 3.33 پر پورا اترتا ہو تب مندرجہ بالا مساوات میں  $R_E$  کی قیمت  $\frac{R_B}{\beta+1}$  کے قیمت سے بہت زیادہ ہو گی اور اس صورت میں اسے یوں لکھا جاسکے گا۔

$$(3.37) \quad \Delta I_C = - \left( \frac{\Delta V_{BE}}{\frac{R_B}{\beta+1} + R_E} \right) \approx - \left( \frac{\Delta V_{BE}}{R_E} \right)$$

مساوات 3.37 تبدیلی  $V_{BE}$  کی وجہ سے نقطہ کارکردگی کے سرک جانے کی مساوات ہے۔ آپ دیکھ سکتے ہیں کہ  $R_E$  بڑھانے سے  $I_C$  میں تبدیلی کم کی جاسکتی ہے۔

### 3.7.3 نقطہ کارکردگی سوارنے کے اسباب

حصہ 3.7.1 اور حصہ 3.7.2 میں نقطہ کارکردگی سرک جانے کے وجوہات بتلائے گئے۔ اس مسئلے کو نہایت عمدگی سے یوں پیش کیا جاسکتا ہے۔ کوئی بھی تابع تفاعل مثلاً  $I_C(\beta, V_{BE}, \dots)$  جو آزاد متغیرات مثلاً  $\beta$ ،  $V_{BE}$  وغیرہ

کے تابع ہو، کی قیمت ان آزاد متغیرات پر منحصر ہوگی۔ یوں اگر ان آزاد متغیرات میں  $\Delta\beta$ ،  $\Delta V_{BE}$ ، ... کی باریک تبدیلی پیدا ہو تو تابع تفاعل کی قیمت میں کل باریک تبدیلی یوں حاصل کی جائے گی۔

$$(3.38) \quad \Delta I_C = \frac{\partial I_C}{\partial \beta} \Delta\beta + \frac{\partial I_C}{\partial V_{BE}} \Delta V_{BE} + \dots$$

اس مساوات میں

$$(3.39) \quad S_\beta = \frac{\partial I_C}{\partial V_{BE}}$$

$$(3.40) \quad S_{V_{BE}} = \frac{\partial I_C}{\partial V_{BE}}$$

⋮

لکھتے ہوئے اسے یوں لکھا جاسکتا ہے۔

$$(3.41) \quad \Delta I_C = S_\beta \Delta\beta + S_{V_{BE}} \Delta V_{BE} + \dots$$

جہاں  $S_\beta$ ،  $S_{V_{BE}}$  وغیرہ کو نقطہ کارکردگی کے سوارنے کے اسباب<sup>25</sup> کہا جائے گا۔ انہیں ان اسباب کا تخمینہ لگائیں۔

مساوات 3.37 سے

$$(3.42) \quad S_{V_{BE}} = - \left( \frac{1}{\frac{R_B}{\beta+1} + R_E} \right) \approx - \frac{1}{R_E}$$

حاصل ہوتا ہے۔

مساوات 3.39 میں نقطہ کارکردگی سوارنے کے اسباب کو تفرق کے ذریعہ سمجھایا گیا ہے۔ جہاں متغیرات میں کم تبدیلی پائی جائے وہاں تفرق لیتے ہوئے درست جوابات حاصل ہوتے ہیں۔ ٹرانزسٹر کے  $\beta$  میں تبدیلی کو کم تصور نہیں کیا جاسکتا لہذا  $S_\beta$  حاصل کرتے وقت دو مختلف  $\beta$  پر  $I_C$  حاصل کرتے ہوئے برقی رو میں کل تبدیلی  $\Delta I_C$  حاصل کی جاتی ہے جسے  $\beta$  میں کل تبدیلی  $\Delta\beta$  سے تقسیم کرتے ہوئے  $S_\beta$  کیا جاتا ہے۔ انہیں اس عمل کو دیکھیں۔



$S_\beta$  حاصل کرنے کی خاطر مساوات 3.30 کو دوبارہ دیکھتے ہیں۔  $\beta_1$  اور  $\beta_2$  پر ہم برقی رویوں لکھ سکتے ہیں۔

$$(3.43) \quad I_{C1} = \frac{V_{BB} - V_{BE}}{\frac{R_B}{\beta_1 + 1} + R_E} \approx \frac{\beta_1 (V_{BB} - V_{BE})}{R_B + (\beta_1 + 1) R_E}$$

$$(3.44) \quad I_{C2} = \frac{V_{BB} - V_{BE}}{\frac{R_B}{\beta_2 + 1} + R_E} \approx \frac{\beta_2 (V_{BB} - V_{BE})}{R_B + (\beta_2 + 1) R_E}$$

مندرجہ بالا مساوات میں دوسری مساوات سے پہلی مساوات منفی کرنے سے  $\Delta I_C$  حاصل ہوتا ہے۔ البتہ اس مساوات کی بہتر شکل بھی حاصل کی جاسکتی ہے۔ ایسا کرنے کی خاطر دوسری مساوات کو پہلی مساوات سے تقسیم کرتے ہوئے حاصل مساوات کے دونوں جانب سے ایک (1) منفی کرتے ہیں۔

$$\begin{aligned} \frac{I_{C2}}{I_{C1}} &= \left( \frac{\beta_2 (V_{BB} - V_{BE})}{R_B + (\beta_2 + 1) R_E} \right) \times \left( \frac{R_B + (\beta_1 + 1) R_E}{\beta_1 (V_{BB} - V_{BE})} \right) \\ &= \frac{\beta_2 [R_B + (\beta_1 + 1) R_E]}{\beta_1 [R_B + (\beta_2 + 1) R_E]} \\ \frac{I_{C2}}{I_{C1}} - 1 &= \frac{\beta_2 [R_B + (\beta_1 + 1) R_E] - \beta_1 [R_B + (\beta_2 + 1) R_E]}{\beta_1 [R_B + (\beta_2 + 1) R_E]} \\ \frac{I_{C2} - I_{C1}}{I_{C1}} &= \frac{\Delta I_C}{I_{C1}} = \frac{\beta_2 R_B + \beta_2 \beta_1 R_E + \beta_2 R_E - \beta_1 R_B - \beta_1 \beta_2 R_E - \beta_1 R_E}{\beta_1 [R_B + (\beta_2 + 1) R_E]} \\ &= \frac{(\beta_2 - \beta_1) (R_B + R_E)}{\beta_1 [R_B + (\beta_2 + 1) R_E]} \\ &= \frac{(R_B + R_E)}{\beta_1 [R_B + (\beta_2 + 1) R_E]} \Delta \beta \end{aligned}$$

جہاں آخری قدم پر  $(\beta_2 - \beta_1)$  کو  $\Delta \beta$  لکھا گیا ہے۔ اس سے  $S_\beta$  حاصل کرتے ہیں۔

$$(3.45) \quad S_\beta = \frac{\Delta I_C}{\Delta \beta} = \frac{I_{C1}}{\beta_1} \left[ \frac{R_B + R_E}{R_B + (\beta_2 + 1) R_E} \right]$$

اسی طرز پر آپ  $V_{BB}$  میں تبدیلی سے پیدا  $S_{V_{BB}}$  حاصل کر سکتے ہیں وغیرہ وغیرہ۔

مساوات 3.41 میں مساوات 3.42 اور مساوات 3.45 استعمال کرتے ہوئے اسے یوں لکھا جاسکتا ہے۔

$$(3.46) \quad \Delta I_C = \frac{I_{C1}}{\beta_1} \left[ \frac{R_B + R_E}{R_B + (\beta_2 + 1) R_E} \right] \Delta \beta - \frac{1}{R_E} \Delta V_{BE} + \dots$$

تمام نقطہ کارکردگی سوارنے کے اسباب کی مدد سے برقی رو  $I_C$  کے کل تبدیلی کو مندرجہ بالا مساوات کے طرز پر لکھا جاسکتا ہے۔ نقطہ کارکردگی سوارنے کے اسباب کی قیمتیں قابو کرتے ہوئے اس تبدیلی کو قابل قبول حد کے اندر رکھا جاتا ہے۔

### 3.8 مزاحمت کا عکس

شکل 3.30 الف میں برقی رو کو  $I_{Ca}$  لکھتے ہوئے اس کی قیمت حاصل کرتے ہیں۔

$$(3.47) \quad I_{Ca} = \frac{V_{BB} - V_{BE}}{\frac{R_B}{\beta+1} + R_E}$$

اسی طرح شکل ب میں برقی رو کو  $I_{Cb}$  لکھتے ہوئے اس کی قیمت حاصل کرتے ہیں۔ ہم دیکھتے ہیں کہ  $R'_B$  اور  $R_E$  سلسلہ وار جڑے ہیں اور ان کا کردار بالکل ایسا ہی ہے جیسے یہاں ایک ہی مزاحمت  $R''_E$  نسب ہو جس کی قیمت  $(R'_B + R_E)$  ہو۔ شکل 3.31 الف میں یہ تصور دکھایا گیا ہے۔ یوں

$$(3.48) \quad I_{Cb} = \frac{V_{BB} - V_{BE}}{R''_E} = \frac{V_{BB} - V_{BE}}{R'_B + R_E}$$

حاصل ہوتا ہے۔ اگر اس مساوات میں  $R'_B$  کی قیمت مساوات 3.47 کے  $\frac{R_B}{\beta+1}$  کے برابر ہو تب  $I_{Ca}$  اور  $I_{Cb}$  برابر ہوں گے یعنی اگر

$$(3.49) \quad R'_B = \frac{R_B}{\beta+1}$$

ہو تب

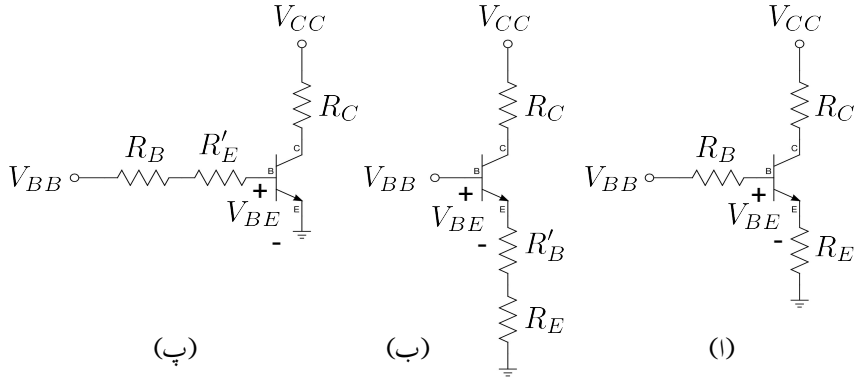
$$(3.50) \quad I_{Ca} = I_{Cb}$$

ہوگا، اگرچہ ان دو اشکال کے  $V_{CE}$  مختلف ہوں گے چونکہ

$$V_{CEa} = V_{CC} - I_C (R_C + R_E)$$

$$V_{CEb} = V_{CC} - I_C R_C$$

ہوں گے اور یوں  $V_{CEa} \neq V_{CEb}$  ہوں گے۔ اسی طرح شکل پ میں برقی رو کو  $I_{Cc}$  لکھتے ہوئے اسے حاصل



شکل 3.30: مزاحمت کے عکس

کرتے ہیں۔ یہاں  $R_B$  اور  $R'_E$  سلسلہ وار جڑے ہیں اور ان کا کردار بالکل ایک ایسے مزاحمت  $R''_B$  کی طرح ہے جس کی قیمت  $(R_B + R'_E)$  کے برابر ہو۔ شکل 3.31 ب میں یہ تصور دکھایا گیا ہے۔ یوں

$$(3.51) \quad I_{Cc} = \frac{V_{BB} - V_{BE}}{\left(\frac{R''_B}{\beta + 1}\right)} = \frac{V_{BB} - V_{BE}}{\left(\frac{R_B}{\beta + 1} + \frac{R'_E}{\beta + 1}\right)}$$

حاصل ہوتا ہے۔ اس مساوات میں اگر  $\frac{R'_E}{\beta + 1}$  کی قیمت مساوات 3.47 کے  $R_E$  کے برابر ہو یعنی اگر

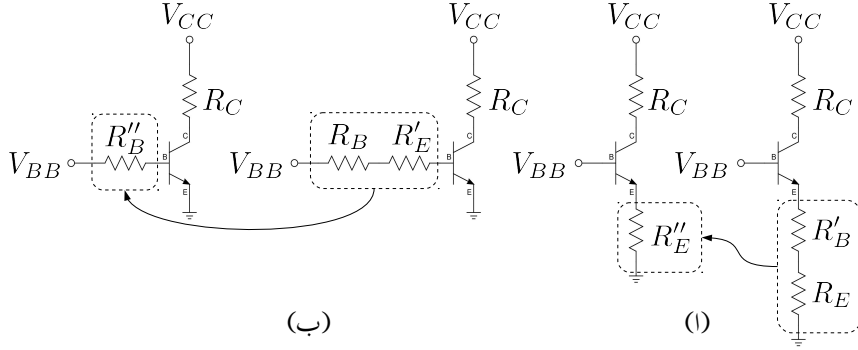
$$(3.52) \quad \frac{R'_E}{\beta + 1} = R_E$$

ہو تب

$$(3.53) \quad I_{Cc} = I_{Ca}$$

ہوں گے، اگرچہ  $V_{CEb} \neq V_{CEc}$  ہوں گے۔ مساوات 3.52 کو یوں بھی لکھا جاسکتا ہے۔

$$(3.54) \quad R'_E = (\beta + 1) R_E$$



شکل 3.31: مزاحمت کے عکس

مثال 3.26: شکل 3.30 الف میں

$$\begin{aligned}\beta &= 99 \\ V_{CC} &= 15 \text{ V} \\ V_{BB} &= 6.2 \text{ V} \\ R_C &= 5 \text{ k}\Omega \\ R_E &= 5 \text{ k}\Omega \\ R_B &= 50 \text{ k}\Omega\end{aligned}$$

ہیں۔

1. شکل 3.30 الف کا برقی رو  $I_C$  حاصل کریں۔
2. شکل ب میں  $R'_B$  کی وہ قیمت حاصل کریں جس سے شکل ب کی برقی رو شکل الف کی برقی رو کے برابر ہوگی۔
3. شکل پ میں  $R'_E$  کی وہ قیمت حاصل کریں جس سے اس شکل پ کی برقی رو شکل الف کے برقی رو کے برابر ہوگی۔

حل:

1.

$$I_{Ca} = \frac{V_{BB} - V_{BE}}{\frac{R_B}{\beta+1} + R_E} = \frac{6.2 - 0.7}{\frac{50000}{99+1} + 5000} = 1 \text{ mA}$$

2.

$$R'_B = \frac{R_B}{\beta+1} = \frac{50000}{99+1} = 500 \Omega$$

اس قیمت کی مزاحمت کے استعمال سے شکل 3.31 الف میں  $R''_E$  کی قیمت

$$R'_B + R_E = 500 + 5000 = 5500 \Omega$$

ہو گی اور اس میں برقی رو کی قیمت

$$I_{Cb} = \frac{V_{BB} - V_{BE}}{R'_B + R_E} = \frac{6.2 - 0.7}{500 + 5000} = 1 \text{ mA}$$

ہی حاصل ہو گی۔

3.

$$R'_E = (\beta+1)R_E = (99+1) \times 5000 = 500 \text{ k}\Omega$$

حاصل ہوتا ہے۔ اس قیمت کو استعمال کرتے ہوئے شکل 3.31 ب میں

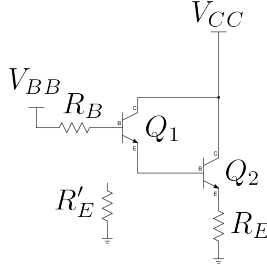
$$R''_B = R_B + R'_E = 50 \text{ k}\Omega + 500 \text{ k}\Omega = 550 \text{ k}\Omega$$

ہو گا اور یوں

$$I_{Cc} = \frac{V_{BB} - V_{BE}}{\left(\frac{R''_B}{\beta+1}\right)} = \frac{6.2 - 0.7}{\left(\frac{550000}{99+1}\right)} = 1 \text{ mA}$$

ہی حاصل ہوتا ہے۔

مساوات 3.49 اور مساوات 3.54 اہم نتائج ہیں۔ ٹرانزسٹر کے بیس سرے پر دیکھتے ہوئے  $R_E$  کا کردار بالکل ایسا ہوتا ہے جیسے بیس سرے کے ساتھ مزاحمت  $R'_E$  جڑا ہو۔ اس تمام کو یوں بھی کہا جاسکتا ہے کہ لمیٹر پر



شکل 3.32: ڈارنگٹن میں مزاحمت کا عکس

جڑے مزاحمت  $R_E$ ، ٹرانزسٹر کے بیس سرے سے بالکل  $R'_E$  معلوم ہوتا ہے۔ اسی لئے  $R'_E$  کو  $R_E$  کا عکس کہا جاتا ہے۔

اسی طرح ٹرانزسٹر کے بیس سرے کے ساتھ جڑے مزاحمت  $R_B$  کو اگر ٹرانزسٹر کے ایمرٹر سرے سے دیکھا جائے تو یہ بالکل ایسا معلوم ہوتا ہے جیسے ایمرٹر سرے کے ساتھ مزاحمت  $R'_B$  جڑا ہے۔ اسی لئے  $R'_B$  کو  $R_B$  کا عکس کہا جاتا ہے۔

مندرجہ بالا کا نچوڑ یہ ہے کہ ٹرانزسٹر ادوار میں برقی رو  $I_C$  حاصل کرتے وقت، ایمرٹر پر موجود مزاحمت کا عکس لیتے ہوئے اسے بیس جانب منتقل کیا جاسکتا ہے۔ اسی طرح ٹرانزسٹر کے بیس جانب مزاحمت کا عکس لیتے ہوئے ایمرٹر جانب منتقل کیا جاسکتا ہے۔ یاد رہے کہ یہ صرف اور صرف حساب کتاب آسان بنانے کا ایک گہرہ ہے۔ اصل ٹرانزسٹر دور کی جگہ کبھی بھی عکس استعمال کرتے حاصل دور کام نہیں کرے گا۔

مثال 3.27: شکل 3.32 میں بیس جانب  $R_E$  کا عکس حاصل کریں۔

حل: بیس جانب کرخوف کے قانون برائے برقی دباؤ سے

$$V_{BB} = I_{B1}R_B + V_{BE1} + V_{BE2} + I_{E2}R_E$$

لکھا جاسکتا ہے جس میں  $I_{E2} = \frac{I_{B1}}{\beta_1\beta_2}$  لکھتے ہوئے

$$\begin{aligned} V_{BB} &= I_{B1}R_B + V_{BE1} + V_{BE2} + \frac{I_{B1}}{\beta_1\beta_2}R_E \\ &= I_{B1}R_B + V_{BE1} + V_{BE2} + \frac{R_E}{\beta_1\beta_2}I_{B1} \\ &= I_{B1}R_B + V_{BE1} + V_{BE2} + I_{B1}R'_E \end{aligned}$$

ملتا ہے جہاں  $\frac{R_E}{\beta_1\beta_2} \approx R'_E$  لکھا گیا ہے۔ اس مساوات کے تحت بیس جانب برقی رو  $I_{B1}$  دو مزاحمت سے گزرتی ہے۔ پہلا مزاحمت  $R_B$  اور دوسرا  $R'_E$  ہے۔ یوں ٹرانزسٹر کے بیس جانب مزاحمت  $R'_E$  نظر آتا ہے اور یہی  $R_E$  کا بیس جانب عکس ہے۔

### 3.9 ٹرانزسٹر کے خط

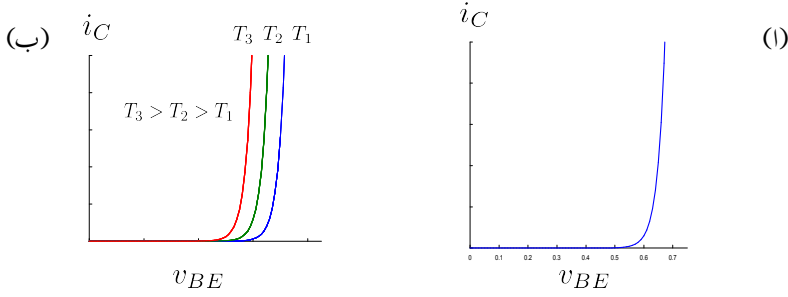
ٹرانزسٹر کے تین سرے ہونے کی بدولت اس کے تین برقی رو اور تین دباؤ ممکن ہیں۔ ان میں کسی دو کو آپس میں گراف کیا جاسکتا ہے۔

$$3.9.1 \quad i_C - v_{BE} \text{ خط}$$

شکل 3.33 الف میں npn ٹرانزسٹر کا  $i_C$  بالمقابل  $v_{BE}$  خط دکھایا گیا ہے جو بالکل ڈیوڈ کے خط کی طرح کا ہے۔ npn کے  $i_C - v_{BE}$  اور pnp کے  $i_C - v_{EB}$  خط کے مساوات مندرجہ ذیل ہیں۔

$$(3.55) \quad i_C = I_S \left( e^{\frac{v_{BE}}{V_T}} - 1 \right) \quad \text{nnp}$$

$$(3.56) \quad i_C = I_S \left( e^{\frac{v_{EB}}{V_T}} - 1 \right) \quad \text{pnp}$$



شکل 3.33: ٹرانزسٹر کے خط اور اس پر درجہ حرارت کے اثرات

جنہیں  $1 \gg e^{\frac{v_{BE}}{V_T}}$  کی صورت میں عموماً

$$(3.57) \quad i_C \approx I_S e^{\frac{v_{BE}}{V_T}}$$

$$(3.58) \quad i_C \approx I_S e^{\frac{v_{EB}}{V_T}}$$

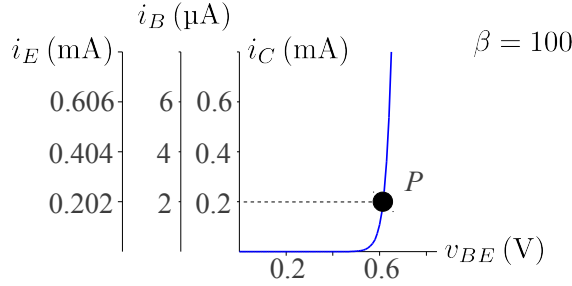
لکھا جاتا ہے۔ چونکہ  $i_C = \alpha i_E$  اور  $i_C = \beta i_B$  ہوتے ہیں لہذا  $i_E - v_{BE}$  اور  $i_B - v_{BE}$  خطوں کی شکلیں ایک جیسے ہوں گی۔ ان کے مساوات مندرجہ ذیل ہیں۔

$$(3.59) \quad i_E = \frac{I_S}{\alpha} e^{\frac{v_{BE}}{V_T}}$$

$$(3.60) \quad i_B = \frac{I_S}{\beta} e^{\frac{v_{BE}}{V_T}}$$

شکل 3.34 میں ایک ہی گراف پر تینوں خطوں کے گراف کی مثال دی گئی ہے جہاں حزب معمول ایک ہی افقی محدود ہے جو  $v_{BE}$  کو ظاہر کرتا ہے جبکہ عمودی محدود کی تعداد تین ہے جو  $i_C$ ،  $i_B$  اور  $i_E$  کو ظاہر کرتے ہیں۔  $v_{BE}$  کی پیکش ولٹ V میں دی گئی ہے جبکہ  $i_C$  اور  $i_E$  کی mA میں اور  $i_B$  کی  $\mu A$  میں دی گئی ہے۔  $\beta = 100$  تصور کرتے ہوئے نقطہ P پر  $v_{BE} = 0.61 V$  جبکہ  $i_C = 0.2 mA$ ،  $i_E = 0.202 mA$  اور  $i_B = 2 \mu A$  ہیں۔ بالکل ڈایوڈ کی طرح، جہاں اشد درستی درکار نہ ہو وہاں، ٹرانزسٹر کے ادوار کے یک سمتی حل حاصل کرتے وقت سیدھے مائل بیس-ایمٹر جوڑ پر برقی دباؤ  $v_{BE}$  کو  $0.7 V$  ہی لیا جاتا ہے۔ اسی طرح یہاں بھی  $v_{BE} = 0.5 V$  سے کم برقی دباؤ پر برقی رو  $i_C$  کی قیمت قابل نظر انداز ہوتی ہے اور اس صورت میں ٹرانزسٹر کے اس جوڑ کو غیر-چالو تصور کیا جاتا ہے۔ یوں ٹرانزسٹر کے لئے بھی چالو کردہ برقی دباؤ کی قیمت  $0.5 V$  ہے۔





شکل 3.34: برقی رو بالمقابل برقی دباؤ

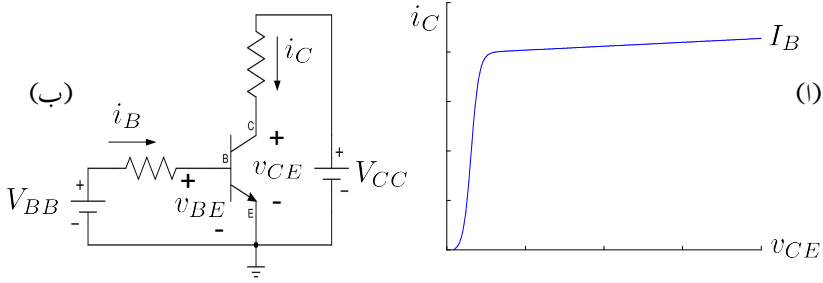
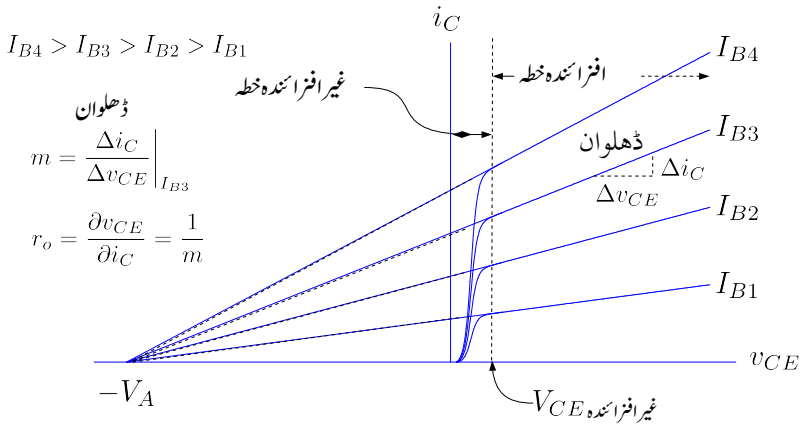
بالکل ڈیوڈ کی طرح  $i_C$  برقرار رکھتے ہوئے، ایک ڈگری سنٹی گریڈ درجہ حرارت بڑھانے سے  $v_{BE}$  کی قیمت 2 mV گھٹتی ہے یعنی

$$(3.61) \quad \frac{\Delta v_{BE}}{\Delta T} = -2 \text{ mV}/^{\circ}\text{C}$$

$pnp$  ٹرانزسٹر کا  $v_{EB}$  بھی اسی شرح سے حرارت کے ساتھ گھٹتا ہے۔

### 3.9.2 $i_C - v_{CE}$ خط

شکل 3.35 الف میں  $nnp$  ٹرانزسٹر کے  $i_C$  بالمقابل  $v_{CE}$  کا گراف دکھایا گیا ہے جسے حاصل کرتے وقت  $i_B$  کو کسی ایک مقررہ قیمت  $I_B$  پر رکھا گیا۔ شکل 3.35 ب میں ٹرانزسٹر کا وہ دور بھی دکھایا گیا ہے جسے گراف حاصل کرنے کی خاطر استعمال کیا گیا۔ گراف حاصل کرنے سے قبل  $V_{BB}$  کو تبدیل کرتے ہوئے مقررہ  $I_B$  پیدا کیا جاتا ہے۔  $i_B$  کو برقرار  $I_B$  پر رکھنے کی خاطر  $V_{BB}$  کو اس کے بعد تبدیل نہیں کیا جاتا۔ اس کے بعد گراف حاصل کرنے کی خاطر  $V_{CC}$  کو قدم با قدم صفر وولٹ 0V سے بڑھایا جاتا ہے اور ہر قدم پر ٹرانزسٹر کی برقی رو  $i_C$  اور برقی دباؤ  $v_{CE}$  ناپے جاتے ہیں۔ یوں ناپ شدہ  $i_C$  اور  $v_{CE}$  کا گراف شکل الف میں دکھایا گیا ہے جہاں گراف کے اوپر  $I_B$  لکھ کر اس بات کی یاد دہانی کرائی گئی ہے کہ یہ گراف مقررہ  $I_B$  پر حاصل کی گئی ہے۔ اسی طرز پر  $i_B$  کو مختلف قیمتوں پر رکھ کر مختلف  $i_C - v_{CE}$  کے خط حاصل کئے جاسکتے ہیں۔ اس طرح کے خطوط شکل 3.36 میں دکھائے گئے ہیں۔ ان گراف کو دیکھتے ہوئے یہ حقیقت سامنے آتی ہے کہ  $v_{CE}$

شکل 3.35: npn کے  $i_C - v_{CE}$  گراف

شکل 3.36: npn کے خطوط اور ایلی برقی دہاو

کی قیمت بتدریج کم کرتے ہوئے ایک مقام آتا ہے جہاں  $i_C$  کی قیمت نہایت تیزی سے گٹھنے شروع ہوتی ہے۔ اس مقام سے کم  $v_{CE}$  کے خطے کو غیر افزائندہ خطہ<sup>26</sup> جبکہ اس سے زیادہ  $v_{CE}$  کے خطے کو افزائندہ خطہ<sup>27</sup> کہتے ہیں۔ اس حصہ میں ہم افزائندہ خطے پر غور کریں گے۔

افزائندہ خطے میں  $i_C - v_{CE}$  کے خط سیدھی شکل اختیار کر لیتے ہیں۔ ہر خط ایک خاص ڈھلوان رکھتا ہے۔ اگر ان تمام خطوط کو منفی  $v_{CE}$  کے جانب فرضی طور نقش کیا جائے تو یہ ایک ہی نقطہ پر جاملتے ہیں جہاں  $v_{CE} = -V_A$  ہوتا ہے۔ اس فرضی نقش کو نقطہ دار لکیروں سے دکھایا گیا ہے۔ کسی بھی ٹرانزسٹر کے  $V_A$  کی قیمت کو بطور مثبت عدد کے بیان کیا جاتا ہے جسے ایلے برقی دباؤ<sup>28</sup> کہتے ہیں۔<sup>29</sup> دو جوڑ والے ٹرانزسٹروں کا اری برقی دباؤ پچاس وولٹ تا سو وولٹ ہوتا ہے۔ یہ معلومات ٹرانزسٹر بنانے والے صنعت کار مہیا کرتے ہیں۔

شکل 3.36 میں کسی ایک نقطہ پر خط کی ڈھلوان  $m$  دکھائی ہے یعنی

$$m = \left. \frac{\Delta i_C}{\Delta v_{CE}} \right|_{I_{B3}}$$

ٹرانزسٹر کے خارجی جانب خارجی مزاحمت  $r_o$  کو یوں لکھا جاسکتا ہے

$$\begin{aligned} r_o &= \left. \frac{\partial v_{CE}}{\partial i_C} \right|_{I_B} \\ &= \frac{1}{m} \\ &= \left. \frac{\partial i_C}{\partial v_{CE}} \right|_{I_B}^{-1} \end{aligned}$$

چونکہ  $i_C - v_{CE}$  کے خط اور فرضی نقش کئے گئے نقطہ دار لکیروں کی ڈھلوان برابر ہیں لہذا ہم خارجی مزاحمت کو یوں بھی حاصل کر سکتے ہیں

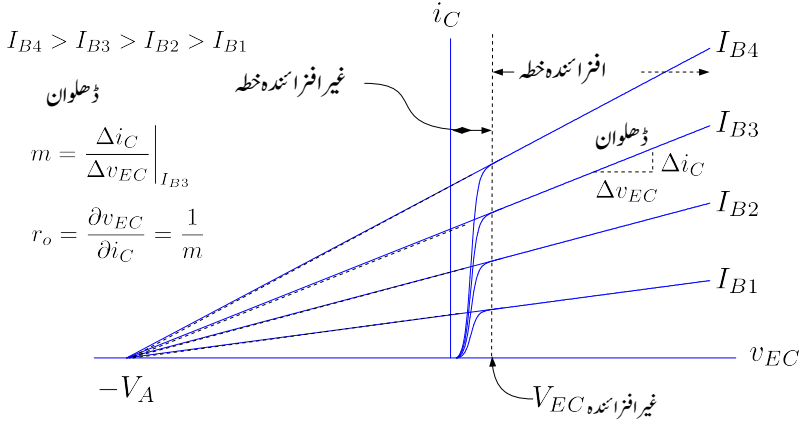
$$r_o = \frac{V_A + V_{CE}}{I_C} \quad (3.62)$$

saturation region<sup>26</sup>

active region<sup>27</sup>

Early voltage<sup>28</sup>

<sup>29</sup>



شکل 3.37:  $pnp$  کے  $i_C - v_{EC}$  خطوط

حقیقت میں افزائندہ خط کے نچلے حد پر (یعنی غیر افزائندہ خط کے بالکل قریب) کی قیمت استعمال کرتے ہوئے اس مساوات کو یوں لکھا جاسکتا ہے

$$(3.63) \quad r_o \approx \frac{V_A}{I_C}$$

اگرچہ افزائندہ خط میں  $v_{CE}$  کے تبدیلی سے  $I_C$  کی قیمت تبدیل ہوتی ہے مگر اس تبدیلی کو یک سمتی مطالعہ کے دوران نظر انداز کیا جاتا ہے۔ البتہ بدلتے رو مطالعہ میں  $r_o$  اہمیت رکھتا ہے۔

شکل 3.37 میں  $pnp$  ٹرانزسٹر کے  $i_C - v_{EC}$  خطوط دکھائے گئے ہیں۔  $V_{EC, \text{غیر افزائندہ}} = 0.2 \text{ V}$  ہی ہے۔ اس سے کم  $v_{EC}$  پر ٹرانزسٹر غیر افزائندہ جبکہ اس سے زیادہ پر افزائندہ ہوتا ہے۔

مثال 3.28: ایک ایسے  $nnp$  ٹرانزسٹر جس کی ارلی برقی دباؤ کی قیمت پچاس وولٹ  $V_A = 50 \text{ V}$  ہے کی خارجی مزاحمت  $100 \mu\text{A}$ ،  $1 \text{ mA}$  اور  $10 \text{ mA}$  کی برقی رو پر حاصل کریں۔

حل:

.1

$$r_o \approx \frac{V_A}{I_C} = \frac{50}{100 \times 10^{-6}} = 500 \text{ k}\Omega$$

.2

$$r_o = \frac{50}{10^{-3}} = 50 \text{ k}\Omega$$

.3

$$r_o = \frac{50}{10 \times 10^{-3}} = 5 \text{ k}\Omega$$

### 3.10. یک سمتی ادوار کاتر سیسی تجزیہ

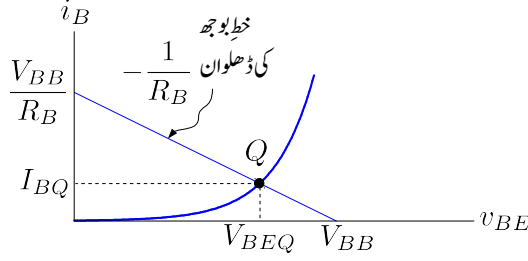
اگرچہ ٹرانزسٹر ادوار کو عموماً الجبرائی طریقہ سے حل کیا جاتا ہے مگر گراف کے استعمال سے بہت گہری سمجھ پیدا ہوتی ہے۔ اس طریقہ کو سمجھنے کے بعد ٹرانزسٹر ادوار تخلیق دینے میں آسانی پیدا ہوتی ہے۔ انہیں شکل 3.39 میں دئے دور کو گراف کی مدد سے حل کرتے ہیں۔

#### 3.10.1 یک سمتی رو خطِ بوجھ

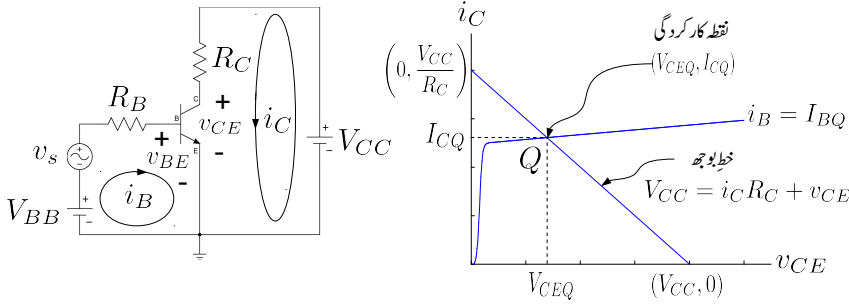
شکل 3.39 میں، بدلتے اشارہ  $v_s$  کو نظر انداز کرتے ہوئے، ٹرانزسٹر دور کے داخلی جانب ہم لکھ سکتے ہیں۔

$$(3.64) \quad V_{BB} = i_B R_B + v_{BE}$$

چونکہ ٹرانزسٹر کا بیس-ایمیٹر جوڑ بالکل ایک ڈایوڈ کی مانند ہوتا ہے لہذا مندرجہ بالا مساوات کو داخلی جانب کا ایک سمتی بوجھ کا خط کہا جاسکتا ہے۔ ٹرانزسٹر کے  $v_{BE} - i_B$  خط پر اس کو مساوات کو کھینچنے سے نقطہ مائل حاصل ہوتا ہے جس سے  $V_{BEQ}$  اور  $I_{BQ}$  حاصل ہوتے ہیں۔ یہ عمل شکل 3.38 میں دکھایا گیا ہے۔ اسی طرح، بدلتے اشارات کو



شکل 3.38: داخلی جانب کے نقطہ مائل کا حصول



شکل 3.39: ایک سمتی خط بوجھ۔

نظر انداز کرتے ہوئے، شکل 3.39 میں ٹرانزسٹر دور کے خارجی جانب ہم لکھ سکتے ہیں۔

(3.65)

$$V_{CC} = i_C R_C + v_{CE}$$

اس مساوات کو ٹرانزسٹر کے  $i_C - v_{CE}$  خط پر گراف کیا گیا ہے۔ بوجھ کا خط برقی دباؤ کے محور کو  $(V_{CC}, 0)$  پر اور برقی رو کے محور کو  $(0, \frac{V_{CC}}{R_C})$  پر ٹکراتا ہے اور اس کی ڈھلوان  $-\frac{1}{R_C}$  ہے۔ یہاں اس بات کو مد نظر رکھنا ضروری ہے کہ ٹرانزسٹر کے  $i_C - v_{CE}$  خطوں میں سے صرف اس خط کو گراف کیا گیا ہے جس پر  $i_B = I_{BQ}$  کے لئے ہے جہاں  $I_{BQ}$  شکل 3.39 میں حاصل کی گئی۔ خط بوجھ کی مساوات میں  $i_C$  اور  $v_{CE}$  دو آزاد متغیرات ہیں۔ دو آزاد متغیرات کو حاصل کرنے کی خاطر دو مساوات درکار ہوتے ہیں۔ خط بوجھ کی مساوات پہلی مساوات ہے جبکہ ٹرانزسٹر کا  $i_C - v_{CE}$  خط دوسرے مساوات کا گراف ہے۔ جہاں دو مساوات کے گراف ملتے ہیں ان کا حل ہوتا ہے۔ شکل میں اسے نقطہ کارکردگی Q کہا گیا ہے اور اس نقطے پر متغیرات کی قیمت

ہے۔ یوں اس دور میں ٹرانزسٹر کے خارجی جانب برقی رو کی قیمت جبکہ اس کے بیس۔ کلکٹر سروں کے مابین برقی دباؤ کی قیمت  $V_{CEQ}$  ہو گی۔

## 3.10.2 باریک اشارات

آئیں اب شکل 3.39 میں باریک اشارات پر غور کریں۔ باریک اشارہ  $v_s$  کے موجودگی میں ٹرانزسٹر کے داخلی جانب کل برقی دباؤ  $(V_{BB} + v_s)$  ہو گا اور ہم اس جانب خطِ بوجھ کی مساوات یوں لکھ سکتے ہیں۔

$$(3.66) \quad V_{BB} + v_s = i_B R_B + v_{BE}$$

خطِ بوجھ کی یہ مساوات  $i_B - v_{BE}$  کے گراف پر کھینچی گئی شکل 3.40 میں دکھائی گئی ہے جہاں

$$(3.67) \quad v_s = V_p \sin \omega t$$

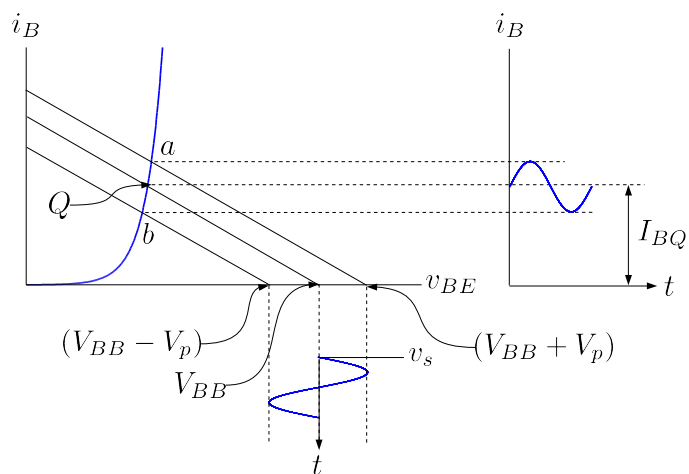
تصور کیا گیا ہے۔ آپ دیکھ سکتے ہیں کہ خطِ بوجھ اپنی جگہ سے ہلتا ہے جس کی وجہ سے نقطہ کارکردگی  $i_B - v_{BE}$  خط پر Q کے قریب قریب رہتے ہوئے a اور b کے درمیان چال قدمی کرتا ہے جس سے  $i_B$  کی قیمت بھی  $I_{BQ}$  سے انحراف کرتی ہے۔  $i_B$  کو یوں لکھا جاسکتا ہے۔

$$(3.68) \quad i_B = I_{BQ} + I_p \sin \omega t$$

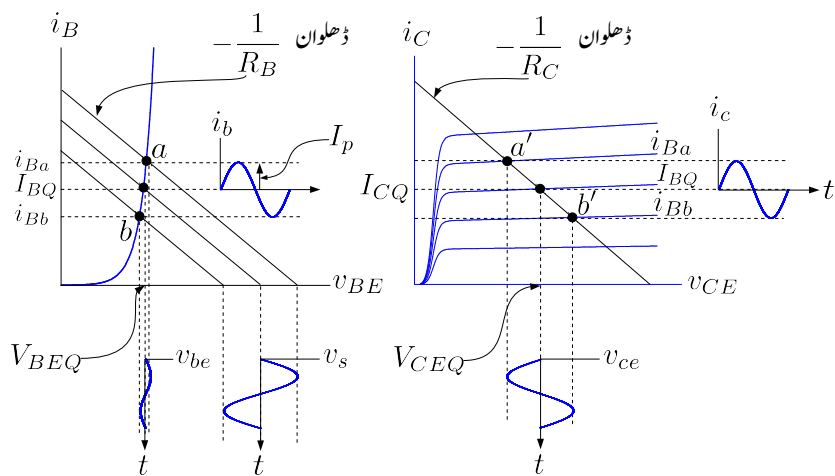
جہاں نقطہ کارکردگی کے قریب  $i_B - v_{BE}$  خط کو سیدھا تصور کیا گیا ہے۔ شکل 3.41 میں باریک اشارہ  $v_s$  اور اس کے پیدا کردہ  $i_b, v_{be}, i_c$  اور  $v_{ce}$  اشارات دکھائے گئے ہیں۔  $i_b, v_{be}, i_c$  اور  $v_{ce}$  ہم زاویہ ہیں جبکہ  $v_{ce}$  ان سب سے 180 کے زاویہ پر ہے۔ یاد رہے کہ تمام اشارات کا دوری عرصہ یکساں ہے چونکہ ایمپلیفائر اشارے کے تعدد کو تبدیل نہیں کرتا۔

3.10.3 برقی دباؤ  $V_{CC}$  اور مزاحمت  $R_C$  کے نقطہ کارکردگی پر اثرات

شکل 3.39 میں ایک مرتبہ  $R_C$  کی قیمت  $R_{C1}$  رکھی گئی اور دوسری مرتبہ اسے  $R_{C2}$  رکھا گیا جبکہ بقایا دور میں کوئی تبدیلی نہیں کی گئی۔  $R_{C2}$  کی قیمت  $R_{C1}$  سے زیادہ ہے۔ ان دونوں صورتوں کو شکل 3.42 الف میں دکھایا گیا ہے۔  $R_{C1}$  کی صورت میں خطِ بوجھ ٹرانزسٹر کے  $i_C - v_{CE}$  خط کو  $Q_1$  پر ٹکراتا ہے اور یوں

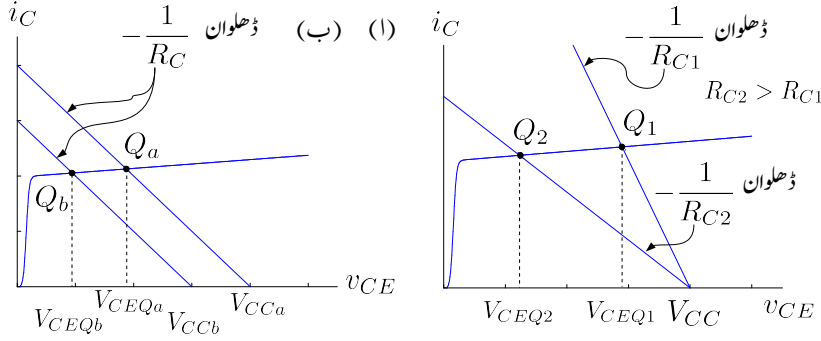


شکل 3.40: باریک اشارات بذریعہ گراف



شکل 3.41: باریک اشارات





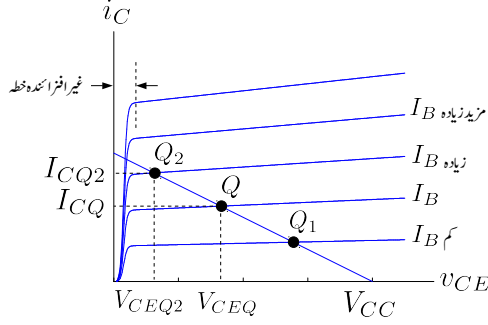
شکل 3.42: نقطہ کارکردگی پر متغیہ برقی دباؤ اور مزاحمت کے اثرات

ٹرانزسٹر کے اس نقطہ کارکردگی پر برقی دباؤ  $v_{CE}$  کی قیمت  $V_{CEQ1}$  ہوگی۔  $R_{C2}$  کی صورت میں خطِ بوجھ کی ڈھلوان کم ہوگئی ہے اور یہ  $i_C - v_{CE}$  خط کو  $Q_2$  پر ٹکراتا ہے جہاں  $v_{CE}$  کی قیمت  $V_{CEQ2}$  ہے۔ یوں آپ دیکھ سکتے ہیں کہ خطِ بوجھ کے مساوات (یعنی مساوات 3.65) میں صرف مزاحمت تبدیل کرنے سے خطِ بوجھ کی ڈھلوان تبدیل ہوتی ہے جس سے ٹرانزسٹر کا نقطہ کارکردگی تبدیل ہوتا ہے۔ ان دونوں صورتوں میں خطِ بوجھ برقی دباؤ کے محور کو  $V_{CC}$  پر ہی ٹکراتے ہیں۔

شکل 3.42 ب میں صرف برقی دباؤ  $V_{CC}$  کے تبدیل ہونے کے اثرات کو دکھایا گیا ہے جہاں  $V_{CCa}$  کی قیمت  $V_{CCb}$  سے زیادہ رکھی گئی ہے۔  $V_{CC}$  کو  $V_{CCb}$  سے بڑھا کر  $V_{CCa}$  کرنے سے نقطہ کارکردگی  $Q_b$  سے  $Q_a$  منتقل ہو جاتا ہے جبکہ خطِ بوجھ کی ڈھلوان تبدیل نہیں ہوتی۔

#### 3.10.4 داخلی برقی رو کے نقطہ کارکردگی پر اثرات

شکل 3.43 میں خطِ بوجھ مختلف داخلی برقی رو  $I_B$  پر  $i_C - v_{CE}$  خطوط پر نقش کیا گیا ہے۔ اگر داخلی برقی رو کو  $I_B$  سے بڑھا کر  $I_{B, زیادہ}$  کر دیا جائے تو نقطہ کارکردگی  $Q$  سے  $Q_2$  منتقل ہو جائے گا۔ یوں برقی رو  $I_{CQ}$  سے بڑھ کر  $I_{CQ2}$  ہو جائے گی جبکہ برقی دباؤ  $V_{CEQ}$  سے کم ہو کر  $V_{CEQ2}$  ہو جائے گا۔ اگر  $I_B$  کو مزید بڑھا کر  $I_{B, زیادہ}$  کیا جائے تو نقطہ کارکردگی غیر افتراسندہ خطے میں داخل ہو جاتا ہے جہاں  $v_{CE}$  کی قیمت



شکل 3.43: نقطہ کارکردگی بالمتقابل داخلی برقی رو

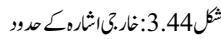
غیر افزائندہ  $V_{CE}$  یعنی  $0.2V$  سے بھی کم ہو جاتی ہے۔  $I_B$  کو مزید بڑھانے سے نہ تو  $i_C$  اور نہ ہی  $v_{CE}$  کی قیمت میں خاطر خواہ تبدیلی رونما ہوتی ہے۔ یہی وجہ ہے کہ اس خطے کو غیر افزائندہ خط کہتے ہیں۔

آپ دیکھ سکتے ہیں کہ  $I_B$  کی قیمت بڑھاتے ہوئے ٹرانزسٹر آخر کار غیر افزائندہ خطے میں داخل ہو جاتا ہے جہاں اس میں برقی رو  $I_{CQ}$  کی قیمت تقریباً  $\frac{V_{CC}}{R_C}$  ہی رہتی ہے۔ غیر افزائندہ خطے میں داخل ہونے کے بعد  $I_B$  بڑھانے سے ٹرانزسٹر غیر افزائندہ خطے کے مزید گہرائی میں چلا جاتا ہے۔ اس خطے میں ٹرانزسٹر مکمل طور چالو ہوتا ہے اور یہ چالو برقی سوئچ کا کردار ادا کرتا ہے۔ یہ صورت حال شکل 3.43 میں دکھایا گیا ہے۔

اس کے برعکس اگر  $I_B$  کی قیمت بتدریج کم کی جائے تو نقطہ کارکردگی اس جانب حرکت کرتا ہے جس جانب  $I_{CQ}$  کی قیمت کم ہوتی ہے۔ اگر  $I_B$  کو نہایت کم یا اسے بالکل روک کر صفر کر دیا جائے تو نقطہ کارکردگی افقی محور سے ٹکرا جائے گا جہاں  $I_{CQ} = 0A$  اور  $V_{CEQ} = V_{CC}$  ہو گا۔ اس نقطے پر ٹرانزسٹر مکمل منقطع صورت اختیار کئے ہوتا ہے اور یہ ایک منقطع برقی سوئچ کا کردار ادا کرتا ہے۔

### 3.10.5 خارجی اشارہ کے حدود

مندرجہ بالا حصے میں ہم نے دیکھا کہ  $I_B$  کو بڑھا کر ٹرانزسٹر کو غیر افزائندہ کیا جا سکتا ہے جبکہ اسے گھٹا کر ٹرانزسٹر کو منقطع کیا جا سکتا ہے۔ ٹرانزسٹر کو بطور ایمپلیفائر استعمال کرتے ہوئے اس بات کو یقینی رکھنا ضروری ہے کہ



ٹرانزسٹر افزائندہ خطے میں ہی رہے۔ نقطہ کارکردگی تعین کرنے کے پیچھے کئی وجوہات ہو سکتے ہیں۔ شکل 3.44 میں نقطہ کارکردگی کو یوں رکھا گیا ہے کہ اشارہ کے عدم موجودگی میں  $I_{BQ}$  کم سے کم ہو۔ موبائل فون میں ایسا ہی کیا جاتا ہے تاکہ اس کی بیٹری زیادہ وقت بغیر بھرے کے کام کر سکے۔ شکل الف میں اس ایمپلیفائر کا خارجی اشارہ  $v_{ce}$  دکھایا گیا ہے۔ اگر ایمپلیفائر کا داخلی اشارہ  $v_s$  مزید بڑھ جائے تو ظاہر ہے کہ  $v_{ce}$  بھی بڑھنے کی کوشش کرے گا لیکن جیسے شکل ب سے واضح ہے کہ ایسا نہیں ہو گا۔ اگرچہ  $v_{ce}$  کا آدھا لہر صحیح بڑھ گیا ہے لیکن اس کا دوسرا حصہ تراشا گیا ہے۔ اگر نقطہ کارکردگی کو  $a$  سے قدرِ بائیں نقطہ  $b$  پر منتقل کر دیا جائے تو موجودہ  $v_{ce}$  بغیر تراشے حاصل کیا جاسکتا ہے۔ آپ یہ بھی دیکھ سکتے ہیں کہ اگر نقطہ کارکردگی کو مزید بائیں، نقطہ  $c$  پر منتقل کر دیا جائے تو  $v_{ce}$  لہر کا دوسرا جانب تراشا شروع ہو جائے گا۔ جیسے شکل 3.44 الف میں دکھایا گیا ہے کہ افزائندہ ٹرانزسٹر کے  $v_{CE}$  کی کم سے کم ممکنہ قیمت غیر افزائندہ  $V_{CE}$  ہے جبکہ اس کی زیادہ سے زیادہ ممکنہ قیمت  $V_{CC}$  ہے۔ ان حدود کو  $A$  اور  $B$  نقطے دار لکیروں سے دکھایا گیا ہے۔  $v_{CE}$  ان حدود سے تجاوز نہیں کر سکتا لہذا نقطہ کارکردگی  $Q$  کے ایک جانب خارجی اشارے کی چوٹی  $A$  تک اور دوسری جانب  $B$  تک بغیر تراشے بڑھائی جاسکتی ہے۔ جیسے شکل الف میں دکھایا گیا ہے یوں ہم سائن-نما خارجی اشارہ  $v_{ce}$  کی زیادہ سے زیادہ چوٹی کی حد کا تعین اس شکل سے کر سکتے ہیں۔

## 3.10.6 بدلتی رو، خط بوجھ

ٹرانزسٹر ادوار میں  $\beta$  اور  $V_{BE}$  کے تبدیلی سے نقطہ کارکردگی کے تبدیلی کو روکنے کی خاطر  $R_E$  استعمال کیا جاتا ہے۔ البتہ جیسے آپ صفحہ 354 پر مساوات 3.217 میں دیکھیں گے،  $R_E$  کے استعمال سے ٹرانزسٹر ایمپلیفائر کی افزائش کم ہو جاتی ہے۔ نقطہ کارکردگی یک سمتی رو سے تعین کیا جاتا ہے جبکہ افزائش کا تعلق بدلتے اشارات کے ساتھ ہے۔ یوں اگر کسی طرح یک سمتی رو کے نقطہ نظر سے  $R_E$  دور میں پایا جائے جبکہ بدلتے اشارے کے نقطہ نظر سے  $R_E$  کی قیمت صفر کر دی جائے تو دونوں واجبات پورے ہوں گے۔ شکل 3.45 الف میں  $R_E$  کے متوازی لامحدود قیمت کا کپیسٹر نسب کیا گیا ہے۔ یک سمتی رو کپیسٹر سے نہیں گزرتی، لہذا نقطہ کارکردگی حاصل کرتے وقت کپیسٹر کو نظر انداز کیا جائے گا۔ لامحدود کپیسٹر کی برقی رکاوٹ صفر اُوہم ہے جو  $R_E$  کے متوازی جڑا ہے۔ یوں بدلتا اشارہ  $R_E$  سے ہر گز نہیں گزرے گا بلکہ یہ کپیسٹر کے راستے گزرے گا۔ بدلتی رو کو مزاحمت کے متبادل راستہ فراہم کرنے والا کپیسٹر قصری کپیسٹر<sup>30</sup> پکارا جاتا ہے۔ محدود کپیسٹر کے کارکردگی پر باب 6 میں غور کیا جائے گا۔ اس حصے میں لامحدود کپیسٹر نسب کرنے کے اثرات پر غور کیا جائے گا۔ اس کتاب کے حصہ 2.12.1 میں ڈایوڈ ادوار کے بدلتی رو، خط بوجھ پر غور کیا گیا۔ انہیں ٹرانزسٹر کے بدلتی رو، خط بوجھ پر غور کریں۔

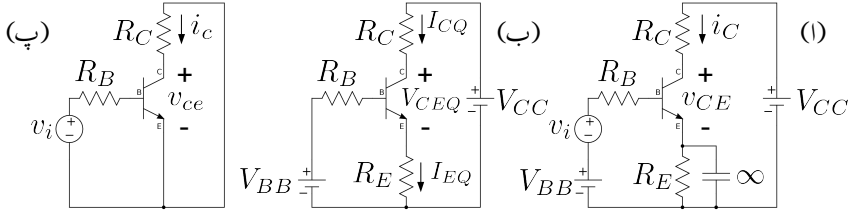
شکل 3.45 الف کے خارجی جانب

$$\begin{aligned} V_{CC} &= i_C R_C + v_{CE} + i_E R_E \\ (3.69) \quad &\approx v_{CE} + i_C (R_C + R_E) \quad \text{یک سمتی رو، خط بوجھ} \end{aligned}$$

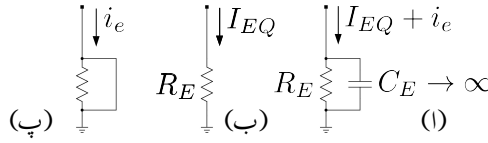
ہے جہاں  $i_E \approx i_C$  لیا گیا ہے۔ ڈایوڈ کی طرح یہاں مندرجہ بالا مساوات کو یک سمتی رو، خط بوجھ پکارا جاتا ہے جسے عموماً چھوٹا کر کے صرف یک سمتی خط بوجھ<sup>31</sup> کہتے ہیں۔ شکل 3.46 الف میں  $i_E$  کو یک سمتی  $I_{EQ}$  اور بدلتے  $i_e$  حصوں میں دکھایا گیا ہے۔ یک سمتی اشارے کے لئے کپیسٹر کھلے سرے کردار ادا کرتا ہے لہذا، جیسے شکل 3.46 ب میں دکھایا گیا ہے،  $I_{EQ}$  صرف مزاحمت  $R_E$  سے گزرے گا۔ یوں ٹرانزسٹر کے لیمر پر  $V_{EQ} = I_{EQ} R_E$  ہو گا۔ کپیسٹر پر بھی یہی یک سمتی برقی دباؤ پایا جائے گا۔

جیسے شکل 3.46 پ میں دکھایا گیا ہے، بدلتے اشارے کے لئے لامحدود کپیسٹر کی برقی رکاوٹ  $\frac{1}{j\omega C_E} = 0$  ہوگی اور یوں  $i_e$  کپیسٹر کے راستے گزرے گا۔ اس طرح ٹرانزسٹر کے لیمر پر برقی دباؤ پیدا کرنے میں  $i_e$  کوئی کردار ادا نہیں کرے گا۔ صرف  $I_E$  کے بدولت لیمر پر برقی دباؤ  $V_{EQ} = I_{EQ} R_E$  پیدا ہو گا۔ ان حقائق کو استعمال کرتے ہوئے مندرجہ بالا مساوات میں متغیرات کو یک سمتی اور بدلتے حصوں میں لکھتے ہیں

bypass capacitor<sup>30</sup>  
DC load line<sup>31</sup>



شکل 3.45: کمپیسٹر اور بدلتے روی خط بوجھ۔



شکل 3.46: یک سمتی اور بدلتے روی علیحدگی

$$(3.70) \quad V_{CC} = (I_{CQ} + i_c) R_C + (V_{CEQ} + v_{ce}) + I_{EQ} R_E$$

بدلتے اشارات کے عدم موجودگی میں مساوات 3.70 کو یوں لکھا جاسکتا ہے

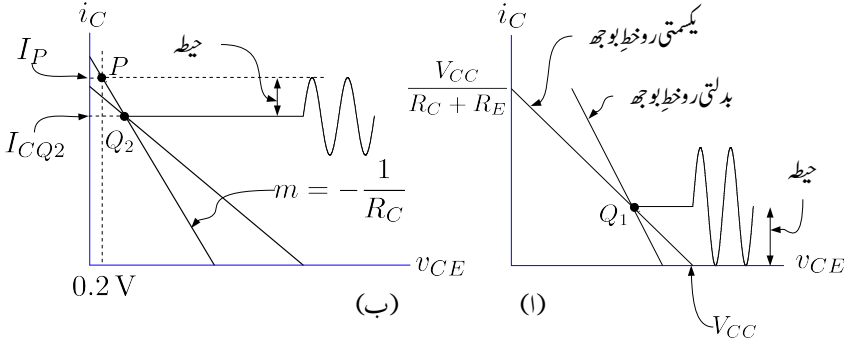
$$(3.71) \quad V_{CC} \approx V_{CEQ} + I_{CQ} (R_C + R_E) \quad \text{یک سمتی روی خط بوجھ}$$

جہاں  $I_{EQ} \approx I_{CQ}$  لیا گیا ہے۔ آپ تسلی کر لیں کہ بدلتے اشارے کے عدم موجودگی میں مندرجہ بالا مساوات اور مساوات 3.69 ایک ہی خط کو ظاہر کرتے ہیں لہذا مساوات 3.71 بھی یکے سمتی روی خط بوجھ کی مساوات ہے۔

شکل 3.45 ب سے بھی مساوات 3.71 حاصل ہوتا ہے لہذا شکل 3.45 ب درحقیقت شکل 3.45 الف کا مساوی یک سمتی دور ہے۔ آپ دیکھ سکتے ہیں کہ یک سمتی دور حاصل کرنے کی خاطر کمپیسٹر کو کھلے سرے اور بدلتے اشارہ  $v_i$  کو صفر کرتے ہوئے بقایا دور لیا جاتا ہے۔

بدلتے اشارے کے موجودگی میں مساوات 3.70 کے یک سمتی اجزاء کو مساوات کے ایک جانب جبکہ بدلتے اجزاء کو دوسرے جانب لکھتے ہیں۔

$$(3.72) \quad i_c R_C + v_{ce} = \underbrace{V_{CC} - I_{CQ} R_C - V_{CEQ} - I_{EQ} R_E}_0$$



شکل 3.47: بدلتی رو، خط بوجھ پر چہل قدمی

مساوات 3.71 کو  $V_{CC} - I_{CQ}R_C - V_{CEQ} - I_{CQ}R_E = 0$  لکھتے ہوئے ہم دیکھتے ہیں کہ مندرجہ بالا مساوات میں مساوی نشان کے دائیں جانب صفر لکھا جاسکتا ہے لہذا اس سے

$$(3.73) \quad i_c R_C + v_{ce} = 0 \quad \text{بدلتی رو، خط بوجھ}$$

حاصل ہوتا ہے جو بدلتی رو، خط بوجھ ہے جسے عموماً بدلتی رو، خط بوجھ<sup>32</sup> پکارا جاتا ہے۔ شکل 3.45 پ سے بھی یہی مساوات حاصل ہوتا ہے۔ بدلتی رو، مساوی شکل حاصل کرتے وقت تمام یک سمتی برقی دباؤ کی منبع اور تمام کپیسٹروں کو قصر دور کرتے ہوئے دور کا بقایا حصہ لیا جاتا ہے۔

مساوات 3.71 سے یکے سمتی خط بوجھ کی مزاحمت  $R_{یکستہ} = R_C + R_E$  جبکہ مساوات 3.73 سے بدلتی رو، خط بوجھ کی مزاحمت  $R_{بدلتی} = R_E$  حاصل ہوتے ہیں۔ یہ ایک دلچسپ صورت ہے۔ بدلتی اشارے کے عدم موجودگی میں دور کا نقطہ کارکردگی کے سمتی خط بوجھ پر پایا جائے گا جبکہ بدلتی اشارے کے موجودگی میں دور بدلتی رو، خط بوجھ پر چہل قدمی کرے گا۔

شکل 3.47 الف میں یکے سمتی خط بوجھ پر  $Q_1$  نقطہ کارکردگی ہے۔ بدلتی اشارے کے عدم موجودگی میں ٹرانزسٹر اسی نقطے پر رہے گا۔ بدلتی رو، خط بوجھ اسی نقطے پر کھینچا جاتا ہے۔ یک سمتی رو، خط بوجھ کی ڈھلوان  $-\frac{1}{R_{یکستہ}}$  ہے۔ اسی طرح بدلتی رو، خط بوجھ کی ڈھلوان  $m = -\frac{1}{R_{بدلتی}}$  ہے۔

بدلتے اشارے کے موجودگی میں ٹرانزسٹر بدلتی رو خط بوجھ پر چہل قدمی کرے گا۔ سائن نماد بتاتے اشارے کے موجودگی میں  $i_C$  دکھایا گیا ہے۔ شکل میں زیادہ سے زیادہ ممکنہ منفی جیٹے کا  $i_C$  دکھایا گیا ہے۔ اگر داخلی اشارے کو مزید بڑھایا جائے تو  $i_C$  کا نچلا یعنی منفی حصہ تراشا جائے گا۔ آپ دیکھ سکتے ہیں کہ نقطہ کارکردگی کو  $(V_{CEQ}, I_{CQ})$  پر رکھتے ہوئے زیادہ سے زیادہ ممکنہ منفی جیٹے  $I_{CQ}$  حاصل ہوتا ہے۔

شکل 3.47 ب میں یکے سمتی رو خط بوجھ پر  $Q_2$  نقطہ کارکردگی ہے۔ سائن نماد بتاتے اشارے کے موجودگی میں  $i_C$  دکھایا گیا ہے۔ غیر افزائندہ  $V_{CE}$  یعنی  $0.2V$  پر نقطے دار عمودی لکیر لگائی گئی ہے جسے بدلتی رو خط بوجھ  $P$  پر ٹکراتا ہے۔ چونکہ ٹرانزسٹر غیر افزائندہ  $V_{CE}$  سے کم برقی دباؤ پر قوت افزائش کھودیتا ہے لہذا  $i_C$  کی مثبت چھوٹی شکل میں دکھائے  $I_P$  پر تراشی جائے گی۔ اس طرح  $i_C$  کا زیادہ سے زیادہ ممکنہ جیٹے  $I_P - I_{CQ2}$  کے برابر ہو گا۔

انہیں بدلتی رو خط بوجھ کے خط کی مساوات حاصل کریں۔  $x - y$  محدود پر  $m$  ڈھلوان اور نقطے  $(x' - y')$  سے گزرتے خط کی مساوات  $y - y' = m(x - x')$  ہوتی ہے۔ موجودہ مسئلہ میں  $i_C - v_{CE}$  محدود پر نقطے  $(V_{CEQ}, I_{CQ})$  پر بدلتی رو خط بوجھ کی مساوات درکار ہے۔ بدلتی رو خط بوجھ کے خط کی ڈھلوان  $-\frac{1}{R_c}$  ہے لہذا اس کی مساوات

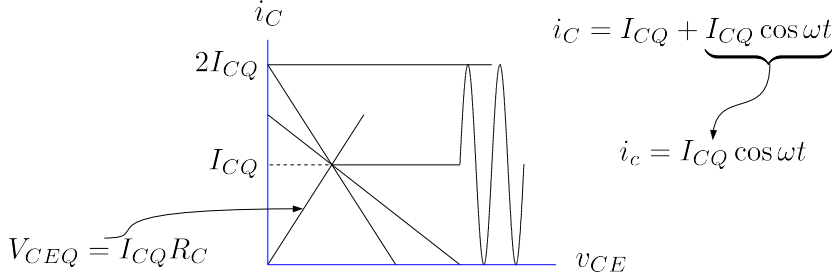
$$i_C - I_{CQ} = -\frac{1}{R_c} (v_{CE} - V_{CEQ}) \quad (3.74)$$

شکل 3.47 میں نقطہ کارکردگی کو  $Q_1$  اور  $Q_2$  کے درمیان یوں رکھا جاسکتا ہے کہ  $i_C$  کا جیٹے دونوں جانب برابر تراشا جائے۔ اس طرح زیادہ سے زیادہ ممکنہ جیٹے کا  $i_C$  حاصل کیا جاسکتا ہے۔ مساوات 3.74 کو استعمال کرتے ہوئے اس نقطے کو حاصل کرتے ہیں۔ شکل 3.48 میں یک سمتی رو، خط بوجھ اور بدلتی رو، خط بوجھ دکھائے گئے ہیں۔ غیر افزائندہ  $V_{CE}$  کو نظر انداز کرتے ہوئے ہم دیکھتے ہیں کہ اگر بدلتی رو، خط بوجھ عمودی محدود کو  $2I_{CQ}$  پر چھوئے تب  $i_C$  کے دونوں جانب نا تراشا جیٹے  $I_{CQ}$  ہو گا۔ مساوات 3.74 میں یوں  $v_{CE} = 0$  پر رکھتے ہوئے  $i_C = 2I_{CQ}$

$$2I_{CQ} - I_{CQ} = -\frac{1}{R_c} (0 - V_{CEQ})$$

یعنی

$$V_{CEQ} = I_{CQ} R_c \quad (3.75)$$



شکل 3.48: زیادہ سے زیادہ ممکنہ جیٹ حاصل کرنے کے لئے درکار نقطہ کارکردگی

حاصل ہوتا ہے۔ اس مساوات کو بھی شکل میں دکھایا گیا ہے۔ جہاں یہ مساوات اور یک سمتی رو خط بوجھ آپس میں ملتے ہیں وہ درکار نقطہ کارکردگی ہے۔ مساوات 3.71 میں  $I_{CQ} \approx I_{EQ}$  لکھتے ہوئے اس میں مساوات 3.75 پر کرتے ہوئے دونوں جانب زیادہ سے زیادہ جیٹ حاصل کرنے کے لئے درکار نقطہ کارکردگی پر برقی رو

$$I_{CQ} = \frac{V_{CC}}{2R_C + R_E}$$

حاصل ہوتی ہے۔ اس مساوات میں  $R_{یکسٹری} = R_C + R_E$  اور  $R_{بدلتی} = R_C$  لکھتے ہوئے ایسا مساوات حاصل ہوتا ہے جو یاد رکھنے کے لئے زیادہ آسان ثابت ہوتا ہے یعنی

$$(3.76) \quad I_{CQ} = \frac{V_{CC}}{R_{یکسٹری} + R_{بدلتی}}$$

اس مساوات کو مساوات 3.75 کے ساتھ ملاتے ہوئے

$$(3.77) \quad V_{CEQ} = \frac{R_{بدلتی} V_{CC}}{R_{یکسٹری} + R_{بدلتی}}$$

حاصل ہوتا ہے۔ مساوات 3.76 اور مساوات 3.77 زیادہ سے زیادہ ممکنہ جیٹے کا خارجی بدلتا اشارہ حاصل کرنے کے لئے درکار نقطہ کارکردگی دیتے ہیں۔

مثال 3.29: شکل 3.45 الف میں  $R_C = 1k\Omega$ ،  $R_E = 200\Omega$  اور  $V_{CC} = 12V$



ہیں۔ کپیسٹر کی قیمت کو لا محدود تصور کرتے ہوئے بدلتے اشارے کا زیادہ سے زیادہ ممکنہ حیث حاصل کرنے کے لئے درکار نقطہ کارکردگی حاصل کریں۔

حل: مساوات 3.76 اور مساوات 3.77 میں  $R_{یکستی} = 1000 + 200 = 1200$  اور  $R_{ہرتی} = 1000$  استعمال کرتے ہوئے

$$I_{CQ} = \frac{12}{1200 + 1000} = 5.45 \text{ mA}$$

$$V_{CEQ} = \frac{12 \times 1000}{1200 + 1000} = 5.45 \text{ V}$$

نقطہ کارکردگی حاصل ہوتا ہے۔ یوں خارجی برقی رو کا زیادہ سے زیادہ ممکنہ حیث  $5.45 \text{ mA}$  ہے۔

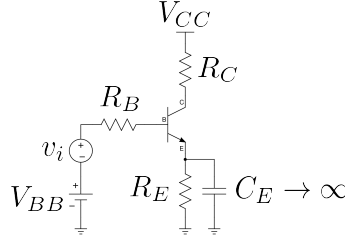
مثال 3.30: مندرجہ بالا مثال میں  $\beta = 37$  لیتے ہوئے  $R_B$  اور  $V_{BB}$  حاصل کریں۔

حل:  $R_E = \frac{10R_B}{\beta + 1}$  کے استعمال سے  $R_B = 760 \Omega$  حاصل ہوتا ہے۔ کرخوف کے قانون برائے برقی دباؤ کے استعمال سے

$$V_{BB} = V_{BE} + I_E \left( \frac{R_B}{\beta + 1} + R_E \right)$$

$$= 0.7 + 5.45 \times 10^{-3} \left( \frac{760}{37 + 1} + 200 \right) = 1.899 \text{ V}$$

حاصل ہوتا ہے۔



شکل 3.49: بدلتی رو، خط بوجھ کی مثال

مثال 3.31: شکل 3.49 میں  $V_{CC} = 17V$ ،  $R_C = 1.2k\Omega$  جبکہ کپیسٹر کی قیمت لامحدود ہے۔ ٹرانزسٹر کے  $\beta$  کی قیمت 50 تا 150 جبکہ  $V_{BE}$  کی قیمت 0.6 تا 0.8 ممکن ہے۔ غیر افراغندہ  $V_{CE}$  0.2V لیتے ہوئے  $V_{BB}$ ،  $R_B$  اور  $R_E$  کے ایسی قیمتیں حاصل کریں کہ  $i_C$  کم از کم  $\mp 4mA$  تک ممکن ہو۔

حل: شکل 3.50 میں صورت حال دکھائی گئی ہے۔ ایک سمتی رو، خط بوجھ افقی محور کو  $V_{CC}$  پر جبکہ عمودی محور کو  $\frac{V_{CC}}{R_C + R_E}$  پر چھوتا ہے۔ بدلتی رو، خط بوجھ کی ڈھلوان  $-\frac{1}{R_C}$  ہے۔ جب تک بدلتی رو خط بوجھ  $Q_1$  اور  $Q_2$  کے درمیان ایک سمتی رو خط بوجھ کو ٹکرائے اس وقت تک  $i_C$  کا حیث  $\mp 4mA$  ممکن ہے۔  $Q_1$  اور  $Q_2$  کے درمیان کسی اور مقام پر بدلتی رو خط بوجھ پائے جانے کی صورت میں  $i_C$  کا حیث  $\mp 4mA$  یا اس سے زیادہ ممکن ہو گا۔

$Q_1$  پر پائے جانے والا بدلتی رو، خط بوجھ کی صورت میں  $i_C$  کا حیث  $I_{CQ1}$  کے برابر ہو گا۔ اگر  $I_{CQ1}$  کی قیمت  $4mA$  ہو تب  $i_C$  کا حیث  $\mp 4mA$  ممکن ہو گا۔ یوں

$$(3.78) \quad I_{CQ1} = 4mA$$

$Q_2$  پر پائے جانے والا بدلتی رو خط بوجھ، غیر افراغندہ  $V_{CE}$  پر عمودی کھینچنے خط کو نقطے  $P$  پر ٹکراتا ہے۔ چونکہ غیر افراغندہ  $V_{CE}$  سے کم برقی دباؤ پر ٹرانزسٹر قوت افزائش کھودیتا ہے لہذا  $i_C$  کا حیث  $I_P - I_{CQ2}$  کے برابر ہو گا۔ اس طرح اگر  $Q_2$  پر برقی رو  $I_{CQ2}$  اور نقطے  $P$  پر  $I_{CQ2} + 4mA$  ہو تب  $i_C$  کا حیث  $\mp 4mA$  ممکن ہو گا۔

کسی بھی سیدھے خط کی مساوات  $y - y' = m(x - x')$  سے  $m = \frac{\Delta y}{\Delta x}$  حاصل ہوتا ہے جہاں  $\Delta y$  اور  $\Delta x$  اس خط پر کسی دو نقطوں سے حاصل کئے جاسکتے ہیں۔ بدلتی رو، خطِ بوجھ پر  $Q_2$  اور  $P$  دو نقطیں ہیں جن سے

$$-\frac{1}{1200} = \frac{I_{CQ2} + 4 \text{ mA} - I_{CQ2}}{V_{CE\text{نہدہ}} - V_{CEQ2}}$$

یعنی

$$V_{CEQ2} - 0.2 = 4 \times 10^{-3} \times 1200$$

یعنی

$$(3.79) \quad V_{CEQ2} = 5 \text{ V}$$

لکھا جاسکتا ہے۔ یک سمتی رو، خطِ بوجھ کی مساوات شکل 3.49 کے خارجی جانب کر خوف کے قانون سے یوں لکھی جاسکتی ہے

$$(3.80) \quad V_{CC} = V_{CEQ2} + I_{CQ2} (R_C + R_E)$$

مساوات 3.79 کو مندرجہ بالا مساوات میں استعمال کرتے ہیں

$$V_{CC} = 5 + I_{CQ2} (R_C + R_E)$$

جس سے  $I_{CQ2}$  کی قیمت

$$(3.81) \quad I_{CQ2} = \frac{V_{CC} - 5}{R_C + R_E} = \frac{12}{1200 + R_E}$$

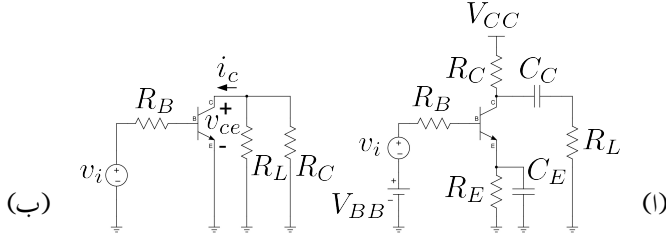
حاصل ہوتی ہے۔ نقطہ کارکردگی کو  $Q_1$  اور  $Q_2$  کے درمیان رکھنے کی خاطر  $I_{CQ}$  کا مندرجہ ذیل مساوات پر پورا اترنا لازم ہے۔

$$(3.82) \quad \begin{aligned} I_{CQ1} &< I_{CQ} < I_{CQ2} \\ 4 \text{ mA} &< I_{CQ} < \frac{12}{1200 + R_E} \end{aligned}$$

جس سے  $R_E < 1.8 \text{ k}\Omega$  حاصل ہوتا ہے۔

آئیں اب  $\beta$  اور  $V_{BE}$  میں تبدیلی کے اثرات کو دیکھیں۔ شکل 3.49 کے داخلی جانب





شکل 3.51

مطلوبہ جوابات ہیں۔

مثال 3.32: شکل 3.51 الف میں  $C_C$  کے ذریعہ ایپلیفائر کو برقی بوجھ  $R_L$  کے ساتھ وابستہ کیا گیا ہے۔ ایسا کپیسٹر جو دو حصوں کی وابستگی پیدا کرتے ہوئے ایک حصے سے دوسرے حصے میں اشارے کی منتقلی کرے بھٹک کپیسٹر<sup>33</sup> پکارا جاتا ہے۔ شکل میں  $i_C$  کا زیادہ سے زیادہ ممکنہ جیٹھ اور اس کے لئے درکار نقطہ کارکردگی حاصل کریں۔ کپیسٹروں کی قیمت لامحدود تصور کریں۔

حل: یک سمتی رو کے لئے کپیسٹروں کو کھلے سرے کرتے ہوئے یک سمتی رو، خطِ بوجھ کی مساوات حاصل کرتے ہیں۔

$$(3.85) \quad V_{CC} = i_C R_C + v_{CE} + i_E R_E$$

$$(3.86) \quad \approx v_{CE} + i_C (R_C + R_E) \quad \text{یک سمتی رو، خطِ بوجھ}$$

بدلتے اشارے کے عدم موجودگی میں اس مساوات کو یوں لکھ سکتے ہیں۔

$$(3.87) \quad V_{CC} \approx V_{CEQ} + I_{CQ} (R_C + R_E) \quad \text{یک سمتی رو، خطِ بوجھ}$$

شکل ب میں بدلتی رو، خطِ بوجھ حاصل کرنے کی خاطر  $V_{CC}$ ،  $V_{BB}$  اور کپیسٹروں کو قصر دور کیا گیا ہے۔ آپ دیکھ سکتے ہیں کہ بدلتے اشارے کے نقطہ نظر سے  $R_C$  اور  $R_L$  متوازی جڑے ہیں۔ اس دور سے بدلتی رو، خطِ بوجھ یوں حاصل ہوتا ہے۔

$$(3.88) \quad v_{ce} + i_c \left( \frac{R_C R_L}{R_C + R_L} \right)$$

چونکہ  $i_C = I_{CQ} + i_c$  اور  $v_{CE} = V_{CEQ} + v_{ce}$  ہوتے ہیں لہذا مندرجہ بالا مساوات کو یوں لکھا جاسکتا ہے

$$(3.89) \quad i_C - I_{CQ} = - \left( \frac{R_C + R_L}{R_C R_L} \right) (v_{CE} - V_{CEQ}) \quad \text{بوجھ خطِ رو، بدلتی}$$

جو کہ درکار بدلتی رو، خطِ بوجھ ہے۔ یہ مساوات 3.74 کے طرز کی مساوات ہے لہذا مساوات 3.75 کی طرز پر یہاں بھی مساوات 3.87 اور

$$(3.90) \quad V_{CEQ} = I_{CQ} R_{بدلتی} = I_{CQ} \frac{R_C R_L}{R_C + R_L}$$

کو آپس میں حل کرتے ہوئے نقطہ کارکردگی حاصل کرتے ہیں۔

$$V_{CC} = I_{CQ} \frac{R_C R_L}{R_C + R_L} + I_{CQ} (R_C + R_E)$$

جس سے

$$(3.91) \quad I_{CQ} = \frac{V_{CC}}{\frac{R_C R_L}{R_C + R_L} + R_C + R_E} = \frac{V_{CC}}{R_{بدلتی} + R_{یکسیتی}}$$

$$(3.92) \quad V_{CEQ} = I_{CQ} R_{بدلتی} = \frac{V_{CC}}{1 + \frac{R_{یکسیتی}}{R_{بدلتی}}}$$

حاصل ہوتا ہے جو کہ زیادہ سے زیادہ ممکنہ جیٹھ حاصل کرنے کے لئے درکار نقطہ کارکردگی ہے۔ جیسے شکل 3.48 میں دکھایا گیا ہے یوں  $i_C$  کا زیادہ سے زیادہ نا تراشا جیٹھ مندرجہ بالا مساوات میں دئے  $I_{CQ}$  کے برابر ہو گا۔ چونکہ  $i_C$  متوازی جڑے  $R_L$  اور  $R_C$  سے گزرتا ہے لہذا تقسیم برقی رو سے  $R_L$  میں برقی رو  $i_{RL}$  کی قیمت ہو گی۔ سائن نما اشارے کی صورت میں یوں  $\frac{R_C I_{CQ}}{R_L + R_C}$

$$(3.93) \quad i_{RL} = \frac{R_C}{R_L + R_C} I_{CQ} = \frac{R_C}{R_L + R_C} \left( \frac{V_{CC}}{\frac{R_C R_L}{R_C + R_L} + R_C + R_E} \right)$$

ہوگی۔

مثال 3.33: شکل 3.51 میں  $V_{CC} = 12\text{ V}$ ،  $R_C = R_L = 2\text{ k}\Omega$  اور  $R_E = 400\ \Omega$  ہیں۔ زیادہ سے زیادہ حیطے کا  $i_C$  حاصل کرنے کے لئے درکار نقطہ کارکردگی حاصل کریں۔

حل: چونکہ  $R_{یکستی} = 2.4\text{ k}\Omega$  جبکہ  $R_{بدلتی} = 1\text{ k}\Omega$  ہے لہذا مساوات 3.91 کے تحت نقطہ کارکردگی

$$I_{CQ} = \frac{12}{2400 + 1000} = 3.529\text{ mA}$$

$$V_{CEQ} = 3.529 \times 10^{-3} \times 1000 = 3.529\text{ V}$$

حاصل ہوتا ہے۔ یوں  $i_C$  کا زیادہ سے زیادہ ممکنہ حیطہ  $3.529\text{ mA}$  اور  $R_L$  سے گزرتے برقی رو  $i_{RL}$  کا زیادہ سے زیادہ ممکنہ حیطہ  $1.765\text{ mA}$  ہو گا۔

### 3.11 ٹرانزسٹر ریاضی نمونہ برائے وسیع اشارات

قلم و کاغذ استعمال کرتے ہوئے ٹرانزسٹر ادوار کے قابل قبول حل حاصل کرنے کے طریقوں پر گزشتہ حصوں میں تبصرے ہوئے۔ ان طریقوں سے حاصل جوابات سے بہتر نتائج حاصل کرنے کی خاطر نسبتاً بہتر ریاضی نمونہ استعمال کئے جاتے ہیں۔ آئیں ایسے چند ریاضی نمونوں پر غور کرتے ہیں۔

## 3.11.1 ایبز-مال ریاضی نمونہ

ایبز-مال ریاضی نمونہ ٹرانزسٹر کو افزا سئدہ، غیر افزا سئدہ اور منقطع تینوں خطوں میں نہایت عمدگی سے بیان کرتا ہے اور اسے استعمال کرتے ہوئے حقیقت کے بہت قریب نتائج حاصل ہوتے ہیں۔ یہ ریاضی نمونہ کم تعدد کے اشارات کے لئے استعمال کیا جاتا ہے۔ کمپیوٹر کا پروگرام سپائے<sup>34</sup> اسی ریاضی نمونہ سے اخذ کردہ مال-برداری ریاضی نمونہ استعمال کرتا ہے جس پر اگلے حصے میں گفتگو ہوگی۔

عمومی طرز پر مائل کردہ npn ٹرانزسٹر کے مختلف مساوات لکھتے وقت مساوات میں (F) بطور زیر نوشت استعمال کیا جائے گا جو عمومی طرز پر مائل کردہ ٹرانزسٹر کو ظاہر کرے گا۔

عمومی طرز پر مائل کردہ npn ٹرانزسٹر کے کلکٹر سرے پر برقی رو کی مساوات مندرجہ ذیل ہے۔

$$(3.94) \quad i_{CF} = I_S \left( e^{\frac{V_{BE}}{V_T}} - 1 \right)$$

اس مساوات کی مدد سے ایمٹر برقی رو  $i_{EF}$  اور بیس برقی رو  $i_{BF}$  حاصل کرتے ہیں۔

$$(3.95) \quad i_{EF} = \frac{i_{CF}}{\alpha_F} = \frac{I_S}{\alpha_F} \left( e^{\frac{V_{BE}}{V_T}} - 1 \right)$$

$$(3.96) \quad i_{BF} = i_{EF} - i_{CF} = \frac{I_S}{\alpha_F} \left( e^{\frac{V_{BE}}{V_T}} - 1 \right) - I_S \left( e^{\frac{V_{BE}}{V_T}} - 1 \right)$$

اس آخری مساوات کو حاصل کرتے وقت مساوات 3.94 اور مساوات 3.95 استعمال کئے گئے۔ اس آخری مساوات کو مزید حل کر کے یوں بھی لکھا جاسکتا ہے۔

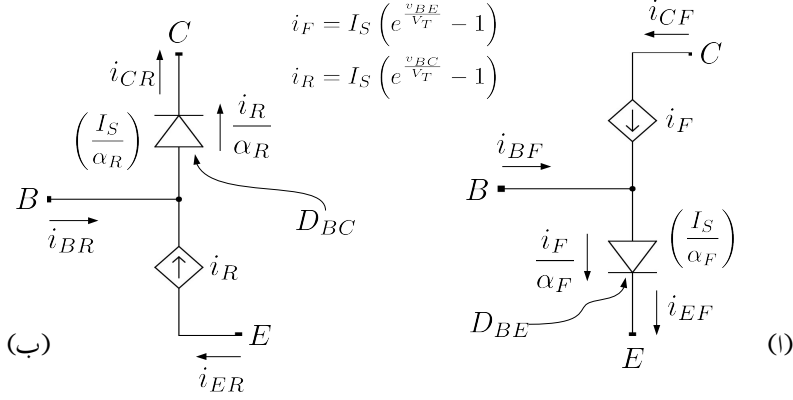
$$(3.97) \quad i_{BF} = I_S \left( \frac{1}{\alpha_F} - 1 \right) \left( e^{\frac{V_{BE}}{V_T}} - 1 \right) = \frac{I_S}{\beta_F} \left( e^{\frac{V_{BE}}{V_T}} - 1 \right)$$

جہاں

$$(3.98) \quad \left( \frac{1}{\alpha_F} - 1 \right) = \frac{1 - \alpha_F}{\alpha_F} = \frac{1}{\beta_F}$$

کا استعمال کیا گیا۔





شکل 3.52: npn ٹرانزسٹر کے ایئر-مال ریاضی نمونہ کا حصول

ان مساوات سے آپ دیکھ سکتے ہیں کہ  $i_{CF} = \alpha_F i_{EF}$  اور  $i_{CF} = \beta_F i_{BF}$  ہیں جو کہ ٹرانزسٹر کے جانے پہچانے مساوات ہیں۔ یوں شکل 3.52 الف عمومی طرز پر مائل npn ٹرانزسٹر کا وسیع اشاراتی ریاضی نمونہ ہے۔ مساوات 3.94، 3.95 اور مساوات 3.96 (یا اس کا مساوی مساوات 3.97) ٹرانزسٹر کے سروں پر برقی رو کے مساوات ہیں۔ ایک ایسا دور جس کے تین سرے ہوں اور جسے حل کر کے اس کے سروں پر یہی تین مساوات حاصل ہوں کو ٹرانزسٹر کا ریاضی نمونہ تصور کیا جاتا ہے۔

شکل 3.52 الف میں نتائج مندرجہ ذیل استعمال کیا گیا ہے جس کی قابو مساوات مندرجہ ذیل ہے۔

$$(3.99) \quad i_F = I_S \left( e^{\frac{v_{BE}}{V_T}} - 1 \right)$$

اس کے علاوہ اس شکل میں ایک عدد ڈایوڈ استعمال کیا گیا ہے۔ جیسا کہ آپ دیکھ سکتے ہیں کہ یہ ٹرانزسٹر کے بیس-ایمیٹر جوڑ کا ڈایوڈ  $D_{BE}$  ہے۔ مساوات 2.4 میں ڈایوڈ کے لبریزی برقی رو کو یہاں  $I_{SBE}$  لکھتے ہوئے اس ڈایوڈ میں برقی رو کی مساوات مندرجہ ذیل ہے۔

$$(3.100) \quad i_D = I_{SBE} \left( e^{\frac{v_{BE}}{V_T}} - 1 \right)$$

جہاں  $I_{SBE}$  ہیں۔ ایسٹر جوڑ کے ڈایوڈ کا لبریزی برقی رو ہے جس کی قیمت مندرجہ ذیل ہے

$$(3.101) \quad I_{SBE} = \frac{I_S}{\alpha_F}$$

شکل میں  $I_{SBE}$  کی اس قیمت کو یاد دہانی کی خاطر ڈایوڈ کے قریب قوسین میں بند لکھا گیا ہے۔

آئیں شکل 3.52 الف کے تین سروں پر برقی رو حاصل کریں۔ ہم دیکھتے ہیں کہ  $i_{CF}$  اور  $i_F$  برابر ہیں یعنی

$$(3.102) \quad i_{CF} = I_S \left( e^{\frac{v_{BE}}{V_T}} - 1 \right)$$

ایسٹر سرے کی برقی رو  $i_{EF}$  اور ڈایوڈ  $D_{BE}$  میں گزرتی برقی رو  $I_{D_{BE}}$  بھی آپس میں برابر ہیں یعنی

$$(3.103) \quad i_{EF} = \frac{I_S}{\alpha_F} \left( e^{\frac{v_{BE}}{V_T}} - 1 \right)$$

ہیں سرے پر کر خوف کے قانون برائے برقی رو کے تحت  $(i_{BF} = i_{EF} - i_{CF})$  ہو گا یعنی

$$(3.104) \quad i_{BF} = \frac{I_S}{\alpha_F} \left( e^{\frac{v_{BE}}{V_T}} - 1 \right) - I_S \left( e^{\frac{v_{BE}}{V_T}} - 1 \right)$$

ہم دیکھتے ہیں کہ مساوات 3.102، مساوات 3.103 اور مساوات 3.104 ہو بہو ٹرانزسٹر کے مساوات 3.94، مساوات 3.95 اور مساوات 3.96 ہی ہیں۔ یوں شکل 3.52 الف میں دکھائے دور کو عمومی طرز پر مائل کردہ ٹرانزسٹر کا ریاضی نمونہ تصور کیا جاسکتا ہے۔

اب تصور کریں کہ ٹرانزسٹر کے ایسٹر اور کلکٹر سروں کو استعمال کے نقطہ سے آپس میں بدل دیا جائے یعنی ہیں۔ ایسٹر جوڑ کو غیر چالو جبکہ ہیں۔ کلکٹر جوڑ کو سیدھا مائل کر دیا جائے۔ ایسا کرنے سے شکل ب حاصل ہوتا ہے جو غیر عمومی طرز پر مائل کردہ ٹرانزسٹر کا ریاضی نمونہ ہے۔ شکل ب میں  $i_{BR}$ ،  $i_{CR}$ ،  $i_{ER}$  اور  $\alpha_R$  لکھتے وقت (R) کو بطور زیر نوشت استعمال کیا گیا ہے جو غیر عمومی طرز پر مائل کردہ صورت کو ظاہر کرتا ہے۔ شکل ب میں ٹرانزسٹر کے سروں کے نام تبدیل نہیں کئے گئے ہیں یعنی جس سرے کو شکل الف میں E کہا گیا، اسی سرے کو شکل ب میں بھی E کہا گیا ہے۔ یوں شکل ب میں ایسٹر اور کلکٹر سروں پر برقی رو کی سمتیں الٹی ہوں گی۔

شکل ب میں ہیں۔ کلکٹر جوڑ کے ڈایوڈ کے لبریزی برقی رو  $I_{SBC}$  کی قیمت مندرجہ ذیل ہے

$$(3.105) \quad I_{SBC} = \frac{I_S}{\alpha_R}$$

یوں اس ڈایوڈ کے برقی رو کی مساوات مندرجہ ذیل ہوگی۔

$$(3.106) \quad i_{DBC} = \frac{I_S}{\alpha_R} \left( e^{\frac{v_{BC}}{V_T}} - 1 \right)$$

شکل میں تابع منبع رو  $i_R$  کا بھی استعمال کیا گیا ہے جس کی قابو مساوات مندرجہ ذیل ہے۔

$$(3.107) \quad i_R = I_S \left( e^{\frac{v_{BC}}{V_T}} - 1 \right)$$

اس شکل کے تین سروں پر برقی رو حاصل کرتے ہیں۔

ہم دیکھتے ہیں کہ ڈایوڈ کا برقی رو بھی  $i_{CR}$  ہے لہذا

$$(3.108) \quad i_{CR} = \frac{I_S}{\alpha_R} \left( e^{\frac{v_{BC}}{V_T}} - 1 \right)$$

اسی طرح  $i_{ER}$  دراصل  $i_R$  ہی ہے لہذا

$$(3.109) \quad i_{ER} = I_S \left( e^{\frac{v_{BC}}{V_T}} - 1 \right)$$

بیس سرے پر کرخوف کے قانون برائے برقی رو سے  $i_{BR}$  یوں حاصل ہوتا ہے۔

$$(3.110) \quad i_{BR} = i_{CR} - i_{ER} = \frac{I_S}{\alpha_R} \left( e^{\frac{v_{BC}}{V_T}} - 1 \right) - I_S \left( e^{\frac{v_{BC}}{V_T}} - 1 \right)$$

اس آخری مساوات کو حاصل کرتے وقت مساوات 3.108 اور مساوات 3.109 استعمال کئے گئے۔ اس آخری مساوات کو مزید حل کر کے یوں بھی لکھا جاسکتا ہے۔

$$(3.111) \quad i_{BR} = I_S \left( \frac{1}{\alpha_R} - 1 \right) \left( e^{\frac{v_{BC}}{V_T}} - 1 \right) = \frac{I_S}{\beta_R} \left( e^{\frac{v_{BC}}{V_T}} - 1 \right)$$

جہاں

$$(3.112) \quad \left( \frac{1}{\alpha_R} - 1 \right) = \left( \frac{1 - \alpha_R}{\alpha_R} \right) = \frac{1}{\beta_R}$$

کا استعمال کیا گیا۔

$n p n$  ٹرانزسٹر کی کارکردگی کو افزائندہ، غیر افزائندہ اور منقطع تینوں خطوں میں بیان کرنے کی خاطر شکل 3.52 الف اور شکل ب کے ادوار آپس میں متوازی جوڑ کر شکل 3.53 حاصل کیا جاتا ہے جو  $n p n$  ٹرانزسٹر کا



حاصل ہوتا ہے جس سے

$$I_C = 1.9573 \text{ mA}$$

$$I_E = 1.9771 \text{ mA}$$

$$I_B = 19.573 \mu\text{A}$$

حاصل ہوتے ہیں۔ اس کے برعکس اگر اسی ٹرانزسٹر کو غیر عمومی طرز پر

$$V_{BC} = 0.65 \text{ V}$$

پر مائل کیا جائے تب

$$I_R = 1.9573 \text{ mA}$$

حاصل ہوتا ہے۔ (ٹرانزسٹر کے سروں کے نام تبدیل کئے بغیر) اس سے

$$I_E = -1.9573 \text{ mA}$$

$$I_C = -195.73 \text{ mA}$$

$$I_B = 197.76 \text{ mA}$$

حاصل ہوتے ہیں۔ فرق صاف ظاہر ہے۔

غیر افزائندہ خطے میں بیس۔ایمٹر جوڑ اور بیس۔کلکٹر جوڑ دونوں سیدھے مائل ہو سکتے ہیں۔ ایسی صورت میں  $i_F$  اور  $i_R$  دونوں کی قیمتیں ناقابل نظر انداز ہوں گی اور پورا ریاضی نمونہ استعمال ہو گا۔ شکل 3.53 کو دیکھتے ہوئے ہم لکھ سکتے ہیں۔

$$(3.113) \quad i_E = i_{EF} - i_{ER} = i_{EF} - \alpha_R i_{CR}$$

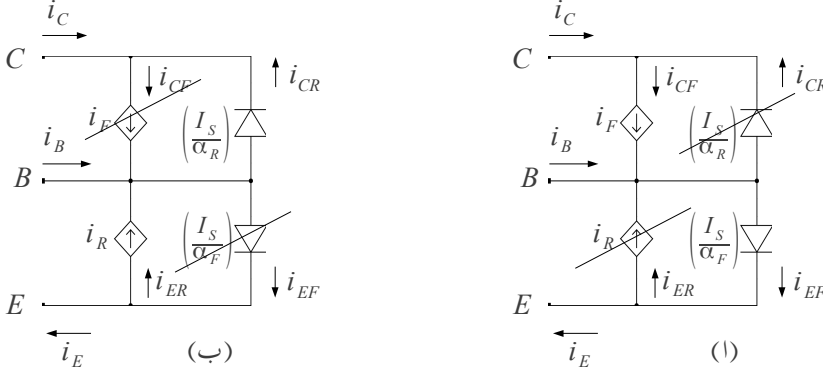
$$(3.114) \quad i_C = i_{CF} - i_{CR} = \alpha_F i_{EF} - i_{CR}$$

$$(3.115) \quad i_B = i_E - i_C$$

مساوات 3.102 اور مساوات 3.108 کے استعمال سے مساوات 3.114 کو یوں لکھا جاسکتا ہے۔

$$(3.116) \quad i_C = I_S \left( e^{\frac{v_{BE}}{V_T}} - 1 \right) - \frac{I_S}{\alpha_R} \left( e^{\frac{v_{BC}}{V_T}} - 1 \right)$$

$$(3.117) \quad \approx I_S e^{\frac{v_{BE}}{V_T}} - \frac{I_S}{\alpha_R} e^{\frac{v_{BC}}{V_T}}$$



شکل 3.54: npn ایئر زمال ریاضی نمونہ کی کارکردگی

اسی طرح مساوات 3.113 کو یوں لکھا جاسکتا ہے

$$(3.118) \quad i_E \approx \frac{I_S}{\alpha_F} e^{\frac{v_{BE}}{V_T}} - I_S e^{\frac{v_{BC}}{V_T}}$$

اس طرح مساوات 3.115 سے حاصل ہوتا ہے

$$(3.119) \quad \begin{aligned} i_B &\approx \left( \frac{I_S}{\alpha_F} e^{\frac{v_{BE}}{V_T}} - I_S e^{\frac{v_{BC}}{V_T}} \right) - \left( I_S e^{\frac{v_{BE}}{V_T}} - \frac{I_S}{\alpha_R} e^{\frac{v_{BC}}{V_T}} \right) \\ &= \left( \frac{1}{\alpha_F} - 1 \right) I_S e^{\frac{v_{BE}}{V_T}} + \left( \frac{1}{\alpha_R} - 1 \right) I_S e^{\frac{v_{BC}}{V_T}} \\ &= \frac{I_S}{\beta_F} e^{\frac{v_{BE}}{V_T}} + \frac{I_S}{\beta_R} e^{\frac{v_{BC}}{V_T}} \end{aligned}$$

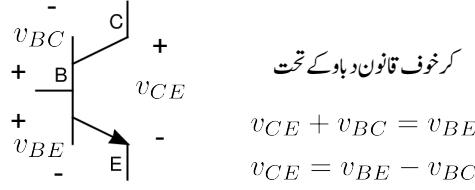
مساوات 3.116 میں  $e^{\frac{v_{BC}}{V_T}}$  کو قوسین کے باہر نکالنے سے اسے یوں لکھا جاسکتا ہے

$$(3.120) \quad i_C = I_S e^{\frac{v_{BC}}{V_T}} \left( e^{\frac{v_{BE}-v_{BC}}{V_T}} - \frac{1}{\alpha_R} \right)$$

شکل 3.55 میں ٹرانزسٹر پر برقی دباؤ کے مابین تعلق بیان کیا گیا ہے یعنی

$$(3.121) \quad v_{CE} = v_{BE} - v_{BC}$$

جسے استعمال کرتے ہم اس مساوات کو یوں لکھ سکتے ہیں



شکل 3.55: ٹرانزسٹر پر برقی دباؤ کا آپس میں تعلق

$$(3.122) \quad i_C = I_S e^{\frac{v_{BC}}{V_T}} \left( e^{\frac{v_{CE}}{V_T}} - \frac{1}{\alpha_R} \right)$$

یہی طریقہ مساوات 3.119 پر استعمال کرتے ہیں یعنی

$$(3.123) \quad i_B = I_S e^{\frac{v_{BC}}{V_T}} \left( \frac{e^{\frac{v_{BE} - v_{BC}}{V_T}}}{\beta_R} + \frac{1}{\beta_R} \right)$$

$$(3.124) \quad = I_S e^{\frac{v_{BC}}{V_T}} \left( \frac{e^{\frac{v_{CE}}{V_T}}}{\beta_F} + \frac{1}{\beta_R} \right)$$

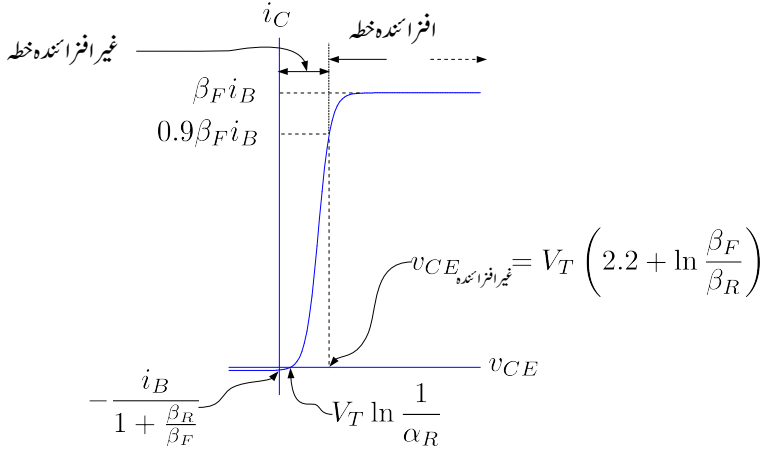
مساوات 3.122 کو مساوات 3.123 پر تقسیم کرنے سے حاصل ہوتا ہے

$$(3.125) \quad \frac{i_C}{i_B} = \frac{I_S e^{\frac{v_{BC}}{V_T}} \left( e^{\frac{v_{CE}}{V_T}} - \frac{1}{\alpha_R} \right)}{I_S e^{\frac{v_{BC}}{V_T}} \left( \frac{e^{\frac{v_{CE}}{V_T}}}{\beta_F} + \frac{1}{\beta_R} \right)} = \beta_F \frac{\left( e^{\frac{v_{CE}}{V_T}} - \frac{1}{\alpha_R} \right)}{\left( e^{\frac{v_{CE}}{V_T}} + \frac{\beta_F}{\beta_R} \right)}$$

اس مساوات سے  $v_{CE}$  کی مساوات حاصل کی جاسکتی ہے یعنی

$$(3.126) \quad v_{CE} = V_T \ln \left( \frac{\frac{1}{\alpha_R} + \frac{(i_C/i_B)}{\beta_R}}{1 - \frac{(i_C/i_B)}{\beta_F}} \right)$$

مندرجہ بالا الجبرا سے ایسا معلوم ہوتا ہے جیسے ٹرانزسٹر کے ایمپٹر اور کلکٹر سروں کو آپس میں بدلا جاسکتا ہے۔ حقیقت میں ٹرانزسٹریوں بنائے جاتے ہیں کہ عموماً  $\alpha_F \approx 1$  اور  $\alpha_R \approx 0.01$  کے برابر ہوتے ہیں۔ یوں  $\beta_F$  کی



شکل 3.56: ایئر-مال ریاضی نمونہ سے حاصل کردہ ٹرانزسٹر کا خط

قیمت  $\beta_R$  کی قیمت سے کئی گنا زیادہ ہوتی ہے اور ٹرانزسٹر صرف عمومی طرز پر سیدھا مائل کرنے سے ہی اس کی صحیح کارکردگی حاصل کی جاسکتی ہے۔ مساوات 3.125 کو شکل 3.56 میں دکھایا گیا ہے۔ شکل سے واضح ہے کہ  $v_{CE}$  کو زیادہ بڑھانے سے برقی رو  $i_C$  بڑھتے بڑھتے برقرار قیمت  $(\beta_F i_B)$  حاصل کر لیتی ہے۔ شکل میں افزائندہ اور غیر افزائندہ خطوں کی نشاندہی بھی کی گئی ہے۔ شکل میں ان دو خطوں کے سرحد کو طے کرنا دکھایا گیا ہے۔ جہاں  $i_C$  کی قیمت اس کے بلند تر قیمت کے نوے فی صد ہو (یعنی جہاں  $i_C = 0.9 \beta_F i_B$  ہو) یہی ان دو خطوں کے مابین حد ہے۔ مساوات 3.126 سے اس حد پر برقی دباؤ  $v_{CE}$  یوں حاصل کیا جاسکتا ہے

$$(3.127) \quad V_{CE} = V_{CE \text{ افزائندہ}} = V_T \ln \left( \frac{\frac{1+\beta_R}{\beta_R} + \frac{0.9\beta_F}{\beta_R}}{1-0.9} \right)$$

جسے غیر افزائندہ  $V_{CE}$  لکھتے ہیں۔ عموماً  $\beta_F$  کی قیمت  $\beta_R$  سے کئی گنا زیادہ ہوتی ہے اور یوں اس مساوات کو اس طرح بھی لکھا جاسکتا ہے۔

$$(3.128) \quad V_{CE \text{ افزائندہ}} \approx V_T \ln \left( \frac{\frac{0.9\beta_F}{\beta_R}}{1-0.9} \right) = V_T \ln \frac{9\beta_F}{\beta_R} = V_T \left[ 2.2 + \ln \left( \frac{\beta_F}{\beta_R} \right) \right]$$

اگر  $\beta_F = 180$  اور  $\beta_R = 0.01$  ہوں تب  $V_{CE \text{ افزائندہ}} = 0.2995 \text{ V}$  حاصل ہوتا ہے۔ اسی طرح



اگر  $\beta_F = 100$  اور  $\beta_R = 0.15$  ہوں تب  $V_{CE} = 0.21756 \text{ V}$  غیر افراطی نمونہ حاصل ہوتا ہے۔ اس کتاب میں جہاں خاص طور بتلایا نہ جائے وہاں  $V_{CE} = 0.2 \text{ V}$  غیر افراطی نمونہ لیا جائے گا۔

صفحہ 276 پر شکل 3.36 میں دئے خطوط سے یہ غلط تاثر ملتا ہے کہ  $i_C = 0 \text{ A}$  پر  $v_{CE} = 0 \text{ V}$  ہوتا ہے۔ شکل 3.56 سے صاف ظاہر ہے کہ ایسا ہر گز نہیں۔  $i_C = 0 \text{ A}$  پر  $v_{CE} = V_T \ln \frac{1}{\alpha_R}$  کے برابر ہوتا ہے۔ اسی طرح  $v_{CE} = 0 \text{ V}$  پر  $i_C$  کی قیمت بھی یہاں شکل پر دکھائی گئی ہے۔

کچھ ادوار مثلاً ٹرانزسٹر-ٹرانزسٹر منطق<sup>36</sup> میں  $v_{CE}$  کی قیمت صفر یا منفی ہو سکتی ہے۔ ایسی صورت میں  $i_C$  کی قیمت بھی صفر یا منفی ہو سکتی ہے۔

### 3.11.2 $pnp$ ٹرانزسٹر کا ایبرز-مال ماڈل

شکل 3.57 میں ایبرز-مال ریاضی نمونہ کا حصول دکھایا گیا ہے۔ شکل الف میں عمومی طرز پر مائل کردہ  $pnp$  ٹرانزسٹر کا ریاضی نمونہ دکھایا گیا ہے جبکہ شکل ب میں غیر عمومی طرز پر مائل کردہ ٹرانزسٹر کا ریاضی نمونہ دکھایا گیا ہے۔ ان دونوں کو متوازی جوڑ کر شکل پ میں  $pnp$  ٹرانزسٹر کا مکمل ایبرز-مال ریاضی نمونہ دکھایا گیا ہے۔ چونکہ عمومی طرز پر مائل کردہ  $pnp$  ٹرانزسٹر میں ایمر-بیس  $(E - B)$  جوڑ سیدھا مائل کیا جاتا ہے لہذا  $pnp$  ٹرانزسٹر کے مساوات لکھتے وقت  $v_{EB}$  کا استعمال کیا جاتا ہے لہذا

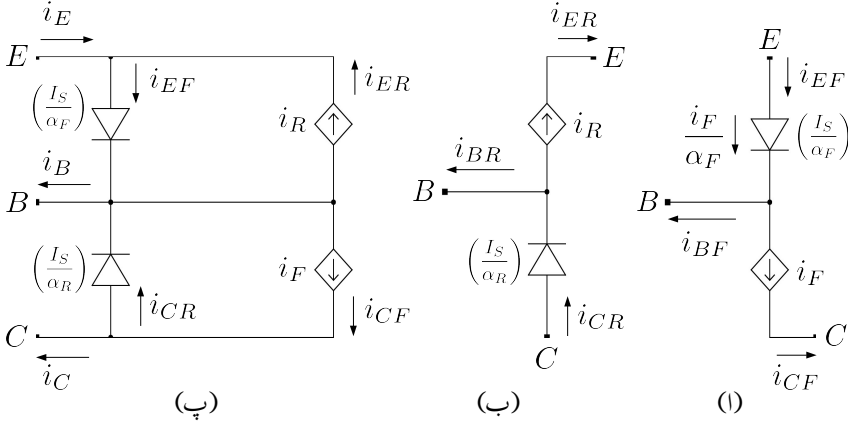
$$i_F = I_S \left( e^{\frac{v_{EB}}{V_T}} - 1 \right)$$

$$i_R = I_S \left( e^{\frac{v_{CB}}{V_T}} - 1 \right)$$

لکھے جائیں گے۔ امید کی جاتی ہے کہ آپ اس ریاضی نمونہ کو خود سمجھ سکیں گے۔

### 3.11.3 مال برداری ریاضی نمونہ

شکل 3.59 الف میں عمومی طرز پر مائل (یعنی سیدھا مائل)  $nnp$  ٹرانزسٹر کا ایک اور ریاضی نمونہ دکھایا گیا ہے جہاں  $i_{CF}$ ،  $i_{EF}$  وغیرہ لکھتے ہوئے  $(F)$  کو بطور زیر نوشت استعمال کیا گیا ہے جو کہ عمومی طرز پر مائل



شکل 3.57: pnp ٹرانزسٹر کا ایرز-مال ماڈل

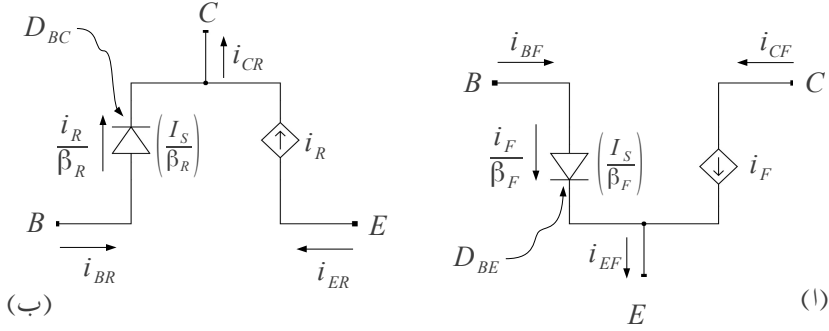
ٹرانزسٹر کو ظاہر کرتا ہے۔ عمومی طرز پر مائل کردہ (یعنی سیدھا مائل کردہ) ٹرانزسٹر کا بیس-ایمٹر جوڑ سیدھا مائل جبکہ اس کا بیس-کلکٹر جوڑ غیر چالو رکھا جاتا ہے۔ اس شکل میں تابع منبع رو  $i_F$  استعمال کیا گیا ہے۔ وہ برقی رو ہے جو ایمٹر خطے اور کلکٹر خطے کے مابین بیس خطے کے ذریعہ باروں کی مال برداری سے پیدا ہوتا ہے۔ اسے سیدھے رخ مال برداری سے پیدا برقی رو کہہ سکتے ہیں۔

اس ریاضی نمونہ میں ایک عدد ڈائیوڈ استعمال کیا گیا ہے جو دراصل ٹرانزسٹر کے بیس-ایمٹر جوڑ کے ڈائیوڈ  $D_{BE}$  کو ظاہر کرتا ہے۔ مساوات 2.4 میں ڈائیوڈ کے لبریزی برقی رو کو  $I_{SBE}$  لکھتے ہیں۔ موجودہ استعمال میں  $I_{SBE}$  کی قیمت مندرجہ ذیل ہے

$$(3.129) \quad I_{SBE} = \frac{I_S}{\beta_F}$$

شکل الف میں ڈائیوڈ  $D_{BE}$  کے قریب قوسین میں بند  $I_{SBE}$  کی قیمت  $\frac{I_S}{\beta_F}$  کو یاد دہانی کے خاطر لکھا گیا ہے۔ اس طرح ڈائیوڈ  $D_{BE}$  کے مساوات کو یوں لکھا جاسکتا ہے۔

$$(3.130) \quad i_{DF} = \frac{I_S}{\beta_F} \left( e^{\frac{v_{BE}}{V_T}} - 1 \right)$$



شکل 3.58: npn ٹرانزسٹر کے مال برداری ریاضی نمونہ کا حصول

شکل الف کو دیکھتے ہم لکھ سکتے ہیں

$$(3.131) \quad i_{CF} = i_F = I_S \left( e^{\frac{v_{BE}}{V_T}} - 1 \right)$$

$$(3.132) \quad i_{BF} = i_{DF} = \frac{i_F}{\beta_F} = \frac{I_S}{\beta_F} \left( e^{\frac{v_{BE}}{V_T}} - 1 \right)$$

$$(3.133) \quad i_{EF} = i_{BF} + i_{CF} = \frac{i_{CF}}{\alpha_F} = \frac{I_S}{\alpha_F} \left( e^{\frac{v_{BE}}{V_T}} - 1 \right)$$

شکل 3.59 ب میں ٹرانزسٹر کے بیس-کلکٹر جوڑ کو سیدھا مائل جبکہ بیس-ایمٹر جوڑ کو غیر چالو رکھ کر ٹرانزسٹر کو غیر عمومی طرز پر (یعنی الٹا) مائل کیا گیا ہے۔ اس شکل میں ڈایوڈ  $D_{BC}$  استعمال کیا گیا ہے جو ٹرانزسٹر کے بیس-کلکٹر جوڑ کے ڈایوڈ کو ظاہر کرتا ہے۔ اس ڈایوڈ کے لبریزی برقی رو  $I_{SBC}$  کی قیمت مندرجہ ذیل ہے۔

$$(3.134) \quad I_{SBC} = \frac{I_S}{\beta_R}$$

شکل (ب) میں یاد دہانی کی خاطر ڈایوڈ کے قریب اس قیمت کو توسیع میں بند لکھا گیا ہے۔ ڈایوڈ کے علاوہ ایک عدد قابو منبع برقی رو  $i_R$  استعمال کیا گیا ہے جو ایمٹر اور کلکٹر خطوں کے مابین، بیس خطے کے ذریعہ، باروں کے مال برداری سے پیدا برقی رو کو ظاہر کرتا ہے۔ استعمال ہونے والے  $i_R$  کا قابو مساوات مندرجہ ذیل ہے۔

$$(3.135) \quad i_R = I_S \left( e^{\frac{v_{BC}}{V_T}} - 1 \right)$$

شکل ب کو دیکھتے ہوئے برقی رو کے مساوات لکھتے ہیں۔

$$(3.136) \quad i_{ER} = i_R = I_S \left( e^{\frac{v_{BC}}{V_T}} - 1 \right)$$

$$(3.137) \quad i_{BR} = \frac{i_R}{\beta_R} = \frac{I_S}{\beta_R} \left( e^{\frac{v_{BC}}{V_T}} - 1 \right)$$

$$(3.138) \quad i_{CR} = i_{BR} + i_{ER} = \frac{i_R}{\alpha_R} = \frac{I_S}{\alpha_R} \left( e^{\frac{v_{BC}}{V_T}} - 1 \right)$$

ان مساوات میں (R) کو بطور زیر نوشت استعمال کیا گیا ہے جو غیر عمومی طرز پر مائل کردہ ٹرانزسٹر کو ظاہر کرتا ہے۔ یہاں بیس خطے میں غیر عمومی (یعنی الٹی) رخ باروں کے مال برداری سے حاصل برقی رو کو  $i_R$  کہا گیا ہے۔ یوں  $i_R$  کو الٹی رخ مال برداری سے پیدا برقی رو کہہ سکتے ہیں۔

$nnp$  ٹرانزسٹر کو افزائندہ، غیر افزائندہ اور منقطع تینوں خطوں میں ظاہر کرنے کی خاطر شکل 3.58 الف اور شکل ب کو متوازی جوڑ کر شکل 3.59 حاصل کیا گیا ہے جو  $nnp$  ٹرانزسٹر کا مال برداری ریاضی نمونہ ہے۔ دونوں اشکال کو متوازی جوڑتے وقت  $i_F$  اور  $i_R$  کے مجموعہ کو  $i_T$  کہا گیا ہے یعنی

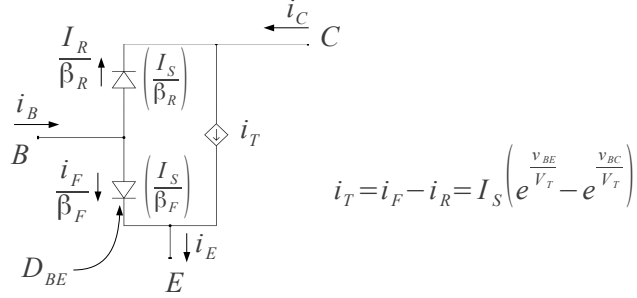
$$(3.139) \quad \begin{aligned} i_T &= i_F - i_R \\ &= I_S \left( e^{\frac{v_{BE}}{V_T}} - 1 \right) - I_S \left( e^{\frac{v_{BC}}{V_T}} - 1 \right) \\ &= I_S \left( e^{\frac{v_{BE}}{V_T}} - e^{\frac{v_{BC}}{V_T}} \right) \end{aligned}$$

یوں  $i_T$  کو کسی بھی طرز پر مائل کردہ ٹرانزسٹر میں باروں کے مال برداری سے حاصل برقی رو تصور کیا جاسکتا ہے۔ شکل 3.59 میں دکھائے مال برداری ریاضی نمونہ کو دیکھتے ہوئے، مساوات 3.131 اور مساوات 3.136 کے استعمال سے کسی بھی طرز پر مائل ٹرانزسٹر کے مساوات حاصل کئے جاسکتے ہیں۔ آئیں ان مساوات کو حاصل کریں۔ ایسا کرتے وقت دھیان رہے کہ  $i_{EF}$  کارنٹ ٹرانزسٹر کے سرے پر باہر جانب کو ہے،  $i_{ER}$  کارنٹ اندر کی جانب کو ہے،  $i_{CF}$  کارنٹ اندر جانب کو جبکہ  $i_{CR}$  کارنٹ باہر جانب کو ہے۔ یوں

$$(3.140) \quad i_C = i_{CF} - i_{CR}$$

$$(3.141) \quad i_E = i_{EF} - i_{ER}$$

$$(3.142) \quad i_B = i_{BF} - i_{BR}$$



شکل 3.59: npn ٹرانزسٹر کا مال برداری ماڈل

$$\begin{aligned}
 i_C &= I_S \left( e^{\frac{v_{BE}}{V_T}} - 1 \right) - \frac{I_S}{\alpha_R} \left( e^{\frac{v_{BC}}{V_T}} - 1 \right) \\
 &= I_S \left( e^{\frac{v_{BE}}{V_T}} - 1 \right) - I_S \left( 1 + \frac{1}{\beta_R} \right) \left( e^{\frac{v_{BC}}{V_T}} - 1 \right) \\
 &= I_S \left( e^{\frac{v_{BE}}{V_T}} - 1 \right) - I_S - \frac{I_S}{\beta_R} \left( e^{\frac{v_{BC}}{V_T}} - 1 \right) \\
 &\approx I_S \left( e^{\frac{v_{BE}}{V_T}} - 1 \right) - \frac{I_S}{\beta_R} \left( e^{\frac{v_{BC}}{V_T}} - 1 \right)
 \end{aligned}
 \tag{3.143}$$

اس مساوات کے حصول میں دوسری قدم پر  $\alpha = \frac{\beta}{1+\beta}$  کا استعمال کیا گیا جس سے  $\frac{1}{\alpha} = 1 + \frac{1}{\beta}$  حاصل کر کے استعمال کیا گیا۔ مساوات کے حصول کے آخری قدم پر  $I_S$  کو نظر انداز کیا گیا۔

$$\begin{aligned}
 i_E &= \frac{I_S}{\alpha_F} \left( e^{\frac{v_{BE}}{V_T}} - 1 \right) - I_S \left( e^{\frac{v_{BC}}{V_T}} - 1 \right) \\
 &= I_S \left( 1 + \frac{1}{\beta_F} \right) \left( e^{\frac{v_{BE}}{V_T}} - 1 \right) - I_S \left( e^{\frac{v_{BC}}{V_T}} - 1 \right) \\
 &\approx I_S \left( e^{\frac{v_{BE}}{V_T}} - e^{\frac{v_{BC}}{V_T}} \right) + \frac{I_S}{\beta_F} \left( e^{\frac{v_{BE}}{V_T}} - 1 \right)
 \end{aligned}
 \tag{3.144}$$

مساوات 3.144 کے حصول میں دوسری قدم پر  $\alpha = \frac{\beta}{1+\beta}$  کا استعمال کیا گیا جس سے  $\frac{1}{\alpha} = 1 + \frac{1}{\beta}$  حاصل کر کے استعمال کیا گیا۔ مساوات کے حصول کے آخری قدم پر  $I_S$  کو نظر انداز کیا گیا ہے۔

$$i_B = \frac{I_S}{\beta_F} \left( e^{\frac{v_{BE}}{V_T}} - 1 \right) + \frac{I_S}{\beta_R} \left( e^{\frac{v_{BC}}{V_T}} - 1 \right)
 \tag{3.145}$$

مساوات 3.143 اور مساوات 3.144 میں پہلی توسیع میں خطے میں کل باروں کی مال برداری سے پیدا برقی رو  $i_T$  کو ظاہر کرتا ہے جس کی قیمت شکل 3.58 الف اور شکل ب سے یوں حاصل ہوتی ہے۔

$$(3.146) \quad i_T = i_F - i_R = I_S \left( e^{\frac{v_{BE}}{V_T}} - e^{\frac{v_{BC}}{V_T}} \right)$$

یوں مساوات 3.143 اور مساوات 3.144 کو اس طرح لکھا جاسکتا ہے۔

$$(3.147) \quad i_C = i_T - \frac{I_S}{\beta_R} \left( e^{\frac{v_{BC}}{V_T}} - 1 \right)$$

$$(3.148) \quad i_E = i_T + \frac{I_S}{\beta_F} \left( e^{\frac{v_{BE}}{V_T}} - 1 \right)$$

مثال 3.34: مال برداری ریاضی نمونہ سے  $nnpn$  ٹرانزسٹر کے  $i_B$ ،  $i_C$  اور  $i_E$  برقی رو حاصل کریں۔

حل: شکل 3.59 کو دیکھتے ہوئے دو ڈیوڈ کے برقی رویوں لکھے جاسکتے ہیں۔

$$i_{D_{BE}} = \frac{I_S}{\beta_F} \left( e^{\frac{v_{BE}}{V_T}} - 1 \right)$$

$$i_{D_{BC}} = \frac{I_S}{\beta_R} \left( e^{\frac{v_{BC}}{V_T}} - 1 \right)$$

اور یوں کر خوف کے قانون برائے برقی رو سے  $i_B$  حاصل کیا جاسکتا ہے یعنی

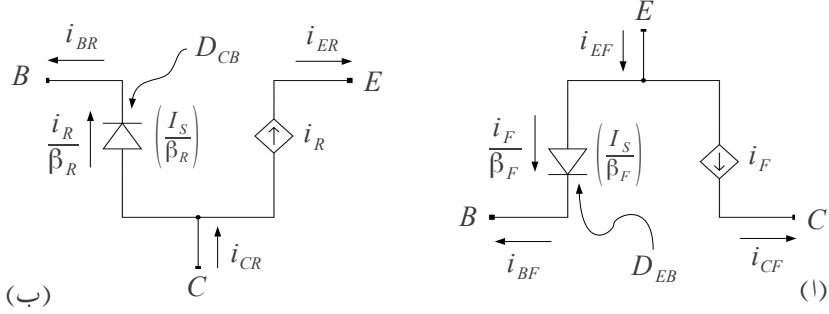
$$(3.149) \quad i_B = i_{D_{BE}} + i_{D_{BC}}$$

$$(3.150) \quad = \frac{I_S}{\beta_F} \left( e^{\frac{v_{BE}}{V_T}} - 1 \right) + \frac{I_S}{\beta_R} \left( e^{\frac{v_{BC}}{V_T}} - 1 \right)$$

یہ بالکل مساوات 3.145 ہی حاصل ہوا ہے۔ اسی طرح کلکٹر اور ایمر سرور پر کر خوف کے قانون برائے برقی رو کی مدد سے ہم لکھ سکتے ہیں۔

$$(3.151) \quad i_C = i_T - i_{D_{BC}} = I_S \left( e^{\frac{v_{BE}}{V_T}} - e^{\frac{v_{BC}}{V_T}} \right) - \frac{I_S}{\beta_R} \left( e^{\frac{v_{BC}}{V_T}} - 1 \right)$$

$$(3.152) \quad i_E = i_T + i_{D_{BE}} = I_S \left( e^{\frac{v_{BE}}{V_T}} - e^{\frac{v_{BC}}{V_T}} \right) - \frac{I_S}{\beta_F} \left( e^{\frac{v_{BE}}{V_T}} - 1 \right)$$

شکل 3.60:  $pnp$  ٹرانزسٹر کے مال برداری ریاضی نمونہ کا حصول

یہ بالکل مساوات 3.143 اور مساوات 3.144 کے جواب ہی ہیں۔

مشق 3.1: مشق: شکل 3.60 کی مدد سے  $pnp$  ٹرانزسٹر کے مساوات لکھیں اور ٹرانزسٹر کا مال برداری ریاضی نمونہ حاصل کریں جسے شکل 3.61 میں دکھایا گیا ہے۔

عمومی طرز پر مائل ٹرانزسٹر میں ایمر-بیس جوڑ کو سیدھا مائل  $v_{EB} \geq 0V$  جبکہ کلکٹر-بیس جوڑ کو غیر چالو رکھا جاتا ہے جبکہ غیر عمومی طرز پر مائل کردہ  $pnp$  ٹرانزسٹر میں  $v_{EB}$  کو غیر چالو رکھا جاتا ہے جبکہ  $v_{CB}$  کو سیدھا مائل رکھا جاتا ہے۔ یوں سیدھے رُخ اور الٹے رُخ باروں کے مال برداری سے پیدا برقی رو کے مساوات مندرجہ ذیل ہوں گے۔

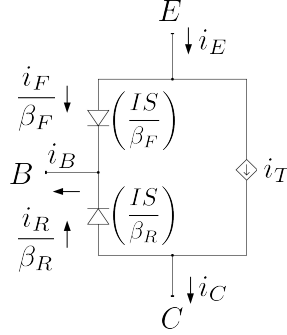
$$(3.153) \quad i_F = I_S \left( e^{\frac{v_{EB}}{V_T}} - 1 \right)$$

$$(3.154) \quad i_R = I_S \left( e^{\frac{v_{CB}}{V_T}} - 1 \right)$$

ڈایوڈ کے لبریزی برقی رو  
مندرجہ ذیل ہیں

$$I_{SD_{EB}} = \frac{I_S}{\beta_F}$$

$$I_{SD_{CB}} = \frac{I_S}{\beta_R}$$



شکل 3.61: pnp ٹرانزسٹر کا مال برداری ریاضی نمونہ

### 3.12 نفی کار

شکل 3.62 میں چند خطوط دکھائے گئے ہیں۔ آپ  $y = mx$  کے خط سے بخوبی واقف ہیں۔ یہ خط کارتیسی محد کے مبدا  $(0,0)$  سے گزرتا ہے۔ اسی شکل میں  $y = -mx$  کو بھی دکھایا گیا ہے۔ آپ دیکھ سکتے ہیں کہ  $x$  محور میں  $y = mx$  کا عکس لینے سے  $y = -mx$  حاصل ہوتا ہے۔ اگر  $y = mx$  کو  $(0,0)$  سے  $(0,c)$  منتقل کیا جائے تو  $y = mx + c$  حاصل ہوتا ہے۔ اسی طرح  $y = -mx$  کو  $(0,0)$  سے  $(0,c)$  منتقل کرنے سے  $y = -mx + c$  حاصل ہوتا ہے۔

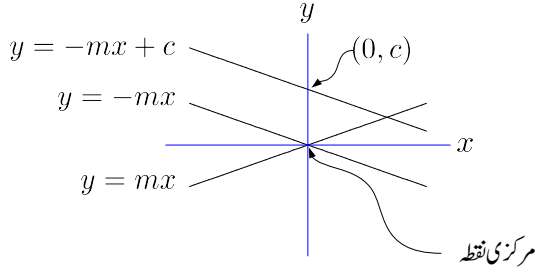
اسی طرح  $x = f(y)$  کا  $y$  محور میں عکس  $x = -f(y)$  ہو گا اور خط کو مثبت  $x$  جانب  $c$  اکائی منتقل کرنے سے  $x = f(y) + c$  حاصل ہوتا ہے۔ ان حقائق کو یوں بیان کیا جاسکتا ہے۔

•  $y$  محور میں  $x = f(y)$  کا عکس لینے سے  $x = -f(y)$  حاصل ہوتا ہے۔

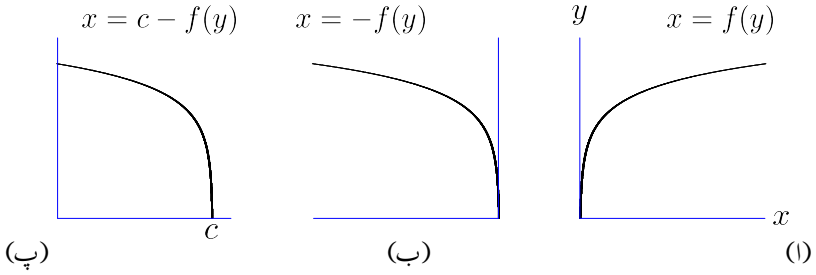
•  $x = f(y)$  کو  $x$  محور پر مثبت جانب  $c$  اکائی منتقل کرنے سے  $x = f(y) + c$  حاصل ہوتا ہے۔

شکل 3.63 الف میں  $x = f(y)$  جبکہ شکل ب میں اسی کا عمودی محور میں عکس  $x = -f(y)$  دکھایا گیا ہے۔ شکل پ میں عکس کو دائیں جانب  $c$  اکائی منتقل کرتے ہوئے  $x = c - f(y)$  حاصل کیا گیا ہے۔

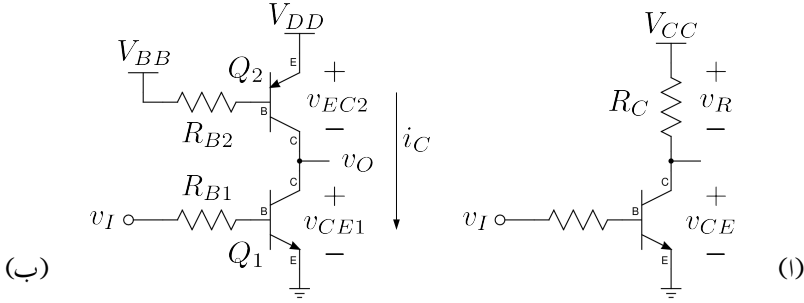




شکل 3.62: افقی محور میں عکس اور عمودی سمت میں منتقلی



شکل 3.63: عمودی محور میں عکس اور افقی سمت میں منتقلی



شکل 3.64: نفی کار

ان معلومات کو مد نظر رکھتے ہوئے آگے بڑھتے ہیں۔ شکل 3.64 الف میں ٹرانزسٹر کا سادہ دور دکھایا گیا ہے۔ اس دور پر ہم تفصیلاً بحث کر چکے ہیں۔ آئیں اس کے خطِ بوجھ کھینچیں۔ اس دور کے لئے لکھا جاسکتا ہے۔

$$v_{CE} = V_{CC} - v_R$$

یہاں  $v_R = i_C R_C$  کے برابر ہے لہذا اسی مساوات کو یوں لکھا جاسکتا ہے

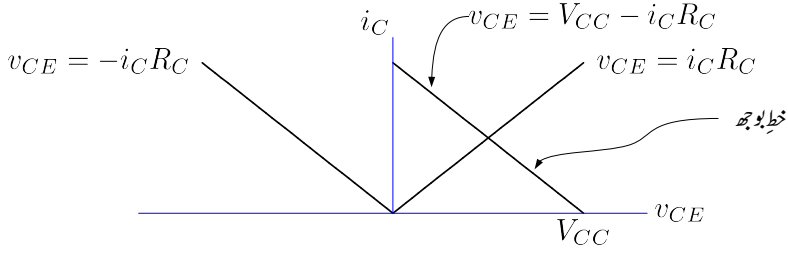
$$v_{CE} = V_{CC} - i_C R_C$$

$v_{CE}$  کو افقی محور اور  $i_C$  کو عمودی محور پر رکھتے ہوئے  $v_{CE} = i_C R_C$  کو  $v_{CE} = f(i_C)$  لکھ کر شکل 3.62 کے طرز پر کھینچا جاسکتا ہے۔ عمودی محور میں اس خط کا عکس لینے سے  $v_{CE} = -i_C R_C$  حاصل ہوتا ہے جسے  $V_{CC}$  اکایاں افقی محور پر دائیں منتقل کرتے ہوئے خطِ بوجھ  $v_{CE} = V_{CC} - i_C R_C$  حاصل ہوتا ہے۔ شکل 3.65 میں قدم با قدم ایسا کرنا دکھایا گیا ہے۔

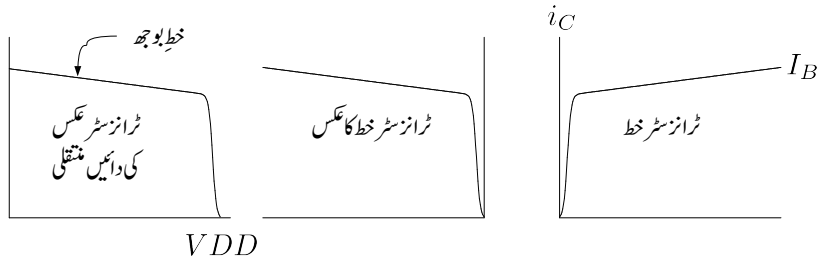
آئیں اب اصل موضوع پر غور کریں۔ شکل 3.64 ب میں نفی کار<sup>37</sup> دکھایا گیا ہے جو عددی ادوار<sup>38</sup> کا اہم ترین دور ہے۔ عددی ادوار میں مثبت منبع کو عموماً  $V_{DD}$  لکھا جاتا ہے۔ اسی لئے شکل میں  $V_{CC}$  یا  $V_{EE}$  کی جگہ  $V_{DD}$  لکھا گیا ہے۔ یہاں  $Q_2$  بطور برقی بوجھ کردار ادا کرتا ہے۔ شکل کو دیکھتے ہوئے

$$v_{CE1} = V_{DD} - v_{EC2}$$

<sup>37</sup> NOT gate  
<sup>38</sup> digital circuits



شکل 3.65: خط بوجھ کا حصول۔



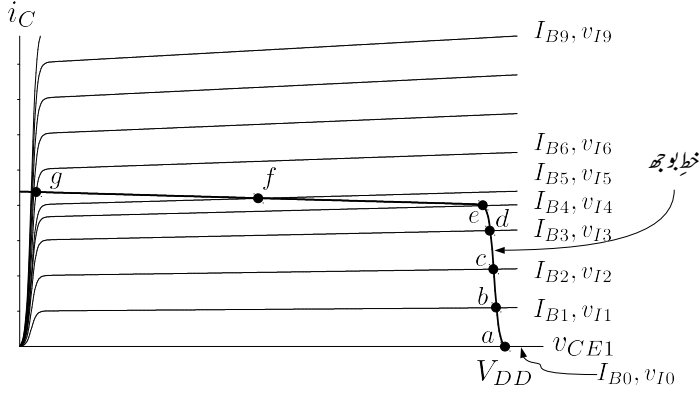
شکل 3.66: ٹرانزسٹر کے خط کی عمودی محور میں عکس اور افقی سمت میں منتقلی۔

لکھا جاسکتا ہے۔ آپ دیکھ سکتے ہیں کہ یہی خط بوجھ کی مساوات ہے۔ عمودی محور میں  $v_{EC2} = f(i_C)$  کے خط کے عکس کو افقی محور پر دائیں جانب  $V_{DD}$  منتقل کرنے سے مندرجہ بالا مساوات کھینچا جاسکتا ہے۔ اس عمل کو شکل 3.66 میں قدم با قدم دکھایا گیا ہے۔

ٹرانزسٹر  $Q_2$  کے ایسٹر اور بیس پر ایک سمتی برقی دباؤ مہیا کئے گئے ہیں لہذا اس کے بیس پر برقی رو  $I_B$  ایک سمتی ہوگی جسے شکل سے یوں حاصل کیا جاسکتا ہے۔

$$I_B = \frac{V_{DD} - V_{EB} - V_{BB}}{R_{B2}}$$

ٹرانزسٹر کے  $v_{EC2} = f(i_C)$  خطوط سے مراد  $pnp$  ٹرانزسٹر کے  $i_C$  بالمقابل  $v_{EC}$  خطوط ہیں جنہیں صفحہ 278 پر شکل 3.37 میں دکھایا گیا ہے۔ چونکہ موجودہ صورت میں  $Q_2$  کے بیس پر برقی رو تبدیل نہیں ہو رہی لہذا ان خطوط میں سے صرف اس خط کو چنا جائے گا جو حاصل کردہ  $I_B$  پر پایا جائے۔



شکل 3.67: ٹرانزسٹر خطوط پر خط بوجھ کھینچا گیا ہے۔

شکل 3.67 میں  $Q_1$  کے خطوط پر خط بوجھ کو کھینچا گیا ہے۔ اگر اس دور کو بطور ایمپلیفائر استعمال کرنا مقصد ہو تب نقطہ کارکردگی کو  $f$  کے قریب رکھ کر زیادہ سے زیادہ حیطے کا خارجی اشارہ حاصل کرنا ممکن بنایا جاسکتا ہے۔ نقطہ کارکردگی کو  $f$  پر رکھنے کی خاطر  $Q_1$  کے بیس پر  $I_{B5}$  برقی رو درکار ہوگی۔ شکل 3.64 کو دیکھتے ہوئے  $Q_2$  کے بیس پر برقی رو کی مساوات یوں لکھی جاسکتی ہے

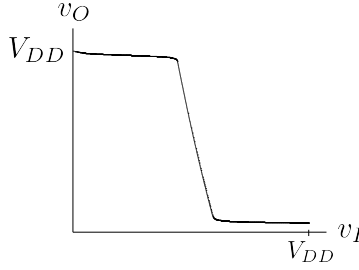
$$i_B = \frac{v_I - v_{BE}}{R_{B1}}$$

جہاں  $v_{BE} = 0.7V$  لیا جاتا ہے۔  $I_{B5}$  برقی رو حاصل کرنے کی خاطر  $v_I$  کی درکار قیمت  $v_{I5}$  اس مساوات سے حاصل کی جاسکتی ہے۔ شکل 3.67 میں  $Q_1$  کے خطوط پر  $I_{B2}$ ،  $I_{B1}$  وغیرہ لکھتے ہوئے  $v_{I2}$ ،  $v_{I1}$  وغیرہ بھی لکھے گئے ہیں۔

عددی ادوار میں عموماً  $V_{DD} = 5V$  ہوتا ہے جبکہ  $v_I$  کی دو ہی ممکنہ قیمتیں ہیں۔ یہ یا تو  $0V$  اور یا پھر  $5V$  ہوتا ہے۔ آئیں  $v_I$  کی قیمت  $0V$  تا  $5V$  تبدیل کرتے ہوئے شکل 3.67 کی مدد سے  $v_O$  حاصل کریں۔ آپ دیکھ سکتے ہیں کہ  $v_O$  دراصل  $v_{CE1}$  کے ہی برابر ہے۔

$v_{I0} = 0V$  پر  $I_{B0} = 0A$  ہو گا اور  $Q_1$  نقطہ  $a$  پر ہو گا جہاں سے  $v_O = V_{DD}$  یعنی  $5V$  حاصل ہوتا ہے۔ اسی طرح مختلف نقاط پر  $v_O$  بالمقابل  $v_I$  حاصل کرتے ہوئے شکل 3.68 میں دکھایا گیا  $v_O$  بالمقابل  $v_I$  کا خط کھینچا جاتا ہے۔

صفحہ 503 پر حصہ 4.12 میں بہتر نفی کار پر غور کیا جائے گا۔



شکل 3.68: نفی کار کا خارجی اشارہ بالقابل داخلی اشارہ خط

### 3.13 باریک اشاراتی تجزیہ

اس حصے میں کم تعدد پر ٹرانزسٹر کے باریک اشاراتی کارکردگی پر غور کیا جائے گا جس کی مدد سے اگلے حصے میں ٹرانزسٹر کا پست تعددی باریک اشاراتی ریاضی نمونہ حاصل کیا جائے گا۔ اسی ریاضی نمونے میں ٹرانزسٹر کے اندرونی کمپیٹروں کی شمولیت سے بلند تعددی باریک اشاراتی ریاضی نمونہ حاصل ہوتا ہے جسے حصہ 6.11.1 میں حاصل کیا گیا ہے۔

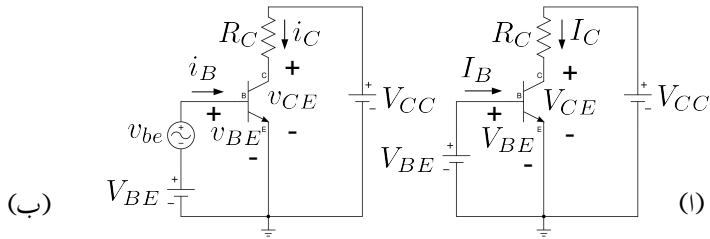
#### 3.13.1 تریسی تجزیہ

شکل 3.69 الف میں ٹرانزسٹر کا دور دکھایا گیا ہے جس کے داخلی جانب مائل کرنے والا برقی دباؤ ٹرانزسٹر کو  $V_{BE}$  پر مائل کرتا ہے۔ شکل 3.70 الف میں یوں حاصل نقطہ کارکردگی  $Q$  دکھایا گیا ہے۔ شکل 3.69 ب میں داخلی برقی دباؤ  $V_{BE}$  کے ساتھ سلسلہ وار بدلتا باریک اشارہ  $v_{be}$  جوڑا گیا ہے۔  $v_{be}$  کسی بھی شکل کا ہو سکتا ہے۔ یہاں اسے سائن نما تصور کیا گیا ہے۔ یوں ٹرانزسٹر نقطہ مائل کے قریب قریب رہتے ہوئے خط  $i_C - v_{BE}$  پر چال قدمی کرتا ہے۔ شکل 3.70 الف میں اس عمل سے پیدا باریک اشاراتی برقی دباؤ  $v_{be}$  اور باریک اشاراتی برقی رو  $i_c$  دکھائے گئے ہیں۔ یہاں طلبہ سے گزارش کی جاتی ہے کہ وہ صفحہ 133 پر دئے حصہ 2.11 کو ایک مرتبہ دوبارہ دیکھیں۔

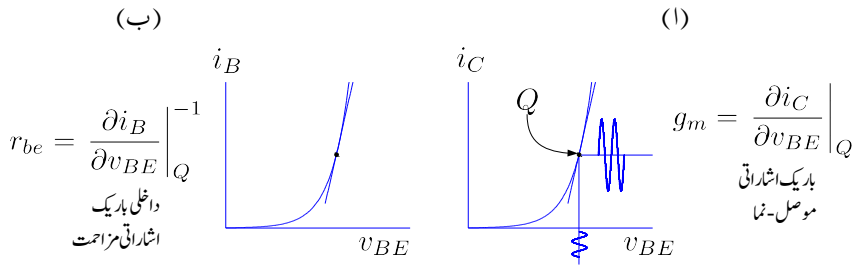
شکل 3.70 الف سے صاف واضح ہے کہ

$$(3.155)$$

$$i_c = g_m v_{be}$$



شکل 3.69: نقطہ مائل پے ٹرانزسٹر کی کارکردگی



شکل 3.70: باریک اشاراتی افزائش موصل-نما اور باریک اشاراتی داخلی مزاحمت

ہے جہاں

$$(3.156) \quad g_m = \left. \frac{\partial i_C}{\partial v_{BE}} \right|_Q$$

ہے۔ مندرجہ بالا دو مساوات حصہ 2.11 میں بطور مساوات 2.20 اور مساوات 2.21 پیش کئے گئے۔ مساوات 3.155 میں  $i_C(t)$  اور  $v_{be}(t)$  کی جگہ  $i_c$  اور  $v_{be}$  لکھا گیا ہے۔ مساوات میں بار بار قوسین میں بند  $t$  نہ لکھنے سے مساوات کچھ صاف دکھائی دیتے ہیں۔ مساوات 3.155 کے تحت ٹرانزسٹر کا خارجی باریک اشاراتی برقی رو  $i_c$  اس کے داخلی باریک اشاراتی برقی دباؤ  $v_{be}$  کے  $g_m$  گنا ہے۔ اسی لئے  $g_m$  کو ٹرانزسٹر کا باریک اشاراتی افزائش موصلیت<sup>39</sup> کہتے ہیں جسے عموماً چھوٹا کر کے افزائش موصلیت<sup>40</sup>۔ نما یا صرف موصلیت<sup>41</sup>۔ نما<sup>40</sup> پکارا جاتا ہے۔

برقی رو تقسیم برقی دباؤ کو موصلیت<sup>39</sup> کہتے ہیں۔  $g_m$  ٹرانزسٹر کے خارجی جانب کے برقی رو اور اس کے داخلی جانب کے برقی دباؤ سے حاصل کیا جاتا ہے۔ یوں یہ حقیقی موصلیت نہیں ہے بلکہ اس کی مساوات موصلیت کی مساوات سے مشابہت رکھتا ہے۔ یوں اسے  $g_m$  لکھا اور موصلیت<sup>41</sup>۔ نما<sup>41</sup> پکارا جاتا ہے۔  $g_m$  کی اکائی موصلیت کی اکائی  $\frac{A}{V}$  یا سیمنز<sup>42</sup> ہی ہے۔

### 3.13.2 باریک اشاراتی داخلی مزاحمت $r_{be}$ اور $r_e$

ٹرانزسٹر کے داخلی جانب برقی دباؤ  $v_{BE}$  مہیا کرنے سے اس کے بیس سرے پر برقی رو  $i_B$  اور ایمر سرے پر برقی رو  $i_E$  پیدا ہوتا ہے۔ شکل 3.70 ب میں ٹرانزسٹر کا  $i_B - v_{BE}$  خط دکھایا گیا ہے۔ نقطہ کارکردگی پر  $i_B - v_{BE}$  خط سے ٹرانزسٹر کا باریک اشاراتی داخلی مزاحمت  $r_{be}$  یوں حاصل کیا جاتا ہے۔

$$(3.157) \quad r_{be} = \left. \frac{\partial v_{BE}}{\partial i_B} \right|_Q$$

یعنی اگر نقطہ کارکردگی پر اس خط کی ڈھلوان  $m$  ہو تو

$$r_{be} = \frac{1}{m}$$

small signal transconductance gain<sup>39</sup>  
transconductance gain<sup>40</sup>  
transconductance<sup>41</sup>  
Siemens<sup>42</sup>

ہو گا۔ اس کو یوں لکھا جاسکتا ہے۔

$$(3.158) \quad r_{be} = \left. \frac{\partial i_B}{\partial v_{BE}} \right|_Q^{-1}$$

$r_{be}$  کو عمومی طور پر کتناہوں میں  $r_{\pi}$  لکھا جاتا ہے۔

ٹرانزسٹر کا باریک اشاراتی مزاحمت حاصل کرتے وقت  $i_B$  کے بجائے اگر  $i_E$  لیا جائے تو ٹرانزسٹر کا باریک اشاراتی مزاحمت  $r_e$  حاصل ہو گا یعنی

$$(3.159) \quad r_e = \left. \frac{\partial v_{BE}}{\partial i_E} \right|_Q$$

اگر نقطہ کارکردگی پر  $i_E v_{BE}$  خط کی ڈھلوان  $m_1$  ہو تو

$$(3.160) \quad r_e = \frac{1}{m_1}$$

ہو گا۔ اس کو یوں لکھا جاسکتا ہے

$$(3.161) \quad r_e = \left. \frac{\partial i_E}{\partial v_{BE}} \right|_Q^{-1}$$

### 3.13.3 تحلیلی تجزیہ

اس حصے میں اریلہ برقی دباؤ  $V_A$  کو نظر انداز کیا جائے گا نتیجتاً  $v_{CE}$  کا  $i_C$  پر کوئی اثر نہیں ہو گا۔ اس اثر کو بعد میں شامل کیا جائے گا۔ شکل 3.69 الف کے لئے مساوات 3.55 اور کرنوف کا قانون استعمال کرتے ہوئے ہم لکھ سکتے ہیں

$$(3.162) \quad I_C = I_{SE} e^{\frac{V_{BE}}{V_T}}$$

$$(3.163) \quad V_{CE} = V_{CC} - I_C R_C$$

جبکہ شکل ب میں

$$(3.164) \quad v_{BE} = V_{BE} + v_{be}$$



اور

$$(3.165) \quad i_C = I_C + i_c$$

لکھا جاسکتا ہے۔ یوں حاصل ہوتا ہے۔

$$(3.166) \quad \begin{aligned} i_C &= I_S e^{\frac{v_{BE}}{V_T}} \\ &= I_S e^{\frac{V_{BE} + v_{be}}{V_T}} \\ &= I_S e^{\frac{V_{BE}}{V_T}} e^{\frac{v_{be}}{V_T}} \end{aligned}$$

مساوات 3.162 کی مدد سے اسے یوں لکھ سکتے ہیں۔

$$(3.167) \quad i_C = I_C e^{\frac{v_{be}}{V_T}}$$

اگر  $v_{be} \ll V_T$  ہو تب سلسلہ مکملان کی مدد سے اس مساوات کو یوں لکھ سکتے ہیں۔

$$(3.168) \quad i_C = I_C \left[ 1 + \frac{1}{1!} \left( \frac{v_{be}}{V_T} \right) + \frac{1}{2!} \left( \frac{v_{be}}{V_T} \right)^2 + \dots \right]$$

اگر مساوات 3.168 کے تیسرے جزو کی قیمت اس کے دوسرے جزو کی قیمت سے بہت کم ہو یعنی

$$(3.169) \quad \begin{aligned} \frac{1}{2!} \left( \frac{v_{be}}{V_T} \right)^2 &\ll \frac{1}{1!} \left( \frac{v_{be}}{V_T} \right) \\ v_{be} &\ll 2 \times V_T \end{aligned}$$

تب اس مساوات کو یوں لکھا جاسکتا ہے۔

$$(3.170) \quad i_C \approx I_C \left( 1 + \frac{v_{be}}{V_T} \right)$$

مساوات 3.169 باریک اشارہ کی تحلیلی تعریف ہے۔ چونکہ

$$2 \times V_T = 2 \times 0.025 = 0.05 \text{ V}$$

کے برابر ہے لہذا  $v_{be}$  کو اس صورت باریک اشارہ تصور کیا جائے گا جب اس کی قیمت 0.05 V (یعنی پچاس ملی وولٹ) سے بہت کم ہو۔ حقیقت میں اگر  $v_{be}$  کی قیمت 10 mV سے کم ہو تو اسے باریک اشارہ تصور کیا جاتا ہے۔ مساوات 3.170 کو ٹرانزسٹر کا باریک اشاراتی مساوات کہتے ہیں۔

مثال 3.35: مساوات 3.168 اور مساوات 3.170 میں  $I_C = 1 \text{ mA}$  لیتے ہوئے  $v_{be} = 10 \text{ mV}$  کے باریک اشارہ کے لئے  $i_C$  کی قیمت حاصل کریں اور دونوں جوابات کا موازنہ کریں۔

حل: مساوات 3.168 سے

$$i_C = 10^{-3} \left[ 1 + \frac{1}{1!} \left( \frac{0.01}{0.025} \right) + \frac{1}{2!} \left( \frac{0.01}{0.025} \right)^2 + \dots \right] \approx 1.48 \text{ mA}$$

جبکہ مساوات 3.170 سے

$$i_C = 10^{-3} \left( 1 + \frac{0.01}{0.025} \right) = 1.4 \text{ mA}$$

حاصل ہوتا ہے۔ یوں باریک اشاراتی مساوات کے استعمال سے جواب میں

$$\frac{1.48 - 1.4}{1.48} \times 100 = 5.4 \%$$

کا فرق آتا ہے جو کہ قابل قبول ہے۔ یاد رہے کہ  $10 \text{ mV}$  سے کم اشارات کے لئے یہ فرق مزید کم ہو گا۔

مساوات 3.170 کو یوں لکھا جاسکتا ہے۔

$$(3.171) \quad i_C = I_C + \frac{I_C}{V_T} v_{be}$$

مساوات 3.165 کے ساتھ موازنہ کرنے سے ہم دیکھتے ہیں کہ کلکٹر برقی رو  $i_C$  کے دو جزو ہیں۔ اس کا پہلا جزو وہی یک سمتی برقی رو  $I_C$  ہے جسے شکل 3.69 ب میں حاصل کیا گیا جبکہ اس کا دوسرا جزو  $\left( \frac{I_C}{V_T} v_{be} \right)$  باریک اشارہ پر منحصر بدلتا جزو ہے یعنی

$$(3.172) \quad i_c = \frac{I_C}{V_T} v_{be}$$

اس مساوات کو یوں بھی لکھا جاسکتا ہے

$$(3.173) \quad i_c = g_m v_{be}$$

جہاں

$$(3.174) \quad g_m = \frac{I_C}{V_T}$$

لیا گیا ہے۔ مساوات 3.173 سے ہم دیکھتے ہیں کہ بدلتی کلکٹر برقی رو  $i_c$  کی قیمت داخلی اشارہ  $v_{be}$  کے  $g_m$  گنا ہے۔ جیسے کہ پہلے ذکر ہوا  $g_m$  کو ٹرانزسٹر کی افزائش موصلیتے۔ نما یا صرف موصلیتے۔ نما<sup>43</sup> کہا جاتا ہے اور اس کی پیمائش سیمنز<sup>44</sup> S میں کی جاتی ہے۔ مندرجہ بالا دو مساوات درحقیقت مساوات 3.155 اور مساوات 3.156 ہی ہیں۔ مساوات 3.174 سے ہم دیکھتے ہیں کہ افزائش موصلیتے۔ نما کی قیمت ٹرانزسٹر کے یک سمتی برقی رو  $I_C$  کے براہ راست متناسب ہے۔ یوں  $I_C$  کی قیمت دگنی کرنے سے  $g_m$  کی قیمت بھی دگنی ہو جائے گی۔

مثال 3.36: افزائش موصلیتے۔ نما کی قیمت 0.1 mA، 1 mA اور 10 mA کے یک سمتی برقی رو پر حاصل کریں۔

حل: مساوات 3.174 کی مدد سے  $I_C = 0.1 \text{ mA}$  پر

$$g_m = \frac{I_C}{V_T} = \frac{0.1 \times 10^{-3}}{25 \times 10^{-3}} = 4 \text{ mS}$$

حاصل ہوتا ہے۔ اسی طرح  $I_C = 1 \text{ mA}$  پر

$$g_m = \frac{I_C}{V_T} = \frac{1 \times 10^{-3}}{25 \times 10^{-3}} = 40 \text{ mS}$$

اور  $I_C = 10 \text{ mA}$  پر

$$g_m = \frac{I_C}{V_T} = \frac{10 \times 10^{-3}}{25 \times 10^{-3}} = 0.4 \text{ S}$$

حاصل ہوتا ہے۔

مساوات 3.173 کو یوں لکھا جاسکتا ہے

$$(3.175) \quad g_m = \frac{i_c}{v_{be}}$$

جہاں  $i_c$  اور  $v_{be}$  باریک اشارات ہیں۔ مساوات 3.164 میں باریک اشارہ  $v_{be}$  کو  $\Delta v_{be}$  لکھتے ہوئے یوں لکھا جاسکتا ہے۔

$$(3.176) \quad v_{BE} = V_{BE} + \Delta v_{BE}$$

ایسا لکھنے سے مساوات 3.171 کی جگہ مندرجہ ذیل حاصل ہوتا ہے۔

$$(3.177) \quad i_C = I_C + \frac{I_C}{V_T} \Delta v_{BE}$$

یوں

$$(3.178) \quad i_C = I_C + \Delta i_C$$

لکھتے ہوئے مساوات 3.172 کی نئی شکل یوں ہوگی۔

$$(3.179) \quad \Delta i_C = \frac{I_C}{V_T} \Delta v_{BE}$$

جس سے

$$(3.180) \quad \Delta i_C = g_m \Delta v_{BE}$$

حاصل ہوتا ہے جسے یوں لکھا جاسکتا ہے۔

$$(3.181) \quad g_m = \frac{\Delta i_C}{\Delta v_{BE}}$$

جیسا کہ شکل 3.70 میں دکھایا گیا ہے، مندرجہ بالا مساوات کے مطابق  $g_m$  ٹرانزسٹر کے  $i_C - v_{BE}$  خط کے مماس کی ڈھلوان ہے۔ اس مساوات کو مزید بہتر یوں لکھا جاسکتا ہے

$$(3.182) \quad g_m = \left. \frac{\partial i_C}{\partial v_{BE}} \right|_Q$$

مساوات 3.182 انفرانش موصلیت۔ نما  $g_m$  کی ترسیلی تعریف ہے۔

جیسا کہ شکل 3.70 سے واضح ہے کہ  $i_C - v_{BE}$  خط کی ڈھلوان ہر نقطے پر مختلف ہے۔ یوں  $g_m$  کی مقدار اسی نقطے پر حاصل کرنا ضروری ہے جس پر ٹرانزسٹر مائل کیا گیا ہو۔ مساوات 3.182 میں دائیں ہاتھ تفرق لیتے وقت نقطہ کارکردگی Q کو بھی مد نظر رکھا گیا ہے۔

مساوات 3.182 استعمال کرتے ہوئے مساوات 3.174 کو نہایت آسانی سے یوں حاصل کیا جاسکتا ہے۔

پہلے کلکٹر برقی رو کی مساوات کا تفرق لیتے ہیں۔

$$(3.183) \quad \begin{aligned} i_C &= I_S e^{\frac{v_{BE}}{V_T}} \\ \frac{\partial i_C}{\partial v_{BE}} &= \frac{I_S}{V_T} e^{\frac{v_{BE}}{V_T}} \end{aligned}$$

مساوات 3.182 کے تحت نقطہ کارکردگی پر اس تفرق کی قیمت ہی  $g_m$  ہے۔ نقطہ کارکردگی پر اس مساوات کی قیمت حاصل کرنے کی خاطر  $v_{BE} = V_{BE}$  استعمال کرتے ہیں جہاں  $(V_{BE}, I_C)$  نقطہ مائل ہے۔

$$\begin{aligned} g_m &= \left. \frac{i_C}{V_T} \right|_{v_{BE}=V_{BE}} \\ &= \frac{I_S e^{\frac{V_{BE}}{V_T}}}{V_T} \end{aligned}$$

مساوات 3.162 کا سہارا لیتے ہوئے اس کو یوں لکھا جاسکتا ہے۔

$$(3.184) \quad g_m = \frac{I_C}{V_T}$$

شکل 3.70 ب میں ٹرانزسٹر کا  $i_B - v_{BE}$  خط گراف کیا گیا ہے۔ نقطہ مائل پر خط کے ڈھلوان سے ٹرانزسٹر کا باریک اشاراتی مزاحمت  $r_{be}$  حاصل کیا جاسکتا ہے یعنی

$$(3.185) \quad r_{be} = \left. \frac{\partial i_B}{\partial v_{BE}} \right|_Q^{-1}$$

چونکہ  $i_C = \beta i_B$  ہوتا ہے لہذا

$$(3.186) \quad i_B = \frac{i_C}{\beta} = \frac{I_S}{\beta} e^{\frac{v_{BE}}{V_T}}$$

لکھا جائے گا۔ ان دو مساوات کی مدد سے  $r_{be}$  کی قیمت حاصل کرتے ہیں۔ مساوات 3.186 کا تفرق لیتے ہیں

$$\frac{\partial i_B}{\partial v_{BE}} = \frac{I_S}{\beta V_T} e^{\frac{v_{BE}}{V_T}}$$

اور اس تفرق کی نقطہ کارکردگی پر قیمت حاصل کرتے ہیں۔ ایسا کرنے کی خاطر  $v_{be} = V_{BE}$  استعمال کرنا ہو گا۔ یوں

$$\left. \frac{\partial i_B}{\partial v_{BE}} \right|_{v_{BE}=V_{BE}} = \frac{I_S}{\beta V_T} e^{\frac{V_{BE}}{V_T}}$$

حاصل ہوتا ہے۔ مساوات 3.162 کا سہارا لیتے ہوئے اسے یوں لکھا جاسکتا ہے۔

$$\left. \frac{\partial i_B}{\partial v_{BE}} \right|_{v_{BE}=V_{BE}} = \frac{I_C}{\beta V_T}$$

اور چونکہ

$$r_{be} = \left. \frac{\partial i_B}{\partial v_{BE}} \right|_{v_{BE}=V_{BE}}^{-1}$$

ہوتا ہے لہذا

$$(3.187) \quad r_{be} = \frac{\beta V_T}{I_C}$$

حاصل ہوتا ہے۔ مزید یہ کہ مساوات 3.184 کی مدد سے اسے یوں بھی لکھ سکتے ہیں۔

$$(3.188) \quad r_{be} = \frac{\beta}{g_m}$$

$$\beta = r_{be} g_m$$

یا گزشتہ دو مساوات ٹرانزسٹر کے باریک اشاراتی داخلی مزاحمت  $r_{be}$  کے حصول کے لئے استعمال کئے جاتے ہیں۔ مساوات 3.188 سے یہ حقیقت سامنے آتی ہے کہ  $\beta$  کے غیر متغیر ہونے کی وجہ سے اگر کسی ٹرانزسٹر کا برقی رو  $I_C$  بڑھا کر اس کا  $g_m$  بڑھایا جائے تو ٹرانزسٹر کا  $r_{be}$  کم ہو جائے گا۔

بالکل  $r_{be}$  کے حصول کے طرز پر اگر  $i_E - v_{BE}$  کے خط سے شروع کیا جائے تو باریک اشاراتی مزاحمت  $r_e$  حاصل کیا جاسکتا ہے جہاں

$$(3.189) \quad r_e = \left. \frac{\partial i_E}{\partial v_{BE}} \right|_Q^{-1}$$

ہے۔ آئیں ایسا ہی کریں۔

$$\begin{aligned}
 i_E &= \frac{I_S}{\alpha} e^{\frac{v_{BE}}{V_T}} \\
 \frac{\partial i_E}{\partial v_{BE}} &= \frac{I_S}{\alpha V_T} e^{\frac{v_{BE}}{V_T}} \\
 \left. \frac{\partial i_E}{\partial v_{BE}} \right|_Q &= \frac{I_S}{\alpha V_T} e^{\frac{v_{BE}}{V_T}} \\
 &= \frac{I_C}{\alpha V_T}
 \end{aligned}
 \tag{3.190}$$

یوں

$$r_e = \frac{\alpha V_T}{I_C} \tag{3.191}$$

حاصل ہوتا ہے جسے یوں بھی لکھا جاسکتا ہے۔

$$r_e = \frac{\alpha}{g_m} \approx \frac{1}{g_m} \tag{3.192}$$

مساوات 3.191 میں  $\alpha = \frac{\beta}{\beta+1}$  لیتے ہوئے اس کا مساوات 3.187 کے ساتھ موازنہ کرنے سے حاصل ہوتا ہے

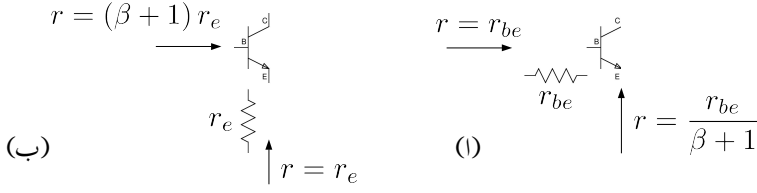
$$r_e = \frac{r_{be}}{\beta+1} \tag{3.193}$$

اس کو یوں بھی لکھا جاسکتا ہے۔

$$r_{be} = (\beta+1) r_e \tag{3.194}$$

$r_{be}$  اور  $r_e$  دراصل ایک ہی مزاحمت کے دو شکلیں ہیں۔ آئیں اس حقیقت پر غور کریں۔ آپ نے حصہ میں دیکھا کہ ٹرانزسٹر کے امیٹر پر جڑے مزاحمت  $R_E$  کا عکس میں جانب  $R_E (\beta+1)$  نظر آتا ہے۔ اسی طرح اس کے میں جانب مزاحمت  $R_B$  کا عکس امیٹر جانب  $\frac{R_B}{(\beta+1)}$  نظر آتا ہے۔ ان نتائج کو یہاں استعمال کرتے ہیں۔

$r_{be}$  وہ مزاحمت ہے جو ٹرانزسٹر کے میں جانب سے دیکھتے ہوئے نظر آتا ہے جبکہ  $r_e$  وہ مزاحمت ہے جو ٹرانزسٹر کے امیٹر جانب سے دیکھتے ہوئے نظر آتا ہے۔ اگر  $r_{be}$  کو ٹرانزسٹر کا باریک اشاراتی مزاحمت تصور کیا جائے تو ٹرانزسٹر کے میں جانب  $r_{be}$  نظر آئے گا جبکہ اس کے امیٹر جانب سے دیکھتے ہوئے ہمیں  $\frac{r_{be}}{(\beta+1)}$  نظر آئے



شکل 3.71: باریک اشاراتی داخلی مزاحمت اور ان کے عکس

گ۔ مساوات 3.193 یہی کچھ کہتا ہے۔ اسی طرح اگر  $r_e$  کو ٹرانزسٹر کا باریک اشاراتی مزاحمت تصور کیا جائے تو ٹرانزسٹر کے ایمر جانب سے  $r_e$  نظر آئے گا جبکہ اس کے بیس جانب سے دیکھتے ہوئے ہمیں  $(\beta + 1)r_e$  نظر آئے گا۔ مساوات 3.194 یہی کہتا ہے۔ شکل 3.71 ان حقائق کے تصوراتی اشکال پیش کرتا ہے۔

مثال 3.37: pnp ٹرانزسٹر کے  $r_o$ ،  $r_e$ ،  $r_{be}$ ،  $g_m$  کے مساوات حاصل کریں۔

حل: مساوات 3.55 کو استعمال کرتے ہوئے

$$g_m = \left. \frac{\partial i_C}{\partial v_{EB}} \right|_Q = \frac{I_S e^{\frac{v_{EB}}{V_T}}}{V_T}$$

یعنی

$$(3.195) \quad g_m = \frac{I_C}{V_T}$$

حاصل ہوتا ہے۔ اسی طرح  $i_B = \frac{i_C}{\beta}$  لکھتے ہوئے

$$(3.196) \quad r_{be} = \left. \frac{\partial v_{EB}}{\partial i_B} \right|_Q = \left. \frac{\partial i_B}{\partial v_{EB}} \right|_Q^{-1} = \frac{\beta V_T}{I_C} = \frac{\beta}{g_m}$$



اور  $i_E = \frac{i_C}{\alpha}$  لکھتے ہوئے

$$(3.197) \quad r_e = \frac{\alpha V_T}{I_C} = \frac{r_{be}}{\beta + 1} = \frac{\alpha}{g_m} \approx \frac{1}{g_m}$$

حاصل ہوتے ہیں۔ خارجی مزاحمت  $r_o$  ایبز مال برقی دباؤ سے یوں حاصل ہوتا ہے۔

$$(3.198) \quad r_o = \left. \frac{\Delta v_{EC}}{\Delta i_C} \right|_Q = \frac{V_A + V_{EC}}{I_C} \approx \frac{V_A}{I_C}$$

### 3.14 پست تعددی ٹرانزسٹر ریاضی نمونہ برائے باریک اشارات

گزشتہ حصے میں ہم نے دیکھا کہ ٹرانزسٹر کے نقطہ کارکردگی پر اس کی افزائش موصل۔ نما  $g_m$  اور داخلی مزاحمت  $r_{be}$  حاصل کی جاسکتی ہے۔ ان دونوں مساواتوں کو یہاں دوبارہ پیش کرتے ہیں۔

$$(3.199) \quad g_m = \frac{\Delta i_C}{\Delta v_{BE}} = \frac{i_c}{v_{be}}$$

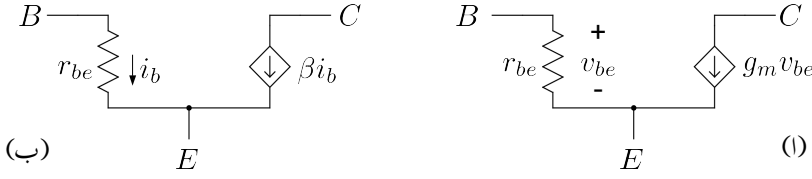
$$(3.200) \quad r_{be} = \frac{\Delta v_{BE}}{\Delta i_B} = \frac{v_{be}}{i_b}$$

جنہیں یوں بھی لکھا جاسکتا ہے۔

$$(3.201) \quad i_c = g_m v_{be}$$

$$(3.202) \quad i_b = \frac{v_{be}}{r_{be}}$$

ان مساوات کے مطابق مائل کردہ ٹرانزسٹر پر داخلی جانب باریک اشارہ  $v_{be}$  لاگو کرنے سے اس کے داخلی جانب بیس سرے پر برقی رو  $i_b$  پیدا ہوتا ہے جبکہ اس کے خارجی جانب برقی رو  $i_c$  پیدا ہوتا ہے۔ یہ دو مساوات ٹرانزسٹر کی باریک اشاراتی کارکردگی بیان کرتے ہیں۔ اگرچہ مساوات 3.201 کے مطابق  $i_c$  صرف  $v_{be}$  پر منحصر ہے، حقیقت میں ایسا نہیں ہوتا اور  $i_c$  کی قیمت خارجی برقی دباؤ  $v_{CE}$  پر بھی منحصر ہوتا ہے۔ فی الحال  $i_c$  پر  $v_{CE}$



شکل 3.72: پست تعددی باریک اشاراتی پائے ریاضی نمونہ

کے اثر کے بحث کو ملتوی کرتے ہیں اور مندرجہ بالا دو مساوات کو ٹرانزسٹر کی مکمل باریک اشاراتی کارکردگی بیان کرنے والے مساوات مان لیتے ہیں۔

شکل 3.72 الف پر نظر ڈالنے سے ہم دیکھتے ہیں کہ اس دور سے

$$v_{be} = i_b r_{be}$$

$$i_c = g_m v_{be}$$

مساوات حاصل ہوتے ہیں جو کہ مساوات 3.201 اور مساوات 3.202 ہی ہیں۔ یوں یہ دور ٹرانزسٹر کی باریک اشاراتی کارکردگی ہی بیان کرتا ہے، لہذا یہ دور ٹرانزسٹر کا باریک اشاراتی ریاضی نمونہ ہی ہے۔ اس کا عمومی نام ٹرانزسٹر کا پست تعددی باریک اشاراتی پائے (π) ریاضی نمونہ<sup>45</sup> ہے جسے چھوٹا کر کے صرف π ریاضی نمونہ یا پائے ریاضی نمونہ پکارا جاتا ہے۔

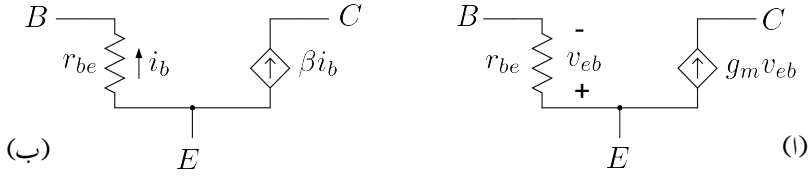
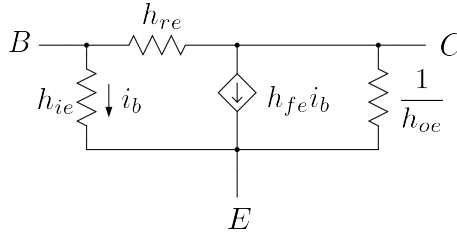
شکل 3.72 ب میں π ریاضی نمونہ کا قدر مختلف دور دکھایا گیا ہے۔ مساوات 3.188 اور مساوات 3.202 کے استعمال سے

$$\beta i_b = \beta \frac{v_{be}}{r_{be}} = g_m v_{be}$$

لکھتے ہوئے ہم دیکھتے ہیں کہ دونوں اشکال سے حاصل جوابات یکساں ہیں۔ شکل 3.72 الف اور شکل ب اس کتاب میں بار بار استعمال کئے جائیں گے۔

شکل 3.73 میں pnp ٹرانزسٹر کے پائے ریاضی نمونے دکھائے گئے ہیں جہاں برقی رو کی سمتیں شکل 3.72 کے الٹ ہیں۔ اسی طرح یہاں  $v_{be}$  کی جگہ  $v_{eb}$  استعمال کیا گیا ہے۔ اگر pnp کے ان ریاضی نمونوں میں

<sup>45</sup>low frequency small signal π model

شکل 3.73:  $pn-p$  کا باریک اشاراتی  $\pi$  ریاضی نمونہ

شکل 3.74: پائے ریاضی نمونے کی ایک اور مقبول شکل

$v_{eb}$  کی جگہ  $v_{be}$  لکھا جائے تو تابع منبع رو کی سمت الٹ ہو جائے گی اور یوں شکل 3.72 ہی حاصل ہو گا۔ اس طرح ہم دیکھتے ہیں کہ  $pn-p$  کے لئے بھی شکل 3.72 کے ریاضی نمونے استعمال کئے جاسکتے ہیں۔ اس کتاب میں ایسا ہی کیا جائے گا۔ شکل 3.74 میں پائے ریاضی نمونے کی ایک اور نہایت مقبول شکل دکھائی گئی ہیں جہاں تمام اجزاء کے نام  $h$  سے شروع ہوتے ہیں۔ ان اجزاء کو  $h$  اجزاء ہی پکارا جاتا ہے۔ آپ دیکھ سکتے ہیں کہ دراصل

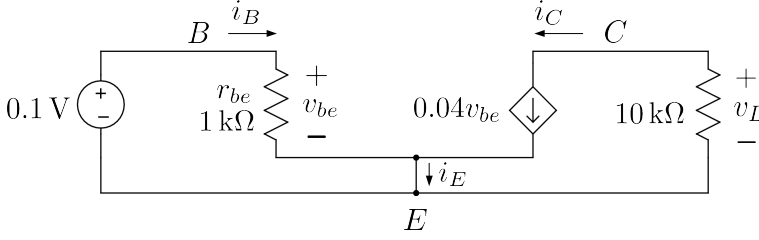
$$h_{ie} = r_{be}$$

$$h_{fe} = \beta$$

$$h_{oe} = \frac{1}{r_o}$$

$$h_{re} = \infty$$

ہیں۔ صنعت کار عموماً ٹرانزسٹر کے  $h$  اجزاء فراہم کرتے ہیں۔  $h$  ریاضی نمونے پر مزید کوئی بات نہیں کی جائے گی۔



شکل 3.75

مثال 3.38: شکل 3.72 میں  $B$  اور  $E$  کے درمیان  $0.1\text{ V}$  کا برقی دباؤ مہیا کریں اور  $C$  اور  $E$  کے درمیان  $10\text{ k}\Omega$  کی مزاحمت نسب کریں۔ اگر  $g_m = 0.04\text{ S}$  اور  $r_{be} = 1\text{ k}\Omega$  ہوں تو نسب کئے گئے مزاحمت پر برقی دباؤ کیا ہو گا۔ شکل 3.72 کی جگہ شکل 3.73 استعمال کرتے ہوئے دوبارہ حل کریں۔

حل: شکل 3.75 میں دور دکھایا گیا ہے جس کو دیکھ کر

$$i_B = \frac{0.1}{1000} = 0.1\text{ mA}$$

$$v_{BE} = 0.1\text{ V}$$

لکھا جاسکتا ہے۔ یوں

$$i_C = 0.04 \times 0.1 = 4\text{ mA}$$

حاصل ہوتا ہے جسے استعمال کرتے ہوئے

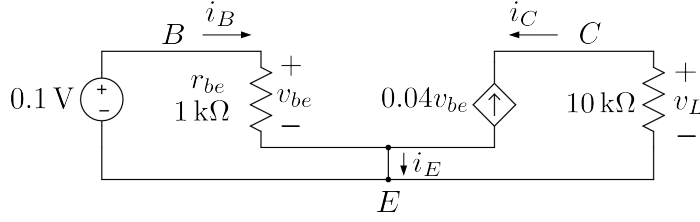
$$v_L = -i_C \times 10000 = -0.004 \times 10000 = -40\text{ V}$$

حاصل ہوتا ہے۔  $E$  جوڑ پر کرنخوف کے قانون برائے برقی رو کی مدد سے

$$i_E = i_B + i_C = 4.1\text{ mA}$$

حاصل ہوتا ہے۔

اسی شکل 3.76 کو استعمال کرتے ہوئے دوبارہ حل کریں۔ اس شکل میں شکل 3.73 کا ریاضی نمونہ استعمال کیا گیا ہے۔ یہاں



شکل 3.76

$$i_B = \frac{0.1}{1000} = 0.1 \text{ mA}$$

$$v_{eb} = -0.1 \text{ V}$$

ہیں۔ چونکہ یہاں  $i_C$  اور  $g_m v_{eb}$  کے سمتیں آپس میں الٹ ہیں لہذا  $i_C = -g_m v_{eb}$  لکھا جائے گا۔ یوں

$$i_C = -0.04 \times (-0.1) = 4 \text{ mA}$$

حاصل ہوتا ہے جسے استعمال کرتے ہوئے

$$v_L = -i_C \times 10000 = -0.004 \times 10000 = -40 \text{ V}$$

حاصل ہوتا ہے۔ اسی طرح

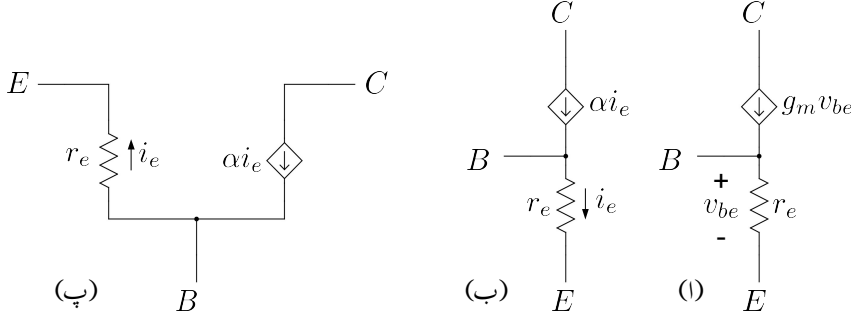
$$i_E = i_B + i_C = 4.1 \text{ mA}$$

حاصل ہوتا ہے۔

دونوں اشکال کے جوابات بالکل یکساں ہیں۔ یہی وجہ ہے کہ  $npn$  کے لئے بھی شکل 3.72 کا ریاضی نمونہ استعمال کیا جاتا ہے۔

### 3.14.1 ٹی ریاضی نمونہ

گزشتہ حصے میں ہم نے دیکھا کہ پائے ریاضی نمونہ کو حل کرنے سے ٹرانزسٹر کے مساوات (یعنی مساوات 3.201 اور مساوات 3.202) حاصل ہوتے ہیں اور یوں اسے ٹرانزسٹر کا ریاضی نمونہ تصور کیا جاسکتا ہے۔ پائے ریاضی نمونے



شکل 3.77: ٹی ریاضی نمونہ

کے علاوہ بھی ادوار بنائے جاسکتے ہیں جن سے انہیں مساوات کا حصول ممکن ہے۔ ایسے تمام ادوار کو بھی ٹرانزسٹر کے ریاضی نمونے تصور کیا جاسکتا ہے۔ ان میں T ریاضی نمونہ<sup>46</sup> خاصہ مقبول ہے۔ ایمر مشرک<sup>47</sup> اور کلکٹر مشرک کے ادوار حل کرتے ہوئے عموماً پائے ریاضی نمونے ہی استعمال کیا جاتا ہے جبکہ بیئر مشرک کے ادوار کو T ریاضی نمونے کی مدد سے زیادہ آسانی سے حل کرنا ممکن ہوتا ہے۔  $r_o$  کو نظر انداز کرتے ہوئے npn کے T ریاضی نمونے کے مختلف اشکال کو شکل 3.77 میں دکھایا گیا ہے۔ انہیں ریاضی نمونے میں C اور E کے مابین  $r_o$  نسب کرتے ہوئے  $r_o$  کے اثر کو بھی شامل کیا جاسکتا ہے۔

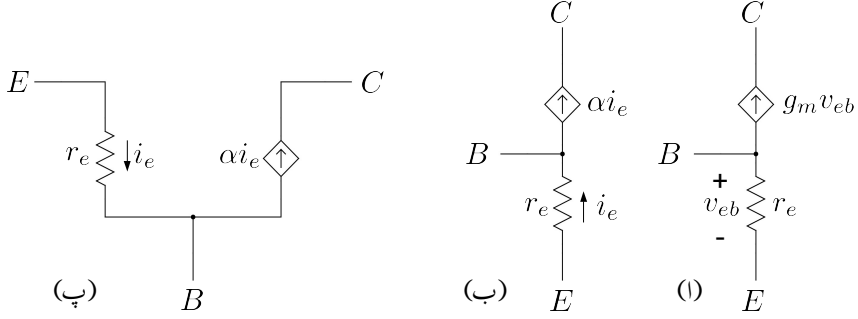
شکل 3.77 الف میں چونکہ C سرے کے ساتھ تابع منبع روسلسلہ وار جڑا ہے لہذا  $i_c = g_m v_{be}$  ہو گا۔ اوہم کے قانون کے مطابق اگر  $r_e$  پر  $v_{be}$  برقی دباؤ پایا جائے تو  $i_e = \frac{v_{be}}{r_e}$  ہو گا۔ کر خوف کے قانون برائے برقی دباؤ کے تحت  $i_b = i_e - i_c$  ہو گا۔ آئیں اس کی قیمت حاصل کریں۔ چونکہ

$$r_{be} = \frac{\beta V_T}{I_C}$$

$$r_e = \frac{r_{be}}{\beta + 1} = \frac{\alpha V_T}{I_C}$$

$$g_m = \frac{I_C}{V_T}$$

<sup>46</sup> ٹی ریاضی نمونے کی شکل انگریزی کے حروف تہجی T کی مانند ہے۔ اسی لئے اس کو ٹی ریاضی نمونہ کہتے ہیں۔  
<sup>47</sup> مشرک، بیئر، مشرک، کلکٹر اور مشرک ہیں کی پہچان حصہ 3.19 میں کی گئی ہے

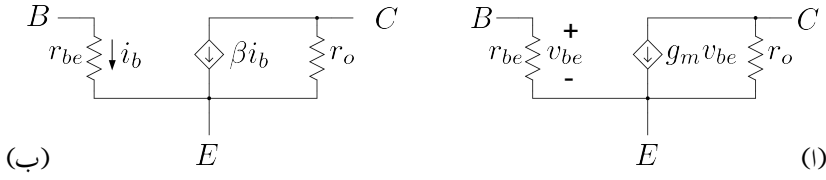
شکل 3.78:  $pnp$  کے  $T$  ریاضی نمونہ

ہیں لہذا

$$\begin{aligned}
 i_b &= i_e - i_c \\
 &= \frac{v_{be}}{r_e} - g_m v_{be} \\
 &= v_{be} \left( \frac{I_C}{\alpha V_T} - \frac{I_C}{V_T} \right) \\
 &= \frac{I_C}{V_T} v_{be} \left( \frac{1 - \alpha}{\alpha} \right) \\
 &= \frac{I_C}{V_T} v_{be} \frac{1}{\beta} \\
 &= \frac{v_{be}}{r_{be}}
 \end{aligned}$$

پس ٹی  $T$  ریاضی نمونے سے بھی ٹرانزسٹر کے باریک اشاراتی مساوات حاصل ہوتے ہیں اور یوں اسے بطور ٹرانزسٹر ریاضی نمونہ استعمال کیا جاسکتا ہے۔ شکل ب میں ٹی ریاضی نمونے کی دوسری ممکنہ صورت دکھائی گئی ہے جہاں  $i_c = \alpha i_e$  کا استعمال کیا گیا ہے۔ شکل پ میں ٹی ریاضی نمونے کو پائے  $\pi$  طرز پر بنایا گیا ہے۔

شکل 3.78 میں  $pnp$  کا  $T$  ریاضی نمونہ دکھایا گیا ہے۔ یہاں بھی اگر  $v_{eb}$  کی جگہ  $v_{be}$  لکھا جائے تو شکل میں تابع منبع روکی سمت الٹ ہو جائے گی اور یوں اس سے شکل 3.77 ہی حاصل ہو گا۔ اس کا مطلب ہے کہ  $pnp$  کے لئے بھی شکل 3.77 کے ریاضی نمونے استعمال کئے جاسکتے ہیں۔ اس کتاب میں ایسا ہی کیا جائے گا۔

شکل 3.79: پائے ریاضی نمونہ بمعہ خارجی مزاحمت  $r_o$ 

$$3.14.2 \quad \text{پائے ریاضی نمونہ بمعہ خارجی مزاحمت } r_o$$

مساوات 3.62 ٹرانزسٹر کا باریک اشاراتی خارجی مزاحمت  $r_o$  دیتا ہے۔  $i_C$  پر  $v_{ce}$  کے اثرات کو ٹرانزسٹر ریاضی نمونہ میں  $r_o$  سے ظاہر کیا جاتا ہے۔ شکل 3.79 میں پائے ریاضی نمونہ بمعہ خارجی مزاحمت  $r_o$  دکھائے گئے ہیں۔

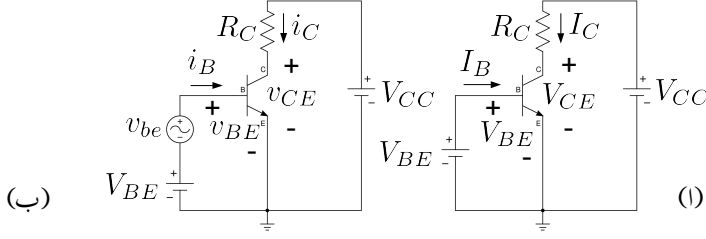
### 3.15 یک سمتی اور بدلتے متغیرات کی علیحدگی

شکل 3.80 الف میں ٹرانزسٹر کا یک سمتی دور دکھایا گیا ہے جہاں  $V_{BE}$  ٹرانزسٹر کا نقطہ کارکردگی تعین کرتا ہے۔ شکل ب میں  $V_{BE}$  کے ساتھ سلسلہ وار باریک اشارہ  $v_{be}$  جوڑا گیا ہے جس کی وجہ سے ٹرانزسٹر نقطہ مائل کے قریب-قریب  $i_C - v_{BE}$  خط پر چال قدمی کرتا ہے۔ شکل الف میں تمام متغیرات یک سمتی ہیں لہذا  $i_C$  کو  $I_C$  اور  $v_{BE}$  کو  $V_{BE}$  لکھا جائے گا۔ یوں مساوات 3.55 اور کرخوف کا قانون برائے برقی دباؤ استعمال کرتے ہوئے شکل الف کے لئے ہم لکھ سکتے ہیں۔

$$(3.203) \quad I_C = I_S e^{\frac{V_{BE}}{V_T}}$$

$$(3.204) \quad V_{CE} = V_{CC} - I_C R_C$$





شکل 3.80: یک سمتی اور بدلے متغیرات کی علیحدگی

جبکہ شکل ب کے لئے یوں لکھا جاسکتا ہے۔

$$\begin{aligned}
 i_C &= I_C + i_c \\
 &= I_S e^{\frac{v_{BE}}{V_T}} \\
 &= I_S e^{\frac{V_{BE} + v_{be}}{V_T}} \\
 &= I_S e^{\frac{V_{BE}}{V_T}} e^{\frac{v_{be}}{V_T}} \\
 &= I_C e^{\frac{v_{be}}{V_T}}
 \end{aligned}$$

جہاں آخری قدم پر مساوات 3.203 کا سہارا لیا گیا۔ سلسلہ مکارن کی مدد سے اس کو یوں لکھ سکتے ہیں۔

$$i_C = I_C \left[ 1 + \frac{1}{1!} \left( \frac{v_{be}}{V_T} \right) + \frac{1}{2!} \left( \frac{v_{be}}{V_T} \right)^2 + \dots \right]$$

باریک اشارات کے لئے اس مساوات کے پہلے دو جزو لینا کافی ہوتا ہے اور یوں

$$i_C \approx I_C + \frac{I_C}{V_T} v_{be}$$

لکھا جاسکتا ہے۔ تقریباً برابر کی علامت  $\approx$  کی جگہ برابر کی علامت = استعمال کرتے ہوئے مساوات 3.184 کے استعمال سے حاصل ہوتا ہے۔

$$\begin{aligned}
 i_C &= I_C + \frac{I_C}{V_T} v_{be} \\
 I_C + i_c &= I_C + g_m v_{be}
 \end{aligned}$$

اور یوں

$$(3.205) \quad i_c = g_m v_{be}$$

اسی طرح شکل 3.80 ب کے خارجی جانب

$$\begin{aligned} v_{CE} &= V_{CC} - i_c R_C \\ V_{CE} + v_{ce} &= V_{CC} - (I_C + i_c) R_C \\ V_{CE} + v_{ce} &= V_{CC} - I_C R_C - i_c R_C \\ \underbrace{V_{CE} - V_{CC} + I_C R_C}_{=0} + v_{ce} &= -i_c R_C \end{aligned}$$

جہاں آخری قدم پر مساوات 3.204 کی مدد حاصل کی گئی۔ مساوات 3.205 کو استعمال کرتے ہوئے اسے یوں لکھ سکتے ہیں۔

$$(3.206) \quad v_{ce} = -g_m R_C v_{be}$$

جس سے باریک اشاراتی افزائش برقی دباؤ  $A_v$  حاصل کی جاسکتی ہے۔

$$(3.207) \quad A_v = \frac{v_{ce}}{v_{be}} = -g_m R_C$$

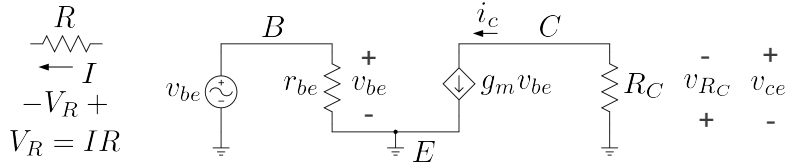
مساوات 3.203 اور مساوات 3.204 سے شکل 3.80 میں یک سمتی متغیرات  $I_C$  اور  $V_{CE}$  حاصل ہوتے ہیں جبکہ مساوات 3.205 اور مساوات 3.206 سے اسی شکل کے بدلتے متغیرات  $i_c$  اور  $v_{ce}$  حاصل ہوتے ہیں۔ یک سمتی متغیرات شکل الف سے حاصل کئے گئے جہاں بدلتے متغیرات موجود نہیں۔

شکل 3.72 الف میں دئے گئے ٹرانزسٹر کے باریک اشاراتی ریاضی نمونے پر داخلی جانب  $v_{be}$  لاگو کرتے ہوئے اور اس کے خارجی جانب مزاحمت  $R_C$  جوڑنے سے شکل 3.81 حاصل ہوتا ہے جس سے

$$(3.208) \quad i_c = g_m v_{be}$$

حاصل ہوتا ہے جو کہ بالکل مساوات 3.205 ہے جسے اصل ٹرانزسٹر کا دور حل کرتے حاصل کیا گیا تھا۔

اسی طرح  $V_{RC}$  کو اوہم کے قانون کی مدد سے حاصل کرتے ہیں۔ شکل میں بائیں جانب اوہم کے قانون کا صحیح استعمال دکھایا گیا ہے جہاں مزاحمت  $R$  میں اگر برقی رو  $I$  دائیں سرے سے داخل ہو تو اوہم کا قانون استعمال کرتے وقت برقی دباؤ  $V_R$  کا مثبت طرف مزاحمت کا وہ سرا لیا جاتا ہے جہاں سے مزاحمت میں برقی رو داخل ہو۔ یوں اوہم کے قانون سے



شکل 3.81: باریک اشاراتی مساوی دور

$$(3.209) \quad \begin{aligned} v_{R_C} &= i_c R_C \\ &= g_m R_C v_{be} \end{aligned}$$

حاصل ہوتا ہے۔ اگر ہمیں  $v_{ce}$  حاصل کرنا ہو تو ہم شکل سے دیکھتے ہیں کہ یہ  $v_{R_C}$  کے الٹ ہے (یعنی  $v_{ce} = -v_{R_C}$ ) یوں

$$(3.210) \quad v_{ce} = -g_m R_C v_{be}$$

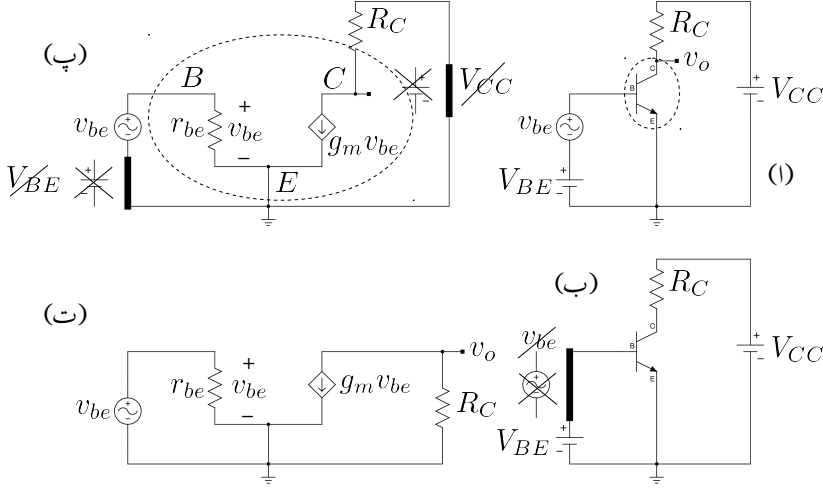
حاصل ہوتا ہے جو کہ بالکل مساوات ہی ہے جسے اصل ٹرانزسٹر کا دور حل کرتے حاصل کیا گیا تھا۔

مندرجہ بالا مساوات سے باریک اشاراتی افزائش برقی دباؤ  $A_v$  حاصل ہوتی ہے۔

$$(3.211) \quad A_v = \frac{v_{ce}}{v_{be}} = -g_m R_C$$

ہم دیکھتے ہیں کہ شکل 3.80 ب میں دئے گئے دور کے بدلتے متغیرات شکل 3.82 کو حل کرنے سے بھی حاصل کئے جاسکتے ہیں۔ یہ ایک انتہائی اہم نتیجہ ہے جس کو استعمال کرتے ہوئے ٹرانزسٹر کے ادوار کو قلم و کاغذ پر حل کرتے استعمال کیا جاتا ہے۔ شکل 3.82 میں دکھایا دور شکل 3.80 ب کا مساوی باریک اشاراتی دور ہے۔

آئیں شکل 3.82 کی مدد سے دیکھیں کہ کسی بھی ٹرانزسٹر دور کے مساوی یک سمتی اور مساوی باریک اشاراتی ادوار کیسے حاصل کئے جاتے ہیں۔ ہم نے اوپر دیکھا کہ بدلتے متغیرات کے مساوات میں تمام یک سمتی متغیرات کٹ جاتے ہیں۔ یوں کسی بھی دور کا مساوی باریک اشاراتی دور حاصل کرتے وقت دور میں تمام یک سمتی منبع کی قیمتیں صفر کر دیں جاتی ہیں اور ٹرانزسٹر کی جگہ ٹرانزسٹر کا باریک اشاراتی ریاضی نمونہ نسب کر دیا جاتا ہے۔ یک سمتی منبع برقی دباؤ کی قیمت صفر کرنے کی خاطر ان کے دونوں سرے قصر دور تصور کئے جاتے ہیں۔ اگرچہ موجودہ مثال میں یک سمتی منبع برقی روا استعمال نہیں کیا گیا لیکن اگر ایسا کیا جائے تو یک سمتی منبع برقی رو کی قیمت صفر کرنے کی خاطر اس کو کھلے سرے کر دیا جاتا ہے۔



شکل 3.82: (ا) اصل دور (ب) مساوی یک سمتی دور (ت) مساوی باریک اشاراتی دور

آئیں اب شکل 3.82 الف میں دئے دور کے مساوی ادوار حاصل کریں۔ شروع مساوی یک سمتی دور کے حصول سے کرتے ہیں۔

جیسا شکل ب میں دکھایا گیا ہے کہ تمام بدلتے اشارات کی قیمت صفر کرنے سے دور کا مساوی یک سمتی دور حاصل ہوتا ہے۔ اس دور میں  $v_{be}$  بدلتا اشارہ ہے جسے دور سے خارج کرتے ہوئے اس مقام کو قصر دور کر دیا گیا ہے (یعنی جن دو برقی تاروں کے ساتھ  $v_{be}$  جڑا تھا ان تاروں کو آپس میں جوڑ دیا گیا ہے جبکہ یہاں سے  $v_{be}$  کو نکال دیا گیا ہے۔ جوڑ کو وضاحت کی خاطر موٹی تار سے دکھایا گیا ہے)

شکل (پ) میں مساوی باریک اشاراتی دور حاصل کیا گیا ہے۔ ایسا کرنے کی خاطر ٹرانزسٹر کی جگہ اس کا باریک اشاراتی  $\pi$  ریاضی نمونہ نسب کیا گیا ہے جبکہ تمام یک سمتی منبع کو قصر دور کر دیا گیا ہے۔ چونکہ اصل دور یعنی شکل الف میں  $V_{BE}$  اور  $V_{CC}$  یک سمتی منبع ہیں لہذا انہیں قصر دور کیا گیا ہے۔ ان کی جگہ نسب تاروں کو وضاحت کی غرض سے موٹا کر کے دکھایا گیا ہے۔ شکل پ کو عموماً شکل ت کی مانند بنایا جاتا ہے۔ اس کتاب میں بھی ایسا ہی کیا جائے گا۔ آپ تسلی کر لیں کہ شکل پ اور شکل ت بالکل یکساں ہیں۔

اس حصے میں ہم نے دیکھا کہ ٹرانزسٹر ادوار کے حل حاصل کرتے وقت یہ ممکن ہے کہ پہلے بدلتے متغیرات کو نظر انداز کیا جائے اور اس کا ایک سمتی دور حل کیا جائے۔ یوں حاصل یک سمتی متغیرات سے نقطہ کارکردگی پر ٹرانزسٹر

کے  $r_{be}$  اور  $g_m$  حاصل کئے جائیں اور پھر دور میں یک سمتی منبع کو نظر انداز کرتے ہوئے بدلتے اشارات حاصل کئے جائیں۔ قلم و کاغذ پر ٹرانزسٹر ادوار اسی طریقہ کار کو استعمال کرتے ہوئے حاصل کئے جاتے ہیں۔ اگلے حصے میں اس طریقے کی مشق کرائی جائے گی۔ آپ سے گزارش کی جاتی ہے کہ ان مشقوں سے فائدہ اٹھاتے ہوئے اس طریقے کو اچھی طرح سیکھ لیں۔

یہاں یہ بتلانا ضروری ہے کہ ٹرانزسٹر ریاضی نمونہ استعمال کرتے ہوئے مساوی باریک اشاراتی ادوار کو کسی صورت اصل ٹرانزسٹر کا دور نہ سمجھا جائے۔ یہ صرف اور صرف حساب و کتاب آسان بنانے کا ایک طریقہ ہے۔

### 3.16 باریک اشاراتی ادوار کا پائے ریاضی نمونے کی مدد سے حل

ٹرانزسٹر ایمپلیفائر کو پائے ( $\pi$ ) ریاضی نمونہ استعمال کرتے ہوئے ایک منظم طریقے سے حل کیا جاتا ہے۔ اس طریقہ کار کے اقدام مندرجہ ذیل ہیں۔

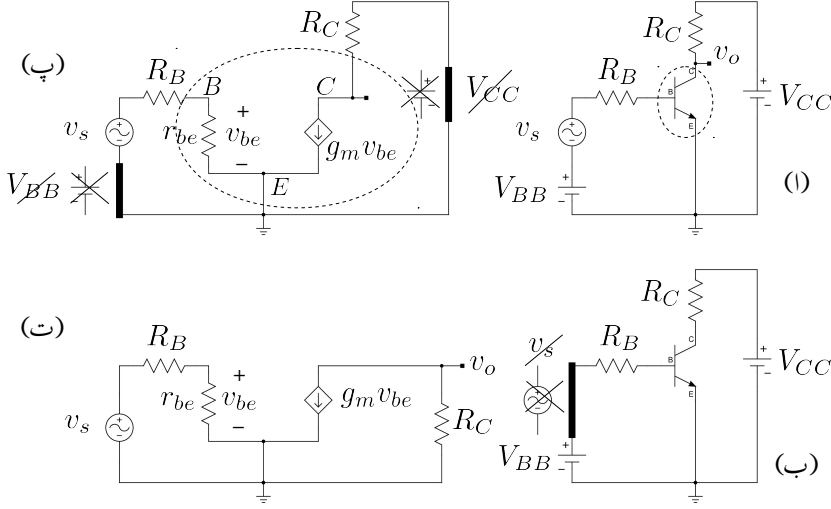
1. اصل ٹرانزسٹر دور کا مساوی یک سمتی دور حاصل کر کے اسے حل کرتے ہوئے  $I_C$  اور  $V_{CE}$  حاصل کریں۔ یہ نقطہ کارکردگی پر ٹرانزسٹر کے متغیرات ہیں۔
2. آگے بڑھنے سے پہلے تسلی کر لیں کہ ٹرانزسٹر افزائندہ خطے میں ہے (یعنی  $V_{CE} > V_{CE\text{اندہ}}$ )۔
3. حاصل کردہ  $I_C$  استعمال کرتے ہوئے نقطہ کارکردگی پر ٹرانزسٹر کے باریک اشاراتی ریاضی نمونہ کے جزو حاصل کریں یعنی۔

$$g_m = \frac{I_C}{V_T}$$

$$r_{be} = \frac{\beta}{g_m}$$

$$r_e = \frac{V_T}{I_E} \approx \frac{1}{g_m}$$

4. اصل ٹرانزسٹر دور میں تمام منبع برقی دباؤ کو قصر دور اور منبع برقی رو کو کھلے دور کرتے ہوئے ٹرانزسٹر کی جگہ ٹرانزسٹر کا مساوی باریک اشاراتی ریاضی نمونہ نسب کرتے ہوئے دور کا مساوی باریک اشاراتی دور حاصل کریں۔



شکل 3.83: (ا) اصل دور (ب) مساوی یک سمتی (ت) مساوی باریک اشاراتی

5. حاصل مساوی باریک اشاراتی دور کو حل کرتے ہوئے ایمپلیفائر کے خاصیت حاصل کریں۔ (مثلاً افزائش برقی دباؤ  $A_v$ ، داخلی مزاحمت  $R_i$ ، خارجی مزاحمت  $R_o$  وغیرہ)
6. آخر میں اس بات کی بھی تسلی کر لیں کہ ٹرانزسٹر کا نقطہ کارکردگی یوں منتخب ہو کہ خارجی اشارہ (جسے  $v_o$  لکھا جائے گا) کے حیطے کے مثبت اور منفی چوٹیوں پر بھی ٹرانزسٹر افزائندہ ہی رہے۔ (یعنی کہ خارجی اشارہ  $v_o$  کے چوٹیاں تراشی نہیں جاتیں)

اس عمل کے پہلے تین اقدام آپ دیکھ چکے ہیں۔ آئیں اب مساوی باریک اشاراتی دور کو حل کرنا دیکھیں۔ ایسا شکل 3.83 کی مدد سے کرتے ہیں جس میں مزاحمت  $R_B$  بھی نسب کیا گیا ہے۔ یہاں ٹرانزسٹر کی افزائش برقی رو کو  $\beta_0$  تصور کریں۔

شکل ب میں اس دور کا مساوی یک سمتی دور حاصل کیا گیا ہے۔ اس کو حل کرتے ہوئے  $I_C$  اور  $V_{CE}$  حاصل کرتے ہیں۔ داخلی جانب چونکہ

$$V_{BB} = I_B R_B + V_{BE}$$

$$I_B = \frac{V_{BB} - V_{BE}}{R_B}$$

ہے لہذا

$$(3.212) \quad I_C = \beta_0 I_B = \beta_0 \left( \frac{V_{BB} - V_{BE}}{R_B} \right)$$

حاصل ہوتا ہے۔ یہی جواب  $R_B$  کو ٹرانزسٹر کے ایسٹر جانب منتقل کرتے ہوئے  $\frac{R_B}{\beta_0}$  لکھ کر بھی حاصل کیا جاسکتا تھا یعنی

$$I_C = \frac{V_{BB} - V_{BE}}{\left( \frac{R_B}{\beta_0} \right)}$$

خارجی جانب سے

$$(3.213) \quad V_{CE} = V_{CC} - I_C R_C$$

حاصل ہوتا ہے۔ باریک اشاراتی متغیرات حاصل کرنے سے پہلے یہاں رک کر تسلی کر لیں کہ ٹرانزسٹر افزائندہ خطے میں ہے۔ اگر حاصل کردہ  $V_{CE}$  کی قیمت غیر افزائندہ  $V_{CE}$  سے کم ہو تب ٹرانزسٹر غیر افزائندہ ہو گا اور اشارہ کو بڑھانے سے قاصر ہو گا۔ اس صورت میں باریک اشاراتی تجزیہ کرنے کی ضرورت نہیں۔

حاصل  $I_C$  سے ٹرانزسٹر ریاضی نمونہ کے جزو  $g_m$  اور  $r_{be}$  حاصل کرنے کے بعد شکل ت سے افزائش  $A_v$  یوں حاصل کی جائے گی۔ داخلی جانب ہم لکھ سکتے ہیں

$$v_s = i_b (R_B + r_{be})$$

$$i_b = \frac{v_s}{R_B + r_{be}}$$

اور چونکہ  $v_{be} = i_b r_{be}$  ہے لہذا

$$v_{be} = \frac{v_s r_{be}}{R_B + r_{be}}$$

حاصل ہوتا ہے۔ خارجی جانب ہم لکھ سکتے ہیں۔

$$i_c = g_m v_{be}$$

$$v_o = -i_c R_C$$

مندرجہ بالا تین مساوات سے  $v_o$  لکھا جاسکتا ہے یعنی

$$v_o = -i_c R_C = -(g_m v_{be}) R_C = -g_m R_C \left( \frac{v_s r_{be}}{R_B + r_{be}} \right)$$

جس سے افزائش  $A_v$  یوں حاصل ہوتی ہے۔

$$(3.214) \quad A_v = \frac{v_o}{v_s} = -\frac{g_m r_{be} R_C}{R_B + r_{be}}$$

یہاں رک کر تسلی کر لیں کہ آیا مطلوبہ خارجی اشارہ  $v_o$  کے مثبت اور منفی چوٹیوں پر بھی ٹرانزسٹر افزائندہ خطے میں ہی رہتا ہے یا نہیں۔ میرے خیال میں یہ بات مثال کی مدد سے زیادہ آسانی سے سمجھ آئے گی۔

مثال 3.39: شکل 3.83 میں

$$\begin{aligned} \beta_0 &= 100 \\ V_{CC} &= 15 \text{ V} \\ V_{BB} &= 2.5 \text{ V} \\ R_C &= 7.5 \text{ k}\Omega \\ R_B &= 180 \text{ k}\Omega \end{aligned}$$

لیتے ہوئے باریک اشاراتی افزائش برقی دباؤ  $A_v$  حاصل کریں۔ زیادہ سے زیادہ نا تراشیدہ خارجی اشارے حاصل ہوتے وقت داخلی اشارے کا حیطہ دریافت کریں۔

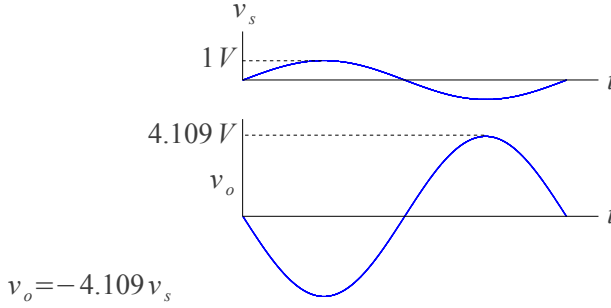
حل: پہلے یک سمتی متغیرات حاصل کرتے ہیں۔

$$\begin{aligned} I_C &= \beta_0 \left( \frac{V_{BB} - V_{BE}}{R_B} \right) = 100 \times \left( \frac{2.5 - 0.7}{180000} \right) = 1 \text{ mA} \\ V_{CE} &= V_{CC} - I_C R_C = 15 - 10^{-3} \times 7.5 \times 10^3 = 7.5 \text{ V} \end{aligned}$$

چونکہ حاصل  $V_{CE}$  کی قیمت غیر افزائندہ  $V_{CE}$  (یعنی  $0.2 \text{ V}$ ) سے زیادہ ہے لہذا ٹرانزسٹر افزائندہ ہے اور یہ داخلی اشارے کو بڑھا سکتا ہے۔ آئیں ریاضی نمونہ کے جزو حاصل کریں۔

$$\begin{aligned} g_m &= \frac{I_C}{V_T} = \frac{1 \times 10^{-3}}{25 \times 10^{-3}} = 40 \text{ mS} \\ r_{be} &= \frac{\beta_0}{g_m} = \frac{100}{40 \times 10^{-3}} = 2.5 \text{ k}\Omega \\ r_e &\approx \frac{1}{g_m} = \frac{1}{40 \times 10^{-3}} = 25 \Omega \end{aligned}$$





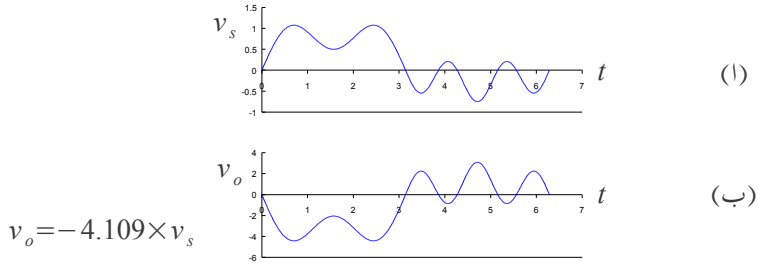
شکل 3.84: سائن-نما اشارات

اور انہیں استعمال کرتے ہوئے باریک اشارات کی افزائش برقی دباؤ  $A_v$  حاصل کریں۔

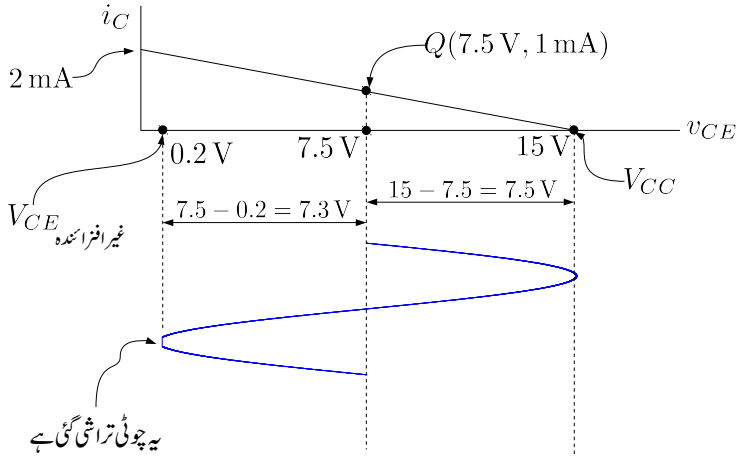
$$A_v = \frac{v_o}{v_s} = -\frac{g_m r_{be} R_C}{R_B + r_{be}} = -\frac{0.04 \times 2500 \times 7.5 \times 10^3}{180 \times 10^3 + 2500} = -4.109 \frac{V}{V}$$

اس مساوات کے مطابق یہ ٹرانزسٹر امپلیفائر داخلی اشارہ  $v_s$  کے حیطے کو 4.109 گنا بڑھائے گا۔  $A_v$  کی قیمت منفی ہونے کا مطلب یہ ہے کہ جس لمحہ داخلی اشارہ مثبت ہو گا اس لمحہ خارجی اشارہ منفی ہو گا۔ شکل میں داخلی اشارہ کو سائن نما تصور کرتے ہوئے اس حقیقت کی وضاحت کی گئی ہے۔ سائن نما اشارہ کی صورت میں یہ کہا جاسکتا ہے کہ داخلی اور خارجی اشارات آپس میں 180° پر ہیں۔ داخلی اشارہ کی شکل کچھ بھی ہو سکتی ہے۔ شکل 3.85 میں غیر سائن-نما اشارہ دکھایا گیا ہے جہاں دونوں گرافوں میں برقی دباؤ کے محدود کی پیمائش مختلف ہے۔ آپ دیکھ سکتے ہیں کہ جب داخلی اشارہ مثبت ہوتا ہے اس وقت خارجی اشارہ منفی ہوتا ہے اور جب داخلی اشارہ منفی ہوتا ہے اس دوران خارجی اشارہ مثبت ہوتا ہے۔ یہ جاننے کے لئے کہ اس امپلیفائر سے کتنے حیطے کا زیادہ سے زیادہ خارجی اشارہ  $v_o$  حاصل کیا جاسکتا ہے ہم خطِ بوجھ کی مدد حاصل کرتے ہیں جسے شکل 3.86 میں دکھایا گیا ہے۔ آپ دیکھ سکتے ہیں کہ نقطہ کارکردگی کے ایک جانب خارجی اشارہ 7.5 V کا حیطہ رکھ سکتا ہے جبکہ دوسری جانب 7.3 V کا۔ یوں جیسے ہی خارجی اشارے کا حیطہ 7.3 V سے بڑھ جائے اس کا ایک طرف کٹنے شروع ہو جائے گا۔ 7.3 V کے حیطے کا خارجی اشارہ اس وقت حاصل ہو گا جب داخلی اشارے کا حیطہ 1.777 V ہو گا یعنی

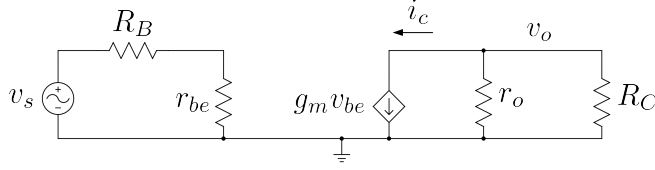
$$|v_s| = \left| \frac{v_o}{A_v} \right| = \left| \frac{7.3}{4.109} \right| = 1.777 \text{ V}$$



شکل 3.85: غیر سائن-نما اشارہ



شکل 3.86: خارجی اشارے کی زیادہ سے زیادہ متراشیدہ چوٹی



شکل 3.87: ٹرانزسٹر کا خارجی مزاحمت شامل کرتے مساوی دور

مثال 3.40: مثال 3.39 میں ٹرانزسٹر کا ایلہ برقی دباؤ  $V_A = 200 \text{ V}$  ہے۔ شکل 3.79 الف کا ریاضی نمونہ استعمال کرتے ہوئے  $A_v$  دوبارہ حاصل کریں۔

حل:  $r_o$  کی شمولیت سے یک سمتی متغیرات متاثر نہیں ہوتے لہذا مثال 3.39 میں حاصل کی گئی قیمتیں یہاں کے لئے بھی درست ہیں۔ مساوات 3.63 سے

$$r_o = \frac{V_A}{I_C} = \frac{200}{1 \times 10^{-3}} = 200 \text{ k}\Omega$$

حاصل ہوتا ہے۔ یوں شکل 3.87 حاصل ہوتا ہے۔ اس دور کو حل کرتے ہیں۔ خارجی جانب متوازی جڑے  $R_C$  اور  $r_o$  کی کل مزاحمت  $\frac{r_o R_C}{r_o + R_C}$  ہے جسے عموماً  $r_o \parallel R_C$  لکھا جاتا ہے۔ یوں اس شکل کو دیکھتے ہوئے

$$v_o = -i_c \left( \frac{r_o R_C}{r_o + R_C} \right) = -i_c \left( \frac{200000 \times 7500}{200000 + 7500} \right) = -7229 i_c$$

$$i_c = g_m v_{be} = 40 \times 10^{-3} v_{be}$$

$$v_{be} = \left( \frac{r_{be}}{R_B + r_{be}} \right) v_s = \left( \frac{2500}{180000 + 2500} \right) v_s = 0.0137 v_s$$

لکھا جاسکتا ہے۔ اس طرح

$$v_o = -7229 \times 40 \times 10^{-3} \times 0.0137 v_s = -3.96 v_s$$

حاصل ہوتا ہے یعنی

$$A_v = \frac{v_o}{v_s} = -3.96 \frac{\text{V}}{\text{V}}$$

مثال 3.39 میں  $A_v = -4.109 \frac{V}{V}$  حاصل ہوا تھا۔ یوں  $r_o$  کو نظر انداز کرتے ہوئے جواب میں صرف

$$\left| \frac{3.96 - 4.109}{3.96} \right| \times 100 = 3.76 \%$$

تبدیلی آئی۔

مندرجہ بالا مثال میں ہم نے دیکھا کہ  $r_o$  کو نظر انداز کرتے ہوئے ایمپلیفائر کی افزائش حاصل کرنے سے قابل نظر انداز غلطی پیدا ہوتی ہے۔ یہ اہم نتیجہ ہے جس کی بنا پر ٹرانزسٹر ایمپلیفائر حل کرتے ہوئے عموماً  $r_o$  کو نظر انداز کیا جاتا ہے۔ اس کتاب میں جہاں  $r_o$  کا کردار اہم نہ ہو، اسے نظر انداز کیا جائے گا۔ یاد رہے کہ حقیقت میں  $r_o$  پایا جاتا ہے لہذا  $R_C \rightarrow \infty$  کرنے سے لامحدود افزائش حاصل نہیں ہوگی چونکہ خارجی جانب  $R_C$  اور  $r_o$  متوازی جڑے ہیں اور ان کی مجموعی مزاحمت کسی صورت  $R_C$  یا  $r_o$  سے زیادہ نہیں ہو سکتی۔

مثال 3.41: شکل 3.88 الف کے ایمپلیفائر میں  $R_E$  کا اضافہ کیا گیا ہے۔ اس ایمپلیفائر کی افزائش  $A_v$  اور داخلی مزاحمت  $r_i$  حاصل کریں۔

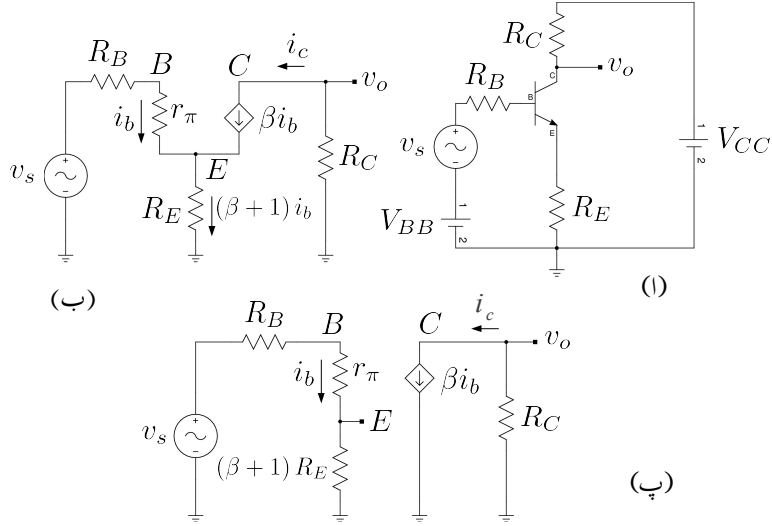
حل: ایمپلیفائر میں بدلتے اشارات کو نظر انداز کرتے ہوئے پہلے یک سمتی متغیرات حاصل کرتے ہیں۔

$$I_C = \frac{V_{BB} - V_{BE}}{\frac{R_B}{\beta + 1} + R_E}$$

$$V_{CE} = V_{CC} - I_C R_C - I_E R_E$$

$$\approx V_{CC} - I_C (R_C + R_E)$$

یہاں رک کر تسلی کر لیں کہ حاصل  $V_{CE}$  کی قیمت غیر افزائندہ  $V_{CE}$  سے زیادہ ہے چونکہ صرف اسی صورت ٹرانزسٹر اشارات کو بڑھانے کی صلاحیت رکھتا ہے۔



شکل 3.88: ایپلیکیشن بمطابق  $R_E$

حاصل  $I_C$  سے ٹرانزسٹر کے پائے ریاضی نمونہ کے جزو حاصل کرتے ہیں۔

$$g_m = \frac{I_C}{V_T}$$

$$r_{be} = \frac{\beta}{g_m}$$

$$r_e = \frac{\alpha}{g_m} \approx \frac{1}{g_m}$$

اگرچہ اس مثال میں  $r_e$  اور  $g_m$  کے قیمتیں استعمال نہیں کی گئی ان کو پھر بھی حاصل کیا گیا ہے۔ تمام جزو حاصل کرنے کی عادت اچھی ثابت ہوتی ہے۔

شکل ب میں پائے ریاضی نمونہ استعمال کرتے ہوئے شکل الف کا مساوی باریک اشاراتی دور دکھایا گیا ہے جس میں  $r_o$  کو نظر انداز کیا گیا ہے۔ اس دور میں ٹرانزسٹر کے تین سروں پر برقی رو مندرجہ ذیل ہیں۔

$$i_b$$

$$i_c = \beta i_b$$

$$i_e = i_b + i_c = (\beta + 1) i_b$$

یوں شکل ب میں داخلی جانب کے دائرے میں کرخوف کے قانون برائے برقی دباؤ کے استعمال سے ہم لکھ سکتے ہیں۔

$$\begin{aligned} v_s &= i_b R_B + i_b r_\pi + (\beta + 1) i_b R_E \\ &= i_b (R_B + r_\pi + (\beta + 1) R_E) \end{aligned}$$

اور یوں

$$i_b = \frac{v_s}{R_B + r_\pi + (\beta + 1) R_E}$$

حاصل ہوتا ہے۔ اس مساوات سے دور کا داخلی باریک اشاراتی مزاحمت حاصل کیا جاسکتا ہے یعنی

$$r_i = \frac{v_s}{i_b} = R_B + r_\pi + (\beta + 1) R_E$$

خارجی جانب کے دائرے میں چونکہ  $i_c = \beta i_b$  اور  $v_o = -i_c R_C$  ہیں لہذا

$$v_o = -\beta R_C i_b = -\frac{\beta R_C v_s}{R_B + r_\pi + (\beta + 1) R_E}$$

اور

$$(3.215) \quad A_v = \frac{v_o}{v_s} = -\frac{\beta R_C}{R_B + r_\pi + (\beta + 1) R_E}$$

حاصل ہوتے ہیں۔ اس مساوات کو

$$\begin{aligned} A_v &= -\frac{\beta}{\beta + 1} \frac{R_C}{\frac{R_B}{\beta + 1} + r_e + R_E} \\ (3.216) \quad &= -\frac{\alpha R_C}{\frac{R_B}{\beta + 1} + r_e + R_E} \\ &\approx -\frac{R_C}{\frac{R_B}{\beta + 1} + r_e + R_E} \end{aligned}$$

بھی لکھا جاسکتا ہے جہاں  $r_e = \frac{r_\pi}{\beta + 1}$  کا استعمال کیا گیا ہے۔

آئیں شکل 3.88 پ کو حل کریں جہاں مزاحمت کی قیمت بڑھا کر  $(\beta + 1) R_E$  کرتے ہوئے داخلی اور خارجی دائروں کو جدا کر دیا گیا ہے۔

جوڑ  $E$  پر شکل 3.88 ب میں  $v_E = (\beta + 1) i_b \times R_E$  برقی دباؤ پایا جاتا ہے۔ شکل 3.88 پ میں یہاں  $i_b \times (\beta + 1) R_E$  پایا جاتا ہے۔ یہ دونوں مقدار برابر ہیں۔

$$v_E = (\beta + 1) i_b \times R_E = i_b \times (\beta + 1) R_E$$

شکل 3.88 پ کے داخلی دائرے پر کرخوف کا قانون برائے برقی دباؤ استعمال کرنے سے

$$v_s = i_b R_B + i_b r_\pi + i_b (\beta + 1) R_E$$

حاصل ہوتا ہے۔ یہ بالکل شکل ب سے حاصل مساوات کی طرح ہے جس سے داخلی باریک اشاراتی مزاحمت بھی بالکل وہی حاصل ہوتا ہے یعنی

$$r_i = \frac{v_s}{i_b} = R_B + r_\pi + (\beta + 1) R_E$$

اسی طرح خارجی جانب یہاں بھی  $i_c = \beta i_b$  اور  $v_o = -i_c R_C$  ہیں جن سے

$$v_o = -\beta R_C i_b = -\frac{\beta R_C v_s}{R_B + r_\pi + (\beta + 1) R_E}$$

حاصل ہوتے ہیں جن سے

$$A_v = \frac{v_o}{v_s} = -\frac{\beta R_C}{R_B + r_\pi + (\beta + 1) R_E}$$

ہی حاصل ہوتا ہے۔

یوں شکل ب اور شکل پ سے بالکل یکساں جوابات حاصل ہوتے ہیں۔ یہ ایک اہم نتیجہ ہے جسے اس کتاب میں بار بار استعمال کیا جائے گا۔ جب بھی پرستے تعدد پر چلنے والے ٹرانزسٹر کے ایمر مشنک<sup>48</sup> یا کلکٹر مشنک کے ایمپلیفائر میں مزاحمت  $R_E$  استعمال کیا جائے، اس کا مساوی باریک اشاراتی دور بناتے وقت داخلی اور خارجی دائروں کو جدا کرتے ہوئے داخلی دائرے میں  $(\beta + 1) R_E$  مزاحمت نسب کرتے ہوئے حل کریں۔ تمام حاصل جوابات درست ہوں گے۔ جیسا آپ باب 6 میں دیکھیں گے کہ بلند تعدد پر چلتے ایمپلیفائر کے لئے ایسا کر کے جواب حاصل کرنا ممکن نہ ہو گا۔

<sup>48</sup>مشنک، لٹنر، مشنک کلکٹر اور مشنک ہیں کی پہچان حصہ 3.19 میں کی گئی ہے

انفریکشن برقی دباؤ کے مساوات کو یوں بھی لکھا جاسکتا ہے۔

$$\begin{aligned} A_v &= -\frac{\beta R_C}{R_B + r_{be} + (\beta + 1) R_E} \\ &= -\left(\frac{\beta}{\beta + 1}\right) \left(\frac{R_C}{\frac{R_B}{\beta + 1} + \frac{r_{be}}{\beta + 1} + R_E}\right) \\ &= -\alpha \left(\frac{R_C}{\frac{R_B}{\beta + 1} + r_e + R_E}\right) \end{aligned}$$

اس مساوات کے حصول کے تیسرے قدم پر  $\frac{r_{be}}{\beta + 1}$  کو  $r_e$  لکھا گیا۔ اس مساوات کا انتہائی آسان مطلب ہے جس کی مدد سے اسے با آسانی یاد رکھا جاسکتا ہے۔ ٹرانزسٹر کے کلکٹر پر کل مزاحمت  $R_C$  ہے جبکہ اس کے ایسٹر پر مزاحمت  $R_E$  کے ساتھ سلسلہ وار  $r_{be}$  اور  $R_B$  کے عکس  $\frac{r_{be}}{\beta + 1}$  اور  $\frac{R_B}{\beta + 1}$  منسلک ہیں۔  $r_e$  کو  $\frac{r_{be}}{\beta + 1}$  لکھا جاسکتا ہے۔ یوں ایسٹر پر کل مزاحمت  $\sum R_E$  کی قیمت

$$\sum R_E = \frac{R_B}{\beta + 1} + r_e + R_E$$

ہے۔ اس مساوات میں  $R_B$  داخلی اشارہ  $v_s$  کے ساتھ سلسلہ وار جڑی مزاحمت ہے۔ کلکٹر پر کل مزاحمت کو  $\sum R_C$  لکھتے ہوئے اس مساوات کو یوں لکھا جاسکتا ہے۔

$$(3.217) \quad A_v = -\alpha \left(\frac{\sum R_C}{\sum R_E}\right) = -\alpha \left(\frac{\text{کلکٹر پر کل مزاحمت}}{\text{ایسٹر پر کل مزاحمت}}\right)$$

مساوات 3.217 نہایت اہمیت کا حامل ہے جو آپ کو زبانی یاد ہونا چاہیے۔ اس مساوات کو استعمال کرتے ہوئے عموماً  $\alpha$  کی قیمت (1) تصور کی جاتی ہے۔ اگر 3.88 الف کا بدلتا رو مساوی دور بنایا جائے تو ٹرانزسٹر کے بیس جانب  $V_{BB}$  قصر دور ہو جائے گا اور داخلی اشارے  $v_s$  کے ساتھ صرف ایک عدد مزاحمت  $R_B$  پایا جائے گا۔ مساوات 3.217 کے صحیح استعمال کے لئے یہ ضروری ہے کہ ایمپلیفائر کے بیس جانب حصے کا مساوی دور اسی طرز پر ہو۔

یہ دیکھنے کی خاطر کہ مندرجہ بالا مساوات واقعی عمومی مساوات ہے ہم مساوات 3.214 کو بھی اسی صورت میں



بدلتے ہیں۔

$$\begin{aligned}
 A_v &= -\frac{g_m r_{be} R_C}{R_B + r_{be}} \\
 &= -\frac{\beta R_C}{R_B + r_{be}} \\
 &= -\frac{\beta R_C}{(\beta + 1) \left( \frac{R_B}{\beta + 1} + \frac{r_{be}}{\beta + 1} \right)} \\
 &= -\frac{\alpha R_C}{\frac{R_B}{\beta + 1} + r_e} \\
 &= -\alpha \left( \frac{\sum R_C}{\sum R_E} \right)
 \end{aligned}$$

مثال 3.42: شکل 3.88 الف میں

$$\begin{aligned}
 V_{CC} &= 12 \text{ V} \\
 V_{BB} &= 2.35 \text{ V} \\
 \beta &= 99 \\
 R_B &= 150 \text{ k}\Omega \\
 R_C &= 75 \text{ k}\Omega \\
 R_E &= 15 \text{ k}\Omega
 \end{aligned}$$

لیتے ہوئے باریک اشاراتی داخلی مزاحمت  $r_i = \frac{v_s}{i_b}$  اور افزائش  $A_v$  حاصل کریں۔

حل: پہلے یک سمتی متغیرات حاصل کرتے ہیں۔

$$\begin{aligned}
 I_C &= \frac{V_{BB} - V_{BE}}{\frac{R_B}{\beta + 1} + R_E} = \frac{2.35 - 0.7}{\frac{150000}{99 + 1} + 15000} = 0.1 \text{ mA} \\
 V_{CE} &\approx V_{CC} - I_C (R_C + R_E) \\
 &= 12 - 0.1 \times 10^{-3} \times (75000 + 15000) = 3 \text{ V}
 \end{aligned}$$

چونکہ حاصل  $V_{CE}$  کی قیمت غیر افراطی  $V_{CE}$  یعنی  $0.2 \text{ V}$  سے زیادہ ہے لہذا ٹرانزسٹر افراطی ہے اور اشارات کو بڑھانے کی صلاحیت رکھتا ہے۔ خط بوجھ کھینچ کر آپ دیکھ سکتے ہیں کہ خارجی اشارے کی زیادہ سے زیادہ ناتراشیدہ چوٹی نقطہ کارکردگی کے ایک جانب  $2.8 \text{ V} = 3 - 0.2$  اور دوسری جانب  $9 \text{ V} = 12 - 3$  ہوں گے۔ یوں سائن-نما اشارہ کی زیادہ سے زیادہ خارجی ناتراشیدہ چوٹی  $2.8 \text{ V}$  ممکن ہوگی۔

حاصل  $I_C$  سے ٹرانزسٹر کے پائے ریاضی نمونہ کے جزو حاصل کرتے ہیں۔

$$g_m = \frac{I_C}{V_T} = \frac{0.1 \times 10^{-3}}{25 \times 10^{-3}} = 4 \text{ mS}$$

$$r_{be} = \frac{\beta}{g_m} = \frac{99}{0.004} = 24.75 \text{ k}\Omega$$

$$r_e = \frac{V_T}{I_E} = \frac{\alpha}{g_m} = \frac{0.99}{0.004} = 247.5 \Omega$$

باریک اشاراتی داخلی مزاحمت حاصل کرتے ہیں۔

$$\begin{aligned} r_i = \frac{v_s}{i_b} &= R_B + r_{be} + (\beta + 1) R_E \\ &= 150000 + 24750 + (99 + 1) \times 15000 \\ &= 1.67475 \text{ M}\Omega \end{aligned}$$

ایمپلیفائر کی افراطی برقی دباؤ حاصل کرتے ہیں۔

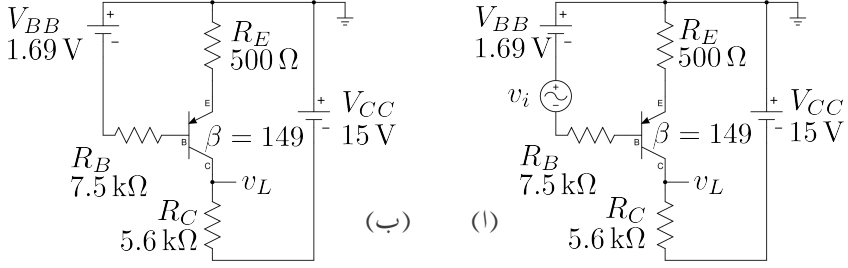
$$\begin{aligned} A_v = \frac{v_o}{v_s} &= -\frac{\beta R_C}{R_B + r_{be} + (\beta + 1) R_E} \\ &= -\frac{99 \times 75000}{150000 + 24750 + (99 + 1) \times 15000} \\ &= -4.4335 \frac{\text{V}}{\text{V}} \end{aligned}$$

مساوات 3.217 کی مدد سے یہی جواب سیدھو سیدھ حاصل کیا جاسکتا ہے جہاں

$$\sum R_C = R_C = 75 \text{ k}\Omega$$

اور

$$\begin{aligned} \sum R_E &= \frac{R_B}{\beta + 1} + r_e + R_E \\ &= \frac{150000}{99 + 1} + 247.5 + 15000 \\ &= 16747.5 \Omega \end{aligned}$$



شکل 3.89: جمع-منفی-جمع امپلیفائر

لئے جائیں گے اور یوں

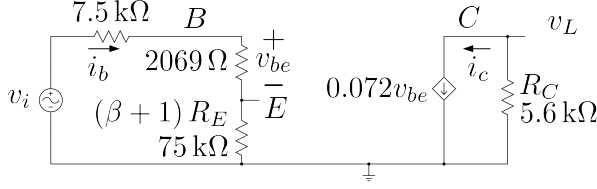
$$A_v = -\alpha \left( \frac{\sum R_C}{\sum R_E} \right) = -0.99 \times \left( \frac{75000}{16747.5} \right) = -4.4335 \frac{V}{V}$$

حاصل ہوتا ہے۔

مثال 3.43: شکل 3.89 الف میں  $A_v = \frac{v_L}{v_i}$  حاصل کریں۔ اگر  $v_i = 0.001 \sin \omega t$  ہو تب  $v_L$  کیا ہو گا؟

حل: بدلتے متغیرات کو نظر انداز کرتے ہوئے شکل 3.89 ب سے یک سمتی متغیرات حاصل کرتے ہیں۔ داخلی جانب

$$\begin{aligned} V_{BB} &= I_E R_E + V_{EB} + I_B R_B \\ &= I_E R_E + V_{EB} + \left( \frac{I_E}{\beta + 1} \right) R_B \\ &= V_{EB} + I_E \left( R_E + \frac{R_B}{\beta + 1} \right) \end{aligned}$$



شکل 3.90: جمع-منفی-جمع ایپلیکیشن مساوی باریک اشاراتی دور

لکھا جاسکتا ہے جس سے

$$I_C \approx I_E = \frac{1.69 - 0.7}{500 + \frac{7500}{149+1}} = 1.8 \text{ mA}$$

حاصل ہوتا ہے۔ خارجی جانب

$$\begin{aligned} V_{CC} &= I_E R_E + V_{EC} + I_C R_C \\ &\approx V_{EC} + I_C (R_E + R_C) \end{aligned}$$

سے

$$V_{EC} = 15 - 1.8 \times 10^{-3} \times (500 + 5600) = 4.02 \text{ V}$$

حاصل ہوتا ہے جو کہ غیر افراطی  $V_{EC}$  سے زیادہ ہے لہذا ٹرانزسٹر افراطی نقطے میں ہے۔

ان قیمتوں سے پائے ریاضی نمونہ کے اجزاء حاصل کرتے ہیں

$$g_m = \frac{I_C}{V_T} = \frac{1.8 \times 10^{-3}}{25 \times 10^{-3}} = 0.072 \text{ S}$$

$$r_{be} = \frac{\beta}{g_m} = \frac{149}{0.072} = 2069 \Omega$$

جنہیں استعمال کرتے ہوئے شکل 3.90 کا باریک اشاراتی مساوی دور حاصل ہوتا ہے۔ اس مساوی دور میں مثال 3.41 کے شکل 3.88 پ کی طرح پائے ریاضی نمونہ میں تبدیلی کی گئی۔

مساوی دور کے داخلی جانب

$$\begin{aligned} i_b &= \frac{v_i}{7500 + 2069 + 75000} = \frac{v_i}{84569} \\ v_{be} &= i_b \times 2069 = \frac{v_i}{84569} \times 2069 = 0.024465 v_i \end{aligned}$$

لکھا جاسکتا ہے جبکہ اس کے خارج جانب

$$\begin{aligned} i_c &= 0.072 v_{be} \\ v_L &= -i_c \times 5600 \\ &= -0.072 \times v_{be} \times 5600 \\ &= -0.072 \times (0.024465 v_i) \times 5600 \\ &= -9.864 v_i \end{aligned}$$

یوں

$$A_v = \frac{v_L}{v_i} = -9.864 \frac{V}{V}$$

حاصل ہوتا ہے۔ اسی جواب کو یوں بھی حاصل کیا جاسکتا ہے۔

$$\sum R_C = 5.6 \text{ k}\Omega$$

$$\sum R_E = \frac{R_B}{\beta + 1} + \frac{r_{be}}{\beta + 1} + R_E = 563.79 \Omega$$

$$A_v = -\alpha \frac{\sum R_C}{\sum R_E} = -\left(\frac{149}{150}\right) \left(\frac{5600}{563.79}\right) = -9.866 \frac{V}{V}$$

حاصل ہوتا ہے۔  $A_v$  کے ان دو جوابات میں صرف

$$\left| \frac{9.866 - 9.864}{9.866} \right| \times 100 = 0.026 \%$$

کا فرق ہے۔ یہ فرق  $I_C \approx I_E$  تصور کرنے سے پیدا ہوا۔  $I_C$  کی ٹھیک ٹھیک قیمت حاصل کرتے دوبارہ جوابات حاصل کرتے ہیں۔

$$I_C = \alpha I_E = \left(\frac{\beta}{\beta + 1}\right) I_E = 1.788 \text{ mA}$$

$$g_m = \frac{I_C}{V_T} = \frac{1.788 \times 10^{-3}}{25 \times 10^{-3}} = 0.07152 \text{ S}$$

$$r_{be} = \frac{\beta}{g_m} = 2083.333 \Omega$$

یوں پائے ریاضی نمونہ استعمال کرتے ہوئے

$$\begin{aligned} i_b &= \frac{v_i}{7500 + 2083.33 + 75000} = \frac{v_i}{84583.33} \\ v_{be} &= i_b \times 2083.33 = \frac{v_i}{84583.33} \times 2083.33 = 0.02463 v_i \end{aligned}$$

اور

$$i_c = g_m v_{be} = 0.07152 \times 0.02463 v_i = 1.7615376 \times 10^{-3} v_i$$

$$v_L = -i_c \times 5600 = -1.7615376 \times 10^{-3} v_i \times 5600 = -9.8646 v_i$$

یعنی

$$A_v = \frac{v_L}{v_i} = -9.865 \frac{V}{V}$$

حاصل ہوتا ہے۔ اسی طرح

$$\sum R_C = 5.6 \text{ k}\Omega$$

$$\sum R_E = \frac{7500}{149 + 1} + \frac{2083.33}{149 + 1} + 500 = 563.889 \Omega$$

$$A_v = -\alpha \frac{\sum R_C}{\sum R_E} = -\frac{149}{149 + 1} \times \frac{5600}{563.889} = -9.865 \frac{V}{V}$$

حاصل ہوتا ہے۔

$$\text{اگر } v_i = 0.001 \sin \omega t \text{ ہو تب}$$

$$v_L = -9.864 \times 0.001 \sin \omega t = -0.009864 \sin \omega t$$

ہو گا۔

اس مثال میں آپ نے دیکھا کہ چھوٹی چھوٹی چیزیں نظر انداز کرنے سے جوابات جلد حاصل ہوتے ہیں مگر ان میں اور اصل جوابات میں معمولی فرق پایا جاتا ہے۔ یہ فرق قابل نظر انداز ہوتا ہے۔ قلم و کاغذ کے ساتھ ٹرانزسٹر ادوار حل کرتے ہوئے عموماً اسی طرح جلد حاصل کردہ جوابات کو درست تسلیم کیا جاتا ہے۔ اس کتاب میں عموماً ایسا ہی کیا جائے گا۔ اگر زیادہ ٹھیک جوابات درکار ہوں تو تمام متغیرات کے ٹھیک ٹھیک قیمتیں استعمال کرتے ہوئے جوابات حاصل کئے جاسکتے ہیں۔

اب تک ایمپلیفائر حل کرتے وقت ہم ٹرانزسٹر کے بیس جانب تمام مزاحمت کو ایمپلیفائر کا حصہ تصور کرتے ہوئے مساوات 3.217 استعمال کرتے آ رہے ہیں۔ انہیں اسی مسئلے کو قدر مختلف نظر سے دیکھیں۔ ایسا کرنے سے مساوات 3.217 میں  $\sum R_E$  کا مطلب کچھ تبدیل ہو جائے گا۔

شکل 3.88 کو مثال بناتے ہوئے یہاں دوبارہ شکل 3.91 الف میں پیش کرتے ہیں۔ شکل الف میں داخلی جانب سے دیکھتے ہوئے دو داخلی مزاحمت  $R_i$  اور  $R'_i$  دکھائے گئے ہیں۔  $R_i$  سے مراد وہ مزاحمت ہے جو ٹرانزسٹر کے بیس پر دیکھتے ہوئے نظر آتا ہے جبکہ  $R'_i$  سے مراد وہ مزاحمت ہے جو داخلی اشارے  $v_s$  کو نظر آتا ہے۔ [ہم عموماً  $R'$  سے مراد  $R$  کا ٹرانزسٹر میں عکس مطلب لیتے ہیں۔ یہاں ہم  $R'_i$  سے ہرگز یہ مراد نہیں لے رہے۔ امید کی جاتی ہے کہ اس حصے میں اس حقیقت کو آپ ذہن میں رکھیں گے]۔ شکل کو دیکھتے ہوئے ہم لکھ سکتے ہیں

$$\begin{aligned} R_i &= (\beta + 1) (r_e + R_E) \\ &= r_{be} + (\beta + 1) R_E \\ R'_i &= R_B + R_i \\ &= R_B + (\beta + 1) (r_e + R_E) \end{aligned} \quad (3.218)$$

ٹرانزسٹر کے لیمرٹ جانب ان داخلی مزاحمت کے عکس

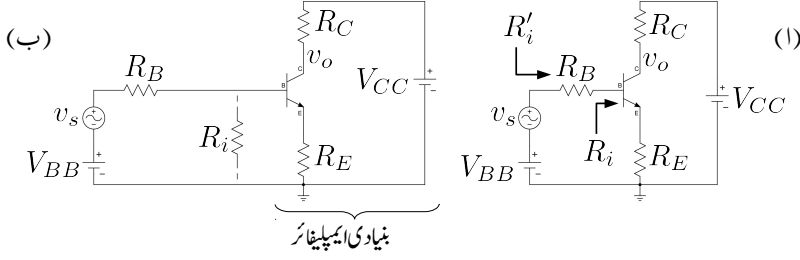
$$\begin{aligned} \frac{R_i}{\beta + 1} &= r_e + R_E \\ \frac{R'_i}{\beta + 1} &= \frac{R_B}{\beta + 1} + r_e + R_E \end{aligned}$$

ہیں۔ مساوات 3.217 میں  $\Sigma R_E$  سے مراد داخلی مزاحمت  $R'_i$  کا عکس ہے۔ آئیں اب اسی ایپلیفائر کو دوسری نظر سے دیکھیں۔

شکل 3.91 ب میں بنیادی ایپلیفائر کی نشاندہی کی گئی ہے۔  $R_B$  اس بنیادی ایپلیفائر کا حصہ نہیں ہے۔ ٹرانزسٹر کے بیس سے دیکھتے ہوئے ایپلیفائر مزاحمت  $R_i$  نظر آتا ہے۔ اس حقیقت کی وضاحت شکل ب میں ٹرانزسٹر کے بیس جانب  $R_i$  دکھا کر کی گئی ہے۔

شکل 3.92 میں ایپلیفائر کا باریک اشاراتی مساوی دور بناتے ہوئے اس کے دو ٹکڑے بھی کر دئے گئے ہیں۔ یوں شکل 3.92 الف کو دیکھتے ہوئے ہم لکھ سکتے ہیں

$$\begin{aligned} v_b &= \left( \frac{R_i}{R_B + R_i} \right) v_s \\ &= \left( \frac{(\beta + 1) (r_e + R_E)}{R_B + (\beta + 1) (r_e + R_E)} \right) v_s \end{aligned} \quad (3.219)$$



شکل 3.91

جہاں مساوات 3.218 سے  $R_i$  کی قیمت پُر کی گئی۔ شکل 3.92 ب کو دیکھتے ہوئے ہم

$$\begin{aligned} \sum R_C &= R_C \\ \sum R_E &= r_e + R_E \\ A'_v &= \frac{v_o}{v_b} = -\frac{\sum R_C}{\sum R_E} = -\frac{R_C}{r_e + R_E} \end{aligned} \quad (3.220)$$

لکھ سکتے ہیں جس سے

$$v_o = -\left(\frac{R_C}{r_e + R_E}\right) v_b \quad (3.221)$$

حاصل ہوتا ہے۔ اس مساوات میں  $v_b$  کی قیمت مساوات 3.219 سے پُر کرتے ہوئے

$$v_o = -\left(\frac{R_C}{r_e + R_E}\right) \left(\frac{(\beta + 1)(r_e + R_E)}{R_B + (\beta + 1)(r_e + R_E)}\right) v_s \quad (3.222)$$

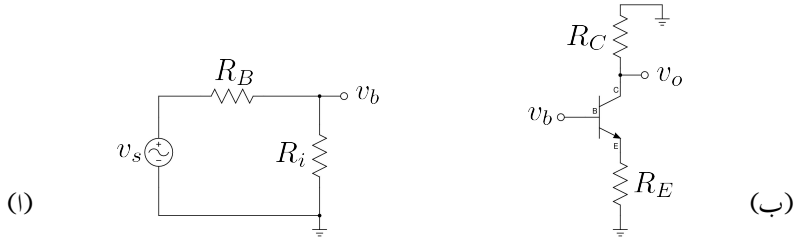
یعنی

$$A_v = \frac{v_o}{v_s} = \frac{-R_C}{\frac{R_B}{\beta + 1} + r_e + R_E} \quad (3.223)$$

حاصل ہوتا ہے۔ یہ مساوات ہو بہو مساوات 3.216 ہی ہے۔

مساوات 3.223 میں کسر کے نچلے حصے میں  $r_e + R_E$  دراصل  $\sum R_E$  ہے جو از خود داخلی مزاحمت کا ایمرٹ جانب عکس ہے یعنی  $\sum R_E = \frac{R_i}{\beta + 1}$ ۔ یوں اگر داخلی مزاحمت بڑھائی جائے تو افزائش  $A_v$  گھٹے گی۔ یہ ایک اہم نتیجہ



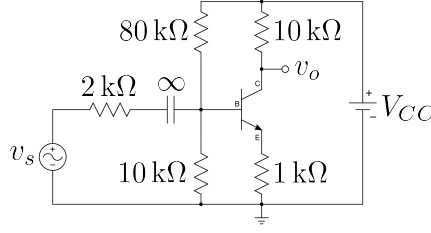


شکل 3.92

ہے۔ ایمپلیفائر تخلیق دیتے وقت اس حقیقت کو سامنے رکھا جاتا ہے۔ عموماً ہمیں زیادہ داخلی مزاحمت اور زیادہ افزائش درکار ہوتے ہیں۔ ایسی صورت میں مصالحت سے کام لیا جاتا ہے اور خواہشات کو کم کرتے ہوئے درمیانے جوابات تسلیم کئے جاتے ہیں۔ یہ بتلاتا چلوں کہ ایک سے زیادہ ایمپلیفائر استعمال کرتے ہوئے کسی بھی قیمت کے داخلی مزاحمت اور افزائش حاصل کئے جاسکتے ہیں۔ اس طرح کے ایمپلیفائر آپ آگے جا کر دیکھیں گے۔

ایمپلیفائر حل کرنے کا یہ طریقہ نہایت اہم ہے۔ اس طریقے کو آگے بابوں میں بار بار استعمال کیا جائے گا۔ آپ سے گزارش کی جاتی ہے کہ اس طریقے کو سمجھیں بغیر آگے مت بڑھیں۔ اس طریقے کو قدم با قدم دوبارہ پیش کرتے ہیں۔

- ٹرانزسٹر کے بیس پر دیکھتے ہوئے ایمپلیفائر کا داخلی مزاحمت  $R_i$  حاصل کریں۔
- دور میں بنیادی ٹرانزسٹر ایمپلیفائر کی جگہ اس کا داخلی مزاحمت  $R_i$  نسب کرتے ہوئے سادہ داخلی دور حاصل کریں۔
- اس سادہ داخلی دور میں  $v_b$  حاصل کریں۔  $v_b$  سے مراد  $R_i$  پر پائے جانے والا باریک اشارہ ہے۔
- بنیادی ایمپلیفائر کی افزائش  $A'_v = \frac{v_o}{v_b} = -\frac{\sum R_C}{\sum R_E}$  سے حاصل کریں۔  $\sum R_E$  سے مراد بنیادی ایمپلیفائر کا  $\sum R_E$  ہے۔
- کل افزائش  $A_v = \frac{v_o}{v_s}$  کو  $A'_v$  اور  $v_b$  کی مدد سے حاصل کریں۔



شکل 3.93

مثال 3.44: شکل 3.93 میں بنیادی ایپلیکیشن کا داخلی مزاحمت حاصل کرتے ہوئے افزائش  $A_v = \frac{v_o}{v_s}$  حاصل کریں۔  $\beta = 100$  اور  $r_e = 25 \Omega$  ہیں۔ باریک اشاراتی دور میں کپیٹر کو قصر دور تصور کریں۔

حل: شکل 3.94 میں بدلتی رو مساوی دور دکھایا گیا ہے۔ شکل ب میں داخلی مزاحمت

$$R_i = (100 + 1) \times (25 + 1000) = 103.525 \text{ k}\Omega$$

ہے۔ شکل الف میں سادہ داخلی دور دکھایا گیا ہے جہاں

$$80 \text{ k}\Omega \parallel 10 \text{ k}\Omega \parallel 103.525 \text{ k}\Omega = 8.186 \text{ k}\Omega$$

لیتے ہوئے

$$v_b = \left( \frac{8186}{2000 + 8186} \right) v_s = 0.8036 v_s$$

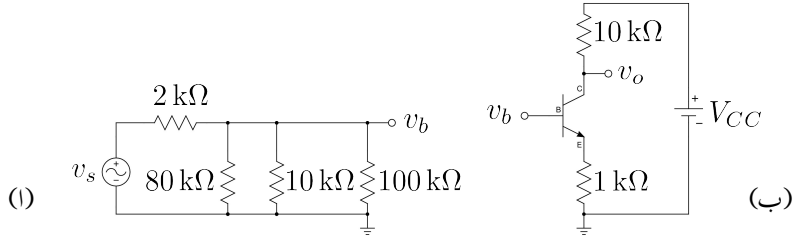
حاصل ہوتا ہے۔ شکل ب سے

$$A'_v = \frac{v_o}{v_b} = -\alpha \frac{\sum R_C}{\sum R_E} \approx -\frac{\sum R_C}{\sum R_E} = -\frac{10000}{25 + 1000} = -9.756 \frac{\text{V}}{\text{V}}$$

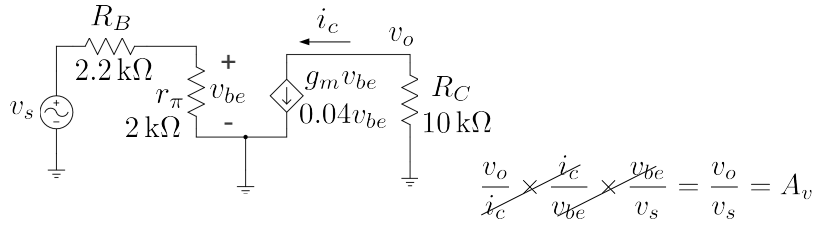
حاصل ہوتا ہے۔ یوں

$$A_v = \frac{v_o}{v_s} = \frac{v_o}{v_b} \times \frac{v_b}{v_s} = -9.756 \times 0.8036 = -7.839 \frac{\text{V}}{\text{V}}$$

حاصل ہوتا ہے۔



شکل 3.94

شکل 3.95: زنجیری ضرب سے  $A_v$  کا حصول

## 3.16.1 زنجیری ضرب کا طریقہ

ٹرانزسٹر کے پائے ریاضی نمونہ کو استعمال کرتے ہوئے افزائش برقی دباؤ  $A_v$  حاصل کرنا ہم نے دیکھا۔ اس سے پہلے کے ایسے مزید مثال دیکھیں ہم ایک نہایت عمدہ طریقہ کار سیکھتے ہیں جس کی مدد سے  $A_v$  کا حصول بہت آسان ہو جاتا ہے۔

شکل 3.95 میں باریک اشاراتی دور دکھایا گیا ہے جس کے لئے ہم تین مساوات لکھ سکتے ہیں یعنی

$$\begin{aligned} v_o &= -i_c R_C \\ i_c &= g_m v_{be} \\ v_{be} &= \frac{r_\pi v_s}{r_\pi + R_B} \end{aligned} \quad (3.224)$$

ان تین مساوات کو یوں بھی لکھ سکتے ہیں۔

$$(3.225) \quad \begin{aligned} \frac{v_o}{i_c} &= -R_C = -10\,000 \\ \frac{i_c}{v_{be}} &= g_m = 0.04 \\ \frac{v_{be}}{v_s} &= \frac{r_\pi}{r_\pi + R_B} = \frac{2000}{2000 + 2200} = 0.4762 \end{aligned}$$

اس مساوات کے پہلی جزو کے بائیں ہاتھ کے دو متغیرات  $v_o$  اور  $i_c$  کے قیمتیں دور حل کرنے کے بعد ہی ہمیں معلوم ہوتی ہیں جبکہ مساوات کے دائیں ہاتھ پر  $-R_C$  کی قیمت  $-10\,000$  ہمیں دور حل کرنے سے پہلے ہی معلوم ہے۔ یوں اگرچہ دور حل کرنے سے پہلے ہمیں نہ تو  $v_o$  کی قیمت معلوم ہے اور نہ ہی  $i_c$  کی، مگر اس مساوات کے تحت ہم جانتے ہیں کہ  $\frac{v_o}{i_c}$  ہر صورت  $-10\,000$  کے برابر ہو گا۔

اسی طرح مندرجہ بالا مساوات کے دوسرے جزو میں بائیں ہاتھ  $i_c$  اور  $v_{be}$  کی قیمتیں صرف دور حل کرنے کے بعد ہی ہمیں معلوم ہوتی ہیں جبکہ دائیں ہاتھ  $g_m$  کی قیمت  $0.04$  ہمیں پہلے سے معلوم ہے۔ یوں اگرچہ دور حل کرنے سے پہلے ہمیں نہ تو  $i_c$  کی قیمت معلوم ہے اور نہ ہی  $v_{be}$  کی، مگر ہم جانتے ہیں کہ  $\frac{i_c}{v_{be}}$  ہر صورت  $0.04$  کے برابر ہو گا۔

اسی طرح مساوات کے تیسرے جزو سے ہم جانتے ہیں کہ  $\frac{v_{be}}{v_s}$  کی قیمت ہر صورت  $0.4762$  رہے گی۔

آئیں ان معلومات کو زیر استعمال لاتے ہوئے  $A_v$  حاصل کریں۔ جیسے شکل 3.95 میں دکھایا گیا ہے،  $A_v$  کو زنجیری ضرب سے یوں لکھا جاسکتا ہے۔

$$(3.226) \quad A_v = \frac{v_o}{v_s} = \left( \frac{v_o}{i_c} \right) \times \left( \frac{i_c}{v_{be}} \right) \times \left( \frac{v_{be}}{v_s} \right)$$

مندرجہ بالا مساوات میں تینوں قوسین میں بند تناسب کے قیمتیں مساوات 3.225 میں دی گئی ہیں۔ یوں اگرچہ دور حل کرنے سے قبل، مساوات 3.226 کے دائیں جانب متغیرات (یعنی  $v_o, i_c, v_{be}$  وغیرہ) کی قیمتیں ہم نہیں جانتے لیکن مساوات 3.225 کی مدد سے ان تینوں نسبت کے قیمتیں ہم جانتے ہیں اور یوں ہم اس سے  $A_v$  کی قیمت حاصل کر سکتے ہیں یعنی

$$(3.227) \quad A_v = -10000 \times 0.04 \times 0.4762 = -190 \frac{V}{V}$$

زنجیری ضرب لکھتے وقت مندرجہ ذیل نقاط یاد رکھیں۔

1. باریک اشاراتی دور حل کرنے سے پہلے ہمیں دور میں کہیں پر بھی برقی دباؤ یا برقی رو کے مقدار معلوم نہیں ہوتے۔ (یہاں اگرچہ آپ کہہ سکتے ہیں کہ  $v_s$  داخلی اشارہ ہونے کے ناطے ہمیں قبل از حل معلوم ہے لیکن یاد رہے کہ ایسی صورت بھی پیدا ہو سکتی ہے جہاں  $v_s$  بھی معلوم نہ ہو)۔
2. اس کے برعکس دور کے تمام مزاحمت کے قیمت اور ریاضی نمونہ کے تمام جزو (مستلاً  $g_m$  ،  $r_{\pi}$  اور  $\beta$ ) کے قیمت ہمیں پہلے سے معلوم ہوتے ہیں۔
3. یوں زنجیری ضرب کی خاطر قوسین لکھتے ہوئے مساواتوں کے بائیں ہاتھ پر صرف نا معلوم مقدار یعنی برقی دباؤ یا برقی رو پائے جائیں گے جبکہ ان کے دائیں ہاتھ معلوم متغیرات یعنی مزاحمت یا ریاضی نمونہ کے جزو پائے جائیں گے۔
4. زنجیری ضرب لکھتے ہوئے ایمپلیفائر کے خارجی نقطے سے شروع کرتے ہوئے داخلی جانب چلتے ہوئے زنجیر کی کڑی جوڑتے رہیں۔
5. زنجیری ضرب کی ہر نئی کڑی (قوسین) میں اوپر لکھا متغیرہ گزشتہ کڑی (قوسین) کا نچلا متغیرہ ہو گا۔

مساوات 3.226 کے زنجیری ضرب پر دوبارہ غور کرتے ہیں۔ زنجیری ضرب شکل 3.95 کو دیکھتے ہوئے یوں لکھا جاتا ہے۔ ہم جانتے ہیں کہ

$$A_v = \frac{v_o}{v_s}$$

ہوتا ہے مگر ہمیں  $v_0$  معلوم نہیں۔ البتہ شکل سے ہم دیکھتے ہیں کہ

$$\frac{v_o}{i_c} = -R_C = -10\,000$$

ہے اور یوں ہمیں  $\frac{v_o}{i_c}$  کی قیمت معلوم ہے۔ اس طرح  $A_v$  کی مساوات کو یوں لکھا جاسکتا ہے

$$A_v = \left( \frac{v_o}{i_c} \right) \times \left( \frac{i_c}{v_s} \right)$$

آپ دیکھ سکتے ہیں کہ اس مساوات میں تمام متغیرات صرف نا معلوم برقی دباؤ یا برقی رو ہیں۔ مزید یہ کہ دوسری قوسین یعنی  $\left( \frac{i_c}{v_s} \right)$  میں اوپر  $i_c$  لکھا گیا ہے جو اس سے پہلے قوسین میں نیچے لکھا گیا ہے۔ مندرجہ بالا مساوات

میں اگرچہ ہمیں پہلی قوسین کی قیمت معلوم ہے لیکن مسئلہ ابھی بھی حل نہیں ہوا چونکہ دوسری قوسین کی قیمت ہمیں معلوم نہیں۔ شکل سے ہم دیکھتے ہیں کہ اگرچہ  $i_c$  کی قیمت ہم نہیں جانتے لیکن ہم جانتے ہیں کہ

$$\frac{i_c}{v_{be}} = g_m = 0.04$$

کے برابر ہے۔ اس طرح  $A_v$  کی مساوات کو یوں لکھا جاسکتا ہے

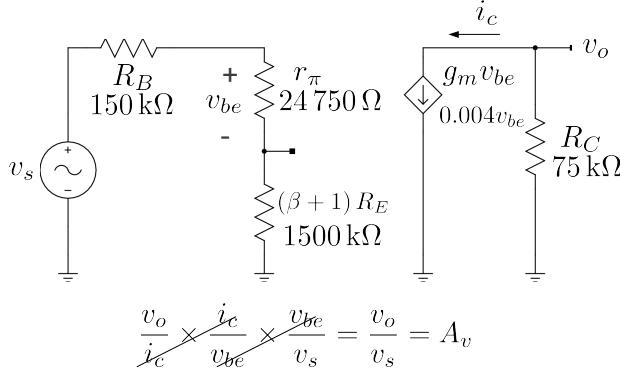
$$A_v = \left( \frac{v_o}{i_c} \right) \times \left( \frac{i_c}{v_{be}} \right) \times \left( \frac{v_{be}}{v_s} \right)$$

یہاں پہنچ کر ہم دیکھتے ہیں کہ تمام قوسین کی قیمتیں ہم جانتے ہیں اور یوں  $A_v$  کی قیمت حاصل کی جاسکتی ہے۔ اس بات پر بھی توجہ دیں کہ تیسری قوسین میں کسر میں اوپر  $v_{be}$  لکھا گیا ہے جو کہ اس سے پہلے قوسین میں بند کسر میں نیچے لکھا گیا ہے۔

آپ اس طریقہ کار پر ایک مرتبہ دوبارہ نظر ڈالیں۔ ہم دور کے خارجی جانب  $v_o$  سے شروع کرتے ہوئے داخلی جانب  $v_s$  کی طرف قدم بڑھاتے ہوئے قوسین شامل کئے جاتے ہیں۔ اس عمل کا مشق کرنے کے بعد آپ دیکھیں گے کہ آپ مساوات 3.226 کے طرز کی مساوات شکل کو دیکھتے ہی لکھ سکیں گے۔ زنجیری ضرب کا یہ طریقہ نہایت اہم ہے جسے ہم عموماً استعمال کریں گے۔

مثال 3.45: مثال 3.42 کو زنجیری ضرب کے طریقے سے حل کریں۔ حل: شکل 3.96 میں درکار باریک اشاراتی مساوی دور دکھایا گیا ہے جس کے لئے ہم مندرجہ ذیل مساوات لکھ سکتے ہیں۔

$$\begin{aligned} v_o &= -i_c R_C \\ i_c &= g_m v_{be} \\ v_{be} &= \frac{r_\pi v_s}{R_B + r_\pi + (\beta + 1) R_E} \end{aligned} \quad (3.228)$$



شکل 3.96: زنجیری ضرب کی ایک اور مثال

جن سے مندرجہ ذیل کسر حاصل کئے جاسکتے ہیں۔

$$\begin{aligned}
 \frac{v_o}{i_c} &= -R_C = -75000 \\
 \frac{i_c}{v_{be}} &= g_m = 0.004 \\
 \frac{v_{be}}{v_s} &= \frac{r_\pi}{R_B + r_\pi + (\beta + 1)R_E} \\
 &= \frac{24750}{150000 + 24750 + (99 + 1) \times 15000} \\
 &= 0.014778325
 \end{aligned}
 \tag{3.229}$$

ان کی مدد سے ہم لکھ سکتے ہیں

$$\begin{aligned}
 A_v &= \left( \frac{v_o}{i_c} \right) \times \left( \frac{i_c}{v_{be}} \right) \times \left( \frac{v_{be}}{v_s} \right) \\
 &= (-75000) \times (0.004) \times (0.014778325) \\
 &= -4.433 \frac{\text{V}}{\text{V}}
 \end{aligned}
 \tag{3.230}$$

مندرجہ بالا مساوات کو یوں لکھا جاسکتا ہے۔ خارجی سرے سے شروع کرتے ہم دیکھتے ہیں کہ  $v_o = -i_c R_C$  ہے اور یوں  $v_o$  کو  $i_c$  کی مدد سے لکھا جاسکتا ہے۔ اگلے قدم پر ہم نے یہ دیکھنا ہے کہ  $i_c$  کو کیسے لکھا جاسکتا

ہے۔ ہم دیکھتے ہیں کہ  $i_c = \beta v_{be}$  ہے اور یوں  $i_c$  کو  $v_{be}$  کی مدد سے لکھا جاسکتا ہے۔ تیسرے قدم پر ہم دیکھتے ہیں کہ  $v_{be}$  کو  $v_s$  کی مدد سے لکھا جاسکتا ہے۔

مثال 3.46: شکل 3.97 الف کے ایمپلیفائر میں

$$\begin{aligned} V_{CC} &= 15 \text{ V} & \beta &= 179 \\ R_C &= 75 \text{ k}\Omega & R_E &= 15 \text{ k}\Omega \\ R_1 &= 320 \text{ k}\Omega & R_2 &= 1.7 \text{ M}\Omega \\ R_S &= 5 \text{ k}\Omega & R_L &= 375 \text{ k}\Omega \end{aligned}$$

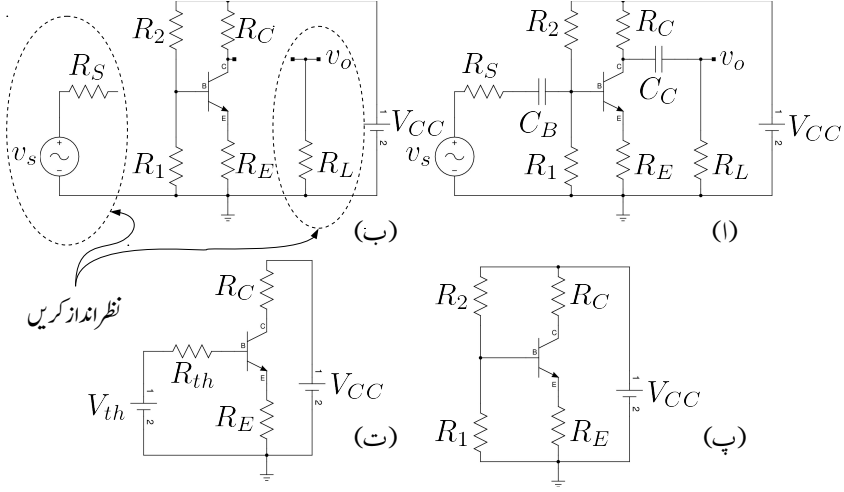
ہیں۔ ایمپلیفائر کی افزائش برقی دباؤ  $A_v = \frac{v_o}{v_s}$  حاصل کریں۔

حل: پہلے یک سمتی متغیرات حاصل کرتے ہیں۔ ایمپلیفائر میں عموماً کپیسٹر استعمال کئے جاتے ہیں جن کا ایک اہم مقصد یک سمتی برقی دباؤ اور یک سمتی برقی رو کو دور کے محدود حصے کے اندر رکھنا ہوتا ہے۔ عموماً ان کپیسٹر کی قیمت اتنی رکھی جاتی ہے کہ اشارات کے تعدد پر ان کپیسٹر کی برقی رکاوٹ کم سے کم ہو۔ یوں اشارات بغیر گھٹے ان سے گزر سکتے ہیں۔ چونکہ کپیسٹر یک سمتی متغیرات کے لئے کھلے دور کے طور کام کرتا ہے لہذا بدلتے اشارات کے ساتھ منسلک دور کے حصہ ٹرانزسٹر کے نقطہ کارکردگی کو متاثر نہیں کر سکتے چونکہ ان تک یک سمتی متغیرات کی رسائی نہیں ہوتی۔ ہم ایمپلیفائر ادوار میں تصور کریں گے کہ بدلتے اشارات کے لئے کپیسٹر قصر دور کے طور کام کرتے ہیں اور یک سمتی متغیرات کے لئے یہ کھلے دور کے طور کام کرتے ہیں۔ جہاں ایسا تصور نہ کرنا ہو وہاں بتلایا جائے گا۔

مساوی یک سمتی دور حاصل کرنے کی غرض سے شکل ب میں کپیسٹروں کو کھلے دور کر دیا گیا ہے۔ یوں آپ دیکھ سکتے ہیں کہ دو جگہ دور کے حصے یک سمتی دور سے منقطع ہو جاتے ہیں۔ انہیں نقطے دار لکیروں میں گھیرا دکھایا گیا ہے۔ ان حصوں کو نظر انداز کرتے ہوئے شکل پ حاصل ہوتا ہے۔

شکل 3.97 پ کا صفحہ 242 پر شکل 3.17 الف کے ساتھ موازنہ کرنے سے صاف ظاہر ہوتا ہے کہ دونوں اشکال بالکل یکساں ہیں۔ اس بات کو یہاں اچھی طرح سمجھ کر آگے بڑھیں کہ ٹرانزسٹر ایمپلیفائر میں باریک اشارات کو بذریعہ کپیسٹروں کے یوں منتقل کیا جاتا ہے کہ ٹرانزسٹر کا نقطہ کارکردگی متاثر نہ ہو۔





شکل 3.97: یک سمتی اور بدلے متغیرات کے علیحدگی کی مثال

مسئلہ تھونن کی مدد سے شکل ت میں اسی یک سمتی دور کو دوبارہ دکھایا گیا ہے جہاں

$$V_{th} = \frac{R_1 V_{CC}}{R_1 + R_2} = \frac{320 \times 10^3 \times 15}{320 \times 10^3 + 1.7 \times 10^6} = 2.37624 \text{ V}$$

$$R_{th} = \frac{R_1 R_2}{R_1 + R_2} = \frac{320 \times 10^3 \times 1.7 \times 10^6}{320 \times 10^3 + 1.7 \times 10^6} = 269.3 \text{ k}\Omega$$

آئیں یک سمتی متغیرات حاصل کریں۔

$$\begin{aligned} I_C &= \frac{V_{th} - V_{BE}}{\frac{R_{th}}{\beta+1} + R_E} \\ &= \frac{2.37624 - 0.7}{\frac{269.3 \times 10^3}{179+1} + 15 \times 10^3} \\ &= 0.1016 \text{ mA} \end{aligned}$$

$$\begin{aligned} V_{CE} &\approx V_{CC} - I_C (R_C + R_E) \\ &= 15 - 0.1016 \times 10^{-3} \times (75 \times 10^3 + 15 \times 10^3) \\ &= 5.856 \text{ V} \end{aligned}$$

چونکہ حاصل  $V_{CE} > 0.2 \text{ V}$  لہذا ٹرانزسٹر افزائندہ ہے۔ ٹرانزسٹر کے  $\pi$  ریاضی نمونہ کے جزو حاصل کرتے ہیں۔

$$g_m = \frac{I_C}{V_T} = \frac{0.1016 \times 10^{-3}}{25 \times 10^{-3}} = 4.046 \text{ mS}$$

$$r_{be} = \frac{\beta}{g_m} = \frac{179}{4.064 \times 10^{-3}} = 44.045 \text{ k}\Omega$$

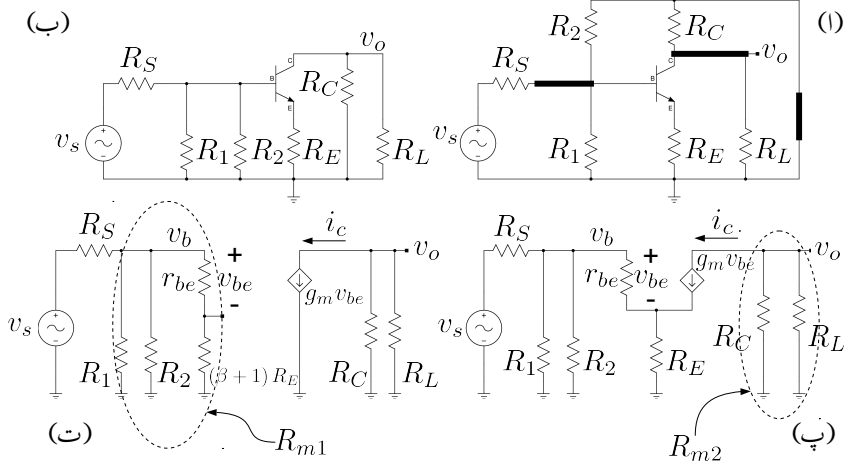
$$r_e \approx \frac{1}{g_m} = 246 \Omega$$

جیسے پہلے ذکر ہوا کہ ایمپلیفائر میں کپیسٹر کی قیمت اتنی رکھی جاتی ہے کہ باریک اشارہ کے تعدد پر ان کی برقی رکاوٹ ( $X_C$ ) قابلِ نظر انداز ہو۔ یوں مساوی بدلتا دور بناتے وقت تمام کپیسٹر کو قصر دور کر دیا جاتا ہے۔ شکل 3.98 الف میں یوں منبع برقی دباؤ  $V_{CC}$  کے علاوہ کپیسٹر  $C_C$  اور  $C_B$  کو بھی قصر دور کیا گیا ہے۔ ان قصر دور کو موٹی کلیروں سے واضح کیا گیا ہے۔ ایسا کرنے سے  $R_C$  کے علاوہ  $R_2$  کا بھی ایک سرا برقی زمین سے جا جڑتا ہے۔ اسی کو شکل ب میں صاف ستھرا بنا کر دکھایا گیا ہے۔ یہاں رک کر تسلی کر لیں کہ آپ کو شکل الف اور شکل ب یکساں نظر آتے ہیں چونکہ اس عمل کی بار بار ضرورت پڑے گی۔ اس شکل میں  $R_C$  اور  $R_L$  صاف متوازی جڑے نظر آتے ہیں۔ شکل ب میں ٹرانزسٹر کی جگہ  $\pi$  ریاضی نمونہ نسب کرنے سے شکل پ حاصل ہوتا ہے۔ یہاں داخلی اور خارجی حصوں کو علیحدہ علیحدہ کرتے ہوئے عکس  $R_E (\beta + 1)$  کے استعمال سے شکل ت حاصل ہوتا ہے۔ شکل 3.98 ت سے زنجیری ضرب کی ذریعہ  $A_v$  حاصل کیا جاتا ہے۔ ایسا کرنے سے پہلے ایک چھوٹے سے نکتے پر غور کرتے ہیں۔ شکل ت میں ٹرانزسٹر کے بیس سرے پر برقی دباؤ کو  $v_b$  لکھا گیا ہے۔ شکل ت میں  $R_1$ ،  $R_2$  اور  $[r_{be} + (\beta + 1)R_E]$  آپس میں متوازی جڑے ہیں۔ ان متوازی جڑے مزاحمتوں کی کل قیمت کو  $R_{m1}$  لکھتے ہیں جہاں

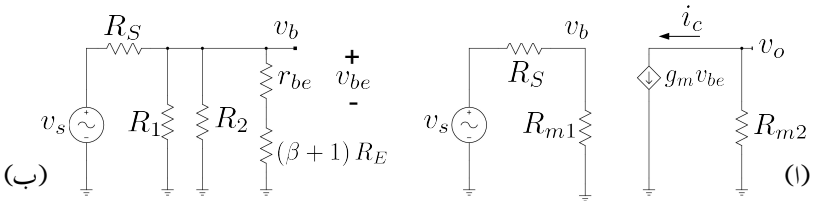
$$(3.231) \quad \frac{1}{R_{m1}} = \frac{1}{R_1} + \frac{1}{R_2} + \frac{1}{r_{be} + (\beta + 1)R_E}$$

شکل (ت) سے زنجیری ضرب لکھ کر  $A_v$  حاصل کیا جاتا ہے۔ ایسا کرنے سے پہلے  $v_b$  پر غور کرتے ہیں۔ شکل 3.99 الف میں متوازی جڑے مزاحمتوں  $R_{m1}$  اور  $R_{m2}$  کو استعمال کرتے ہوئے اسی دور کو بنایا گیا ہے جس سے اس دور کا سادہ پن اجاگر ہوتا ہے۔ شکل 3.99 ب میں دور کا صرف داخلی جانب دکھایا گیا ہے۔ شکل 3.99 الف سے ہم لکھ سکتے ہیں۔

$$v_b = \frac{R_{m1}v_s}{R_{m1} + R_S}$$



شکل 3.98: باریک اشاراتی دور

شکل 3.99:  $v_b$  اور  $v_{be}$  کا حصول

اس مساوات سے  $v_b$  حاصل کرنے کے بعد شکل ب کو دیکھتے ہوئے ہم لکھ سکتے ہیں۔

$$v_{be} = \frac{r_{be} v_b}{r_{be} + (\beta + 1) R_E}$$

مندرجہ بالا دو مساوات سے مندرجہ ذیل قوسین حاصل ہوتے ہیں جنہیں  $A_v$  حاصل کرنے میں استعمال کیا جائے گا۔

$$(3.232) \quad \frac{v_b}{v_s} = \frac{R_{m1}}{R_{m1} + R_S}$$

$$(3.233) \quad \frac{v_{be}}{v_b} = \frac{r_{be}}{r_{be} + (\beta + 1) R_E}$$

آئیں اب  $A_v$  حاصل کریں۔ شکل 3.98 ت کو دیکھتے ہوئے اور شکل 3.99 کو ذہن میں رکھتے ہوئے ہم لکھ سکتے ہیں۔

$$(3.234) \quad A_v = \left( \frac{v_o}{i_c} \right) \left( \frac{i_c}{v_{be}} \right) \left( \frac{v_{be}}{v_b} \right) \left( \frac{v_b}{v_s} \right)$$

اس مساوات پر غور کریں۔ یہ گزشتہ مثالوں سے قدر مختلف ہے چونکہ یہاں ایک قوسین زیادہ ہے۔ آئیں تمام قوسین کی قیمتیں استعمال کرتے ہوئے اس مساوات کو حل کریں۔ پہلے درکار قیمتیں حاصل کرتے ہیں یعنی

$$\frac{1}{R_{m1}} = \frac{1}{320 \times 10^3} + \frac{1}{1.7 \times 10^6} + \frac{1}{44045 + (179 + 1) \times 15 \times 10^3}$$

$$R_{m1} = 245.2386 \text{ k}\Omega$$

$$\frac{1}{R_{m2}} = \frac{1}{75000} + \frac{1}{375000}$$

$$R_{m2} = 62.5 \text{ k}\Omega$$

$$\frac{v_o}{i_c} = -R_{m2} = -62500$$

$$\frac{i_c}{v_{be}} = g_m = 0.004064$$

$$\frac{v_{be}}{v_b} = \frac{r_{be}}{r_{be} + (\beta + 1) R_E} = \frac{44045}{44045 + (179 + 1) \times 15000} = 0.01605$$

$$\frac{v_b}{v_s} = \frac{R_{m1}}{R_{m1} + R_S} = \frac{245238.6}{245238.6 + 5000} = 0.980019$$

اور یوں

$$A_v = -62500 \times 0.004064 \times 0.01605 \times 0.980019 = -3.9952 \frac{V}{V}$$

حاصل ہوتا ہے۔

آئیں اسی افزائش کو صفحہ 354 پر دئے مساوات 3.217 کی مدد سے حاصل کریں۔ ایسا کرنے کی خاطر پہلے دور کو مخصوص شکل میں لایا جائے گا۔ اس شکل میں ٹرانزسٹر کے بیس جانب بدلتا اشارہ اور مزاحمت سلسلہ وار جڑے ہونے چاہئے۔ پہلے یہی کرتے ہیں۔

شکل 3.98 ب میں ٹرانزسٹر کے داخلی جانب کے حصے کو شکل 3.100 الف میں دکھایا گیا ہے۔ اس کا تھونن مساوی دور حاصل کرتے ہیں۔ متوازی جڑے  $R_1$  اور  $R_2$  کی مجموعی مزاحمت کو  $R_{12}$  کہتے ہوئے

$$\begin{aligned} R_{12} &= \frac{R_1 R_2}{R_1 + R_2} \\ &= \frac{320 \times 10^3 \times 1.7 \times 10^6}{320 \times 10^3 + 1.7 \times 10^6} \\ &= 269.3 \text{ k}\Omega \end{aligned}$$

حاصل ہوتا ہے۔ اس قیمت کو استعمال کرتے ہوئے تھونن مساوی دور میں حاصل مزاحمت کو  $R'_i$  اور حاصل برقی دباؤ کے اشارے کو  $v'_i$  لکھتے ہوئے

$$\begin{aligned} R'_i &= \frac{R_S R_{12}}{R_S + R_{12}} \\ &= \frac{5 \times 10^3 \times 269.3 \times 10^3}{5 \times 10^3 + 269.3 \times 10^3} \\ &= 4.91 \text{ k}\Omega \\ v'_i &= \left( \frac{R_{12}}{R_S + R_{12}} \right) v_s \\ &= \left( \frac{269.3 \times 10^3}{5000 + 269.3 \times 10^3} \right) v_s \\ &= 0.98177 v_s \end{aligned}$$

حاصل ہوتے ہیں۔ یوں

$$\begin{aligned}\sum R_C &= \frac{R_C R_L}{R_C + R_L} \\ &= \frac{75 \times 10^3 \times 375 \times 10^3}{75 \times 10^3 + 375 \times 10^3} \\ &= 62.5 \text{ k}\Omega\end{aligned}$$

$$\begin{aligned}\sum R_E &= \frac{R'_i}{\beta + 1} + r_e + R_E \\ &= \frac{4910}{179 + 1} + 246 + 15000 \\ &= 15.273 \text{ k}\Omega\end{aligned}$$

حاصل ہوتے ہیں۔  $\alpha = \frac{179}{179+1} = 0.994444$  لیتے ہوئے مساوات 3.217 سے

$$\begin{aligned}\frac{v_o}{v'_i} &= -\alpha \frac{\sum R_C}{\sum R_E} \\ &= -0.994444 \times \frac{62.5 \times 10^3}{15.273 \times 10^3} \\ &= -4.0693 \frac{\text{V}}{\text{V}}\end{aligned}$$

حاصل ہوتا ہے جس سے

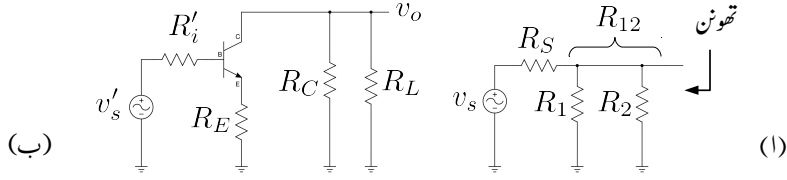
$$\begin{aligned}A_v &= \frac{v_o}{v'_i} \times \frac{v'_i}{v_s} \\ &= -4.0693 \times 0.98177 \\ &= -3.995 \frac{\text{V}}{\text{V}}\end{aligned}$$

حاصل ہوتا ہے۔ آپ مساوات 3.217 کی قوت استعمال سے متاثر ہو سکتے ہیں۔

$R_S$  کو ایمپلیفائر کا حصہ تصور نہیں کرتے ہوئے باریک اشاراتی داخل مزاحمت  $r_i$  شکل 3.98 ت سے حاصل کرتے ہیں جہاں ہم دیکھتے ہیں کہ یہ دراصل  $R_{m1}$  ہی ہے اور یوں

$$r_i = R_{m1} = 245.2386 \text{ k}\Omega$$

حاصل ہوتا ہے۔ آپ دیکھ سکتے ہیں کہ باریک اشاراتی داخلی مزاحمت کا دار و مدار  $R_1$ ،  $R_2$  اور ٹرانزسٹر کے بیس سرے پر دیکھتے ہوئے مزاحمت  $(r_{be} + (\beta + 1)R_E)$  پر ہے۔ ان تمام قیمتوں میں عموماً  $r_{be}$  کی قیمت نسبتاً کم ہوتی ہے۔



شکل 3.100: کل کلکٹر اور ایمرز ماحتمول کے شرح سے افزائش کا حصول

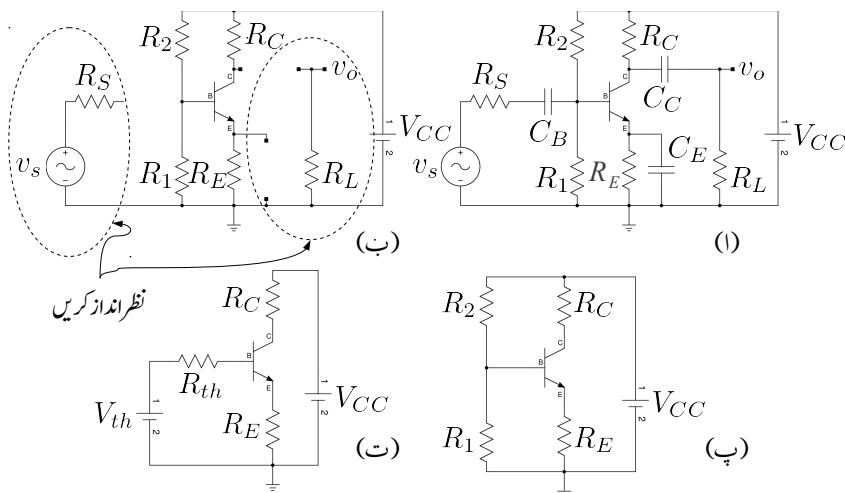
مثال 3.47: شکل 3.97 الف میں  $R_E$  کے متوازی کپیسٹر  $C_E$  نسب کریں جہاں  $C_E$  کی قیمت اتنی ہے کہ یہ اشارہ کو کم سے کم گھٹاتا ہے۔ اس ایمپلیفائر کی داخلی مزاحمت  $r_i$  اور افزائش  $A_v$  حاصل کریں۔

$$\begin{aligned} V_{CC} &= 15 \text{ V} & \beta &= 179 \\ R_C &= 75 \text{ k}\Omega & R_E &= 15 \text{ k}\Omega \\ R_1 &= 320 \text{ k}\Omega & R_2 &= 1.7 \text{ M}\Omega \\ R_S &= 5 \text{ k}\Omega & R_L &= 375 \text{ k}\Omega \end{aligned}$$

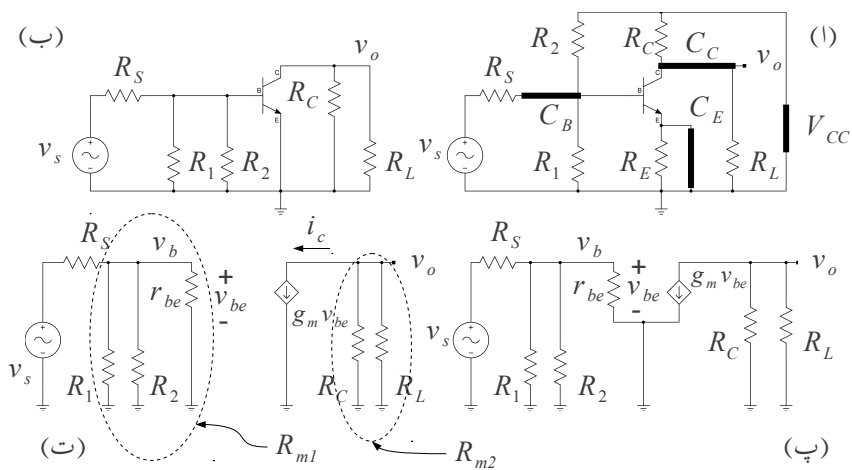
حل: کپیسٹر سمیت دور کو شکل 3.102 الف میں دکھایا گیا ہے۔ اس کا مساوی یک سمتی دور حاصل کرنا شکل ب، پ اور ت میں دکھایا گیا ہے۔ آپ دیکھ سکتے ہیں کہ کپیسٹر  $C_E$  کے شمولیت سے بھی ٹرانزسٹر کے نقطہ کارکردگی پر کسی قسم کا کوئی اثر نہیں پڑا۔ یوں پچھلی مثال کے نتائج یہاں استعمال کئے جاسکتے ہیں یعنی

$$\begin{aligned} g_m &= 4.064 \text{ mS} \\ r_{be} &= 44.045 \text{ k}\Omega \\ r_e &\approx 246 \Omega \end{aligned}$$

شکل 3.102 میں اس کا مساوی باریک اشاراتی دور حاصل کرنا دکھایا گیا ہے۔ جیسا شکل 3.102 الف میں دکھایا گیا ہے، چونکہ  $C_E$  باریک اشارات کے لئے قصر دور ہوتا ہے لہذا  $R_E$  بھی قصر دور ہو جاتا ہے اور یہ باریک اشاراتی



شکل 3.101: مثال کا مساوی یک سمتی دور



شکل 3.102: مثال کا مساوی ہار یک اشاراتی دور



دور کا حصہ نہیں بنتا۔ یوں شکل ت سے

$$\frac{1}{R_{m1}} = \frac{1}{R_1} + \frac{1}{R_2} + \frac{1}{r_{be}}$$

$$\frac{1}{R_{m2}} = \frac{1}{R_L} + \frac{1}{R_C}$$

حاصل ہوتا ہے جن سے

$$\frac{1}{R_{m1}} = \frac{1}{320 \times 10^3} + \frac{1}{1.7 \times 10^6} + \frac{1}{44045}$$

$$R_{m1} = 37.854 \text{ k}\Omega$$

اور

$$\frac{1}{R_{m2}} = \frac{1}{75 \times 10^3} + \frac{1}{37.5 \times 10^3}$$

$$R_{m2} = 62.5 \text{ k}\Omega$$

قیمتیں ملتی ہیں۔ شکل سے زنجیری ضرب لکھتے ہوئے ہم دیکھتے ہیں کہ اس مثال میں  $v_b$  ہی  $v_{be}$  ہے۔ یوں

$$A_v = \left( \frac{v_o}{i_c} \right) \left( \frac{i_c}{v_{be}} \right) \left( \frac{v_{be}}{v_s} \right)$$

لکھا جائے گا جہاں

$$\frac{v_o}{i_c} = -R_{m2} = -62500$$

$$\frac{i_c}{v_{be}} = g_m = 0.004064$$

$$\frac{v_{be}}{v_s} = \frac{R_{m1}}{R_{m1} + R_s} = \frac{37.854 \times 10^3}{37.854 \times 10^3 + 5 \times 10^3} = 0.8833$$

جس سے

$$A_v = (-62500) \times (0.004064) \times (0.8833) = 224 \frac{\text{V}}{\text{V}}$$

حاصل ہوتی ہے۔ گزشتہ مثال کی افزائش کے ساتھ موازنہ کرنے سے معلوم ہوتا ہے کہ  $C_E$  نسب کرنے سے افزائش بہت زیادہ بڑھ گئی ہے۔ اس کو مساوات 3.217 یعنی

$$A_v = -\alpha \frac{\sum R_C}{\sum R_E}$$

کی مدد سے با آسانی سمجھا جاسکتا ہے۔ چونکہ باریک اشارات کے لئے  $C_E$  بطور قصر دور کام کرتا ہے لہذا

$$\sum R_E = \frac{R_{th}}{\beta + 1} + r_e$$

رہ جاتا ہے جبکہ

$$\sum R_C = R_{m2}$$

ہی ہے۔  $\sum R_E$  کم ہونے کی وجہ سے افزائش میں اضافہ پیدا ہوا ہے۔ اس حقیقت کو سمجھ کر یاد رکھیں۔

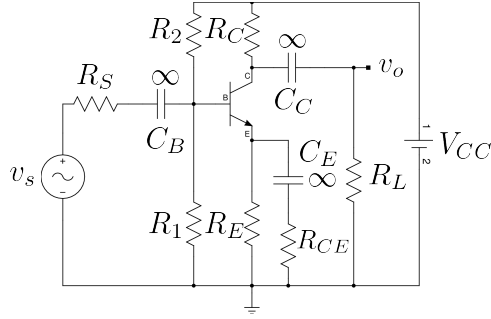
شکل سے باریک اشاراتی داخلی مزاحمت حاصل کرتے ہیں۔

$$r_i = R_{m1} = 37.854 \text{ k}\Omega$$

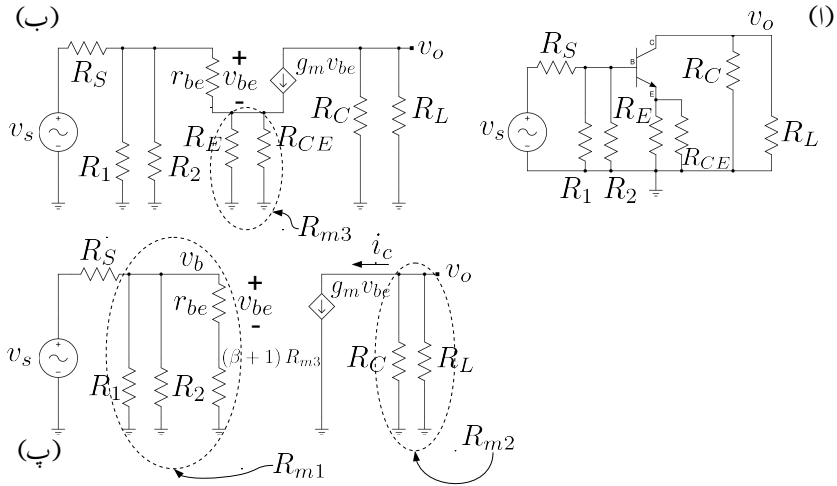
جہاں  $R_S$  کو ایمپلیفائر کا حصہ نہیں تصور کیا گیا ہے۔ گزشتہ ایمپلیفائر کے ساتھ موازنہ کرنے سے ہم دیکھتے ہیں کہ داخلی مزاحمت بہت کم ہو گئی ہے۔ باریک اشارات کے لئے کپیسٹر  $C_E$  بطور قصر دور کام کرتا ہے اور یوں ٹرانزسٹر کے بیس سرے پر دیکھتے ہوئے ہمیں صرف  $r_{be}$  نظر آتا ہے۔ داخلی مزاحمت متوازی جڑے  $R_1$ ،  $R_2$  اور  $r_{be}$  پیدا کرتے ہیں اور یوں اس کی قیمت کم ہو گئی ہے۔

مندرجہ بالا دو مثالوں سے ہم دیکھتے ہیں کہ  $R_E$  اور  $C_E$  کے استعمال سے باریک اشاراتی داخلی مزاحمت  $r_i$  اور افزائش  $A_v$  متاثر ہوتے ہیں۔ ان میں ایک بڑھانے سے دوسرا گھٹتا ہے۔

مثال 3.48: کپیسٹر  $C_E$  اور مزاحمت  $R_{CE}$  سلسلہ وار جوڑتے ہوئے انہیں شکل 3.97 الف میں  $R_E$  کے متوازی نسب کریں۔ حاصل ایمپلیفائر کی داخلی مزاحمت  $r_i$  اور افزائش  $A_v$  حاصل کریں۔  $R_{CE}$  کی قیمت  $100 \Omega$  رکھیں۔ حل: شکل 3.103 میں دور دکھایا گیا ہے۔ کپیسٹر کی برقی رکاوٹ  $Z_C = \frac{1}{j\omega C}$  ہوتی ہے۔ کسی بھی تعدد پر کپیسٹر کی قیمت بڑھا کر اس کی برقی رکاوٹ کی قیمت کم کی جاسکتی ہے۔ جیسا پہلے بتلایا گیا کہ باریک اشارات کو بغیر گھٹائے منتقل کرنے کی خاطر کپیسٹر کی قیمت زیادہ سے زیادہ رکھی جاتی ہے۔ شکل میں کپیسٹر



شکل 3.103: یک سمتی اور باریک اشارات کے علیحدگی کی ایک اور مثال



شکل 3.104: مثال کا باریک اشاراتی دور

پر لامحدود کا نشان ( $\infty$ ) اسی حقیقت کو بیان کرتا ہے جہاں اس کا مطلب یوں لیا جاتا ہے کہ باریک اشارات کے تعدد پر  $|Z_C|$  کی قیمت صفر لی جائے۔

اس دور کا بھی یک سمتی مساوی دور پہلی مثالوں کی طرح رہے گا اور یوں وہاں کے نتائج یہاں قابل استعمال ہیں۔ باریک اشاراتی دور کا حصول شکل 3.104 میں دکھایا گیا ہے۔ باریک اشاراتی دور میں  $R_E$  اور  $R_{CE}$  متوازی جڑے ہیں جنہیں  $R_{m3}$  کہا گیا ہے۔ یوں

$$\frac{1}{R_{m1}} = \frac{1}{R_1} + \frac{1}{R_2} + \frac{1}{r_{be} + (\beta + 1) R_{m3}}$$

$$\frac{1}{R_{m2}} = \frac{1}{R_C} + \frac{1}{R_L}$$

$$\frac{1}{R_{m3}} = \frac{1}{R_E} + \frac{1}{R_{CE}}$$

لکھا جائے گا جن سے ان تمام کی قیمتیں حاصل کی جائیں گی۔  $R_{m2}$  اور  $R_{m3}$  کی قیمتیں پہلے حاصل کی جائیں گی۔ دور میں دی گئی معلومات کو اپنی سہولت کی خاطر یہاں دوبارہ لکھتے ہیں۔

$$V_{CC} = 15 \text{ V}$$

$$\beta = 179$$

$$R_C = 75 \text{ k}\Omega$$

$$R_E = 15 \text{ k}\Omega$$

$$R_1 = 320 \text{ k}\Omega$$

$$R_2 = 1.7 \text{ M}\Omega$$

$$R_S = 5 \text{ k}\Omega$$

$$R_L = 375 \text{ k}\Omega$$

$$R_{CE} = 100 \text{ }\Omega$$

اسی طرح یک سمتی حل کے بعد حاصل کئے گئے ریاضی نمونہ کے جزو بھی یہاں دوبارہ لکھتے ہیں۔

$$g_m = 4.064 \text{ S}$$

$$r_{be} = 44.045 \text{ k}\Omega$$

$$r_e \approx 246 \text{ }\Omega$$

اور انہیں استعمال کرتے ہوئے حاصل کرتے ہیں۔

$$\frac{1}{R_{m2}} = \frac{1}{75000} + \frac{1}{375000}$$

$$R_{m2} = 62.5 \text{ k}\Omega$$

$$\frac{1}{R_{m3}} = \frac{1}{15000} + \frac{1}{100}$$

$$R_{m3} = 99.3377 \text{ }\Omega$$

اور

$$\frac{1}{R_{m1}} = \frac{1}{320000} + \frac{1}{1700000} + \frac{1}{44045 + (179 + 1) \times 99.3377}$$

$$R_{m1} = 50.348 \text{ k}\Omega$$

شکل 3.104 پ سے ہم مندرجہ ذیل مساوات لکھ سکتے ہیں۔

$$\frac{v_o}{i_c} = -R_{m2} = -62500$$

$$\frac{i_c}{v_{be}} = g_m = 0.004064$$

$$\frac{v_b}{v_s} = \frac{R_{m1}}{R_{m1} + R_S} = \frac{50348}{50348 + 5000} = 0.9096625$$

$$\frac{v_{be}}{v_b} = \frac{r_{be}}{r_{be} + (\beta + 1)R_{m3}} = \frac{44045}{44045 + (179 + 1) \times 99.3377} = 0.711255$$

ان نتائج کو استعمال کرتے ہوئے شکل پ سے ہی  $A_v$  حاصل کرتے ہیں۔

$$A_v = \left( \frac{v_o}{i_c} \right) \left( \frac{i_c}{v_{be}} \right) \left( \frac{v_{be}}{v_b} \right) \left( \frac{v_b}{v_s} \right)$$

$$= (-62500) \times (0.004064) \times (0.711255) \times (0.9096625)$$

$$= -164 \frac{\text{V}}{\text{V}}$$

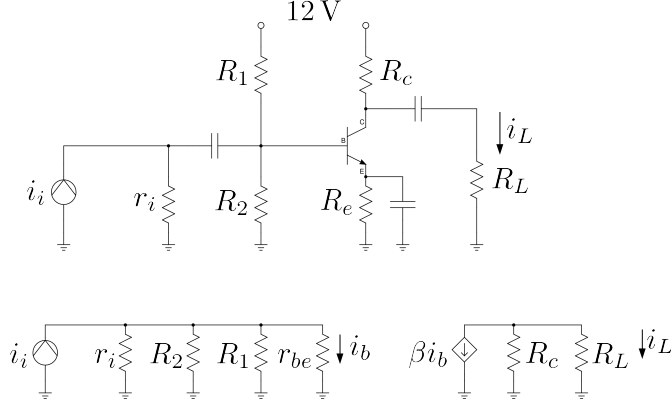
اسی شکل سے ایمپلیفائر کی باریک اشاراتی داخلی مزاحمت حاصل کرتے ہیں جو کہ  $R_{m1}$  کے برابر ہے۔ یوں

$$r_i = R_{m1} = 50.348 \text{ k}\Omega$$

حاصل ہوتا ہے۔ یاد رہے کہ مزاحمت  $R_S$  کو یہاں ایمپلیفائر کا حصہ تصور نہیں کیا گیا۔ اگر اس کو بھی شامل کیا جائے تب کل داخلی مزاحمت کی قیمت مندرجہ ذیل ہوگی۔

$$r_{i\text{کل}} = r_i + R_S = 55.348 \text{ k}\Omega$$

اس مثال میں ایک اہم بات سامنے آئی۔ کپیسٹر  $C_E$  اور مزاحمت  $R_{CE}$  کے استعمال سے یہ ممکن ہے کہ ہم ٹرانزسٹر ایمپلیفائر کی افزائش اپنے مرضی سے طے کر سکیں۔ اس مثال میں اگر  $R_{CE}$  کی قیمت صفر رکھی جائے تو زیادہ سے زیادہ افزائش حاصل ہوتی ہے اور اگر  $R_{CE}$  کی قیمت لا محدود کر دیا جائے تو کم سے کم افزائش حاصل



شکل 3.105: امپلیفائر کا تخلیق

ہوتی ہے۔  $R_{CE}$  کی قیمت ان حدود کے درمیان رکھتے ہوئے افزائش بھی دو حدود کے اندر کہیں پر بھی رکھی جا سکتی ہے۔ مساوات 3.217 یعنی

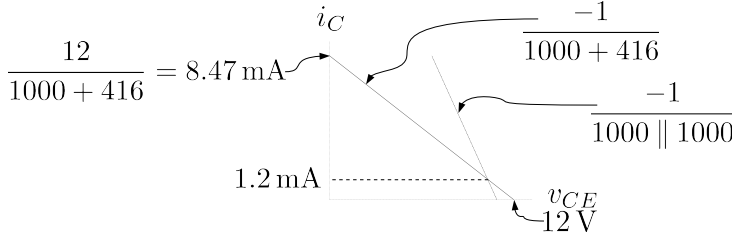
$$A_v = -\alpha \frac{\sum R_C}{\sum R_E}$$

کی مدد سے اس حقیقت کو با آسانی سمجھا جاسکتا ہے۔ اس مثال میں متوازی جڑے مزاحمت  $R_E$  اور  $R_{CE}$  کے کل مزاحمت کو  $\sum R_E$  کہیں گے۔ یہاں چونکہ  $R_E$  کو نقطہ کارکردگی تعین کرنے کی خاطر استعمال کیا گیا ہے لہذا اس کو تبدیل کئے بغیر  $A_v$  میں تبدیلی  $R_{CE}$  کی مدد سے حاصل کی جاسکتی ہے۔

مثال 3.49: شکل 3.105 میں  $R_L = 1 \text{ k}\Omega$  اور  $r_i = 5 \text{ k}\Omega$  جبکہ  $\beta = 120$  ہیں۔ برقی رو افزائش  $A_i = -30 \frac{\text{A}}{\text{A}}$  حاصل کرنے کی خاطر درکار مزاحمت حاصل کریں۔

حل: مساوی دور سے افزائش لکھتے ہیں

$$A_i = \frac{i_L}{i_i} = -30 = -120 \left( \frac{R_c}{R_c + R_L} \right) \left( \frac{r_{be}}{r_{be} + r_i \parallel R_1 \parallel R_2} \right)$$



شکل 3.106: خطوط بوجھ۔

جس سے

$$(3.235) \quad \frac{1}{4} = \left( \frac{R_c}{R_c + 1000} \right) \left( \frac{r_{be}}{r_{be} + 5000 \parallel R_1 \parallel R_2} \right)$$

حاصل ہوتا ہے۔ ایسی وہ تمام قیمتیں جو اس مساوات پر پورا اتریں درست جواب ہیں۔ آئیں ہم دونوں قوسین کی قیمتیں برابر رکھ کر دیکھیں۔ ایسا کرنے سے عموماً قابل قبول جوابات حاصل ہوتے ہیں۔ یوں

$$\frac{1}{2} = \left( \frac{R_c}{R_c + 1000} \right)$$

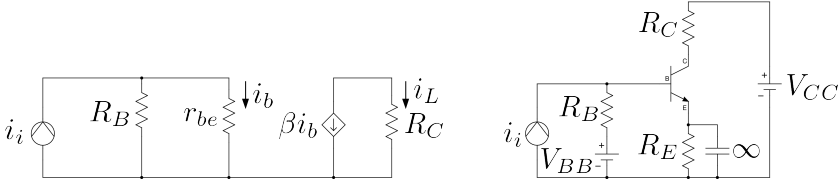
$$\frac{1}{2} = \left( \frac{r_{be}}{r_{be} + 5000 \parallel R_1 \parallel R_2} \right)$$

لیتے ہیں۔ یوں پہلی مساوات سے  $R_c = 1 \text{ k}\Omega$  حاصل ہوتا ہے۔ دوسرے مساوات میں  $R_1 \parallel R_2$  کو  $R_b$  لکھتے ہیں۔

$$\frac{1}{2} = \left( \frac{r_{be}}{r_{be} + 5000 \parallel R_b} \right)$$

اس مساوات میں دو نامعلوم متغیرات ہیں لہذا کسی ایک کی قیمت خود چننی ہوگی۔ اگر  $R_b = 5 \text{ k}\Omega$  رکھی جائے تب  $r_{be} = 2.5 \text{ k}\Omega$  حاصل ہوتا ہے۔ اگر  $R_b \rightarrow \infty$  تصور کی جائے تب  $r_{be} = 5 \text{ k}\Omega$  حاصل ہوتا ہے۔ آپ دیکھ سکتے ہیں کہ  $R_b$  تبدیل کرنے سے  $r_{be}$  کی قیمت پر خاص اثر نہیں ہوتا۔ یوں ہم  $R_b = 5 \text{ k}\Omega$  اور  $r_{be} = 2.5 \text{ k}\Omega$  رکھتے ہیں۔ مساوات 3.33 کی مدد سے  $R_e = 416 \Omega$  حاصل ہوتا ہے۔ چونکہ  $r_{be} = \frac{\beta V_T}{I_{CQ}}$  یعنی  $r_{be} = \frac{\beta}{g_m}$  ہوتا ہے لہذا  $I_{CQ} = 1.2 \text{ mA}$  حاصل ہوتا ہے۔

شکل 3.106 میں یک سمتی اور بدلتی رو خط بوجھ دکھائے گئے ہیں جہاں سے آپ دیکھ سکتے ہیں کہ  $i_c$  کے



شکل 3.107: ایک پیغام اور اس کا باریک اشاراتی مساوی دور

حیثیہ کی حد  $1.2 \text{ mA}$  ہے۔ یوں  $i_L$  کے حیثیہ کی حد  $0.6 \text{ mA}$  ہے۔ اگر زیادہ حیثیہ درکار ہو تب تخلیق کو اس نقطہ نظر سے دوبارہ سرانجام دینا ہو گا کہ  $I_{CQ}$  درکار حیثیہ فراہم کر سکے۔

$R_2 =$  اور  $R_1 = 48 \text{ k}\Omega$  یوں حاصل ہوتا ہے۔  $V_{BB} = 1.2492 \text{ V}$  سے  $\beta$  اور  $I_{CQ}$ ،  $R_e$   $5.58 \text{ k}\Omega$  حاصل ہوتے ہیں۔

آئیں شکل 3.107 پر غور کریں۔ اس کی افزائش  $A_i = \frac{i_L}{i_i}$  یوں حاصل کی جاسکتی ہے۔

$$\begin{aligned} A_i &= \frac{i_L}{i_i} = \frac{i_L}{i_b} \times \frac{i_b}{i_i} \\ &= -\beta \left( \frac{R_B}{R_B + r_{be}} \right) \end{aligned}$$

اس کو یوں

$$A_i = \frac{-\beta}{1 + \frac{r_{be}}{R_B}}$$

لکھتے ہوئے یہ حقیقت سامنے آتی ہے کہ زیادہ سے زیادہ افزائش اس وقت حاصل ہو گی جب

$$(3.236) \quad r_{be} \ll R_B$$

$$(3.237) \quad \frac{\beta V_T}{I_{CQ}} \ll R_B$$



ہو جہاں دوسرے قدم پر  $r_{be} = \frac{\beta V_T}{I_{CQ}}$  کا استعمال کیا گیا۔ ایسا کرتے ہوئے افزائش کی حتمی قیمت ٹرانزسٹر کے  $\beta$  کے برابر ہوگی۔ صفحہ 261 پر مساوات 3.32 اور مندرجہ بالا شرط کو اکٹھے لکھتے ہیں۔

$$(3.238) \quad r_{be} = \frac{\beta V_T}{I_{CQ}} \ll R_B \ll (\beta + 1) R_E$$

مساوات 3.238 ٹرانزسٹر ایمپلیفائر تخلیق دینی کی بنیادی شرط ہے۔ اگر ایمپلیفائر تخلیق دیتے ہوئے اس شرط کو پورا کیا جائے تب تخلیق کردہ ایمپلیفائر کی افزائش زیادہ سے زیادہ ہوگی اور ساتھ ہی ساتھ ٹرانزسٹر کا نقطہ کارکردگی  $\beta$  کے تبدیلی سے قابل قبول حد تک متاثر ہوگا۔ اگر اس شرط کو نبھانا ممکن نہ ہو تب یا تو کم افزائش اور یا پھر  $\beta$  کے تبدیلی سے نقطہ کارکردگی کا اپنی جگہ سے انحراف کو برداشت کرنا ہوگا۔

### 3.17 برقی بار، داخلی مزاحمت اور ایمپلیفائر کی افزائش

شکل 3.108 میں ایک ایمپلیفائر اور اس کا مساوی باریک اشاراتی دور دکھائے گئے جہاں تمام کیپیٹروں کی قیمت لامحدود ہے۔ اس کی افزائش

$$\begin{aligned} A_{v1} &= \frac{v_L}{v_i} = \frac{v_L}{i_c} \times \frac{i_c}{v_{be}} \times \frac{v_{be}}{v_i} \\ &= -400 \times 0.39 \times 1 = -156 \frac{V}{V} \end{aligned}$$

جبکہ داخلی مزاحمت  $R'_i$

$$R'_i = 100 \Omega$$

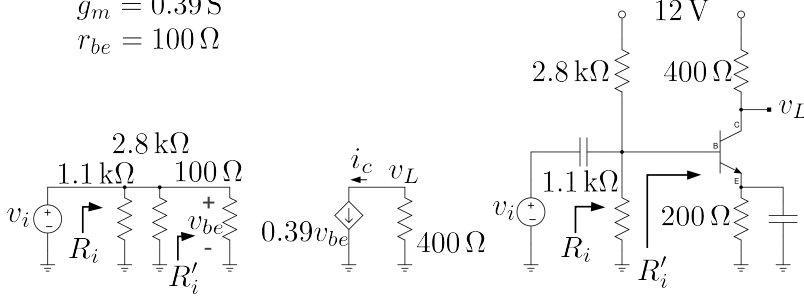
اور  $R_i$

$$\begin{aligned} \frac{1}{R_i} &= \frac{1}{2800} + \frac{1}{1100} + \frac{1}{100} \\ R_i &= 88.76 \Omega \end{aligned}$$

حاصل ہوتے ہیں۔  $R'_i$  ٹرانزسٹر کے بیس پر دیکھتے ہوئے مزاحمت ہے جبکہ  $R_i$  ٹرانزسٹر کو مائل کرنے والے مزاحمتوں کے اثر کو بھی شامل کرتا ہے۔ شکل 3.109 میں خارجی جانب برقی بوجھ  $R_L$  لا دیا گیا ہے۔ اگر  $R_L =$

$$g_m = 0.39 \text{ S}$$

$$r_{be} = 100 \Omega$$



شکل 3.108: سادہ ایمپلیفائر

200 Ω ہو تب اس ایمپلیفائر کی افزائش

$$(3.239) \quad A_{v2} = \frac{v_L}{v_i} = \frac{v_L}{i_c} \times \frac{i_c}{v_{be}} \times \frac{v_{be}}{v_i} = - \left( \frac{400 \times 200}{400 + 200} \right) \times 0.39 \times 1 = -52 \frac{\text{V}}{\text{V}}$$

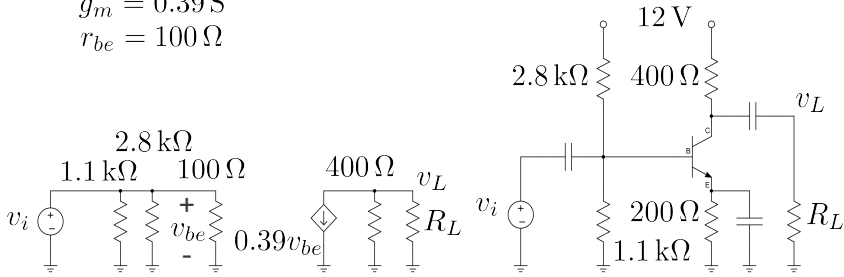
حاصل ہوتی ہے جبکہ اگر  $R_L = 88.76 \Omega$  ہو تب

$$(3.240) \quad A_{v3} = \frac{v_L}{v_i} = \frac{v_L}{i_c} \times \frac{i_c}{v_{be}} \times \frac{v_{be}}{v_i} = - \left( \frac{400 \times 88.76}{400 + 88.76} \right) \times 0.39 \times 1 = -28 \frac{\text{V}}{\text{V}}$$

حاصل ہوتا ہے۔ مندرجہ بالا دونوں اشکال میں  $v_{be} = v_i$  ہونے کی بدولت افزائش میں تیسرے کسر یعنی  $\frac{v_{be}}{v_i}$  کا کوئی کردار نہیں۔ آئیں داخلی اشارے کی مزاحمت کا اثر دیکھیں۔ شکل 3.110 میں اس غرض سے داخلی اشارے کا

$$g_m = 0.39 \text{ S}$$

$$r_{be} = 100 \Omega$$



شکل 3.109: سادہ بوجھ سے لدا ایمپلیفائر

مزاحمت بھی شامل کیا گیا ہے۔ اس ایمپلیفائر کے لئے ہم لکھ سکتے ہیں

$$A_{v4} = \frac{v_L}{v_i} = \frac{v_L}{i_c} \times \frac{i_c}{v_{be}} \times \frac{v_{be}}{v_i}$$

$$= - \left( \frac{400 \times 88.76}{400 + 88.76} \right) \times 0.39 \times \left( \frac{R_i}{r_i + R_i} \right)$$

$$= - \left( \frac{400 \times 88.76}{400 + 88.76} \right) \times 0.39 \times \left( \frac{88.76}{100 + 88.76} \right)$$

$$= -28 \times 0.47$$

$$= -13 \frac{\text{V}}{\text{V}}$$

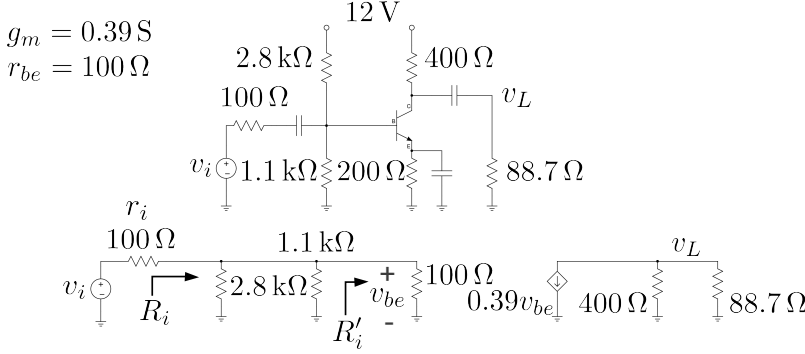
جہاں  $r_i$  اور  $R_i$  کے کردار کی وجہ سے افنرائش گزشتہ قیمت کے 0.47 گنا رہ گئی ہے۔ یاد رہے کہ حقیقت میں  $r_i$  ہر صورت موجود ہوتا ہے۔  $A_{v4} = 0.47 A_{v'}$  لکھتے ہوئے ہم دیکھتے ہیں کہ ٹرانزسٹر کے بیس تا کلکٹر کی افنرائش  $A_{v'}$  یعنی  $\frac{v_L}{v_{be}}$  میں کوئی تبدیلی رونما نہیں ہوئی۔ کل افنرائش  $\frac{v_L}{v_i}$  میں کمی اس وجہ سے پیدا ہوئی کہ ٹرانزسٹر کے بیس تک مکمل داخلی اشارہ نہیں پہنچ پاتا یعنی  $r_i$  کے موجودگی میں

$$v_{be} = \left( \frac{R_i}{r_i + R_i} \right) v_i$$

$$= \left( \frac{88.76}{100 + 88.76} \right) v_i$$

$$= 0.47 v_i$$

ہو جاتا ہے جبکہ اس کے غیر موجودگی میں  $v_{be} = v_i$  ہوتا ہے۔



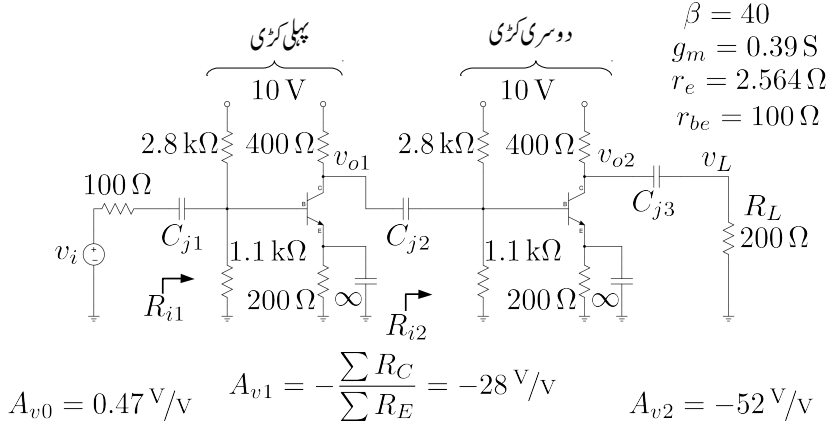
شکل 3.110: داخلی مزاحمت کا اثر

ان حقائق کو سمجھنے کے بعد زنجیری ایمپلیفائر پر غور کرتے ہیں۔

### 3.18 زنجیری ایمپلیفائر

شکل 3.111 میں دو کڑی زنجیری ایمپلیفائر<sup>49</sup> دکھایا گیا ہے جس میں دو بالکل یکساں ایمپلیفائر کو جفت کیپیسٹر  $C_{j2}$  کی مدد سے آپس میں جوڑا گیا ہے۔ ایسا کرنے سے ٹرانزسٹر کا نقطہ کارکردگی متاثر نہیں ہوتا۔ داخلی جانب  $100 \Omega$  مزاحمت والا داخلی اشارہ  $v_i$  جفت کیپیسٹر  $C_{j1}$  کی مدد سے ایمپلیفائر کی پہلی کڑی کے ساتھ جوڑا گیا ہے جبکہ خارجی جانب برقی بوجھ  $R_L$  تک  $C_{j3}$  کی مدد سے خارجی اشارہ پہنچایا گیا ہے۔ آپ دیکھ سکتے ہیں کہ اسی سلسلے میں مزید کڑیاں جوڑتے ہوئے زیادہ کڑیوں والا زنجیری ایمپلیفائر حاصل کیا جاسکتا ہے۔ مزید یہ کہ کڑیوں کا یکساں ہونا بالکل ضروری نہیں۔ ہر کڑی مختلف ہو سکتی ہے۔

آئیں جلد یک سمتی تجزیہ کریں۔ چونکہ  $V_{th} \approx 2.82 \text{ V}$  اور  $R_{th} \approx 790 \Omega$  ہیں لہذا  $I_{CQ} \approx 9.7 \text{ mA}$  ہے۔ یوں  $g_m = 0.39 \text{ S}$  اور  $r_{be} \approx 100 \Omega$  حاصل ہوتے ہیں۔

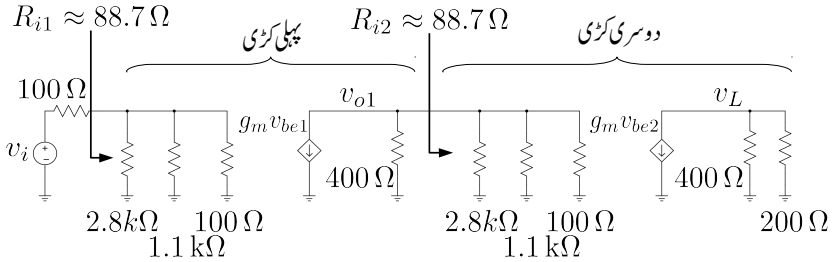


شکل 3.111: دو کڑی زنجیری ایپلیٹائر

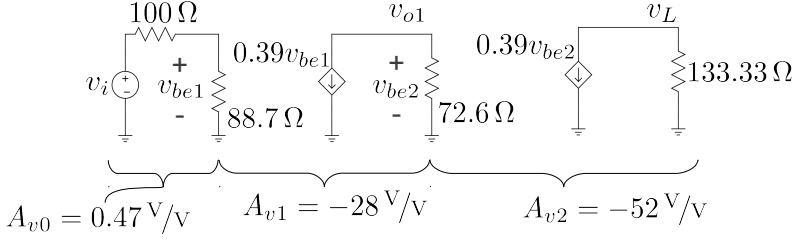
شکل 3.112 میں شکل 3.111 کا باریک اشاراتی مساوی دور دکھایا گیا ہے۔ متوازی مزاحمتوں کا مجموعہ یعنی

$$\begin{aligned}
 2800 \parallel 1100 \parallel 100 &= 88.7 \Omega \\
 400 \parallel 2800 \parallel 1100 \parallel 100 &= 72.6 \Omega \\
 400 \parallel 200 &= 133.33 \Omega
 \end{aligned}$$

لیتے ہوئے شکل 3.113 حاصل ہوتا ہے۔



شکل 3.112: دو کڑی زنجیری ایپلیٹائر کا باریک اشاراتی مساوی دور



شکل 3.113: دو کڑی زنجیری ایمپلیفائر کا ہر ایک اشاراتی سادہ مساوی دور

اس شکل میں

$$\begin{aligned}
 \frac{v_L}{v_{o1}} &= \frac{v_L}{v_{be2}} = A_{v2} = -0.39 \times 133.33 = -52 \frac{\text{V}}{\text{V}} \\
 \frac{v_{o1}}{v_{be1}} &= \frac{v_{be2}}{v_{be1}} = A_{v1} = -0.39 \times 72.6 = -28 \frac{\text{V}}{\text{V}} \\
 \frac{v_{be1}}{v_i} &= A_{v0} = \frac{88.7}{100 + 88.7} = 0.47 \frac{\text{V}}{\text{V}}
 \end{aligned}$$

لکھا جاسکتا ہے۔ یوں زنجیری ایمپلیفائر کی کل افزائش زنجیری ضرب سے

$$\begin{aligned}
 A_v &= \frac{v_L}{v_i} = \frac{v_L}{v_{o1}} \times \frac{v_{o1}}{v_{be1}} \times \frac{v_{be1}}{v_i} \\
 &= A_{v0} A_{v1} A_{v2} \\
 &= 0.47 \times (-28) \times (-52) = 684 \frac{\text{V}}{\text{V}}
 \end{aligned}$$

حاصل ہوتی ہے۔

یہاں رک کر دوبارہ غور کریں۔ شکل 3.111 سے سیدھا شکل 3.113 حاصل کرتے ہوئے کل افزائش حاصل کی جاسکتی ہے۔ حقیقت میں اس قدم کی بھی کوئی ضرورت نہیں۔ جیسا کہ شکل 3.111 پر ہی دکھایا گیا ہے، آپ اسی شکل پر ہر کڑی کی افزائش  $-\frac{\Sigma R_C}{\Sigma R_E}$  حاصل کر سکتے ہیں۔ کیلکولیٹر<sup>50</sup> کی مدد سے شکل کو دیکھتے ہوئے  $\Sigma R_C$  اور  $\Sigma R_E$  حاصل کرتے ہوئے افزائش حاصل کی جاسکتی ہے۔ یوں مثلاً دوسری کڑی میں  $\Sigma R_C = 133 \Omega$  جبکہ  $\Sigma R_E = r_e = 2.56 \Omega$  سے  $A_{v2} = -52 \frac{\text{V}}{\text{V}}$  حاصل ہوتا ہے۔

<sup>50</sup>calculator

شکل 3.111 میں پہلے کڑی اور دوسری کڑی کے ایمپلیفائروں کے داخلی مزاحمت  $R_{i1}$  اور  $R_{i2}$  کی وضاحت کی گئی ہے۔ شکل 3.112 میں ان کی قیمتیں

$$\frac{1}{R_{i1}} = \frac{1}{2800} + \frac{1}{1100} + \frac{1}{100}$$

$$R_{i1} = 88.7 \Omega$$

اور

$$\frac{1}{R_{i2}} = \frac{1}{2800} + \frac{1}{1100} + \frac{1}{100}$$

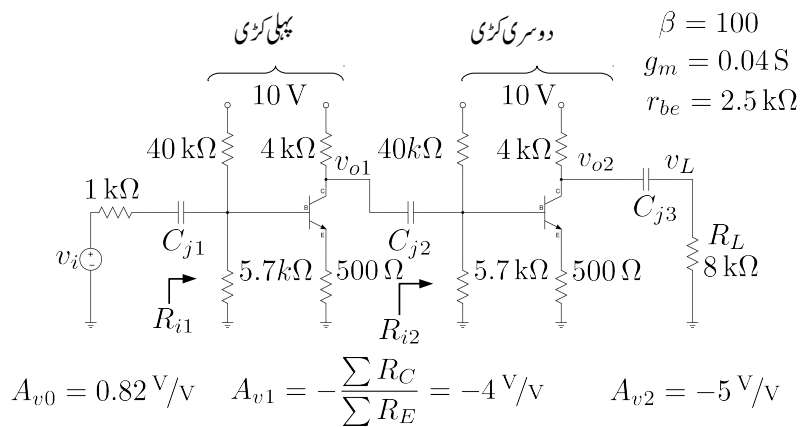
$$R_{i2} = 88.7 \Omega$$

دکھائی گئیں ہیں۔ ایمپلیفائر ٹرانزسٹر کے بیس سرے پر پائے جانے والے اشارے کی افزائش کرتا ہے۔ داخلی جانب ہم دیکھتے ہیں کہ ٹرانزسٹر کے بیس پر  $v_i$  کی بجائے  $\frac{88.7v_i}{100+88.7} = 0.47v_i$  پایا جاتا ہے۔ اشارے کے قیمت میں کمی ایمپلیفائر کے داخلی مزاحمت  $R_{i1}$  کی بدولت ہے۔  $v_i$  کے نقطہ نظر سے ایمپلیفائر  $88.7 \Omega$  کا مزاحمت ہے۔ اسی طرح پہلی کڑی کے ایمپلیفائر کو دوسرا ایمپلیفائر بطور مزاحمت  $R_{i2}$  نظر آتا ہے۔

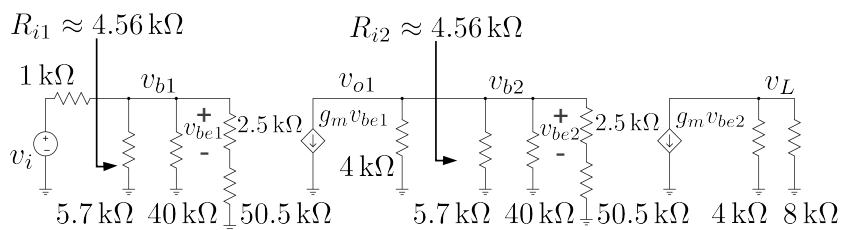
یہاں ایک مرتبہ دوبارہ مساوات 3.239 اور مساوات 3.240 پر نظر ڈالیں جہاں ایک کڑی کے ایمپلیفائر پر تجزیہ کرتے ہوئے خارجی جانب برقی بوجھ لادنے کے اثرات پر غور کیا گیا۔ شکل 3.111 کے دوسری کڑی کے افزائش پر  $200 \Omega$  برقی بوجھ کا اثر بالکل ایسا ہی ہے جیسے شکل 3.109 میں  $200 \Omega$  کے بوجھ کا ہے۔ اسی طرح شکل 3.111 میں پہلی کڑی پر دوسری کڑی کے  $88.76 \Omega$  کے داخلی مزاحمت کا اثر شکل 3.109 میں  $88.76 \Omega$  کے بوجھ کی طرح ہے۔

جیسا کہ آپ جانتے ہیں کہ  $A_v \approx -\frac{\sum R_C}{\sum R_E}$  ہوتا ہے لہذا زیادہ  $\beta$  کے ٹرانزسٹر استعمال کرنے سے دوسری کڑی کی افزائش نہیں بڑھتی البتہ ایسا کرنے سے دوسری کڑی کا داخلی مزاحمت ضرور بڑھتا ہے جس سے پہلی کڑی کی افزائش بڑھے گی۔

مثال 3.50: شکل 3.114 میں  $A_v = \frac{v_L}{v_i}$  حاصل کریں۔



شکل 3.114: دو کڑی زنجیری ایمپلیفائر کا ہر ایک اشاراتی سادہ مساوی دور



شکل 3.115: دو کڑی زنجیری ایمپلیفائر کا ہر ایک اشاراتی سادہ مساوی دور



حل: شکل 3.115 میں اس کا مساوی دور دکھایا گیا ہے جہاں سے  $R_{i1} = R_{i2} = 4.56 \text{ k}\Omega$  حاصل ہوتے ہیں۔ اسی طرح ان دونوں اشکال میں سے کسی بھی سے مندرجہ ذیل لکھا جاسکتا ہے۔

$$A_{v0} = \frac{v_{b1}}{v_i} = \frac{4560}{4560 + 1000} = 0.82 \frac{V}{V}$$

$$A_{v1} = \frac{v_{o1}}{v_{b1}} = -0.04 \times \frac{4000 \times 4560}{4000 + 4560} \times \frac{2500}{2500 + 50500} = -4 \frac{V}{V}$$

$$A_{v2} = \frac{v_L}{v_{b2}} = -0.04 \times \frac{4000 \times 8000}{4000 + 8000} \times \frac{2500}{2500 + 50500} = -5 \frac{V}{V}$$

لہذا

$$A_v = \frac{v_L}{v_i} = \frac{v_L}{v_{b2}} \frac{v_{o1}}{v_{b1}} \frac{v_{b1}}{v_i}$$

$$= (-5) (-4) (0.82) = 16.4 \frac{V}{V}$$

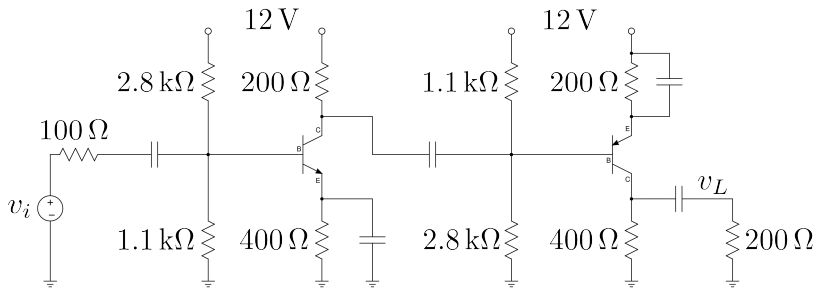
مثال 3.51: شکل 3.111 میں دوسری کڑی  $npn$  سے بناتے ہوئے شکل 3.116 حاصل ہوتا ہے۔ اس پر اچھی طرح غور کریں۔ شکل 3.111 پر جتنی بحث کی گئی اور اس کے تمام مساوات موجودہ دور پر لاگو ہوتے ہیں۔

مثال 3.52: شکل 3.117 میں دو کڑی زنجیری یک سمتی رو ایپلیفائر دکھایا گیا ہے۔ اس کے تمام یک سمتی متغیرات ٹھیک ٹھیک حاصل کریں۔ دونوں ٹرانزسٹر کا  $\beta = 99$  ہے۔

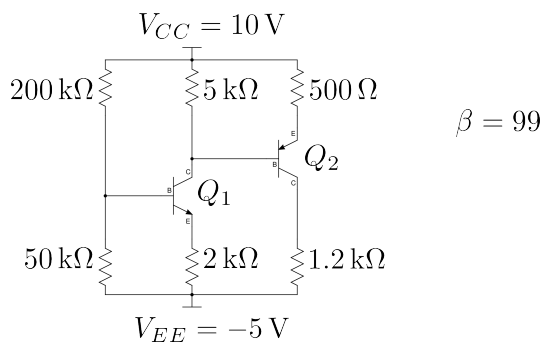
حل:  $Q_1$  کے داخلی جانب مسئلہ تھون کی مدد سے

$$V_{th} = \left( \frac{50000}{200000 + 50000} \right) \times [10 - (-5)] - 5 = -2 \text{ V}$$

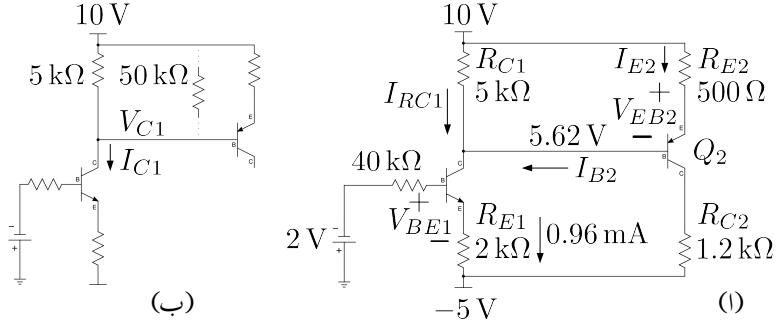
$$R_{th} = \frac{50000 \times 200000}{50000 + 200000} = 40 \text{ k}\Omega$$



شکل 3.116: دو کڑی زنجیری ایپلیکیشنز



شکل 3.117: دو کڑی یک سمتی زنجیری ایپلیکیشنز



شکل 3.118: دو کڑی یک سمتی زنجیری ایپلیٹائر

حاصل ہوتے ہیں جنہیں استعمال کرتے ہوئے شکل 3.118 الف حاصل ہوتا ہے۔ شکل 3.118 الف میں  $Q_1$  کے داخلی جانب کرخوف کے قانون برائے برقی دباؤ کی مدد سے

$$2 + 40000 \times I_B + 0.7 + 2000 \times I_E - 5 = 0$$

لکھا جاسکتا ہے جس میں  $I_B = \frac{I_E}{\beta + 1}$  پُر کرنے سے

$$I_{E1} = \frac{5 - 2 - 0.7}{\frac{40000}{99 + 1} + 2000} = 0.95833 \text{ mA}$$

$$I_{C1} = \frac{\beta}{\beta + 1} I_{E1} = 0.94875 \text{ mA}$$

حاصل ہوتے ہیں۔ یوں

$$\begin{aligned} V_{E1} &= I_{E1} R_{E1} - 5 \\ &= 0.95833 \times 10^{-3} \times 2000 - 5 \\ &= -3.08 \text{ V} \end{aligned}$$

حاصل ہوتا ہے۔  $Q_1$  کے کلکٹر جانب برقی رو  $I_{C1}$  کے دو راستے ہیں۔ پہلا راستہ  $R_{C1}$  کے ذریعے اور دوسرا راستہ  $Q_2$  سے ہوتے ہوئے  $R_{E2}$  کے ذریعے۔ یوں کرخوف کے قانون برائے برقی رو کے استعمال سے

$$\begin{aligned} I_{C1} &= I_{RC1} + I_{B2} \\ 0.94875 \times 10^{-3} &= I_{RC1} + I_{B2} \end{aligned} \quad (3.241)$$

لکھا جاسکتا ہے۔ پہلے راستے پر

$$(3.242) \quad V_{C1} = V_{B2} = 10 - I_{RC1}R_{C1} = 10 - 5000I_{RC1}$$

جبکہ دوسرے راستے پر

$$(3.243) \quad \begin{aligned} V_{C1} = V_{B2} &= 10 - I_{E2}R_{E2} - V_{EB2} \\ &= 10 - (\beta + 1) I_{B2}R_{E2} - V_{EB2} \\ &= 10 - (99 + 1) \times I_{B2} \times 500 - 0.7 \\ &= 9.3 - 50000I_{B2} \end{aligned}$$

حاصل ہوتا ہے۔ مندرجہ بالا تین مساوات کو حل کرتے ہیں۔ مساوات 3.242 اور 3.243 کو برابر لکھتے ہیں۔

$$\begin{aligned} 10 - 5000I_{RC1} &= 9.3 - 50000I_{B2} \\ 5000I_{RC1} - 50000I_{B2} - 0.7 &= 0 \end{aligned}$$

مساوات 3.241 سے  $I_{RC1}$  حاصل کرتے ہوئے اس مساوات میں پُر کرتے ہیں

$$5000 \left( 0.94875 \times 10^{-3} - I_{B2} \right) - 50000I_{B2} - 0.7 = 0$$

جس سے

$$I_{B2} = 73.5 \mu A$$

حاصل ہوتا ہے۔ یوں

$$\begin{aligned} I_{E2} &= (\beta + 1) I_{B2} = 7.35 \text{ mA} \\ I_{C2} &= \alpha I_{E2} = 7.28 \text{ mA} \\ I_{RC1} &= I_{C1} - I_{B2} = 0.94875 \text{ mA} - 73.5 \mu A = 0.87525 \text{ mA} \\ V_{B2} &= V_{CC} - I_{RC1}R_{C1} = 10 - 0.87525 \times 10^{-3} \times 5000 = 5.62 \text{ V} \end{aligned}$$

حاصل ہوتے ہیں۔  $Q_2$  پر

$$\begin{aligned} V_{E2} &= V_{B2} + V_{EB2} = 5.62 + 0.7 = 6.32 \text{ V} \\ V_{C2} &= -5 + I_{C2}R_{C2} = -5 + 7.28 \times 10^{-3} \times 1200 = 3.736 \text{ V} \\ V_{EC2} &= V_{E2} - V_{C2} = 6.32 - 3.736 = 2.584 \text{ V} \end{aligned}$$

حاصل ہوتے ہیں۔ یوں  $Q_2$  افزائندہ ہے اور حاصل کردہ جوابات درست ہوں گے۔

اسی مثال کو یوں جلدی حل کیا جاسکتا ہے۔  $I_C \approx I_E$  لیتے ہوئے

$$I_{C1} \approx I_{E1} = 0.95833 \text{ mA}$$

حاصل ہوتا ہے۔ جیسے شکل 3.118 ب میں دکھایا گیا ہے،  $R_{E2}$  کا عکس ٹرانزسٹر  $Q_2$  کے بیس جانب  $(\beta + 1) R_{E2}$  نظر آتا ہے جو  $R_{C1}$  کے متوازی جڑا ہے۔ یوں ان کا مجموعہ

$$\frac{(\beta + 1) R_{E2} R_{C1}}{(\beta + 1) R_{E2} + R_{C1}} = 4.545 \text{ k}\Omega$$

حاصل ہوتا ہے جس سے  $I_{C1}$  گزرتا ہے۔ یوں

$$V_{C1} = V_{B2} = V_{CC} - 4545 \times 0.95833 \times 10^{-3} = 5.644 \text{ V}$$

حاصل ہوتا ہے۔ یوں

$$V_{E2} = V_{B2} + V_{EB2} = 5.644 + 0.7 = 6.344 \text{ V}$$

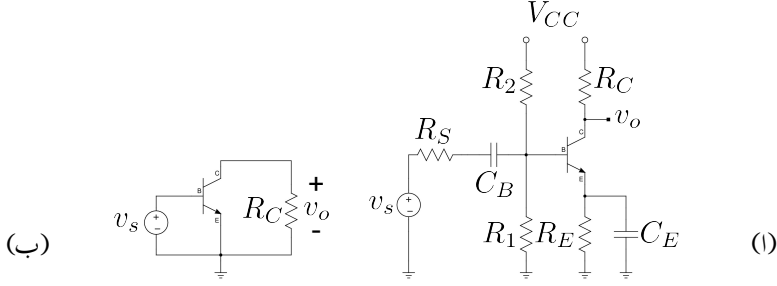
$$I_{E2} = \frac{V_{CC} - V_{E2}}{R_{E2}} = \frac{10 - 6.344}{500} = 7.312 \text{ mA}$$

$$V_{C2} = -5 + I_{E2} R_{C2} = -5 + 7.312 \times 10^{-3} \times 1200 = 3.774 \text{ V}$$

$$V_{EC2} = V_{E2} - V_{C2} = 6.344 - 3.774 = 2.57 \text{ V}$$

### 3.19 ایمر مشترک، کلکٹر مشترک اور بیس مشترک ایمپلیفائر

شکل الف میں ایمپلیفائر دکھایا گیا ہے۔ شکل ب میں ٹرانزسٹر مائل کرنے والے رکن نہ دکھاتے ہوئے اسی کا بدلتی رو شکل دکھایا گیا ہے جہاں کپیسٹروں اور یک سمتی برقی دیاو  $V_{CC}$  کو قصر دور تصور کیا گیا ہے۔ مزید داخلی اشارے کی مزاحمت  $R_s$  کو بھی نظر انداز کیا گیا ہے تاکہ اصل نقطے پر نظر رکھنا زیادہ آسان ہو۔ اس شکل سے صاف ظاہر ہے کہ داخلی اشارے کو ٹرانزسٹر کے بیس B اور ایمر E کے مابین مہیا کیا گیا ہے جبکہ خارجی اشارے کو کلکٹر C اور ایمر E کے مابین سے حاصل کیا جاتا ہے۔ یوں ٹرانزسٹر کا ایمر E مشترک ہے۔ اسی سے اس طرز کے



شکل 3.119: ایمٹر مشترک ایمپلیفائر

ایمپلیفائر کو مشترک ایمٹر ایمپلیفائر یا ایمٹر مشترک ایمپلیفائر<sup>51</sup> پکارا جاتا ہے۔ اگر شکل الف میں کپیسٹر  $C_E$  استعمال نہ کیا جاتا تب ٹرانزسٹر کا ایمٹر برقی زمین پر نہ ہوتا اور شکل ب میں داخلی اشارہ میں اور برقی زمین کے مابین مہیا کیا جاتا۔ ایسی صورت میں بھی اسے ایمٹر مشترک ایمپلیفائر ہی پکارا جاتا ہے۔ اس باب میں اب تک جتنے ایمپلیفائر دیکھے گئے وہ تمام ایمٹر مشترک ایمپلیفائر تھے۔

شکل 3.120 الف میں کلکٹر مشترک<sup>52</sup> اور اس کے نیچے اس کا مساوی باریک اشاراتی دور جبکہ شکل ب میں بیس مشترک<sup>53</sup> ایمپلیفائر اور اس کے نیچے اس کا باریک اشاراتی مساوی دور دکھائے گئے ہیں۔ ان ایمپلیفائر میں بھی اگر مشترک سرے اور برقی زمین کے مابین مزاحمت وغیرہ نسب ہوتا، انہیں تب بھی انہیں ناموں سے پکارا جاتا۔

مثال 3.53: شکل 3.121 میں

$$R_1 = 100 \text{ k}\Omega, \quad R_2 = 10 \text{ k}\Omega, \quad R_E = 1 \text{ k}\Omega$$

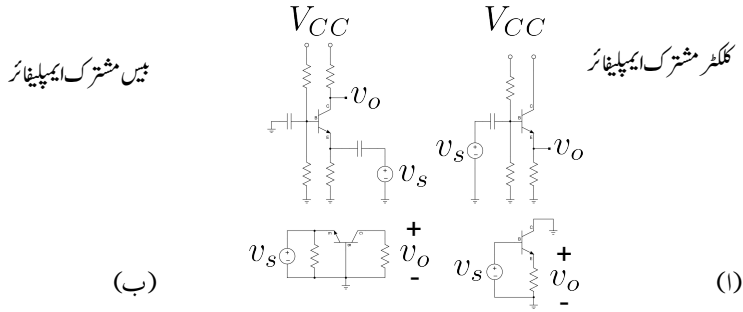
$$r_{be} = 1 \text{ k}\Omega, \quad \beta = 99$$

ہیں۔  $A_v = \frac{v_o}{v_s}$  اور  $R_i$  حاصل کریں۔

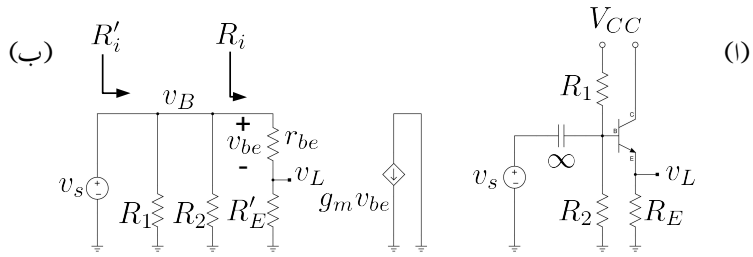
<sup>51</sup> common emitter

<sup>52</sup> common collector

<sup>53</sup> common base



شکل 3.120: تیس مشترک اور کلمٹر مشترک ایپلیٹائر



شکل 3.121: کلمٹر مشترک

حل: شکل ب میں مساوی باریک اشاراتی دو دکھایا گیا ہے جہاں  $R'_E$  ٹرانزسٹر کے بیس جانب  $R_E$  کا عکس یعنی  $(\beta + 1) R_E$  ہے۔ یوں

$$\begin{aligned} A_v &= \frac{v_L}{v_s} = \frac{v_L}{v_B} \times \frac{v_B}{v_s} \\ &= \frac{R'_E}{r_{be} + R'_E} \\ &= \frac{(99 + 1) \times 1000}{1000 + (99 + 1) \times 1000} \\ &= 0.99 \frac{V}{V} \approx 1 \frac{V}{V} \end{aligned}$$

جبکہ

$$R_i = r_{be} + R'_E = 1000 + 100000 = 101 \text{ k}\Omega$$

اور

$$\begin{aligned} R'_i &= R_1 \parallel R_2 \parallel R_i \\ &= R_1 \parallel R_2 \parallel (\beta + 1) R_E \end{aligned}$$

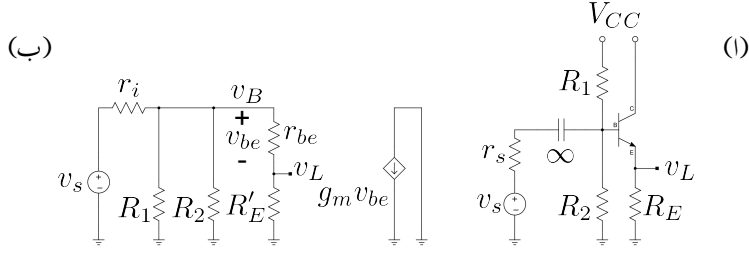
یعنی

$$\begin{aligned} \frac{1}{R'_i} &= \frac{1}{R_1} + \frac{1}{R_2} + \frac{1}{R_i} \\ &= \frac{1}{R_1} + \frac{1}{R_2} + \frac{1}{r_{be} + (\beta + 1) R_E} \\ R'_i &= 8.34 \text{ k}\Omega \end{aligned}$$

ہیں۔

مثال 3.54: شکل 3.122 میں  $r_i = 5 \text{ k}\Omega$  ہے جبکہ بقایا تمام متغیرات مثال 3.53 کی ہی ہیں۔  $A_v$  حاصل کریں۔





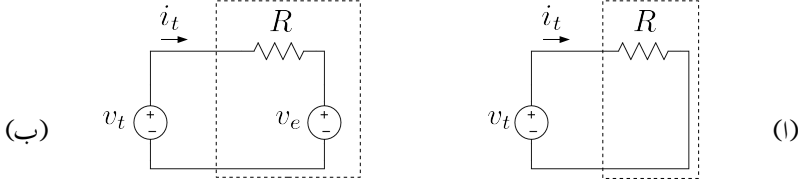
شکل 3.122: کلٹر مشترک کی دوسری مثال

حل: شکل ب سے

$$\begin{aligned}
 A_v = \frac{v_L}{v_s} &= \frac{v_L}{v_B} \times \frac{v_B}{v_s} \\
 &= \frac{R'_E}{r_{be} + R'_E} \times \frac{R_1 \parallel R_2 \parallel (r_i + R'_E)}{r_i + [R_1 \parallel R_2 \parallel (r_{be} + R'_E)]} \\
 &= \frac{100000}{1000 + 100000} \times \frac{8367}{5000 + 8367} \\
 &= 0.99 \times 0.6259 \\
 &= 0.619 \frac{V}{V}
 \end{aligned}$$

مثال 3.53 میں ہم نے دیکھا کہ کلٹر مشترک ایمپلیفائر کی افزائش برقی دباؤ تقریباً ایک کے برابر ہے۔ یوں ہم کہہ سکتے ہیں کہ خارجی اشارہ خوش اسلوبی سے داخلی اشارے کی پیروی کرتا ہے۔ اسی سے اس ایمپلیفائر کو پیروکار<sup>54</sup> بھی پکارا جاتا ہے۔ ہم نے یہ بھی دیکھا کہ  $R_1$  اور  $R_2$  کی وجہ سے داخلی مزاحمت  $101 \text{ k}\Omega$  سے کم ہو کر صرف  $8.34 \text{ k}\Omega$  رہ گئی۔ مثال 3.54 میں اسی کی وجہ سے افزائش بہت کم ہو گئی۔ انہیں داخلی مزاحمت بڑھانے کا ایک طریقہ دیکھیں۔

شکل 3.123 الف میں نقطہ دار لکیر میں بند دور کا داخلی مزاحمت حاصل کرنے کی خاطر اس پر  $v_t$  برقی دباؤ لاگو کی جاتی ہے۔ برقی رو  $i_t$  ناپ کر داخلی مزاحمت  $\frac{v_t}{i_t}$  سے حاصل کی جاتی ہے۔ اس دور میں ہم جانتے ہیں کہ  $i_t = \frac{v_t}{R}$  ناپی جائے گی جس سے داخلی مزاحمت کی قیمت  $R$  حاصل ہوتی ہے۔



شکل 3.123: داخلی مزاحمت بڑھانے کا طریقہ

آئیں یہی طریقہ شکل ب کے دور پر استعمال کرتے ہوئے اس کا داخلی مزاحمت حاصل کریں۔  $v_t$  لاگو کرنے سے  $\frac{v_t - v_e}{R}$  برقی رونپا جائے گا۔ تصور کریں کہ کسی طریقہ سے  $v_e = 0.9v_t$  کے برابر رہتا ہے۔ یوں

$$i_t = \frac{v_t - 0.9v_t}{R} = \frac{0.1v_t}{R}$$

ناپی جائے گی جس سے داخلی مزاحمت

$$\frac{v_t}{i_t} = \frac{R}{0.1} = 10R$$

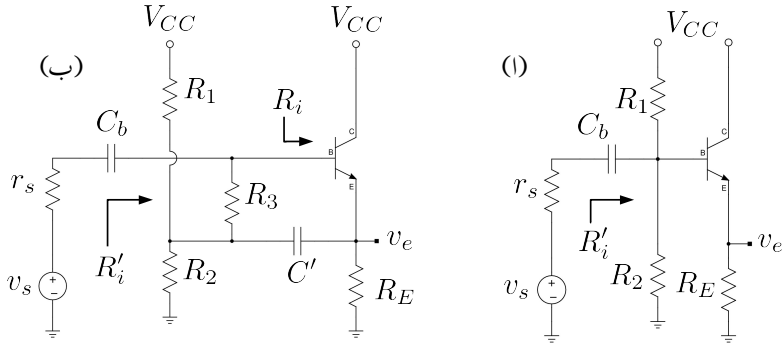
حاصل ہوتا ہے۔ آپ نے دیکھا کہ نقطے دار لکیر میں بند دور میں پائے جانے والے برقی دباؤ  $v_e$  کی وجہ سے داخلی مزاحمت دس گنا بڑھ گئی ہے۔ اگر  $v_e = 0.99v_t$  ہوتا تب داخلی مزاحمت سو گنا بڑھ جاتی۔

ہم جانتے ہیں کہ کلکٹر مشترک ایمپلیفائر کی انفرانش تقریباً ایک کے برابر ہے یوں اس کے لیمر پر  $v_e$  تقریباً اس کے بیس پر  $v_b$  کے برابر ہوتا ہے۔ اس حقیقت کو استعمال کرتے ہوئے کلکٹر مشترک ایمپلیفائر کی داخلی مزاحمت بڑھائی جاسکتی ہے۔ آئیں مندرجہ ذیل مثال میں ایسا ہوتے دیکھیں۔

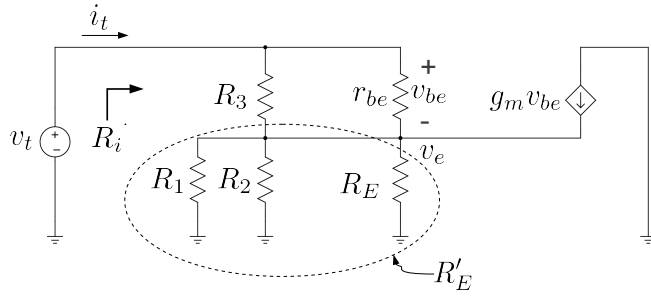
مثال 3.55: شکل 3.124 الف میں کلکٹر مشترک ایمپلیفائر دکھایا گیا ہے جس میں کچھ تبدیلی کرتے ہوئے شکل ب حاصل کی گئی ہے۔ ثابت کریں کہ شکل 3.124 ب میں دکھائے گئے دور سے داخلی مزاحمت  $R_i$  بڑھ جاتی ہے۔ دونوں اشکال میں

$$R_1 = 10 \text{ k}\Omega, \quad R_2 = 1 \text{ k}\Omega, \quad R_E = 1 \text{ k}\Omega$$

$$R_3 = 10 \text{ k}\Omega, \quad r_{be} = 1 \text{ k}\Omega, \quad \beta = 99$$



شکل 3.124: کلکٹر مشترک کا داخلی مزاحمت بڑھایا گیا ہے



شکل 3.125: مساوی دور

ہیں۔

حل: شکل 3.125 میں مساوی باریک اشاراتی دور دکھایا گیا ہے۔ جوڑ  $v_e$  پر کرنوف کے قانون برائے برقی رو سے

$$(3.244) \quad \frac{v_e - v_t}{R_3} + \frac{v_e - v_t}{r_{be}} + \frac{v_e}{R_1} + \frac{v_e}{R_2} + \frac{v_e}{R_E} = g_m (v_t - v_e)$$

لکھا جاسکتا ہے۔ شکل میں  $R_1 \parallel R_2 \parallel R_E$  کو  $R'_E$  کہا گیا ہے۔ اس طرح

$$\frac{1}{R'_E} = \frac{1}{R_1} + \frac{1}{R_2} + \frac{1}{R_E}$$

لکھتے ہوئے مساوات 3.244 کو یوں

$$\frac{v_e - v_t}{R_3} + \frac{v_e - v_t}{r_{be}} + \frac{v_e}{R'_E} = g_m (v_t - v_e)$$

یعنی

$$v_e \left( \frac{1}{R_3} + \frac{1}{r_{be}} + \frac{1}{R'_E} + g_m \right) = v_t \left( \frac{1}{R_3} + \frac{1}{r_{be}} + g_m \right)$$

لکھتے ہوئے

$$v_e = \left( \frac{\frac{1}{R_3} + \frac{1}{r_{be}} + g_m}{\frac{1}{R_3} + \frac{1}{r_{be}} + \frac{1}{R'_E} + g_m} \right) v_t$$

حاصل کرتے ہیں۔ مساوات 3.188 کے استعمال سے اسے یوں لکھا جاسکتا ہے۔

$$\begin{aligned} v_e &= \left( \frac{\frac{1}{R_3} + \frac{1}{r_{be}} + \frac{\beta}{r_{be}}}{\frac{1}{R_3} + \frac{1}{r_{be}} + \frac{1}{R'_E} + \frac{\beta}{r_{be}}} \right) v_t \\ &= \left( \frac{\frac{1}{R_3} + \frac{\beta+1}{r_{be}}}{\frac{1}{R_3} + \frac{1}{R'_E} + \frac{\beta+1}{r_{be}}} \right) v_t \end{aligned}$$

شکل سے ہم دیکھتے ہیں کہ

$$\begin{aligned} i_t &= \frac{v_t - v_e}{R_3} + \frac{v_t - v_e}{r_{be}} \\ &= (v_t - v_e) \left( \frac{1}{R_3} + \frac{1}{r_{be}} \right) \end{aligned}$$

کے برابر ہے۔  $v_e$  کی قیمت پر کرنے سے

$$\begin{aligned} i_t &= \left[ v_t - \left( \frac{\frac{1}{R_3} + \frac{\beta+1}{r_{be}}}{\frac{1}{R_3} + \frac{1}{R'_E} + \frac{\beta+1}{r_{be}}} \right) v_t \right] \left( \frac{1}{R_3} + \frac{1}{r_{be}} \right) \\ &= \left[ \frac{\frac{1}{R_3} + \frac{1}{R'_E} + \frac{\beta+1}{r_{be}} - \frac{1}{R_3} - \frac{\beta+1}{r_{be}}}{\frac{1}{R_3} + \frac{1}{R'_E} + \frac{\beta+1}{r_{be}}} \right] \left( \frac{1}{R_3} + \frac{1}{r_{be}} \right) v_t \\ &= \left[ \frac{\frac{1}{R_3} + \frac{1}{r_{be}}}{R'_E \left( \frac{1}{R_3} + \frac{1}{R'_E} + \frac{\beta+1}{r_{be}} \right)} \right] v_t \end{aligned}$$

یعنی

$$\frac{v_t}{i_t} = \frac{\frac{R'_E}{R_3} + 1 + \frac{(\beta+1)R'_E}{r_{be}}}{\frac{1}{R_3} + \frac{1}{r_{be}}}$$

حاصل ہوتا ہے جس سے

$$(3.245) \quad R'_i = \frac{v_t}{i_t} = \frac{\frac{r_{be}R'_E}{R_3} + r_{be} + (\beta+1) R'_E}{\frac{r_{be}}{R_3} + 1}$$

حاصل ہوتا ہے۔ چونکہ  $R_3 \gg r_{be}$  ہوتا ہے لہذا  $R'_i$  کو یوں لکھا جاسکتا ہے۔

$$(3.246) \quad R'_i \approx \frac{r_{be}R'_E}{R_3} + r_{be} + (\beta+1) R'_E$$

اس کے برعکس شکل 3.124 الف سے داخلی مزاحمت کی قیمت

$$R_1 \parallel R_2 \parallel [r_{be} + (\beta+1) R_E]$$

حاصل ہوتی ہے جو ہر صورت  $r_{be} + (\beta+1) R_E$  سے کم ہے۔

دی گئی قیمتیں پر کرنے سے شکل 3.124 الف کے لئے

$$R_1 \parallel R_2 \parallel [r_{be} + (\beta+1) R_E] = 900 \Omega$$

جبکہ دی گئی قیمتوں سے  $R'_E = 476 \Omega$  حاصل کرتے ہوئے شکل ب میں

$$\begin{aligned} R'_i &= \frac{\frac{r_{be}R'_E}{R_3} + r_{be} + (\beta + 1) R'_E}{\frac{r_{be}}{R_3} + 1} \\ &= \frac{\frac{1000 \times 476}{10000} + 1000 + (99 + 1) 476}{\frac{1000}{10000} + 1} \\ &= \frac{47.6 + 1000 + 47600}{0.1 + 1} \\ &= 44.2 \text{ k}\Omega \end{aligned}$$

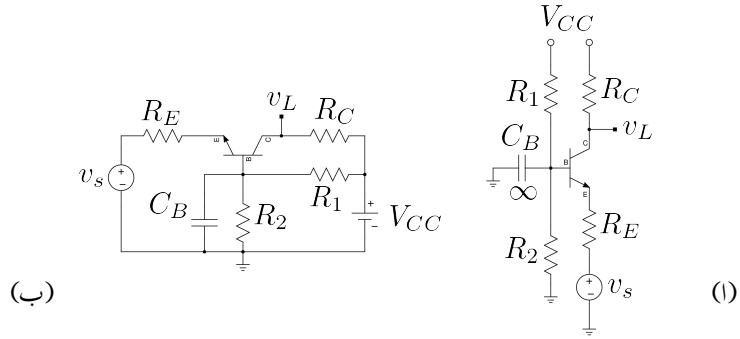
حاصل ہوتا ہے جو کہ سادہ کلکٹر مشترک ایمپلیفائر کی  $900 \Omega$  کے داخلی مزاحمت سے بہت زیادہ ہے۔ اس جواب سے یہ حقیقت بھی سامنے آتی ہے کہ  $\frac{r_{be}}{R_3}$  اور  $\frac{r_{be}R'_E}{R_3}$  کو نظر انداز کیا جاسکتا ہے لہذا مساوات 3.246 کو

$$(3.247) \quad R'_i \approx r_{be} + (\beta + 1) R'_E$$

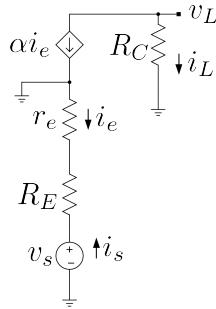
لکھا جاسکتا ہے۔ اس مساوات کو یاد رکھنا نہایت آسان ہے۔ شکل 3.124 ب کو دیکھتے ہوئے صاف ظاہر ہے کہ  $R'_i$  دراصل دو متوازی جڑے مزاحمتوں کا مجموعہ ہے۔ اس کا ایک حصہ  $R_3$  اور اس کے ساتھ منسلک اجزاء جبکہ اس کا دوسرا حصہ ٹرانزسٹر کے بیس پر داخلی مزاحمت  $R_i$ ۔ چونکہ  $R_3$  کے دونوں سروں پر تقریباً برابر برقی دباؤ رہتا ہے لہذا اس کی مزاحمت کو لامحدود تصور کرتے ہوئے نظر انداز کیا جاتا ہے۔ یوں داخلی مزاحمت  $R'_i$  اور  $R_i$  برابر ہوں گے۔  $C'$  کو قصر دور تصور کرتے ہوئے ہم دیکھتے ہیں کہ ٹرانزسٹر کے لیٹر پر کل  $R_1 \parallel R_2 \parallel R_E$  یعنی  $R'_E$  مزاحمت نسب ہے۔ یوں ٹرانزسٹر کے بیس پر داخلی مزاحمت  $r_{be} + (\beta + 1) R'_E$  ہوگی جو مطلوبہ جواب ہے۔

مثال 3.56: شکل 3.126 الف میں بیس مشترک ایمپلیفائر دکھایا گیا ہے۔ اسے عموماً شکل ب کے طرز پر بنایا جاتا ہے جہاں داخلی جانب کو بائیں ہاتھ اور خارجی جانب کو دائیں ہاتھ پر رکھا گیا ہے۔  $A_i = \frac{i_L}{i_s}$  اور  $A_v = \frac{v_L}{v_s}$  حاصل کریں۔

حل: شکل 3.127 میں ٹرانزسٹر کا ٹی۔ ریاضی نمونہ استعمال کرتے ہوئے اس کا باریک اشاراتی مساوی دور دکھایا گیا ہے۔ صفحہ 336 پر شکل 3.77 میں ٹی ریاضی نمونہ دکھایا گیا ہے۔ بیس مشترک ایمپلیفائر کو ٹی ریاضی نمونہ سے حل کرنا زیادہ آسان ثابت ہوتا ہے۔ اس شکل میں



شکل 3.126: بیس مشترک ایپلیٹائز



شکل 3.127: بیس مشترک ایپلیٹائز باریک اشاراتی مساوی دور

$$i_s = \frac{v_s}{R_E + r_e}$$

ہے۔ یوں

$$i_e = -i_s = -\frac{v_s}{R_E + r_e}$$

اور

$$i_c = \alpha i_e = -\frac{\alpha v_s}{R_E + r_e}$$

ہوں گے جس سے

$$v_L = -i_c R_C = \frac{\alpha R_C v_s}{R_E + r_e}$$

حاصل ہوتا ہے۔ اس طرح

$$A_v = \frac{v_L}{v_s} = \frac{\alpha R_C}{R_E + r_e}$$

ہو گا۔

چونکہ

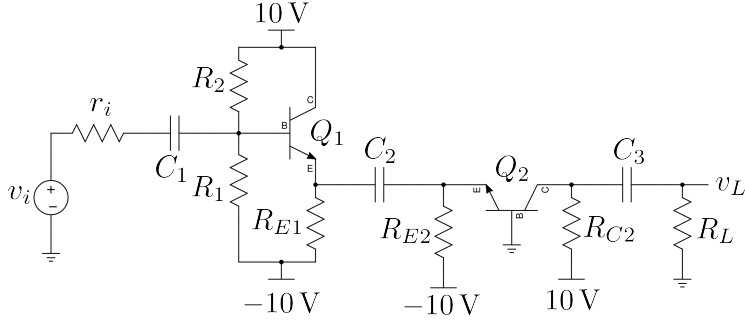
$$i_L = -i_c = -\alpha i_e = \alpha i_s$$

ہے لہذا

$$A_i = \frac{i_L}{i_s} = \alpha$$

حاصل ہوتا ہے۔ آپ دیکھ سکتے ہیں کہ بیس مشترک ایمپلیفائر برقی دباؤ کی افزائش کر پاتا ہے جبکہ اس کی برقی رو کی افزائش  $\alpha$  کے برابر ہے۔





شکل 3.128: ایمر مشترک اور بیس مشترک کا زنجیری ایملیفائر

مثال 3.57: شکل 3.128 میں ایمر مشترک اور بیس مشترک کا زنجیری ایملیفائر دکھایا گیا ہے جس میں

$$\begin{aligned} R_1 &= 20 \text{ k}\Omega, & R_2 &= 160 \text{ k}\Omega, & R_{E1} &= 1 \text{ k}\Omega \\ R_{E2} &= 9.3 \text{ k}\Omega, & R_{C2} &= 5 \text{ k}\Omega, & R_L &= 5 \text{ k}\Omega \\ r_i &= 1 \text{ k}\Omega \end{aligned}$$

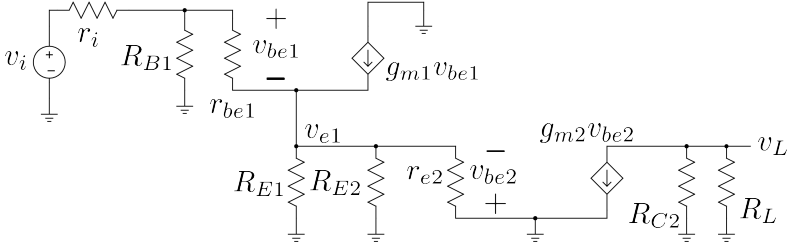
ہیں جبکہ ٹرانزسٹر کا  $\beta = 99$  ہے۔  $A_v = \frac{v_L}{v_i}$  حاصل کریں۔ تمام کیپیسٹروں کی قیمت لا محدود تصور کریں۔

حل: پہلے ایک سمتی متغیرات حاصل کرتے ہیں۔ ایسا کرتے ہوئے تمام کیپیسٹر کھلے دور کردار ادا کریں گے۔ یوں دونوں ایملیفائر کو مکمل طور پر علیحدہ سمجھ کر حل کیا جائے گا۔ پہلے  $Q_1$  پر مبنی ایمر مشترک کو حل کرتے ہیں۔

$$\begin{aligned} V_{BB1} &= \left( \frac{10 + 10}{20000 + 160000} \right) \times 20000 - 10 = -7.777 \text{ V} \\ R_{B1} &= \frac{20000 \times 160000}{20000 + 160000} = 17.778 \text{ k}\Omega \end{aligned}$$

اور یوں

$$\begin{aligned} I_{C1} \approx I_{E1} &= \frac{-7.777 - 0.7 + 10}{\frac{17778}{99+1} + 1000} = 1.29 \text{ mA} \\ g_{m1} &= \frac{I_C}{V_T} = \frac{1.29 \times 10^{-3}}{25 \times 10^{-3}} = 51.6 \text{ mS} \\ r_{be1} &= \frac{\beta + 1}{g_m} = \frac{99 + 1}{0.0516} = 1938 \Omega \end{aligned}$$



شکل 3.129: ایملیفائر کا مشترک اور بیس مشترک کا زنجیری ایملیفائر کا مساوی باریک اشاراتی دور

حاصل ہوتے ہیں۔ اب  $Q_2$  پر مبنی بیس مشترک کو حل کرتے ہیں۔

$$I_C \approx I_{E2} = \frac{V_B - V_{BE} - V_{EE}}{R_E} = \frac{0 - 0.7 + 10}{9300} = 1 \text{ mA}$$

اور یوں

$$g_{m2} = \frac{1 \times 10^{-3}}{25 \times 10^{-3}} = 40 \text{ mS}$$

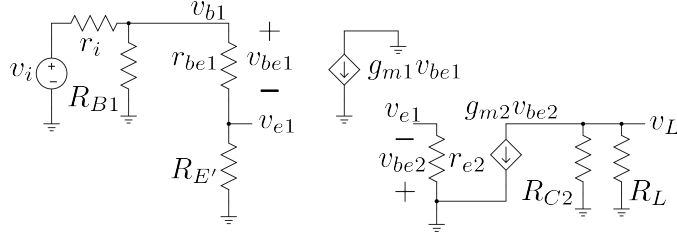
$$r_{e2} \approx \frac{1}{g_{m2}} = \frac{1}{0.04} = 25 \Omega$$

حاصل ہوتے ہیں۔

ایملیفائر مشترک کے لئے پائے ریاضی نمونہ جبکہ بیس مشترک کے لئے ٹی ریاضی نمونہ کو پائے ریاضی نمونہ کے طرز پر بناتے ہوئے زنجیری ایملیفائر کا باریک اشاراتی مساوی دور شکل 3.129 میں دکھایا گیا ہے۔  $R_{E2}$ ،  $R_{E1}$  اور  $r_{e2}$  متوازی جڑے ہیں جن کا مساوی مزاحمت  $24 \Omega$  بنتا ہے۔ اس کو  $(\beta + 1)$  سے ضرب دیتے ہوئے ایملیفائر مشترک کے پائے ریاضی نمونہ میں داخلی اور خارجی دائروں کو علیحدہ کیا جاسکتا ہے۔ ایسا کرتے ہوئے شکل 3.130 حاصل ہوتا ہے جہاں  $(\beta + 1) \times 24 \Omega$  کو  $R'_E$  کہا گیا ہے۔ یعنی  $R'_E = 2.4 \text{ k}\Omega$  ہے۔

یوں

$$A_v = \frac{v_L}{v_i} = \frac{v_L}{v_{be2}} \times \frac{v_{be2}}{v_{e2}} \times \frac{v_{e2}}{v_{b1}} \times \frac{v_{b1}}{v_i}$$



شکل 3.130

لکھا جاسکتا ہے۔ شکل کو دیکھتے ہوئے

$$\frac{v_L}{v_{be2}} = -g_{m2} (R_C \parallel R_L) = -0.04 \left( \frac{5000 \times 5000}{5000 + 5000} \right) = -100$$

$$\frac{v_{be2}}{v_{e2}} = -1$$

$$\frac{v_{e2}}{v_{b1}} = \frac{R'_E}{r_{be1} + R'_E} = \frac{2400}{1938 + 2400} = 0.553$$

لکھا جاسکتا ہے۔

$$R_{B1} \parallel (r_{be1} + R'_E) = \frac{17778 \times (1938 + 2400)}{17778 + 1938 + 2400} = 3487 \Omega$$

لیتے ہوئے

$$\frac{v_{b1}}{v_i} = \frac{3487}{r_i + 3487} = \frac{3487}{1000 + 3487} = 0.777$$

حاصل ہوتا ہے۔ یوں

$$A_v = (-100)(-1) \times 0.553 \times 0.777 = 43 \frac{V}{V}$$

حاصل ہوتا ہے۔

## 3.20 خطی لحاظ سے ایمپلیفائر کی درجہ بندی

اب تک تمام ایمپلیفائر میں ٹرانزسٹر کے نقطہ کارکردگی کو یوں رکھا گیا کہ ٹرانزسٹر تمام اوقات خطی خطے میں رہے۔ ایسا ایمپلیفائر جو 360 درجے کے اشارے کو بڑھانے کی صلاحیت رکھتا ہے درجہ الف<sup>55</sup> کا ایمپلیفائر کہلاتا ہے۔ داخلی اشارے کے عدم موجودگی میں بھی ایسے ایمپلیفائر میں  $I_{CQ}$  برقی رو گزرتی ہے جس سے ٹرانزسٹر میں  $V_{CEQ} I_{CQ}$  طاقت کا ضیاع پایا جاتا ہے۔ آپ دیکھ سکتے ہیں کہ بیٹری سے چلنے والے آلات کے لئے ایسا قطعاً قابل قبول نہیں۔<sup>56</sup>

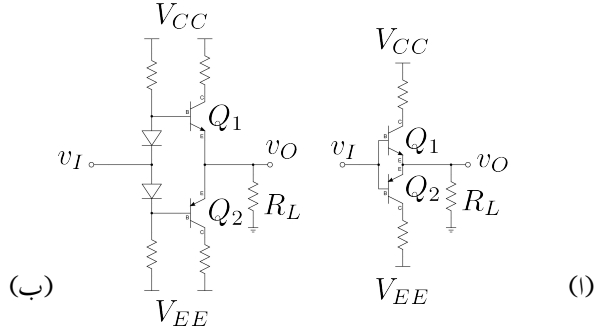
ٹرانزسٹر کے نقطہ کارکردگی کو چالو کردہ  $V_{CEQ}$  سے قدر نیچے رکھنے سے  $I_{CQ} \approx 0$  رکھا جاسکتا ہے۔ npn ٹرانزسٹر کی صورت میں، مثبت اشارے کی موجودگی میں ٹرانزسٹر چالو ہو جاتا ہے اور ایمپلیفائر کام کرنا شروع کر دیتا ہے جبکہ منفی اشارے کی صورت میں ٹرانزسٹر منقطع رہتا ہے اور یوں ایسا ایمپلیفائر منفی اشارہ بڑھانے کی صلاحیت نہیں رکھتا۔ pnp ٹرانزسٹر کی صورت میں ایسا ایمپلیفائر صرف منفی اشارے کو بڑھانے کی صلاحیت رکھتا ہے۔ ایسا ایمپلیفائر جو 180 درجے پر اشارہ بڑھا سکے درجہ بے<sup>57</sup> ایمپلیفائر کہلاتا ہے۔

شکل 3.131 الف میں دو عدد درجہ ب ایمپلیفائر جوڑتے ہوئے ایک ایسا ایمپلیفائر تخلیق دیا گیا ہے جو 360 درجے پر کام کرتا ہے۔ داخلی اشارے کی عدم موجودگی میں  $V_{BE} = V_{EB} = 0V$  ہوتا ہے۔ یوں دونوں ٹرانزسٹر منقطع رہتے ہیں اور ان میں طاقت کا ضیاع نہیں پایا جاتا۔ مثبت اشارے کی صورت میں  $Q_1$  چالو ہو جاتا ہے جبکہ منفی اشارے کی صورت میں  $Q_2$  چالو ہو جاتا ہے۔ یوں  $v_O \approx v_I$  حاصل ہوتا ہے۔ اگر داخلی اشارہ  $0.7V$  سے کم ہو تب ٹرانزسٹر چالو نہ ہو پائیں گے۔ شکل ب میں اس مسئلے کو حل کرنا دکھایا گیا ہے۔ آپ دیکھ سکتے ہیں کہ دونوں ڈیوڈ سیدھے مائل ہیں اور یوں ان پر تقریباً  $0.7V$  پایا جائے گا۔ یوں معمولی مثبت حیطے پر ہی  $Q_1$  چالو ہو جائے گا اور اسی طرح معمولی منفی حیطے پر  $Q_2$  چالو ہو جائے گا۔

درجہ ب ایمپلیفائر کے خارجی اشارے کی شکل بگڑی ہوتی ہے۔ اس کی شکل درست کرنے کی خاطر درجہ الف اور درجہ ب کی درمیانی صورت اختیار کی جاتی ہے جہاں ایمپلیفائر 180 سے قدر زیادہ زاویے تک کام کرے۔ ایسے ایمپلیفائر کو درجہ الف-ب<sup>58</sup> ایمپلیفائر کہا جاتا ہے۔

درجہ بے<sup>59</sup> ایمپلیفائر سے مراد ایسا ایمپلیفائر ہے جو 180 سے کم زاویے پر کام کرتا ہو۔ ایسے ایمپلیفائر انتہائی بلند تعدد<sup>60</sup> پر استعمال کئے جاتے ہیں جہاں ٹرانزسٹر کے خارجی جانب LC کی مدد سے درکار خارجی اشارہ پیدا کیا جاتا ہے۔

class A<sup>55</sup><sup>56</sup> آپ کبھی نہیں چاہیں گے کہ آپ کے موہاں کی بیٹری بغیر استعمال کے ختم ہو جائے۔class B<sup>57</sup>class AB<sup>58</sup>class C<sup>59</sup>RF<sup>60</sup>



شکل 3.131: درجہ ب ایمپلیفائر

درجہ 61 ایمپلیفائر سے مراد ایسا ایمپلیفائر ہے جس میں ٹرانزسٹر بطور سوئچ کام کرتا ہو۔ ٹرانزسٹر یا مکمل چالو اور یا پھر مکمل منقطع رہتا ہے۔

### 3.21 ٹرانزسٹر سے ڈائیوڈ کا حصول

مخلوط ادوار میں حقیقت میں ڈائیوڈ از خود نہیں بنایا جاتا بلکہ اس کی جگہ ٹرانزسٹر بنایا جاتا ہے اور اس ٹرانزسٹر کے بیس کو کلکٹر کے ساتھ جوڑ کر بطور ڈائیوڈ استعمال کیا جاتا ہے۔ شکل 3.132 الف میں npn استعمال کرتے ہوئے ڈائیوڈ حاصل کیا گیا ہے۔ ساتھ ہی ڈائیوڈ دکھا کر ٹرانزسٹر سے حاصل ڈائیوڈ کی سمت دکھائی گئی ہے۔ چونکہ ٹرانزسٹر کے بیس اور کلکٹر آپس میں جڑے ہیں لہذا  $v_{CE} = v_{BE}$  ہو گا اور یہ بالکل ایک ڈائیوڈ کی طرح ہی کردار ادا کرے گا۔ آئیں اس ڈائیوڈ کا باریک اشاراتی داخلی مزاحمت حاصل کریں۔ ایسا کرنے کی خاطر ٹرانزسٹر کے کلکٹر اور ایمر کے مابین  $v_t$  برقی دباؤ مہیا کرتے ہوئے  $i_t$  کا حساب لگاتے ہیں۔ ڈائیوڈ کی داخلی مزاحمت  $\frac{v_t}{i_t}$  ہو گی۔ شکل ب میں ٹرانزسٹر کا پائے ریاضی نمونہ استعمال کرتے ہوئے مساوی باریک اشاراتی دور دکھایا گیا ہے جس کو دیکھ کر ہم لکھ سکتے ہیں

$$i_t = \frac{v_t}{r_{be}} + g_m v_{be}$$

$$v_{be} = v_t$$



شکل 3.132: ٹرانزسٹر سے ڈیویڈ کا حصول

جن سے

$$\begin{aligned}
 i_t &= \frac{v_t}{r_{be}} + g_m v_t \\
 &= \left( \frac{1 + g_m r_{be}}{r_{be}} \right) v_t \\
 &= \left( \frac{1 + \beta}{r_{be}} \right) v_t
 \end{aligned}$$

حاصل ہوتا ہے جہاں دوسرے قدم پر  $\beta = g_m r_{be}$  کا استعمال کیا گیا ہے۔ یوں

$$(3.248) \quad \frac{v_t}{i_t} = \frac{r_{be}}{1 + \beta} = r_e$$

حاصل ہوتا ہے جہاں  $r_e = \frac{r_{be}}{\beta + 1}$  کا استعمال کیا گیا۔ اس مساوات سے ڈیویڈ کا باریک اشاراتی داخلی مزاحمت  $r_e$  حاصل ہوتا ہے۔ شکل 3.132 الف میں ٹرانزسٹر کے سامنے کلکٹر اور بیس کے مابین کو  $r_e$  مزاحمت اسی کو ظاہر کر رہی ہے۔

مثال 3.58: ایک ٹرانزسٹر کے کلکٹر اور بیس کو آپس میں جوڑ کر ٹرانزسٹر کو بطور ڈیویڈ استعمال کیا جا رہا ہے۔ اس ٹرانزسٹر میں 1 mA کا یک سمتی برقی رو پایا جاتا ہے۔ اس ڈیویڈ کی باریک اشاراتی مزاحمت حاصل کریں۔

حل: 1 mA پر

$$\begin{aligned}
 g_m &= \frac{I_C}{V_T} = \frac{1 \times 10^{-3}}{25 \times 10^{-3}} = 0.04 \text{ S} \\
 r_e &\approx \frac{1}{g_m} = \frac{1}{0.04} = 25 \Omega
 \end{aligned}$$

حاصل ہوتے ہے لہذا اس ڈایوڈ کا باریک اشاراتی داخلی مزاحمت  $25 \Omega$  ہے۔

### 3.22 منبع برقی دباو

صفحہ 193 پر مثال 2.20 میں آپ نے دیکھا کہ زینر ڈایوڈ میں برقی رو کے تبدیلی کی وجہ سے منبع کے برقی دباو میں تبدیلی پیدا ہوتی ہے۔ اس حصے میں زینر ڈایوڈ کے برقی رو میں تبدیلی کو کم کرتے ہوئے بہتر منبع بنائی جائے گی۔

شکل 3.133 الف مشترکہ ایمر ایملیفائر ہے جس کے داخلی جانب بیٹری سے  $V_B$  برقی دباو مہیا کی گئی ہے۔ یوں خارجی جانب  $v_L = V_B - V_{BE}$  ہو گا۔ برقی بوجھ  $R_L$  میں برقی رو  $i_L$  کی قیمت  $\frac{v_L}{R_L}$  ہو گی اور بیٹری سے  $\frac{i_L}{\beta+1}$  برقی رو حاصل کی جائے گی۔

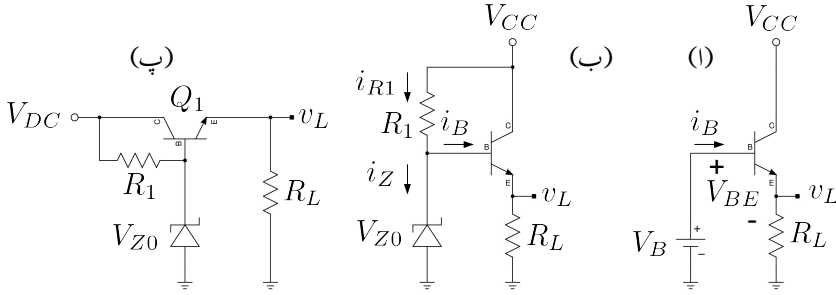
شکل ب میں بیٹری کی جگہ مزاحمت  $R_1$  اور زینر ڈایوڈ استعمال کیا گیا ہے۔ زینر ڈایوڈ کو غیر قابو صورت میں تصور کرتے ہوئے ٹرانزسٹر کے بیس پر  $V_{Z0}$  برقی دباو پایا جائے گا اور یوں  $v_L = V_{Z0} - V_{BE}$  ہو گا۔  $R_L \rightarrow \infty$  کی صورت میں  $i_L = 0$  A اور یوں  $i_B = \frac{i_L}{\beta+1} = 0$  A ہو گا۔ اسی طرح

$$(3.249) \quad i_{R1} = \frac{V_{CC} - V_{Z0}}{R_1}$$

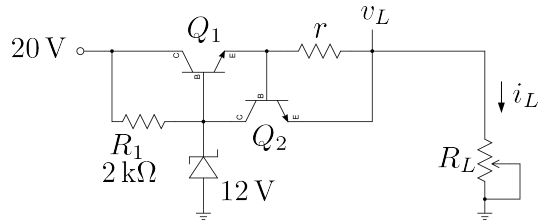
ہو گا۔  $i_B = 0$  A کی صورت میں کرخوف کے قانون برائے برقی رو  $i_{R1} = i_B + i_Z$  سے  $i_Z = i_{R1}$  حاصل ہوتا ہے۔ اب تصور کریں کہ  $R_L$  کی قیمت محدود اور  $0 \Omega$  سے زیادہ یعنی  $\infty > R_L > 0 \Omega$  ہے۔ اب بھی  $i_{R1}$  مندرجہ بالا مساوات سے ہی حاصل ہو گی۔ البتہ  $i_L = \frac{v_L}{R_L}$  اور  $i_B = \frac{i_L}{\beta+1}$  ہوں گے۔ یوں

$$\begin{aligned} i_Z &= i_{R1} - i_B \\ &= \frac{V_{CC} - V_{Z0}}{R_1} - \frac{i_L}{\beta + 1} \end{aligned}$$

ہو گا۔ آپ دیکھ سکتے ہیں کہ  $v_L$  کی قیمت کا دار و مدار صرف زینر ڈایوڈ کے برقی دباو پر ہے۔ یوں اس دور کو بطور منبع برقی دباو<sup>62</sup> استعمال کیا جاسکتا ہے۔ اس دور کو بطور منبع برقی دباو استعمال کرتے ہوئے شکل پ کے طرز پر بنایا جاتا ہے۔



شکل 3.133: مشترکہ ایسٹر ایڈیٹر برقی دہاؤ



شکل 3.134: ٹرانزسٹر سے حاصل کیے گئے برقی دہاؤ



آپ دیکھ سکتے ہیں کہ  $i_L$  میں  $\Delta i_L$  تبدیلی سے  $i_B$  میں صرف  $\frac{\Delta i_L}{\beta+1}$  تبدیلی رونما ہوگی۔  $\beta = 99$  کی صورت میں  $i_L$  کے تبدیلی کو سو گنا کم کر دیا گیا ہے۔ یوں زیئر ڈایوڈ کے برقی رو میں بھی سو گنا کم تبدیلی پیدا ہوگی جس سے زیئر ڈایوڈ پر پائے جانے والے برقی دباؤ میں تبدیلی بھی سو گنا کم ہوگی۔

شکل 3.133 پ میں اگر  $R_L$  کی مزاحمت نہایت کم کر دی جائے یا منبع کے خارجی جانب کو برقی زمین کے ساتھ قصر دور کر دیا جائے تو ایسی صورت میں ٹرانزسٹر کے چلنے کا امکان ہو گا۔ ایسی صورت سے بچنے کی خاطر منبع کے خارجی برقی رو کی حد مقرر کر دی جاتی ہے۔ اس حد سے کم برقی رو کی صورت میں منبع بالکل عام حالت کی طرح کام کرتے ہوئے مقرر برقی دباؤ مہیا کرتی ہے البتہ جیسے ہی برقی رو اس حد سے تجاوز کرنے کی کوشش کرے، منبع خارجی برقی دباؤ کو گھٹا کر برقی رو کو مقررہ حد کے اندر رکھتی ہے۔ شکل-3.134 میں ٹرانزسٹر  $Q_2$  اور مزاحمت  $r$  اسی مقصد کی خاطر منبع میں نسب کئے گئے ہیں۔

برقی رو  $i_L$  مزاحمت  $r$  میں گزرتے ہوئے اس پر  $i_{Lr}$  برقی دباؤ پیدا کرے گا جو درحقیقت  $Q_2$  کا  $V_{BE}$  ہے۔ جب تک  $V_{BE}$  کی قیمت تقریباً  $0.5V$  سے کم رہے اس وقت تک  $Q_2$  منقطع رہے گا اور اس کا کسی قسم کا کوئی کردار نہیں ہو گا۔ البتہ اگر  $i_L$  بڑھتے ہوئے اتنی ہو جائے کہ  $V_{BE} \geq 0.5V$  ہو، تب  $Q_2$  چالو ہو کر  $i_S$  میں اضافہ پیدا کرتے ہوئے خارجی برقی دباؤ  $v_L$  گھٹائے گا۔

$r = 2.5\Omega$  کی صورت میں  $i_L$  کی حد  $\frac{0.5}{2.5} = 200\text{mA}$  ہوگی۔ اتنی برقی رو پر بھی  $Q_1$  کا  $i_B$  صرف  $2\text{mA}$  ہے۔ چالو  $Q_2$  جیسے ہی  $4\text{mA}$  سے زیادہ برقی رو گزارے گا اسی وقت زیئر ڈایوڈ غیر قابو حالت سے نکل آئے گا اور اس پر برقی دباؤ  $12V$  سے گھٹ جائیں گے۔ بُری ترین صورت اس وقت پیش آئے گی جب  $v_L = 0V$  ہوں۔ ایسا خارجی جانب قصر دور ہونے سے ہو سکتا ہے۔ اس وقت غیر انفراسرد  $V_{CE}$  کو مد نظر رکھتے ہوئے  $Q_2$

$$\frac{20 - 0.2}{2000} = 9.9\text{mA}$$

سیدھا خارجی جانب پہنچائے گا جبکہ  $Q_1$  میں سے  $200\text{mA}$  گزر رہا ہو گا لہذا  $i_L = 209.9\text{mA}$  تک پہنچ پائے گا۔ یاد رہے کہ  $Q_2$  کسی صورت بھی  $Q_1$  کو  $200\text{mA}$  سے کم برقی رو گزارنے پر مجبور نہیں کر سکتا چونکہ ایسا ہوتے ہی  $V_{BE} < 0.5V$  ہو جائے گا اور  $Q_2$  چالو نہیں رہ سکے گا۔

برقی رو کا حد مقرر کرنے کی خاطر استعمال کئے گئے مزاحمت  $r$  کی وجہ سے خارجی برقی دباؤ  $v_L$  پر اثر ہوتا ہے جس سے  $v_L = V_{Z0} - V_{BE} - i_{Lr}$  لیکن جیسا آپ نے دیکھا اس مزاحمت کی قیمت نہایت کم ہوتی ہے

اور کم برقی رو پر اس کے اثر کو نظر انداز کیا جاسکتا ہے۔ اس مزاحمت کے اثر کو منبع میں مزید پرزے نسب کر کے ختم کیا جاسکتا ہے۔

### 3.23 ٹرانزسٹر لوگار تھمی ایمپلیفائر

شکل 3.135 میں ٹرانزسٹر لوگار تھمی ایمپلیفائر<sup>63</sup> دکھایا گیا ہے۔  $v_k = v_n = 0V$  ہونے کی بدولت

$$i_I = \frac{v_I}{R}$$

لکھا جاسکتا ہے۔ کرخوف کے قانون برائے برقی رو سے  $i_I = i_C$  ہو گا جہاں مساوات 3.55 کے تحت

$$i_C \approx I_S e^{\frac{v_{BE}}{V_T}}$$

لکھا جاسکتا ہے۔  $v_{BE} = -v_O$  لیتے ہوئے یوں

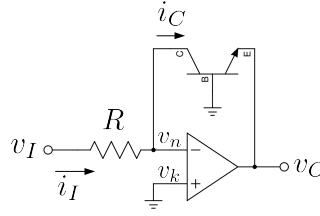
$$\begin{aligned} \frac{v_I}{R} &= I_S e^{\frac{v_{BE}}{V_T}} \\ &= I_S e^{-\frac{v_O}{V_T}} \end{aligned}$$

جس سے

$$(3.250) \quad v_O = -V_T \ln \frac{v_I}{I_S R}$$

حاصل ہوتا ہے۔ اس مساوات کے تحت خارجی برقی دباؤ  $v_O$  داخلی برقی دباؤ کے قدرتی لوگار تھم<sup>64</sup> کے برابر ہے۔ یہاں رک کر شکل 2.24 کو بھی ایک نظر دیکھیں۔

<sup>63</sup> log amplifier  
<sup>64</sup> ln



شکل 3.135: ٹرانزسٹر لوگار تھمی ایمپلیفائر

## 3.24 شاکلی ٹرانزسٹر

غیر افزائندہ ٹرانزسٹر کے BE اور BC جوڑ سیدھے مائل ہوتے ہیں۔ جیسے حصہ 2.20.1 میں بتلایا گیا، سیدھے مائل pn جوڑ کا نفوذی کمپیسٹر کافی زیادہ ہوتا ہے۔ یوں اگر ٹرانزسٹر کو افزائندہ خطے میں لانا ہو تو پہلے ان کمپیسٹروں میں ذخیرہ برقی بار<sup>65</sup> کی نکاسی کرنی ہوگی۔ زیادہ بڑے کمپیسٹر کی نکاسی زیادہ دیر میں ہوتی ہے لہذا ایسا ٹرانزسٹر زیادہ تیزی سے غیر-افزائندہ حال سے افزائندہ حال میں نہیں لایا جاسکتا۔ اگر کسی طرح ان کمپیسٹروں کی قیمت کم کر دی جائے تو ٹرانزسٹر زیادہ تیز رفتار پر کام کرنے کے قابل ہو جائے گا۔

شکل 3.136 الف میں ٹرانزسٹر کے بیس اور کلکٹر کے درمیان شاکلی ڈایوڈ نسب کیا گیا ہے۔ ایسا کرنے سے شاکلی ٹرانزسٹر<sup>66</sup> وجود میں آتا ہے جس کی علامت شکل ب میں دکھائی گئی ہے۔ شاکلی ٹرانزسٹر کی کارکردگی شکل 3.137 میں دئے ایمپلیفائر کی مدد سے دیکھتے ہیں۔ چالو ٹرانزسٹر کا  $V_{BE} = 0.7\text{ V}$  ہوتا ہے۔ اگر ٹرانزسٹر افزائندہ حال میں ہو تب شاکلی ڈایوڈ الٹا مائل ہو گا اور اس کا کوئی کردار نہیں ہو گا البتہ اگر ٹرانزسٹر غیر افزائندہ ہونے کی کوشش کرے تب  $V_{CE}$  کم ہو کر شاکلی ڈایوڈ کو سیدھا مائل کر دے گا۔ یہی صورت حال شکل میں دکھائی گئی ہے۔ یہیں سے ایک اہم حقیقت واضح ہوتی ہے۔ چونکہ سیدھے مائل شاکلی ڈایوڈ پر  $0.3\text{ V}$  پائے جاتے ہیں لہذا ٹرانزسٹر کا  $V_{BC}$  بھی  $0.3\text{ V}$  پر ہو گا۔ آپ جانتے ہیں کہ pn جوڑ کو چالو کرنے کی خاطر کم از کم  $0.5\text{ V}$  درکار ہوتے ہیں لہذا BC جوڑ چالو حالت میں نہیں ہو گا۔ غیر چالو جوڑ کی برقی رو قابل نظر انداز ہوتی ہے۔ یوں صفحہ 173 پر دئے مساوات 2.66 کے تحت اس جوڑ کی نفوذی کمپنسٹ<sup>66</sup> بھی قابل نظر انداز ہوگی۔ کمپیسٹر کے کم ہونے کی وجہ سے یہ ٹرانزسٹر زیادہ رفتار پر کام کر پائے گا۔

<sup>65</sup> charge  
<sup>66</sup> Schottky transistor

کر خوف کے قانون برائے برقی دباؤ سے ہم دیکھتے ہیں کہ

$$V_{BE} = V_{CE} + V_D$$

کے برابر ہے۔ یوں شاکی ڈایوڈ کے سیدھے برقی دباؤ کو  $0.3 \text{ V}$  لیتے ہوئے ہم دیکھتے ہیں کہ  $V_{CE} = 0.4 \text{ V}$  حاصل ہوتا ہے۔ یہ اہم حقیقت ہے جس کے مطابق شاکی ٹرانزسٹر کا  $V_{CE}$  کسی صورت  $0.4 \text{ V}$  سے کم نہیں ہو سکتا اور یوں یہ کبھی بھی غیر افزائندہ حال میں نہیں پایا جائے گا۔

شکل میں یوں

$$I_{RB} = \frac{V_{BB} - V_{BE}}{R_B} = \frac{9.7 - 0.7}{10000} = 0.9 \text{ mA}$$

$$I_{RC} = \frac{V_{CC} - V_{CE}}{R_C} = \frac{9.4 - 0.4}{1200} = 7.5 \text{ mA}$$

حاصل ہوتے ہیں۔ مزید کر خوف کے قانون برائے برقی رو سے ہم دیکھتے ہیں کہ

$$I_C = I_D + I_{RC}$$

$$I_D = I_{RB} - I_B$$

ہیں۔ ان دو مساوات کے ساتھ  $I_B = \frac{I_C}{\beta}$  کو ملا کر

$$\begin{aligned} I_C &= I_{RB} - I_B + I_{RC} \\ &= I_{RB} - \frac{I_C}{\beta} + I_{RC} \end{aligned}$$

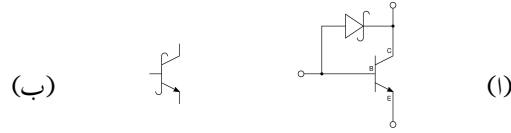
یعنی

$$I_C = 8.316 \text{ mA}$$

حاصل ہوتا ہے۔ یوں

$$I_D = I_C - I_{RC} = 0.816 \text{ mA}$$

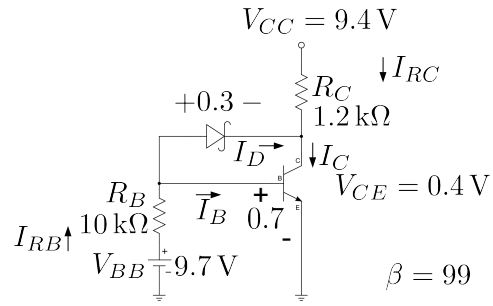
ہوں گے۔



شکل 3.136: شاہکی ٹرانزسٹر کی بناوٹ اور علامت

$$\begin{aligned}
 V_{CE} &= V_{BE} - V_D \\
 &= 0.7 - 0.3 \\
 &= 0.4 \text{ V}
 \end{aligned}$$

شاہکی ٹرانزسٹر کبھی  
بھی غیر افزائندہ نہیں ہوتا



شکل 3.137: شاہکی ایپلیکیشنز

## 3.25 قوی ٹرانزسٹر

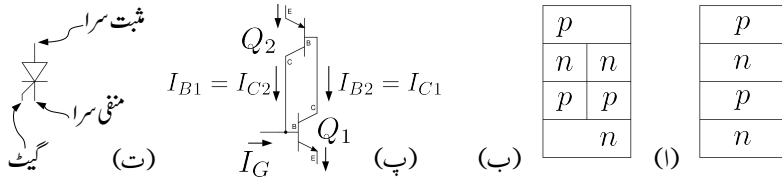
سیلیکان پتہری پر ٹرانزسٹر کا رقبہ بڑھا کر زیادہ طاقت کے ٹرانزسٹر بنائے جاتے ہیں۔ کئی امپیر اور کئی سو وولٹ تک کام کرنے والے ایسے قوی ٹرانزسٹر<sup>67</sup> زیادہ طاقت قابو کرنے میں کام آتے ہیں۔ اس طرح کے متعدد ٹرانزسٹر متوازی جوڑ کر مزید زیادہ برقی رو کو قابو کیا جاتا ہے۔ یک سمتی سے بدلتی رو برقی دباؤ بناتے انورٹر<sup>68</sup> میں انہیں عموماً استعمال کیا جاتا ہے۔ قوی ٹرانزسٹر ایک مائیکرو سیکنڈ کے لگ بھگ دورانیہ میں چالو سے منقطع یا منقطع سے چالو حالت میں لائے جا سکتے ہیں۔

برقی طاقت کا ضیاع قوی ٹرانزسٹر کو گرم کرتے ہوئے اس کا درجہ حرارت بڑھاتا ہے۔ ٹرانزسٹر کا درجہ حرارت بڑھنے سے اس کا  $V_{BE}$  گھٹتا ہے۔ یوں متوازی جڑے ٹرانزسٹر میں اگر کسی وجہ سے ایک ٹرانزسٹر زیادہ گرم ہو تو اس کا  $V_{BE}$  گھٹ جائے گا۔ متوازی جڑے ٹرانزسٹروں میں جس ٹرانزسٹر کا  $V_{BE}$  کم سے کم ہو، اس کا  $i_B$  زیادہ سے زیادہ ہو گا لہذا اس کا  $i_C$  بھی زیادہ سے زیادہ ہو گا۔ یوں زیادہ گرم ہونے والا ٹرانزسٹر مزید زیادہ برقی رو گزارتے ہوئے مزید زیادہ گرم ہو گا۔ اگر اس عمل کو روکا نہ جائے تو یہ ٹرانزسٹر آخر کار جل جائے گا۔ ٹرانزسٹر کے کلکٹر کو عموماً موصل نالی دار دھاتی چادر<sup>69</sup> کے ساتھ جوڑ کر ٹھنڈا رکھا جاتا ہے۔ تمام ٹرانزسٹر کو قریب قریب ایک ہی موصل نالی دار دھاتی چادر کے ساتھ جوڑ کر کوشش کی جاتی ہے کہ تمام ٹرانزسٹر ایک ہی درجہ حرارت پر رہیں تا کہ ان میں برقی رو کی تقسیم متاثر نہ ہو۔

## 3.26 قابوریکیٹیفائر

شکل 3.138 الف میں  $p$  اور  $n$  کے چار تہہ کا پرزہ دکھایا گیا ہے جسے قابوریکیٹیفائر<sup>70</sup> کہتے ہیں۔ شکل ب کے درمیان لکیر لگا کر اسی کو آپس میں جڑے  $pnp$  اور  $nnp$  ٹرانزسٹر دکھایا گیا ہے جس سے شکل پ حاصل ہوتا ہے۔ قابوریکیٹیفائر کے عموماً تین سرے باہر مہیا کئے جاتے ہیں جنہیں ہم مثبت سر<sup>71</sup>، منفی سر<sup>72</sup> اور گیٹ<sup>73</sup> کہیں گے۔ گیٹ عموماً  $nnp$  کا بیس ہوتا ہے۔ قابوریکیٹیفائر کی علامت شکل ت میں دکھائی گئی ہے۔

<sup>67</sup> power transistor<sup>68</sup> inverter<sup>69</sup> heat sink<sup>70</sup> scr, thyristor<sup>71</sup> anode<sup>72</sup> cathode<sup>73</sup> gate



شکل 3.138: قابوریکیٹیفائر

قابوریکیٹیفائر کی کارکردگی باآسانی شکل پ کی مدد سے سمجھی جاسکتی ہے۔ تصور کریں کہ دونوں ٹرانزسٹر منقطع ہیں۔ بیرونی مداخلت کے بغیر دونوں منقطع ہی رہیں گے۔ اب تصور کریں کہ گیٹ پر باہر سے برقی رو  $I_G$  فراہم کی جاتی ہے۔ یوں  $Q_1$  چالو ہو کر  $I_{C2} = \beta_1 I_G$  خارج کرے گا جو کہ  $Q_2$  کے بیس کی برقی رو ہے اور یوں  $Q_2$  بھی چالو ہو کر  $\beta_2 I_{B2}$  خارج کرے گا جو  $Q_1$  کو برقرار چالو رکھے گا۔ آپ دیکھ سکتے ہیں کہ اگر اب  $I_G$  کو صفر بھی کر دیا جائے تو قابوریکیٹیفائر چالو ہی رہے گا۔ حقیقت میں دیکھا گیا ہے کہ  $I_G$  منفی کرنے سے بھی قابوریکیٹیفائر منقطع نہیں ہوتا۔ قابوریکیٹیفائر کو بغیر  $I_G$  کے چالو رکھنے کی خاطر ضروری ہے کہ اس میں کم از کم  $I_L$  برقی رو گزر رہی ہو۔ اس برقی رو کو ہم برقی رو چالو رکھنے کے لیے  $I_L$  کہیں گے۔

چالو قابوریکیٹیفائر کو منقطع کرنے کا ایک ہی طریقہ ہے۔ اس سے گزرتے ہوئے برقی رو کو کچھ دورانیے کے لئے تقریباً صفر کرنا ہو گا۔ حقیقت میں اگر اس سے گزرتی برقی رو کو ایک مخصوص حد  $I_h$  سے کم کر دی جائے تو قابوریکیٹیفائر منقطع صورت اختیار کر لیتا ہے۔ اس حد کو ہم قابوریکیٹیفائر کی برقی رو منقطع کرنے کے لیے  $I_h$  کہیں گے۔

چالو ہونے کے بعد قابوریکیٹیفائر بالکل ایک سادہ ڈیوڈ کی طرح کام کرتے ہوئے گزرتی برقی رو قابو کرنے کی صلاحیت کھو دیتا ہے۔

قابوریکیٹیفائر بغیر  $I_G$  کے بھی کئی طریقوں سے چالو کیا جاسکتا ہے۔ اگر اس پر لاگو برقی دباؤ قابل برداشت سے بڑھتی ہے تو یہ چالو ہو جاتا ہے۔ اسی طرح درجہ حرارت بڑھانے سے ٹرانزسٹر کی الٹی جانب رستا برقی رو بڑھتی ہے جس سے یہ چالو ہو سکتا ہے۔

جہاں قوی ٹرانزسٹر صرف چند ایمپیر برقی رو گزارنے کی صلاحیت رکھتا ہے وہاں قابوریکیٹیفائر کئی ہزار ایمپیر قابو کرنے کی صلاحیت رکھتا ہے اور یہ کئی سیکڑوں وولٹ کے برقی دباؤ کو برداشت کر سکتا ہے۔ اس وقت ٹرانزسٹر پر مبنی

latching current<sup>74</sup>  
holding current<sup>75</sup>

انورٹر<sup>76</sup> تقریباً 100 kW تک دستیاب ہیں جبکہ قابوریٹھینفاز پر مبنی 10 MW طاقت کے انورٹر لوہے کی بھٹیوں میں عام استعمال ہوتے ہیں۔



## اہم نکات

$$i_C = I_S \left( e^{\frac{v_{BE}}{V_T}} - 1 \right) \approx I_S e^{\frac{v_{BE}}{V_T}}$$

$$V_T = \frac{kT}{q} \approx 25 \text{ mV}$$

$$I_C = \alpha I_E$$

$$I_E = I_B + I_C$$

$$i_c = \beta i_b$$

$$i_e = (\beta + 1) i_b$$

$$\beta = \frac{\alpha}{1 - \alpha}$$

$$\alpha = \frac{\beta}{\beta + 1}$$

$$V_{BE} = 0.7 \text{ V}$$

$$V_{CE} = 0.2 \text{ V}$$

$$\frac{\Delta v_{BE}}{\Delta T} = -2 \text{ mV}/^\circ\text{C}$$

$$g_m = \left. \frac{\partial i_C}{\partial v_{BE}} \right|_Q = \frac{I_C}{V_T}$$

$$r_{be} = \left. \frac{\partial v_{BE}}{\partial i_B} \right|_Q = \frac{\beta}{g_m}$$

$$r_e = \left. \frac{\partial v_{BE}}{\partial i_E} \right|_Q = \frac{r_{be}}{\beta + 1} = \frac{\alpha}{g_m} \approx \frac{1}{g_m}$$

$$r_o = \left. \frac{\partial v_{CE}}{\partial i_C} \right|_Q = \frac{V_A + V_{CE}}{I_C} \approx \frac{V_A}{I_C}$$

$$R_E = \frac{10R_B}{\beta + 1}$$

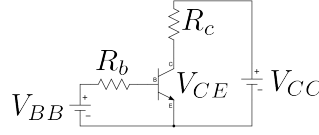
$$r_{be} = \frac{\beta V_T}{I_{CQ}} \ll R_B \ll (\beta + 1) R_E$$

$$S_{V_{BE}} \approx -\frac{1}{R_E}$$

$$S_\beta = \frac{I_{C1}}{\beta_1} \left[ \frac{R_B + R_E}{R_B + (\beta_2 + 1) R_E} \right]$$

$$I_{CQ} = \frac{V_{CC}}{R_{بدلتی} + R_{یکستی}}$$

$$A_v = -\alpha \frac{\sum R_C}{\sum R_E} = -\alpha \left( \frac{\text{کلکٹر پر کل مزاحمت}}{\text{ایسٹر پر کل مزاحمت}} \right)$$



شکل 3.139: ٹرانزسٹر کا ایک سہتی دور

### سوالات

مندرجہ ذیل سوالات میں  $I_C = I_E$  تصور کرتے ہوئے حل کریں۔

سوال 3.1: شکل 3.139 میں

$$V_{CC} = 10 \text{ V} \quad V_{BB} = 2.5 \text{ V} \quad \beta = 99 \\ R_b = 147 \text{ k}\Omega \quad R_c = 4 \text{ k}\Omega$$

لیتے ہوئے  $I_C$ ،  $I_B$  اور  $V_{CE}$  حاصل کریں۔

جوابات:  $V_{CE} = 5.1 \text{ V}$  اور  $I_B = 12.245 \mu\text{A}$ ،  $I_C = 1.2245 \text{ mA}$

سوال 3.2: سوال 3.1 میں  $R_c = 8 \text{ k}\Omega$  کرتے ہوئے اسے دوبارہ حل کریں۔

جوابات:  $V_{CE} = 0.2 \text{ V}$  اور  $I_B = 12.245 \mu\text{A}$ ،  $I_C = 1.2245 \text{ mA}$

سوال 3.3: سوال 3.1 میں  $R_c = 12 \text{ k}\Omega$  کرتے ہوئے اسے دوبارہ حل کریں۔

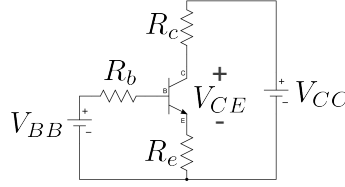
جوابات:  $V_{CE} = 0.2 \text{ V}$  اور  $I_B = 12.245 \mu\text{A}$ ،  $I_C = 0.8166 \text{ mA}$

سوال 3.4: شکل 3.139 میں

$$V_{CC} = 20 \text{ V} \quad \beta = 99 \\ R_b = 100 \text{ k}\Omega \quad R_c = 9 \text{ k}\Omega$$

ہیں۔  $V_{BB}$  کی وہ قیمت حاصل کریں جس پر ٹرانزسٹر غیر افزائندہ صورت اختیار کر لیتا ہے۔

جواب:  $V_{BB} = 2.9 \text{ V}$ ،  $I_B = 22 \mu\text{A}$ ،  $I_C = 2.2 \text{ mA}$ ،  $V_{CE} = 0.2 \text{ V}$



شکل 3.140

سوال 3.5: سوال 3.4 میں  $V_{BB}$  کی وہ قیمت حاصل کریں جس پر  $V_{CE} = \frac{V_{CC}}{2}$  ہو گا۔

جواب:  $V_{BB} = 1.811 \text{ V}$ ،  $I_B = 11.11 \mu\text{A}$ ،  $I_C = 1.111 \text{ mA}$

سوال 3.6: شکل 3.140 میں

$$V_{CC} = 15 \text{ V} \quad V_{BB} = 3.5 \text{ V} \quad \beta = 99$$

$$R_b = 14.7 \text{ k}\Omega \quad R_c = 4 \text{ k}\Omega \quad R_e = 1.47 \text{ k}\Omega$$

لیتے ہوئے  $V_{CE}$  اور  $I_B$ ،  $I_C$  حاصل کریں۔

جوابات:  $V_{CE} = 5.528 \text{ V}$  اور  $I_B = 17.49 \mu\text{A}$ ،  $I_C = 1.73 \text{ mA}$

سوال 3.7: سوال 3.6 میں  $V_{BB} = 6 \text{ V}$  کرتے ہوئے اسے دوبارہ حل کریں۔

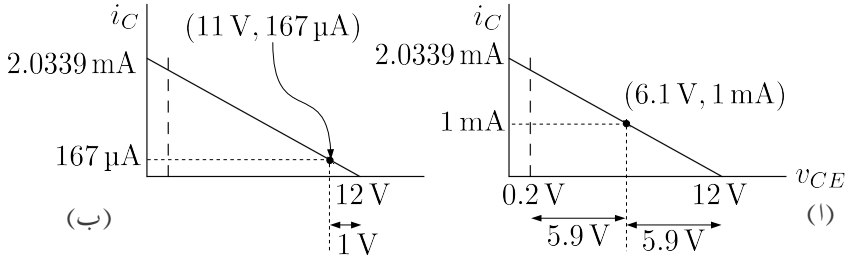
جوابات: ٹرانزسٹر غیر افزائندہ ہے۔  $V_{CE} = 0.2 \text{ V}$  اور  $I_B = 84.03 \mu\text{A}$ ،  $I_C = 2.681 \text{ mA}$

سوال 3.8: سوال 3.7 میں ٹرانزسٹر غیر افزائندہ ہے۔ اس صورت میں ٹرانزسٹر کا  $\beta$  کیا ہے۔

جواب:  $\beta = \frac{I_C}{I_B} = 31.9$

سوال 3.9: شکل 3.139 میں  $\beta = 37$ ،  $V_{CC} = 12 \text{ V}$  اور  $R_C = 3.3 \text{ k}\Omega$  ہیں۔  $V_{CE} = 6 \text{ V}$  رکھنے کی خاطر درکار  $R_B$  اور  $V_{BB}$  حاصل کریں۔

جوابات:  $I_B = 49.14 \mu\text{A}$ ،  $I_C = 1.8182 \text{ mA}$  ہیں۔  $R_B$  اور  $V_{BB}$  کو  $V_{BB} = V_{BE} + I_B R_B$  سے حاصل کیا جاسکتا ہے۔ البتہ اس مساوات میں دو نا معلوم جزو ہیں۔ دو نا معلوم اجزاء حاصل کرنے کی خاطر دو مساوات درکار ہوتے ہیں۔ اس طرح کے مسائل سے انجینیئر کا عموماً واسطہ پڑتا ہے۔ انجینیئر کی صلاحیت یہاں کام آتی



شکل 3.141

ہے۔ موجودہ مسئلہ میں اگر  $V_{BB}$  اور  $R_B$  میں سے کسی ایک کی قیمت چن لی جائے دو دوسرے کی قیمت اس مساوات سے حاصل کی جاسکتی ہے۔ یوں  $V_{BB} = 6 \text{ V}$  چنے سے  $R_B = 107.86 \text{ k}\Omega$  حاصل ہوتا ہے۔

سوال 3.10: شکل 3.140 میں  $\beta = 37$ ،  $V_{CC} = 12 \text{ V}$  اور  $R_C = 3.3 \text{ k}\Omega$  ہیں۔  $V_{CE} = 6 \text{ V}$  اور  $I_C = 1 \text{ mA}$  رکھنے کی خاطر بقیہ اجزاء حاصل کریں۔

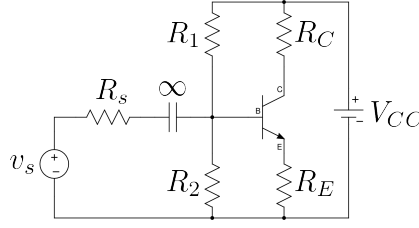
جوابات:  $R_B = 10.26 \text{ k}\Omega$ ،  $R_E = 2.7 \text{ k}\Omega$  اور  $V_{BB} = 3.67 \text{ V}$

سوال 3.11: شکل 3.140 میں  $\beta = 37$  اور  $V_{CC} = 12 \text{ V}$  ہیں۔ خارجی اشارے کا جیٹ زیادہ سے زیادہ رکھنے کی خاطر خطِ بوجھ کھینچیں اور اس سے  $V_{CEQ}$  حاصل کریں۔ بقیہ تمام اجزاء بھی حاصل کریں۔ ایسا کرتے ہوئے  $R_C = 10R_E$  اور  $I_C = 1 \text{ mA}$  رکھیں۔

جوابات: خطِ بوجھ کو شکل 3.141 الف میں دکھایا گیا ہے جس سے  $V_{CEQ} = 6.1 \text{ V}$  حاصل ہوتا ہے۔  
 $V_{BB} = 1.29 \text{ V}$ ،  $R_B = 2.04 \text{ k}\Omega$ ،  $R_C = 5.36 \text{ k}\Omega$ ،  $R_E = 536 \Omega$

سوال 3.12: شکل 3.140 میں خارجی اشارے کا جیٹ  $\pm 1 \text{ V}$  متوقع ہے۔ دور کو نو وولٹ کے بیڑی سے  $V_{CC}$  مہیا کیا جاتا ہے۔ بیڑی کو زیادہ دیر کار آمد رکھنے کی خاطر اس سے حاصل یک سمتی برقی رد کم سے کم رکھا جاتا ہے۔ سوال 3.11 میں حاصل کئے گئے  $R_C$  اور  $R_E$  استعمال کرتے ہوئے خطِ بوجھ سے  $V_{CEQ}$  اور  $I_{CQ}$  کا تعین کر کے  $V_{BB}$  حاصل کریں۔

جوابات: خطِ بوجھ کو شکل 3.141 ب میں دکھایا گیا ہے جس سے  $V_{CEQ} = 11 \text{ V}$  اور  $I_C = 167 \mu\text{A}$  حاصل ہوتے ہیں۔ یوں  $V_{BB} = 0.798 \text{ V}$  حاصل ہوتا ہے۔



شکل 3.142

سوال 3.13: سوال 3.12 میں  $R_E$  کی قیمت  $R_C$  سے بہت کم رکھی گئی جس کی وجہ سے  $V_{BB}$  کی قیمت بھی بہت کم حاصل ہوئی۔ دیکھتے ہیں کہ  $V_{BB}$  کی قیمت کم ہونے سے کیا مسئلہ پیدا ہوتا ہے۔ سوال 3.12 کے دور میں اگر حقیقت میں  $V_{BE} = 0.7\text{ V}$  کے بجائے  $0.65\text{ V}$  ہو تب  $I_C$  کیا ہوگی۔

جواب:  $I_C = 251\text{ }\mu\text{A}$  - آپ دیکھ سکتے ہیں کہ  $V_{BE}$  میں ذرہ سی تبدیلی سے برقی رو پچاس فی صد بڑھ گئی ہے جبکہ ہم چاہتے ہیں کہ ٹرانزسٹر کے خصوصیات تبدیل ہونے سے برقی رو میں کم سے کم تبدیلی رونما ہو۔

سوال 3.14: شکل 3.140 میں  $V_{CC} = 21\text{ V}$ ،  $I_C = 1\text{ mA}$  اور  $V_{CE} = 5\text{ V}$  حاصل کرنی ہے۔  $R_C$  اور  $R_E$  کو برابر رکھتے ہوئے  $R_B$  کی وہ قیمت حاصل کریں جس سے  $\beta$  کی قیمت 49 تا 149 تبدیل ہونے کے باوجود  $I_C$  میں کل دس فی صد سے زیادہ تبدیلی رونما نہ ہو۔  $V_{BB}$  بھی حاصل کریں۔

جوابات:  $R_E = R_C = 8\text{ k}\Omega$  ہیں۔ درکار ہے لہذا  $\beta = 49$  پر برقی رو 5% کم یعنی  $0.95\text{ mA}$  جبکہ  $\beta = 149$  پر برقی رو 5% زیادہ یعنی  $1.05\text{ mA}$  تصور کرتے ہوئے  $R_B = 66.66\text{ k}\Omega$ ،  $V_{BB} = 9.566\text{ k}\Omega$  حاصل ہوتے ہیں۔

سوال 3.15: سوال 3.14 کے نتائج حاصل کرنے کی خاطر شکل 3.142 میں  $R_1$  اور  $R_2$  حاصل کریں۔

جوابات:  $R_2 = 328\text{ k}\Omega$ ،  $R_1 = 83\text{ k}\Omega$

سوال 3.16: شکل 3.142 میں

$$R_C = 500\text{ }\Omega, R_E = 100\text{ }\Omega, R_1 = 15\text{ k}\Omega, R_2 = 4\text{ k}\Omega, V_{CC} = 10\text{ V}$$

جبکہ  $\beta = 100$  ہیں۔ نقطہ کارکردگی حاصل کریں۔ اس دور میں کم  $\beta$  کا ٹرانزسٹر استعمال کرنا ہے۔ ایسا کرتے ہوئے برقی رو میں دس فی صد تک کی تبدیلی قابل قبول ہے۔ نئے ٹرانزسٹر کے کم سے کم قابل قبول  $\beta$  کی قیمت حاصل کریں۔

جوابات:  $10.7 \text{ mA}$  ،  $3.57 \text{ V}$  ،  $\beta = 68$

سوال 3.17: سوال 3.16 کے تمام مزاحمت اور ٹرانزسٹر کے بیس۔ کلکٹر جوڑ پر برقی طاقت کا ضیاع حاصل کریں۔

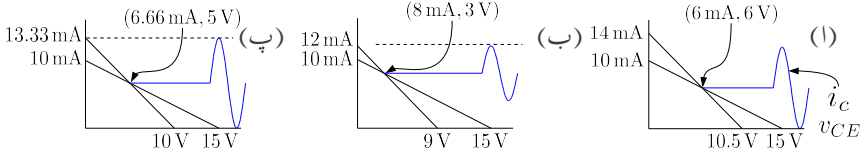
جوابات:  $I_C = I_E = 10.7 \text{ mA}$  لیتے ہوئے  $P_{RC} = 11.4 \text{ mW}$  اور  $P_{RE} = 57 \text{ mW}$  حاصل ہوتا ہے۔  $V_E = I_E R_E = 1.07 \text{ V}$  اور یوں  $V_B = 1.77 \text{ V}$  حاصل ہوتا ہے۔ یوں  $P_{R2} = \frac{V_B^2}{R_2}$  سے  $P_{R1} = 4.5 \text{ mW}$  اور  $0.78 \text{ mW}$

سوال 3.18: شکل 3.142 میں  $R_E$  کے متوازی لامحدود قیمت کا کپیسٹر نسب کیا جاتا ہے۔  $R_C = 750 \Omega$  ،  $R_E = 750 \Omega$  ،  $\beta = 37$  ، جبکہ  $V_{CC} = 15 \text{ V}$  ہیں۔

- $I_{CQ} = 6 \text{ mA}$  کی خاطر  $R_1$  اور  $R_2$  حاصل کریں۔
- یک سمتی اور بدلتی رو خط بوجھ کھینچیں اور ان پر تمام اہم نقطیں ظاہر کریں۔
- غیر انفراسنڈ  $V_{CEQ}$  کو نظر انداز کرتے ہوئے، حاصل قیمتوں کے استعمال سے خارجی اشارے کا زیادہ سے زیادہ ممکنہ حیثہ کیا ہو گا۔

جوابات:

- $R_2 = 4572 \Omega$  اور  $R_1 = 7566 \Omega$  ،  $V_{BB} = 5.65 \text{ V}$
- شکل 3.143 الف میں یک سمتی اور بدلتی رو، خط بوجھ دکھائے گئے ہیں۔ بدلتی رو، خط بوجھ کی ڈھلوان  $-\frac{1}{750}$  ہے اور یہ یک سمتی رو، خط بوجھ کو نقطہ کارکردگی پر ٹکراتا ہے۔
- شکل سے  $i_c$  کا حیثہ  $6 \text{ mA}$  تک ممکن ہے۔  $i_c$  کی منفی چوٹی پہلے تراشی جائے گی۔



شکل 3.143

سوال 3.19: سوال 3.18 میں  $I_{CQ} = 9 \text{ mA}$  رکھتے ہوئے  $i_c$  کا زیادہ سے زیادہ جیٹہ کیا ممکن ہے۔

حل: شکل 3.143 ب میں یک سمتی اور بدلتی رو خطوط دکھائے گئے ہیں جہاں سے  $i_c$  کا زیادہ سے زیادہ جیٹہ  $4 \text{ mA}$  تک ممکن ہے۔  $i_c$  کی مثبت چوٹی پہلے تراشی جائے گی۔

سوال 3.20: سوال 3.18 میں نقطہ کارکردگی کس مقام پر رکھنے سے  $i_c$  کا جیٹہ زیادہ سے زیادہ حاصل کرنا ممکن ہو گا۔ اس جیٹے کی قیمت حاصل کریں۔

حل:  $(I_{CQ} = 6.66 \text{ mA}, 5 \text{ V})$  درکار نقطہ کارکردگی ہے۔ جیسے شکل 3.143 پ میں دکھایا گیا ہے  $i_c$  کا زیادہ سے زیادہ جیٹہ  $6.66 \text{ mA}$  ہو گا۔  $i_c$  کا جیٹہ مزید بڑھانے سے دونوں جانب تراشا جائے گا۔



## باب 4

### میدانی ٹرانزسٹر

دو جوڑ ٹرانزسٹر کی طرح میدانی ٹرانزسٹر یا فیٹے FET بھی اپنے دو سروں کے مابین برقی رو کا گزر قابو کرنے کی صلاحیت رکھتا ہے۔ یوں انہیں بطور ایمپلیفائر یا برقی سوئچ استعمال کیا جاسکتا ہے۔ میدانی ٹرانزسٹر کے دو سروں کے مابین برقی میدان<sup>1</sup> کے شدت اس میں برقی رو کے گزر کو قابو کرتا ہے۔ اسی سے اس کا نام میدانی ٹرانزسٹر نکلا ہے۔ میدانی ٹرانزسٹر  $n$  یا  $p$  قسم کا بنانا ممکن ہوتا ہے۔  $n$  قسم فیٹے میں برقی رو کا گزر بذریعہ منفی برقی بار<sup>2</sup> جبکہ  $p$  قسم کے فیٹے میں بذریعہ مثبت برقی بار ہوتا ہے۔

میدانی ٹرانزسٹر کے کئی اقسام ہیں جن میں ماسفیٹ MOSFET سب سے زیادہ مقبول ہے۔ بقایا اقسام کے ٹرانزسٹروں کے نسبت ماسفیٹ کا بنانا نسبتاً آسان ہے۔ مزید یہ کہ ماسفیٹ کم رقبہ پر بنتا ہے اور یوں انہیں استعمال کرتے ہوئے سیلیکان کی پتری پر زیادہ گھنے ادوار بنانا ممکن ہوتا ہے۔ مخلوط عددی ادوار صرف ماسفیٹ استعمال کرتے ہوئے تخلیق دینا ممکن ہے یعنی ایسے ادوار مزاحمت یا ڈیوڈ کے استعمال کے بغیر بنائے جاسکتے ہیں۔ انہیں وجوہات کی بنا پر جدید عددی مخلوط ادوار<sup>3</sup> مثلاً مائیکروپروسیسر<sup>4</sup> اور حافظہ<sup>5</sup> ماسفیٹ سے ہی تخلیق دئے جاتے ہیں۔ اس باب میں ماسفیٹ MOSFET پر بالخصوص اور جوڑ دار فیٹے JFET پر بالعموم غور کیا جائے گا۔

<sup>1</sup> electric field intensity

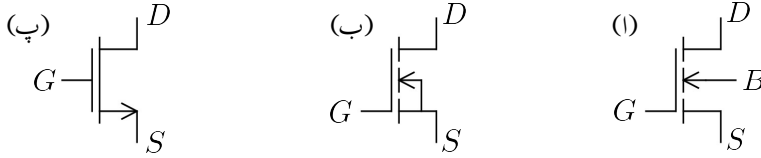
<sup>2</sup> charge

<sup>3</sup> digital integrated circuits

<sup>4</sup> microprocessor

<sup>5</sup> memory



شکل 4.2:  $n$  بڑھاتا ماسفیٹ کی مختلف علامتیں

اوپر، دو  $n+$  خطوں کے مابین  $\text{SiO}_2$  اگایا جاتا ہے۔  $\text{SiO}_2$  انتہائی بہتر غیر موصل ہے۔ اگائے گئے  $\text{SiO}_2$  کی موٹائی  $d$  ہے۔ شکل ت میں  $n+$  خطوں کے علاوہ  $\text{SiO}_2$  کے اوپر اور سیلیکان پتری کے نچلے سطح پر برقی جوڑ بنانے کی غرض سے دھات جوڑا گیا ہے۔ ان چاروں دھاتی سطحوں کے ساتھ برقی تار جوڑ کر انہیں بطور ماسفیٹ کے بیرونی سروں کے استعمال کیا جاتا ہے۔ ان بیرونی برقی سروں کو سورس<sup>8</sup>، ڈریین<sup>9</sup> اور بدلیز<sup>10</sup> کہا جائے گا اور انہیں  $S$ ،  $D$  اور  $B$  سے پہچانا جاتا ہے۔ شکل 4.2 میں ماسفیٹ کی مختلف علامتیں دکھائی گئی ہیں۔ عموماً بدلیز<sup>10</sup> کو سورس کے ساتھ جوڑ کر باہر ان دونوں کے لئے ایک ہی سرا نکالا جاتا ہے جسے سورس تصور کیا جاتا ہے۔ ایسی صورت میں ماسفیٹ کے تین سرے پائے جائیں گے۔ شکل پ میں اسی کی علامت دکھائی گئی ہے جہاں تیر کا نشان ماسفیٹ میں سے گزرتے برقی رو کی صحیح سمت دکھاتا ہے۔ اس کتاب میں عموماً ماسفیٹ کو تین سروں کا ہی تصور کیا گیا ہے۔

بدلیز اور ڈریین  $pn$  ڈایوڈ بناتے ہیں۔ اسی طرح بدلیز اور سورس بھی  $pn$  ڈایوڈ بناتے ہیں۔ بدلیز اور سورس کو ایک ساتھ جوڑنے سے بدلیز اور سورس کے درمیان ڈایوڈ قصر دور ہو جاتا ہے اور ساتھ ہی ساتھ بدلیز اور ڈریین کے درمیان ڈایوڈ سورس اور ڈریین کے درمیان جڑ جاتا ہے۔ شکل 4.2 پ میں اگرچہ سورس سے ڈریین ڈایوڈ نہیں دکھایا گیا لیکن یہ یاد رکھنا ضروری ہے کہ ایسا ڈایوڈ پایا جاتا ہے۔ اسے عموماً استعمال بھی کیا جاتا ہے۔

جیسا کہ آپ دیکھیں گے گیٹ اور سورس سروں کے مابین برقی دباؤ شدت<sup>11</sup> کے ذریعہ سیلیکان کی پتری میں، گیٹ کے نیچے، سورس اور ڈریین خطوں کے مابین برقی رو کے لئے راہ<sup>12</sup> پیدا کی جاتی ہے۔ اس راہ کے مقام کو شکل ت میں دکھایا گیا ہے۔ سورس اور ڈریین سروں کے مابین برقی دباؤ لاگو کرنے سے اس راہ میں برقی رو کا گزر ہوتا ہے۔ جیسا کہ شکل سے واضح ہے اس راہ کی لمبائی  $L$  اور چوڑائی  $W$  ہوگی۔ راہ کی لمبائی عموماً  $1\mu\text{m}$  تا  $10\mu\text{m}$  جبکہ اس کی چوڑائی  $2\mu\text{m}$  تا  $500\mu\text{m}$  ہوتی ہے۔

gate<sup>8</sup><sub>9</sub>body<sup>10</sup>

<sup>11</sup> MOSFET کے نام کے پہلے تین مختلف یعنی MOS اس کی ساخت یعنی Metal Oxide Semiconductor سے حاصل کئے گئے ہیں جبکہ بچا مختلف یعنی FET برقی دباؤ کی شدت سے پلے کے عمل یعنی Field Effect Transistor سے لئے گئے ہیں۔

channel<sup>12</sup>

دو جوڑ ٹرانزسٹر میں بیس پر لاگو برقی رو کی مدد سے ٹرانزسٹر میں برقی رو  $I_C$  کو قابو کیا جاتا ہے جہاں بیس میں  $\frac{I_C}{\beta}$  برقی رو درکار ہوتی ہے۔ اس کے برعکس ماسفیٹ کے گیٹ اور بقایا حصوں کے درمیان غیر موصل  $\text{SiO}_2$  پایا جاتا ہے جس میں برقی رو کا گزر تقریباً ناممکن ہوتا ہے۔ حقیقت میں گیٹ میں یک سمتی برقی رو کی مقدار  $10^{-15}$  ایمپیر کے لگ بھگ ہوتی ہے جو ایک قابل نظر انداز مقدار ہے۔

دو جوڑ ٹرانزسٹر کے برعکس میدانی ٹرانزسٹروں میں دونوں  $n+$  خطے بالکل یکساں ہوتے ہیں اور ان میں کسی ایک کو بطور سورس اور دوسرے کو ڈرین خطہ استعمال کیا جاسکتا ہے۔

اگرچہ موجودہ کئی اقسام کے میدانی ٹرانزسٹروں کے ساخت مندرجہ بالا بتلائے ساخت سے مختلف ہوتے ہیں (جیسے ان میں عموماً دھات کے بجائے دیگر مصنوعی اجزاء استعمال کئے جاتے ہیں) ہم پھر بھی انہیں ماسفیٹ پکاریں گے۔

## 4.2 $n$ ماسفیٹ کی بنیادی کارکردگی

### 4.2.1 گیٹ پر برقی دباؤ کی عدم موجودگی

$n$  ماسفیٹ، جسے ہم اس کتاب میں منفی ماسفیٹ بھی کہیں گے، کے گیٹ پر برقی دباؤ لاگو کئے بغیر اسے دو آپس میں الٹے جڑے ڈایوڈ تصور کیا جاسکتا ہے جہاں  $p$  سیلیکان پتری (بدن) اور  $n+$  سورس پہلا ڈایوڈ اور اسی طرح  $p$  سیلیکان پتری (بدن) اور  $n+$  ڈرین دوسرا ڈایوڈ ہے۔ یہ دو الٹے جڑے ڈایوڈ ڈرین اور سورس سروں کے مابین برقی رو کے گزر کو ناممکن بناتے ہیں۔ اس صورت میں ان دو سروں کے مابین نہایت زیادہ مزاحمت (تقریباً  $10^{12} \Omega$ ) پائی جاتی ہے۔

شکل 4.3 الف میں ماسفیٹ کا گیٹ آزاد رکھ کر اس کے سورس اور ڈرین سروں کے مابین برقی دباؤ  $v_{DS}$  لاگو کیا گیا ہے۔ مزید یہ کہ ان کے بدلیں اور ڈرین دونوں سروں کو برقی زمین پر رکھا گیا ہے۔  $v_{DS}$  لاگو کرنے سے ڈرین-بدن جوڑ پر ویران خطہ بڑھ جاتا ہے اور اس برقی دباؤ کو روکے رکھتا ہے۔

## 4.2.2 گیٹ کے ذریعہ برقی رو کے لئے راہ کی تیاری

شکل 4.3 ب میں بدن اور سورس کو برقی زمین پر رکھتے ہوئے گیٹ پر برقی دباؤ  $v_{GS}$  مہیا کیا گیا ہے۔ گیٹ پر مثبت برقی دباؤ  $p$  قسم کی سیلیکان پتہری میں آزاد خول کو دور دھکیلتا ہے جبکہ یہاں موجود آزاد اقلیتی الیکٹران کو گیٹ کی جانب کھینچتا ہے۔ مزید یہ کہ اس برقی دباؤ کی وجہ سے دونوں  $n+$  خطوں میں موجود (ضرورت سے زیادہ تعداد میں) آزاد الیکٹرانوں کو بھی گیٹ کے نیچے کھینچا جاتا ہے۔ اگر گیٹ پر مثبت برقی دباؤ بتدریج بڑھایا جائے تو گیٹ کے نیچے  $p$  سیلیکان میں الیکٹرانوں کی تعداد بڑھتی ہے اور آخر کار الیکٹرانوں کی تعداد خولوں کی تعداد سے بھی زیادہ ہو جاتی ہے۔ اس عمل سے  $p$  خطہ الٹا ہو کر  $n$  خطہ بن جاتا ہے۔ ایک قسم کے سیلیکان سے زبردستی دوسری قسم کی سیلیکان بنانے کے عمل کو الٹا کرنا<sup>13</sup> کہتے ہیں اور ایسے الٹا کئے گئے خطے کو الٹا خطہ<sup>14</sup> کہا جاتا ہے۔ گیٹ پر برقی دباؤ بڑھانے سے گیٹ کے نیچے الٹا خطہ بھی بڑھتا ہے اور آخر کار یہ سورس سے ڈرین تک پہل جاتا ہے۔ یوں سورس سے ڈرین تک  $n$  قسم کی راہ وجود میں آتی ہے۔ جیسے ہی سورس اور ڈرین خطوں کے مابین راہ پیدا ہوتا ہے ان خطوں کے مابین برقی رو کا گزر ممکن ہو جاتا ہے۔ جس برقی دباؤ پر ایسا ہو جائے اس کو دہلیز برقی دباؤ<sup>15</sup>  $V_t$  کہتے ہیں۔ شکل ب میں یوں پیدا کیا گیا راہ دکھایا گیا ہے۔ حقیقت میں  $V_t$  سے ذرا سی زیادہ برقی دباؤ پر برقی رو کا گزر ممکن ہوتا ہے۔ یوں ہم کہہ سکتے ہیں کہ گیٹ پر  $V_t$  یا اس سے کم برقی دباؤ کی صورت میں ٹرانزسٹر غیر چالو یا منقطع رہتا ہے جبکہ گیٹ پر  $V_t$  سے زیادہ برقی دباؤ کی صورت میں ٹرانزسٹر چالو یا غیر منقطع رہتا ہے یعنی

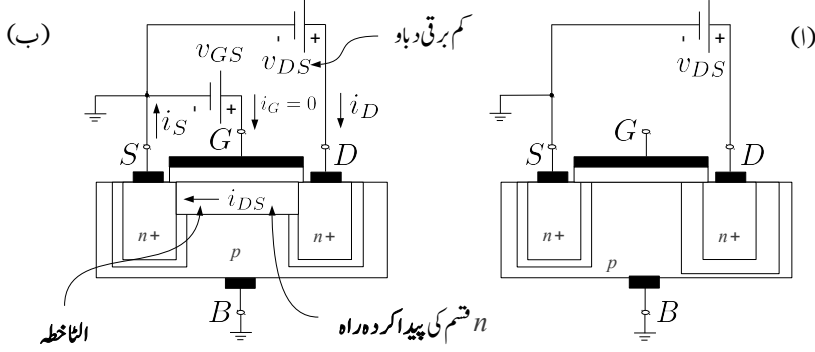
$$(4.1) \quad \begin{aligned} v_{GS} &\leq V_t && \text{منقطع} \\ v_{GS} &> V_t && \text{چالو یا غیر منقطع} \end{aligned}$$

یوں  $v_{GS} = V_t$  کو دہلیز تصور کیا جاسکتا ہے جس کی ایک جانب ماسفیٹ چالو جبکہ اس کی دوسری جانب ماسفیٹ منقطع رہتا ہے۔ چالو ماسفیٹ کے ڈرین اور سورس سروں کے مابین برقی دباؤ  $v_{DS}$  لاگو کرنے سے پیدا کردہ راہ میں برقی رو  $i_{DS}$  گزرے گی۔ چونکہ گیٹ کی برقی رو کی قیمت صفر ہے لہذا ڈرین سرے پر برقی رو  $i_D$  اور سورس سرے پر برقی رو  $i_S$  کی قیمتیں برابر ہوں گی یعنی

$$(4.2) \quad \begin{aligned} i_G &= 0 \\ i_D &= i_S = i_{DS} \end{aligned}$$

دھیان رہے کہ  $p$  قسم کی سیلیکان پتہری پر  $n$  قسم کا راہ پیدا ہوتا ہے اور ایسے ٹرانزسٹر کا پورا نام  $n$  ماسفیٹ nMOSFET ہے جہاں  $n$  اس پیدا کردہ راہ کے قسم کو بتلاتا ہے۔  $n$  راہ میں برقی رو کا وجود الیکٹرانوں کے

inversion<sup>13</sup>  
inversion layer<sup>14</sup>  
threshold voltage<sup>15</sup>



شکل 4.3: برقی راہ کا وجود پیدا ہونا

حرکت کی بدولت ہے جو سورس سے راہ میں داخل ہو کر ڈرین تک سفر کرتے ہیں۔ اس کو یوں بھی کہا جاسکتا ہے کہ الیکٹران سورس سے راہ میں خارج ہوتے ہیں اور ڈرین پر راہ سے حاصل کئے جاتے ہیں۔ اسی سے ماسفیٹ کے ان دو خطوں کے نام سورس<sup>16</sup> اور ڈرین<sup>17</sup> نکلے<sup>18</sup> ہیں۔ جیسے آپ آگے دیکھیں گے، ماسفیٹ کے گیٹ کی مدد سے ماسفیٹ میں برقی رو کو قابو کیا جاتا ہے۔ اسی سے گیٹے کا نام نکلا ہے۔ جیسا کہ اوپر ذکر ہوا،  $v_{DS}$  لاگو کئے بغیر  $V_t$  یا اس سے زیادہ  $v_{GS}$  لاگو کرنے سے  $n$  قسم کا راہ پیدا ہوتا ہے۔ اس پیدا کردہ راہ کو شکل 4.4 الف میں دکھایا گیا ہے۔ گیٹ پر لاگو برقی دباؤ کو  $V_t$  سے مزید بڑھانے سے گیٹ کے نیچے الیکٹرانوں کی تعداد مزید بڑھتی ہے اور یوں پیدا کردہ راہ کی گہرائی  $g$  بڑھتی ہے۔ یوں اس قسم کے ماسفیٹ کو  $n$  بڑھاتا ماسفیٹ<sup>19</sup> کہتے ہیں۔ شکل الف میں پیدا کردہ راہ اور اس کی مزاحمت  $R$  دکھائی گئی ہے جہاں  $n$  قسم کے راہ کے موصلیتے کا مستقل<sup>20</sup>  $\sigma$  ہے۔ گیٹ پر برقی دباؤ (جہاں  $V_{GS1}$  کی قیمت  $V_t$  سے زیادہ ہے) سے پیدا کردہ راہ کو مزاحمت  $R$  تصور کرتے ہوئے ہم دیکھتے ہیں کہ اس پر لمبائی کی جانب تھوڑا سا برقی دباؤ  $v_{DS}$  لاگو کرنے سے اس میں برقی رو  $i_{DS}$  گزرے گی۔ شکل 4.4 ب میں انہیں گراف کیا گیا ہے جہاں خط کے قریب لکھ کر اس بات کی یاد دہانی کرائی گئی ہے کہ راہ کو  $V_{GS1}$  برقی دباؤ سے حاصل کیا گیا ہے۔ گیٹ پر برقی دباؤ  $V_{GS}$  بڑھانے سے پیدا کردہ راہ کی گہرائی  $g$  بڑھتی ہے جس سے اس کی مزاحمت  $R$  کم ہوتی ہے اور یوں  $v_{DS} - i_{DS}$  کے گراف کا ڈھلوان بڑھتا ہے۔ اس حقیقت کو شکل ب میں دکھایا گیا ہے جہاں گیٹ پر نسبتاً زیادہ برقی دباؤ یعنی  $v_{GS2}$  لاگو کرتے ہوئے  $v_{DS} - i_{DS}$  کا

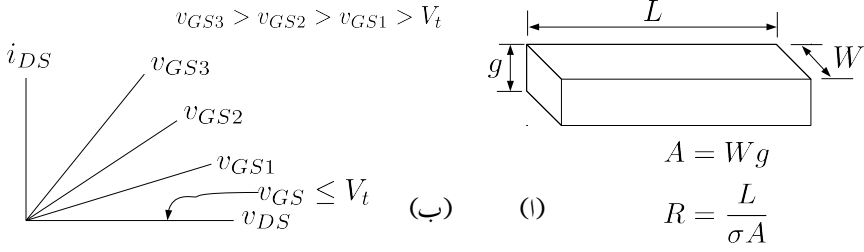
<sup>16</sup>source

<sup>17</sup>drain

<sup>18</sup>جس مقام سے کوئی چیز خارج ہو، اس کو انگریزی میں سورس کہتے ہیں اور جہاں سے نکلی ہو اس کو ڈرین کہتے ہیں۔

<sup>19</sup>enhancement nMOSFET

<sup>20</sup>conductivity



شکل 4.4: پیدا کردہ راہ کی مزاحمت

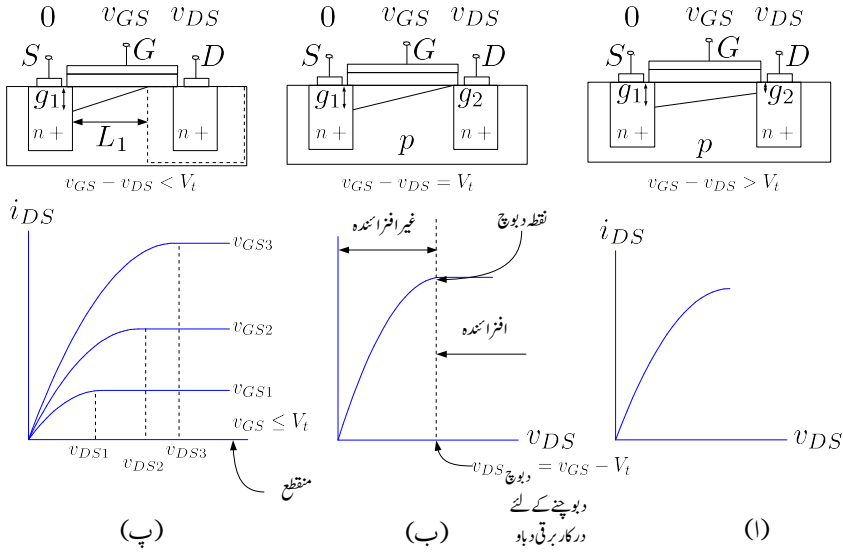
خط گراف کیا گیا ہے۔ اسی طرح گیٹ پر برقی دباؤ کو مزید بڑھا کر  $v_{GS3}$  کرتے ہوئے بھی  $v_{DS} - i_{DS}$  کا خط گراف کیا گیا ہے۔

سورس خطے کو برقی زمین پر رکھتے ہوئے گیٹ پر لاگو برقی دباؤ جیسے ہی  $V_t$  سے تجاوز کر جائے، سورس اور ڈرین خطوں کے درمیان راہ پیدا ہو جاتی ہے۔ یوں پیدا کردہ راہ کی گہرائی  $g$  گیٹ پر  $V_t$  سے اضافی برقی دباؤ ( $v_{GS} - V_t$ ) پر منحصر ہوتی ہے۔

یاد رہے کہ گیٹ کے نیچے کسی بھی نقطے پر  $p$  قسم سیلیکان کی پتری میں  $n$  قسم کی راہ پیدا کرنے کی خاطر یہ ضروری ہے کہ اس نقطے پر گیٹ اور سیلیکان کی پتری کے مابین کم از کم  $V_t$  برقی دباؤ پایا جائے۔ اگر گیٹ اور سیلیکان پتری کے مابین  $V_t$  برقی دباؤ پایا جائے تو پیدا کردہ راہ کی گہرائی لامحدود کم ہوگی۔ پیدا کردہ راہ کی گہرائی گیٹ اور سیلیکان پتری کے مابین  $V_t$  سے اضافی برقی دباؤ پر منحصر ہے۔

شکل 4.5 الف میں سورس خطہ برقی زمین یعنی صفر وولٹ پر ہے جبکہ گیٹ پر  $v_{GS}$  برقی دباؤ ہے۔ یوں یہاں گیٹ اور سیلیکان پتری کے مابین  $(v_{GS} - 0 = v_{GS})$  برقی دباؤ پایا جاتا ہے اور پیدا کردہ راہ کی گہرائی اضافی برقی دباؤ یعنی  $(v_{GS} - V_t)$  پر منحصر ہوگی جسے شکل میں  $g_1$  کہا گیا ہے۔ اسی شکل میں ڈرین خطہ  $v_{DS}$  وولٹ پر ہے اور یوں یہاں پیدا کردہ راہ کی گہرائی  $(v_{GS} - v_{DS} - V_t)$  کے اضافی برقی دباؤ پر منحصر ہوگی جسے شکل میں  $g_2$  کہا گیا ہے۔ آپ دیکھ سکتے ہیں کہ  $g_2$  کی مقدار  $g_1$  سے کم ہے۔ یوں پیدا کردہ راہ ٹکونی شکل اختیار کر لے گا۔  $v_{DS}$  کی مقدار صفر ہونے کی صورت میں  $g_1$  اور  $g_2$  برابر ہوتے ہیں اور پیدا کردہ راہ کے مزاحمتے یعنی چالو ماسفیٹ کے مزاحمتے۔

$$(4.3) \quad \text{مزاحمت} = \frac{\text{لمبائی}}{\text{رقبہ} \times \text{موصلیت کا مستقل}} = \frac{L}{\sigma W g}$$



شکل 4.5: پیدا کردہ راہ کی گہرائی اور  $n$  بڑھاتے ماسفیٹ کے خط



کے برابر ہوتی ہے۔  $v_{DS}$  کی مقدار صفر وولٹ سے بڑھانے سے  $g_2$  کم ہوتا ہے اور پیدا کردہ راہ کی مزاحمت بڑھتی ہے جس سے  $v_{DS} - i_{DS}$  خط کی ڈھلوان کم ہوگی۔ شکل الف میں بڑھتے  $v_{DS}$  کے ساتھ  $v_{DS} - i_{DS}$  خط کی ڈھلوان بتدریج کم ہوتی دکھائی گئی ہے۔

آپ دیکھ سکتے ہیں کہ  $v_{DS}$  کو بڑھا کر  $g_2$  کی مقدار صفر کی جاسکتی ہے جیسے شکل ب میں دکھایا گیا ہے۔ ہم کہتے ہیں کہ پیدا کردہ راہ  $v_{DS}$  کی دی گئی ہے۔

سورس خطے کو برقی زمین اور گیٹ کو  $v_{GS}$  برقی دباؤ پر رکھتے ہوئے اگر  $v_{DS}$  بڑھایا جائے تو ڈرین خطے کے بالکل قریب گیٹ اور سیلیکان پتہ کے مابین  $v_{GS} - v_{DS}$  برقی دباؤ پایا جائے گا اور جب تک یہ برقی دباؤ  $V_t$  سے زیادہ رہے یہاں  $n$  قسم کی راہ برقرار رہے گی۔ اگر  $v_{GS} - v_{DS}$  کی قیمت  $V_t$  سے کم ہو تب ڈرین کے قریب راہ کا بننا ممکن نہیں ہو گا۔ جب

$$(4.4) \quad v_{GS} - v_{DS} = V_t$$

ہو جائے تو ہم کہتے ہیں کہ پیدا کردہ راہ  $v_{DS}$  کی دی گئی ہے اور جس  $v_{DS}$  پر ایسا ہوا سے پیدا کردہ راہ  $v_{DS}$  کے لئے درکار برقی دباؤ  $V_{DS}$  کہتے ہیں۔ مساوات 4.4 سے

$$(4.5) \quad V_{DS} = v_{GS} - V_t$$

حاصل ہوتا ہے۔ مساوات 4.4 میں  $v_{GS} = v_G - v_S$  اور  $v_{DS} = v_D - v_S$  لکھتے ہوئے

$$(v_G - v_S) - (v_D - v_S) = V_t$$

$$v_G - v_D = V_t$$

حاصل ہوتا ہے جس میں  $v_{GD} = v_G - v_D$  لکھ کر

$$(4.6) \quad v_{GD} = V_t$$

لکھا جاسکتا ہے۔

یہاں ایسا محسوس ہوتا ہے کہ پیدا کردہ راہ کی گہرائی صفر ہوتے ہی (یعنی راہ  $v_{DS}$  کی مزاحمت لامحدود ہو جائے گی اور ٹرانزسٹر میں برقی رو کا گزرنا ناممکن ہو جائے گا۔ حقیقت میں ایسا نہیں ہوتا۔ جب تک  $v_{DS}$  کی قیمت  $v_{DS}$  سے کم رہے، اسے بڑھانے سے  $i_{DS}$  بتدریج بڑھتا ہے مگر چونکہ  $v_{DS}$  بڑھانے سے پیدا کردہ راہ

کی مزاحمت بھی بڑھتی ہے لہذا  $i_{DS}$  کے بڑھنے کی شرح بتدریج کم ہوتی ہے۔  $v_{DS}$  دہجہ پر ٹرانزسٹر میں گزرتی برقی رو کی قیمت  $i_{DS}$  کہلاتی ہے اور اگر  $v_{DS}$  کو  $v_{DS}$  سے بڑھایا جائے تو دیکھا جاتا ہے کہ ٹرانزسٹر سے گزرتی برقی رو مستقل  $i_{DS}$  کے برابر ہی رہتی ہے اور اس میں کسی قسم کا اضافہ نہیں آتا۔ یہ تمام شکل ب میں دکھایا گیا ہے۔

شکل 4.5 ب میں ٹرانزسٹر کے افزائندہ اور غیر افزائندہ خطے بھی دکھائے گئے ہیں۔ یہ دو جوڑ ٹرانزسٹر کے نوعیت کے ہی ہیں۔ شکل 4.5 پ میں مختلف گیٹ کے برقی دباؤ پر  $i_{DS} - v_{DS}$  کے خط کھینچے گئے ہیں اور ان کے نقطہ دہجہ پر برقی دباؤ کو  $v_{DS1}$  ،  $v_{DS2}$  اور  $v_{DS3}$  لکھ کر واضح کیا گیا ہے۔ سورس خطہ برقی زمین پر رکھتے ہوئے اگر گیٹ پر برقی دباؤ  $V_t$  سے کم ہو تب راہ وجود میں نہیں آتا اور ٹرانزسٹر منقطع صورتے اختیار کئے رہتا ہے اور اس میں برقی رو کی قیمت صفر رہتی ہے۔ منقطع صورت بھی اسی شکل میں دکھایا گیا ہے۔

$n$  ماسفیٹ کے ان نتائج کو یہاں ایک جگہ لکھتے ہیں۔

منقطع

$$(4.7) \quad v_{GS} \leq V_t$$

چالو

$$(4.8) \quad \begin{array}{ll} v_{GS} - v_{DS} \geq V_t & \text{غیر افزائندہ} \\ v_{GS} - v_{DS} = V_t & \text{دہجہ نقطہ} \\ v_{GS} - v_{DS} \leq V_t & \text{افزائندہ} \end{array}$$

انہیں مساوات کو یوں

$$\begin{aligned}
 (4.9) \quad & v_{GS} \leq V_t \quad \text{منقطع} \\
 & v_{DS} \leq v_{GS} - V_t \quad \text{غیر افزائندہ} \\
 & v_{DS, \text{دبوج}} = v_{GS} - V_t \quad \text{نقطہ دبوج} \\
 & v_{DS} \geq v_{GS} - V_t \quad \text{افزائندہ}
 \end{aligned}$$

یا یوں

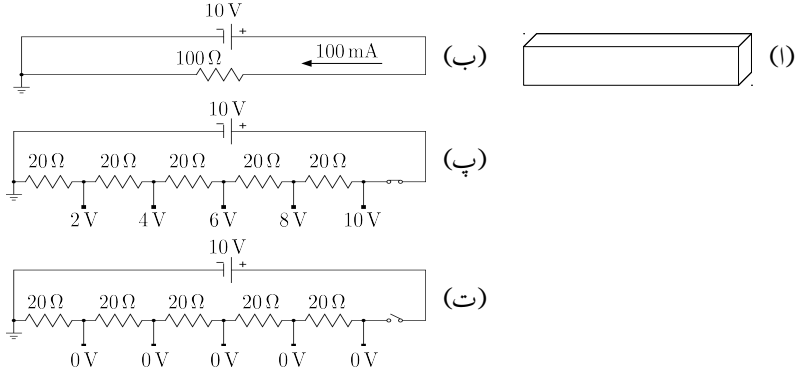
$$\begin{aligned}
 (4.10) \quad & v_{GS} \leq V_t \quad \text{منقطع} \\
 & v_{GD} \geq V_t \quad \text{غیر افزائندہ} \\
 & v_{GD, \text{دبوج}} = V_t \quad \text{نقطہ دبوج} \\
 & v_{GD} \leq V_t \quad \text{افزائندہ}
 \end{aligned}$$

بھی لکھا جاسکتا ہے۔ یاد رہے کہ افزائندہ یا غیر افزائندہ خطے ہونے کے لئے لازمی ہے کہ ماسفیٹ چالو (یعنی غیر منقطع) ہو۔ ماسفیٹ کو افزائندہ خطے میں رکھ کر ایمپلیفائر بنایا جاتا ہے۔

مثال 4.1: شکل 4.6 الف میں n ماسفیٹ کے پیدا کردہ راہ کو بطور سو اوہم ( $100 \Omega$ ) کے موصل سلاخ دکھایا گیا ہے جس پر لمبائی کے جانب دس وولٹ (10 V) برقی دباؤ لاگو کیا گیا ہے۔ مسئلہ کو سادہ رکھنے کی خاطر پیدا کردہ راہ کے ترچھاپن کو نظر انداز کریں۔

1. پیدا کردہ راہ کے مختلف مقامات پر برقی دباؤ حاصل کریں۔
2. اگر  $V_t = 3 \text{ V}$  اور  $v_{GS} = 15 \text{ V}$  ہوں تب پیدا کردہ راہ کا صورتِ حال کیا ہو گا۔
3. اگر  $V_t = 3 \text{ V}$  اور  $v_{GS} = 11 \text{ V}$  ہوں تب پیدا کردہ راہ کا صورتِ حال کیا ہو گا۔

حل:



شکل 4.6: پیدا کردہ راہ میں مختلف مقامات پر برقی دباؤ

1. موصل سلاخ کو ایک مزاحمت تصور کیا جاسکتا ہے۔ یوں اس مسئلہ کو شکل ب کے طرز پر پیش کیا جاسکتا ہے جس میں 100 mA برقی رو پیدا ہوگی۔ مزید یہ کہ سو اوہم کے مزاحمت کو کئی مزاحمت سلسلہ وار جڑے تصور کیا جاسکتا ہے۔ شکل پ میں اسے پانچ عدد  $20\Omega$  سلسلہ وار جڑے تصور کیا گیا ہے جہاں ہر جوڑ پر برقی دباؤ بھی دکھایا گیا ہے۔

2. چونکہ ڈرین سرے پر

$$v_{GS} - v_{DS} = 15 - 10 = 5 > V_t$$

ہے لہذا یہاں پیدا کردہ راہ وجود میں آئے گا اور ٹرانزسٹر میں برقی رو کا گزر ممکن ہوگا۔

3. چونکہ ڈرین سرے پر

$$v_{GS} - v_{DS} = 11 - 10 = 1 < V_t$$

ہے لہذا پیدا کردہ راہ دلوچا جائے گا۔ اگر ایسا ہونے سے پیدا کردہ راہ کی مزاحمت لامحدود ہو جائے اور اس میں برقی رو کی مقدار صفر ہو جائے تو صورت حال شکل ت کے مانند ہوگی جہاں ڈرین سرے پر لامحدود مزاحمت کو بطور منقطع کئے گئے برقی سوئچ دکھایا گیا ہے۔ آپ دیکھ سکتے ہیں کہ برقی رو کی عدم موجودگی میں پیدا کردہ راہ میں ہر مقام پر برقی دباؤ کی مقدار صفر وولٹ (0V) ہو جائے گی اور یوں ڈرین سرے پر بھی صفر وولٹ ہوں جس سے

$$v_{GS} - v_{DS} = 11 - 0 = 11 > V_t$$

ہو گا اور یوں برقی رو کا گزر ممکن ہو گا۔

مندرجہ بالا دو نتائج متضاد ہیں۔ پہلے نتیجے کے مطابق برقی رو کا گزر ناممکن ہے جبکہ دوسرے نتیجے کے مطابق، اس کے برعکس، برقی رو کا گزر ممکن ہے۔ حقیقی صورت حال کو شکل 4.5 پ میں دکھایا گیا ہے جہاں آپ دیکھ سکتے ہیں کہ پیدا کردہ راہ کے دلوچے کا مقام تبدیل ہو چکا ہے اور یوں پیدا کردہ راہ کی لمبائی قدر کم ہو گئی ہے اور ساتھ ہی ساتھ ڈرین سرے پر ویران خطہ اتنا بڑھ گیا ہے کہ ایک جانب یہ ڈرین خطے کو اور دوسری جانب پیدا کردہ راہ کو چھوتا ہے۔ چونکہ نقطہ دلوچ پر گیٹ اور پیدا کردہ راہ کے مابین  $V_t$  برقی دباؤ پایا جاتا ہے لہذا نقطہ دلوچ پر

$$v_{DS\text{دلوچ}} = v_{GS} - V_t$$

ہو گا اور ڈرین-سورس سروں کے مابین اضافی برقی دباؤ  $(v_{DS} - v_{DS\text{دلوچ}})$  ویران خطہ برداشت کرے گا۔

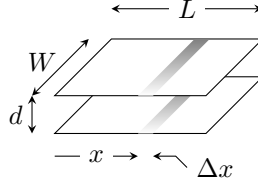
پیدا کردہ راہ پر لاگو برقی دباؤ  $(v_{DS\text{دلوچ}})$  اس میں برقی رو پیدا کرے گا جو کہ سورس سے ڈرین جانب الیکٹران کے بہاؤ سے پیدا ہو گا۔ یہ الیکٹران نقطہ دلوچ پر پہنچتے ہی ویران خطے میں داخل ہوں گے۔ ویران خطے میں آزاد الیکٹران نہیں ٹھہر سکتے اور انہیں ڈرین خطے میں دھکیل دیا جاتا ہے۔ یوں الیکٹران سورس سرے سے رواں ہو کر ڈرین سرے پہنچ کر  $i_{DS}$  پیدا کرتے ہیں۔

شکل پ میں گیٹ پر مختلف برقی دباؤ کے لئے ماسفیٹ کے خط گراف کئے گئے ہیں۔

### 4.3 n ماسفیٹ کی مساوات

مندرجہ بالا تذکرے کو مد نظر رکھتے ہوئے n ماسفیٹ کی  $i_{DS} - v_{DS}$  مساوات حاصل کرتے ہیں۔ ایسا کرتے وقت سورس سرے کو برقی زمین (یعنی صفر وولٹ) پر رکھا جائے گا جبکہ گیٹ کو  $v_{GS}$  اور ڈرین سرے کو  $v_{DS}$  پر رکھا جائے گا۔ مزید یہ کہ  $v_{GS} - v_{DS} > V_t$  رکھا گیا ہے۔

پیدا کردہ راہ میں سورس سے ڈرین خطے کی جانب فاصلے کو  $x$  لیتے ہوئے سورس جانب  $x = 0$  اور برقی دباؤ صفر وولٹ ہو گا جبکہ ڈرین جانب  $x = L$  اور برقی دباؤ  $v_{DS}$  ہو گا۔ ان دو حدود کے درمیان کسی بھی نقطہ  $x$  پر برقی دباؤ کو ہم  $v(x)$  لکھتے ہیں۔ گیٹ اور پیدا کردہ راہ (یعنی n قسم کا موصل) بطور دو چادر کے کپیڈر<sup>22</sup>



شکل 4.7: گیٹ اور راہ بطور دو چادر کپیسٹر کردار ادا کرتے ہیں۔

کا کردار ادا کریں گے۔ پیدا کردہ راہ میں لمبائی کے رخ نقطہ  $x$  پر ذرہ سی لمبائی  $\Delta x$  پر غور کرتے ہیں۔ یہ لمبائی بطور کپیسٹنس  $\Delta C$  کردار ادا کرے گا جہاں

$$(4.11) \quad \Delta C = \frac{\epsilon \times \text{رقبہ}}{\text{فاصلہ}} = \frac{\epsilon W \Delta x}{d}$$

ہو گا۔ اس کپیسٹر کو شکل 4.7 میں دکھایا گیا ہے۔

آپ کپیسٹر کی مساوات  $Q = C \times V$  سے بخوبی آگاہ ہوں گے۔ اس مساوات کے مطابق کپیسٹر کے مثبت چادر پر بار  $Q$  کی مقدار کپیسٹر کے دو چادروں کے مابین برقی دباؤ  $V$  پر منحصر ہوتا ہے۔ کپیسٹر کے منفی چادر پر  $(-Q)$  بار پایا جاتا ہے۔ ماسفیٹ کے کپیسٹر  $\Delta C$  پر بھی اسی طرح بار پایا جائے گا مگر اس کا تخمینہ لگانے کی خاطر اس مسئلہ کو زیادہ گہرائی سے دیکھنا ہو گا۔ آئیں ایسا ہی کرتے ہیں۔

جیسا کہ آپ جانتے ہیں کہ کسی بھی نقطہ  $x$  پر تب راہ پیدا ہوتا ہے جب اس نقطہ پر گیٹ اور سلیکان پتری کے مابین  $V_t$  برقی دباؤ پایا جائے (یعنی جب  $v_{GS} - v(x) = V_t$  ہو) اور ایسی صورت میں پیدا کردہ راہ میں قابل نظر انداز (تقریباً صفر) مقدار میں  $n$  قسم کا بار یعنی آزاد الیکٹران جمع ہوتے ہیں۔ یوں  $(v_{GS} - V_t - v(x) = 0)$  ہونے کی صورت میں آزاد الیکٹرانوں کی تعداد بھی (تقریباً) صفر ہوتی ہے۔ جیسے جیسے گیٹ اور سلیکان پتری کے مابین برقی دباؤ مزید بڑھایا جائے یہاں آزاد الیکٹرانوں کی تعداد بڑھتی ہے۔ یوں آزاد الیکٹرانوں کی تعداد کا دار و مدار برقی دباؤ  $(v_{GS} - V_t - v(x))$  پر ہوتا ہے اور ہم ماسفیٹ کے گیٹ کے لئے کپیسٹر کی مساوات یوں لکھ سکتے ہیں۔

$$(4.12) \quad \Delta Q = \Delta C \times V = \left[ \frac{\epsilon W \Delta x}{d} \right] \times [v_{GS} - V_t - v(x)]$$

پیدا کردہ راہ میں اس نقطہ پر بار کی مقدار اتنی ہی مگر منفی قسم کی ہو گی۔ اس مساوات کو پیدا کردہ راہ کے لئے یوں لکھا جاسکتا ہے۔

$$(4.13) \quad \frac{\Delta Q_n}{\Delta x} = - \left[ \frac{\epsilon W}{d} \right] \times [v_{GS} - V_t - v(x)]$$

فاصلہ کے ساتھ برقی دباؤ کی شرح کو شدت برقی دباؤ  $E$  کہتے ہیں۔ یوں نقطہ  $x$  پر

$$(4.14) \quad E = - \frac{\Delta v(x)}{\Delta x}$$

ہو گا۔ اس کی سمت ڈرین سے سورس خطے کی جانب ہے۔ شدت برقی دباؤ کسی بھی مثبت بار کو  $E$  کی سمت میں جبکہ منفی بار کو الٹی جانب دھکیلتا ہے۔ چونکہ پیدا کردہ راہ میں منفی بار پائے جاتے ہیں لہذا شدت برقی دباؤ انہیں سورس سے ڈرین خطے کی جانب دھکیلے گا۔ کسی بھی موصل میں چارجوں کی رفتار وہاں کے شدت برقی دباؤ کے برائے راست متناسب ہوتا ہے۔ یوں منفی چارجوں کے رفتار کو  $(-\mu_n E)$  اور مثبت چارجوں کے رفتار کو  $(\mu_p E)$  لکھا جائے گا جہاں  $\mu_n$  سیلیکان پتری میں الیکٹرانز کے حرکت پذیری<sup>23</sup> کہلاتا ہے جبکہ  $\mu_p$  سیلیکان پتری میں خول کے حرکت پذیری<sup>24</sup> کہلاتا ہے۔ یہاں حرکت پذیری سے مراد الٹا خطے میں حرکت پذیری ہے۔ یہاں رک کر تسلی کر لیں کہ یہ دو مساوات دونوں اقسام کے چارجوں کے رفتار کے صحیح سمت دیتے ہیں۔ یوں رفتار کو  $\frac{\Delta x}{\Delta t}$  لکھتے ہوئے الیکٹرانوں کے لئے ہم یوں لکھ سکتے ہیں۔

$$(4.15) \quad \frac{\Delta x}{\Delta t} = -\mu_n E = \mu_n \frac{\Delta v(x)}{\Delta t}$$

مساوات 4.13 اور مساوات 4.15 کی مدد سے ہم پیدا کردہ راہ میں آزاد الیکٹرانوں کے حرکت سے پیدا برقی رو یوں حاصل کر سکتے ہیں۔

$$(4.16) \quad i(x) = \frac{\Delta Q_n}{\Delta t} = \frac{\Delta Q_n}{\Delta x} \times \frac{\Delta x}{\Delta t} \\ = - \left[ \frac{\epsilon W}{d} \right] [v_{GS} - V_t - v(x)] \times \left[ \mu_n \frac{\Delta v(x)}{\Delta x} \right]$$

اس مساوات کو یوں لکھا جاسکتا ہے۔

$$(4.17) \quad i(x) \Delta x = - \left[ \frac{\epsilon W}{d} \right] [v_{GS} - V_t - v(x)] \times [\mu_n \Delta v(x)]$$

اس مساوات میں  $\Delta$  کو باریک سے باریک تر لیتے ہوئے مساوات کا مکملہ لیتے ہیں جہاں پیدا کردہ راہ کے سورس سرے کو ابتدائی نقطہ جبکہ اس کے ڈرین سرے کو اختتامی نقطہ لیتے ہیں۔ یوں ابتدائی نقطہ پر  $x = 0$  جبکہ اختتامی نقطہ پر  $x = L$  ہے۔ اسی طرح ابتدائی برقی دباؤ  $v(0) = 0$  جبکہ اختتامی برقی دباؤ  $v(L) = v_{DS}$  ہے۔ یوں

$$(4.18) \quad \int_0^L i(x) dx = \int_0^{v_{DS}} - \left[ \frac{\epsilon \mu_n W}{d} \right] [v_{GS} - V_t - v(x)] dv(x)$$

چونکہ پیدا کردہ راہ میں از خود برقی رو نہ پیدا اور نہ ہی غائب ہو سکتی ہے لہذا اس میں لمبائی کی جانب برقی رو تبدیل نہ ہو گی۔ اس برقی رو کو  $i$  لکھتے ہوئے مکملہ سے باہر نکالا جاسکتا ہے۔

$$(4.19) \quad \begin{aligned} \int_0^L i(x) dx &= i \int_0^L dx = \int_0^{v_{DS}} - \left[ \frac{\epsilon \mu_n W}{d} \right] [v_{GS} - V_t - v(x)] dv(x) \\ ix|_0^L &= - \left[ \frac{\epsilon \mu_n W}{d} \right] \left[ (v_{GS} - V_t) v(x) \Big|_0^{v_{DS}} - \frac{v(x)^2}{2} \Big|_0^{v_{DS}} \right] \\ iL &= - \left[ \frac{\epsilon \mu_n W}{d} \right] \left[ (v_{GS} - V_t) v_{DS} - \frac{v_{DS}^2}{2} \right] \\ i &= - \left[ \frac{\epsilon \mu_n}{d} \right] \left[ \frac{W}{L} \right] \left[ (v_{GS} - V_t) v_{DS} - \frac{v_{DS}^2}{2} \right] \end{aligned}$$

منفی برقی رو کا مطلب ہے کہ یہ بڑھتے  $x$  کے الٹ جانب رواں ہے یعنی ڈرین سے سورس جانب۔ ماسفیٹ میں اسی جانب برقی رو کو  $i_{DS}$  لکھا جاتا ہے۔ یوں درج ذیل حاصل ہوتا ہے۔

$$(4.20) \quad i_{DS} = \left[ \frac{\epsilon \mu_n}{d} \right] \left[ \frac{W}{L} \right] \left[ (v_{GS} - V_t) v_{DS} - \frac{v_{DS}^2}{2} \right]$$

نقطہ دبوچ پر  $v_{DS_{دبوچ}} = v_{GS} - V_t$  استعمال کرتے اس مساوات سے حاصل ہوتا ہے۔

$$(4.21) \quad \begin{aligned} i_{DS_{دبوچ}} &= \left[ \frac{\epsilon \mu_n}{d} \right] \left[ \frac{W}{L} \right] \left[ (v_{GS} - V_t) v_{DS_{دبوچ}} - \frac{v_{DS_{دبوچ}}^2}{2} \right] \\ &= \left[ \frac{\epsilon \mu_n}{d} \right] \left[ \frac{W}{L} \right] \left[ (v_{GS} - V_t) (v_{GS} - V_t) - \frac{(v_{GS} - V_t)^2}{2} \right] \\ &= \frac{1}{2} \left[ \frac{\epsilon \mu_n}{d} \right] \left[ \frac{W}{L} \right] (v_{GS} - V_t)^2 \end{aligned}$$



چونکہ افزائندہ خطے میں نقطہ دہلچ پر برقی رو کے برابر برقی رو ہی رہتی ہے لہذا افزائندہ خطے میں برقی رو کی بھی یہی مساوات ہے۔

ان مساوات میں

$$(4.22) \quad k'_n = \left( \frac{\epsilon \mu_n}{d} \right)$$

$$k_n = \left( \frac{\epsilon \mu_n}{d} \right) \left( \frac{W}{L} \right) = k'_n \left( \frac{W}{L} \right)$$

لیتے ہوئے انہیں دوبارہ لکھتے ہیں۔ ساتھ ہی ساتھ ان کا دائرہ عمل متعین کرنے کے نکات بھی درج کرتے ہیں۔

غیر افزائندہ خطہ:

$$(4.23) \quad v_{GS} > V_t$$

$$v_{GS} - v_{DS} = v_{GD} \geq V_t$$

$$(4.24) \quad i_{DS} = k'_n \left[ \frac{W}{L} \right] \left[ (v_{GS} - V_t) v_{DS} - \frac{v_{DS}^2}{2} \right]$$

$$= k_n \left[ (v_{GS} - V_t) v_{DS} - \frac{v_{DS}^2}{2} \right]$$

نقطہ دہلچ:

$$(4.25) \quad v_{GS} > V_t$$

$$v_{GS} - v_{DS} = v_{GD} = V_t$$

$$(4.26) \quad i_{DS} = \frac{k'_n}{2} \left[ \frac{W}{L} \right] [v_{GS} - V_t]^2$$

$$= \frac{k_n}{2} [v_{GS} - V_t]^2$$

افزائندہ:

$$(4.27) \quad v_{GS} > V_t$$

$$v_{GS} - v_{DS} = v_{GD} \leq V_t$$

$$\begin{aligned}
 i_{DS} &= \frac{k'_n}{2} \left[ \frac{W}{L} \right] [v_{GS} - V_t]^2 \\
 &= \frac{k_n}{2} [v_{GS} - V_t]^2
 \end{aligned}
 \quad (4.28)$$

منقطع:

$$\begin{aligned}
 v_{GS} &\leq V_t \\
 i_{DS} &= 0
 \end{aligned}
 \quad (4.29)$$

ماسفیٹ تخلیق دیتے وقت پیدا کردہ راہ کے چوڑائی  $W$  اور لمبائی  $L$  کی تناسب بدل کر مختلف  $i_{DS} - v_{DS}$  خط حاصل کئے جاتے ہیں۔

یاد دہانی کی خاطر کچھ باتیں دوبارہ دہراتے ہیں۔

nMOSFET کو غیر افزا سندہ خطے میں استعمال کرنے کی خاطر گیٹ اور سورس کے مابین  $V_t$  سے زیادہ برقی دباؤ مہیا کیا جاتا ہے اور ڈرین-سورس سروں کے مابین برقی دباؤ کو راہ دیوچ برقی دباؤ  $v_{DS\text{دیوچ}}$  سے کم رکھا جاتا ہے یعنی

$$\begin{aligned}
 v_{GS} &> V_t && \text{راہ پیدا} \\
 v_{DS} &\leq v_{DS\text{دیوچ}} && \text{نقطہ دیوچ} \\
 &\leq v_{GS} - V_t
 \end{aligned}
 \quad (4.30)$$

اسی طرح nMOSFET کو افزا سندہ خطے میں استعمال کرنے کی خاطر گیٹ اور سورس کے مابین  $V_t$  سے زیادہ برقی دباؤ مہیا کیا جاتا ہے اور ڈرین-سورس سروں کے مابین برقی دباؤ کو راہ دیوچ برقی دباؤ  $v_{DS\text{دیوچ}}$  سے زیادہ رکھا جاتا ہے یعنی

$$\begin{aligned}
 v_{GS} &> V_t && \text{راہ پیدا} \\
 v_{DS} &\geq v_{DS\text{دیوچ}} && \text{نقطہ دیوچ} \\
 &\geq v_{GS} - V_t
 \end{aligned}
 \quad (4.31)$$

نقطہ دیوچ ان دو خطوں کے درمیان حد ہے جسے دونوں کا حصہ تصور کیا جاسکتا ہے۔

nMOSFET کو منقطع کرنے کی خاطر گیٹ اور سورس کے مابین  $V_t$  یا اس سے کم برقی دباؤ رکھا جاتا ہے یعنی

$$(4.32) \quad v_{GS} \leq V_t \quad \text{منقطع}$$

غیر افزائندہ ماسفیٹ پر جب باریک  $v_{DS}$  لاگو کیا جائے تو مساوات 4.24 میں  $v_{DS}^2$  کو نظر انداز کرنا ممکن ہوتا ہے اور اس مساوات کو یوں لکھا جاسکتا ہے۔

$$i_{DS} = k'_n \left[ \frac{W}{L} \right] \left[ (v_{GS} - V_t) v_{DS} - \frac{v_{DS}^2}{2} \right] \approx k'_n \left[ \frac{W}{L} \right] [(v_{GS} - V_t) v_{DS}]$$

اس مساوات سے باریک  $v_{DS}$  کی صورت میں ماسفیٹ کی مزاحمت حاصل کی جاسکتی ہے یعنی

$$(4.33) \quad R = \frac{v_{DS}}{i_{DS}} = \frac{1}{k'_n \left[ \frac{W}{L} \right] [v_{GS} - V_t]}$$

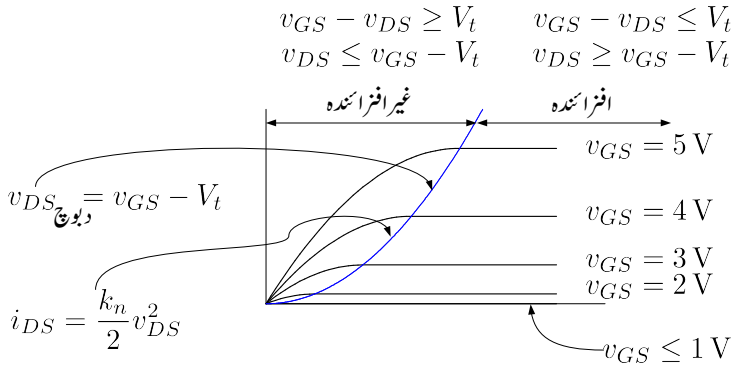
ماسفیٹ کے گیٹ پر برقی دباؤ تبدیل کر کے اس کی مزاحمت تبدیل کی جاتی ہے اور یوں ماسفیٹ کو بطور قابو مزاحمت استعمال کیا جاسکتا ہے۔

شکل 4.8 میں ماسفیٹ کا خط دکھایا گیا ہے جس میں افزائندہ اور غیر افزائندہ خطوں کے درمیان لکیر کھینچی گئی ہے۔ چونکہ ماسفیٹ غیر افزائندہ سے افزائندہ خطے میں اس وقت داخل ہوتا ہے جب  $v_{GS} - v_{DS} = V_t$  یعنی  $v_{GS} - V_t = v_{DS}$  ہو لہذا مساوات 4.28 میں  $(v_{GS} - V_t)$  کی جگہ  $v_{DS}$  پُر کرنے سے اس لکیر کی مساوات حاصل ہوگی۔ یوں

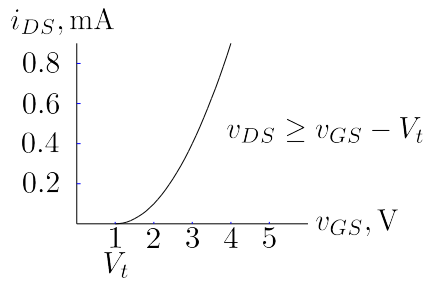
$$(4.34) \quad i_{DS} = \frac{k_n}{2} v_{DS}^2$$

حاصل ہوتا ہے جسے شکل 4.8 میں ماسفیٹ کے خطوط پر کھینچا گیا ہے جبکہ مساوات 4.28 کو شکل 4.9 میں کھینچا گیا ہے۔ باب 3 میں دو جوڑائزسٹر کے غیر افزائندہ اور افزائندہ خطے دکھائے گئے ہیں۔ ان کا ماسفیٹ کے خطوں کے ساتھ موازنہ کریں۔ ٹرانزسٹر تقریباً 0.2 V سے کم  $v_{CE}$  پر غیر افزائندہ جبکہ اس سے زیادہ برقی دباؤ پر افزائندہ ہوتا ہے۔ ماسفیٹ  $v_{DS}$  سے کم برقی دباؤ پر غیر افزائندہ جبکہ اس سے زیادہ برقی دباؤ پر افزائندہ ہوتا ہے جہاں  $v_{DS}$  کی قیمت مساوات 4.5 سے حاصل کی جاتی ہے۔ شکل 4.8 اور 4.9 میں  $k_n = 0.2 \frac{\text{mA}}{\text{V}^2}$  اور  $V_t = 1 \text{ V}$  ہیں۔

ٹرانزسٹر کے  $\beta$  کی طرح ایک ہی قسم کے دو عدد ماسفیٹ کے  $k_n$  میں فرق پایا جاتا ہے۔ اسی طرح ان کے  $V_t$  میں بھی فرق پایا جاتا ہے۔ ان وجوہات کی بنا پر کسی بھی دور میں ماسفیٹ تبدیل کرنے سے نقطہ کارکردگی تبدیل ہونے کا امکان ہوتا ہے۔



شکل 4.8



شکل 4.9: افزائندہ ماسفیٹ کا برقی رد و بالقابل گیٹ کی برقی دباؤ

## 4.3.1 قابل برداشت برقی دباؤ

$v_{DS}$  کو  $v_{DS}$  سے جتنا بڑھایا جائے، نقطہ دیوچ ڈرین خطے سے اتنا ہی دور ہو جاتا ہے۔ اگر اس برقی دباؤ کو بتدریج بڑھایا جائے تو نقطہ دیوچ آخر کار سورس خطے تک پہنچ جاتا ہے اور ان خطوں کے مابین برقی رو تیزی سے بڑھتا ہے۔ یہ عمل تقریباً 20 V پر پیدا ہوتا ہے۔ یہ عمل از خود نقصان دہ نہیں جب تک بے قابو برقی رو ماسفیٹ کی قابل برداشت برقی رو کے حد سے تجاوز نہ کر جائے۔ یہ عمل نسبتاً کم لمبائی کے راہ رکھنے والے ماسفیٹ میں پایا جاتا ہے۔

ڈرین اور سلیکان پٹری کے مابین برقی دباؤ کو ویران خطہ برداشت کرتا ہے۔ اگر یہ برقی دباؤ ویران خطے کی برداشت سے تجاوز کر جائے تو ویران خطہ تودہ کے عمل سے بے قابو ہو جائے گا جس سے ان خطوں کے مابین برقی رو تیزی سے بڑھنے شروع ہو جائے گا۔ یہ عمل عموماً 50 V تا 100 V کے درمیان پیدا ہوتا ہے۔

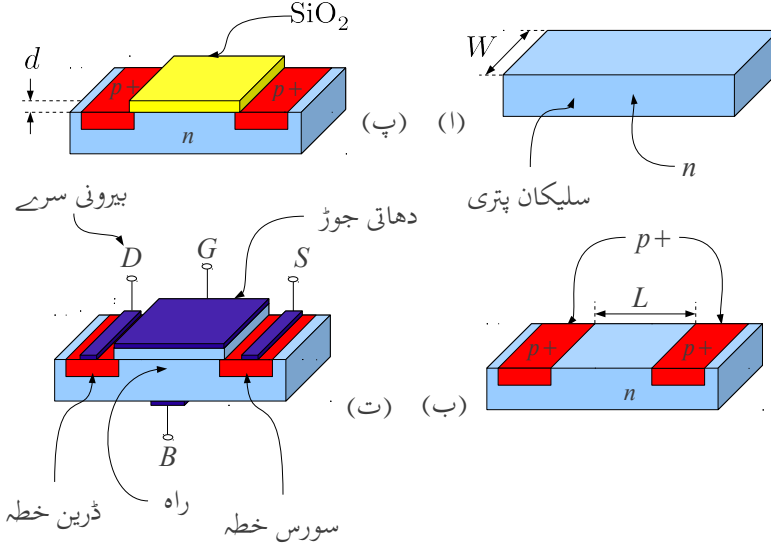
ایک تیسرا عمل جو ماسفیٹ کو فوراً تباہ کر لیتا ہے اس وقت پیش آتا ہے جب گیٹ اور سورس کے مابین برقی دباؤ یہاں کے قابل برداشت حد  $V_{GSBR}$  سے تجاوز کر جائے۔ یاد رہے کہ گیٹ اور سورس کے درمیان انتہائی باریک غیر موصل  $SiO_2$  کی تہہ ہوتی ہے۔ یوں گیٹ اور سورس کے مابین کچھ ہی برقی دباؤ پر اس غیر موصل میں شدت برقی دباؤ بہت زیادہ بڑھ کر اس کے برداشت کی حد سے تجاوز کر جاتا ہے۔ یہ عمل تقریباً 50 V پر نمودار ہوتا ہے۔ اس عمل سے بچنے کی خاطر گیٹ پر ڈایوڈ بطور شکنجہ لگایا جاتا ہے جو گیٹ پر برقی دباؤ کو اس خطرناک حد سے کم رکھتا ہے۔ یاد رہے کہ عام استعمال میں ماسفیٹ کو قابل برداشت برقی دباؤ سے کم برقی دباؤ پر استعمال کیا جاتا ہے۔

## 4.3.2 درجہ حرارت کے اثرات

$V_t$  اور  $k'_n$  دونوں پر درجہ حرارت کا اثر پایا جاتا ہے۔ دو جوڑ ٹرانزسٹر کے  $V_{BE}$  کی طرح  $V_t$  بھی حرارت بڑھنے سے کم ہوتا ہے یعنی

$$(4.35) \quad \frac{dV_t}{dT} = -2 \frac{mV}{^{\circ}C}$$

البتہ  $k'_n$  کی قیمت درجہ حرارت بڑھنے سے بڑھتی ہے اور  $k'_n$  بڑھنے کا اثر  $V_t$  گھٹنے کے اثر سے زیادہ ہوتا ہے لہذا ماسفیٹ کی مزاحمت درجہ حرارت بڑھنے سے بڑھتی ہے۔ قویٰ ماسفیٹ کو آپس میں متوازی جوڑتے وقت اس حقیقت کو زیر استعمال لایا جاتا ہے۔

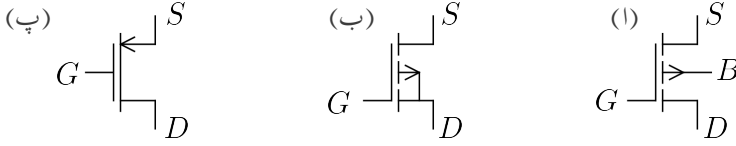


شکل 4.10: p ماسفیٹ کی ساخت

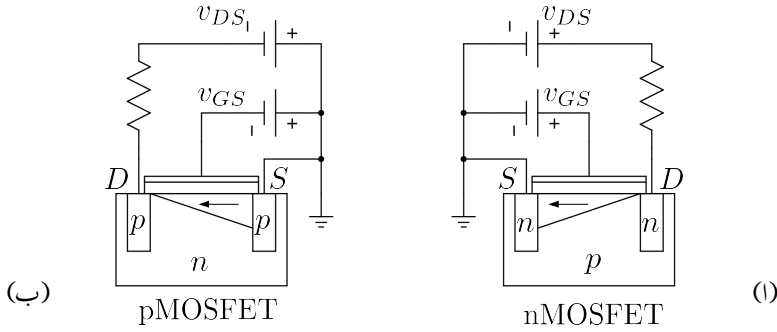
#### 4.4 بڑھاتا pMOSFET ماسفیٹ

p ماسفیٹ، جسے ہم اس کتاب میں مثبت ماسفیٹ بھی کہیں گے، کو n قسم کی سیلیکان پتری پر بنایا جاتا ہے جس میں دو عدد p+ قسم کے خطے بنائے جاتے ہیں۔ pMOSFET کی کارکردگی بالکل nMOSFET کی طرح ہے البتہ اس میں  $v_{DS}$ ،  $v_{GS}$  اور  $V_t$  تینوں کی قیمتیں منفی ہوتی ہیں۔ اسی طرح برقی رو  $i_{DS}$  کی سمت بھی الٹی ہوتی ہے یعنی برقی رو ٹرانزسٹر کے ڈرین سرے سے باہر کی جانب ہوتا ہے۔ اسی لئے pMOSFET کے برقی رو کو  $i_{SD}$  لکھا جائے گا۔ p ماسفیٹ بنانے کی ترکیب شکل 4.10 میں دکھائی گئی ہے جبکہ اس کی علامتیں شکل 4.11 میں دکھائی گئی ہیں۔ pMOSFET کے راہ میں برقی رو خولے کے حرکت کی بدولت ہے۔ سورس سے خولے راہ میں خارج ہو کر ڈرین تک سفر کرتے ہیں جہاں انہیں راہ سے حاصل کیا جاتا ہے۔ ماسفیٹ میں برقی رو خولے کے اسی حرکت کی بدولت ہے۔

nMOSFET کی جسامت کم ہونے کی بدولت سیلیکان پتری پر انہیں زیادہ تعداد میں بنایا جاسکتا ہے۔ یوں اگرچہ مخلوط ادوار میں nMOSFET کو pMOSFET پر ترجیح دی جاتی ہے مگر پھر بھی ان کی اپنی اہمیت



شکل 4.11: p بڑھاتا ماسفیٹ کی علامتیں



شکل 4.12: nMOSFET اور pMOSFET نقطہ دبوچ پر

ہے جس کی بنا پر انہیں بھی مخلوط ادوار میں استعمال کیا جاتا ہے۔ بالخصوص جڑوا ماسفیٹ (CMOS) ادوار جو کہ اہم ترین ادوار تصور کئے جاتے ہیں ان دونوں اقسام کو استعمال کرتے ہی بنائے جاتے ہیں۔

شکل 4.12 میں موازنے کے لئے بڑھاتے nMOSFET اور pMOSFET کو نقطہ دبوچ پر مائل کرتے دکھائے گئے ہیں۔ nMOSFET میں سورس S کو برقی زمین پر رکھا گیا ہے۔ پیدا کردہ راہ میں برقی رو کو تیر کے نشان سے دکھایا گیا ہے۔ یوں اگر راہ کا بایاں سرا صفر وولٹ پر ہو تو اس کا دایاں سرا مثبت برقی دباؤ پر ہو گا۔ یوں گیٹ اور بائیں سرے کے مابین برقی دباؤ زیادہ ہو گا جبکہ گیٹ اور دائیں سرے کے مابین برقی دباؤ نسبتاً کم ہو گا جس سے راہ ترچھی شکل کا پیدا ہو گا۔ جہاں گیٹ اور سیلیکان کے مابین برقی دباؤ زیادہ ہو وہاں راہ کی گہرائی زیادہ ہو گی۔ pMOSFET میں بھی سورس S کو برقی زمین پر رکھا گیا ہے۔ پیدا کردہ راہ میں برقی رو کو تیر کے نشان سے دکھایا گیا ہے۔ یوں اگر راہ کا دایاں سرا صفر وولٹ پر ہو تو اس کا بایاں سرا منفی برقی دباؤ پر ہو گا۔ یوں گیٹ اور دائیں سرے کے مابین برقی دباؤ زیادہ ہو گا جبکہ گیٹ اور بائیں سرے کے مابین برقی دباؤ نسبتاً کم ہو گا۔ جہاں گیٹ اور سیلیکان کے مابین برقی دباؤ زیادہ ہو وہاں راہ کی گہرائی زیادہ ہو گی۔ آپ دیکھ سکتے ہیں کہ دونوں اقسام کے ماسفیٹ میں

پیدا کردہ راہ ڈرین پر دیوچ جاتا ہے۔

pMOSFET کے  $v_{GS}$ ،  $v_{DS}$  اور  $i_{DS}$  منفی مقداریں ہیں لہذا  $v_{SG}$ ،  $v_{SD}$  اور  $i_{SD}$  مثبت مقدار ہوں گے۔ pMOSFET کے مساوات مندرجہ ذیل ہیں۔

#### 4.4.1 غیر افزائندہ

$$\begin{aligned}
 v_{SG} &> -V_t \\
 v_{DG} &\geq -V_t \\
 i_{SD} &= k'_p \left[ \frac{W}{L} \right] \left[ (v_{SG} + V_t) v_{SD} - \frac{v_{SD}^2}{2} \right]
 \end{aligned}
 \tag{4.36}$$

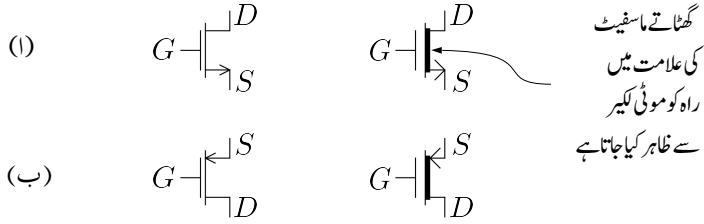
نقطہ دیوچ

$$\begin{aligned}
 v_{SG} &> -V_t \\
 v_{DG} &= -V_t \\
 i_{SD} &= \frac{k'_p}{2} \left[ \frac{W}{L} \right] [v_{SG} + V_t]^2
 \end{aligned}
 \tag{4.37}$$

افزائندہ

$$\begin{aligned}
 v_{SG} &> -V_t \\
 v_{DG} &\leq -V_t \\
 i_{SD} &= \frac{k'_p}{2} \left[ \frac{W}{L} \right] [v_{SG} + V_t]^2
 \end{aligned}
 \tag{4.38}$$





شکل 4.13: گھٹاتے اور بڑھاتے ماسفیٹ کی علامتیں

منقطع

$$(4.39) \quad \begin{aligned} v_{SG} &\leq -V_t \\ i_{SD} &= 0 \end{aligned}$$

4.5 گھٹاتا  $n$  ماسفیٹ

nMOSFET بناتے وقت، اس کے سورس اور ڈرین خطوں کے درمیان سیلیکان پتری میں گیٹ کے بالکل نیچے  $n$  قسم کے خطے کے اضافے سے  $n$  قسم کا گھٹاتا ماسفیٹ<sup>25</sup> وجود میں آتا ہے۔ شکل 4.13 الف میں  $n$  قسم کے گھٹاتے ماسفیٹ کی علامت دکھائی گئی ہے۔ گھٹاتے ماسفیٹ کی علامت میں راہ کو موٹی لکیر سے ظاہر کیا جاتا ہے۔ شکل الف میں  $n$  گھٹاتا ماسفیٹ کی علامت دکھائی گئی ہے۔ ساتھ ہی موازنے کی خاطر  $n$  بڑھاتے ماسفیٹ کی علامت بھی دکھائی گئی ہے۔

چونکہ گھٹاتا ماسفیٹ میں پہلے سے ہی سورس اور ڈرین خطوں کے مابین راہ موجود ہوتا ہے لہذا گیٹ پر صفر وولٹ ( $v_{GS} = 0$ ) ہوتے ہوئے بھی اگر سورس اور ڈرین سروں کے مابین برقی دباؤ  $v_{DS}$  لاگو کی جائے تو ماسفیٹ میں برقی رو  $i_{DS}$  گزرے گا۔ گیٹ پر برقی دباؤ بڑھانے سے راہ کی گہرائی بڑھتی ہے جس سے برقی رو میں اضافہ ہوتا ہے جبکہ گیٹ پر منفی برقی دباؤ لاگو کرنے سے راہ کی گہرائی گھٹتی ہے جس سے  $i_{DS}$  میں کمی آتی ہے۔ اسی سے

اس کا نام  $n$  قسم کا گھٹانا ماسفیٹ نکلا ہے۔ اگر گیٹ پر لاگو برقی دباؤ کو بتدریج منفی جانب لے جایا جائے تو آخر کار راہ کی گہرائی صفر ہو جائے گی اور ماسفیٹ میں برقی رو کا گزرنا ممکن نہیں رہے گا۔ یہ برقی دباؤ اس ماسفیٹ کا  $V_t$  ہوتا ہے۔ یوں  $n$  قسم کے گھٹانا ماسفیٹ کا  $V_t$  منفی قیمت رکھتا ہے۔

گھٹانا اور بڑھانا منفی ماسفیٹ کے مساوات میں کوئی فرق نہیں لہذا اب تک کے تمام بڑھانا ماسفیٹ کے مساوات جوں کے توں گھٹانا ماسفیٹ کے لئے بھی استعمال کئے جائیں گے۔

#### 4.5.1 منقطع صورت

اگر گھٹانا ماسفیٹ کے  $v_{GS}$  پر  $V_t$  سے کم (یعنی مزید منفی) برقی دباؤ لاگو کیا جائے تو راہ کا وجود نہیں رہے گا یعنی پیدا کردہ راہ نہیں رہے گا اور ماسفیٹ منقطع صورت<sup>26</sup> اختیار کر لے گا۔ اس شرط کو یوں بیان کیا جاتا ہے۔

$$v_{GS} \leq V_t \quad (4.40)$$

یوں اگر کسی گھٹانا ماسفیٹ کا  $V_t = -3.5 \text{ V}$  ہو اور اس کے گیٹ پر  $v_{GS} = -4 \text{ V}$  لاگو کیا جائے تو یہ منقطع ہو جائے گا اور اگر اس کے گیٹ پر  $v_{GS} = -2.2 \text{ V}$  یا  $v_{GS} = 1.2 \text{ V}$  اور یا  $v_{GS} = 5.3 \text{ V}$  لاگو کیا جائے تو ماسفیٹ چالو رہے گا۔

#### 4.5.2 غیر افزا بندہ

$v_{GS}$  پر  $V_t$  سے زیادہ برقی دباؤ لاگو کرنے سے ماسفیٹ چالو حالت اختیار کر لیتا ہے۔ جب تک چالو ماسفیٹ کے گیٹ پر ڈرین خطے سے  $|V_t|$  وولٹ کم نہ ہو جائیں گھٹانا ماسفیٹ غیر افزا بندہ ہو گا۔ اس شرط کو یوں بیان کیا جاتا ہے۔

$$\begin{aligned} v_{GS} - v_{DS} &\geq V_t \\ v_{GD} &\geq V_t \end{aligned} \quad (4.41)$$

یوں اسی مثال کو آگے بڑھاتے ہوئے اگر  $V_t = -3.5 \text{ V}$  ہو اور  $v_{GS} = 5.3 \text{ V}$  ہو تب جب تک  $v_{DS} < 8.8 \text{ V}$  رہے ماسفیٹ غیر افزا بندہ رہے گا۔

<sup>26</sup> cut off state

## 4.5.3 دبوچ

جب گیٹ پر ڈرین سے  $|V_t|$  ولٹ کم ہو جائیں تو پیدا کردہ راہ دبوچا جاتا ہے۔ اس شرط کو یوں بیان کرتے ہیں۔

$$(4.42) \quad \begin{aligned} v_{GS} - v_{DS} &= V_t \\ v_{GD} &= V_t \end{aligned}$$

یوں  $V_t = -3.5 \text{ V}$  اور  $v_{GS} = 5.3 \text{ V}$  کی صورت میں جب  $v_{DS} = 8.8 \text{ V}$  ہو تب پیدا کردہ راہ دبوچا جائے گا۔

## 4.5.4 افزائندہ

جب چالو ماسفیٹ کے ڈرین پر گیٹ سے  $|V_t|$  ولٹ زیادہ ہوں تب یہ افزائندہ حال میں ہو گا۔ اس شرط کو یوں بیان کرتے ہیں۔

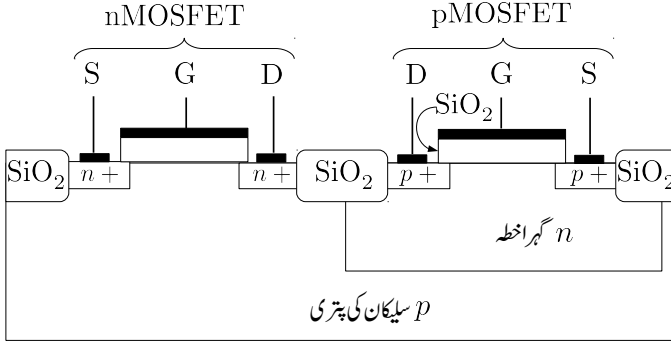
$$(4.43) \quad \begin{aligned} v_{GS} - v_{DS} &\leq V_t \\ v_{GD} &\leq V_t \end{aligned}$$

یوں  $V_t = -3.5 \text{ V}$  اور  $v_{GS} = 5.3 \text{ V}$  کی صورت میں جب  $v_{DS} > 8.8 \text{ V}$  ہو تب ماسفیٹ افزائندہ خطے میں ہو گا۔

یہاں تسلی کر لیں کہ گھٹاتا ماسفیٹ کے مختلف خطوں کی مساواتیں بالکل وہی ہیں جو عام ماسفیٹ کی ہیں۔ فرق صرف اتنا ہے کہ گھٹاتا ماسفیٹ کے  $V_t$  کی قیمت منفی ہوتی ہے۔

## 4.6 گھٹاتا p ماسفیٹ

p قسم کا گھٹاتا ماسفیٹ اسی طرح p ماسفیٹ بناتے وقت سیلیکان پتہری میں گیٹ کے بالکل نیچے p قسم کی راہ، سورس سے ڈرین خطے تک بنانے سے پیدا ہوتا ہے۔ p قسم کے گھٹاتا ماسفیٹ اور عام p قسم کے ماسفیٹ کے مساوات ایک ہی طرح کے ہیں۔ فرق صرف اتنا ہے کہ p قسم کے گھٹاتا ماسفیٹ کی  $V_t$  کی قیمت مثبت ہوتی ہے۔ مزید یہ کہ کسی بھی p قسم کے ماسفیٹ کی طرح p قسم کے گھٹاتا ماسفیٹ میں برقی رو ڈرین سرے سے باہر کی جانب ہوتا ہے۔ شکل 4.13 ب میں p قسم کے گھٹاتے ماسفیٹ کی علامت دکھائی گئی ہے۔



شکل 4.14: سیماس یا جڑو ماسفیٹ کی ساخت

## 4.7 جڑو ماسفیٹ CMOS

جڑو ماسفیٹ nMOSFET اور pMOSFET دونوں استعمال کرتے بننے میں جنہیں p سیلیکان پر بنایا جاتا ہے۔ nMOSFET تو بنتا ہی p سیلیکان پر ہے البتہ pMOSFET بناتے وقت پہلے p سیلیکان میں گہرا n خطہ بنایا جاتا ہے اور پھر اس خطے میں pMOSFET بنایا جاتا ہے۔ شکل 4.14 میں جڑو ماسفیٹ کی ساخت دکھائی گئی ہے۔ جڑو ماسفیٹ کو عام فہم میں سیماس<sup>27</sup> کہتے ہیں۔ شکل میں ماسفیٹ کے دونوں جانب SiO<sub>2</sub> کے گہرے حصے دکھائے گئے ہیں جو ساتھ ساتھ دو ماسفیٹ کو مکمل طور پر علیحدہ رکھنے کی خاطر استعمال کئے جاتے ہیں۔ یاد رہے کہ SiO<sub>2</sub> نہایت عمدہ غیر موصل ہے۔ سیماس کو p سیلیکان پر بھی بنایا جاسکتا ہے۔ پس اس میں pMOSFET کو گہرے n خطے میں بنانا ہو گا جبکہ nMOSFET تو بنتا ہی p سیلیکان پر ہے۔

## 4.8 ماسفیٹ کے یک سمتی ادوار کا حل

اس حصے میں ماسفیٹ کے یک سمتی ادوار حل کئے جائیں گے۔ جیسے اس کتاب کے شروع میں بتلایا گیا ہے، یک سمتی متغیرات انگریزی کے بڑے حروف سے ظاہر کئے جاتے ہیں۔ یوں گیٹ پر برقی دباؤ کو  $v_{GS}$  کی جگہ  $V_{GS}$  لکھا جائے گا۔ اسی طرح  $v_{DS}$  کو  $V_{DS}$  اور  $i_{DS}$  کو  $I_{DS}$  لکھا جائے گا۔

اس حصے میں دئے گئے مثالوں کو پہلے خود حل کرنے کی کوشش کریں اور بعد میں کتاب میں دئے حل دیکھیں۔

مثال 4.2: ایک منفی گھٹاتا ماسفیٹ جس کا  $v_{DS} = 1\text{ V}$ ،  $V_t = -3.2\text{ V}$  اور  $k_n = 0.1 \frac{\text{mA}}{\text{V}^2}$  ہیں کا برقی رو مندرجہ ذیل پر حاصل کریں۔

$$1. \quad v_{GS} = -4\text{ V}$$

$$2. \quad v_{GS} = -3.2\text{ V}$$

$$3. \quad v_{GS} = -2.8\text{ V}$$

$$4. \quad v_{GS} = -2.2\text{ V}$$

$$5. \quad v_{GS} = 1.5\text{ V}$$

حل:

1.  $v_{GS} = -4\text{ V}$  اور  $V_t = -3.2\text{ V}$  ہیں۔ چونکہ  $(-4 < -3.2)$  ہے لہذا  $v_{GS} < V_t$  ہے اور یوں گھٹاتا ماسفیٹ منقطع ہے اور اس میں برقی رو کا گزر ممکن نہیں ہے یعنی  $i_{DS} = 0$  ہے۔

2.  $v_{GS} = -3.2\text{ V}$  اور  $V_t = -3.2\text{ V}$  ہونے کی وجہ سے  $v_{GS} = V_t$  ہے۔ اس صورت پیدا کردہ راہ وجود میں آئے گا مگر اس کی گہرائی تقریباً صفر ہوگی اور اس میں برقی رو کا گزر ممکن نہیں ہے یعنی  $i_{DS} = 0$  ہے۔

3.  $v_{GS} = -2.8\text{ V}$  اور  $V_t = -3.2\text{ V}$  پر چونکہ  $(-2.8 > -3.2)$  ہے لہذا  $v_{GS} > V_t$  ہے اور یوں گھٹاتا ماسفیٹ چالو ہے۔  $V_{DS} = 1\text{ V}$  پر گیٹ اور ڈرین کے مابین برقی دباؤ

$$v_{GS} - v_{DS} = (-2.8) - (1) = -3.8\text{ V}$$

ہے جو کہ  $V_t$  سے کم ہے یعنی

$$v_{GS} - v_{DS} < V_t$$

لہذا گھٹاتا ماسفیٹ افزا سندہ ہے اور یوں

$$\begin{aligned} i_{DS} &= \frac{k_n}{2} [v_{GS} - V_t]^2 \\ &= \frac{0.1 \times 10^{-3}}{2} \times [(-2.8) - (-3.2)]^2 \\ &= 8 \mu A \end{aligned}$$

4.  $v_{GS} = -2.2 \text{ V}$  اور  $V_t = -3.2 \text{ V}$  پر چونکہ  $(-2.2 > -3.2)$  ہے لہذا  $v_{GS} > V_t$  ہے اور یوں گھٹاتا ماسفیٹ چالو ہے۔  $V_{DS} = +1 \text{ V}$  پر گیٹ اور ڈرین کے مابین برقی دباؤ

$$v_{GS} - v_{DS} = (-2.2) - (1) = -3.2 \text{ V}$$

ہے جو کہ  $V_t$  کے برابر ہے یعنی

$$v_{GS} - v_{DS} = V_t$$

لہذا گھٹاتا ماسفیٹ نقطہ دیوج پر ہے۔ یوں

$$\begin{aligned} i_{DS} &= \frac{k_n}{2} [v_{GS} - V_t]^2 \\ &= \frac{0.1 \times 10^{-3}}{2} [(-2.2) - (-3.2)]^2 \\ &= 50 \mu A \end{aligned}$$

5.  $v_{GS} = 1.5 \text{ V}$  اور  $V_t = -3.2 \text{ V}$  پر چونکہ  $(+1.5 > -3.2)$  ہے لہذا  $v_{GS} > V_t$  ہے اور یوں گھٹاتا ماسفیٹ چالو ہے۔  $V_{DS} = 1 \text{ V}$  پر گیٹ اور ڈرین کے مابین برقی دباؤ

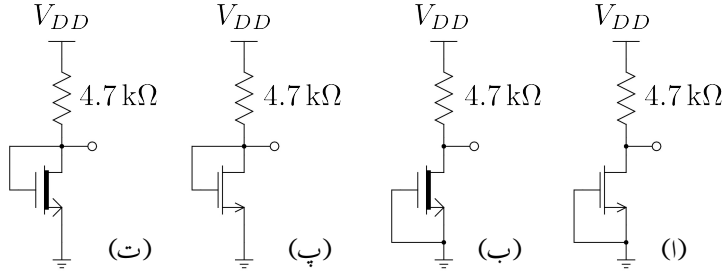
$$v_{GS} - v_{DS} = +1.5 - 1 = 0.5 \text{ V}$$

ہے جو کہ  $V_t$  سے زیادہ ہے یعنی

$$v_{GS} - v_{DS} > V_t$$

لہذا گھٹاتا ماسفیٹ غیر افزا سندہ ہے۔ یوں

$$\begin{aligned} i_{DS} &= k_n \left[ (v_{GS} - V_t) v_{DS} - \frac{v_{DS}^2}{2} \right] \\ &= 0.1 \times 10^{-3} \times \left[ (1.5 - (-3.2)) \times 1 - \frac{1^2}{2} \right] \\ &= 0.42 \text{ mA} \end{aligned}$$



شکل 4.15: ماسفیٹ کے یک سمتی ادوار

مثال 4.3: شکل 4.15 الف میں منفی بڑھاتا ماسفیٹ کے گیٹ کو سورس کے ساتھ جوڑ کر دور بنایا گیا ہے۔ اس ماسفیٹ کا  $V_t = 3\text{ V}$  اور  $k_n = 0.2\text{ mA/V}^2$  ہیں جبکہ دور میں  $V_{DD} = 10\text{ V}$  ہے۔ دور میں برقی رو حاصل کریں۔

حل:  $n$  قسم کے بڑھاتا ماسفیٹ کے  $V_t$  کی قیمت ہر صورت مثبت ہوتی ہے۔  $n$  قسم کے ماسفیٹ کا گیٹ اور سورس آپس میں جوڑنے سے  $V_{GS} = 0$  ہو جاتا ہے اور یوں  $V_{GS} < V_t$  ہوتا ہے جس سے ماسفیٹ منقطع ہو جاتا ہے اور  $I_{DS} = 0$  ہوتا ہے۔

مثال 4.4: شکل 4.15 ب میں منفی گھٹاتا ماسفیٹ کے گیٹ کو سورس کے ساتھ جوڑ کر دور بنایا گیا ہے۔ اس ماسفیٹ کا  $V_t = -3\text{ V}$  اور  $k_n = 0.2\text{ mA/V}^2$  ہیں جبکہ دور میں  $V_{DD} = 10\text{ V}$  ہے۔ دور میں برقی رو حاصل کریں۔

حل:  $n$  قسم کے گھٹاتا ماسفیٹ کے  $V_t$  کی قیمت ہر صورت منفی ہوتی ہے۔  $n$  قسم کے ماسفیٹ کا گیٹ اور سورس آپس میں جوڑنے سے  $V_{GS} = 0$  ہو جاتا ہے اور یوں  $V_{GS} > V_t$  یعنی ماسفیٹ چالو ہوتا ہے۔ اب یہ دیکھنا ہو گا کہ آیا یہ ماسفیٹ افزائندہ خطے میں ہے یا کہ غیر افزائندہ خطے میں۔

ماسفیٹ کے سوالات میں عموماً قبل از وقت یہ جاننا ممکن نہیں ہوتا کہ ماسفیٹ افزائندہ یا غیر افزائندہ خطے میں ہے۔ یوں آپ جان نہیں سکتے کہ ماسفیٹ کی برقی رو حاصل کرتے وقت افزائندہ ماسفیٹ کی مساوات یا غیر افزائندہ ماسفیٹ کی مساوات استعمال ہوگی۔

اس طرح کے سوالات حل کرتے وقت آپ تصور کریں گے کہ ماسفیٹ افزائندہ (یا غیر افزائندہ) خطے میں ہے<sup>28</sup> اور پھر دور حل کرنے کی کوشش کریں گے۔ حل کرنے کے بعد دوبارہ تسلی کریں گے کہ ماسفیٹ افزائندہ (یا غیر افزائندہ) خطے میں ہی ہے۔ اگر حتمی جواب اور تصور کردہ صورتیں یکساں نکل آئیں تو حل تسلیم کر لیا جاتا ہے ورنہ ماسفیٹ کو غیر افزائندہ (افزائندہ) تصور کر کے دور کو دوبارہ حل کیا جاتا ہے۔ آئیں اس ترکیب کو استعمال کریں۔

ہم تصور کرتے ہیں کہ گھٹاتا ماسفیٹ افزائندہ خطے میں ہے۔ یوں مساوات 4.28 کے تحت

$$I_{DS} = \frac{k_n}{2} (V_{GS} - V_t)^2 = \frac{0.2 \times 10^{-3}}{2} (0 - (-3))^2 = 0.9 \text{ mA}$$

اور شکل ب میں خارجی جانب کرخوف کا قانون برائے برقی دباؤ استعمال کرتے ہوئے

$$V_{DD} = I_{DS} R_D + V_{DS}$$

$$10 = 0.9 \times 10^{-3} \times 4.7 \times 10^3 + V_{DS}$$

$$V_{DS} = 5.77 \text{ V}$$

حاصل ہوتا ہے۔

اس جواب کو استعمال کرتے ہوئے ہم نے یہ دیکھنا ہو گا کہ آیا ماسفیٹ واقعی افزائندہ ہے یا نہیں۔ مساوات 4.8 کا آخری جزو افزائندہ ماسفیٹ کی شرط بیان کرتا ہے۔ موجودہ مثال میں

$$V_{GS} - V_{DS} = 0 - 5.77 = -5.77 \text{ V}$$

ہے جبکہ  $V_t = -3 \text{ V}$  ہے۔ یوں  $V_{GS} - V_{DS} < V_t$  کی شرط پوری ہوتی ہے اور ماسفیٹ یقیناً افزائندہ ہی ہے لہذا  $I_{DS} = 0.9 \text{ mA}$  ہی صحیح جواب ہے۔

<sup>28</sup> میری عادت ہے کہ میں ماسفیٹ کو افزائندہ تصور کر کے دور حل کرنے کی کوشش پہلے کرتا ہوں۔



آئیں اسی مثال میں ماسفیٹ کو غیر افزائندہ تصور کر کے مثال کو دوبارہ حل کرتے ہیں۔ غیر افزائندہ ماسفیٹ کی مساوات حل کرنے کی خاطر  $V_{DS}$  کا معلوم ہونا ضروری ہے۔ دور کے خارجی جانب کرخوف کے قانون برائے برقی دباؤ سے ملتا ہے

$$V_{DD} = I_{DS}R_D + V_{DS}$$

$$10 = I_{DS} \times 4.7 \times 10^3 + V_{DS}$$

$$V_{DS} = 10 - 4700I_{DS}$$

غیر افزائندہ ماسفیٹ کے مساوات میں  $V_{DS}$  کی جگہ اسے استعمال کرتے حل کرتے ہیں۔

$$I_{DS} = k_n \left[ (V_{GS} - V_t) V_{DS} - \frac{V_{DS}^2}{2} \right]$$

$$\frac{I_{DS}}{k_n} = \left[ (V_{GS} - V_t) V_{DS} - \frac{V_{DS}^2}{2} \right]$$

$$\frac{I_{DS}}{0.2 \times 10^{-3}} = \left[ (0 - (-3)) (10 - 4700I_{DS}) - \frac{(10 - 4700I_{DS})^2}{2} \right]$$

سے

$$I_{DS} = 1.26 \mp j0.46 \text{ mA}$$

حاصل ہوتا ہے۔ یہ مخلوط جوابات ہیں۔ غیر حقیقی برقی رومعنی نہیں رکھتی لہذا ماسفیٹ کے غیر افزائندہ ہونے کو رد کیا جاتا ہے۔

مثال 4.5: شکل 4.15 پ میں منفی بڑھاتا ماسفیٹ کے ڈرین اور گیٹ جوڑ کر یک سمتی دور بنایا گیا ہے۔ اس ماسفیٹ کا  $V_t = 3 \text{ V}$  اور  $k_n = 0.2 \text{ mA/V}^{-2}$  ہیں جبکہ دور میں  $V_{DD} = 10 \text{ V}$  ہے۔ دور میں برقی رو حاصل کریں۔

حل: گیٹ اور ڈرین جوڑنے سے گیٹ اور ڈرین برابر برقی دباؤ پر ہوں گے یعنی

$$V_{GS} = V_{DS}$$

ہو گا۔ یوں  $V_{GS} - V_{DS} = 0$  ہو گا اور یوں  $V_{GS} - V_{DS} < V_t$  ہو گا۔ اس طرح ماسفیٹ افزائندہ ہو گا اور ہم برقی رو

$$I_{DS} = \frac{k_n}{2} (V_{GS} - V_t)^2$$

سے حاصل کر سکتے ہیں۔ البتہ ایسا کرنے کی خاطر ہمیں  $V_{GS}$  کی قیمت درکار ہو گی۔ شکل پ کے خارجی جانب کرخوف کے قانون برائے برقی دباؤ کے استعمال سے

$$V_{DD} = I_{DS}R_D + V_{DS}$$

حاصل ہوتا ہے۔ چونکہ اس مثال میں  $V_{GS} = V_{DS}$  ہے لہذا اس مساوات کو یوں لکھ سکتے ہیں

$$V_{DD} = I_{DS}R_D + V_{GS}$$

$$10 = I_{DS} \times 4.7 \times 10^3 + V_{GS}$$

$$V_{GS} = 10 - 4700I_{DS}$$

اس مساوات کو افزائندہ ماسفیٹ کے مساوات کے ساتھ حل کرنے سے برقی رو حاصل کی جاسکتی ہے۔ اس مساوات سے حاصل  $V_{GS}$  کو افزائندہ ماسفیٹ کے مساوات میں استعمال کرتے ہیں

$$I_{DS} = \frac{k_n}{2} (V_{GS} - V_t)^2$$

$$\frac{2I_{DS}}{k_n} = (V_{GS} - V_t)^2$$

$$22090000I_{DS}^2 - 75800I_{DS} + 49 = 0$$

$$I_{DS} = 2.567 \text{ mA}, 0.8639 \text{ mA}$$

ان دو جوابات سے  $V_{DS}$  کے دو قیمتیں حاصل ہوتی ہیں۔

$$V_{DS} = V_{GS} = 10 - 2.567 \times 10^{-3} \times 4700 = -2.06 \text{ V}$$

$$V_{DS} = V_{GS} = 10 - 0.8639 \times 10^{-3} \times 4700 = 5.94 \text{ V}$$

ان میں پہلے جواب کے مطابق  $V_{GS} = -2.06 \text{ V}$  ہے جس سے  $V_{GS} < V_t$  حاصل ہوتا ہے۔ اگر ایسا ہوتا تو ماسفیٹ منقطع ہوتا اور اس میں برقی رو کا گزر ممکن ہی نہیں ہوتا لہذا یہ جواب غلط ہے۔ دوسرے جواب کے مطابق  $V_{GS} = 5.94 \text{ V}$  حاصل ہوا ہے اور یوں  $V_{GS} > V_t$  ہے۔ اس طرح ماسفیٹ چالو حال میں ہے اور جواب تسلیم کرنا ہو گا۔

مثال 4.6: شکل 4.15 ت میں منفی گھٹاتا ماسفیٹ کا گیٹ اور ڈرین جوڑ کر دور بنایا گیا ہے۔ اس ماسفیٹ کا  $V_t = -3\text{ V}$  اور  $k_n = 0.2\text{ mA/V}^2$  ہیں جبکہ دور میں  $V_{DD} = 10\text{ V}$  ہے۔ دور میں برقی رو حاصل کریں۔

حل: اس مثال میں خارجی جانب کر خوف کے قانون برائے برقی دباؤ کے تحت

$$\begin{aligned} V_{DD} &= I_{DS}R_D + V_{DS} \\ 10 &= I_{DS} \times 4700 + V_{DS} \end{aligned}$$

حاصل ہوتا ہے۔ چونکہ گیٹ اور ڈرین آپس میں جڑے ہیں لہذا ان پر برابر برقی دباؤ پایا جائے گا یعنی  $V_{GS} = V_{DS}$  ہو گا لہذا اس مساوات کو یوں بھی لکھ سکتے ہیں۔

$$\begin{aligned} V_{DD} &= I_{DS}R_D + V_{GS} \\ 10 &= I_{DS} \times 4700 + V_{GS} \\ V_{GS} &= 10 - 4700I_{DS} \end{aligned}$$

اگر ماسفیٹ منقطع ہو تب برقی رو کی مقدار صفر ہوگی اور اس صورت میں اس مساوات کے تحت  $V_{GS} = 10\text{ V}$  حاصل ہوتا ہے۔ گھٹاتا ماسفیٹ کا  $V_t$  منفی ہوتا ہے اور یوں یہاں  $V_{GS} > V_t$  ہے جو کہ چالو ماسفیٹ کی نشانی ہے۔ یوں اس ماسفیٹ کو منقطع تصور کرنا غلط ہے۔ آئیں اب دیکھتے ہیں کہ آیا ماسفیٹ افزا سندہ یا غیر افزا سندہ خطے میں ہے۔

گیٹ اور ڈرین آپس میں جڑے ہونے کی وجہ سے  $V_{GS} - V_{DS} = 0$  ہو گا۔ چونکہ گھٹاتا ماسفیٹ کا  $V_t$  منفی مقدار ہوتا ہے لہذا  $V_{GS} - V_{DS} > V_t$  ہو گا اور یوں اگر یہ ماسفیٹ چالو ہو تو یہ ہر صورت غیر افزا سندہ خطے میں ہو گا اور اس کی مساوات غیر افزا سندہ ماسفیٹ کی مساوات سے حاصل کی جاسکتی ہے۔

$$\begin{aligned} I_{DS} &= k_n \left[ (V_{GS} - V_t) V_{DS} - \frac{V_{DS}^2}{2} \right] \\ \frac{I_{DS}}{k_n} &= (10 - 4700I_{DS} + 3) (10 - 4700I_{DS}) - \frac{(10 - 4700I_{DS})^2}{2} \\ I_{DS} &= 4.3\text{ mA}, 1.68\text{ mA} \end{aligned}$$

ہم جانتے ہیں کہ اگر یہاں ماسفیٹ چالو ہو تب یہ غیر افزا سندہ ہو گا لہذا دیکھنا یہ ہے کہ آیا ماسفیٹ چالو ہے یا نہیں۔

اگر  $I_{DS} = 4.3 \text{ mA}$  ہو تب

$$\begin{aligned} V_{GS} &= 10 - 4700I_{DS} \\ &= 10 - 4700 \times 4.3 \times 10^{-3} \\ &= -10.21 \text{ V} \end{aligned}$$

اور یوں  $V_{GS} < V_t$  ہو گا جو کہ منقطع ماسفیٹ کی نشانی ہے۔ منقطع ماسفیٹ برقی رو گزار ہی نہیں سکتا لہذا اس جواب کو رد کیا جاتا ہے۔

اگر  $I_{DS} = 1.68 \text{ mA}$  ہو تب

$$\begin{aligned} V_{GS} &= 10 - 4700I_{DS} \\ &= 10 - 4700 \times 1.68 \times 10^{-3} \\ &= 2.104 \text{ V} \end{aligned}$$

اور یوں  $V_{GS} > V_t$  ہو گا جو کہ چالو ماسفیٹ کی نشانی ہے۔ یوں  $I_{DS} = 1.68 \text{ mA}$  ہی درست جواب ہے۔

مثال 4.7: شکل 4.15 پ میں

$$\begin{aligned} k_n &= 0.15 \text{ mA V}^{-2} \\ V_t &= 3 \text{ V} \\ V_{DD} &= 10 \text{ V} \end{aligned}$$

ہیں۔ برقی رو  $I_{DS} = 0.6 \text{ mA}$  حاصل کرنے کی خاطر  $R_D$  کی قیمت دریافت کریں۔

حل: جیسے مثال 4.6 میں ثابت کیا گیا، بڑھاتا  $n$  ماسفیٹ کا گیٹ اور ڈرین جوڑنے سے ماسفیٹ چالو حال میں رہتا ہے۔ مزید یہ کہ یہ افرا سندہ ہوتا ہے جیسے مندرجہ ذیل مساوات سے دیکھا جاسکتا ہے۔

$$\begin{aligned} V_{GS} &= V_{DS} \\ V_{GS} - V_{DS} &= 0 \\ V_{GS} - V_{DS} &< V_t \end{aligned}$$

یوں افزائندہ ماسفیٹ کی مساوات استعمال کرتے ہوئے  $V_{GS}$  کے لئے حل کرتے ہیں۔

$$I_{DS} = \frac{k_n}{2} (V_{GS} - V_t)^2$$

$$0.6 \times 10^{-3} = \frac{0.15 \times 10^{-3}}{2} (V_{GS} - 3)^2$$

$$\frac{2 \times 0.6 \times 10^{-3}}{0.15 \times 10^{-3}} = (V_{GS} - 3)^2$$

$$8 = (V_{GS} - 3)^2$$

$$V_{GS} = \pm\sqrt{8} + 3$$

$$V_{GS} = 0.172 \text{ V}, 5.828 \text{ V}$$

$V_{GS} = 0.172 \text{ V}$  کے جواب کو رد کرتے ہیں چونکہ اس طرح  $V_{GS} < V_t$  ہو گا اور ماسفیٹ منقطع ہو گا۔  
 $V_{GS} = 5.828 \text{ V}$  کو تسلیم کرتے ہوئے دور کے خارجی جانب کرخوف کے قانون برائے برقی دباؤ میں  $V_{DS}$  کی قیمت کو حاصل شدہ  $V_{GS}$  کی قیمت کے برابر لیتے ہوئے

$$V_{DD} = I_{DS}R_D + V_{DS}$$

$$10 = 0.6 \times 10^{-3} \times R_D + 5.828$$

$$R_D = 6.95 \text{ k}\Omega$$

حاصل ہوتا ہے۔

مثال 4.8: اگر شکل 4.16 میں  $k_n = 0.4 \text{ mA/V}^2$ ،  $V_t = 2.5 \text{ V}$ ،  $I_{DS} = 0.8 \text{ mA}$  اور  $V_D = 2 \text{ V}$  ہوں تو اس دور کے مزاحمت کی قیمت حاصل کریں۔

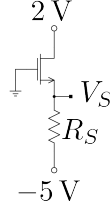
حل: دور کے داخلی جانب کرخوف کے قانون برائے برقی دباؤ کے تحت

$$V_{GS} + I_{DS}R_S - 5 = 0$$

$$V_{GS} = 5 - I_{DS}R_S$$

اگر ماسفیٹ منقطع ہو تب برقی رو کی قیمت صفر ہو گی یوں

$$V_{GS} = 5 - I_{DS}R_S = 5 - 0 \times R_S = 5 \text{ V}$$



شکل 4.16

حاصل ہوتا ہے جس سے  $V_{GS} > V_t$  ثابت ہوتا ہے جو کہ چالو ماسفیٹ کی نشانی ہے۔ لہذا ماسفیٹ منقطع نہیں ہے۔

گیٹ برقی زمین پر ہے جبکہ ڈرین دو وولٹ پر ہے۔ یوں

$$V_{GD} = V_G - V_D = 0 - 2 = -2 \text{ V}$$

حاصل ہوتا ہے اور یوں  $V_{GD} < V_t$  ثابت ہوتا ہے جو کہ افزائندہ ماسفیٹ کی نشانی ہے۔ اس طرح افزائندہ ماسفیٹ کی مساوات استعمال ہوگی

$$\begin{aligned} I_{DS} &= \frac{k_n}{2} (V_{GS} - V_t)^2 \\ I_{DS} &= \frac{k_n}{2} ([5 - I_{DS}R_S] - V_t)^2 \\ 0.8 \times 10^{-3} &= \frac{0.4 \times 10^{-3}}{2} (5 - 0.8 \times 10^{-3} \times R_S - 2.5)^2 \\ \pm\sqrt{4} &= (2.5 - 0.8 \times 10^{-3} \times R_S) \\ R_S &= 0.625 \text{ k}\Omega, 5.625 \text{ k}\Omega \end{aligned}$$

اگر  $R_S = 0.625 \text{ k}\Omega$  ہو تب

$$V_{GS} = 5 - I_{DS}R_S = 5 - 0.8 \times 10^{-3} \times 0.625 \times 10^3 = 4.5 \text{ V}$$

ہو گا اور یوں  $V_{GS} > V_t$  ہو گا یعنی ماسفیٹ چالو ہو گا جو کہ قابل قبول جواب ہے۔ اس کے برعکس اگر  $R_S = 5.625 \text{ k}\Omega$  ہو تب

$$V_{GS} = 5 - I_{DS}R_S = 5 - 0.8 \times 10^{-3} \times 5.625 \times 10^3 = 0.5 \text{ V}$$

ہو گا اور یوں  $V_{GS} < V_t$  ہو گا یعنی ماسفیٹ منقطع ہو گا۔ منقطع ماسفیٹ میں برقی رو کا گزر ممکن نہیں اور یوں یہ ناقابل قبول جواب ہے اور اسے رد کیا جاتا ہے۔

مثال 4.9: شکل 4.17 الف میں دئے گئے دور کو اس طرح تخلیق کریں کہ جبکہ  $I_{DS} = 2 \text{ mA}$  جبکہ  $V_D = 2 \text{ V}$  ہوں۔ دور میں استعمال کئے گئے ماسفیٹ کی  $V_t = 3.3 \text{ V}$  جبکہ اس کی  $k_n = 0.6 \text{ mA/V}^2$  ہے۔ دور میں  $V_{DD} = 15 \text{ V}$  اور  $V_{SS} = -10 \text{ V}$  رکھیں۔

حل: چونکہ گیٹ صفر جبکہ ڈرین دو وولٹ پر ہے لہذا  $V_{GD} = -2 \text{ V}$  اور یوں  $V_{GD} < V_t$  ہے جو کہ افزائندہ ماسفیٹ کی نشانی ہے۔ یوں

$$I_{DS} = \frac{k_n}{2} (V_{GS} - V_t)^2$$

$$2 \times 10^{-3} = \frac{0.6 \times 10^{-3}}{2} (V_{GS} - 3.3)^2$$

$$V_{GS} = 3.3 \pm \sqrt{\frac{4}{0.6}}$$

$$V_{GS} = 0.718 \text{ V}, 5.88 \text{ V}$$

اگر  $V_{GS} = 0.718 \text{ V}$  لیا جائے تب  $V_{GS} < V_t$  ہو گا اور ماسفیٹ منقطع ہو گا لہذا اس جواب کو رد کیا جاتا ہے۔ یوں صحیح جواب ہے۔ دور کے خارجی جانب کرخوف کے قانون برائے برقی دباؤ کے تحت  $V_{GS} = 5.88 \text{ V}$

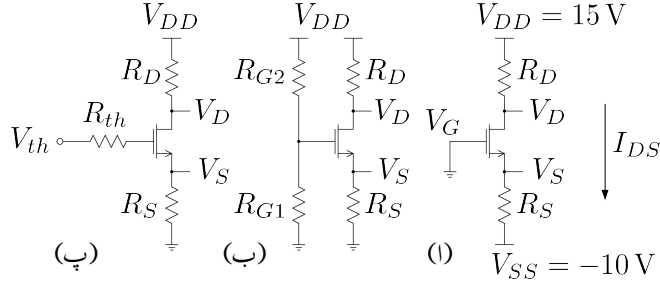
$$V_{GS} = V_G - V_S$$

$$5.88 = 0 - V_S$$

$$V_S = -5.88 \text{ V}$$

یوں اُوہم کے قانون کے تحت

$$R_S = \frac{V_S - V_{SS}}{I_{DS}} = \frac{-5.88 - (-10)}{2 \times 10^{-3}} = 2.06 \text{ k}\Omega$$



شکل 4.17: ماسفیٹ کے مزید یک سمتی ادوار

اور

$$R_D = \frac{V_{DD} - V_D}{I_{DS}} = \frac{15 - 2}{2 \times 10^{-3}} = 6.5 \text{ k}\Omega$$

حاصل ہوتے ہیں۔

مثال 4.10: شکل 4.17 ب میں دو جوڑ ٹرانزسٹر مائل کرنے کے طرز پر گیٹ کے ساتھ دو مزاحمت منسلک کر کے ماسفیٹ کو مائل کیا گیا ہے۔ اگر

$$\begin{aligned} V_{DD} &= 12 \text{ V} \\ R_D &= 6.8 \text{ k}\Omega \\ R_S &= 5.6 \text{ k}\Omega \\ R_{G1} &= R_{G2} = 10 \text{ M}\Omega \\ V_t &= 2.5 \text{ V} \\ k_n &= 0.1 \text{ mA V}^{-2} \end{aligned}$$

ہوں تب اس دور میں تمام برقی دباؤ اور برقی رو حاصل کریں۔



حل: شکل پ میں اس کا مساوی تھونن دور دکھایا گیا ہے جہاں

$$V_{th} = \frac{R_{G1}V_{DD}}{R_{G1} + R_{G2}} = 6V$$

$$R_{th} = \frac{R_{G1}R_{G2}}{R_{G1} + R_{G2}} = 5M\Omega$$

چونکہ ماسفیٹ کے گیٹ پر برقی رو کی قیمت صفر ہوتی ہے ( $I_G = 0$ ) لہذا ماسفیٹ کے گیٹ پر برقی دباؤ اسی تھونن برقی دباؤ کے برابر ہو گا یعنی

$$V_G = 6V$$

شکل ب میں گیٹ کو کھلے سرے تصور کرتے ہوئے  $R_1$  اور  $R_2$  کے جوڑ پر بھی 6V پائے جائیں گے۔ یوں ماسفیٹ کے ادوار حل کرتے ہوئے تھونن مساوی دور بنانا لازم نہیں اور شکل ب پر ہی گیٹ پر 6V لکھ کر آگے بڑھا جاسکتا ہے۔

خارجی جانب مزاحمت پر اُوہم کا قانون لاگو کرنے سے ماسفیٹ کے سورس اور ڈرین سروں پر برقی دباؤ کے مندرجہ ذیل کلیات حاصل ہوتے ہیں۔

$$V_{DD} - V_D = I_{DS}R_D$$

$$V_D = V_{DD} - I_{DS}R_D$$

$$V_D = 12 - 6800I_{DS}$$

$$V_S = I_{DS}R_S = 5600I_{DS}$$

یوں

$$V_{GS} = V_G - V_S = (6) - (5600I_{DS})$$

$$V_{GD} = V_G - V_D = (6) - (12 - 6800I_{DS}) = -6 + 6800I_{DS}$$

ہو گا۔ ان معلومات کے ساتھ رہتے ہوئے ہم یہ نہیں کہہ سکتے کہ ماسفیٹ افزائندہ یا غیر افزائندہ خطے میں ہے۔ اس طرح کے مسائل میں ہم ماسفیٹ کو افزائندہ (غیر افزائندہ) تصور کر کے دور کو حل کرتے ہیں۔ حتیٰ جواب حاصل ہونے کے بعد دوبارہ دیکھتے ہیں کہ آیا ماسفیٹ افزائندہ (غیر افزائندہ) ہی ہے۔ آئیں ایسا ہی کرتے ہوئے ہم ماسفیٹ

کو افزائندہ تصور کرتے ہیں۔ یوں

$$I_{DS} = \frac{k_n}{2} (V_{GS} - V_t)^2$$

$$I_{DS} = \frac{0.1 \times 10^{-3}}{2} [(6 - 5600 I_{DS}) - 2.5]^2$$

$$3.136 \times 10^7 I_{DS}^2 - 5.92 \times 10^4 I_{DS} + 12.25 = 0$$

$$I_{DS} = 1.65 \text{ mA}, 0.237 \text{ mA}$$

حاصل ہوتا ہے۔ 1.65 mA سے

$$V_{GS} = 6 - 1.65 \times 10^{-3} \times 5.6 \times 10^3 = -3.24 \text{ V}$$

یعنی  $V_{GS} < V_t$  حاصل ہوتا ہے لہذا اس جواب کو رد کیا جاتا ہے۔ 0.237 mA سے

$$V_{GS} = 6 - 0.237 \times 10^{-3} \times 5.6 \times 10^3 = 4.67 \text{ V}$$

یعنی  $V_{GS} > V_t$  حاصل ہوتا ہے جو کہ چالو ماسفیٹ کی نشانی ہے۔ مزید یہ کہ اس برقی رو سے

$$V_{GD} = -6 + 0.237 \times 10^{-3} \times 6.8 \times 10^3 = -4.39 \text{ V}$$

یعنی  $V_{GD} < V_t$  حاصل ہوتا ہے جو کہ افزائندہ ماسفیٹ کی نشانی ہے۔ یوں 0.237 mA کو درست جواب تسلیم کیا جاتا ہے۔ اس طرح

$$V_D = 12 - 0.237 \times 10^{-3} \times 6.8 \times 10^3 = 10.388 \text{ V}$$

$$V_S = 0.237 \times 10^{-3} \times 5.6 \times 10^3 = 1.327 \text{ V}$$

حاصل ہوتے ہیں۔

مثال 4.11: شکل 4.17 ب میں

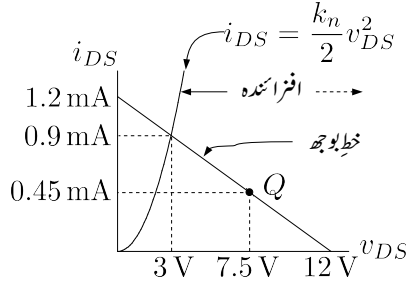
$$V_{DD} = 12 \text{ V}$$

$$R_D = 8 \text{ k}\Omega$$

$$R_S = 2 \text{ k}\Omega$$

$$V_t = 2.5 \text{ V}$$

$$k_n = 0.2 \text{ mA V}^{-2}$$



شکل 4.18: خط بوجھ سے نقطہ کارکردگی کا حصول

ہیں۔ اس ایمپلیفائر کے گیٹ پر لامحدود کپیسٹر کے ذریعہ داخلی اشارہ مہیا کیا جاتا ہے۔  $v_{DS}$  کی زیادہ سے زیادہ متشکل چوٹی کے لئے درکار نقطہ مائل حاصل کریں۔

حل: خط بوجھ<sup>29</sup> کی مساوات

$$V_{DD} = v_{DS} + i_{DS} (R_D + R_S)$$

$$12 = v_{DS} + 10000 i_{DS}$$

کو شکل 4.18 میں گراف کیا گیا ہے۔ شکل میں نقطہ دبوچ کے گراف کی مدد سے افزائندہ خط کی نشاندہی بھی کی گئی ہے۔ نقطہ دبوچ کا خط مساوات 4.34 سے حاصل کیا گیا یعنی

$$i_{DS} = \frac{k_n}{2} v_{DS}^2$$

ان دو مساوات کو اکٹھے کرتے ہوئے

$$12 = v_{DS} + 10000 i_{DS}$$

$$= v_{DS} + 10000 \times \frac{0.2 \times 10^{-3}}{2} v_{DS}^2$$

حاصل ہوتا ہے۔ اس دو درجی مساوات سے  $v_{DS, دبوچ} = 3 \text{ V}$  حاصل ہوتا ہے۔ اس کا دوسرا جواب  $-4 \text{ V}$  ہے جسے رد کیا جاتا ہے چونکہ  $v_{DS, دبوچ}$  منفی ممکن نہیں۔ حاصل  $v_{DS, دبوچ} = 0.9 \text{ mA}$  سے  $i_{DS, دبوچ}$  حاصل ہوتا ہے۔

<sup>29</sup>load line

ماسفیٹ ایمپلیفائر خط بوجھ پر چہل قدمی کرتا ہے۔ جیسے شکل میں دکھایا گیا ہے، ماسفیٹ اس وقت تک افزائندہ رہتا ہے جب تک  $v_{DS}$  کی قیمت بوجھ  $v_{DS}$  سے زیادہ ہو۔ یوں ماسفیٹ کا  $v_{DS}$  تین ولٹ سے کم نہیں رکھا جاسکتا لہذا

$$3\text{ V} \leq v_{DS} < 12\text{ V}$$

$$0 < i_{DS} < 0.9\text{ mA}$$

خارجی متغیرات کے حدود ہیں جن میں ماسفیٹ افزائندہ رہے گا۔ ان قیمتوں کے بالکل درمیانی نقطے پر نقطہ کارکردگی رکھنے سے زیادہ سے زیادہ  $v_{DS}$  اور  $i_{DS}$  حاصل کرنا ممکن ہو گا۔ یوں نقطہ کارکردگی کو  $(7.5\text{ V}, 0.45\text{ mA})$  رکھا جائے گا۔

مثال 4.12:  $p$  بڑھاتا ماسفیٹ استعمال کرتے ہوئے شکل 4.19 الف کا دور بنایا گیا ہے۔ ماسفیٹ کو افزائندہ خطے میں رکھتے ہوئے  $V_D = 4\text{ V}$  اور  $I_{SD} = 0.2\text{ mA}$  حاصل کریں۔

حل:  $I_{SD} = 0.2\text{ mA}$  اور  $V_D = 4\text{ V}$  حاصل کرنے کی خاطر اوہم کے قانون کے تحت

$$V_D = I_{SD} R_D$$

$$4 = 0.2 \times 10^{-3} R_D$$

$$R_D = 20\text{ k}\Omega$$

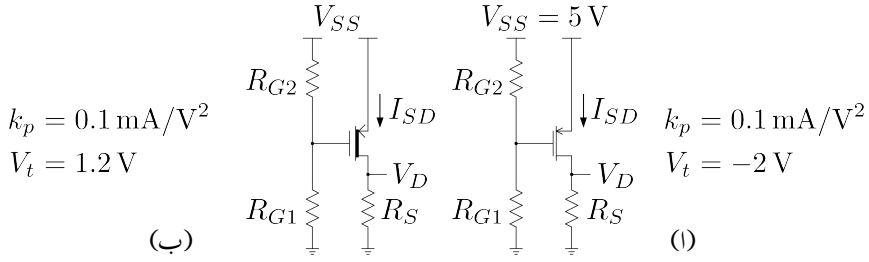
حاصل ہوتا ہے۔

افزائندہ ماسفیٹ کی مساوات سے

$$I_{SD} = \frac{k_p}{2} (V_{SG} + V_t)^2$$

$$0.2 \times 10^{-3} = \frac{0.1 \times 10^{-3}}{2} (V_{SG} - 2)^2$$

$$V_{SG} = 0\text{ V}, 4\text{ V}$$



شکل 4.19:  $p$  ماسفیٹ کے یک سمتی ادوار

حاصل ہوتے ہیں۔ افزائندہ  $p$  بڑھانا ماسفیٹ کے لئے ضروری ہے کہ  $V_{SG} > -V_t$  رہے۔ چونکہ

$$-V_t = -(-2) = 2 \text{ volt}$$

ہے لہذا اس شرط کا مطلب ہے کہ  $V_{SG} > 2 \text{ V}$  ہو۔ یوں  $V_{SG} = 4 \text{ V}$  کو درست جواب تسلیم کیا جاتا ہے۔ یوں چونکہ  $V_S = 5 \text{ V}$  لہذا

$$V_{SG} = V_S - V_G$$

$$4 = 5 - V_G$$

$$V_G = 1 \text{ V}$$

درکار ہے۔  $R_{G1}$  اور  $R_{G2}$  کے قیمتیں چن کر  $V_G = 1 \text{ V}$  حاصل کیا جاسکتا ہے۔ مثلاً اگر  $R_{G1} = 1 \text{ M}\Omega$  چنا جائے تو

$$V_G = \frac{R_{G1} V_{SS}}{R_{G1} + R_{G2}}$$

$$R_{G2} = R_{G1} \left( \frac{V_{SS}}{V_G} - 1 \right)$$

$$R_{G2} = 4 \text{ M}\Omega$$

حاصل ہوتا ہے۔

مثال 4.13: شکل 4.19 ب میں  $p$  قسم کا گھٹنا ماسفیٹ استعمال کرتے ہوئے بنایا گیا ہے جس میں ماسفیٹ کو افزائندہ رکھتے ہوئے  $V_D = 1\text{ V}$  اور  $I_{SD} = 0.2\text{ mA}$  درکار ہیں۔ اس دور کو حل کریں۔  
حل: اوہم کے قانون کے تحت

$$\begin{aligned} V_D &= I_{SD} R_D \\ 1 &= 0.2 \times 10^{-3} R_D \\ R_D &= 5\text{ k}\Omega \end{aligned}$$

افزائندہ ماسفیٹ کی مساوات سے

$$\begin{aligned} I_{SD} &= \frac{k_p}{2} (V_{SG} + V_t)^2 \\ 0.2 \times 10^{-3} &= \frac{0.1 \times 10^{-3}}{2} (V_{SG} + 1.2)^2 \\ V_{SG} &= -3.2\text{ V}, 0.8\text{ V} \end{aligned}$$

چالو  $p$  قسم کے گھٹنا ماسفیٹ کے لئے  $V_{SG} > -V_t$  یعنی  $V_{SG} > -1.2\text{ V}$  ضروری ہے۔ یوں  $V_{SG} = -3.2\text{ V}$  کو رد کیا جاتا ہے اور  $V_{SG} = 0.8\text{ V}$  کو درست جواب تسلیم کیا جاتا ہے۔ یوں

$$\begin{aligned} V_{SG} &= V_S - V_G \\ 0.8 &= 5 - V_G \\ V_G &= 4.2\text{ V} \end{aligned}$$

درکار ہے۔  $R_{G1} = 10\text{ M}\Omega$  لیتے ہوئے

$$R_{G2} = R_{G1} \left( \frac{V_{SS}}{V_G} - 1 \right) = 10 \times 10^6 \left( \frac{5}{4.2} - 1 \right) = 1.9\text{ M}\Omega$$

حاصل ہوتا ہے۔

مثال 4.14: شکل 4.20 الف میں  $I_{DS}$  اور  $V_{DS}$  حاصل کریں۔ گھٹنا ماسفیٹ کے

$$\begin{aligned} k_n &= 0.1\text{ mA V}^{-2} \\ V_t &= -1\text{ V} \end{aligned}$$

ہیں۔

حل: ماسفیٹ کا گیٹ برقی زمین پر ہے یعنی  $V_G = 0 \text{ V}$  ہے۔ بقایا دو سروں کے لئے ہم لکھ سکتے ہیں۔

$$V_S = I_{DS} R_S = 2000 I_{DS}$$

$$V_D = V_{DD} - I_{DS} R_D = 5 - 16000 I_{DS}$$

یوں

$$V_{GS} = V_G - V_S = 0 - 2000 I_{DS} = -2000 I_{DS}$$

تصور کرتے ہیں کہ ماسفیٹ افزائندہ ہے۔ اس طرح

$$I_{DS} = \frac{k_n}{2} (V_{GS} - V_t)^2$$

$$I_{DS} = \frac{0.1 \times 10^{-3}}{2} [(-2000 I_{DS}) - (-1)]^2$$

$$I_{DS} = 5.958 \text{ mA}, 0.042 \text{ mA}$$

5.958 mA کے برقی رو سے  $V_{GS} = -5.958 \times 10^{-3} \times 2000 = -11.9 \text{ V}$  حاصل ہوتا ہے جو کہ منقطع ماسفیٹ کی نشانی ہے لہذا اس جواب کو رد کیا جاتا ہے۔ 0.042 mA کے برقی رو سے  $V_{GS} = -0.084 \text{ V}$  حاصل ہوتا ہے جو کہ چالو ماسفیٹ کی نشانی ہے۔ یہی صحیح جواب ہے۔ مزید یہ کہ

$$V_S = 0.042 \times 10^{-3} \times 2000 = 0.084 \text{ V}$$

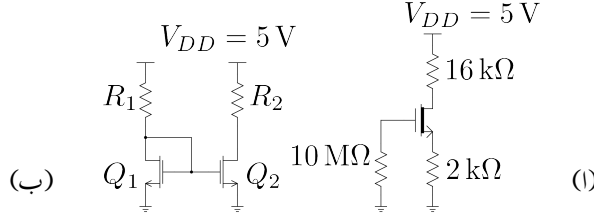
$$V_D = 5 - 0.042 \times 10^{-3} \times 16000 = 4.328 \text{ V}$$

$$V_{DS} = V_D - V_S = 4.328 - 0.084 = 4.224 \text{ V}$$

$$V_{GD} = V_G - V_D = 0 - 4.328 = -4.328 \text{ V}$$

چونکہ  $V_{GD} < V_t$  ہے لہذا ماسفیٹ افزائندہ ہی ہے جیسے تصور کیا گیا تھا۔

مثال 4.15: شکل 4.20 ب میں برقی آئینہ<sup>30</sup> دکھایا گیا ہے۔ اس دور میں استعمال ہونے والے دونوں ماسفیٹ کو بالکل تصور کرتے ہوئے اسے حل کریں۔



شکل 4.20: ماسفیٹ کے ایک سمتی ادوار

حل:  $Q_1$  کا گیٹ اس کے ڈرین کے ساتھ منسلک کیا گیا ہے۔ یہاں رک کر مثال 4.5 کو دوبارہ دیکھیں جہاں اس طرح جڑے ماسفیٹ پر تفصیلی گفتگو کی گئی ہے۔

ماسفیٹ کا گیٹ اور ڈرین جڑے ہونے کی وجہ سے ان دونوں پر برابر برقی دباؤ پایا جائے گا یعنی  $V_{G1} = V_{D1}$  ہو گا۔ یوں  $V_{GS1} = V_{DS1}$  اور  $V_{GS1} - V_{DS1} < V_t$  ہو گا۔ یہ افزائندہ ماسفیٹ کی نشانی ہے۔

کرخوف کے قانون برائے برقی دباؤ کے تحت

$$V_{DD} = I_{DS1}R_1 + V_{DS1}$$

$$V_{DS1} = V_{DD} - I_{DS1}R_1$$

ہے۔ چونکہ  $V_{GS1}$  اور  $V_{DS1}$  برابر ہیں لہذا

$$V_{GS1} = V_{DS1} = V_{DD} - I_{DS1}R_1$$

ہو گا اور یوں

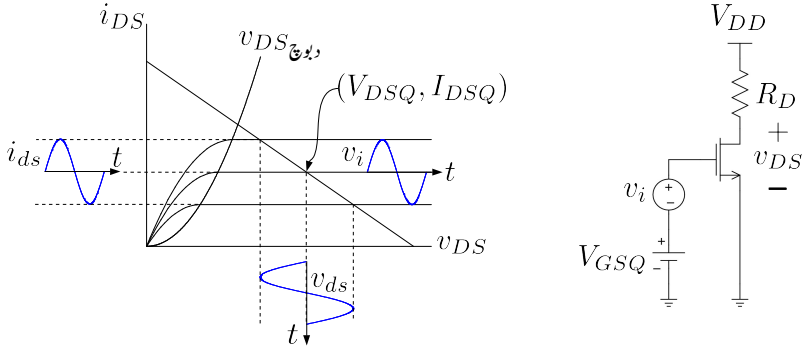
$$\begin{aligned} I_{DS1} &= \frac{k_n}{2} (V_{GS} - V_t)^2 \\ &= \frac{k_n}{2} [(V_{DD} - I_{DS1}R_1) - V_t]^2 \end{aligned}$$

ہو گا۔ اس مساوات کو حل کرتے برقی رو کی دو مقادیریں حاصل ہوں گے جن میں سے صرف ایک مقدار قابل قبول ہو گی۔ اس برقی رو کے مطابق  $V_{GS1}$  حاصل کیا جاسکتا ہے۔

دور میں دونوں ماسفیٹ کے گیٹ آپس میں جڑے ہیں جبکہ دونوں کے سورس برقی زمین پر ہیں۔ یوں  $V_{GS2} = V_{GS1}$  ہو گا۔ جب تک ماسفیٹ  $Q_2$  بھی افزائندہ رہے اس کی برقی رو

$$I_{DS2} = \frac{k_n}{2} (V_{GS2} - V_t)^2$$





شکل 4.21: ماسفیٹ ایمپلیفائر

ہوگی جو کہ ماسفیٹ  $Q_1$  کے برقی رو کے برابر ہے یعنی  $I_{DS2} = I_{DS1}$ ۔ یوں  $R_1$  کی مدد سے  $Q_1$  میں درکار برقی رو حاصل کی جاتی ہے۔ چونکہ  $V_{GS1}$  اور  $V_{GS2}$  برابر ہیں لہذا  $Q_2$  میں بھی  $Q_1$  کے برقی رو جتنا برقی رو گزرے گا۔

#### 4.9 ماسفیٹ ایمپلیفائر کاتر سیسی تجزیہ

ماسفیٹ کو بطور ایمپلیفائر استعمال کرنے کی خاطر اسے افزائندہ خطے میں مائل کیا جاتا ہے۔ شکل 4.21 میں ماسفیٹ ایمپلیفائر دکھایا گیا ہے۔ ساتھ ہی ماسفیٹ کے خطوط اور برقی خط بوجھ بھی دکھایا گیا ہے۔ افزائندہ خطے کے حد کو  $v_{DSQ}$  کے خط سے دکھایا گیا ہے۔ ماسفیٹ ایمپلیفائر اس وقت تک خوش اسلوبی سے داخلی اشارے کو بڑھاتا ہے جب تک ماسفیٹ افزائندہ خطے میں رہے۔ ہم یہاں nMOSFET کو مثال بنا کر ماسفیٹ ایمپلیفائر پر تبصرہ کریں گے۔ ماسفیٹ کے بقایا تمام اقسام پر مبنی ایمپلیفائر بھی اسی طرح کام کرتے ہیں۔

شکل 4.21 میں نقطہ کارکردگی ماسفیٹ کے گیٹ پر برقی دباؤ  $V_{GSQ}$ ، بوجھ کی مزاحمت  $R_D$  اور برقی دباؤ کی منبع  $V_{DD}$  تعین کرتے ہیں۔  $v_i = 0$  ہونے کی صورت میں ماسفیٹ نقطہ کارکردگی پر پایا جائے گا جہاں اس کے ایک سمتی برقی دباؤ  $V_{DSQ}$  اور ایک سمتی برقی رو  $I_{DSQ}$  ہوں گے۔ اب تصور کریں کہ باریک اشارہ  $v_i$  مثبت

جانب بڑھتا ہے۔ یوں ماسفیٹ کے گیٹ پر کل برقی دباؤ  $V_{GSQ}$  سے بڑھ جائے گا جس سے  $i_{DS}$  بڑھ جائے گی جبکہ  $v_{DS}$  گھٹ جائے گا۔ اسی طرح اگر  $v_i$  منفی ہوتا ہے تو گیٹ پر برقی دباؤ گھٹے گا جس سے  $i_{DS}$  گھٹے گی جبکہ  $v_{DS}$  بڑھے گا۔ شکل میں سائن نما  $v_i$  کی صورت میں ایسا ہوتا دکھایا گیا ہے۔ آپ دیکھ سکتے ہیں کہ خطِ بوجھ کی ڈھلوان کم کرنے سے  $v_{ds}$  بڑھتا ہے۔  $\frac{v_{ds}}{v_i}$  اس ایمپلیفائر کی افزائش برقی دباؤ  $A_v$  ہے۔

#### 4.10 ماسفیٹ ایمپلیفائر کا تحلیلی تجزیہ

شکل 4.22 میں بڑھاتا ماسفیٹ کو استعمال کرتے ہوئے ایمپلیفائر کا دور بنایا گیا ہے جس میں دو عدد منبع برقی دباؤ  $V_{GS}$  اور  $V_{DD}$  ماسفیٹ کو مائل کرنے کی خاطر استعمال کئے گئے ہیں۔ جیسا کہ ہم اسی باب میں آگے دیکھیں گے، حقیقت میں عموماً ایسا نہیں کیا جاتا۔ ہر حال اس دور کی مدد سے ایمپلیفائر پر غور کرنا نسبتاً آسان ہے۔

اس دور میں داخلی جانب یک سمتی منبع  $V_{GS}$  کے ساتھ سلسلہ وار بدلتا اشارہ  $v_{gs}$  منسلک کیا گیا ہے۔ اس دور کا مقصد داخلی اشارہ  $v_{gs}$  کا حیطہ بڑھانا ہے۔ بڑھایا گیا اشارہ ماسفیٹ کے ڈرین سے حاصل کیا جائے گا۔

مندرجہ ذیل بحث گزشتہ باب میں ٹرانزسٹر پر بحث کے ہو بہو ہے۔

##### 4.10.1 یک سمتی تجزیہ

ماسفیٹ کا نقطہ کارکردگی حاصل کرنے کی خاطر بدلتے اشارہ کو قصر دور کیا جاتا ہے یعنی اس کی قیمت صفر کر دی جاتی ہے۔ یوں

$$(4.44) \quad I_{DS} = \frac{k_n}{2} (V_{GS} - V_t)^2$$

حاصل ہوتا ہے۔ خارجی جانب کرخوف کے قانون برائے برقی دباؤ سے

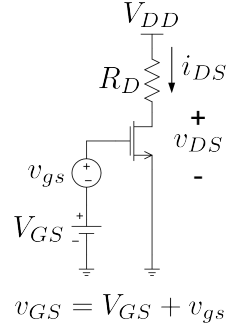
$$(4.45) \quad V_{DS} = V_{DD} - I_{DS}R_D$$

حاصل ہوتا ہے۔ ماسفیٹ افزائندہ رہنے کی خاطر

$$V_{GS} - V_{DS} < V_t$$

کا ہونا ضروری ہے۔

$$\begin{aligned}
 i_{DS} &= \frac{k_n}{2} (v_{GS} - V_t)^2 = \frac{k_n}{2} (V_{GS} + v_{gs} - V_t)^2 \\
 &= \underbrace{\frac{k_n}{2} (V_{GS} - V_t)^2}_{I_{DS} \text{ یک سمتی جزو}} + \underbrace{k_n (V_{GS} - V_t) v_{gs}}_{i_{ds} \text{ اشاراتی جزو}} + \underbrace{\frac{k_n}{2} v_{gs}^2}_{\text{ناگوار جزو}}
 \end{aligned}$$



شکل 4.22: ماسیفٹ ایپلیٹاز کے برقی رو کے مختلف اجزاء

#### 4.10.2 بدلتی رو تجزیہ

بدلتی رو تجزیہ کی خاطر دور میں  $v_{gs}$  پر نظر رکھی جائے گی۔ شکل 4.22 میں  $V_{GS}$  اور  $v_{gs}$  سلسلہ وار جوڑنے سے

$$(4.46) \quad v_{GS} = V_{GS} + v_{gs}$$

حاصل ہوتا ہے جس کو استعمال کرتے ہوئے

$$(4.47) \quad i_{DS} = \frac{k_n}{2} (v_{GS} - V_t)^2$$

سے

$$\begin{aligned}
 i_{DS} &= \frac{k_n}{2} (V_{GS} + v_{gs} - V_t)^2 \\
 &= \frac{k_n}{2} [(V_{GS} - V_t) + v_{gs}]^2 \\
 &= \frac{k_n}{2} [(V_{GS} - V_t)^2 + 2(V_{GS} - V_t)v_{gs} + v_{gs}^2] \\
 &= \frac{k_n}{2} (V_{GS} - V_t)^2 + k_n (V_{GS} - V_t)v_{gs} + \frac{k_n}{2} v_{gs}^2
 \end{aligned}$$

حاصل ہوتا ہے۔ اس مساوات کا پہلا جزو  $\frac{k_n}{2} (V_{GS} - V_t)^2$  یک سمتی جزو ہے۔ یہ مساوات 4.44 میں دئے  $I_{DS}$  کے برابر ہے اور یوں اسے  $I_{DS}$  لکھا جاسکتا ہے۔ مساوات کا دوسرا جزو  $k_n (V_{GS} - V_t)v_{gs}$  بدلتی رو

جزو ہے۔ یہ جزو داخلی اشارہ کا  $k_n (V_{GS} - V_t)$  گننا بڑھایا جزو ہے اور یوں اسے  $i_{ds}$  لکھا جاسکتا ہے۔ مساوات کا تیسرا جزو  $v_{gs}$  کے مربع کے راست تناسب ہے اور یوں یہ جزو اشارہ کی شکل بگڑتا<sup>31</sup> ہے۔ یہ آخری جزو  $\frac{k_n}{2} v_{gs}^2$  ناگوارہ جزو ہے۔ اشارہ کی اصل شکل برقرار رکھنے کی خاطر اس جزو کی قیمت دوسرے جزو سے بہت کم رکھنی ضروری ہے یعنی

$$\frac{k_n}{2} v_{gs}^2 \ll k_n (V_{GS} - V_t) v_{gs}$$

اس سے حاصل ہوتا ہے

$$(4.49) \quad v_{gs} \ll 2 (V_{GS} - V_t)$$

مساوات 4.49 باریک اشارہ<sup>32</sup> کی شرط بیان کرتا ہے۔ جو اشارہ اس مساوات پر پورا اترے اسے باریک اشارہ تصور کیا جاتا ہے۔

اگر داخلی اشارہ باریک اشارہ کی شرط پر پورا اترے تب مساوات 4.48 میں آخری جزو کو نظر انداز یا جاسکتا ہے اور اسے یوں لکھا جاسکتا ہے۔

$$(4.50) \quad i_{DS} \approx I_{DS} + i_{ds}$$

جہاں

$$(4.51) \quad i_{ds} = k_n (V_{GS} - V_t) v_{gs}$$

مساوات 4.51 کو یوں بھی لکھا جاسکتا ہے۔

$$(4.52) \quad i_d = g_m v_{gs}$$

جہاں

$$(4.53) \quad g_m = \frac{i_d}{v_{gs}} = k_n (V_{GS} - V_t)$$

ماسفیٹ کی باریک اشاراتی موصل۔ نما افزائش ہے۔ مساوات 4.44 کی مدد سے  $g_m$  کو یوں بھی لکھا جاسکتا ہے۔

$$(4.54) \quad g_m = \sqrt{2I_{DS}k_n} \\ = \frac{2I_{DS}}{V_{GS} - V_t}$$

$g_m$  کے باضابطہ تعریف کے مطابق یہ ماسفیٹ کے  $i_{DS} - v_{GS}$  خط کے نقطہ مائل پر مماس کی ڈھلوان ہے یعنی

$$(4.55) \quad g_m = \left. \frac{\partial i_{DS}}{\partial v_{GS}} \right|_{v_{GS}=V_{GSQ}}$$

اشارہ  $v_{gs}$  کی موجودگی میں مساوات 4.45 مندرجہ ذیل صورت اختیار کر لیتا ہے۔

$$(4.56) \quad v_{DS} = V_{DD} - i_{DS}R_D$$

مساوات 4.50 کے استعمال سے

$$(4.57) \quad \begin{aligned} v_{DS} &= V_{DD} - (I_{DS} + i_{ds})R_D \\ &= V_{DD} - I_{DS}R_D - i_{ds}R_D \end{aligned}$$

یہ مساوات داخلی اشارہ کے موجودگی میں خارجی برقی دباؤ دیتا ہے۔ داخلی اشارہ کے عدم موجودگی میں  $i_{ds}$  کی قیمت صفر ہوگی اور اس سے مساوات 4.45 حاصل ہوگا۔ اس مساوات کو یوں بھی لکھا جاسکتا ہے۔

$$(4.58) \quad v_{DS} = V_{DS} + v_{ds}$$

جہاں  $V_{DS}$  مساوات 4.45 میں دی گئی ہے جبکہ

$$(4.59) \quad v_{ds} = -i_{ds}R_D$$

ہے۔ مساوات 4.52 کی مدد سے

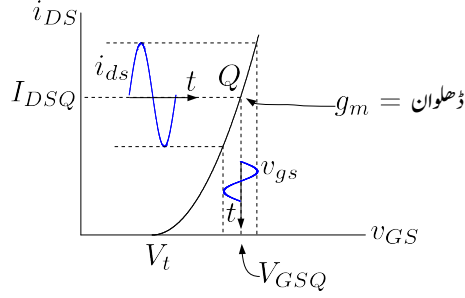
$$(4.60) \quad v_{ds} = -g_m R_D v_{gs}$$

حاصل ہوتا ہے جس سے افزائش برقی دباؤ یوں حاصل ہوتا ہے۔

$$(4.61) \quad A_v = \frac{v_{ds}}{v_{gs}} = -g_m R_D$$

یہاں منفی علامت کا مطلب یہ ہے کہ جب داخلی اشارہ  $v_{gs}$  مثبت ہو تب خارجی اشارہ  $v_{ds}$  منفی ہوگا یعنی یہ دو اشارات آپس میں 180 زاویہ پر رہتے ہیں۔

شکل 4.23 میں مساوات 4.47 کا خط کھینچا گیا ہے۔ نقطہ کارکردگی پر اس خط کی ڈھلوان  $g_m$  کہلاتی ہے۔ داخلی اشارہ  $v_{gs}$  کے عدم موجودگی میں ماسفیٹ نقطہ کارکردگی Q پر رہے گا اور یوں اس پر  $V_{GSQ}$  اور  $I_{DSQ}$  پائے جائیں گے۔ سائن نما  $v_{gs}$  کی صورت میں  $i_{DS}$  میں سائن نما جزو پایا جائے گا جسے  $i_{ds}$  کہا جاتا ہے۔



شکل 4.23: ماسفیٹ ایمپلیفائر کا گیٹ پر برقی دباؤ بالقابل ماسفیٹ کی برقی رو کا خط

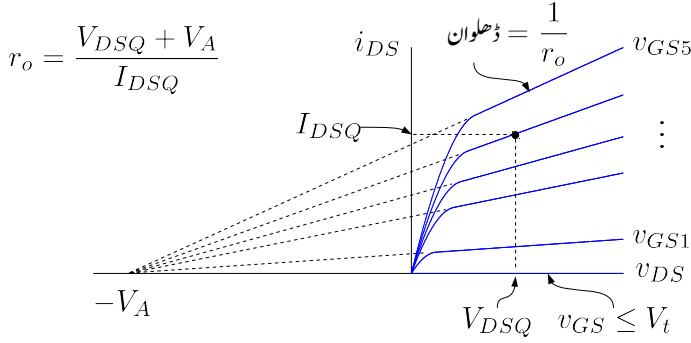
#### 4.11 ماسفیٹ ریاضی نمونہ

اس حصے میں ماسفیٹ کے ریاضی نمونے<sup>33</sup> حاصل کئے جائیں گے جنہیں استعمال کر کے بدلتے برقی دباؤ اور بدلتے برقی رو حاصل کئے جاتے ہیں۔

##### 4.11.1 خارجی مزاحمت $r_o$

ماسفیٹ کو بطور ایمپلیفائر استعمال کرنے کی خاطر اسے افزائندہ خطے میں مائل کیا جاتا ہے۔ مساوات 4.26 کے مطابق افزائندہ خطے میں  $v_{DS}$  تبدیل کرنے سے  $i_{DS}$  پر کوئی اثر نہیں ہوتا۔ صفحہ 442 پر شکل 4.5 پ میں  $v_{DS}$  کو  $v_{DSQ}$  سے بڑھانے پر پیدا کردہ راہ کی لمبائی کم ہوتے دکھائی گئی ہے۔ مساوات 4.26 حاصل کرتے وقت اس اثر کو نظر انداز کیا گیا۔ پیدا کردہ راہ کی لمبائی کم ہونے سے پیدا کردہ راہ کی مزاحمت کم ہو جاتی ہے اور یوں  $i_{DS}$  بڑھ جاتا ہے۔ بڑھتے برقی دباؤ کے ساتھ پیدا کردہ راہ کی لمبائی کم ہونے کے اثر کو ہم مساوات 4.26 میں الٹے برقی دباؤ<sup>34</sup>  $V_A$  کے طرز کا جزو شامل کرنے سے حاصل کر سکتے ہیں جیسے

$$\begin{aligned}
 i_{DS} &= \frac{k'_n}{2} \left[ \frac{W}{L} \right] [v_{GS} - V_t]^2 \left[ 1 + \frac{v_{DS}}{V_A} \right] \\
 (4.62) \quad &= \frac{k_n}{2} [v_{GS} - V_t]^2 \left[ 1 + \frac{v_{DS}}{V_A} \right]
 \end{aligned}$$



شکل 4.24: ارلی برقی دباؤ

ارلی برقی دباؤ کے اثر کو شامل کرتے ہوئے ماسفیٹ کے خط شکل 4.24 میں گراف کئے گئے ہیں۔ اس مساوات سے ماسفیٹ کا خارجی مزاحمت حاصل کرنے کی غرض سے اس کا تفرق نقطہ مائل پر لیتے ہیں۔

$$\left. \frac{\partial i_{DS}}{\partial v_{DS}} \right|_{v_{GS}} = \frac{k_n}{2} (V_{GS} - V_t)^2 \frac{1}{V_A}$$

اور یوں

$$(4.63) \quad r_o = \left. \frac{\partial i_{DS}}{\partial v_{DS}} \right|_{v_{GS}}^{-1} = \frac{1}{\frac{k_n}{2} [v_{GS} - V_t]^2 \frac{1}{V_A}}$$

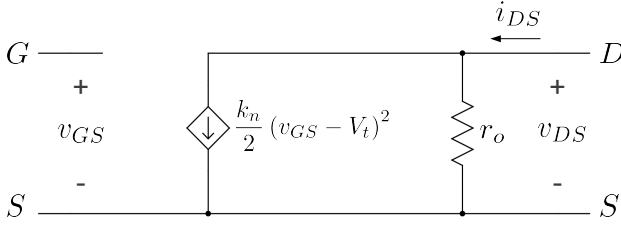
حاصل ہوتا ہے۔ اگر ارلی برقی دباؤ کے اثر کو نظر انداز کیا جائے تو  $\frac{k_n}{2} (v_{GS} - V_t)^2$  کو  $I_{DS}$  لکھا جاسکتا ہے اور یوں مندرجہ بالا خارجی مزاحمت کی مساوات کو بہتر طریقے سے یوں لکھا جاسکتا ہے۔

$$(4.64) \quad r_o = \left. \frac{\partial i_{DS}}{\partial v_{DS}} \right|_{v_{GS}}^{-1} \approx \frac{V_A}{I_{DS}}$$

ہم  $V_A$  کو ارلی برقی دباؤ ہی کہیں گے۔ ارلی برقی دباؤ کی قیمت پیدا کردہ راہ کے لمبائی کے راست تناسب ہوتا ہے۔

$$(4.65) \quad V_A \propto L_{eff}$$

یوں  $r_o$  بڑھانے کی خاطر زیادہ لمبائی کی راہ تخلیق دی جاتی ہے۔ ماسفیٹ کے ارلی برقی دباؤ کی عمومی قیمت 200 V تا 300 V ہوتی ہے۔



شکل 4.25: وسیع اشارات ماسفیٹ ریاضی نمونہ

## 4.11.2 وسیع اشاراتی ماسفیٹ ریاضی نمونہ

افزائندہ خطے میں ماسفیٹ کا وسیع اشاراتی ریاضی نمونہ<sup>35</sup> شکل 4.25 میں دکھایا گیا ہے۔ اس ریاضی نمونے کے داخلی جانب مزاحمت لامحدود ہے جبکہ مساوات 4.64 اس کا خارجی مزاحمت  $r_o$  دیتا ہے۔ آپ دیکھ سکتے ہیں کہ اس ریاضی نمونے سے درست  $i_{DS}$  حاصل ہوتا ہے۔

4.11.3 باریک اشاراتی ماسفیٹ  $\pi$  ریاضی نمونہ

ماسفیٹ کا باریک اشاراتی ریاضی نمونہ بالکل BJT ٹرانزسٹر کی طرح حاصل کیا جاتا ہے۔ افزائندہ خطے میں استعمال ہوتے ماسفیٹ کا باریک اشاراتی ریاضی نمونہ حاصل کرنے کی غرض سے مساوات 4.28 کا جزوی تفرق حاصل کرتے ہیں جس سے افزائش  $g_m$  حاصل ہوگی۔ جزوی تفرق کی قیمت نقطہ مائل  $V_{GS}$  پر حاصل کیا جاتا ہے۔ یوں

$$(4.66) \quad g_m = \left. \frac{\partial i_{DS}}{\partial v_{GS}} \right|_{V_{GS}} = k_n [V_{GS} - V_t]$$

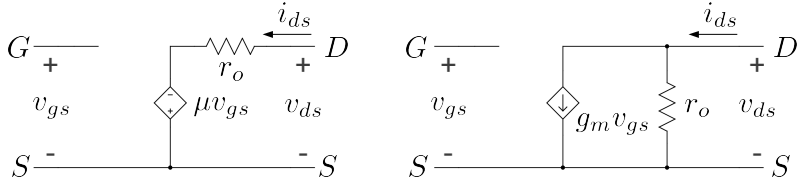
حاصل ہوتا ہے۔ مساوات 4.28 کی یک سمتی شکل

$$I_{DS} = \frac{k_n}{2} (V_{GS} - V_t)^2$$

سے

$$V_{GS} - V_t = \sqrt{\frac{2I_{DS}}{k_n}}$$





شکل 4.26: پست تعددی باریک اشاراتی ماسفیٹ پائے ریاضی نمونہ

حاصل ہوتا ہے جس کی مدد سے مساوات 4.66 کو یوں بھی لکھا جاسکتا ہے۔

$$(4.67) \quad g_m = k_n [V_{GS} - V_t] = k_n \sqrt{\frac{2I_{DS}}{k_n}} = \sqrt{2k_n I_{DS}}$$

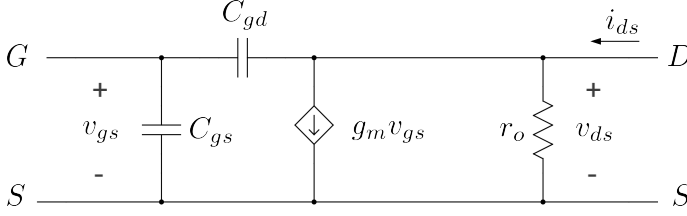
مساوات 4.64 سے حاصل  $r_o$  اور مساوات 4.67 سے حاصل  $g_m$  استعمال کرتے ہوئے ماسفیٹ کا پرتے تعددی باریک اشاراتی ماسفیٹ پائے ریاضی نمونہ حاصل ہوتا ہے جسے شکل 4.26 میں دائیں ہاتھ دکھایا گیا ہے۔ اس ریاضی نمونے کا عمومی نام  $\pi$  ریاضی نمونہ ہے۔ دو جوڑ ٹرانزسٹر کے باریک اشاراتی ریاضی نمونہ کے ساتھ موازنہ کرتے ہوئے صاف ظاہر ہے کہ ماسفیٹ کا داخلی مزاحمت لا محدود ہونے کی وجہ سے اس کی داخلی برقی رو صفر ہوگی۔ ماسفیٹ کے  $g_m$  کا دو جوڑ ٹرانزسٹر کے  $g_m$  کے ساتھ موازنہ کرنے سے معلوم ہوتا ہے کہ ماسفیٹ کی برقی رو چار گنا کرنے سے اس کا  $g_m$  دگنا ہوتا ہے جبکہ دو جوڑ ٹرانزسٹر کی برقی رو صرف دگنا کرنے سے ہی اس کا  $g_m$  دگنا ہو جاتا ہے۔

شکل 4.26 میں اسی ریاضی نمونے کی دوسری شکل بھی دکھائی گئی ہے جہاں ریاضی نمونے میں خارجی جانب نارٹن مساوی کی جگہ تھونن مساوی استعمال کیا گیا ہے۔ یوں تھونن برقی دباؤ  $g_m v_{gs} r_o$  کے برابر لیتے ہوئے

$$\mu = g_m r_o$$

حاصل ہوتا ہے۔

ماسفیٹ کے گیٹ اور سورس کے مابین  $C_{gs}$  کپیسٹر پایا جاتا ہے۔ اسی طرح گیٹ اور ڈرین کے مابین  $C_{gd}$  کپیسٹر پایا جاتا ہے۔ کم تعدد پر ان کپیسٹر کو نظر انداز کیا جاتا ہے البتہ بلند تعدد پر ان کو نظر انداز کرنا ممکن نہیں ہوتا۔ یوں بلند تعدد پر ماسفیٹ کے پائے ریاضی نمونے میں انہیں شامل کرنے سے بلند تعددی پائے ریاضی نمونہ حاصل ہوتا ہے جسے شکل 4.27 میں دکھایا گیا ہے۔ کم  $v_{DS}$  کی صورت میں غیر افزائندہ ماسفیٹ کے گیٹ کے نیچے الفاظ



شکل 4.27: بلند تعددی باریک اشاراتی ماسفیٹ پائے ریاضی نمونہ

سورس سے ڈرین تک تقریباً یکساں شکل کا ہوتا ہے۔ گیٹ اور الٹا خط مل کر کپیسٹر  $\frac{\epsilon WL}{d}$  کو جنم دیتے ہیں۔ اس کپیسٹر کا آدھا حصہ  $C_{gs}$  اور آدھا  $C_{gd}$  ہے یعنی

$$(4.68) \quad C_{gs} \approx C_{gd} \approx \left(\frac{1}{2}\right) \frac{\epsilon WL}{d}$$

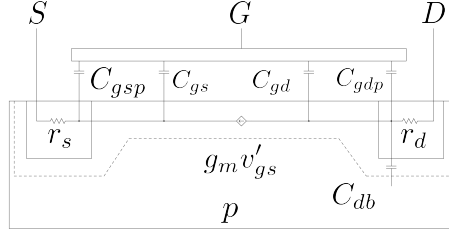
جہاں  $W$  گیٹ کی چوڑائی،  $L$  گیٹ کی لمبائی،  $d$  گیٹ اور سیلکان کے درمیان فاصلہ ہے۔  $\epsilon = \epsilon_r \epsilon_0$  ہے جہاں  $\epsilon_r = 3.9$  جبکہ  $\epsilon_0 = 8.85 \times 10^{-12} \frac{F}{m}$  ہے۔

افزائندہ ماسفیٹ کے ڈرین جانب راہ دبوچا گیا ہوتا ہے۔ یوں گیٹ کے نیچے پیدا کردہ راہ ہر جگہ یکساں نہیں ہوتا۔ اس صورت میں  $C_{gd} \approx 0$  جبکہ  $C_{gs} \approx \frac{2\epsilon WL}{3d}$  ہوتا ہے۔

$$(4.69) \quad \begin{aligned} C_{gd} &\approx 0 \\ C_{gs} &\approx \left(\frac{2}{3}\right) \frac{\epsilon WL}{d} \end{aligned}$$

ان کے علاوہ گیٹ کا کچھ حصہ سورس کو اور کچھ حصہ ڈرین کو ڈھانپتا ہے جس سے گیٹ اور سورس کے مابین غیر مطلوب کپیسٹر  $C_{gsp}$  اور اسی طرح گیٹ اور ڈرین کے مابین غیر مطلوب کپیسٹر  $C_{gdp}$  پیدا ہوتا ہے۔ ڈرین اور سیلکان پتری کا مابین  $pn$  جوڑ پایا جاتا ہے جس کے کپیسٹر کو  $C_{db}$  سے ظاہر کیا جاتا ہے۔

ماسفیٹ کے ریاضی نمونے میں  $C_{gs}$  گیٹ اور سورس کے درمیان دونوں اقسام کے کپیسٹروں کے مجموعے کو کہتے ہیں۔ اسی طرح  $C_{gd}$  بھی دونوں اقسام کے کپیسٹروں کے مجموعے کو ظاہر کرتا ہے۔ شکل 4.28 میں ان تمام قسم کے کپیسٹروں کو دکھایا گیا ہے۔ ساتھ ہی ساتھ مزاحمت  $r_s$  اور  $r_d$  بھی دکھائے گئے ہیں۔ بیرونی سورس



شکل 4.28: ماسفیٹ ریاضی نمونے کے اجزاء

سرے اور اندرونی سورس کے درمیان  $r_s$  مزاحمت پایا جاتا ہے۔ اسی طرح بیرونی ڈرین سرے اور اندرونی ڈرین کے درمیان  $r_d$  پایا جاتا ہے۔ اس کتاب میں  $r_s$ ،  $r_d$  اور  $C_{db}$  کو استعمال نہیں کیا جائے گا۔

دو جوڑ ٹرانزسٹر کے پائے ریاضی نمونوں کی طرح ماسفیٹ کے باریک اشاراتی پائے ریاضی نمونے nMOSFET اور pMOSFET دونوں کے لئے یکساں قابل استعمال ہیں۔

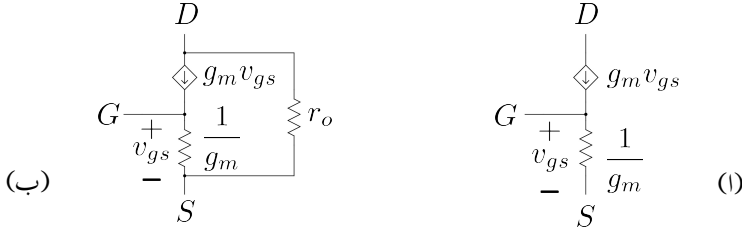
#### 4.11.4 باریک اشاراتی ماسفیٹ ٹی ریاضی نمونہ

شکل 4.29 الف میں  $r_o$  کو نظر انداز کرتے ہوئے ماسفیٹ کا ٹی ریاضی نمونہ<sup>36</sup> دکھایا گیا ہے۔ اس ریاضی نمونے میں گیٹ اور سورس کے مابین مزاحمت نسب ہے جس کی قیمت  $\frac{1}{g_m}$  ہے۔ اس ماسفیٹ ریاضی نمونے کو پائے ریاضی نمونے سے یوں حاصل کیا جاسکتا ہے۔ پائے ریاضی نمونے میں

$$\begin{aligned} i_g &= 0 \\ i_d &= i_s = i_{ds} = g_m v_{gs} \end{aligned} \quad (4.70)$$

پائے جاتے ہیں جہاں  $i_d$  اور  $i_s$  ڈرین اور سورس کے برقی رو ہیں۔ داخلی مزاحمت لامحدود ہے۔ آئیں اب ٹی ریاضی نمونے پر نظر ڈالیں۔ ٹی ریاضی نمونے میں  $i_d = g_m v_{gs}$  ہے۔ گیٹ اور سورس کے مابین مزاحمت نسب ہے جس پر برقی دباؤ  $v_{gs}$  ہے۔ یوں اُوہم کے قانون سے اس مزاحمت میں برقی رو کی مقدار

$$\frac{\text{برقی دباؤ}}{\text{برقی رو}} = \frac{v_{gs}}{\frac{1}{g_m}} = g_m v_{gs}$$



شکل 4.29: باریک اشاراتی ماسفیٹ ٹی ریاضی نمونہ

ہوگی۔ یہی برقی رو سورس پر ہوگی۔ گیٹ G کے جوڑ پر D کی جانب سے  $g_m v_{gs}$  برقی رو آتی ہے۔ اس جوڑ سے اتنی ہی برقی رو مزاحمت سے گزرتے ہوئے S رواں ہے۔ یوں کر خوف کے قانون برائے برقی رو کی مدد سے گیٹ پر برقی رو  $i_g = 0$  حاصل ہوتی ہے۔ داخلی مزاحمت  $\frac{v_{gs}}{i_g}$  کی قیمت  $i_g = 0$  کی بنا پر لامحدود حاصل ہوتی ہے۔ ہم دیکھتے ہیں کہ ٹی ریاضی نمونے سے بھی بالکل وہی جوابات حاصل ہوتے ہیں جو پائے ریاضی نمونے سے حاصل ہوتے ہیں لہذا ماسفیٹ کے ادوار حل کرتے وقت ٹی ریاضی نمونے کو بھی استعمال کیا جاسکتا ہے۔ ٹی ریاضی نمونے میں  $r_o$  کی شمولیت شکل 4.29 ب میں دکھایا گیا ہے۔

دو جوڑ ٹرانزسٹر کے ٹی ریاضی نمونے کی طرح شکل 4.29 میں دکھائے گئے ماسفیٹ کے ٹی ریاضی نمونے دونوں اقسام کے ماسفیٹ یعنی nMOSFET اور pMOSFET کے لئے قابل استعمال ہیں۔

#### 4.11.5 ایک سمتی اور بدلتے متغیرات کی علیحدگی

مندرجہ بالا تذکرہ سے ہم دیکھتے ہیں کہ برقی دباؤ اور برقی رو کے دو حصے (یعنی ایک سمتی حصہ اور بدلتا حصہ) ہوتے ہیں۔ ماسفیٹ کے ادوار حل کرتے وقت ان دو حصوں کو علیحدہ علیحدہ حل کیا جاتا ہے۔ پہلے بدلتے متغیرات کی قیمتیں صفر کرتے ہوئے ایک سمتی حصہ حل کر کے نقطہ مائل حاصل کیا جاتا ہے اور پھر بدلتے حصے کو ریاضی نمونے کی مدد سے حل کیا جاتا ہے۔

مثال 4.16: مساوات 4.48 میں  $\frac{k_n v_{gs}^2}{2}$  ناپسندیدہ حصہ ہے۔ اگر داخلی اشارہ  $v_{gs} = V_p \cos \omega t$  لکھا  
 ہو تب ناپسندیدہ جزو میں  $\cos^2 \omega t = \frac{1 + \cos(2\omega t)}{2}$  استعمال کرتے ہوئے  $\frac{k_n V_p^2}{4} [1 + \cos(2\omega t)]$  لکھا

جا سکتا ہے جو داخلی اشارے کے دگنی تعدد کا جزو ہے۔ یہی اصل اشارے کی شکل بگڑتا ہے۔ خارجی اشارے میں دگنی تعدد اور اصل تعدد کے اجزاء کے حیطوں کی نسبت حاصل کریں۔ اگر  $V_t = 1.4 \text{ V}$  اور  $V_{GS} = 4 \text{ V}$  ہوں تب داخلی اشارے کی چوٹی کی وہ حد حاصل کریں جس پر حاصل کردہ نسبت 1 % ہو۔

حل: دگنی تعدد کا حصہ  $\frac{k_n V_p^2}{4} \cos(2\omega t)$  ہے۔ یوں

$$\frac{\text{بگڑا جزو}}{\text{اصل جزو}} = \frac{V_p}{4(V_{GS} - V_t)}$$

حاصل ہوتا ہے۔ اس طرح

$$\frac{V_p \times 100}{4(4 - 1.4)} = 1$$

سے  $V_p \leq 104 \text{ mV}$  حاصل ہوتا ہے۔

مثال 4.17: ایک دور جسے شکل 4.17 ب میں دکھایا گیا ہے کا تجزیہ کرتے ہوئے مندرجہ ذیل معلومات حاصل کئے جاتے ہیں۔

$$\begin{aligned} V_{DD} &= 15 \text{ V} \\ R_D &= 6.8 \text{ k}\Omega \\ R_S &= 560 \Omega \\ R_{G1} &= 10 \text{ M}\Omega \\ R_{G2} &= 15 \text{ M}\Omega \end{aligned}$$

ہیں۔ مزید اس کے گیٹ پر  $V_G = 6 \text{ V}$  جبکہ سورس پر  $V_S = 0.81 \text{ V}$  ناپے جاتے ہیں۔ ساتھ ہی ساتھ باریک اشاراتی برقی دباؤ کی انفرانش  $A_v = -6.8 \frac{\text{V}}{\text{V}}$  ناپی جاتی ہے جہاں خارجی اشارے کو ڈرین سے لیا گیا۔ استعمال کئے گئے ماسفیٹ کی  $k_n$  اور  $V_t$  حاصل کریں۔

حل: اوہم کے قانون سے

$$I_{DS} = \frac{V_S}{R_S} = \frac{0.81}{560} = 1.4464 \text{ mA}$$

حاصل ہوتا ہے۔ ساتھ ہی ساتھ

$$V_{GS} = V_G - V_S = 6 - 0.81 = 5.19 \text{ V}$$

ہے۔ مساوات 4.61 کی مدد سے  $g_m = 1 \text{ mA/volt}$  حاصل کرتے ہوئے مساوات 4.53 میں پر کرتے ملتا ہے۔

$$10^{-3} = k_n (5.19 - V_t)$$

تصور کرتے ہیں کہ ماسفیٹ افزائندہ خطے میں ہے یوں افزائندہ ماسفیٹ کی مساوات سے

$$1.4464 \times 10^{-3} = \frac{k_n}{2} (5.19 - V_t)^2$$

حاصل ہوتا ہے۔ مندرجہ بالا دو نتائج ملا کر

$$1.4464 \times 10^{-3} = \frac{k_n}{2} \left( \frac{10^{-3}}{k_n} \right)^2$$

لکھا جاسکتا ہے جس سے  $k_n = 0.345 \frac{\text{mA}}{\text{V}^2}$  حاصل ہوتا ہے۔ اس قیمت کو استعمال کرتے ہوئے  $V_t = 2.29 \text{ V}$  حاصل ہوتا ہے۔

شکل کو دیکھتے ہوئے

$$V_D = V_{DD} - I_{DS} R_D = 12 - 1.4464 \times 10^{-3} \times 6800 = 2.16 \text{ V}$$

لکھا جاسکتا ہے۔ یوں

$$V_{GD} = V_G - V_D = 6 - 5.16 = 0.835 \text{ V}$$

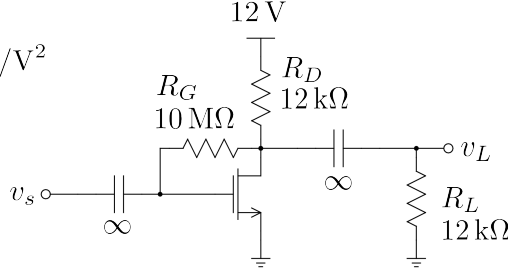
حاصل ہوتا ہے جو  $V_t$  سے کم ہے لہذا ماسفیٹ افزائندہ خطے میں ہی ہے۔

مثال 4.18: شکل 4.30 میں ماسفیٹ ایمپلیفائر دکھایا گیا ہے۔ داخلی اور خارجی جانب لامحدود جفتی کپیٹر استعمال کئے گئے ہیں۔ داخلی مزاحمت، خارجی مزاحمت اور افزائش  $A_v = \frac{v_L}{v_s}$  حاصل کریں۔

$$V_t = 2 \text{ V}$$

$$k_n = 0.2 \text{ mA/V}^2$$

$$V_A = 60 \text{ V}$$



شکل 4.30: ماسفیٹ ایپلیکیشن

حل: چونکہ گیٹ پر برقی رو صفر ہے لہذا  $R_G$  پر صفر وولٹ کا گھٹا ہو گا۔ اس طرح  $V_G = V_D$  ہوں گے، یعنی  $V_{GS} = V_{DS}$  ہو گا، لہذا  $V_{GD} = 0 \text{ V}$  ہو گا۔ یوں  $V_{GD} < V_t$  ہے جس سے ثابت ہوتا ہے کہ ماسفیٹ افزائندہ خطے میں ہے۔ یوں

$$\begin{aligned} I_{DS} &= \frac{0.2 \times 10^{-3}}{2} (V_{GS} - 2)^2 \\ &= \frac{0.2 \times 10^{-3}}{2} (V_{DS} - 2)^2 \end{aligned}$$

لکھا جاسکتا ہے۔ اوہم کے قانون سے

$$I_{DS} = \frac{12 - V_{DS}}{R_D} = \frac{12 - V_{DS}}{12000}$$

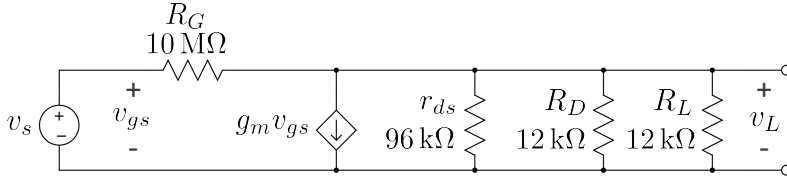
حاصل ہوتا ہے۔ ان دو مساوات کو ملا کر حل کرنے سے

$$V_{DS} = 4.5 \text{ V}, \quad I_{DS} = 0.625 \text{ mA}$$

حاصل ہوتا ہے۔ دو درجی مساوات کے دوسرے جواب کو رد کیا جاتا ہے۔

$g_m$  کی قیمت

$$\begin{aligned} g_m &= k_n (V_{GS} - V_t) \\ &= 0.2 \times 10^{-3} (4.5 - 2) \\ &= 0.5 \frac{\text{mA}}{\text{V}} \end{aligned}$$



شکل 4.31: ماسفیٹ ایپلیکیشن کا مساوی ہارک اشاراتی دور

اور خارجی مزاحمت  $r_o$  کی قیمت

$$r_o = \frac{V_A}{I_{DS}} = \frac{60}{0.625 \times 10^{-3}} = 96 \text{ k}\Omega$$

حاصل ہوتے ہیں۔ شکل 4.31 میں ان قیمتوں کو استعمال کرتے ہوئے مساوی پست تعددی ہارک اشاراتی دور دکھایا گیا ہے۔  $R_G$  سے گزرتے برقی رو کو نظر انداز کرتے ہوئے

$$\begin{aligned} v_L &\approx -g_m v_{gs} \overbrace{(r_o \parallel R_D \parallel R_L)}^{5.647 \text{ k}\Omega} \\ &= -2.823 v_{gs} \end{aligned}$$

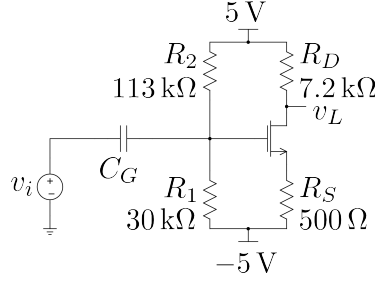
حاصل ہوتا ہے۔ چونکہ  $v_{gs}$  اور  $v_s$  برابر ہیں لہذا

$$A_v = \frac{v_L}{v_s} = -2.823 \frac{\text{V}}{\text{V}}$$

حاصل ہوتا ہے۔ چونکہ  $R_G$  میں برقی رو

$$\begin{aligned} i_s &= \frac{v_s - v_L}{R_G} \\ &= \frac{v_s}{R_G} \left( 1 - \frac{v_L}{v_s} \right) \\ &= \frac{v_s}{R_G} [1 - (-2.823)] \\ &= 3.823 \frac{v_s}{R_G} \end{aligned}$$





شکل 4.32: مشترک ایسٹر بیج ایسٹر مزاحمت

کے برابر ہے لہذا داخلی مزاحمت

$$R_i = \frac{v_s}{i_s} = \frac{R_G}{3.823} = 2.6 \text{ M}\Omega$$

حاصل ہوتا ہے۔

مثال 4.19: شکل 4.32 میں  $V_t = 0.8 \text{ V}$  اور  $k_n = 1.2 \frac{\text{mA}}{\text{V}^2}$  ہیں۔  $r_o$  کو نظر انداز کرتے ہوئے  $A_v = \frac{v_L}{v_i}$  حاصل کریں۔ کپیسٹر کی قیمت لامحدود تصور کریں۔

حل: یک سمتی تجزیہ سے  $I_{DS} = 0.6 \text{ mA}$ ،  $V_{GS} = 1.8 \text{ V}$  اور  $V_{DS} = 5.38 \text{ V}$  حاصل ہوتے ہیں۔ یوں ماسفیٹ افزائندہ خطے میں ہے۔ انہیں استعمال کرتے ہوئے

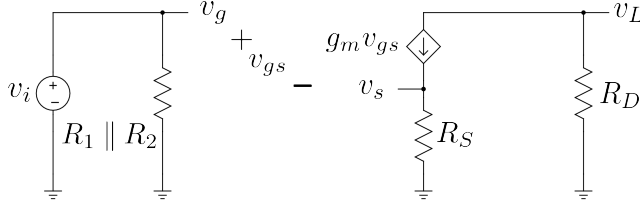
$$g_m = \sqrt{2k_n I_{DS}} = \sqrt{2 \times 1.2 \times 10^{-3} \times 0.6 \times 10^{-3}} = 1.2 \text{ mS}$$

حاصل ہوتا ہے۔ ایپلیفائر کا باریک اشاراتی مساوی دور شکل 4.33 میں دکھایا گیا ہے جس سے

$$v_L = -g_m v_{gs} R_D = -8.64 v_{gs}$$

$$v_g = v_i$$

$$v_s = g_m v_{gs} R_S = 0.6 v_{gs}$$



شکل 4.33: مشترک ایمر بیج ایمر مزاحمت کا باریک اشاراتی مساوی دور

حاصل ہوتے ہیں۔ چونکہ  $v_{gs} = v_g - v_s$  ہے لہذا

$$v_{gs} = v_i - 0.6v_{gs}$$

لکھا جاسکتا ہے جس سے

$$v_{gs} = \frac{v_i}{1.6} = 0.625v_i$$

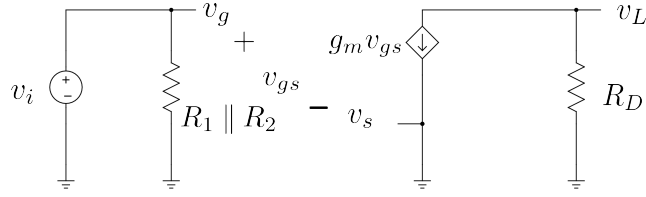
حاصل ہوتا ہے۔ اس قیمت کو  $v_L$  کی مساوات میں پُر کرتے ملتا ہے

$$v_L = -8.64 \times 0.625 \times v_i = -5.4v_i$$

یعنی

$$A_v = \frac{v_L}{v_i} = -5.4 \frac{V}{V}$$

مثال 4.20: مثال 4.19 میں  $R_S$  کے متوازی لامحدود قیمت کا کیسیسٹر نسب کرتے ہوئے  $A_v$  دوبارہ حاصل کریں۔



شکل 4.34

حل: کپیسیٹر نسب کرنے سے نقطہ کارکردگی پر کوئی اثر نہیں پڑتا لہذا  $g_m = 1.2 \text{ mS}$  ہی رہے گا۔ ہاریک اشاراتی مساوی دور شکل 4.34 میں دکھایا گیا ہے جس سے

$$v_L = -g_m v_{gs} R_D = -8.64 v_{gs}$$

$$v_g = v_i$$

$$v_s = 0$$

یعنی

$$v_{gs} = v_i$$

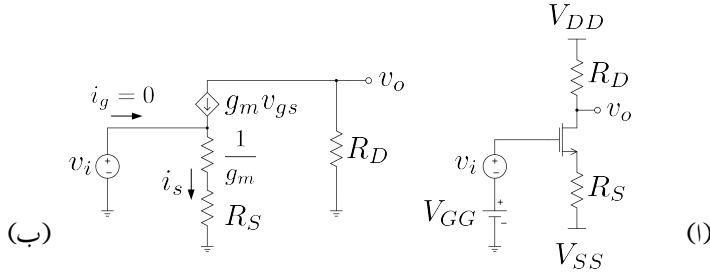
$$v_L = -8.64 v_i$$

اور

$$A_v = -8.64 \frac{\text{V}}{\text{V}}$$

حاصل ہوتے ہیں۔

ان دو مثالوں سے آپ دیکھتے ہیں کہ  $R_S$  کی شمولیت سے  $A_v$  گھٹتا ہے لیکن چونکہ  $R_S$  کے استعمال سے نقطہ کارکردگی مستحکم ہوتا ہے لہذا  $R_S$  کا استعمال کیا جاتا ہے۔  $R_S$  کے متوازی لامحدود کپیسیٹر نسب کرنے سے  $A_v$  پر  $R_S$  کے بُرے اثر کو ختم کیا جاتا ہے۔



شکل 4.35

مثال 4.21: شکل 4.35 الف کے ایمپلیفائر کو ٹی ریاضی نمونے سے حل کریں۔

حل: شکل ب میں ٹی ریاضی نمونے استعمال کرتے ہوئے اس کا باریک اشاراتی مساوی دور دکھایا گیا ہے۔ ٹی ریاضی نمونے استعمال کرتے وقت اس حقیقت کو بروئے کار لائیں کہ گیٹ پر برقی رو صفر رہتی ہے۔ شکل میں  $i_g = 0$  لکھ کر اس حقیقت کی یاد دہانی کرائی گئی ہے۔ داخلی جانب کرنخوف کے قانون برائے برقی دباؤ کی مدد سے ہم لکھ سکتے ہیں۔

$$i_s = \frac{v_i}{\frac{1}{g_m} + R_S}$$

چونکہ  $i_g = 0$  ہے لہذا یہی برقی رو  $R_D$  سے بھی گزرے گی۔ اس طرح

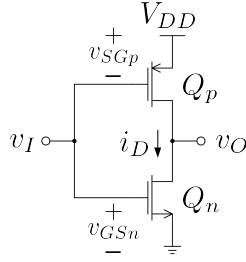
$$v_o = - \left( \frac{v_i}{\frac{1}{g_m} + R_S} \right) R_D$$

ہو گا۔ جس سے

$$(4.71) \quad A_v = \frac{v_o}{v_i} = - \left( \frac{R_D}{\frac{1}{g_m} + R_S} \right)$$

حاصل ہوتا ہے۔ اس مساوات کو یوں بہتر طرز پر لکھا جاسکتا ہے

$$(4.72) \quad A_v = - \frac{\sum R_{ڈریں}}{\sum R_{سورس}}$$



$$v_{SGp} = V_{DD} - v_I$$

$$v_{GSn} = v_I$$

$$V_{tn} = -V_{tp} = \frac{V_{DD}}{2}$$

شکل 4.36: نفی کار

صفحہ 354 پر مساوات 3.217 میں  $\alpha = 1$  لیتے ہوئے مساوات 4.72 ہی حاصل ہوتا ہے۔ دو جوڑ ٹرانزسٹر کی صورت میں  $\frac{1}{g_m}$  کو  $r_e$  لکھا گیا جبکہ یہاں ہم اس کو  $\frac{1}{g_m}$  ہی لکھیں گے۔

## 4.12 سیما س نفی کار

عدد 37 میں نفی کار 38 کلیدی کردار ادا کرتا ہے۔ جیسا کہ پہلے بھی ذکر کیا گیا، سیما س ٹیکنالوجی کی بہتر خصوصیات کی بنا پر مخلوط ادوار زیادہ تر انہیں کو استعمال کرتے ہوئے بنائے جاتے ہیں۔

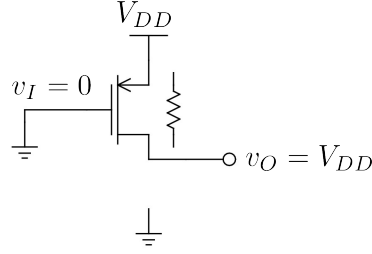
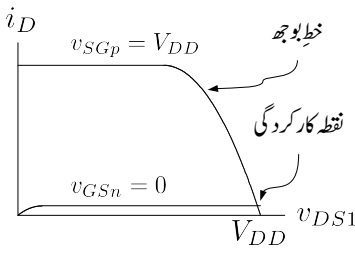
شکل 4.36 الف میں ایک عدد pMOSFET اور ایک عدد nMOSFET استعمال کرتے ہوئے نفی کار بنایا گیا ہے۔ عددی اشارات صرف دو ہی قیمتیں 0V یعنی پست صورت یا 5V یعنی بلند صورت اختیار کر سکتے ہیں۔ آئیں  $v_I$  کو ان قیمتوں پر رکھتے ہوئے خارجی اشارہ  $v_O$  حاصل کریں۔ شکل کو دیکھتے ہوئے

$$v_{SGp} = V_{DD} - v_I \quad (4.73)$$

$$v_{GSn} = v_I$$

لکھا جاسکتا ہے۔ مزید تصور کریں کہ

$$V_{tn} = -V_{tp} = V_t \quad (4.74)$$



شکل 4.37: داخلی اشارہ پست ہونے کی صورت میں خارجی اشارہ بلند حاصل ہوتا ہے۔

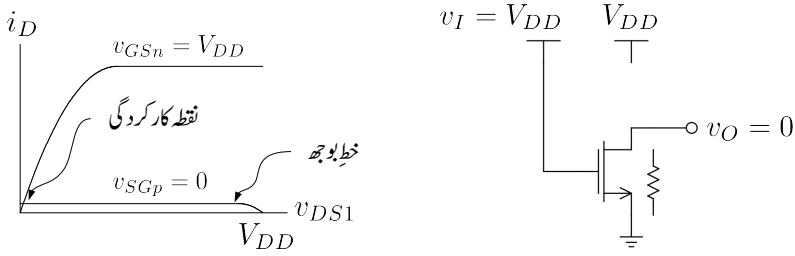
کے برابر ہے۔

داخلی اشارہ  $v_I = 0V$  کی صورت میں مساوات 4.73 سے  $v_{GSn} = 0V$  حاصل ہوتا ہے۔ چونکہ  $V_{tn}$  مثبت مقدار ہے لہذا  $v_{GSn} < V_{tn}$  ہے۔ اس طرح  $Q_n$  منقطع ہو گا اور اس کی برقی رو صفر ہو گی۔ اس کے برعکس  $Q_p$  کے لئے مساوات 4.73 کے مطابق  $v_{SGp} = V_{DD}$  حاصل ہوتا ہے۔ یوں  $v_{SGp} > -V_{tp}$  ہے لہذا  $Q_p$  چالو ہو گا۔ شکل 4.37 میں منقطع  $Q_n$  کے خط پر چالو  $Q_p$  کے خط کو بطور خط بوجھ دکھایا گیا ہے۔  $Q_p$  کے خط کا عمودی محور میں عکس لینے کے بعد اس عکس کو افقی محور پر دائیں جانب  $V_{DD}$  اکایاں منتقل کرنے سے خط بوجھ <sup>39</sup> حاصل ہوتا ہے۔  $Q_n$  کے خط کو افقی محور سے قدر اوپر کر کے دکھایا گیا ہے تاکہ یہ محور سے علیحدہ نظر آئے۔ ان دو خطوط سے حاصل نقطہ کارکردگی کے مطابق  $v_{DSQ} \approx V_{DD}$  کے برابر ہے۔ اس طرح  $v_I = 0$  کی صورت میں  $v_O = V_{DD}$  حاصل ہوتا ہے۔

یہی جواب خطوط کھینچے بغیر یوں حاصل کیا جاسکتا ہے۔ منقطع  $Q_n$  کو کھلے دور جبکہ چالو  $Q_p$  کو بطور مزاحمت تصور کریں۔ ایسا کرنے سے شکل 4.37 میں دکھایا دور حاصل ہوتا ہے جس کو دیکھ کر  $v_O = V_{DD}$  لکھا جاسکتا ہے۔

داخلی اشارہ  $v_I = V_{DD}$  کی صورت میں مساوات 4.73 سے  $v_{GSn} = V_{DD}$  حاصل ہوتا ہے لہذا  $v_{GSn} > V_{tn}$  ہے۔ اس طرح  $Q_n$  چالو ہو گا۔ اس کے برعکس  $Q_p$  کے لئے مساوات 4.73 کے مطابق  $v_{SGp} = 0$  حاصل ہوتا ہے۔ یوں  $v_{SGp} < -V_{tp}$  ہے لہذا  $Q_p$  منقطع ہو گا۔ شکل 4.38 میں چالو  $Q_n$  کے خط پر منقطع  $Q_p$  کے خط کو بطور خط بوجھ دکھایا گیا ہے۔ خط بوجھ کو افقی محور سے قدر اوپر کر کے دکھایا گیا ہے تاکہ یہ محور سے علیحدہ نظر آئے۔ ان دو خطوط سے حاصل نقطہ کارکردگی کے مطابق  $v_{DSQ} \approx 0$  کے برابر ہے۔ اس طرح  $v_I = V_{DD}$  کی صورت میں  $v_O = 0$  حاصل ہوتا ہے۔

<sup>39</sup> صفحہ 314 پر حصہ 3.12 کے شروع میں ٹرانزسٹر خط بوجھ کھینچنا دکھایا گیا۔ اس طریقے پر ایک مرتبہ دوبارہ نظر ڈالیں۔



شکل 4.38: داخلی اشارہ بلند ہونے کی صورت میں خارجی اشارہ پست حاصل ہوتا ہے۔

یہی جواب خطوط کھینچے بغیر یوں حاصل کیا جاسکتا ہے۔ چالو  $Q_n$  کو مزاحمت جبکہ منقطع  $Q_p$  کو کھلے دور تصور کریں۔ ایسا کرنے سے شکل 4.38 میں دکھایا دور حاصل ہوتا ہے جس کو دیکھ کر  $v_O = V_{DD}$  لکھا جاسکتا ہے۔

$v_I = 0$  کی صورت میں  $v_{DS} = V_{DD}$  جبکہ  $i_D \approx 0$  کے برابر حاصل ہوتا ہے لہذا  $Q_n$  میں برقی طاقت کا ضیاع قابل نظر انداز ہو گا۔ چونکہ اس صورت میں  $V_{SD} \approx 0$  ہے لہذا  $Q_p$  میں طاقت کا ضیاع اس سے بھی کم ہو گا۔  $v_I = V_{DD}$  کی صورت میں  $Q_p$  اور  $Q_n$  کے کردار آپس میں تبدیل ہو جاتے ہیں لہذا طاقت کا ضیاع جوں کا توں رہتا ہے۔ حقیقت میں ماسفیٹ سے بنائے نفی کار میں کل طاقت کا ضیاع ایک مائیکرو واٹ سے بھی کم ہوتا ہے۔

آئیں شکل 4.36 میں دئے نفی کار کا  $v_O$  بالمقابل  $v_I$  خط حاصل کریں۔ ایسا کرنے کی خاطر  $v_I$  کو بتدریج 0V سے  $V_{DD}$  تک تبدیل کرتے ہوئے  $v_O$  حاصل کیا جائے گا۔ پہلے دونوں ماسفیٹ کے برقی رو بالمقابل برقی دباؤ مساوات لکھتے ہیں۔

شکل سے  $Q_n$  کے لئے  $v_{GS} = v_I$  اور  $v_{DS} = v_O$  لکھا جاسکتا ہے۔ یوں مساوات 4.23 اور مساوات 4.24 کو یوں لکھا جاسکتا ہے۔

$$(4.75) \quad i_{DS} = k_n \left[ (v_I - V_{tn}) v_O - \frac{v_O^2}{2} \right] \quad \text{جب } v_O \leq v_I - V_{tn}$$

اسی طرح مساوات 4.27 اور مساوات 4.28 کو

$$(4.76) \quad i_{DS} = \frac{k_n}{2} [v_I - V_{tn}]^2 \quad \text{جب } v_O \geq v_I - V_{tn}$$

لکھا جاسکتا ہے۔ اسی طرح  $Q_p$  کے لئے مساوات 4.36 کو

(4.77)

$$i_{SD} = k_p \left[ (V_{DD} - v_I + V_{tp}) (V_{DD} - v_O) - \frac{(V_{DD} - v_O)^2}{2} \right] \quad \text{جب } v_O \geq v_I - V_{tp}$$

اور مساوات 4.38 کو

$$(4.78) \quad i_{SD} = \frac{k_p}{2} [V_{DD} - v_I + V_{tp}]^2 \quad \text{جب } v_O \leq v_I - V_{tp}$$

لکھا جاسکتا ہے۔ نفی کار کو عموماً یوں تخلیق دیا جاتا ہے کہ

$$(4.79) \quad V_{tn} = |V_{tp}| = V_t$$

$$(4.80) \quad k_n = k_p$$

ہوں۔ اس طرح  $v_O$  بالمتقابل  $v_I$  کا خط متماثل تناسب رکھتا ہے اور خارجی سرے پر  $v_O$  کی پست اور بلند دونوں صورتوں میں نفی کار یکساں برقی رو کی صلاحیت رکھتا ہے۔ مندرجہ بالا چار مساوات سے شکل 4.39 میں دکھایا گیا خط حاصل ہوتا ہے۔ عددی ادوار کے نقطہ نظر سے غالباً اس خط سے زیادہ اہم کوئی خط نہیں پایا جاتا لہذا اس کو اچھی طرح سمجھ کر ہی آگے بڑھیں۔ آئیں اس پر خط مزید غور کریں۔

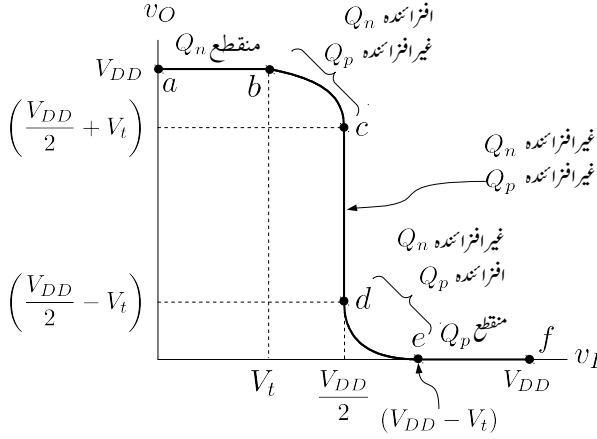
شکل 4.39 پر اہم نقطے دکھائے گئے ہیں۔ تصور کریں کہ  $V_t = 1V$  اور  $V_{DD} = 5V$  ہیں۔ اس طرح  $V_{tn} = 1V$  اور  $V_{tp} = -1V$  ہوں گے۔ شکل میں  $a$  تا  $b$  خطے پر غور کریں۔ یہاں  $v_I$  کی قیمت  $0V$  تا  $1V$  ہے۔ چونکہ  $Q_n$  کی  $v_{GS} = v_I$  ہے لہذا  $v_{GS} < V_{tn}$  ہے۔ یوں  $Q_n$  منقطع ہے۔ اس کے برعکس  $Q_p$  کی  $v_{SG} = V_{DD} - v_I$  ہے لہذا  $v_{SG}$  کی قیمت  $5V$  تا  $4V$  رہے گی۔ چونکہ  $V_{tp} = -1V$  ہے لہذا  $-V_{tp} = 1V$  ہوگا اور اس طرح  $v_{SG} > -V_{tp}$  ہے۔ اس طرح  $Q_p$  چالو ہے۔ مزید  $v_O = 5V$  ہے لہذا اسی ماسفیٹ کے  $v_{GD}$  کی قیمت  $4V$  تا  $5V$  رہے گی جو  $V_{tp}$  سے کم ہے لہذا  $Q_p$  غیر افزائندہ ہوگا۔

شکل 4.39 سے  $v_I$  اور  $v_O$  کی قیمتیں پڑھتے ہوئے تسلی کر لیں کہ  $b$  تا  $c$  منفی ماسفیٹ افزائندہ جبکہ مثبت ماسفیٹ غیر افزائندہ ہے۔ بقایا نقطوں کے درمیان بھی صورت حال دیکھیں۔

## 4.13 جوڑدار فیٹ (JFET)

جوڑدار فیٹ کے دو اقسام یعنی  $n$  اور  $p$  پائے جاتے ہیں۔ شکل 4.40 میں  $n$  قسم کے جوڑدار فیٹ یعنی ( $nJFET$ ) کی ساخت اور علامت دکھائے گئے ہیں۔ منفی جوڑدار فیٹ بنانے کی خاطر  $n$  قسم سیلیکان کلڑے کے

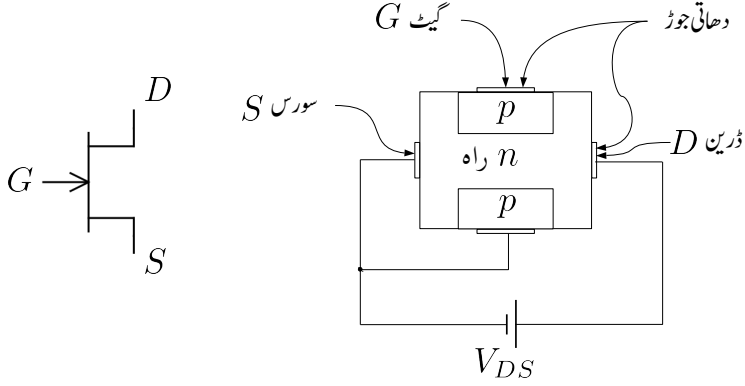




شکل 4.39: نفی کار کا خط

دونوں اطراف  $p$  قسم کے خطے بنائے جاتے ہیں جنہیں گیٹ<sup>40</sup> کہتے ہیں۔ ان دو خطوں کو بیرونی دھاتی تار سے جوڑ کر بطور گیٹ ( $G$ ) استعمال کیا جاتا ہے۔ شکل میں اس بیرونی دھاتی تار کو نہیں دکھایا گیا ہے۔ دو گیٹوں کے درمیان راہ میں آزاد الیکٹران پائے جاتے ہیں۔ اس راہ پر بیرونی برقی دباؤ  $v_{DS}$  لاگو کرنے سے راہ میں موجود آزاد الیکٹران منفی برقی دباؤ والے سرے سے مثبت برقی دباؤ والے سرے کی جانب حرکت کریں گے جس سے برقی رو  $i_{DS}$  پیدا ہوگی۔ یوں منفی برقی دباؤ والے سرے سے خارج الیکٹران، مثبت برقی دباؤ والے سرے پر حاصل ہوتے ہیں۔ اسی سے ان دو سروں کو سورس  $S$  اور ڈرین  $D$  کے نام دئے گئے ہیں۔ روایتی برقی رو الیکٹران کے حرکت کی الٹ سمت ہوتی ہے۔ یوں ( $nJFET$ ) میں روایتی برقی رو کی سمت راہ میں ڈرین سے سورس کی جانب ہوگی۔ اگرچہ راہ میں برقی رو دونوں جانب بالکل یکساں طور ممکن ہے اور یوں اس کے سروں کو  $S$  اور  $D$  کے نام دینا شاید درست نہ لگے ہم پھر بھی اس راہ کے ایک سرے کو سورس ( $S$ ) جبکہ دوسرے سرے کو ڈرین ( $D$ ) پکاریں گے۔ بیرونی برقی دباؤ کا مثبت سرا ( $nJFET$ ) کے  $D$  کی جانب رکھا جائے گا۔  $nJFET$  میں راہ  $n$  قسم کے نیم موصل سے حاصل ہوتا ہے اور اس کے نام میں  $n$  اسی کو ظاہر کرتا ہے۔

آئیں شکل 4.41 کی مدد سے  $nJFET$  کی کارکردگی پر غور کریں۔ راہ اور گیٹ آپس میں  $pn$  جوڑ یعنی ڈایوڈ بناتے ہیں۔  $nJFET$  کی علامت میں گیٹ پر تیر کا نشان اس ڈایوڈ کے سیدھے رخ کو دکھاتا ہے۔ اس جوڑ پر بالکل



شکل 4.40: جوڑدار منفی فیٹ کی ساخت

ڈایوڈ کی طرح ویران خطہ وجود میں آتا ہے اور جیسا کہ آپ جانتے ہیں، اس ویران خطے کی چوڑائی کا دار و مدار اس جوڑ پر پائے جانے والے برقی دباؤ پر ہے۔ شکل الف میں سورس S کو برقی زمین پر رکھتے ہوئے گیٹ G پر منفی برقی دباؤ لاگو کیا گیا ہے۔ گیٹ پر لاگو منفی برقی دباؤ کو جتنا زیادہ منفی کیا جائے ویران خطہ اتنا ہی زیادہ چوڑا ہو گا اور n راہ کی چوڑائی اتنی ہی کم ہو گی۔  $v_{GS}$  کو اگر بتدریج منفی جانب بڑھایا جائے تو ویران خطہ بڑھتے بڑھتے آخر کار تمام n راہ کو گھیر لے گا۔ جس  $v_{GS}$  پر ایسا ہو، اس کو nJFET کے دبوچنے کا برقی دباؤ کہتے ہیں اور روایتی طور اسے  $V_p$  سے ظاہر کیا جاتا ہے۔ یوں nJFET کے  $V_p$  کی قیمت منفی ہو گی۔ اس سے معلوم یہ ہوا کہ راہ کی گہرائی کو گیٹ پر برقی دباؤ سے قابو کیا جاسکتا ہے۔ مزید یہ کہ گیٹ اور راہ pn جوڑ بناتے ہیں۔ اگر گیٹ اور راہ کے درمیان مثبت برقی دباؤ دی جائے تو راہ کی گہرائی مزید نہیں بڑھ سکتی بلکہ گیٹ اور راہ کے مابین pn جوڑ سیدھا مائل ہو جائے گا اور اس میں برقی رو گزرنے شروع ہو جائے گی۔ یوں آپ دیکھ سکتے ہیں کہ nJFET میں گیٹ اور راہ کے درمیان برقی دباؤ کو pn جوڑ کے چالو برقی دباؤ 0.5 V سے کم ہی رکھا جاتا ہے۔

D اور S کے مابین راہ بالکل ایک موصل سلاخ کی مانند مزاحمت کا کردار ادا کرے گا۔ یوں اگر راہ کی لمبائی L، گہرائی g، چوڑائی W اور اس کے موصلیت کا مستقل  $\sigma$  ہو تو اس کا مزاحمت  $R = \frac{L}{\sigma Wg}$  ہو گا۔

اب تصور کریں کہ ڈرین D پر معمولی مثبت برقی دباؤ  $v_{DS}$  لاگو کیا جاتا ہے۔ n راہ میں برقی رو  $i_{DS}$  گزرے گی جس کی قیمت اوہم کے قانون سے حاصل کی جاسکتی ہے۔  $v_{DS}$  کو کم یا زیادہ کرتے ہوئے  $i_{DS}$  کو کم یا زیادہ کرنا ممکن ہے۔ کم  $v_{DS}$  پر، کسی بھی مزاحمت کی طرح، برقی دباؤ بالقابل برقی رو کا خط تقریباً سیدھا ہو

گا۔ اب تصور کریں کہ  $v_{GS}$  کو تبدیل کئے بغیر  $v_{DS}$  کو بڑھایا جائے۔ یوں  $n$  راہ کے سورس سرے پر  $0V$  جبکہ اس کے ڈرین سرے پر  $v_{DS}$  برقی دباؤ پائی جائے گی۔ جیسا شکل ب میں دکھایا گیا ہے، یوں سورس سرے کے قریب  $pn$  جوڑ پر ویران خطے کی چوڑائی کم جبکہ ڈرین سرے کے قریب ویران خطے کی چوڑائی زیادہ ہو گی۔ ان دو سروں کے درمیان ویران خطے کی چوڑائی ترچھی شکل اختیار کرے گی۔ اس ترچھاپن کی وجہ سے  $n$  راہ کی مزاحمت بڑھے گی جس سے راہ کا مزاحمت بھی بڑھے گا۔ یوں اگرچہ کم  $v_{DS}$  پر  $v_{DS} - i_{DS}$  کا خط سیدھا ہو گا لیکن جیسے جیسے  $v_{DS}$  بڑھایا جائے، راہ کا مزاحمت ایسے ایسے بڑھے گا اور یوں  $v_{DS} - i_{DS}$  کے خط میں جھکاؤ پیدا ہو گا۔ اگر  $v_{DS}$  کو بتدریج بڑھایا جائے تو آخر کار ڈرین سرے کی جانب ویران خطہ بڑھتے بڑھتے راہ کو دبوچ جائے گا۔ شکل ب میں ایسا ہوتے دکھایا گیا ہے۔  $v_{DS}$  کو مزید بڑھانے سے برقی رو میں تبدیلی نہیں پیدا ہوتی اور اس کی قیمت نقطہ دبوچ پر پائے جانے والے برقی رو کے قیمت پر ہی رہتی ہے۔

مندرجہ بالا تذکرے سے ظاہر ہے کہ JFET بالکل گھٹاتا ماسفیٹ کی مانند کام کرتا ہے۔ البتہ جہاں ماسفیٹ کے گیٹ پر مثبت یا منفی برقی دباؤ دینا ممکن ہے، nJFET کے گیٹ پر صرف منفی برقی دباؤ ہی دینا ممکن ہے۔ اگر اس کے گیٹ پر مثبت برقی دباؤ دی جائے تو گیٹ اور راہ کے مابین  $pn$  جوڑ یعنی یہاں کا ڈایوڈ سیدھا مائل ہو جائے گا اور گیٹ nJFET کو قابو کرنے کی صلاحیت کھو دے گا۔ چونکہ JFET کے گیٹ پر ڈایوڈ کو الٹا مائل رکھا جاتا ہے لہذا اس کے گیٹ پر نہایت کم (الٹے مائل ڈایوڈ کے برابر) برقی رو پائی جاتی ہے جسے عموماً صفر ایمپیر تصور کیا جاتا ہے۔ یہ برقی رو اگرچہ نہایت کم ہے لیکن ماسفیٹ کے گیٹ پر اس سے بھی کئی گنا کم برقی رو پائی جاتی ہے۔

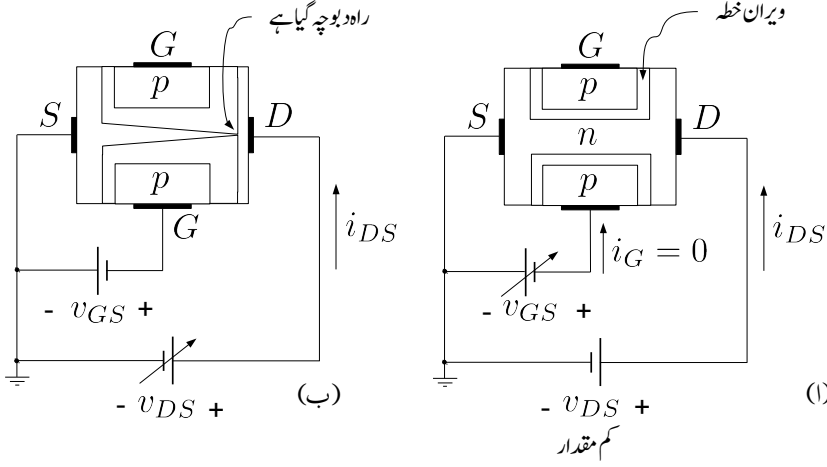
#### 4.13.1 برقی رو بالمتقابل برقی دباؤ

چونکہ JFET کی کارکردگی بالکل گھٹاتا ماسفیٹ کی مانند ہے لہذا گھٹاتا ماسفیٹ کے مساوات ہی JFET کے لئے بھی استعمال کئے جائیں گے۔ البتہ ادب میں JFET کے مساوات کو قدر مختلف طریقے سے لکھا جاتا ہے۔ آئیں nJFET کے مساوات دیکھیں۔

##### 4.13.1.1 منقطع خطہ

جیسا کہ اوپر ذکر کیا گیا، اگر  $v_{GS}$  کو  $V_p$  سے کم کیا جائے تو ویران خطہ تمام راہ کو گھیر لیتا ہے اور برقی رو کا گزر ممکن نہیں ہوتا یعنی

$$(4.81) \quad v_{GS} \leq V_p \quad i_D = 0$$



شکل 4.41: جوڑدار منفی فیٹ کی کارکردگی

## 4.13.1.2 غیر افزائندہ خط

غیر افزائندہ خطے میں  $pn$  جوڑ کو الٹا مائل رکھتے ہوئے  $v_{GS}$  کو  $V_p$  سے زیادہ رکھا جاتا ہے۔ مزید یہ کہ  $v_{DS}$  کو نقطہ دیوبچ سے کم رکھا جاتا ہے۔ اس خطے میں ماسفیٹ کی مساوات 4.24 کو JFET کے لئے یہاں لکھتے ہیں۔ ایسا کرتے ہوئے  $V_t$  کی جگہ  $V_p$  لکھا جائے گا۔

$$i_{DS} = k_n \left[ (v_{GS} - V_p) v_{DS} - \frac{v_{DS}^2}{2} \right]$$

$$= \frac{k_n V_p^2}{2} \left[ 2 \left( \frac{v_{GS}}{V_p} - 1 \right) \frac{v_{DS}}{V_p} - \left( \frac{v_{DS}}{V_p} \right)^2 \right]$$

اس مساوات میں  $\frac{k_n V_p^2}{2}$  کو JFET کے لئے  $I_{DSS}$  لکھا جاتا ہے۔ یوں

$$V_p \leq v_{GS} \leq 0, \quad v_{DS} \leq v_{GS} - V_p$$

$$(4.82) \quad i_{DS} = I_{DSS} \left[ 2 \left( \frac{v_{GS}}{V_p} - 1 \right) \frac{v_{DS}}{V_p} - \left( \frac{v_{DS}}{V_p} \right)^2 \right]$$

## 4.13.1.3 انٹرانسڈہ خط

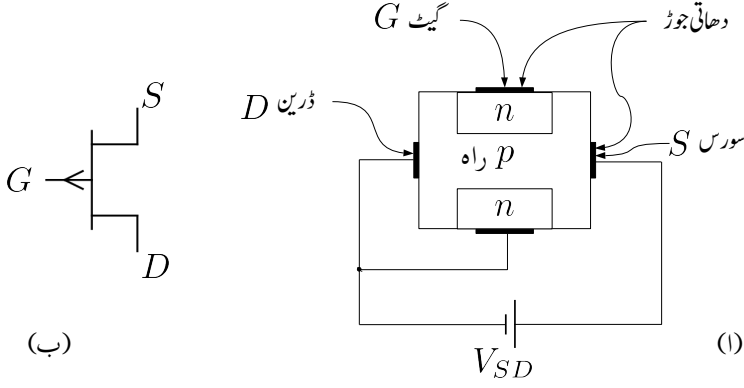
ماسفیٹ کی مساوات 4.28 کو یوں لکھا جاتا ہے۔

$$(4.83) \quad \begin{aligned} V_p \leq v_{GS} \leq 0, \quad v_{DS} \geq v_{GS} - V_p \\ i_{DS} = I_{DSS} \left(1 - \frac{v_{GS}}{V_p}\right)^2 \left(1 + \frac{v_{DS}}{V_A}\right) \end{aligned}$$

جہاں ارلی برقی دباؤ  $V_A$  <sup>41</sup> کے اثر کو بھی شامل کیا گیا ہے۔ ارلی برقی دباؤ کے اثر کو نظر انداز کرتے ہوئے،  $v_{GS} = 0$  پر اس مساوات سے  $i_{DS} = I_{DSS}$  حاصل ہوتا ہے لہذا  $I_{DSS}$  وہ برقی رو ہے جو گیٹ کو سورس کے ساتھ جوڑنے سے حاصل ہوتی ہے۔ مندرجہ بالا مساوات میں  $(v_{DS} \geq v_{GS} - V_p)$  کو  $(v_{GS} - v_{DS} \leq V_p)$  یا  $v_{DS} \leq V_p$  بھی لکھا جاسکتا ہے۔

## pJFET 4.13.2

جیسا شکل 4.42 الف میں دکھایا گیا ہے، مثبت جوڑدار فیٹ بنانے کی خاطر  $p$  قسم سیلیکان ٹکڑے کے دونوں اطراف  $n$  گیٹ بنائے جاتے ہیں۔ ان دو خطوں کو بیرونی دھاتی تار سے جوڑ کر بطور گیٹ ( $G$ ) استعمال کیا جاتا ہے۔ دو گیٹوں کے درمیان راہ میں آزاد خول پائے جاتے ہیں۔ اس راہ پر بیرونی برقی دباؤ  $v_{SD}$  لاگو کرنے سے راہ میں موجود آزاد خول مثبت برقی دباؤ والے سرے سے منفی برقی دباؤ والے سرے کی جانب حرکت کریں گے جس سے برقی رو  $i_{SD}$  پیدا ہوگی۔ یوں مثبت برقی دباؤ والے سرے سے خارج خول، منفی برقی دباؤ والے سرے پر حاصل ہوتے ہیں۔ اسی سے ان دو سرورس  $S$  اور ڈرین  $D$  کے نام دئے گئے ہیں۔ یوں ( $pJFET$ ) میں روایتی برقی رو کی سمت راہ میں سورس سے ڈرین کی جانب ہوگی۔ بیرونی برقی دباؤ کا مثبت سرا ( $pJFET$ ) کے  $S$  کی جانب رکھا جائے گا۔  $pJFET$  میں راہ  $p$  قسم کے نیم موصل سے حاصل ہوتا ہے اور اس کے نام میں  $p$  اسی کو ظاہر کرتا ہے۔ جیسا شکل 4.42 ب میں دکھایا گیا ہے،  $pJFET$  کی علامت میں گیٹ پر تیر کا نشان راہ سے گیٹ کی جانب کو ہوتا ہے۔  $pJFET$  کی صحیح کارکردگی کے لئے ضروری ہے کہ گیٹ اور راہ پر بننے والے  $pn$  جوڑ کو غیر چالو رکھا جائے یعنی اس جوڑ پر ڈیوڈ کے سیدھے رخ  $0.5V$  سے برقی دباؤ کو کم رکھا جائے۔



شکل 4.42: جوڑدار مثبت فیٹ کی ساخت

## 4.13.3 باریک اشاراتی ریاضی نمونہ

چونکہ JFET اور MOSFET کی کارکردگی یکساں ہے لہذا ان کے پست تعددی اور بلند تعددی پائے ریاضی نمونے بھی یکساں ہیں۔ یہاں

$$(4.84) \quad g_m = \left( \frac{-2I_{DSS}}{V_p} \right) \left( 1 - \frac{V_{GS}}{V_p} \right)$$

$$(4.85) \quad = \left( \frac{-2I_{DSS}}{V_p} \right) \sqrt{\frac{I_D}{I_{DSS}}}$$

کے برابر ہے جہاں  $I_D$  نقطہ مائل پر یک سمتی برقی رو ہے۔ اسی طرح

$$(4.86) \quad r_o = \frac{V_A}{I_D}$$

کے برابر ہے۔

مثال 4.22: ایک nJFET کے  $V_p = -3V$  اور  $I_{DSS} = 8mA$  ہیں۔ اس کی برقی رو  $v_{GS} = -1.5V$  اور  $v_{DS} = 3.5V$  پر حاصل کریں۔ اری برقی دباؤ کے اثر کو نظر انداز کریں۔

حل: چونکہ  $v_{GS} - V_p$  کی قیمت

$$(-1.5 \text{ V}) - (-3 \text{ V}) = 1.5 \text{ V}$$

دئے گئے  $v_{DS}$  کے قیمت سے کم ہے لہذا مساوات 4.83 کے پہلے جزو کے تحت فیٹ افزائندہ خطے میں ہے اور یوں اسی مساوات کے دوسرے جزو کے تحت

$$i_{DS} = 8 \times 10^{-3} \left[ 1 - \left( \frac{-1.5}{-3} \right) \right]^2 = 2 \text{ mA}$$

حاصل ہوتا ہے۔

مثال 4.23: مندرجہ بالا مثال میں  $v_{GS}$  کو بڑھا کر  $-1.4 \text{ V}$  کر دیا جاتا ہے۔  $i_{DS}$  میں تبدیلی حاصل کرتے ہوئے  $\frac{\Delta i_{DS}}{\Delta v_{GS}}$  حاصل کریں۔ مساوات 4.84 سے  $g_m$  کی قیمت حاصل کرتے ہوئے دونوں جوابات کا موازنہ کریں۔

حل: اب بھی  $(v_{DS} \geq v_{GS} - V_p)$  ہے لہذا

$$i_{DS} = 8 \times 10^{-3} \left[ 1 - \left( \frac{-1.4}{-3} \right) \right]^2 = 2.2756 \text{ mA}$$

حاصل ہوتا ہے جس سے

$$\frac{\Delta i_{DS}}{\Delta v_{GS}} = \frac{2.2756 \text{ mA} - 2 \text{ mA}}{(-1.4) - (-1.5)} = 2.756 \frac{\text{mA}}{\text{V}}$$

حاصل ہوتا ہے۔ مساوات 4.84 کے تحت

$$g_m = \left( \frac{-2 \times 8 \text{ mA}}{-3} \right) \sqrt{\frac{2 \text{ mA}}{8 \text{ mA}}} = 2.6667 \text{ mA}$$

حاصل ہوتا ہے۔ ان دونوں جوابات میں صرف

$$\left( \frac{2.756 - 2.6667}{2.6667} \right) \times 100 = 3.34\%$$

کا فرق ہے۔  $v_{GS}$  میں تبدیلی کو کم سے کم کرتے ہوئے زیادہ درست جواب حاصل ہوتا ہے۔

مثال 4.24: ارلی برقی دباؤ  $V_A$  کی قیمت 75 V لیتے ہوئے خارجی مزاحمت  $r_o$  کا تخمینہ 1 mA اور 10 mA پر لگائیں۔ ایسا کرتے ہوئے تصور کریں کہ فیٹ افزائندہ خطے میں ہے۔

حل: ایک ملی ایمپیئر پر

$$r_o = \frac{75}{0.001} = 75 \text{ k}\Omega$$

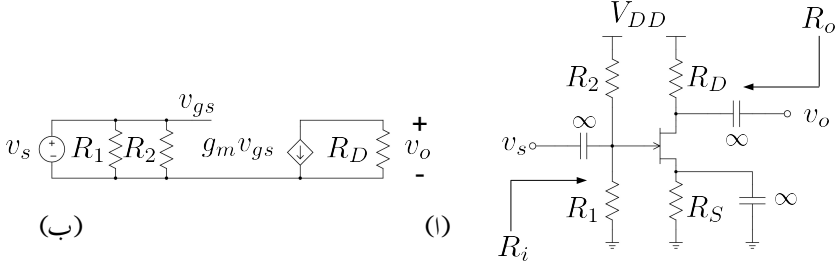
اور دس ملی ایمپیئر پر

$$r_o = \frac{75}{0.01} = 7.5 \text{ k}\Omega$$

حاصل ہوتا ہے۔

مثال 4.25: شکل 4.43 میں منفی جوڑدار فیٹ کا ایمپلیفائر دکھایا گیا ہے جس میں استعمال ہونے والے فیٹ کی  $V_p = -3 \text{ V}$  اور  $I_{DSS} = 8 \text{ mA}$  ہیں۔  $V_{DD} = 15 \text{ V}$  تصور کرتے ہوئے برقی رو  $I_{DS} = 5 \text{ mA}$ ،  $V_G = 4 \text{ V}$  جبکہ  $V_D = 9 \text{ V}$  حاصل کرنے کی خاطر درکار مزاحمت معلوم کریں۔ ایسا کرتے وقت گیٹ پر نسب مزاحمت میں  $10 \mu\text{A}$  کی برقی رو تصور کریں۔ تمام کپیسٹروں کی قیمت لامحدود تصور





شکل 4.43: جوڑدار منفی فیٹ کی مثال

کرتے ہوئے ایمپلیفائر کی افزائش  $A_v$  حاصل کریں۔ ایمپلیفائر کی داخلی مزاحمت  $R_i$  اور خارجی مزاحمت  $R_o$  بھی حاصل کریں۔

حل: گیٹ کے مزاحمت میں  $10 \mu A$  برقی رو ہے۔ یوں

$$\frac{V_{DD}}{R_1 + R_2} = 10 \mu A$$

$$R_1 + R_2 = \frac{15}{10 \times 10^{-6}} = 1.5 M\Omega$$

حاصل ہوتا ہے۔ گیٹ پر  $4 V$  حاصل کرنے کی خاطر

$$V_G = \left( \frac{R_1}{R_1 + R_2} \right) V_{DD}$$

$$4 = \left( \frac{R_1}{1.5 \times 10^6} \right) \times 15$$

$$R_1 = 400 k\Omega$$

حاصل ہوتا ہے۔ یوں

$$R_2 = 1.5 M\Omega - 400 k\Omega = 1.1 M\Omega$$

حاصل ہوتا ہے۔  $V_D = 9 V$  کی خاطر

$$V_{DD} - V_D = I_{DS} R_D$$

$$R_D = \frac{15 - 9}{5 \times 10^{-3}} = 1.2 k\Omega$$

حاصل ہوتا ہے۔

چونکہ  $(V_G - V_D = 4\text{ V} - 9\text{ V} = -5\text{ V})$  ہے جو کہ  $V_p$  سے کم ہے لہذا فیٹ افزائندہ خطے میں ہے۔ یوں مساوات 4.83 کے تحت

$$5 \times 10^{-3} = 8 \times 10^{-3} \left(1 - \frac{V_{GS}}{-3}\right)^2$$

$$V_{GS} = -0.628\text{ V}, -5.37\text{ V}$$

حاصل ہوتا ہے۔ منفی جواب کو رد کرتے ہوئے

$$V_{GS} = V_G - V_S = -0.628\text{ V}$$

$$V_S = 4.628\text{ V}$$

حاصل ہوتا ہے۔ جس سے

$$V_S = I_{DS}R_S$$

$$R_S = \frac{4.628}{5 \times 10^{-3}} = 925.6\ \Omega$$

حاصل ہوتا ہے۔

شکل ب میں مساوی باریک اشاراتی دور دکھایا گیا ہے جس سے

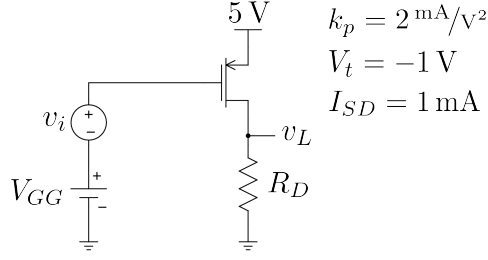
$$R_i = \frac{R_1 R_2}{R_1 + R_2} = 293\text{ k}\Omega$$

$$R_o = R_D = 1.2\text{ k}\Omega$$

حاصل ہوتے ہیں۔ آپ دیکھ سکتے ہیں کہ  $R_i$  کا دارومدار گیٹ پر نسب مزاحمتوں پر ہے۔ یوں داخلی مزاحمت بڑھانے کی خاطر ان مزاحمتوں کو زیادہ سے زیادہ رکھا جاتا ہے جس کا مطلب ہے کہ ان میں گزرتے یک سمتی رو کو کم سے کم رکھا جاتا ہے۔ اس مثال میں اس برقی رو کو  $10\ \mu\text{A}$  رکھا گیا ہے۔

مساوات 4.84 کی مدد سے

$$g_m = \frac{-2 \times 8 \times 10^{-3}}{-3} \sqrt{\frac{5 \times 10^3}{8 \times 10^{-3}}} = 4.216 \frac{\text{mA}}{\text{V}}$$



شکل 4.44

اور یوں

$$A_v = \frac{v_o}{v_s} = -g_m R_D = -4.216 \times 10^{-3} \times 1.2 \times 10^3 = -5.059 \frac{\text{V}}{\text{V}}$$

حاصل ہوتا ہے۔

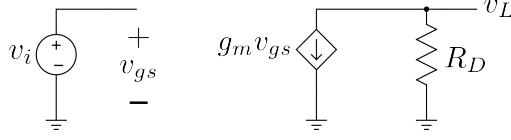
مثال 4.26: شکل 4.44 میں  $v_L = 2 + 0.56 \sin \omega t$  اور  $I_{SD} = 1 \text{ mA}$  ہیں۔  $V_{GG}$ ،  $R_D$ ،  $A_v = \frac{v_L}{v_i}$  حاصل کریں۔

حل: یک سمتی  $v_L = 2 \text{ V}$  ہے لہذا

$$R_D = \frac{2}{1 \times 10^{-3}} = 2 \text{ k}\Omega$$

ہے۔ ماسفیٹ کو افزائندہ تصور کرتے ہوئے ماسفیٹ کی مساوات سے

$$10^{-3} = \frac{2 \times 10^{-3}}{2} (V_{SG} - 1)^2$$



شکل 4.45

سے  $V_{SG}$  کی قیمت  $0V$  اور  $2V$  حاصل ہوتے ہیں۔  $V_t = -1V$  ہے لہذا  $-V_t = 1V$  کے برابر ہے۔  $V_{SG} > -V_t$  کی شرط سے  $V_{SG} = 2V$  کو درست جواب تسلیم کیا جاتا ہے۔ یوں

$$V_{SG} = V_S - V_G$$

$$2 = 5 - V_G$$

سے  $V_G = V_{GG} = 3V$  حاصل ہوتا ہے۔ شکل 4.45 میں باریک اشاراتی مساوی دور دکھایا گیا ہے جسے دیکھ کر  $v_L = -g_m v_{gs} R_D$  لکھا جاسکتا ہے جہاں

$$g_m = \sqrt{2k_p I_{SD}} = \sqrt{2 \times 2 \times 10^{-3} \times 10^{-3}} = 2 \text{ mS}$$

$$v_{gs} = v_i$$

کے برابر ہیں۔  $v_L$  میں بدلتا حصہ  $0.56 \sin \omega t$  ہے جسے استعمال کرتے ہوئے

$$0.56 \sin \omega t = -2 \times 10^{-3} v_i \times 2000$$

سے  $v_i = -0.14 \sin \omega t$  اور  $A_v = -4 \frac{V}{V}$  حاصل ہوتے ہیں۔

#### 4.14 مخلوط ادوار میں ماسفیٹ کا نقطہ کارکردگی تعین کرنے کے ادوار

شکل 4.43 اور 4.22 میں مزاحمت استعمال کرتے ہوئے انفرادی ماسفیٹ کا نقطہ کارکردگی تعین کیا گیا۔ مخلوط ادوار میں ماسفیٹ کا نقطہ کارکردگی مزاحمت استعمال کرتے ہوئے تعین نہیں کیا جاتا۔ مخلوط دور بناتے وقت سلیکان پٹری کے

کم سے کم رقبہ پر زیادہ سے زیادہ پرزے بنائے جاتے ہیں۔ یوں مخلوط دور میں ان پرزوں کو ترجیح دی جاتی ہے جو کم سے کم رقبہ گھیریں۔ ماسفیٹ کی نسبت سے مزاحمت زیادہ رقبہ گھیرتا ہے لہذا مزاحمت کے استعمال سے بچنے کی ہر ممکنہ کوشش کی جاتی ہے۔ مزید یہ کہ سیلیکان پر بالکل درست قیمت کا مزاحمت بنانے کی خاطر اضافی گراں قیمت اقدام کرنے پڑتے ہیں جبکہ درکار خوبوں کا ماسفیٹ آسانی سے بنتا ہے۔ اس کے علاوہ انفرادی ماسفیٹ ایمپلیفائر میں ہفتے اور متبادل راستہ کپیسیٹر استعمال کئے جاتے ہیں۔ مخلوط دور میں چند pF سے زیادہ قیمت کا کپیسیٹر بنانا ممکن نہیں ہوتا لہذا کپیسیٹر کا استعمال بھی ممکن نہیں ہوتا۔ آئیں دیکھیں کہ مخلوط دور میں ماسفیٹ کا نقطہ کارکردگی کیسے تعین کیا جاتا ہے۔

#### 4.14.1 منع مستقل برقی رو

شکل 4.46 الف میں منع مستقل برقی رو<sup>42</sup> کا سادہ دور اور شکل ب میں اس کی علامت دکھائے گئے ہیں۔ مثال 4.5 کی طرح  $Q_1$  اور  $R_{\text{حوالہ}}$  کے دور کو حل کرنے سے برقی رو  $I_{DS1}$  اور برقی دباؤ  $V_{DS1} = V_{GS1}$  حاصل ہوں گے۔  $Q_1$  اور  $Q_2$  کے سورس آپس میں جڑے ہیں اور اسی طرح ان کے گیٹ بھی آپس میں جڑے ہیں لہذا ان دونوں کے  $V_{GS}$  برابر ہوں گے یعنی

$$V_{GS1} = V_{GS2} = V_{GS}$$

ہو گا۔  $Q_1$  کا گیٹ اور ڈرین آپس میں جڑے ہیں لہذا اس کا  $V_{GD} < V_t$  ہے اور یہ افزائندہ خطے میں ہے لہذا

$$(4.87) \quad I_{DS1} = \frac{k'_n}{2} \left( \frac{W}{L} \right)_1 (V_{GS} - V_t)^2$$

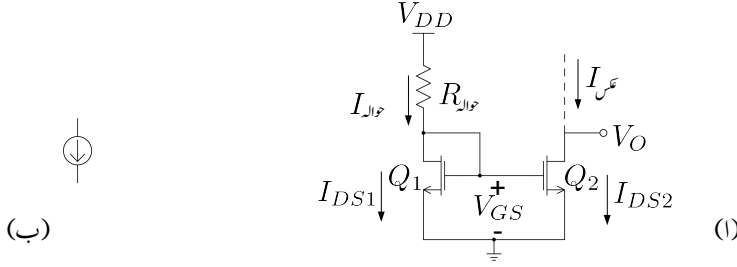
ہو گا۔ گیٹ پر برقی رو صفر ہونے سے  $I_{DS1}$  اور  $I_{\text{حوالہ}}$  برابر ہوں گے۔ یوں اوہم کے قانون سے

$$(4.88) \quad I_{DS1} = I_{\text{حوالہ}} = \frac{V_{DD} - V_{GS1}}{R_{\text{حوالہ}}}$$

لکھا جاسکتا ہے۔ درکار  $I_{DS1}$  کے لئے دور میں مزاحمت  $R_{\text{حوالہ}}$  کی قیمت مندرجہ بالا دو مساوات حل کر کے حاصل کی جاتی ہے۔

اگر ہم تصور کریں گے کہ  $Q_2$  بھی افزائندہ خطے میں ہے تب اس کے لئے ہم لکھ سکتے ہیں

$$(4.89) \quad I_{DS2} = I_{\text{عس}} = \frac{k'_n}{2} \left( \frac{W}{L} \right)_2 (V_{GS} - V_t)^2$$



شکل 4.46: منبع مستقل برقی رو

جہاں  $V_{GS1} = V_{GS2} = V_{GS}$  کے برابر ہے۔  $I_{DS2}$  کو  $I_{DS1}$  سے تقسیم کرتے ہوئے ملتا ہے

$$(4.90) \quad \frac{I_{DS2}}{I_{DS1}} = \frac{I_{عکس}}{I_{حوالہ}} = \frac{\left(\frac{W}{L}\right)_2}{\left(\frac{W}{L}\right)_1}$$

آپ دیکھ سکتے ہیں کہ  $I_{DS2}$  کی قیمت کا دار و مدار  $I_{DS1}$  کے قیمت کے حوالے سے ہے۔ اگر دونوں ماسفیٹ بالکل ایک ہی جسامت کے ہوں تب

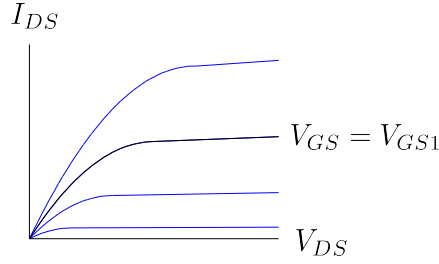
$$(4.91) \quad I_{عکس} = I_{حوالہ}$$

حاصل ہوتا ہے۔ ایسا معلوم ہوتا ہے جیسے  $I_{عکس}$  بالکل  $I_{حوالہ}$  کا عکس ہے۔ اسی سے اس دور کا دوسرا نام آئینہ برقی رو<sup>43</sup> نکلا ہے۔ دونوں برقی رو برابر نہ ہونے کی صورت میں بھی اس دور کو اسی نام سے پکارا جاتا ہے۔

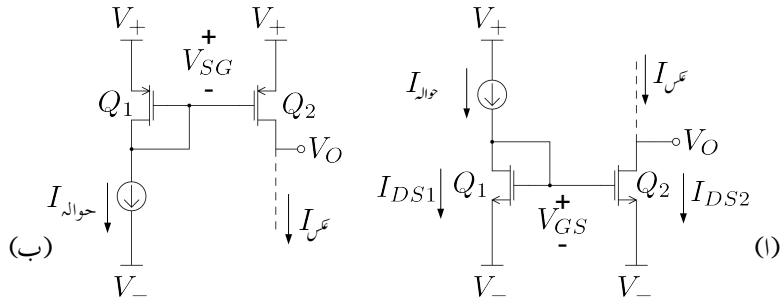
**منبع مستقل برقی رو میں مزاحمت**  $R_{حوالہ}$  کی مدد سے درکار برقی رو حاصل کیا جاتا ہے۔ اس مزاحمت کو تبدیل کرنے سے  $V_{GS1}$  اور  $V_{GS2}$  تبدیل ہوتے ہیں۔ آپ دیکھ سکتے ہیں کہ  $Q_2$  کو  $Q_1$  قابو کرتا ہے۔ یوں  $Q_2$  تابع ماسفیٹ ہے۔ مخلوط دور میں دونوں ماسفیٹ کے  $k'_n$  اور  $V_t$  یکساں ہوتے ہیں۔ یوں  $\left(\frac{W}{L}\right)_2$  اور  $\left(\frac{W}{L}\right)_1$  کی شرح سے  $I_{عکس}$  اور  $I_{حوالہ}$  کی شرح تعین ہوتی ہے۔

مندرجہ بالا تبصرے میں الہ برقی دباؤ کے اثر کو نظر انداز کرتے ہوئے تصور کیا گیا کہ دو ماسفیٹ کے  $V_{GS}$  برابر ہونے کی صورت میں ان کے  $I_{DS}$  بھی برابر ہوتے ہیں۔ حقیقت میں ایسا نہیں ہوتا اور دو ماسفیٹ جن کے

current mirror<sup>43</sup>



شکل 4.47: ماسفیٹ کا خط



شکل 4.48: آئینہ برقی رو

$V_{GS}$  برابر ہوں کے برقی رو صرف اور صرف اسی وقت برابر ہوتے ہیں جب ان کے  $V_{DS}$  بھی برابر ہوں۔ شکل 4.47 میں ماسفیٹ  $Q_2$  کے خط دکھائے گئے ہیں۔  $V_{GS2}$  کی قیمت  $V_{GS1}$  کے برابر ہے جو قطعی مقدار ہے لہذا ان تمام خطوط میں صرف ایک ہی خط کارآمد ہے۔ اس خط کو موٹا کر کے دکھایا گیا ہے۔ آپ دیکھ سکتے ہیں کہ  $V_{GS}$  تبدیل کئے بغیر  $V_{DS}$  کے بڑھانے سے  $I_{DS}$  بڑھتی ہے۔  $V_{DS2}$  کے تبدیلی سے  $I$  میں تبدیلی کو ماسفیٹ کے خارجی مزاحمت  $r_o$  کی مدد سے حاصل کیا جاسکتا ہے۔

شکل 4.48 الف میں  $R_{حوالہ}$  کی جگہ دوسرا منبع مستقل برقی رو کا استعمال کیا گیا ہے۔  $Q_1$  میں  $I_{حوالہ}$  برقی رو پائی جاتی ہے۔ افزائندہ ماسفیٹ کی مساوات سے  $Q_1$  کی  $V_{GS}$  حاصل کی جاسکتی ہے جو  $Q_2$  پر بھی لاگو ہے۔ یوں آپ دیکھ سکتے ہیں کہ اس صورت میں بھی

$$I_{حوالہ} = I_{عس}$$

ہو گا۔ اس شکل میں مثبت برقی منبع کو  $V_+$  اور منفی کو  $V_-$  لکھا گیا ہے۔ شکل ب میں pMOSFET استعمال کرتے ہوئے آئینہ برقی رو بنایا گیا ہے جس کی کارکردگی بالکل nMOSFET سے بنائے گئے آئینہ برقی رو کی طرح ہے۔ فرق صرف اتنا ہے کہ nMOSFET میں عکس  $I$  کی سمت آئینہ کے جانب ہے جبکہ pMOSFET آئینہ میں عکس  $I$  کی سمت آئینہ سے باہر کو ہے۔

مثال 4.27: منبع مستقل برقی رو میں

$$V_{DD} = 15 \text{ V}, \quad k_n = 0.12 \frac{\text{mA}}{\text{V}^2}, \quad V_t = 2.1 \text{ V}$$

ہیں۔  $I_{\text{عکس}} = 2 \text{ mA}$  حاصل کرنے کے لئے درکار  $R_{\text{حوالہ}}$  حاصل کریں۔

حل:  $I_{\text{حوالہ}} = I_{\text{عکس}}$  لیتے ہوئے مساوات 4.87

$$2 \times 10^{-3} = \frac{0.12 \times 10^{-3}}{2} (V_{GS1} - 2.1)^2$$

سے

$$V_{GS1} = 7.8735 \text{ V}, \quad -3.67 \text{ V}$$

حاصل ہوتے ہیں۔ منفی جواب کو رد کیا جاتا ہے چونکہ یہ  $V_t$  سے کم ہے جس سے ماسفیٹ منقطع حالت میں ہو گا۔ مثبت جواب کو لیتے ہوئے مساوات 4.87 کو استعمال کرتے ہوئے

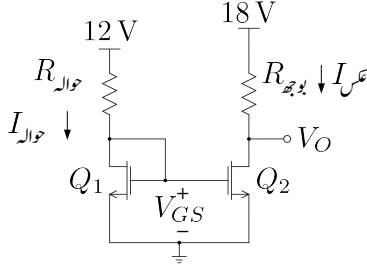
$$2 \times 10^{-3} = \frac{15 - 7.8735}{R_{\text{حوالہ}}}$$

سے  $R_{\text{حوالہ}} = 5.66 \text{ k}\Omega$  حاصل ہوتا ہے۔

مثال 4.28: شکل 4.49 میں دونوں ماسفیٹ کے  $k_n = 0.2 \frac{\text{mA}}{\text{V}^2}$  اور  $V_t = 1.7 \text{ V}$  ہیں۔ مزید یہ کہ

$R_{\text{حوالہ}} = 6.8 \text{ k}\Omega$  اور  $R_{\text{بوجھ}} = 4.7 \text{ k}\Omega$  ہیں۔ عکس  $I$  اور  $V_O$  حاصل کریں۔





شکل 4.49: منبع مستقل برقی رو کی مثال

حل:  $V_{DS1} = V_{GS1}$  لیتے ہوئے

$$\frac{12 - V_{GS1}}{6800} = \frac{0.2 \times 10^{-3}}{2} (V_{GS1} - 1.7)^2$$

سے

$$V_{GS1} = 4.926 \text{ V}, \quad -2.99 \text{ V}$$

حاصل ہوتا ہے۔  $-2.99 \text{ V}$  کو رد کیا جاتا ہے چونکہ اس طرح  $V_{GS1} < V_t$  حاصل ہوتا ہے جو منقطع ماسفیٹ کو ظاہر کرتا ہے۔ مساوات 4.87 اور 4.88 دونوں استعمال کرتے ہوئے  $V_{GS1} = 4.926 \text{ V}$  پر برقی رو حاصل کرتے ہیں۔ ظاہر ہے دونوں جوابات برابر ہوں گے۔

$$I_{DS1} = \frac{12 - 4.926}{6800} = 1.04 \text{ mA}$$

$$I_{DS1} = \frac{0.2 \times 10^{-3}}{2} (4.926 - 1.7)^2 = 1.04 \text{ mA}$$

چونکہ یہ آئینہ برقی رو ہے لہذا

$$I_{عکس} = I_{حوالہ} = 1.04 \text{ mA}$$

ہو گا۔  $Q_2$  کے ڈرین پر

$$\begin{aligned} V_O = V_{DS2} &= 17 - I_{DS2} R_{بوجھ} \\ &= 17 - 1.04 \times 10^{-3} \times 4700 \\ &= 12.1 \text{ V} \end{aligned}$$

ہیں۔ یوں  $Q_2$  کا

$$V_{GD2} = V_{GS2} - V_{DS2} = 4.925 - 12.1 = -7.1 \text{ V}$$

حاصل ہوتا ہے۔ چونکہ  $V_{GD2} < V_t$  ہے لہذا  $Q_2$  افزائندہ خطے میں ہی ہے۔

مثال 4.29: مندرجہ بالا مثال میں بوجھ  $R_{بوجھ}$  کی وہ قیمت حاصل کریں جس پر  $Q_2$  افزائندہ خطے سے نکل آئے گا۔

حل:  $Q_2$  اس وقت تک افزائندہ رہے گا جب تک  $V_{GD2} < V_t$  ہو۔ چونکہ  $V_{GS2} = V_{GS1} = 4.925 \text{ V}$  ہی رہے گا جبکہ

$$\begin{aligned} V_{DS2} &= 17 - I_{DS2} R_{بوجھ} \\ &= 17 - 1.04 \times 10^{-3} \times R_{بوجھ} \end{aligned}$$

کے برابر ہے۔ یوں  $Q_2$  اس وقت افزائندہ خطے سے باہر نکلے گا جب

$$\begin{aligned} V_{GD2} &= V_{GS2} - V_{DS2} > V_t \\ &= 4.925 - (17 - 1.04 \times 10^{-3} \times R_{بوجھ}) > 1.7 \end{aligned}$$

ہو گا۔ یوں تقریباً  $R_{بوجھ} > 13.24 \text{ k}\Omega$  حاصل ہوتا ہے۔ مثال کے طور پر اگر بوجھ کی مزاحمت  $15 \text{ k}\Omega$  کر دیا جائے تب  $V_{DS2} = 1.4 \text{ V}$  اور  $V_{GD2} = 3.5 \text{ V}$  حاصل ہوتا ہے جو کہ  $V_t$  سے زیادہ ہے یعنی ماسفیٹ افزائندہ خطے میں نہیں ہے۔

مثال 4.30: مثال 4.28 میں  $V_{DS1} = 4.926 \text{ V}$ ،  $V_{DS2} = 12.1 \text{ V}$  اور  $I_{عس} = 1.04 \text{ mA}$  حاصل ہوئے۔  $V_A = 50 \text{ V}$  کی صورت میں  $I_{عس}$  حاصل کردہ قیمت سے کتنا انحراف کرے گا۔

حل: ماسفیٹ کا خارجی مزاحمت تقریباً

$$r_o = \frac{50}{1.04 \times 10^{-3}} \approx 48 \text{ k}\Omega$$

ہے۔ اگر  $V_{DS2}$  کی قیمت 4.926 V ہو تا تب تو  $I_{DS2}$  بھی 1.04 mA ہوتا۔ البتہ  $V_{DS2}$

$$12.1 - 4.926 = 7.175 \text{ V}$$

زیادہ ہے لہذا ماسفیٹ کے خارجی مزاحمت کی تعریف

$$r_o = \frac{\Delta V_{DS}}{\Delta I_{DS}}$$

سے

$$\Delta I_{DS} = \frac{7.175}{48000} \approx 149 \mu\text{A}$$

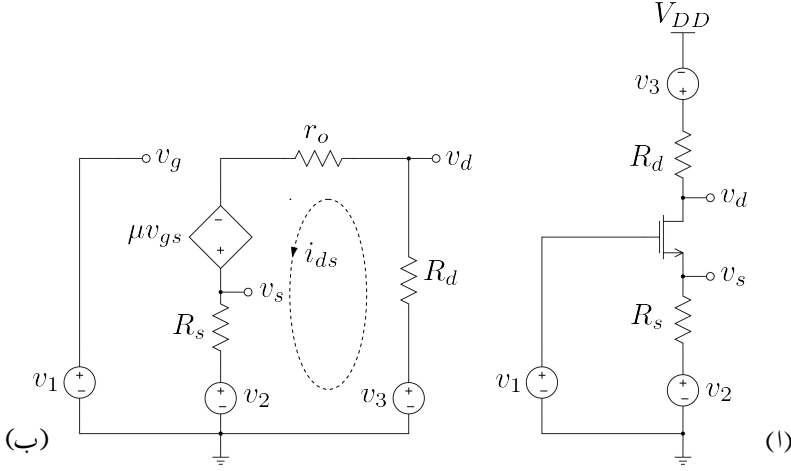
ہو گا۔ یوں

$$I_{\text{حوالہ}} = 1.04 \text{ mA} + 149 \mu\text{A} = 1.189 \text{ mA}$$

ہو گا۔

#### 4.15 مزاحمت کے عکس

دو جوڑ ٹرانزسٹر کے حصہ 3.8 میں آپ نے دیکھا کہ ٹرانزسٹر کے ایمر پر پائے جانے والے بیرونی مزاحمت  $R_E$  کا ٹرانزسٹر کے بیس جانب عکس  $(\beta + 1) R_E$  نظر آتا ہے۔ اسی طرح ٹرانزسٹر کے ایمر پر اس کے اندرونی مزاحمت  $r_e$  کا عکس ٹرانزسٹر کے بیس جانب  $(\beta + 1) r_e$  نظر آتا ہے جسے  $r_{be}$  لکھا جاتا ہے۔ ٹرانزسٹر کے بیس جانب بیرونی جڑے مزاحمت  $R_B$  کا عکس ٹرانزسٹر کے ایمر جانب  $\frac{R_B}{\beta + 1}$  نظر آتا ہے۔ اسی طرح ٹرانزسٹر کے بیس جانب ٹرانزسٹر کی اندرونی مزاحمت  $r_{be}$  کا عکس ٹرانزسٹر کے ایمر جانب  $\frac{r_{be}}{\beta + 1}$  نظر آتا ہے جسے  $r_e$  لکھا جاتا ہے۔ برقی دباؤ کا عکس بیس سے ایمر یا ایمر سے بیس جانب تبدیلی کے بغیر جوں کا توں نظر آتا ہے۔



شکل 4.50: مزاحمت کے عکس

ماسفیٹ میں مزاحمت کے عکس پر گفتگو کرنے کی خاطر شکل 4.50 الف پر غور کرتے ہیں۔ اس دور میں ماسفیٹ کے تینوں سروں پر اشارات فراہم کئے گئے ہیں تاکہ مختلف ممکنات کو دیکھا جاسکے۔ ماسفیٹ مائل کرنے والے اجزاء کو شامل نہیں کیا گیا ہے تاکہ اصل موضوع پر توجہ رہے۔

شکل ب میں اس کا باریک اشاراتی مساوی دور دکھایا گیا ہے جسے دیکھتے ہوئے

$$i_{ds} = \frac{\mu v_{gs} + v_3 - v_2}{R_s + r_o + R_d}$$

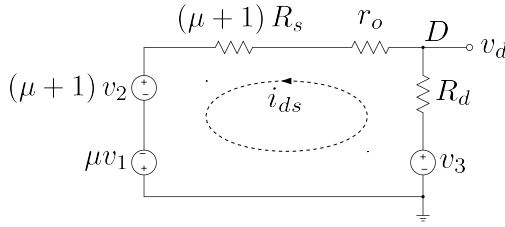
لکھا جاسکتا ہے جہاں

$$v_{gs} = v_1 - i_{ds}R_s - v_2$$

کے برابر ہے۔ ان دو مساوات کو ملا کر حاصل ہوتا ہے

$$(4.92) \quad i_{ds} = \frac{\mu v_1 + v_3 - (\mu + 1)v_2}{(\mu + 1)R_s + r_o + R_d}$$

مساوات 4.92 سے شکل 4.51 حاصل ہوتا ہے۔ اس شکل کو دیکھتے ہوئے یہ حقیقت سامنے آتی ہے کہ ڈرین پر پائے جانے والے  $v_3$ ،  $r_o$  اور  $R_d$  جوں کے توں ہیں جبکہ سورس پر پائے جانے والے  $v_1$  اور  $R_s$  دونوں



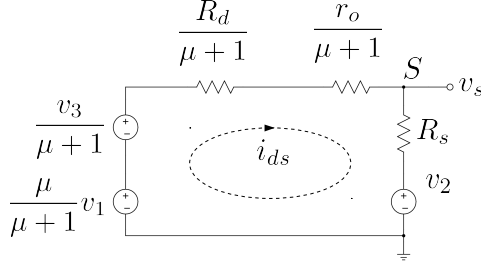
شکل 4.51: ڈرین جانب عکس

$(\mu + 1)$  سے ضرب شدہ ہیں جبکہ گیٹ پر پائے جانے والا  $v_1$  صرف  $\mu$  سے ضرب شدہ ہے۔ ڈرین پر پائے جانے والے اجزاء جوں کے توں ہیں لہذا یہ شکل ڈرین سے دیکھتے ہوئے نظر آئے گی۔ اس طرح ڈرین سے دیکھتے ہوئے سورس پر پائے جانے والا مزاحمت اور برقی اشارہ دونوں کا عکس  $(\mu + 1)$  سے ضرب ہوتا نظر آئے گا جبکہ گیٹ پر برقی اشارہ صرف  $\mu$  سے ضرب ہوتا نظر آئے گا۔

مساوات 4.92 کے کسر میں اوپر اور نیچے دونوں حصوں کو  $\mu + 1$  سے تقسیم کرتے ہوئے یوں لکھا جاسکتا ہے

$$(4.93) \quad i_{ds} = \frac{\frac{\mu v_1}{\mu+1} + \frac{v_3}{\mu+1} - v_2}{R_s + \frac{r_o}{\mu+1} + \frac{R_d}{\mu+1}}$$

جس سے شکل 4.52 حاصل ہوتا ہے۔ یہاں آپ دیکھ سکتے ہیں کہ سورس کا مزاحمت  $R_s$  اور اشارہ  $v_2$  جوں کے توں ہیں جبکہ ڈرین اور گیٹ کے اشارات اور مزاحمت کے عکس نظر آتے ہیں۔ اس طرح سورس سے دیکھتے ہوئے ڈرین کے اجزاء یعنی  $v_3$ ،  $R_d$  اور  $r_o$  تینوں  $(\mu + 1)$  سے تقسیم ہوتے نظر آتے ہیں۔ جیسے گزشتہ شکل میں دیکھا گیا تھا کہ  $v_1$  کا عکس ڈرین پر  $\mu$  سے ضرب ہوتا نظر آتا ہے اور ڈرین پر پائے جانے والے اس عکس کا سورس جانب عکس  $(\mu + 1)$  سے تقسیم ہوتا ہے۔



شکل 4.52: سورس جانب عکس

## 4.16 تابع سورس (ڈرین مشترک ایمپلیفائر)

نقطہ مائل

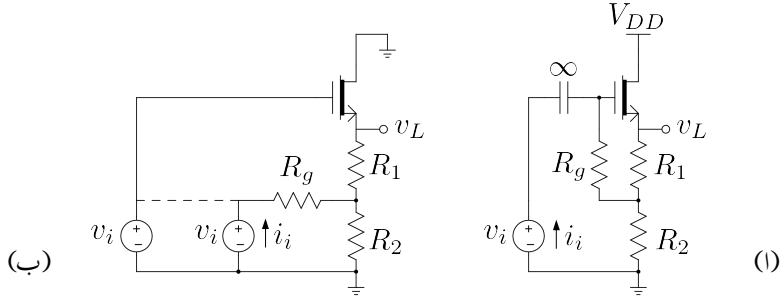
شکل 4.53 الف میں گھٹانا ماسفیٹ کا تابع سورس ایمپلیفائر دکھایا گیا ہے۔ یہاں  $nFET$  بھی استعمال کیا جاسکتا تھا۔ ایسا دور منفی  $V_{GSQ}$  مہیا کرنے کی خاطر استعمال کیا جاتا ہے۔ یکے سمتی رو خط بوجھ لکھتے ہیں۔

$$(4.94) \quad V_{DD} = v_{DS} + i_{DS} (R_1 + R_2)$$

نقطہ مائل یک سمتی مقداروں سے حاصل ہوتا ہے۔ مزاحمت  $R_g$  میں صفر یک سمتی برقی رو ہونے کی وجہ سے اس کے دونوں سروں پر برابر یک سمتی برقی دباؤ پایا جائے گا۔ شکل الف میں  $R_g$  کے نچلے سرے پر  $I_{DSQ}R_2$  برقی دباؤ پایا جاتا ہے اور یوں ماسفیٹ کے گیٹ پر بھی یہی برقی دباؤ ہو گا۔ ماسفیٹ کے سورس پر  $I_{DSQ} (R_1 + R_2)$  برقی دباؤ ہے۔ یوں ماسفیٹ کے لئے ہم لکھ سکتے ہیں

$$(4.95) \quad \begin{aligned} V_{GSQ} &= V_{GQ} - V_{SQ} \\ &= I_{DSQ} (R_2) - I_{DSQ} (R_1 + R_2) \\ &= -I_{DSQ} R_1 \end{aligned}$$

عموماً  $V_{GSQ}$  چند وولٹ کے برابر ہو گا جبکہ  $V_{DSQ}$  تقریباً  $V_{DD}$  کے نصف کے برابر ہو گا۔ یوں کسی بھی حقیقی ایمپلیفائر میں  $R_1 \ll R_2$  ہو گا۔



شکل 4.53: تابع سورس

انفرانش  $A_v$ 

شکل 4.53 ب میں باریک اشاراتی مساوی دور بنانے کی غرض سے  $V_{DD}$  اور گیٹ کپیسٹر کو قصر دور کیا گیا ہے۔ مزید گیٹ اور سورس کو علیحدہ کرنے کی خاطر  $v_i$  کو دو مرتبہ بنایا گیا ہے جہاں نقطہ دار لکیر کے دونوں سروں پر ہر وقت برابر برقی اشارہ  $v_i$  پایا جاتا ہے۔ نقطہ دار لکیر کو مٹانے سے گیٹ اور سورس دونوں جانب کوئی تبدیلی نہیں پیدا ہوتی چونکہ دونوں جانب  $v_i$  اپنی جگہ پر برقرار پایا جاتا ہے۔ یوں شکل 4.52 کے طرز پر باریک اشاراتی مساوی دور بناتے ہوئے شکل 4.54 الف حاصل ہوتا ہے۔ اس شکل میں تمام اجزاء کو سورس منتقل کیا گیا ہے۔  $R_2$ ،  $R_g$  اور  $v_i$  کی جگہ ان کا تھونن مساوی دور استعمال کرتے ہوئے شکل 4.54 ب حاصل ہوتا ہے جہاں

$$v_{th} = \frac{R_2 v_i}{R_2 + R_g}$$

$$R_{th} = \frac{R_2 R_g}{R_2 + R_g} = R_2 \parallel R_g$$

کے برابر ہیں۔ شکل 4.54 ب میں

$$R_s = R_1 + (R_2 \parallel R_g)$$

لکھتے ہوئے

(4.96)

$$i_{ds} = \frac{\left[ \frac{\mu}{\mu+1} - \frac{R_2}{R_2 + R_g} \right] v_i}{\frac{r_o}{\mu+1} + R_s}$$

$$v_L = i_{ds} R_s + \frac{R_2}{R_2 + R_g} v_i$$

لکھا جاسکتا ہے جس سے

$$v_L = \left[ \frac{\frac{\mu}{\mu+1} - \frac{R_2}{R_2+R_g}}{\frac{r_o}{\mu+1} + R_s} \right] R_s v_i + \frac{R_2}{R_2 + R_g} v_i$$

حاصل ہوتا ہے۔ جس سے  $A_v = \frac{v_L}{v_i}$  یوں حاصل ہوتا ہے۔

$$(4.97) \quad A_v = \frac{\left( \frac{\mu}{\mu+1} \right) R_s + \left( \frac{R_2}{R_2+R_g} \right) \left( \frac{r_o}{\mu+1} \right)}{\frac{r_o}{\mu+1} + R_s}$$

چونکہ  $\mu = g_m r_o$  کے برابر ہے لہذا  $\frac{r_o}{\mu+1} \approx \frac{1}{g_m}$  لکھا جاسکتا ہے جس سے مندرجہ بالا مساوات کو یوں بھی لکھ سکتے ہیں۔

$$(4.98) \quad A_v = \frac{g_m \left( \frac{\mu}{\mu+1} \right) R_s + \left( \frac{R_2}{R_2+R_g} \right)}{1 + g_m R_s}$$

اگر  $R_g \gg R_2$  ہو، جیسا کہ عموماً ہوتا ہے، تب  $\frac{R_2}{R_2+R_g}$  کو نظر انداز کرتے ہوئے اس مساوات کو یوں لکھا جاسکتا ہے۔

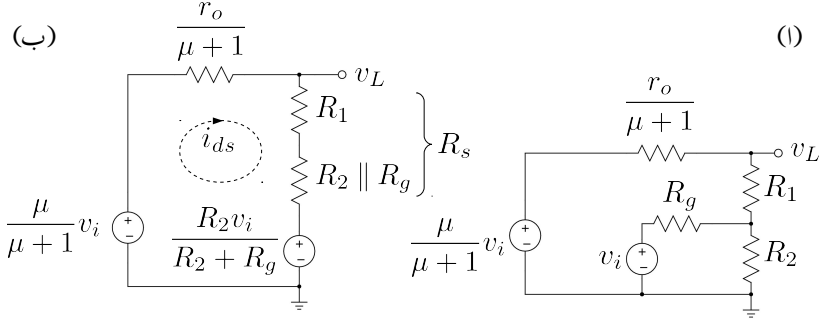
$$(4.99) \quad A_v \approx \frac{g_m \left( \frac{\mu}{\mu+1} \right) R_s}{1 + g_m R_s}$$

عموماً  $R_g \gg R_2$  اور یوں  $R_s \approx R_1 + R_2$  لکھا جاسکتا ہے۔ اگر  $g_m R_s \gg 1$  بھی ہو تب مندرجہ بالا مساوات کو

$$(4.100) \quad A_v \approx \frac{\mu}{\mu+1} \approx 1$$

لکھا جاسکتا ہے۔ اس مساوات سے صاف ظاہر ہے کہ ماسفیٹ کے تابع سورس امپلیفائر کا خارجی اشارہ بھی خوش اسلوبی سے داخلی اشارے کی پیروی کرتا ہے۔ دو جوڑ ٹرانزسٹر کی طرح ماسفیٹ کے مشترکہ ڈرین امپلیفائر کا  $A_v$  بھی تقریباً ایک کے برابر ہے۔





شکل 4.54: تابع سورس کا مساوی باریک اشاراتی دور

خارجی مزاحمت

شکل 4.54 ب کو دیکھتے ہوئے خارجی مزاحمت یوں لکھی جاسکتی ہے۔

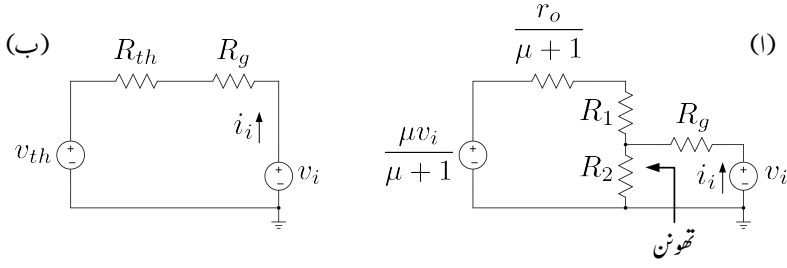
$$\begin{aligned}
 R_o &= \frac{r_o}{\mu + 1} \parallel R_s \\
 &= \frac{1}{g_m} \parallel R_s
 \end{aligned}
 \quad (4.101)$$

اگر  $R_s \gg \frac{1}{g_m}$  ہو تب اسے یوں لکھا جاسکتا ہے۔

$$R_o \approx \frac{1}{g_m} \quad (4.102)$$

داخلی مزاحمت

داخلی مزاحمت شکل 4.53 الف میں  $\frac{v_i}{i_i}$  سے حاصل ہوگی۔ چونکہ گیٹ کی برقی رو صفر ہوتی ہے لہذا  $i_i$  وہ برقی رو ہے جو مزاحمت  $R_g$  سے گزرتی ہے۔ شکل 4.53 ب میں اس کی نشاندہی کی گئی ہے۔ چونکہ اس شکل میں  $v_i$  دو جگہ نظر آتا ہے لہذا یہ ضروری ہے کہ  $R_g$  کے ساتھ جڑی  $v_i$  پر نظر رکھی جائے۔



شکل 4.55: سورس کا داخلی مزاحمت

شکل 4.54 الف کو قدر مختلف طرز پر شکل 4.55 الف میں دکھایا گیا ہے جہاں مطلوبہ  $v_i$  اور  $i_i$  کی وضاحت کی گئی ہے۔  $R_g$  کے بائیں جانب کا تھونن مساوی دور لیتے ہوئے

$$(4.103) \quad v_{th} = \frac{R_2 \left( \frac{\mu}{\mu+1} \right) v_i}{R_1 + R_2 + \frac{r_o}{\mu+1}}$$

$$R_{th} = R_2 \parallel \left( \frac{r_o}{\mu+1} + R_1 \right)$$

حاصل ہوتا ہے۔ شکل 4.55 ب میں حاصل کردہ تھونن دور استعمال کیا گیا ہے۔ یوں

$$i_i = \frac{v_i - v_{th}}{R_g + R_{th}}$$

$$= \frac{v_i - \frac{R_2 \left( \frac{\mu}{\mu+1} \right) v_i}{R_1 + R_2 + \frac{r_o}{\mu+1}}}{R_g + R_2 \parallel \left( \frac{r_o}{\mu+1} + R_1 \right)}$$

لکھتے ہوئے داخلی مزاحمت  $R_i$  یوں حاصل ہوتا ہے۔

$$(4.104) \quad R_i = \frac{v_i}{i_i} = \frac{R_g + R_2 \parallel \left( \frac{r_o}{\mu+1} + R_1 \right)}{1 - \frac{R_2 \left( \frac{\mu}{\mu+1} \right)}{R_1 + R_2 + \frac{r_o}{\mu+1}}}$$

اس مساوات میں  $\frac{r_o}{\mu+1} \approx \frac{1}{g_m}$  پر کرنے سے

$$(4.105) \quad R_i = \frac{R_g + R_2 \parallel \left( \frac{1}{g_m} + R_1 \right)}{1 - \frac{g_m R_2 \left( \frac{\mu}{\mu+1} \right)}{g_m (R_1 + R_2) + 1}}$$

حاصل ہوتا ہے۔ اگر  $R_g \gg R_2$  اور  $g_m (R_1 + R_2) \gg 1$  ہوں، جیسا کہ عموماً ہوتا ہے، تب اس مساوات کو

$$(4.106) \quad R_i \approx \frac{R_g}{1 - \frac{R_2 \left( \frac{\mu}{\mu+1} \right)}{R_1 + R_2}}$$

لکھا جاسکتا ہے۔ اگر ساتھ ہی ساتھ  $R_2 \gg R_1$  ہو تب اس سے مزید سادہ مساوات یوں حاصل ہوتی ہے۔

$$(4.107) \quad R_i \approx (\mu + 1) R_g$$

مثال 3.55 میں بیس سے امیٹر مزاحمت جوڑنے سے داخلی مزاحمت میں اضافہ ہوتا دکھایا گیا۔ یہاں بھی ایسا کرنے سے داخلی مزاحمت کی قیمت  $R_g$  سے زیادہ ہو جاتی ہے۔

مثال 4.31: شکل 4.53 الف میں استعمال کئے جانے والے ماسفیٹ کے  $V_t = k_n = 0.2 \frac{\text{mA}}{\text{V}^2}$  اور  $r_o = 90 \text{ k}\Omega$  ہیں۔  $15 \text{ V}$  کی منبع استعمال کرتے ہوئے  $I_{DSQ} = 0.4 \text{ mA}$ ،  $V_{DSQ} = 10 \text{ V}$  اور  $R_i = 200 \text{ k}\Omega$  حاصل کرنے کی خاطر درکار مزاحمت حاصل کریں۔

حل:

$$I_{DSQ} = \frac{k_n}{2} (V_{GS} - V_t)^2$$

$$0.0004 = \frac{0.0002}{2} (V_{GSQ} + 3)^2$$

سے

$$V_{GSQ} = -5 \text{ V}, \quad -1 \text{ V}$$

حاصل ہوتے ہیں۔  $V_{GSQ} = -5V$  کو رد کیا جاتا ہے چونکہ یہ قیمت  $V_t$  سے کم ہے جس سے ماسفیٹ منقطع ہو جاتا ہے۔ یوں مساوات 4.95 کے تحت  $R_1 = 2.5k\Omega$  حاصل ہوتا ہے۔ مساوات 4.94 کی مدد سے

$$\begin{aligned} R_1 + R_2 &= \frac{V_{DD} - V_{DSQ}}{I_{DSQ}} \\ &= \frac{15 - 10}{0.4 \times 10^{-3}} \\ &= 12.5k\Omega \end{aligned}$$

حاصل ہوتا ہے اور یوں  $R_2 = 10k\Omega$  ہو گا۔ چونکہ

$$V_{GD} = V_{GS} - V_{DS} = -1 - 10 = -11V < V_t$$

ہے لہذا ماسفیٹ کو افزائندہ خطے میں ٹھیک تصور کیا گیا تھا۔

مساوات 4.67 سے

$$g_m = \sqrt{2k_n I_{DS}} = \sqrt{2 \times 0.2 \times 10^{-3} \times 0.4 \times 10^{-3}} = 0.4mS$$

اور یوں  $\mu = g_m r_o = 36$  حاصل ہوتا ہے۔  $R_g \gg R_2$  تصور کرتے ہوئے  $R_s \approx R_1 + R_2 = 12.5k\Omega$  حاصل ہوتا ہے اور یوں مساوات 4.99 سے

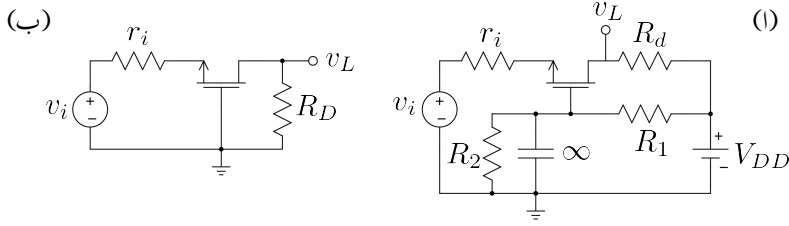
$$A_v \approx \frac{0.4 \times 10^{-3} \left( \frac{36}{36+1} \right) 12.5 \times 10^3}{1 + 0.4 \times 10^{-3} \times 12.5 \times 10^3} = 0.81 \frac{V}{V}$$

حاصل ہوتا ہے۔

مساوات 4.106 کی مدد سے  $R_i = 200k\Omega$  حاصل کرنے کی خاطر

$$200000 = \frac{R_g}{1 - \frac{10000 \left( \frac{36}{36+1} \right)}{2500 + 10000}}$$

سے  $R_g = 44k\Omega$  حاصل ہوتا ہے۔



شکل 4.56: گیٹ مشترک ایمپلیفائر

## 4.17 گیٹ مشترک ایمپلیفائر

شکل 4.56 الف میں گیٹے مشترک ایمپلیفائر دکھایا گیا ہے جبکہ شکل ب میں اسی کا مساوی بدلتی رو دور دکھایا گیا ہے۔ گیٹ پر نسب کپیسٹر کی قیمت لامحدود دکھائی گئی ہے۔ یوں درکار تعدد پر کپیسٹر کو قصر دور تصور کیا گیا ہے۔ شکل ب کا شکل 4.50 کے ساتھ موازنہ کریں۔ یہاں  $v_1$  اور  $v_3$  صفر وولٹ ہیں جبکہ  $v_2$  کو  $v_i$  کہا گیا ہے۔ لہذا تمام اجزاء کو ڈرین میں منتقل کرتے ہوئے شکل 4.51 کے طرز پر شکل 4.57 الف حاصل ہوتا ہے۔ اسی طرح سورس جانب کا عکس شکل ب میں دکھایا گیا ہے۔

شکل 4.57 الف کو دیکھتے ہوئے ہم لکھ سکتے ہیں

$$v_L = \frac{R_d}{(\mu + 1)r_i + r_o + R_d} (\mu + 1) v_i$$

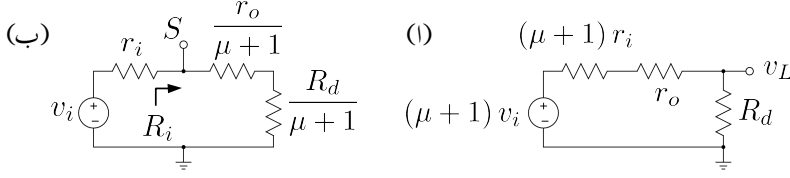
جس سے افزائش  $A_v = \frac{v_L}{v_i}$  یوں لکھی جاسکتی ہے

$$A_v = \frac{(\mu + 1) R_d}{(\mu + 1) r_i + r_o + R_d}$$

شکل 4.57 ب سے ایمپلیفائر کا داخلی مزاحمت لکھا جاسکتا ہے یعنی

$$R_i = \frac{r_o + R_d}{\mu + 1}$$

گیٹ مشترک ایمپلیفائر بلند تعدد پر استعمال ہوتا ہے۔ یہ بطور برقی سوئچ بھی استعمال کیا جاتا ہے۔



شکل 4.57: گیٹ مشترک ایمپلیفائر کے ڈرین اور سورس جانب عکس

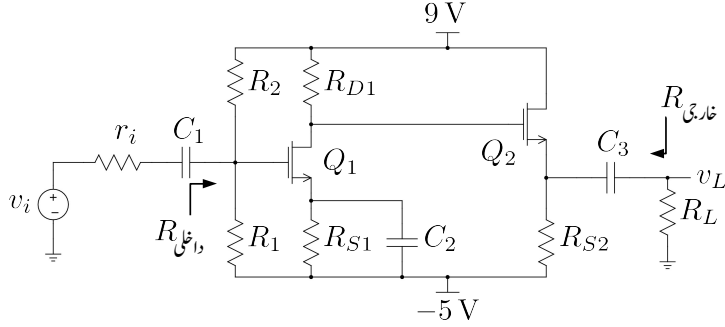
#### 4.18 زنجیری ایمپلیفائر

ایک سے زیادہ ایمپلیفائر کو زنجیر کی شکل میں جوڑ کر زیادہ سے زیادہ افزائش حاصل کرنا ممکن ہوتا ہے۔ ایسے زنجیری ایمپلیفائر میں عموماً داخلی جانب پہلی کڑی، درکار داخلی مزاحمت فراہم کرنے کی غرض سے تخلیق دیا جاتا ہے جبکہ آخری کڑی کو درکار خارجی مزاحمت کے لئے تخلیق دیا جاتا ہے۔ درمیانی کڑیاں درکار افزائش حاصل کرنے کے لئے تخلیق دیں جاتی ہیں۔

مثال 4.32: شکل 4.58 میں دو بالکل یکساں ماسفیٹ استعمال کرتے ہوئے، پہلی کڑی سورس مشترک اور دوسری کڑی ڈرین مشترک ایمپلیفائر سے تخلیق دی گئی ہے۔  $k_n = 0.6 \frac{\text{mA}}{\text{V}^2}$  اور  $V_t = 1 \text{ V}$  ہیں۔  $I_{DS1} = 0.12 \text{ mA}$ ،  $I_{DS2} = 1.2 \text{ mA}$  اور  $V_{DS1} = V_{DS2} = 5 \text{ V}$  حاصل کرنے کے لئے درکار  $R_{D1}$ ،  $R_{S1}$  اور  $R_{S2}$  حاصل کریں۔  $R_{\text{داخلی}} = 150 \text{ k}\Omega$  حاصل کرنے کے لئے درکار  $R_1$  اور  $R_2$  حاصل کریں۔ تمام کپیسٹروں کی قیمت لامحدود تصور کریں۔

حل:  $Q_2$  کے خارجی جانب کرخوف کے قانون برائے برقی دباو سے

$$\begin{aligned} 9 + 5 &= V_{DS2} + I_{DS2} R_{S2} \\ &= 5 + 1.2 \times 10^{-3} R_{S2} \end{aligned}$$



شکل 4.58: دو کڑی زنجیری ماسفیٹ ایپلیٹائر

سے  $R_{S2} = 7.5 \text{ k}\Omega$  حاصل ہوتا ہے۔ افزائندہ ماسفیٹ کی مساوات سے

$$1.2 \times 10^{-3} = \frac{0.6 \times 10^{-3}}{2} (V_{GS2} - 1)^2$$

سے  $V_{GS2} = 3 \text{ V}$  حاصل ہوتا ہے۔  $Q_2$  کے سورس پر برقی دباؤ

$$V_{S2} = 9 - V_{DS2} = 9 - 5 = 4 \text{ V}$$

ہے یوں اس کے گیٹ پر

$$V_{G2} = V_{S2} + V_{GS2} = 4 + 3 = 7 \text{ V}$$

ہوں گے جو  $V_{D1}$  کے برابر ہے۔ یوں مزاحمت  $R_{D1}$  پر اوہم کے قانون سے

$$9 - V_{D1} = I_{DS1} R_{D1}$$

$$9 - 7 = 0.12 \times 10^{-3} R_{D1}$$

لہذا  $V_{DS1} = 5 \text{ V}$  حاصل ہوتا ہے۔ چونکہ  $R_{D1} = 16.7 \text{ k}\Omega$

$$V_{S1} = V_{D1} - V_{DS1} = 7 - 5 = 2 \text{ V}$$

اور  $R_{S1}$  پر اوہم کے قانون سے

$$V_{S1} - (-5) = I_{DS1} R_{S1}$$

$$7 = 0.12 \times 10^{-3} R_{S1}$$

$R_{S1} = 58.3 \text{ k}\Omega$  حاصل ہوا ہے۔  $Q_1$  کو افزائندہ تصور کرتے ہوئے افزائندہ ماسفیٹ کی مساوات سے

$$0.12 \times 10^{-3} = \frac{0.6 \times 10^{-3}}{2} (V_{GS1} - 1)^2$$

سے  $V_{GS1} = 1.632 \text{ V}$  حاصل ہوتے ہیں لہذا

$$V_{G1} = V_{S1} + V_{GS1}$$

$$2 + 1.632 = 3.632 \text{ V}$$

حاصل ہوتا ہے۔  $V_{G1}$  کے لئے ہم لکھ سکتے ہیں

$$V_{G1} = 3.632 = \left[ \frac{9 - (-5)}{R_1 + R_2} \right] R_1 - 5$$

چونکہ  $R_{\text{اِغلی}} = R_1 \parallel R_2$  کے برابر ہے جس کی قیمت  $150 \text{ k}\Omega$  درکار ہے لہذا

$$150 \times 10^3 = \frac{R_1 \times R_2}{R_1 + R_2}$$

مندرجہ بالا دو مساوات سے  $R_2 = 243 \text{ k}\Omega$  اور  $R_1 = 392 \text{ k}\Omega$  حاصل ہوتے ہیں۔

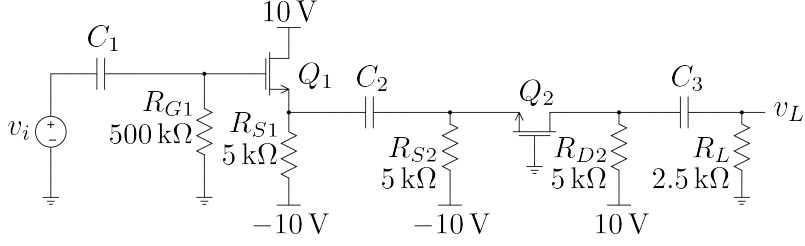
مثال 4.33: شکل 4.59 میں  $k_{n1} = k_{n2} = 3 \frac{\text{mA}}{\text{V}^2}$  اور  $V_{t1} = V_{t2} = 2 \text{ V}$  لیتے ہوئے  
 $g_{m1}, g_{m2}, I_{DS1}, I_{DS2}$  حاصل کریں۔ ان قیمتوں کو استعمال کرتے ہوئے کل افزائش  $A_v = \frac{v_L}{v_i}$  حاصل کریں۔

حل: ماسفیٹ کو افزائندہ تصور کرتے ہوئے بدلتے متغیرات کی قیمت صفر کرتے ہوئے نقطہ مائل حاصل کرنے کی غرض سے  $Q_1$  کے لئے لکھا جاسکتا ہے

$$V_{G1} = 0$$

$$V_{S1} = -10 + I_{DS1} R_{S1} = -10 + 5000 I_{DS1}$$





شکل 4.59: دو کڑی زنجیری مشترک ڈرین، مشترک گیٹ ایمپلیٹائر

جس سے

$$V_{GS1} = V_{G1} - V_{S1} = 10 - 5000I_{DS1}$$

حاصل ہوتا ہے۔ یوں افزائندہ ماسفیٹ کی مساوات

$$I_{DS1} = \frac{0.003}{2} (10 - 5000I_{DS1} - 2)^2$$

سے  $I_{DS1} = 0.73 \text{ mA}$  اور

$$g_{m1} = \sqrt{2k_{n1}I_{DS1}} = \sqrt{2 \times 0.003 \times 0.00073} = 2.09 \text{ mS}$$

حاصل ہوتے ہیں۔ اسی طرح  $Q_2$  کے

$$V_{G2} = 0$$

$$V_{S2} = -10 + 5000I_{DS2}$$

$$V_{GS2} = V_{G2} - V_{S2} = 10 - 5000I_{DS2}$$

سے افزائندہ ماسفیٹ کا مساوات

$$I_{DS2} = \frac{0.003}{2} (10 - 5000I_{DS2} - 2)^2$$

$I_{DS2} = 0.73 \text{ mA}$  دیتا ہے جس سے

$$g_{m2} = \sqrt{2 \times 0.003 \times 0.00073} = 2.09 \text{ mS}$$

حاصل ہوتا ہے۔ یہاں رک کر تسلی کر لیں کہ دونوں ماسفیٹ افزائندہ خطے میں ہی ہیں۔

ان قیمتوں کے ساتھ پائے ریاضی نمونہ استعمال کرتے ہوئے زنجیری ایسپلیٹرز کا مساوی دور شکل 4.60 میں دکھایا گیا ہے جس کو دیکھ کر ہم

$$v_{gs1} = v_i$$

$$v_{gs2} = 0$$

$$v_{s1} = v_{s2} = v_s$$

لکھ سکتے ہیں۔ یوں

$$v_{gs1} = v_i - v_s$$

$$v_{gs2} = -v_s$$

لکھا جاسکتا ہے۔  $v_s$  کی مساوات حاصل کرتے ہیں۔

$$v_s = \left( g_{m1}v_{gs1} + g_{m2}v_{gs2} \right) \left( \frac{R_{S1}R_{S2}}{R_{S1} + R_{S2}} \right)$$

$$= g_m \left[ (v_i - v_s) + (-v_s) \right] R_S$$

جہاں دوسرے قدم پر  $\frac{R_{S1}R_{S2}}{R_{S1} + R_{S2}}$  کو  $R_S$  لکھا گیا۔ یوں

$$v_s = \frac{g_m R_S v_i}{1 + 2g_m R_S}$$

حاصل ہوتا ہے۔  $v_L$  کے لئے یوں لکھا جاسکتا ہے

$$v_L = -g_{m2}v_{gs2} \left( \frac{R_{D2}R_L}{R_{D2} + R_L} \right)$$

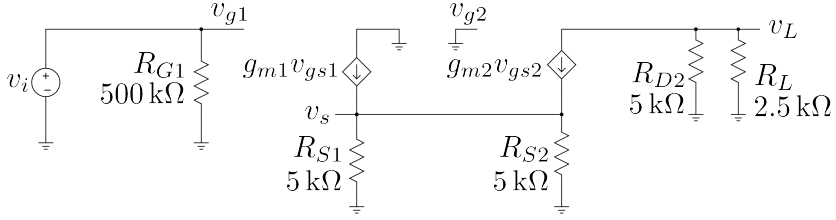
$$= g_m v_s \left( \frac{R_{D2}R_L}{R_{D2} + R_L} \right)$$

جہاں  $g_{m1} = g_{m2} = g_m$  کا استعمال کیا گیا ہے۔ اس میں  $v_s$  پُر کرنے سے

$$v_L = g_m \left( \frac{g_m R_S v_i}{1 + 2g_m R_S} \right) \left( \frac{R_{D2}R_L}{R_{D2} + R_L} \right)$$

حاصل ہوتا ہے جس سے

$$A_v = \frac{v_L}{v_i} = \frac{g_m^2 R_S}{1 + 2g_m R_S} \left( \frac{R_{D2}R_L}{R_{D2} + R_L} \right)$$



شکل 4.60: دو کڑی زنجیری مشترک ڈرین، مشترک گیٹ ایمپلیفائر کا مساوی دور

لکھا جا سکتا ہے۔

$$R_S = \frac{5000 \times 5000}{5000 + 5000} = 2.5 \text{ k}\Omega$$

$$\frac{R_{D2} R_L}{R_{D2} + R_L} = \frac{5000 \times 2500}{5000 + 2500} = 1.667 \text{ k}\Omega$$

کے استعمال سے

$$A_v = \left( \frac{0.00209^2 \times 2500}{1 + 2 \times 0.00209 \times 2500} \right) \times 1667 = 1.59 \frac{\text{V}}{\text{V}}$$

حاصل ہوتا ہے۔

## 4.19 قوی ماسفیٹ

سیلیکان پتہری پر ماسفیٹ کا رقبہ بڑھا کر زیادہ طاقت کا ماسفیٹ وجود میں آتا ہے۔ کئی ایمپیر اور وولٹ تک کام کرنے والے ایسے قوی ماسفیٹ<sup>44</sup> زیادہ طاقت قابو کرنے میں کام آتے ہیں۔ اس طرح کے متعدد ماسفیٹ متوازی جوڑ کر مزید زیادہ برقی رو کو قابو کیا جاتا ہے۔ یک سمتی سے بدلتی رو برقی دباؤ بناتے انورٹر<sup>45</sup> میں انہیں عموماً استعمال کیا جاتا

power mosfet<sup>44</sup>  
inverter<sup>45</sup>

ہے۔ قوی ٹرانزسٹر کی نسبت سے قوی ماسفیٹ انتہائی تیز ہے۔ اسے چالو سے منقطع یا منقطع سے چالو حالت میں چند نینو سیکنڈ میں لایا جاسکتا ہے۔ مزید یہ کہ اسے چالو کرنے کی خاطر درکار برقی طاقت نہایت کم ہے جسے عام CMOS مخلوط دور فراہم کر سکتا ہے۔

برقی طاقت کا ضیاع قوی ماسفیٹ کو گرم کرتے ہوئے اس کا درجہ حرارت بڑھاتا ہے۔ درجہ حرارت بڑھنے سے ماسفیٹ کی مزاحمت بھی بڑھتی ہے۔ یوں متوازی جڑے ٹرانزسٹر میں اگر کسی وجہ سے ایک ماسفیٹ زیادہ گرم ہو تو اس کی مزاحمت بڑھ جائے گا۔ متوازی جڑے ماسفیٹ میں جس ماسفیٹ کا مزاحمت زیادہ ہو، اس کا  $i_{DS}$  کم ہو گا۔ یوں زیادہ گرم ہونے والا ماسفیٹ خود بخود کم برقی رو گزارتے ہوئے کم گرم ہو گا۔ آپ دیکھ سکتے ہیں کہ متوازی جڑے قوی ٹرانزسٹر کے برعکس متوازی جڑے قوی ماسفیٹ از خود برقی رو کی تقسیم یوں رکھتے ہیں کہ ان میں کسی ایک پر زیادہ بوجھ نہ ڈلے۔ قوی ماسفیٹ کو بھی ٹھنڈا رکھنے کی خاطر سرد کار<sup>46</sup> کے ساتھ جوڑ کر رکھا جاتا ہے۔

## اہم نکات

### منفی ماسفیٹ nMOSFET

بڑھاتا منفی ماسفیٹ کے  $V_t$  کی قیمت مثبت ہوتی ہے جبکہ گھٹاتا منفی ماسفیٹ کے  $V_t$  کی قیمت منفی ہوتی ہے۔  $V_A$  کی قیمت دونوں کے لئے مثبت ہے۔ دونوں کے مساوات میں کوئی فرق نہیں۔

غیر افزائندہ

$$v_{GS} > V_t, \quad v_{GD} \geq V_t$$

$$i_{DS} = k'_n \left( \frac{W}{L} \right) \left[ (v_{GS} - V_t) v_{DS} - \frac{v_{DS}^2}{2} \right]$$

$$\text{کم برقی دباؤ پر مزاحمت} = \frac{1}{k'_n \left( \frac{W}{L} \right) (v_{GS} - V_t)}$$

افزائندہ

$$v_{GS} > V_t, \quad v_{GD} \leq V_t$$

$$i_{DS} = \frac{k'_n}{2} \left( \frac{W}{L} \right) (v_{GS} - V_t)^2 \left( 1 + \frac{v_{DS}}{V_A} \right)$$

مثبت ماسفیٹ pMOSFET

بڑھاتا مثبت ماسفیٹ کے  $V_t$  کی قیمت منفی ہوتی ہے جبکہ گھٹاتا مثبت ماسفیٹ کے  $V_t$  کی قیمت مثبت ہوتی ہے۔  
 $V_A$  کی قیمت دونوں کے لئے مثبت ہے۔ دونوں کے مساوات میں کوئی فرق نہیں۔

غیر افزائندہ

$$v_{SG} > -V_t, \quad v_{DG} \geq -V_t$$

$$i_{SD} = k'_p \left( \frac{W}{L} \right) \left[ (v_{SG} + V_t) v_{SD} - \frac{v_{SD}^2}{2} \right]$$

$$\text{کم برقی دباؤ پر مزاحمت} = \frac{1}{k'_p \left( \frac{W}{L} \right) (v_{SG} + V_t)} \quad \text{مزاحمت}$$

افزائندہ

$$v_{SG} > -V_t, \quad v_{DG} \leq -V_t$$

$$i_{SD} = \frac{k'_p}{2} \left( \frac{W}{L} \right) (v_{SG} + V_t)^2 \left( 1 + \frac{v_{SD}}{V_A} \right)$$

nMOSFET کے باریک اشاراتی اجزاء

$$r_o = \left| \frac{V_A}{I_{DS}} \right|$$

$$g_m = k' \left( \frac{W}{L} \right) (V_{GS} - V_t)$$

## سوالات

سوال 4.1: ایک nMOSFET کا  $\mu_n = 650 \frac{\text{cm}^2}{\text{Vs}}$ ،  $d = 0.02 \mu\text{m}$  اور  $\epsilon = 3.97\epsilon_0$  ہے۔ نہایت کم  $v_{DS}$  پر ماسفیٹ کی مزاحمت کی مساوات کیا ہوگی۔ اگر  $\frac{W}{L} = 20$ ،  $V_{GS} = 1.8 \text{ V}$  جبکہ  $V_t = 0.8 \text{ V}$  ہوں تب ماسفیٹ کی مزاحمت نہایت کم  $v_{DS}$  پر کیا ہوگی۔

جوابات:

$$r = \frac{1}{k'_n \frac{W}{L} (v_{GS} - V_t)} = 445 \Omega$$

سوال 4.2: pMOSFET کا  $\mu_p \approx 0.4\mu_n$  ہوتا ہے۔ سوال 4.1 میں بقایا معلومات تبدیل کئے بغیر، نہایت کم  $V_{SD}$  پر pMOSFET کی مزاحمت حاصل کریں۔

جواب:  $1114 \Omega$ 

سوال 4.3: بقایا ساخت مکمل طور پر ایک جیسے رکھتے ہوئے منفی اور مثبت ماسفیٹ کے چوڑائی  $W$  کی ایسی شرح دریافت کریں جن پر دونوں ماسفیٹ کی مزاحمت برابر ہو۔

جواب:  $\frac{W_n}{W_p} = 0.4$ 

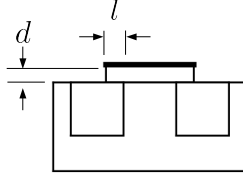
سوال 4.4: ایک منفی ماسفیٹ جس کے  $k_n = 0.02 \frac{\text{mA}}{\text{V}^2}$  اور  $V_t = 1 \text{ V}$  ہیں کو  $v_{GS} = 4 \text{ V}$  پر چلایا جاتا ہے۔  $v_{DS} = 1 \text{ V}$ ،  $v_{DS} = 3 \text{ V}$  اور  $v_{DS} = 6 \text{ V}$  پر  $i_{DS}$  حاصل کریں۔

جوابات:  $50 \mu\text{A}$ ،  $90 \mu\text{A}$  اور  $90 \mu\text{A}$ 

سوال 4.5: ایک منفی ماسفیٹ جس کے

$$k_n = 0.08 \frac{\text{mA}}{\text{V}^2}, \quad V_t = 1 \text{ V}$$

ہیں کو افزائندہ خطے میں  $i_{DS} = 4 \text{ mA}$  پر استعمال کرنے کی خاطر درکار  $v_{GS}$  اور کم سے کم  $v_{DS}$  حاصل کریں۔ اگر اس منفی ماسفیٹ کی  $V_t = -1 \text{ V}$  ہو تب جوابات کیا ہوں گے۔



شکل 4.61: سورس اور ڈرین کو گیٹ ڈھانپ کر کمپیسٹر کو جنم دیتا ہے

جوابات:  $V_t = 1\text{ V}$  کی صورت میں  $v_{GS} = 11\text{ V}$  اور  $v_{DS} \geq 10\text{ V}$  جبکہ  $V_t = -1\text{ V}$  کی صورت میں  $v_{GS} = 9\text{ V}$  اور  $v_{DS} \geq 10\text{ V}$  حاصل ہوتے ہیں۔

سوال 4.6: سوال 4.5 کو  $i_{DS} = 0.4\text{ mA}$  کے لئے دوبارہ حل کریں۔

جوابات:  $V_t = 1\text{ V}$  کی صورت میں  $v_{GS} = 4.16\text{ V}$  اور  $v_{DS} \geq 3.16\text{ V}$  جبکہ  $V_t = -1\text{ V}$  کی صورت میں  $v_{GS} = 2.16\text{ V}$  اور  $v_{DS} \geq 3.16\text{ V}$  حاصل ہوتے ہیں۔

سوال 4.7: منفی بڑھاتا ماسفیٹ کے مساوات کے خط کاغذ پر قلم سے کھینچیں۔ انہیں کو کمپیوٹر کی مدد سے کھینچیں۔

سوال 4.8: شکل 4.61 میں  $W$  چوڑائی کا گیٹ سورس کو ڈھانپتا ہوا دکھایا گیا ہے۔ گیٹ اور سورس کا ڈھانپا گیا حصہ مل کر کمپیسٹر  $C_{gsp}$  کو جنم دیتے ہیں۔ اس کمپیسٹر کی چوڑائی  $W$  اور لمبائی  $l$  ہے جبکہ کمپیسٹر کے دو چادروں کے درمیانی فاصلہ  $d$  ہے۔ اگر  $d = 0.02\text{ }\mu\text{m}$  اور  $W = 100\text{ }\mu\text{m}$  اور  $l = 1\text{ }\mu\text{m}$  ہوں تب اس کمپیسٹر کی قیمت کیا ہوگی۔  $\epsilon = 3.97\epsilon_0$  لیں جہاں  $\epsilon_0 = 8.85 \times 10^{-12} \frac{\text{F}}{\text{m}}$  کے برابر ہے۔

$$\text{جوابات: } C_{gsp} = \frac{\epsilon_r \epsilon_0 W l}{d} = 176\text{ fF}$$

سوال 4.9: ایک منفی بڑھاتا ماسفیٹ کے گیٹ اور ڈرین کو آپس میں جوڑ کر اس کے  $v_{DS}$  اور  $i_{DS}$  ناپے جاتے ہیں۔  $4\text{ V}$  پر  $1\text{ mA}$  جبکہ  $6\text{ V}$  پر  $2.5\text{ mA}$  ناپا جاتا ہے۔ اس ماسفیٹ کے  $k_n$  اور  $V_t$  حاصل کریں۔

جوابات:  $V_t = 0.5575\text{ V}$ ،  $k_n = 0.169 \frac{\text{mA}}{\text{V}^2}$ ۔ یاد رہے کہ چالو منفی بڑھاتا ماسفیٹ کے لئے  $v_{GS} > V_t$  کا ہونا ضروری ہے۔



سوال 4.10: ایک بڑھتا منفی ماسفیٹ کا  $v_{GS} = 5\text{ V}$  پر رکھتے ہوئے اس کے  $i_{DS}$  اور  $v_{DS}$  ناپے جاتے ہیں۔  $v_{DS} = 3\text{ V}$  پر  $i_{DS} = 2\text{ mA}$  جبکہ  $v_{DS} = 6\text{ V}$  پر  $i_{DS} = 4\text{ mA}$  ناپے جاتے ہیں۔ ماسفیٹ کے  $V_t$  اور  $k_n$  حاصل کریں۔

$$\text{جوابات: } V_t = 3.24\text{ V}, k_n = 2.59 \frac{\text{mA}}{\text{V}^2}$$

سوال 4.11: کم  $v_{DS}$  پر منفی بڑھتا ماسفیٹ کو بطور متغیر مزاحمت استعمال کیا جاسکتا ہے۔ مزاحمت کی قیمت  $v_{GS}$  سے قابو کی جاتی ہے۔  $k'_n = 15 \frac{\mu\text{A}}{\text{V}^2}$  اور  $V_t = 1.2\text{ V}$  ہیں۔  $v_{GS} = 2\text{ V}$  پر  $8\text{ k}\Omega$  حاصل کرنے کے لئے درکار  $\frac{W}{L}$  حاصل کریں۔ اگر  $L = 10\text{ }\mu\text{m}$  ہو تب  $W$  کیا ہوگا؟  $v_{GS} = 8\text{ V}$  پر مزاحمت کی قیمت کیا ہوگی؟

$$\text{جوابات: } 10.42, 104.2\text{ }\mu\text{m}, 940\text{ }\Omega$$

سوال 4.12: ایک ماسفیٹ کو افزائندہ خطے میں استعمال کرتے ہوئے اس کا  $v_{GS}$  برقرار رکھا جاتا ہے۔  $v_{DS} = 5\text{ V}$  پر  $i_{DS} = 3.3\text{ mA}$  جبکہ  $v_{DS} = 10\text{ V}$  پر  $i_{DS} = 3.6\text{ mA}$  ناپے جاتے ہیں۔ ماسفیٹ کی  $r_o$  اور اریلی برقی دباؤ  $V_A$  دریافت کریں۔

$$\text{جوابات: } V_A = 50\text{ V}, r_o = \frac{\Delta v_{DS}}{\Delta i_{DS}} = 33.33\text{ k}\Omega$$

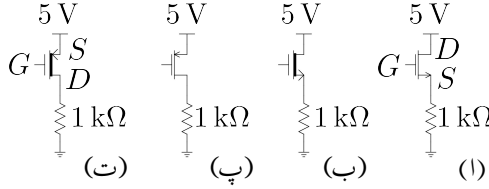
سوال 4.13: مندرجہ بالا سوال کے ماسفیٹ کے خارجی مزاحمت  $r_o$  کی قیمت  $i_{DS} = 100\text{ }\mu\text{A}$  اور  $i_{DS} = 10\text{ mA}$  پر حاصل کریں۔

$$\text{جوابات: } r_o = \frac{V_A}{I_{DSQ}} = 500\text{ k}\Omega, 5\text{ k}\Omega$$

سوال 4.14: ایک گھٹاتے منفی ماسفیٹ کے  $V_t = -3\text{ V}$  اور  $k_n = 0.2 \frac{\text{mA}}{\text{V}^2}$  ہیں۔ اگر گیٹ کو سورس کے ساتھ جوڑا جائے تب  $v_{DS} = -2\text{ V}$  اور  $v_{DS} = 5\text{ V}$  پر  $i_{DS}$  کیا ہوں گے؟ ان دونوں صورتوں میں ماسفیٹ کس خطے میں ہوگا؟

جوابات:  $0.8\text{ mA}$ ،  $0.9\text{ mA}$  پہلی صورت میں غیر افزائندہ جبکہ دوسری صورت میں افزائندہ خطے میں ہے۔

سوال 4.15: شکل 4.62 الف کے ماسفیٹ کا  $V_t = 1\text{ V}$  اور  $k_n = 160 \frac{\mu\text{A}}{\text{V}^2}$  ہے۔ اگر گیٹ کو ڈرین کے ساتھ جوڑا جائے تب  $i_{DS}$  کیا ہوگا؟ اگر گیٹ کو سورس کے ساتھ جوڑا جائے تب  $i_{DS}$  کی قیمت کیا ہوگی۔ جوابات: ڈرین کے ساتھ جوڑنے سے  $0.56\text{ mA}$  جبکہ سورس کے ساتھ جوڑنے سے  $0\text{ mA}$



شکل 4.62

سوال 4.16: شکل 4.62 ب کے ماسفیٹ کا  $V_t = -1\text{ V}$  اور  $k_n = 160 \frac{\mu\text{A}}{\text{V}^2}$  ہے۔ اگر گیٹ کو ڈرین کے ساتھ جوڑا جائے تب  $i_{DS}$  کیا ہوگا؟ اگر گیٹ کو سورس کے ساتھ جوڑا جائے تب  $i_{DS}$  کی قیمت کیا ہوگی۔

جوابات: ڈرین کے ساتھ جوڑنے سے  $1.525\text{ mA}$  جبکہ سورس کے ساتھ جوڑنے سے  $0.16\text{ mA}$

سوال 4.17: شکل 4.62 پ کے ماسفیٹ کا  $V_t = -1\text{ V}$  اور  $k_p = 160 \frac{\mu\text{A}}{\text{V}^2}$  ہے۔ اگر گیٹ کو ڈرین کے ساتھ جوڑا جائے تب  $i_{DS}$  کیا ہوگا؟ اگر گیٹ کو سورس کے ساتھ جوڑا جائے تب  $i_{DS}$  کی قیمت کیا ہوگی۔

جوابات: ڈرین کے ساتھ جوڑنے سے  $0.04\text{ mA}$  جبکہ سورس کے ساتھ جوڑنے سے  $0\text{ A}$

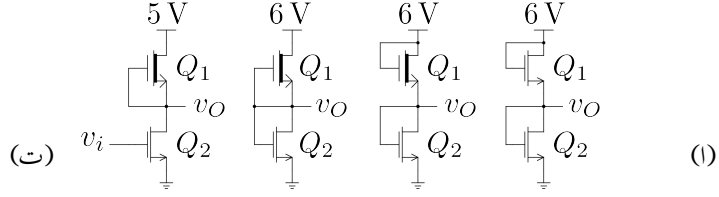
سوال 4.18: شکل 4.62 ت کے ماسفیٹ کا  $V_t = 1\text{ V}$  اور  $k_p = 160 \frac{\mu\text{A}}{\text{V}^2}$  ہے۔ اگر گیٹ کو ڈرین کے ساتھ جوڑا جائے تب  $i_{DS}$  کیا ہوگا؟ اگر گیٹ کو سورس کے ساتھ جوڑا جائے تب  $i_{DS}$  کی قیمت کیا ہوگی۔

جوابات: ڈرین کے ساتھ جوڑنے سے  $1.52\text{ mA}$  جبکہ سورس کے ساتھ جوڑنے سے  $0.08\text{ mA}$

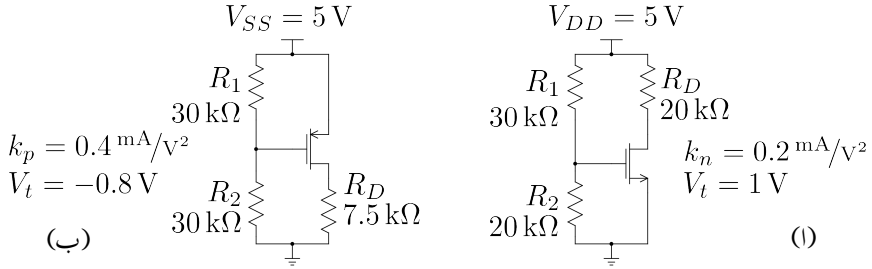
سوال 4.19: شکل 4.63 الف میں  $k_{n1} = 50 \frac{\mu\text{A}}{\text{V}^2}$ ،  $k_{n2} = 200 \frac{\mu\text{A}}{\text{V}^2}$  جبکہ دونوں ماسفیٹ کا  $V_t = 1\text{ V}$  ہے۔  $v_O$  حاصل کریں۔

جواب:  $2.3333\text{ V}$ ، دونوں ماسفیٹ افزائندہ خطے میں ہیں۔

سوال 4.20: شکل 4.63 ب میں  $k_{n1} = 50 \frac{\mu\text{A}}{\text{V}^2}$ ،  $k_{n2} = 200 \frac{\mu\text{A}}{\text{V}^2}$  جبکہ  $V_{t1} = -0.8\text{ V}$ ،  $V_{t2} = 1.2\text{ V}$  ہے۔  $v_O$  حاصل کریں۔



شکل 4.63



شکل 4.64

جواب:  $3.04\text{ V}$ ،  $Q_2$  افزائندہ جبکہ  $Q_1$  غیر افزائندہ ہے۔

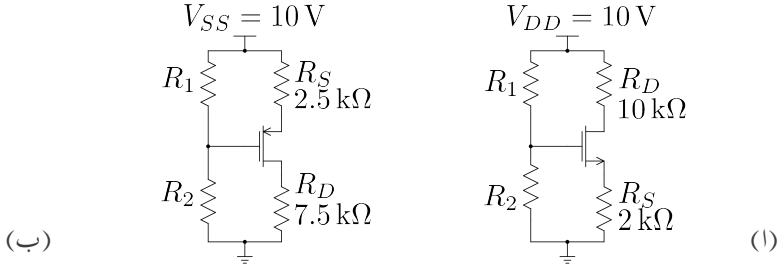
سوال 4.21: شکل 4.63 پ میں  $k_{n1} = 50 \frac{\mu\text{A}}{\text{V}^2}$ ،  $k_{n2} = 200 \frac{\mu\text{A}}{\text{V}^2}$ ، جبکہ  $V_{t1} = -0.8\text{ V}$ ،  $V_{t2} = 1.2\text{ V}$  ہے۔  $v_O$  حاصل کریں۔

جواب:  $v_O = 1.6\text{ V}$  دونوں افزائندہ خطوں میں ہیں۔

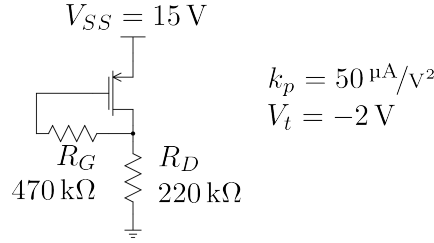
سوال 4.22: شکل 4.64 الف میں نقطہ کارکردگی حاصل کریں۔

جواب:  $0.1\text{ mA}$ ،  $3\text{ V}$

سوال 4.23: شکل 4.64 ب میں نقطہ کارکردگی حاصل کریں۔



شکل 4.65



شکل 4.66

جواب:  $v_{SD} = 1.14 \text{ V}$  ،  $i_{SD} = 0.515 \text{ mA}$

سوال 4.24: شکل 4.65 الف میں  $k_n = 0.32 \frac{\text{mA}}{\text{V}^2}$  اور  $V_t = 2 \text{ V}$  ہیں۔  $R_1$  اور  $R_2$  کو یوں چنیں کہ  $I_{DS} = 0.5 \text{ mA}$  ہو اور ان مزاحمت میں  $I_{DS}$  کے 10% برقی رو پائی جائے۔

جواب:  $R_2 = 95.4 \text{ k}\Omega$  ،  $R_1 = 104.6 \text{ k}\Omega$

سوال 4.25: شکل 4.65 ب میں  $k_p = 0.22 \frac{\text{mA}}{\text{V}^2}$  اور  $V_t = -1.5 \text{ V}$  ہیں۔  $R_1$  اور  $R_2$  کو یوں چنیں کہ  $V_{SD} = 5 \text{ V}$  ہو اور ان مزاحمت میں  $I_{SD}$  کے 10% برقی رو پائی جائے۔

جواب:  $R_2 = 102.36 \text{ k}\Omega$  ،  $R_1 = 97.64 \text{ k}\Omega$

سوال 4.26: شکل 4.66 میں ماسفیٹ کا نقطہ کارکردگی حاصل کریں۔

جواب:  $V_{GS} = -3.45 \text{ V}$  ،  $I_{SD} = 52.5 \mu\text{A}$

سوال 4.27: شکل 4.65 الف میں  $V_{DD} = 12 \text{ V}$  ،  $R_D = 5.6 \text{ k}\Omega$  اور  $R_S = 1.2 \text{ k}\Omega$  ہیں۔ اگر ماسفیٹ کا  $k_n = 0.18 \frac{\text{mA}}{\text{V}^2}$  اور  $V_t = 1.8 \text{ V}$  ہوں تب  $i_{DS} = 0.8 \text{ mA}$  حاصل کرنے کی خاطر درکار  $R_1$  اور  $R_2$  حاصل کریں۔  $R_1$  اور  $R_2$  میں برقی رو  $i_{DS}$  کے پانچ فی صد رکھیں۔

جوابات:  $R_1 = 156.5 \text{ k}\Omega$  ،  $R_2 = 143.5 \text{ k}\Omega$

سوال 4.28: عموماً ایک ہی قسم کے دو عدد ماسفیٹ کے خصوصیات میں فرق ہوتا ہے۔ یوں اگر سوال 4.27 میں ماسفیٹ کے  $V_t$  کی قیمت  $1.6 \text{ V}$  تا  $2 \text{ V}$  ممکن ہو جبکہ  $k_n$  اب بھی  $0.18 \frac{\text{mA}}{\text{V}^2}$  ہو تب  $i_{DS}$  کی قیمت کے حدود حاصل کریں۔

جواب:  $0.735 \text{ mA}$  تا  $0.8656 \text{ mA}$  دونوں صورتوں میں ماسفیٹ افزا سہندہ ہے۔

سوال 4.29: شکل 4.65 الف میں  $R_1 = 100 \text{ k}\Omega$  اور  $R_2 = 50 \text{ k}\Omega$  ہیں۔  $R_S$  پر  $0.55 \text{ V}$  برقی دباؤ پایا جاتا ہے۔  $R_2$  کے متوازی  $1000 \text{ k}\Omega$  نسب کرنے کے بعد  $R_S$  پر  $0.507 \text{ V}$  ناپا جاتا ہے۔ ماسفیٹ کو دونوں صورتوں میں افزا سہندہ خطے میں تصور کرتے ہوئے  $g_m$  حاصل کریں۔

جواب:  $0.33 \frac{\text{mA}}{\text{V}}$

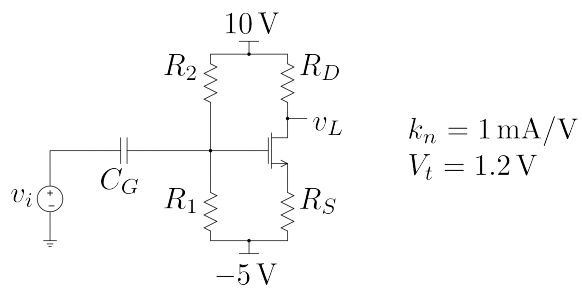
سوال 4.30: مندرجہ بالا سوال میں ماسفیٹ کا  $k_n$  اور  $V_t$  بھی حاصل کریں۔

جوابات:  $V_t = 1.2 \text{ V}$  ،  $k_n = 0.22 \frac{\text{mA}}{\text{V}^2}$

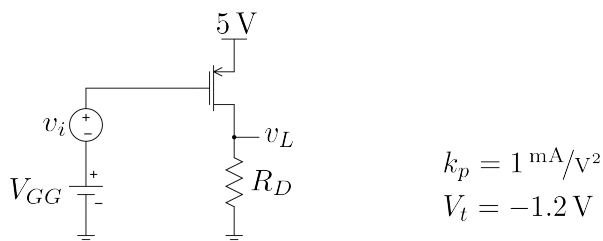
سوال 4.31: شکل 4.64 الف میں  $i_{DS} = 0.1 \text{ mA}$  کی توقع ہے۔ یوں  $v_{DS} = 3 \text{ V}$  ہونی چاہئے۔ اصل قیمت  $2.94 \text{ V}$  ناپی جاتی ہے۔ ماسفیٹ کی ایلے برقی دباؤ حاصل کریں۔

جواب:  $100 \text{ V}$

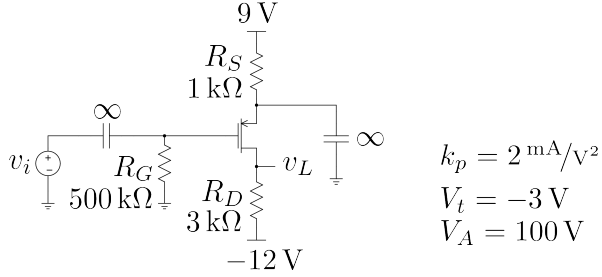
سوال 4.32: شکل 4.67 کے ایپلیفائر میں  $I_{DS} = 2 \text{ mA}$  اور  $V_{DS} = 5 \text{ V}$  حاصل کرنے کے لئے درکار مزاحمت حاصل کریں۔  $R_D$  کو  $R_S$  کے نوگنار رکھیں اور  $R_1$  میں برقی رو  $I_{DS}$  کے دس فی صد رکھیں۔ ایپلیفائر کا  $A_v = \frac{v_L}{v_i}$  بھی حاصل کریں۔



شکل 4.67



شکل 4.68



شکل 4.69

جوابات:  $R_2 = 64 \text{ k}\Omega$  اور  $R_1 = 11 \text{ k}\Omega$ ،  $R_D = 4.5 \text{ k}\Omega$ ،  $R_S = 0.5 \text{ k}\Omega$  حاصل ہوتے ہیں۔  
 $A_v = -2.25 \frac{\text{V}}{\text{V}}$ ،  $g_m = 2 \text{ mS}$

سوال 4.33: شکل 4.68 میں  $V_{SD} = 3 \text{ V}$  اور  $A_v = -6 \frac{\text{V}}{\text{V}}$  حاصل کرنے کی خاطر درکار  $R_D$  اور  $V_{GG}$  حاصل کریں۔  $I_{SD}$  کی قیمت کیا ہوگی؟

جوابات:  $I_{SD} = 0.222 \text{ mA}$ ،  $V_{GG} = 3.133 \text{ V}$ ،  $R_D = 9 \text{ k}\Omega$

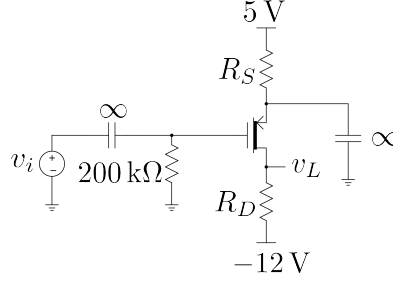
سوال 4.34: شکل 4.69 میں  $I_{SD}$ ،  $V_{SD}$  اور  $A_v = \frac{v_L}{v_i}$  حاصل کریں۔

جوابات:  $I_{SD} = 4 \text{ mA}$ ،  $V_{SD} = 2 \text{ V}$ ،  $g_m = 4 \text{ mS}$  اور  $r_o = 25.5 \text{ k}\Omega$  اور  $A_v = -10.73 \frac{\text{V}}{\text{V}}$

سوال 4.35: شکل 4.70 میں  $V_t = -1.4 \text{ V}$ ،  $k_p = 2 \frac{\text{mA}}{\text{V}^2}$  اور  $V_A = 40 \text{ V}$  ہیں۔  $R_S$  اور  $R_D$  کی ایسی قیمتیں حاصل کریں جن سے  $I_{SD} = 0.36 \text{ mA}$  اور  $V_{SD} = 6 \text{ V}$  حاصل ہوں۔  $A_v = \frac{v_L}{v_i}$  کی قیمت بھی حاصل کریں۔

جوابات:  $R_S = 8.333 \text{ k}\Omega$ ،  $R_D = 22 \text{ k}\Omega$ ،  $r_o = 128 \text{ k}\Omega$  اور  $A_v = -22.7 \frac{\text{V}}{\text{V}}$  حاصل ہوتے ہیں۔

سوال 4.36: صفحہ 537 پر شکل 4.58 میں  $R_{D1} = 16.7 \text{ k}\Omega$ ،  $R_2 = 243 \text{ k}\Omega$ ،  $R_1 = 392 \text{ k}\Omega$ ،  $V_t = 1 \text{ V}$  اور  $k_n = 0.6 \frac{\text{mA}}{\text{V}^2}$  استعمال کرتے ہوئے دونوں ماسفیٹ کے نقطہ کارکردگی حاصل کریں۔



شکل 4.70

جوابات:  $V_{DS2} = 5\text{ V}$  اور  $I_{DS2} = 1.2\text{ mA}$ ،  $V_{DS1} = 5\text{ V}$ ،  $I_{DS1} = 0.12\text{ mA}$

سوال 4.37: صفحہ 539 پر شکل 4.59 میں

$$R_{G1} = 100\text{ k}\Omega, \quad R_L = 5\text{ k}\Omega$$

$$k_{n1} = 4 \frac{\text{mA}}{\text{V}^2}, \quad k_{n2} = 6 \frac{\text{mA}}{\text{V}^2}$$

$$V_{t1} = V_{t2} = 1.5\text{ V}$$

ہیں۔ دور کو اس طرح تخلیق دیں کہ  $I_{DS1} = 2\text{ mA}$ ،  $I_{DS2} = 6\text{ mA}$  اور  $V_{DS2} = 8\text{ V}$  ہوں۔ حاصل  
جواب استعمال کرتے ہوئے  $g_{m1}$ ،  $g_{m2}$  اور  $A_v = \frac{v_L}{v_i}$  حاصل کریں۔

جوابات:  $A_v = 1.75 \frac{\text{V}}{\text{V}}$ ،  $R_{D2} = 818\ \Omega$ ،  $R_{S2} = 1.182\text{ k}\Omega$ ،  $R_{S1} = 3.75\text{ k}\Omega$



## باب 5

### تفرقی ایمپلیفائر

#### 5.1 دو جوڑ ٹرانزسٹر کا تفرقی جوڑا

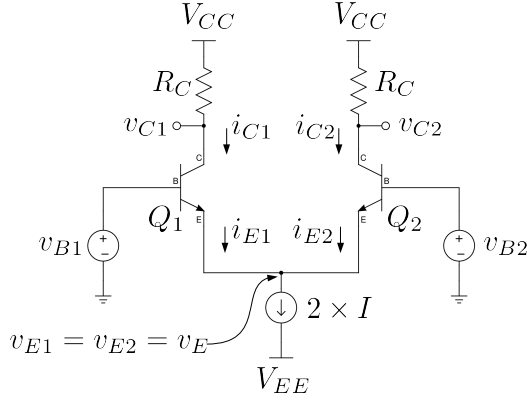
##### 5.1.1 تفرقی اشارہ کی عدم موجودگی

شکل 5.1 میں دو جوڑ ٹرانزسٹر کا بنیادی تفرقی جوڑا<sup>1</sup> دکھایا گیا ہے۔ تفرقی جوڑے میں دو بالکل یکساں<sup>2</sup> ٹرانزسٹر استعمال کئے جاتے ہیں۔ تفرقی جوڑے کی صحیح کارکردگی کے لئے یہ ضروری ہے کہ  $Q_1$  اور  $Q_2$  افزائندہ خطے میں رہیں۔ انہیں افزائندہ خطے میں رکھنے کی خاطر تفرقی جوڑے کو  $R_C$  کی مدد سے منبع مثبت برقی دباؤ  $V_{CC}$  کے ساتھ جوڑا گیا ہے۔ جیسا کہ اسی باب میں بعد میں دکھایا جائے گا  $R_C$  کی جگہ ٹرانزسٹر بھی استعمال کئے جاتے ہیں۔ تفرقی جوڑے کے دو داخلی اشارات  $v_{B1}$  اور  $v_{B2}$  ہیں جبکہ اس کا عمومی تفرقی خارجی اشارہ  $v_o$  ہے جسے شکل 5.2 میں دکھایا گیا ہے۔ بعض اوقات  $v_{C1}$  یا  $v_{C2}$  کو ہی بطور خارجی اشارہ  $v_o$  لیا جاتا ہے۔

تفرقی جوڑے کے دونوں ٹرانزسٹروں کے امیٹر سرے آپس میں جڑے ہونے کی وجہ سے ان دونوں سروں پر ہر صورت برابر برقی دباؤ ہوگا (یعنی  $v_{E1} = v_{E2}$  ہوگا)۔ ان برابر برقی دباؤ کو لکھتے ہوئے زیر نوشت (1 اور 2) لکھے بغیر  $v_E$  لکھا جاسکتا ہے یعنی

$$(5.1) \quad v_{E1} = v_{E2} = v_E$$

difference pair<sup>1</sup>  
matched<sup>2</sup>



شکل 5.1: دو جوڑا نرسٹر کے تفرقی جوڑے کی بنیادی ساخت

مزید یہ کہ اس جوڑے پر پیدا کر برقی رو کی برقی رو  $i_{E1}$  اور  $i_{E2}$  میں تقسیم ہوگی جس کے لئے کرخوف کے قانون برائے برقی رو کے تحت لکھا سکتا ہے

$$(5.2) \quad i_{E1} + i_{E2} = 2 \times I$$

تفرقی جوڑے کی کارکردگی پر شکل 5.2 کی مدد سے غور کرتے ہیں جہاں تفرقی جوڑے کے دونوں داخلی سروں پر یک سمتی برقی دباؤ  $V_B$  بطور داخلی اشارات  $v_{B1}$  اور  $v_{B2}$  مہیا کیا گیا ہے۔ یوں  $V_B$  کو بطور مشترکہ برقی دباؤ<sup>3</sup> مہیا کیا گیا ہے۔ دور کو دیکھتے ہوئے یہ بات واضح ہے کہ اس کے بائیں اور دائیں اطراف بالکل یکساں ہیں۔ یوں دونوں اطراف میں برابر برقی رو پائی جائے گی (یعنی  $i_{E1} = i_{E2}$ )۔ ایسی صورت میں مساوات 5.2 سے  $i_{E1} = i_{E2} = I$  حاصل ہوتا ہے اور یوں  $i_{C1} = i_{C2} = \alpha I$  ہو گا۔ لہذا

$$v_{C1} = V_{CC} - i_{C1}R_C = V_{CC} - \alpha I R_C$$

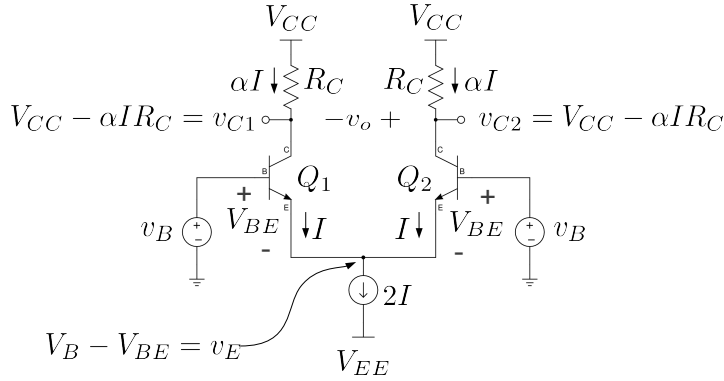
$$v_{C2} = V_{CC} - i_{C2}R_C = V_{CC} - \alpha I R_C$$

اس صورت میں

$$(5.3) \quad v_o = v_{C2} - v_{C1} = 0$$

ہو گا۔ یہ ایک اہم اور عمومی نتیجہ ہے جس کے تحت اگر تفرقی جوڑے کے دونوں مدخل پر برابر برقی دباؤ مہیا کیا جائے تو یہ صفر وولٹ خارج کرے گا۔ اس حقیقت کو یوں بہتر بیان کیا جاسکتا ہے کہ تفرقی جوڑا مشترکہ برقی دباؤ کو رد

<sup>3</sup>common mode voltage



شکل 5.2: دونوں مدخل پر برابر برقی دباؤ کی صورت

کرتا ہے۔ تفرقی برقی اشارہ  $v_d$  کو یوں بیان کیا جاتا ہے

$$(5.4) \quad v_d = v_{B1} - v_{B2}$$

جبکہ مشترکہ برقی دباؤ  $v_{CM}$  کو یوں بیان کیا جاتا ہے

$$(5.5) \quad v_{CM} = \frac{v_{B1} + v_{B2}}{2}$$

یہاں رک کر تسلی کر لیں کہ  $v_d$  حسابی ایمپلینائر کا تفرقی برقی دباؤ ہی ہے۔ اسی طرح  $v_{B1}$  حسابی ایمپلینائر کا مثبت مدخل جبکہ  $v_{B2}$  اس کا منفی مدخل ہے۔

مثال 5.1: شکل 5.2 میں

$$\begin{aligned} V_{CC} &= 15 \text{ V} \\ V_B &= 3 \text{ V} \\ I &= 2 \text{ mA} \end{aligned}$$

$$\begin{aligned} V_{EE} &= -15 \text{ V} \\ R_C &= 3.9 \text{ k}\Omega \\ \alpha &= 0.99 \end{aligned}$$

ہیں۔ تفرقی جوڑی کے تمام برقی دباؤ اور برقی رو حاصل کریں۔

حل: منبع رو  $2 \times I = 4 \text{ mA}$  رو پیدا کرتی ہے۔ چونکہ دونوں ٹرانزسٹروں کے بیس سرے برابر برقی دباؤ یعنی  $3 \text{ V}$  پر ہیں لہذا  $V_{BE} = 0.7 \text{ V}$  لیتے ہوئے

$$v_E = 3 - 0.7 = 2.3 \text{ V}$$

ہو گا اور

$$i_{E1} = i_{E2} = \frac{4 \text{ mA}}{2} = 2 \text{ mA}$$

اور یوں

$$i_{C1} = i_{C2} = \alpha \times 2 \text{ mA} = 0.99 \times 2 \text{ mA} = 1.98 \text{ mA}$$

$$v_{C1} = v_{C2} = 15 - 1.98 \times 10^{-3} \times 3.9 \times 10^3 = 7.3 \text{ V}$$

$$v_o = v_{C2} - v_{C1} = 7.3 - 7.3 = 0 \text{ V}$$

یہاں منبع رو کے سروں پر  $2.3 \text{ V}$  اور  $-15 \text{ V}$  ہونے سے اس پر

$$2.3 - (-15) = 17.3 \text{ V}$$

ہوں گے۔ مزید یہ کہ ٹرانزسٹروں کے بیس سروں پر  $3 \text{ V}$  جبکہ ان کے کلکٹر سروں پر  $7.3 \text{ V}$  ہونے سے ان کے بیس۔کلکٹر جوڑ الٹ مائل ہیں۔ یوں یہ افزائندہ خطے میں ہیں جو کہ تفرقی جوڑے کے صحیح کارکردگی کے لئے ضروری ہے۔

مثال 5.2: مثال 5.1 میں مشترکہ برقی دباؤ کی وہ حد معلوم کریں جس پر ٹرانزسٹر غیر-افزائندہ خطے میں داخل ہو جائیں گے۔

حل: اس مثال میں ہم نے دیکھا کہ مشترکہ برقی دباؤ مہیا کرنے سے دونوں ٹرانزسٹروں میں برابر برقی رو کا گزر ہوتا ہے اور ان کے کلکٹر سروں پر  $7.3 \text{ V}$  پایا جاتا ہے۔ اگر بیس۔کلکٹر جوڑ پر سیدھی رُخ چالو کردہ برقی دباؤ یعنی  $0.5 \text{ V}$  پایا جائے تو ٹرانزسٹر غیر-افزائندہ صورت اختیار کر لیتا ہے۔ یوں ٹرانزسٹر اس وقت تک افزائندہ رہیں گے جب تک ان کے بیس سروں پر تقریباً  $(7.3 + 0.5 = 7.8 \text{ V})$  یا اس سے کم مشترکہ برقی دباؤ پائی جائے یعنی

$$v_{CM} \leq 7.8 \text{ V}$$

## 5.1.2 تفرقی اشارہ موجود

آئیں تفرقی برقی اشارہ کو صفر وولٹ سے بڑھا کر تفرقی جوڑے کی کارکردگی دیکھیں۔ شکل 5.3 الف میں  $v_{B2}$  کو برقی زمین<sup>4</sup> یعنی صفر وولٹ پر رکھا گیا ہے جبکہ  $v_{B1} = 0.9 \text{ V}$  رکھا گیا ہے۔ آپ دیکھ سکتے ہیں کہ اس صورت تفرقی جوڑے کے دو اطراف یکساں صورت نہیں رہتے۔ اگر دونوں مداخل پر صفر وولٹ دئے جاتے تب

$$v_{BE1} = v_{BE2} = 0.7 \text{ V}$$

$$v_E = v_B - v_{BE} = 0 - 0.7 = -0.7 \text{ V}$$

ہوتے۔ ایک مداخل مثلاً  $v_{B2}$  کو صفر وولٹ پر رکھتے ہوئے اگر  $v_{B1}$  پر برقی دباؤ بڑھایا جائے تو آپ دیکھ سکتے ہیں کہ  $Q_1$  کا بیس۔ کلکٹر جوڑ سیدھے مائل ہو گا اور

$$v_E = v_{B1} - v_{BE1}$$

رہے گا۔ اس طرح اگر  $v_{B1} = 0.9 \text{ V}$  کر دیا جائے تو

$$v_E = 0.9 - 0.7 = 0.2 \text{ V}$$

ہو گا اور یوں  $Q_2$  کے بیس۔ کلکٹر جوڑ پر

$$v_{BE2} = v_{B2} - v_E = 0 - 0.2 = -0.2 \text{ V}$$

برقی دباؤ ہو گا جو اسے منقطع رکھے گا۔ منقطع ٹرانزسٹر میں برقی رو کا گزر ممکن نہیں لہذا تمام کا تمام  $2 \times I$  برقی رو ٹرانزسٹر  $Q_1$  کو منتقل ہو جائے گی یعنی

$$i_{E1} = 2I$$

$$i_{E2} = 0$$

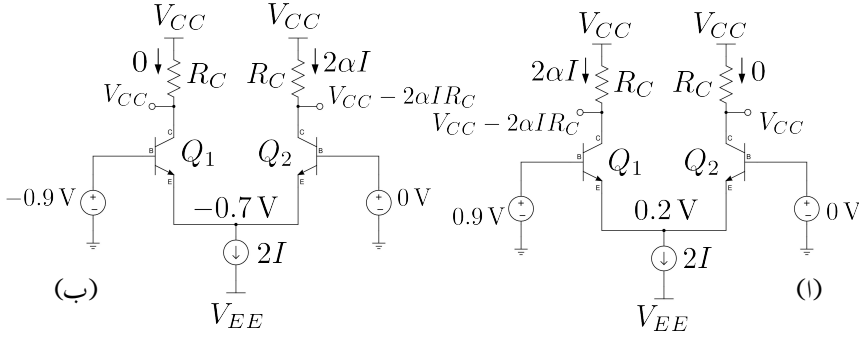
یوں

$$v_{C1} = V_{CC} - 2\alpha I R_C$$

$$v_{C2} = V_{CC}$$

$$v_o = v_{C2} - v_{C1} = +2\alpha I R_C$$

ہوں گے۔ آپ دیکھ سکتے ہیں تفرقی اشارہ کے موجودگی میں خارجی برقی دباؤ  $v_o$  کی قیمت صفر وولٹ نہیں رہتی۔ حقیقت میں تفرقی جوڑا نہایت کم داخلی تفرقی برقی دباؤ پر ہی تمام کی تمام برقی رو (یعنی  $2 \times I$ ) کو ایک ٹرانزسٹر منتقل کر کے  $+2\alpha I R_C$  برقی دباؤ خارج کر دے گا جس کے بعد تفرقی دباؤ مزید بڑھانے سے خارجی برقی دباؤ  $v_o$



شکل 5.3: تفرقی اشارہ کے موجودگی میں تفرقی جوڑے کی کارکردگی

میں مزید تبدیلی ممکن نہیں۔ تفرقی جوڑے کے دونوں دخول صفر وولٹ ہونے کی صورت میں  $v_E = -0.7V$  ہوتا ہے۔ اب اگر  $v_{B2} = 0V$  رکھتے ہوئے  $v_{B1} = -0.9V$  کر دیا جائے تو  $Q_2$  کا بیس-ایمٹر جوڑ سیدھا مائل ہو جائے گا لہذا  $v_E = -0.7V$  ہو گا۔ یوں  $Q_1$  کے بیس سرے پر  $-0.9V$  جبکہ اس کے ایمٹر سرے پر  $-0.7V$  ہونے کی وجہ سے یہ منقطع صورت اختیار کر لے گا۔ یہ صورت شکل 5.3 ب میں دکھائی گئی ہے۔ یوں منبع رو کی تمام برقی رو (یعنی  $2 \times I$ ) ٹرانزسٹر  $Q_2$  کو منتقل ہو جائے گی۔ اس طرح

$$i_{E1} = 0$$

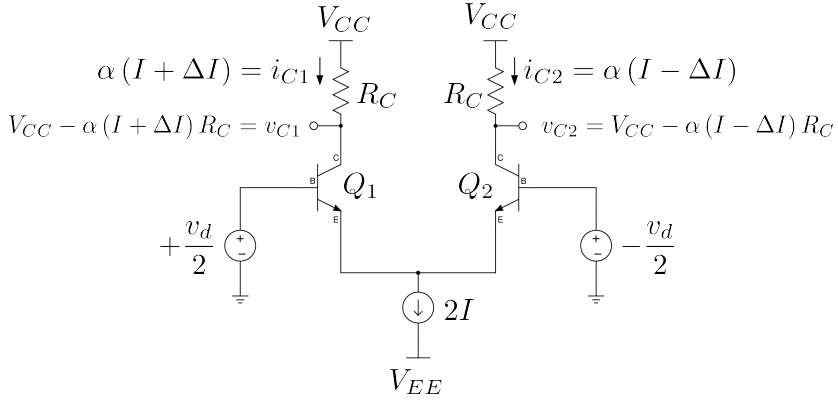
$$i_{E2} = 2I$$

$$v_{C1} = V_{CC}$$

$$v_{C2} = V_{CC} - 2\alpha IR_C$$

$$v_o = v_{C2} - v_{C1} = -2\alpha IR_C$$

ہوں گے۔ شکل 5.3 الف میں ہم نے دیکھا کہ  $v_d = v_{B1} - v_{B2} = 0.9V$  کی صورت میں تفرقی جوڑا تمام کی تمام برقی رو (یعنی  $2 \times I$ ) کو ایک ٹرانزسٹر میں منتقل کر چکا ہوتا ہے اور یوں یہ  $v_o = +2\alpha IR_C$  خارج کرتا ہے جبکہ شکل ب میں  $v_d = -0.9V$  ہیں اور تفرقی جوڑا تمام کی تمام برقی رو کو دوسرے ٹرانزسٹر میں منتقل کر کے  $v_o = -2\alpha IR_C$  خارج کرتا ہے۔



شکل 5.4: باریک تفرقی اشارے پر صورت حال

## 5.2 باریک داخلی تفرقی اشارہ پر تفرقی جوڑے کی بنیادی کارکردگی

کرنخوف کے قانون برائے برقی رو کے تحت  $i_{E1} + i_{E2} = 2 \times I$  رہے گا۔ اب تصور کریں کہ تفرقی جوڑے کو باریک تفرقی اشارہ  $v_d$  مہیا کیا جاتا ہے۔ باریک تفرقی اشارہ سے مراد اتنی  $v_d$  ہے جس سے تمام کی تمام برقی رو  $2 \times I$  کسی ایک ٹرانزسٹر میں منتقل نہ ہو۔ جیسا شکل 5.4 میں دکھایا گیا ہے، ہم اس صورت کو یوں بیان کر سکتے ہیں کہ  $+\frac{v_d}{2}$  اشارہ بطور  $v_{B1}$  اور  $-\frac{v_d}{2}$  اشارہ بطور  $v_{B2}$  مہیا کیا جاتا ہے یعنی

$$v_{B1} = +\frac{v_d}{2}$$

$$v_{B2} = -\frac{v_d}{2}$$

اگر  $v_{B1}$  اور  $v_{B2}$  دونوں پر صفر وولٹ دئے جاتے تب  $i_{E1} = i_{E2} = I$  ہوتا۔ اب جب  $v_{B1}$  کو ہلکا بڑھایا اور  $v_{B2}$  کو گھٹایا گیا ہے تو  $i_{B1}$  میں  $\Delta I$  کا اضافہ ہو گا جبکہ  $i_{B2}$  میں اتنی ہی کمی واقع ہو گی۔ تاہم اب بھی  $i_{E1} + i_{E2} = 2I$  ہو گا۔ یوں

$$i_{E1} = I + \Delta I$$

$$i_{E2} = I - \Delta I$$

ہوں گے۔ لہذا

$$\begin{aligned} i_{C1} &= \alpha I_{E1} = \alpha (I + \Delta I) \\ i_{C2} &= \alpha I_{E2} = \alpha (I - \Delta I) \\ v_{C1} &= V_{CC} - i_{C1} R_C = V_{CC} - \alpha (I + \Delta I) R_C \\ v_{C2} &= V_{CC} - i_{C2} R_C = V_{CC} - \alpha (I - \Delta I) R_C \\ v_o &= v_{C2} - v_{C1} = +2\alpha \Delta I R_C \end{aligned}$$

ہوں گے۔ یہاں یہ بات ذہن نشین کرنا ضروری ہے کہ تفرقی جوڑے کے ایک ٹرانزسٹر کی برقی رو میں جتنا بھی اضافہ (یا کمی) پیدا ہو، دوسرے ٹرانزسٹر میں اتنی ہی کمی (یا اضافہ) پیدا ہوتا ہے۔

### 5.3 وسیع داخلی اشارہ پر تفرقی جوڑے کی کارکردگی

اس حصہ میں تفرقی جوڑے پر تفصیلی غور کیا جائے گا۔  $Q_1$  کے بیس سرے پر  $v_{B1}$  جبکہ اس کے ایمر سرے پر  $v_{E1} = v_{E2} = v_E$  برقی دباؤ پایا جاتا ہے۔ چونکہ دونوں ٹرانزسٹر کے ایمر سرے آپس میں جڑے ہیں لہذا  $v_{E1} = v_{E2} = v_E$  ہو گا۔ یوں ایمر سرے کے برقی دباؤ کو  $v_{E1}$  اور  $v_{E2}$  لکھنے کے بجائے  $v_E$  لکھ سکتے ہیں۔ اس طرح

$$(5.6) \quad v_{BE1} = v_{B1} - v_{E1} = v_{B1} - v_E$$

ہو گا۔ اسی طرح  $Q_2$  کے لئے ہم لکھ سکتے ہیں

$$(5.7) \quad v_{BE2} = v_{B2} - v_{E2} = v_{B2} - v_E$$

ان برقی دباؤ کو استعمال کر کے ہم لکھ سکتے ہیں

$$(5.8) \quad i_{C1} = I_S \left( e^{\frac{v_{BE1}}{V_T}} - 1 \right) \approx I_S e^{\frac{v_{BE1}}{V_T}} = I_S e^{\frac{v_{B1} - v_E}{V_T}}$$

$$(5.9) \quad i_{C2} = I_S \left( e^{\frac{v_{BE2}}{V_T}} - 1 \right) \approx I_S e^{\frac{v_{BE2}}{V_T}} = I_S e^{\frac{v_{B2} - v_E}{V_T}}$$

یوں

$$(5.10) \quad i_{E1} = \frac{i_{C1}}{\alpha} = \frac{I_S}{\alpha} e^{\frac{v_{B1} - v_E}{V_T}}$$

$$(5.11) \quad i_{E2} = \frac{i_{C2}}{\alpha} = \frac{I_S}{\alpha} e^{\frac{v_{B2} - v_E}{V_T}}$$



ان مساوات میں  $v_{B1}$  اور  $v_{B2}$  داخلی اشارات ہیں جنہیں آزاد متغیرات تصور کیا جائے جبکہ  $i_{E1}$  اور  $i_{E2}$  تابع متغیرات ہیں جن کا حصول درکار ہے۔ آئیں انہیں حاصل کریں۔ پہلے قدم میں مساوات 5.11 کو مساوات 5.10 سے تقسیم کر کے  $v_E$  سے چھٹکارا حاصل کیا جاتا ہے۔

$$(5.12) \quad \frac{i_{E2}}{i_{E1}} = \frac{\left( \frac{I_S}{\alpha} e^{\frac{v_{B2} - v_E}{V_T}} \right)}{\left( \frac{I_S}{\alpha} e^{\frac{v_{B1} - v_E}{V_T}} \right)} = e^{\left( \frac{v_{B2} - v_{B1}}{V_T} \right)} = e^{-\frac{v_d}{V_T}}$$

جہاں  $(v_{B1} - v_{B2})$  کو  $v_d$  لکھا گیا ہے۔ دونوں جانب ایک (1) جمع کرتے ہیں

$$(5.13) \quad \frac{i_{E2}}{i_{E1}} + 1 = 1 + e^{-\frac{v_d}{V_T}}$$

$$(5.14) \quad \frac{i_{E2} + i_{E1}}{i_{E1}} = 1 + e^{-\frac{v_d}{V_T}}$$

چونکہ  $i_{E1} + i_{E2} = 2 \times I$  ہوتا ہے لہذا اس مساوات کو یوں لکھ سکتے ہیں

$$(5.15) \quad \frac{2 \times I}{i_{E1}} = 1 + e^{-\frac{v_d}{V_T}}$$

اسے الٹا کرنے سے تابع متغیرہ  $i_{E1}$  حاصل ہوتا ہے

$$(5.16) \quad \left( \frac{2 \times I}{i_{E1}} \right)^{-1} = \left( 1 + e^{-\frac{v_d}{V_T}} \right)^{-1}$$

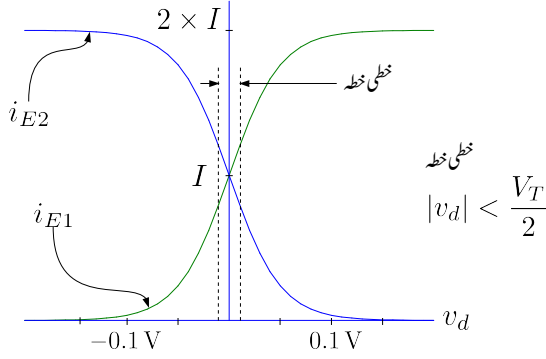
$$\frac{i_{E1}}{2 \times I} = \frac{1}{\left( 1 + e^{-\frac{v_d}{V_T}} \right)}$$

یعنی

$$(5.17) \quad i_{E1} = \frac{2 \times I}{\left( 1 + e^{-\frac{v_d}{V_T}} \right)}$$

اگر ہم مساوات 5.10 کو مساوات 5.11 سے تقسیم کرتے تو مندرجہ ذیل مساوات حاصل ہوتا۔

$$(5.18) \quad i_{E2} = \frac{2 \times I}{\left( 1 + e^{+\frac{v_d}{V_T}} \right)}$$



شکل 5.5: تفرقی جوڑے کے  $v_d - i_d$  خط

مساوات 5.17 اور مساوات 5.18 شکل 5.5 میں کھینچے گئے ہیں۔

مثال 5.3: صفر وولٹ تفرقی اشارہ یعنی  $v_d = 0$  پر  $i_{E1}$  اور  $i_{E2}$  حاصل کریں۔

حل: مساوات 5.17 سے حاصل ہوتا ہے

$$i_{E1} = \frac{2 \times I}{1 + e^{-\frac{0}{V_T}}} = \frac{2 \times I}{1 + e^0} = \frac{2 \times I}{1 + 1} = I$$

اسی طرح مساوات 5.18 سے حاصل ہوتا ہے

$$i_{E2} = \frac{2 \times I}{1 + e^{+\frac{0}{V_T}}} = \frac{2 \times I}{1 + e^0} = \frac{2 \times I}{1 + 1} = I$$

مثال 5.4: مندرجہ ذیل تفرقی برقی اشارات پر  $i_{E2}$  حاصل کریں۔

.1

$$v_d = -0.15 \text{ V}$$

.2

$$v_d = -0.1 \text{ V}$$

.3

$$v_d = 0.1 \text{ V}$$

.4

$$v_d = 0.15 \text{ V}$$

حل: مساوات 5.18 کے تحت

.1

$$i_{E2} = \frac{2 \times I}{1 + e^{\frac{-0.15}{0.025}}} = \frac{2 \times I}{1 + 0.0024788} \approx 2 \times I$$

.2

$$i_{E2} = \frac{2 \times I}{1 + e^{\frac{-0.1}{0.025}}} = \frac{2 \times I}{1 + 0.018316} = 0.982 \times 2 \times I$$

.3

$$i_{E2} = \frac{2 \times I}{1 + e^{\frac{+0.1}{0.025}}} = \frac{2 \times I}{1 + 54.598} = 0.018 \times 2 \times I$$

.4

$$i_{E2} = \frac{2 \times I}{1 + e^{\frac{+0.15}{0.025}}} = \frac{2 \times I}{1 + 403.41} = 0.00247 \times 2 \times I \approx 0$$

مثال 5.3 سے صاف ظاہر ہے کہ تفرقی اشارہ کے عدم موجودگی میں دونوں ٹرانزسٹر میں برابر برقی رو پائی جاتی ہے۔ مزید یہ کہ ان برقی رو پر مشترکہ اشارہ  $v_{CM}$  کا کسی قسم کا کوئی اثر نہیں۔

مثال 5.4 میں  $v_d = -0.1V$  پر 98.2 فی صد برقی رو  $Q_2$  سے گزرتی ہے جبکہ  $v_d = 0.1V$  پر صرف 1.8 فی صد اس میں سے گزرتی ہے۔ اس سے یہ بات واضح ہوتی ہے کہ تفرقی اشارہ میں باریک تبدیلی سے تفرقی جوڑے میں برقی رو کی تقسیم بہت زیادہ متاثر ہوتی ہے۔

تفرقی جوڑے میں برقی رو کو ایک ٹرانزسٹر سے دوسرے ٹرانزسٹر میں منتقل کرنے کی خاطر نہایت کم داخلی تفرقی برقی دباؤ درکار ہوتا ہے۔ مزید یہ کہ اس تمام عمل میں تفرقی جوڑے کے دونوں ٹرانزسٹر افزائندہ حال رہتے ہیں۔

جیسا کہ آپ جانتے ہیں کہ ٹرانزسٹر کے بیس-ایسٹر جوڑے پر اندرونی کپیسٹر  $C_{b'e}$  اور بیس-کلکٹر جوڑے پر اندرونی کپیسٹر  $C_{b'c}$  پائے جاتے ہیں۔ غیر-افزائندہ ٹرانزسٹر میں ان کپیسٹروں کے مجموعہ کی قیمت، افزائندہ ٹرانزسٹر کے نسبت، زیادہ ہوتی ہے۔ ان کپیسٹروں میں بار بھرنا یا ان سے بار کے نکاسی کے لئے وقت درکار ہوتا ہے۔ اس درکار وقت کا دارومدار کل کپیسٹر کی قیمت اور ان دو مختلف برقی دباؤ (جن کے مابین اس میں بار بھرا جائے یا بار کی نکاسی کی جائے) پر ہوتا ہے۔

تفرقی جوڑا چونکہ ہر صورت افزائندہ رہتا ہے لہذا اس کے کپیسٹر کی قیمت کم ترین رہتی ہے اور چونکہ اسے چلانے کی خاطر درکار تفرقی اشارہ  $v_d$  کے دو حدود قریب قریب ہیں لہذا اسے استعمال کرتے ہوئے نہایت تیز رفتار ادوار تخلیق دینا ممکن ہوتا ہے۔ یہی وجہ ہے کہ تیز ترین عددی برقیات (مثلاً ایسٹر جوا منطق<sup>5</sup>) میں بالخصوص اور دیگر تیز ترین برقیات میں بالعموم تفرقی جوڑا ہی استعمال ہوتا ہے۔

اس حصہ میں ہم تفرقی جوڑے کو بطور ایمپلیفائر استعمال کریں گے۔ شکل 5.5 کو دیکھتے ہوئے معلوم ہوتا ہے کہ دو نقطہ دار لکیروں کے درمیان داخلی اشارہ  $v_d$  اور برقی رو  $i_{E1}$  (یا  $i_{E2}$ ) کے مابین خطی تعلق پایا جاتا ہے یعنی اس خطے میں  $v_d$  جتنے گنا بڑھایا یا گھٹایا جائے  $i_{E1}$  (یا  $i_{E2}$ ) میں اتنے گنا کی ہی تبدیلی پیدا ہوتی ہے۔ خطی تعلق کا خطہ تقریباً

$$(5.19) \quad |v_d| < \frac{V_T}{2}$$

پر پایا جاتا ہے۔ انہیں اس خطی خطے پر مزید غور کریں۔

## 5.4 باریک اشارہ پر تفرقی جوڑے کے کارکردگی پر تفصیلی غور

## 5.4.1 باریک اشاراتی مساوات

مساوات 5.17 اور مساوات 5.18 قطعی مساوات ہیں جن سے تفرقی جوڑے میں برقی رو کی تقسیم حاصل کی جا سکتی ہے۔ اگر ہم شکل 5.5 میں دکھائے خطی خطے کی بات کریں تو اس خطے میں برقی رو کی تقسیم کو نہایت سادہ اور خطی مساوات سے بھی حاصل کیا جاسکتا ہے۔ اس حصہ میں ان مساوات کو حاصل کرتے ہیں۔

مساوات 5.17 کو یہاں دوبارہ پیش کرتے ہیں۔

$$(5.20) \quad i_{E1} = \frac{2 \times I}{1 + e^{-\frac{v_d}{V_T}}}$$

اس مساوات کو  $e^{\frac{1}{2} \frac{v_d}{V_T}}$  سے ضرب اور تقسیم کرتے ہیں۔

$$(5.21) \quad i_{E1} = \left( \frac{2I}{1 + e^{-\frac{v_d}{V_T}}} \right) \left( \frac{e^{\frac{1}{2} \frac{v_d}{V_T}}}{e^{\frac{1}{2} \frac{v_d}{V_T}}} \right) = \frac{2I e^{\frac{1}{2} \frac{v_d}{V_T}}}{e^{+\frac{1}{2} \frac{v_d}{V_T}} + e^{-\frac{1}{2} \frac{v_d}{V_T}}}$$

آپ جانتے ہیں کہ باریک  $x$  کی صورت میں  $e^{+x}$  اور  $e^{-x}$  کے مکلازن تسلسل<sup>6</sup> یوں لکھے جاسکتے ہیں۔

$$e^{+x} = 1 + x + \frac{x^2}{2!} + \frac{x^3}{3!} + \dots$$

$$e^{-x} = 1 - x + \frac{x^2}{2!} - \frac{x^3}{3!} + \dots$$

چونکہ خطی خطے میں  $|v_d| < \frac{V_T}{2}$  ہے لہذا  $e^{+\frac{v_d}{V_T}}$  اور  $e^{-\frac{v_d}{V_T}}$  کے مکلازن تسلسل میں پہلے چند جزو کو چھوڑ کر بقیہ تمام اجزاء کے قیمتیں نہایت کم ہوں گی۔ مساوات 5.21 میں  $e^{+\frac{v_d}{V_T}}$  اور  $e^{-\frac{v_d}{V_T}}$  کے مکلازن تسلسل پُر

کرتے ہیں۔

$$\begin{aligned}
 i_{E1} &= 2I \frac{1 + \frac{1}{2} \frac{v_d}{V_T} \dots}{\left(1 + \frac{1}{2} \frac{v_d}{V_T} \dots\right) + \left(1 - \frac{1}{2} \frac{v_d}{V_T} \dots\right)} \\
 (5.22) \quad &\approx 2I \frac{\left(1 + \frac{1}{2} \frac{v_d}{V_T} \dots\right)}{2} \\
 &= I \left(1 + \frac{1}{2} \frac{v_d}{V_T}\right) \\
 &= I + \frac{I}{2} \frac{v_d}{V_T}
 \end{aligned}$$

جہاں دوسرے قدم پر تسلسل کے صرف پہلے دو جزورکھے گئے۔ یہ وہ سادہ خطی مساوات ہے جس کی تلاش تھی۔ اس کو یوں لکھتے ہیں۔

$$(5.23) \quad i_{E1} = I + \frac{I}{V_T} \frac{v_d}{2}$$

اسی طرح اگر  $i_{E2}$  کی سادہ خطی مساوات حاصل کی جائے تو وہ مندرجہ ذیل ہوگی۔

$$(5.24) \quad i_{E2} = I - \frac{I}{V_T} \frac{v_d}{2}$$

ان نتائج سے حاصل ہوتا ہے

$$\begin{aligned}
 (5.25) \quad i_{C1} &= \alpha i_{E1} = \alpha I + \frac{\alpha I}{V_T} \frac{v_d}{2} \\
 i_{C2} &= \alpha i_{E2} = \alpha I - \frac{\alpha I}{V_T} \frac{v_d}{2}
 \end{aligned}$$

تفرقی اشارہ کے عدم موجودگی، یعنی  $v_d = 0$ ، کی صورت میں  $i_{E1} = i_{E2} = I$  ہی حاصل ہوتے ہیں جو کہ ان ٹرانزسٹر کے نقطہ کارکردگی پر برقی رو  $I_{EQ1}$  اور  $I_{EQ2}$  ہیں۔ اسی طرح  $v_d = 0$  کی صورت میں مساوات 5.25 سے  $i_{C1} = \alpha I$  اور  $i_{C2} = \alpha I$  حاصل ہوتا ہے جو نقطہ کارکردگی پر کلکٹر برقی رو ہیں جنہیں  $I_{CQ}$  یا صرف  $I_C$  لکھا جاسکتا ہے۔ تفرقی اشارہ کے موجودگی میں مساوات 5.25 میں یک سمتی رو کے علاوہ بدلتی رو

بھی پائی جاتی ہے۔ یوں انہیں

$$\begin{aligned}
 i_{C1} &= I_C + \frac{\alpha I}{V_T} \frac{v_d}{2} \\
 &= I_C + i_c \\
 i_{C2} &= I_C - \frac{\alpha I}{V_T} \frac{v_d}{2} \\
 &= I_C - i_c
 \end{aligned}
 \tag{5.26}$$

لکھا جاسکتا ہے جہاں  $i_c$  بدلتی برقی رو یعنی

$$i_c = \frac{\alpha I}{V_T} \frac{v_d}{2} = \left( \frac{I_C}{V_T} \right) \frac{v_d}{2}
 \tag{5.27}$$

ہے۔ آپ صفحہ 325 پر دئے گئے مساوات 3.174 کی مدد سے جانتے ہیں کہ  $\frac{I_C}{V_T}$  دراصل  $g_m$  ہے لہذا اسے مزید اس طرح لکھ سکتے ہیں۔

$$i_c = g_m \frac{v_d}{2}
 \tag{5.28}$$

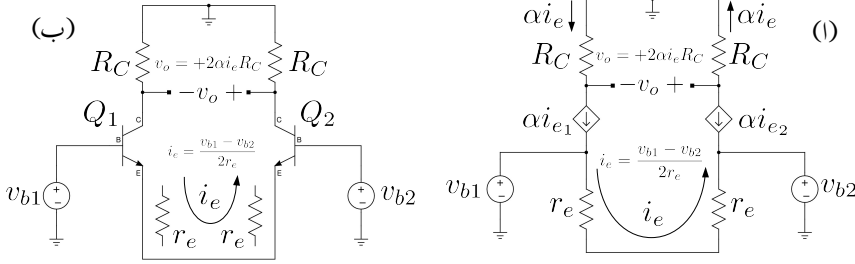
اس طرح مساوات 5.25 کو یوں لکھ سکتے ہیں۔

$$\begin{aligned}
 i_{C1} &= I_C + g_m \frac{v_d}{2} \\
 i_{C2} &= I_C - g_m \frac{v_d}{2}
 \end{aligned}
 \tag{5.29}$$

یہاں رک کر شکل 5.4 میں دکھائے  $i_{C1}$  اور  $i_{C2}$  کا مساوات 5.25 میں حاصل کئے گئے قیمتوں کے ساتھ موازنہ کریں۔ آپ دیکھ سکتے ہیں کہ  $\alpha \Delta I = \frac{\alpha I}{V_T} \frac{v_d}{2}$  ہے۔ باریک داخلی اشارے پر مساوات 5.28 کی مدد سے تفرقی جوڑے میں برقی رو  $i_c$  حاصل کی جاسکتی ہے۔ یہ ایک اہم نتیجہ ہے جس پر اگلے حصے میں تبصرہ کیا جائے گا۔

#### 5.4.2 برقی رو کا حصول بذریعہ ٹرانزسٹر ریاضی نمونہ

گزشتہ حصہ میں مساوات 5.28 حاصل کی گئی جس کے مدد سے تفرقی جوڑے میں برقی رو  $i_c$  حاصل کی جاسکتی ہے۔ انہیں اسی مساوات کو انتہائی سادہ طریقہ سے حاصل کریں۔ شکل 5.6 ب میں تفرقی جوڑے کا مساوی بدلتی رو



شکل 5.6: تفرقی برقی رو کا حصول بذریعہ ریاضی نمونہ

شکل دکھایا گیا ہے جہاں تمام یک سمتی منبع برقی دباؤ کو قصر دور اور تمام یک سمتی منبع برقی رو کو کھلے سرے کیا گیا ہے۔ شکل 5.6 الف میں ٹرانزسٹر کے ٹی-ریاضی نمونہ استعمال کر کے اسی کا مساوی دور بنایا گیا ہے جہاں سے صاف ظاہر ہے کہ

$$(5.30) \quad i_e = \frac{v_{b1} - v_{b2}}{2r_e} = \frac{v_d}{2r_e}$$

ہوگا جہاں  $v_{b1} - v_{b2}$  کو  $v_d$  لکھا گیا ہے۔ یوں  $i_{e1} = i_e$  جبکہ  $i_{e2} = -i_e$  کے برابر ہوگا۔ صفحہ 329 پر مساوات 3.192 کے تحت  $r_e = \frac{\alpha}{g_m}$  کے برابر ہے۔ یوں اس مساوات کو اس طرح لکھ سکتے ہیں۔

$$(5.31) \quad i_e = \frac{g_m}{\alpha} \frac{v_d}{2}$$

اور یوں

$$(5.32) \quad i_c = \alpha i_e = g_m \frac{v_d}{2}$$

اس طرح نہایت آسانی سے اس مساوات کو حاصل کیا گیا۔

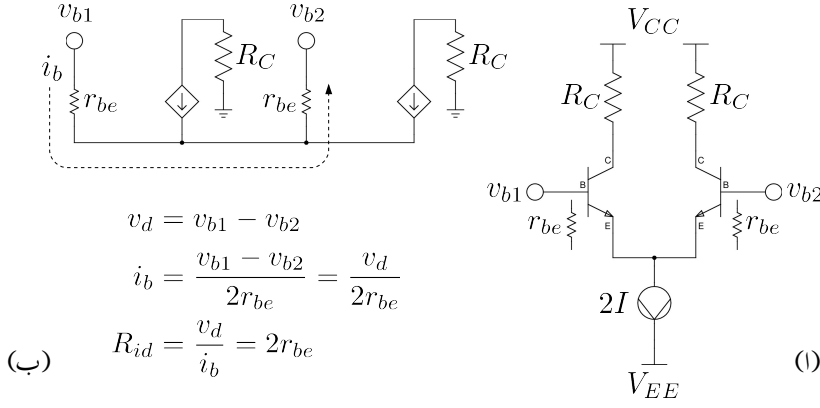
یہ مساوات حاصل کرتے وقت ریاضی نمونہ بنانا ضروری نہیں۔ شکل 5.6 ب میں ایمر سرے کے مزاحمت  $r_e$  کو تفرقی جوڑے کے اندر جانب دکھایا گیا ہے۔ یہ ایک تصوراتی شکل ہے جسے دیکھ کر آپ مساوت لکھ سکتے ہیں۔

ان دونوں اشکال کو دیکھ کر خارجی برقی دباؤ  $v_o$  حاصل کیا جاسکتا ہے یعنی

$$(5.33) \quad v_o = +i_c \times 2 \times R_C = +g_m R_C v_d$$







شکل 5.8: تفرقی جوڑے کی داخلی تفرقی مزاحمت

## 5.4.3 داخلی تفرقی مزاحمت

تفرقی جوڑے میں دونوں ٹرانزسٹر کے  $\pi$  ریاضی نمونہ استعمال کرتے شکل 5.8 ب حاصل ہوتا ہے جس سے اس کی داخلی برقی رو  $i_b$

$$(5.36) \quad i_b = \frac{v_{b1} - v_{b2}}{2r_{be}} = \frac{v_d}{2r_{be}}$$

اور اس سے تفرقی جوڑے کا داخلی تفرقی مزاحمت<sup>8</sup> یوں حاصل ہوتا ہے۔

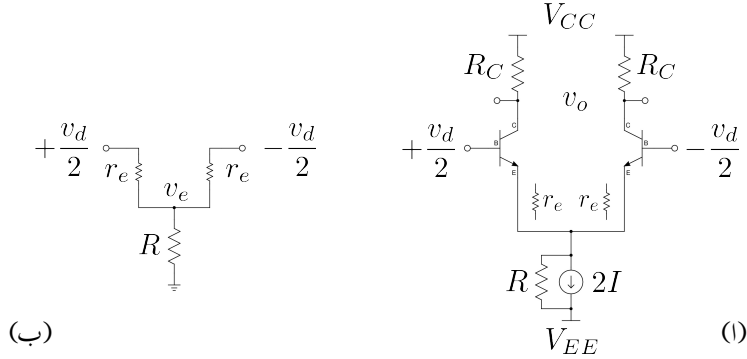
$$(5.37) \quad R_{id} = \frac{v_d}{i_b} = 2r_{be}$$

یہی دو جوابات مکمل ریاضی نمونہ بنانے کے بغیر بھی حاصل کئے جاسکتے ہیں جیسے شکل 5.8 الف میں دکھایا گیا ہے جہاں دونوں ٹرانزسٹر کے داخلی مزاحمت  $r_{be}$  کو ان کے داخلی جانب دکھا کر واضح کیا گیا ہے۔

اسی طریقے کو شکل 5.7 میں دکھائے تفرقی جوڑے کے لئے استعمال کرتے ہیں۔ چونکہ اس شکل میں

$$(5.38) \quad i_e = \frac{v_d}{2r_e + 2R_E}$$

<sup>8</sup> differential input resistance



شکل 5.9: باریک اشاراتی مزاحمت کو زیر نظر رکھتے ہوئے داخلی تفرقی مزاحمت

ہے لہذا

$$(5.39) \quad i_b = \frac{i_e}{\beta + 1} = \frac{1}{\beta + 1} \left( \frac{v_d}{2r_e + 2R_E} \right)$$

ہو گا جس سے داخلی تفرقی مزاحمت یوں حاصل ہوتا ہے۔

$$(5.40) \quad R_{id} = \frac{v_d}{i_b} = (\beta + 1) (2r_e + 2R_E)$$

اب تک ہم تصور کرتے رہے ہیں کہ تفرقی امپلیفائر میں استعمال کئے جانے والے ایک سمتی منبع رو کی اندرونی مزاحمت لامحدود ہوتی ہے۔ حقیقت میں پائے جانے والے ایک سمتی منبع رو کی اندرونی مزاحمت نہایت زیادہ مگر محدود ہوتی ہے۔ شکل 5.9 الف میں ایک سمتی منبع رو کا مساوی نارٹن دور<sup>9</sup> استعمال کرتے ہوئے اس کے اندرونی باریک اشاراتی مزاحمت  $R$  کو بھی شامل کیا گیا ہے۔ اس شکل میں ٹرانزسٹر کا اندرونی مزاحمت  $r_e$  کو تفرقی جوڑے کے اندر جانب فرضی طور دکھایا گیا ہے۔ شکل 5.9 ب میں اس امپلیفائر کے داخلی جانب کا باریک اشاراتی ریاضی نمونہ دکھایا گیا ہے۔ ٹرانزسٹروں کے امیٹر سرے کا برقی دباؤ  $v_e$  حاصل کرنے کی خاطر اس جوڑے پر کرخوف کا قانون برائے برقی رونافذ کرتے ہیں۔

$$(5.41) \quad \frac{v_e - \frac{v_d}{2}}{r_e} + \frac{v_e + \frac{v_d}{2}}{r_e} + \frac{v_e}{R} = 0$$

<sup>9</sup> Norton equivalent

اس مساوات سے حاصل ہوتا ہے۔

$$(5.42) \quad v_e = 0$$

اس نتیجے کے مطابق باریک تفرقی اشارہ  $v_d$  کا  $v_e$  پر کوئی اثر نہیں ہوتا اور  $v_e$  ہر وقت صفر وولٹ یعنی برقی زمین پر رہتا ہے۔ اس حقیقت کو مد نظر رکھتے ہوئے شکل 5.9 الف کا (باریک تفرقی اشارہ کے لئے) مساوی سادہ دور شکل 5.10 الف میں دکھایا گیا ہے۔ اس شکل میں تفرقی ایمپلیفائر کو دو عدد مشترکے-ایمر ایمپلیفائر تصور کرنا دکھایا گیا ہے جہاں بائیں ہاتھ کے ایمپلیفائر کا داخلی اشارہ  $+\frac{v_d}{2}$  اور اس کا خارجی اشارہ  $v_{c1}$  ہے جبکہ دائیں ایمپلیفائر کا داخلی اشارہ  $-\frac{v_d}{2}$  اور اس کا خارجی اشارہ  $v_{c2}$  ہے۔ شکل ب میں بائیں ہاتھ کے ایمپلیفائر کا باریک اشاراتی ریاضی نمونہ دکھایا گیا ہے جہاں ٹرانزسٹر کے اندرونی خارج مزاحمت  $r_o$  کے اثر کو بھی شامل کیا گیا ہے۔ اس ریاضی نمونہ سے آدھے دور کا داخلی باریک اشاراتی مزاحمت  $r_{be}$  کے برابر حاصل ہوتا ہے۔ تفرقی ایمپلیفائر کا داخلی باریک اشاراتی مزاحمت اس کا دگنا ہو گا یعنی

$$(5.43) \quad R_{id} = 2r_{be}$$

اگر  $v_o$  کو  $v_{c1}$  اور  $v_{c2}$  کے مابین لیا جائے تب تفرقی افزائش برقی دباؤ

$$(5.44) \quad A_d = \frac{v_o}{v_d} = \frac{v_{c2} - v_{c1}}{v_d} = g_m (R_C \parallel r_o)$$

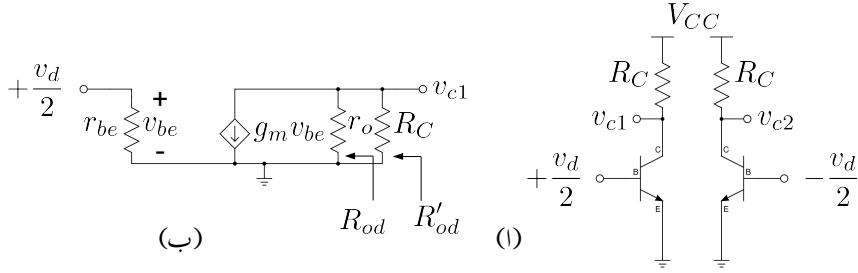
حاصل ہوتا ہے۔ عموماً  $r_o$  کی قیمت  $R_C$  کے قیمت سے بہت زیادہ ہوتی ہے اور یوں اس مساوات کو یوں لکھا جا سکتا ہے۔

$$(5.45) \quad A_{d پُری} = \frac{v_{c2} - v_{c1}}{v_d} = g_m R_C = \frac{R_C}{r_e}$$

اس کے برعکس اگر  $v_o$  کو  $v_{c1}$  (یا  $v_{c2}$ ) سے حاصل کیا جائے تب تفرقی افزائش برقی دباؤ یوں حاصل ہوتی ہے۔

$$(5.46) \quad A_{d آدھی} = \frac{v_o}{v_d} = \frac{v_{c1}}{v_d} = -\frac{R_C}{2r_e}$$

شکل 5.10 ب میں آدھے ایمپلیفائر کے خارجی تفرقی مزاحمت  $R_{od}$  اور  $R'_{od}$  دکھائے گئے ہیں۔  $R_{od}$  وہ مزاحمت ہے جس میں  $R_C$  کے اثر کو شامل نہیں کیا گیا یعنی اس میں  $R_C$  کو لامحدود تصور کرتے دور کا مزاحمت حاصل کیا گیا ہے۔ ہم کہتے ہیں کہ یہ مزاحمت  $R_C$  سے پہلا کا مزاحمت ہے۔  $R_{od}$  کی قیمت  $r_o$  ہے۔  $R'_{od}$  آدھے ایمپلیفائر کا وہ خارجی تفرقی مزاحمت ہے جو ٹرانزسٹر کے اندرونی مزاحمت  $r_o$  اور اس کے ساتھ منسلک بیرونی مزاحمت  $R_C$  دونوں کے اثر کو شامل کرتا ہے۔ اس کی قیمت  $(r_o \parallel R_C)$  ہے۔



شکل 5.10: تفرقی ایمپلیفائر بطور دو عدد البیٹر جوڑے ایمپلیفائر

## 5.4.4 داخلی مشترکہ مزاحمت اور مشترکہ افزائش

شکل 5.11 الف میں تفرقی جوڑے کو مشترکہ داخلی اشارہ  $v_{CM}$  فراہم کیا گیا ہے۔ دونوں ہاتھوں کے ٹرانزسٹروں میں یکساں برقی رو  $i_e$  گزرے گی اور یوں

$$(5.47) \quad v_e = (i_{e1} + i_{e2}) R = 2i_e R$$

ہو گا۔ اسی کو شکل ب کے طرز پر بھی بنایا جاسکتا ہے۔ آپ دیکھ سکتے ہیں کہ اب بھی  $v_e$  کی قیمت وہی ہے یعنی

$$(5.48) \quad v_e = i_e (2R) = 2i_e R$$

اسی طرح دونوں اشکال میں ٹرانزسٹروں میں یک سمتی برقی رو کی قیمت  $I$  ہی ہے۔ یوں مشترکہ اشارے کے لئے شکل الف کو دو یکساں ایمپلیفائر تصور کیا جاسکتا ہے۔ شکل ب سے

$$(5.49) \quad i_e = \frac{v_{CM}}{r_e + 2R}$$

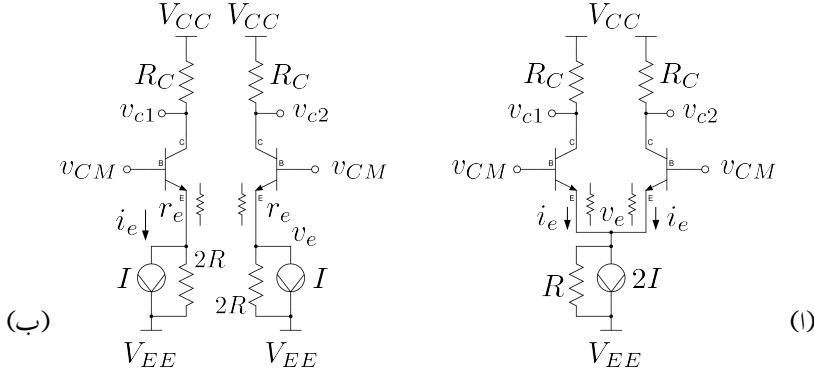
حاصل ہوتا ہے جس سے ایک بازو کا مشترکہ مزاحمت یوں حاصل ہوتا ہے

$$(5.50) \quad i_b = \frac{i_e}{\beta + 1} = \frac{v_{CM}}{(\beta + 1)(r_e + 2R)}$$

$$R_{icm, \text{ad}} = \frac{v_{CM}}{i_b} = (\beta + 1)(r_e + 2R)$$

تفرقی ایمپلیفائر کا مشترکہ داخلی مزاحمت اس کے دگنا ہو گا یعنی

$$(5.51) \quad R_{icm} = 2(\beta + 1)(r_e + 2R)$$



شکل 5.11: مشترکہ آدھے دور کا حصول

مزید یہ کہ

$$(5.52) \quad v_{c1} = v_{c2} = -\alpha i_e R_C = -\frac{\alpha R_C v_{CM}}{r_e + 2R}$$

حاصل ہوتے ہیں۔ اگر خارجی اشارہ  $v_o$  کو  $v_{c1}$  اور  $v_{c2}$  کے مابین لیا جائے تب اس کی قیمت صفر وولٹ ہو گی اور مشترکہ انفرانش برقی دباؤ<sup>10</sup> صفر ہو گا۔ البتہ اگر  $v_o$  کو  $v_{c1}$  (یا  $v_{c2}$ ) سے حاصل کیا جائے تب

$$(5.53) \quad v_o = v_{c1} = -\frac{\alpha R_C v_{CM}}{r_e + 2R}$$

ہو گا اور مشترکہ انفرانش برقی دباؤ

$$(5.54) \quad A_{cm} = \frac{v_o}{v_{CM}} = \frac{v_{c1}}{v_{CM}} = -\frac{\alpha R_C}{r_e + 2R}$$

ہو گا۔  $R$  کی قیمت  $R_C$  اور  $r_e$  کے قیمتوں سے بہت زیادہ ہوتا ہے اور یوں مشترکہ اشارہ حقیقت میں بڑھنے کے بجائے گھٹتا ہے۔

کامل تفرقی ایمپلیفائر صرف تفرقی اشارے کو بڑھا کر خارج کرتا ہے۔ البتہ حقیقی تفرقی ایمپلیفائر غیر کامل ہوتے ہیں۔ مساوات 5.46 کے تحت  $v_o = A_d v_d$  ہوتا ہے جبکہ مساوات 5.54 کے تحت  $v_o = A_{cm} v_{CM}$  ہوتا ہے۔ حقیقت میں تفرقی ایمپلیفائر کے خارجی اشارہ میں دونوں جزو پائے جاتے ہیں اور یوں

$$(5.55) \quad v_o = A_d v_d + A_{cm} v_{CM}$$

<sup>10</sup> common mode voltage gain

ہوگا۔ تفرقی ایمپلیفائر تفرقی اشارہ کو بڑھاتا ہے جبکہ یہ مشترکہ اشارہ کو رد کرتا ہے۔ مشترکہ اشارہ رد کرنے کے صلاحیت<sup>11</sup> CMRR کو  $A_d$  اور  $A_{cm}$  کے تناسب سے ناپا جاتا ہے یعنی

$$(5.56) \quad CMRR = \left| \frac{A_d}{A_{cm}} \right| = \frac{r_e + 2R}{\alpha r_e}$$

جہاں مساوات 5.46 اور مساوات 5.54 کی مدد حاصل کی گئی ہے۔ مشترکہ اشارہ رد کرنے کے صلاحیت CMRR کو عموماً ڈیسی بیل<sup>12</sup> میں ناپا جاتا ہے یعنی

$$(5.57) \quad CMRR = 20 \log \left| \frac{A_d}{A_{cm}} \right|$$

مندرجہ بالا بحث، تفرقی ایمپلیفائر کے دونوں بازو بالکل یکساں ہونے کے صورت میں درست ہوگا۔ حقیقت میں عموماً ایسا نہیں ہوتا اور ایمپلیفائر کے دونوں بازووں میں فرق کی بنا پر مشترکہ خارجی اشارہ  $v_{c1}$  اور  $v_{c2}$  کے مابین لینے کے صورت میں بھی صفر وولٹ نہیں ہوتا۔ آئیں اس اثر کو زیادہ غور سے دیکھیں۔

تصور کریں کہ تفرقی ایمپلیفائر کے دو بازووں میں استعمال کئے گئے مزاحمت  $R_C$  میں فرق کے علاوہ دونوں بازو بالکل یکساں ہیں۔ یوں  $R_{C1} = R_C + \Delta R_C$  اور  $R_{C2} = R_C - \Delta R_C$  ہونے سے

$$(5.58) \quad \begin{aligned} v_{c1} &= - \frac{\alpha (R_C + \Delta R_C) v_{CM}}{r_e + 2R} \\ v_{c2} &= \frac{\alpha (R_C - \Delta R_C) v_{CM}}{r_e + 2R} \end{aligned}$$

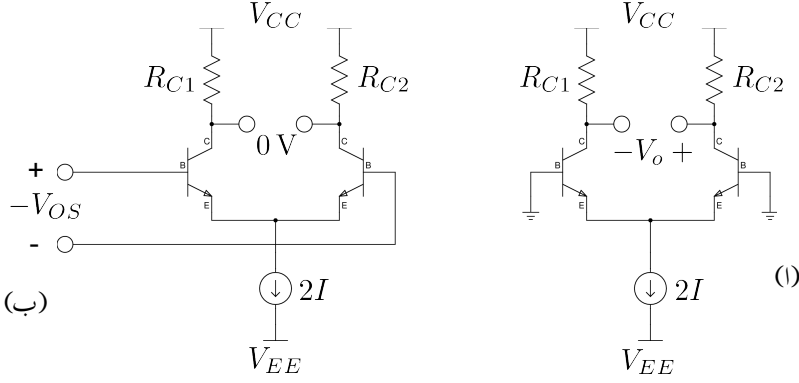
اور یوں

$$(5.59) \quad \begin{aligned} v_o &= v_{c2} - v_{c1} = - \frac{\alpha \Delta R_C v_{CM}}{r_e + 2R} \\ A_{cm} &= \frac{v_o}{v_{CM}} = - \frac{\alpha \Delta R_C}{r_e + 2R} \end{aligned}$$

یوں تفرقی ایمپلیفائر کے دو بازو غیر یکساں ہونے کی صورت میں مشترکہ افزائش برقی دباؤ صفر نہیں رہتی۔ خارجی اشارہ  $v_{c1}$  اور  $v_{c2}$  کر مابین لیتے ہوئے تفرقی ایمپلیفائر کا مشترکہ اشارہ رد کرنے کے صلاحیت CMRR مساوات 5.46 اور مساوات 5.59 کی مدد سے یوں حاصل ہوتا ہے

$$(5.60) \quad CMRR = \frac{g_m (r_e + 2R) R_C}{\alpha \Delta R_C}$$

common mode rejection ratio CMRR<sup>11</sup>  
decibell dB<sup>12</sup>



شکل 5.12: داخلی انحرافی برقی دباؤ

## 5.5 غیر کامل تفرقی جوڑے کا ناقص پن

### 5.5.1 داخلی انحرافی برقی دباؤ

کامل تفرقی جوڑا داخلی برقی دباؤ کی عدم موجودگی (یعنی  $V_{B1} = V_{B2} = 0$ ) کی صورت میں صفر وولٹ کا برقی دباؤ خارج کرتا ہے۔ حقیقی تفرقی جوڑا غیر کامل ہوتا ہے اور اس صورت میں اس کے خارجی برقی دباؤ صفر وولٹ سے انحراف کرتا ہے اور یوں یہ صفر وولٹ کے بجائے  $V_o$  وولٹ خارج کرتا ہے۔ اس برقی دباؤ یعنی  $V_o$  کو خارجی انحرافی برقی دباؤ<sup>13</sup> کہتے ہیں۔ خارجی انحرافی برقی دباؤ کو تفرقی جوڑے کے تفرقی افزائش  $A_d$  سے تقسیم کر کے داخلی انحرافی برقی دباؤ<sup>14</sup>  $V_{OS}$  حاصل ہوتا ہے یعنی

$$V_{OS} = \frac{V_o}{A_d} \quad (5.61)$$

صاف ظاہر ہے کہ تفرقی جوڑے کے داخلی جانب  $-V_{OS}$  مہیا کرنے سے خارجی جانب صفر وولٹ حاصل ہو گا۔ شکل 5.12 میں اس کی وضاحت کی گئی ہے۔ انحرافی برقی دباؤ تفرقی جوڑے کے مزاحمت  $R_{C1}$  اور  $R_{C2}$  برابر نہ ہونے سے پیدا ہوتا ہے۔ اسی طرح  $Q_1$  اور  $Q_2$  یکساں نہ ہونے سے بھی انحرافی برقی دباؤ جنم لیتا ہے۔ آئیں ان پر غور کریں۔

<sup>13</sup> output offset voltage  
<sup>14</sup> input offset voltage



تفرقی جوڑے کے دو ٹرانزسٹر مکمل طور یکساں ہونے کی صورت میں اگر اس کے دونوں داخلی سرے برقی زمین پر رکھے جائیں (یعنی  $V_{B1} = V_{B2} = 0$ ) تو برقی رو  $2 \times I$  ان میں برابر تقسیم ہوگی۔ اگر  $R_{C1}$  اور  $R_{C2}$  کی قیمتیں بھی بالکل برابر ہوں تو  $V_{C1}$  اور  $V_{C2}$  برابر ہوں گے اور یوں  $V_0 = 0$  ہوگا۔ البتہ اگر  $R_{C1}$  اور  $R_{C2}$  کی قیمتیں مختلف ہوں مثلاً

$$\begin{aligned} R_{C1} &= R_C + \Delta R_C \\ R_{C2} &= R_C - \Delta R_C \end{aligned} \quad (5.62)$$

تب

$$\begin{aligned} V_{C1} &= V_{CC} - \alpha I R_{C1} = V_{CC} - \alpha I (R_C + \Delta R_C) \\ V_{C2} &= V_{CC} - \alpha I R_{C2} = V_{CC} - \alpha I (R_C - \Delta R_C) \end{aligned} \quad (5.63)$$

ہوں گے اور یوں

$$V_0 = V_{C2} - V_{C1} = 2\alpha I \Delta R_C \quad (5.64)$$

ہوگا۔ یہ خارجی انحرافی برقی دباؤ ہے جس سے داخلی انحرافی برقی دباؤ یوں حاصل ہوتا ہے۔

$$V_{OS} = \frac{V_0}{A_d} = \frac{2\alpha I \Delta R_C}{g_m R_C} = \frac{2\alpha I \Delta R_C}{\left(\frac{\alpha I}{V_T}\right) R_C} = 2V_T \frac{\Delta R_C}{R_C} \quad (5.65)$$

اس مساوات کے حصول میں  $A_d = g_m R_C$  اور  $g_m = \frac{\alpha I}{V_T}$  کا استعمال کیا گیا ہے۔ داخلی انحرافی برقی دباؤ کو بطور مثبت عدد لکھا جاتا ہے یعنی

$$|V_{OS}| = \left| 2V_T \frac{\Delta R_C}{R_C} \right| \quad (5.66)$$

آئیں اب ٹرانزسٹر یکساں نہ ہونے سے پیدا انحرافی برقی دباؤ پر غور کریں۔ فرض کریں کہ ٹرانزسٹر کے  $I_S$  مختلف ہیں یعنی

$$\begin{aligned} I_{S1} &= I_S + \Delta I_S \\ I_{S2} &= I_S - \Delta I_S \end{aligned} \quad (5.67)$$

ہیں۔ شکل 5.12 الف میں ٹرانزسٹر کے ایڈیٹر سرے آپس میں جڑے ہیں جبکہ ان کے بیس سرے برقی زمین پر ہیں۔ یوں  $V_{BE1} = V_{BE2} = V_{BE}$  ہے۔ اس صورت ٹرانزسٹر کی برقی رو مندرجہ ذیل ہوں گی۔

$$\begin{aligned} I_{C1} &= (I_S + \Delta I_S) \left( e^{\frac{V_{BE}}{V_T}} - 1 \right) \\ I_{C2} &= (I_S - \Delta I_S) \left( e^{\frac{V_{BE}}{V_T}} - 1 \right) \end{aligned} \quad (5.68)$$

ان سے  $\frac{I_{C2}}{I_{C1}}$  حاصل کرتے ہیں۔

$$(5.69) \quad \frac{I_{C2}}{I_{C1}} = \frac{I_S - \Delta I_S}{I_S + \Delta I_S}$$

دونوں جانب ایک (1) جمع کرتے ہیں۔

$$(5.70) \quad \begin{aligned} \frac{I_{C2}}{I_{C1}} + 1 &= 1 + \frac{I_S - \Delta I_S}{I_S + \Delta I_S} \\ \frac{I_{C2} + I_{C1}}{I_{C1}} &= \frac{2I_S}{I_S + \Delta I_S} \end{aligned}$$

چونکہ  $I_{C1} + I_{C2} = 2 \times I \times \alpha$  ہے لہذا اس مساوات سے حاصل ہوتا ہے۔

$$(5.71) \quad I_{C1} = I \times \alpha \left( \frac{I_S + \Delta I_S}{I_S} \right) = \alpha I \left( 1 + \frac{\Delta I_S}{I_S} \right)$$

اسی طرح  $I_{C2}$  کے لئے حاصل ہو گا۔

$$(5.72) \quad I_{C2} = I \times \alpha \left( \frac{I_S - \Delta I_S}{I_S} \right) = \alpha I \left( 1 - \frac{\Delta I_S}{I_S} \right)$$

اور

$$(5.73) \quad \begin{aligned} V_{C1} &= V_{CC} - \alpha I \left( 1 + \frac{\Delta I_S}{I_S} \right) R_C \\ V_{C2} &= V_{CC} - \alpha I \left( 1 - \frac{\Delta I_S}{I_S} \right) R_C \\ V_O &= V_{C2} - V_{C1} = 2\alpha I R_C \frac{\Delta I_S}{I_S} \\ |V_{OS}| &= \left| \frac{V_O}{A_d} \right| = \left| \frac{V_O}{g_m R_C} \right| = \left| \frac{2\alpha I R_C \frac{\Delta I_S}{I_S}}{\frac{\alpha I}{V_T} R_C} \right| = \left| 2V_T \frac{\Delta I_S}{I_S} \right| \end{aligned}$$

ان دو وجوہات کے علاوہ دیگر وجوہات (مثلاً  $\beta$  اور  $r_o$  میں فرق) کے بنا پر بھی انحرافی برقی دباؤ پیدا ہوتا ہے۔

## 5.5.2 داخلی میلان برقی روا اور انحرافی داخلی میلان برقی روا

تفرقی جوڑے کے دونوں بازو مکمل یکساں ہونے کی صورت میں دونوں جانب برابر یک سمتی میلان برقی روا<sup>15</sup> کا گزر ہوتا ہے یعنی

$$(5.74) \quad I_{B1} = I_{B2} = \frac{I}{\beta + 1}$$

البتہ دونوں بازووں میں فرق کی بنا پر دونوں جانب کی داخلی میلان برقی روا مختلف ہو سکتی ہیں۔ ایسی صورت میں دونوں جانب کی داخلی میلان برقی روا میں فرق، جسے انحرافی داخلی برقی روا<sup>16</sup>  $I_{OS}$  کہتے ہیں، کو یوں حاصل کرتے ہیں۔

$$(5.75) \quad I_{OS} = |I_{B1} - I_{B2}|$$

ٹرانزسٹر کے  $\beta$  میں اس کے عمومی قیمت سے انحراف کو دیکھتے ہیں۔ تصور کریں کہ

$$(5.76) \quad \begin{aligned} \beta_1 &= \beta + \Delta\beta \\ \beta_2 &= \beta - \Delta\beta \end{aligned}$$

ہیں جہاں  $\beta$  اس کی عمومی قیمت ہے اور  $\Delta\beta$  اس عمومی قیمت سے انحراف ہے۔ اس طرح

$$(5.77) \quad \begin{aligned} I_{B1} &= \frac{I}{\beta + \Delta\beta + 1} = \frac{I}{(\beta + 1) \left(1 + \frac{\Delta\beta}{\beta + 1}\right)} \approx \frac{I}{\beta + 1} \left(1 - \frac{\Delta\beta}{\beta + 1}\right) \\ I_{B2} &= \frac{I}{\beta - \Delta\beta + 1} = \frac{I}{(\beta + 1) \left(1 - \frac{\Delta\beta}{\beta + 1}\right)} \approx \frac{I}{\beta + 1} \left(1 + \frac{\Delta\beta}{\beta + 1}\right) \end{aligned}$$

ہوں گے۔ مساوات 5.77 کے دوسرے مساوات میں  $\frac{\Delta\beta}{\beta + 1}$  کو  $x$  تصور کرتے ہوئے شکل 5.13 میں دکھائے لمبی تقسیم کے طرز پر حل کرتے ہوئے صرف پہلے دو جزو لیتے ہوئے  $\frac{1}{1 - \frac{\Delta\beta}{\beta + 1}} \approx 1 + \frac{\Delta\beta}{\beta + 1}$  لکھا گیا ہے۔ مساوات 5.77 کے پہلے مساوات میں بھی یہی ترقیب استعمال کی گئی ہے۔ اس طرح

$$(5.78) \quad I_B = \frac{I_{B1} + I_{B2}}{2} = \frac{I}{\beta + 1}$$

اور

$$(5.79) \quad I_{OS} = \left| \frac{2I}{\beta + 1} \left( \frac{\Delta\beta}{\beta + 1} \right) \right| = 2I_B \left( \frac{\Delta\beta}{\beta + 1} \right)$$

حاصل ہوتے ہیں۔

<sup>15</sup> input bias current  
<sup>16</sup> input offset current

$$1 - x \sqrt{1 - \frac{1 + x + x^2 + \dots}{1 - x}}$$

$$\frac{x}{x - x^2}$$

$$\frac{x^2}{x^2 - x^3}$$

$$\vdots$$

شکل 5.13: لمبی تقسیم

## 5.6 مخلوط ادوار میں دو جوڑ ٹرانزسٹر کے مائل کرنے کے طریقے

ہم نے دو جوڑ ٹرانزسٹر کو چار عدد مزاحمت کے مدد سے مائل کر کے ان کے نقطہ کار کردگی تعین کرنا دیکھا۔ مخلوط دور میں ٹرانزسٹر کے نسبت، مزاحمت بنانا زیادہ مہنگا ثابت ہوتا ہے۔ اسی لئے مخلوط ادوار میں مزاحمت کے استعمال سے گریز کیا جاتا ہے اور ان میں ٹرانزسٹر کو یکے سمتی منبع رو<sup>17</sup> کی مدد سے مائل کیا جاتا ہے۔ اس سے پہلے کہ ہم دیکھیں یہ کیسا کیا جاتا ہے یہ ضروری ہے کہ یکے سمتی منبع رو پر غور کیا جائے۔

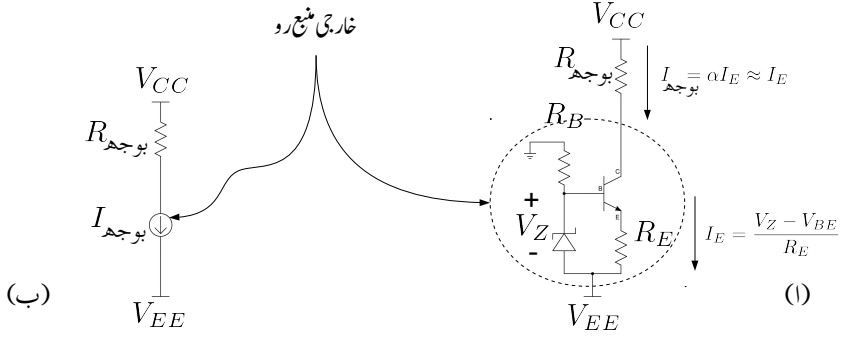
## 5.7 یک سمتی منبع برقی رو

شکل 5.14 الف میں npn ٹرانزسٹر استعمال کرتے ہوئے یکے سمتی منبع رو کا حصول دکھایا گیا ہے۔ اس دور میں،  $\alpha$  کو تقریباً ایک ( $\approx 1$ ) تصور کرتے ہوئے، جب تک ٹرانزسٹر افزا سندانہ رہے،  $I_E$  کا دار و مدار زینر ڈیوڈ کے  $V_Z$  اور مزاحمت  $R_E$  پر ہے یعنی

$$I_E = \frac{V_Z - V_{BE}}{R_E}$$

یوں  $I_E$  تبدیل کرنے سے اس میں برقی رو تبدیل نہیں ہوتی۔ اس سے ہم دیکھ سکتے ہیں کہ  $I_E$  سے منسلک بقایا دور بطور یکے سمتی منبع رو کام کرتا ہے۔ شکل میں نقطہ دار دائرے میں بند حصے کو یکے سمتی منبع رو کہتے ہیں۔

<sup>17</sup> constant current source

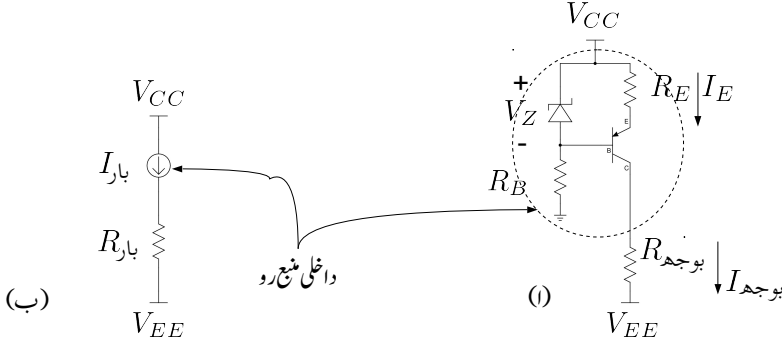


شکل 5.14: خارج کار منبع رو

شکل 5.14 ب میں یک سمتی منبع رو کی علامت (تیر والا دائرہ) استعمال کرتے ہوئے اسی دور کو دوبارہ پیش کیا گیا ہے۔ علامت میں تیر کا نشان مستقل برقی رو کی سمت دکھاتا ہے۔ آپ دیکھ سکتے ہیں کہ اس طرز کے یک سمتی منبع رو کو استعمال کرتے ہوئے بوجھ کو مثبت برقی دباؤ  $V_{CC}$  اور یک سمتی منبع رو کے مابین نسب کیا جاتا ہے اور یک سمتی منبع رو کی سمت بوجھ سے یک سمتی منبع رو کی جانب ہوتی ہے۔ یہاں آپ دیکھ سکتے ہیں کہ بوجھ سے برقی رو خارج ہو کر یک سمتی منبع رو میں داخل ہوتی ہے۔ ایسی یک سمتی منبع رو بوجھ سے برقی رو زبردستی خارج کراتی ہے۔ اسی لئے اس دور کا زیادہ مقبول نام خارج کار منبع رو<sup>18</sup> ہے۔ شکل 5.15 الف میں pnp ٹرانزسٹر پر مبنی یک سمتی منبع رو دکھایا گیا ہے جبکہ شکل 5.15 ب میں اسی دور کی علامتی شکل دکھائی گئی ہے۔ اس طرز کے یک سمتی منبع رو کو استعمال کرتے ہوئے بوجھ کو یک سمتی منبع رو اور منفی برقی دباؤ  $V_{EE}$  کے مابین نسب کیا جاتا ہے اور یک سمتی منبع رو کی سمت یک سمتی منبع رو سے بوجھ کی جانب ہوتی ہے۔ ایسی یک سمتی منبع رو بوجھ میں برقی رو زبردستی داخل کرتی ہے۔ اسی لئے اس دور کو داخل کار منبع رو<sup>19</sup> بھی کہا جاتا ہے۔

مخلوط ادوار میں عموماً متعدد یک سمتی منبع رو درکار ہوتے ہیں۔ وقت کے ساتھ ایسے ادوار کے کارکردگی میں تبدیلی آتی ہے جسے عمر رسیدگی<sup>20</sup> کا عمل کہتے ہیں۔ اسی طرح درجہ حرارت اور دیگر وجوہات کی بنا پر بھی ادوار کے کارکردگی میں تبدیلی رونما ہوتی ہے۔ مخلوط دور میں استعمال ہونے والے تمام یک سمتی منبع رو میں پائے جانے والے اس طرح کے اثرات کو یکساں بنانے کی کوشش کی جاتی ہے۔ یوں ان سے نپٹنا نسبتاً آسان ہوتا ہے۔ انہیں دیکھیں کہ اس طرز کے یک سمتی منبع رو کیسے بنائے جاتے ہیں۔

current sink<sup>18</sup>current source<sup>19</sup>ageing<sup>20</sup>



شکل 5.15: داخلی کار برقی رو

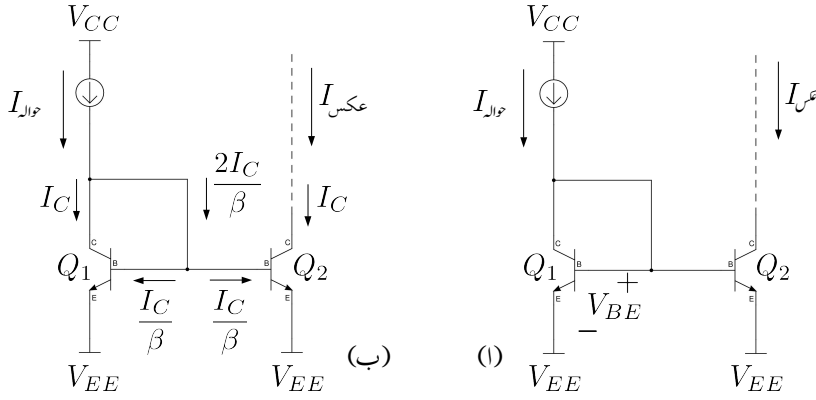
## 5.8 آئینہ برقی رو

شکل 5.16 الف میں آئینہ برقی رو<sup>21</sup> دکھایا گیا ہے۔ تصور کریں کہ دونوں ٹرانزسٹر کے  $\beta$  کی قیمت لامحدود ہے اور بائیں بازو میں برقی رو  $I_{\text{حوالہ}}$  گزر رہی ہے۔  $\beta$  کی قیمت لامحدود ہو تو ٹرانزسٹر کے بیس سرے پر برقی رو  $I_B$  قابل نظر انداز ہوگی۔ یوں ٹرانزسٹر  $Q_1$  میں برقی رو  $I_{\text{حوالہ}}$  اور اس کے بیس۔ایمپٹر جوڑ پر برقی دباؤ  $V_{BE}$  پایا جائے گا جہاں

$$(5.80) \quad I_{\text{حوالہ}} = I_S \left( e^{\frac{V_{BE}}{V_T}} - 1 \right)$$

ٹرانزسٹر  $Q_1$  اور  $Q_2$  کے بیس سرے آپس میں جڑے ہیں۔ اسی طرح ان کے ایمپٹر سرے بھی آپس میں جڑے ہیں۔ یوں  $Q_2$  کے بیس۔ایمپٹر جوڑ پر بھی برقی دباؤ  $V_{BE}$  ہی پایا جائے گا۔ اس ٹرانزسٹر کے لئے ہم لکھ سکتے ہیں۔

$$(5.81) \quad I_{\text{عکس}} = I_S \left( e^{\frac{V_{BE}}{V_T}} - 1 \right)$$



شکل 5.16: آئینہ برقی رو

مساوات 5.81 کو مساوات 5.80 سے تقسیم کرتے ملتا ہے۔

$$(5.82) \quad \frac{I_{\text{عکس}}}{I_{\text{حوالہ}}} = \frac{I_S \left( e^{\frac{V_{BE}}{V_T}} - 1 \right)}{I_S \left( e^{\frac{V_{BE}}{V_T}} - 1 \right)} = 1$$

$$I_{\text{عکس}} = I_{\text{حوالہ}}$$

یوں  $I_{\text{عکس}}$  بالکل  $I_{\text{حوالہ}}$  کا عکس ہے۔ اس کو یوں بھی بیان کر سکتے ہیں کہ بوجھ میں  $I_{\text{حوالہ}}$  کے حوالے سے برقی رو گزرتی ہے۔ جیسا کہ مثال 5.5 میں واضح کیا گیا ہے آئینہ برقی رو کی صحیح کارکردگی کے لئے یہ ضروری ہے کہ  $Q_2$  کو افزائندہ رکھا جائے۔

محدود  $\beta$  کی وجہ سے  $I_{\text{عکس}}$  اور  $I_{\text{حوالہ}}$  میں معمولی فرق رہتا ہے جس کی شکل ب میں وضاحت کی گئی ہے۔ چونکہ دونوں جانب ٹرانزسٹر کے بیس-ایمیٹر جوڑ پر یکساں برقی دباؤ  $V_{BE}$  پایا جاتا ہے لہذا ان دونوں کے کلکٹر

سروں پر برابر برقی رو  $I_C$  پائی جائے گی۔ یعنی

$$\begin{aligned} I_{C1} &= I_S \left( e^{\frac{V_{BE}}{V_T}} - 1 \right) \\ I_{C2} &= I_S \left( e^{\frac{V_{BE}}{V_T}} - 1 \right) \\ I_{C1} &= I_{C2} = I_C \end{aligned} \quad (5.83)$$

اسی طرح ان کے بیس سروں پر بھی برابر برقی رو پائی جائے گی یعنی

$$\begin{aligned} I_{B1} &= \frac{I_{C1}}{\beta} = \frac{I_C}{\beta} \\ I_{B2} &= \frac{I_{C2}}{\beta} = \frac{I_C}{\beta} \end{aligned} \quad (5.84)$$

بائیں بازو کرخوف کے قانون برائے برقی رو کے تحت

$$I_{حوالہ} = I_C + \frac{2I_C}{\beta} = I_C \left( 1 + \frac{2}{\beta} \right) \quad (5.85)$$

جبکہ دائیں بازو

$$I_{عکس} = I_{C2} = I_C \quad (5.86)$$

یوں

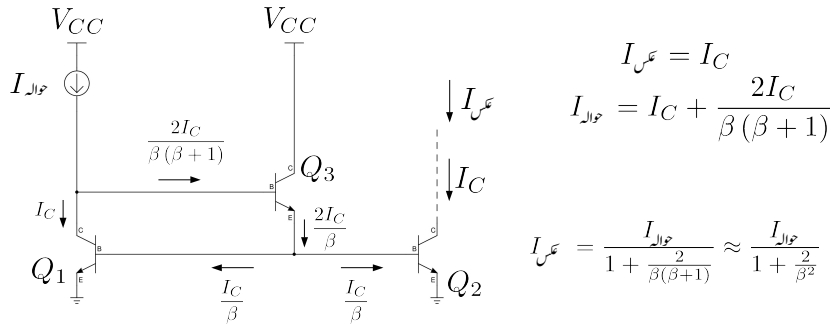
$$I_{عکس} = \frac{I_{حوالہ}}{1 + \frac{2}{\beta}} \quad (5.87)$$

ہو گا۔ جیسے آپ دیکھ سکتے ہیں کہ دونوں بازوؤں کی برقی رو میں ٹرانزسٹر کے بیس سرے کی برقی رو کی وجہ سے فرق پایا جاتا ہے۔ شکل 5.17 میں اس اثر کو کم کرنے کی ترکیب دکھائی گئی ہے جہاں سے ظاہر ہے کہ

$$I_{عکس} \approx \frac{I_{حوالہ}}{1 + \frac{2}{\beta^2}} \quad (5.88)$$

اس مساوات کو مساوات 5.87 کے ساتھ دیکھیں۔ فرق کے مقدار کو  $\beta$  گنا کم کر دیا گیا ہے۔ اگر شکل 5.17





شکل 5.17: بہتریک سمتی منبع رو

میں  $I_{\text{حوالہ}}$  پیدا کرنے کی خاطر ایک عدد مزاحمت  $R$  کو  $V_{CC}$  اور  $Q_3$  کے کلکٹر سرے کے درمیان جوڑ دیا جائے تب  $I_{\text{حوالہ}}$  یوں حاصل ہو گا۔

$$(5.89) \quad I_{B3} = \frac{V_{CC} - V_{BE1} - V_{BE3}}{R}$$

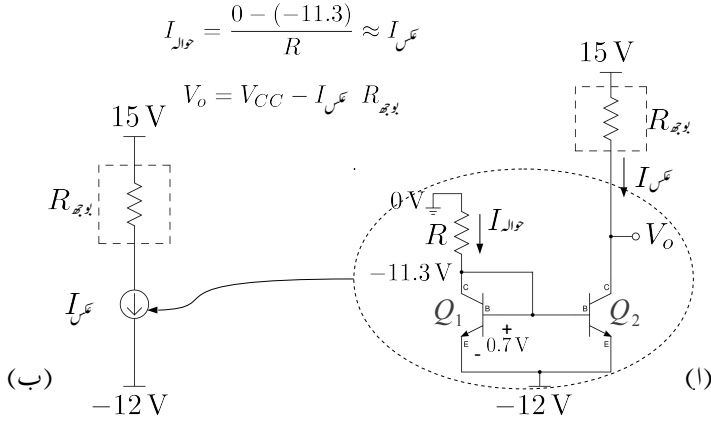
مثال 5.5: شکل 5.18 الف میں، نقطہ دار لکیر میں بند، ایک سادہ خارج کار مستقل برقی رو دکھایا گیا ہے جسے استعمال کرتے ہوئے برقی بوجھ  $R$  میں برقی رو  $I$  گزاری جا رہی ہے۔ شکل ب میں خارج کار مستقل برقی رو کی علامت استعمال کرتے ہوئے اسی دور کو دوبارہ پیش کیا گیا ہے۔ اگر

$$R = 11.3 \text{ k}\Omega$$

$$R_{B2} = 5 \text{ k}\Omega$$

ہوں تو

1. برقی بوجھ  $R$  میں برقی رو  $I$  حاصل کریں۔
2. برقی دباؤ  $V_0$  حاصل کریں۔



شکل 5.18: خارج کار مستقل برقی رد اور اس کی علامت

3. اگر بوجھ  $R_{بوجھ}$  کی مزاحمت دگنی کر دی جائے تب  $V_o$  کی قیمت کیا ہوگی۔
4.  $R_{بوجھ}$  کی مزاحمت  $20\text{ k}\Omega$  ہونے کی صورت میں  $V_o$  کی قیمت حاصل کریں۔
5. برقی بوجھ  $R_{بوجھ}$  کی وہ مزاحمت دریافت کریں جس پر ٹرانزسٹر  $Q_2$  غیر افزائندہ حال ہو جاتا ہے۔
6. برقی بوجھ کی مزاحمت  $40\text{ k}\Omega$  کرنے سے کیا نتائج مرتب ہوں گے۔

حل:

1. ٹرانزسٹر  $Q_1$  کا ایسٹر سرا  $-12\text{ V}$  پر ہے جبکہ اس کے بیس-ایسٹر جوڑ پر  $0.7\text{ V}$  پائے جاتے ہیں۔ یوں اس کا بیس سرا  $-11.3\text{ V}$  پر ہو گا۔ چونکہ بیس اور کلکٹر جڑے ہیں لہذا کلکٹر بھی  $-11.3\text{ V}$  پر ہو گا۔ یوں مزاحمت  $R$  کے ایک سرے پر  $-11.3\text{ V}$  ہیں۔ مزاحمت کا دوسرا سرا برقی زمین پر ہے اور یوں اس پر  $0\text{ V}$  ہے۔ مزاحمت  $R$  میں برقی رد

$$I_{عوالہ} = \frac{0 - (-11.3)}{11300} = 1\text{ mA}$$

پائی جائے گی۔ برقی بوجھ  $R_{بوجھ}$  سے بھی ایک ملی ایمپیر کی برقی رد گزرے گی۔

2. ٹرانزسٹر  $Q_2$  کے کلکٹر سرے پر برقی دباؤ

$$V_o = V_{CC} - I_{\text{بوجھ}} R_{\text{عکس}}$$

$$= 15 - 10^{-3} \times 5 \times 10^3 = 10 \text{ V}$$

پایا جاتا ہے۔

3. برقی بوجھ کی مزاحمت دگنی یعنی  $10 \text{ k}\Omega$  کرنے سے

$$V_o = V_{CC} - I_{\text{بوجھ}} R_{\text{عکس}}$$

$$= 15 - 10^{-3} \times 2 \times 5 \times 10^3 = 5 \text{ V}$$

4. برقی بوجھ کی مزاحمت  $20 \text{ k}\Omega$  کرنے سے

$$V_o = V_{CC} - I_{\text{بوجھ}} R_{\text{عکس}}$$

$$= 15 - 10^{-3} \times 20 \times 10^3 = -5 \text{ V}$$

ہو گا۔

5. اس مثال کے جزو، پ اور ت میں ہم دیکھتے ہیں کہ جب برقی بوجھ  $R_{\text{بوجھ}}$  کی مزاحمت بڑھائی جائے تو خارج کار مستقل برقی رو برقی دباؤ  $V_o$  گھٹا کر برقی بوجھ میں برقی رو کی قیمت برقرار رکھتا ہے۔ آپ دیکھ سکتے ہیں کہ اگر برقی بوجھ کی مزاحمت اسی طرح بتدریج بڑھائی جائے تو آخر کار  $Q_2$  غیر افزائندہ خطے میں داخل ہو جائے گا اور اس کے لئے  $V_o$  کا مزید گھٹانا ممکن نہ ہو گا۔ ٹرانزسٹر  $Q_2$  غیر افزائندہ ہونے کے بعد اگر برقی بوجھ کی مزاحمت مزید بڑھائی جائے تو اس میں برقی رو گھٹنا شروع ہو جائے گی۔

ٹرانزسٹر  $Q_2$  اس صورت غیر افزائندہ ہو گا جب اس کے کلکٹر-ایمیٹر سروں کے مابین  $0.2 \text{ V}$  پائے جائیں۔ اس صورت میں اگر گزشتہ جزو کے مساوات کو  $R_{\text{بوجھ}}$  کے لئے حل کریں تو حاصل ہوتا ہے

$$15 = I_{\text{بوجھ}} R_{\text{عکس}} + V_{\text{CE غیر افزائندہ}} - 12$$

$$15 = 10^{-3} \times R_{\text{بوجھ}} + 0.2 - 12$$

$$R_{\text{بوجھ}} = \frac{15 + 12 - 0.2}{10^{-3}} = 26.8 \text{ k}\Omega$$

6. ہم نے دیکھا کہ خارج کار مستقل برقی رو  $26.8 \text{ k}\Omega$  کے برقی بوجھ تک کے مزاحمت میں مستقل برقی رو برقرار رکھ سکتا ہے۔ برقی بوجھ کے مزاحمت کو مزید بڑھانے سے برقی بوجھ میں رواں برقی رو گھٹنا شروع ہو

جاتی ہے۔  $40 \text{ k}\Omega$  کے برقی بوجھ کے لئے

$$15 = IR_{\text{بوجھ}} + V_{\text{CE اسندہ}} - 12$$

$$15 = I \times 40 \times 10^3 + 0.2 - 12$$

$$I = \frac{15 + 12 - 0.2}{40 \times 10^3} = 0.67 \text{ mA}$$

ہم دیکھتے ہیں کہ برقی رو کی قیمت  $I$  اصل سے گھٹ جاتی ہے اور خارج کار مستقل برقی رو صحیح کارکردگی نہیں کر پاتا۔

شکل 5.19 الف میں npn ٹرانزسٹروں پر مبنی خارج کار مستقل برقی رو دکھایا گیا ہے۔ یہ دور نقطہ دار لکیر کی جگہ نسب مطلوبہ دور میں مستقل برقی رو عکس  $I$  گزارتا ہے۔ اس شکل کے لئے ہم لکھ سکتے ہیں۔

$$V_{CC} = I_{\text{حوالہ}} R + V_{BE} + V_{EE}$$

$$I_{\text{حوالہ}} = \frac{V_{CC} - 0.7 - V_{EE}}{R} = I_{\text{عکس}}$$

شکل ب میں اسی کا مساوی pnp ٹرانزسٹروں پر مبنی داخل کار مستقل برقی رو دکھایا گیا ہے۔ یہ دور نقطہ دار لکیر کی جگہ نسب مطلوبہ دور میں مستقل برقی رو عکس  $I$  گزارتا ہے۔

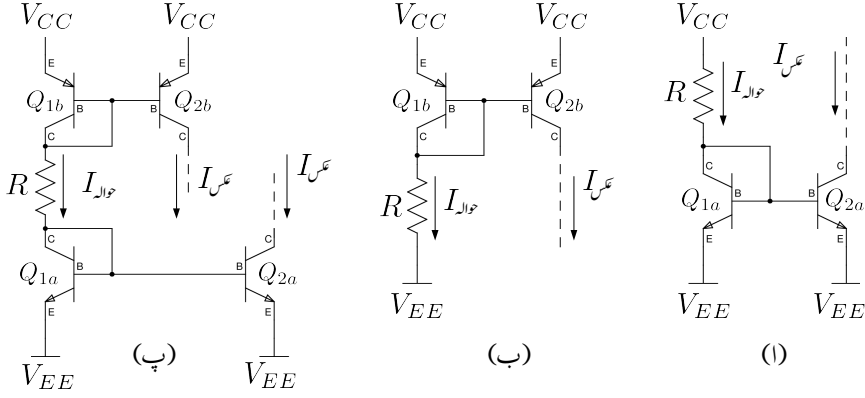
شکل پ میں ان دونوں ادوار کو یوں جوڑا گیا ہے کہ ایک ہی مزاحمت دونوں یک سمتی منبع رو کے عکس  $I$  کا تعین کرتا ہے۔ اس دور کے لئے ہم لکھ سکتے ہیں۔

$$V_{CC} = V_{EB} + I_{\text{حوالہ}} R + V_{BE} + V_{EE}$$

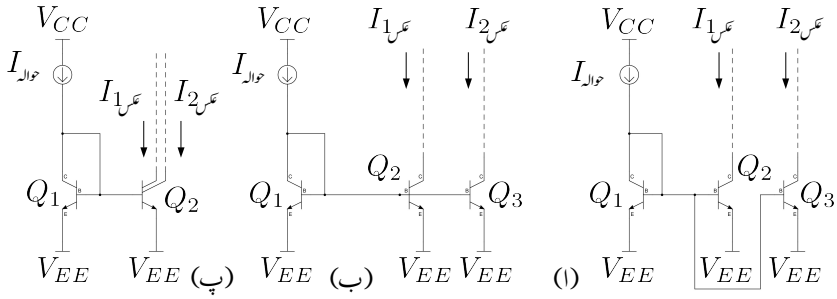
$$I_{\text{حوالہ}} = \frac{V_{CC} - 0.7 - 0.7 - V_{EE}}{R} = I_{\text{عکس}}$$

### 5.8.1 متعدد یک سمتی منبع رو

شکل 5.16 میں تیسرے ٹرانزسٹر یعنی  $Q_3$  کے شمولیت سے شکل 5.20 الف حاصل ہوتا ہے۔ چونکہ  $Q_3$  کے بیس-ایمٹر جوڑ پر بھی  $Q_1$  اور  $Q_2$  کے برابر  $V_{BE}$  پایا جاتا ہے لہذا اس میں بھی بالکل انہیں کے برابر  $I_C$



شکل 5.19: یک سمتی منبع رو کے مختلف ادوار



شکل 5.20: دو عکس کا حصول

برقی رو پائی جائے گی۔ آئیں دیکھتے ہیں کہ اس دور میں محدود  $\beta$  کتنا کردار ادا کرتا ہے۔ محدود  $\beta$  کی صورت میں ہم لکھ سکتے ہیں کہ

$$(5.90) \quad I_{1\text{ عکس}} = I_{2\text{ عکس}} = I_{\text{عکس}} = I_C$$

$$(5.91) \quad I_{\text{حوالہ}} = I_C + \frac{3I_C}{\beta}$$

اور یوں

$$(5.92) \quad I_{\text{عکس}} = \frac{I_{\text{حوالہ}}}{1 + \frac{3}{\beta}}$$

اس دور کو عموماً شکل 5.20 ب یا شکل 5.20 پ کے طرز پر صاف اور شفاف طریقے سے بنایا جاتا ہے۔ شکل پ میں ایک ہی ٹرانزسٹر کے دو کلکٹر دکھائے گئے ہیں۔ اس سے مراد دو ٹرانزسٹر لینا چاہئے جس کے بیس آپس میں جڑے ہیں اور اسی طرح اس کے ایسٹر بھی آپس میں جڑے ہیں جبکہ دونوں کے کلکٹر آپس میں نہیں جوڑے گئے ہیں۔

اسی بحث کو آگے بڑھاتے ہوئے ایک ایسے یک سمتی منبع رو جو  $n$  عکس بناتا ہو کے لئے مساوات 5.92 کی صورت یوں ہو گی۔

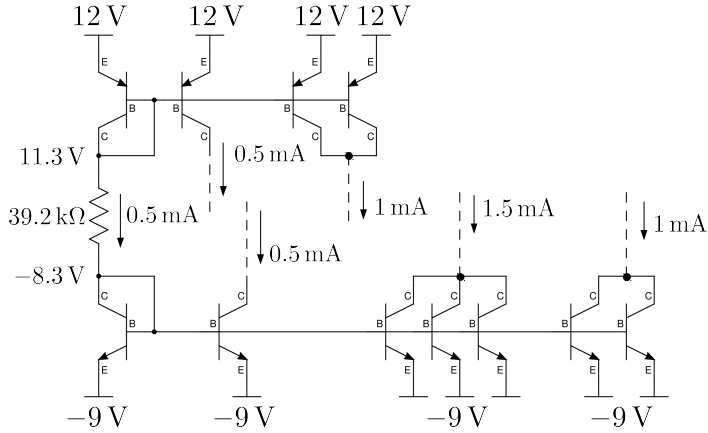
$$(5.93) \quad I_{\text{عکس}} = \frac{I_{\text{حوالہ}}}{1 + \frac{n+1}{\beta}}$$

شکل 5.21 میں دو یا دو سے زیادہ ٹرانزسٹر جوڑ کر حاصل عکس کو دگنا یا اس سے بھی بڑھانا دکھایا گیا ہے۔

## 5.9 ٹرانزسٹر بوجھ سے لدا و جوڑ ٹرانزسٹر کا تفرقی ایمپلیفائر

جیسا کہ پہلے بھی ذکر کیا گیا، مخلوط ادوار بناتے وقت کوشش کی جاتی ہے کہ مزاحمتوں کا استعمال کم سے کم کیا جائے۔ جیسا کہ شکل 5.22 الف میں دکھایا گیا ہے، مخلوط ادوار میں استعمال ہونے والے تفرقی ایمپلیفائر کے خارجی جانب مزاحمت  $R_C$  کی جگہ آئینہ برقی رو استعمال کیا جاتا ہے۔

یک سمتی منبع رو کل  $2 \times I$  برقی رو جڑوا ٹرانزسٹروں سے گزارتا ہے۔ یوں داخلی تفرقی برقی اشارہ کے عدم موجودگی میں ایمپلیفائر کے ٹرانزسٹر  $Q_{a1}$  اور  $Q_{a2}$  میں یک سمتی برقی رو  $I$  گزر کر انہیں مائل کرتی ہے۔



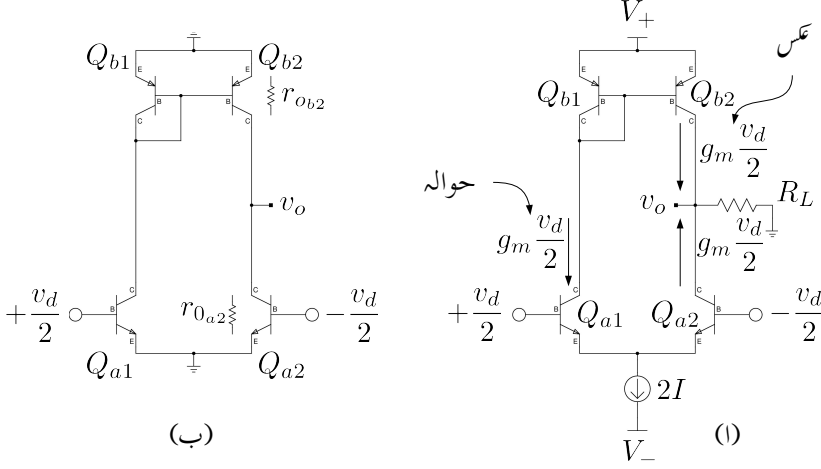
شکل 5.21: متعدد یک سمتی منبع رو

$Q_{b1}$  اور  $Q_{b2}$  جو کہ آئینہ برقی رو ہیں، بطور برقی بوجھ استعمال کئے گئے ہیں۔  $Q_{b1}$  کی برقی رو کو دیکھ کر  $Q_{b2}$  اس کا عکس برقی رو پیدا کرتا ہے۔ چونکہ  $Q_{b1}$  سے وہی برقی رو گزرتی ہے جو  $Q_{a1}$  سے گزرتی ہے لہذا  $I$  بطور حوالہ استعمال ہو گا اور  $Q_{b2}$  اس کے برابر (یعنی  $I$ ) عکس پیدا کرے گا۔ چونکہ  $Q_{a2}$  میں بھی  $I$  برقی رو گزر رہی ہے لہذا  $Q_{b2}$  کی پیدا کردہ تمام کی تمام برقی رو  $Q_{a2}$  سے ہی گزرے گی اور یوں بیرونی برقی مزاحمت  $R_L$  میں صفر برقی رو گزرے گی۔ یوں  $v_o$  صفر وولٹ ہو گا۔ اب تصور کریں کہ تفرقی برقی اشارہ  $v_d$  مہیا کیا جاتا ہے۔  $Q_{a1}$  اور  $Q_{a2}$  میں بدلتی برقی رو  $g_m \frac{v_d}{2}$  پیدا ہو گی جن کی سمتیں شکل میں دکھائی گئی ہیں۔  $Q_{a1}$  کا برقی رو (یعنی  $g_m \frac{v_d}{2}$ ) ٹرانزسٹر  $Q_{b1}$  سے بھی گزرتا ہے اور یوں  $Q_{b2}$  اس کا عکس پیدا کرے گا جیسا کہ شکل میں دکھایا گیا ہے۔ جوڑ  $v_o$  میں دو اطراف سے  $g_m \frac{v_d}{2}$  کی برقی رو داخل ہوتی ہے۔ یوں اس جوڑ پر کل داخلی برقی رو کی مقدار  $g_m v_d$  ہے۔ کرخوف کے قانون برائے برقی رو کے مطابق اتنی ہی برقی رو اس جوڑ سے باہر نکلے گی۔ یوں بوجھ  $R_L$  میں  $g_m v_d$  برقی رو زمین کی جانب گزرے گی اور یوں

$$(5.94) \quad v_o = \left( g_m \frac{v_d}{2} + g_m \frac{v_d}{2} \right) R_L = g_m R_L v_d$$

ہو گا اور تفرقی افزائش برقی دباؤ

$$(5.95) \quad A_d = \frac{v_o}{v_d} = g_m R_L$$



شکل 5.22: ٹرانزسٹر بوجھ سے لدا دو جوڑ ٹرانزسٹر والا تفرقی ایمپلیفائر

ہو گا۔

مسوات 5.94 پر دوبارہ غور کریں۔ اس میں  $g_m \frac{v_d}{2}$  ایک مرتبہ تفرقی جوڑے کی وجہ سے اور دوبارہ آئینہ کی وجہ سے ہے۔ یوں آئینہ کے دو کردار ہیں۔ یہ بطور برقی بوجھ استعمال ہوتا ہے اور ساتھ ہی ساتھ اس کی وجہ سے تفرقی ایمپلیفائر کی افزائش برقی دباؤ دگنی ہو جاتی ہے۔

شکل 5.22 الف میں  $R_L$  نہ استعمال کرتے ہوئے اس کی افزائش حاصل کرنے کی خاطر اس کا باریک اشاراتی دور شکل ب میں دکھایا گیا ہے جہاں ٹرانزسٹر  $Q_{a2}$  اور  $Q_{b2}$  کے اندرونی خارجی مزاحمت  $r_o$  کو ان کے باہر دکھا کر واضح کیا گیا ہے۔ شکل ب میں ٹرانزسٹر  $Q_{a1}$  اور  $Q_{a2}$  کے ایسٹر کو برقی زمین پر دکھایا گیا ہے۔ تفرقی اشارے کے لئے ایسا کرنا ممکن ہے۔ اس حقیقت کو مساوات 5.42 میں سمجھایا گیا ہے۔ آپ دیکھ سکتے ہیں کہ  $R_L$  کی جگہ دونوں ٹرانزسٹروں کے خارجی مزاحمت متوازی جڑے ہیں اور یوں مساوات 5.95 کو اس طرح لکھ سکتے ہیں۔

$$A_d = g_m (r_{o_{b2}} \parallel r_{o_{a2}}) \quad (5.96)$$

اگر  $r_{o_{a2}} = r_{o_{b2}} = r_o$  برابر ہوں یعنی  $r_{o_{a2}} = r_{o_{b2}} = r_o$  تب اس مساوات کو مزید سادہ صورت دی جاسکتی ہے یعنی

$$A_d = \frac{g_m r_o}{2} = \frac{1}{2} \left( \frac{I_C}{V_T} \right) \left( \frac{V_A}{I_C} \right) = \frac{V_A}{2V_T} \quad (5.97)$$



جہاں  $g_m$  کو  $\frac{I_C}{V_T}$  اور  $r_o$  کو  $\frac{V_A}{I_C}$  لکھا گیا ہے۔

$$V_A = 50 \text{ V پر یوں}$$

$$A_d = \frac{50}{25 \times 10^{-3}} = 2000 \frac{\text{V}}{\text{V}}$$

حاصل ہو گا۔ مساوات 5.96 کے مطابق  $r_{o2}$  اور  $r_{ob2}$  کی قیمت بڑھا کر تفرقی ایمپلیفائر کی افزائش مزید بڑھائی جاسکتی ہے۔

مثال 5.6: شکل 5.23 میں حسابی ایمپلیفائر کا بنیادی دور دکھایا گیا ہے جہاں تمام ٹرانزسٹر کا  $\beta = 100$  ہے۔  $Q_1$  کا بیس اور  $Q_4$  کا بیس حسابی ایمپلیفائر کے دو داخلی سرے ہیں جنہیں برقی زمین پر رکھا گیا ہے جبکہ  $Q_8$  کا لیٹر حسابی ایمپلیفائر کا خارجی سرا ہے۔

• تمام یک سمتی متغیرات حاصل کریں۔

• داخلی میلان برقی رو  $I_B$  حاصل کریں۔

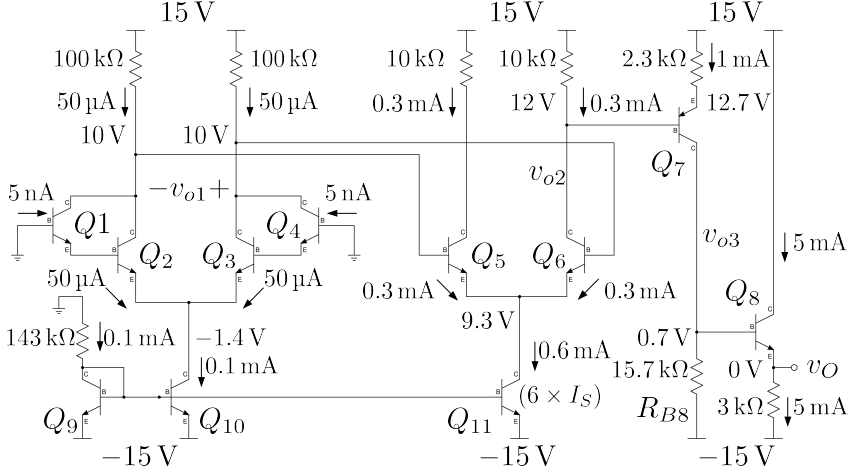
حل: پہلے حسابی ایمپلیفائر کے مختلف حصے پہچاننے کی کوشش کرتے ہیں۔  $Q_9$ ،  $Q_{10}$  اور  $143 \text{ k}\Omega$  کا مزاحمت آئینہ برقی رو بناتے ہیں۔  $Q_{11}$  بھی  $Q_9$  کے برقی رو کا عکس پیش کرتا ہے۔  $Q_1$  اور  $Q_2$  مل کر ایک ڈارلنگٹن جوڑی بناتے ہیں۔ اسی طرح  $Q_3$  اور  $Q_4$  دوسری ڈارلنگٹن جوڑی ہے۔ یہ دو ڈارلنگٹن مل کر پہلا یا داخلی تفرقی ایمپلیفائر بناتے ہیں۔  $Q_5$  اور  $Q_6$  دوسرا تفرقی ایمپلیفائر ہے۔  $Q_7$ ،  $2.3 \text{ k}\Omega$  اور  $15.7 \text{ k}\Omega$  مل کر یک سمتی برقی دباؤ کی قیمت تبدیل کرتے ہیں جبکہ  $Q_8$  اور  $3 \text{ k}\Omega$  خارجی حصہ ہیں۔

$Q_9$  کے بیس پر

$$V_{B9} = -15 + V_{BE} = -14.3 \text{ V}$$

ہیں۔ اس کے کلکٹر پر بھی یہی برقی دباؤ ہے لہذا اوہم کے قانون سے  $143 \text{ k}\Omega$  مزاحمت میں

$$\frac{0 - (-14.3)}{143000} = 0.1 \text{ mA}$$



شکل 5.23: حسابی ایپلیٹائر کا بنیادی دور

ہے۔  $Q_{10}$  کے کلکٹر پر بھی برقی رو پایا جائے گا جبکہ  $Q_{11}$  کے کلکٹر پر چھ گنا زیادہ برقی رو یعنی  $0.6 \text{ mA}$  پایا جائے گا۔

پہلی تفرقی جوڑی میں  $0.1 \text{ mA}$  برابر تقسیم ہو گا۔ یوں  $Q_2$  اور  $Q_3$  دونوں کا  $I_C \approx I_E = 50 \mu\text{A}$  ہو گا جبکہ ان کے بیس پر  $\frac{50 \mu\text{A}}{\beta}$  یعنی  $0.5 \mu\text{A}$  پایا جائے گا۔ اگر پہلی تفرقی جوڑی میں ڈارلنگٹن استعمال نہ کیا جاتا تب حسابی ایپلیٹائر کا داخلی میلان برقی رو بھی  $0.5 \mu\text{A}$  ہی ہوتا۔  $Q_2$  کا بیس برقی رو  $Q_1$  کا  $-I_E$  اسی طرح  $Q_3$  کا بیس برقی رو  $Q_4$  کا  $I_E$  ہے۔ یوں  $Q_1$  اور  $Q_4$  کا بیس برقی رو  $\frac{0.5 \mu\text{A}}{\beta}$  یعنی  $5 \text{ nA}$  ہے۔ یوں ڈارلنگٹن کے استعمال سے حسابی ایپلیٹائر کے داخلی میلان برقی رو کو  $0.5 \mu\text{A}$  سے کم کرتے ہوئے  $5 \text{ nA}$  کر دیا گیا۔  $Q_2$  کے کلکٹر پر

$$V_{C2} = 15 - I_{C2}R_{C2} = 15 - 50 \times 10^{-6} \times 100 \times 10^3 = 10 \text{ V}$$

پایا جائے گا۔ اسی طرح  $Q_3$  کے کلکٹر پر بھی  $10 \text{ V}$  پایا جائے گا۔ چونکہ  $Q_1$  کا بیس برقی زمین پر ہے لہذا  $V_{B1} = 0 \text{ V}$  ہے جبکہ اس کا ایسٹر  $-0.7 \text{ V}$  پر ہے۔ اس طرح  $Q_2$  کا بیس  $-0.7 \text{ V}$  پر ہے اور یوں اس کا ایسٹر  $-1.4 \text{ V}$  پر ہے۔

$Q_5$  اور  $Q_6$  پر  $0.6 \text{ mA}$  برابر تقسیم ہو گا۔ یوں

$$I_{E5} = I_{E6} = \frac{0.6 \times 10^{-3}}{2} = 0.3 \text{ mA}$$

پایا جائے گا۔ یوں ان کے بیس پر  $\frac{0.3 \text{ mA}}{\beta}$  یعنی  $3 \mu\text{A}$  پایا جائے گا۔ حقیقت میں  $3 \mu\text{A}$  اور  $50 \mu\text{A}$  مل کر  $100 \text{ k}\Omega$  سے گزرتے ہیں۔ ہم نے پہلی تفرقی جوڑی میں  $3 \mu\text{A}$  کو نظر انداز کیا تھا۔ اگر اس کو بھی شامل کیا جائے تب پہلی جوڑی کے کلکٹر پر  $9.7 \text{ V}$  پایا جائے گا۔ قلم و کاغذ پر جلد حساب کتاب کرتے وقت عموماً اسی طرح بیس پر پائے جانے والے برقی رد کو نظر انداز کیا جاتا ہے۔ ہم اسی لئے اس کو نظر انداز کرتے ہوئے  $10 \text{ V}$  کے جواب کو ہی صحیح تسلیم کرتے ہوئے آگے بڑھتے ہیں۔ اس طرح  $Q_5$  اور  $Q_6$  کے ایسٹر پر

$$V_E = V_B - V_{BE} = 10 - 0.7 = 9.3 \text{ V}$$

پایا جائے گا جبکہ ان کے کلکٹر پر

$$V_C = 15 - 0.3 \times 10^{-3} \times 10000 = 12 \text{ V}$$

پایا جاتا ہے۔ یوں  $V_{CE5} = V_{CE6} = 2.7 \text{ V}$  ہے اور دونوں ٹرانزسٹر افرا سندانہ ہیں۔

چونکہ حسابی امپلیفائر کے دونوں داخلی سرے برقی زمین پر ہیں لہذا ہم توقع کرتے ہیں کہ یہ صفر وولٹ خارج کرے گا۔ یہاں ہم دیکھ رہے ہیں کہ دوسرا تفرقی امپلیفائر  $12 \text{ V}$  خارج کر رہا ہے۔ یہ ضروری ہے کہ کسی طرح اس برقی دباؤ سے چٹکارہ حاصل کیا جائے۔  $Q_7$ ،  $5.3 \text{ k}\Omega$  اور  $15.7 \text{ k}\Omega$  یہی حاصل کرنے میں مدد کرتے ہیں۔  $Q_7$  کے بیس پر  $12 \text{ V}$  ہونے کی وجہ سے اس کے ایسٹر پر

$$V_{E7} = V_{B7} + V_{EB7} = 12 + 0.7 = 12.7 \text{ V}$$

ہوں گے۔ یوں اوہم کے قانون کی مدد سے  $2.3 \text{ k}\Omega$  میں

$$\frac{15 - 12.7}{2300} = 1 \text{ mA}$$

ہو گا جو  $15.7 \text{ k}\Omega$  سے گزرتے ہوئے اس پر

$$10^{-3} \times 15700 = 15.7 \text{ V}$$

کا برقی دباؤ پیدا کرے گا جس کی وجہ سے  $Q_8$  کے بیس پر

$$V_{B8} = -15 + 15.7 = 0.7 \text{ V}$$

پایا جائے گا۔ اس طرح  $Q_8$  کے ایسٹر پر

$$V_{E8} = V_{B8} - V_{BE} = 0.7 - 0.7 = 0 \text{ V}$$

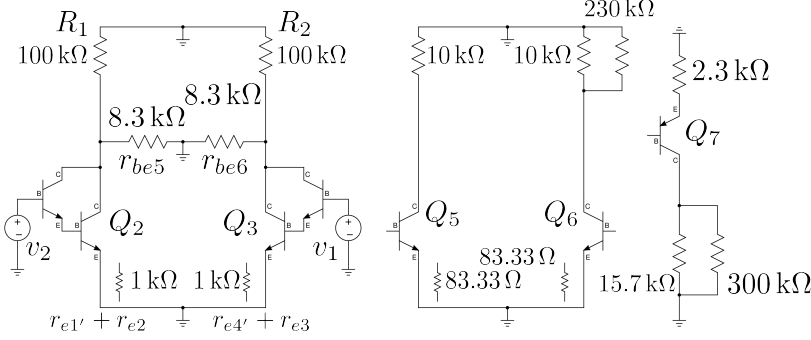
پایا جائے گا۔ آپ دیکھ سکتے ہیں کہ  $2.3 \text{ k}\Omega$  اور  $15.7 \text{ k}\Omega$  کی قیمتوں سے  $v_O = 0 \text{ V}$  حاصل کیا گیا۔  $Q_7$  اور اس کے ساتھ منسلک دو مزاحمت یک سمتی برقی دباؤ کی سطح تبدیل کرنے کی صلاحیت رکھتے ہیں۔ اسی وجہ سے اس دور کو ہم سطح تبدیل کار<sup>22</sup> کہیں گے۔

$$A_{d1} = \frac{\sum R_C}{\sum R_E} = 7.66 \text{ V/V}$$

$$A_{d2} = -\frac{1}{2} \frac{\sum R_C}{\sum R_E} = -60 \text{ V/V}$$

$$A_{d3} = -6.826 \text{ V/V}$$

$$A_{d4} \approx 1 \text{ V/V}$$



شکل 5.24

مثال 5.7: شکل 5.23 کے حسابی ایمپلیفائر کو داخلی اشارہ  $v_d$  مہیا کیا جاتا ہے۔ ایمپلیفائر کا باریک اشاراتی انفرانش  $A_d = \frac{v_O}{v_d}$ ، داخلی مزاحمت اور خارجی مزاحمت حاصل کریں۔

حل: شکل 5.24 میں بدلتی رو مساوی دور دکھایا گیا ہے جہاں

$$v_2 = +\frac{v_d}{2}$$

$$v_1 = -\frac{v_d}{2}$$

ہیں۔  $Q_2$  اور  $Q_3$  میں  $50 \mu\text{A}$  برقی رو پایا جاتا ہے لہذا ان کے

$$g_{m2} = g_{m3} = \frac{I_C}{V_T} = \frac{50 \times 10^{-6}}{25 \times 10^{-3}} = 2 \text{ mS}$$

$$r_{e2} = r_{e3} = \frac{1}{g_m} = \frac{1}{0.002} = 500 \Omega$$

ہیں۔  $Q_1$  اور  $Q_4$  میں  $0.5 \mu A$  برقی رو پائی جاتی ہے لہذا ان کے

$$g_{m1} = g_{m4} = \frac{0.5 \times 10^{-6}}{25 \times 10^{-3}} = 20 \mu S$$

$$r_{e1} = r_{e4} = \frac{1}{20 \mu S} = 50 k\Omega$$

ہیں۔  $Q_1$  کا  $r_{e1}$  چونکہ  $Q_2$  کے بیس پر پایا جاتا ہے لہذا اس کو بھی  $Q_2$  کے ایسٹر پر منتقل کرنا ضروری ہے۔  $50 k\Omega$  منتقل کرنے سے  $\frac{50 k\Omega}{\beta} = 500 \Omega$  حاصل ہوتا ہے۔ یوں  $r_{e1}$  کا عکس  $r_{e1'} = 500 \Omega$  حاصل ہوتا ہے۔ اس طرح  $Q_2$  کے ایسٹر پر کل مزاحمت  $r_{e2} + r_{e1'}$  یعنی  $1 k\Omega$  پایا جائے گا۔ اسی طرح  $Q_4$  کا  $r_{e4}$  چونکہ  $Q_3$  کے بیس پر پایا جاتا ہے لہذا اس کو بھی  $Q_3$  کے ایسٹر پر منتقل کرنا ضروری ہے۔  $50 k\Omega$  منتقل کرنے سے  $\frac{50 k\Omega}{\beta} = 500 \Omega$  حاصل ہوتا ہے۔ اس طرح  $Q_3$  کے ایسٹر پر کل مزاحمت  $r_{e3} + r_{e4'}$  یعنی  $1 k\Omega$  پایا جائے گا۔ ان معلومات کو شکل 5.24 پر پیش کیا گیا ہے۔

دوسری تفرقی جوڑی کے  $Q_5$  اور  $Q_6$  میں  $0.3 mA$  پایا جاتا ہے لہذا ان کے

$$g_{m5} = g_{m6} = \frac{0.3 \times 10^{-3}}{25 \times 10^{-3}} = 0.012 S$$

$$r_{e5} = r_{e6} = \frac{1}{0.012} = 83.33 \Omega$$

$$r_{be5} = r_{be6} = \beta r_e = 8.3 k\Omega$$

ہیں۔ اس جوڑی کا داخلی مزاحمت  $2r_{be}$  ہے جو پہلی تفرقی جوڑی کا بوجھ بنتا ہے۔ شکل میں  $Q_2$  اور  $Q_3$  کے کلکٹر کے مابین  $8.3 k\Omega$  کے سلسلہ وار مزاحمت اسی داخلی مزاحمت کو ظاہر کرتا ہے۔ تفرقی اشارے کی صورت میں دوسری تفرقی جوڑی کا ایسٹر برقی زمین پر رہتا ہے۔ یوں  $Q_2$  اور  $Q_3$  کے کلکٹر پر دونوں  $8.3 k\Omega$  کا درمیانی نقطہ برقی زمین پر ہو گا۔ ان معلومات کو استعمال کرتے ہوئے آپ دیکھ سکتے ہیں کہ پہلی تفرقی جوڑی کی افزائش

$$\begin{aligned} A_{d1} &= \frac{v_{o1}}{v_d} = \frac{\sum R_C}{\sum R_E} \\ (5.98) \quad &= \frac{15328}{2000} \\ &= 7.66 \frac{V}{V} \end{aligned}$$

حاصل ہوتی ہے جہاں  $\sum R_C$  دونوں ٹرانزسٹر کے کلکٹر پر متوازی جڑے  $200 k\Omega$  اور  $16.6 k\Omega$  کا مجموعی مزاحمت ہے جبکہ  $\sum R_E$  ان کے ایسٹر کے درمیان کل مزاحمت یعنی  $2r_e$  ہے۔ مثبت افزائش کا مطلب ہے کہ مثبت  $v_d$  کی صورت میں  $v_{o1}$  بھی مثبت ہو گا۔

تیسرے ایمپلیفائر کا داخلی مزاحمت  $\beta R_{E7} = 230 \text{ k}\Omega$  ہے جو  $R_{C6}$  کے متوازی جڑا ہے۔ چونکہ  $230 \text{ k}\Omega \gg 10 \text{ k}\Omega$  ہوتا ہے لہذا ان کے کل مزاحمت کو ہم  $10 \text{ k}\Omega$  ہی لے سکتے ہیں۔ اس کا مطلب ہے کہ تیسرے ایمپلیفائر کا داخلی مزاحمت اتنا زیادہ ہے کہ اس کے اثر کو نظر انداز کیا جاسکتا ہے۔ یوں دوسرے ایمپلیفائر کی تفرقی افزائش

$$\begin{aligned} A_d &= \frac{\sum R_C}{\sum R_E} \\ &= -\frac{10000}{83.33} \\ &= -120 \frac{V}{V} \end{aligned}$$

ہوگی۔ البتہ دوسرے تفرقی جوڑی سے تفرقی اشارہ حاصل نہیں کیا جاتا بلکہ اس کے صرف ایک بازو سے خارجی اشارہ حاصل کیا گیا ہے۔ یوں کارآمد افزائش اس قیمت کے آدھی ہوگی یعنی

$$\begin{aligned} A_{d2} &= -\frac{1}{2} \frac{\sum R_C}{\sum R_E} \\ (5.99) \quad &= -\frac{1}{2} \frac{10000}{83.33} \\ &= -60 \frac{V}{V} \end{aligned}$$

افزائش میں منفی کا نشان یہ دکھاتا ہے کہ مثبت  $v_2$  اور منفی  $v_1$  کی صورت میں اس حصے کا خارجی اشارہ منفی ہوگا۔

$Q_7$  اور اس کے ساتھ منسلک  $2.3 \text{ k}\Omega$  اور  $15.7 \text{ k}\Omega$  مل کر مشترک لمیٹر ایمپلیفائر ہیں۔  $Q_7$  کے  $r_e$  اور  $Q_8$  کے داخلی مزاحمت کو نظر انداز کرتے ہوئے اس ایمپلیفائر کی افزائش

$$A_{d3} = -\frac{15700}{2300} = -6.826 \frac{V}{V}$$

حاصل ہوتی ہے۔

$Q_8$  اور اس کے ساتھ منسلک  $3 \text{ k}\Omega$  مل کر مشترک کلکٹر ایمپلیفائر بناتے ہیں۔ مشترک کلکٹر کی افزائش تقریباً ایک کے برابر ہوتی ہے یوں

$$A_{d4} \approx 1 \frac{V}{V}$$

ہوگا۔

ان چاروں افزائش کو استعمال کرتے ہوئے حسابی ایمپلیفائر کی کل افزائش

$$\begin{aligned} A_d = \frac{v_O}{v_d} &= A_{d1} \times A_{d2} \times A_{d3} \times A_{d4} \\ &= 7.66 \times (-60) \times (-6.826) \times 1 \\ &= 3137 \frac{V}{V} \end{aligned}$$

حاصل ہوتی ہے۔

شکل 5.24 کو دیکھتے ہوئے  $Q_2$  اور  $Q_3$  کے ایسٹر پر مزاحمت  $Q_1$  اور  $Q_4$  کے بیس جانب

$$\begin{aligned} R_i &\approx (1000 + 1000) \times \beta^2 \\ &= 2000 \times 10000 \\ &= 20 \text{ M}\Omega \end{aligned}$$

نظر آئے گا۔ یہی حسابی ایمپلیفائر کا داخلی مزاحمت ہے۔

خارجی جانب  $Q_8$  کے  $r_e$  کو نظر انداز کرتے ہیں۔  $15.7 \text{ k}\Omega$  کا عکس ٹرانزسٹر کے ایسٹر جانب

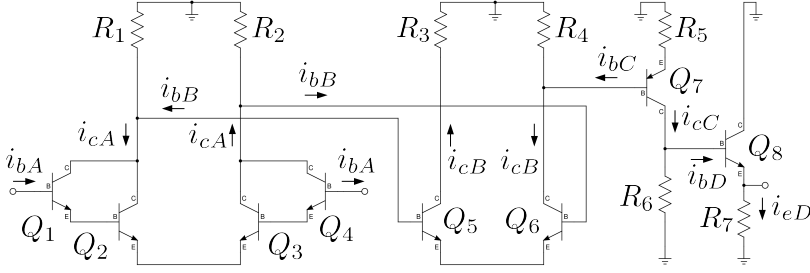
$$\frac{15700}{100} = 157 \Omega$$

نظر آتا ہے۔ یہ عکس  $3 \text{ k}\Omega$  کے متوازی جڑا ہے لہذا حسابی ایمپلیفائر کا خارجی مزاحمت

$$R_o = \frac{157 \times 3000}{157 + 3000} = 149 \Omega$$

حاصل ہوتا ہے۔

مثال 5.8: شکل 5.23 کے حسابی ایمپلیفائر کی افزائش  $A_i = \frac{i_L}{i_b}$  کی مساوات حاصل کریں۔  $A_i$  کو استعمال کرتے ہوئے  $A_d = \frac{v_L}{v_d}$  کی مساوات بھی حاصل کریں۔



شکل 5.25: برقی ردی انفرانش

حل: شکل 5.25 میں مساوی باریک اشاراتی دور دکھایا گیا ہے جہاں داخلی جانب سے پہلے ایمپلیفائر کو A، دوسرے کو تحریر B، تیسرے کو C اور خارجی ایمپلیفائر کو D سے ظاہر کرتے ہوئے زنجیری ضرب سے ہم لکھ سکتے ہیں

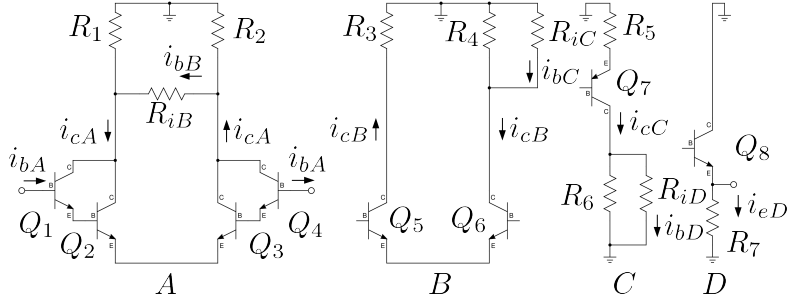
$$(5.100) \quad A_i = \frac{i_L}{i_b} = \frac{i_{eD}}{i_{bA}} = \frac{i_{eD}}{i_{bD}} \times \frac{i_{bD}}{i_{cC}} \times \frac{i_{cC}}{i_{bC}} \times \frac{i_{bC}}{i_{cB}} \times \frac{i_{cB}}{i_{bB}} \times \frac{i_{bB}}{i_{cA}} \times \frac{i_{cA}}{i_{bA}}$$

شکل 5.26 میں چاروں ایمپلیفائروں کو علیحدہ علیحدہ کیا گیا ہے۔ آپ دیکھ سکتے ہیں کہ پہلے ایمپلیفائر کے خارجی جانب دوسرے ایمپلیفائر کا داخلی مزاحمت  $R_{iB}$  نسب ہے۔  $i_{cA}$  کا وہ حصہ جو  $R_{iB}$  سے گزرے درحقیقت دوسرے ایمپلیفائر کا داخلی برقی ردی  $i_{bB}$  ہے۔ شکل پر اس بات کی وضاحت کی گئی ہے۔ یوں اس شکل سے ہم لکھ سکتے ہیں۔

$$(5.101) \quad \begin{aligned} \frac{i_{eD}}{i_{bD}} &= \beta_8 + 1 \\ \frac{i_{bD}}{i_{cC}} &= \frac{R_6}{R_6 + R_{iD}} \\ \frac{i_{cC}}{i_{bC}} &= \beta_7 \\ \frac{i_{bC}}{i_{cB}} &= \frac{R_4}{R_4 + R_{iC}} \\ \frac{i_{cB}}{i_{bB}} &= \beta_6 \\ \frac{i_{bB}}{i_{cA}} &= \frac{R_1 + R_2}{R_1 + R_2 + R_{iB}} \\ \frac{i_{cA}}{i_{bA}} &= \beta_1 \beta_2 \end{aligned}$$

تمام ٹرانزسٹرز کے  $\beta$  برابر لیتے ہوئے





شکل 5.26

$$\begin{aligned}
 r_{e2} &= r_{e3} = \frac{V_T}{I} \\
 r_{be2} &= r_{be3} = (\beta + 1) r_{e2} \\
 r_{e1} &= r_{e4} = (\beta + 1) \frac{V_T}{I} = (\beta + 1) r_{e2} \\
 r_{be1} &= r_{be4} = (\beta + 1)^2 r_{e2}
 \end{aligned}
 \tag{5.102}$$

حاصل ہوتے ہیں۔ شکل کو دیکھتے ہوئے

$$\begin{aligned}
 R_{iA} &= r_{be1} + r_{be4} + (r_{be2} + r_{be3}) \times (\beta + 1) \\
 &= 4 (\beta + 1)^2 r_{e2} \\
 R_{iB} &= 2r_{be5} \\
 R_{iC} &\approx R_5 \times (\beta + 1) \\
 R_{iD} &\approx R_7 \times (\beta + 1)
 \end{aligned}
 \tag{5.103}$$

لکھا جاسکتا ہے۔ مزید یہ کہ

$$\begin{aligned}
 v_L &= i_{eD} R_7 \\
 v_d &= i_{bA} R_{iA}
 \end{aligned}$$

لکھتے ہوئے

$$\begin{aligned}
 A_d &= \frac{v_L}{v_d} \\
 &= \frac{i_{eD} R_7}{i_{bA} R_{iA}} \\
 &= A_i \times \frac{R_7}{R_{iA}}
 \end{aligned}
 \tag{5.104}$$

حاصل ہوتا ہے۔

ذرا کوشش کرنے سے مندرجہ بالا تمام مساوات شکل 5.23 کو دیکھ کر ہی لکھے جاسکتے ہیں۔ آپ داخلی جانب یا خارجی جانب سے شروع ہوتے ہوئے زنجیری ضرب لکھتے ہیں اور پھر زنجیری ضرب کے تمام اجزاء شکل کو دیکھتے ہوئے پُر کرتے ہیں۔

مثال 5.9: مثال 5.8 میں  $A_i$  اور  $A_d$  کی قیمتیں حاصل کریں۔

حل: مثال 5.7 میں مندرجہ ذیل معلومات حاصل کی گئیں۔

$$r_{e2} = 500 \Omega, \quad r_{e5} = 83.333 \Omega$$

یوں مساوات 5.103 سے

$$\begin{aligned}
 R_{iA} &= 4 \times 100^2 \times 500 = 20 \text{ M}\Omega \\
 R_{iB} &= 2 \times 100 \times 83.333 = 1667 \Omega \\
 R_{iC} &= 2300 \times 100 = 230 \text{ k}\Omega \\
 R_{iD} &= 3000 \times 100 = 300 \text{ k}\Omega
 \end{aligned}$$

اور مساوات 5.101 سے

$$\begin{aligned}
\frac{i_{eD}}{i_{bD}} &= 100 \\
\frac{i_{bD}}{i_{cC}} &= \frac{15.7 \times 10^3}{15.7 \times 10^3 + 300 \times 10^3} = 0.04973 \\
\frac{i_{cC}}{i_{bC}} &= 100 \\
\frac{i_{bC}}{i_{cB}} &= \frac{10 \times 10^3}{10 \times 10^3 + 230 \times 10^3} = 0.04167 \\
\frac{i_{cB}}{i_{bB}} &= 100 \\
\frac{i_{bB}}{i_{cA}} &= \frac{2 \times 100 \times 10^3}{2 \times 100 \times 10^3 + 1667} = 0.99173 \\
\frac{i_{cA}}{i_{bA}} &= 100 \times 100 = 10000
\end{aligned}$$

حاصل ہوتے ہیں۔ اس طرح مساوات 5.100 سے

$$\begin{aligned}
A_i = \frac{i_{eD}}{i_{bA}} &= 100 \times 0.04973 \times 100 \times 0.04167 \times 100 \times 0.99173 \times 10000 \\
&= 20.55 \frac{\text{MA}}{\text{A}}
\end{aligned}$$

اور مساوات 5.104 سے

$$\begin{aligned}
A_d = \frac{v_L}{v_d} &= 20.55 \times 10^6 \times \frac{3000}{20 \times 10^6} \\
&= 3082 \frac{\text{V}}{\text{V}}
\end{aligned}$$

حاصل ہوتا ہے۔ مثال 5.7 میں  $A_d = 3137 \frac{\text{V}}{\text{V}}$  کی گئی۔ دونوں جوابات میں فرق  $\alpha \approx 1$  اور اس طرح کے دیگر استعمال کئے گئے قیمتوں میں معمولی معمولی فرق کی وجہ سے ہے۔ ان دو جوابات میں صرف

$$\left| \frac{3137 - 3082}{3137} \right| \times 100 = 1.75 \%$$

کا فرق ہے۔

شکل 5.24 میں دوسرے ایمپلیفائر کا داخلی مزاحمت  $r_{be5} + r_{be6} = 16.6 \text{ k}\Omega$  ہے جو پہلی ایمپلیفائر کا بوجھ بنتا ہے۔ یوں  $r_{be5} + r_{be6}$  اور  $R_1 + R_2$  متوازی جڑے نظر آتے ہیں۔ چونکہ  $r_{be5} + r_{be6} \ll R_1 + R_2$  لہذا ان متوازی جڑے مزاحمت کے مجموعی مزاحمت کو تقریباً  $r_{be5} + r_{be6}$  لیا جاسکتا ہے۔ اس کے برعکس تیسرے ایمپلیفائر کا داخلی مزاحمت بہت بڑا ہے لہذا دوسرے ایمپلیفائر پر اس کے بوجھ کو نظر انداز کیا جاتا ہے۔ ایسا کرنے سے پہلے اور دوسرے ایمپلیفائر کے افزائش یوں لکھے جاسکتے ہیں۔

$$A_{d1} = \frac{\sum R_C}{\sum R_E} = \frac{r_{be5} + r_{be6}}{4r_{e2}}$$

$$A_{d2} \approx -\frac{1}{2} \frac{\sum R_C}{\sum R_E} = -\frac{1}{2} \left( \frac{R_{C6}}{r_{e5} + r_{e6}} \right)$$

اس طرح ان دو کڑیوں کی کل افزائش

$$A_d = A_{d1} A_{d2} = -\frac{1}{2} \times \left( \frac{r_{be5} + r_{be6}}{4r_{e2}} \right) \times \left( \frac{R_{C6}}{r_{e5} + r_{e6}} \right)$$

$$(5.105) \quad = -\frac{1}{2} \times \frac{(\beta + 1)(r_{e5} + r_{e6})}{4r_{e2}} \times \left( \frac{R_{C6}}{r_{e5} + r_{e6}} \right)$$

$$= -\frac{1}{2} \times \frac{(\beta + 1) R_{C6}}{4r_{e2}}$$

حاصل ہوتی ہے۔ اس مساوات کے تحت  $\beta$  بڑھانے اور  $r_{e2}$  گھٹانے سے افزائش بڑھتی ہے۔ چونکہ  $r_e = \frac{V_T}{I_C}$  ہوتا ہے لہذا  $I$  بڑھانے سے  $r_{e2}$  گھٹے گا۔

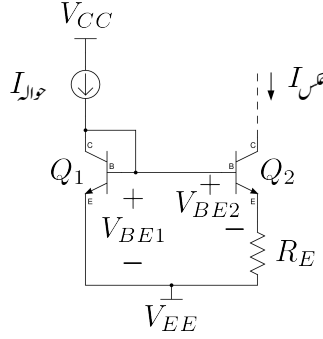
اس کے علاوہ اگر پہلے ایمپلیفائر میں ڈارنگٹن جوڑی استعمال نہ کی جائے تب اس کی داخلی مزاحمت آدھی اور افزائش دگنی ہو جائے گی۔

صفحہ 362 پر مساوات 3.223 پر تبصرہ کرتے وقت یہ حقیقت بتلائی گئی تھی کہ اگر افزائش بڑھائی جائے تو داخلی مزاحمت گھٹتی ہے۔ تفرقی ایمپلیفائر میں بھی داخلی مزاحمت گھٹاتے ہوئے افزائش بڑھانا ممکن ہے۔

## 5.10 وائڈ لرنج برقی رو

شکل 5.16 میں  $Q_2$  کے لیمر پر  $R_E$  نسب کرنے سے وائڈ لرنج برقی رو<sup>23</sup> حاصل ہوتا ہے جسے شکل 5.27 میں<sup>24</sup> میں دکھایا گیا ہے۔ ٹرانزسٹر کے برقی رو کے مساوات کو استعمال کرتے ہوئے

<sup>23</sup> Widlar current source  
<sup>24</sup> ہاب وائڈ لرنے اس دور کو در یافت کیا۔



شکل 5.27: وائڈلر منبع برقی رو

$$V_{BE1} = V_T \ln \left( \frac{I_{S1}}{I_S} \right)$$

$$V_{BE2} = V_T \ln \left( \frac{I_{E2}}{I_S} \right)$$

لکھا جاسکتا ہے۔ ان دو مساوات کو آپس میں منفی کرنے سے

$$V_{BE1} - V_{BE2} = V_T \ln \left( \frac{I_{S1}}{I_{E2}} \right)$$

حاصل ہوتا ہے۔ شکل کو دیکھتے ہوئے ہم

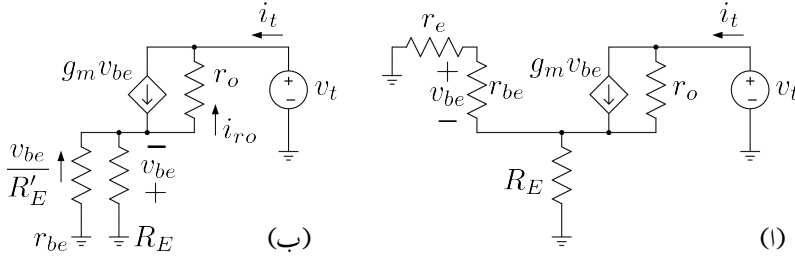
$$V_{BE1} = V_{BE2} + I_{E2} R_E$$

لکھ سکتے ہیں۔ یوں

$$(5.106) \quad I_{E2} R_E = V_T \ln \left( \frac{I_{S1}}{I_{E2}} \right)$$

لکھا جاسکتا ہے۔

آئیں وائڈلر منبع برقی رو کی خارجی مزاحمت  $R_0$  حاصل کریں۔ ایسا کرنے کی خاطر  $Q_2$  کے کلکٹر پر  $v_t$  برقی دباؤ مہیا کرتے ہوئے  $i_t$  کا حساب لگا کر  $\frac{v_t}{i_t}$  معلوم کیا جاسکتا ہے جو کہ  $R_0$  کی قیمت ہوگی۔



شکل 5.28: وائڈر منبع رو کا باریک اشاراتی مساوی دور

وائڈر منبع برقی رو میں  $Q_1$  کے کلکٹر اور بیس آپس میں جڑے ہیں۔ یوں یہ بطور ڈائیوڈ کردار ادا کرتا ہے۔ صفحہ 416 پر مساوات 3.248 ایسے ٹرانزسٹر کی مزاحمت  $r_e$  دیتا ہے۔ وائڈر منبع رو کی خارجی مزاحمت حاصل کرنے کی خاطر  $Q_2$  کا پائے ریاضی نمونہ استعمال کرتے ہیں جبکہ  $Q_1$  کی جگہ اس کا باریک اشاراتی مساوی مزاحمت  $r_e$  نسب کرتے ہیں۔ ایسا کرتے ہوئے شکل 5.28 الف حاصل ہوتا ہے۔ آپ جانتے ہیں کہ  $r_{be} = r_e (\beta + 1)$  ہوتا ہے۔ یوں  $r_{be} \gg r_e$  ہے لہذا سلسلہ وار جڑے  $r_{be}$  اور  $r_e$  میں  $r_e$  کو نظر انداز کیا جاسکتا ہے۔ ایسا کرنے سے شکل ب حاصل ہوتا ہے جہاں سے صاف ظاہر ہے کہ  $R_E$  اور  $r_{be}$  متوازی جڑے ہیں۔  $R_E \parallel r_{be}$  کو  $R'_E$  لکھتے ہوئے اس میں برقی رو کو  $\frac{v_{be}}{R'_E}$  لکھا جاسکتا ہے۔ اس برقی رو کی سمت شکل میں دکھائی گئی ہے۔ کرخوف کے قانون برائے برقی رو کی مدد سے

$$g_m v_{be} + \frac{v_{be}}{R'_E} = i_{ro}$$

لکھا جاسکتا ہے جس سے

$$i_{ro} = \left( g_m + \frac{1}{R'_E} \right) v_{be}$$

حاصل ہوتا ہے۔ یوں کرخوف کے قانون برائے برقی دباؤ کی مدد سے

$$(5.107) \quad v_t = -v_{be} - \left( g_m + \frac{1}{R'_E} \right) v_{be} r_o$$

اور کرخوف کے قانون برائے برقی رو کی مدد سے

$$(5.108) \quad i_t = g_m v_{be} - \left( g_m + \frac{1}{R'_E} \right) v_{be}$$

لکھا جاسکتا ہے۔ مساوات 5.107 کو مساوات 5.108 سے تقسیم کرتے ہوئے وائڈلر منبع کی خارجی مزاحمت  $R_o$  یوں حاصل ہوتی ہے۔

$$R_o = \frac{v_t}{i_t} = R'_E \left[ 1 + r_o \left( g_m + \frac{1}{R'_E} \right) \right]$$

$$= R'_E + r_o (1 + g_m R'_E)$$

اس مساوات میں  $R'_E$  کو نظر انداز کرتے ہوئے خارجی مزاحمت  $R_o$  کی سادہ مساوات

$$(5.109) \quad R_o \approx r_o (1 + g_m R'_E)$$

حاصل ہوتی ہے جہاں

$$(5.110) \quad R'_E = \frac{r_{be} R_E}{r_{be} + R_E}$$

کے برابر ہے۔ اس طرح خارجی مزاحمت  $r_o$  سے بڑھ کر  $r_o (1 + g_m R'_E)$  ہو گئی ہے۔ یہ ایک عمومی نتیجہ ہے اور یوں کسی بھی دو جوڑ ٹرانزسٹر جس کے امیٹر پر  $R_E$  مزاحمت نسب ہو اور جس کا بیس سرا برقی زمین پر ہو کی خارجی مزاحمت مساوات 5.109 سے حاصل ہوگی۔

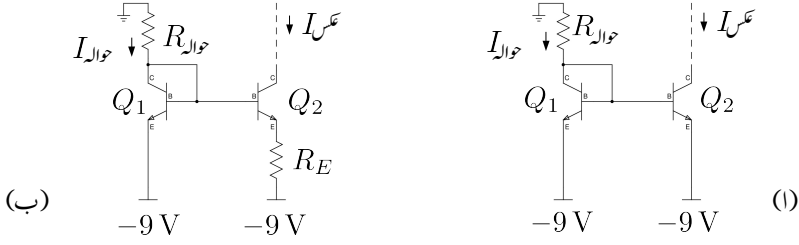
مثال 5.10: شکل 5.29 میں سادہ آئینہ اور وائڈلر آئینہ دکھائے گئے ہیں۔  $I_{عس} = 15 \mu A$  حاصل کرنے کی خاطر درکار مزاحمت حاصل کریں۔

حل: شکل الف میں  $15 \mu A$  حاصل کرنے کی خاطر

$$R_{خارجی} = \frac{9 - 0.7}{15 \times 10^{-6}} = 553 \text{ k}\Omega$$

درکار ہے۔ شکل ب میں  $I_{خارجی} = 1 \text{ mA}$  رکھتے ہوئے  $I_{عس} = 15 \mu A$  حاصل کرتے ہیں۔  $I_{خارجی} = 1 \text{ mA}$  حاصل کرنے کی خاطر

$$R_{خارجی} = \frac{9 - 0.7}{1 \times 10^{-3}} = 8.3 \text{ k}\Omega$$



شکل 5.29: ولسن آئینہ

اور مساوات 5.106 سے

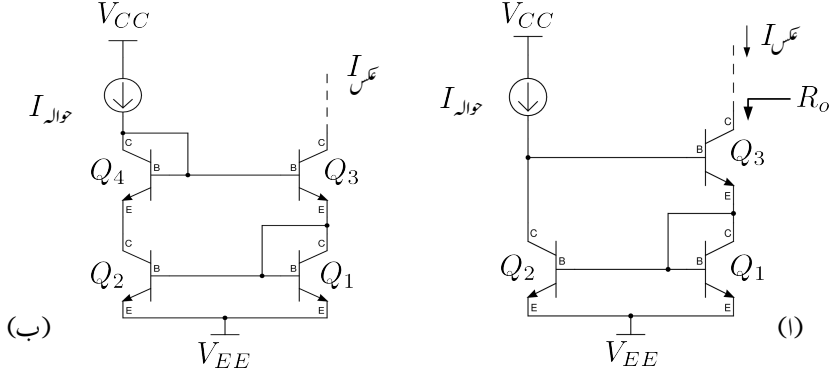
$$R_E = \frac{25 \times 10^{-3}}{15 \times 10^{-6}} \ln \left( \frac{10^{-3}}{15 \times 10^{-6}} \right) = 7 \text{ k}\Omega$$

حاصل ہوتے ہیں۔ آپ نے دیکھا کہ کم برقی رو پیدا کرنے کی خاطر سادہ منبع رو کو  $553 \text{ k}\Omega$  جبکہ وائڈر منبع رو کو  $8.3 \text{ k}\Omega$  اور  $7 \text{ k}\Omega$  کے مزاحمت درکار ہیں۔ جیسا کہ آپ جانتے ہیں کہ مخلوط دور میں زیادہ قیمت کا مزاحمت زیادہ جگہ گھیرتا ہے جو کہ مہنگا پڑتا ہے۔ اسی لئے مخلوط ادوار میں وائڈر منبع رو استعمال کیا جائے گا۔

## 5.11 ولسن آئینہ

شکل 5.16 میں سادہ آئینہ برقی رو دکھایا گیا۔  $V_{BE} = 0.7 \text{ V}$  لیتے ہوئے  $V_{CE1} = 0.7 \text{ V}$  ہے جبکہ  $V_{CE2}$  پر ایسی کوئی پابندی لاگو نہیں لگوا گیا۔ لہذا عموماً  $V_{CE1} \neq V_{CE2}$  ہوتا ہے۔ اب تک آئینہ برقی رو پر تبصروں میں ہم نے ارلی برقی دباؤ کے اثرات کو نظر انداز کیا۔ حقیقت میں اگرچہ شکل 5.16 میں  $V_{BE1} = V_{BE2}$  ہے لیکن  $V_{CE1} \neq V_{CE2}$  کی بنا پر ارلی برقی دباؤ  $Q_1$  اور  $Q_2$  کے برقی رو میں فرق پیدا کرتا ہے۔  $V_{CE1}$  اور  $V_{CE2}$  میں فرق کو کم کرنے سے ارلی برقی دباؤ کے اثر کو کم کیا جاسکتا ہے۔ اسی غرض سے شکل 5.16 میں تیسرا ٹرانزسٹر شامل کرتے ہوئے شکل





شکل 5.30: ولسن آئینہ

5.30 الف حاصل ہوتا ہے جس کو ولسن آئینہ<sup>25</sup> کہتے<sup>26</sup> ہیں۔ ولسن آئینے میں

$$V_{CE1} = V_{BE1} = 0.7 \text{ V}$$

$$V_{CE2} = V_{BE1} + V_{BE3} = 1.4 \text{ V}$$

ہیں۔ دونوں ٹرانزسٹر کے  $V_{CE}$  میں فرق صرف 0.7 V رہ گیا ہے۔ اس دور کو حل کرتے ہوئے تمام ٹرانزسٹر کو بالکل یکساں تصور کیا جائے گا۔ چونکہ  $I_{cs}$  دراصل  $i_{C3}$  ہی ہے لہذا ہم  $i_{C3}$  اور  $I_{حوالہ}$  کا تعلق حاصل کریں گے۔  $Q_1$  اور  $Q_2$  کے لئے ہم لکھ سکتے ہیں۔

$$i_{C1} = i_{C2} = i_C$$

$$i_{B1} = i_{B2} = i_B$$

$Q_3$  کے لئے

$$i_{B3} = \frac{i_{C3}}{\beta}$$

$$i_{E3} = \left( \frac{\beta + 1}{\beta} \right) i_{C3}$$

(5.111)

<sup>25</sup> Wilson mirror

<sup>26</sup> جارج آرولسن نے اس آئینہ کو دریافت کیا۔

لکھا جاسکتا ہے۔ کرخوف کے قانون برائے برقی رو کے تحت

$$\begin{aligned} i_{E3} &= i_{C1} + i_{B1} + i_{B2} \\ &= i_C + 2i_B \\ &= \left( \frac{\beta + 2}{\beta} \right) i_C \end{aligned} \quad (5.112)$$

لکھا جاسکتا ہے۔ مندرجہ بالا دو مساوات میں  $i_{E3}$  کو برابر لکھتے ہوئے

$$\left( \frac{\beta + 1}{\beta} \right) i_{C3} = \left( \frac{\beta + 2}{\beta} \right) i_C$$

$i_C$  کی مساوات حاصل ہوتی ہے۔

$$i_C = \left( \frac{\beta + 1}{\beta + 2} \right) i_{C3} \quad (5.113)$$

کرخوف کے قانون برائے برقی رو کی مدد سے

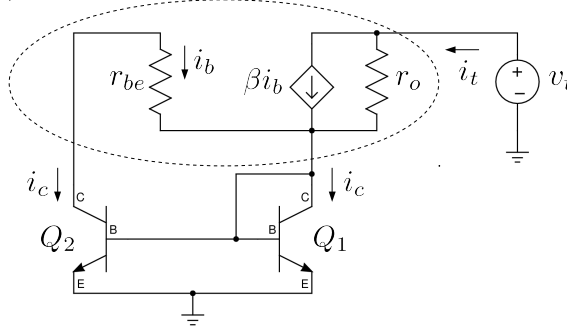
$$\begin{aligned} I_{\text{اخراج}} &= i_{C2} + i_{B3} \\ &= i_C + \frac{i_{C3}}{\beta} \end{aligned}$$

لکھا جاسکتا ہے جس میں  $i_C$  کی قیمت مساوت 5.113 سے پُر کرتے ہوئے

$$\begin{aligned} I_{\text{اخراج}} &= \left( \frac{\beta + 1}{\beta + 2} \right) i_{C3} + \frac{i_{C3}}{\beta} \\ &= \left( \frac{\beta + 1}{\beta + 2} + \frac{1}{\beta} \right) i_{C3} \end{aligned}$$

لکھا جاسکتا ہے۔ اس مساوات سے

$$\begin{aligned} I_{\text{اخراج}} &= \left[ \frac{\beta (\beta + 1) + \beta + 2}{\beta (\beta + 2)} \right] i_{C3} \\ &= \left[ \frac{\beta^2 + 2\beta + 2}{\beta (\beta + 2)} \right] i_{C3} \\ &= \left[ \frac{\beta (\beta + 2) + 2}{\beta (\beta + 2)} \right] i_{C3} \end{aligned}$$



شکل 5.31: ولسن آئینے کی خارجی مزاحمت

حاصل ہوتا ہے جسے یوں لکھا جاسکتا ہے۔

$$I_{\text{ع}} = i_{C3} = \left[ \frac{\beta(\beta+2)}{\beta(\beta+2)+2} \right] I_{\text{حوالہ}}$$

$$= \left[ \frac{1}{1 + \frac{2}{\beta(\beta+2)}} \right] I_{\text{حوالہ}}$$

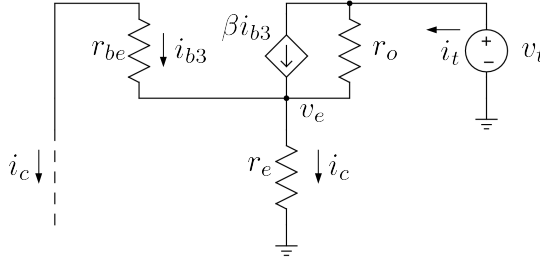
اس مساوات کو

$$(5.114) \quad I_{\text{ع}} \approx \left[ \frac{1}{1 + \frac{2}{\beta^2}} \right] I_{\text{حوالہ}}$$

لکھا جاسکتا ہے۔ اس مساوات کا صفحہ 586 پر مساوات 5.88 کے ساتھ موازنہ کریں۔ دونوں مساوات بالکل ایک جیسے ہیں۔

آئینے کی خارجی مزاحمت حاصل کریں۔ ایسا کرنے کی خاطر  $Q_3$  کے کلکٹر پر  $v_t$  لاگو کرتے ہوئے  $i_t$  کا حساب لگاتے ہیں۔  $\frac{v_t}{i_t}$  خارجی مزاحمت  $R_o$  ہو گا۔  $Q_3$  کا پائے ریاضی نمونہ استعمال کرتے ہوئے ولسن آئینے کو شکل 5.31 میں دکھایا گیا ہے۔ نقطہ دار دائرے سے دو جگہ  $i_c$  برقی رو خارج اور ایک جگہ  $i_t$  داخلی ہو رہی ہے۔ یوں کر خوف کے قانون برائے برقی رو کی مدد سے ہم لکھ سکتے ہیں

$$(5.115) \quad i_t = 2i_c$$



شکل 5.32: ولٹن آنے کی خارجی مزاحمت

شکل 5.31 میں  $Q_1$  کا بیس اس کے کلکٹر کے ساتھ جڑا ہے جس کی وجہ سے یہ بطور ڈائیوڈ کردار ادا کرتا ہے اور اس کو مزاحمت  $r_e$  سے ظاہر کیا جاسکتا ہے۔  $Q_2$  کا  $r_{be}$  اس  $r_e$  کے متوازی جڑا ہے۔ چونکہ  $r_e \ll r_{be}$  ہوتا ہے لہذا ان کا مساوی مزاحمت تقریباً  $r_e$  ہی کے برابر ہو گا۔ شکل 5.32 میں اس حقیقت کو مد نظر رکھتے ہوئے دور کو دوبارہ دکھائی ہے۔  $Q_1$  اور  $Q_2$  کے کلکٹر پر برقرار  $i_c$  برقی رو گزرے گی جسے شکل میں دکھایا گیا ہے۔ شکل کو دیکھتے ہوئے

$$v_e = i_c r_e$$

$$i_{b3} = -i_c$$

لکھا جاسکتا ہے۔ ساتھ ہی ساتھ کرخوف کے قانون برائے برقی رو کی مدد سے

$$\begin{aligned} i_t &= \beta i_{b3} + \frac{v_t - v_e}{r_{o3}} \\ &= -\beta i_c + \frac{v_t}{r_{o3}} - \frac{v_e}{r_{o3}} \\ &= -\beta i_c + \frac{v_t}{r_{o3}} - \left( \frac{r_e}{r_{o3}} \right) i_c \end{aligned}$$

لکھا جاسکتا ہے جہاں دوسرے قدم پر  $i_{b3} = -i_c$  کا استعمال کیا گیا۔ چونکہ  $r_e \ll r_o$  ہوتا ہے لہذا مندرجہ بالا مساوات میں آخری جزو کو نظر انداز کیا جاسکتا ہے۔ یوں مساوات 5.115 کے استعمال سے

$$2i_c = -\beta i_c + \frac{v_t}{r_{o3}}$$

حاصل ہوتا ہے جس کو

$$i_c (\beta + 2) r_{o3} = v_t$$

لکھا جاسکتا ہے۔ ولسن آئینے کا خارجی مزاحمت  $R_o = \frac{v_t}{i_t}$  کے برابر ہے جہاں  $i_t = 2i_c$  ہے۔ یوں

$$(5.116) \quad R_o = \frac{v_t}{i_t} = \frac{v_t}{2i_c} = \frac{(\beta + 2) r_{o3}}{2}$$

حاصل ہوتا ہے جس کو

$$(5.117) \quad R_o \approx \frac{\beta r_o}{2}$$

لکھا جاسکتا ہے جہاں  $r_{o3}$  کو  $r_o$  لکھا گیا ہے۔ آپ دیکھ سکتے ہیں کہ ولسن آئینے کی خارجی مزاحمت  $r_o$  سے  $\frac{\beta}{2}$  گنا زیادہ ہے۔

اس حصے کے شروع میں ذکر کیا گیا کہ ارلی برقی دباؤ کے اثر کو کم کرنے کی خاطر ولسن آئینے میں  $V_{CE1}$  اور  $V_{CE2}$  میں فرق کو کم کرتے ہوئے  $0.7V$  کر دیا گیا۔ اس فرق کو مکمل طور ختم بھی کیا جاسکتا ہے۔ شکل 5.30 ب میں  $Q_4$  کی شمولیت سے

$$V_{CE2} = V_{BE1} + V_{BE3} - V_{BE4} = 0.7V$$

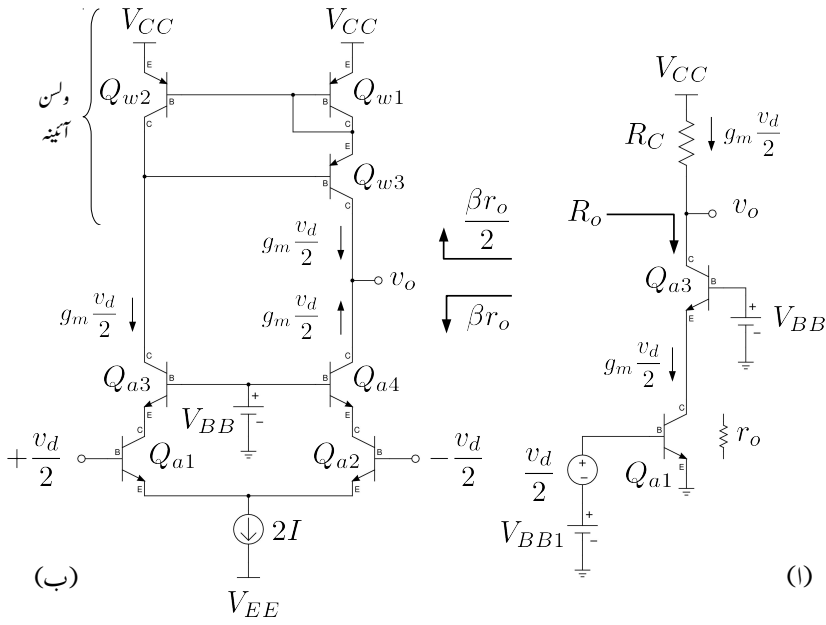
ہو جاتا ہے۔ یوں  $V_{CE1} = V_{CE2} = 0.7V$  کرتے ہوئے ارلی برقی دباؤ کے اثرات سے چھٹکارا حاصل کیا گیا ہے۔ اس کے علاوہ چونکہ  $Q_1$  اور  $Q_2$  میں برابر برقی رو پایا جاتا ہے اور اب ان پر برقی دباؤ بھی برابر ہے لہذا ان میں طاقت کا ضیاع بھی برابر ہو گا۔ یوں یہ برابر گرم ہوتے ہوئے برابر درجہ حرارت پر رہیں گے۔ اس طرح درجہ حرارت میں فرق کی بنا پر کارکردگی میں فرق سے بھی چھٹکارا حاصل ہوتا ہے۔

## 5.12 کیسکوڈ ایمپلیفائر

مشترک ایمر اور مشترک بیس ایمپلیفائر کو آپس میں جوڑ کر زنجیری ایمپلیفائر بنایا جاسکتا ہے۔ شکل 5.33 الف میں ایسے ایمپلیفائر کو دکھایا گیا ہے۔ اس ایمپلیفائر کو کیسکوڈ ایمپلیفائر<sup>27</sup> کہتے<sup>28</sup> ہیں۔

<sup>27</sup> cascode amplifier

<sup>28</sup> کیسکوڈ کا نام فریڈرک وینن ہنٹ نے پہلی مرتبہ تجویز کیا۔



شکل 5.33: کیسکوڈ ایپلیٹائر اور تفرقی کیسکوڈ ایپلیٹائر

$Q_{1a}$  اور  $Q_{3a}$  کو  $I$  برقی رو پر مائل رکھا جاتا ہے۔ یوں دونوں ٹرانزسٹروں کے لئے ہم لکھ سکتے ہیں۔

$$g_m = \frac{I}{V_T}$$

$$r_e = \frac{1}{g_m}$$

$$r_{be} = (\beta + 1) r_e$$

اگر  $Q_{1a}$  کو  $\frac{v_d}{2}$  داخلی اشارہ مہیا کیا جائے تو اس کا  $i_{c1} = g_m \frac{v_d}{2}$  ہو گا۔ یہی برقی رو  $Q_{3a}$  سے بھی گزرے گا یوں  $i_{e3} = i_{c1}$  ہو گا لہذا  $\alpha \approx 1$  لیتے ہوئے  $i_{c3} = i_{c1} = g_m \frac{v_d}{2}$  ہی ہو گا۔ اس طرح  $\frac{v_d}{2} R_C = -v_o = -g_m R_C \frac{v_d}{2}$  ہو گا۔

آئیں کیسکوڈ ایملیفائر کا باریک اشاراتی خارجی مزاحمت  $R_o$  حاصل کریں۔ باریک اشاراتی تجزیہ کرتے ہوئے ہم دیکھتے ہیں کہ  $Q_{3a}$  کے امیٹر اور برقی زمین کے مابین  $Q_{1a}$  کا  $r_o$  نسب ہے جبکہ  $Q_{3a}$  کا بیس برقی زمین پر ہے۔ ایسی صورت میں مساوات 5.109 اور مساوات 5.110 کی مدد سے  $R_o$  حاصل کیا جاسکتا ہے۔ موجودہ مسئلے میں  $R_E$  کی جگہ  $r_o$  نسب ہے لہذا مساوات 5.110 کو یوں لکھا جائے گا۔

$$R'_E = \frac{r_{be} r_o}{r_{be} + r_o}$$

$r_o \gg r_{be}$  کی بنا پر اس مساوات سے  $R'_E \approx r_{be}$  حاصل ہوتا ہے اور یوں مساوات 5.109 سے

$$R_o = r_o (1 + g_m r_{be})$$

$$= r_o (1 + \beta)$$

$$\approx \beta r_o$$

(5.118)

حاصل ہوتا ہے۔ کیسکوڈ ایملیفائر میں  $R_C$  کی جگہ ٹرانزسٹر بوجھ بھی استعمال کیا جاسکتا ہے۔

دو کیسکوڈ ایملیفائر کو ملا کر تفرقی کیسکوڈ حاصل ہوتا ہے۔ شکل 5.33 ب میں ایسا ہی تفرقی ایملیفائر دکھایا گیا ہے جہاں ولسن آئینے کو بطور برقی بوجھ استعمال کیا گیا ہے۔ اس شکل میں  $Q_{a1}$ ،  $Q_{a3}$  ایک کیسکوڈ جبکہ  $Q_{a2}$  اور  $Q_{a4}$  دوسرا کیسکوڈ ہے۔ انہیں ملا کر کیسکوڈ تفرقی جوڑی حاصل کی گئی ہے۔  $Q_{w1}$ ،  $Q_{w2}$  اور  $Q_{w3}$  ولسن آئینہ ہے جسے بطور برقی بوجھ استعمال کیا گیا ہے۔

$\alpha = 1$  لیتے ہوئے تفرقی کیسکوڈ کا باریک اشاراتی حل حاصل کرتے ہیں۔  $Q_{1a}$  کو  $\frac{v_d}{2}$  داخلی اشارہ مہیا کیا گیا ہے۔ یوں اس کا خارجی برقی رو  $i_{c1} = g_m \frac{v_d}{2}$  ہو گا۔ یہی برقی رو  $Q_{a3}$  سے گزرتے ہوئے ولسن آئینے کو بطور داخلی

برقی رو مہیا ہوتا ہے۔ یوں ولسن آئینہ  $Q_{w3}$  سے  $g_m \frac{v_d}{2}$  بطور عکس خارج کرے گا۔ کیسکوڈ کے دوسری جانب  $Q_{2a}$  کو  $\frac{-v_d}{2}$  داخلی اشارہ مہیا کیا جاتا ہے۔ یوں  $i_{c2} = -g_m \frac{v_d}{2}$  ہو گا۔ یہی برقی رو  $Q_{4a}$  سے بھی گزرے گا۔ ولسن آئینے کی خارجی مزاحمت مساوات 5.117 کے تحت  $\frac{\beta r_o}{2}$  ہے جبکہ کیسکوڈ کی خارجی مزاحمت مساوات 5.118 کے تحت  $\beta r_o$  ہے۔ ان دونوں متوازی جڑے خارجی مزاحمتوں کی نشاندہی شکل 5.33 ب میں کی گئی ہے۔ ان کی مجموعی مزاحمت  $\frac{\beta r_o}{3}$  حاصل ہوتی ہے۔ یوں

$$v_o = \left( g_m \frac{v_d}{2} + g_m \frac{v_d}{2} \right) \frac{\beta r_o}{3}$$

$$= \frac{1}{3} g_m \beta r_o v_d$$

حاصل ہوتا ہے۔  $g_m = \frac{I_C}{V_T}$  اور  $r_o = \frac{V_A}{I_C}$  لکھتے ہوئے

$$A_d = \frac{v_o}{v_d} = \frac{1}{3} \beta \left( \frac{V_A}{V_T} \right) \quad (5.119)$$

حاصل ہوتا ہے۔ صفحہ 594 پر مساوات 5.97 سادہ تفرقی جوڑے کی افزائش دیتا ہے۔ آپ دیکھ سکتے ہیں کہ کیسکوڈ تفرقی ایمپلیفائر کی افزائش اس سے  $\frac{2\beta}{3}$  گنا زیادہ ہے۔

### 5.13 ماسفیٹ کے تفرقی جوڑے

شکل 5.34 میں دو یکساں بڑھاتے ماسفیٹ پر مبنی بنیادی تفرقی جوڑا دکھایا گیا ہے۔ تفرقی جوڑے میں ماسفیٹ کو افزائندہ رکھا جاتا ہے۔ ایلے برقی دباؤ کو نظر انداز کرتے ہوئے اسے حل کرتے ہیں۔ تفرقی اشارہ  $v_d$  سے مراد

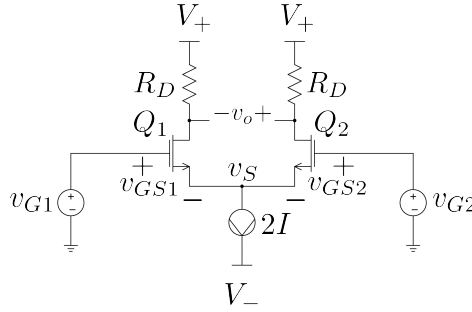
$$v_d = v_{G1} - v_{G2}$$

ہے۔ چونکہ دونوں ماسفیٹ کے سورس آپس میں جڑے ہیں لہذا  $v_{S1} = v_{S2} = v_S$  کے برابر ہو گا۔ یوں  $v_{GS} = v_G - v_S$  کو  $v_G = v_{GS} + v_S$  لکھتے ہوئے

$$v_d = (v_{GS1} + v_S) - (v_{GS2} + v_S)$$

$$= v_{GS1} - v_{GS2} \quad (5.120)$$





شکل 5.34: ماسفیٹ کا بنیادی تفرقی جوڑا

لکھا جاسکتا ہے۔ دھیان رہے کہ  $v_{G1}$  اور  $v_{G2}$  تبدیل کرنے سے  $v_S$  بھی تبدیل ہوتا ہے۔ بدلتے اشارے کے عدم موجودگی میں  $v_{GS1} = v_{GS2} = V_{GS}$  ہوتا ہے۔ اس صورت میں تفرقی جوڑے کے دونوں ماسفیٹ میں برابر یک سمتی برقی رو گزرتی ہے۔ تفرقی جوڑے میں کرخوف کے قانون برائے برقی رو کی مدد سے

$$(5.121) \quad i_{DS1} + i_{DS2} = 2I$$

لکھا جاسکتا ہے۔ یوں بدلتے اشارے کے عدم موجودگی ( $v_d = 0$ ) میں اس مساوات سے  $i_{DS1} = i_{DS2} = I$  حاصل ہوتا ہے۔ یوں ہم لکھ سکتے ہیں

$$(5.122) \quad I_{DS1} = I_{DS2} = I = \frac{k_n}{2} (V_{GS} - V_t)^2$$

بدلتے اشارے کے موجودگی میں

$$i_{DS1} = \frac{k_n}{2} (v_{GS1} - V_t)^2$$

$$i_{DS2} = \frac{k_n}{2} (v_{GS2} - V_t)^2$$

ہوں گے۔ آئیں  $i_{DS1}$  اور  $i_{DS2}$  کے ایسے مساوات حاصل کریں جن کا آزاد متغیرہ صرف  $v_d$  ہو۔ ایسا کرنے کی خاطر مندرجہ بالا دو مساوات کا جزر لیتے ہیں۔

$$\sqrt{i_{DS1}} = \sqrt{\frac{k_n}{2}} (v_{GS1} - V_t)$$

$$\sqrt{i_{DS2}} = \sqrt{\frac{k_n}{2}} (v_{GS2} - V_t)$$

$\sqrt{i_{DS1}}$  سے  $\sqrt{i_{DS2}}$  کو منفی کرتے ہیں

$$\sqrt{i_{DS1}} - \sqrt{i_{DS2}} = \sqrt{\frac{k_n}{2}} (v_{GS1} - v_{GS2})$$

$$= \sqrt{\frac{k_n}{2}} v_d$$

جہاں مساوات 5.120 کو استعمال کیا گیا۔ مساوات 5.121 سے  $i_{DS2}$  حاصل کر کے مندرجہ بالا مساوات میں پُر کرتے ہیں۔

$$\sqrt{i_{DS1}} - \sqrt{2I - i_{DS1}} = \sqrt{\frac{k_n}{2}} v_d$$

اس مساوات کا مربع لیتے ہیں

$$i_{DS1} + 2I - i_{DS1} - 2\sqrt{i_{DS1}}\sqrt{2I - i_{DS1}} = \frac{k_n}{2} v_d^2$$

$$2\sqrt{i_{DS1}}\sqrt{2I - i_{DS1}} = 2I - \frac{k_n}{2} v_d^2$$

اس کا دوبارہ مربع لیتے ہوئے دو درجی مساوات حاصل ہوتی ہے

$$4i_{DS1} (2I - i_{DS1}) = 4I^2 + \frac{k_n^2}{4} v_d^4 - 2Ik_n v_d^2$$

$$4i_{DS1}^2 - 8Ii_{DS1} + 4I^2 + \frac{k_n^2}{4} v_d^4 - 2Ik_n v_d^2 = 0$$

جس سے

$$\begin{aligned}
 i_{DS1} &= \frac{8I \mp \sqrt{64I^2 - 4 \times 4 \times \left(4I^2 + \frac{k_n^2}{4}v_d^4 - 2Ik_nv_d^2\right)}}{2 \times 4} \\
 &= I \mp \frac{\sqrt{2Ik_nv_d^2 - \frac{k_n^2}{4}v_d^4}}{2} \\
 &= I \mp \left(\frac{v_d}{2}\right) \sqrt{2Ik_n} \sqrt{1 - \frac{k_n}{2I} \left(\frac{v_d}{2}\right)^2}
 \end{aligned}$$

حاصل ہوتا ہے۔ بدلتے اشارے کے عدم موجودگی ( $v_d = 0$ ) کی صورت میں اس مساوات سے  $i_{DS1} = I$  حاصل ہوتا ہے جو کہ درست جواب ہے۔ شکل 5.34 کو دیکھ کر ہم کہہ سکتے ہیں کہ مثبت  $v_d$  کی صورت میں  $i_{DS1}$  کی قیمت  $I$  سے بڑھ جائے گی۔ یوں مندرجہ بالا مساوات سے  $i_{DS1}$  کا درست مساوات یوں لکھا جائے گا۔

$$(5.123) \quad i_{DS1} = I + \left(\frac{v_d}{2}\right) \sqrt{2Ik_n} \sqrt{1 - \frac{k_n}{2I} \left(\frac{v_d}{2}\right)^2}$$

مساوات 5.121 کی مدد سے

$$\begin{aligned}
 i_{DS2} &= 2I - i_{DS1} \\
 &= 2I - \left[ I + \left(\frac{v_d}{2}\right) \sqrt{2Ik_n} \sqrt{1 - \frac{k_n}{2I} \left(\frac{v_d}{2}\right)^2} \right]
 \end{aligned}$$

یعنی

$$(5.124) \quad i_{DS2} = I - \left(\frac{v_d}{2}\right) \sqrt{2Ik_n} \sqrt{1 - \frac{k_n}{2I} \left(\frac{v_d}{2}\right)^2}$$

حاصل ہوتا ہے۔

مساوات 5.122 کو ان دو طرز

$$\begin{aligned}
 \sqrt{k_n} &= \frac{\sqrt{2I}}{V_{GS} - V_t} \\
 \frac{k_n}{2I} &= \frac{1}{(V_{GS} - V_t)^2}
 \end{aligned}$$

پر بھی لکھا جاسکتا ہے جن کے استعمال سے مساوات 5.123 اور مساوات 5.124 کو یوں لکھا جاسکتا ہے۔

$$(5.125) \quad \begin{aligned} i_{DS1} &= I + \left( \frac{v_d}{2} \right) \frac{2I}{V_{GS} - V_t} \sqrt{1 - \frac{1}{(V_{GS} - V_t)^2} \left( \frac{v_d}{2} \right)^2} \\ i_{DS2} &= I - \left( \frac{v_d}{2} \right) \frac{2I}{V_{GS} - V_t} \sqrt{1 - \frac{1}{(V_{GS} - V_t)^2} \left( \frac{v_d}{2} \right)^2} \end{aligned}$$

صفحہ 486 پر مساوات 4.49 باریک اشارے کی تعریف  $v_d \ll 2(V_{GS} - V_t)$  دیتا ہے۔ اگر داخلی اشارہ اس شرط پر پورا اترتا ہو تب مساوات 5.125 میں جزر کے اندر ایک سے منفی ہونے والے حصے کو نظر انداز کیا جاسکتا ہے اور ان مساوات کو یوں لکھا جاسکتا ہے۔

$$(5.126) \quad \begin{aligned} i_{DS1} &\approx I + \left( \frac{v_d}{2} \right) \frac{2I}{V_{GS} - V_t} \\ i_{DS2} &\approx I - \left( \frac{v_d}{2} \right) \frac{2I}{V_{GS} - V_t} \end{aligned}$$

صفحہ 486 پر مساوات 4.54 کے تحت

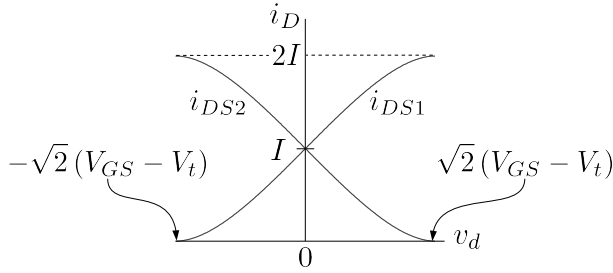
$$g_m = \frac{2I_{DS}}{V_{GS} - V_t}$$

کے برابر ہے جہاں  $I_{DS}$  ماسفیٹ سے گزرتی ایک سمتی برقی رو ہے۔ مساوات 5.126 میں ایک سمتی برقی رو کو  $I$  کہا گیا ہے۔ یوں مساوات 5.126 کو

$$(5.127) \quad \begin{aligned} i_{DS1} &\approx I + g_m \left( \frac{v_d}{2} \right) \\ i_{DS2} &\approx I - g_m \left( \frac{v_d}{2} \right) \end{aligned}$$

لکھا جاسکتا ہے۔ مساوات 5.127 کا انتہائی سادہ مطلب ہے۔ مثبت بدلتے برقی اشارے کے موجودگی میں  $i_{DS1}$  کی قیمت میں  $g_m \frac{v_d}{2}$  کا اضافہ ہوتا ہے جبکہ  $i_{DS2}$  کی قیمت میں اتنی ہی کمی رونما ہوتی ہے۔  $i_{DS1}$  جمع  $i_{DS2}$  اب بھی  $2I$  کے برابر ہے۔  $i_{DS1}$  اور  $i_{DS2}$  میں اس بدلتی برقی رو کو  $i_d$  لکھا جاسکتا ہے یعنی

$$(5.128) \quad i_d = g_m \left( \frac{v_d}{2} \right)$$



شکل 5.35: ماسفیٹ تفرقی جوڑے کے داخلی تفرقی برقی دباؤ بالمتقابل خارجی برقی رو کے خط

یوں

$$\begin{aligned} i_{DS1} &= I + i_d \\ i_{DS2} &= I - i_d \end{aligned} \quad (5.129)$$

کے برابر ہیں۔  $v_d$  کی وہ قیمت جس پر تمام کی تمام  $2I$  یک سمتی برقی رو کسی ایک ماسفیٹ میں منتقل ہو جاتی ہے کو مساوات 5.125 کی مدد سے حاصل کیا جاسکتا ہے۔ مثبت  $v_d$  کی صورت میں برقی رو  $Q_1$  کو منتقل ہو گی۔ یوں  $i_{DS1} = 2I$  جبکہ  $i_{DS2} = 0$  ہوں گے۔ مساوات 5.125 میں  $i_{DS1} = 2$  پُر کرتے حل کرنے سے

$$|v_d| = \sqrt{2} (V_{GS} - V_t) \quad (5.130)$$

حاصل ہوتا ہے۔ اس قیمت سے  $v_d$  کو مزید بڑھانے سے برقی رو میں مزید تبدیلی رونما نہیں ہوگی۔ اتنی ہی منفی داخلی برقی دباؤ کی صورت میں تمام کی تمام یک سمتی برقی رو  $Q_2$  کو منتقل ہو جائے گی اور یوں  $i_{DS1} = 0$  جبکہ  $i_{DS2} = 2I$  ہوں گے۔ شکل 5.35 میں مساوات 5.125 کے خط کھینچے گئے ہیں۔ ان خطوط سے آپ دیکھ سکتے ہیں کہ  $v_d$  کی وہ قیمت جس پر تمام کی تمام برقی رو ایک جانب منتقل ہو جاتی ہے صفحہ 486 پر مساوات 4.49 میں بیان کئے باریک اشارے کی حد سے کم ہے۔

شکل 5.34 سے

$$\begin{aligned} v_{D1} &= V_+ - i_{DS1}R_D \\ v_{D2} &= V_+ - i_{DS2}R_D \end{aligned}$$

اور

$$\begin{aligned}
 v_0 &= v_{D2} - v_{D1} \\
 &= (V_+ - i_{DS2}R_D) - (V_+ - i_{DS1}R_D) \\
 &= i_{DS1}R_D - i_{DS2}R_D
 \end{aligned}$$

لکھتے ہوئے مساوات 5.127 کے استعمال سے

$$\begin{aligned}
 v_o &= \left[ I + g_m \frac{v_d}{2} \right] R_D - \left[ I - g_m \frac{v_d}{2} \right] R_D \\
 &= g_m v_d R_D
 \end{aligned}$$

ماتا ہے جس سے تفرقی افزائش

$$(5.131) \quad A_d = \frac{v_o}{v_d} = g_m R_D$$

حاصل ہوتی ہے۔

مثال 5.11: شکل 5.34 میں دکھائے گئے ماسفیٹ کے تفرقی جوڑے میں  $2I = 200 \mu A$  ہے جبکہ  $V_t = 1.2 V$  اور  $k_n = 0.1 \frac{mA}{V^2}$  ہیں۔  $V_{GS}$  اور  $g_m$  حاصل کرتے ہوئے  $v_d$  کی وہ قیمت حاصل کریں جس پر تمام کی تمام برقی رو ایک ماسفیٹ کو منتقل ہو جاتی ہے۔

حل:  $v_d = 0$  پر دونوں ماسفیٹ اپنے نقطہ کارکردگی پر ہوتے ہیں اور دونوں میں برابر  $100 \mu A$  برقی رو پایا جاتا ہے۔ افزائندہ ماسفیٹ کی مساوات سے یوں

$$100 \times 10^{-6} = \frac{0.1 \times 10^{-3}}{2} (V_{GS} - 1.2)^2$$

لکھتے ہوئے  $2.614 V$  حاصل ہوتا ہے۔ صفحہ 486 پر مساوات 4.54 کے استعمال سے

$$g_m = \sqrt{2 \times 100 \times 10^{-6} \times 0.1 \times 10^{-3}} = 0.1414 \text{ mS}$$

اور مساوات 5.130 سے

$$|v_d| = \sqrt{2} (2.614 - 1.2) = 2 V$$

حاصل ہوتا ہے۔ یوں  $v_d = 2V$  پر تمام برقی رو  $Q_1$  سے گزرے گا جبکہ  $v_d = -2V$  پر تمام برقی رو  $Q_2$  سے گزرے گا۔

مثال 5.12: مثال 5.11 میں  $V_+ = 18V$  جبکہ  $R_D = 50k\Omega$  کی صورت میں تفرقی جوڑے کی تفرقی افزائش حاصل کریں۔

حل: مساوات 5.131 کی مدد سے

$$A_d = 0.1414 \times 10^{-3} \times 50000 = 7.07 \frac{V}{V}$$

حاصل ہوتا ہے۔

مثال 5.13: شکل 5.34 میں دکھائے گئے ماسفیٹ کے تفرقی جوڑے میں  $2I = 200\mu A$  ہے جبکہ  $k_n = 0.1 \frac{mA}{V^2}$  اور  $V_t = 1.2V$  ہیں۔  $Q_2$  کو برقی زمین پر رکھتے ہوئے  $v_{GS1}$ ،  $v_{GS2}$  اور  $v_{G1}$  کی قیمتیں مندرجہ ذیل صورتوں میں حاصل کریں۔

1.  $i_{DS1} = 100\mu A$  ہے۔

2.  $i_{DS1} = 150\mu A$  ہے۔

3.  $i_{DS1} = 200\mu A$  ہے۔

حل:

1.  $i_{DS1} = 100 \mu A$  کی صورت میں مساوات 5.121 کے تحت  $i_{DS2} = 100 \mu A$  ہو گی۔ اس صورت میں دونوں ماسفیٹ میں برابر برقی رو ہو گا۔ افزائندہ ماسفیٹ کی مساوات سے

$$100 \times 10^{-6} = \frac{0.1 \times 10^{-3}}{2} (v_{GS1} - 1.2)^2$$

سے  $v_{GS1} = 2.614 V$  حاصل ہوتے ہیں۔  $v_{GS2}$  بھی اتنا ہی ہو گا۔

یہاں غور کریں۔ ہمیں  $v_{GS1}$  معلوم ہے لیکن ہمیں  $v_{G1}$  معلوم نہیں ہے۔ اس کے برعکس ہمیں  $v_{GS2}$  معلوم ہونے کے ساتھ ساتھ یہ بھی معلوم ہے کہ اس  $Q_2$  کے گیٹ برقی زمین پر ہے۔ یوں ہم جانتے ہیں کہ  $v_{G2} = 0 V$  پر ہے۔

$v_{GS1} = v_{G1} - v_S$  حاصل ہوتا ہے۔  $v_S = -2.614 V$  اور  $v_{GS2} = v_{G2} - v_S$  لکھتے ہوئے اور  $v_{G1} = 0 V$  حاصل ہوتا ہے۔

2.  $i_{DS1} = 150 \mu A$  کی صورت میں مساوات 5.121 کے تحت  $i_{DS2} = 50 \mu A$  ہو گی۔ افزائندہ ماسفیٹ کے مساوات سے دونوں ماسفیٹ کے  $v_{GS}$  حاصل کرتے ہیں۔  $Q_1$  کے مساوات سے

$$150 \times 10^{-6} = \frac{0.1 \times 10^{-3}}{2} (v_{GS1} - 1.2)^2$$

$$v_{GS1} = 2.932 V$$

اور  $Q_2$  کے مساوات سے

$$50 \times 10^{-6} = \frac{0.1 \times 10^{-3}}{2} (v_{GS2} - 1.2)^2$$

$$v_{GS2} = 2.2 V$$

حاصل ہوتے ہیں۔  $Q_2$  کے معلومات سے

$$v_{GS2} = v_{G2} - v_S = 0 - v_S$$

سے  $v_S = -2.2 V$  اور یوں

$$v_{GS1} = v_{G1} - v_S$$

$$2.932 = v_{G1} - (-2.2)$$

$$v_{G1} = 0.732 V$$

حاصل ہوتا ہے۔



3.  $i_{DS1} = 200 \mu A$  کی صورت میں مساوات 5.121 کے تحت  $i_{DS2} = 0 \mu A$  ہو گی۔  $Q_1$  کے مساوات سے

$$200 \times 10^{-6} = \frac{0.1 \times 10^{-3}}{2} (v_{GS1} - 1.2)^2$$

$$v_{GS1} = 3.2 V$$

اور  $Q_2$  کے مساوات سے

$$0 = \frac{0.1 \times 10^{-3}}{2} (v_{GS2} - 1.2)^2$$

$$v_{GS2} = 1.2 V$$

حاصل ہوتے ہیں۔ یوں

$$v_{GS2} = v_{G2} - v_S$$

$$1.2 = 0 - v_S$$

سے  $v_S = -1.2 V$  اور

$$v_{GS1} = v_{G1} - v_S$$

$$3.2 = v_{G1} - (-1.2)$$

$$v_{G1} = 2 V$$

حاصل ہوتے ہیں۔

مثال 5.14: مثال 5.13 میں  $v_{G1} = 4 V$  کی صورت میں  $v_{GS1}, v_{GS2}, v_S$  اور  $v_{G1}$  کی قیمتیں حاصل کریں۔

حل: مثال 5.13 میں دیکھا گیا کہ  $v_{GS1} = 3.2 V$  کرنے سے تمام کی تمام برقی رو  $Q_1$  کو منتقل ہو جاتی ہے۔  $Q_1$  کے گیٹ پر برقی دباؤ مزید بڑھانے سے  $i_{DS1}$  پر کوئی اثر نہیں پڑتا اور یہ  $200 \mu A$  ہی رہتی ہے۔ یوں  $v_{GS1} = 3.2 V$  ہی رہے گا۔ یوں

$$v_{GS1} = v_{G1} - v_S$$

$$3.2 = 4 - v_S$$

سے  $v_S = 0.8V$  حاصل ہوتا ہے اور یوں

$$\begin{aligned} v_{GS2} &= v_{G2} - v_S \\ &= 0 - 0.8 \\ &= -0.8V \end{aligned}$$

ہو گا۔ اس صورت میں چونکہ  $v_{GS2} < V_t$  ہے لہذا  $Q_2$  منقطع ہو گا۔

## 5.14 داخلی انحرافی برقی دباؤ

ماسفیٹ کے تفرقی جوڑے میں بھی ناقص پن پایا جاتا ہے۔ شکل 5.34 میں داخلی انحرافی برقی دباؤ<sup>29</sup> تین وجوہات سے پیدا ہو سکتا ہے۔ ڈرین پر نسب مزاحمتوں میں فرق، دونوں ماسفیٹ کے  $\frac{W}{L}$  میں فرق اور دونوں ماسفیٹ کے  $V_t$  میں فرق وہ تین وجوہات ہیں۔ آئیں ان کے اثر کو باری باری دیکھیں۔

$$\begin{aligned} R_{D1} &= R_D + \Delta R_D \\ R_{D2} &= R_D - \Delta R_D \end{aligned} \quad (5.132)$$

کی صورت میں دونوں ماسفیٹ میں برابر برقی رو  $I$  تصور کرتے ہوئے

$$\begin{aligned} V_{D1} &= V_+ - I(R_D + \Delta R_D) \\ V_{D2} &= V_+ - I(R_D - \Delta R_D) \\ V_O &= V_{DS2} - V_{DS1} = 2I\Delta R_D \end{aligned}$$

حاصل ہوتا ہے جس کو  $A_d$  سے تقسیم کرنے سے داخلی انحرافی برقی دباؤ حاصل ہوتا ہے۔  $A_d$  کو مساوات 5.131 پیش کرتا ہے۔ صفحہ 486 پر مساوات 4.54 کے تحت  $g_m = \frac{2I_{DS}}{V_{GS} - V_t}$  کے برابر ہے۔ یہاں  $I_{DS}$  کو  $I$  کہا گیا ہے۔ یوں

$$A_d = g_m R_D = \left( \frac{2I}{V_{GS} - V_t} \right) R_D$$

لکھتے ہوئے

$$V_{OS} = \frac{V_O}{A_d} = \frac{2I\Delta R_D}{\left(\frac{2I}{V_{GS}-V_t}\right) R_D}$$

یعنی

$$(5.133) \quad V_{OS} = (V_{GS} - V_t) \left( \frac{\Delta R}{R} \right)$$

حاصل ہوتا ہے۔

انہیں اب  $k_n$  میں فرق کے اثرات کو دیکھیں۔ تصور کریں کہ

$$(5.134) \quad \begin{aligned} \left( \frac{W}{L} \right)_1 &= \frac{W}{L} + \Delta \left( \frac{W}{L} \right) \\ \left( \frac{W}{L} \right)_2 &= \frac{W}{L} - \Delta \left( \frac{W}{L} \right) \end{aligned}$$

ہیں۔ ایسی صورت میں

$$\begin{aligned} i_{DS1} &= \frac{k_{n1}}{2} (V_{GS} - V_t)^2 \\ i_{DS2} &= \frac{k_{n2}}{2} (V_{GS} - V_t)^2 \end{aligned}$$

ہوں گے۔  $i_{DS2}$  کے مساوات کو  $i_{DS1}$  کی مساوات سے تقسیم کرتے ہوئے

$$\frac{i_{DS2}}{i_{DS1}} = \frac{\frac{k_{n2}}{2} (V_{GS} - V_t)^2}{\frac{k_{n1}}{2} (V_{GS} - V_t)^2} = \frac{k_{n2}}{k_{n1}}$$

ملتا ہے جس کے دونوں جانب ایک جمع کرتے ہوئے

$$\begin{aligned} \frac{i_{DS2}}{i_{DS1}} + 1 &= \frac{k_{n2}}{k_{n1}} + 1 \\ \frac{i_{DS2} + i_{DS1}}{i_{DS1}} &= \frac{k_{n2} + k_{n1}}{k_{n1}} \\ \frac{2I}{i_{DS1}} &= \frac{k_{n2} + k_{n1}}{k_{n1}} \end{aligned}$$

حاصل ہوتا ہے جہاں تیسرے قدم پر مساوات 5.121 کے تحت  $i_{DS1} + i_{DS2} = 2I$  لکھا گیا۔ مندرجہ بالا مساوات کو الٹا کرتے ہوئے

$$\begin{aligned} \frac{i_{DS1}}{2I} &= \frac{k_{n1}}{k_{n2} + k_{n1}} \\ &= \frac{k'_n \left[ \frac{W}{L} + \Delta \left( \frac{W}{L} \right) \right]}{k'_n \left[ \frac{W}{L} - \Delta \left( \frac{W}{L} \right) + \frac{W}{L} + \Delta \left( \frac{W}{L} \right) \right]} \\ &= \frac{\left[ \frac{W}{L} + \Delta \left( \frac{W}{L} \right) \right]}{2 \frac{W}{L}} \end{aligned}$$

لکھا جاسکتا ہے جس سے

$$(5.135) \quad i_{DS1} = I \left[ 1 + \frac{\Delta \left( \frac{W}{L} \right)}{\frac{W}{L}} \right]$$

حاصل ہوتا ہے۔ مساوات 5.121 کو استعمال کرتے ہوئے

$$\begin{aligned} i_{DS2} &= 2I - i_{DS1} \\ &= 2I - I \left[ 1 + \frac{\Delta \left( \frac{W}{L} \right)}{\frac{W}{L}} \right] \end{aligned}$$

سے

$$(5.136) \quad i_{DS2} = I \left[ 1 - \frac{\Delta \left( \frac{W}{L} \right)}{\frac{W}{L}} \right]$$

حاصل ہوتا ہے۔ ان  $i_{DS1}$  اور  $i_{DS2}$  کے استعمال سے

$$(5.137) \quad V_{OS} = (V_{GS} - V_t) \left[ \frac{\Delta \left( \frac{W}{L} \right)}{\frac{W}{L}} \right]$$

حاصل ہوتا ہے۔

آخر میں دونوں ماسفیٹ کے  $V_t$  میں فرق کے اثرات کو دیکھتے ہیں۔ فرض کریں کہ

$$\begin{aligned} V_{t1} &= V_t + \Delta V_t \\ V_{t2} &= V_t - \Delta V_t \end{aligned} \quad (5.138)$$

ہیں۔ اس صورت میں

$$\begin{aligned} i_{DS1} &= \frac{k_n}{2} (V_{GS} - V_t - \Delta V_t)^2 \\ &= \frac{k_n}{2} (V_{GS} - V_t)^2 \left(1 - \frac{\Delta V_t}{V_{GS} - V_t}\right)^2 \\ i_{DS2} &= \frac{k_n}{2} (V_{GS} - V_t + \Delta V_t)^2 \\ &= \frac{k_n}{2} (V_{GS} - V_t)^2 \left(1 + \frac{\Delta V_t}{V_{GS} - V_t}\right)^2 \end{aligned}$$

لکھا جاسکتا ہے جہاں  $(V_{GS} - V_t)$  کو قوصین کے باہر لایا گیا۔ دونوں مساوات میں دائیں جانب قوصین کھولتے ہیں۔

$$\begin{aligned} i_{DS1} &= \frac{k_n}{2} (V_{GS} - V_t)^2 \left[1 - \frac{2\Delta V_t}{V_{GS} - V_t} + \left(\frac{\Delta V_t}{V_{GS} - V_t}\right)^2\right] \\ i_{DS2} &= \frac{k_n}{2} (V_{GS} - V_t)^2 \left[1 + \frac{2\Delta V_t}{V_{GS} - V_t} + \left(\frac{\Delta V_t}{V_{GS} - V_t}\right)^2\right] \end{aligned}$$

اگر  $\Delta V_t \ll (V_{GS} - V_t)$  ہو تب  $\left(\frac{\Delta V_t}{V_{GS} - V_t}\right)^2$  کو نظر انداز کیا جاسکتا ہے۔ یوں

$$\begin{aligned} i_{DS1} &= \frac{k_n}{2} (V_{GS} - V_t)^2 \left[1 - \frac{2\Delta V_t}{V_{GS} - V_t}\right] \\ i_{DS2} &= \frac{k_n}{2} (V_{GS} - V_t)^2 \left[1 + \frac{2\Delta V_t}{V_{GS} - V_t}\right] \end{aligned}$$

حاصل ہوتے ہیں۔ ان مساوات میں

$$I = \frac{k_n}{2} (V_{GS} - V_t)^2$$

پُر کرنے سے انہیں

$$i_{DS1} = I \left[ 1 - \frac{2\Delta V_t}{V_{GS} - V_t} \right]$$

$$i_{DS2} = I \left[ 1 + \frac{2\Delta V_t}{V_{GS} - V_t} \right]$$

لکھا جاسکتا ہے۔ یوں

$$v_{D1} = V_+ - i_{DS1} R_D$$

$$v_{D2} = V_+ - i_{DS2} R_D$$

سے

$$V_O = (i_{DS1} - i_{DS2}) R_D$$

$$= -4I R_D \left( \frac{\Delta V_t}{V_{GS} - V_t} \right)$$

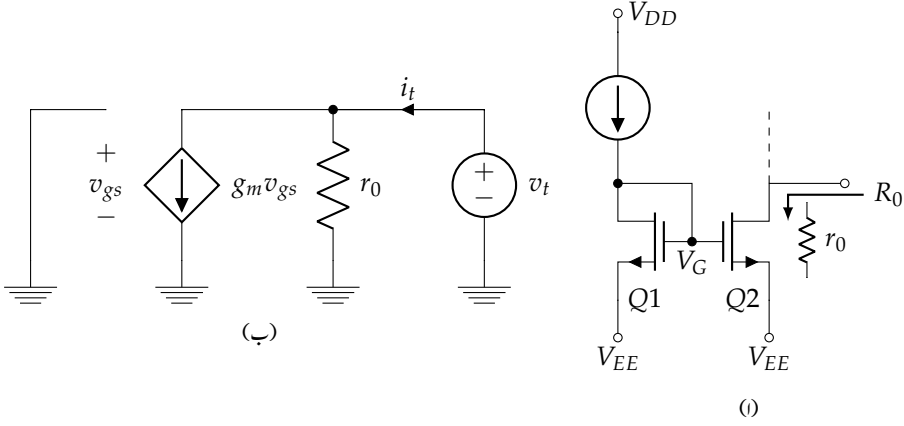
اور

$$(5.139) \quad V_{OS} = \frac{V_O}{A_d} = -2\Delta V_t$$

حاصل ہوتا ہے۔  $\Delta R_S$  اور  $\Delta \left( \frac{W}{L} \right)$  کی وجہ سے پیدا  $V_{OS}$  کو کم رکھنے کی خاطر ماسفیٹ کو کم سے کم  $(V_{GS} - V_t)$  پر چلایا جاتا ہے۔ دو جوڑ ٹرانزسٹرز کے تفرقی جوڑے میں داخلی انحرافی برقی دباؤ دونوں بازوؤں کے  $R_C$  میں فرق اور دونوں ٹرانزسٹروں کے  $I_S$  میں فرق کی بنا پر پیدا ہوتا ہے۔ ماسفیٹ کے تفرقی جوڑے میں داخلی انحرافی برقی دباؤ پیدا کرنے کی تیسری وجہ  $V_t$  بھی پائی جاتی ہے۔

## 5.15 ماسفیٹ آئینہ برقی رو

شکل 5.36 میں ماسفیٹ کا سادہ آئینہ برقی رو دکھایا گیا ہے جس کو دیکھتے ہی ہم کہہ سکتے ہیں کہ  $R_0 = r_0$  کے برابر ہے۔ آئیں یہی نتیجہ ماسفیٹ ریاضی نمونہ استعمال کرتے ہوئے حاصل کریں۔ خارجی مزاحمت حاصل کرنے کی خاطر  $Q_2$  کے ڈرین پر باریک اشاراتی  $v_t$  لاگو کرتے ہوئے  $i_t$  کا تخمینہ لگا کر  $\frac{v_t}{i_t}$  سے خارجی مزاحمت  $R_0$  حاصل کیا جاسکتا ہے۔ شکل 5.36-1 میں  $V_G$  یک سمتی رو دباؤ ہے لہذا دور کار ریاضی نمونہ بناتے ہوئے ہم  $Q_2$  کا پائے



شکل 5.36: سادہ آئینے کی خارجی مزاحمت

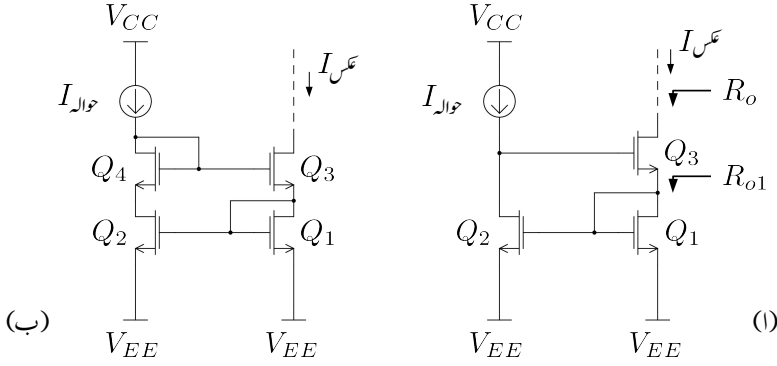
نمونہ استعمال کرتے ہوئے اس کے گیٹ کو (باریک اشاراتی استعمال کے لئے) برقی زمین پر تصور کرتے ہیں (شکل 5.36-ب)۔ یوں  $g_m v_{gs} = 0$  ہو گا لہذا  $v_t = i_t r_0$  یعنی  $R_0 = \frac{v_t}{i_t} = r_0$  ہو گا۔

جیسے آپ جانتے ہیں کہ آئینے کی خارجی مزاحمت جتنی زیادہ ہو اتنا بہتر ہے۔ آئین ماسفیٹ کے ولسن آئینے پر غور کریں اور دیکھیں کہ اس کی خارجی مزاحمت کتنی حاصل ہوتی ہے۔

شکل 5.37 الف میں ولسن آئینہ برقی رو دکھایا گیا ہے۔ دو جوڑ ٹرانزسٹر سے بنائے گئے ولسن آئینے میں ماسفیٹ استعمال کرنے سے یہ دور حاصل کیا گیا ہے۔ شکل 5.37 ب میں  $Q_4$  کا اضافہ کرتے ہوئے  $Q_1$  اور  $Q_2$  کے  $V_{DS}$  برابر کر دئے گئے ہیں۔ ایسا کرنے سے ولسن آئینے میں ارلی برقی دباؤ کا اثر ختم ہو جاتا ہے۔

خارجی مزاحمت حاصل کرنے کی خاطر شکل 5.37 الف میں  $Q_3$  کے ڈرین پر  $v_t$  لاگو کرتے ہوئے  $i_t$  کا تخمینہ لگاتے ہیں۔ خارجی مزاحمت ان دونوں کی شرح کو کہتے ہیں۔ آئین پہلے  $Q_1$  پر غور کریں۔

صفحہ 416 پر شکل 3.132 میں دو جوڑ ٹرانزسٹر کے کلکٹر اور بیس کو آپس میں جوڑ کر ڈایوڈ حاصل کیا گیا ہے۔ شکل 5.37 الف میں  $Q_1$  کو اسی طرز پر جوڑا گیا ہے۔ آئین شکل 5.37 الف میں  $Q_1$  کا خارجی مزاحمت  $R_{o1}$  حاصل کریں۔  $R_0$  حاصل کرنے کی خاطر  $Q_1$  کے ڈرین پر  $v_{t1}$  لاگو کرتے ہوئے  $i_t$  کا تخمینہ لگاتے ہیں۔ شکل 5.38



شکل 5.37: ولسن آئینے کی خارجی مزاحمت

میں ایسا کرتے ہوئے  $Q_1$  کا باریک اشاراتی مساوی دور بنایا گیا ہے۔ چونکہ ڈرین اور گیٹ آپس میں جڑے ہیں لہذا  $v_{gs1} = v_t$  ہے۔ یوں

$$\begin{aligned} i_{t1} &= g_{m1}v_{gs1} + \frac{v_{t1}}{r_{o1}} \\ &= g_{m1}v_{t1} + \frac{v_{t1}}{r_{o1}} \end{aligned}$$

لکھتے ہوئے

$$(5.140) \quad R_{o1} = \frac{v_{t1}}{i_{t1}} = \frac{r_{o1}}{1 + g_{m1}r_{o1}}$$

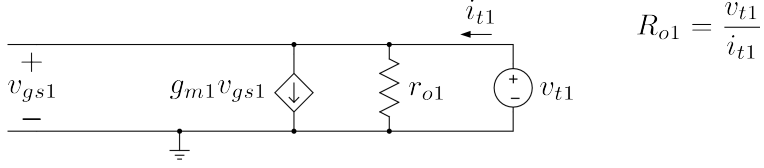
حاصل ہوتا ہے۔  $1 \gg g_{m1}r_{o1}$  کی بنا پر اس مساوات کو

$$(5.141) \quad R_{o1} \approx \frac{1}{g_{m1}}$$

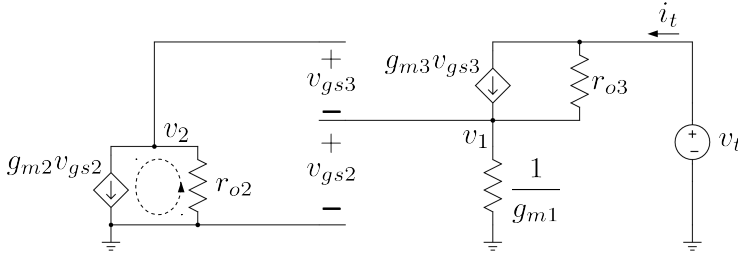
لکھا جاسکا ہے۔ اس مساوات کے تحت ڈایوڈ کے طرز پر جڑے ماسفیٹ کو مزاحمت  $\frac{1}{g_m}$  تصور کیا جاسکتا ہے۔ یہ ایک اہم اور عمومی نتیجہ ہے۔

شکل 5.37 الف میں  $Q_1$  کی جگہ مزاحمت  $\frac{1}{g_{m1}}$  جبکہ بقایا ٹرانزسٹروں کے ریاضی نمونہ استعمال کرتے ہوئے شکل 5.39 حاصل ہوتا ہے۔ یہاں رک کر تسلی کر لیں کہ یہی مساوی دور ہے۔





شکل 5.38: ماسیفٹ بطور ڈایوڈ



شکل 5.39: ماسیفٹ ولسن آئینے کا باریک اشاراتی مساوی دور

شکل 5.39 میں  $Q_1$  کے ڈرین پر برقی دباؤ کو  $v_1$  کہا گیا ہے۔ تمام کی تمام  $i_t$  مزاحمت  $\frac{1}{g_{m1}}$  سے گزرتی ہے لہذا  $i_t = g_{m1}v_1$  کے برابر ہے۔ آپ دیکھ سکتے ہیں کہ  $v_1$  دراصل  $v_{gs2}$  ہی ہے لہذا

$$(5.142) \quad v_{gs2} = v_1 = \frac{i_t}{g_{m1}}$$

لکھا جاسکتا ہے۔ یوں  $Q_2$  کے ریاضی نمونہ میں

$$g_{m2}v_{gs2} = \frac{g_{m2}i_t}{g_{m1}}$$

کے برابر ہو گا۔ آپ دیکھ سکتے ہیں کہ یہی برقی رو  $r_{o2}$  میں برقی زمین سے جوڑ  $v_2$  کی جانب رواں ہے۔ یوں

$$v_2 = -\frac{g_{m2}r_{o2}i_t}{g_{m1}}$$

کے برابر ہے۔ چونکہ  $v_{gs3} = v_2$  ہی ہے لہذا

$$(5.143) \quad v_{gs3} = -\frac{g_{m2}r_{o2}i_t}{g_{m1}}$$

کے برابر ہے۔ یوں کر خوف کے قانون برائے برقی رو کی مدد سے

$$\begin{aligned} i_t &= g_{m3}v_{gs3} + \frac{v_t - v_1}{r_{o3}} \\ &= -\frac{g_{m2}g_{m3}r_{o2}i_t}{g_{m1}} + \frac{v_t - g_{m1}i_t}{r_{o3}} \end{aligned}$$

لکھا جا سکتا ہے جہاں دوسری قدم پر مساوات 5.142 اور مساوات 5.143 کا استعمال کیا گیا۔ اس کو

$$i_t + \frac{g_{m2}g_{m3}r_{o2}i_t}{g_{m1}} + \frac{g_{m1}i_t}{r_{o3}} = \frac{v_t}{r_{o3}}$$

لکھتے ہوئے

$$(5.144) \quad R_o = \frac{v_t}{i_t} = r_{o3} + \frac{g_{m2}g_{m3}r_{o2}r_{o3}}{g_{m1}} + g_{m1}$$

حاصل ہوتا ہے۔ اگر تمام ماسفیٹ بالکل یکساں ہوں تب  $r_{o2} = r_{o3} = r_o$  اور  $g_{m1} = g_{m2} = g_{m3} = g_m$  لکھا جا سکتا ہے۔ مندرجہ بالا مساوات میں درمیانی جزو بقایا دو اجزاء سے بہت بڑی ہے لہذا پہلی اور آخری اجزاء کو نظر انداز کرتے ہوئے

$$(5.145) \quad R_o \approx g_m r_o^2$$

حاصل ہوتا ہے۔

### 5.15.1 منبع دباؤ کے اثرات سے آزاد منبع رو

مختلف آئینہ برقی رو پر تبصرے کے دوران یہ تصور کیا گیا کہ  $I_{D1}$  ایک مستقل مقدار ہے جس پر منبع دباؤ  $V_{CC}$  اور  $V_{EE}$  کا کوئی اثر نہیں۔ آئیں ایک ایسے منبع رو<sup>30</sup> پر غور کریں جس کی پیدا کردہ برقی رو پر  $V_+$ ،  $V_-$  وغیرہ کا کوئی اثر نہیں ہوتا۔ ایسے منبع رو کو شکل 5.40 میں دکھایا گیا ہے۔

تمام ماسفیٹ کو افزائندہ تصور کریں۔  $Q_3$  اور  $Q_4$  مل کر منبع برقی رو بناتے ہیں جسے اب تک ہم دیکھتے آ رہے ہیں۔  $Q_3$  اور  $Q_4$  بالکل یکساں ہیں۔ یوں  $I_{D1} = I_{D2}$  ہو گا۔ آئیں اب  $Q_1$  اور  $Q_2$  پر غور کریں۔  $Q_1$  کا برقی رو

<sup>30</sup>current source

$I_{D1}$  ہی ہے۔ اسی طرح  $Q_2$  کا برقی رو  $I_{D2}$  ہی ہے۔ یوں

$$I_{D1} = \frac{k'_n}{2} \left( \frac{W}{L} \right)_1 (V_{GS1} - V_t)^2$$

$$I_{D2} = \frac{k'_n}{2} \left( \frac{W}{L} \right)_2 (V_{GS2} - V_t)^2$$

ان دونوں برقی رو کو برابر لکھتے ہوئے

$$(5.146) \quad \frac{k'_n}{2} \left( \frac{W}{L} \right)_1 (V_{GS1} - V_t)^2 = \frac{k'_n}{2} \left( \frac{W}{L} \right)_2 (V_{GS2} - V_t)^2$$

حاصل ہوتا ہے۔ ساتھ ہی ساتھ شکل کو دیکھتے ہوئے ہم لکھ سکتے ہیں

$$(5.147) \quad V_{GS1} = V_{GS2} + I_{D2}R$$

مساوات 5.147 کو مساوات 5.146 میں پُر کرتے ہوئے  $R$  کے لئے حل کرتے ہیں۔

$$\frac{k'_n}{2} \left( \frac{W}{L} \right)_1 (V_{GS2} + I_{D2}R - V_t)^2 = \frac{k'_n}{2} \left( \frac{W}{L} \right)_2 (V_{GS2} - V_t)^2$$

دونوں اطراف کا جزر لیتے ہوئے

$$\sqrt{\left( \frac{W}{L} \right)_1} (V_{GS2} + I_{D2}R - V_t) = \sqrt{\left( \frac{W}{L} \right)_2} (V_{GS2} - V_t)$$

سے

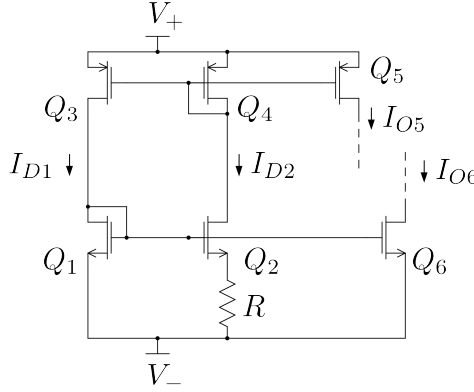
$$R = \frac{V_{GS2} - V_t}{I_{D2}} \left[ \sqrt{\left( \frac{W}{L} \right)_2} - 1 \right]$$

حاصل ہوتا ہے۔  $I_{D2}$  کی مساوات سے

$$V_{GS2} - V_t = \sqrt{\frac{I_{D2}}{\frac{k'_{n2}}{2}}}$$

لکھا جاسکتا ہے۔ یوں

$$(5.148) \quad R = \frac{\sqrt{2}}{\sqrt{k'_{n2} I_{D2}}} \left[ \sqrt{\left( \frac{W}{L} \right)_2} - 1 \right]$$



شکل 5.40: منبع دباؤ کے اثرات سے پاک منبع رو

حاصل ہوتا ہے۔ اس قیمت کی مزاحمت اس بات کو یقینی بنائے گی کہ  $I_{D1} = I_{D2}$  ہوں گے۔ چونکہ  $R \geq 0$  ہوتا ہے لہذا

$$\left(\frac{W}{L}\right)_2 \geq \left(\frac{W}{L}\right)_1$$

ہو گا۔  $Q_1$  کے برقی رو کے عکس لینے کی خاطر  $V_{GS1}$  برقی دباؤ مزید ماسفیٹ کو دیا جاتا ہے۔ شکل میں یوں  $Q_6$  سے  $I$  حاصل کیا گیا ہے جسے  $I_{O6}$  سے ظاہر کیا گیا ہے۔ اسی طرح  $Q_4$  کے برقی رو کے عکس لینے کی خاطر  $V_{GS4}$  برقی دباؤ مزید ماسفیٹ کو دیا جاتا ہے۔ شکل میں یوں  $Q_5$  سے  $I$  حاصل کیا گیا ہے جسے  $I_{O5}$  سے ظاہر کیا گیا ہے۔

$I_{D1}$  اور  $I_{D2}$  اس وقت تک  $V_+$  اور  $V_-$  کے اثرات سے آزاد رہتے ہیں جب تک  $Q_2$  اور  $Q_3$  افزائندہ رہیں۔ یاد رہے کہ  $Q_1$  کا گیٹ اور اس کا ڈرین آپس میں جڑے ہیں لہذا یہ ہر صورت افزائندہ ہی رہتا ہے۔ اسی طرح  $Q_4$  کا گیٹ اور ڈرین بھی آپس میں جڑے ہیں لہذا یہ ماسفیٹ بھی ہر صورت افزائندہ ہی رہتا ہے۔

اور  $Q_4$  کا  $V_{SG4}$

## 5.16 ماسفیٹ کیسکوڈ تفرقی ایمپلیفائر

شکل 5.41 میں ماسفیٹ سے بنایا گیا کیسکوڈ تفرقی ایمپلیفائر دکھایا گیا ہے جس میں ولسن آئینے کو بطور برقی بوجھ استعمال کیا گیا ہے۔ ولسن آئینے کی خارجی مزاحمت گزشتہ حصے میں حاصل کی گئی۔ آئین کیسکوڈ کی خارجی مزاحمت بھی حاصل



لکھا جاسکتا ہے جہاں دوسری قدم پر مساوات 5.149 کا سہارا لیا گیا۔ اس مساوات کو

$$i_t + i_t g_{m4} r_{o2} + \frac{i_t r_{o2}}{r_{o4}} = \frac{v_t}{r_{o4}}$$

لکھتے ہوئے

$$(5.150) \quad R_o = \frac{v_t}{i_t} = r_{o4} + g_{m4} r_{o2} r_{o4} + r_{o2}$$

حاصل ہوتا ہے جہاں درمیانی جزو بقایا دو اجزاء سے بہت بڑی ہے لہذا پہلی اور تیسری جزو کو نظر انداز کیا جاسکتا ہے۔ ساتھ ہی ساتھ اگر تمام ماسفیٹ بالکل یکساں ہوں تب  $g_{m2} = g_{m4} = g_m$  اور  $r_{o2} = r_{o4} = r_o$  لکھا جاسکتا ہے۔ یوں

$$(5.151) \quad R_o = g_m r_o^2$$

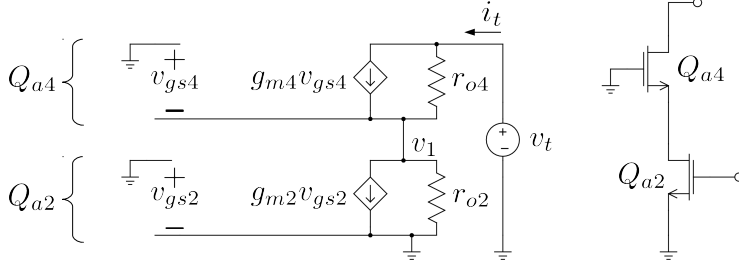
حاصل ہوتا ہے۔ شکل 5.41 میں اس خارجی مزاحمت کو دکھایا گیا ہے۔ کیسکوڈ تفرقی جوڑے کی خارجی مزاحمت اور ولسن آئینے کی خارجی مزاحمت آپس میں متوازی جڑے ہیں لہذا ان کا مجموعہ  $\frac{g_m r_o^2}{2}$  ہو گا۔ یوں کیسکوڈ تفرقی ایمپلیفائر کا خارجی اشارہ

$$v_o = \left( g_m \frac{v_d}{2} + g_m \frac{v_d}{2} \right) (g_m r_o^2)$$

ہو گا جس سے

$$(5.152) \quad A_d = \frac{1}{2} g_m^2 r_o^2$$

حاصل ہوتا ہے۔



شکل 5.42: ماسیفٹ کیسکوڈ کا خارجی مزاحمت

## سوالات

سوال 5.1: شکل 5.1 میں  $V_{CC} = 10\text{ V}$ ,  $V_{EE} = -10\text{ V}$ ,  $I = 0.5\text{ mA}$ ,  $R_C = 15\text{ k}\Omega$  اور  $\alpha = 0.97$  ہیں۔  $v_{B1} = v_{B2} = -2\text{ V}$  کی صورت میں  $v_o$  حاصل کریں۔ مشترکہ اشارے کی بلند تر قیمت حاصل کریں۔

جواب:  $0\text{ V}$ ,  $V_{CM} \leq 3.15\text{ V}$

سوال 5.2: شکل 5.1 میں  $V_{CC} = 10\text{ V}$ ,  $V_{EE} = -10\text{ V}$ ,  $I = 0.25\text{ mA}$ ,  $R_C = 15\text{ k}\Omega$  اور  $\alpha = 0.97$  ہیں۔  $v_{B1} = -2\text{ V}$  اور  $v_{B2} = -3.1\text{ V}$  کی صورت میں  $v_o$  حاصل کریں۔

جواب:  $7.35\text{ V}$

سوال 5.3: مساوات 5.18 حاصل کریں۔

سوال 5.4: سوال 5.2 میں  $v_{B1} = -2.1\text{ V}$  اور  $v_{B2} = -2.101\text{ V}$  کی صورت میں  $v_o$  حاصل کریں۔

سوال 5.5: مساوات 5.24 حاصل کریں۔

سوال 5.6:  $i_{DS1}$  کو  $i_{DS2}$  پر تقسیم کرتے ہوئے مساوات 5.136 حاصل کریں۔

سوال 5.7: مساوات 5.137 حاصل کریں۔

سوال 5.8: اگر شکل 5.23 میں  $Q_{11}$  کا لبریزی برقی رو  $I_S \times 4$  ہو تب  $v_O = 0V$  حاصل کرنے کے لئے درکار  $R_{B8}$  حاصل کریں۔

جواب:  $25.2\text{ k}\Omega$

سوال 5.9: شکل 5.23 میں  $V_{CC} = 15V$ ،  $V_{EE} = -15V$  ہے۔ تمام ٹرانزسٹر کا  $\beta = 100$  ہے۔  $Q_9$  کا  $I_{C9} = 1\text{ mA}$  درکار ہے۔  $R_{C9}$  حاصل کریں۔  $I_{C5}$  کا شامل کرتے ہوئے  $V_{C2} = V_{C3} = 7.5V$  حاصل کرنے کی خاطر  $R_{C2}$  حاصل کریں۔  $V_{C5} = 10V$  حاصل کرنے کی خاطر  $R_{C5}$  حاصل کریں۔  $I_{C7} = 0.5\text{ mA}$  کے لئے درکار  $R_{E7}$  حاصل کریں۔  $v_O = 0V$  اور  $I_{E8} = 6\text{ mA}$  حاصل کرنے کے لئے درکار  $R_{B8}$  اور  $R_{E8}$  حاصل کریں۔

جوابات:  $R_{B8} = R_{E7} = 8.6\text{ k}\Omega$ ،  $R_{C5} = 3.33\text{ k}\Omega$ ،  $R_{C2} = 4.2857\text{ k}\Omega$ ،  $R_{C9} = 28.6\text{ k}\Omega$ ،  $R_{E8} = 2.5\text{ k}\Omega$  اور  $31.4\text{ k}\Omega$

سوال 5.10: سوال 5.9 میں  $R_{C5}$  کی کس قیمت پر  $Q_5$  غیر افزائندہ ہو جائے گا۔ یاد رہے کہ ٹرانزسٹر اس وقت غیر افزائندہ ہوتا ہے جب اس کا  $V_{CB} \leq 0.5V$  ہو۔

جواب:  $5.333\text{ k}\Omega$

سوال 5.11: سوال 5.9 میں چاروں ایمپلیفائر کے داخلی مزاحمت حاصل کریں۔

جوابات:  $2\text{ M}\Omega$ ،  $3.33\text{ k}\Omega$ ،  $860\text{ k}\Omega$  اور  $250\text{ k}\Omega$

سوال 5.12: سوال 5.9 میں تمام تفرقی ایمپلیفائر کی افزائش حاصل کرتے ہوئے کل افزائش  $A_d$  حاصل کریں۔

جوابات:  $A_d = 4380 \frac{V}{V}$ ،  $1 \frac{V}{V}$ ،  $-3.65 \frac{V}{V}$ ،  $-100 \frac{V}{V}$ ،  $12 \frac{V}{V}$

سوال 5.13: سوال 5.9 میں  $v_d = 200\text{ }\mu\text{V}$  ہے۔ پہلے، دوسرے، تیسرے اور چوتھے تفرقی ایمپلیفائر کے خارجی اشارے دریافت کریں۔

جواب:  $0.876\text{ V}$ ،  $0.876\text{ V}$ ،  $0.24\text{ V}$ ،  $2.4\text{ mV}$

سوال 5.14: سوال 5.9 میں  $A_i$  حاصل کرتے ہوئے  $A_d$  کی قیمت حاصل کریں۔



سوال 5.15: صفحہ 610 پر شکل 5.29 ب میں  $R_{\text{درجہ}} = 10 \text{ k}\Omega$  جبکہ  $R_E = 12 \text{ k}\Omega$  ہیں۔  $I_{\text{ع}} =$  حاصل کریں۔

جواب:  $I_{\text{درجہ}} = 0.83 \text{ mA}$  اور  $I_{\text{ع}} = 9.3 \mu\text{A}$  حاصل ہوتے ہیں۔ اس جواب کو گراف کی مدد سے با آسانی حاصل کیا جاسکتا ہے۔ اس کے علاوہ بار بار حل کرتے ہوئے بہتر سے بہتر جواب حاصل کرتے ہوئے بھی جواب حاصل کیا جاسکتا ہے۔

سوال 5.16: صفحہ 611 پر شکل 5.30 الف میں ولسن آئینہ دکھایا گیا ہے۔ ٹرانزسٹر کا  $\beta = 100$  جبکہ ارلی برقی دباؤ  $V_A = 150 \text{ V}$  ہے۔  $I_{\text{درجہ}} = 1.5 \text{ mA}$  کی صورت میں خارجی مزاحمت  $R_o$  حاصل کریں۔

$$\text{جواب: } R_o = 5 \text{ M}\Omega, r_o = 100 \text{ k}\Omega$$

سوال 5.17: صفحہ 633 پر شکل 5.36 میں ماسفیٹ ولسن آئینہ دکھایا گیا ہے۔  $V_A = 50 \text{ V}$  اور  $k_n = 0.4 \frac{\text{mA}^2}{\text{V}}$  لیتے ہوئے  $I_{DS} = 1.5 \text{ mA}$  پر آئینے کی خارجی مزاحمت  $R_o$  اور افزائش  $A_d$  حاصل کریں۔

$$\text{جواب: } A_d = 666 \frac{\text{V}}{\text{V}}, R_o = 1.22 \text{ M}\Omega$$

سوال 5.18: صفحہ 616 پر شکل 5.33 میں تفرقی کیسکوڈ ایمپلیفائر دکھایا گیا ہے۔ اگر  $\beta = 100$  اور  $V_A = 200 \text{ V}$  ہوں تب  $A_d$  کی قیمت کیا ہوگی؟ اگر  $v_d = 0.00002 \sin \omega t$  ہو تب  $v_o$  کیا ہوگا؟

$$\text{جوابات: } v_o = 5.34 \sin \omega t, A_d = 267 \frac{\text{kV}}{\text{V}}$$



## باب 6

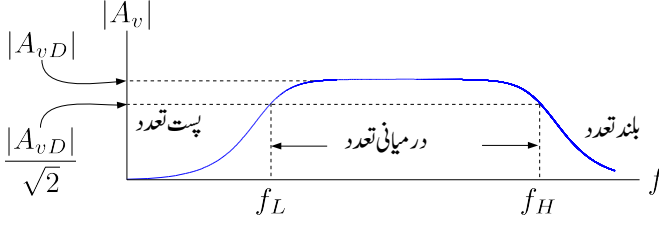
# ایمپلیفائر کا تعددی رد عمل اور فلٹر

## 6.1 پست تعددی رد عمل

ٹرانزسٹر باب کے حصہ 3.10.6 میں ایمپلیفائر میں کمپیسٹر کا استعمال دکھایا گیا جہاں کمپیسٹر کی قیمت لا محدود تصور کرتے ہوئے ادوار حل کئے گئے۔ اس باب میں کمپیسٹر کے کردار پر تفصیلاً بحث کی جائے گی اور اس کی قیمت تعین کرنا سکھایا جائے گا۔

اس باب میں افزائش کی حتمی قیمت  $|A|$  کو افزائش ہی پکارا جائے گا۔ جہاں وضاحت کی ضرورت ہو وہاں اسے افزائش کی حتمی قیمت کہہ کر پکارا جائے گا۔ ٹرانزسٹر ایمپلیفائر کی افزائش  $A_v$  (یا  $A_i$ ) کے حتمی قیمت کی تعددی رد عمل عموماً شکل 6.1 کے طرز پر ہوتی ہے۔ ایسا خط عموماً لوگار تھم لوگار تھم<sup>1</sup> محدود پر کھینچا جاتا ہے۔ ایمپلیفائر کی زیادہ سے زیادہ افزائش  $A_{vD}$  ( $A_{iD}$ ) درمیانی تعدد پر رونما ہوتی ہے جبکہ بہت کم اور بہت زیادہ تعدد پر اس کی قیمت گھٹ جاتی ہے۔ شکل میں  $f_L$  اور  $f_H$  دو ایسے تعدد کی وضاحت کی ہے جس پر افزائش کم ہوتے ہوتے  $\frac{|A_{vD}|}{\sqrt{2}}$  (یا  $\frac{|A_{iD}|}{\sqrt{2}}$ ) ہو جاتی ہے۔  $f_L$  کو پستے انقطاعی تعدد<sup>2</sup> جبکہ  $f_H$  کو بلند انقطاعی تعدد<sup>3</sup> کہتے ہیں۔ ایمپلیفائر کی تعددی رد عمل کی بات کرتے ہوئے تعدد کی تین خطے یا حدود کا عموماً ذکر ہوتا ہے جنہیں پستے تعدد<sup>4</sup>، درمیانی

log-log<sup>1</sup>  
low cut-off frequency<sup>2</sup>  
high cut-off frequency<sup>3</sup>  
low frequency<sup>4</sup>



شکل 6.1: عمومی تعددی رد عمل

تعدد<sup>5</sup> اور بلند تعدد<sup>6</sup> کے حدود<sup>7</sup> کہتے ہیں۔  $A_{vD}$  لکھتے ہوئے زیر نوشت میں  $D$  اس حقیقت کو ظاہر کرتا ہے کہ افزائش کی یہ قیمت درمیانی<sup>8</sup> تعدد پر پائی جاتی ہے۔ اگرچہ  $f_L$  سے کم تعدد یا  $f_H$  سے زیادہ تعدد پر بھی ایمپلیفائر کو استعمال کیا جاسکتا ہے البتہ ان خطوں میں ایمپلیفائر کی افزائش کم ہوتی ہے۔ اسی لئے  $f_L$  تا  $f_H$  کو ایمپلیفائر کا دائرہ کار<sup>9</sup> کہتے ہیں یعنی

$$(6.1) \quad B = f_H - f_L$$

اگر  $f_H \gg f_L$  ہو تب  $B \approx f_H$  لکھا جاسکتا ہے یعنی

$$(6.2) \quad B \approx f_H$$

مشترکہ ایمرٹرانزسٹر ایمپلیفائر تک داخلی اشارے کی رسائی عموماً بذریعہ جفتی کپیسٹر  $C_B$ <sup>10</sup> کی جاتی ہے جبکہ اس سے خارجی اشارے کی حصولی عموماً بذریعہ جفتی کپیسٹر  $C_C$  کی جاتی ہے۔ مزید یہ کہ قصری کپیسٹر<sup>11</sup>  $C_E$  اشارے کو مزاحمت  $R_E$  کے متبادل راستہ فراہم کرتے ہوئے افزائش بڑھاتا ہے۔ اس باب کے پہلے چند حصوں میں ان کپیسٹروں کا پستے انقطاعی تعدد کے ساتھ تعلق پر غور کیا جائے گا۔ کم تعدد پر ان کپیسٹروں کی برقی رکاوٹ بڑھ جاتی ہے جس کی وجہ سے  $A_v$  ( $A_i$ ) کی قیمت گھٹتی ہے۔ یوں یہی بیرونی<sup>12</sup> کپیسٹر پست انقطاعی تعدد  $f_L$  کی قیمت تعین کرتے ہیں۔ حقیقت میں پست انقطاعی تعدد  $f_L$  کا دارومدار کپیسٹر  $C_E$  پر ہوتا ہے۔ بلند تعدد پر ان تمام

<sup>5</sup> mid frequency

<sup>6</sup> high frequency

<sup>7</sup> limits

<sup>8</sup> لفظ درمیانی کے پہلے حرف "و" کی آواز سے  $D$  حاصل کی گئی ہے

<sup>9</sup> band

<sup>10</sup> coupling capacitor

<sup>11</sup> bypass capacitor

<sup>12</sup>  $C_C$ ،  $C_E$ ،  $C_B$  وغیرہ بیرونی کپیسٹر ہیں جنہیں ٹرانزسٹر کے ساتھ جوڑا جاتا ہے

بیرونی کپیسٹروں کی برقی رکاوٹ نہایت کم ہو جاتی ہے اور انہیں قصر دور تصور کیا جاتا ہے۔ مثال 6.10 میں بیرونی نسب کپیسٹر کی وجہ سے پیدا بلند انقطاع نکتہ دکھایا گیا ہے۔

ٹرانزسٹر کے  $B - E$  اور  $B - C$  جوڑ پر اندرونی کپیسٹر  $C_{b'e}$  اور  $C_{b'c}$  پائے جاتے ہیں۔ درمیانی تعدد اور اس سے کم تعدد پر ان اندرونی کپیسٹروں کی برقی رکاوٹ اتنی زیادہ ہوتی ہے کہ انہیں کھلے دور تصور کیا جاتا ہے۔ بلند تعدد پر ان کی برقی رکاوٹ کم ہو جاتی ہے اور انہیں نظر انداز کرنا ممکن نہیں رہتا۔ انہیں اندرونی کپیسٹروں کی وجہ سے بلند تعدد پر  $A_v$  (  $A_i$  ) کی قیمت گھٹتی ہے۔ یوں اندرونی کپیسٹر بلند انقطاعی تعدد  $f_H$  کی قیمت تعین کرتے ہیں۔

کم تعدد پر ٹرانزسٹر امپلیفائر کی افزائش حاصل کرتے وقت صرف بیرونی کپیسٹروں کو مد نظر رکھا جاتا ہے جبکہ اندرونی کپیسٹروں کو کھلے دور تصور کیا جاتا ہے۔ اسی طرح بلند تعدد پر صرف اندرونی کپیسٹروں کو مد نظر رکھا جاتا ہے جبکہ بیرونی کپیسٹروں کو قصر دور تصور کیا جاتا ہے اور درمیانی تعدد پر بیرونی کپیسٹروں کو قصر دور جبکہ اندرونی کپیسٹروں<sup>13</sup> کو کھلے دور تصور کیا جاتا ہے۔

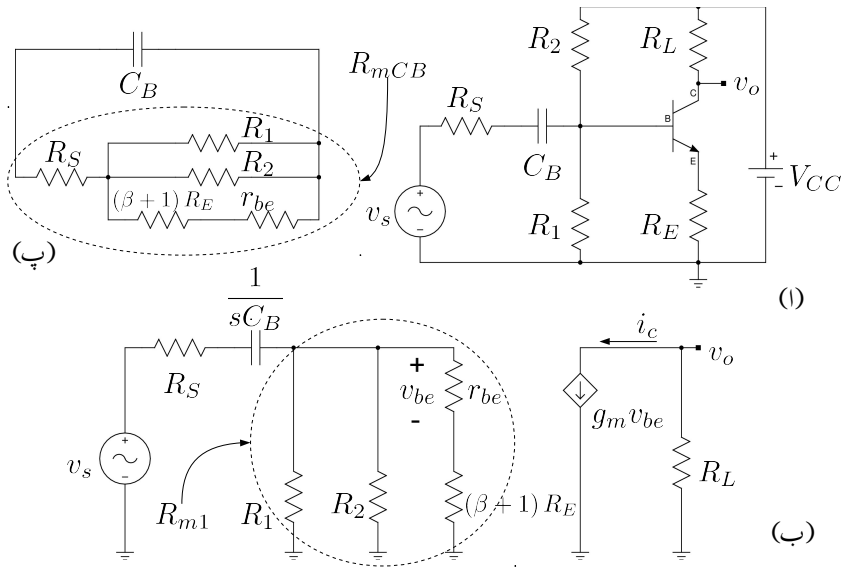
اس باب میں تمام مساوات لاپلاس بدل<sup>14</sup> استعمال کرتے ہوئے  $s$  کے ساتھ لکھے جائیں گے۔ سائن نما اشارات کے لئے  $s$  کی جگہ  $j\omega$  لکھتے ہوئے جوابات حاصل کئے جاتے ہیں۔

## 6.2 بیس سرے پر کپیسٹر $C_B$

امپلیفائر استعمال کرتے وقت اس کے داخلی اور خارجی جانب مختلف چیزیں جوڑی جاسکتی ہیں مثلاً لاؤڈ سپیکر یا دوسرا امپلیفائر۔ ایسی بیرونی اشیاء جوڑتے وقت یہ ضروری ہے کہ ٹرانزسٹر کا نقطہ کارکردگی اپنی جگہ برقرار رہے۔ کپیسٹر یک سمتی برقی رو کے لئے کھلے سرے کردار ادا کرتا ہے لہذا کپیسٹر کے ذریعہ امپلیفائر کو داخلی جانب اشارہ فراہم کرنے یا امپلیفائر کے خارجی جانب سے کپیسٹر کے ذریعہ اشارہ حاصل کرنے سے ٹرانزسٹر کے نقطہ کارکردگی پر کوئی اثر نہیں ہوتا۔ شکل 6.2 الف میں ایسا ہی کرتے ہوئے کپیسٹر  $C_B$  کے ذریعہ داخلی اشارے کو امپلیفائر تک پہنچایا گیا ہے۔

<sup>13</sup> ٹرانزسٹر ریاضی نمونے میں پائے جانے والے کپیسٹر مثلاً  $C_{b'e}$  وغیرہ ٹرانزسٹر کے اندرونی کپیسٹر ہیں

<sup>14</sup> Laplace transform



شکل 6.2: کمپیسٹر  $C_B$  کا کردار

$C_B$  پر توجہ رکھنے کی خاطر شکل میں  $C_E$  اور  $C_C$  نہیں استعمال کئے گئے۔ شکل 6.2 ب میں اسی کا مساوی باریک اشاراتی دور دکھایا گیا ہے جہاں نقطہ دار دائرے میں بند کل مزاحمت کو  $R_{m1}$  لکھا گیا ہے یعنی

$$\frac{1}{R_{m1}} = \frac{1}{R_1} + \frac{1}{R_2} + \frac{1}{r_{be} + (\beta + 1) R_E}$$

شکل ب کے لئے لکھا جاسکتا ہے۔

$$\begin{aligned} A_v &= \left( \frac{v_o}{i_c} \right) \left( \frac{i_c}{v_{be}} \right) \left( \frac{v_{be}}{v_b} \right) \left( \frac{v_b}{v_s} \right) \\ &= (-R_L) (g_m) \left( \frac{r_{be}}{r_{be} + (\beta + 1) R_E} \right) \left( \frac{R_{m1}}{R_S + \frac{1}{sC_B} + R_{m1}} \right) \\ &= (-R_L) (g_m) \left( \frac{r_{be}}{r_{be} + (\beta + 1) R_E} \right) \left( \frac{sR_{m1}C_B}{s(R_S + R_{m1})C_B + 1} \right) \end{aligned}$$

مندرجہ بالا مساوات میں  $j\omega$  کو  $s$  لکھا گیا ہے۔ مساوات کے آخری قوسین میں کسر کے اوپر والے حصے سے  $R_{m1}C_B$  اور اس کے نیچے حصے سے  $(R_S + R_{m1})C_B$  باہر نکالتے ہوئے مندرجہ ذیل مساوات حاصل ہوتا ہے۔

$$A_v = -R_L g_m \left( \frac{r_{be}}{r_{be} + (\beta + 1) R_E} \right) \left( \frac{R_{m1}}{R_S + R_{m1}} \right) \left( \frac{s}{s + \frac{1}{(R_S + R_{m1})C_B}} \right)$$

جیسے شکل 6.2 پ میں وضاحت کی گئی ہے کہ  $v_s$  کو قصر دور تصور کرتے ہوئے،  $C_B$  کے متوازی کل مزاحمت کی قیمت  $(R_S + R_{m1})$  ہے جسے  $R_{mCB}$ <sup>15</sup> لکھتے ہوئے اس مساوات کو یوں لکھا جاسکتا ہے۔

$$(6.3) \quad A_v = -R_L g_m \left( \frac{r_{be}}{r_{be} + (\beta + 1) R_E} \right) \left( \frac{R_{m1}}{R_S + R_{m1}} \right) \left( \frac{s}{s + \frac{1}{R_{mCB}C_B}} \right)$$

اگر اس مساوات میں تعدد  $\omega$  کی قیمت بتدریج بڑھائی جائے تو آخری قوسین کی قیمت ایک (1) تک پہنچنے کی کوشش کرے گی۔ اگرچہ اس مساوات کو حاصل کرنے کی خاطر ٹرانزسٹر کا پست تعدد ریاضی نمونہ استعمال کیا گیا تھا جو صرف کم اور درمیانی تعدد کے لئے درست ہے مگر فی الحال اس بحث میں پڑے بغیر تصور کرتے ہیں کہ  $\omega$  کی

<sup>15</sup>  $R_{mCB}$  لکھتے ہوئے اس میں  $R_m$  سے مراد متوازی مزاحمت جبکہ  $C_B$  سے مراد کیپسٹر  $C_B$  ہے

قیمت لا محدود کر دی جاتی ہے۔ یوں

$$A_v \Big|_{\omega \rightarrow \infty} = -R_L g_m \left( \frac{r_{be}}{r_{be} + (\beta + 1) R_E} \right) \left( \frac{R_{m1}}{R_S + R_{m1}} \right) \left( \frac{\infty}{\infty + \frac{1}{R_{mCB} C_B}} \right)$$

حاصل ہوتا ہے جسے درمیانی تعدد کی افزائش  $A_{vD}$  کہتے ہیں۔

$$(6.4) \quad A_{vD} = A_v \Big|_{\omega \rightarrow \infty} = -R_L g_m \left( \frac{r_{be}}{r_{be} + (\beta + 1) R_E} \right) \left( \frac{R_{m1}}{R_S + R_{m1}} \right)$$

$A_{vD}$  کو نکلی محدود کے طرز پر یوں لکھا جاسکتا ہے۔

$$(6.5) \quad A_{vD} = |A_{vD}| \angle \theta_D$$

جہاں

$$(6.6) \quad |A_{vD}| = (R_L) (g_m) \left( \frac{r_{be}}{r_{be} + (\beta + 1) R_E} \right) \left( \frac{R_{m1}}{R_S + R_{m1}} \right)$$

$$(6.7) \quad \theta_D = \pi$$

کے برابر ہیں۔ مندرجہ بالا مساوات میں  $|A_{vD}|$  افزائش کی حتمی قیمت جبکہ  $\theta_D$  افزائش کا زاویہ ہے۔  $A_{vD}$  کے استعمال سے مساوات 6.3 کو مندرجہ ذیل طریقے سے لکھ سکتے ہیں۔

$$(6.8) \quad A_v = A_{vD} \left( \frac{s}{s + \frac{1}{R_{mCB} C_B}} \right)$$

مساوات 6.3 کو نکلی محدود کے طرز پر یوں لکھا جاسکتا ہے

$$(6.9) \quad A_v = |A_v| \angle \theta$$

جہاں

$$(6.10) \quad |A_v| = |A_{vD}| \frac{\omega}{\sqrt{\omega^2 + \left( \frac{1}{R_{mCB} C_B} \right)^2}}$$

$$\theta = -\frac{\pi}{2} - \tan^{-1} (\omega R_{mCB} C_B)$$



ہیں۔ اگرچہ مساوات 6.4 حتمی طور پر صرف لامحدود تعدد کے لئے درست ہے لیکن جیسے آپ مثال 6.1 میں دیکھیں گے کہ درمیانی سطح کے تعدد کے لئے بھی یہی مساوات صحیح جوابات دیتا ہے۔ یوں  $A_{vD}$  کو ایپلیکیشن کی درمیانی تعدد کے افرائش کہتے ہیں۔

مثال 6.1: شکل 6.2 الف میں گزشتہ کئی مثالوں کی طرح

$$\begin{aligned} V_{CC} &= 15 \text{ V} & \beta &= 179 \\ R_L &= 75 \text{ k}\Omega & R_E &= 15 \text{ k}\Omega \\ R_1 &= 320 \text{ k}\Omega & R_2 &= 1.7 \text{ M}\Omega \\ R_S &= 5 \text{ k}\Omega & C_B &= 0.1 \text{ nF} \end{aligned}$$

لیتے ہوئے مندرجہ ذیل تعدد پر افرائش  $A_v$  حاصل کریں۔

1. لامحدود

2.  $f = 1 \text{ MHz}$

3.  $f = 100 \text{ kHz}$

4.  $f = 10 \text{ kHz}$

5.  $f = 1 \text{ kHz}$

حل: یک سمتی تجزیہ سے مندرجہ ذیل  $g_m$ ،  $r_{b'e}$  اور  $r_e$  حاصل ہوتے ہیں۔

$$\begin{aligned} g_m &= 4.064 \text{ mS} \\ r_{be} &= 44.045 \text{ k}\Omega \\ r_e &\approx 246 \Omega \end{aligned}$$

1. لامحدود تعدد یعنی  $f = \infty$  پر مساوات 6.4 کی مدد سے  $A_{vD}$  کی قیمت

$$\begin{aligned}
 A_{vD} &= (-75000) (0.004064) \left( \frac{44045}{44045 + 180 \times 15000} \right) \left( \frac{245238}{5000 + 245238} \right) \\
 &= -4.79463 \\
 &= 4.79463/\pi
 \end{aligned}$$

حاصل ہوتا ہے جہاں آخری قدم پر افزائش کو نکلی محدود کے طرز پر لکھا گیا ہے۔ اس جواب کے مطابق داخلی اشارے کا حیثہ 4.79463 گنا بڑھے گا اور اس کے زاویہ میں  $\pi$  ریڈین یعنی 180 کی تبدیلی رونما ہوگی۔

2. 1MHz پر مساوات 6.8 کی مدد سے

$$\begin{aligned}
 A_v &= \frac{-4.79463}{1 + \frac{1}{j \times 2 \times \pi \times 10^6 \times (5000 + 245238) \times 0.1 \times 10^{-9}}} \\
 &= -4.79443 - j0.03049 \\
 &= 4.7945/-3.13523
 \end{aligned}$$

حاصل ہوتا ہے۔ آپ دیکھ سکتے ہیں کہ افزائش کی حتمی قیمت لامحدود تعدد پر 4.79463 تھی جبکہ اب اس کی قیمت 4.7945 ہو گئی ہے۔ ان دو قیمتوں میں فرق کو نظر انداز کیا جاسکتا ہے۔ زاویہ -179.635 یعنی تقریباً 180.36 ہے۔

3.  $f = 100 \text{ kHz}$  پر

$$\begin{aligned}
 A_v &= \frac{-4.79463}{1 + \frac{1}{j \times 2 \times \pi \times 100 \times 10^3 \times (5000 + 245238) \times 0.1 \times 10^{-9}}} \\
 &= -4.7753 - j0.30372 \\
 &= 4.78495/-3.0781
 \end{aligned}$$

حاصل ہوتا ہے۔ اب بھی افزائش تقریباً  $A_{vD}$  کے برابر ہے۔

4.  $f = 10 \text{ kHz}$  پر

$$\begin{aligned}
 A_v &= \frac{-4.79463}{1 + \frac{1}{j \times 2 \times \pi \times 10 \times 10^3 \times (5000 + 245238) \times 0.1 \times 10^{-9}}} \\
 &= -3.4137 - j2.1712 \\
 &= 4.04567/-2.5751
 \end{aligned}$$

حاصل ہوتا ہے۔ ہم دیکھتے ہیں کہ 10 kHz پر افزائش کی قیمت قدر کم ہو گئی ہے یعنی اس کی موجودہ قیمت  $A_{vD}$  کے 84 % ہے

$$\frac{4.04567}{4.79463} \times 100 = 84 \%$$

جبکہ زاویہ  $-147^\circ$  ہے۔

$$5. f = 1 \text{ kHz}$$

$$\begin{aligned} A_v &= \frac{-4.79463}{1 + \frac{1}{j \times 2 \times \pi \times 1 \times 10^3 \times (5000 + 245238) \times 0.1 \times 10^{-9}}} \\ &= -0.1157 - j0.7357 \\ &= 0.7447 / -1.7268 \end{aligned}$$

حاصل ہوتا ہے جو کہ نہایت کم افزائش ہے۔ ایک کلو ہرٹز کے تعدد پر حاصل کی گئی افزائش  $A_{vD}$  کے صرف 15 % ہے۔

$$\frac{0.7447}{4.79463} \times 100 = 15 \%$$

ایک کلو ہرٹز کے کم تعدد پر افزائش کا نہایت کم ہو جانا صاف ظاہر ہے۔

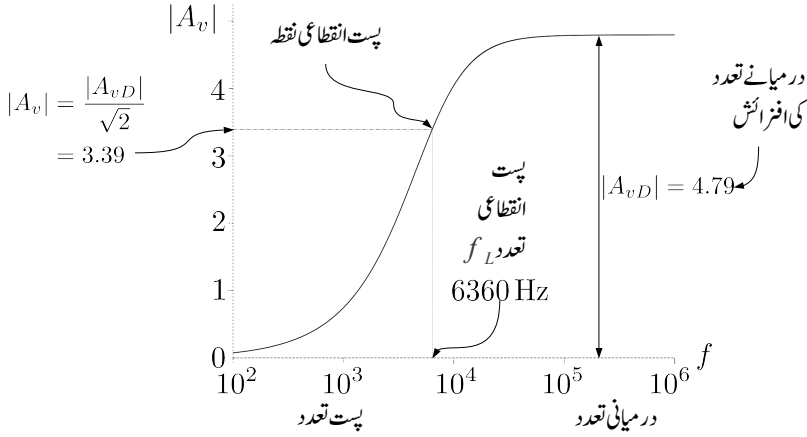
مندرجہ بالا مثال میں ہم نے دیکھا کہ ایک خاص حد سے زیادہ تعدد پر افزائش کی قیمت کو تقریباً  $A_{vD}$  کے برابر تصور کیا جاسکتا ہے۔ البتہ اس حد سے کم تعدد پر افزائش کی قیمت کم ہو جاتی ہے۔ بوڈا خط<sup>16</sup> اس قسم کے معلومات کو ظاہر کرنے کا ایک نہایت عمدہ طریقہ ہے۔ موجودہ مسئلے میں افزائش بالمقابل تعدد کو بوڈا خط کے طرز پر شکل 6.3 میں کھینچا گیا ہے جہاں تعدد کو لوگار تھم<sup>17</sup> پیمانے پر دکھایا گیا ہے۔ اس شکل میں زیادہ تعدد پر افزائش تبدیل نہیں ہوتی اور  $|A_{vD}|$  ہی رہتی ہے۔ حقیقت میں بلند تعدد<sup>18</sup> پر بھی افزائش کم پڑ جاتی ہے۔ موجودہ حصے میں صرف پرستے تعدد<sup>19</sup> پر افزائش کے کم ہونے پر غور کیا جائے گا۔ زیادہ تعدد پر افزائش کے کم ہونے پر آگے جا کر غور کیا جائے گا۔ شکل کو دیکھتے ہوئے ہم کہہ سکتے ہیں کہ کم تعدد پر یہ ایمپلیفائر داخلی اشارہ کو نہیں بڑھائے گا۔ تعدد بتدریج کم کرتے

Bode plot<sup>16</sup>

log<sup>17</sup>

high frequency<sup>18</sup>

low frequency<sup>19</sup>



شکل 6.3: پست انقطاعی تعدد

ہوئے، جس تعدد پر افزائش کی قیمت کم ہوتے ہوئے  $|A_{vD}|$  کے  $\frac{1}{\sqrt{2}}$  گنا ہو جائے اسی کو انقطاعی نقطہ تصور کیا جاتا ہے۔ شکل 6.3 میں  $f = 6360 \text{ Hz}$  پر  $|A_v| = \frac{|A_{vD}|}{\sqrt{2}}$  ہو جاتا ہے۔ یوں ہم کہیں گے کہ یہ ایپلیفائر  $6360 \text{ Hz}$  سے کم تعدد کے اشارات کو نہیں بڑھاتا۔ جیسا کہ پہلے ذکر کیا گیا، زیادہ تعدد پر بھی ایپلیفائر کی افزائش کم ہو جاتی ہے یوں موجودہ نقطے کا پورا نام پست انقطاعی نکتہ ہے جبکہ اس نقطے پر تعدد  $f_L$  کو پست انقطاعی تعدد<sup>20</sup> پکارا جاتا ہے۔

مساوات 6.10 سے ہم پست انقطاعی تعدد حاصل کر سکتے ہیں۔ ایسا کرنے کی خاطر اس تعدد کو  $\omega_L$  لکھتے ہوئے مساوات کو  $|A_v| = \frac{|A_{vD}|}{\sqrt{2}}$  (یعنی درمیانی تعدد پر افزائش سے 3 dB کم) کے لئے حل کرتے ہیں

$$\frac{|A_{vD}|}{\sqrt{2}} = |A_{vD}| \frac{\omega_L}{\sqrt{\omega_L^2 + \left(\frac{1}{R_{mCB}C_B}\right)^2}}$$

$$\frac{1}{\sqrt{2}} = \frac{\omega_L}{\sqrt{\omega_L^2 + \left(\frac{1}{R_{mCB}C_B}\right)^2}}$$

low cut-off frequency<sup>20</sup>

دونوں جانب کا مربع لیتے ہوئے

$$\frac{1}{2} = \frac{\omega_L^2}{\omega_L^2 + \left(\frac{1}{R_{mCB}C_B}\right)^2}$$

سے

$$\begin{aligned} \omega_L &= \frac{1}{R_{mCB}C_B} \\ f_L &= \frac{1}{2\pi R_{mCB}C_B} \end{aligned} \quad (6.11)$$

ہو۔ اس طرح مساوات 6.8 لکھنے کا بہتر انداز یوں ہے۔

$$A_v = A_{vD} \left( \frac{s}{s + \omega_L} \right) \quad (6.12)$$

مندرجہ بالا مساوات اور شکل 6.2 کو ایک ساتھ دیکھتے ہوئے معلوم ہوتا ہے کہ  $f_L$  کی قیمت داخلی کیپیسٹر  $C_B$  اور اس کے ساتھ متوازی کل مزاحمت  $R_{mCB}$  پر منحصر ہے۔ مثال 6.1 میں یوں

$$f_L = \frac{1}{2\pi (5000 + 245238) \times 0.1 \times 10^{-9}} = 6360 \text{ Hz}$$

حاصل ہوتا ہے۔

مثال 6.2: مندرجہ بالا مثال 6.1 میں صرف  $C_B$  کی قیمت تبدیل کرتے ہوئے ایمپلیفائر کو انسانی آواز کا حیثہ بڑھانے کے قابل بنائیں۔

حل: انسان 20 Hz تا 20 kHz کی آواز سن سکتا ہے۔ اگر  $C_B$  کو 20 Hz گزرنے کی غرض سے منتخب کیا جائے تو یہ اس سے زیادہ تمام تعدد کے اشارات کو بھی گزرے گا اور یوں 20 kHz کے اشارے کو کوئی مسئلہ درپیش نہیں آئے گا۔ اگرچہ  $f_L$  کو 20 Hz پر رکھتے ہوئے بھی  $C_B$  حاصل کیا جاتا ہے لیکن ہم جانتے ہیں کہ  $f_L$  پر افزائش کم ہو جاتی ہے لہذا ہم  $f_L$  کو درکار تعدد سے دس گنا کم یعنی 2 Hz پر رکھتے ہوئے مساوات 6.11 کی مدد سے  $C_B$  حاصل کرتے ہیں۔

$$\begin{aligned} C_B &= \frac{1}{2\pi f_L (R_{mCB})} \\ &= \frac{1}{2\pi \times 2 \times 250238} \\ &= 0.318 \times 10^{-6} = 0.318 \mu\text{F} \end{aligned}$$

6.3 ایمٹر سرے پر کیپیسٹر  $C_E$ 

ٹرانزسٹر کا نقطہ کارکردگی تعین کرنے کے علاوہ  $\beta$  میں تبدیلی سے نقطہ کارکردگی میں تبدیلی رونما ہونے کو  $R_E$  کے استعمال سے کم کیا جاتا ہے۔ البتہ ایپلیٹرز کی افزائش بڑھانے کے لئے یہ ضروری ہے کہ ٹرانزسٹر کے ایمٹر سرے پر کم سے کم مزاحمت ہو۔ ان دو متضاد شرائط پر پورا اترتا دور شکل 6.4 الف میں دکھایا گیا ہے۔ چونکہ کیپیسٹر  $C_E$  ایک سمتی برقی رو کے لئے کھلے دور کا کردار ادا کرتا ہے لہذا اس کے استعمال سے ایک سمتی متغیرات متاثر نہیں ہوتے۔  $C_E$  کو یوں چنا جاتا ہے کہ درکار تعدد پر اس کی برقی رکاوٹ  $R_E$  سے کم ہو۔ چونکہ  $C_E$  مزاحمت  $R_E$  کے متوازی جڑا ہے لہذا بدلتی رو کے نقطہ نظر سے ٹرانزسٹر کے ایمٹر پر کل رکاوٹ  $R_E$  سے کم ہو جاتی ہے اور یوں افزائش بڑھتی ہے۔ اس حصے میں  $C_E$  پر توجہ رکھنے کی خاطر  $C_B$  اور  $C_C$  کا استعمال نہیں کیا گیا۔

شکل 6.4 ب میں شکل 6.4 الف کا مساوی باریک اشاراتی دور دکھایا گیا ہے جس سے ہم افزائش کی مساوات لکھ سکتے ہیں۔ باریک اشاراتی دور میں بیس جانب کے مزاحمت کے عکس ایمٹر جانب دکھائے گئے ہیں۔ جیسا کہ آپ جانتے ہیں کہ ایمٹر جانب کے مزاحمت کا عکس، بیس جانب  $(\beta + 1)$  گنا زیادہ نظر آتا ہے جبکہ بیس جانب مزاحمت کا عکس، ایمٹر جانب  $(\beta + 1)$  گنا کم نظر آتا ہے۔ یوں بیس جانب کے مزاحمت  $R_B$  اور  $r_{be}$  کے عکس، ایمٹر جانب  $\frac{R_B}{\beta + 1}$  اور  $\frac{r_{be}}{\beta + 1}$  نظر آئیں گے۔

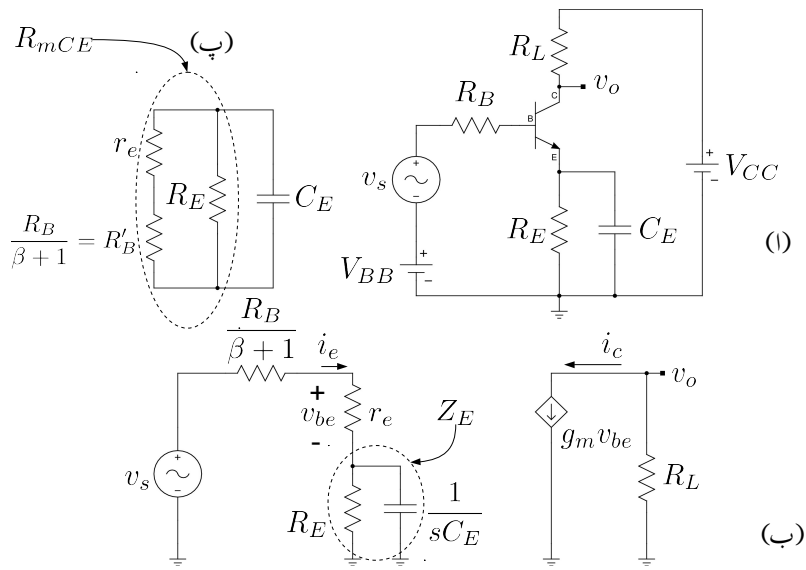
$$A_v = \left( \frac{v_o}{i_c} \right) \left( \frac{i_c}{v_{be}} \right) \left( \frac{v_{be}}{v_s} \right) \quad (6.13)$$

$$= (-R_L) (g_m) \left( \frac{r_e}{\frac{R_B}{\beta + 1} + r_e + Z_E} \right)$$

جہاں

$$\frac{1}{Z_E} = sC_E + \frac{1}{R_E} \quad (6.14)$$

$$Z_E = \frac{1}{sC_E + \frac{1}{R_E}}$$



شکل 6.4: میٹسرے پر  $C_E$  کا کردار

اور

$$(6.15) \quad r_e = \frac{r_{be}}{\beta + 1}$$

ہیں۔ شکل ب میں  $v_s$  کو نظر انداز کرتے ہوئے  $C_E$  کے متوازی کل مزاحمت کو  $R_{mCE}$  لکھتے ہوئے ہم دیکھتے ہیں کہ

$$(6.16) \quad \frac{1}{R_{mCE}} = \frac{1}{R_E} + \frac{1}{\frac{R_B}{\beta + 1} + r_e} = \frac{1}{R_E} + \frac{1}{R'_B + r_e}$$

کے برابر ہے۔ شکل پ میں اس مزاحمت کی وضاحت کی گئی ہے۔

مساوات 6.13 میں  $\frac{R_B}{\beta + 1}$  کو  $R'_B$  لکھتے ہوئے اور اس میں مساوات 6.14 سے  $Z_E$  کی قیمت استعمال کرتے ہوئے حل کرتے ہیں۔

$$A_v = (-R_L) (g_m) \left( \frac{r_e}{R'_B + r_e + \frac{1}{sC_E + \frac{1}{R_E}}} \right)$$

آخری قوسین کو  $(sC_E + \frac{1}{R_E})$  سے ضرب اور تقسیم کرتے ہیں۔

$$A_v = -R_L g_m r_e \left( \frac{sC_E + \frac{1}{R_E}}{(R'_B + r_e) \left( sC_E + \frac{1}{R_E} \right) + 1} \right)$$

$$= -R_L g_m r_e \left( \frac{sC_E + \frac{1}{R_E}}{sC_E (R'_B + r_e) + \frac{(R'_B + r_e)}{R_E} + 1} \right)$$

نچلے جانب  $(R'_B + r_e)$  باہر نکالتے ہیں۔

$$A_v = -\frac{R_L g_m r_e}{(R'_B + r_e)} \left( \frac{sC_E + \frac{1}{R_E}}{sC_E + \frac{1}{R_E} + \frac{1}{R'_B + r_e}} \right)$$

اس مساوات کے آخری قدم پر مساوات 6.16 استعمال کرتے ہوئے اسے مزید حل کرتے ہیں۔

$$A_v = -\left( \frac{R_L g_m r_e}{R'_B + r_e} \right) \left( \frac{sC_E + \frac{1}{R_E}}{sC_E + \frac{1}{R_{mCE}}} \right)$$



کسر کے اوپر اور نیچے سے  $C_E$  باہر نکالتے ہوئے حاصل ہوتا ہے۔

$$(6.17) \quad A_v = - \left( \frac{R_L g_m r_e}{R'_B + r_e} \right) \left( \frac{s + \frac{1}{R_E C_E}}{s + \frac{1}{R_{mCE} C_E}} \right)$$

اس کو مساوات 6.12 کے طرز پر لکھتے ہیں یعنی

$$(6.18) \quad A_v = A_{vD} \left( \frac{s + \omega_1}{s + \omega_2} \right)$$

یا

$$(6.19) \quad \begin{aligned} A_v &= A_{vD} \left( \frac{j\omega + \omega_1}{j\omega + \omega_2} \right) \\ &= A_{vD} \left( \frac{j2\pi f + 2\pi f_1}{j2\pi f + 2\pi f_2} \right) \\ &= A_{vD} \left( \frac{jf + f_1}{jf + f_2} \right) \end{aligned}$$

جہاں

$$(6.20) \quad \begin{aligned} \omega_1 &= 2\pi f_1 = \frac{1}{R_E C_E} \\ \omega_2 &= 2\pi f_2 = \frac{1}{R_{mCE} C_E} \end{aligned}$$

اور

$$(6.21) \quad A_{vD} = - \left( \frac{R_L g_m r_e}{R'_B + r_e} \right)$$

کے برابر ہیں۔ کسی بھی تعدد  $\omega$  پر

$$(6.22) \quad |A_v| = |A_{vD}| \frac{\sqrt{\omega^2 + \omega_1^2}}{\sqrt{\omega^2 + \omega_2^2}}$$

ہوگا۔

مساوات 6.18 میں  $\omega$  کی قیمت کو  $\omega_1$  اور  $\omega_2$  سے بہت زیادہ تصور کرتے ہوئے افزائش کی قیمت حاصل کرتے ہیں۔ اس زیادہ تعدد کو  $\omega \rightarrow \infty$  تصور کرتے ہوئے

$$(6.23) \quad A_v \Big|_{\omega \rightarrow \infty} = A_{vD} \left( \frac{j\infty + \omega_1}{j\infty + \omega_2} \right) = A_{vD}$$

حاصل ہوتا ہے۔ یوں  $A_{vD}$  درمیانی تعدد پر افزائش ہے۔

عموماً ایپلیٹرز مساوات 3.33 کے تحت تخلیق دئے جاتے ہیں جس کے مطابق  $R_E$  کی قیمت  $\frac{R_B}{(\beta+1)}$  سے بہت زیادہ ہوتی ہے۔ اگر مساوات 3.33 کے شرط کو قدر تبدیل کر کے یوں بیان کیا جائے کہ

$$(6.24) \quad R_E \gg \frac{R_B}{\beta+1} + r_e$$

تب مساوات 6.18 کا صفر<sup>22</sup> اس کے قطب<sup>23</sup> سے کم تعدد پر پایا جائے گا یعنی

$$(6.25) \quad \omega_1 \ll \omega_2$$

عموماً  $\frac{R_B}{\beta+1} \gg r_e$  ہوتا ہے اور یوں مساوات 6.24 اور مساوات 3.33 کو تقریباً ایک ہی شرط تصور کیا جاسکتا ہے۔ افزائش  $|A_v|$  اس وقت درمیانی تعدد کے  $|A_{vD}|$  سے 3 dB کم ہوگی جب

$$(6.26) \quad |A_v| = |A_{vD}| \sqrt{\frac{\omega_L^2 + \omega_1^2}{\omega_L^2 + \omega_2^2}} = \frac{|A_{vD}|}{\sqrt{2}}$$

ہو۔ مندرجہ بالا مساوات میں مطلوبہ تعدد کو  $\omega_L$  لکھا گیا ہے جسے حل کرتے حاصل ہوتا ہے

$$(6.27) \quad \omega_L = \sqrt{\omega_2^2 - 2\omega_1^2} \approx \omega_2$$

جہاں مساوات 6.25 کے تحت  $\omega_1$  کو نظر انداز کیا گیا ہے۔ اگر  $\omega_2^2$  کی قیمت  $2\omega_1^2$  سے کم ہو تب مندرجہ بالا مساوات کے تحت  $|A_v|$  کبھی بھی  $|A_{vD}|$  سے 3 dB کم نہیں ہوگا اور یوں  $\omega_L$  نہیں پایا جائے گا۔

مثال 6.3: شکل 6.4 الف میں

$$\begin{aligned} V_{CC} &= 15 \text{ V} & V_{BB} &= 2.376 \text{ V} \\ R_L &= 75 \text{ k}\Omega & R_E &= 15 \text{ k}\Omega \\ R_B &= 269.3 \text{ k}\Omega & \beta &= 179 \\ C_E &= 10 \text{ nF} \end{aligned}$$

ہیں۔  $A_{vD}$  اور  $f_L$  حاصل کرتے ہوئے  $|A_v|$  کا خط کھینچیں۔

حل: ان قیمتوں سے

$$\begin{aligned} I_C &= \frac{V_{BB} - V_{BE}}{\frac{R_B}{\beta+1} + R_E} = \frac{2.376 - 0.7}{\frac{269.3 \times 10^3}{179+1} + 15000} = 101.6 \mu\text{A} \\ g_m &= \frac{I_C}{V_T} = \frac{101.6 \times 10^{-6}}{25 \times 10^{-3}} = 4.064 \text{ mS} \\ r_e &= \frac{1}{4.064 \times 10^{-3}} = 246 \Omega \end{aligned}$$

اور

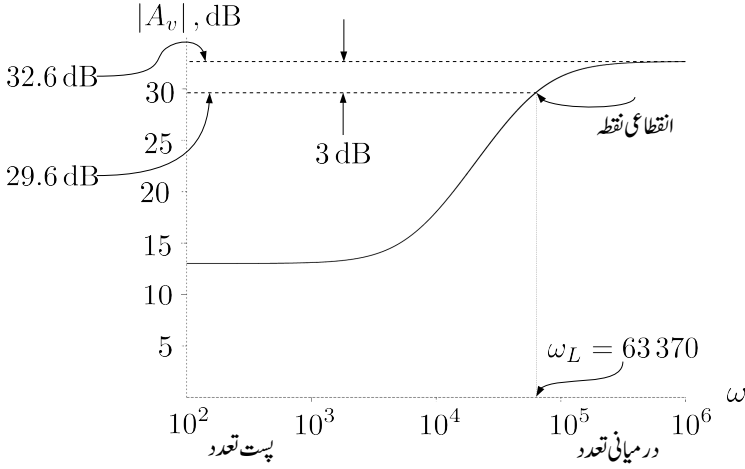
$$\begin{aligned} \frac{1}{R_{mCE}} &= \frac{1}{15000} + \frac{1}{\frac{269300}{179+1} + 246} \\ R_{mCE} &= 1560.83 \Omega \end{aligned}$$

حاصل ہوتے ہیں۔ یوں  $\frac{R_B}{\beta+1} + r_e = 1742 \Omega$  بنتا ہے جو کہ  $R_E$  سے بہت کم ہے۔ مساوات 6.20 کے تحت

$$\begin{aligned} \omega_1 &= \frac{1}{15000 \times 10 \times 10^{-9}} = 6666 \frac{\text{rad}}{\text{s}} \\ \omega_2 &= \frac{1}{1560.83 \times 10 \times 10^{-9}} = 64068 \frac{\text{rad}}{\text{s}} \end{aligned}$$

حاصل ہوتے ہیں۔ چونکہ  $\omega_2^2$  کی قیمت  $2\omega_1^2$  کے قیمت سے زیادہ ہے لہذا مساوات 6.27 کے تحت

$$\begin{aligned} \omega_L &= \sqrt{64068^2 - 2 \times 6666^2} = 63370 \frac{\text{rad}}{\text{s}} \\ f_L &= \frac{63370}{2 \times \pi} = 10 \text{ kHz} \end{aligned}$$



شکل 6.5:  $C_E$  سے حاصل  $\omega_L$

حاصل ہوتا ہے۔ اگر اس مساوات میں  $2\omega_1^2$  کو نظر انداز کیا جائے تب  $\omega_L$  کی قیمت  $64\,068 \frac{\text{rad}}{\text{s}}$  حاصل ہوتی ہے۔ ان دو جوابات میں نہایت کم فرق ہے۔

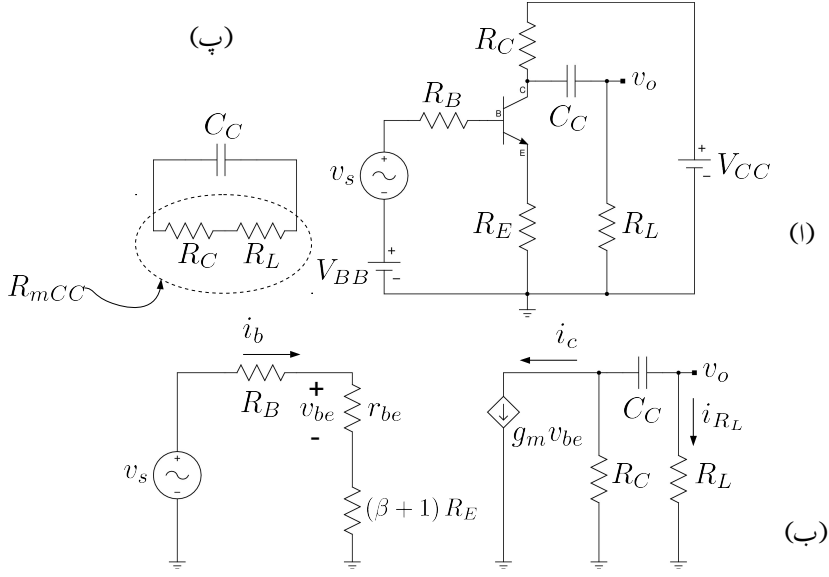
مساوات 6.21 سے درمیانی تعدد کی افزائش حاصل کرتے ہیں۔

$$A_{vD} = -\frac{75000 \times 4.064 \times 10^{-3} \times 246}{\frac{269300}{179+1} + 246} = -43 \frac{\text{V}}{\text{V}}$$

اور یوں کسی بھی تعدد پر افزائش کی مساوات مندرجہ ذیل ہو گی۔

$$(6.28) \quad A_v = -43 \left( \frac{s + 6666}{s + 64068} \right)$$

شکل 6.5 میں  $|A_v| = 43 \sqrt{\frac{\omega^2 + 6666^2}{\omega^2 + 64068^2}}$  کا خط کھینچا گیا ہے جس میں افقی محدود پر  $\log \omega$  اور عمودی محدود پر  $20 \log |A_v|$  رکھے گئے ہیں۔ یوں عمودی محدود سے افزائش کو ڈبلچیل<sup>24</sup> میں پڑھا جائے گا۔

شکل 6.6: کیپیسٹر  $C_C$  کے اثرات6.4 کلکٹر سرے پر کیپیسٹر  $C_C$ 

ایپلیفائر کا خارجی اشارہ کیپیسٹر  $C_C$  کے ذریعہ حاصل کرنے سے یک سمتی متغیرات متاثر نہیں ہوتے۔ شکل 6.6 الف میں کلکٹر سرے سے  $C_C$  کے ذریعہ خارجی اشارے کو درکار مقام یعنی  $R_L$  تک پہنچایا گیا ہے۔ شکل 6.6 ب میں اسی کا مساوی باریک اشاراتی دور دکھایا گیا۔ سلسلہ وار جڑے  $R_L$  اور  $C_C$  کا برقی رکاوٹ  $Z$

$$Z = R_L + \frac{1}{sC_C}$$

ہے۔ برقی رو کے تقسیم کی مساوات سے  $R_C$  کے ساتھ متوازی جڑے برقی رکاوٹ  $Z$  میں  $i_{R_L}$  یوں حاصل کیا جائے گا۔

$$i_{R_L} = - \left( \frac{R_C}{R_C + Z} \right) i_c$$

جہاں منفی کی علامت اس لئے پیدا ہوئی کہ  $i_{R_L}$  کی سمت  $i_c$  کے الٹ رکھی گئی۔

انفرانش کی مساوات یوں لکھی جائے گی۔

$$A_v = \frac{v_o}{v_s} = \left( \frac{v_o}{i_{R_L}} \right) \left( \frac{i_{R_L}}{i_c} \right) \left( \frac{i_c}{v_{be}} \right) \left( \frac{v_{be}}{v_s} \right)$$

$$= (R_L) \left( -\frac{R_C}{R_C + Z} \right) (g_m) \left( \frac{r_{be}}{R_S + r_{be} + (\beta + 1)R_E} \right)$$

منفی کی علامت باہر نکالتے ہوئے،  $\frac{R_C}{R_C + Z}$  میں  $Z$  کی قیمت پر کر کے اسے دائیں منتقل کرتے ہیں۔

$$A_v = - (R_L) (g_m) \left( \frac{r_{be}}{R_S + r_{be} + (\beta + 1)R_E} \right) \left( \frac{R_C}{R_C + R_L + \frac{1}{sC_C}} \right)$$

$$= - \left( \frac{R_L g_m r_{be}}{R_S + r_{be} + (\beta + 1)R_E} \right) \left( \frac{s R_C}{(R_C + R_L) \left( s + \frac{1}{(R_C + R_L)C_C} \right)} \right)$$

جہاں دائیں جانب آخری کسر میں نیچے  $(R_C + R_L)$  باہر نکالا گیا ہے۔ اسی کسر کے اوپر حصے سے  $R_C$  اور اس کے نیچے حصے سے  $(R_C + R_L)$  کو مساوات کے بائیں جانب منتقل کرتے ہوئے اسے یوں لکھا جاسکتا ہے۔

$$(6.29) \quad A_v = - \frac{R_C R_L}{R_C + R_L} \left( \frac{g_m r_{be}}{R_S + r_{be} + (\beta + 1)R_E} \right) \left( \frac{s}{s + \frac{1}{(R_C + R_L)C_C}} \right)$$

$$= A_{vD} \left( \frac{s}{s + \omega_L} \right)$$

جہاں

$$(6.30) \quad A_{vD} = A_v \bigg|_{\omega \rightarrow \infty} = - \frac{R_C R_L}{R_C + R_L} \left( \frac{g_m r_{be}}{R_S + r_{be} + (\beta + 1)R_E} \right)$$

$$\omega_L = \frac{1}{(R_C + R_L)C_C}$$

کے برابر ہیں۔

## 6.5 بوڈا خطوط

ایمپلیفائر کے افزائش بالمقابل تعدد کے خط کو عموماً بوڈا خط<sup>25</sup> کے طرز پر کھینچا جاتا ہے<sup>26</sup>۔ افزائش کی حتمی قیمت بالمقابل تعدد اور افزائش کا زاویہ بالمقابل تعدد کے خط علیحدہ علیحدہ کھینچے جاتے ہیں جنہیں حتمی قیمتے بالمقابل تعدد کا بوڈا خط اور زاویہ بالمقابل تعدد کا بوڈا خط پکارا جاتا ہے۔ حتمی قیمتے بالمقابل تعدد کے بوڈا خط میں افقی محدود پر  $\log \omega$  یا  $\log f$  جبکہ اس کے عمودی محدود پر  $20 \log |A_v|$  رکھے جاتے ہیں۔ یوں عمودی محدود پر حتمی قیمت ڈیسی بیل<sup>27</sup> میں پائی جائے گی۔ زاویہ بالمقابل تعدد کے بوڈا خط میں افقی محدود پر  $\log \omega$  یا  $\log f$  جبکہ عمودی محدود پر زاویہ  $\theta$  رکھا جاتا ہے۔ بوڈا خطوط کو سمجھنے کی خاطر مساوات 6.19 کو مثال بناتے ہوئے افزائش کی حتمی قیمتے بالمقابل تعدد کا بوڈا خط کھینچتے ہیں۔ مساوات میں

$$\begin{aligned} A_{vD} &= -177.8 \frac{V}{V} \\ f_1 &= 100 \text{ Hz} \\ f_2 &= 10 \text{ kHz} \end{aligned}$$

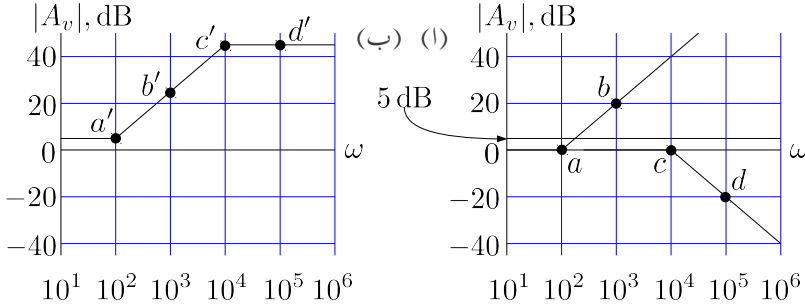
لیتے ہوئے یہاں دوبارہ پیش کرتے ہیں۔

$$\begin{aligned} A_v &= A_{vD} \left( \frac{jf + f_1}{jf + f_2} \right) \\ &= A_{vD} \frac{f_1}{f_2} \left( \frac{1 + j\frac{f}{f_1}}{1 + j\frac{f}{f_2}} \right) \\ &= -177.8 \left( \frac{100}{10000} \right) \left( \frac{1 + j\frac{f}{100}}{1 + j\frac{f}{10000}} \right) \\ &= -1.778 \left( \frac{1 + j\frac{f}{100}}{1 + j\frac{f}{10000}} \right) \\ &= |A_v| e^{j\theta} \end{aligned}$$

<sup>25</sup> Bode plot

<sup>26</sup> ہنڈرک واڈ بوڈا نے خط کھینچنے کے اس طرز کو دریافت کیا۔ ان خطوط کو بوڈا یا بوڈی خطوط پکارا جاتا ہے

<sup>27</sup> dB



شکل 6.7: حتی قیمت بالمقابل تعدد کے بوڈا خط کے اجزاء

جہاں

$$(6.31) \quad |A_v| = 1.778 \frac{\sqrt{1 + \left(\frac{f}{100}\right)^2}}{\sqrt{1 + \left(\frac{f}{10000}\right)^2}}$$

$$\theta = \pi + \left( \tan^{-1} \frac{f}{100} \right) - \left( \tan^{-1} \frac{f}{10000} \right)$$

کے برابر ہیں۔ آئیں مساوات 6.31 کو استعمال کرتے ہوئے  $|A_v|$  بالمقابل  $f$  کا بوڈا خط کھینچنا سیکھیں۔

$|A_v|$  کو ڈیلیجیل<sup>28</sup> میں لکھتے ہوئے

$$(6.32) \quad |A_v|_{dB} = 20 \log 1.778 + 20 \log \sqrt{1 + \frac{f^2}{100^2}} - 20 \log \sqrt{1 + \frac{f^2}{10000^2}}$$

حاصل ہوتا ہے۔  $|A_v|_{dB}$  کا خط کھینچنے کی خاطر مندرجہ بالا مساوات کے تین اجزاء کے خطوط کو باری باری کھینچتے ہوئے آخر میں تمام کا سادہ مجموعہ حاصل کریں گے۔

ایسا کرنے کی خاطر مساوات 6.32 کو دیکھتے ہیں۔ اس کا پہلا جزو

$$20 \log 1.778 \approx 5 \text{ dB}$$



ایک مستقل مقدار ہے جس کی قیمت تعدد پر منحصر نہیں۔ اس سے 5 dB پر سیدھا افقی خط حاصل ہوتا ہے جسے شکل 6.7 الف میں دکھایا گیا ہے۔

مساوات کے دوسرے جزو کی کارکردگی نہایت کم اور نہایت زیادہ تعدد پر دیکھتے ہیں۔ نہایت کم تعدد یعنی  $f \ll f_1$  پر چونکہ  $\left(\frac{f}{f_1}\right)^2 \ll 1$  ہو گا لہذا اس جزو سے

$$(6.33) \quad 20 \log \sqrt{1 + \left(\frac{f}{f_1}\right)^2} \rightarrow 20 \log 1 = 0 \text{ dB}$$

حاصل ہوتا ہے۔ نہایت زیادہ یعنی  $f \gg f_1$  پر چونکہ  $\left(\frac{f}{f_1}\right)^2 \gg 1$  ہو گا لہذا

$$(6.34) \quad 20 \log \sqrt{1 + \left(\frac{f}{f_1}\right)^2} \rightarrow 20 \log \sqrt{\left(\frac{f}{f_1}\right)^2} = 20 \log \frac{f}{100} \text{ dB}$$

حاصل ہوتا ہے جہاں آخری قدم پر  $f_1 = 100$  کا استعمال کیا گیا ہے۔

$20 \log \frac{f}{100}$  کی قیمت 100، 1000، 10000 اور 100000 کے تعدد پر 0، 20، 40 اور 60 ڈی بی نیل حاصل ہوتی ہے۔ اس حقیقت کو یوں بیان کیا جاسکتا ہے کہ تعدد دس گنا کرنے سے افزائش 20 dB بڑھتی ہے یا کہ افزائش 20 dB فی دہائی کے شرح سے بڑھتی ہے۔ افقی محور پر تعدد کا لوگار تھم لیتے ہوئے ان قیمتوں کے استعمال سے خط کھینچا گیا ہے۔ یہ خط تعدد کے محور کو  $f_1$  یعنی  $\log(100) = 2$  پر چھوتے ہوئے 20 dB فی دہائی کے شرح سے بڑھتا ہے۔ ایسا خط کھینچتے وقت  $(f_1, 0 \text{ dB})$  اور  $(10f_1, 20 \text{ dB})$  کے مقام پر نقطے لگا کر انہیں سیدھی لکیر سے جوڑتے ہوئے حاصل کیا جاتا ہے۔

شکل 6.7 الف میں  $(f_1, 0 \text{ dB})$  یعنی  $(10^2, 0 \text{ dB})$  پر نقطہ  $a$  اور اسی طرح  $(10f_1, 20 \text{ dB})$  یعنی  $(10^3, 20 \text{ dB})$  پر نقطہ  $b$  دکھائے گئے ہیں۔ نہایت کم تعدد پر مساوات 6.33 کے مطابق اس جزو کی قیمت 0 dB ہے۔ حقیقت میں بوڈا خط کھینچتے وقت کم تعدد کو  $f \ll f_1$  کی بجائے  $f \leq f_1$  لیا جاتا ہے۔ یوں نقطہ  $a$  سے کم تعدد پر اس جزو کی قیمت 0 dB دکھائی گئی ہے۔ اس طرح بوڈا خط کھینچتے ہوئے نہایت زیادہ تعدد کو  $f \gg f_1$  کی بجائے  $f \geq f_1$  لیا جاتا ہے۔ یوں اگر  $a$  پر 0 dB ہو تب دس گنا زیادہ تعدد پر 20 dB ہو گا۔ اس نقطے کو  $b$  سے ظاہر کیا گیا ہے۔  $a$  تک 0 dB پر رہتا ہوا اور  $a$  اور  $b$  سے گزرتا سیدھا خط دوسرے جزو کا بوڈا خط ہے۔

مساوات 6.32 کے تیسرے جزو کی کارکردگی نہایت کم اور نہایت زیادہ تعدد پر دیکھتے ہیں۔ نہایت کم تعدد یعنی  $f \ll f_2$  پر

$$(6.35) \quad -20 \log \sqrt{1 + \left(\frac{f}{f_2}\right)^2} \rightarrow 20 \log 1 = 0 \text{ dB}$$

جبکہ نہایت زیادہ تعدد یعنی  $f \gg f_2$  پر

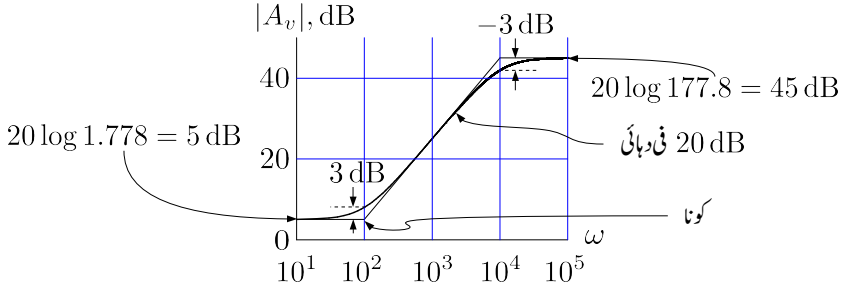
$$(6.36) \quad -20 \log \sqrt{1 + \left(\frac{f}{f_2}\right)^2} \rightarrow -20 \log \sqrt{\left(\frac{f}{f_2}\right)^2} \\ = -20 \log \frac{f}{10000} \quad \text{dB}$$

حاصل ہوتا ہے جہاں آخری قدم پر  $f_2 = 10000$  کا استعمال کیا گیا ہے۔

$-20 \log \frac{f}{10000}$  کی قیمت 10000، 100000، 1000000 اور 10000000 کے تعدد پر 0، -20، -40 اور -60 ڈیسی بیل حاصل ہوتی ہے۔ اس حقیقت کو یوں بیان کیا جاسکتا ہے کہ تعدد دس گنا کرنے سے انفرانس 20 dB گھٹتی ہے یا کہ انفرانس -20 dB فی دہائی کے شرح سے تبدیل ہوتی ہے۔ افقی محور پر تعدد کا لوگار تھم لیتے ہوئے ان قیمتوں کے استعمال سے خط کھینچا گیا ہے۔ یہ خط تعدد کے محور کو  $f_2$  یعنی  $\log(10000) = 4$  پر چھوتے ہوئے -20 dB فی دہائی کے شرح سے تبدیل ہوتا ہے۔ ایسا خط کھینچتے وقت  $f_2$  تعدد پر 0 dB اور  $10f_2$  تعدد پر -20 dB کے مقام پر نقطے لگا کر انہیں سیدھی لکیر سے جوڑتے ہوئے حاصل کیا جاتا ہے۔ شکل 6.7 الف میں ان نقطوں کو  $c$  اور  $d$  سے ظاہر کیا گیا ہے۔ یاد رہے کہ  $f_2$  یعنی  $10^4$  سے کم تعدد پر اس جزو کی قیمت 0 dB ہے۔

شکل 6.7 ب میں ان تینوں خطوط کا مجموعہ لیا گیا ہے جو کہ مساوات 6.31 کے  $|A_v|$  کا مکمل بوڈا خط ہے۔ شکل 6.7 الف میں نقطہ  $a$  پر مساوات 6.32 کے پہلے جزو کے خط کی قیمت 5 dB جبکہ بقایا دو اجزاء کے قیمتیں 0 dB ہیں۔ یوں ان کا مجموعہ 5 dB ہے جسے شکل 6.7 ب میں  $a'$  سے ظاہر کیا گیا ہے۔  $b$  پر ان تین اجزاء کے قیمتیں 5 dB، 20 dB اور 0 dB ہیں جن کے مجموعہ 25 dB کو  $b'$  سے ظاہر کیا گیا ہے۔  $c$  پر تینوں کا مجموعہ 45 dB کو  $c'$  سے ظاہر کیا گیا ہے۔  $d$  پر تین اجزاء کے قیمتیں 5 dB، 60 dB اور -20 dB ہیں جن کا مجموعہ 45 dB ہی ہے۔ اس نقطے کو  $d'$  سے ظاہر کیا گیا ہے۔

مندرجہ بالا تمام عمل کو نہایت آسانی سے یوں سرانجام دیا جاسکتا ہے۔ دئے گئے مساوات کی حتی قیمت کتر تعدد پر حاصل کریں۔ بوڈا خط کی قیمت یہی رکھتے ہوئے تعدد بڑھائیں حتی کہ مساوات کا صفر یا قطب آجائے۔ اگر صفر آ



شکل 6.8: اصل خط اور بوڈا خط کا موازنہ

جائے تو بوڈا خط کی قیمت 20 dB فی دہائی کی شرح سے بڑھانا شروع کر دیں اور اگر قطب آجائے تو بوڈا خط کی قیمت 20 dB فی دہائی کی شرح سے گھٹانا شروع کر دیں۔ تعدد بڑھاتے رہیں حتیٰ کہ مساوات کا اگلا صفر یا قطب آجائے۔ ہر مرتبہ صفر آنے پر بوڈا خط کے تبدیلی کی شرح میں 20 dB کا اضافہ لائیں جبکہ قطب آنے پر بوڈا خط کے تبدیلی کی شرح میں 20 dB کی کمی لائیں۔

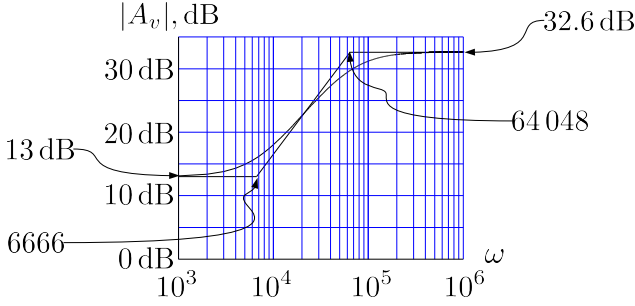
شکل 6.8 میں مساوات 6.31 کے بوڈا خط اور اس کا حقیقی خط<sup>29</sup> ایک ساتھ دکھائے گئے ہیں۔ آپ دیکھ سکتے ہیں کہ بوڈا خط کے کونوں پر دونوں خطوط میں 3 dB کا فرق پایا جاتا ہے جبکہ بقایا تعدد پر دونوں تقریباً ایک ہی طرح کے ہیں۔ مساوات 6.33 سے اس فرق کو سمجھا جاسکتا ہے۔ کونے پر تعدد  $f_1$  کے برابر ہے یوں اس مساوات سے

$$20 \log \sqrt{1 + \left(\frac{f_1}{f_1}\right)^2} = 20 \log \sqrt{2} \approx 3 \text{ dB}$$

حاصل ہوتا ہے ناکہ 0 dB۔ اسی حقیقت کے بنا پر بوڈا خط کے کونوں کو 3 dB نقطے بھی کہتے ہیں۔

#### مثال 6.4: مساوات 6.28 کا بوڈا خط کھینچیں۔

<sup>29</sup> حقیقی خط کمپیوٹر کے پروگرام میٹل اب matlab یا octave کی مدد سے آسانی سے کھینچا جاسکتا ہے۔ اس کتاب میں بیشتر خطوط لینکس linux میں پائے جانے والے پروگرام آتھو استعمال کرتے ہوئے ہی کھینچے گئے ہیں۔



شکل 6.9

حل: اس مساوات کو دوبارہ پیش کرتے ہیں۔

$$A_v = -43 \left( \frac{j\omega + 6666}{j\omega + 64068} \right)$$

انتہائی کم تعدد ( $\omega \rightarrow 0$ ) پر اس کی حتمی قیمت

$$|A_v|_{\omega \rightarrow 0} = 43 \left( \frac{0 + 6666}{0 + 64068} \right) = 4.474$$

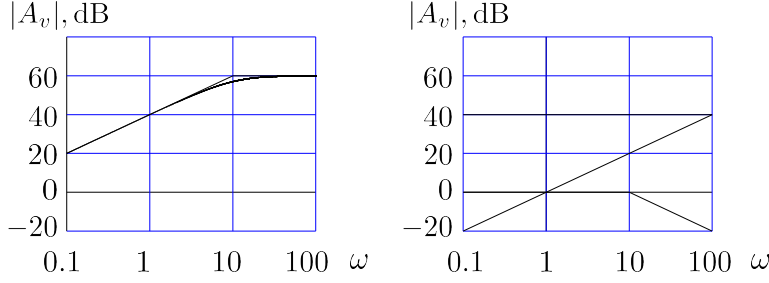
یعنی

$$20 \times \log 4.474 \approx 13 \text{ dB}$$

حاصل ہوتی ہے۔ مساوات کا صفر 6666 جبکہ اس کا قطب 64068 پر پایا جاتا ہے۔ ان معلومات سے شکل 6.9 میں بوڈا خط حاصل کیا گیا ہے۔

مثال 6.5: مندرجہ ذیل مساوات کا بوڈا خط کھینچیں۔

$$A_v = \frac{1000s}{s + 10}$$



شکل 6.10

حل: اس کو عمومی طرز پر لکھتے ہیں۔

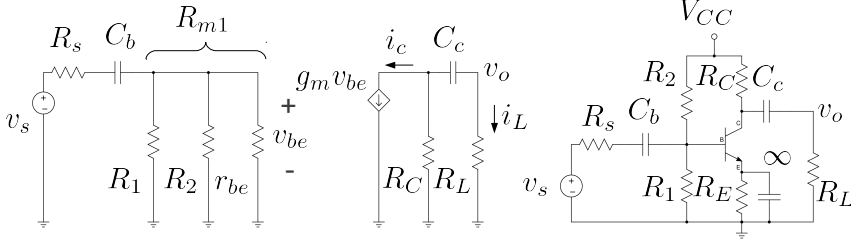
$$A_v = \frac{100j\omega}{\frac{j\omega}{10} + 1}$$

جسے ڈیسی بیل میں لکھتے ملتا ہے

$$A_v = 20 \log 100 + 20 \log \omega - 20 \log \sqrt{\frac{\omega^2}{10^2} + 1}$$

اس کے بوڈا خط کے اجزاء شکل 6.10 الف جبکہ مکمل بوڈا خط شکل ب میں دکھائے گئے ہیں۔

مندرجہ بالا مثال میں دی گئی مساوات میں کسر کے اوپر تعددی جزو پر غور کریں۔ بوڈا خط میں  $\left(\frac{j\omega}{\omega_0} + 1\right)$  طرز پر لکھے گئے جزو کی قیمت  $\omega_0$  سے کم تعدد پر 0 dB جبکہ اس سے زیادہ تعدد پر بیس ڈیسی بیل فی دہائی کی شرح سے تبدیل ہوتا ہے۔ اس کے برعکس  $(j\omega)$  کہیں بھی 0 dB پر برقرار نہیں رہتا۔ یہ  $\omega = 1$  پر 0 dB سے گزرتے ہوئے بیس ڈیسی بیل فی دہائی کی شرح سے تمام تعدد پر تبدیل ہوتا ہے۔ اگر یہ جزو بطور صفر پایا جائے تب یہ بیس ڈیسی بیل فی دہائی کی شرح سے بڑھتا ہے جبکہ اگر جزو بطور قطب پایا جائے تب یہ بیس ڈیسی بیل فی دہائی کی شرح سے گھٹتا ہے۔



شکل 6.11: بیس اور کلکٹر پر کپیسٹر نسب کرنے کے اثرات

## 6.6 بیس اور کلکٹر بیر وئی کپیسٹر

شکل 6.11 میں بیس اور کلکٹر پر کپیسٹر نسب کئے گئے ہیں۔ اگرچہ شکل میں ایسٹر پر  $C_E$  بھی نسب ہے لیکن اس کی قیمت لامحدود تصور کی گئی ہے۔ یوں درکار تعدد پر اس کو قصر دور تصور کیا گیا ہے۔ مساوی شکل میں

$$\frac{1}{R_{m1}} = \frac{1}{R_1} + \frac{1}{R_2} + \frac{1}{r_{be}}$$

لیتے ہوئے ہم لکھ سکتے ہیں۔

$$\begin{aligned} A_v = \frac{v_o}{v_s} &= \left( \frac{v_o}{i_L} \right) \left( \frac{i_L}{i_c} \right) \left( \frac{i_c}{v_{be}} \right) \left( \frac{v_{be}}{v_s} \right) \\ &= R_L \left( -\frac{R_C}{R_C + R_L + \frac{1}{sC_c}} \right) (g_m) \left( \frac{R_{m1}}{R_s + R_{m1} + \frac{1}{sC_b}} \right) \\ &= -g_m R_L R_C R_{m1} \left( \frac{sC_c}{sC_c (R_C + R_L) + 1} \right) \left( \frac{sC_b}{sC_b (R_s + R_{m1}) + 1} \right) \\ &= -\frac{g_m R_L R_C R_{m1}}{(R_C + R_L)(R_s + R_{m1})} \left( \frac{s}{s + \frac{1}{C_c(R_C + R_L)}} \right) \left( \frac{s}{s + \frac{1}{C_b(R_s + R_{m1})}} \right) \end{aligned}$$

اس مساوات میں

$$\begin{aligned} \omega_c &= \frac{1}{C_c (R_C + R_L)} \\ \omega_b &= \frac{1}{C_b (R_s + R_{m1})} \end{aligned} \quad (6.37)$$

لیتے ہوئے یوں لکھا جا سکتا ہے۔

$$(6.38) \quad A_v = -\frac{g_m R_L R_C R_{m1}}{(R_C + R_L)(R_s + R_{m1})} \left( \frac{s}{s + \omega_c} \right) \left( \frac{s}{s + \omega_b} \right)$$

اس مساوات میں  $\frac{R_C R_L}{R_C + R_L}$  متوازی جڑے مزاحمت کی کل مزاحمت ہے جسے عموماً  $R_C \parallel R_L$  لکھا جاتا ہے۔ اسی طرح  $\frac{R_{m1}}{R_{m1} + R_s}$  کو  $\frac{1}{R_s} \left( \frac{R_s R_{m1}}{R_s + R_{m1}} \right)$  یا  $\frac{R_s \parallel R_{m1}}{R_s}$  لکھتے ہوئے اسے یوں لکھا جا سکتا ہے۔

$$(6.39) \quad \begin{aligned} A_v &= -\frac{1}{R_s} (R_C \parallel R_L) (R_s \parallel R_{m1}) \left( \frac{s}{s + \omega_c} \right) \left( \frac{s}{s + \omega_b} \right) \\ &= A_{vD} \left( \frac{s}{s + \omega_c} \right) \left( \frac{s}{s + \omega_b} \right) \end{aligned}$$

جہاں

$$A_{vD} = -\frac{1}{R_s} (R_C \parallel R_L) (R_s \parallel R_{m1})$$

لکھا گیا ہے۔

پست انقطاعی تعدد پر  $|A_v| = \frac{A_{vD}}{\sqrt{2}}$  کے برابر ہو گا۔ یوں مساوات 6.39 میں پست انقطاعی تعدد کو  $\omega_L$  لکھتے ہوئے حاصل ہوتا ہے

$$A_{vD} \left( \frac{\omega_L}{\sqrt{\omega_L^2 + \omega_c^2}} \right) \left( \frac{\omega_L}{\sqrt{\omega_L^2 + \omega_b^2}} \right) = \frac{A_{vD}}{\sqrt{2}}$$

جسے

$$2\omega_L^4 = (\omega_L^2 + \omega_c^2) (\omega_L^2 + \omega_b^2)$$

یعنی

$$\omega_L^4 - (\omega_c^2 + \omega_b^2) \omega_L^2 + \omega_c^2 \omega_b^2 = 0$$

لکھا جا سکتا ہے۔ اس کو حل کرتے ملتا ہے

$$(6.40) \quad \omega_L^2 = \frac{\omega_c^2 + \omega_b^2}{2} + \frac{\sqrt{\omega_c^4 + 6\omega_c^2 \omega_b^2 + \omega_b^4}}{2}$$

مندرجہ بالا مساوات میں منفی جزر کو شامل نہیں کیا گیا چونکہ اس کے استعمال سے  $\omega_L^2$  کی قیمت منفی حاصل ہوتی ہے۔

شکل 6.11 کو دیکھ کر معلوم ہوتا ہے کہ  $C_b$  اور  $C_c$  کا ایک دوسرے پر کوئی اثر نہیں۔ مساوات 6.39 اسی حقیقت کی تصدیق کرتا ہے۔

مثال 6.6: شکل 6.11 میں

$$V_{CC} = 9\text{ V}, R_C = 1.8\text{ k}\Omega, R_E = 200\ \Omega$$

$$R_1 = 2.2\text{ k}\Omega, R_2 = 16\text{ k}\Omega, R_s = 1\text{ k}\Omega$$

$$\beta = 99, R_L = 1.8\text{ k}\Omega$$

ہیں۔

- $C_b$  اور  $C_c$  کی ایسی قیمتیں حاصل کریں کہ  $f_b = 50\text{ Hz}$  جبکہ  $f_c = 5\text{ Hz}$  ہو۔
- مندرجہ بالا قیمتوں کو استعمال کرتے ہوئے مساوات 6.39 کا بوڈا خط کھینچتے ہوئے پست انقطاعی تعدد حاصل کریں۔
- $f_b = f_c$  رکھتے ہوئے پست انقطاعی تعدد  $50\text{ Hz}$  حاصل کرنے کی خاطر  $f_b$  اور  $f_c$  حاصل کریں

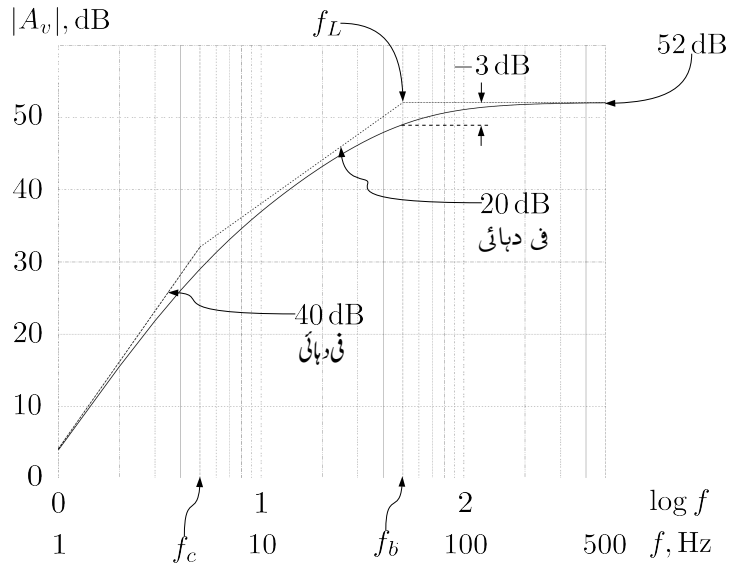
حل: نقطہ کارکردگی حاصل کرتے وقت تمام کپیسٹرز کھلے سرے کردار ادا کرتے ہیں۔ مسئلہ تھون کی مدد سے  $V_{th} = 1.934\text{ k}\Omega$  جبکہ  $V_{th} = 1.0879\text{ V}$  حاصل ہوتے ہیں جن سے  $I_{CQ} = 1.768\text{ mA}$ ،  $g_m = 0.071\text{ S}$  اور  $r_{be} = 1.394\text{ k}\Omega$  حاصل ہوتے ہیں۔ یوں  $R_{m1} = 810\ \Omega$  حاصل ہوتا ہے۔

•

$$C_c = \frac{1}{2\pi f_c (R_C + R_L)} = \frac{1}{2 \times \pi \times 5 \times (1800 + 1800)} = 8.84\ \mu\text{F}$$

$$C_b = \frac{1}{2\pi f_b (R_s + R_{m1})} = \frac{1}{2 \times \pi \times 50 \times (1000 + 810)} = 1.76\ \mu\text{F}$$





شکل 6.12: پست انقطائی نقطہ زیادہ تعدد والے کونے پر ہے

• شکل 6.12 میں بوڈا خط کھینچا گیا ہے جہاں سے واضح ہے کہ پست انقطاعی تعدد تقریباً  $f_b$  کے برابر ہے۔ شکل میں 1 Hz تا 5 Hz بوڈا خط کی ڈھلوان 40 dB فی دہائی ہے جبکہ 5 Hz تا 50 Hz اس کی ڈھلوان 20 dB فی دہائی ہے۔

جب بھی بوڈا خط میں پست انقطاعی نقطہ تعین کرنے والے کونوں میں سب سے زیادہ تعدد پر پائے جانے والے کونے سے بقایا کونے دور دور ہوں، ایسی صورت میں پست انقطاعی نقطہ تقریباً اسی زیادہ تعدد کے کونے پر ہو گا۔

آئیں مساوات 6.40 حل کرتے دیکھیں کہ جواب کیا حاصل ہوتا ہے۔ اس مساوات میں  $\omega_c$  اور  $\omega_b$  کی قیمتیں پر کرتے ملتا ہے

$$\omega_L = 317.254$$

$$f_L = 50.49 \text{ Hz}$$

• مساوات 6.40 میں  $\omega_c = \omega_b$  پُر کرتے حل کرتے ہیں

$$\omega_L^2 = \frac{2\omega_b^2 + \sqrt{\omega_b^4 + 6\omega_b^4 + \omega_b^4}}{2} = (1 + \sqrt{2}) \omega_b^2$$

یوں

$$\omega_L = \left( \sqrt{1 + \sqrt{2}} \right) \omega_b$$

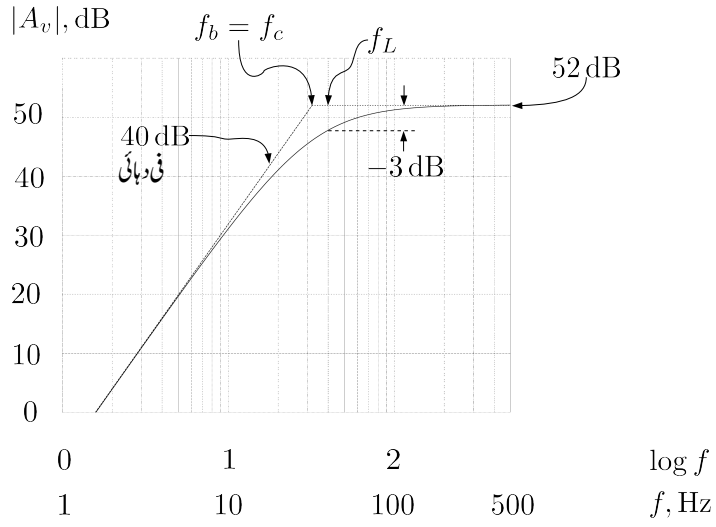
حاصل ہوتا ہے جس سے  $f_L = 50 \text{ Hz}$  حاصل کرنے کی خاطر

$$f_b = \frac{f_L}{\sqrt{1 + \sqrt{2}}} = \frac{50}{\sqrt{1 + \sqrt{2}}} = 32 \text{ Hz}$$

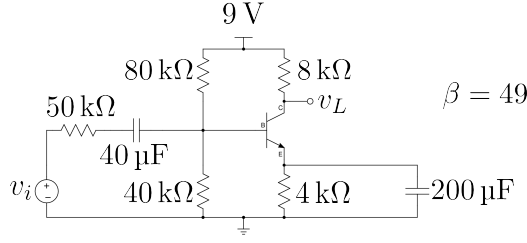
رکھنا ہو گا۔ شکل 6.13 میں صورت حال دکھایا گیا ہے۔

## 6.7 بیس اور ایمریٹرونی کیسٹروں کا مجموعی اثر

اب تک دیکھے گئے تمام ادوار میں ہم نے دیکھا کہ کسی بھی کیسٹرو کی بدولت پیدا بوڈا خط کے قلعے کو  $\omega = \frac{1}{R_m C}$  لکھا جاسکتا تھا جہاں  $R_m$  اس کیسٹرو کے متوازی جڑی مزاحمت ہے۔ بیس اور ایمریٹروں پر کیسٹرو نسب کرنے سے



شکل 6.13: جڑواں کونوں کی صورت میں پست انقطاعی نقطہ



شکل 6.14

ایسا سادہ مساوات حاصل نہیں ہوتا۔ آئیں شکل 6.14 میں  $\frac{v_L}{v_i}$  حاصل کرتے ہوئے اس صورت کو بھی دیکھیں۔ شکل 6.15 میں اس کا باریک مساوی دور دکھایا گیا ہے جس میں  $R_e$  اور  $C_e$  کو ٹرانزسٹر کے بیس جانب منتقل کرتے ہوئے  $R'_e$  اور  $C'_e$  لکھا گیا ہے۔ یوں

$$R'_e = (\beta + 1) R_e$$

$$C'_e = \frac{C_e}{\beta + 1}$$

ہیں۔ شکل کو دیکھتے ہوئے ہم لکھ سکتے ہیں

$$(6.41) \quad A_v = \frac{v_L}{v_i} = \frac{v_L}{i_c} \times \frac{i_c}{i_b} \times \frac{i_b}{v_b} \times \frac{v_b}{v_i}$$

$$= -R_c \beta \left( \frac{1}{R'_e} + sC'_e \right) \left( \frac{Z}{r_i + \frac{1}{sC_b} + Z} \right)$$

جہاں  $r_{be}$  کو نظر انداز کرتے ہوئے

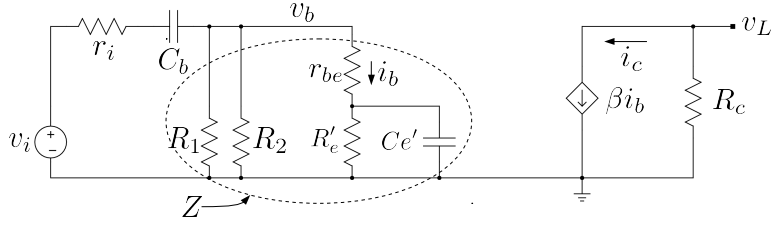
$$\frac{1}{Z} = \frac{1}{R_1} + \frac{1}{R_2} + \frac{1}{R'_e} + sC'_e$$

کے برابر ہے۔ مساوات 6.41 کو کسی طرح یوں نہیں لکھا جاسکتا کہ  $C_b$  اور  $C_e$  علیحدہ تو سین کا حصہ بنیں۔ یوں ان دو کپیسٹروں سے علیحدہ علیحدہ بوڈا خط کے کونے حاصل کرنا ممکن نہیں ہے۔

دئے گئے قیمتیں پر کرتے ہیں۔

$$\frac{1}{Z} = \frac{1}{40000} + \frac{1}{80000} + \frac{1}{200000} + 4 \times 10^{-6} \times s$$

$$= (42.5 + 4s) \times 10^{-6}$$



شکل 6.15

مسادات 6.41 میں کسر کے نیچے سے  $Z$  باہر نکالتے ہوئے کسر کے اوپر موجود  $Z$  کے ساتھ کاٹتے ہوئے ملتا ہے

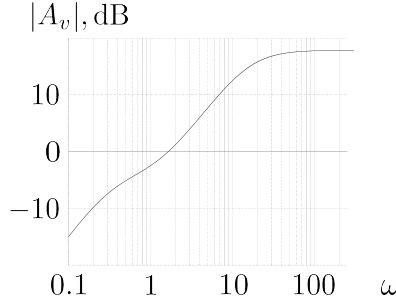
$$A_v = -R_c \beta \left( \frac{1}{R_e'} + sC_e' \right) \left( \frac{1}{\left( r_i + \frac{1}{sC_b} \right) \frac{1}{Z} + 1} \right)$$

اس میں قیمتیں پر کرتے ہیں

$$\begin{aligned} A_v &= \frac{-(1.96 + 1.568s)}{\left( 50000 + \frac{1}{0.00004s} \right) (42.5 + 4s) \times 10^{-6} + 1} \\ &= \frac{-(1.96 + 1.568s)}{2.125 + 0.2s + \frac{1.0625}{s} + 0.1 + 1} \\ &= \frac{-(1.96 + 1.568s)}{3.225 + 0.2s + \frac{1.0625}{s}} \\ &= \frac{-(1.96 + 1.568s)s}{3.225s + 0.2s^2 + 1.0625} \\ &= \frac{-(1.96 + 1.568s)s}{0.2s^2 + 3.225s + 1.0625} \end{aligned}$$

جسے یوں لکھا جا سکتا ہے

$$\begin{aligned} A_v &= \frac{-(1.96 + 1.568s)s}{0.2(s^2 + 16.125s + 5.3125)} \\ &= \frac{-6.25(1.25 + s)s}{(s + 0.336)(s + 15.788)} \end{aligned}$$



شکل 6.16

اس کو عمومی شکل میں لکھتے ہوئے اس کا بوڈا خط کھینچتے ہیں۔

$$(6.42) \quad A_v = \frac{-1.8473 \left(1 + \frac{s}{1.25}\right) s}{\left(1 + \frac{s}{0.336}\right) \left(1 + \frac{s}{15.788}\right)}$$

شکل 6.16 میں اس مساوات کا خط دکھایا گیا ہے۔

شکل 6.15 پر دوبارہ غور کریں۔  $C_b$  اور  $C'_e$  کے قیمتوں میں واضح فرق ہے۔ کم تعدد پر  $\frac{1}{\omega C'_e}$  کی قیمت  $\frac{1}{\omega C_b}$  کے قیمت سے بہت زیادہ ہوگی۔ یوں کم تعدد پر  $C'_e$  کو کھلے سرے تصور کرتے ہوئے  $C_b$  کے کردار پر غور کرتے ہیں۔  $C_b$  کے متوازی کل مزاحمت  $R_{mCb}$  مندرجہ ذیل ہے

$$R_{mCb} = r_i + R_1 \parallel R_2 \parallel R'_e = 73.529 \text{ k}\Omega$$

یوں ہم توقع رکھتے ہیں کہ  $C_b$  سے

$$\frac{1}{R_{mCb} \times C_b} = \frac{1}{73.529 \times 10^3 \times 40 \times 10^{-6}} = 0.34$$

تعدد پر قطب حاصل ہو گا۔ ہم دیکھتے ہیں کہ یہ قطب مساوات 6.42 میں دئے 0.336 تعدد پر قطب کے تقریباً برابر ہے۔ اسی طرح نہایت زیادہ تعدد پر  $\frac{1}{\omega C_b}$  کو قصر دور تصور کیا جاسکتا ہے۔ ایسا کرتے ہوئے  $C'_e$  کے متوازی کل مزاحمت حاصل کرتے ہیں

$$\frac{1}{R_{mC'e'}} = \frac{1}{r_i} + \frac{1}{R_1} + \frac{1}{R_2} + \frac{1}{R'_e}$$

سے

$$R_{mC_e'} = 16 \text{ k}\Omega$$

حاصل ہوتا ہے۔ ہم توقع کرتے ہیں کہ یوں  $C_e'$  سے حاصل قطب

$$\frac{1}{R_{mC_e'} \times C_e'} = \frac{1}{16 \times 10^3 \times 4 \times 10^{-6}} = 15.625 \frac{\text{rad}}{\text{s}}$$

پر پایا جائے گا۔ ہم دیکھتے ہیں کہ یہ قطب مساوات 6.42 میں دئے 15.788 تعدد پر دئے قطب کے تقریباً برابر ہے۔ مساوات کا صفر 1.25 کے تعدد پر پایا جاتا ہے جو درحقیقت  $\frac{1}{R_e C_e}$  کے برابر ہے۔

مثال 6.7: مساوات 6.41 کو حل کریں۔

حل: اس مساوات کو دوبارہ پیش کرتے ہیں۔

$$(6.43) \quad A_v = -R_c \beta \left( sC_e' + \frac{1}{R_e'} \right) \left[ \frac{Z}{r_i + \frac{1}{sC_b} + Z} \right]$$

جہاں  $r_{be}$  کو نظر انداز کرتے ہوئے

$$\frac{1}{Z} = \frac{1}{R_1} + \frac{1}{R_2} + \frac{1}{R_e'} + sC_e' = \frac{1}{R_m} + sC_e'$$

کے برابر ہے جہاں

$$\frac{1}{R_m} = \frac{1}{R_1} + \frac{1}{R_2} + \frac{1}{R_e'}$$

لیا گیا ہے۔ مساوات 6.43 میں کسر کے نیچے سے  $Z$  باہر نکالتے ہوئے کسر کے اوپر موجود  $Z$  کے ساتھ کاٹتے ہوئے ملتا ہے

$$A_v = -R_c \beta \left( sC_e' + \frac{1}{R_e'} \right) \left[ \frac{1}{\left( r_i + \frac{1}{sC_b} \right) \frac{1}{Z} + 1} \right]$$

اس میں  $Z$  پُر کرتے ہوئے حل کرتے ہیں۔

$$\begin{aligned} A_v &= \frac{-R_c \beta \left( sC'_e + \frac{1}{R'_e} \right)}{\left( r_i + \frac{1}{sC_b} \right) \left( \frac{1}{R_m} + sC'_e \right) + 1} \\ &= \frac{-R_c \beta \left( sC'_e + \frac{1}{R'_e} \right)}{\frac{r_i}{R_m} + sr_i C'_e + \frac{1}{sR_m C_b} + \frac{C'_e}{C_b} + 1} \end{aligned}$$

کسر کے نچلے حصے میں  $s$  کی تعلق سے اجزاء اکٹھے کرتے ہوئے حل کرتے ہیں۔

$$\begin{aligned} A_v &= \frac{-R_c \beta \left( sC'_e + \frac{1}{R'_e} \right)}{sr_i C'_e + \left( \frac{r_i}{R_m} + \frac{C'_e}{C_b} + 1 \right) + \frac{1}{sR_m C_b}} \\ &= \frac{-R_c \beta R_m C_b \left( sC'_e + \frac{1}{R'_e} \right) s}{s^2 r_i C'_e R_m C_b + s \left( \frac{r_i}{R_m} + \frac{C'_e}{C_b} + 1 \right) R_m C_b + 1} \\ &= \frac{-R_c \beta R_m C_b C'_e \left( s + \frac{1}{R'_e C'_e} \right) s}{r_i C'_e R_m C_b \left[ s^2 + s \left( \frac{r_i}{R_m} + \frac{C'_e}{C_b} + 1 \right) \frac{1}{r_i C'_e} + \frac{1}{r_i C'_e R_m C_b} \right]} \end{aligned}$$

اس مزید یوں لکھ سکتے ہیں۔

$$\begin{aligned} A_v &= \frac{\frac{-R_c \beta}{r_i} \left( s + \frac{1}{R'_e C'_e} \right) s}{s^2 + s \left( \frac{1}{R_m C'_e} + \frac{1}{r_i C_b} + \frac{1}{r_i C'_e} \right) + \frac{1}{r_i C'_e R_m C_b}} \\ &= \frac{\frac{-R_c \beta}{r_i} \left( s + \frac{1}{R'_e C'_e} \right) s}{s^2 + s \left[ \frac{1}{R_m C'_e} + \frac{1}{r_i} \left( \frac{1}{C_b} + \frac{1}{C'_e} \right) \right] + \frac{1}{R_m C'_e r_i C_b}} \end{aligned}$$



اس مساوات میں

$$\begin{aligned}
 \omega_c &= \frac{1}{R'_e C'_e} = \frac{1}{R_e C_e} \\
 \omega_1 &= \frac{1}{R_m C'_e} \\
 \omega_2 &= \frac{1}{r_i} \left( \frac{1}{C_b} + \frac{1}{C'_e} \right) \\
 \omega_3 &= \frac{1}{r_i C_b}
 \end{aligned}
 \tag{6.44}$$

لکھتے ہوئے

$$A_v = \frac{\frac{-R_c \beta}{r_i} (s + \omega_c) s}{s^2 + s [\omega_1 + \omega_2] + \omega_1 \omega_3}$$

حاصل ہوتا ہے جسے یوں لکھا جاسکتا ہے

$$\begin{aligned}
 A_v &= \frac{\frac{-R_c \beta}{r_i} (s + \omega_c) s}{(s + \omega_{q1}) (s + \omega_{q2})} \\
 &= \frac{\frac{-R_c \beta \omega_c}{\omega_{q1} \omega_{q2}} \left( \frac{s}{\omega_c} + 1 \right) s}{\left( \frac{s}{\omega_{q1}} + 1 \right) \left( \frac{s}{\omega_{q2}} + 1 \right)}
 \end{aligned}
 \tag{6.45}$$

جہاں

$$\begin{aligned}
 \omega_{q1} &= \frac{-(\omega_1 + \omega_2) - \sqrt{(\omega_1 + \omega_2)^2 - 4\omega_1 \omega_3}}{2} \\
 \omega_{q2} &= \frac{-(\omega_1 + \omega_2) + \sqrt{(\omega_1 + \omega_2)^2 - 4\omega_1 \omega_3}}{2}
 \end{aligned}
 \tag{6.46}$$

ہیں۔

## 6.8 بیس، ایمر اور کلکٹر بیرونی کپیسٹروں کا مجموعی اثر

مثال 6.6 میں یہ حقیقت سامنے آئی کہ اگر کسی ایک کپیسٹر سے حاصل کونا کسی دوسرے کپیسٹر سے حاصل کونے سے بہت بلند تعدد پر پایا جائے تب پست انقطاعی تعدد زیادہ تعدد پر پائے جانے والے کونے پر ہو گا۔ ایپلیفائر تخلیق دیتے ہوئے اس حقیقت کو عموماً بروئے کار لایا جاتا ہے۔

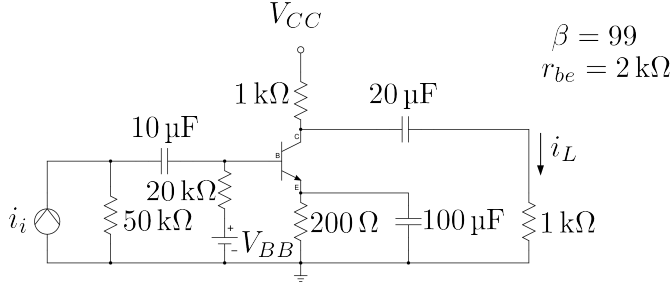
اسی طرح مثال 6.7 میں یہ حقیقت سامنے آئی کہ بیس اور ایمر دونوں پر کپیسٹر نسب ہونے کی صورت میں دور کو حل کرنا دشوار ہوتا ہے اور اسے حل کرنے سے زیادہ قابل استعمال مساواتیں حاصل نہیں ہوتیں۔

عموماً ایپلیفائر میں  $C_B$ ،  $C_E$  اور  $C_C$  تینوں پائے جاتے ہیں۔ ایپلیفائر کسی مخصوص اشارے کے لئے تخلیق دئے جاتا ہے۔ اشارے کی کم سے کم اور زیادہ سے زیادہ ممکنہ تعدد کو مد نظر رکھتے ہوئے ایپلیفائر تخلیق دیا جاتا ہے۔ ایپلیفائر کی پست انقطاعی تعدد اشارے کے کم سے کم ممکنہ تعدد سے کم رکھا جاتا ہے۔ یوں ایپلیفائر پست انقطاعی تعدد تک درمیانی تعدد کی افزائش برقرار رکھتا ہے جبکہ پست انقطاعی نقطے سے کم تعدد پر ایپلیفائر کی کارکردگی اہمیت نہیں رکھتی چونکہ اس خطے میں اسے استعمال نہیں کیا جاتا۔

$\omega_0 = \frac{1}{R_m C_m}$  لیتے ہوئے  $C = \frac{1}{\omega_0 R_m}$  حاصل ہوتا ہے۔ یوں کم  $R_m$  کی صورت میں  $C$  کی بڑی قیمت حاصل ہوتی ہے۔ حقیقی ایپلیفائر میں  $C_E$  کے ساتھ کل متوازی جڑی مزاحمت کی قیمت  $C_B$  اور  $C_C$  کے متوازی مزاحمتوں سے کم ہوتی ہے۔ لہذا کسی بھی  $\omega_0$  کے لئے درکار  $C_E$  کی قیمت بقایا دو کپیسٹروں سے بڑی ہوتی ہے۔ اسی لئے پست انقطاعی تعدد کو  $C_E$  کے مدد سے حاصل کیا جاتا ہے جبکہ  $C_B$  اور  $C_C$  سے حاصل انقطاعی نقطوں کو اس سے کئی درجے کم تعدد پر رکھا جاتا ہے۔ یوں حاصل  $C_E$  کی قیمت کم سے کم ہو گی۔ اگر اس کے برعکس  $C_B$  یا  $C_C$  کی مدد سے درکار پست انقطاعی نقطہ حاصل کیا جائے تو اس صورت میں  $C_E$  سے حاصل نقطے کو اس سے بھی کم تعدد پر رکھنا ہو گا جس سے  $C_E$  کی قیمت زیادہ حاصل ہو گی۔

آئیں ایک مثال کی مدد سے ایسے ایپلیفائر کا تجزیہ کریں۔

مثال 6.8: شکل 6.17 میں  $A_i = \frac{i_L}{i_i}$  کا درمیانے تعدد پر افزائش  $A_i = \frac{i_L}{i_i}$  حاصل کریں۔ اس کا پست انقطاعی تعدد بھی حاصل کریں۔



شکل 6.17

حل: شکل 6.18 میں مساوی دور دکھایا گیا ہے جہاں  $R'_e = (\beta + 1) R_e$  اور  $C'_e = \frac{C_e}{\beta + 1}$  استعمال کئے گئے ہیں۔ درمیانی تعدد پر تمام پیسٹر قصر دور کردار ادا کریں گے۔ یوں

$$\begin{aligned} A_i &= \frac{i_L}{i_c} \times \frac{i_c}{i_b} \times \frac{i_b}{v_b} \times \frac{v_b}{i_i} \\ &= \left( \frac{-1000}{2000} \right) (99) \left( \frac{1}{2000} \right) (1754) \\ &= -43 \frac{\text{A}}{\text{A}} \end{aligned}$$

یعنی 32.67 dB حاصل ہوتا ہے۔

ہم دیکھتے ہیں کہ  $C_c$  کی وجہ سے ایک عدد قطب

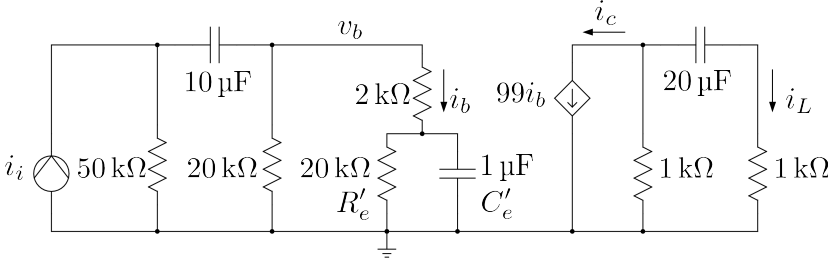
$$\omega_{qc} = \frac{1}{20 \times 10^{-6} \times 2000} = 25 \frac{\text{rad}}{\text{s}}$$

پر پایا جائے گا۔  $C_e$  اور  $C_b$  کے کردار پر اب غور کرتے ہیں۔  $C_e$  کا عکس ٹرانزسٹر کے بیس جانب لیا گیا ہے جو کہ  $1 \mu\text{F}$  کے برابر ہے۔ یوں جن تعدد پر  $1 \mu\text{F}$  اہمیت رکھتا ہے ان تعدد پر  $C_b$  بطور قصر دور کردار ادا کرے گا۔  $C_b$  کو قصر دور تصور کرتے ہوئے  $1 \mu\text{F}$  کے متوازی کل مزاحمت

$$R'_e \parallel (r_{be} + r_i \parallel R_b) = 8.976 \text{ k}\Omega$$

حاصل ہوتا ہے لہذا  $1 \mu\text{F}$  سے حاصل قطب

$$\omega_{qe} = \frac{1}{10^{-6} \times 8976} = 111.4 \frac{\text{rad}}{\text{s}}$$



شکل 6.18

پر پایا جائے گا۔ اسی طرح جن تعدد پر  $10 \mu\text{F}$  اہمیت رکھتا ہے ان تعدد پر  $1 \mu\text{F}$  بطور کھلے دور کردار ادا کرے گا۔  $1 \mu\text{F}$  کو کھلے دور تصور کرتے ہوئے  $10 \mu\text{F}$  کے متوازی کل مزاحمت

$$r_i + R_b \parallel [r_{be} + R'_e] = 60.476 \text{ k}\Omega$$

حاصل ہوتا ہے اور یوں

$$\omega_{qb} = \frac{1}{10 \times 10^{-6} \times 60476} = 1.65 \frac{\text{rad}}{\text{s}}$$

پر قطب پایا جائے گا۔ آپ نے دیکھا کہ

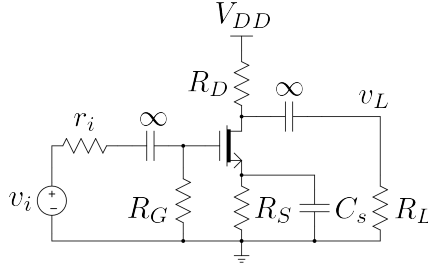
$$\omega_{qe} \gg \omega_{qc} \gg \omega_{qb}$$

ہیں۔ یوں پست انقطاعی تعدد  $\omega_L = \omega_{qe}$  پر پایا جائے گا۔

مندرجہ بالا حساب و کتاب میں  $\omega_{qe}$  پر ہم نے  $C_b$  کو قصر دور تصور کیا تھا جبکہ  $\omega_{qb}$  پر اسے کھلے دور تصور کیا تھا۔ انہیں دیکھیں کہ کیا ایسا کرنا درست تھا۔  $\omega_{qe}$  پر  $C_b$  کی برقی رکاوٹ کی حتمی قیمت

$$\left| \frac{1}{\omega_{qe} C_b} \right| = \frac{1}{111.4 \times 10 \times 10^{-6}} = 0.898 \text{ k}\Omega$$

ہے۔  $C'_e$  کے متوازی کل مزاحمت کے لحاظ سے یہ چھوٹی مقدار ہے جسے نظر انداز کیا جاسکتا ہے۔ یوں آپ دیکھ سکتے ہیں کہ  $\omega_{qe}$  پر  $C_b$  کی برقی رکاوٹ کو نظر انداز کرتے ہوئے اسے قصر دور تصور کیا جاسکتا ہے۔ اسی طرح



شکل 6.19

پر  $\omega_{qb}$

$$\left| \frac{1}{\omega_{qb} C_e} \right| = \frac{1}{1.65 \times 10^{-6}} = 606 \text{ k}\Omega$$

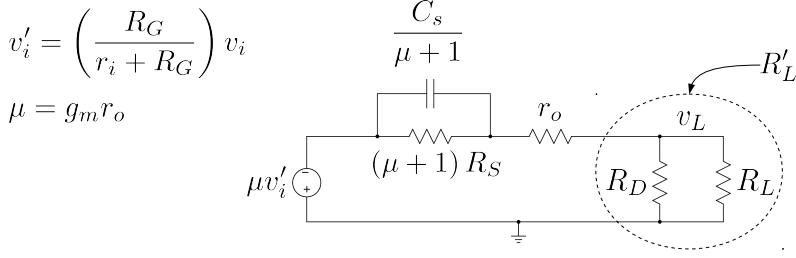
ہے لہذا  $\omega_{qb}$  پر  $C_e$  کو کھلے دور تصور کیا جاسکتا ہے۔

## 6.9 پست انقطاعی تعدد بذریعہ سورس کیپیٹر

شکل 6.19 میں گیٹ اور کلکٹر کیپیٹروں کی قیمت لامحدود تصور کریں۔  $A_v = \frac{v_L}{v_i}$  حاصل کرتے ہوئے پست انقطاعی تعدد  $\omega_L$  حاصل کرتے ہیں۔ گیٹ پر برقی دباؤ کو  $v_i'$  لکھتے ہیں جہاں

$$v_i' = \left( \frac{R_G}{r_i + R_G} \right) v_i$$

کے برابر ہے۔ یوں صفحہ 527 پر شکل 4.51 کے طرز پر موجودہ دور کا مساوی دور بناتے ہوئے شکل 6.20 حاصل ہوتا ہے۔ مساوی دور میں سورس پر پائے جانے والے برقی رکاوٹ  $(\mu + 1)$  سے ضرب ہو کر کلکٹر منتقل ہوتے ہیں۔  $C_s$  کی رکاوٹ  $\frac{1}{sC_s}$  یوں  $\frac{\mu+1}{sC_s}$  ہو جائے گی یعنی کیپیٹر کی قیمت  $\frac{C_s}{\mu+1}$  ہو جائے گی۔



شکل 6.20

مساوی دور میں متوازی جڑے مزاحمت اور کپیسٹر کی کل برقی رکاوٹ کو  $Z$  لکھتے ہیں جہاں

$$\frac{1}{Z} = \frac{1}{(\mu + 1) R_S} + \frac{s C_s}{\mu + 1}$$

$$Z = \frac{(\mu + 1) R_S}{1 + s R_S C_s}$$

کے برابر ہے۔ اس طرح

$$v_L = \left( \frac{R'_L}{Z + r_o + R'_L} \right) (-\mu v'_i)$$

لکھا جاسکتا ہے جہاں  $R'_L = \frac{R_L R_D}{R_L + R_D}$  کے برابر ہے۔ اس میں  $Z$  پُر کرتے ہیں۔

$$v_L = \frac{-\mu R'_L v'_i}{\frac{(\mu + 1) R_S}{1 + s R_S C_s} + r_o + R'_L}$$

یوں

$$\begin{aligned} \frac{v_L}{v'_i} &= \frac{-\mu R'_L (1 + s R_S C_s)}{(\mu + 1) R_S + (1 + s R_S C_s) (r_o + R'_L)} \\ &= \frac{-\mu R'_L (1 + s R_S C_s)}{(\mu + 1) R_S + r_o + R'_L + s R_S C_s (r_o + R'_L)} \\ &= \left( \frac{-\mu R'_L}{r_o + R'_L} \right) \frac{s + \frac{1}{R_S C_s}}{s + \frac{(\mu + 1) R_S + r_o + R'_L}{R_S C_s (r_o + R'_L)}} \end{aligned}$$

حاصل ہوتا ہے۔ پہلی قوسین میں  $\mu = g_m r_o$  پر کرنے سے اس قوسین کو

$$\begin{aligned} \frac{-g_m r_o R'_L}{r_o + R'_L} &= -g_m (r_o \parallel R'_L) \\ &= -g_m (r_o \parallel R_L \parallel R_D) \\ &= -g_m R_{\parallel} \end{aligned}$$

لکھا جاسکتا ہے جہاں

$$R_{\parallel} = r_o \parallel R_L \parallel R_D$$

کے برابر ہے۔ یوں

$$\frac{v_L}{v'_i} = -g_m R_{\parallel} \left[ \frac{s + \frac{1}{R_S C_S}}{s + \frac{(\mu+1)R_S + r_o + R'_L}{R_S C_S (r_o + R'_L)}} \right]$$

حاصل ہوتا ہے۔ افزائش

$$(6.47) \quad A_v = \frac{v_L}{v_i} = \left( \frac{v_L}{v'_i} \right) \times \left( \frac{v'_i}{v_i} \right)$$

$$(6.48) \quad = -g_m R_{\parallel} \left[ \frac{s + \frac{1}{R_S C_S}}{s + \omega_L} \right] \left( \frac{R_G}{r_i + R_G} \right)$$

کے برابر ہے جہاں

$$(6.49) \quad \omega_L = \frac{(\mu+1) R_S + r_o + R'_L}{R_S C_S (r_o + R'_L)}$$

پست انقطاعی تعدد ہے۔  $\omega_L$  کو مزید یوں لکھا جاسکتا ہے

$$(6.50) \quad \omega_L = \frac{1}{R_m \frac{C_S}{\mu+1}}$$

جہاں  $R_m$  شکل 6.20 میں  $\frac{C_S}{\mu+1}$  کے متوازی کل مزاحمت ہے یعنی

$$\begin{aligned} \frac{1}{R_m} &= \frac{1}{(\mu+1) R_S} + \frac{1}{r_o + R'_L} \\ R_m &= \frac{(\mu+1) R_S (r_o + R'_L)}{(\mu+1) R_S + r_o + R'_L} \end{aligned}$$

درمیانی تعدد پر افزائش حاصل کرنے کی خاطر  $\omega \rightarrow \infty$  استعمال کرتے ہوئے مساوات 6.47 سے

$$\begin{aligned} A_{vD} = A_v \bigg|_{\omega \rightarrow \infty} &= -g_m R_{\parallel} \left( \frac{R_G}{r_i + R_G} \right) \left[ \frac{\infty + \frac{1}{R_S C_S}}{\infty + \omega L} \right] \\ &= -g_m R_{\parallel} \left( \frac{R_G}{r_i + R_G} \right) \end{aligned}$$

حاصل ہوتا ہے۔ عموماً  $R_G \gg r_i$  ہوتا ہے۔ یوں

$$(6.51) \quad A_{vD} \approx -g_m R_{\parallel}$$

لکھا جاسکتا ہے۔

مثال 6.9: شکل 6.19 میں  $R_L = 100 \text{ k}\Omega$ ،  $R_D = 4.7 \text{ k}\Omega$ ،  $R_S = 1 \text{ k}\Omega$  اور  $g_m = 4 \text{ mS}$  ہیں۔  $f_L$  کو  $20 \text{ Hz}$  پر رکھنے کی خاطر درکار  $C_S$  حاصل کریں۔ درمیانی تعدد پر افزائش  $A_v$  بھی حاصل کریں۔

حل: مساوات 6.49 کی مدد سے

$$2 \times \pi \times 20 = \frac{(0.004 \times 10000 + 1) \times 1000 + 10000 + 4489}{1000 \times C_S (10000 + 4489)}$$

یعنی  $C_S = 30.5 \mu\text{F}$  حاصل ہوتا ہے۔ مندرجہ بالا مساوات میں  $R'_L = 4489 \Omega$  پُر کیا گیا ہے۔

مساوات 6.51 میں

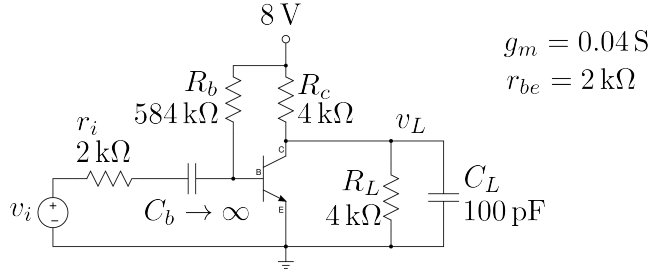
$$\begin{aligned} \frac{1}{R_{\parallel}} &= \frac{1}{10000} + \frac{1}{100000} + \frac{1}{4700} = 3.22765 \times 10^{-4} \\ R_{\parallel} &= 3098 \end{aligned}$$

پُر کرتے ہوئے

$$A_{vD} = -0.004 \times 3098 = -12.4 \frac{\text{V}}{\text{V}}$$

حاصل ہوتا ہے۔





شکل 6.21

اب تک ہم نے جتنے بھی مثال دیکھے ان تمام میں بیرونی جڑے کیپیٹر کی وجہ سے پست انقطاعی نقطے حاصل ہوئے۔ آئیں اب ایک ایسا مثال دیکھیں جہاں بیرونی کیپیٹر کی وجہ سے زیادہ تعدد کا اشارہ متاثر ہوتا ہو۔ اس مثال سے زیادہ تعدد کے مسائل بھی سامنے آئیں گے جن کا آگے تفصیلاً جائزہ لیا جائے گا۔

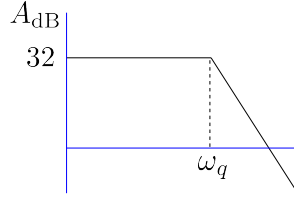
مثال 6.10: شکل 6.21 میں  $A_v = \frac{v_L}{v_i}$  کی مساوات حاصل کرتے ہوئے اس کا بوڈا خط کھینچیں۔

حل: اس کو آپ آسانی سے حل کر سکتے ہیں۔ جواب مندرجہ ذیل ہے۔

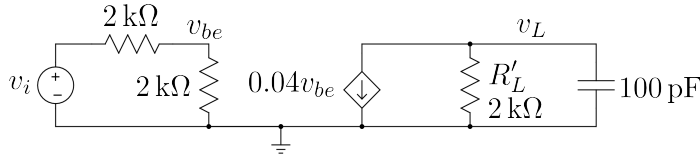
$$A_v = -g_m \left( \frac{R_b \parallel r_{be}}{r_i + R_b \parallel r_{be}} \right) \left( \frac{R_c \parallel R_L}{\frac{s}{\omega_q} + 1} \right) = \frac{-40}{\frac{s}{5 \times 10^6} + 1}$$

$$\omega_q = \frac{1}{(R_c \parallel R_L) C_L} = 5 \times 10^6$$

بوڈا خط شکل 6.22 میں دیا گیا ہے۔ آپ دیکھ سکتے ہیں کہ  $\omega_q$  سے کم تعدد کے اشارات پر کیپیٹر کا کوئی اثر نہیں۔ یوں  $\omega_q$  بلند انقطاعی تعدد ہے۔



شکل 6.22



شکل 6.23

مثال 6.11: مثال 6.10 میں اگر داخلی اشارہ صفر وولٹ سے یکدم 20 mV ہو جائے تو  $v_L$  نئی قیمت کے حتمی قیمت کے 90 % کتنی دیر میں پہنچ پائے گا۔

حل: شکل 6.23 میں  $R_b$  کو نظر انداز اور  $R_c \parallel R_L$  کو  $R'_L$  لکھتے ہوئے مساوی دور دکھایا گیا ہے۔ جیسے ہی داخلی اشارہ 20 mV ہوتا ہے اسی دم  $v_{be} = 10 \text{ mV}$  ہو جائے گا اور یوں  $i_c = 0.4 \text{ mA}$  ہو جائیں گے۔ کرخوف کے قانون برائے برقی رو کے تحت خارجی جانب

$$C_L \frac{dv_L}{dt} + \frac{v_L}{R'_L} + g_m v_{be} = 0$$

$$C_L \frac{dv_L}{dt} + \frac{v_L}{R'_L} + 0.0004 = 0$$

لکھا جاسکتا ہے جسے

$$\frac{dv_L}{dt} = -\frac{1}{R'_L C_L} (v_L + 0.0004 R'_L)$$

$$\frac{dv_L}{dt} = -\frac{1}{R'_L C_L} (v_L + 0.8)$$

یا

$$\frac{dv_L}{v_L + 0.8} = -\frac{dt}{R'_L C_L}$$

لکھتے ہیں۔ اس کا تکمل لیتے ہیں

$$\int \frac{dv_L}{v_L + 0.8} = -\frac{1}{R'_L C_L} \int dt$$

$$\ln(v_L + 0.8) = -\frac{t}{R'_L C_L} + K'$$

$$v_L + 0.8 = Ke^{-\frac{t}{R'_L C_L}}$$

حاصل ہوتا ہے جہاں  $K'$  اور  $K$  تکمل کے مستقل ہیں۔  $t = 0$  پر  $v_L = 0$  سے  $K = 0.8$  حاصل ہوتا ہے لہذا

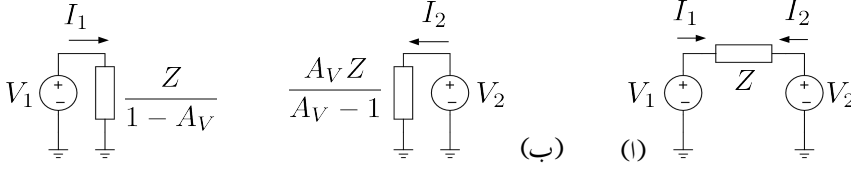
$$v_L = 0.8 \left( e^{-\frac{t}{R'_L C_L}} - 1 \right)$$

$$= 0.8 \left( e^{-5 \times 10^6 t} - 1 \right)$$

لامحدود وقت گزرنے کے بعد یعنی  $t \rightarrow \infty$  پر اس مساوات کے تحت  $v_L = -0.8 \text{ V}$  ہو گا۔ یوں اس قیمت کے 90% قیمت حاصل کرنے کی خاطر حل کرتے ہیں

$$-0.9 \times 0.8 = 0.8 \left( e^{-5 \times 10^6 t} - 1 \right)$$

جس سے  $t = 0.46 \mu\text{s}$  حاصل ہوتا ہے۔



شکل 6.24: مسئلہ ملر

اس مثال میں ہم نے دیکھا کہ داخلی اشارے کے تبدیلی کے کچھ دیر بعد خارجی اشارہ اپنی نئی قیمت تک پہنچ پاتا ہے۔ آپ دیکھ سکتے ہیں کہ تیز رفتار تعددی ادوار میں  $C_L$  کی قیمت کم سے کم رکھنا نہایت ضروری ہے۔ جہاں بھی تیز رفتار سے تبدیل ہونے والا اشارہ پایا جائے وہاں  $C_L$  درحقیقت غیر ضروری ناپسندیدہ کپیسٹر ہوتا ہے جسے کم کرنے کی پوری کوشش کی جاتی ہے۔ اس مثال میں کپیسٹر کی بدولت دور کے رفتار میں سستی پیدا ہونا دیکھا گیا۔ انہیں اب بلند تعدد انتظامی نقطوں پر غور کریں اور جن کپیسٹروں سے یہ نقطے پیدا ہوتے ہیں ان کی نشاندہی کریں۔ پہلے مسئلہ ملر پر غور کرتے ہیں جو آگے بار بار استعمال ہو گا۔

### 6.10 مسئلہ ملر

ٹرانزسٹر ایمپلیفائر کا بلند تعددی رد عمل دیکھنے سے پہلے شکل 6.24 کی مدد سے مسئلہ ملر<sup>30</sup> پر غور کرتے ہیں<sup>31</sup>۔ شکل الف میں دو برقی دباؤ کے مابین برقی رکاوٹ  $Z$  نسب کی گئی ہے۔  $V_1$  سے باہر نکلتے برقی رو کو  $I_1$  سے ظاہر کرتے ہوئے

$$I_1 = \frac{V_1 - V_2}{Z}$$

<sup>30</sup>Miller theorem

<sup>31</sup>جان ملٹن ملر نے اس مسئلے کو دریافت کیا

حاصل ہوتا ہے۔ آئیں اس برقی رو کو قدر مختلف طریقے سے لکھیں۔

$$\begin{aligned} I_1 &= \frac{V_1 - V_2}{Z} \\ &= V_1 \left( \frac{1 - \frac{V_2}{V_1}}{Z} \right) \\ &= \frac{V_1}{\left( \frac{Z}{1 - \frac{V_2}{V_1}} \right)} \end{aligned}$$

جس کو مزید یوں لکھ سکتے ہیں۔

$$(6.52) \quad I_1 = \frac{V_1}{Z_M}$$

جہاں

$$(6.53) \quad Z_M = \frac{Z}{1 - \frac{V_2}{V_1}}$$

کے برابر ہے۔ اس مساوات میں

$$(6.54) \quad \frac{V_2}{V_1} = A_V$$

لکھتے ہوئے

$$(6.55) \quad Z_M = \frac{Z}{1 - A_V}$$

حاصل ہوتا ہے۔

شکل 6.24 ب میں  $V_1$  کے ساتھ  $Z_M$  جوڑا دکھایا گیا ہے۔ جہاں تک  $V_1$  کا تعلق ہے، شکل الف اور شکل ب دونوں میں  $V_1$  سے بالکل یکساں  $I_1$  برقی رو حاصل ہوتا ہے۔ یوں  $V_1$  کے نقطہ نظر سے شکل الف کے طرز پر لگائے گئے  $Z$  اور شکل ب کے طرز پر لگائے گئے  $Z_M$  مساوی ادوار ہیں۔  $Z_M$  ملر برقی رکاوٹ پکارا جاتا ہے۔<sup>32</sup>

<sup>32</sup>  $Z_M$  لکھتے ہوئے زیر نوشت میں بڑے حروف تہجی میں  $M$  ملر کو ظاہر کرتا ہے

آئیں اب  $V_2$  کے نقطہ نظر سے دیکھیں جس سے باہر نکلتے ہوئے برقی رو کو  $I_2$  سے ظاہر کرتے ملتا ہے

$$\begin{aligned} I_2 &= \frac{V_2 - V_1}{Z} \\ &= V_2 \left( \frac{1 - \frac{V_1}{V_2}}{Z} \right) \\ &= \frac{V_2}{\left( \frac{Z}{1 - \frac{V_1}{V_2}} \right)} \end{aligned}$$

جسے

$$(6.56) \quad I = \frac{V_2}{Z'_M}$$

لکھ سکتے ہیں جہاں

$$\begin{aligned} Z'_M &= \frac{Z}{1 - \frac{V_1}{V_2}} \\ &= \frac{Z}{\frac{V_1}{V_2} \left( \frac{V_2}{V_1} - 1 \right)} \\ &= \frac{\left( \frac{V_2}{V_1} \right) Z}{\frac{V_2}{V_1} - 1} \end{aligned}$$

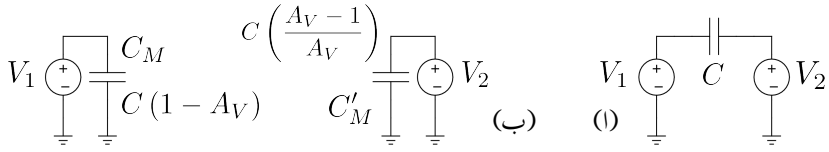
یعنی

$$(6.57) \quad Z'_M = \frac{A_V Z}{A_V - 1}$$

کے برابر ہے۔ شکل 6.24 میں  $V_2$  کے ساتھ  $Z$  کی جگہ  $Z'_M$  جوڑا دکھایا گیا ہے۔  $V_2$  کے نقطہ نظر سے شکل الف اور شکل ب مساوی ادوار ہیں۔

شکل 6.24 میں  $Z$  کی جگہ کپیسٹر  $C$  نسب کرنے سے شکل 6.25 حاصل ہوتا ہے۔ مساوات 6.55 میں کپیسٹر کی برقی رکاوٹ کو  $\frac{1}{j\omega C}$  لکھتے ہوئے

$$\begin{aligned} \frac{1}{j\omega C_M} &= \frac{\left( \frac{1}{j\omega C} \right)}{1 - A_V} \\ &= \frac{1}{j\omega C (1 - A_V)} \end{aligned}$$



شکل 6.25: ملر کیپیسٹر

یعنی

$$(6.58) \quad C_M = C (1 - A_V)$$

حاصل ہوتا۔ اسی طرح مساوات 6.57 سے

$$\begin{aligned} \frac{1}{j\omega C'_M} &= \frac{A_V \left( \frac{1}{j\omega C} \right)}{A_V - 1} \\ &= \frac{A_V}{j\omega C (A_V - 1)} \\ &= \frac{1}{j\omega C \left( 1 - \frac{1}{A_V} \right)} \end{aligned}$$

یعنی

$$(6.59) \quad C'_M = C \left( 1 - \frac{1}{A_V} \right)$$

حاصل ہوتا۔ مساوات 6.58 کا اگلے حصے میں بار بار استعمال ہو گا۔  $C_M$  ملر کیپیسٹر<sup>33</sup> پکارا جاتا ہے۔

## 6.11 بلند تعددی رد عمل

گزشتہ حصوں میں پست تعدد پر ٹرانزسٹر امپلیفائر کی کارکردگی دیکھی گئی جہاں ٹرانزسٹر کے ساتھ بیرونی جڑے کیپیسٹروں کی وجہ سے پائے جانے والے پست انقطاعی نقطوں پر غور کیا گیا۔ اس حصے میں بلند تعدد پر امپلیفائر کی

<sup>33</sup> Miller's capacitor

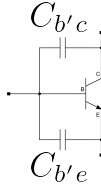
کارکردگی دیکھی جائے گی۔ بلند تعدد پر ٹرانزسٹر کے ساتھ بیرونی جڑے کپیسٹروں کی برقی رکاوٹ  $\frac{1}{\omega C}$  نہایت کم ہوتی ہے اور یوں انہیں قصر دور تصور کیا جاتا ہے۔ بلند تعدد پر ٹرانزسٹر کے اندرونی کپیسٹروں کی وجہ سے بلند انقطاعی نقطہ پیدا ہوتا ہے جس پر اس حصے میں غور کیا جائے گا۔ پہلے npn ٹرانزسٹر کو مثال بناتے ہوئے ان اندرونی کپیسٹروں پر تبصرہ کرتے ہیں۔

### 6.11.1 بلند تعددی پائے $\pi$ ریاضی نمونہ

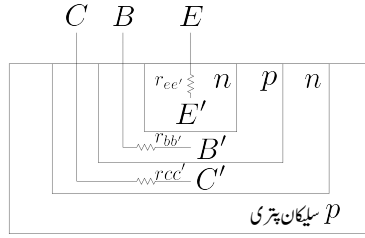
استعمال کے دوران ٹرانزسٹر کے بیس-ایسٹر جوڑ کو الٹ مائل رکھا جاتا ہے۔ بالکل ڈایوڈ کی طرح، اس الٹ مائل pn جوڑ پر ویران خطہ پایا جاتا ہے جس کے ایک جانب مثبت بار جبکہ دوسری جانب منفی بار پایا جاتا ہے۔ یہ دو الٹ قسم کے بار مل کر کپیسٹر کو جنم دیتے ہیں جسے  $C_{b'e}$  کی علامت سے پہچانا جاتا ہے۔ اس کپیسٹر کی قیمت نہایت کم ہوتی ہے جو پست تعدد پر چلنے والے ٹرانزسٹروں میں 30 pF کے لگ بھگ جبکہ بلند تعدد پر چلنے والے ٹرانزسٹروں میں 1 pF یا اس سے بھی کم ہوتی ہے۔ اس کپیسٹر کی قیمت الٹا مائل کرنے والے برقی دباؤ  $V_{CB}$  پر منحصر ہوتی ہے۔ حقیقت میں  $C_{b'e}$  کی قیمت  $V_{CB}^{-\frac{1}{2}}$  یا  $V_{CB}^{-\frac{1}{3}}$  کے تناسب سے تبدیل ہوتی ہے۔ صنعت کار عموماً  $C_{b'e}$  کو  $C_{ob}$  پکار کر اس کی قیمت کپیسٹر کے معلوماتی صفحات میں پیش کرتا ہے۔

اس کے علاوہ بیس-ایسٹر جوڑ پر کپیسٹر  $C_{b'e}$  پایا جاتا ہے جس کی قیمت 100 pF تا 5000 pF پائی جاتی ہے۔ آئیں دیکھیں کہ یہ کپیسٹر کس طرح پیدا ہوتا ہے۔ ٹرانزسٹر کے بیس-ایسٹر جوڑ پر مثبت اشارے کی موجودگی میں ایسٹر سے بیس کی جانب آزاد الیکٹران رواں ہوتے ہیں جن کا بیشتر حصہ بیس خطے سے بذریعہ نفوذ گزر کر آخر کار کلکٹر پہنچ کر  $i_c$  کا حصہ بنتے ہیں۔ اب تصور کریں کہ اس سے پہلے کہ الیکٹران بیس خطے سے گزر پائیں، مہیا کردہ اشارہ منفی ہو جاتا ہے۔ آزاد الیکٹران اشارے کی نئی حقیقت کو دیکھتے ہوئے واپس ایسٹر سرے کی جانب چل پڑیں گے۔ نتیجتاً کلکٹر سرے پر برقی رو  $i_c$  کی مقدار نسبتاً کم ہو جائے گی۔ اس عمل کو مد نظر رکھتے ہوئے آپ دیکھ سکتے ہیں کہ ٹرانزسٹر کے کارکردگی کے لئے ضروری ہے کہ بیس خطے سے الیکٹران کے گزرنے کا دورانیہ مہیا کردہ اشارے کے دوری عرصے سے کم ہو۔ جیسے جیسے اشارے کی تعدد بڑھائی جائے، ویسے ویسے کلکٹر برقی رو  $i_c$  کی قیمت کم ہوتی جاتی ہے۔ بڑھتی تعدد کی وجہ سے کم برقی رو کے حصول کو کپیسٹر  $C_{b'e}$  سے ظاہر کیا جاتا ہے۔ بدلتے اشارے کی وجہ سے بیس خطے سے گزرنے والے آزاد الیکٹران کبھی کلکٹر اور کبھی ایسٹر کی جانب پہنچنے کی کوشش ہی کرتے رہ جاتے ہیں۔ یوں بیس خطے میں گھیرے الیکٹرانوں کی تعداد کل برقی رو  $I_{EQ}$  پر منحصر ہوتی ہے۔  $C_{b'e}$  کی مقدار بیس خطے میں گھیرے بار کی مقدار پر منحصر ہوتی ہے اور یوں اس کی قیمت برقی رو کے راست تناسب ہوتی ہے۔ ٹرانزسٹر کے اندرونی کپیسٹروں کو شکل 6.26 میں بطور بیرونی کپیسٹر دکھایا گیا ہے۔





شکل 6.26: ٹرانزسٹر کے اندرونی پیسیسٹر کو بطور بیرونی پیسیسٹر دکھایا گیا ہے



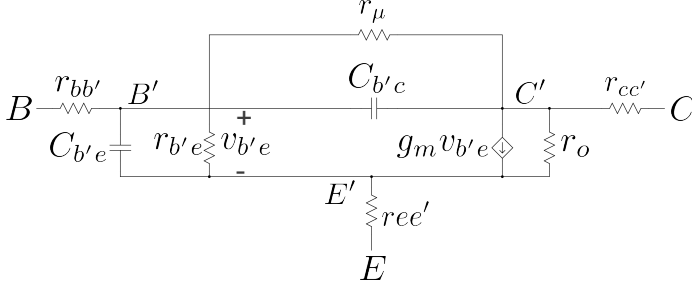
شکل 6.27: ٹرانزسٹر کے اندرونی مزاحمت

شکل 6.27 میں ٹرانزسٹر کی ساخت دکھائی گئی ہے جہاں بیرونی سروں کو حسب معمول  $E$ ،  $B$  اور  $C$  کہا گیا ہے۔ ٹرانزسٹر کے بیس کے بیرونی سرے  $B$  اور اندرونی نقطہ  $B'$  کے درمیان غیر مطلوبہ مزاحمت  $r_{bb'}$ <sup>34</sup> پایا جاتا ہے۔ یہ مزاحمت بیس خطے کی خصوصیات پر منحصر ہوتا ہے۔ اسی طرح ایمر پر  $r_{ee'}$  اور کلکٹر پر  $r_{cc'}$  غیر مطلوبہ مزاحمت پائے جاتے ہیں۔ الٹ مائیکس-ایمر جوڑ میں الٹی جانب یک سمتی برقی رو کو مزاحمت  $r_{\mu}$  سے ظاہر کیا جاتا ہے۔ اس کتاب میں  $r_{ee'}$ ،  $r_{cc'}$  اور  $r_{\mu}$  کو صفر تصور کرتے ہوئے نظر انداز کیا جائے گا۔

ٹرانزسٹر کے پست تعددی پائے ریاضی نمونے میں ان تمام اجزاء کی شمولیت سے بلند تعددی پائے ریاضی نمونہ حاصل ہوتا ہے جس کو شکل 6.28 میں دکھایا گیا ہے۔ شکل 6.29 الف میں اسی کا سادہ دور دکھایا گیا ہے جس میں  $r_{ee'}$ ،  $r_{cc'}$  اور  $r_{\mu}$  کو نظر انداز کیا گیا ہے۔ اس ریاضی نمونے کو قلم و کاغذ سے حل کرنا زیادہ آسان ثابت ہوتا ہے۔ اس کتاب میں اسی ریاضی نمونے کو استعمال کیا جائے گا۔

$r_{bb'}$  کی قیمت بیس خطے کی چوڑائی کے راست تناسب ہوتی ہے۔ پست تعددی ٹرانزسٹر کے بیس خطے کی چوڑائی بلند تعددی ٹرانزسٹر کے بیس خطے کی چوڑائی سے زیادہ ہوتی ہے۔ اسی لئے پست تعددی ٹرانزسٹر کی  $r_{bb'}$  بلند تعددی

<sup>34</sup> parasitic resistor

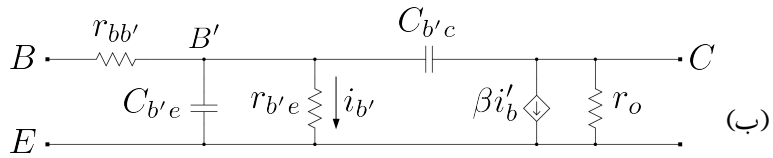
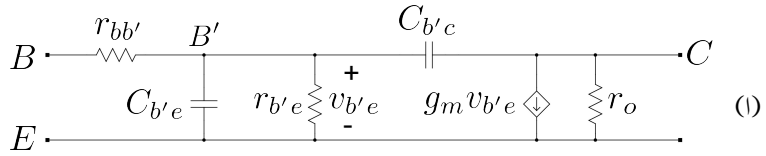


شکل 6.28: بلند تعددی پائے ریاضی نمونہ

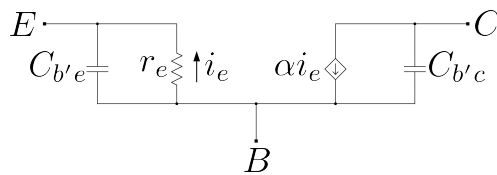
ٹرانزسٹر کے  $r_{bb'}$  سے زیادہ ہوتی ہے۔  $r_{bb'}$  کو مستقل تصور کیا جاتا ہے جس کی قیمت  $10\ \Omega$  تا  $50\ \Omega$  ہوتی ہے۔ پست تعددی پائے ریاضی نمونے کے جزو  $r_{be}$  کو یہاں  $r_{b'e}$  کہا گیا ہے۔ یوں مساوات 3.187 کے تحت

$$(6.60) \quad r_{b'e} = \frac{\beta V_T}{I_{CQ}}$$

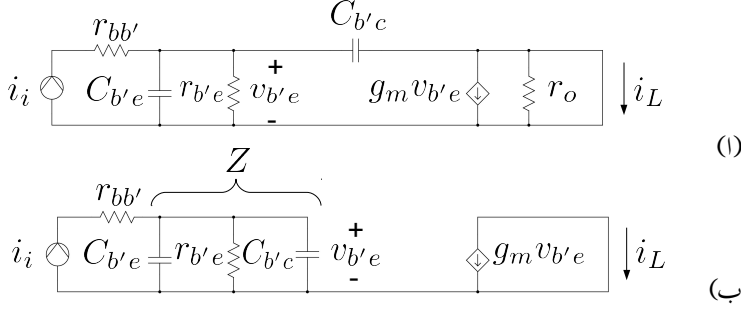
کے برابر ہے۔  $v_{b'e} = i_b' r_{b'e}$  لکھتے ہوئے اور مساوات 3.188 سے  $g_m = \frac{\beta}{r_{b'e}}$  کے استعمال سے شکل الف کے  $i_c = g_m v_{b'e}$  کو  $i_c = \beta i_b'$  لکھا کا سکتا ہے جس سے قدر مختلف شکل ب میں دکھایا گیا بلند تعددی پائے ریاضی نمونہ حاصل ہوتا ہے۔ شکل ب میں  $i_b'$  پر دوبارہ غور کریں۔ یہ  $r_{b'e}$  میں سے گزرتی برقی رو ہے نا کہ ٹرانزسٹر کے بیرونی بیس سرے پر پائی جانے والی برقی رو۔ ٹرانزسٹر اس برقی رو کے نسبت سے  $i_c$  خارج کرتا ہے۔ بلند تعدد پر  $c_{b'e}$  کے راستے داخلی برقی رو کا کچھ حصہ گزرے گا جس کی وجہ سے ٹرانزسٹر کی افزائش میں کمی رونما ہوگی۔ ٹرانزسٹر کے پست تعددی ٹی ریاضی نمونے کو صفحہ 336 پر شکل 3.77 میں دکھایا گیا ہے۔ شکل 3.77 پ میں ٹرانزسٹر کے اندرونی کمپیسٹر کے شمولیت سے شکل 6.30 حاصل ہوتا ہے جس میں  $r_{bb'}$  شامل نہیں کیا گیا۔ ٹی ریاضی نمونے کا استعمال مشترکہ بیس ایمپلیفائر حل کرتے وقت آتا ہے جہاں  $r_{bb'}$  کے اثر کو نظر انداز کرنا ممکن ہوتا ہے۔ ٹی ریاضی نمونے میں  $i_e$  وہ برقی رو ہے جو اندرونی مزاحمت  $r_e$  میں سے گزرتی ہے۔



شکل 6.29: ساده بلند تعددی پائے ریاضی نمونه



شکل 6.30: بلند تعددی ئی ریاضی نمونه



شکل 6.31: قصر دور برقی رد افرائش

## 6.11.2 مشترکہ ایسٹر بلند انقطاعی تعدد

شکل 6.29 الف کے خارجی جانب برقی بوجھ  $R_L$  جوڑ کر افرائش برقی رو  $A_i = \frac{i_L}{i_i}$  حاصل کی جاسکتی ہے جس کی قیمت  $R_L$  بڑھانے سے گھٹے گی۔ ایسا کرنے کی بجائے، جیسا کہ شکل 6.31 الف میں دکھایا گیا ہے، ہم  $R_L = 0$  رکھتے ہوئے قصر دور افرائش برقی رو  $A_i$  حاصل کرتے ہیں جو اس کی زیادہ سے زیادہ ممکنہ قیمت ہے۔ چونکہ  $R_L = 0$  سے مراد ٹرانزسٹر کے کلکٹر کو اس کے ایسٹر کے ساتھ جوڑنا ہے لہذا ایسا کرنے سے  $r_o$  بھی قصر دور ہو جاتا ہے اور ساتھ ہی ساتھ  $C_{b'e}$  کا ایک سرا برقی زمین کے ساتھ جڑ جاتا ہے۔ چنانکہ ٹرانزسٹر کا ایسٹر بھی برقی زمین پر ہے لہذا  $C_{b'e}$  کا یہ سرا ایسٹر کے ساتھ جڑ جاتا ہے۔ ان حقائق کو مد نظر رکھتے ہوئے شکل ب حاصل ہوتا ہے۔ شکل الف میں ہم دیکھتے ہیں کہ  $C_{b'e}$  میں داخلی جانب سے خارجی جانب برقی رو گزرے گی جبکہ شکل ب میں ایسا نہیں ہوتا۔ ہم  $C_{b'e}$  میں داخلی جانب سے خارجی جانب گزرتے ہوئے برقی رو کو نظر انداز کرتے ہوئے شکل 6.31 کی مدد سے  $A_i$  کی زیادہ سے زیادہ ممکنہ قیمت حاصل کرتے ہیں۔ شکل میں

$$\begin{aligned} \frac{1}{Z} &= sC_{b'e} + sC_{b'e} + \frac{1}{r_{b'e}} \\ &= \frac{s(C_{b'e} + C_{b'e})r_{b'e} + 1}{r_{b'e}} \end{aligned}$$

سے

$$Z = \frac{r_{b'e}}{s(C_{b'e} + C_{b'e})r_{b'e} + 1}$$

حاصل ہوتا ہے۔ یوں

$$\begin{aligned}
 A_i \Big|_{v_{ce}=0} &= \frac{i_L}{i_i} = \left( \frac{i_L}{i_c} \right) \left( \frac{i_c}{v_{b'e}} \right) \left( \frac{v_{b'e}}{i_i} \right) \\
 &= (-1) (g_m) (Z) \\
 &= \frac{-g_m r_{b'e}}{s (C_{b'e} + C_{b'c}) r_{b'e} + 1} \\
 &= \frac{-g_m r_{b'e}}{(C_{b'e} + C_{b'c}) r_{b'e} \left[ s + \frac{1}{(C_{b'e} + C_{b'c}) r_{b'e}} \right]}
 \end{aligned}$$

لکھا جاسکتا ہے۔ اس کو مزید یوں لکھ سکتے ہیں

$$(6.61) \quad A_i \Big|_{v_{ce}=0} = - \left( \frac{\beta \omega_\beta}{s + \omega_\beta} \right) = - \left( \frac{\beta}{1 + j \frac{f}{f_\beta}} \right)$$

جہاں  $g_m r_{b'e} = \beta$  اور

$$(6.62) \quad \omega_\beta = 2\pi f_\beta = \frac{1}{(C_{b'e} + C_{b'c}) r_{b'e}}$$

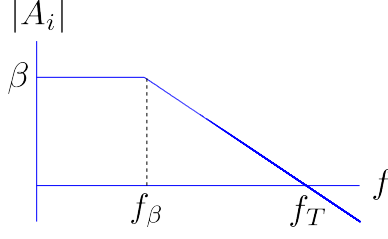
کے برابر ہے۔  $A_i$  کی حتمی قیمت

$$(6.63) \quad |A_i|_{v_{ce}=0} = \frac{\beta}{\sqrt{1 + \left( \frac{f}{f_\beta} \right)^2}}$$

حاصل ہوتی ہے۔  $f_\beta$  کو ٹرانزسٹر کی قصر دور بلند انقطاعی تعدد کہتے ہیں۔ مساوات 6.62 میں  $C_{b'e} \gg C_{b'c}$  ہونے کی وجہ سے مندرجہ ذیل سادہ مساوات حاصل ہوتی ہے۔

$$(6.64) \quad \omega_\beta = 2\pi f_\beta \approx \frac{1}{C_{b'e} r_{b'e}}$$

مساوات 6.61 کے حتمی قیمت کا بوڈا خط شکل 6.32 میں دکھایا گیا ہے۔ مساوات 6.2 کی مدد سے ہم دیکھتے ہیں کہ  $f_\beta$  ایمپلیفائر کے دائرہ کار کردگی  $B^{35}$  کے برابر ہے۔ بوڈا خط میں  $f_T$  تعدد کا ذکر کیا گیا ہے۔ یہ وہ



شکل 6.32: بلند تعددی بوڈاخط

تعدد ہے جس پر افزائش کی قیمت 0 dB یعنی ایک (1) کے برابر ہو جاتی ہے۔ آئیں  $f_T$  پر مزید غور کریں۔ مساوات 6.61 سے تعدد کی وہ قیمت حاصل کی جاسکتی ہے جس پر قصردور افزائش کی حتمی قیمت ایک (1) کے برابر ہو۔ اس تعدد کو  $\omega_T$  لکھتے ہوئے

$$|A_i| = \frac{\beta\omega_\beta}{\sqrt{\omega_T^2 + \omega_\beta^2}} = 1$$

سے

$$\beta\omega_\beta = \sqrt{\omega_T^2 + \omega_\beta^2}$$

اور اس کا مربع لیتے ہوئے حل کرتے

$$\beta^2\omega_\beta^2 = \omega_T^2 + \omega_\beta^2$$

یعنی

$$\begin{aligned} \omega_T^2 &= \beta^2\omega_\beta^2 - \omega_\beta^2 \\ \omega_T &= \omega_\beta\sqrt{\beta^2 - 1} \end{aligned} \quad (6.65)$$

چونکہ  $\beta \gg 1$  ہوتا ہے لہذا

$$\begin{aligned} \omega_T &\approx \beta\omega_\beta \\ f_T &\approx \beta f_\beta \end{aligned} \quad (6.66)$$

لکھا جاسکتا ہے۔ اس مساوات کے تحت  $f_T$  دراصل ٹرانزسٹر کے  $\beta$  اور  $f_\beta$  کا حاصل ضرب ہے۔ اسی سے  $f_T$  کو ٹرانزسٹر کا افزائش ضربہ دائرہ کار کر دگے<sup>36</sup> کہتے ہیں۔ ٹرانزسٹر کے بلند تعددی صلاحیت کو اس کے معلوماتی صفحے<sup>37</sup> میں بطور  $f_T$  پیش کیا جاتا ہے۔ یوں کسی بھی اشارے کو بڑھانے کی خاطر استعمال کئے جانے والے ایمپلیفائر کے ٹرانزسٹر کی  $f_T$  اس اشارے کی تعدد سے زیادہ ہونا ضروری ہے۔ مندرجہ بالا مساوات کو یوں دیکھا جاسکتا ہے کہ اگر دو مختلف ٹرانزسٹروں کی  $f_T$  برابر جبکہ ان کے  $\beta$  برابر نہ ہوں تب کم  $\beta$  والے ٹرانزسٹر کا  $f_\beta$  زیادہ ہو گا اور یوں یہ نسبتاً زیادہ بلند تعدد کے اشارات کو بڑھانے کی صلاحیت رکھے گا۔

مساوات 6.66 اور مساوات 6.62 کو ملاتے ہوئے اور  $\beta = g_m r_{b'e}$  لکھتے ہوئے

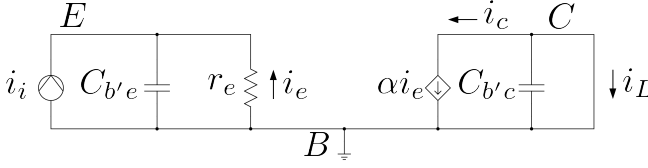
$$(6.67) \quad f_T \approx \frac{g_m}{2\pi (C_{b'e} + C_{b'c})} \approx \frac{g_m}{2\pi C_{b'e}}$$

حاصل ہوتا ہے جہاں دوسری قدم پر  $C_{b'e} \gg C_{b'c}$  کی وجہ سے  $C_{b'c}$  کو نظر انداز کیا گیا ہے۔

مساوات 6.66 کے مطابق  $f_T$  وہ حتی بلند تعدد ہے جس تک مشترکہ ایمر ٹرانزسٹر ایمپلیفائر اشارے کا حیطہ بڑھانے کی صلاحیت رکھتا ہے۔ اس مساوات کو حاصل کرتے وقت  $C_{b'c}$  کے راستے کلکٹر تک پہنچتے برقی رو کو نظر انداز کیا گیا جس کی وجہ سے حقیقت میں مشترکہ ایمر ٹرانزسٹر ایمپلیفائر کبھی بھی  $f_T$  تعدد کے اشارات کو نہیں بڑھا سکتا۔

### 6.11.3 مشترکہ بیس بلند انقطاعی تعدد

آئیں مشترکہ بیس طرز پر استعمال کئے جانے والے ایمپلیفائر کی بلند انقطاعی تعدد حاصل کریں۔ بلند انقطاعی تعدد ٹرانزسٹر کے ساتھ بیرونی جڑے مزاحمت وغیرہ پر بھی منحصر ہو گا۔ دو مختلف ٹرانزسٹروں کا آپس میں موازنہ کرنے کے لئے یہ ضروری ہے کہ ٹرانزسٹر کے ساتھ بیرونی جڑے پرزوں کے اثر کو شامل نہ کیا جائے۔ یوں مشترکہ بیس بلند تعددی ریاضی نمونے کو استعمال کرتے ہوئے شکل 6.33 کو زنجیری ضرب سے حل کرتے ہیں۔



شکل 6.33: مشترکہ بیس تعدوی برقی رد افرائش

$$\begin{aligned}
 A_i \Big|_{v_{cb} \rightarrow 0} &= \frac{i_L}{i_i} = \left( \frac{i_L}{i_c} \right) \left( \frac{i_c}{i_e} \right) \left( \frac{i_e}{i_i} \right) \\
 &= (-1) (\alpha) \left( \frac{-\frac{1}{j\omega C_{b'e}}}{r_e + \frac{1}{j\omega C_{b'e}}} \right) \\
 &= \frac{\alpha}{j\omega C_{b'e} r_e + 1}
 \end{aligned}$$

جہاں پہلی قوسین میں منفی کی علامت اس لئے استعمال کئے گئے کہ اس قوسین کے برقی رد  $i_L$  اور  $i_c$  آپس میں الٹ سمت رکھتے ہیں۔ اسی طرح تیسری قوسین میں  $i_e$  اور  $i_i$  آپس میں الٹ سمت رکھتے ہیں۔ مندرجہ بالا مساوات میں

$$C_{b'e} r_e = \frac{C_{b'e} r_{b'e}}{\beta} = \frac{1}{\beta \omega_\beta} = \frac{1}{\omega_T}$$

لیتے ہوئے اسے یوں لکھ سکتے ہیں۔

$$(6.68) \quad A_i \Big|_{v_{cb} \rightarrow 0} = \frac{\alpha}{j \frac{\omega}{\omega_T} + 1}$$

اس مساوات کے مطابق مشترکہ بیس طرز کے ایمپلیفائر کی بلند انقطاعی تعدد، جسے  $\omega_\alpha$  پکارا جاتا ہے، ٹرانزسٹر کے  $\omega_T$  کے برابر ہوتا ہے یعنی

$$(6.69) \quad \omega_\alpha = \beta \omega_\beta = \omega_T$$

آپ دیکھ سکتے ہیں کہ مشترکہ بیس طرز کے ایمپلیفائر انتہائی بلند انقطاعی تعدد رکھتے ہیں۔ حقیقت میں  $\omega_T$  کے تعدد پر یہاں استعمال کیا گیا ٹرانزسٹر کا بلند تعدوی ٹی ریاضی نمونہ درست ثابت نہیں ہوتا لہذا مندرجہ بالا مساوات حقیقت



میں درست نہیں۔ دیکھا یہ گیا ہے کہ

$$(6.70) \quad \omega_{\alpha} = (1 + \lambda) \omega_T$$

کے برابر ہوتا ہے جہاں  $\lambda$  کی قیمت 0.2 تا 1 ہوتی ہے۔  $\lambda$  کی عمومی قیمت 0.4 ہے۔

$$6.11.4 \quad f_T \text{ کا تجرباتی تخمینہ}$$

$f_T$  نہایت بلند تعدد ہے جسے ناپنا قدر مشکل ہوتا ہے۔ مساوات 6.63 کو استعمال کرتے ہوئے  $f_T$  کو کم تعدد پر ناپا جاسکتا ہے۔ اس مساوات کے مطابق اگر  $A_i$  کو تعدد  $f_1$  پر ناپا جائے جہاں  $(f_1 \gg f_{\beta})$  ہو مثلاً  $f_1$  کی قیمت  $f_{\beta}$  کے پانچ یا چھ گنا ہو تب اسے یوں لکھا جاسکتا ہے۔

$$(6.71) \quad |A_i|_{v_{ce}=0} \approx \frac{\beta f_{\beta}}{f_1} = \frac{f_T}{f_1}$$

لہذا  $f_1$  تعدد پر  $|A_i|$  ناپ کر  $f_T$  کی قیمت کا تخمینہ لگایا جاتا ہے۔  $f_T$  کو استعمال کرتے ہوئے مساوات 6.67 سے  $C_{b'e}$  کی قیمت حاصل کی جاتی ہے۔

مثال 6.12: ایک ٹرانزسٹر جس کا  $\beta = 200$ ،  $I_{CQ} = 0.75 \text{ mA}$  اور  $f_{\beta} = 1.3 \text{ MHz}$  ہے کا  $6.5 \text{ MHz}$  کے تعدد پر  $|A_i|_{v_{ce}=0}$  ناپتے ہوئے  $41.5 \frac{\text{A}}{\text{A}}$  حاصل ہوتا ہے۔ اس کی  $f_T$  کا تخمینہ لگاتے ہوئے  $C_{b'e}$  حاصل کریں۔

حل: مساوات 6.71 کی مدد سے

$$f_T = 41.5 \times 6.5 \text{ MHz} \approx 270 \text{ MHz}$$

حاصل ہوتا ہے۔  $I_{CQ}$  سے

$$g_m = \frac{I_{CQ}}{V_T} = \frac{0.75 \text{ mA}}{25 \text{ mV}} = 0.03 \text{ S}$$

حاصل ہوتا ہے جسے مساوات 6.67 میں استعمال کرتے ہوئے

$$C_{b'e} = \frac{g_m}{2\pi f_T} = \frac{0.03}{2\pi \times 270 \times 10^6} \approx 18 \text{ pF}$$

حاصل ہوتا ہے۔

### 6.11.5 برقی بوجھ کے موجودگی میں بلند تعددی رد عمل

شکل 6.34 میں مشترکہ ایمر ایپلیٹائر اور اس کا بلند تعدد مساوی دور دکھایا گیا ہے۔ یہ بلند تعدد پر استعمال ہونے والے مشترکہ ایمر ایپلیٹائر کی عمومی شکل ہے۔ آئیں پہلے مساوی دور کی سادہ شکل حاصل کریں تاکہ توجہ مرکب پر رکھنی آسان ہو۔ پہلے مساوی دور کے داخلی جانب نقطہ دار دائرے میں بند حصے کا مساوی تھونڈ دور حاصل کرتے ہیں۔ شکل 6.35 الف میں اس حصے کو پیش کیا گیا ہے جہاں تھونڈ برقی دباؤ  $v_{th}$  اور تھونڈ مزاحمت  $R_{th}$  کی نشاندہی بھی کی گئی ہے۔ شکل 6.35 ب میں مساوی تھونڈ دور دکھایا گیا ہے۔ متوازی جڑے  $R_1$  اور  $R_2$  کی کل مزاحمت کو  $R_B$  یعنی

$$(6.72) \quad R_B = \frac{R_1 R_2}{R_1 + R_2}$$

لکھتے ہوئے

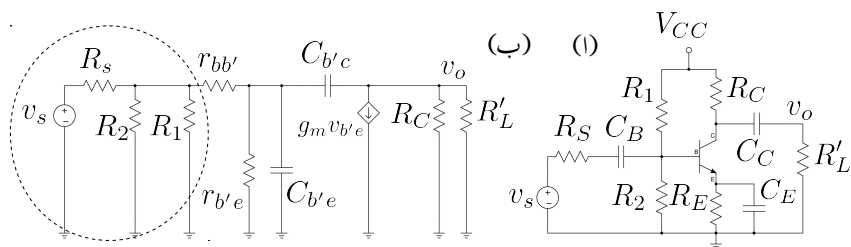
$$(6.73) \quad v_{th} = \left( \frac{R_B}{R_S + R_B} \right) v_s$$

$$(6.74) \quad R_{th} = \frac{R_S R_B}{R_S + R_B}$$

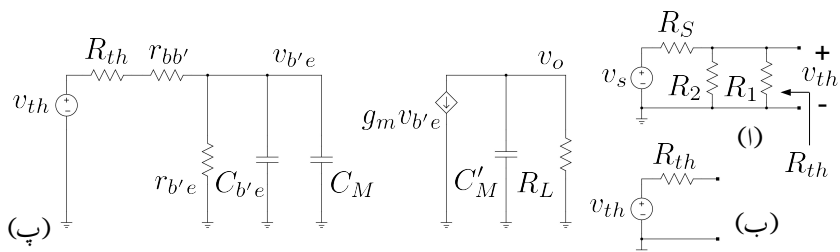
حاصل ہوتے ہیں۔ شکل 6.34 ب میں  $R_C$  اور  $R'_L$  متوازی جڑے ہیں۔ ان کے کل مزاحمت کو  $R_L$  لکھتے ہیں یعنی

$$(6.75) \quad R_L = \frac{R_C R'_L}{R_C + R'_L}$$

$C_{b'e}$  پر نظر ڈالنے سے ہم دیکھتے ہیں کہ اس کے ایک جانب  $v_{b'e}$  اور دوسری جانب  $v_o$  برقی دباؤ ہے۔ یوں  $C_{b'e}$  کے مرکب حاصل کئے جاسکتے ہیں۔ ان تبدیلیوں کی مدد سے شکل 6.35 پ کا سادہ دور حاصل ہوتا ہے



شکل 6.34: (ا) مدل معادلاتی و (ب) مدار فیزیکی یک تقویت‌کننده تک‌مرحله‌ای



شکل 6.35: مدل معادلاتی ساده‌شده

جہاں  $C_{b'c}$  کو مسئلہ ملر کی مدد سے  $C_M$  اور  $C'_M$  جڑوا کیپیسٹروں میں تبدیل کر دیا گیا ہے۔ شکل 6.34 پ کے طرز پر ادوار میں عموماً  $C'_M$  کی برقی رکاوٹ متوازی جڑے مزاحمت  $R_L$  سے بہت زیادہ ہوتی ہے یعنی

$$(6.76) \quad \frac{1}{\omega C'_M} \gg R_L$$

لہذا  $C'_M$  کو نظر انداز کیا جاتا ہے۔ ایسا کرنے سے شکل 6.36 حاصل ہوتا ہے۔ انہیں دیکھیں کہ مندرجہ بالا مساوات کیوں درست ثابت ہوتا ہے۔

کسی بھی ایمپلیفائر کو بلند اور پست انقطاعی تعدد کے مابین درمیانی تعدد کے خطے میں استعمال کیا جاتا ہے جہاں یہ داخلی اشارے کا حیظ بڑھانے کی صلاحیت رکھتا ہے۔ اس خطے میں ٹرانزسٹر کا پست تعددی ریاضی نمونہ استعمال کیا جاتا ہے۔ اگر شکل 6.35 پ میں پست تعددی ریاضی نمونہ استعمال کیا جائے تو ملر کیپیسٹر کے حصول میں درکار  $A_V$  کی قیمت

$$(6.77) \quad A_V = \frac{v_o}{v_{be}} = -g_m R_L$$

ہوگی جہاں  $v_{b'e}$  کی جگہ  $v_{be}$  کا استعمال کیا گیا ہے۔ اس قیمت کو استعمال کرتے ہوئے مساوات 6.58 اور 6.59 سے

$$(6.78) \quad C_M = C_{b'c} (1 + g_m R_L)$$

$$(6.79) \quad C'_M = C_{b'c} \left( 1 + \frac{1}{g_m R_L} \right)$$

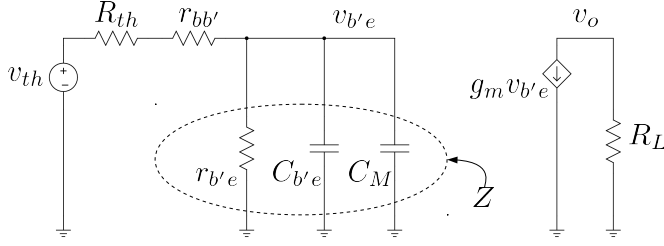
حاصل ہوتے ہیں۔ درمیانی تعدد کے خطے میں ایمپلیفائر کی افزائش کی حتمی قیمت  $|A_V|$  ایک (1) سے کئی گنا زیادہ ہوتی ہے (یعنی  $g_m R_L \gg 1$ ) لہذا

$$(6.80) \quad C'_M \approx C_{b'c}$$

ہوگا۔  $C_{b'c}$  کی قیمت انتہائی کم ہوتی ہے۔ یوں اس کے برقی رکاوٹ کی حتمی قیمت برقی بوجھ سے بہت زیادہ ہوگی یعنی

$$(6.81) \quad \left| \frac{1}{j\omega C_{b'c}} \right| \gg R_L$$

لہذا  $C_{b'c}$  کو نظر انداز کیا جاسکتا ہے۔ بلند تعدد ایمپلیفائر حل کرتے وقت  $C_M$  کو استعمال جبکہ  $C'_M$  کو استعمال نہیں کیا جاتا۔ یہاں اس بات کو ذہن نشین کر لیں کہ ایمپلیفائر کی افزائش بڑھانے سے  $C_M$  کی قیمت بھی بڑھتی ہے۔



شکل 6.36: ملر کیپسٹر کے اثرات

آئیں شکل 6.36 کو کرنوف کے قوانین استعمال کرتے ہوئے حل کرتے ہیں۔ شکل میں  $r_{b'e}$ ،  $C_{b'e}$  اور  $C_M$  متوازی جڑے ہیں۔ ان کی کل برقی رکاوٹ کو  $Z$  سے ظاہر کرتے ہیں۔ یوں

$$\frac{1}{Z} = s(C_{b'e} + C_M) + \frac{1}{r_{b'e}}$$

سے

$$(6.82) \quad Z = \frac{r_{b'e}}{s(C_{b'e} + C_M)r_{b'e} + 1}$$

حاصل ہوتا ہے۔ زنجیری ضرب سے

$$\begin{aligned} A'_v &= \frac{v_o}{v_{th}} = \left( \frac{v_o}{i_c} \right) \left( \frac{i_c}{v_{b'e}} \right) \left( \frac{v_{b'e}}{v_{th}} \right) \\ &= (-R_L) (g_m) \left( \frac{Z}{R_{th} + r_{bb'} + Z} \right) \end{aligned}$$

حاصل ہوتا ہے۔ اس میں  $Z$  کی قیمت استعمال کرتے ہوئے حل کرتے ہیں۔

$$\begin{aligned} A'_v &= -R_L g_m \left( \frac{\frac{r_{b'e}}{s(C_{b'e} + C_M)r_{b'e} + 1}}{R_{th} + r_{bb'} + \frac{r_{b'e}}{s(C_{b'e} + C_M)r_{b'e} + 1}} \right) \\ &= \frac{-R_L g_m r_{b'e}}{[s(C_{b'e} + C_M)r_{b'e} + 1](R_{th} + r_{bb'}) + r_{b'e}} \\ &= \frac{-R_L g_m r_{b'e}}{s(C_{b'e} + C_M)r_{b'e}(R_{th} + r_{bb'}) + R_{th} + r_{bb'} + r_{b'e}} \\ &= \frac{-R_L g_m r_{b'e}}{(C_{b'e} + C_M)r_{b'e}(R_{th} + r_{bb'}) \left[ s + \frac{R_{th} + r_{bb'} + r_{b'e}}{(C_{b'e} + C_M)r_{b'e}(R_{th} + r_{bb'})} \right]} \end{aligned}$$

جسے

$$(6.83) \quad A'_v = - \left[ \frac{g_m R_L}{(C_{b'e} + C_M)(R_{th} + r_{bb'})} \right] \left( \frac{1}{s + \omega_H} \right)$$

لکھا جاسکتا ہے جہاں

$$(6.84) \quad \begin{aligned} \omega_H &= \frac{R_{th} + r_{bb'} + r_{b'e}}{(C_{b'e} + C_M) r_{b'e} (R_{th} + r_{bb'})} \\ &= \frac{1}{[r_{b'e} \parallel (R_{th} + r_{bb'})] (C_{b'e} + C_M)} \\ &= \frac{1}{R_m (C_{b'e} + C_M)} \end{aligned}$$

ہے۔  $\omega_H$  کی مساوات جانی پہچانی شکل یعنی  $\frac{1}{R_m C}$  ہے جہاں  $C$  متوازی جڑے کپیسٹر  $C_{b'e}$  اور  $C_M$  کی کل کپیسٹنس  $(C_{b'e} + C_M)$  ہے جبکہ  $R_m$  اس کپیسٹر کے ساتھ کل متوازی جڑی مزاحمت ہے۔ شکل 6.36 میں  $v_s$  کو قصر دور کرتے ہوئے  $r_{b'e}$  کے ساتھ متوازی جڑے  $(R_{th} + r_{bb'})$  کی کل مزاحمت  $R_m$  ہے یعنی

$$\begin{aligned} \frac{1}{R_m} &= \frac{1}{r_{b'e}} + \frac{1}{R_{th} + r_{bb'}} \\ R_m &= \frac{r_{b'e} (R_{th} + r_{bb'})}{R_{th} + r_{bb'} + r_{b'e}} \end{aligned}$$

جسے یوں بھی لکھا جاسکتا ہے۔

$$R_m = r_{b'e} \parallel (R_{th} + r_{bb'})$$

چونکہ  $R_{th}$  کی قیمت  $r_{b'e}$  اور  $r_{bb'}$  سے بہت زیادہ ہوتی ہے یعنی

$$\begin{aligned} R_{th} &\gg r_{bb'} \\ R_{th} &\gg r_{b'e} \end{aligned}$$

لہذا

$$R_m \approx r_{b'e}$$

کے برابر ہوگا اور یوں

$$(6.85) \quad \begin{aligned} \omega_H &= \frac{1}{(C_{b'e} + C_M) r_{b'e}} \\ f_H &= \frac{1}{2\pi (C_{b'e} + C_M) r_{b'e}} \end{aligned}$$

ہوگا۔  $\omega_H$  کا مساوات 6.64 میں دئے  $\omega_\beta$  سے موازنہ کرتے ہیں۔

$$(6.86) \quad \frac{\omega_\beta}{\omega_H} = \frac{\left(\frac{1}{C_{b'e}r_{b'e}}\right)}{\left[\frac{1}{(C_{b'e}+C_M)r_{b'e}}\right]} = \frac{C_{b'e}+C_M}{C_{b'e}} = 1 + \frac{C_M}{C_{b'e}}$$

آپ دیکھ سکتے ہیں کہ مشترکہ امپڈ ایملیفائر کا بلند انقطاعی تعدد  $\omega_H$  ہے لہذا ایملیفائر کی افزائش  $\omega_\beta$  تعدد پر نہایت کم ہوگی۔

$A_v = \frac{v_o}{v_s}$  کو مساوات 6.83 اور مساوات 6.73 کی مدد سے یوں حاصل کر سکتے ہیں۔

$$\begin{aligned} A_v = \frac{v_o}{v_s} &= \left(\frac{v_o}{v_{th}}\right) \left(\frac{v_{th}}{v_s}\right) \\ &= - \left[ \frac{g_m R_L}{(C_{b'e} + C_M)(R_{th} + r_{bb'})} \right] \left(\frac{R_B}{R_S + R_B}\right) \left(\frac{1}{s + \omega_H}\right) \\ &= - \left[ \frac{g_m R_L}{\omega_H (C_{b'e} + C_M)(R_{th} + r_{bb'})} \right] \left(\frac{R_B}{R_S + R_B}\right) \left(\frac{1}{1 + \frac{s}{\omega_H}}\right) \\ &= - \left(\frac{g_m R_m R_L}{R_{th} + r_{bb'}}\right) \left(\frac{R_B}{R_S + R_B}\right) \left(\frac{1}{1 + \frac{s}{\omega_H}}\right) \end{aligned}$$

جہاں دوسرے قدم پر مساوات 6.84 کا استعمال کیا گیا۔  $R_m \approx r_{b'e}$  کی صورت میں اسے یوں لکھا جاسکتا ہے۔

$$A_v \approx - \left(\frac{g_m r_{b'e} R_L}{R_{th} + r_{bb'}}\right) \left(\frac{R_B}{R_S + R_B}\right) \left(\frac{1}{1 + \frac{s}{\omega_H}}\right)$$

لکھتے ہوئے  $g_m r_{b'e} = \beta$

$$(6.87) \quad A_v \approx - \left(\frac{\beta R_L}{R_{th} + r_{bb'}}\right) \left(\frac{R_B}{R_S + R_B}\right) \left(\frac{1}{1 + \frac{s}{\omega_H}}\right)$$

حاصل ہوتا ہے۔ اس مساوات سے درمیانی تعدد پر  $|A_{vD}|_{\omega \ll \omega_H}$  حاصل کرتے ہیں۔

$$(6.88) \quad |A_{vD}|_{\omega \ll \omega_H} = - \left(\frac{\beta R_L}{R_{th} + r_{bb'}}\right) \left(\frac{R_B}{R_S + R_B}\right)$$

مثال 6.13: شکل 6.34 میں

$$\begin{array}{lll}
 V_{CC} = 15 \text{ V} & R_1 = 7 \text{ k}\Omega & R_2 = 2.8 \text{ k}\Omega \\
 R_C = 650 \Omega & R'_L = 100 \Omega & R_E = 260 \Omega \\
 C_{b'c} = 2 \text{ pF} & C_{b'e} = 220 \text{ pF} & r_{bb'} = 20 \Omega \\
 & \beta = 75 & R_S = 1.2 \text{ k}\Omega
 \end{array}$$

لیتے ہوئے  $I_{CQ} \approx 12.5 \text{ mA}$ ،  $g_m = 0.5 \text{ S}$  اور  $r_{b'e} = 150 \Omega$  حاصل ہوتے ہیں۔ اس ایپلیفائر کی درمیانی تعدد پر انفرانش  $A_v$  اور بلند انقطاعی تعدد  $f_H$  حاصل کریں۔

حل: حصہ 6.11.5 میں اسی کو کرخوف کے قوانین کی مدد سے حل کیا گیا۔ اس مثال کو مسئلہ نارٹن اور مسئلہ تھون کے بار بار استعمال سے حل کرتے ہیں۔

لکھتے ہوئے  $R_L$  کو  $R_C \parallel R'_L$

$$R_L = \frac{650 \times 100}{650 + 100} = 87 \Omega$$

حاصل ہوتا ہے۔ شکل 6.34 ب سے مسئلہ ملر کی مدد سے شکل 6.37 الف حاصل ہوتا ہے جہاں

$$\begin{aligned}
 C &= C_{b'e} + C_M \\
 &= C_{b'e} + (1 + g_m R_L) C_{b'c} \\
 &= 220 \times 10^{-12} + (1 + 0.5 \times 87) \times 2 \times 10^{-12} \\
 &= 220 \text{ pF} + 89 \text{ pF} \\
 &= 309 \text{ pF}
 \end{aligned}$$

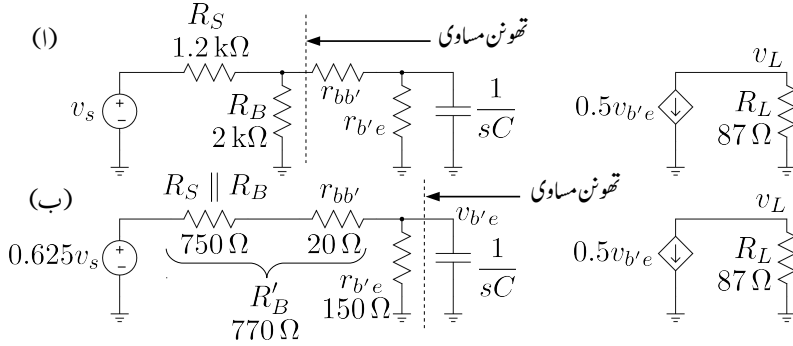
کے برابر ہے اور  $R_1 \parallel R_2$  کو  $R_B$  کہا گیا ہے یعنی

$$R_B = \frac{R_1 R_2}{R_1 + R_2} = \frac{7000 \times 2800}{7000 + 2800} = 2 \text{ k}\Omega$$

اس شکل میں نقطہ دار لکیر کے بائیں جانب کا مساوی تھون دور لیتے ہوئے شکل 6.37 ب حاصل ہوتا ہے جہاں تھون مساوی مقدار

$$\begin{aligned}
 \left( \frac{R_B}{R_S + R_B} \right) v_s &= 0.625 v_s \quad \text{تھون دباؤ} \\
 R_S \parallel R_B &= 750 \Omega \quad \text{تھون مزاحمت}
 \end{aligned}$$





شکل 6.37: مسئلہ نارٹن اور مسئلہ تھونن کے بار بار استعمال سے دور کا حل

ہیں۔ شکل 6.37 ب کے نقطہ دار لکیر سے بائیں جانب حصے کا اب مساوی نارٹن دور لیتے ہیں جسے شکل 6.38 الف میں دکھایا گیا ہے جہاں نارٹن مساوی برقی رو

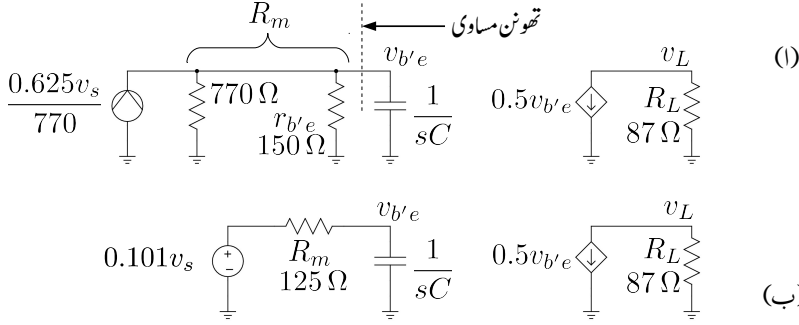
$$\frac{0.625v_s}{R'_B} = \frac{0.625}{770}v_s$$

کے برابر ہے۔ شکل 6.38 الف میں نقطہ دار لکیر کے بائیں جانب حصے کا تھونن مساوی دور لیتے ہوئے شکل ب حاصل ہوتا ہے۔ شکل 6.38 ب کو دیکھ کر  $v_{b'e}$  کی مساوات لکھی جاسکتی ہے۔

$$\begin{aligned} v_{b'e} &= 0.101v_s \left( \frac{\frac{1}{sC}}{125 + \frac{1}{sC}} \right) = 0.101v_s \left( \frac{1}{125 \times sC + 1} \right) \\ &= \frac{0.101v_s}{1 + \frac{j\omega}{26 \times 10^6}} = \frac{0.101v_s}{1 + \frac{jf}{4 \times 10^6}} \end{aligned}$$

زنجیری ضرب سے

$$\begin{aligned} A_v &= \frac{v_L}{v_s} = \frac{v_L}{i_c} \times \frac{i_c}{v_{b'e}} \times \frac{v_{b'e}}{v_s} \\ &= -87 \times 0.5 \times \left( \frac{0.101}{1 + \frac{jf}{4 \times 10^6}} \right) \\ &= \frac{-4.4}{1 + \frac{jf}{4 \times 10^6}} \end{aligned}$$



شکل 6.38: مسئلہ نارٹن اور مسئلہ تھونن کے بار بار استعمال سے دور کا حل

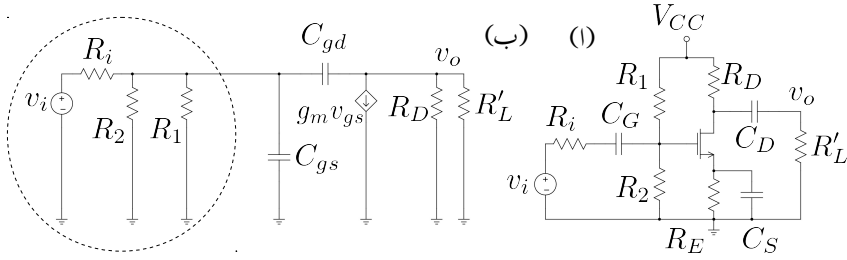
لکھا جاسکتا ہے۔ بلند انقطاعی تعدد تقریباً  $f_H = 4 \text{ MHz}$  جبکہ درمیانی تعدد کی انفرانش  $A_{vD} = -4.4 \frac{V}{V}$  ہے۔

#### 6.11.6 مشترکہ سورس ماسفیٹ ایمپلیفائر کا بلند تعددی رد عمل

شکل 6.39 الف میں ماسفیٹ ایمپلیفائر اور شکل ب میں اسی کا مساوی بلند تعددی دور دکھایا گیا ہے جس میں ماسفیٹ کا بلند تعددی ریاضی نمونہ استعمال کیا گیا ہے۔ ماسفیٹ کا بلند تعددی ریاضی نمونہ ماسفیٹ کے پست تعددی ریاضی نمونے میں  $C_{gs}$  اور  $C_{gd}$  اندرونی کپیسٹرز کی شمولیت سے حاصل کیا گیا ہے۔ شکل 6.39 ب اور شکل 6.34 ب تقریباً یکساں صورت رکھتے ہیں۔ ماسفیٹ کے ریاضی نمونے میں  $C_{gs} \gg C_{gd}$  ہوتا ہے۔ پست تعددی ماسفیٹ کے  $C_{gs}$  کی قیمت 50 pF جبکہ بلند تعددی ماسفیٹ کی 5 pF سے بھی کم ہوتی ہے۔ پست تعددی ماسفیٹ کے  $C_{gd}$  کی قیمت 5 pF جبکہ بلند تعددی ماسفیٹ کی 0.5 pF سے بھی کم ہوتی ہے۔

$$R_L = \frac{R'_L R_D}{R'_L + R_D}$$

$$R_G = \frac{R_1 R_2}{R_1 + R_2}$$



شکل 6.39: ماسیفٹ ایپلیفائر اور اس کا بلند تعددی مساوی دور

لیتے ہوئے نقطہ دار دائرے میں بند حصے کا تھون مساوی دور حاصل کرتے ہیں۔

$$R_{th} = \frac{R_i R_G}{R_i + R_G}$$

$$v_{th} = \left( \frac{R_G}{R_i + R_G} \right) v_i$$

$C_{gd}$  کا ملر کپیسٹر استعمال کرتے ہوئے شکل 6.40 حاصل ہوتا ہے۔ آئیں اس مرتبہ  $C'_M$  کو نظر انداز نہ کرتے ہوئے دور کو حل کریں۔ متوازی جڑے  $R_L$  اور  $C'_M$  کی برقی رکاوٹ کو  $Z_L$  لکھتے ہوئے

$$\frac{1}{Z_L} = j\omega C'_M + \frac{1}{R_L}$$

$$Z_L = \frac{R_L}{j\omega C'_M R_L + 1}$$

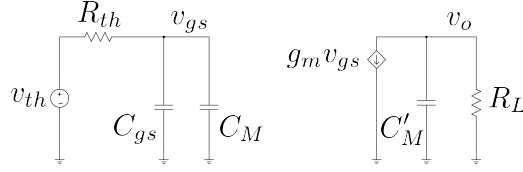
حاصل ہوتا ہے۔ یوں

$$\frac{v_o}{v_{th}} = \left( \frac{v_o}{i_d} \right) \left( \frac{i_d}{v_{gs}} \right) \left( \frac{v_{gs}}{v_{th}} \right)$$

$$= (-Z_L) (g_m) \left( \frac{\frac{1}{j\omega(C_{gs} + C_M)}}{R_{th} + \frac{1}{j\omega(C_{gs} + C_M)}} \right)$$

$$= - \left( \frac{g_m R_L}{j\omega C'_M R_L + 1} \right) \left( \frac{1}{j\omega(C_{gs} + C_M) R_{th} + 1} \right)$$

اس میں



شکل 6.40: ماسفیٹ ایمپلیفائر میں ملر کیپیسٹر کا اثر

$$(6.89) \quad \omega'_H = \frac{1}{C'_M R_L}$$

$$(6.90) \quad \omega_H = \frac{1}{(C_{gs} + C_M) R_{th}}$$

لیتے ہوئے

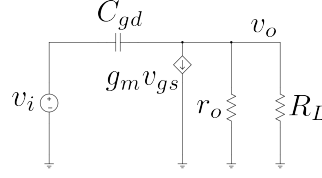
$$(6.91) \quad \frac{v_o}{v_{th}} = - \left( \frac{g_m R_L}{j \frac{\omega}{\omega'_H} + 1} \right) \left( \frac{1}{j \frac{\omega}{\omega_H} + 1} \right)$$

لکھا جاسکتا ہے۔

آپ دیکھ سکتے ہیں کہ  $C'_M$  سے  $\omega'_H$  حاصل ہوتا ہے جسے گزشتہ حصے میں نظر انداز کیا گیا تھا۔ حقیقت میں  $\omega_H \gg \omega'_H$  ہوتا ہے لہذا ماسفیٹ ایمپلیفائر میں بھی  $C'_M$  کی موجودگی کو نظر انداز کیا جاتا ہے۔ یوں  $\omega \ll \omega'_H$  تعدد پر چلتے ہوئے کل افزائش یوں لکھی جائے گی۔

$$(6.92) \quad A_v = \left( \frac{v_o}{v_{th}} \right) \left( \frac{v_{th}}{v_i} \right) = - \left( \frac{g_m R_L}{j \frac{\omega}{\omega_H} + 1} \right) \left( \frac{R_G}{R_G + R_i} \right)$$

اس مساوات کے مطابق بلند انقطاعی تعدد کا دار و مدار  $R_{th}$  پر ہے۔ آئیں دیکھیں کہ ماسفیٹ کی بلند ترین انقطاعی تعدد کس صورت حاصل ہوگی۔ ایسا کرنے کی خاطر شکل 6.39 میں  $R_i = 0 \Omega$  لیتے ہوئے اس کا مساوی دور حاصل کرتے ہیں جسے شکل 6.41 میں دکھایا گیا ہے جہاں  $r_o$  کو بھی شامل کیا گیا ہے۔ اس شکل میں چونکہ  $R_1$ ،  $R_2$  اور  $C_{gs}$  تینوں داخلی اشارہ  $v_i$  کے متوازی جڑے ہیں لہذا گیٹ پر  $v_i$  ہی پایا جائے۔ یوں  $v_{gs} = v_i$  کے برابر ہو گا۔  $v_o$  جوڑ پر کرخوف کے قانون برائے برقی رو کے مدد سے ہم لکھ سکتے ہیں



شکل 6.41: بلند ترین ممکنہ انقطاعی تعدد کا حصول

$$\frac{v_o - v_i}{\frac{1}{j\omega C_{gd}}} + g_m v_i + \frac{v_o}{\frac{R_L r_o}{R_L + r_o}} = 0$$

$$\frac{v_o}{v_i} = \left( \frac{R_L r_o}{r_L + r_o} \right) \left[ \frac{j\omega C_{gd} - g_m}{1 + \omega C_{gd} \left( \frac{R_L r_o}{R_L + r_o} \right)} \right]$$

یعنی

$$(6.93) \quad A_v = \frac{v_o}{v_i} = \left( \frac{g_m R_L r_o}{r_L + r_o} \right) \left[ -1 + \frac{j \frac{\omega C_{gd}}{g_m}}{1 + j\omega C_{gd} \left( \frac{R_L r_o}{R_L + r_o} \right)} \right]$$

جس میں

$$(6.94) \quad \omega_s = \frac{g_m}{C_{gd}}$$

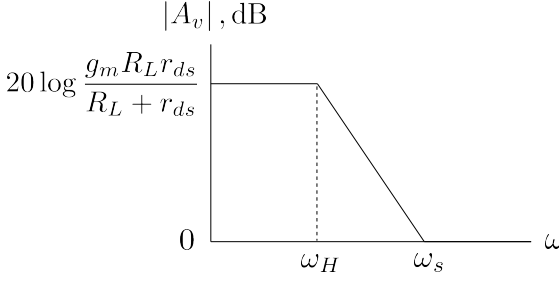
$$(6.95) \quad \omega_H = \frac{1}{C_{gd} \left( \frac{R_L r_o}{R_L + r_o} \right)}$$

لیتے ہوئے

$$(6.96) \quad A_v = \left( \frac{g_m R_L r_o}{r_L + r_o} \right) \left[ \frac{-1 + j \frac{\omega}{\omega_s}}{1 + j \frac{\omega}{\omega_H}} \right]$$

حاصل ہوتا ہے۔ اس مساوات میں  $\omega_s \gg \omega_H$  ہوتا ہے یعنی

$$\frac{g_m}{C_{gd}} \gg \frac{1}{C_{gd} \left( \frac{R_L r_o}{R_L + r_o} \right)}$$



شکل 6.42: ماسفیٹ ایمپلیفائر کا بوڈا خط

جسے

$$(6.97) \quad g_m \left( \frac{R_L r_o}{R_L + r_o} \right) \gg 1$$

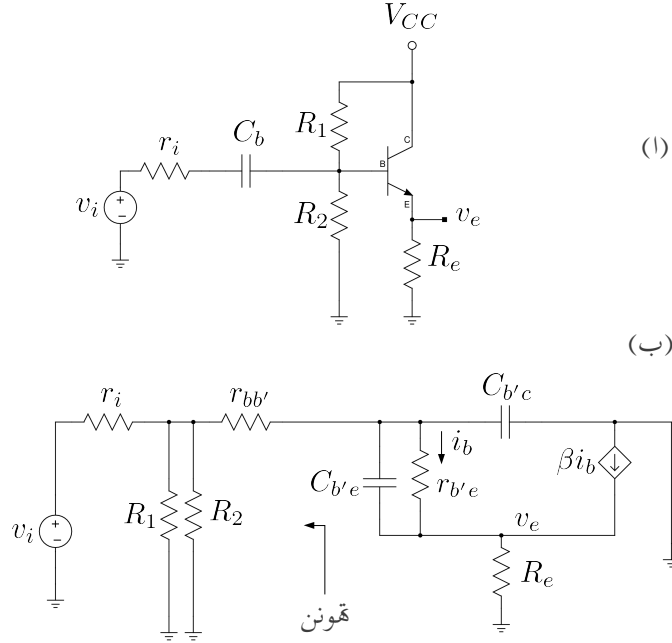
لکھا جاسکتا ہے۔ مساوات 6.96 کا بوڈا خط شکل 6.42 میں دکھایا گیا ہے۔  $\omega_H$  کی قیمت  $R_L$  سے وابستہ ہے۔ اگر  $R_L \rightarrow \infty$  کر دیا جائے تو بلند ترین انقطاعی تعدد

$$(6.98) \quad \omega_H \Big|_{R_L \rightarrow \infty} = \frac{1}{C_{gd} r_o}$$

حاصل ہوگی جو ماسفیٹ ریاضی نمونے کے اجزاء  $C_{gd}$  اور  $r_o$  پر منحصر ہے۔

## 6.12 مشترکہ کلکٹر ایمپلیفائر کا بلند تعددی رد عمل

شکل 6.43 الف میں کلکٹر مشترکہ ایمپلیفائر دکھایا گیا ہے جس کا مساوی باریک اشاراتی بلند تعددی دور شکل ب میں دکھایا گیا ہے۔ بلند تعدد پر بیرونی نسب کپیسٹر  $C_b$  قصر دور کردار ادا کرتا ہے۔ شکل ب سے واضح ہے کہ صرف  $r_{b'e}$  سے گزرتی برقی رو  $i_b$  کو ٹرانزسٹر  $\beta$  گنا بڑھاتا ہے۔ اس شکل میں کپیسٹر  $C_{b'e}$  کا بائیں جانب کا مساوی



شکل 6.43: مشترکہ بلند تعددی رد عمل

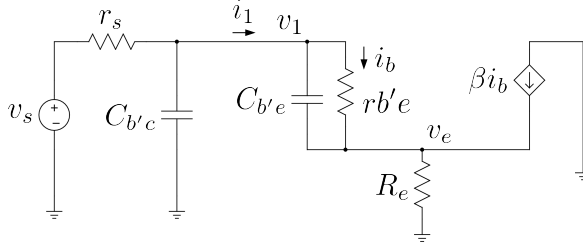
تھون دور حاصل کرتے ہیں

$$V_{th} = \left( \frac{R_1 \parallel R_2}{r_i + R_1 \parallel R_2} \right) v_i = v_s$$

$$R_{th} = r_i \parallel R_1 \parallel R_2 + r_{bb'} = r_s$$

جہاں تھون برقی دباؤ کو  $v_s$  اور تھون برقی مزاحمت کو  $r_s$  لکھا گیا ہے۔ شکل ب میں  $C_{b'c}$  کا ایک سرا برقی زمین سے جڑا ہے۔ یوں شکل ب کو شکل 6.44 کے طرز پر بنایا جا سکتا ہے۔ اس شکل کو دیکھتے ہوئے کرخوف کے قانون برائے برقی رو کے استعمال سے ایسٹر پر ہم لکھ سکتے ہیں

$$(v_e - v_1) s C_{b'e} + \frac{v_e - v_1}{r_{b'e}} + \frac{v_e}{R_e} = \beta i_b = \beta \frac{v_1 - v_e}{r_{b'e}}$$



شکل 6.44: کلکٹر مشترک بلند تعددی سادہ مساوی دور

یعنی

$$\begin{aligned}
 v_1 &= \left[ \frac{sC_{b'e} + \frac{\beta+1}{r_{b'e}} + \frac{1}{R_e}}{sC_{b'e} + \frac{\beta+1}{r_{b'e}}} \right] v_e \\
 &= \left[ \frac{\left( sC_{b'e} + \frac{\beta+1}{r_{b'e}} \right) + \frac{1}{R_e}}{sC_{b'e} + \frac{\beta+1}{r_{b'e}}} \right] v_e \\
 &= \left[ \frac{\left( sC_{b'e} + \frac{\beta+1}{r_{b'e}} \right)}{sC_{b'e} + \frac{\beta+1}{r_{b'e}}} + \frac{\frac{1}{R_e}}{sC_{b'e} + \frac{\beta+1}{r_{b'e}}} \right] v_e \\
 &= \left[ 1 + \frac{1}{R_e \left( sC_{b'e} + \frac{\beta+1}{r_{b'e}} \right)} \right] v_e
 \end{aligned}
 \tag{6.99}$$

اسی طرح جوڑ  $v_1$  پر کرخوف کے قانون برائے برقی رو کے استعمال سے ہم لکھ سکتے ہیں

$$\frac{v_1 - v_s}{r_s} + v_1 sC_{b'c} + (v_1 - v_e) sC_{b'e} + \frac{v_1 - v_e}{r_{b'e}} = 0$$



یعنی

$$\begin{aligned} \left( \frac{1}{r_s} + sC_{b'c} + sC_{b'e} + \frac{1}{r_{b'e}} \right) v_1 &= \frac{v_s}{r_s} + v_e \left( sC_{b'e} + \frac{1}{r_{b'e}} \right) \\ \left( \frac{1}{r_s} + sC_{b'c} + sC_{b'e} + \frac{1}{r_{b'e}} \right) \left[ 1 + \frac{1}{R_e \left( sC_{b'e} + \frac{\beta+1}{r_{b'e}} \right)} \right] v_e &= \frac{v_s}{r_s} + v_e \left( sC_{b'e} + \frac{1}{r_{b'e}} \right) \end{aligned}$$

جہاں دوسرے قدم پر مساوات 6.99 کا استعمال کیا گیا۔ بائیں ہاتھ کے قوسین کو کھولتے ہیں

$$\begin{aligned} \left( \frac{1}{r_s} + sC_{b'c} + sC_{b'e} + \frac{1}{r_{b'e}} \right) v_e + \left[ \frac{\frac{1}{r_s} + sC_{b'c} + sC_{b'e} + \frac{1}{r_{b'e}}}{R_e \left( sC_{b'e} + \frac{\beta+1}{r_{b'e}} \right)} \right] v_e &= \frac{v_s}{r_s} + v_e \left( sC_{b'e} + \frac{1}{r_{b'e}} \right) \\ &= \frac{v_s}{r_s} + v_e \left( sC_{b'e} + \frac{1}{r_{b'e}} \right) \end{aligned}$$

اور یکساں اجزاء اکٹھے کرتے ہیں۔

$$\left[ \frac{1}{r_s} + sC_{b'c} + \frac{\frac{1}{r_s} + sC_{b'c} + sC_{b'e} + \frac{1}{r_{b'e}}}{R_e \left( sC_{b'e} + \frac{\beta+1}{r_{b'e}} \right)} \right] v_e = \frac{v_s}{r_s}$$

اس مساوات کو

$$\left[ \frac{1}{r_s} (1 + sr_s C_{b'c}) + \frac{\frac{1}{r_s} (1 + sr_s C_{b'c}) + \frac{1}{r_{b'e}} (sr_{b'e} C_{b'e} + 1)}{\frac{R_e(\beta+1)}{r_{b'e}} \left( s \frac{r_{b'e} C_{b'e}}{\beta+1} + 1 \right)} \right] v_e = \frac{v_s}{r_s}$$

لکھ کر دونوں جانب کو  $r_s$  سے ضرب دیتے اور

$$(6.100) \quad \omega_1 = \frac{1}{r_s C_{b'c}}$$

$$(6.101) \quad \omega_\beta = \frac{1}{r_{b'e} C_{b'e}}$$

$$(6.102) \quad \omega_T = \frac{\beta + 1}{r_{b'e} C_{b'e}}$$

لکھتے ہوئے یوں

$$\left[ \left( 1 + \frac{j\omega}{\omega_1} \right) + \frac{\left( 1 + \frac{j\omega}{\omega_1} \right) + \frac{r_s}{r_{b'e}} \left( \frac{j\omega}{\omega_\beta} + 1 \right)}{\frac{R_e(\beta+1)}{r_{b'e}} \left( \frac{j\omega}{\omega_T} + 1 \right)} \right] v_e = v_s$$

یا

$$\left[ \frac{\frac{R_e(\beta+1)}{r_{b'e}} \left( \frac{j\omega}{\omega_T} + 1 \right) \left( 1 + \frac{j\omega}{\omega_1} \right) + \left( 1 + \frac{j\omega}{\omega_1} \right) + \frac{r_s}{r_{b'e}} \left( \frac{j\omega}{\omega_\beta} + 1 \right)}{\frac{R_e(\beta+1)}{r_{b'e}} \left( \frac{j\omega}{\omega_T} + 1 \right)} \right] v_e = v_s$$

لکھا جاسکتا ہے۔ کسر کے بالائی حصے میں تمام قوسین کھولتے ہوئے اس مساوات کو یوں لکھا جاسکتا ہے

$$\frac{A + j\omega B + (j\omega)^2 C}{\frac{R_e(\beta+1)}{r_{b'e}} \left( \frac{j\omega}{\omega_T} + 1 \right)} = \frac{v_s}{v_e}$$

جہاں

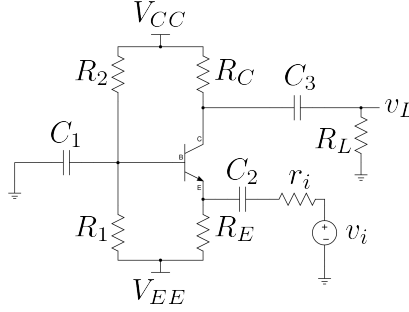
$$\begin{aligned} A &= \frac{R_e(\beta+1)}{r_{b'e}} + 1 + \frac{r_s}{r_{b'e}} \\ B &= \frac{R_e(\beta+1)}{r_{b'e}\omega_T} + \frac{R_e(\beta+1)}{r_{b'e}\omega_1} + \frac{1}{\omega_1} + \frac{r_s}{r_{b'e}\omega_\beta} \\ C &= \frac{R_e(\beta+1)}{r_{b'e}\omega_T\omega_1} \end{aligned}$$

کے برابر ہیں۔ اس سے

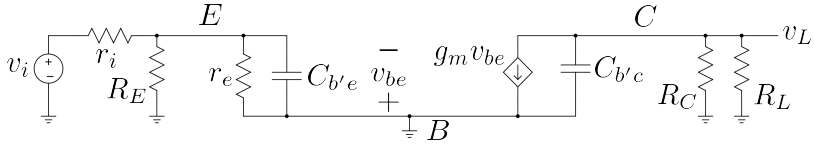
$$(6.103) \quad \frac{v_e}{v_s} = \frac{\frac{R_e(\beta+1)}{r_{b'e}} \left( \frac{j\omega}{\omega_T} + 1 \right)}{A + j\omega B + (j\omega)^2 C}$$

حاصل ہوتا ہے۔ اگر  $(\beta+1) R_e \gg r_s + r_{b'e}$  ہو تب اس مساوات کو اس طرح لکھا جاسکتا ہے

$$(6.104) \quad \frac{v_e}{v_s} = \frac{1 + \frac{j\omega}{\omega_T}}{1 + j\omega \left( \frac{1}{\omega_1} + \frac{1 + \frac{r_s}{R_e}}{\omega_T} \right) + \frac{j\omega}{\omega_T} \frac{j\omega}{\omega_1}}$$



شکل 6.45: بیس مشترک ایملیفائر



شکل 6.46: بیس مشترک ایملیفائر کا مساوی دور

## 6.13 مشترک بیس ایملیفائر کا بلند انقطعی تعدد

شکل 6.45 میں بیس مشترک ایملیفائر دکھایا گیا ہے۔ صفحہ 336 پر ٹرانزسٹر کا ٹی ریاضی نمونہ دکھایا گیا ہے جسے پالے ریاضی نمونہ کی شکل میں بناتے ہوئے شکل 6.45 کا بلند تعددی مساوی دور شکل 6.46 میں دکھایا گیا ہے۔ باریک اشاراتی دور میں  $R_1$  اور  $R_2$  دونوں کے دونوں سرے برقی زمین پر ہیں لہذا انہیں نہیں دکھایا گیا۔ چونکہ ٹرانزسٹر کا بیس سرا برقی زمین پر ہے لہذا  $C_{b'e}$  کا ایک سرا برقی زمین پر ہو گا اور یوں اسے کلکٹر اور برقی زمین کے مابین دکھایا گیا ہے۔

مساوی دور سے دو انقطعی تعدد حاصل ہوتے ہیں یعنی

$$\omega_{H1} = \frac{1}{(r_e \parallel R_E \parallel r_i) C_{b'e}} \quad (6.105)$$

$$\omega_{H2} = \frac{1}{(R_C \parallel R_L) C_{b'c}}$$

درمیانی تعدد پر افزائش حاصل کرتے وقت  $C_{b'e}$  اور  $C_{b'c}$  کو کھلے دور تصور کیا جاتا ہے۔ یوں

$$\begin{aligned} A_v &= \frac{v_L}{v_i} = \frac{v_L}{i_c} \times \frac{i_c}{v_{b'e}} \times \frac{v_{b'e}}{v_i} \\ &= -(R_C \parallel R_L) g_m \left( -\frac{R_E \parallel r_e}{R_E \parallel r_e + r_i} \right) \\ &= (R_C \parallel R_L) g_m \left( \frac{R_E \parallel r_e}{R_E \parallel r_e + r_i} \right) \end{aligned}$$

لکھا جاسکتا ہے جہاں پہلی اور تیسری قوسین میں موجود منفی ایک آپس میں ضرب ہو کر ختم ہو جاتے ہیں۔

مثال 6.14: شکل 6.45 میں

$$\begin{aligned} V_{CC} &= 5 \text{ V}, & V_{EE} &= -5 \text{ V}, & R_E &= 600 \Omega \\ R_1 &= 6 \text{ k}\Omega & R_2 &= 38 \text{ k}\Omega, & R_C &= 5 \text{ k}\Omega \\ R_L &= 10 \text{ k}\Omega, & r_i &= 100 \Omega \end{aligned}$$

ہیں۔ ٹرانزسٹر کا  $\beta = 149$ ،  $C_{b'e} = 35 \text{ pF}$  اور  $C_{b'c} = 4 \text{ pF}$  ہیں۔ بلند کونے کے تعدد حاصل کریں۔

حل: پہلے یک سمتی حل درکار ہے۔ تھونن مساوی اجزاء حاصل کرتے ہیں۔

$$\begin{aligned} V_{BB} &= \frac{5 + 5}{6000 + 38000} \times 6000 - 5 = -3.64 \text{ V} \\ R_B &= \frac{6000 \times 38000}{6000 + 38000} = 5.182 \text{ k}\Omega \end{aligned}$$

یوں

$$I_E = \frac{-3.64 - 0.7 + 5}{\frac{5182}{149+1} + 600} = 1.04 \text{ mA}$$

یوں

$$\begin{aligned} g_m &= \frac{1.04 \times 10^{-3}}{25 \times 10^{-3}} = 0.0416 \text{ S} \\ r_e &= 24 \Omega \\ r_{b'e} &= 24 \times 150 = 3.6 \text{ k}\Omega \end{aligned}$$

حاصل ہوتے ہیں۔

$C_{b'e}$  کے متوازی کل مزاحمت  $R_{b'e}$

$$\frac{1}{R_{b'e}} = \frac{1}{24} + \frac{1}{600} + \frac{1}{100}$$

$$R_{b'e} = 18.75 \Omega$$

جبکہ  $C_{b'c}$  کے متوازی کل مزاحمت

$$R_{b'c} = \frac{5000 \times 10000}{5000 + 10000} = 3.333 \text{ k}\Omega$$

ہیں۔ یوں مساوات 6.105 کی مدد سے

$$f_{H1} = \frac{1}{2 \times \pi \times 18.75 \times 35 \times 10^{-12}} = 242 \text{ MHz}$$

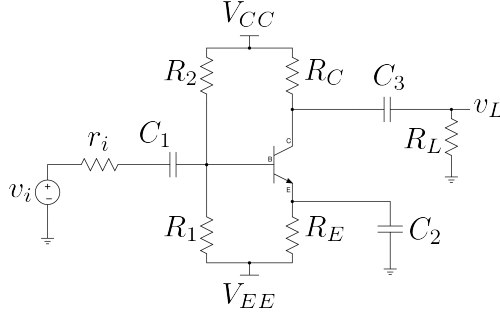
$$f_{H2} = \frac{1}{2 \times \pi \times 3333 \times 4 \times 10^{-12}} = 11.93 \text{ MHz}$$

حاصل ہوتے ہیں لہذا اس ایملیفائر کا بلند انقطعی تعدد 11.93 MHz ہے۔ اس مثال میں بلند انقطعی تعدد کا دارومدار  $C_{b'c}$  پر ہے ناکہ  $C_{b'e}$  پر۔

$$A_v = \left( \frac{5000 \times 10000}{5000 + 1000} \right) 0.0416 \left( \frac{\frac{24 \times 600}{24 + 600}}{\frac{24 \times 600}{24 + 600} + 100} \right)$$

$$= 26 \frac{V}{V}$$

مثال 6.15: گزشتہ مثال کے دور میں اگر داخلی اشارہ میں پر مہیا کیا جائے تو ایملیٹر مشترک ایملیفائر حاصل ہوتا ہے جسے شکل 6.47 میں دکھایا گیا ہے۔ بقایا تمام متغیرات وہی رکھتے ہوئے دیکھتے ہیں کہ اس صورت میں بلند انقطعی تعدد کیا حاصل ہوتا ہے۔



شکل 6.47: ایمٹر مشترک ایمپلیفائر

حل: مساوی دور شکل 6.48 میں دکھایا گیا ہے۔ گزشتہ مثال کی معلومات استعمال کرتے ہوئے

$$C_M = (1 + 0.0416 \times 3333) \times 4 \times 10^{-12} = 559 \text{ pF}$$

$$C_{b'e} + C_M = 594 \text{ pF}$$

اور اس کے متوازی کل مزاحمت  $R_m$

$$\frac{1}{R_m} = \frac{1}{100} + \frac{1}{5182} + \frac{1}{3600}$$

$$R_m = 95.5 \Omega$$

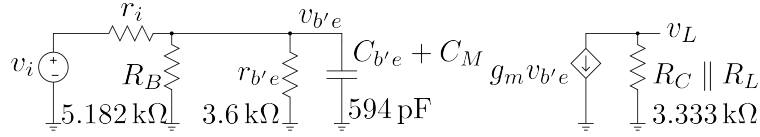
حاصل ہوتا ہے۔ یوں بلند انقطاعی تعدد

$$f_H = \frac{1}{2\pi \times 95.5 \times 594 \times 10^{-12}} = 2.8 \text{ MHz}$$

اور درمیانی تعدد پر افزائش

$$A_v = \frac{v_L}{v_i} = -3333 \times 0.0416 \times \frac{\frac{3600 \times 5182}{3600 + 5182}}{\frac{3600 \times 5182}{3600 + 5182} + 100} = -132 \frac{\text{V}}{\text{V}}$$

مندرجہ بالا دو مساوات سے آپ دیکھ سکتے ہیں کہ بیس مشترک ایمپلیفائر کی بلند انقطاعی تعدد ایمٹر مشترک ایمپلیفائر کے بلند انقطاعی تعدد سے تقریباً سوا چار گنا زیادہ ہے۔



شکل 6.48: میسر مشترک ایمپلیفائر کے انتظامی تعدد حاصل کرنے کے لئے درکار مساوی دور

## 6.14 کیسکوڈ ایمپلیفائر

ایمپلیفائر کے بلند تعدد سے رد عمل پر غور کے دوران یہ حقیقت سامنے آئی کہ اگرچہ  $C_{b'e}$  کی قیمت نہایت کم لیکن ملر کیپیسٹر<sup>38</sup> کی وجہ سے بلند انتظامی نقطہ تعین کرنے میں اس کا کردار نہایت اہم ہے۔ ٹرانزسٹر ایمپلیفائر بلند انتظامی نقطہ سے کم تعدد کے اشارات کو بڑھاتا ہے۔ یوں ہم چاہیں گے کہ یہ نقطہ بلند سے بلند تر تعدد پر پایا جائے۔ اس حصے میں کیسکوڈ ایمپلیفائر<sup>39</sup> پر غور کیا جائے گا جس میں ملر کیپیسٹر کی قیمت کم سے کم ہونے کی بنا پر زیادہ سے زیادہ تعدد پر بلند تر انتظامی نقطہ حاصل ہوتا ہے۔<sup>40</sup>

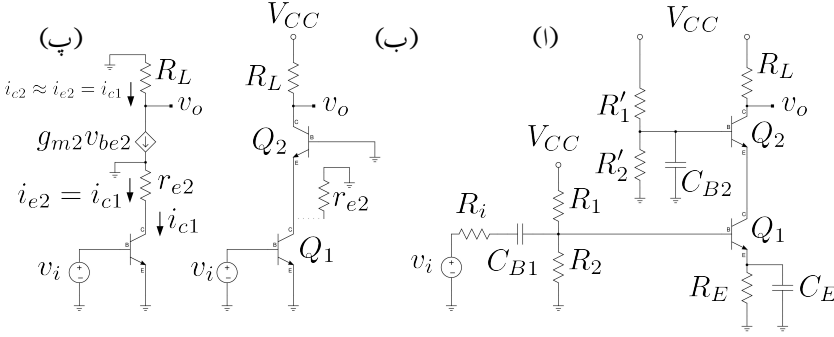
شکل 6.49 الف میں کیسکوڈ ایمپلیفائر دکھایا گیا ہے۔  $Q_1$  اور اس کے ساتھ منسلک  $R_1, R_2, R_E$  اور  $C_E$  مل کر مشترکہ میسر طرز کا ایمپلیفائر بناتے ہیں جسے کیپیسٹر  $C_{B1}$  کے ذریعہ داخلی اشارہ  $v_i$  فراہم کیا گیا ہے۔  $R_i$  داخلی اشارہ فراہم کرنے والے کی مزاحمت ہے۔ عام صورت میں  $Q_1$  کے کلکٹر پر برقی بوجھ  $R_L$  لادا جاتا ہے لیکن کیسکوڈ میں ایسا نہیں کیا جاتا۔ کیسکوڈ میں  $Q_2$  بطور برقی بوجھ کردار ادا کرتا ہے۔  $Q_2$  کے بیس پر بیرونی کیپیسٹر  $C_{B2}$  کا کردار نہایت اہم ہے۔ درکار تعدد پر  $C_{B2}$  بطور قصر دور کام کرتے ہوئے  $Q_2$  کے بیس کو برقی زمین پر رکھتا ہے۔  $Q_2$  اور اس کے ساتھ منسلک  $R'_1, R'_2$  اور  $C_{B2}$  مل کر مشترکہ بیس طرز کا ایمپلیفائر بناتے ہیں۔

کیسکوڈ کی بلند انتظامی تعدد اس میں پائے جانے والے  $Q_1$  پر مبنی مشترکہ میسر طرز کے ایمپلیفائر اور  $Q_2$  پر مبنی مشترکہ بیس طرز کے ایمپلیفائر کی بلند انتظامی تعدد پر منحصر ہوگی۔ مساوات 6.62 اور مساوات 6.69 ان ایمپلیفائر کی قصر دور بلند تر انتظامی تعدد  $\omega_\beta$  اور  $\omega_\alpha$  دیتے ہیں جن کے تحت  $\omega_\alpha = \beta\omega_\beta = \omega_T$  کے برابر ہے جہاں  $\omega_\beta$  مشترکہ میسر طرز کے ایمپلیفائر کی قصر دور بلند انتظامی تعدد جبکہ  $\omega_\alpha$  مشترکہ بیس طرز

<sup>38</sup> Miller capacitor

<sup>39</sup> فریڈرک وٹن ہنٹ نے اس ایمپلیفائر کو دریافت کیا اور اس کا نام کیسکوڈ ایمپلیفائر رکھا۔

<sup>40</sup> cascode amplifier



شکل 6.49: کیسکوڈ ایمپلیفائر

کے ایمپلیفائر کی قصر دور بلند انقطاعی تعدد ہے۔ چونکہ  $\omega_\alpha = \omega_T$  کے برابر ہے لہذا مشترکہ میں طرز کا ایمپلیفائر ٹرانزسٹر کے  $\omega_T$  تعدد تک قابل استعمال ہوتا ہے۔ اس کے برعکس مشترکہ ایمپٹر طرز کے ایمپلیفائر کی بلند انقطاعی تعدد  $C_M$  پر منحصر ہوتی ہے جو از خود اس پر لدے برقی بوجھ  $R_L$  پر منحصر ہوتا ہے۔ یوں کیسکوڈ ایمپلیفائر کی بلند تعددی انقطاعی تعدد اس میں پائے جانے والے مشترکہ ایمپٹر ایمپلیفائر کی بلند انقطاعی تعدد پر منحصر ہو گا۔ آئیں اب اس پر غور کریں۔

شکل 6.49 ب میں کیسکوڈ ایمپلیفائر کا مساوی باریک اشاراتی دور دکھایا گیا ہے جس میں ٹرانزسٹر مائل کرنے والے اجزاء نہیں دکھائے گئے تاکہ کیسکوڈ ایمپلیفائر کی بنیادی کارکردگی پر توجہ رہے۔ اس شکل میں  $Q_2$  کا مزاحمت  $r_{e2}$  بطور  $Q_1$  کے برقی بوجھ کردار ادا کرتا ہے۔  $r_{e2}$  کو  $Q_2$  کے باہر دکھاتے ہوئے اسے  $Q_1$  کے کلکٹر اور برقی زمین کے مابین دکھایا گیا ہے۔ شکل پ میں  $Q_2$  کا  $T$  ریاضی نمونے<sup>41</sup> استعمال کرتے ہوئے اس بات کی وضاحت کی گئی ہے کہ  $Q_1$  کے کلکٹر اور برقی زمین کے درمیان  $r_{e2}$  نسب ہے۔

$Q_1$  کا برقی بوجھ  $r_{e2}$  لیتے ہوئے

$$C_M = (1 + g_{m1}r_{e2}) C_{b'c} \quad (6.106)$$

حاصل ہوتا ہے۔ چونکہ  $Q_1$  اور  $Q_2$  میں برابر یک سمتی برقی رو  $I_{CQ}$  گزرتا ہے لہذا  $g_{m1} = g_{m2} = \frac{I_{CQ}}{V_T}$  اور  $r_{e1} = r_{e2} = \frac{1}{g_m} = r_e$  ہوں گے۔ آپ یہ بھی دیکھ سکتے ہیں کہ باریک اشاراتی برقی رو

<sup>41</sup>  $T$  ریاضی نمونے پر حصہ 3.14.1 میں تبصرہ کیا گیا ہے



لیتے ہوئے  $g_{m1}r_{e2} = 1$  یوں  $i_{c1} = i_{e2} \approx i_{c2}$

(6.107)

$$C_M = (1 + 1) C_{b'c} = 2C_{b'c}$$

حاصل ہوتا ہے جو کہ کم ترین ممکنہ ملر کپیسٹر ہے۔  $C_M$  کی قیمت کم سے کم ہونے کی بنا پر مشترکہ ایملر طرز کے ایملیفائر کی بلند انقطاعی تعدد زیادہ سے زیادہ تعدد پر حاصل ہوتی ہے۔

شکل 6.50 میں  $Q_1$  کا بلند تعددی ریاضی نمونہ استعمال کرتے ہوئے باریک اشاراتی مساوی دور دکھایا گیا ہے جس میں  $r_{e2}$  کو بطور برقی بوجھ دکھایا گیا ہے۔ متوازی جڑے  $R_1$  اور  $R_2$  کے کل مزاحمت کو  $R_B$  لکھتے ہیں یعنی

$$\frac{1}{R_B} = \frac{1}{R_1} + \frac{1}{R_2}$$

یوں متوازی جڑے مزاحمت  $R_1$ ،  $R_2$  اور  $r_{be}$  کی کل مقدار  $R_m$  یوں لکھی جاسکتی ہے۔

$$\begin{aligned} \frac{1}{R_m} &= \frac{1}{R_1} + \frac{1}{R_2} + \frac{1}{r_{be}} \\ &= \frac{1}{R_B} + \frac{1}{r_{be}} \end{aligned}$$

یعنی

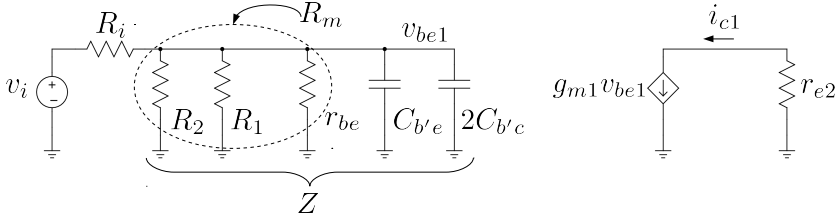
$$R_m = \frac{R_B r_{be}}{R_B + r_{be}}$$

اسی طرح متوازی جڑے  $R_m$  اور دو کپیسٹروں کی برقی رکاوٹ  $Z$  کو یوں لکھ سکتے ہیں۔

$$\frac{1}{Z} = j\omega (C_{b'e} + 2C_{b'c}) + \frac{1}{R_m}$$

ایملیفائر کی موصل نما افزائش  $G_M = \frac{i_c}{v_i}$  یوں حاصل ہوتی ہے۔

$$\begin{aligned} G_m &= \frac{i_{c1}}{v_i} = \left( \frac{i_c}{v_{be}} \right) \left( \frac{v_{be}}{v_i} \right) \\ &= g_m \left( \frac{Z}{R_i + Z} \right) \\ &= g_m \left[ \frac{Z}{Z \left( \frac{R_i}{Z} + 1 \right)} \right] \\ &= \frac{g_m}{\frac{R_i}{Z} + 1} \end{aligned}$$



شکل 6.50: کیسکوڈ ایمپلیفائر با یک اشاراتی تجزیہ

اس میں  $\frac{1}{Z}$  استعمال کرتے

$$G_m = \frac{g_m}{R_i \left[ j\omega (C_{b'e} + 2C_{b'c}) + \frac{1}{R_m} \right] + 1}$$

$$= \frac{g_m}{j\omega (C_{b'e} + 2C_{b'c}) R_i + \frac{R_i}{R_m} + 1}$$

حاصل ہوتا ہے۔ اس کے نچلے حصے سے  $\left( \frac{R_i}{R_m} + 1 \right)$  باہر لیتے ہوئے

$$G_m = \frac{g_m}{\left( \frac{R_i}{R_m} + 1 \right) \left[ j\omega \frac{(C_{b'e} + 2C_{b'c}) R_i}{\frac{R_i}{R_m} + 1} + 1 \right]}$$

حاصل ہوتا ہے جس میں

$$(6.108) \quad \omega_H = \frac{\frac{R_i}{R_m} + 1}{(C_{b'e} + 2C_{b'c}) R_i}$$

لکھتے ہوئے

$$(6.109) \quad G_m = \left( \frac{g_m}{\frac{R_i}{R_m} + 1} \right) \left( \frac{1}{j\frac{\omega}{\omega_H} + 1} \right)$$

حاصل ہوتا ہے۔

شکل 6.49 پ میں اس بات کی وضاحت کی گئی ہے کہ  $Q_2$  میں وہی برقی رو گزرتی ہے جو  $Q_1$  میں گزرتی ہے اور یوں  $i_{c2} = i_{c1}$  ہوتا ہے۔ اس حقیقت کو مد نظر رکھتے ہوئے کیسکوڈ ایمپلیفائر کے برقی دباؤ کی

افزائش

$$\begin{aligned} A_v &= \frac{v_o}{v_i} = \left( \frac{v_o}{i_{c2}} \right) \left( \frac{i_{c2}}{i_{c1}} \right) \left( \frac{i_{c1}}{v_i} \right) \\ &= \left( \frac{v_o}{i_{c2}} \right) \left( \frac{i_{c2}}{i_{c1}} \right) (G_m) \\ &= (-R_L) (1) (G_m) \end{aligned}$$

یعنی

$$\begin{aligned} A_v &= - \left( \frac{g_m R_L}{\frac{R_i}{R_m} + 1} \right) \left( \frac{1}{j \frac{\omega}{\omega_H} + 1} \right) \\ (6.110) \quad &= A_{vD} \left( \frac{1}{j \frac{\omega}{\omega_H} + 1} \right) \end{aligned}$$

حاصل ہوتی ہے جہاں  $A_{vD}$  درمیانی تعدد پر افزائش ہے جو

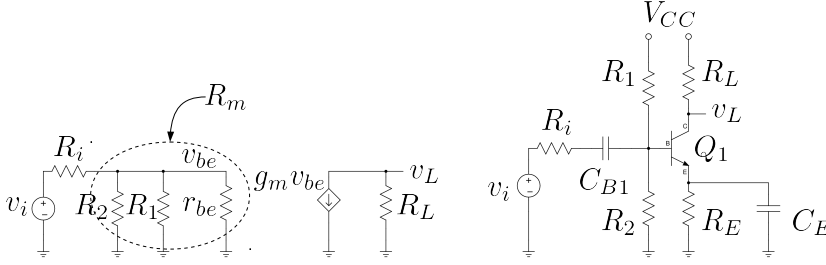
$$(6.111) \quad A_{vD} = - \left( \frac{g_m R_L}{\frac{R_i}{R_m} + 1} \right) = - \left( \frac{g_m R_L R_m}{R_i + R_m} \right)$$

کے برابر ہے۔ اس طرح کیسکوڈ ایملیفائر پوری برقی دباؤ کی افزائش دیتے ہوئے بلند انقطاعی تعدد کو بلند تر تعدد تک لی جاتا ہے۔  $\omega_H$  کو مزید

$$\begin{aligned} (6.112) \quad \omega_H &= \frac{R_i + R_m}{(C_{b'e} + 2C_{b'c}) R_i R_m} \\ &= \frac{1}{(C_{b'e} + 2C_{b'c}) \frac{R_i R_m}{R_i + R_m}} \end{aligned}$$

لکھا جاسکتا ہے جہاں کپیسٹر  $C_{b'e} + 2C_{b'c}$  کے متوازی کل مزاحمت  $R_i \parallel R_m$  دراصل متوازی جڑے  $R_i$ ،  $R_1$ ،  $R_2$  اور  $r_{be}$  کی کل مزاحمت ہے۔ آپ دیکھ سکتے ہیں کہ کیسکوڈ ایملیفائر کی بلند انقطاعی تعدد کو بھی  $\omega_H = \frac{1}{RC}$  کی شکل میں لکھا جاسکتا ہے جہاں  $C$  کل کپیسٹر اور  $R$  اس کے ساتھ متوازی جڑی کل مزاحمت ہے۔

شکل 6.49 الف میں  $Q_1$  مشترک ایملیفائر ہے۔ اگر  $Q_2$  کو دور سے نکال کر  $R_L$  کو  $Q_1$  کے کلکٹر کے ساتھ جوڑا جائے تو شکل 6.51 میں دکھایا گیا مشترک ایملیفائر حاصل ہو گا جس کا درمیانی تعدد پر



شکل 6.51: کیسکوڈ ایپلیٹائر کا مشترک ایسٹر حصہ

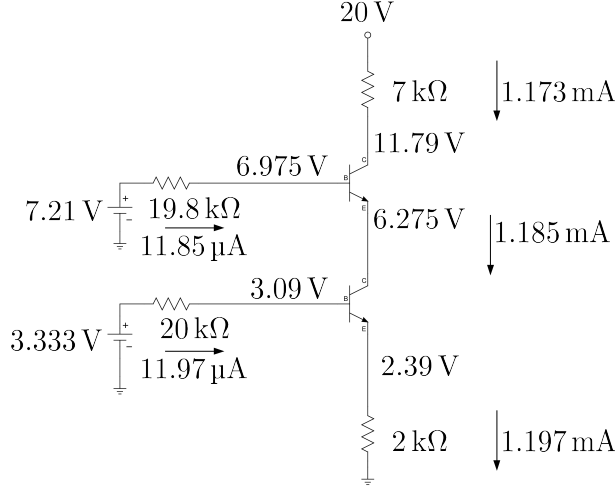
مساوی دور بھی اسی شکل میں دکھایا گیا ہے۔ آئیں زنجیری ضرب کی مدد سے شکل 6.51 کا  $A_v = \frac{v_L}{v_i}$  حاصل کریں۔

$$\begin{aligned}
 A_v &= \frac{v_L}{v_i} = \frac{v_L}{i_c} \times \frac{i_c}{v_{be1}} \times \frac{v_{be1}}{v_i} \\
 (6.113) \quad &= -R_L g_m \left( \frac{R_m}{R_i + R_m} \right) \\
 &= \frac{-g_m R_L R_i}{R_i + R_m}
 \end{aligned}$$

اس مساوات کا مساوات 6.111 کے ساتھ موازنہ کرنے سے ثابت ہوتا ہے کہ کیسکوڈ ایپلیٹائر کی درمیانی تعدد پر افزائش وہی ہے جو مشترک ایسٹر ایپلیٹائر کی ہے۔ کیسکوڈ ایپلیٹائر کی افادیت اس حقیقت میں ہے کہ اس کا بلند انتظامی تعدد کافی زیادہ تعدد پر پایا جاتا ہے۔

مثال 6.16: شکل 6.49 الف میں

$$\begin{aligned}
 R_1 &= 120 \text{ k}\Omega, & R_2 &= 24 \text{ k}\Omega, & R_E &= 2 \text{ k}\Omega \\
 R'_1 &= 55 \text{ k}\Omega, & R'_2 &= 31 \text{ k}\Omega, & R_i &= 0.1 \text{ k}\Omega \\
 C_{b'e} &= 30 \text{ pF}, & C_{b'c} &= 3 \text{ pF}, & R_L &= 7 \text{ k}\Omega \\
 \beta &= 99, & V_{CC} &= 20 \text{ V}, & V_A &= \infty
 \end{aligned}$$



شکل 6.52: کیسکوڈ ایملیفائر کے یک سمتی متغیرات

ہیں۔ کیسکوڈ ایملیفائر کے تمام یک سمتی متغیرات ٹھیک ٹھیک حاصل کریں۔

حل: شکل 6.52 میں اس کا یک سمتی دور دکھایا گیا ہے جہاں  $Q_1$  اور  $Q_2$  کے بیس جانب مسئلہ تھوڑے سے حاصل مساوی ادوار نسب کر دئے گئے ہیں۔

$Q_1$  کا برقی رو سیدھا سیدھا یوں حاصل ہو جاتا ہے

$$(6.114) \quad I_{E1} = \frac{3.333 - 0.7}{\frac{20000}{99+1} + 2000} = 1.197 \text{ mA}$$

جس سے

$$I_{C1} = \left( \frac{99}{99+1} \right) \times 1.197 \text{ mA} = 1.185 \text{ mA}$$

$$I_{B1} = \frac{1.197 \text{ mA}}{99+1} = 11.97 \mu\text{A}$$

حاصل ہوتے ہیں۔ یہ معلومات شکل پر دکھائی گئی ہیں۔

$Q_2$  کا برقی رد مساوات 6.114 کے طرز پر تب حاصل کیا جاسکتا ہے جب اس کے ایمر پر نسب مزاحمت معلوم ہو۔ یہاں ایسا کوئی مزاحمت نظر نہیں آ رہا۔ یہاں طریقہ سوچ کچھ یوں ہے۔ چونکہ  $Q_1$  کے کلکٹر پر  $1.185 \text{ mA}$  پایا جاتا ہے لہذا  $Q_2$  کا  $I_{E2}$  یہی ہو گا۔ اگر ایسا ہو تب

$$I_{C2} = \left( \frac{99}{99 + 1} \right) \times 1.185 \text{ mA}$$

$$I_{B2} = \frac{1.185 \text{ mA}}{99 + 1} = 11.85 \mu\text{A}$$

ہوں گے۔

آئیں اب حاصل کردہ برقی رد کو استعمال کرتے ہوئے مختلف مقامات پر برقی دباؤ حاصل کریں۔  $Q_1$  کے ایمر پر

$$V_{E1} = I_{E1} R_E = 1.197 \times 10^{-3} \times 2000 = 2.39 \text{ V}$$

پایا جائے گا۔ یوں

$$V_{B1} = V_{E1} + V_{BE1} = 2.39 + 0.7 = 3.09 \text{ V}$$

پایا جائے گا۔ یہی برقی دباؤ یوں بھی حاصل کیا جاسکتا ہے کہ بیس جانب  $20 \text{ k}\Omega$  مزاحمت میں  $11.97 \mu\text{A}$  گزرنے سے، قانون اوہم کے تحت، مزاحمت پر  $0.24 \text{ V}$  برقی دباؤ پیدا ہو گا یوں

$$V_{B1} = 3.33 - I_{B1} \times 20000 = 3.09 \text{ V}$$

اسی طریقے سے  $Q_2$  کے بیس پر

$$V_{B2} = 7.21 - 11.85 \times 10^{-6} \times 19800 = 6.975 \text{ V}$$

حاصل ہوتا ہے جس کو استعمال کرتے ہوئے

$$V_{E2} = V_{B2} - V_{BE2} = 6.975 - 0.7 = 6.275 \text{ V}$$

حاصل ہوتا ہے۔  $Q_2$  کے کلکٹر پر

$$V_{C2} = 20 - 1.173 \times 10^{-3} \times 7000 = 11.79 \text{ V}$$

حاصل ہوتے ہیں۔ ان تمام معلومات سے

$$V_{CE1} = V_{C1} - V_{E1} = 6.275 - 2.39 = 3.885 \text{ V}$$

$$V_{CE2} = V_{C2} - V_{E2} = 11.79 - 6.275 = 5.55 \text{ V}$$

حاصل ہوتے ہیں۔ چونکہ دونوں  $V_{CE}$  کے قیمتیں  $0.2V$  سے زیادہ ہے لہذا دونوں ٹرانزسٹر افزائندہ ہیں۔

یہ تمام معلومات حاصل کرتے وقت ہم تصور کر رہے تھے کہ دونوں ٹرانزسٹر افزائندہ ہیں۔ فرض کریں کہ  $R'_1$  اور  $R'_2$  کے قیمتیں یوں چنی جائیں کہ  $V_{E2}$  کی قیمت اتنی گر جائے کہ  $Q_1$  افزائندہ نہ رہ سکے تب یہ تمام حساب کتاب غلط ہو گا اور کیسکوڈ ایملیفائر صحیح کام نہیں کرے گا۔ تخلیق دیتے وقت اس بات کا خیال رکھا جاتا ہے کہ دونوں ٹرانزسٹر یک سمتی برقی رو گزارتے ہوئے افزائندہ رہیں۔

مثال 6.17: مثال 6.16 میں دئے معلومات کو استعمال کرتے ہوئے کیسکوڈ ایملیفائر کی درمیانی تعدد پر افزائش  $A_v$  اور بلند انقطاعی تعدد  $f_H$  حاصل کریں۔

حل:  $Q_1$  کا یک سمتی برقی رو  $I_{C1}$

$$V_{BB} = \frac{24000 \times 20}{24000 + 120000} = 3.333V$$

$$R_B = \frac{24000 \times 120000}{24000 + 120000} = 20k\Omega$$

$$I_{C1} \approx I_{E1} = \frac{3.333 - 0.7}{\frac{20000}{99+1} + 2000} = 1.197mA$$

حاصل ہوتا ہے۔ یہی یک سمتی برقی رو  $Q_2$  میں سے بھی گزرے گا۔ یوں

$$g_{m1} = g_{m2} = g_m = \frac{1.197 \times 10^{-3}}{25 \times 10^{-3}} = 47.88mS$$

$$r_{be1} = r_{be2} = r_{be} \approx \frac{99}{0.04788} = 2067\Omega$$

حاصل ہوتے ہیں۔ درمیانی تعدد پر افزائش مساوات 6.111 کی مدد سے حاصل کرتے ہیں جس میں  $R_m$  درکار ہو گا یعنی

$$\frac{1}{R_m} = \frac{1}{120000} + \frac{1}{24000} + \frac{1}{2067}$$

$$R_m = 1873\Omega$$

جسے استعمال کرتے ہوئے

$$A_{vD} = \frac{-0.04788 \times 7000 \times 1873}{100 + 1873} = -318 \frac{V}{V}$$

اور مساوات 6.112 کی مدد سے

$$\omega_H = \frac{1}{(30 \times 10^{-12} + 2 \times 3 \times 10^{-12}) \left( \frac{100 \times 1873}{100 + 1873} \right)} = 293 \frac{\text{Mrad}}{\text{s}}$$

$$f_H = \frac{293000000}{2\pi} = 46.6 \text{ MHz}$$

حاصل ہوتا ہے۔

اب تک اس باب میں ہم پست انقطاعی تعدد، بلند انقطاعی تعدد اور درمیانی تعدد پر افزائش کی مثالیں دیکھتے رہے ہیں۔ آئیں ان تینوں کو یکجا کرتے ہوئے اس کا بوڈا خط حاصل کریں۔

مثال 6.18: شکل 6.53 میں ٹرانزسٹر کا  $f_t = 200 \text{ MHz}$  اور  $C_{b'c} = 2 \text{ pF}$  ہے۔ اس ایپلیفائر کی پست اور بلند انقطاعی تعدد حاصل کریں۔ درمیانی تعدد پر افزائش حاصل کرتے ہوئے افزائش کے حتمی قیمت کا مکمل بوڈا خط کھینچیں۔

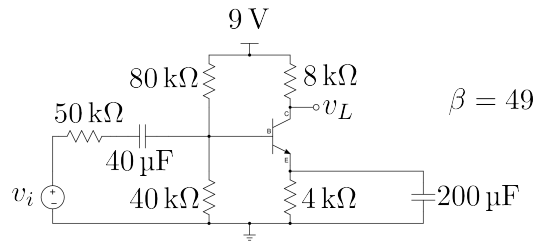
حل: یک سمتی تجزیہ سے  $V_{BB} = 3 \text{ V}$  اور  $R_B = 26.666 \Omega$  حاصل ہوتے ہیں جس سے  $I_C = 0.507 \text{ mA}$  حاصل ہوتا ہے۔ یوں  $g_m = 0.02 \text{ S}$ ،  $r_e = 50 \Omega$  اور  $r_{b'e} = 2500 \Omega$  ہیں۔

مساوات 6.67 کی مدد سے  $f_T$  کو استعمال کرتے ہوئے  $C_{b'e}$  یوں حاصل ہوتا ہے

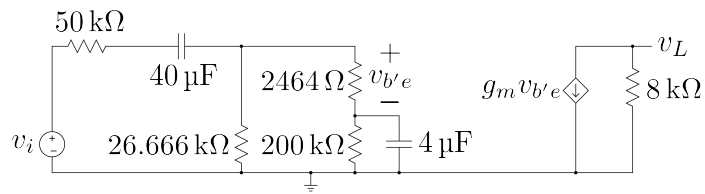
$$C_{b'e} = \frac{g_m}{2\pi f_T} - C_{b'c} = \frac{0.02}{2\pi \times 200 \times 10^6} - 2 \times 10^{-12} = 14 \text{ pF}$$

شکل 6.54 میں کم تعدد پر مساوی دور دکھایا گیا ہے جہاں  $R_E = 200 \text{ k}\Omega$  اور  $\beta + 1$   $C_E$   $\frac{C_E}{\beta + 1} = 4 \mu\text{F}$  استعمال کئے گئے۔ ٹرانزسٹر کے اندرونی کپیسٹروں کو کھلے دور تصور کیا گیا ہے۔ ہم تصور کرتے ہیں کہ پست انقطاعی





شکل 6.53: مشترک ایمر کا مکمل تعددی رد عمل



شکل 6.54: مشترک ایمر کا کم تعدد پر مساوی دور

تعدد  $C_E$  سے حاصل کیا گیا ہے اور اس تعدد پر  $40 \mu F$  کے کپیسٹر کو قصر دور تصور کرتے ہیں۔ یوں پست انقطاعی تعدد  $f_L$  کو  $4 \mu F$  اور اس کے متوازی کل مزاحمت  $R$  سے حاصل کرتے ہیں۔ اگر  $2464 \Omega$  کو نظر انداز کیا جائے تو

$$\frac{1}{R} = \frac{1}{50000} + \frac{1}{26666} + \frac{1}{200000}$$

$$R = 16 k\Omega$$

حاصل ہوتا ہے اور یوں

$$f_L = \frac{1}{2\pi RC} = \frac{1}{2\pi \times 16000 \times 4 \times 10^{-6}} = 2.5 \text{ Hz}$$

حاصل ہوتا ہے۔

شکل 6.55 میں زیادہ تعدد پر مساوی دور دکھایا گیا ہے جس میں بیرونی کپیسٹروں کو قصر دور تصور کیا گیا ہے۔ شکل میں

$$C_M = (1 + 0.02 \times 8000) 2 \times 10^{-12} = 322 \text{ pF}$$

لیتے ہوئے کل کپیسٹر  $C_{b'e} + C_M = 336 \text{ pF}$  استعمال کیا گیا ہے۔ کپیسٹر کے متوازی کل مزاحمت کو  $R$  کہتے ہوئے

$$\frac{1}{R} = \frac{1}{50000} + \frac{1}{26666} + \frac{1}{2464}$$

$$R = 2158 \Omega$$

حاصل ہوتا ہے۔ یوں بلند انقطاعی تعدد  $f_H$

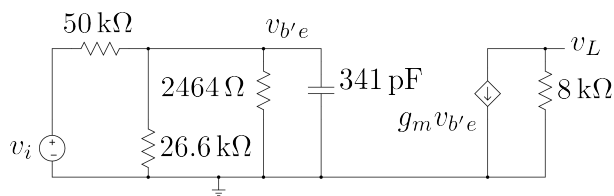
$$f_H = \frac{1}{2\pi RC} = \frac{1}{2\pi \times 2158 \times 336 \times 10^{-12}} = 219 \text{ kHz}$$

حاصل ہوتا ہے۔

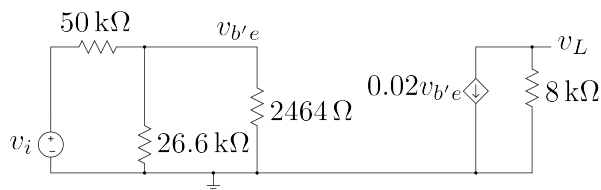
درمیانی تعدد پر شکل 6.56 حاصل ہوتا ہے جس میں متوازی جڑے  $26.666 k\Omega$  اور  $2.464 k\Omega$  کی کل مزاحمت کو  $2.255 k\Omega$  لیتے ہوئے

$$A_v = \frac{v_L}{v_i} = -8000 \times 0.02 \times \frac{2255}{2255 + 50000} = -6.9 \frac{V}{V}$$

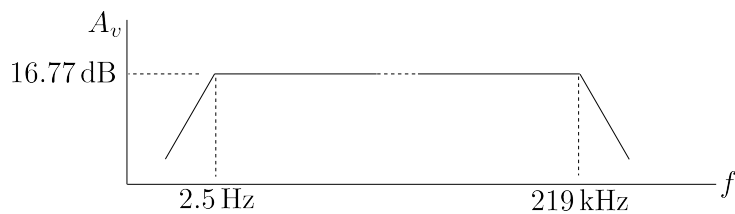
حاصل ہوتا ہے۔ ان تمام معلومات کو شکل 6.57 کے بوڈا خط میں دکھایا گیا ہے۔



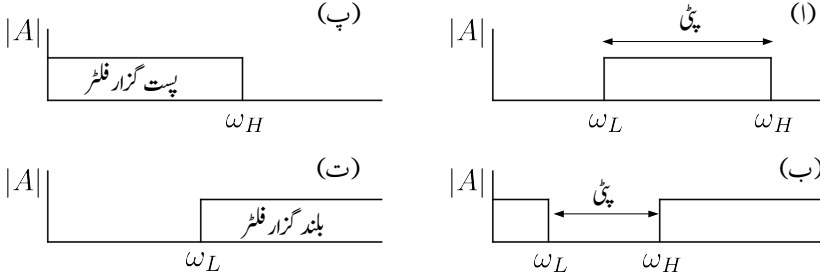
شکل 6.55: مشترک امیتر کا زیادہ تعداد پر مساوی دور



شکل 6.56: مشترک امیتر کا درمیانی تعداد پر مساوی دور



شکل 6.57: مشترک امیتر کا مکمل بوڈا خط



شکل 6.58: فلٹر یا چھلنی کے اقسام

## 6.15 فلٹر یا چھلنی

ایسا دور جو کسی خاص حدود کے درمیان تعدد رکھنے والے اشارات کو گزرنے دے کو پہنچ گدار فلٹر<sup>42</sup> یا پہنچ گدار چھلنی کہتے ہیں۔ اس کے برعکس ایک ایسا دور جو کسی خاص حدود کے درمیان تعدد رکھنے والے اشارات کو روک دے اور انہیں گزرنے نہ دے کو پہنچ روک فلٹر<sup>43</sup> یا پہنچ روک چھلنی کہتے ہیں۔ شکل 6.58 الف میں پہنچ گدار فلٹر، شکل ب میں پہنچ روک فلٹر، شکل پ میں پست گدار فلٹر جبکہ شکل ت میں بلند گدار فلٹر کی افزائش بالمقابل تعدد کے خط دکھائے گئے ہیں۔ حقیقت میں ایسے کامل فلٹر نہیں پائے جاتے اور حقیقی پست گدار فلٹر  $\omega_H$  سے قدر بلند تعدد کے اشارات کو بھی گزرتا ہے۔ فلٹر ایسے قلیوں سے حاصل کیا جاتا ہے جس کا خط شکل 6.58 کے قریب قریب ہو۔

حسابی ایمپلیفائر استعمال کرتے ہوئے ہر قسم کے فلٹر تخلیق دئے جاتے ہیں۔ ایسے فلٹروں میں بڑھوتے فلٹر کا اپنا ایک مقام ہے۔ انہیں اس پر غور کرتے ہیں۔

## 6.16 بڑھوت فلٹر (چھلنی)

کسی بھی  $n$  درجی تسلسل کو

$$s^n + c_{n-1}s^{n-1} + c_{n-2}s^{n-2} + \dots + c_2s^2 + c_1s + c_0$$

band pass filter<sup>42</sup>

band stop filter<sup>43</sup>

کی صورت میں لکھا جاسکتا ہے جہاں  $s = \sigma + j\omega$  مملوط تعدد جبکہ  $c_1, c_2, c_3$  وغیرہ، تسلسل کے ضربیہ مستقل ہیں۔ جفت  $n$  کی صورت میں یعنی  $n = 2, 4, 6, \dots$  کی صورت میں  $(s^2 + 2\zeta_m \omega_m s + \omega_m^2)$  طرز کے  $\frac{n}{2}$  دو درجی کلیات کو آپس میں ضرب دیتے ہوئے اسی تسلسل کو یوں لکھا جاسکتا ہے

$$(6.115) \quad (s^2 + 2\zeta_1 \omega_1 s + \omega_1^2) (s^2 + 2\zeta_2 \omega_2 s + \omega_2^2) \dots$$

جہاں  $\zeta_m$  اور  $\omega_m$  دو درجی کلیات کے مستقل ہیں۔  $\zeta_m$  کو تقصیری مستقل<sup>44</sup> اور  $\omega_m$  کو غیر تقصیری قدرتی تعدد<sup>45</sup> کہا جاتا ہے۔ طاق  $n$  یعنی  $n = 1, 3, 5, \dots$  کی صورت میں  $(s^2 + 2\zeta_m \omega_m s + \omega_m^2)$  طرز کے  $\frac{n-1}{2}$  دو درجی کلیات اور ایک عدد  $(s + \omega_0)$  کو آپس میں ضرب دیتے ہوئے اسی تسلسل کو یوں لکھا جاسکتا ہے۔

$$(6.116) \quad (s + \omega_0) (s^2 + 2\zeta_1 \omega_1 s + \omega_1^2) (s^2 + 2\zeta_2 \omega_2 s + \omega_2^2) \dots$$

بشردرت تسلسل<sup>46</sup>  $B_n(s)$  میں مساوات 6.115 اور مساوات 6.115 میں تمام  $\omega_m$  برابر ہوتے ہیں۔ ایسی صورت میں تمام  $\omega_m$  کو  $\omega_0$  لکھتے ہوئے بشردرت تسلسل کو یوں لکھا جاسکتا ہے

$$(6.117) \quad B_n(s) = (s^2 + 2\zeta_1 \omega_0 s + \omega_0^2) (s^2 + 2\zeta_2 \omega_0 s + \omega_0^2) \dots$$

$$B_n(s) = (s + \omega_0) (s^2 + 2\zeta_1 \omega_0 s + \omega_0^2) (s^2 + 2\zeta_2 \omega_0 s + \omega_0^2) \dots$$

جہاں پہلی تسلسل جفت  $n$  اور دوسری تسلسل طاق  $n$  کے لئے ہے۔

آپس بشردرت تسلسل میں  $s$  کی وہ قیمتیں حاصل کریں جن پر  $B_n(s)$  کی قیمت صفر ہو جاتی ہے۔  $s$  کی یہ قیمتیں تسلسل کے صفر<sup>47</sup> کہلاتے ہیں۔

$s + \omega_0 = 0$  سے  $s = -\omega_0$  حاصل ہوتا ہے۔ شکل 6.59 الف میں مملوط سطح<sup>48</sup> پر اس نقطے کو دکھایا گیا ہے۔ مملوط سطح کے افقی محور پر حقیقی اعداد جبکہ اس کے عمودی محور پر خیالی اعداد پائے جاتے ہیں۔ یوں  $s = \sigma + j\omega$  لکھتے ہوئے  $\sigma$  کو افقی جبکہ  $j\omega$  کو عمودی محور پر رکھا جائے گا۔

<sup>44</sup>damping constant

<sup>45</sup>undamped natural frequency

<sup>46</sup>Butterworth

<sup>47</sup>zeros

<sup>48</sup>complex plane

دو درجی کلیات

$$(6.118) \quad s^2 + 2\zeta_m \omega_0 s + \omega_0^2 = 0$$

سے

$$(6.119) \quad \begin{aligned} s_1 &= s_m = -\zeta_m \omega_0 + j\omega_0 \sqrt{1 - \zeta_m^2} \\ s_2 &= s_m^* = -\zeta_m \omega_0 - j\omega_0 \sqrt{1 - \zeta_m^2} \end{aligned}$$

صفر حاصل ہوتے ہیں۔ آپ دیکھ سکتے ہیں کہ کسی بھی دو درجی کلیہ سے دو صفر حاصل ہوتے ہیں جو  $-\alpha \mp j\beta$  کے طرز کے ہوتے ہیں۔ اسی لئے انہیں  $s_m$  اور  $s_m^*$  لکھا گیا ہے۔ شکل 6.59 ب میں ان صفروں کو دکھایا گیا ہے۔ آپ دیکھ سکتے ہیں کہ دونوں صفر عمودی محور کے بائیں جانب پائے جاتے ہیں۔ ایک صفر افقی محور کے اوپر جانب جبکہ دوسرا صفر محور کے نیچے جانب پایا جاتا ہے۔ دونوں افقی محور سے برابر فاصلے پر پائے جاتے ہیں۔ یہ عمومی نتائج ہیں۔

$s_m$  اور  $s_m^*$  کی حتمی قیمت

$$(6.120) \quad |s_m| = |s_m^*| = \omega_0$$

حاصل ہوتی ہے۔ کسی بھی مخلوط عدد کو حقیقی اور خیالی اجزاء کی صورت میں لکھا جاسکتا ہے۔ اسی مخلوط عدد کو حتمی قیمت اور زاویے کی شکل میں بھی لکھا جاسکتا ہے۔ یوں  $s_m$  مخلوط عدد کو مثال بناتے ہوئے اسے دونوں طرح لکھتے ہیں۔

$$(6.121) \quad s_m = -\zeta_m \omega_0 + j\omega_0 \sqrt{1 - \zeta_m^2} = |s_m| \angle \theta$$

جہاں

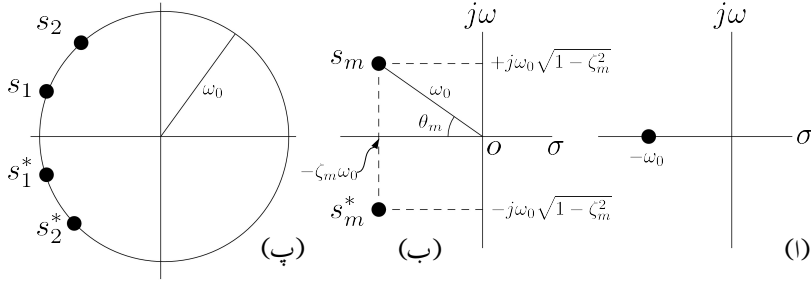
$$(6.122) \quad |s_m| = \sqrt{\zeta_m^2 \omega_0^2 + \omega_0^2 (1 - \zeta_m^2)} = \omega_0$$

کے برابر ہے۔ شکل 6.59 ب میں نقطہ  $s_m$  سے نقطہ  $o$  تک کا فاصلہ  $|s_m|$  یعنی اس کی حتمی قیمت دکھلاتا ہے۔ اس شکل میں زاویہ  $\theta$  دکھایا گیا ہے۔ شکل کو دیکھتے ہوئے

$$(6.123) \quad \cos \theta_m = \frac{\zeta_m \omega_0}{\omega_0} = \zeta_m$$

لکھا جاسکتا ہے۔

مساوات 6.122 کے تحت تمام صفروں کی حتمی قیمت  $\omega_0$  کے برابر ہے۔ یوں مخلوط سطح پر تمام صفر  $\omega_0$  رد اس کے دائرے پر پائے جائیں گے۔ اس حقیقت کو شکل 6.59 ب میں دکھایا گیا ہے۔ آپ دیکھ سکتے ہیں کہ  $s_1$  اور  $s_1^*$



شکل 6.59: مخلوط سطح پر بٹرورت تسلسل کے صفر

آپس میں افقی محور کے الٹ جانب برابر فاصلے پر ہیں۔ یہی کچھ  $s_2$  اور  $s_2^*$  کے لئے بھی درست ہے۔ بٹرورت تسلسل کے تمام صفر اسی دائرے پر عمودی محور کے بائیں جانب پائے جائیں گے۔

بٹرورت تسلسل کے کسی بھی دو درجی جزو کو

$$s^2 + s\zeta_m \omega_0 s + \omega_0^2 = \omega_0^2 \left[ \left( \frac{s}{\omega_0} \right)^2 + 2\zeta_m \left( \frac{s}{\omega_0} \right) + 1 \right]$$

کی صورت میں لکھا جاسکتا ہے۔ اگر مساوات 6.118 میں  $\omega_0 = 1$  رکھا جاتا تب شکل 6.59 پ میں دائرے کا رداس ایک کے برابر ہوتا جبکہ مساوات 6.123 اب بھی درست ثابت ہوتا۔ اکائی رداس کے اس دائرے کو بٹرورت دائرہ<sup>49</sup> کہا جائے گا۔

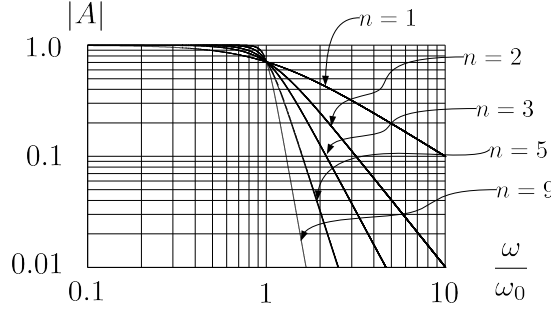
بٹرورت فلٹر<sup>50</sup> کا عمومی کلیہ

$$(6.124) \quad A(s) = \frac{A_0}{B_n(s)}$$

ہے۔ اس مساوات کی حتمی قیمت نہایت سادہ شکل رکھتی ہے۔

$$(6.125) \quad |A(s)| = \frac{|A_0|}{\sqrt{1 + \left( \frac{\omega}{\omega_0} \right)^{2n}}}$$

Butterworth circle<sup>49</sup>  
Butterworth filter<sup>50</sup>



شکل 6.60: بٹورت پست گزار چھلنی

جدول 6.1: بٹورت تسلسل

$n$	$B_n(s)$
1	$(s + 1)$
2	$(s^2 + 1.414s + 1)$
3	$(s + 1)(s^2 + s + 1)$
4	$(s^2 + 0.765s + 1)(s^2 + 1.848s + 1)$
5	$(s + 1)(s^2 + 0.618s + 1)(s^2 + 1.618s + 1)$
6	$(s^2 + 0.518s + 1)(s^2 + 1.414s + 1)(s^2 + 1.932s + 1)$

$|A_0| = 1$  لیتے ہوئے  $|A(s)|$  کے خط کو  $n$  کی مختلف قیمتوں کے لئے شکل 6.60 میں کھینچا گیا ہے۔ آپ دیکھ سکتے ہیں کہ  $n$  کی تمام قیمتوں کے لئے  $|A|$  کی قیمت  $\omega_0$  تعدد پر 3 dB گھٹ جاتی ہے۔ ساتھ ہی ساتھ یہ حقیقت بھی واضح ہے کہ  $n$  کی قیمت بڑھانے سے شکل 6.60 کی صورت شکل 6.58 پ کے قریب تر ہوتی جاتی ہے۔

$\omega_0 = 1$  کی صورت میں بٹورت کے تسلسل کو جدول 6.1 میں پیش کیا گیا ہے۔ طاق  $n$  کی صورت میں بٹورت تسلسل میں  $(s + 1)$  ضرور پایا جاتا ہے جبکہ ہفت  $n$  کی صورت میں صرف دو درجی <sup>51</sup> اجزاء پائے جاتے ہیں۔

quadratic<sup>51</sup>



مثال 6.19: جدول 6.1 میں  $n = 2$  کے لئے  $|B_n(s)|$  حاصل کرتے ہوئے مساوات 6.125 ثابت کریں۔

حل: جدول میں  $\omega_0 = 1$  لیتے ہوئے  $n = 2$  کے لئے بٹر ورت تسلسل

$$B_2(s) = s^2 + 1.414s + 1$$

دیا گیا ہے۔  $s = j\omega$  استعمال کرتے ہوئے

$$\begin{aligned} B_2(s) &= (j\omega)^2 + 1.414j\omega + 1 \\ &= -\omega^2 + 1.414j\omega + 1 \\ &= 1 - \omega^2 + j1.414\omega \end{aligned}$$

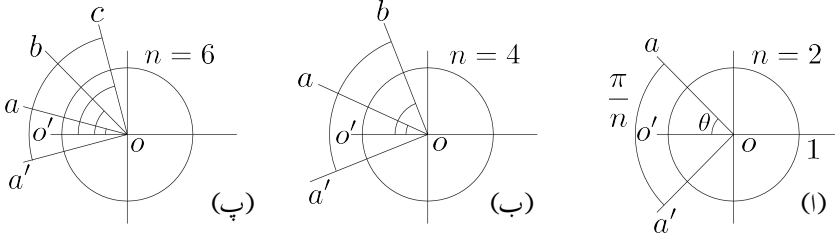
حاصل ہوتا ہے جس سے

$$\begin{aligned} |B_2(s)| &= \sqrt{(1 - \omega^2)^2 + (1.414\omega)^2} \\ &= \sqrt{1 + \omega^4 - 2\omega^2 + 2\omega^2} \\ &= \sqrt{1 + \omega^4} \end{aligned}$$

حاصل ہوتا ہے۔

بٹر ورت تسلسل میں  $\omega_0 = 1$  لیتے ہوئے دو درجی اجزاء کو  $(s^2 + 2\zeta s + 1)$  لکھا جاسکتا ہے جہاں  $\zeta$  کو بٹر ورت دائرے سے حاصل کیا جاسکتا ہے۔ شکل 6.61 میں بٹر ورت دائرے سے جفت  $n$  کی صورت میں  $\zeta$  کا حصول دکھایا گیا ہے۔ بٹر ورت دائرے کا رداس  $^{52}$  ایک کے برابر ہے۔ جفت  $n$  کی صورت میں اس دائرے پر زاویہ  $\angle aoa'$  کھینچا جاتا ہے جہاں یہ زاویہ  $\frac{\pi}{n}$  کے برابر ہوتا ہے۔ یوں  $n = 2$  کی صورت میں اس دائرے پر  $\frac{\pi}{2}$  یعنی 90 کا زاویہ کھینچا جائے گا۔ اس زاویے کو یوں کھینچا جاتا ہے کہ  $\angle a'oo' = \angle aoo'$  ہوں۔ شکل 6.61 الف میں ایسا کیا گیا ہے۔  $\angle aoo'$  کو  $\theta$  لکھتے ہوئے  $\zeta$  کو

$$(6.126) \quad \zeta = \cos \theta$$



شکل 6.61: جفت بٹورت دائرہ

سے حاصل کیا جاتا ہے۔ یوں  $n = 2$  کی صورت میں

$$\zeta = \cos 45 = 0.7071$$

حاصل ہوتا ہے اور بٹورت کلیہ

$$s^2 + 2\zeta s + 1 = s^2 + 1.4142s + 1$$

صورت اختیار کر لیا جو جدول 6.1 کے عین مطابق ہے۔

شکل 6.61 ب میں  $n = 4$  ہے۔ یوں  $45 = \frac{\pi}{4} = \angle a o a'$  ہو گا جہاں  $\angle a' o o' = \angle a o o'$  ہی رکھے گئے ہیں۔  $n = 4$  کی صورت میں بٹورت کلیے میں دو درجی اجزاء دو مرتبہ پائے جاتے ہیں۔ یوں ایک اضافی زاویہ  $\angle a o b = 45$  بھی کھینچا جاتا ہے۔ یوں

$$\theta_1 = \angle a o o' = 22.5$$

$$\theta_2 = \angle b o o' = 67.5$$

ہوں گے جن سے

$$\zeta_1 = \cos 22.5 = 0.9239$$

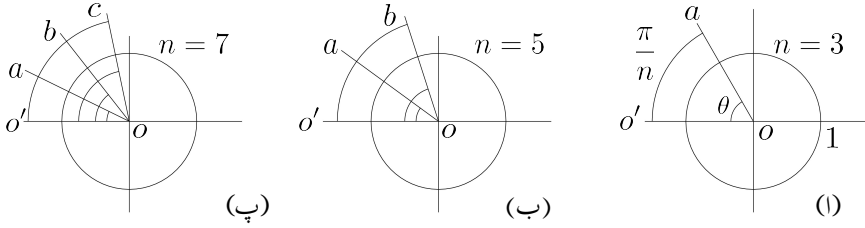
$$\zeta_2 = \cos 67.5 = 0.3827$$

حاصل ہوتے ہیں لہذا بٹورت کلیہ

$$(s^2 + 2 \times 0.9239 \times s + 1) (s^2 + 2 \times 0.3827s + 1)$$

یعنی

$$(s^2 + 1.848s + 1) (s^2 + 0.765s + 1)$$



شکل 6.62: طاق بٹرورت دائرہ

ہوگا۔ شکل 6.62 میں طاق  $n$  کی صورت میں  $\theta$  کا حصول دکھایا گیا ہے۔ شکل الف میں  $n = 3$  کے لئے حل کیا گیا ہے جہاں  $\angle aoo'$  کا زاویہ  $\frac{\pi}{n}$  یعنی  $60^\circ$  کا کھینچا گیا ہے۔  $\theta = \angle aoo'$  لیتے ہوئے

$$\zeta = \cos 60 = 0.5$$

حاصل ہوتا ہے۔ طاق بٹرورت کلیے میں  $(s+1)$  کا اضافی جزو پایا جاتا ہے لہذا  $n = 3$  کی صورت میں بٹرورت کلیہ

$$(s+1) (s^2 + 2 \times 0.5 \times s + 1)$$

یعنی

$$(s+1) (s^2 + s + 1)$$

ہوگا۔  $n = 5$  کی صورت میں  $\angle aoo' = \frac{\pi}{5}$  یعنی  $36^\circ$  کھینچنے کے بعد  $\angle boa$  بھی  $36^\circ$  کھینچیں۔ یوں

$$\theta_1 = \angle aoo'$$

$$\theta_2 = \angle boo'$$

ہوں گے۔

جدول 6.1 میں  $\omega_0 \neq 1$  لیتے ہوئے رتبہ اول بٹرورت فلٹر کے کلیہ کو

$$(6.127) \quad \frac{A(s)}{A_0} = \frac{1}{\left(\frac{s}{\omega_0}\right) + 1}$$

جبکہ دو رتبی بٹر ورت فلٹر کے کلیہ کو

$$(6.128) \quad \frac{A(s)}{A_0} = \frac{1}{\left(\frac{s}{\omega_0}\right)^2 + 2\zeta\left(\frac{s}{\omega_0}\right) + 1}$$

لکھا جاسکتا ہے۔

### 6.16.1 بٹر ورت فلٹر کا دور

شکل 6.63 الف میں رتبہ اول پست گزار بٹر ورت فلٹر دکھایا گیا ہے۔ اس کو دیکھتے ہوئے

$$v_k = \left( \frac{\frac{1}{sC}}{R + \frac{1}{sC}} \right) v_i = \frac{v_i}{sRC + 1}$$

$$v_o = \left( 1 + \frac{R_2}{R_1} \right) v_k$$

لکھا جاسکتا ہے جس سے

$$A(s) = \frac{v_o}{v_i} = \left( 1 + \frac{R_2}{R_1} \right) \left( \frac{1}{sRC + 1} \right)$$

حاصل ہوتا ہے۔ اس میں

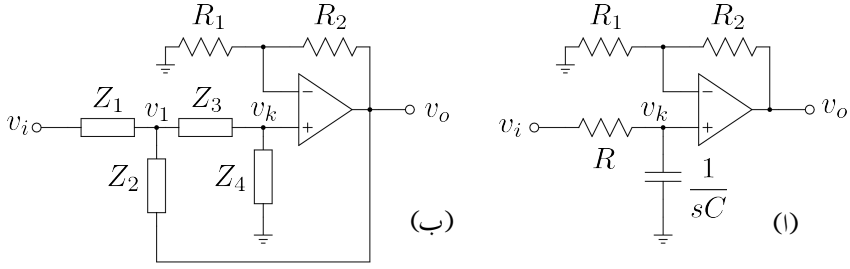
$$(6.129) \quad \omega_0 = \frac{1}{RC}$$

$$A_0 = 1 + \frac{R_2}{R_1}$$

لکھتے ہوئے

$$\frac{A(s)}{A_0} = \frac{1}{\left(\frac{s}{\omega_0}\right) + 1}$$

حاصل ہوتا ہے۔ اس کا مساوات 6.127 کے ساتھ سے موازنہ کریں جو یک رتبی بٹر ورت فلٹر کی مساوات ہے۔ آپ دیکھ سکتے ہیں کہ شکل 6.63 الف یک رتبی بٹر ورت فلٹر ہے۔ R اور C کی جگہیں آپس میں تبدیل کرنے سے یک



شکل 6.63: بٹرورت فلٹر

رتبی بلند گزار بٹرورت فلٹر حاصل ہوتا ہے۔ یک رتبی بٹرورت فلٹر میں  $A_0$  کی قیمت کچھ بھی رکھی جاسکتی ہے۔ عموماً  $A_0$  کو استعمال کرتے ہوئے اشارہ بڑھایا جاتا ہے۔

انہیں شکل 6.63 ب میں دئے دو رتبی بٹرورت فلٹر کو حل کریں۔ جوڑ  $v_1$  پر کرخوف کے قانون برائے برقی رو کی مدد سے

$$\frac{v_1 - v_i}{Z_1} + \frac{v_1}{Z_3 + Z_4} + \frac{v_1 - v_o}{Z_2} = 0$$

لکھا جاسکتا ہے جبکہ کرخوف کے قانون برائے برقی دباؤ کی مدد سے

$$v_k = \left( \frac{Z_4}{Z_3 + Z_4} \right) v_1$$

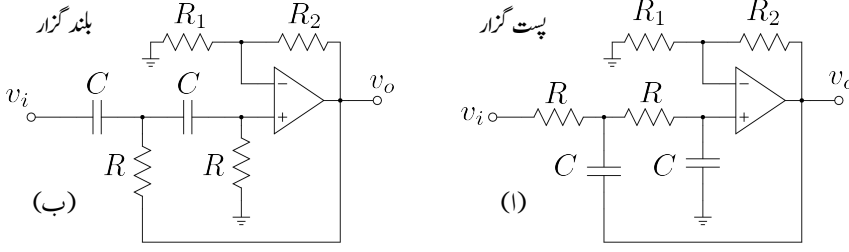
لکھا جاسکتا ہے۔ مثبت ایمپلیفائر کے لئے

$$v_o = \left( 1 + \frac{R_2}{R_1} \right) v_k = A_0 v_k$$

لکھا جاسکتا ہے۔ ان تینوں مساوات کو حل کرنے سے

$$(6.130) \quad A(s) = \frac{v_o}{v_i} = \frac{A_0 Z_2 Z_4}{Z_2 (Z_1 + Z_3 + Z_4) + Z_1 Z_3 + Z_1 Z_4 (1 - A_0)}$$

حاصل ہوتا ہے۔ پست گزار فلٹر کی صورت میں  $Z_1$  اور  $Z_3$  مزاحمت جبکہ  $Z_2$  اور  $Z_4$  کپیسٹر ہوتے ہیں۔ ایسا دور شکل 6.64 الف میں دکھایا گیا ہے۔ اس کے برعکس بلند گزار فلٹر میں  $Z_1$  اور  $Z_3$  کپیسٹر جبکہ  $Z_2$  اور  $Z_4$  مزاحمت ہوتے ہیں۔ شکل 6.64 ب میں بلند گزار فلٹر دکھایا گیا ہے۔



شکل 6.64: بٹرورت پست گزار اور بلند گزار فلٹر

شکل 6.64 الف کے لئے مساوات 6.130 درج ذیل دیتی ہے۔

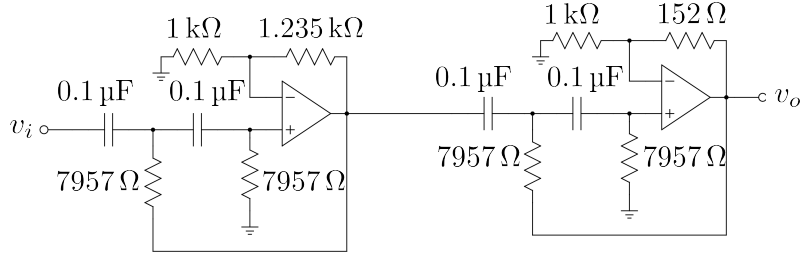
$$(6.131) \quad A(s) = \frac{A_0 \left( \frac{1}{RC} \right)^2}{s^2 + \left( \frac{3-A_0}{RC} \right) s + \left( \frac{1}{RC} \right)^2}$$

مساوات 6.131 کا مساوات 6.128 کے ساتھ موازنہ کرتے ہوئے

$$(6.132) \quad \begin{aligned} \omega_0 &= \frac{1}{RC} \\ A_0 &= 3 - 2\zeta \end{aligned}$$

حاصل ہوتے ہیں۔

ان معلومات کے ساتھ اب ہم بٹرورت فلٹر تخلیق دے سکتے ہیں۔ RC کو درکار  $\frac{1}{\omega_0}$  کے برابر رکھا جاتا ہے جہاں پست گزار فلٹر کی صورت میں یہ  $\omega_H$  جبکہ بلند گزار فلٹر کی صورت میں  $\omega_0 = \omega_L$  کے برابر ہو گا۔ جفت  $n$  کی صورت میں شکل 6.64 الف طرز کے  $\frac{n}{2}$  کڑیاں استعمال کرتے ہوئے زنجیری ایسیلفٹائر بنایا جاتا ہے۔ جدول 6.1 سے مطلوبہ دو درجی کلیات کے ج حاصل کئے جاتے ہیں۔ ہر ج کے لئے ایک کڑی تخلیق دی جاتی ہے۔ طاق  $n$  کی صورت میں شکل 6.64 الف کے طرز پر  $\frac{n-1}{2}$  کڑیوں کے علاوہ شکل 6.63 الف کے طرز پر اضافی کڑی بھی استعمال کی جاتی ہے۔ اگرچہ یہ ضروری نہیں کہ تمام کڑیوں میں بالکل یکساں قیمتوں کے مزاحمت اور کپیسٹرز نسب کئے جائیں، حقیقت میں ایسا ہی کیا جاتا ہے اور یوں تمام کڑیاں بالکل یکساں دکھتی ہیں۔



شکل 6.65: چار تہی بلند گزار بٹرورت فلٹر

مثال 6.20: ایک ایسا چار تہی بلند گزار بٹرورت فلٹر تخلیق دیں جس کی  $f_L = 200 \text{ Hz}$  ہو۔

حل: شکل 6.64 طرز کے دو کڑیاں زنجیری شکل میں جوڑ کر چار تہی بلند گزار فلٹر حاصل ہو گا۔ جدول 6.1 سے چار تہی فلٹر کے

$$\zeta_1 = \frac{0.765}{2} = 0.3825$$

$$\zeta_2 = \frac{1.848}{2} = 0.924$$

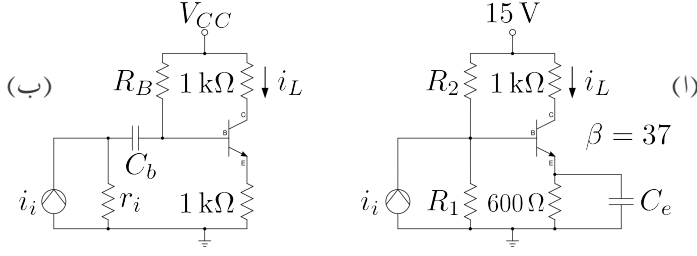
حاصل ہوتے ہیں۔ اس طرح مساوات 6.132 سے

$$A_{v1} = 3 - 0.765 = 2.235$$

$$A_{v2} = 3 - 1.848 = 1.152$$

چونکہ مثبت ایسپلیٹاؤر کی افزائش  $A_v = 1 + \frac{R_2}{R_1}$  کے برابر ہے لہذا پہلی کڑی کے لئے  $\frac{R_2}{R_1} = 1.235$  رکھنا ہو گا۔ اگر  $R_1 = 1 \text{ k}\Omega$  رکھا جائے تب  $R_2 = 1.235 \text{ k}\Omega$  ہو گا۔ اسی طرح دوسری کڑی کے لئے اگر پہلی مزاحمت  $1 \text{ k}\Omega$  رکھی جائے تو دوسری مزاحمت  $152 \Omega$  رکھنا ہو گا۔

اسی طرح  $f_L = 200 \text{ Hz}$  حاصل کرنے کی خاطر اگر  $C = 0.1 \mu\text{F}$  رکھا جائے تب مساوات 6.132 سے  $7957 \Omega$  حاصل ہوتا ہے۔ شکل 6.65 میں تخلیق کردہ فلٹر دکھایا گیا ہے۔ حاصل ہوتے ہیں۔



شکل 6.66

## سوالات

تمام سوالات میں  $(\beta \approx \beta + 1)$  لیا جاسکتا ہے۔

سوال 6.1: شکل 6.66 الف میں

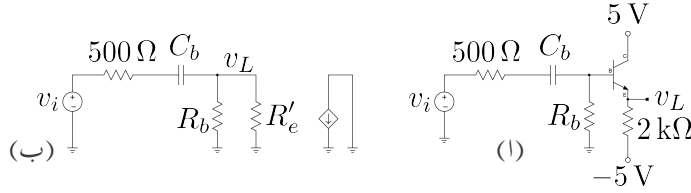
- $R_2$  اور  $R_1$  کی ایسی قیمتیں حاصل کریں کہ  $i_L$  کا جیٹ زیادہ سے زیادہ ممکن ہو۔
- پست انقطاعی نقطہ 5 Hz پر رکھنے کے لئے درکار کپیسٹر  $C_e$  کی قیمت حاصل کریں۔
- $A_i = \frac{i_L}{i_i}$  حاصل کریں اور اس کے حتمی قیمت کا بوڈا خط کھینچیں۔

جوابات:  $R_2 = 7.6 \text{ k}\Omega$ ،  $R_1 = 3.26 \text{ k}\Omega$ ،  $V_{BB} = 4.5 \text{ V}$ ،  $R_B = 2.2 \text{ k}\Omega$ ،  $I_{CQ} = 5.77 \text{ mA}$ ،  $C_e = 548 \text{ }\mu\text{F}$ ،  $r_e = 4.3 \text{ }\Omega$ ،

$$A_i = \left( \frac{\beta R_B}{R_B + r_{be}} \right) \frac{s + \frac{1}{R_E C_E}}{s + \frac{R_B + r_{be} + \beta R_E}{R_E C_E (R_B + r_{be})}} = 34.5 \left( \frac{s + 3.04}{s + 31.66} \right)$$

سوال 6.2: شکل 6.66 ب میں  $R_B = 200 \text{ k}\Omega$ ،  $r_i = 40 \text{ k}\Omega$  اور  $\beta = 137$  ہیں۔ پست انقطاعی نقطہ 60 Hz پر حاصل کرنے کے لئے درکار  $C_b$  کی قیمت کیا ہوگی؟  $A_i = \frac{i_L}{i_i}$  کی مساوات حاصل کرتے ہوئے اس کے حتمی قیمت کا بوڈا خط کھینچیں۔





شکل 6.67

جوابات:  $R_e \gg r_e$  کی بنا پر  $r_e$  کو نظر انداز کرتے ہوئے  $C_b = 21.8 \text{ nF}$  حاصل ہوتا ہے۔  $R_B \parallel (r_{be} + (\beta + 1)R_E)$  کو  $R'_B$  لکھتے ہوئے

$$A_i = \frac{r_i \parallel R'_B}{r_e + R_E} \left( \frac{s}{s + \frac{1}{(r_i + R'_B)C_b}} \right)$$

سوال 6.3: شکل 6.67 الف میں  $\beta = 70$  لیتے ہوئے  $R_b$  کی ایسی قیمت حاصل کریں کہ  $I_{CQ} = 2 \text{ mA}$  حاصل ہو۔ پست انقطاعی تعدد کو  $10 \text{ Hz}$  پر رکھنے کی خاطر درکار  $C_b$  حاصل کریں۔

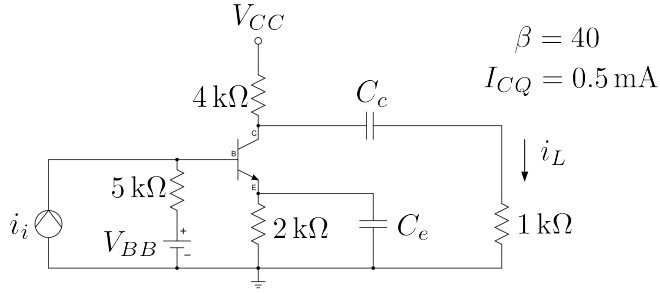
جوابات:  $I_{CQ} = \frac{0 - V_{BE} + 5}{\frac{R_b}{\beta + 1} + R_e}$  سے  $R_b = 10.65 \text{ k}\Omega$  حاصل ہوتا ہے۔ شکل ب میں باریک اشاراتی مساوی دور دکھایا گیا ہے جہاں  $R_e$  کو  $(\beta + 1)$  سے ضرب دیتے ہوئے ٹرانزسٹر کے بیس جانب منتقل کر کے  $R'_e$  کہا گیا ہے۔ اس شکل کو دیکھتے ہی  $\omega = \frac{1}{C_b(r_i + R_b \parallel R'_e)}$  لکھا جاسکتا ہے جس سے  $C_b = 1.529 \text{ }\mu\text{F}$  حاصل ہوتا ہے۔

سوال 6.4: شکل 6.66 ب میں  $R_e$  کے متوازی  $100 \text{ }\mu\text{F}$  کپیسٹر نسب کرتے ہوئے  $\frac{i_L}{i_i}$  کے حتمی قیمت کا بوڈا خط کھینچیں۔  $C_b = 10 \text{ }\mu\text{F}$ ،  $r_i = 200 \text{ k}\Omega$ ،  $R_B = 400 \text{ k}\Omega$ ،  $\beta = 99$  اور  $V_{CC} = 10 \text{ V}$  لیں۔

جواب:

$$A_i = \frac{-158s \left(1 + \frac{s}{10}\right)}{\left(1 + \frac{s}{0.355}\right) \left(1 + \frac{s}{17.65}\right)}$$

سوال 6.5: شکل 6.68 میں



شکل 6.68

- $A_i = \frac{i_o}{i_i}$  کی مساوات حاصل کریں۔  $r_{be}$  کو نظر انداز نہ کریں۔
- دونوں کپیسٹروں کی وہ قیمتیں دریافت کریں جن پر  $A_i$  کے دونوں قطب  $10 \text{ rad/s}$  پر پائے جائیں۔
- انفرانش  $A_i$  کے حتمی قیمت کا بوڈا خط کھینچیں۔

جوابات:

$$A_i = \frac{-R_c r_i \beta}{(R_c + R_L)(r_i + r_{be})} \frac{s(s + w_s)}{(s + w_{q1})(s + w_{q2})}$$

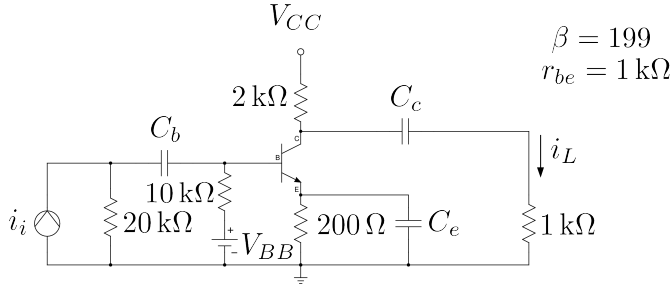
$$w_s = \frac{1}{R_e C_e}$$

$$w_{q1} = \frac{1}{(R_c + R_L) C_c}$$

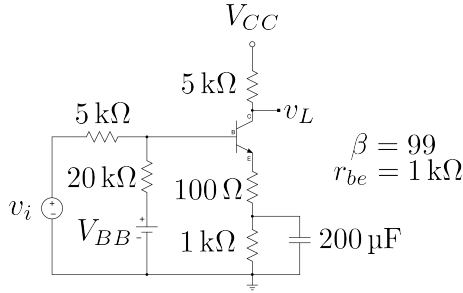
$$w_{q2} = \frac{1}{\left[ R_e \parallel \left( \frac{r_i + r_{be}}{\beta + 1} \right) \right] C_e}$$

$$r_{be} = \frac{\beta V_T}{I_{CQ}}$$

•  $C_e = 636 \mu\text{F}$  ،  $C_c = 20 \mu\text{F}$



شکل 6.69



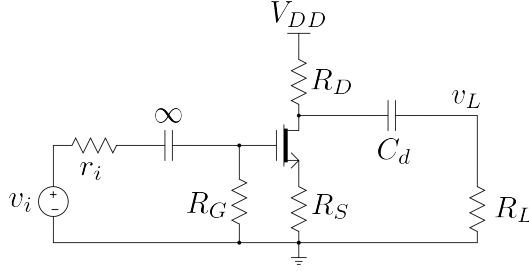
شکل 6.70

سوال 6.6: شکل 6.69 میں پست انقطاعی تعدد  $200 \text{ rad/s}$  رکھنے کی خاطر درکار  $C_e$  کو مثال 6.8 کے طرز پر حاصل کریں۔ بقایا دونوں کپیسٹروں کے قطب  $5 \text{ rad/s}$  پر رکھتے ہوئے ان کی بھی قیمتیں حاصل کریں۔ درمیانی تعدد پر افزائش حاصل کریں۔

جوابات:  $155 \mu\text{F}$ ,  $66.6 \mu\text{F}$ ,  $7.1 \mu\text{F}$ ,  $-138 \frac{\text{A}}{\text{A}}$

سوال 6.7: شکل 6.70 میں  $A_v = \frac{v_L}{v_i}$  حاصل کریں۔

جواب:  $A_v = \frac{-26.4(s+5)}{s+38.55}$



شکل 6.71

سوال 6.8: شکل 6.71 میں  $A_v = \frac{v_L}{v_i}$  حاصل کرتے ہوئے پست انقطاعی تعدد  $\omega_L$  کی مساوات حاصل کریں۔  $g_m = 4 \text{ mS}$  جبکہ  $r_o = 10 \text{ k}\Omega$ ،  $R_L = 100 \text{ k}\Omega$ ،  $R_D = 4.7 \text{ k}\Omega$ ،  $R_S = 1 \text{ k}\Omega$  لیتے ہوئے ڈرین کپیسٹر  $C_d$  کی وہ قیمت حاصل کریں جس پر  $f_L = 20 \text{ Hz}$  حاصل ہو۔

جوابات:  $C_d = 55 \text{ nF}$

$$\omega_L = \frac{1}{C_d \left[ R_L + (R_D \parallel r_o + (\mu + 1) R_S) \right]}$$

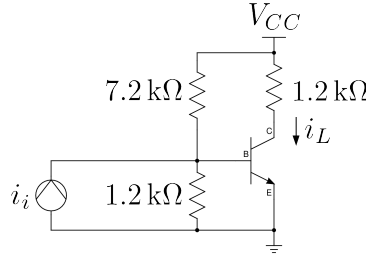
سوال 6.9: شکل 6.71 میں  $R_S$  کے متوازی لامحدود کپیسٹر نسب کرتے ہوئے سوال 6.8 کو دوبارہ حل کریں۔

جوابات:  $C_d = 77 \text{ nF}$

$$\omega_L = \frac{1}{C_d (R_L + R_D \parallel r_o)}$$

مندرجہ بالا دونوں سوالات کے نتائج کا مثال 6.9 میں حاصل  $C_S$  کے ساتھ موازنہ کرتے ہوئے آپ دیکھ سکتے ہیں کہ کسی بھی پست انقطاعی تعدد کے حصول کے لئے درکار ٹرانزسٹر کی طرح ماسفیٹ کا بھی سورس کپیسٹر زیادہ قیمت رکھتا ہے۔

سوال 6.10: شکل 6.72 میں  $\frac{i_L}{i_i} = 34 \text{ dB}$  اور بلند انقطاعی تعدد  $1.2 \text{ MHz}$  ناپا جاتا ہے۔ یک سمتی برقی رو  $I_{CQ} = 2 \text{ mA}$  ہے۔  $r_{bb'}$  اور  $C_{b'c}$  کو صفر تصور کرتے ہوئے  $\beta$ ،  $f_T$ ،  $r_{b'e}$  اور  $C_{b'e}$  حاصل کریں۔



شکل 6.72

جوابات:  $C_{b'e} = 1625 \text{ pF}$ ،  $r_{b'e} = 12.5 \Omega$ ،  $f_T = 155 \text{ MHz}$ ،  $\beta = 129$ ،  $g_m = 0.08 \text{ S}$ ،  $r_{bb'} = 0$  اور  $C_{b'c} = 5 \text{ pF}$ ،  $\beta = 100$ ،  $f_H = 414 \text{ kHz}$ ،  $A_{vD} = -5.9 \frac{\text{V}}{\text{V}}$

سوال 6.11: صفحہ 709 پر شکل 6.34 میں  $R_2 = R'_L = R_C = 1.2 \text{ k}\Omega$ ،  $R_S = R_1 = 12 \text{ k}\Omega$ ،  $I_{CQ} = 10 \text{ mA}$  اور  $10 \mu\text{F}$  تینوں کپیسٹرز کی  $f_T = 200 \text{ MHz}$ ،  $R_E = 100 \Omega$ ،  $C_{b'e} = 5 \text{ pF}$ ،  $\beta = 100$  اور  $r_{bb'} = 0$  ہیں۔ درمیانی تعدد کی  $A_{vD} = \frac{v_o}{v_s}$  اور بلند انقطاعی تعدد  $f_H$  حاصل کریں۔

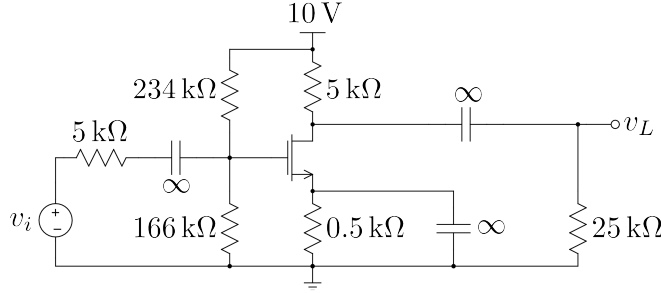
جوابات:  $f_H = 414 \text{ kHz}$ ،  $A_{vD} = -5.9 \frac{\text{V}}{\text{V}}$ ،  $g_m = 0.04 \text{ S}$ ،  $r_{b'e} = 253 \Omega$ ،  $R_{th} = 1 \text{ k}\Omega$ ،  $C_{b'e} = 318 \text{ pF}$ ،  $C_M = 1200 \text{ pF}$ ،  $f_H = 414 \text{ kHz}$ ،  $A_{vD} = -5.9 \frac{\text{V}}{\text{V}}$

سوال 6.12: سوال 6.11 میں  $C_{b'c} = 2 \text{ pF}$ ،  $\beta = 25$  اور  $I_{CQ} = 1 \text{ mA}$  تصور کرتے ہوئے  $f_H$  اور  $A_{vD}$  دوبارہ حاصل کریں۔ بقایا تمام معلوم جوں کے توں ہیں۔

جوابات:  $g_m = 0.04 \text{ S}$ ،  $C_{b'e} = 32 \text{ pF}$  اور  $C_M = 50 \text{ pF}$  ہیں۔  $r_{b'e} = 650 \Omega$  ہے جو کہ  $R_{th}$  سے بہت کم نہیں لہذا  $f_H$  کے لئے مساوات 6.84 استعمال کیا جائے گا۔ یوں  $f_H = 4.9 \text{ MHz}$  حاصل ہوتا ہے۔  $A_{vD} = -1.47 \frac{\text{V}}{\text{V}}$

سوال 6.13: ایک ماسفیٹ جس کا  $C_{gs} = 0.25 \text{ pF}$ ،  $C_{gd} = 0.02 \text{ pF}$ ،  $V_t = 1 \text{ V}$  اور  $k_n = 0.4 \frac{\text{mA}}{\text{V}^2}$  ہیں  $I_{DS} = 0.4 \text{ mA}$  پر چلایا جا رہا ہے۔ اس کی  $f_T$  حاصل کریں۔

جواب:  $333 \text{ MHz}$



شکل 6.73

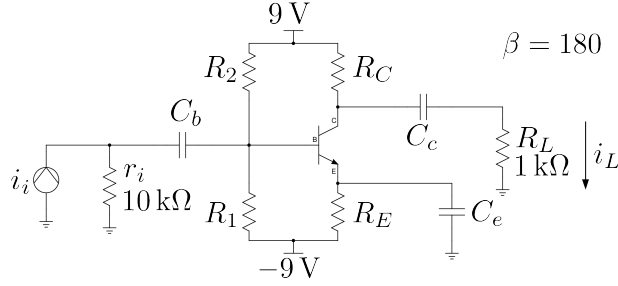
سوال 6.14: شکل 6.73 میں  $k_n = 1 \frac{\text{mA}}{\text{V}^2}$ ،  $V_t = 2\text{ V}$ ،  $C_{gs} = 1.2\text{ pF}$  اور  $C_{gd} = 0.12\text{ pF}$  ہیں۔ ملر کیپیسٹر،  $f_T$  اور  $A_v$  کا  $f_H$  حاصل کریں۔

جوابات:  $I_{DS} = 1.2\text{ mA}$ ،  $g_m = 1.55\text{ mS}$  اور  $C_M = 0.895\text{ pF}$  ہیں جبکہ  $f_T = 118\text{ MHz}$  اور  $f_H = 8.4\text{ MHz}$  ہیں۔

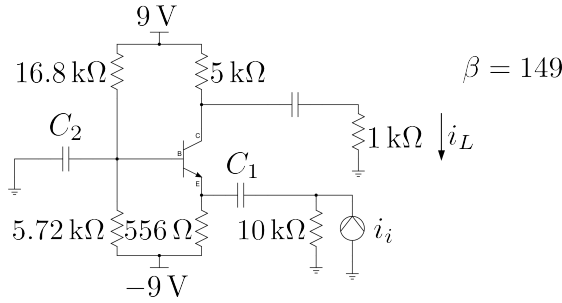
سوال 6.15: کیسکوڈ ایپلیٹنز کو شکل 6.49 میں دکھایا گیا ہے جس میں  $V_{CC} = 15\text{ V}$  اور  $\beta = 149$  ہیں۔  $R_E = 2.5\text{ k}\Omega$  رکھتے ہوئے  $R_1$  اور  $R_2$  یوں چنیں کہ  $I_{C1} = 0.5\text{ mA}$  ہو۔  $R'_1$  اور  $R'_2$  یوں چنیں کہ  $V_{CE1} = 2\text{ V}$  ہو۔  $R_{C2}$  یوں چنیں کہ  $V_{CE2} = 5\text{ V}$  حاصل ہو۔ ان قیمتوں کو استعمال کرتے ہوئے درمیانی تعدد پر افزائش  $A_v$  حاصل کریں۔

سوال 6.16: شکل 6.74 میں داخلی اشارے کی مزاحمت  $r_i = 10\text{ k}\Omega$  جبکہ بوجھ کی مزاحمت  $1\text{ k}\Omega$  ہے۔ زیادہ سے زیادہ  $A_i$  حاصل کرنے کے لئے یہ ضروری ہے کہ  $i_i$  کا زیادہ سے زیادہ حصہ ٹرانزسٹر کے بیس میں سے گزرے۔ اسی طرح خارجی جانب زیادہ سے زیادہ  $i_L$  تب حاصل ہو گا جب  $R_C \gg R_L$  ہو۔  $R_B = r_i$ ،  $R_C = 9R_E$  اور  $V_{CE} = 9\text{ V}$  رکھتے ہوئے تمام مزاحمت حاصل کریں۔  $C_c$  اور  $C_b$  کو ایسا چنیں کہ دونوں سے حاصل کونے  $2\text{ Hz}$  پر پائے جائیں جبکہ  $C_e$  کو  $20\text{ Hz}$  کے کونے کے لئے چنیں۔ درمیانی تعدد پر افزائش  $A_i = \frac{i_L}{i_i}$  حاصل کریں۔

جوابات:  $V_{BB} = 1.69\text{ V}$ ،  $I_C = 1.62\text{ mA}$ ،  $R_C = 5\text{ k}\Omega$ ،  $R_E = 556\text{ }\Omega$ ،  $R_B = 10\text{ k}\Omega$ ،  $R_1 = 24.7\text{ k}\Omega$  اور  $R_2 = 16.8\text{ k}\Omega$  ہیں۔  $C_e = 198\text{ }\mu\text{F}$ ،  $C_b = 15.9\text{ }\mu\text{F}$ ،  $C_c = 13.3\text{ }\mu\text{F}$  ہے۔  $A_i = -96.4 \frac{\text{A}}{\text{A}}$



شکل 6.74



شکل 6.75

سوال 6.17: سوال 6.16 میں استعمال شدہ ٹرانزسٹر کا  $f_T = 250 \text{ MHz}$  اور  $C_{b'c} = 5 \text{ pF}$  ہیں۔ بلند انتظامی تعدد حاصل کرتے ہوئے مکمل بوڈا خط کھینچیں اور اس پر پست انتظامی تعدد، بلند انتظامی تعدد اور درمیانی تعدد کی افزائش  $A_i$  واضح طور پر دکھائیں۔  $A_r = \frac{v_L}{i_i}$  حاصل کریں۔ ایسا کرنے کی خاطر  $\frac{v_L}{i_i} = \frac{v_L}{i_L} \times \frac{i_L}{i_i}$  یعنی  $A_i R_L$  لکھ کر حاصل کریں۔

جوابات:  $A_r = -96.4 \frac{\text{kV}}{\text{A}}$ ,  $f_H = 11.57 \text{ MHz}$ ,  $C_{b'e} = 631 \text{ pF}$

سوال 6.18: شکل 6.75 میں درمیانی تعدد پر  $A_i = \frac{i_L}{i_i}$  حاصل کریں۔ ٹرانزسٹر کا  $C_{b'c} = 5 \text{ pF}$  اور  $f_T = 250 \text{ MHz}$  ہیں۔ بلند انتظامی تعدد بھی حاصل کریں۔ بیرونی کپیسٹروں کی قیمت لامحدود تصور کریں۔

جوابات:  $f_{Hbc} = 32 \text{ MHz}$  ،  $f_{Hbe} = 46.7 \text{ MHz}$  ،  $C_{b'c} = 636 \text{ pF}$  ،  $A_i = 0.833 \frac{\text{A}}{\text{A}}$  ہیں  
 - یہ دونوں جوابات بہت قریب قریب ہیں تاہم ہم  $C_{b'c}$  سے پیدا  $32 \text{ MHz}$  کو بلند انقطاعی تعدد لے سکتے ہیں۔

سوال 6.19: شکل 6.61 کی مدد سے  $n = 6$  کی صورت میں تینوں  $k$  حاصل کرتے ہوئے بٹر ورت کلیہ لکھیں۔

جواب: جدول 6.1 میں جوابات دئے گئے ہیں۔

سوال 6.20: شکل 6.62 کی مدد سے  $n = 7$  کی صورت میں تینوں  $k$  حاصل کرتے ہوئے بٹر ورت کلیہ لکھیں۔

جواب: جدول 6.1 میں جوابات دئے گئے ہیں۔

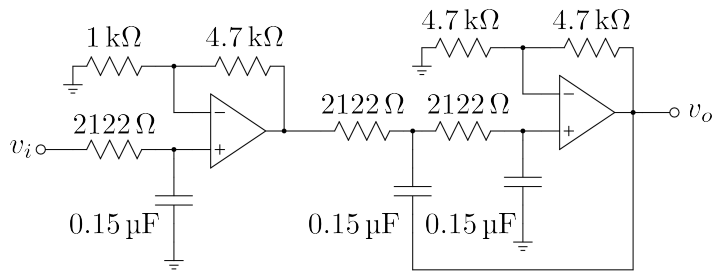
سوال 6.21: مساوات 6.130 حاصل کریں۔

سوال 6.22: مساوات 6.131 حاصل کریں۔

سوال 6.23:  $n = 3$  اور  $n = 4$  کے لئے مساوات 6.125 کو مثال 6.19 کے طرز پر ثابت کریں۔

سوال 6.24: شکل 6.76 میں بٹر ورت فلٹر دکھایا گیا ہے۔ اس کی پہچان کرتے ہوئے اس کے مختلف متغیرات حاصل کریں۔ جوابات: یہ تین رتبہ  $f_H = 500 \text{ Hz}$  کا پست گزار فلٹر ہے۔ پہلی کڑی  $\frac{V}{V}$  کی انفرانش بھی فراہم کرتی ہے۔





شکل 6.76: بٹرورت فلٹر کا سوال



## باب 7

### واپسی ادوار

عموماً نظام کے مستقبل کی کارکردگی اس کے موجودہ نتائج پر منحصر ہوتی ہے۔ ایسے نظام جو اپنی موجودہ کارکردگی کے نتائج کو دیکھتے ہوئے مستقبل کی کارروائی کا فیصلہ کرتے ہیں کو واپسی نظام<sup>1</sup> کہا جائے گا۔

انسانی جسم ازخود ایک واپسی نظام کی مثال ہے۔ میز پر پڑے قلم کو اٹھاتے وقت آپ ہاتھ اس کی جانب آگے بڑھاتے ہیں۔ آنکھیں آپ کو بتاتی ہیں کہ ہاتھ اور قلم کے مابین کتنا فاصلہ رہ گیا ہے۔ اس معلومات کو مد نظر رکھتے ہوئے آپ اپنے ہاتھ کو مزید آگے بڑھاتے ہیں حتیٰ کہ آپ کا ہاتھ قلم تک پہنچ جائے۔ اس پورے عمل میں ہر لمحہ ہاتھ کے موجودہ مقام کی خبر آپ کو ملتی رہی جس کو مد نظر رکھتے ہوئے ہاتھ کے اگلے لمحہ کی حرکت کا فیصلہ کیا گیا۔ کسی بھی واپسی نظام میں موجودہ نتائج حاصل کرنے کے ایک سے زیادہ ذرائع ممکن ہیں۔ اگر ہاتھ کے حرکت کی دوبارہ بات کی جائے تو قلم کو ایک مرتبہ دیکھنے کے بعد آپ آنکھیں بند کر کے بھی قلم کو اٹھا سکتے ہیں۔ ایسا کرنا یوں ممکن ہوتا ہے کہ بازو کا اعصابی نظام ہر لمحہ ہاتھ کے مختلف جوڑوں کے زاویوں کو ناپتا ہے۔ ذہن اس معلومات کو استعمال کرتے ہوئے یہ بتا سکتا ہے کہ ہاتھ کس مقام پر موجود ہے۔ کسی بھی واپسی نظام میں موجودہ نتائج کی خبر حاصل کرنے کی صلاحیت اور اس معلومات کو استعمال کرتے ہوئے اپنی مستقبل کی کارروائی کو تبدیل کرنے کی صلاحیت ہونا ضروری ہے۔

---

<sup>1</sup> feedback system

برقیات کے میدان میں واپسی ادوار نہایت اہم ہیں۔ ایسے ادوار نا صرف مہیا کردہ داخلی اشارہ بلکہ دور کے اپنے خارجی اشارے کو بھی مد نظر رکھتے ہوئے اگلے لمحہ کا خارجی اشارہ تعین کرتے ہیں۔ خارجی اشارے کے خبر کو واپسی اشارہ<sup>2</sup> کہا جائے گا۔ یہاں یہ بتلاتا چلوں کہ یہ ضروری نہیں کہ واپسی ادوار کو داخلی اشارہ ہر صورت مہیا کیا جائے۔ مرتعش<sup>3</sup> اس قسم کے ادوار کی ایک اہم قسم ہے جنہیں داخلی اشارہ درکار نہیں۔ مرتعش پر اگلے باب میں غور کیا جائے گا۔

## 7.1 ایمپلیفائر کی جماعت بندی

ایمپلیفائر کا داخلی اشارہ برقی دباؤ یا برقی رو ہو سکتا ہے۔ اسی طرح اس کا خارجی اشارہ برقی دباؤ یا برقی رو ہو سکتا ہے۔ یوں ایمپلیفائر کو چار ممکنہ جماعتوں میں تقسیم کیا جاسکتا ہے جنہیں جدول 7.1 میں دکھایا گیا ہے۔

جدول 7.1: ایمپلیفائر کی جماعت بندی

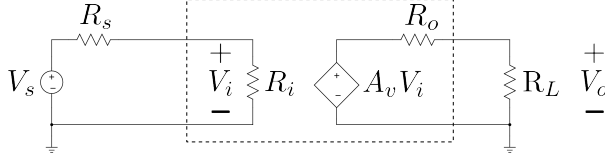
داخلی اشارہ	خارجی اشارہ	ایمپلیفائر کی جماعت	افزائش
برقی دباؤ	برقی دباؤ	برقی دباؤ ایمپلیفائر	$A_v$
برقی رو	برقی رو	برقی رو ایمپلیفائر	$A_i$
برقی دباؤ	برقی رو	موصول نما ایمپلیفائر	$A_g$
برقی رو	برقی دباؤ	مزاحمت نما ایمپلیفائر	$A_r$

ہم برقی دباؤ ایمپلیفائر سے توقع کرتے ہیں کہ یہ داخلی برقی دباؤ کو  $A_v$  گنا بڑھا کر خارج کرے گا۔ یوں اگر اس ایمپلیفائر پر خارجی جانب  $R_{L1}$  بوجھ لادا جائے اور ایمپلیفائر کو  $V_s$  اشارہ داخلی جانب مہیا کیا جائے تو ہم توقع کریں گے کہ بوجھ پر  $A_v V_s$  برقی دباؤ پایا جائے گا۔ اب اگر بوجھ کو تبدیل کرتے ہوئے  $R_{L2}$  کر دیا جائے ہم تب بھی توقع کریں گے کہ خارجی برقی دباؤ  $A_v V_s$  ہی رہے گا۔ اسی طرح اگر داخلی اشارے کی مزاحمت  $R_s$  تبدیل کی جائے تو ہم توقع کرتے ہیں کہ اس کا خارجی برقی دباؤ پر کوئی اثر نہیں ہو گا۔ اس تمام کا مطلب ہے کہ  $A_v$  پر  $R_L$  اور  $R_s$  کا کوئی اثر نہیں ہونا چاہیے۔ ہم بقایا تین قسم کے ایمپلیفائر سے بھی توقع کرتے ہیں کہ ان کی افزائش پر بھی  $R_L$  اور  $R_s$  کا کوئی اثر نہیں ہونا چاہیے۔

feedback signal<sup>2</sup>  
oscillator<sup>3</sup>

<sup>4</sup> ادبیات میں واپسی ادوار پر غور کرتے ہوئے اشارات کو بڑے حروف تہجی سے ظاہر کیا جاتا ہے۔ اس باب میں ہم بھی ایسا ہی کریں گے

تھیون مساوی دور



شکل 7.1: برقی دباؤ ایپلیفائر کا مساوی تھیون دور

## 7.1.1 برقی دباؤ ایپلیفائر

برقی دباؤ ایپلیفائر کا مساوی تھیون دور شکل 7.1 میں نقطہ دار لکیر میں بند دکھایا گیا ہے۔ اسے داخلی جانب اشارہ  $V_s$  مہیا کیا گیا ہے جبکہ خارجی جانب اس پر برقی بوجھ  $R_L$  لادایا گیا ہے۔ داخلی اشارہ کی مزاحمت  $R_s$  ہے۔ داخلی جانب برقی رو کو  $I_i$  لکھتے ہوئے کرخوف کا قانون برائے برقی دباؤ استعمال کرتے ہیں۔

$$V_s = I_i R_s + I_i R_i$$

$$I_i = \frac{V_s}{R_s + R_i}$$

اور یوں

$$(7.1) \quad V_i = I_i R_i = V_s \left( \frac{R_i}{R_s + R_i} \right)$$

حاصل ہوتا ہے۔ اسی طرح خارجی جانب برقی رو کو  $I_o$  لکھتے ہوئے حاصل ہوتا ہے

$$A_v V_i = I_o R_o + I_o R_L$$

$$(7.2) \quad I_o = \frac{A_v V_i}{R_o + R_L}$$

$$V_o = I_o R_L = A_v V_i \left( \frac{R_L}{R_o + R_L} \right)$$

اس مساوات میں  $V_i$  کی قیمت استعمال کرتے حاصل ہوتا ہے

$$(7.3) \quad V_o = A_v V_s \left( \frac{R_L}{R_o + R_L} \right) \left( \frac{R_i}{R_s + R_i} \right)$$

$$A_v = \frac{V_o}{V_s} = A_v \left( \frac{R_L}{R_o + R_L} \right) \left( \frac{R_i}{R_s + R_i} \right)$$

اس مساوات کے تحت افزائش کی قیمت اشارے کے مزاحمت  $R_s$  اور بوجھ کے مزاحمت  $R_L$  پر منحصر ہے جب کہ ایسا نہیں ہونا چاہیے۔ آئیں دیکھیں کہ  $R_s$  اور  $R_L$  کے اثر کو کیسے ختم یا کم سے کم کیا جاسکتا ہے۔

برقی دباؤ ایمپلیفائر میں اگر

$$(7.4) \quad \begin{aligned} R_i &\rightarrow \infty \\ R_o &\rightarrow 0 \end{aligned}$$

ہوں تب مساوات 7.3 سے

$$(7.5) \quad A_V = A_v$$

حاصل ہوتا ہے۔ ایسا ایمپلیفائر جس کی کل افزائش  $A_V$  کا دارومدار اشارے کی مزاحمت  $R_s$  اور بوجھ کے مزاحمت  $R_L$  پر قطعاً منحصر نہیں ہو اور جس کے  $A_V$  کی قیمت اٹل ہو کو برقی دباؤ ایمپلیفائر کہتے ہیں۔ شکل 7.1 میں دکھایا، مساوات 7.4 پر پورا اترتا دور کامل برقی دباؤ ایمپلیفائر کا دور ہے۔

حقیقی برقی دباؤ ایمپلیفائر مساوات 7.4 کی بجائے مساوات 7.6 پر پورا اترتا ہے۔

$$(7.6) \quad \begin{aligned} R_i &\gg R_s \\ R_o &\ll R_L \end{aligned}$$

جس کے لئے ہم لکھ سکتے ہیں

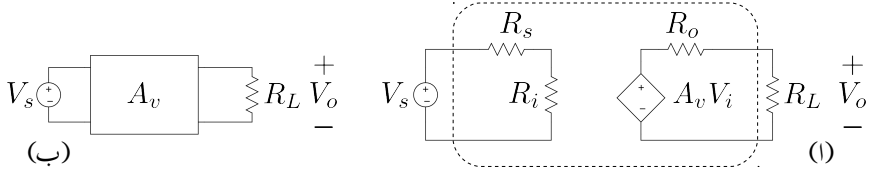
$$(7.7) \quad A_V \approx A_v$$

مساوات 7.2 سے آپ دیکھ سکتے ہیں کہ لامحدود  $R_L$  پر  $\frac{V_o}{V_i}$  کی قیمت  $A_v$  کے برابر ہے یعنی

$$(7.8) \quad A_v = \left. \frac{V_o}{V_i} \right|_{R_L \rightarrow \infty}$$

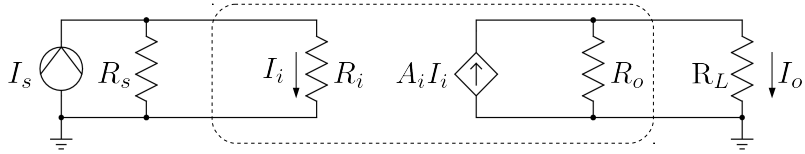
لہذا  $A_v$  کو ایمپلیفائر کی لامحدود بوجھ کے مزاحمت پر افزائش برقی دباؤ پکارا جاتا ہے۔ اسے بے بوجھ ایمپلیفائر کی افزائش برقی دباؤ بھی پکارا جاسکتا ہے۔

شکل 7.2 الف میں برقی دباؤ ایمپلیفائر میں داخلی اشارے کی مزاحمت  $R_s$  کو بھی ایمپلیفائر کا حصہ تصور کرتے ہوئے شکل ب میں اسی کا سادہ ڈبہ نما شکل دکھایا گیا ہے۔



شکل 7.2: برقی دباؤ ایپلیفائر کا سادہ ڈبہ نما شکل

نارٹن مساوی دور



شکل 7.3: برقی روا ایپلیفائر کا مساوی نارٹن دور

## 7.1.2 برقی روا ایپلیفائر

برقی روا ایپلیفائر کا مساوی نارٹن دور شکل 7.3 میں نقطہ دار لکیر میں بند دکھایا گیا ہے۔ اسے داخلی جانب اشارہ  $I_s$  مہیا کیا گیا ہے جبکہ خارجی جانب اس پر برقی بوجھ  $R_L$  لادا گیا ہے۔ منبع داخلی اشارے کی مزاحمت  $R_s$  ہے۔ داخلی جانب تقسیم برقی رو سے حاصل ہوتا ہے

$$(7.9) \quad I_i = I_s \left( \frac{R_s}{R_s + R_i} \right)$$

اسی طرح خارجی جانب تقسیم برقی رو سے حاصل ہوتا ہے

$$(7.10) \quad I_o = A_i I_i \left( \frac{R_o}{R_o + R_L} \right)$$

مندرجہ بالا دو مساوات سے حاصل ہوتا ہے

$$(7.11) \quad I_o = A_i I_s \left( \frac{R_s}{R_s + R_i} \right) \left( \frac{R_o}{R_o + R_L} \right)$$

جس سے کل افزائش برقی رو  $A_I$  یوں حاصل ہوتی ہے

$$(7.12) \quad A_I = \frac{I_o}{I_s} = A_i \left( \frac{R_s}{R_s + R_i} \right) \left( \frac{R_o}{R_o + R_L} \right)$$

مساوات 7.12 میں اگر

$$(7.13) \quad \begin{aligned} R_i &\ll R_s \\ R_o &\gg R_L \end{aligned}$$

ہوں تو اسے یوں لکھا جاسکتا ہے

$$(7.14) \quad A_I \approx A_i$$

ایسا ایمپلیفائر جس کی افزائش  $A_I$  کا دارومدار داخلی بیرونی مزاحمت  $R_s$  اور خارجی بیرونی مزاحمت  $R_L$  پر قطعاً منحصر نہیں ہو اور جس کے  $A_I$  کی قیمت اٹل ہو کو برقی رو ایمپلیفائر کہتے ہیں۔ برقی رو ایمپلیفائر مساوات 7.13 کے تحت ہی تخلیق دئے جاتے ہیں تاکہ ان کی افزائش زیادہ سے زیادہ ہو اور اس کی قیمت خارجی مزاحمت پر منحصر نہ ہو۔ کامل برقی رو ایمپلیفائر میں  $R_i = 0$  اور  $R_o = \infty$  ہوں گے۔ مساوات 7.10 سے آپ دیکھ سکتے ہیں کہ  $R_L = 0$  کی صورت میں

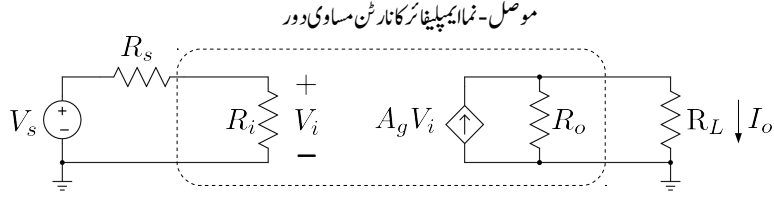
$$(7.15) \quad \left. \frac{I_o}{I_i} \right|_{R_L=0} = A_i$$

حاصل ہوتا ہے، لہذا  $A_i$  کو صفر بوجھ کے مزاحمت پر ایمپلیفائر کی افزائش برقی رو پکارا جائے گا۔

### 7.1.3 موصل نما ایمپلیفائر

آپ نے برقی دباو اور برقی رو ایمپلیفائر کے مساوی دور دیکھے۔ دباو ایمپلیفائر کا تھون مساوی جبکہ رو ایمپلیفائر کا نارٹن مساوی دور استعمال کیا گیا۔ یہاں اس بات کا سمجھنا ضروری ہے کہ جہاں برقی دباو کی بات کی جائے وہاں تھون مساوی دور استعمال کیا جاتا ہے اور جہاں برقی رو کی بات کی جائے وہاں نارٹن مساوی دور استعمال کیا جاتا ہے۔ یوں چونکہ برقی دباو ایمپلیفائر داخلی برقی دباو کو بڑھاتا ہے لہذا داخلی جانب اشارہ منبع کا تھون مساوی دور استعمال کیا گیا۔ اسی طرح چونکہ یہ ایمپلیفائر برقی دباو ہی خارج کرتا ہے لہذا خارجی جانب ایمپلیفائر کا تھون مساوی دور ہی استعمال کیا گیا۔





شکل 7.4: موصل نما ایمپلیفائر کا مساوی دور

برقی رو ایمپلیفائر کا داخلی اشارہ برقی رو ہوتا ہے لہذا داخلی جانب اشارہ منبع کا نارٹن مساوی دور استعمال کیا جاتا ہے۔ اسی طرح یہ ایمپلیفائر برقی رو ہی خارج کرتا ہے لہذا خارجی جانب بھی نارٹن مساوی دور استعمال کیا گیا۔

موصل نما ایمپلیفائر کا داخلی اشارہ برقی دباؤ جبکہ اس کا خارجی اشارہ برقی رو ہوتا ہے لہذا اس کا تجزیہ کرتے وقت داخلی جانب اشارہ منبع کا تھوئن جبکہ اس کے خارجی جانب نارٹن مساوی دور استعمال کیا جائے گا۔ شکل 7.4 میں موصل نما ایمپلیفائر کا مساوی دور دکھایا گیا ہے۔ موصل نما ایمپلیفائر کے لئے ہم لکھ سکتے ہیں

$$\begin{aligned}
 V_i &= V_s \left( \frac{R_i}{R_i + R_s} \right) \\
 I_o &= A_g V_i \left( \frac{R_o}{R_o + R_L} \right) \\
 I_o &= A_g V_s \left( \frac{R_i}{R_i + R_s} \right) \left( \frac{R_o}{R_o + R_L} \right)
 \end{aligned}
 \tag{7.16}$$

لہذا

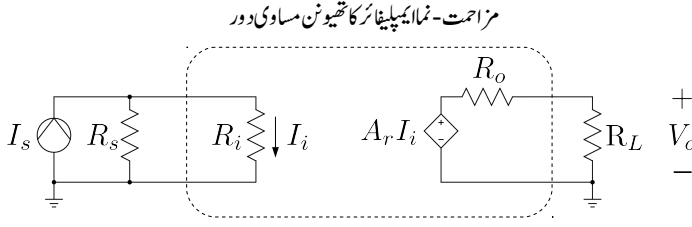
$$A_G = \frac{I_o}{V_s} = A_g \left( \frac{R_i}{R_i + R_s} \right) \left( \frac{R_o}{R_o + R_L} \right)
 \tag{7.17}$$

مساوات 7.16 سے آپ دیکھ سکتے ہیں کہ  $R_L = 0$  کی صورت میں  $\frac{I_o}{V_i}$  کی قیمت  $A_g$  کے برابر ہے یعنی

$$\left. \frac{I_o}{V_i} \right|_{R_L=0} = A_g
 \tag{7.18}$$

اسی طرح

$$\begin{aligned}
 R_i &\gg R_s \\
 R_o &\gg R_L
 \end{aligned}
 \tag{7.19}$$



شکل 7.5: مزاحمت نمای ایملیفائر کا مساوی دور

کی صورت میں مساوات 7.17 سے حاصل ہوتا ہے

$$(7.20) \quad A_G \approx A_g$$

ایسا ایملیفائر جس کی افزائش  $A_G$  کا دارومدار  $R_s$  اور مزاحمت  $R_L$  پر قطعاً منحصر نہیں ہو اور جس کے  $A_G$  کی قیمت اٹل ہو کو موصولہ نمای ایملیفائر کہتے ہیں۔

#### 7.1.4 مزاحمت نمای ایملیفائر

شکل 7.5 میں مزاحمت نمای ایملیفائر دکھایا گیا ہے جس کا داخلی اشارہ برقی رو  $I_s$  اور خارجی اشارہ برقی دباؤ  $V_o$  ہے۔ اس کو یوں حل کیا جائے گا۔

$$(7.21) \quad \begin{aligned} I_i &= I_s \left( \frac{R_s}{R_s + R_i} \right) \\ V_o &= A_r I_i \left( \frac{R_L}{R_L + R_o} \right) \end{aligned}$$

اس مساوات سے ہم دیکھتے ہیں کہ  $R_L = \infty$  کی صورت میں  $\frac{V_o}{I_i}$  کی قیمت  $A_r$  کے برابر ہو گی یعنی

$$(7.22) \quad \left. \frac{V_o}{I_i} \right|_{R_L=\infty} = A_r$$

لہذا  $A_r$  کو لامحدود مزاحمتی بوجھ پر ایملیفائر کی مزاحمتی نما افزائش کہتے ہیں۔ کل مزاحمت نما افزائش  $A_R$  مساوات 7.21 سے حاصل کرتے ہیں۔

$$(7.23) \quad A_R = \frac{V_o}{I_s} = A_r \left( \frac{R_s}{R_s + R_i} \right) \left( \frac{R_L}{R_L + R_o} \right)$$

آپ دیکھ سکتے ہیں کہ

$$(7.24) \quad \begin{aligned} R_i &\ll R_s \\ R_o &\ll R_L \end{aligned}$$

کی صورت میں مساوات 7.23 کو یوں لکھا جاسکتا ہے

$$(7.25) \quad A_R \approx A_r$$

یعنی اس صورت ایمپلیفائر کی مزاحمت نما افزائش کا دار و مدار  $R_s$  اور  $R_L$  پر نہیں۔

مثال 7.1: شکل 7.1 میں بوجھ کے مزاحمت  $R_L$  میں برقی رو کی قیمت  $\frac{V_o}{R_L}$  کے برابر ہے۔  $\frac{I_o}{V_s}$  کی شرح کو موصل نما افزائش تصور کرتے ہوئے ثابت کریں کہ اسے موصل نما ایمپلیفائر تصور نہیں کیا جاسکتا۔

حل:

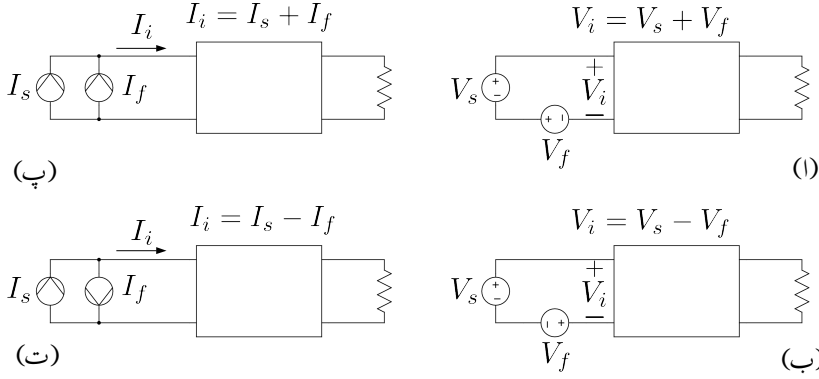
$$A_G = \frac{I_o}{V_s} = \frac{I_o}{V_o} \times \frac{V_o}{V_s} = \frac{1}{R_L} \times A_V$$

اس مساوات کے تحت  $A_G$  کی قیمت بوجھ کے مزاحمت  $R_L$  کے قیمت پر منحصر ہے۔ ایمپلیفائر کی افزائش کی قیمت بوجھ کے مزاحمت کے قیمت پر منحصر نہیں ہو سکتی لہذا اسے موصل نما ایمپلیفائر تصور نہیں کیا جاسکتا۔

## 7.2 واپسی اشارہ

مندرجہ بالا حصے میں ہم نے چار اقسام کے ایمپلیفائر دیکھے۔ اس حصے میں ان میں واپسی اشارہ شامل کرنے کی ترکیب دکھائی جائے گی۔ واپسی اشارے کو ایمپلیفائر کے داخلی اشارے کے ساتھ جمع یا اس سے منفی کیا جاتا ہے۔

شکل 7.6 الف میں واپسی اشارے  $V_f$  کو برقی دباؤ اشارے  $V_s$  کے ساتھ جمع کرنا دکھایا گیا ہے جبکہ شکل 7.6 ب میں  $V_f$  کو  $V_s$  سے منفی کرنا دکھایا گیا ہے۔ شکل پ میں واپسی اشارے  $I_f$  کو برقی روا اشارے  $I_s$  کے ساتھ جمع



شکل 7.6: اشارات کو آپس میں جمع اور منفی کرنے کے طریقے

کرنا دکھایا گیا ہے جبکہ شکل ت میں  $I_f$  کو  $I_s$  سے منفی کرنا دکھایا گیا ہے۔ برقی دباؤ اشارات کو آپس میں جمع یا منفی کرتے وقت انہیں سلسلہ وار جوڑا جاتا ہے جبکہ برقی رو اشارات کو آپس میں جمع یا منفی کرتے وقت انہیں متوازی جوڑا جاتا ہے۔ برقی دباؤ اشارے کو کسی صورت برقی رو اشارے کے ساتھ جمع یا منفی نہیں کیا جاسکتا۔<sup>5</sup>

شکل 7.2 ب میں دکھائے برقی دباؤ ایمپلیفائر کو مثال بناتے ہیں۔ برقی دباؤ ایمپلیفائر داخلی جانب اشارات کو برقی دباؤ کی صورت میں حاصل کرتا ہے لہذا اس کے داخلی جانب واپسی اشارہ بھی برقی دباؤ کی صورت میں ہو گا۔ واپسی اشارے کو ایمپلیفائر کے خارجی اشارے سے حاصل کیا جاتا ہے۔  $V_0$  سے  $V_f$  حاصل کرنے والے دور، جس کو واپس کار<sup>6</sup> کہتے ہیں، کو ڈبے کی شکل سے دکھاتے ہوئے شکل 7.7 الف حاصل ہوتا ہے جسے واپس برقی دباؤ ایمپلیفائر کہا جائے گا۔ اس شکل میں اوپر والا ڈبہ بنیادی برقی دباؤ ایمپلیفائر ہے جبکہ نچلا ڈبہ واپس کار ہے۔ واپس کار کا داخلی اشارہ  $V_0$  ہے جبکہ اس کا خارجی واپسی اشارہ  $V_f$  ہے۔ واپس کار کا داخلی اشارہ بنیادی ایمپلیفائر کے خارجی جانب سے متوازی حاصل کیا جاتا ہے جبکہ  $V_f$  کو  $V_s$  کے ساتھ سلسلہ وار جوڑا گیا ہے۔

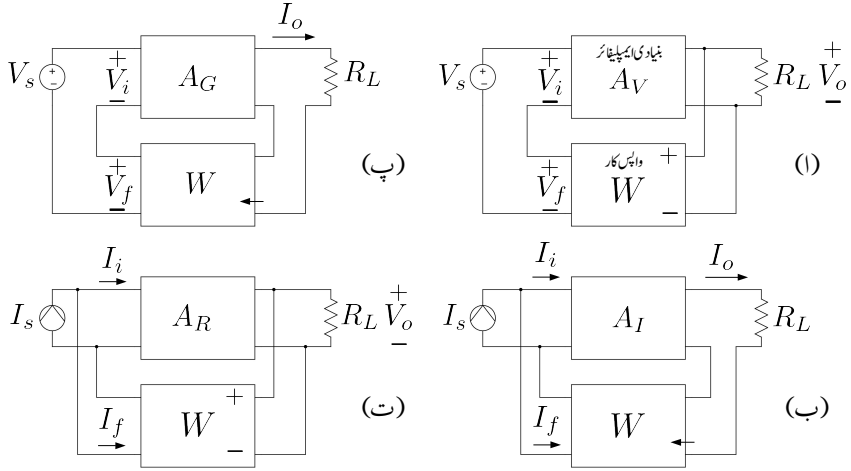
اس شکل میں واپسی اشارے  $V_f$  کو اشارہ  $V_s$  سے منفی کیا گیا ہے اور یوں اس ایمپلیفائر کو منفی واپس برقی دباؤ ایمپلیفائر<sup>7</sup> کہا جائے گا۔ اگر  $V_f$  کو  $V_s$  کے ساتھ جمع کیا جاتا تب اسے جمع واپس برقی دباؤ ایمپلیفائر<sup>8</sup> کہا جاتا۔ اس باب میں منفی واپس ایمپلیفائر پر ہی بحث کی جائے گی۔ اگلے باب میں جمع واپس ادوار کا استعمال کیا جائے گا۔

<sup>5</sup> آپ جانتے ہیں کہ آلو اور ٹائر کو آپس میں جمع یا منفی نہیں کیا جاسکتا۔ اسی طرح برقی دباؤ کو صرف اور صرف برقی دباؤ کے ساتھ ہی جمع یا اس سے منفی کیا جاسکتا ہے۔

<sup>6</sup> feedback circuit

<sup>7</sup> negative feedback voltage amplifier

<sup>8</sup> positive feedback voltage amplifier



شکل 7.7: واپسی ایملیفائر کے اقسام

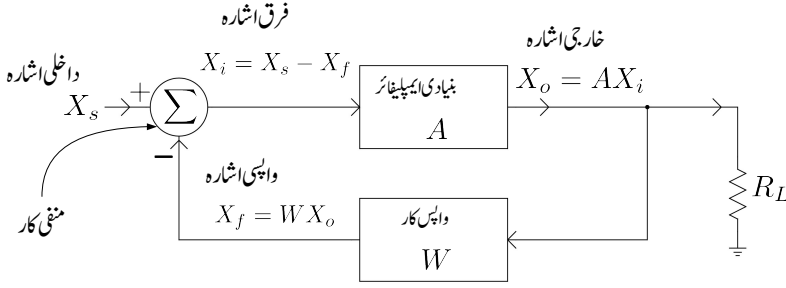
شکل 7.7 ب میں برقی رو ایملیفائر میں واپسی اشارے کی شمولیت دکھائی گئی ہے۔ بنیادی ایملیفائر کے داخلی جانب  $I_f$  سے منفی کیا گیا ہے۔ یوں اس مکمل دور کو منفی واپسی برقی رو ایملیفائر<sup>9</sup> کہا جائے گا۔ واپسی اشارے کو خارجی اشارہ  $I_o$  سے حاصل کیا گیا ہے۔ ایسا کرنے کی خاطر واپس کار کے داخلی جانب کو بنیادی ایملیفائر کے خارجی جانب کے ساتھ سلسلہ وار جوڑا گیا ہے تاکہ خارجی برقی رو  $I_o$  واپس کار کو بطور داخلی اشارہ مہیا کیا جاسکے۔

یہاں رک کر اس بات کو سمجھیں کہ خارجی برقی دباؤ  $V_o$  سے واپسی اشارہ حاصل کرتے وقت واپس کار کے داخلی جانب کو بنیادی ایملیفائر کے خارجی جانب متوازی جوڑا جاتا ہے جبکہ خارجی برقی رو  $I_o$  سے واپسی اشارہ حاصل کرتے وقت واپس کار کا داخلی جانب اور بنیادی ایملیفائر کا خارجی جانب سلسلہ وار جوڑے جاتے ہیں۔ واپسی اشارہ از خود برقی دباؤ یا برقی رو کی صورت میں ہو سکتا ہے۔

شکل 7.7 پ میں موصل نما ایملیفائر میں واپسی اشارہ شامل کرنا دکھایا گیا ہے۔ یہاں بنیادی ایملیفائر کا خارجی اشارہ برقی رو  $I_o$  ہے جس سے واپسی اشارہ حاصل کیا جاتا ہے لہذا واپس کار کے داخلی جانب کو بنیادی ایملیفائر کے خارجی جانب سلسلہ وار جوڑا گیا ہے۔ واپس کار کا خارجی اشارہ برقی دباؤ  $V_f$  ہے جسے  $V_s$  سے منفی کیا گیا ہے۔

شکل 7.7 ت میں مزاحمت نما ایملیفائر میں واپسی اشارے کی شمولیت دکھائی گئی ہے جسے آپ خود سمجھ سکتے ہیں۔

negative feedback current amplifier<sup>9</sup>



شکل 7.8: بنیادی واپسی ایمپلیفائر

جہاں متن سے واضح ہو وہاں ان ایمپلیفائر کے پورے نام کی جگہ صرف واپسی ایمپلیفائر کا نام استعمال کیا جائے گا۔

### 7.3 بنیادی کارکردگی

ٹرانزسٹر ایمپلیفائر کے دور میں ٹرانزسٹر کا ریاضی نمونہ منسب کرتے ہوئے انہیں کثوف کے قوانین سے حل کرنے سے آپ بخوبی واقف ہیں۔ واپسی ایمپلیفائر کو بھی اسی طرح حل کرنا ممکن ہے البتہ انہیں یوں حل کرنے سے واپسی عمل کی وضاحت نہیں ہوتی۔ اس حصے میں ہم واپسی ایمپلیفائر کو اس طرح حل کریں گے کہ ان میں واپسی اشارے کا کردار اجاگر ہو۔

واپسی ادوار کے تین جزو ہیں۔ پہلا جزو بنیادی ایمپلیفائر، دوسرا جزو جمع کار (یا منفی کار) اور تیسرا جزو واپس کار۔ شکل 7.8 میں ان تینوں اجزاء کو دکھایا گیا ہے۔

یہاں بنیادی ایمپلیفائر سے مراد حصہ 7.1 میں دکھائے چار قسم کے ایمپلیفائر میں سے کوئی بھی ہو سکتا ہے۔ اشارے کی مزاحمت  $R_s$  کو یہاں بنیادی ایمپلیفائر کا حصہ تصور کیا گیا ہے۔ یوں شکل 7.8 میں  $A$  سے مراد  $A_G$ ،  $A_I$ ،  $A_V$  یا  $A_R$  ہو سکتا ہے۔ یہاں  $R_L$  کے علاوہ واپس کار کا داخلی جانب بھی ایمپلیفائر کے خارجی جانب نسب ہے اور  $A$  واپس کار کے بوجھ کو بھی شامل کرتے حاصل کیا جاتا ہے۔ اس کی وضاحت حصہ 7.8 میں کی جائے گی۔ ایمپلیفائر کے داخلی

اشارے  $V_s$  یا  $I_s$  کو  $X_s$  جبکہ اس کے خارجی اشارے  $V_o$  یا  $I_o$  کو  $X_o$  اور اسی طرح واپسی اشارے  $V_f$  یا  $I_f$  کو  $X_f$  لکھتے ہوئے آگے بڑھتے ہیں۔ یوں اس شکل میں بنیادی ایمپلیفائر اشارہ  $X_i$  کو بڑھا کر بطور  $X_o$  خارج کرتا ہے یعنی

$$(7.26) \quad X_o = AX_i$$

اس مساوات کو یوں بھی لکھا جاسکتا ہے

$$(7.27) \quad A = \frac{X_o}{X_i}$$

واپس کار عموماً غیر عامل پرزہ جات یعنی مزاحمت، کپیسٹر وغیرہ سے تخلیق دیا جاتا ہے۔ یہ خارجی اشارے کا کچھ حصہ داخلی جانب تک پہنچاتا ہے۔ شکل سے آپ دیکھ سکتے ہیں کہ واپس کار  $X_o$  کا کچھ حصہ منفی کار کو بطور واپسی اشارہ  $X_f$  پیش کرتا ہے جہاں

$$(7.28) \quad X_f = WX_o$$

ہے۔  $W$  سے مراد واپس کار کے خارجی اور داخلی اشاروں کی شرح یعنی  $\frac{X_f}{X_o}$  ہے۔  $W$  کو واپس کار کا مستقل<sup>10</sup> کہا جائے گا۔

منفی کار داخلی اشارے  $X_s$  سے واپسی اشارہ  $X_f$  کو منفی کر کے اسے بطور فرق اشارہ  $X_i$  خارج کرتا ہے یعنی

$$(7.29) \quad X_i = X_s - X_f$$

اس میں مساوات 7.28 استعمال کرتے

$$(7.30) \quad X_i = X_s - WX_o$$

ملتا ہے جس میں مساوات 7.27 کے استعمال سے

$$\frac{X_o}{A} = X_s - WX_o$$

حاصل ہوتا ہے۔ اس کو  $X_o$  کے لئے حل کرتے ہیں

$$X_o = A (X_s - WX_o)$$

$$X_o (1 + WA) = AX_s$$

$$X_o = \left( \frac{A}{1 + WA} \right) X_s$$

یوں پورے دور کے داخلی اشارے کو  $X_s$  اور اس کا خارجی اشارے کو  $X_o$  لیتے ہوئے واپسی دور کے کل افزائش  $A_f$  کو یوں لکھ سکتے ہیں۔

$$(7.31) \quad A_f = \frac{X_o}{X_s} = \frac{A}{1 + WA}$$

منفی واپسی ایمپلیفائر میں  $|A_f| > |A|$  ہوتا ہے جبکہ مثبت واپسی ایمپلیفائر میں  $|A_f| < |A|$  ہوتا ہے۔

مثال 7.2: ایک ایمپلیفائر جس کا  $A = 99$  ہے میں واپسی اشارے کی شمولیت سے واپسی ایمپلیفائر تخلیق دیا جاتا ہے۔  $W = 0.01$  اور  $W = 0.1$  پر واپسی ایمپلیفائر کی افزائش  $A_f$  حاصل کریں۔

حل:

مساوات 7.31 کی مدد سے  $W = 0.01$  پر

$$A_f = \frac{99}{1 + 0.01 \times 99} = 49.749$$

جبکہ  $W = 0.1$  پر

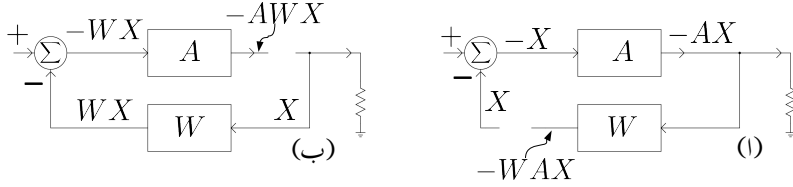
$$A_f = \frac{99}{1 + 0.1 \times 99} = 9.0826$$

حاصل ہوتا ہے۔ منفی واپسی ایمپلیفائر کی افزائش واضح طور کم ہوئی ہے۔

### 7.3.1 افزائشی دائرہ

واپسی ایمپلیفائر میں بنیادی ایمپلیفائر اور واپسی دور بند دائرے کی شکل میں آپس میں جوڑے جاتے ہیں۔ شکل 7.9 الف میں اس دائرے کو واپسی دور کے خارجی نقطے پر کھلے سرے کر دیا گیا ہے جبکہ داخلی اشارے کو منقطع کر دیا گیا





شکل 7.9: بنیادی واپسی ایملیفائر کا شرح دائرہ

ہے۔ فرض کریں کہ اس نقطے کے بائیں جانب اشارہ  $X$  پایا جاتا ہے۔ اس نقطے سے دائرے میں گھڑی کے سمت چلتے ہوئے ہم دیکھتے ہیں کہ اشارہ  $X$  پہلے  $-1$  سے ضرب ہو کر  $-X$  ہوتا ہے۔ اس کے بعد ایملیفائر سے گزرتے ہوئے  $A$  سے ضرب ہو کر  $-AX$  ہو جاتا ہے اور آخر کار واپسی دور سے گزرتے ہوئے  $W$  سے ضرب کھا کر  $-WAX$  ہو جاتا ہے۔ یوں یہ اشارہ پورے دائرے سے گزرتے ہوئے  $-WA$  سے ضرب ہوتا ہے جسے واپسی ایملیفائر کا افزائش<sup>11</sup> دائرہ<sup>11</sup> کہا جائے گا۔ شکل ب میں دائرے کو ایک اور جگہ سے کھلے سرے کرتے ہوئے یہی عمل دکھایا گیا ہے۔ آپ دیکھ سکتے ہیں کہ دائرے کو کہیں سے بھی کھلے سرے کرتے ہوئے اس نقطے سے گھڑی کی سمت پورا چکر کاٹتے ہوئے اشارہ  $-WA$  سے ہی ضرب ہوتا ہے۔

### 7.3.2 بنیادی مفروضے

واپسی ایملیفائر پر بات کرتے ہوئے مندرجہ ذیل مفروضے تصور کئے جائیں گے۔

1. واپس کار کے مستقل  $W$  کی قیمت پر بوجھ کے مزاحمت  $R_L$  اور اشارے کے مزاحمت  $R_s$  کا کوئی اثر نہیں ہوتا۔
2. بنیادی ایملیفائر کی افزائش  $A$  کے قیمت پر بوجھ کے مزاحمت  $R_L$  کا کوئی اثر نہیں ہوتا۔
3. داخلی اشارہ صرف اور صرف بنیادی ایملیفائر سے گزرتے ہوئے خارجی جانب پہنچتا ہے۔ اس کا مطلب ہے کہ اگر  $A$  کی قیمت صفر کر دی جائے تو  $X_o$  کی قیمت بھی صفر ہو جائے گی۔ (بنیادی ایملیفائر میں ٹرانزسٹر کا  $g_m$  یا  $h_{fe}$  صفر کرنے سے  $A$  کی قیمت صفر کی جاسکتی ہے۔)

<sup>11</sup> loop gain

اس مفروضے کے تحت واپس کار میں اشارہ صرف اور صرف واپسی ایمپلیفائر کے خارجی جانب سے داخلی جانب گزر سکتا ہے۔ حقیقت میں واپس کار عموماً مزاحمت، کپیسٹر وغیرہ سے بنا ہوتا ہے اور اس میں اشارہ دونوں جانب گزر سکتا ہے۔ ہم دیکھیں گے کہ اس کے باوجود حقیقی ایمپلیفائر میں پھر بھی اس مفروضے پر چلتے ہوئے درست جوابات حاصل ہوتے ہیں۔

4. خارجی اشارہ صرف اور صرف واپس کار سے گزرتے ہوئے داخلی جانب پہنچ سکتا ہے۔

اس مفروضے کے تحت اشارہ بنیادی ایمپلیفائر میں گزرتے ہوئے خارجی جانب سے داخلی جانب نہیں پہنچ سکتا۔ اس کا مطلب ہے کہ اگر واپس کار کے مستقل  $W$  کی قیمت صفر کر دی جائے تو واپسی اشارے کی قیمت بھی صفر ہو جائے گی۔

#### 7.4 واپسی ایمپلیفائر کی خوبیاں

منفی واپسی ایمپلیفائر افزائش گھٹاتا ہے جبکہ ایمپلیفائر کا بنیادی مقصد ہی اس کی افزائش ہے۔ اس کے باوجود منفی واپسی ایمپلیفائر کا استعمال عام ہے۔ منفی واپسی ایمپلیفائر افزائش گھٹاتے ہوئے ایمپلیفائر کی متعدد اہم خوبیوں کو بہتر کرتا ہے۔ اس حصے میں انہیں پر غور کیا جائے گا۔

##### 7.4.1 مستحکم افزائش

درجہ حرارت میں تبدیلی، عمر رسیدگی یا ٹرانزسٹر وغیرہ کی تبدیلی سے کسی بھی ایمپلیفائر کی افزائش متاثر ہوتی ہے۔ انہیں ایک مثال سے دیکھیں کہ واپسی ایمپلیفائر میں افزائش کے تبدیلی کو کس طرح گھٹایا جاتا ہے۔

مثال 7.3: ایک بنیادی ایمپلیفائر جس کی اصل افزائش  $A = 50$  ہے میں ٹرانزسٹر تبدیل کیا جاتا ہے جس کے بعد اس کی نئی افزائش  $A_1 = 45$  ہو جاتی ہے۔ افزائش میں تبدیلی کی فی صد شرح حاصل کریں۔ اس ایمپلیفائر میں واپسی اشارہ شامل کیا جاتا ہے جہاں  $W = 0.1$  ہے۔ ٹرانزسٹر تبدیل کرنے سے پہلے اور ٹرانزسٹر تبدیل کرنے کے بعد واپسی ایمپلیفائر کی افزائش حاصل کریں اور ان میں تبدیلی کی فی صد شرح حاصل کریں۔

حل:

بنیادی ایپلیفائر میں تبدیلی کی فی صد شرح

$$\left| \frac{45 - 50}{45} \right| \times 100 = 11.11 \%$$

ہے۔ واپسی ایپلیفائر میں ٹرانزسٹر تبدیل کرنے سے پہلے  $A_f$  اور ٹرانزسٹر تبدیل کرنے کے بعد  $A_{f1}$  مندرجہ ذیل ہیں

$$A_f = \frac{50}{1 + 0.1 \times 50} = 8.3333$$

$$A_{f1} = \frac{45}{1 + 0.1 \times 45} = 8.1818$$

یوں تبدیلی کی فی صد شرح

$$\left| \frac{8.1818 - 8.3333}{8.3333} \right| \times 100 = 1.818 \%$$

ہے۔

آپ نے دیکھا کہ بنیادی ایپلیفائر میں 11.11 فی صد تبدیلی آئی جبکہ واپسی ایپلیفائر میں صرف 1.818 فی صد تبدیلی آئی۔ یوں ایپلیفائر میں واپسی اشارے کی شمولیت سے افزائش مستحکم ہوئی۔ اس حقیقت کو یوں بیان کیا جاتا ہے کہ واپسی اشارے سے افزائش

$$\frac{11.1111}{1.818} = 6.1117$$

یعنی تقریباً چھ گنا مستحکم ہوئی۔

آئیں اس تمام کو حسابی شکل دیں۔ مساوات 7.31 میں  $A_f$  کا  $A$  کے ساتھ تفرق لیتے ہیں۔

$$\frac{dA_f}{dA} = \frac{1}{(1 + WA)^2}$$

اس کو یوں بھی لکھ سکتے ہیں۔

$$dA_f = \frac{dA}{(1 + WA)^2}$$

اس مساوات کو مساوات 7.31 سے تقسیم کرتے ہیں۔

$$\begin{aligned} \frac{dA_f}{A_f} &= \left( \frac{dA}{(1 + WA)^2} \right) \times \left( \frac{1 + WA}{A} \right) \\ &= \left( \frac{dA}{A} \right) \left( \frac{1}{1 + WA} \right) \end{aligned}$$

اس مساوات سے افزائش کا مستحکم  $M$  ہونا یوں حاصل ہوتا ہے۔

$$(7.32) \quad M = \frac{\left| \frac{dA}{A} \right|}{\left| \frac{dA_f}{A_f} \right|} = 1 + WA$$

مساوات 7.31 کو یوں بھی لکھا جاسکتا ہے

$$(7.33) \quad A_f = \frac{A}{M}$$

مندرجہ بالا دو مساوات سے آپ دیکھ سکتے ہیں کہ واپسی ایملیفائر میں کل افزائش  $M$  گنا گھٹتی ہے۔ ساتھ ہی ساتھ کل افزائش  $M$  گنا مستحکم ہو جاتی ہے۔ یوں ایملیفائر تخلیق دیتے وقت آپ افزائش گھٹاتے ہوئے اسے زیادہ مستحکم بنا سکتے ہیں یا اس کے برعکس افزائش کو کم مستحکم کرتے ہوئے اس کی قیمت بڑھا سکتے ہیں۔

اگر

$$(7.34) \quad |WA| \gg 1$$

تو تب مساوات 7.31 مندرجہ ذیل سادہ صورت اختیار کر لیتا ہے۔

$$(7.35) \quad A_f = \frac{A}{1 + WA} \approx \frac{A}{WA} = \frac{1}{W}$$

مساوات 7.35 انتہائی اہم مساوات ہے جس کے تحت  $WA \gg 1$  کی صورت میں واپسی ایملیفائر کی افزائش صرف اور صرف واپس کار کے  $W$  پر منحصر ہوتی ہے۔ جیسا کہ پہلے بھی ذکر ہوا، واپس کار کو عموماً مزاحمت وغیرہ سے بنایا

جاتا ہے۔ برقیاتی پرزاجات میں ٹرانزسٹر، ماسفیٹ اور ڈایوڈ وغیرہ کی کارکردگی درجہ حرارت یا وقت کے ساتھ تبدیل ہوتی ہے۔ ان کے برعکس مزاحمت، کپیسٹر وغیرہ میں ایسی تبدیلیاں نہایت کم ہوتی ہیں۔ یوں درجہ حرارت یا وقت کے ساتھ واپس کار کی W کے تبدیل کو رد کیا جاسکتا ہے جس سے واپسی ایمپلیفائر کی افزائش نہایت مستحکم ہو جاتی ہے۔

مستحکم ایمپلیفائر تخلیق دینے کا طریقہ ایک مثال کی مدد سے دیکھتے ہیں۔

مثال 7.4: موصل نما ایمپلیفائر تخلیق دیتے وقت درجہ حرارت کے تبدیلی سے توقع کی جاتی ہے کہ بغیر واپسی اشارے کے ایمپلیفائر کی افزائش میں 5% تبدیلی رونما ہوگی جو کہ قابل قبول نہیں۔ زیادہ سے زیادہ 0.4% تبدیلی قابل برداشت ہے۔ ایک عدد موصل نما واپسی ایمپلیفائر تخلیق دیں جس کی افزائش  $45^{\circ}\text{C}/V$  ہو اور اس میں تبدیلی 0.4% سے تجاوز نہ کرے۔

حل:

ایسی صورت میں بنیادی ایمپلیفائر کی افزائش A کو ضرورت سے M گنا زیادہ رکھ کر اسے تخلیق دیا جاتا ہے۔ اس ایمپلیفائر کے افزائش میں درجہ حرارت کے تبدیلی سے 5% تبدیلی پیدا ہوگی۔ اس کے بعد اس میں واپسی اشارے کی شمولیت کی جاتی ہے جس سے ایمپلیفائر کی واپسی افزائش M گنا کم ہونے کے ساتھ ساتھ M گنا مستحکم بھی ہو جاتی ہے۔

موجودہ صورت میں تمام معلومات فی صد کی صورت میں دی گئی ہیں۔ مساوات 7.32 کو استعمال کرتے ہوئے اگر بنیادی ایمپلیفائر کی افزائش میں تبدیلی یعنی dA کی قیمت پانچ فی صد ہے تو A کی قیمت سو فی صد ہوگی۔ اسی طرح اگر dA<sub>f</sub> کی قیمت آدھا فی صد ہو تو A<sub>f</sub> کو سو فی صد تصور کیا جائے گا۔ یوں

$$\frac{dA}{A} = M \left( \frac{dA_f}{A_f} \right)$$

$$\frac{5}{100} = M \left( \frac{0.5}{100} \right)$$

$$M = 10$$

حاصل ہوتا ہے۔ یوں اس ایمپلیفائر کو دس گنا مستحکم کرنے کی ضرورت ہے۔

لہذا ہم ایسا ایمپلیفائر تخلیق دیں گے جس کی واپسی اشارہ شامل کرنے سے پہلے انفرانش درکار قیمت سے  $M$  گنا زیادہ ہو یعنی  $A$  کی قیمت  $10 \times 45 = 450$  ہوگی۔ اس میں واپسی اشارے کی شمولیت سے انفرانش کو دس گنا مستحکم کیا جائے گا اور ساتھ ہی ساتھ  $A_f = 45$  حاصل کی جائے گی جو کہ درکار موصل نما انفرانش ہے۔ مساوات 7.31 کے تحت

$$45 = \frac{450}{1 + W \times 450} \approx \frac{1}{W}$$

$$W = \frac{1}{45} = 0.02222$$

حاصل ہوتا ہے جو کہ واپس کار کے مستقل کی درکار قیمت ہے۔

مثال 7.5:  $A_f = -100$  اور  $A = -1000$  کی صورت میں  $W$  حاصل کریں۔

حل:

$$-100 = \frac{-1000}{1 - 1000W}$$

سے  $W = -0.009$  حاصل ہوتا ہے۔

مساوات 7.35 میں  $A_f$  سے مراد واپسی ایمپلیفائر کی انفرانش ہے جو کہ برقی دباؤ واپسی ایمپلیفائر کی صورت میں  $A_{vf}$ ، برقی رو واپسی ایمپلیفائر کی صورت میں  $A_{if}$ ، موصل نما واپسی ایمپلیفائر کی صورت میں  $A_{gf}$  اور مزاحمت نما واپسی ایمپلیفائر کی صورت میں  $A_{rf}$  کو ظاہر کرتا ہے۔

## 7.4.2 تعددی بگاڑ

مساوات 7.35 کے تحت  $1 \gg WA$  کی صورت میں واپسی ایمپلیفائر کی افزائش صرف اور صرف  $W$  پر منحصر ہوتی ہے۔ اگر واپس کار کی خاصیت تعدد پر منحصر نہ ہو تب واپسی ایمپلیفائر کی کارکردگی بھی تعدد پر منحصر نہیں ہوگی۔ واپس کار میں صرف مزاحمت استعمال کرتے ہوئے اس کے کارکردگی کو تعدد سے پاک بنایا جاسکتا ہے۔

اگر واپس کار میں کپیسیٹر اور امالہ استعمال کئے جائیں تب اس کی کارکردگی تعدد پر منحصر ہوگی۔ ایسی صورت میں واپسی ایمپلیفائر کی کارکردگی بھی تعدد پر منحصر ہوگی۔ یوں اگر کسی خاص تعدد  $\omega_0$  پر  $W$  کی قیمت کم ہو جبکہ اس تعدد سے کم یا اس سے زیادہ تعدد پر  $W$  کی قیمت زیادہ ہو تب  $A_f$  کی قیمت  $\omega_0$  پر زیادہ ہوگی جبکہ  $\omega_0$  سے کم یا زیادہ تعدد پر اس کی قیمت کم ہوگی۔ یہ پتھ گوار فلٹر<sup>12</sup> کی خاصیت ہے۔ اسی طرح پتھ روکے فلٹر<sup>13</sup>، پست گزار فلٹر اور بلند گزار فلٹر بھی بنائے جاسکتے ہیں۔

## 7.4.3 دائرہ کارکردگی کے پٹی میں وسعت

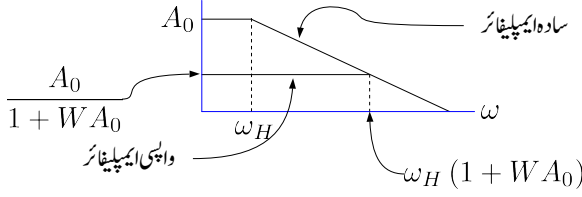
فرض کریں کہ بنیادی ایمپلیفائر کے افزائش میں ایک عدد قطب پایا جاتا ہے یعنی

$$A = \frac{A_0}{1 + \frac{j\omega}{\omega_H}}$$

اس مساوات میں  $A_0$  سے مراد درمیانی تعدد کی افزائش اور  $\omega_H$  اس کی بلند انقطاعی تعدد ہے۔ واپسی اشارے کی شمولیت کے بعد

$$\begin{aligned} A_f &= \frac{A}{1 + WA} \\ &= \frac{\frac{A_0}{1 + \frac{j\omega}{\omega_H}}}{1 + \frac{WA_0}{1 + \frac{j\omega}{\omega_H}}} \\ &= \frac{A_0}{1 + \frac{j\omega}{\omega_H} + WA_0} \\ &= \frac{\frac{A_0}{1 + WA_0}}{1 + \frac{j\omega}{\omega_H(1 + WA_0)}} \end{aligned}$$

band pass filter<sup>12</sup>  
band stop filter<sup>13</sup>



شکل 7.10: دائرہ کار کردگی بالمتقابل افزائش

اس مساوات سے واپسی ایملیفائر کی درمیانی تعدد پر افزائش

$$(7.36) \quad A_{f0} = \frac{A_0}{1 + WA_0}$$

ہے جبکہ اس کی بلند انقطاعی تعدد

$$(7.37) \quad \omega'_H = \omega_H (1 + WA_0)$$

ہے۔ واپسی ایملیفائر کے درمیانی تعدد کی افزائش اور اس کی بلند انقطاعی تعدد کو ضرب کرتے ہوئے

$$(7.38) \quad \frac{A_0}{1 + WA_0} \times \omega_H (1 + WA_0) = A_0 \omega_H$$

ملتا ہے جو سادہ ایملیفائر کے درمیانی تعدد کی افزائش ضرب اس کی بلند انقطاعی تعدد ہے۔ یوں افزائش کو کم کرتے ہوئے بلند انقطاعی تعدد کو بڑھایا جاسکتا ہے یا پھر بلند انقطاعی تعدد کو کم کرتے ہوئے افزائش کو بڑھایا جاسکتا ہے۔ شکل 7.10 اس حقیقت کو دکھلاتی ہے۔

مثال 7.6: ایک سادہ ایملیفائر کی درمیانی تعدد پر افزائش  $3000 \text{ V}$  ہے جبکہ اس کی بلند انقطاعی تعدد  $500 \text{ Hz}$  ہے۔ اس میں واپسی اشارہ شامل کرتے ہوئے واپسی ایملیفائر حاصل کیا جاتا ہے۔ اگر واپس کار کا مستقل  $W = 0.01$  ہو تب واپسی ایملیفائر کی درمیانی تعدد کی افزائش اور بلند انقطاعی تعدد کیا ہوں گے۔

حل:

$$A_{f0} = \frac{3000}{1 + 3000 \times 0.01} = 96.77 \frac{\text{V}}{\text{V}}$$

$$f_H = 500 \times (1 + 3000 \times 0.01) = 15.5 \text{ kHz}$$



## 7.5 داخلی مزاحمت

ہم نے دیکھا کہ منفی واپسی اشارے کی شمولیت سے افزائش  $M$  گنا گھٹتی ہے۔ اس حصے میں داخلی مزاحمت پر واپسی اشارے کے اثر کو دیکھا جائے گا۔

## 7.5.1 واپسی برقی دباؤ ایمپلیفائر کا داخلی مزاحمت

شکل 7.1 میں داخلی جانب منفی واپسی اشارہ  $V_f$  شامل کرتے ہوئے شکل 7.11 حاصل ہوتا ہے۔ فرق صرف اتنا ہے کہ موجودہ شکل میں  $R_s$  کو ایمپلیفائر کا حصہ تصور کیا گیا ہے اور

$$(7.39) \quad A'_v = A_v \left( \frac{R_i}{R_i + R_s} \right)$$

رکھا گیا ہے۔ یوں اشارے کی مزاحمت  $R_s$  کو ایمپلیفائر کا حصہ تصور کرتے ہوئے افزائش برقی دباؤ کو  $A'_v$  لکھا گیا ہے۔ اس دور میں

$$\begin{aligned} V_o &= A'_v V'_i \left( \frac{R_L}{R_o + R_L} \right) \\ &= A_v V'_i \left( \frac{R_i}{R_i + R_s} \right) \left( \frac{R_L}{R_o + R_L} \right) \\ \frac{V_o}{V'_i} &= A_v \left( \frac{R_i}{R_i + R_s} \right) \left( \frac{R_L}{R_o + R_L} \right) \end{aligned}$$

حاصل ہوتا ہے۔ مساوات 7.39 اور مساوات 7.3 کے ساتھ موازنہ کرنے سے اس مساوات سے حاصل ہوتا ہے

$$(7.40) \quad \frac{V_o}{V'_i} = A'_v \left( \frac{R_L}{R_o + R_L} \right) = A_v$$

اس مساوات میں  $R_L \rightarrow \infty$  کی صورت میں

$$(7.41) \quad A_V \Big|_{R_L \rightarrow \infty} = A'_v$$

حاصل ہوتا ہے۔

واپسی اشارے کی عدم موجودگی میں

$$(7.42) \quad \begin{aligned} V_s &= V'_i = I_i (R_i + R_s) \\ R'_i &= \frac{V_s}{I_i} = R_i + R_s \end{aligned}$$

حاصل ہوتا ہے جو کہ  $R_s$  کو شامل کرتے ہوئے برقی دباؤ ایمپلیفائر کی کل داخلی مزاحمت  $R'_i$  ہے۔ آئیں اب واپسی اشارے کی شمولیت کے بعد  $\frac{V_s}{I_i}$  حاصل کریں۔

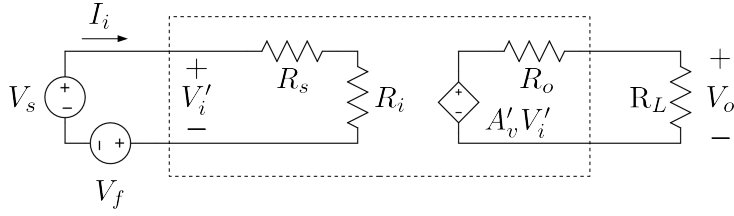
$$\begin{aligned} V_s - V_f &= I_i (R_s + R_i) \\ V_s - W V_o &= I_i (R_s + R_i) \\ V_s - W A_V V'_i &= I_i (R_s + R_i) \\ V_s - W A_V I_i (R_s + R_i) &= I_i (R_s + R_i) \\ V_s &= (1 + W A_V) (R_s + R_i) I_i \end{aligned}$$

اس مساوات میں تیسرے قدم پر مساوات 7.40 اور چوتھے قدم پر مساوات 7.42 کا استعمال کیا گیا۔ اس سے حاصل ہوتا ہے

$$(7.43) \quad \begin{aligned} R'_{if} &= \frac{V_s}{I_i} \\ &= (1 + W A_V) (R_s + R_i) \\ &= (1 + W A_V) R'_i \end{aligned}$$

اس مساوات کے مطابق منفی واپسی اشارے کی شمولیت سے داخلی مزاحمت  $M$  گنا بڑھ جاتا ہے۔

اس نتیجے کو یوں سمجھا جاسکتا ہے کہ واپسی اشارے کی عدم موجودگی میں اشارہ  $V_s$  لاگو کرنے سے داخلی جانب برقی رو گزرتی ہے۔ ان دونوں کی شرح کو داخلہ مزاحمت کہتے ہیں۔ منفی واپسی اشارے کے موجودگی میں داخلی جانب کل برقی دباؤ کم ہو کر  $(V_s - V_f)$  رہ جاتا ہے جس سے داخلی جانب برقی رو کی قیمت بھی کم ہو جاتی ہے۔ یوں  $V_s$



شکل 7.11: واپسی برقی دباؤ ایمپلیفائر کی داخلی مزاحمت

اور داخلی برقی رو کی شرح بڑھ جاتی ہے، جس سے داخلی مزاحمت بھی بڑھ جاتا ہے۔ آپ دیکھ سکتے ہیں کہ برقی دباؤ کا واپسی اشارہ چاہے خارجی برقی دباؤ یا خارجی برقی رو سے حاصل کیا جائے، یہ ہر صورت داخلی مزاحمت کو بڑھائے گا۔

مساوات 7.43 میں  $R_s = 0$  پر کرتے ہوئے

$$(7.44) \quad R_{if} = (1 + WA_V) R_i$$

حاصل ہوتا ہے جہاں داخلی مزاحمت کو  $R_{if}$  لکھ کر اس بات کی وضاحت کی گئی ہے کہ اس میں  $R_s = 0$  لیا گیا ہے۔

## 7.5.2 واپسی برقی رو ایمپلیفائر کا داخلی مزاحمت

شکل 7.3 میں دکھائے برقی رو ایمپلیفائر میں داخلی جانب منفی واپسی اشارہ  $I_f$  شامل کرتے ہوئے اسے یہاں شکل 7.12 میں دوبارہ دکھایا گیا ہے۔ فرق صرف اتنا ہے کہ یہاں  $R_s$  کو ایمپلیفائر کا حصہ تصور کیا گیا ہے اور

$$(7.45) \quad A'_i = A_i \left( \frac{R_s}{R_s + R_i} \right)$$

رکھا گیا ہے۔ اس دور میں

$$(7.46) \quad I'_i = I_s - I_f$$

کے برابر ہے۔

واپسی اشارے کی عدم موجودگی (یعنی  $I_f = 0$ ) کی صورت میں اشارہ  $I_s$  لاگو کرنے سے داخلی جانب ہم لکھ سکتے ہیں

$$\begin{aligned} I'_i &= I_s \\ V_i &= I'_i \left( \frac{R_s R_i}{R_s + R_i} \right) = I_s \left( \frac{R_s R_i}{R_s + R_i} \right) \\ R'_i &= \frac{V_i}{I_s} = \frac{R_s R_i}{R_s + R_i} \end{aligned} \quad (7.47)$$

جہاں  $R_s$  کو شامل کرتے ہوئے،  $R'_i$  بغیر واپسی ایپلیفائر کی کل داخلی مزاحمت ہے۔ اسی طرح شکل 7.12 میں

$$\begin{aligned} I_o &= A'_i I'_i \left( \frac{R_o}{R_o + R_L} \right) \\ &= A_i I'_i \left( \frac{R_s}{R_s + R_i} \right) \left( \frac{R_o}{R_o + R_L} \right) \\ \frac{I_o}{I'_i} &= A_i \left( \frac{R_s}{R_s + R_i} \right) \left( \frac{R_o}{R_o + R_L} \right) \end{aligned}$$

حاصل ہوتا ہے جہاں دوسرے قدم پر مساوات 7.45 کا استعمال کیا گیا ہے۔ اس مساوات کے دائیں جانب کا مساوات 7.12 کے ساتھ موازنہ کرنے سے حاصل ہوتا ہے

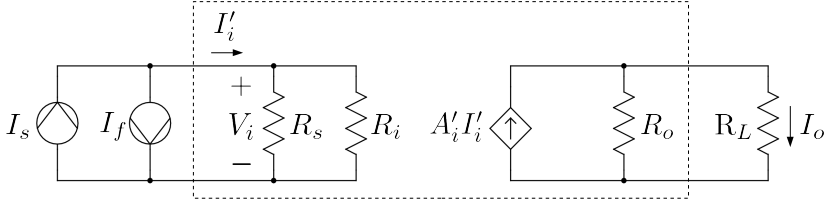
$$A_I = \frac{I_o}{I'_i} \quad (7.48)$$

واپسی اشارے کے موجودگی میں داخلی مزاحمت یوں حاصل ہو گا

$$\begin{aligned} I'_i &= I_s - I_f \\ &= I_s - W I_o \\ &= I_s - W A_I I'_i \\ I'_i &= \frac{I_s}{1 + W A_I} \end{aligned}$$

جہاں آخری قدم پر مساوات 7.48 کا استعمال کیا گیا۔ اس صورت میں داخلی برقی دباؤ

$$\begin{aligned} V_i &= I'_i \left( \frac{R_s R_i}{R_s + R_i} \right) \\ &= I'_i R'_i \\ &= \left( \frac{I_s}{1 + W A_I} \right) R'_i \end{aligned}$$



شکل 7.12: واپسی برقی روایمپلیفائر کی داخلی مزاحمت

حاصل ہوتا ہے جس سے

$$(7.49) \quad R'_{if} = \frac{V_i}{I_s} = \frac{R'_i}{1 + WA_I}$$

حاصل ہوتا ہے۔ اس مساوات کے تحت واپسی روایمپلیفائر کا داخلی مزاحمت  $R'_{if}$  غیر واپسی ایمپلیفائر کے داخلی مزاحمت  $R'_i$  سے  $M$  گنا کم ہوتا ہے۔

اس حقیقت کو یوں سمجھا جاسکتا ہے کہ واپسی اشارے کے عدم موجودگی میں  $I_s$  داخلی مزاحمت  $R'_i$  سے گزرتے ہوئے  $V_i$  کو جنم دیتا ہے۔  $I_s$  اور  $V_i$  کی شرح کو داخلی مزاحمت کہتے ہیں۔ واپسی اشارے کے موجودگی میں مزاحمت  $R'_i$  سے گزرتی برقی رو کی قیمت کم ہو کر  $I_s - I_f$  ہو جاتی ہے لہذا  $V_i$  کی قیمت بھی کم ہو جاتی ہے۔ یوں  $V_i$  اور  $I_s$  کی شرح بھی کم ہو جاتی ہے۔ آپ دیکھ سکتے ہیں کہ  $I_f$  چاہے خارجی برقی دباؤ  $V_o$  یا خارجی برقی رو  $I_o$  سے حاصل کیا جائے، اس کا داخلی کل مزاحمت پر ایک جیسا اثر ہوتا ہے یعنی کل داخلی مزاحمت کم ہوتا ہے۔

مساوات 7.49 میں  $R_s = 0$  پُر کرتے ہوئے

$$(7.50) \quad R_{if} = \frac{R_i}{1 + WA_I}$$

حاصل ہوتا ہے جہاں داخلی مزاحمت کو  $R_{if}$  لکھ کر اس بات کی وضاحت کی گئی ہے کہ اس میں  $R_s = 0$  لیا گیا ہے۔

### 7.5.3 واپسی موصل نما ایمپلیفائر کا داخلی مزاحمت

شکل 7.4 میں واپسی اشارہ  $V_f$  کی شمولیت اور

$$(7.51) \quad A'_g = A_g \left( \frac{R_i}{R_s + R_i} \right)$$

تصور کرتے ہوئے یہاں شکل 7.13 میں دوبارہ دکھایا گیا ہے۔ مزید یہ کہ یہاں  $R_s$  کو ایمپلیفائر کا حصہ تصور کیا گیا ہے۔ اس شکل کے لئے ہم لکھ سکتے ہیں

$$\begin{aligned} I_o &= A'_g V'_i \left( \frac{R_o}{R_o + R_L} \right) \\ &= A_g V'_i \left( \frac{R_i}{R_s + R_i} \right) \left( \frac{R_o}{R_o + R_L} \right) \\ \frac{I_o}{V'_i} &= A_g \left( \frac{R_i}{R_s + R_i} \right) \left( \frac{R_o}{R_o + R_L} \right) \end{aligned}$$

جہاں دوسرے قدم پر مساوات 7.51 کا استعمال کیا گیا۔ مساوات 7.17 کے ساتھ موازنہ سے حاصل ہوتا ہے۔

$$(7.52) \quad \frac{I_o}{V'_i} = A_G$$

واپسی اشارہ  $V_f$  کے عدم موجودگی میں ہم  $R_s$  کو شامل کرتے ہوئے کل داخلی مزاحمت  $R'_i$  حاصل کرتے ہیں۔

$$\begin{aligned} V'_i &= V_s = I_i (R_s + R_i) \\ R'_i &= \frac{V_s}{I_i} = R_s + R_i \end{aligned}$$

آئیں اب واپسی اشارے کے موجودگی میں کل داخلی مزاحمت  $R'_{if}$  حاصل کریں۔

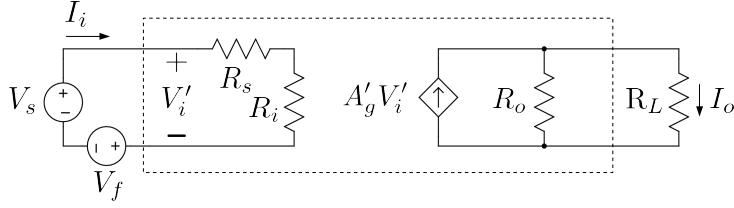
$$\begin{aligned} V'_i &= V_s - V_f \\ &= V_s - W I_o \\ &= V_s - W A_G V'_i \\ V'_i &= \frac{V_s}{1 + W A_G} \end{aligned} \quad (7.53)$$

تیسرے قدم پر مساوات 7.52 کا استعمال کیا گیا۔ اس مساوات کو

$$(7.54) \quad V'_i = I_i (R_s + R_i)$$

میں ڈالتے ہیں

$$\frac{V_s}{1 + W A_G} = I_i (R_s + R_i)$$



شکل 7.13: واپسی موصل نمایاں پیلٹاژ کی داخلی مزاحمت

جس سے حاصل ہوتا ہے

$$(7.55) \quad \begin{aligned} R'_{if} &= \frac{V_s}{I_i} = (R_s + R_i) (1 + WA_G) \\ &= R'_i (1 + WA_G) \end{aligned}$$

اس مساوات کے مطابق واپسی اشارے کے موجودگی میں کل داخلی مزاحمت  $R'_{if}$  کی قیمت واپسی اشارے کے عدم موجودگی میں کل داخلی مزاحمت  $R_i$  کے  $M$  گنا ہے۔

مساوات 7.55 میں  $R_s = 0$  پُر کرتے ہوئے

$$(7.56) \quad R_{if} = R_i (1 + WA_G)$$

حاصل ہوتا ہے جہاں داخلی مزاحمت کو  $R_{if}$  لکھ کر اس بات کی وضاحت کی گئی ہے کہ اس میں  $R_s = 0$  لیا گیا ہے۔

7.5.4 واپسی مزاحمت نمایاں پیلٹاژ کا داخلی مزاحمت

شکل 7.5 میں واپسی اشارہ  $V_f$  کی شمولیت اور

$$(7.57) \quad A'_r = A_r \left( \frac{R_s}{R_s + R_i} \right)$$

تصور کرتے ہوئے یہاں شکل 7.14 میں دوبارہ دکھایا گیا ہے۔ مزید یہ کہ یہاں  $R_s$  کو ایمپلیفائر کا حصہ تصور کیا گیا ہے۔ اس شکل کے لئے ہم لکھ سکتے ہیں

$$\begin{aligned} V_o &= A'_r I'_i \left( \frac{R_L}{R_o + R_L} \right) \\ &= A_r I'_i \left( \frac{R_s}{R_s + R_i} \right) \left( \frac{R_L}{R_o + R_L} \right) \\ \frac{V_o}{I'_i} &= A_r \left( \frac{R_s}{R_s + R_i} \right) \left( \frac{R_L}{R_o + R_L} \right) \end{aligned}$$

جہاں دوسرے قدم پر مساوات 7.57 کا استعمال کیا گیا ہے۔ مساوات 7.23 کے ساتھ موازنہ کرتے ہوئے مندرجہ بالا مساوات سے حاصل ہوتا ہے۔

$$(7.58) \quad \frac{V_o}{I'_i} = A_R$$

واپسی اشارے کے عدم موجودگی میں  $I'_i = I_s$  ہوتا ہے لہذا داخلی مزاحمت  $R'_i$  یوں حاصل ہوتا ہے

$$\begin{aligned} V_i &= I'_i \left( \frac{R_s R_i}{R_s + R_i} \right) \\ &= I_s \left( \frac{R_s R_i}{R_s + R_i} \right) \\ R'_i &= \frac{V_i}{I_s} = \left( \frac{R_s R_i}{R_s + R_i} \right) \end{aligned} \quad (7.59)$$

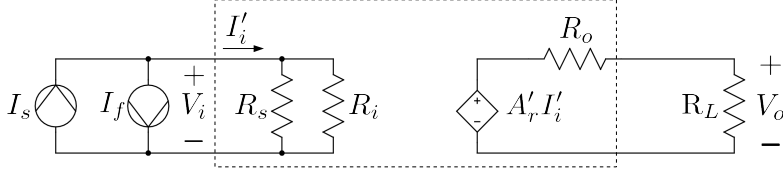
واپسی اشارے کے موجودگی میں

$$\begin{aligned} I'_i &= I_s - I_f \\ &= I_s - W V_o \\ &= I_s - W A_R I'_i \\ I'_i &= \frac{I_s}{1 + W A_R} \end{aligned}$$

اس مساوات کو

$$V_i = I'_i \left( \frac{R_s R_i}{R_s + R_i} \right)$$





شکل 7.14: واپسی مزاحمت نمائندگی پیلٹاؤر کی داخلی مزاحمت

میں استعمال کرتے حاصل ہوتا ہے

$$V_i = \left( \frac{I_s}{1 + W A_R} \right) \left( \frac{R_s R_i}{R_s + R_i} \right)$$

جس سے واپسی اشارے کے موجودگی میں کل داخلی مزاحمت  $R'_{if}$  یوں حاصل ہوتا ہے۔

$$\begin{aligned} R'_{if} &= \frac{V_i}{I_s} = \left( \frac{1}{1 + W A_R} \right) \left( \frac{R_s R_i}{R_s + R_i} \right) \\ &= \frac{R'_i}{1 + W A_R} \end{aligned} \quad (7.60)$$

اس مساوات کے تحت واپسی اشارے کے موجودگی میں کل داخلی مزاحمت  $R'_{if}$  کی قیمت واپسی اشارے کے عدم موجودگی میں کل داخلی مزاحمت  $R'_i$  سے  $M$  گنا کم ہوتا ہے۔

مساوات 7.60 میں  $R_s = 0$  پُر کرتے ہوئے

$$R_{if} = \frac{R_i}{1 + W A_R} \quad (7.61)$$

حاصل ہوتا ہے جہاں داخلی مزاحمت کو  $R_{if}$  لکھ کر اس بات کی وضاحت کی گئی ہے کہ اس میں  $R_s = 0$  لیا گیا ہے۔

## 7.6 خارجی مزاحمت

اس حصے میں خارجی مزاحمت پر واپسی اشارے کے اثر کو دیکھا جائے گا۔

## 7.6.1 واپسی برقی دباؤ ایمپلیفائر کا خارجی مزاحمت

شکل 7.11 میں  $R_L$  کو منقطع کرتے ہوئے،  $V_s = 0$  رکھ کر خارجی جانب برقی دباؤ  $V_t$  لاگو کرتے ہیں۔  $V_t$  اور  $I_t$  کی شرح اس ایمپلیفائر کا خارجی مزاحمت  $R_{of}$  ہو گا۔ شکل 7.15 میں ایسا دکھایا گیا ہے جہاں سے ہم لکھ سکتے ہیں

$$\begin{aligned} I_t &= \frac{V_t - A'_v V'_i}{R_o} \\ &= \frac{V_t + A'_v V_f}{R_o} \\ &= \frac{V_t + A'_v W V_t}{R_o} \end{aligned}$$

اور یوں واپسی اشارے کے موجودگی میں خارجی مزاحمت یوں حاصل ہوتا ہے

$$(7.62) \quad R_{of} = \frac{V_t}{I_t} = \frac{R_o}{1 + W A'_v}$$

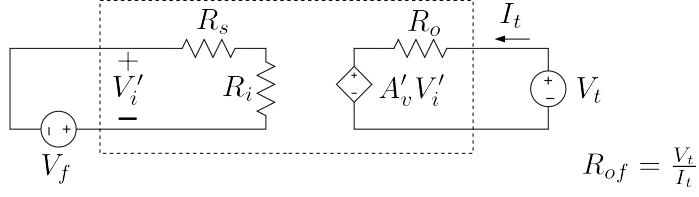
اگر  $R_L$  کو بھی شامل کیا جائے تب چونکہ  $R_L$  اور  $R_{of}$  متوازی جڑے ہیں لہذا اس صورت کل خارجی مزاحمت  $R_{of}'$  یوں حاصل ہو گی

$$\begin{aligned} R_{of}' &= \frac{R_{of} R_L}{R_{of} + R_L} = \frac{\left( \frac{R_o}{1 + W A'_v} \right) R_L}{\left( \frac{R_o}{1 + W A'_v} \right) + R_L} \\ &= \frac{\frac{R_o R_L}{1 + W A'_v}}{\frac{R_o + R_L (1 + W A'_v)}{1 + W A'_v}} = \frac{R_o R_L}{R_o + R_L (1 + W A'_v)} \\ &= \frac{R_o R_L}{R_o + R_L + W A'_v R_L} = \frac{R_o R_L}{(R_o + R_L) \left( 1 + \frac{W A'_v R_L}{R_o + R_L} \right)} \\ &= \frac{\frac{R_o R_L}{R_o + R_L}}{1 + \frac{W A'_v R_L}{R_o + R_L}} \end{aligned}$$

دراصل  $R_o$  اور  $R_L$  کا مساوی متوازی مزاحمت ہے جسے  $R_o'$  لکھتے ہوئے اور  $\frac{A'_v R_L}{R_o + R_L}$  کو  $A_V$  لکھتے ہوئے مندرجہ بالا مساوات سے حاصل ہوتا ہے

$$(7.63) \quad R_{of}' = \frac{R_o'}{1 + W A_V}$$

<sup>14</sup> برقی دباؤ کو صفر کرنے کی خاطر اسے قصور دور کیا جاتا ہے



شکل 7.15: واپسی برقی دباؤ ایملیفائر کا خارجی مزاحمت

مزید لا محدود مزاحمتی بوجھ یعنی  $R_L \rightarrow \infty$  پر

$$(7.64) \quad R'_{of} \Big|_{R_L \rightarrow \infty} = \frac{R_{of} R_L}{R_{of} + R_L} \Big|_{R_L \rightarrow \infty} = R_{of}$$

ہی حاصل ہوتا ہے

## 7.6.2 واپسی برقی رو ایملیفائر کا خارجی مزاحمت

شکل 7.12 میں  $R_L$  کو منقطع کرتے ہوئے،  $I_s = 0$  رکھ کر خارجی جانب برقی دباؤ  $V_t$  لاگو کرتے ہیں۔  $V_t$  اور  $I_t$  کی شرح اس ایملیفائر کا خارجی مزاحمت  $R_{of}$  ہوگا۔ شکل 7.16 میں ایسا دکھایا گیا ہے جہاں سے ہم لکھ سکتے ہیں

$$\begin{aligned} V_t &= (I_t + A'_i I'_i) R_o \\ &= (I_t - A'_i I_f) R_o \\ &= (I_t - A'_i W I_o) R_o \end{aligned}$$

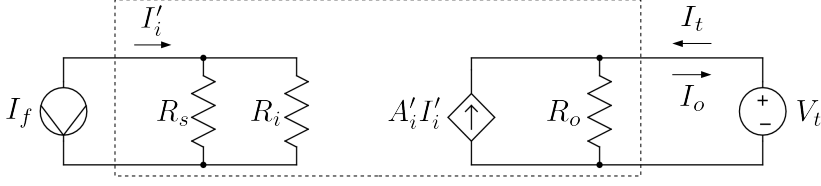
جیسا شکل میں دکھایا گیا ہے  $I_t = -I_o$  ہے لہذا مندرجہ بالا مساوات کو یوں لکھ سکتے ہیں

$$V_t = (I_t + A'_i W I_t) R_o$$

جس سے  $R_{of}$  یوں حاصل ہوتا ہے

$$(7.65) \quad R_{of} = \frac{V_t}{I_t} = R_o (1 + W A'_i)$$

<sup>15</sup> برقی رو کو صفر کرنے کی خاطر اسے کھلے دور کیا جاتا ہے



شکل 7.16: واپسی برقی روائی پلٹاؤ کا خارجی مزاحمت

مزاحمتی بوجھ  $R_L$  مزاحمت  $R_{of}$  کے متوازی جڑا ہے لہذا اس کے شمولیت سے کل خارجی مزاحمت  $R'_{of}$  یوں حاصل کرتے ہیں۔

$$\begin{aligned}
 R'_{of} &= \frac{R_{of} R_L}{R_{of} + R_L} = \frac{R_o (1 + W A'_i) R_L}{R_o (1 + W A'_i) + R_L} \\
 &= \frac{(1 + W A'_i) R_o R_L}{R_o + W A'_i R_o + R_L} = \frac{(1 + W A'_i) R_o R_L}{R_o + R_L + W A'_i R_o} \\
 &= \frac{(1 + W A'_i) R_o R_L}{(R_o + R_L) + W A'_i R_o} = \frac{(1 + W A'_i) R_o R_L}{(R_o + R_L) \left(1 + \frac{W A'_i R_o}{R_o + R_L}\right)} \\
 &= \left( \frac{R_o R_L}{R_o + R_L} \right) \frac{(1 + W A'_i)}{\left(1 + W \frac{A'_i R_o}{R_o + R_L}\right)}
 \end{aligned}$$

$R_o$  اور  $R_L$  متوازی جوڑنے سے  $\frac{R_o R_L}{R_o + R_L}$  حاصل ہو گا۔ اس کو  $R'_o$  اور  $\frac{A'_i R_o}{R_o + R_L}$  کو  $A_I$  لکھتے ہوئے حاصل ہوتا ہے

$$(7.66) \quad R'_{of} = R'_o \frac{(1 + W A'_i)}{(1 + W A_I)}$$

## 7.6.3 واپسی موصل نما ایپلیفائر کا خارجی مزاحمت

شکل 7.13 میں  $R_L$  کو منقطع کرتے ہوئے،  $V_s = 0$  رکھ کر خارجی جانب برقی دباؤ  $V_t$  لاگو کرتے ہیں۔  $V_t$  اور  $I_t$  کی شرح اس ایپلیفائر کا خارجی مزاحمت  $R_{of}$  ہو گا۔ شکل 7.17 میں ایسا دکھایا گیا ہے جہاں سے ہم لکھ سکتے ہیں

$$\begin{aligned} V_t &= (I_t + A'_g V'_i) R_o \\ &= (I_t - A'_g V_f) R_o \\ &= (I_t - A'_g W I_o) R_o \\ &= (I_t + A'_g W I_t) R_o \end{aligned}$$

جہاں دوسرے قدم پر  $V'_i = -V_f$  اور چوتھے قدم پر  $I_o = -I_t$  کا استعمال کیا گیا ہے۔ یوں کل خارجی مزاحمت  $R_{of}$  کی قیمت یوں حاصل ہوتی ہے۔

$$(7.67) \quad R_{of} = \frac{V_t}{I_t} = R_o (1 + W A'_g)$$

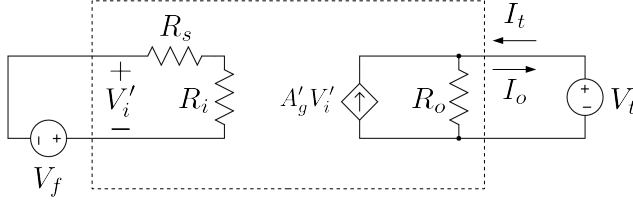
اگر  $R_L$  کو بھی شامل کیا جائے تب کل خارجی مزاحمت کو  $R'_{of}$  لکھتے ہوئے

$$\begin{aligned} R'_{of} &= \frac{R_{of} R_L}{R_{of} + R_L} = \frac{R_o R_L (1 + W A'_g)}{R_o (1 + W A'_g) + R_L} \\ &= \frac{R_o R_L (1 + W A'_g)}{R_o + R_o W A'_g + R_L} = \frac{R_o R_L (1 + W A'_g)}{(R_o + R_L) \left(1 + \frac{R_o W A'_g}{R_o + R_L}\right)} \\ &= \left(\frac{R_o R_L}{R_o + R_L}\right) \left(\frac{1 + W A'_g}{1 + \frac{R_o A'_g W}{R_o + R_L}}\right) \end{aligned}$$

اس مساوات میں  $\frac{R_o R_L}{R_o + R_L}$  کو  $R'_o$  لکھتے ہوئے اور  $\frac{R_o A'_g}{R_o + R_L}$  کو  $A_G$  لکھتے ہوئے حاصل ہوتا ہے

$$(7.68) \quad R'_{of} = R'_o \left(\frac{1 + W A'_g}{1 + W A_G}\right)$$

<sup>16</sup> برقی دباؤ کو صفر کرنے کی خاطر اسے قصور دور کیا جاتا ہے



شکل 7.17: واپسی موصل نما ایملیفائر کا خارجی مزاحمت

#### 7.6.4 واپسی مزاحمت نما ایملیفائر کا خارجی مزاحمت

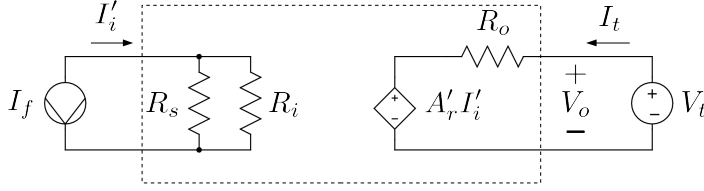
شکل 7.14 میں  $R_L$  کو منقطع کرتے ہوئے،  $I_s = 0$  رکھ کر خارجی جانب برقی دباؤ  $V_t$  لاگو کرتے ہیں۔  $V_t$  اور  $I_t$  کی شرح اس ایملیفائر کا خارجی مزاحمت  $R_{of}$  ہو گا۔ شکل 7.18 میں ایسا دکھایا گیا ہے جہاں سے ہم لکھ سکتے ہیں

$$\begin{aligned} I_t &= \frac{V_t - A'_r I'_i}{R_o} \\ &= \frac{V_t + A'_r I_f}{R_o} \\ &= \frac{V_t + A'_r W V_o}{R_o} \\ &= \frac{V_t + A'_r W V_t}{R_o} \end{aligned}$$

جہاں دوسرے قدم پر  $I'_i = -I_f$  کا استعمال اور چوتھے قدم پر  $V_o = V_t$  کا استعمال کیا گیا ہے۔ یوں کل خارجی مزاحمت  $R_{of}$  کو یوں حاصل کیا جاسکتا ہے۔

$$(7.69) \quad R_{of} = \frac{V_t}{I_t} = \frac{R_o}{1 + W A'_r}$$

<sup>17</sup> برقی رد کو صفر کرنے کی خاطر اسے کھلے دور کیا جاتا ہے



شکل 7.18: وابسی مزاحمت نما، ایمپلیفائر کا خارجی مزاحمت

اگر  $R_L$  کو بھی شامل کیا جائے تب کل خارجی مزاحمت  $R'_{of}$  کو یوں حاصل کیا جائے گا۔

$$\begin{aligned}
 R'_{of} &= \frac{R_{of} R_L}{R_{of} + R_L} = \frac{\left( \frac{R_o R_L}{1 + W A'_r} \right)}{\left( \frac{R_o}{1 + W A'_r} + R_L \right)} \\
 &= \frac{\left( \frac{R_o R_L}{1 + W A'_r} \right)}{\left( \frac{R_o + R_L (1 + W A'_r)}{1 + W A'_r} \right)} = \frac{R_o R_L}{R_o + R_L (1 + W A'_r)} \\
 &= \frac{R_o R_L}{R_o + R_L + W A'_r R_L} = \frac{R_o R_L}{(R_o + R_L) \left( 1 + \frac{W A'_r R_L}{R_o + R_L} \right)} \\
 &= \left( \frac{R_o R_L}{R_o + R_L} \right) \left( \frac{1}{1 + \frac{W A'_r R_L}{R_o + R_L}} \right)
 \end{aligned}$$

اس مساوات میں  $\frac{R_o R_L}{R_o + R_L}$  کو  $R'_o$  لکھتے ہوئے اور  $\frac{A'_r R_L}{R_o + R_L}$  کو  $A_R$  لکھتے ہوئے حاصل ہوتا ہے

$$(7.70) \quad R'_{of} = \frac{R'_o}{1 + W A_R}$$

جدول 7.2 میں ان نتائج کو پیش کیا گیا ہے۔

برقی دباؤ ایمپلیفائر کا داخلی مزاحمت زیادہ سے زیادہ جبکہ اس کا خارجی مزاحمت کم سے کم درکار ہوتا ہے۔ اس جدول سے آپ دیکھ سکتے ہیں کہ واپسی اشارے کی شمولیت سے برقی دباؤ ایمپلیفائر کا داخلی مزاحمت بڑھتا ہے جبکہ اس کا خارجی مزاحمت گھٹتا ہے۔ جہاں ایمپلیفائر کا داخلی اشارہ برقی دباؤ ہو وہاں زیادہ سے زیادہ داخلی مزاحمت درکار ہوتا ہے

جدول 7.2: واپسی ایپلیفائر کے داخلی اور خارجی مزاحمت

ایپلیفائر کی قسم	داخلی مزاحمت	خارجی مزاحمت
برقی دباؤ	$R'_{if} = R'_i (1 + WA_V)$	$R_{of} = \frac{R_o}{1 + WA'_v}$
برقی رو	$R'_{if} = \frac{R'_i}{1 + WA_I}$	$R_{of} = R_o (1 + WA'_i)$
موصول نما	$R'_{if} = R'_i (1 + WA_G)$	$R_{of} = R_o (1 + WA'_g)$
مزاحمت نما	$R'_{if} = \frac{R'_i}{1 + WA_R}$	$R_{of} = \frac{R_o}{1 + WA'_r}$

جبکہ اس کے برعکس جہاں داخلی اشارہ برقی رو ہو وہاں کم سے کم داخلی مزاحمت درکار ہوتا ہے۔ اسی طرح جہاں خارجی اشارہ برقی دباؤ کا ہو وہاں کم سے کم خارجی مزاحمت درکار ہوتا ہے جبکہ خارجی اشارہ برقی رو ہونے کی صورت میں زیادہ سے زیادہ خارجی مزاحمت درکار ہوتا ہے۔ جدول سے آپ دیکھ سکتے ہیں کہ تمام صورتوں میں واپسی اشارے کی شمولیت سے داخلی اور خارجی مزاحمت بہتر ہوتے ہیں۔ سوال 7.3 تا سوال 7.6 انہیں حقائق کو اجاگر کرتے ہیں۔ ان سوالات میں آپ یہ بھی دیکھیں گے کہ  $WA \gg 1$  کی صورت میں  $A_f \approx \frac{1}{W}$  لیا جاسکتا ہے۔

## 7.7 واپسی ایپلیفائر کے جماعت بندی کی مثالیں

کسی بھی واپسی ایپلیفائر کے جماعت بندی اس کے داخلی جانب مساوات 7.30 کے طرز کے مساوات سے کی جاتی ہے۔ ایسے مساوات میں  $X_o$  اور  $X_s$  سے جدول 7.1 کے تحت ایپلیفائر کی جماعت اخذ کی جاتی ہے اور اگر دیا گیا ایپلیفائر مساوات 7.34 پر پورا اترتا ہو تب  $W$  استعمال کرتے ہوئے مساوات 7.35 سے اس کی افزائش لکھی جاسکتی ہے۔ واپسی ایپلیفائر عموماً مساوات 7.34 پر پورا اترتے ہیں۔

اس حصے میں مساوات 7.30 کے طرز کی مساوات کا حصول دکھایا جائے گا۔ ایسا کرتے ہوئے تصور کیا جائے گا کہ ایپلیفائر مساوات 7.34 پر پورا اترتا ہے لہذا افزائش کے لئے مساوات 7.35 استعمال کیا جائے گا۔



حسابی ایمپلیفائر کی افزائش نہایت زیادہ ہوتی ہے۔ یوں اس پر مبنی واپسی دور مساوات 7.34 پر پورا اترتا ہے اور اس کی داخلی مساوات ہو بہو مساوات 7.30 کی طرح ہوتا ہے۔ یوں حسابی ایمپلیفائر استعمال کرتے ہوئے کامل واپسی ادوار بنائے جاتے ہیں۔

ٹرانزسٹر ایمپلیفائر کی افزائش عموماً بہت زیادہ نہیں ہوتی۔ یوں ٹرانزسٹر دور مساوات 7.34 پر پوری طرح پورا نہیں اترتا۔ اس کا داخلی مساوات اگرچہ مساوات 7.30 کی طرح ہوتا ہے مگر اس میں کئی غیر ضروری جزو بھی پائے جاتے ہیں۔ ان غیر ضروری اجزاء کی قیمت جتنی کم ہو اتنا بہتر واپسی ایمپلیفائر بنتا ہے۔

### 7.7.1 واپسی برقی دباؤ ایمپلیفائر

مثبت حسابی ایمپلیفائر کو شکل 7.19 الف میں دکھایا گیا ہے۔ شکل ب میں اسی کو قدر مختلف طرز پر دوبارہ بنایا گیا ہے جہاں اس میں واپسی اشارے کی پہچان آسانی سے ممکن ہے۔ شکل ب میں داخلی جانب کرخوف کے قانون برائے برقی دباؤ سے

$$(7.71) \quad V_i = V_s - V_f$$

لکھا جاسکتا ہے جہاں

$$(7.72) \quad V_f = \left( \frac{R_1}{R_1 + R_2} \right) V_o = W V_o$$

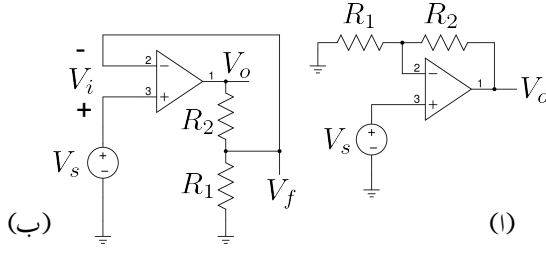
ہے۔ یوں

$$(7.73) \quad W = \frac{R_1}{R_1 + R_2}$$

حاصل ہوتا ہے۔

مساوات 7.72 سے صاف ظاہر ہے کہ واپسی اشارہ برقی دباؤ کی صورت میں پایا جاتا ہے اور اس کو خارجی برقی دباؤ سے حاصل کیا گیا ہے۔ اسی طرح مساوات 7.71 سے ظاہر ہے کہ داخلی جانب دو برقی دباؤ کے اشارات کو ایک دونوں سے منفی کیا جا رہے ہیں۔ یوں ہم کہہ سکتے ہیں کہ مثبت حسابی ایمپلیفائر واپسی برقی دباؤ ایمپلیفائر کی قسم ہے۔ مزید یہ کہ مساوات 7.72 سے صاف ظاہر ہے کہ  $R_1$  اور  $R_2$  مل کر واپس کار کا کردار ادا کرتے ہیں۔ اس حصے میں اپنی پوری توجہ واپس کار پہنچانے پر رکھیں۔

$$\begin{aligned}
 V_i &= V_s - V_f \\
 V_f &= \left( \frac{R_1}{R_1 + R_2} \right) V_o \\
 &= W V_o \\
 W &= \frac{R_1}{R_1 + R_2} \\
 A_v &= \frac{1}{W} \\
 &= 1 + \frac{R_2}{R_1}
 \end{aligned}$$



شکل 7.19: مثبت حساسی ایمپلیفائر ایک واپسی برقی دباؤ ایمپلیفائر ہے

حسابی ایمپلیفائر کی افزائش  $A_v$  نہایت زیادہ ہوتی ہے لہذا مثبت ایمپلیفائر مساوات 7.34 پر پورا اترتا ہے اور یوں مساوات 7.35 کے تحت

$$(7.74) \quad A_{vf} \approx \frac{1}{W} = 1 + \frac{R_2}{R_1}$$

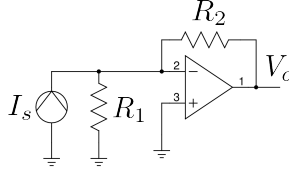
حاصل ہوتا ہے جو کہ ہم جانتے ہیں کہ درست جواب ہے۔

حسابی ایمپلیفائر کا ایک منفی داخلی سرا جبکہ دوسرا مثبت داخلی سرا ہے۔ اس حصے میں واپسی ایمپلیفائر میں داخلی اشارہ  $V_s$  کو مثبت داخلی سرے پر مہیا کیا گیا جبکہ واپسی اشارہ  $V_f$  کو منفی داخلی سرے پر مہیا کیا گیا۔ جب بھی داخلی اور واپسی اشارات کو دو مختلف داخلی سروں پر مہیا کیا جائے، انہیں سلسلہ وار جڑا تصور کریں۔ چونکہ صرف برقی دباؤ کے اشارات کو ہی سلسلہ وار جوڑا جاسکتا ہے لہذا ایسی صورت میں داخلی اور واپسی اشارات کو برقی دباؤ اشارات تصور کریں۔ مزید داخلی اشارے کو تھوڑے سے شکل دیں اور واپسی اشارے کی مساوات کو برقی دباؤ (یعنی  $V_f$ ) کی صورت میں حاصل کریں۔  $V_f$  کے مساوات سے یہ بتلانا ممکن ہو گا کہ آیا  $V_o$  یا  $I_o$  سے واپسی اشارہ حاصل کیا گیا ہے۔ ان معلومات سے ایمپلیفائر کی جماعت دریافت ہوتی ہے۔

## 7.7.2 واپسی مزاحمت نما ایمپلیفائر

شکل 7.20 الف میں منفی حساسی ایمپلیفائر دکھایا گیا ہے۔ شکل ب میں داخلی اشارے کا نارٹن مساوی دور استعمال کیا گیا ہے۔ یوں

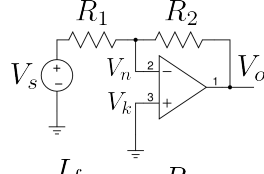
$$I_s = \frac{V_s}{R_1}$$



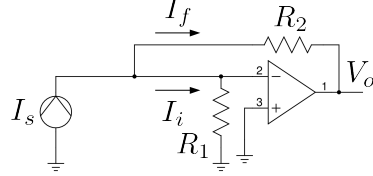
(ب)

$$I_i = I_s - I_f$$

$$I_f = \frac{0 - V_o}{R_2}$$



(پ)



(پ)

شکل 7.20: منفی حسابی ایمپلیفائر ایک واپسی مزاحمت نما ایمپلیفائر ہے

$$(7.75) \quad I_s = \frac{V_s}{R_1}$$

ہو گا۔ شکل پ کے داخلی جانب کرنوف کے قانون برائے برقی رو کی مدد سے مساوات 7.29 کے طرز پر

$$(7.76) \quad I_i = I_s - I_f$$

لکھا جاسکتا ہے جہاں قانون اہم کی مدد سے

$$(7.77) \quad I_f = \frac{V_n - V_o}{R_2} = \frac{0 - V_o}{R_2} = WV_o$$

حاصل ہوتا ہے۔ مندرجہ بالا مساوات لکھتے ہوئے یاد رہے کہ حسابی ایمپلیفائر کے منفی اور مثبت داخلی سروں پر برابر برقی دباؤ رہتا ہے۔ چونکہ یہاں مثبت داخلی سرا برقی زمین پر ہے لہذا  $V_k = 0$  ہو گا اور اس طرح  $V_n = 0$  حاصل ہوتا ہے۔ مساوات 7.77 سے ظاہر ہے کہ واپسی اشارہ برقی رو کی صورت میں ہے اور اس کو خارجی برقی دباؤ سے حاصل کیا گیا ہے۔ مساوات 7.76 سے ظاہر ہے کہ داخلی جانب دو برقی رو کے اشارات کو ایک دونوں سے منفی کیا جا رہے ہیں۔ یوں ان دو مساوات کو دیکھتے ہوئے ہم کہہ سکتے ہیں کہ منفی حسابی ایمپلیفائر دراصل واپسی مزاحمت نما ایمپلیفائر کی قسم ہے۔ مندرجہ بالا مساوات سے

$$(7.78) \quad W = -\frac{1}{R_2}$$

حاصل ہوتا ہے۔ آپ دیکھ سکتے ہیں کہ  $R_2$  ہی واپس کار ہے۔

حسابی ایمپلیفائر کی افزائش نہایت زیادہ ہوتی ہے لہذا منفی ایمپلیفائر مساوات 7.34 پر پورا اترتا ہے اور یوں مساوات 7.35 کے تحت

$$(7.79) \quad A_{rf} = \frac{V_o}{I_s} \approx \frac{1}{W} = -R_2$$

حاصل ہوتا ہے۔ مساوات 7.75 کی مدد سے اس مساوات کو یوں لکھا جاسکتا ہے

$$(7.80) \quad \frac{V_o}{\left(\frac{V_s}{R_1}\right)} = -R_2$$

$$(7.81) \quad \frac{V_o}{V_s} = -\frac{R_2}{R_1}$$

جو کہ منفی حسابی ایمپلیفائر کی جانی پہچانی مساوات ہے۔

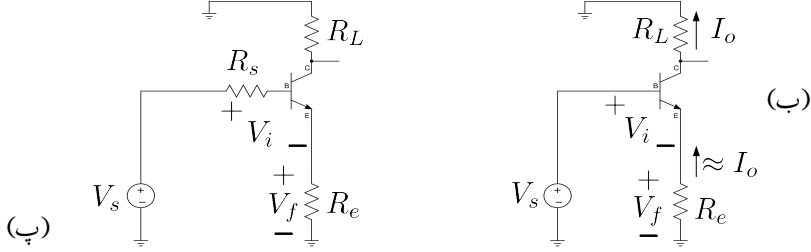
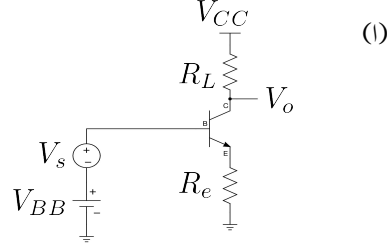
اس حصے میں واپسی مزاحمت نما ایمپلیفائر میں داخلی اشارے کو منفی داخلی سرے پر مہیا کیا گیا۔ اسی طرح واپسی اشارے کو بھی منفی داخلی سرے پر ہی مہیا کیا گیا۔ جب بھی داخلی اور واپسی اشارات کو ایک ہی داخلی سرے پر مہیا کیا جائے، انہیں متوازی جڑا تصور کریں۔ چونکہ صرف برقی رو کے اشارات کو ہی متوازی جوڑا جاسکتا ہے لہذا ایسی صورت میں داخلی اور واپسی اشارات کو برقی رو اشارات تصور کریں۔ مزید داخلی اشارے کو نارٹن شکل دیں اور واپسی اشارے کی مساوات کو برقی رو (یعنی  $I_f$ ) کی صورت میں حاصل کریں۔  $I_f$  کے مساوات سے یہ بتلانا ممکن ہو گا کہ آیا خارجی برقی دباؤ یا خارجی برقی رو سے واپسی اشارہ حاصل کیا گیا ہے۔ ان معلومات سے ایمپلیفائر کی جماعت دریافت ہوتی ہے۔

### 7.7.3 واپسی موصل نما ایمپلیفائر

شکل 7.21 الف میں ٹرانزسٹر کا دور دکھایا گیا ہے جس میں بوجھ  $R_L$  ٹرانزسٹر کے کلکٹر پر لگایا گیا ہے۔ شکل ب میں باریک اشاراتی تجربے کی غرض سے  $V_{CC} = 0$  اور  $V_{BB} = 0$  لئے گئے ہیں۔ مزید ٹرانزسٹر کے  $V_{be}$  کو  $V_i$  کہتے ہوئے

$$\begin{aligned} V_i &= V_s - V_f \\ &= V_s - (-I_o R_e) \\ &= V_s - W I_o \end{aligned}$$

$$\begin{aligned}
 V_i &= V_s - V_f \\
 V_f &= -I_o R_e \\
 W &= -R_e \\
 A_{gf} &\approx \frac{1}{W} = -\frac{1}{R_e}
 \end{aligned}$$



شکل 7.21: ٹرانزسٹر کا واپسی موصل نما ایمپلیفائر

لکھا جا سکتا ہے۔ اس کا  $(X_i = X_s - W X_o)$  کے ساتھ موازنہ کرنے سے

$$(7.82) \quad W = -R_e$$

حاصل ہوتا ہے۔ مندرجہ بالا دو مساوات کو دیکھتے ہوئے ہم کہہ سکتے ہیں کہ یہ واپسی موصل نما ایمپلیفائر ہے اور یوں

$$(7.83) \quad A_{gf} = \frac{I_o}{V_s} \approx \frac{1}{W} = -\frac{1}{R_e}$$

حاصل ہوتا ہے۔

حصہ 7.3.2 میں چند بنیادی مفروضے بیان کئے گئے جس کے پہلی شق کے مطابق  $W$  کے قیمت پر بوجھ  $R_L$  کا کوئی اثر نہیں ہو سکتا۔ یوں  $W$  کی قیمت یا اس کی مساوات حاصل کرتے وقت یہ خیال رہے کہ اس پر بوجھ کے مزاحمت  $R_L$  کا کسی قسم کا کوئی اثر نہیں ہونا چاہئے۔ اگر  $I_o = \frac{V_o}{R_L}$  لکھا جائے تو  $V_f = -\frac{R_e}{R_L} V_o$  لکھا جا سکتا ہے جس سے  $W = -\frac{R_e}{R_L}$  حاصل ہو گا۔ حاصل  $W$  کی قیمت  $R_L$  پر منحصر ہے جو قابل قبول نہیں۔ اسی لئے اس کو غلط جواب تصور کرتے ہوئے رد کیا جاتا ہے۔

حاصل کردہ  $A_{gf}$  کے استعمال سے  $\frac{V_o}{V_s}$  یعنی  $A_{vf}$  حاصل کرتے ہیں۔ چونکہ  $V_o = I_o R_L$  ہے لہذا

$$(7.84) \quad A_{vf} = \frac{V_o}{V_s} = \frac{I_o R_L}{V_s} = \left( \frac{I_o}{V_s} \right) R_L = A_{gf} R_L = -\frac{R_L}{R_e}$$

حاصل ہوتا ہے۔

اس مساوات کے مطابق  $\frac{V_o}{V_s}$  کی قیمت  $R_L$  سے منسلک ہے۔ اس لئے اگرچہ اسے برقی دباؤ کا حیثہ بڑھانے کی خاطر استعمال کیا جاسکتا ہے مگر یہ ہرگز برقی دباؤ ایمپلیفائر نہیں ہے اور جب بھی بوجھ  $R_L$  تبدیل کی جائے اس ایمپلیفائر کی  $\frac{V_o}{V_s}$  کی شرح تبدیل ہو جائے گی۔ اس کے برعکس مساوات 7.83 کے تحت  $\frac{I_o}{V_s}$  کے قیمت پر  $R_L$  کا کوئی اثر نہیں لہذا اس ایمپلیفائر کو واپسی موصل نما ایمپلیفائر تصور کیا جائے گا۔

شکل پ میں  $R_s$  بھی شامل کیا گیا ہے۔ یہاں  $R_s$  کو ایمپلیفائر کا اندرونی حصہ تصور کرتے ہوئے  $V_i = V_s - V_f$  لکھا جاسکتا ہے۔ یوں مندرجہ بالا تمام تبصرہ اس شکل کے لئے بھی درست ہے۔

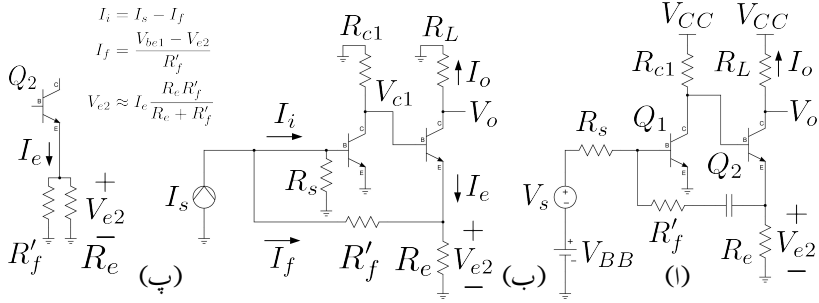
ٹرانزسٹر کے B اور E کو دو علیحدہ داخلی سرے تصور کیا جاسکتا ہے<sup>18</sup>۔ یوں اس حصے میں واپسی موصل نما ایمپلیفائر میں داخلی اشارے کو B پر مہیا کیا گیا جبکہ واپسی اشارے کو E پر مہیا کیا گیا۔ جب بھی داخلی اور واپسی اشارات کو دو مختلف داخلی سروں پر مہیا کیا جائے، انہیں سلسلہ وار جڑا تصور کریں۔ چونکہ صرف برقی دباؤ اشارات ہی سلسلہ وار جوڑے جاسکتے ہیں لہذا ایسی صورت میں داخلی اور واپسی اشارات کو برقی دباؤ اشارات تصور کریں۔ مزید داخلی اشارے کو تھوئن شکل دیں جبکہ واپسی اشارے کی مساوات کو برقی دباؤ (یعنی  $V_f$ ) کی صورت میں حاصل کریں۔

واپسی اشارے کی مساوات سے یہ بتلانا ممکن ہو گا کہ آیا  $V_o$  یا  $I_o$  سے واپسی اشارہ حاصل کیا گیا ہے۔ ان معلومات سے ایمپلیفائر کی جماعت دریافت ہوتی ہے۔ اس صورت میں B اور E کے مابین برقی دباؤ کو  $V_i$  لکھا جائے گا۔

#### 7.7.4 واپسی برقی روا ایمپلیفائر

شکل 7.22 الف میں ٹرانزسٹر کا دور دکھایا گیا ہے جس میں بوجھ  $R_L$  ٹرانزسٹر  $Q_2$  کے کلکٹر پر لگایا گیا ہے۔ شکل ب میں باریک اشاراتی تجربے کی غرض سے کپیسٹر کو قصر دور اور  $V_{CC} = V_{BB} = 0$  لیا گیا ہے۔ مزید داخلی اشارے کا نارٹن مساوی دور استعمال کیا گیا ہے اور  $R_s$  کو ایمپلیفائر کا حصہ تصور کیا گیا ہے۔ یوں کر خوف کے قانون برائے برقی رو کی مدد سے ہم لکھ سکتے ہیں۔

<sup>18</sup> ایسا کرتے ہوئے B کو منفی جبکہ E کو مثبت داخلی سرا تصور کریں



شکل 7.22: ٹرانزسٹر کا واپسی برقی رو ایملیفائر

$$I_i = I_s - I_f$$

جہاں

$$I_f = \frac{V_{be1} - V_{e2}}{R_f}$$

کے برابر ہے۔ کامل واپسی ادوار میں واپسی اشارے کی مساوات  $X_f = WX_o$  ہوتی ہے۔ ٹرانزسٹر واپسی ادوار کامل ادوار نہیں ہوتے۔ مندرجہ بالا مساوات میں  $\frac{V_{be1}}{R_f}$  کا واپسی اشارہ پیدا کرنے میں کوئی کردار نہیں چونکہ داخلی  $V_{be1}$  جانب کا متغیر ہے تاکہ خارجی جانب کا۔ یوں مندرجہ بالا مساوات میں  $\frac{V_{be1}}{R_f}$  غیر ضروری جزو ہے۔ یہ جزو اس لئے پایا گیا ہے کہ ٹرانزسٹر ادوار کامل واپسی ادوار نہیں ہوتے۔ اس غیر ضروری جزو کو نظر انداز کرتے ہوئے

$$I_f \approx -\frac{V_{e2}}{R_f}$$

حاصل ہوتا ہے۔ اسی طرح جیسے شکل پ میں دکھایا گیا ہے،  $V_{be1}$  کو نظر انداز کرتے ہوئے (یعنی  $V_{be1} = 0$  لیتے ہوئے)  $R_e$  اور  $R_f$  کو متوازی تصور کیا جاسکتا ہے اور یوں

$$\begin{aligned} V_{e2} &\approx I_e \left( \frac{R_e R_f}{R_e + R_f} \right) \\ &= -I_o \left( \frac{R_e R_f}{R_e + R_f} \right) \end{aligned}$$

حاصل ہوتا ہے جہاں  $I_e \approx -I_o$  کے برابر لیا گیا ہے۔ اس طرح

$$I_f \approx -\frac{V_{e2}}{R'_f} = \left( \frac{R_e}{R_e + R'_f} \right) I_o$$

لکھا جاسکتا ہے جس سے

$$W = \frac{R_e}{R_e + R'_f}$$

حاصل ہوتا ہے۔

آپ دیکھ سکتے ہیں کہ یہ واپسی برقی رو ایمپلیفائر ہے اور یوں

$$(7.85) \quad A_{if} \approx \frac{1}{W} = 1 + \frac{R'_f}{R_e}$$

لکھا جاسکتا ہے۔

اس ایمپلیفائر کا  $\frac{V_o}{V_s}$  یوں حاصل کیا جاسکتا ہے۔

$$(7.86) \quad \begin{aligned} A_{vf} = \frac{V_o}{V_s} &= \frac{I_o R_L}{I_s R_s} = \left( \frac{I_o}{I_s} \right) \left( \frac{R_L}{R_s} \right) \\ &= A_{if} \left( \frac{R_L}{R_s} \right) = \left( 1 + \frac{R'_f}{R_e} \right) \left( \frac{R_L}{R_s} \right) \end{aligned}$$

اس حصے میں داخلی اور واپسی دونوں اشارات کو ٹرانزسٹر کے B پر مہیا کیا گیا۔ جب بھی ان دو اشارات کو ایک ہی داخلی سرے پر مہیا کیا جائے، انہیں متوازی جڑا تصور کریں۔ چونکہ صرف برقی رو اشارات ہی متوازی جوڑے جاسکتے ہیں لہذا ایسی صورت میں داخلی اور واپسی اشارات کو برقی رو اشارات تصور کریں۔ مزید داخلی اشارے کو نارٹن شکل دیں جبکہ واپسی اشارے کی مساوات کو برقی رو (یعنی  $I_f$ ) کی صورت میں حاصل کریں۔ واپسی اشارے کی مساوات سے یہ بتلانا ممکن ہو گا کہ آیا  $V_o$  یا  $I_o$  سے واپسی اشارہ حاصل کیا گیا ہے۔ ان معلومات سے ایمپلیفائر کی جماعت دریافت ہوتی ہے۔

جس داخلی سرے پر داخلی اشارہ جڑا ہو اگر اسی نقطے پر مزاحمت (یا کپیسٹر وغیرہ) کا ایک سرا جڑا ہو جبکہ اس مزاحمت (یا کپیسٹر) کا دوسرا سرا ایمپلیفائر کے خارجی جانب جڑا ہو تو ایسی صورت میں داخلی اور واپسی اشارات متوازی جوڑے ہوتے ہیں۔



## 7.7.5 واپسی مزاحمت نما ایمپلیفائر

شکل 7.23 الف میں ٹرانزسٹر کا دور دکھایا گیا ہے جس میں بوجھ  $R_L$  ٹرانزسٹر کے  $E$  پر لگایا گیا ہے۔ شکل ب میں باریک اشاراتی تجربے کی غرض سے کپیسٹر کو قصر دور کیا گیا ہے اور  $V_{CC} = V_{BB} = 0$  لیا گیا ہے۔ مزید داخلی اشارے کا نارٹن مساوی دور استعمال کیا گیا ہے اور  $R_s$  کو ایمپلیفائر کا حصہ تصور کیا گیا ہے۔ یوں ہم لکھ سکتے ہیں

$$(7.87) \quad I_i = I_s - I_f$$

جہاں  $I_s = \frac{V_s}{R_s}$  اور

$$\begin{aligned} I_f &= \frac{V_{be} - V_o}{R_f} \\ &= \frac{V_{be}}{R_f} - \frac{V_o}{R_f} \end{aligned}$$

کے برابر ہے۔ اس مساوات میں  $\frac{V_{be}}{R_f}$  کا واپسی اشارہ پیدا کرنے میں کوئی کردار نہیں البتہ  $-\frac{V_o}{R_f}$  خارجی برقی دباؤ پر منحصر واپسی اشارہ ہے یوں مساوات کے پہلے جزو کو نظر انداز کرتے ہوئے ہم لکھ سکتے ہیں

$$\begin{aligned} I_f &\approx -\frac{V_o}{R_f} \\ &= WV_o \\ W &= -\frac{1}{R_f} \end{aligned}$$

اور یوں مساوات 7.87 کو ہم لکھ سکتے ہیں

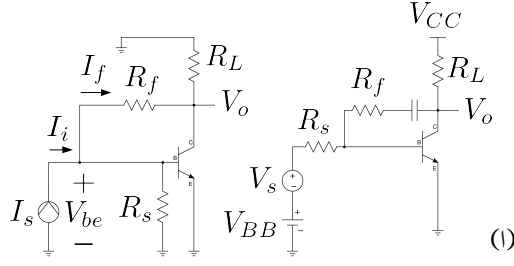
$$\begin{aligned} I_i &\approx I_s - \left( -\frac{V_o}{R_f} \right) \\ &= I_s - WV_o \end{aligned}$$

جس سے ہم کہہ سکتے ہیں کہ یہ مزاحمت نما واپسی ایمپلیفائر ہے اور یوں

$$(7.88) \quad A_{rf} \approx \frac{1}{W} = -R_f$$

ہو گا۔

$$\begin{aligned}
 I_i &= I_s - I_f \\
 I_f &= \frac{V_{be} - V_o}{R_f} \approx -\frac{V_o}{R_f} \\
 &= W V_o \\
 W &= \frac{1}{R_f} \\
 A_{rf} &= \frac{1}{W} = -R_f \quad (\text{ب})
 \end{aligned}$$



شکل 7.23: ٹرانزسٹر کا واپسی مزاحمت نمائندگی پیکٹائر

اسی ایمپلیفائر کا  $\frac{V_o}{V_s}$  یعنی  $A_{vf}$  یوں حاصل کیا جاسکتا ہے۔

$$(7.89) \quad A_{vf} = \frac{V_o}{V_s} = \frac{V_o}{I_s R_s} = \left( \frac{V_o}{I_s} \right) \frac{1}{R_s} = \frac{A_{rf}}{R_s} = -\frac{R_f}{R_s}$$

اسی طرح  $\frac{I_o}{I_s}$  یوں حاصل ہو گا

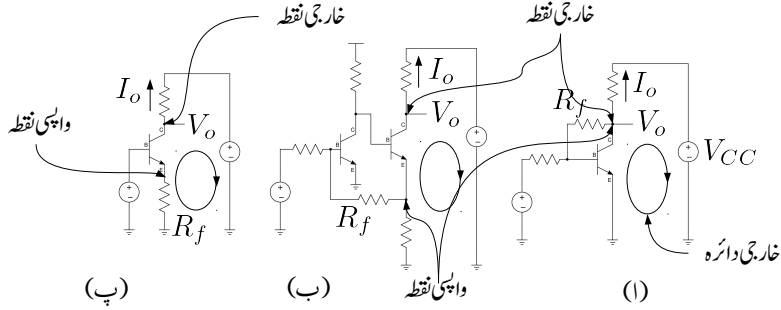
$$(7.90) \quad A_{if} = \frac{I_o}{I_s} = \frac{\frac{V_o}{R_L}}{I_s} = \left( \frac{V_o}{I_s} \right) \frac{1}{R_L} = \frac{A_{rf}}{R_L} = -\frac{R_f}{R_L}$$

اور  $\frac{I_o}{V_s}$  کو یوں

$$(7.91) \quad A_{gf} = \frac{I_o}{V_s} = \frac{\frac{V_o}{R_L}}{I_s R_s} = \left( \frac{V_o}{I_s} \right) \frac{R_s}{R_L} = A_{rf} \frac{R_s}{R_L} = -\frac{R_f R_s}{R_L}$$

شکل 7.24 الف، ب اور پ میں شکل 7.23، شکل 7.22 اور شکل 7.21 دوبارہ دکھائے گئے ہیں۔ شکل الف پر غور کریں۔ اس میں خارجی دائرے کی نشاندہی کی گئی ہے۔ خارجی جانب برقی دباؤ  $V_o$  اور برقی رو  $I_o$  کی بھی نشاندہی کی گئی ہے۔ ٹرانزسٹر کے C جہاں سے  $V_o$  یا  $I_o$  حاصل کیا گیا ہے کو خارجی نقطہ قرار دیا گیا ہے۔ بوجھ  $R_L$  کو خارجی نقطے پر جوڑا جاتا ہے۔ اسی طرح واپسی نقطے کی بھی نشاندہی کی گئی ہے۔ یہ وہ نقطہ ہے جہاں سے واپس کار اشارہ حاصل کرتا ہے۔ یہاں  $R_f$  بطور واپس کار کردار ادا کر رہا ہے۔ اس شکل میں واپسی نقطہ اور خارجی نقطہ دونوں ایک ہی جوڑ پر پائے جاتے ہیں۔ ایسی صورت جہاں خارجی نقطہ اور واپسی نقطہ ایک ہی جوڑ پر پائے جائیں میں واپس کار خارجی برقی دباؤ  $V_o$  سے واپسی اشارہ حاصل کرتا ہے۔

شکل 7.24 ب میں خارجی نقطہ اور واپسی نقطہ دو علیحدہ علیحدہ جوڑ پر پائے جاتے ہیں۔ یوں واپسی اشارے کو اس جوڑ سے حاصل نہیں کیا گیا جہاں سے  $V_o$  یا  $I_o$  حاصل کیا گیا ہے۔ البتہ واپسی اشارے کو خارجی دائرے سے حاصل کیا



شکل 7.24: واپسی نقطہ

گیا ہے۔ خارجی دائرہ وہ دائرہ ہے جس میں خارجی برقی رو  $I_o$  کا بہاؤ ہوتا ہے۔ ایسی صورت جہاں خارجی نقطہ اور واپسی نقطہ دو علیحدہ علیحدہ جوڑ پر پائے جائیں میں واپس کار خارجی برقی رو  $I_o$  سے واپسی اشارہ حاصل کرتا ہے۔

شکل 7.24 پ میں مزاحمت  $R_e$  کو  $R_f$  لکھا گیا ہے۔ یہاں بھی خارجی اور واپسی نقطے دو علیحدہ علیحدہ جوڑ پر پائے جاتے ہیں لہذا یہاں بھی واپس کار خارجی برقی رو  $I_o$  سے واپسی اشارہ حاصل کرتا ہے۔

## 7.8 واپسی ایپلیفائر کا تفصیلی تجزیہ

اب تک مساوات 7.34 پر پورا اترتے واپسی ایپلیفائروں پر غور کیا گیا۔ اس حصے میں ان واپسی ایپلیفائر پر غور کیا جائے گا جو اس مساوات پر پورا نہیں اترتے۔ ایسا کرتے وقت ایپلیفائر کو دو حصوں یعنی بنیادی ایپلیفائر A اور واپس کار W میں تقسیم کیا جاتا ہے۔ واپسی ایپلیفائر میں واپسی اشارے کو صفر کرتے ہوئے مگر واپس کار کے بوجھ کو شامل کرتے ہوئے بنیادی ایپلیفائر حاصل کیا جاتا ہے۔ مندرجہ ذیل اقدام کی مدد سے ایسا کیا جاتا ہے۔

بنیادی ایپلیفائر کا داخلی حصہ حاصل کرنے کی خاطر خارجی اشارہ  $X_o$  کی قیمت کو صفر کر دیا جاتا ہے۔ یعنی

- اگر خارجی برقی دباؤ  $V_o$  سے واپسی اشارہ حاصل کیا گیا ہو (یعنی  $X_f = WX_o$ ) تو خارجی برقی دباؤ کو قصر دور کر کے  $V_o = 0$  کر دیا جاتا ہے جس سے  $X_f$  بھی صفر ہو جاتا ہے۔

- اس کے برعکس اگر واپسی اشارے کو  $I_0$  سے حاصل کیا گیا ہو تب خارجی دائرے کو کھلے سرے کر دیا جاتا ہے۔ یوں  $I_0 = 0$  ہو جاتا ہے جس سے  $X_f$  بھی صفر ہو جاتا ہے۔

بنیادی ایمپلیفائر کا خارجی حصہ حاصل کرنے کی خاطر کل داخلی اشارہ  $X_i$  کی قیمت صفر کر دیا جاتا ہے۔ یعنی

- اگر داخلی اور واپسی اشارات متوازی جڑے ہوں تب یہ دونوں برقی رو اشارات ہوں گے۔ انہیں قصر دور کرنے سے  $I_i = 0$  کیا جاتا ہے۔
- اس کے برعکس اگر داخلی اور واپسی اشارات سلسلہ وار جڑے ہوں تب یہ دونوں برقی دباؤ اشارات ہوں گے۔ داخلی دائرے کو کھلے سرے کرنے سے  $V_i = 0$  کیا جاتا ہے۔

اس ترکیب سے واپسی اشارہ کے اثرات کو ختم کر دیا جاتا ہے جبکہ بنیادی ایمپلیفائر پر واپس کار کے بوجھ کے اثرات برقرار رہنے دئے جاتے ہیں۔ اس ترکیب کو استعمال کرتے ہوئے واپسی ایمپلیفائر حل کرنے کے مکمل اقدام مندرجہ ذیل ہیں۔

- پہلے یہ فیصلہ کریں کہ  $X_f$  برقی دباؤ یا برقی رو کا اشارہ ہے۔ اگر  $X_f$  داخلی اشارہ  $X_s$  کے ساتھ سلسلہ وار جڑا ہو تو  $X_f$  برقی دباؤ اشارہ ہو گا اور اگر یہ  $X_s$  کے ساتھ متوازی جڑا ہو تب  $X_f$  برقی رو اشارہ ہو گا۔ اسی طرح فیصلہ کریں کہ  $X_0$  برقی دباؤ یا برقی رو اشارہ ہے۔ اگر  $X_f$  کو  $X_0$  جوڑ سے حاصل کیا گیا ہو تب  $X_0$  برقی دباؤ اشارہ ہو گا اور اگر  $X_f$  خارجی دائرہ سے حاصل کیا گیا ہو تب  $X_0$  برقی رو اشارہ ہو گا۔
- واپسی ایمپلیفائر کی جماعت دریافت کریں۔ اگر  $X_s$  اور  $X_f$  سلسلہ وار جڑے ہوں تب  $X_f$  برقی دباؤ اشارہ یعنی  $V_f$  ہو گا اور اگر یہ دونوں متوازی جڑے ہوں تب  $X_f$  برقی رو اشارہ یعنی  $I_f$  ہو گا۔ اسی طرح اگر واپسی اشارے کو خارجی نقطے سے حاصل کیا گیا ہو تب واپسی اشارے کو  $V_0$  سے حاصل کیا ہو گا اور خارجی اشارے کو  $V_0$  تصور کیا جائے گا۔ اس کے برعکس اگر واپسی اشارے کو خارجی دائرے سے حاصل کیا گیا ہو تب خارجی اشارہ  $I_0$  تصور کیا جائے گا۔
- واپسی اشارے کا اثر ختم کرتے ہوئے مگر واپس کار کے بوجھ کے اثر کو برقرار رکھتے ہوئے مندرجہ بالا قوانین کی مدد سے بنیادی ایمپلیفائر کا دور حاصل کریں۔ اگر  $X_f$  اور  $X_s$  سلسلہ وار جڑے ہوں تب داخلی اشارہ  $X_s$  کا تھوڑا سا دور استعمال کریں۔ اس کے برعکس اگر  $X_f$  اور  $X_s$  متوازی جڑے ہوں تب داخلی اشارہ  $X_s$  کا نارٹن مساوی دور استعمال کریں۔

- بنیادی ایمپلیفائر میں ٹرانزسٹر کا ریاضی نمونہ استعمال کرتے ہوئے اس کا باریک اشاراتی مساوی دور حاصل کریں اور اس میں  $X_f$  اور  $X_0$  کی نشاندہی کریں۔
  - واپسی اشارے  $X_f = WX_0$  کی مساوات حاصل کریں جس سے  $W$  کی قیمت حاصل ہوگی۔
  - کرخوف کے قوانین استعمال کرتے ہوئے بنیادی ایمپلیفائر سے انفرانش  $A$ ، داخلی مزاحمت  $R_i$  اور خارجی مزاحمت  $R_0$  حاصل کریں۔
  - مندرجہ بالا حاصل کردہ معلومات سے  $A_f$ ،  $R'_{if}$  اور  $R_{of}$  حاصل کریں۔
- آئیں اس ترکیب کو استعمال کرتے ہوئے واپسی ایمپلیفائر حل کریں۔

## 7.9 واپسی برقی دباؤ ایمپلیفائر

شکل 7.25 الف میں واپسی برقی دباؤ ایمپلیفائر دکھایا گیا ہے۔ نقطہ مائل حاصل کرنے کی خاطر  $V_s$  کے ساتھ  $V_{BB}$  سلسلہ وار تصور کریں جس کو شکل میں نہیں دکھایا گیا تاکہ اصل مضمون پر توجہ رکھنی آسان ہو۔ اس دور کو قدم با قدم حل کرتے ہیں۔

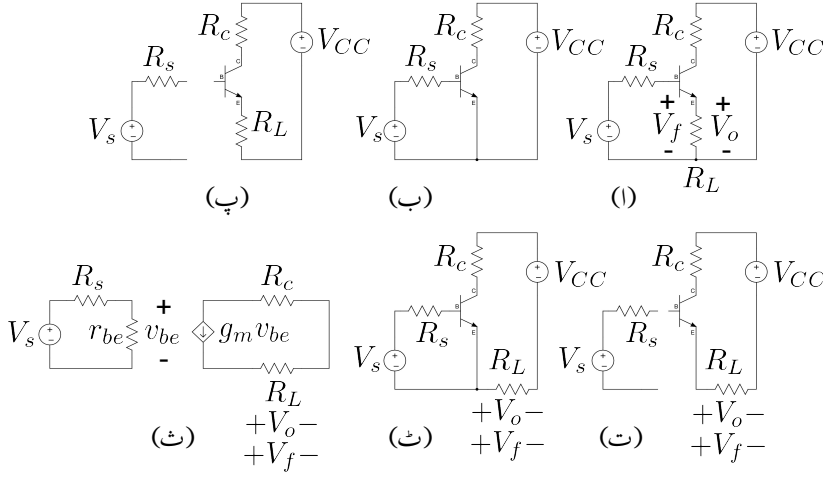
پہلے قدم پر اس کی جماعت جاننا ضروری ہے۔ اس دور پر تفصیلی بحث ہو چکی ہے۔ یہ واپسی برقی دباؤ ایمپلیفائر ہے۔

چونکہ  $V_0$  سے واپسی اشارہ حاصل کیا گیا ہے لہذا، بنیادی ایمپلیفائر کا داخلی مساوی دور حاصل کرنے کی خاطر  $V_0$  کو قصر دور کرتے ہیں۔ ایسا شکل ب میں دکھایا گیا ہے جہاں صرف داخلی دائرے پر نظر رکھتے ہوئے ہم لکھ سکتے ہیں

$$(7.92) \quad V_s = I_s R_s + V_{be}$$

چونکہ داخلی جانب  $V_s$  اور  $V_f$  سلسلہ وار جڑے ہیں لہذا بنیادی ایمپلیفائر کا خارجی مساوی دور حاصل کرنے کی خاطر داخلی دائرے کو کھلے سرے کر دیا جاتا ہے۔ ایسا شکل پ میں دکھایا گیا ہے۔ اس شکل میں صرف خارجی دائرے پر نظر رکھتے ہوئے ہم لکھ سکتے ہیں

$$(7.93) \quad V_{CC} = I_c R_c + V_{ce} + I_c R_L$$



شکل 7.25: بنیادی ایپلیٹائز کا حصول

شکل پ کو قدر مختلف طرز پر شکل ت میں دوبارہ دکھایا گیا ہے جہاں  $V_o$  اور  $V_f$  کی نشاندہی بھی کی گئی ہے۔ آپ تسلی کر لیں کہ اس شکل کے خارجی دائرے کی مساوات بھی مندرجہ بالا مساوات ہی ہے۔ شکل ب کے داخلی مساوی دور اور شکل ت کے خارجی مساوی دور کو ملا کر شکل ٹ حاصل ہوتا ہے۔ شکل ٹ کے داخلی اور خارجی مساوات یوں حاصل ہوں گے۔

$$(7.94) \quad V_s = I_s R_s + V_{be}$$

$$(7.95) \quad V_{CC} = I_c R_c + V_{ce} + I_c R_L$$

یہ بالکل مساوات 7.92 اور مساوات 7.93 ہی ہیں۔

شکل ٹ میں ٹرانزسٹر کا پائے ریاضی نمونہ استعمال کرتے ہوئے شکل ٹ کا باریک اشاراتی دور حاصل کیا گیا ہے۔ اس سے

$$(7.96) \quad A_V = \frac{V_o}{V_s} = \frac{V_o}{I_c} \times \frac{I_c}{V_{be}} \times \frac{V_{be}}{V_s} = \frac{R_L g_m r_{be}}{R_s + r_{be}} = \frac{\beta R_L}{R_s + r_{be}}$$

حاصل ہوتا ہے جہاں مساوات 3.188 کے تحت  $\beta = g_m r_{be}$  کے برابر ہے۔ شکل ٹ سے  $V_f = V_o$  لہذا  $W = 1$  حاصل ہوتا ہے۔ اس طرح

$$(7.97) \quad M = 1 + W A_V = 1 + \frac{\beta R_L}{R_s + r_{be}} = \frac{R_s + r_{be} + \beta R_L}{R_s + r_{be}}$$

ہے۔

بنیادی ایمپلیفائر کا داخلی مزاحمت

$$(7.98) \quad R'_i = R_s + r_{be}$$

کے برابر ہے اور یوں

$$(7.99) \quad R'_{if} = MR'_i = (R_s + r_{be}) \times \frac{R_s + r_{be} + \beta R_L}{R_s + r_{be}} = R_s + r_{be} + \beta R_L$$

حاصل ہوتا ہے۔

مساوات 7.41 کے تحت  $A'_v = A_v|_{R_L \rightarrow \infty}$  ہے۔ یوں مساوات 7.96 میں  $R_L \rightarrow \infty$  کے استعمال سے  $A'_v = \infty$  حاصل ہوتا ہے۔ خارجی مزاحمت  $R_0$  حاصل کرتے وقت بوجھ  $R_L$  کو ایمپلیفائر کا حصہ تصور نہیں کیا جاتا اور یوں شکل 8 سے  $R_0 = \infty$  حاصل ہوتا ہے جس سے

$$R_{of} = \frac{R_0}{1 + WA'_v} = \frac{\infty}{\infty}$$

حاصل ہوتا ہے جس کا کوئی مطلب نہیں۔

مساوات 7.100 سے خارجی مزاحمت حاصل کرنا ممکن نہیں۔  $R_{of}$  حاصل کرنے کی خاطر دور سے پہلے  $R'_{of}$  حاصل کریں اور پھر مساوات 7.64 کی مدد سے  $R_0$  حاصل کریں۔

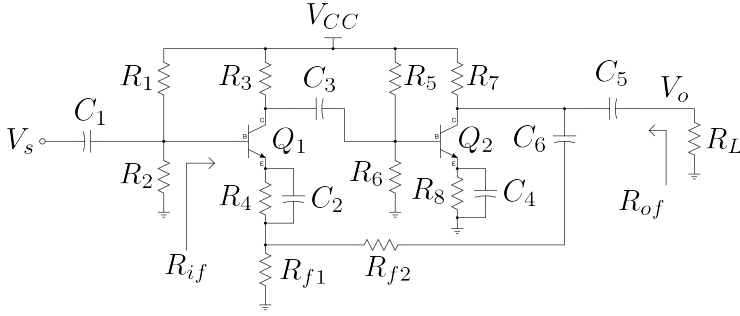
$R_L$  کی شمولیت سے  $R'_0$  کی قیمت  $R_L$  کے برابر ہے۔ اس طرح

$$(7.100) \quad R'_{of} = \frac{R'_0}{M} = \frac{R_L(R_s + r_{be})}{R_s + r_{be} + \beta R_L}$$

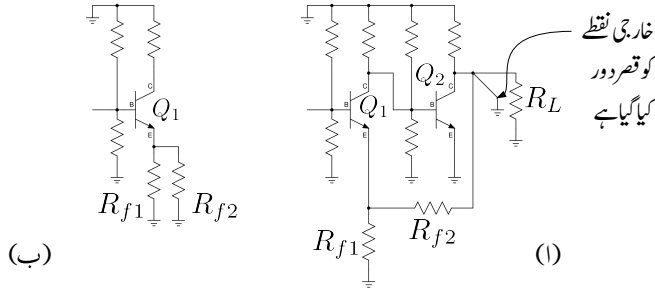
اور

$$(7.101) \quad R_{of} = R'_{of}|_{R_L \rightarrow \infty} = \frac{R_s + r_{be}}{\beta}$$

حاصل ہوتا ہے۔



شکل 7.26: دومر حلہ زنجیری واپسی برقی دباو ایمپلیفائر

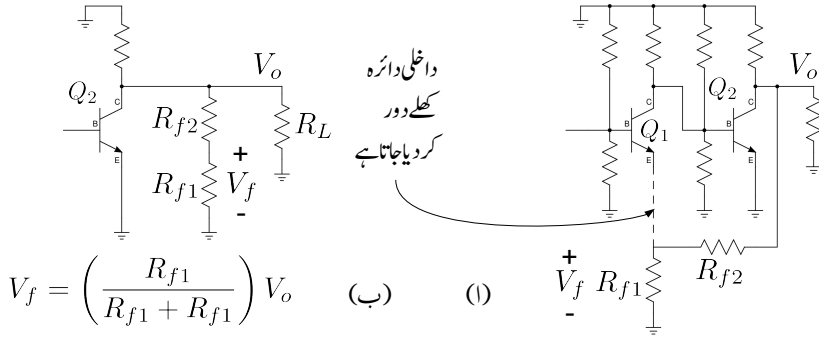


شکل 7.27: دومر حلہ زنجیری واپسی برقی دباو ایمپلیفائر کے داخلی حصے کا حصول

## 7.10 واپسی برقی دباو زنجیری ایمپلیفائر

شکل 7.26 میں دو کڑی زنجیری ایمپلیفائر دکھایا گیا ہے۔ درکار تعدد پر تمام کیپیسٹروں کو قصردور تصور کریں۔ اس ایمپلیفائر میں خارجی برقی دباو  $V_o$  سے واپسی اشارہ  $V_f$  حاصل کیا گیا ہے لہذا بنیادی ایمپلیفائر کے داخلی جانب کا دور حاصل کرتے وقت خارجی نقطے کو قصردور کیا جائے گا۔ چونکہ  $V_o$  کو  $R_L$  پر ناپا جاتا ہے لہذا خارجی نقطے کو قصردور کرنے سے مراد اس نقطے کو برقی زمین کے ساتھ جوڑنا ہے۔ شکل 7.27 الف میں ایسا دکھایا گیا ہے۔ جیسا کہ شکل ب میں دکھایا گیا ہے، اس عمل سے  $R_{f1}$  اور  $R_{f2}$  متوازی جڑ جاتے ہیں۔ اس ایمپلیفائر میں  $V_f$  اور  $V_s$  سلسلہ وار جڑے ہیں لہذا بنیادی ایمپلیفائر کے خارجی جانب کا دور حاصل کرتے وقت داخلی دائرے کو کھلے دور کیا جائے گا۔ اس



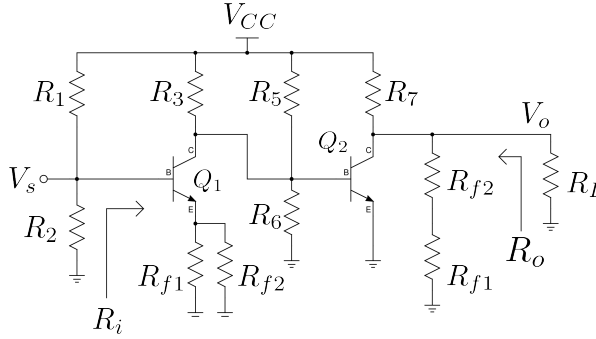


شکل 7.28: دومر حلہ زنجیری واپسی برقی دباؤ ایمپلیفائر کے خارجی حصے کا حصول

دائرے کو  $Q_1$  کے بیس یا اس کے ایسٹر پر کھلے دور کیا جاسکتا ہے۔ شکل 7.28 الف میں داخلی دائرے کو  $Q_1$  کے ایسٹر پر کھلے دور کیا گیا ہے۔ جیسا کہ شکل ب میں دکھایا گیا ہے، اس عمل سے  $R_{f1}$  اور  $R_{f2}$  خارجی جانب سلسلہ وار جڑ جاتے ہیں۔ شکل 7.29 کو زنجیری ضرب سے با آسانی حل کرتے ہوئے  $A_v$  حاصل کی جاسکتی ہے۔ اسی طرح اس بنیادی ایمپلیفائر کا  $R_i$  اور  $R_o$  بھی حاصل کیا جاسکتا ہے۔ شکل سے واپس کار کا  $W$  یوں حاصل ہوتا ہے۔

$$(7.102) \quad W = \frac{R_{f1}}{R_{f1} + R_{f2}}$$

ان تمام معلومات سے  $A_{vf}$ ،  $R'_{if}$  اور  $R_{of}$  حاصل کیا جاسکتا ہے۔



شکل 7.29: دومرحلہ زنجیری واپسی برقی دباؤ ایملیفائر کا بنیادی ایملیفائر

### سوالات

سوال 7.1: ایک سادہ ایملیفائر کی افزائش میں مختلف وجوہات کی بنا پر 7% کے فرق پیدا ہوتا ہے۔ اس ایملیفائر میں واپسی اشارہ شامل کیا جاتا ہے۔ یوں حاصل واپسی ایملیفائر کی افزائش میں انہیں وجوہات کی بنا پر صرف 1% کا فرق پیدا ہوتا ہے۔  $M$  کی قیمت حاصل کریں۔ اگر سادہ ایملیفائر کی افزائش  $245 \frac{V}{V}$  تھی تب واپسی ایملیفائر کے افزائش اور واپس کار کے مستقل  $W$  کی قیمت کیا ہوگی؟

$$W = 0.02449 \frac{V}{V}, A_f = 35 \frac{V}{V}, M = 7: \text{جوابات}$$

سوال 7.2: اگر سوال 7.1 میں سادہ ایملیفائر کا بلند انقطاعی تعدد 200 kHz ہو تب واپسی ایملیفائر کی بلند انقطاعی تعدد کیا ہوگی۔

جواب: 1.4 MHz

سوال 7.3: ایک واپسی برقی دباؤ ایملیفائر کے  $A_v' = 2000 \frac{V}{V}$ ،  $R_i = 2 \text{ k}\Omega$  اور  $R_o = 500 \Omega$  ہیں۔ داخلی اشارے کی مزاحمت  $R_s = 1 \text{ k}\Omega$  جبکہ برقی بوجھ  $R_L = 10 \text{ k}\Omega$  ہیں۔ اس ایملیفائر میں واپسی اشارہ شامل کیا جاتا ہے۔ واپس کار کا مستقل  $W = 0.01 \frac{V}{V}$  ہے۔ واپسی ایملیفائر کی افزائش، داخلی مزاحمت اور خارجی مزاحمت حاصل کریں۔

$$R_{of} = 24 \Omega, R_{if}' = 60 \text{ k}\Omega, A_{vf} = 95 \frac{V}{V}: \text{جوابات}$$

سوال 7.4: ایک واپسی برقی رو ایمپلیفائر کے  $A_i = 2000 \frac{A}{A}$ ،  $R_i = 500 \Omega$  اور  $R_o = 5 k\Omega$  ہیں۔ داخلی اشارے کی مزاحمت  $R_s = 5 k\Omega$  جبکہ برقی بوجھ  $R_L = 1 k\Omega$  ہیں۔ اس ایمپلیفائر میں واپسی اشارہ شامل کیا جاتا ہے۔ واپس کار کا مستقل  $W = 0.01 \frac{A}{A}$  ہے۔ واپسی ایمپلیفائر کی افزائش، داخلی مزاحمت اور خارجی مزاحمت حاصل کریں۔

$$\text{جوابات: } R_{of} = 96 k\Omega, R'_{if} = 28 \Omega, A_{if} = 94 \frac{A}{A}$$

سوال 7.5: ایک موصل نما ایمپلیفائر کے  $A_g = 2000 \frac{A}{V}$ ،  $R_i = 5 k\Omega$  اور  $R_o = 500 \Omega$  ہیں۔ داخلی اشارے کی مزاحمت  $R_s = 500 \Omega$  جبکہ برقی بوجھ  $R_L = 1 k\Omega$  ہیں۔ اس ایمپلیفائر میں واپسی اشارہ شامل کیا جاتا ہے۔ واپس کار کا مستقل  $W = 0.01 \frac{V}{A}$  ہے۔ واپسی ایمپلیفائر کی افزائش، داخلی مزاحمت اور خارجی مزاحمت حاصل کریں۔

$$\text{جوابات: } R_{of} = 9.59 k\Omega, R'_{if} = 39 k\Omega, A_{gf} = 86 \frac{A}{V}$$

سوال 7.6: ایک مزاحمت نما ایمپلیفائر کے  $A_r = 2000 \frac{V}{A}$ ،  $R_i = 500 \Omega$  اور  $R_o = 5 k\Omega$  ہیں۔ داخلی اشارے کی مزاحمت  $R_s = 5 k\Omega$  جبکہ برقی بوجھ  $R_L = 10 k\Omega$  ہیں۔ اس ایمپلیفائر میں واپسی اشارہ شامل کیا جاتا ہے۔ واپس کار کا مستقل  $W = 0.01 \frac{A}{V}$  ہے۔ واپسی ایمپلیفائر کی افزائش، داخلی مزاحمت اور خارجی مزاحمت حاصل کریں۔

$$\text{جوابات: } R_{of} = 238 \Omega, R'_{if} = 32 \Omega, A_{rf} = 93 \frac{V}{A}$$

سوال 7.7: آپ کے پاس  $2000 \frac{V}{V}$  کا برقی دباؤ ایمپلیفائر موجود ہے جس کا داخلی مزاحمت  $5 k\Omega$  اور خارجی مزاحمت  $500 \Omega$  ہیں۔ اس کو استعمال کرتے ہوئے واپسی برقی دباؤ کا ایمپلیفائر تخلیق دیں جس کی افزائش  $12.5 \frac{V}{V}$  ہو۔ داخلی اشارے کی مزاحمت  $1 k\Omega$  اور برقی بوجھ  $1.5 k\Omega$  متوقع ہیں۔  $R'_{if}$  اور  $R_{of}$  بھی حاصل کریں۔

$$\text{جوابات: } A_v = 1250 \frac{V}{V}, A_{v'} = 1667 \frac{V}{V}, R'_i = 6 k\Omega \text{ ہیں لہذا } A_{vf} = 12.5 \frac{V}{V} \text{ کی خاطر } W = 0.08 \frac{V}{V} \text{ درکار ہے۔ } R'_{if} = 606 k\Omega \text{ اور } R_{of} = 4.95 \Omega \text{ ہیں۔}$$

سوال 7.8: سوال 7.7 میں تخلیق کئے گئے واپسی ایمپلیفائر پر اگر  $3 k\Omega$  کا بوجھ لادا جائے تو اس کی  $A_{vf}$  کیا حاصل ہوگی۔

جواب:  $\frac{V}{V} = 12.4$ ۔ بوجھ کی مزاحمت آدھی کرنے سے واپسی افزائش میں صرف 0.8% کی تبدیلی آئی۔ واپسی ایملیفائر یقیناً مستحکم ہے۔

سوال 7.9: سوال 7.7 میں تخلیق کردہ واپسی ایملیفائر میں بنیادی ایملیفائر کو تبدیل کرتے ہوئے  $\frac{V}{V} = 1500$  کا ایملیفائر نسب کیا جاتا ہے۔ ایسا کرنے سے  $A_{vf}$  کی نئی قیمت کیا حاصل ہوگی؟

جواب:  $\frac{V}{V} = 12.33$ ۔ بنیادی ایملیفائر کے افزائش میں 25% تبدیلی سے واپسی ایملیفائر کے افزائش میں صرف 1.36% کی تبدیلی پیدا ہوئی۔ واپسی ایملیفائر کے مستحکم ہونے کی یہ ایک اچھی مثال ہے۔

سوال 7.10: ایک واپسی برقی دباؤ ایملیفائر میں  $V_s = 150 \text{ mV}$ ،  $V_f = 148 \text{ mV}$  اور  $V_o = 12 \text{ V}$  پائے جاتے ہیں۔ اس ایملیفائر کے  $A_{vf}$ ،  $W$  اور  $A_V$  حاصل کریں۔ اگر بنیادی ایملیفائر کا  $R_i' = 2 \text{ k}\Omega$  اور  $R_o = 1950 \Omega$  ہوں تب  $R_{if}'$  اور  $R_{of}$  کیا ہوں گے۔

جوابات:  $\frac{V}{V} = 0.01233$ ،  $W = 80 \frac{V}{V}$ ،  $A_{vf} = 6000 \frac{V}{V}$ ،  $A_V = 150 \text{ k}\Omega$  اور  $R_{if}' = 26 \Omega$  اور  $R_{of} = 150 \text{ k}\Omega$  ہیں۔

سوال 7.11: بنیادی برقی رو ایملیفائر کی افزائش  $3000 \frac{A}{A}$  جبکہ اسی سے حاصل واپسی ایملیفائر کی افزائش  $15 \frac{A}{A}$  ہے۔  $R_i' = 20 \text{ k}\Omega$  اور  $R_o = 15 \text{ k}\Omega$  کی صورت میں  $R_{if}'$  اور  $R_{of}$  حاصل کریں۔

جوابات:  $R_{if}' = 100 \Omega$  اور  $R_{of} = 3 \text{ M}\Omega$

سوال 7.12: شکل 7.25 الف میں  $\beta = 100$ ،  $R_L = 1 \text{ k}\Omega$ ،  $R_s = 2 \text{ k}\Omega$  اور  $I_{CQ} = 1 \text{ mA}$  ہیں۔  $A_{vf}$ ،  $R_{if}'$  اور  $R_{of}$  حاصل کریں۔

جوابات:  $r_{be} = 2.5 \text{ k}\Omega$ ،  $A_V = 22.22 \frac{V}{V}$ ،  $A_{vf} = 0.957 \frac{V}{V}$ ،  $R_{if}' = 103.5 \text{ k}\Omega$  اور  $R_{of} = 35 \Omega$

سوال 7.13: سوال 7.12 میں  $\beta$  کی قیمت 200 جبکہ  $I_{CQ} = 1 \text{ mA}$  ہی رکھتے ہوئے اسے دوبارہ حل کریں۔  $A_{vf}$  میں کتنے فی صد تبدیلی رونما ہوئی۔

جوابات:  $\frac{V}{V} = 0.978$ ،  $A_{vf} = 204.5 \text{ k}\Omega$ ،  $R_{if}' = 22.5 \Omega$  اور تبدیلی تقریباً 2% ہے۔

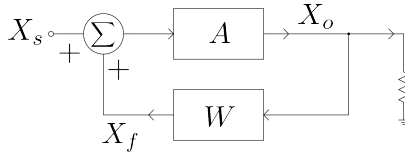
سوال 7.14: شکل 7.26 میں زنجیری ایملیفائر دکھایا گیا ہے جبکہ مساوات 7.102 میں اس کے واپس کار کا مستقل  $W$  حاصل کیا گیا ہے۔  $A_{vf}$  حاصل کریں۔

جواب:  $A_{vf} = 1 + \frac{R_{f2}}{R_{f1}}$

## باب 8

### مرتعش

گزشتہ باب میں منفی واپسی ادوار پر غور کیا گیا۔ اس باب میں مرتعش<sup>1</sup> پر غور کیا جائے گا جو مثبت واپسی دور کی ایک قسم ہے۔ مرتعش ایک ایسے دور کو کہتے ہیں جسے کوئی داخلی اشارہ دئے بغیر اس سے ارتعاش کرتا خارجی اشارہ حاصل کیا جاتا ہے۔ آئیں مرتعش کی بنیادی کارکردگی شکل 8.1 کی مدد سے سمجھیں۔ تصور کریں کہ ایک لمحے کے لئے اس دور کو ارتعاش کرتا داخلی اشارہ  $X_s$  فراہم کرنے کے بعد  $X_s = 0$  کر دیا جاتا ہے۔ اس طرح ایک لمحے کے لئے اس دور میں ارتعاش کرتا خارجی اشارہ  $X_o$  نمودار ہو گا۔ واپسی دور  $X_o$  سے  $X_f = WX_o$  پیدا کرے گا جو کہ بنیادی ایمپلیفائر کو بطور داخلی اشارہ مہیا کیا گیا ہے۔ بنیادی ایمپلیفائر  $X_f$  سے خارجی اشارہ  $X_o = AX_f = WAX_o$  پیدا کرے گا۔ یوں واپسی دور اور بنیادی ایمپلیفائر میں ایک چکر کے بعد پہلی مرتبہ نمودار ہونے والے اشارے  $X_o$  کی قیمت اب  $WAX_o$  ہو گی۔ یہ اشارہ بھی جب واپسی دور اور بنیادی ایمپلیفائر میں ایک چکر کاٹے تو اس کی نئی قیمت  $(WA)^2 X_o$



شکل 8.1: مثبت واپسی دور

<sup>1</sup>oscillator

ہو جائے گی۔ اسی طرح  $n$  چکر کے بعد بنیادی ایمپلیفائر کا خارجی اشارہ  $(WA)^n X_0$  ہو گا۔ اب اگر  $WA = 1$  ہو تب  $n$  چکر کے بعد بھی بنیادی ایمپلیفائر کا خارجی اشارہ  $X_0 = 1^n X_0$  ہی ہو گا۔ اس طرح اگرچہ اس دور کو کوئی داخلی اشارہ نہیں دیا جا رہا یہ پھر بھی ارتعاش کرتا اشارہ  $X_0$  خارج کرتا رہے گا۔ ایسی خوبی رکھنے والے دور کو مرتعش کہتے ہیں۔

اس کے برعکس اگر  $WA$  کی قیمت ایک (1) سے کم ہو، مثلاً  $WA = 0.9$  ہو، تب پہلی مرتبہ نمودار ہونے والا اشارہ  $X_0$  ایک چکر کے بعد کم ہو کر  $0.9X_0$  رہ جائے گا۔ دو چکر کے بعد اس کی قیمت مزید کم ہو کر  $(0.9)^2 X_0$   $0.81X_0$  رہ جائے گی اور یوں ہر چکر کے بعد بنیادی ایمپلیفائر کا خارجی اشارہ کم ہوتے ہوتے آخر کار صفر قیمت اختیار کر لے گا۔

اسی طرح اگر  $WA$  کی قیمت ایک (1) سے زیادہ ہو، مثلاً  $WA = 1.1$  ہو، تب پہلی مرتبہ نمودار ہونے والا اشارہ  $X_0$  ایک چکر کے بعد بڑھ کر  $1.1X_0$  ہو جائے گا۔ دو چکر کے بعد اس کی قیمت مزید بڑھ کر  $1.21X_0 = (1.1)^2 X_0$  ہو جائے گی اور یوں ہر چکر کے بعد بنیادی ایمپلیفائر کا خارجی اشارہ بڑھتا رہے گا۔ خارجی اشارہ بڑھتے بڑھتے اس مقام تک پہنچ جائے گا جہاں بنیادی ایمپلیفائر غیر خطی خطے میں داخل ہونا شروع ہو جائے گا۔ غیر خطی خطے میں داخل ہوتے ہوئے بنیادی ایمپلیفائر کے افزائش کی قیمت گھٹنا شروع ہو جائے گی اور یوں خارجی اشارے کے حیطے کا بڑھنا پہلے کم اور آخر کار اس کا بڑھنا مکمل طور رک جائے گا۔ جہاں ٹرانزسٹر کی افزائش سے اشارے کا حیطہ بڑھنا اور اشارے کا حیطہ بڑھنے سے ٹرانزسٹر کی افزائش کم ہونے کے اعمال توازن اختیار کر لیں، وہیں ارتعاشی اشارے کا حیطہ برقرار رہتا ہے۔ یہ اعمال غیر خطی نوعیت کے ہوتے ہیں جنہیں قلم و کاغذ سے حل کرتے ہوئے مرتعش کے خارجی اشارے کے حیطے کا حساب لگانا نہایت مشکل ہوتا ہے۔

کسی بھی مرتعش میں زیادہ دیر  $WA = 1$  رکھنا ممکن نہیں ہوتا۔ درجہ حرارت میں تبدیلی، وقت کے ساتھ برقیاتی پرزہ جات میں تبدیلی اور ایسے دیگر وجوہات کی بنا پر مرتعش چالو کرتے ہی  $WA \neq 1$  ہو جائے گا۔ اگر  $WA < 1$  ہو جائے تو ایسی صورت میں مرتعش رکھ جائے گا۔ اس کے برعکس اگر  $WA$  کی قیمت 1 سے قدر زیادہ ہو جائے تو ایسی صورت میں مرتعش برقرار ارتعاشی اشارہ خارج کرتا ہے۔

مرتعش کے اس بنیادی اصول جسے مساوت 8.1 میں دوبارہ دکھایا گیا ہے کو برکھائز کا اصول<sup>2</sup> کہتے ہیں۔<sup>3</sup>

(8.1)

$$WA = 1$$

<sup>2</sup>Barkhausen criteria

<sup>3</sup>جرمنی کے عالم طبیعیات ہائٹز برکھائز نے اس اصول کو پیش کیا

اس مساوات کے دو پہلو ہیں۔ اس مساوات کے تحت  $|WA| = 1$  اور ساتھ ہی ساتھ  $\angle WA = 2m\pi$  ہونا ضروری ہے جہاں  $m = 0, 1, 2, \dots$  ہو سکتا ہے۔ یوں اسے یوں لکھنا زیادہ بہتر ہے۔

$$(8.2) \quad |WA| = 1$$

$$(8.3) \quad \angle WA = 2m\pi$$

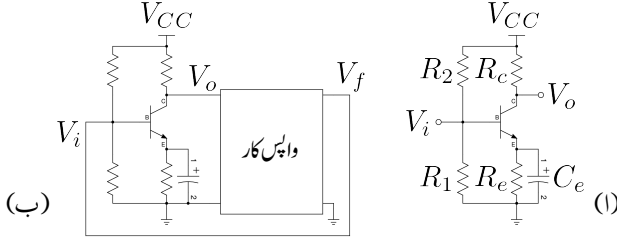
آپ دیکھ سکتے ہیں کہ حقیقت میں کسی بھی مرتعش کو برقرار کام کرتے رکھنے کے لئے یہ ضروری ہے کہ  $|WA| > 1$  رکھا جائے۔ حقیقت میں  $|WA| > 1.05$  رکھا جاتا ہے۔

مندرجہ بالا تذکرے میں تصور کیا گیا کہ مرتعش کو چالو کرنے کی خاطر ایک لمحے کے لئے  $X_s$  فراہم کیا گیا۔ حقیقت میں مرتعش کو چالو کرتے وقت اسے عموماً کسی قسم کا ارتعاش کرتا اشارہ نہیں مہیا کیا جاتا۔ کسی بھی دور جسے برقی طاقت مہیا نہیں کیا گیا ہو غیر چالو رہتا ہے اور ایسی صورت میں اس کے تمام اشارات صفر وولٹ (صفر امپیر) ہوتے ہیں۔ اس طرح جب مرتعش کو برقی طاقت مہیا کر کے غیر چالو حالت سے چالو کیا جائے تو اس کے مختلف حصے چند ہی لمحوں میں غیر چالو صورت سے ایک سمتی مائل کردہ صورت اختیار کر لیتے ہیں۔ یوں ان لمحات کے دوران مرتعش پر پائے جانے والے تمام اشارات تغیر پذیر ہوتے ہیں جنہیں ہم چالو کرتے وقت کی برقی شور تصور کر سکتے ہیں۔ مرتعش عموماً اسی برقی شور سے چالو ہو کر ارتعاش پذیر ہوتا ہے۔ البتہ اگر کہیں ایسی صورت پائی جائے کہ مرتعش چالو ہوتے وقت از خود ارتعاش پذیر نہیں ہو پاتا ہو یا اگر برقی شور کا سہارا لیتے ہوئے مرتعش کو چالو کرنا قابل قبول نہ ہو تب مرتعش کو چالو کرنے کی خاطر بیرونی اشارہ چند لمحات کے لئے مہیا کیا جاتا ہے۔<sup>4</sup>

اب تک کی گفتگو میں خارجی اشارے کی شکل پر کسی قسم کی بحث نہیں کی گئی۔ حقیقت میں مرتعش کے خارجی اشارے کی شکل کچھ بھی ہو سکتی ہے البتہ اس باب میں صرف سائن نما خارجی اشارہ پیدا کرنے والے مرتعش پر غور کیا جائے گا جن میں ٹرانزسٹر امپلیفائر استعمال کرتے ہوئے واپسی اشارے کو مزاحمت، کپیسٹر، امالہ، ٹرانسفارمر وغیرہ کی مدد سے حاصل کیا جاتا ہے۔

واپسی دور میں کپیسٹر اور امالہ (یعنی برقی رکاوٹ) کے استعمال سے واپس کار کے مستقل کی قیمت از خود تعدد  $\omega$  پر منحصر ہوتی ہے۔ یوں اس کو  $W(\omega)$  لکھنا زیادہ درست ہو گا۔ ایسی صورت میں برکماز کے اصول  $|W(\omega)A| = 1$  عموماً کسی ایک ہی تعدد پر پورا اترے گا۔ آپ جانتے ہیں کہ کسی بھی غیر سائن نما لہر کو فوریئر تسلسل<sup>5</sup> کی مدد سے لکھا جاسکتا ہے۔ فوریئر تسلسل میں  $\omega_0, 2\omega_0, 3\omega_0, \dots$  تعدد پر لامحدود اجزاء پائے جاتے ہیں۔ چالو کرتے وقت کے برقی شور کی بھی فوریئر تسلسل لکھی جاسکتی ہے جہاں سے صاف ظاہر ہے کہ اس میں بھی تمام تعدد پائے جاتے ہیں۔ مرتعش ان میں سے صرف اس تعدد پر ارتعاش کرے گا جو برکماز کے اصول پر پورا اترتا ہو۔

<sup>4</sup> مجھے گزشتہ پچیس سالوں میں صرف ایک مرتبہ مرتعش کو چالو کرنے کی خاطر اشارہ مہیا کرنا پڑا ہے۔  
<sup>5</sup> fourier series



شکل 8.2: مرتعش کی تخلیق

## 8.1 مرتعش کی تخلیق

شکل 8.2 الف میں بنیادی ایمپلیفائر دکھایا گیا ہے۔ اس کے خارجی اشارے  $V_o$  اور داخلی اشارے  $V_i$  کے مابین 180 کا زاویہ ہے۔ اگر اسے استعمال کرتے ہوئے مرتعش تخلیق دینا ہو تو واپس کار کو مزید 180 کا زاویہ پیدا کرنا ہو گا۔ شکل ب میں واپس کار کو ڈبے کی شکل میں دکھایا گیا ہے۔ یوں  $V_o$  اور  $V_f$  کے درمیان 180 کا زاویہ درکار ہے۔ ٹرانزسٹر کو  $V_f$  بطور داخلی اشارہ مہیا کرنے سے مرتعش حاصل ہوتا ہے۔ مندرجہ ذیل مثال میں اشارات کے مابین زاویہ پیدا کرنے کا ایک طریقہ دکھایا گیا ہے۔

مثال 8.1: شکل 8.3 الف میں  $\hat{V}_o$  اور  $\hat{V}_i$  کے درمیان زاویہ کی مساوات حاصل کریں۔

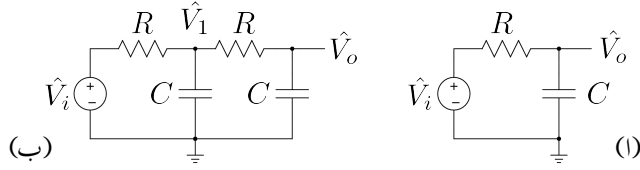
•  $10 \text{ kHz}$  پر  $C = 0.1 \mu\text{F}$  اور  $R = 1 \text{ k}\Omega$  لیتے ہوئے اس زاویہ کی قیمت حاصل کریں۔

• مزاحمت  $R$  کی وہ قیمت حاصل کریں جس پر یہ زاویہ  $-60^\circ$  ہو گا۔

حل:  $\hat{V}_i = \frac{V_o}{\angle 0}$  لیتے ہوئے، دائرے میں برقی رد  $\hat{I}$  لکھتے ہوئے کرخوف کے قانون برائے برقی دباؤ سے حاصل ہوتا ہے

$$\hat{I} = \frac{V_o / \angle 0}{R + \frac{1}{j\omega C}}$$





شکل 8.3: مزاحمت-کپیسٹر کی مدد سے اشارات کے زاویہ میں تبدیلی

اور یوں

$$\begin{aligned}\hat{V}_0 &= \hat{I} \times \left( \frac{1}{j\omega C} \right) = \frac{V/0}{1 + j\omega RC} \\ &= \frac{V}{\sqrt{1 + R^2\omega^2 C^2}} \angle -\tan^{-1}(\omega RC)\end{aligned}$$

جس سے داخلی اور خارجی اشارات کے مابین زاویہ

$$\angle \theta = -\tan^{-1}(\omega RC)$$

حاصل ہوتا ہے۔ یوں

$$\angle \theta = -\tan^{-1} \left( -2 \times \pi \times 10000 \times 1000 \times 0.1 \times 10^{-6} \right) = -81^\circ$$

•

$$\begin{aligned}-\tan^{-1} \left( 2 \times \pi \times 10000 \times R \times 0.1 \times 10^{-6} \right) &= -60^\circ \\ R &= 276 \Omega\end{aligned}$$

حاصل ہوتے ہیں۔

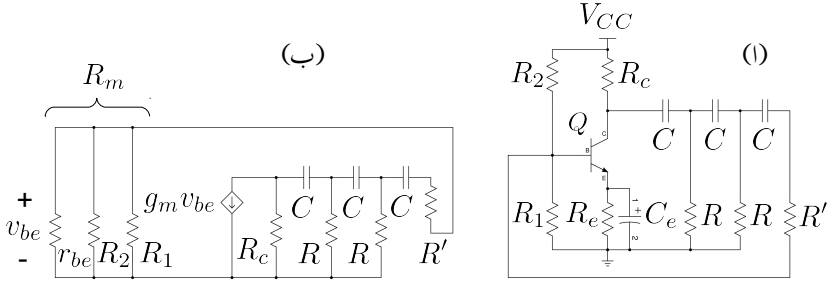
مندرجہ بالا مثال کو دیکھتے ہوئے ایسا معلوم ہوتا ہے کہ مزاحمت-کپیسٹر کے دو کڑیاں استعمال کرتے ہوئے دگنا زاویہ حاصل کیا جاسکتا ہے۔ یہ بات درست ثابت ہوتی ہے، البتہ جیسے آپ سوال 8.1 میں دیکھیں گے، دو کڑی RC کا زاویہ حاصل کرتے وقت نسبتاً لمبی مساوات حل کرنی ہوگی۔

R اور C کے ضرب RC کو بڑھا کر زیادہ زاویہ حاصل کیا جاتا ہے۔ لاجحدود RC یعنی  $RC = \infty$  پر 90 حاصل ہوتا ہے۔ حقیقت میں لاجحدود RC استعمال کرنا ممکن نہیں ہوتا لہذا ایک عدد مزاحمت اور ایک عدد کپیسٹر استعمال کرتے ہوئے 90 حاصل کرنا ممکن نہیں ہوتا۔ یوں RC کے دو کڑیوں سے 180 حاصل نہیں کیا جاسکتا۔ حقیقت میں کم از کم تین RC کڑیاں استعمال کرتے ہوئے 180 حاصل کیا جاتا ہے۔ مندرجہ ذیل حصے میں مزاحمت-کپیسٹر مرتعش میں ایسا ہی کیا گیا ہے۔

## 8.2 مزاحمت-کپیسٹر RC مرتعش

شکل 8.4 الف میں ٹرانزسٹر ایمپلیفائر پر مبنی مرتعش دکھایا گیا ہے جس میں کلکٹر پر پائے جانے والے اشارے  $X_0$  سے واپس کار  $X_f$  پیدا کرتا ہے۔ ٹرانزسٹر اپنے بیس پر پائے جانے والے اشارے کے حیطے کو بڑھا کر جبکہ اس کے زاویہ میں 180 کے تبدیلی کے ساتھ اسے کلکٹر پر خارج کرتا ہے۔ یوں بنیادی ایمپلیفائر اور واپس کار کے دائرے میں ایک چکر کے بعد کل زاویہ میں تبدیلی کو 0 رکھنے کی خاطر واپس کار کو بھی 180 کی تبدیلی پیدا کرنا ہوگی۔ جیسا اوپر مثال میں دکھایا گیا، مزاحمت-کپیسٹر RC کے کڑیاں استعمال کرتے ہوئے ایسا کرنا ممکن ہے۔ شکل 8.4 الف میں مزاحمت اور کپیسٹر کو شکل 8.3 الف سے قدر مختلف طرز پر جوڑا گیا ہے۔

بنیادی ایمپلیفائر  $Q, R_1, R_2, R_c, R_e$  اور  $C_e$  پر مشتمل ہے۔ مرتعش کے خارجی تعدد پر کپیسٹر  $C_e$  بطور قصر دور کام کرتا ہے۔ بنیادی ایمپلیفائر میں واپس کار شامل کرنے سے مرتعش حاصل ہوتا ہے۔ واپس کار تین عدد کپیسٹر اور تین عدد مزاحمت سے حاصل کیا گیا ہے۔ شکل ب میں ٹرانزسٹر کا پائے  $\pi$  ریاضی نمونہ استعمال کرتے ہوئے اس مرتعش کا مساوی دور دکھایا گیا ہے جس میں  $R_e$  کو قصر دو کیا گیا ہے۔ جیسے آپ دیکھ سکتے ہیں  $r_{be}, R_1$  اور  $R_2$  متوازی جڑے ہیں۔ ان متوازی جڑے مزاحمت کی کل قیمت کو  $R_m$  لکھا گیا ہے۔ یوں  $R_m$  اور  $R'$  سلسلہ وار جڑے ہیں۔ حقیقت میں  $r_{be}$  کی قیمت  $R_1$  اور  $R_2$  کے قیمتوں سے نہایت کم ہوتی ہے اور یوں  $R_m$  کی قیمت تقریباً  $r_{be}$  کے ہی برابر ہوتی ہے یعنی  $r_{be} \approx R_m$  ہوتا ہے۔ اگر  $R'$  کی قیمت یوں منتخب کی جائے کہ  $R' + R_m = R$  ہو تب ہم دیکھتے ہیں کہ واپسی دور تین یکساں RC حصوں پر مشتمل ہوتا ہے۔ اگرچہ واپسی دور کے تین کپیسٹروں کی قیمت آپس میں برابر یا تین مزاحمتوں کی قیمت آپس میں برابر رکھنا لازم نہیں، البتہ ایسا رکھنے سے مرتعش پر ترسیلی غور نسبتاً آسان ہو جاتا ہے۔ ہم ایسا ہی کرتے ہیں۔ شکل 8.5 پر نظر رکھیں جہاں  $R_m \approx r_{be}$  لیا گیا ہے اور  $R' + r_{be}$  کو  $R$  کے برابر رکھا



شکل 8.4: مسزاحت - کپیٹر RC تعش یا RC تعش

گیا ہے۔ یوں

$$V_1 = I_0 \left( R + \frac{1}{j\omega C} \right)$$

ہو گا جسے استعمال کرتے ہوئے ہم لکھ سکتے ہیں

$$I_1 = \frac{V_1}{R} = I_0 \left( 1 + \frac{1}{j\omega CR} \right)$$

اس طرح

$$I_2 = I_1 + I_0 = I_0 \left( 2 + \frac{1}{j\omega CR} \right)$$

ہو گا۔ چونکہ  $V_2 - V_1 = \frac{I_2}{j\omega C}$  کے برابر ہے لہذا

$$\begin{aligned} V_2 &= V_1 + \frac{I_2}{j\omega C} \\ &= I_0 \left( R + \frac{1}{j\omega C} \right) + \frac{I_0}{j\omega C} \left( 2 + \frac{1}{j\omega CR} \right) \\ &= I_0 \left[ R + \frac{3}{j\omega C} + \frac{1}{(j\omega C)^2 R} \right] \end{aligned}$$

یوں

$$I_3 = \frac{V_2}{R} = I_0 \left[ 1 + \frac{3}{j\omega CR} + \frac{1}{(j\omega CR)^2} \right]$$

اور

$$\begin{aligned} I_4 &= I_3 + I_2 \\ &= I_0 \left[ 1 + \frac{3}{j\omega CR} + \frac{1}{(j\omega CR)^2} \right] + I_0 \left[ 2 + \frac{1}{j\omega CR} \right] \\ &= I_0 \left[ 3 + \frac{4}{j\omega CR} + \frac{1}{(j\omega CR)^2} \right] \end{aligned}$$

ہوں گے۔ اسی طرح

$$\begin{aligned} V_3 &= V_2 + \frac{I_4}{j\omega C} \\ (8.4) \quad &= I_0 \left[ R + \frac{3}{j\omega C} + \frac{1}{(j\omega C)^2 R} \right] + \frac{I_0}{j\omega C} \left[ 3 + \frac{4}{j\omega CR} + \frac{1}{(j\omega CR)^2} \right] \\ &= I_0 \left[ R + \frac{6}{j\omega C} + \frac{5}{(j\omega C)^2 R} + \frac{1}{(j\omega C)^3 R^2} \right] \end{aligned}$$

ہو گا۔ اگر

$$(8.5) \quad R_c = kR$$

لیا جائے تب

$$\begin{aligned} I_5 &= \frac{V_3}{R_c} = \frac{V_3}{kR} \\ &= I_0 \left[ \frac{1}{k} + \frac{6}{j\omega CRk} + \frac{5}{(j\omega CR)^2 k} + \frac{1}{(j\omega CR)^3 k} \right] \end{aligned}$$

اور

$$\begin{aligned}
 I_6 &= I_5 + I_4 \\
 &= I_0 \left[ \frac{1}{k} + \frac{6}{j\omega CRk} + \frac{5}{(j\omega CR)^2 k} + \frac{1}{(j\omega CR)^3 k} \right] \\
 &\quad + I_0 \left[ 3 + \frac{4}{j\omega CR} + \frac{1}{(j\omega CR)^2} \right]
 \end{aligned}$$

ہوں گے۔ چونکہ خیالی عدد  $\sqrt{-1}$  ہے  $j$  ہوتا ہے لہذا  $j^2 = -1$  اور  $j^3 = -j$  ہو گا۔ اسی طرح  $j = \frac{1}{j}$  ہو گا۔ یوں

$$(8.6) \quad I_6 = I_0 \left[ \frac{1}{k} + 3 - \frac{\left(\frac{5}{k} + 1\right)}{(\omega CR)^2} + j \left[ \frac{1}{(\omega CR)^3 k} - \frac{\left(\frac{6}{k} + 4\right)}{\omega CR} \right] \right]$$

شکل کو دیکھتے ہوئے معلوم ہوتا ہے کہ  $I_6 = -g_m v_{be}$  اور  $I_6 = I_0 r_{be}$  کے برابر ہیں لہذا  $I_6 = -g_m r_{be} I_0$  ہو گا۔ باب 3 میں مساوات 3.188 کے تحت  $\beta = g_m r_{be}$  ہے۔ یوں  $I_6 = -\beta I_0$  ہو گا جسے مندرجہ بالا مساوات کے استعمال سے

$$(8.7) \quad I_0 \left[ \frac{1}{k} + 3 - \frac{\left(\frac{5}{k} + 1\right)}{(\omega CR)^2} + j \left[ \frac{1}{(\omega CR)^3 k} - \frac{\left(\frac{6}{k} + 4\right)}{\omega CR} \right] \right] = -\beta I_0$$

لکھا جاسکتا ہے۔

مساوات 8.7 میں مساوی نشان کے دونوں جانب کے حقیقی مقداریں آپس میں برابر ہوں گے اور اسی طرح مساوی نشان کے دونوں جانب خیالی مقداریں آپس میں برابر ہوں گے۔ یوں اس مساوات کو دو مساوات کی شکل میں لکھا جاسکتا ہے۔ خیالی مقداروں سے حاصل ہوتا ہے۔

$$I_0 \left[ \frac{1}{(\omega CR)^3 k} - \frac{\left(\frac{6}{k} + 4\right)}{\omega CR} \right] = 0$$

جس سے حاصل ہوتا ہے

$$\begin{aligned} (\omega_0 CR)^2 &= \frac{1}{6 + 4k} \\ \omega_0 &= \frac{1}{CR\sqrt{6 + 4k}} \\ f_0 &= \frac{1}{2\pi CR\sqrt{6 + 4k}} \end{aligned} \quad (8.8)$$

مزاحمت-کپیسٹر مرتعش مساوات 8.8 میں حاصل کردہ تعدد  $f_0$  پر کام کرے گا۔  $f_0$  لکھتے وقت 0 کو زیر نوشت لکھ کر اس بات کی یاد دہانی کرائی گئی ہے کہ یہ مرتعش کی قدرتی تعدد<sup>6</sup> ہے۔

مساوات 8.7 کے حقیقی مقداروں سے حاصل ہوتا ہے۔

$$-I_0\beta = I_0 \left[ \frac{1}{k} + 3 - \frac{\left(\frac{5}{k} + 1\right)}{(\omega CR)^2} \right]$$

جسے مساوات 8.8 کی مدد سے یوں لکھا جاسکتا ہے۔

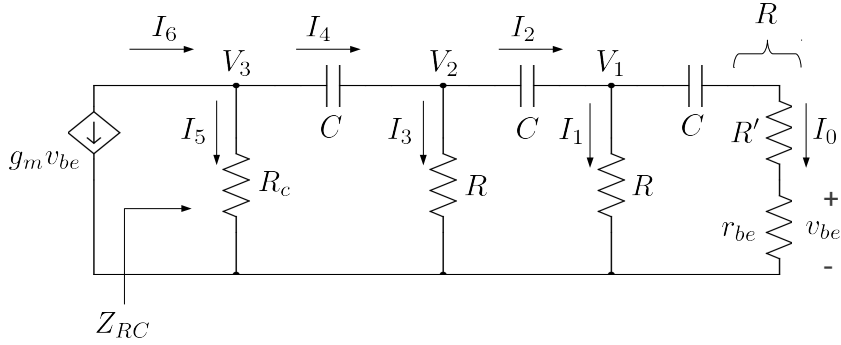
$$\begin{aligned} -\beta &= \frac{1}{k} + 3 - \left(\frac{5}{k} + 1\right) (6 + 4k) \\ \beta &= \frac{29}{k} + 23 + 4k \end{aligned} \quad (8.9)$$

مرتعش کو برقرار چالو رکھنے کی خاطر حقیقت میں  $\beta$  کو مندرجہ بالا حاصل کئے گئے قیمت سے زیادہ رکھنا پڑتا ہے لہذا اس مساوات کو یوں لکھنا چاہئے

$$\beta > \frac{29}{k} + 23 + 4k \quad (8.10)$$

مختلف  $k$  کے لئے ٹرانزسٹر کی کم سے کم  $\beta$  کی قیمت اس مساوات سے حاصل کی جاسکتی ہے۔ اگر بنیادی ایمپلیفائر میں استعمال ٹرانزسٹر کا  $\beta$  مندرجہ بالا مساوات پر پورا نہ اترے، تب اس سے بنایا گیا مزاحمت-کپیسٹر مرتعش کام نہیں کرے گا۔ آئیں ایسے مرتعش میں درکار ٹرانزسٹر کی کم سے کم  $\beta$  حاصل کریں۔ ایسا  $\frac{d\beta}{dk} = 0$  لیتے ہوئے حاصل کیا

<sup>6</sup>natural frequency



شکل 8.5: مزاحمت-کپیسٹر مرتعش کی مساوات کا حصول

جائے گا۔

$$\frac{d\beta}{dk} = -\frac{29}{k^2} + 0 + 4 = 0$$

$$k = \frac{\sqrt{29}}{2} = 2.69$$

حاصل ہوتا ہے جس سے کم سے کم  $\beta$  کی مقدار

$$\beta_0 > \frac{29}{2.69} + 23 + 4 \times 2.69 \approx 44.5$$

حاصل ہوتی ہے۔ یوں  $R_c = 2.69R$  رکھتے ہوئے مزاحمت-کپیسٹر مرتعش ایسے ٹرانزسٹر سے بنایا جاسکتا ہے جس کے  $\beta$  کی قیمت 44.5 سے زیادہ ہو۔ مرتعش ہر وقت اپنی قدرتی تعدد پر ارتعاش کرتا ہے۔ یوں واپس کار کے کپیسٹر کی برقی رکاوٹ  $\frac{j}{\omega_0 C}$  کو مساوات 8.8 کی مدد سے  $-jR\sqrt{6+4k}$  لکھا جاسکتا ہے۔ اس نتیجے کے مطابق اس برقی رکاوٹ کی قیمت  $C$  کے بجائے مزاحمت  $R$  پر منحصر ہے۔ شکل 8.5 میں برقی رکاوٹ  $Z_{RC}$  کی نشاندہی کی گئی ہے جو ٹرانزسٹر پر بطور برقی بوجھ لدا ہے۔ یوں  $Z_{RC}$  کی قیمت بھی  $C$  پر منحصر نہیں ہوگی۔ اگرچہ واپس کار کے کسی بھی مزاحمت یا کپیسٹر کو تبدیل کرتے ہوئے اس مرتعش کی قدرتی تعدد تبدیل کی جاسکتی ہے، حقیقت میں عموماً وسیع حدود کے درمیان تعدد تبدیل کرنے کی خاطر تینوں کپیسٹروں کو ایک ساتھ برابر تبدیل کیا جاتا ہے۔ تینوں کپیسٹروں تبدیل کرنے سے  $Z_{RC}$ ، جو کہ بنیادی امپلیفائر کا بوجھ ہے، تبدیل نہیں ہوتا اور یوں ارتعاشی لہر کا حیطہ بھی تبدیل نہیں ہوتا۔ یہ مرتعش چند ہرٹز Hz سے کئی سو کلو ہرٹز kHz تک کے ارتعاش پیدا کرنے کے لئے استعمال کیا جاتا ہے۔ میگا ہرٹز MHz کے حدود میں اسے دیگر اقسام کے امالہ-کپیسٹر LC مرتعشوں پر فوقیت حاصل نہیں۔

آئیں اب  $Z_{RC}$  کی اصل قیمت حاصل کریں۔ شکل سے ظاہر ہے کہ

$$Z_{RC} = \frac{V_3}{I_6}$$

کے برابر ہے۔ مساوات 8.4 اور مساوات 8.6 کی مدد سے

$$Z_{RC} = \frac{I_0 \left( R + \frac{6}{j\omega C} + \frac{5}{(j\omega C)^2 R} + \frac{1}{(j\omega C)^3 R^2} \right)}{I_0 \left( \frac{1}{k} + 3 - \frac{(\frac{5}{k} + 1)}{(\omega CR)^2} + j \left[ \frac{1}{(\omega CR)^3 k} - \frac{(\frac{6}{k} + 4)}{\omega CR} \right] \right)}$$

مساوات 8.8 میں دئے  $\omega$  کی قیمت اس مساوات میں استعمال کرتے ہوئے

$$\begin{aligned} Z_{RC} &= \frac{R + \frac{6CR\sqrt{6+4k}}{jC} + \frac{5(CR\sqrt{6+4k})^2}{(jC)^2 R} + \frac{(CR\sqrt{6+4k})^3}{(jC)^3 R^2}}{\frac{1}{k} + 3 - \frac{(\frac{5}{k} + 1)(CR\sqrt{6+4k})^2}{(CR)^2} + j \left[ \frac{(CR\sqrt{6+4k})^3}{(CR)^3 k} - \frac{(\frac{6}{k} + 4)(CR\sqrt{6+4k})}{CR} \right]} \\ &= \frac{-R \left[ 1 + \frac{6\sqrt{6+4k}}{j} + \frac{5(\sqrt{6+4k})^2}{(j)^2} + \frac{(\sqrt{6+4k})^3}{(j)^3} \right]}{\frac{29}{k} + 23 + 4k} \end{aligned}$$

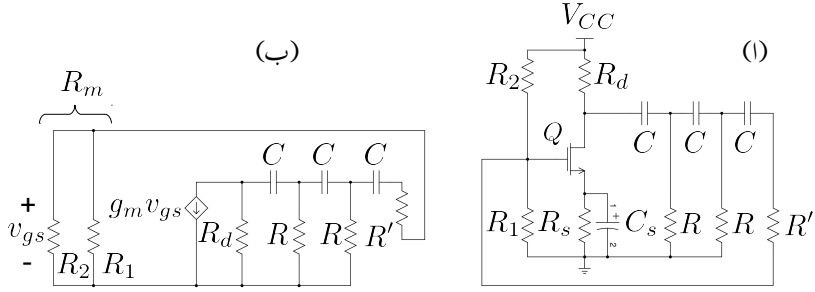
حاصل ہوتا ہے۔ اگر  $\beta$  مساوات 8.9 کے مطابق ہو تب

$$(8.11) \quad Z_{RC} = \frac{R}{\beta} [29 + 20k - j4k\sqrt{6+4k}]$$

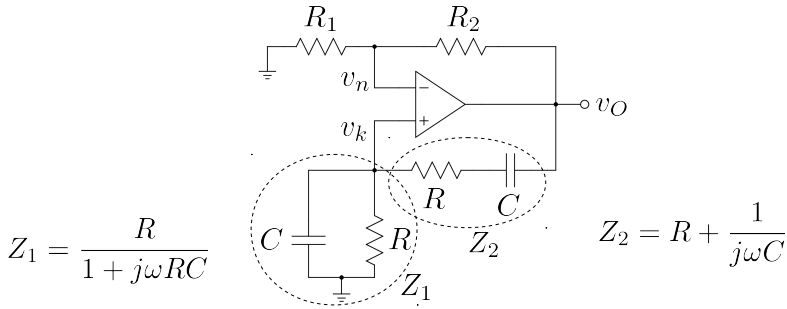
حاصل ہوتا ہے۔

شکل 8.6 الف میں ماسیفٹ سے RC مرتعش کا حصول دکھایا گیا ہے۔ شکل ب میں اسی کا مساوی دور دکھایا گیا ہے۔ جیسے آپ دیکھ سکتے ہیں یہ بالکل دو جوڑ ٹرانزسٹر کے دور کے طرح کا ہی ہے۔ حقیقی دور میں  $R'$  کے استعمال کی ضرورت نہیں ہوتی چونکہ  $R_1$  اور  $R_2$  کو یوں رکھنا ممکن ہو گا کہ یہ ماسیفٹ کو یک سمتی مائل کرنے کے ساتھ ساتھ  $R = R_m$  کے شرط کو بھی پورا کرے جہاں  $R_m = \frac{R_1 R_2}{R_1 + R_2}$  کے برابر ہے۔





شکل 8.6: مزاحمت-کمپیسٹر ماسیفٹ مرتعش



شکل 8.7: وائِن مرتعش

### 8.3 وائِن مرتعش

شکل 8.7 میں وائِن مرتعش<sup>7</sup> دکھایا گیا ہے۔ وائِن مرتعش<sup>8</sup> پر پہلے بغیر حل کئے غور کرتے ہیں۔

آپ جانتے ہیں کہ ایک سمتی رو پر کمپیسٹر کھلے سرے کردار ادا کرتا ہے۔ یوں اگر  $v_O$  برقرار کسی مثبت برقی رو پر رہے تب  $Z_2$  کھلے سرے کردار ادا کرے گا جبکہ  $Z_1$  بطور مزاحمت  $R$  کردار ادا کرے گا۔ یوں  $v_k$  برقی زمین پر رہے گا اور  $v_k = 0$  ہو گا۔ اس کے برعکس  $R_1$  اور  $R_2$  حسابی ایمپلیفائر کے مثبت خارجی برقی دباؤ  $v_O$  سے  $v_n = \frac{R_1 v_O}{R_1 + R_2}$

<sup>7</sup>Wien bridge oscillator

<sup>8</sup>اس مرتعش کو وائِن نے دریافت کیا۔

پیدا کریں گے جو کہ مثبت برقی دباؤ ہو گا۔ ایسی صورت میں  $v_n > v_k$  ہے اور حسابی ایمپلیفائر کا خارجی اشارہ  $v_O$  برقرار مثبت نہیں رہ سکتا اور یہ جلد از جلد منفی ہونے کی کوشش کرے گا۔ آئیں اب تصور کریں کہ  $v_O$  برقرار کسی منفی برقی دباؤ پر رہتا ہے۔ اس مرتبہ بھی  $v_k = 0$  ہی حاصل ہوتا ہے البتہ منفی  $v_O$  کی صورت میں  $v_n = \frac{R_1 v_O}{R_1 + R_2}$  بھی منفی برقی دباؤ ہو گا اور یوں  $v_k > v_n$  ہو گا۔ ایسی صورت میں حسابی ایمپلیفائر کا خارجی اشارہ برقرار منفی نہیں رہ سکتا اور یہ جلد از جلد مثبت ہونے کی کوشش کرے گا۔ مندرجہ بالا تبصرے سے یہ حقیقت اجاگر ہوئی کہ  $v_O$  برقرار نہ مثبت اور نہ ہی منفی برقی دباؤ پر ٹھہر سکتا ہے بلکہ یہ ارتعاش پذیر رہتا ہے۔

اگر  $v_O = 0$  تصور کیا جائے تب  $v_k = v_n = 0$  ہی حاصل ہوتے ہیں اور  $v_O$  برقرار برقی زمین پر ہی رہے گا۔ یہ صورت حال نا پسندیدہ ہے۔ برقی ادوار میں مسلسل برقی شور پایا جاتا ہے جس کی وجہ سے کسی بھی مقام پر پائے جانے والے برقی دباؤ میں لمحہ بالمحہ باریک تبدیلیاں پیدا ہوتی ہیں۔ یوں  $v_k$  اور  $v_n$  زیادہ دیر مکمل طور پر برابر برقی دباؤ پر نہیں رہ سکتے اور جلد ہی لحاتی طور پر  $v_k > v_n$  اور  $v_k < v_n$  ہو جائے گا۔ ایسا ہوتے ہی  $v_O$  حرکت میں آئے گا اور دور ارتعاش پذیر ہو جائے گا۔ آئیں اب وائٹ مرتعش کا تحلیلی تجزیہ کریں

وائٹ مرتعش کو دیکھتے ہوئے ہم لکھ سکتے ہیں۔

$$(8.12) \quad \begin{aligned} v_n &= \left( \frac{R_1}{R_1 + R_2} \right) v_O \\ v_k &= \left( \frac{Z_1}{Z_1 + Z_2} \right) v_O \end{aligned}$$

جہاں

$$(8.13) \quad \begin{aligned} Z_1 &= \frac{R}{1 + j\omega RC} \\ Z_2 &= R + \frac{1}{j\omega C} \\ &= \frac{1 + j\omega RC}{j\omega C} \end{aligned}$$

کے برابر ہیں۔ مساوات 8.13 کو مساوات 8.12 میں پُر کرتے ہوئے  $v_k = v_n$  لکھتے ہوئے

$$\left( \frac{R_1}{R_1 + R_2} \right) v_O = \left( \frac{\frac{R}{1 + j\omega RC}}{\frac{R}{1 + j\omega RC} + \frac{1 + j\omega RC}{j\omega C}} \right) v_O$$

حاصل ہوتا ہے۔ اس کو حل کرتے ہوئے

$$\begin{aligned}\frac{R_1}{R_1 + R_2} &= \frac{j\omega RC}{j\omega RC + (1 + j\omega RC)^2} \\ &= \frac{j\omega RC}{j3\omega RC + 1 - \omega^2 R^2 C^2}\end{aligned}$$

یعنی

$$(8.14) \quad R_1 [j3\omega RC + 1 - \omega^2 R^2 C^2] = j\omega RC (R_1 + R_2)$$

ملتا ہے۔ اس مساوات کے حقیقی اور خیالی اجزاء علیحدہ کرتے ہوئے

$$\begin{aligned}R_1 (1 - \omega^2 R^2 C^2) &= 0 \\ j3\omega R C R_1 &= j\omega RC (R_1 + R_2)\end{aligned}$$

حاصل ہوتا ہے جس سے

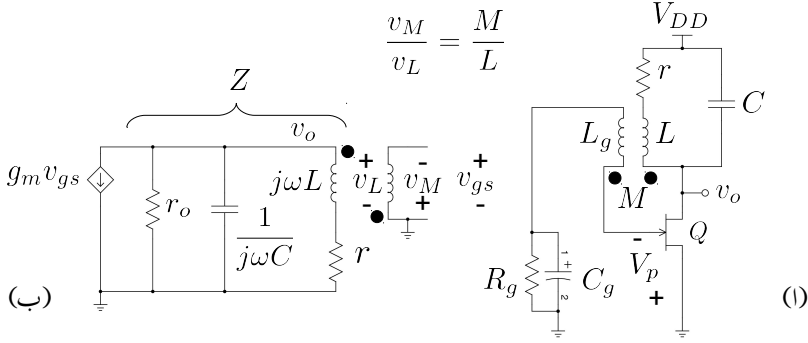
$$(8.15) \quad \begin{aligned}\omega &= \omega_0 = \frac{1}{RC} \\ R_2 &= 2R_1\end{aligned}$$

حاصل ہوتا ہے۔ مساوات 8.15 وائن مرتعش کے شرائط بیان کرتے ہیں۔ ان شرائط کے مطابق وائن مرتعش کی قدرتی تعدد  $\frac{1}{RC}$  کے برابر ہے اور یہ اس وقت ارتعاش کرے گا جب  $R_2$  کی قیمت  $R_1$  کے دگنا ہو۔

وائن مرتعش کو مثبت حسابی ایمپلیفائر تصور کیا جاسکتا ہے جہاں  $v_k$  اس کا داخلی اشارہ جبکہ  $\frac{R_1 + R_2}{R_1}$  اس کی افزائش  $A_v$  ہے۔  $R_2 = 2R_1$  کی صورت میں  $A_v = 3 \frac{V}{V}$  کے برابر ہو گا۔ اس قیمت سے کم افزائش پر مرتعش ارتعاش پذیر نہ ہو پائے گا۔ مستحکم مرتعش کے لئے ضروری ہے کہ افزائش اس قیمت سے قدر زیادہ ہو۔ یوں حقیقت میں  $R_2 > 2R_1$  ہونا ضروری ہے۔ اگر  $R_2$  کی قیمت  $2R_1$  سے ذرہ سی زیادہ ہو تب مرتعش سائن نما لہر خارج کرتا ہے البتہ  $R_2 \gg 2R_1$  کی صورت میں  $A_v$  کی قیمت بہت بڑھ جاتی ہے اور مرتعش مستطیل لہر خارج کرتا ہے۔

#### 8.4 $nJFET$ پر مبنی امالہ - کپیسٹر LC ہمسر مرتعش

مزاحمت - کپیسٹر مرتعش میں RC کی کڑیاں جوڑ کر لہر کے زاویے میں 180 کی تبدیلی پیدا کی گئی۔ اس حصے میں مشترکہ امالہ (یعنی ٹرانسفارمر) کے استعمال سے 180 کی تبدیلی حاصل کی جائے گی۔ شکل 8.8 میں L اور  $L_g$  کو قریب قریب



شکل 8.8: امالہ-کپیسٹر مرتعش

رکھ کر مشترکہ امالہ  $M$  حاصل کیا گیا ہے۔ اس مرتعش کی کارکردگی سمجھنے کی خاطر تصور کریں کہ ماسفیٹ میں  $\omega_0$  تعدد کی برقی رو پائی جاتی ہے جس کی وجہ سے اس پر نسب  $LC$  پر اسی تعدد کی برقی دباؤ پیدا ہوگی۔ مشترکہ امالہ کی وجہ سے اس برقی دباؤ کا کچھ حصہ  $L_g$  پر نمودار ہوتے ہوئے ماسفیٹ کو چلائے گا۔ یوں گیٹ پر برقی دباؤ سے  $LC$  پر برقی دباؤ پیدا ہوتا ہے اور  $LC$  پر برقی دباؤ کی وجہ سے گیٹ پر برقی دباؤ پیدا ہوتا ہے۔ یہ ناختم ہونے والا سلسلہ یوں برقرار رہے گا۔ آئیں اب اس مرتعش پر تحلیلی بحث کریں۔

$nJFET$  کا گیٹ کھلے سرے کردار ادا کرتا ہے لہذا  $L_g$  میں صفر برقی رو گزرے گا۔ اس صورت میں اگر  $L$  پر برقی دباؤ  $v_L$  پایا جائے تو  $L_g$  پر مشترکہ امالہ  $M$  کی وجہ سے  $v_M$  پیدا ہوگا جہاں

$$(8.16) \quad \frac{v_M}{v_L} = \frac{M}{L}$$

کے برابر ہوگا۔ مشترکہ امالہ میں برقی طاقت کے ضیاع کو مزاحمت  $r$  سے ظاہر کیا گیا ہے۔ مشترکہ امالہ میں نقطوں سے ہم زاویہ سرے دکھائے جاتے ہیں۔ یوں اگر  $L$  پر برقی دباؤ کا مثبت سرا نقطے کی جانب ہو تو  $L_g$  پر بھی برقی دباؤ کا مثبت سرا نقطے کی جانب ہوگا۔ شکل سے واضح ہے کہ  $v_{gs} = -v_M$  کے برابر ہے۔ یوں

$$(8.17) \quad v_{gs} = -\left(\frac{M}{L}\right) v_L$$

ہوگا۔

شکل ب میں  $v_o = -g_m v_{gs} Z$  کے برابر ہے جسے  $v_o = -\frac{v_o}{Z}$  لکھا جاسکتا ہے جہاں

$$\frac{1}{Z} = \frac{1}{r_o} + j\omega C + \frac{1}{r + j\omega L}$$

کے برابر ہے۔ یوں

$$(8.18) \quad g_m v_{gs} = - \left( \frac{1}{r_o} + j\omega C + \frac{1}{r + j\omega L} \right) v_o$$

ہو گا۔  $r$  اور  $L$  سلسلہ وار جڑے ہیں اور یوں

$$(8.19) \quad v_L = \left( \frac{j\omega L}{r + j\omega L} \right) v_o$$

کے برابر ہے۔ یوں مساوات 8.17 کو

$$(8.20) \quad v_{gs} = - \left( \frac{M}{L} \right) \left( \frac{j\omega L}{r + j\omega L} \right) v_o$$

اور مساوات 8.18 کو یوں لکھ سکتے ہیں۔

$$-g_m \left( \frac{M}{L} \right) \left( \frac{j\omega L}{r + j\omega L} \right) v_o = - \left( \frac{1}{r_o} + j\omega C + \frac{1}{r + j\omega L} \right) v_o$$

دونوں جانب  $v_o$  کو کاٹتے ہوئے  $(r + j\omega L)$  سے ضرب دیتے ہیں۔

$$(8.21) \quad \begin{aligned} j\omega M g_m &= \frac{r + j\omega L}{r_o} + j\omega C (r + j\omega L) + 1 \\ &= \frac{r}{r_o} + \frac{j\omega L}{r_o} + j\omega C r - \omega^2 LC + 1 \end{aligned}$$

اس مساوات میں حقیقی اور خیالی جزو علیحدہ کئے جاسکتے ہیں۔ حقیقی جزو حل کرتے قدرتی تعدد  $\omega_0$  کی قیمت حاصل ہوتی ہے

$$(8.22) \quad \begin{aligned} \frac{r}{r_o} - \omega_0^2 LC + 1 &= 0 \\ \omega_0 &= \sqrt{\frac{1}{LC} \left( \frac{r}{r_o} + 1 \right)} \end{aligned}$$

حقیقت میں مشترکہ امالہ کی مزاحمت  $r$  کی قیمت ماسفیٹ کے مزاحمت  $r_0$  سے نہایت کم ہوتی ہے یعنی  $r \ll r_0$  ہوتا ہے۔ یوں مندرجہ بالا مساوات کے مطابق قدرتی تعدد کی قیمت تقریباً  $LC$  کی قدرتی تعدد کے برابر ہوتی ہے یعنی

$$\omega_0 = \frac{1}{\sqrt{LC}} \quad (8.23)$$

جہاں تقریباً کی جگہ برابر کا نشان استعمال کیا گیا ہے۔ اس اتفاقی اور دلچسپ نتیجے کے مطابق یہ مرتعش متوازی جڑے  $LC$  کی قدرتی گنگلہ تعدد<sup>9</sup> پر ارتعاش کرتا ہے۔ اسی نتیجے کی بنا پر اس مرتعش کو  $LC$  ہمسر مرتعش<sup>10</sup> کہا جاتا ہے۔ اس مرتعش کی تعدد کپیسیٹر  $C$  کی قیمت تبدیل کرتے ہوئے تبدیل کی جاسکتی ہے۔

مساوات 8.21 میں خیالی جزو حل کرتے ہوئے کم سے کم  $g_m$  کی قیمت حاصل ہوتی ہے یعنی

$$\begin{aligned} \omega M g_m &= \frac{\omega L}{r_0} + \omega C r \\ g_m &= \frac{1}{M} \left( \frac{L}{r_0} + C r \right) \end{aligned} \quad (8.24)$$

$r$  کو نظر انداز کرتے ہوئے ہم دیکھتے ہیں کہ مرتعش  $\omega_0$  پر ارتعاش کرے گا۔  $\omega_0$  پر متوازی جڑے  $LC$  کی برقی رکاوٹ لا محدود ہوگی اور بنیادی ایمپلیفائر کے لئے ہم

$$v_o = -g_m v_{gs} r_o$$

لکھ سکتے ہیں۔ یوں

$$A_v = \frac{v_o}{v_{gs}} = -g_m r_o$$

ہوگا۔ لا محدود بوجھ پر انفرانش کی حتمی قیمت کو  $\mu$  لکھتے ہوئے یعنی  $\mu = g_m r_o$  لیتے ہوئے مساوات 8.24 میں  $r_o$  کی جگہ  $\frac{\mu}{g_m}$  لکھتے ہوئے حل کرتے ہیں۔

$$\begin{aligned} g_m M &= \frac{L}{r_o} + C r \\ g_m M &= \frac{L g_m}{\mu} + C r \\ g_m &= \frac{\mu C r}{\mu M - L} \end{aligned}$$

حقیقی مرتعش کی  $g_m$  اس سے زیادہ ہوگی۔

<sup>9</sup> resonant frequency  
<sup>10</sup> LC tuned oscillator

## 8.4.1 خود-مائل دور

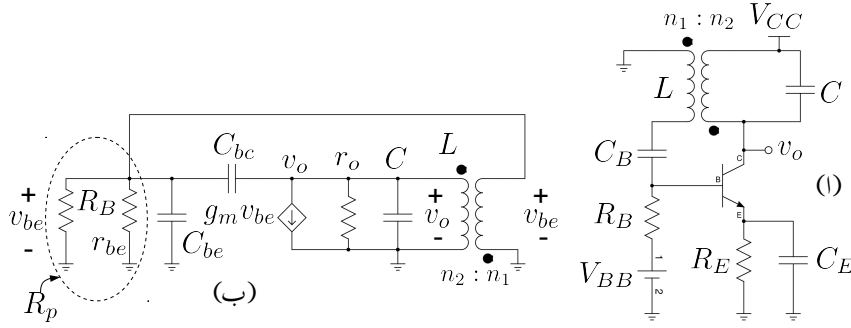
شکل 8.8 میں  $nJFET$  کے مائل ہونے پر غور کرتے ہیں۔ تصور کریں کہ مرتعش ارتعاش پذیر ہے۔ یوں مشترکہ امالہ کی وجہ سے گیٹ پر سائن نما برقی دباؤ  $V_p \sin \omega t$  پایا جائے گا۔  $nJFET$  کے گیٹ پر جب بھی مثبت برقی دباؤ لاگو کی جائے یہ کسی بھی ڈائیوڈ کی طرح سیدھا مائل ہو جاتا ہے۔ گیٹ کا ڈائیوڈ، کپیسٹر  $C_g$  اور مزاحمت  $R_g$  بطور چوٹی حاصل کار کردار ادا کرتے ہیں جس پر حصہ 2.4 میں تفصیلاً غور کیا گیا ہے۔ یوں کپیسٹر  $C_g$  پر برقی دباؤ، گیٹ پر پائے جانے والے سائن نما لہر کے چوٹی برابر ہو جائے گا یعنی اس پر  $V_p$  برقی دباؤ پایا جائے گا۔ جیسا شکل میں دکھایا گیا ہے، کپیسٹر پر برقی دباؤ کا مثبت سرا برقی زمین کے ساتھ جڑا ہے۔ یوں گیٹ پر  $-V_p$  برقی دباؤ پایا جائے گا جو  $nJFET$  کو مائل کرتا ہے۔  $R_g$  کی قیمت یوں رکھی جاتی ہے کہ لہر کے ایک دوری عرصے میں  $C_g$  پر برقی دباؤ برقرار رہے۔ ایسا کرنے کی خاطر  $\frac{1}{f} \gg R_g C_g$  رکھا جاتا ہے جہاں  $f$  لہر کی تعدد ہے۔ اس مرتعش کی تعدد حاصل کرتے وقت تصور کیا گیا تھا کہ گیٹ پر برقی رو کا گزر ممکن نہیں۔ یہاں ہم دیکھتے ہیں کہ  $nJFET$  کو مائل کرنے کی خاطر گیٹ کے ڈائیوڈ کا سیدھا مائل ہونا لازم ہے۔ چونکہ لہر کی چوٹی پر نہایت کم دورانیہ کے لئے گیٹ سیدھا مائل ہوتا ہے جبکہ بقایا تمام وقت یہ الٹ مائل رہتا ہے لہذا گیٹ کو کھلے سرے تصور کیا جاسکتا ہے۔

جس لمحہ مرتعش کو برقی طاقت  $V_{DD}$  مہیا کیا جائے اس لمحہ  $C_g$  پر صفر برقی دباؤ پایا جاتا ہے۔ یوں  $nJFET$  زیادہ  $i_{DS}$  گزرنے دیتا ہے جس سے اس کی  $g_m$  کی قیمت بھی زیادہ ہوتی ہے۔ زیادہ  $g_m$  کی وجہ سے دور کا ارتعاش پذیر ہونا ممکن ہوتا ہے۔ تصور کریں کہ ایسا ہی ہوتا ہے۔  $g_m$  کی زیادہ قیمت کی وجہ سے ارتعاشی لہر کا جیٹ بڑھتا جاتا ہے جس سے  $C_g$  پر برقی دباؤ  $V_p$  بھی بڑھتا جاتا ہے جو کہ گیٹ کو زیادہ سے زیادہ منفی کرتے ہوئے  $i_{DS}$  کی قیمت کو کم کرتا ہے۔ کم  $i_{DS}$  کی وجہ سے  $g_m$  کی قیمت بھی کم ہوتی ہے۔ آخر کار دور ایسی توازن اختیار کر لیتا ہے جہاں ارتعاشی لہر کا جیٹ برقرار رہتا ہے۔

## 8.5 ٹرانزسٹر ہمسر مرتعش

حصہ 8.4 میں  $nJFET$  کا کم تعددی ریاضی نمونہ استعمال کرتے ہوئے مرتعش کو حل کرنا دکھایا گیا جس میں ٹرانسفارمر کو بطور مشترکہ امالہ تصور کیا گیا۔ اس حصے میں دو جوڑ ٹرانزسٹر کا بلند تعددی ریاضی نمونہ اور ٹرانسفارمر کے مساوات استعمال کرتے ہوئے ہمسر مرتعش<sup>11</sup> کا حل دکھایا جائے گا۔ ظاہر ہے کہ فیٹ پر مبنی مرتعش کو بھی اسی

tuned oscillator<sup>11</sup>



شکل 8.9: ٹرانزسٹر ہمر تعش

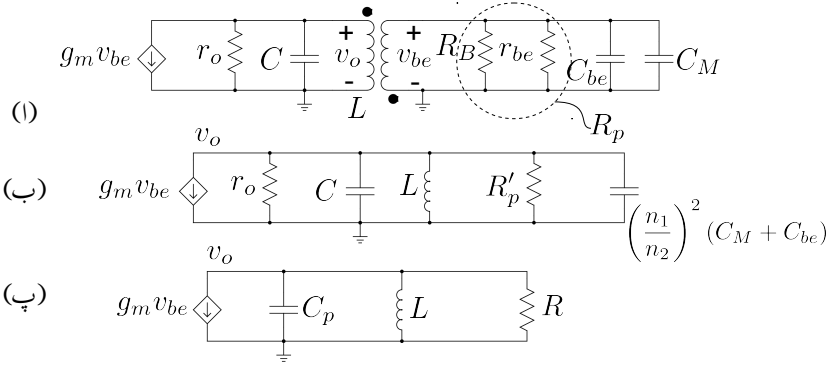
طرح حل کیا جا سکتا ہے۔ بلند تعدد پر ٹرانزسٹر (یافٹ) کے بلند تعدد ریاضی نمونہ ہی سے درست جوابات حاصل ہوتے ہیں لہذا بلند تعدد پر چلنے والے مر تعش کو حل کرتے ہوئے ٹرانزسٹر (یافٹ) کا بلند تعدد ریاضی نمونہ استعمال کرنا ضروری ہے۔ شکل 8.9 الف میں ٹرانزسٹر ہمر تعش دکھایا گیا ہے۔ ٹرانزسٹر کا بلند تعدد ریاضی نمونہ استعمال کرتے ہوئے شکل ب میں اسی کا مساوی دور دکھایا گیا ہے جس میں  $C_B$  اور  $C_E$  کو لامحدود تصور کیا گیا ہے۔ مسئلہ 12 کی مدد سے  $C_{bc}$  کا مساوی ملر کیپیسٹر  $C_M$  استعمال کرتے ہیں۔ یوں  $C_{be}$  اور  $C_M$  متوازی جڑ جاتے ہیں۔ شکل 8.10 الف میں ایسا دکھایا گیا ہے جہاں شکل کو قدر بہتر طرز پر بنایا گیا ہے۔ ٹرانسفارمر کے  $n_1$  جانب برقی رکاوٹ کا  $n_2$  جانب عکس لیتے ہیں۔ ایسا کرتے وقت برقی رکاوٹ کو  $\left(\frac{n_2}{n_1}\right)^2$  سے ضرب دیا جاتا ہے۔ یوں متوازی جڑے مزاحمت  $r_{be}$  اور  $R_B$  کو  $R_p$  لکھتے ہوئے ٹرانسفارمر کی دوسری جانب منتقل کرتے  $R'_p$  حاصل ہوتا ہے جہاں

$$R'_p = \left(\frac{n_2}{n_1}\right)^2 R_p$$

کے برابر ہے۔  $C_{be}$  اور  $C_M$  متوازی جڑے ہیں لہذا ان کا مجموعہ  $C_{be} + C_M$  اور برقی رکاوٹ  $\frac{1}{j\omega(C_{be} + C_M)}$  کے برابر ہے۔ اس کا عکس

$$\left(\frac{n_2}{n_1}\right)^2 \times \frac{1}{j\omega(C_{be} + C_M)}$$





شکل 8.10: ٹرانزسٹر ہسٹرمر تعیش کا ہدیک اشاراتی مساوی دور

ہوگا جس کو

$$\frac{1}{j\omega \left[ \frac{n_1^2}{n_2^2} (C_{be} + C_M) \right]}$$

لکھا جاسکتا ہے۔ یوں  $C_{be} + C_M$  کا عکس

$$\left( \frac{n_1}{n_2} \right)^2 (C_{be} + C_M)$$

حاصل ہوتا ہے جو  $C$  کے متوازی پایا جاتا ہے۔ ان تمام متوازی جڑے کیپیٹروں کو  $C_p$  لکھا گیا ہے جہاں

$$C_p = C + \left( \frac{n_1}{n_2} \right)^2 (C_{be} + C_M)$$

کے برابر ہے۔ اسی طرح متوازی جڑے  $r_o$  اور  $R'_p$  کے مجموعے کو  $R$  لکھا جاسکتا ہے۔ ایسا کرتے ہوئے شکل ب سے شکل پ حاصل ہوتا ہے۔

شکل پ کو حل کرتے ہیں جس میں

$$\frac{1}{Z} = j\omega C_p + \frac{1}{j\omega L} + \frac{1}{R}$$

کے برابر ہے۔ یوں  $v_o = -g_m v_{be} Z$  کے برابر ہو گا جسے  $\frac{v_o}{Z} = -g_m v_{be}$  لکھا جاسکتا ہے یعنی

$$(8.25) \quad -g_m v_{be} = \left( j\omega C_p + \frac{1}{j\omega L} + \frac{1}{R} \right) v_o$$

ٹرانسفارمر کے دو جانب برقی دباؤ کی شرح ان دو جانب لچھوں کے چکر کی شرح کے برابر ہوتا ہے۔ مزید اگر ایک جانب برقی دباؤ کا مثبت سراٹرانسفارمر کی علامت پر دکھائے نقطے کی طرف ہو تو دوسری جانب بھی برقی دباؤ کا مثبت سرا اس جانب نقطے کی طرف کو ہو گا۔ ان دو حقائق سے

$$v_{be} = - \left( \frac{n_1}{n_2} \right) v_o$$

حاصل ہوتا ہے جہاں منفی کی علامت اس بات کو دکھاتا ہے کہ ہم نے ٹرانسفارمر کے ایک جانب  $v_o$  کا مثبت سرا نقطے کی جانب جبکہ دوسری جانب  $v_{be}$  کا مثبت سرا بغیر نقطے کی طرف رکھا ہے۔ ایسا کرنے سے اشارے میں 180 کی تبدیلی پیدا کی جاتی ہے جو کہ RC مرتعش میں تین کڑی RC سے حاصل کی گئی تھی۔

یوں مساوات 8.25 سے حاصل ہوتا ہے

$$g_m \left( \frac{n_1}{n_2} \right) v_o = \left( j\omega C_p + \frac{1}{j\omega L} + \frac{1}{R} \right) v_o$$

$$g_m \left( \frac{n_1}{n_2} \right) = \left( j\omega C_p + \frac{1}{j\omega L} + \frac{1}{R} \right)$$

اس مساوات کے خیالی اور حقیقی جزو علیحدہ کرتے ہیں۔ خیالی جزو سے حاصل ہوتا ہے

$$(8.26) \quad \omega_o = \frac{1}{\sqrt{LC_p}} = \frac{1}{\sqrt{L \left[ C + \left( \frac{n_1}{n_2} \right)^2 (C_{be} + C_M) \right]}}$$

جبکہ حقیقی جزو سے

$$g_m \left( \frac{n_1}{n_2} \right) = \frac{1}{R} = \left( \frac{n_1}{n_2} \right)^2 \times \frac{1}{R_p} + \frac{1}{r_o}$$

لکھا جاسکتا ہے۔  $r_o$  کی قیمت نسبتاً بہت زیادہ ہوتی ہے لہذا  $\frac{1}{r_o}$  کو نظر انداز کرتے ہوئے

$$g_m R_p = \frac{n_1}{n_2}$$

حاصل ہوتا ہے۔ چونکہ  $R_B$  کی قیمت  $r_{be}$  کے قیمت سے کئی درجہ زیادہ ہوتی ہے لہذا

$$R_p = \frac{R_B r_{be}}{R_B + r_{be}} \approx r_{be}$$

ہوتا ہے اور یوں

$$g_m r_{be} = \frac{n_1}{n_2}$$

لکھا جاسکتا ہے۔ اس مساوات میں  $\beta$  کے استعمال سے

$$(8.27) \quad \beta = \frac{n_1}{n_2}$$

حاصل ہوتا ہے۔

قدرتی تعدد  $\omega_0$  پر متوازی جڑے  $L$  اور  $C_p$  کی برقی رکاوٹ لامحدود ہوتی ہے لہذا شکل 8.10 پ میں

$$(8.28) \quad A_v = \frac{v_o}{v_{be}} = -g_m R$$

کے برابر ہو گا۔ یوں ملر کمپیسٹر

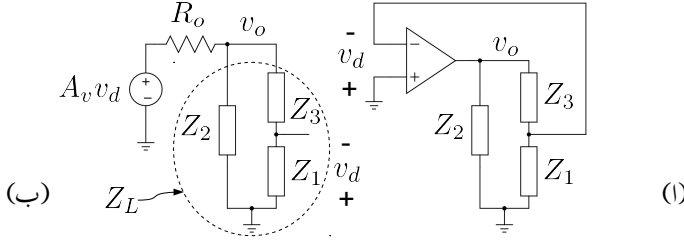
$$C_M = C_{bc} (1 + g_m R)$$

کے برابر ہو گا۔

چونکہ  $\beta \gg 1$  ہوتا ہے لہذا  $\frac{n_1}{n_2} \gg 1$  ہو گا۔ اگر  $\beta$  کی قیمت  $\frac{n_1}{n_2}$  سے معمولی زیادہ ہو تب مرتعش سائن نما لہر خارج کرتا ہے۔  $\beta \gg \frac{n_1}{n_2}$  کی صورت میں ٹرانزسٹر غیر خطی خطے میں داخل ہو گا اور یہ مستطیل برقی رو پیدا کرے گا البتہ  $L$  اور  $C_p$  اپنی قدرتی گہمی تعدد  $\omega_0$  پر ارتعاش کرتے ہیں لہذا مرتعش سائن نما برقی دباؤ  $v_o$  ہی خارج کرے گا۔

## 8.6 عمومی مرتعش

شکل 8.11 الف میں عمومی مرتعش دکھایا گیا ہے۔ کئی قسم کے مرتعش اس عمومی طرز پر بنائے جاتے ہیں جہاں بنیادی ایمپلیفائر کسی بھی قسم کا ہو سکتا ہے مثلاً حسابی ایمپلیفائر، دو جوڑ ٹرانزسٹر یا فیٹ پر مبنی ایمپلیفائر وغیرہ۔ اس حصے میں



شکل 8.11: عمومی مرتعش

بنیادی ایمپلیفائر کے داخلی مزاحمت کو لامحدود تصور کیا گیا ہے۔ ایسا فیٹ پر مبنی ایمپلیفائر یا حسابی ایمپلیفائر کے استعمال سے ممکن ہے۔ شکل ب میں ایمپلیفائر کا تھونن مساوی دور استعمال کیا گیا ہے جہاں ایمپلیفائر کے خارجی مزاحمت کو  $R_o$  لکھا گیا ہے۔ شکل ب میں

$$\frac{1}{Z_L} = \frac{1}{Z_2} + \frac{1}{Z_1 + Z_3}$$

$$Z_L = \frac{Z_2 (Z_1 + Z_3)}{Z_1 + Z_2 + Z_3}$$

کے برابر ہے۔ یوں

$$(8.29) \quad v_o = A_v v_d \left( \frac{Z_L}{R_o + Z_L} \right)$$

کے برابر ہو گا۔ مزید یہ کہ  $Z_1$  اور  $Z_3$  کو سلسلہ وار جڑے تصور کرتے ہوئے

$$(8.30) \quad v_d = - \left( \frac{Z_1}{Z_1 + Z_3} \right) v_o$$

حاصل ہوتا ہے۔ اس طرح مساوات 8.29 سے

$$(8.31) \quad v_o = A_v \left( \frac{-Z_1}{Z_1 + Z_3} \right) v_o \left( \frac{\frac{Z_2 (Z_1 + Z_3)}{Z_1 + Z_2 + Z_3}}{R_o + \frac{Z_2 (Z_1 + Z_3)}{Z_1 + Z_2 + Z_3}} \right)$$

$$1 = \frac{-A_v Z_1 Z_2}{R_o (Z_1 + Z_2 + Z_3) + Z_2 (Z_1 + Z_3)}$$

حاصل ہوتا ہے۔

اس مرتعش میں  $Z$  برقی رکاوٹ کو ظاہر کرتا ہے یوں امالہ کی صورت میں  $j\omega L$  ہو گا جبکہ کپیسٹر کی صورت میں  $Z = -\frac{j}{\omega C}$  ہو گا۔ ہم  $\omega L$  کو  $X_L$  جبکہ  $-\frac{1}{\omega C}$  کو  $X_C$  لکھتے ہوئے  $Z = jX$  لکھ سکتے ہیں جہاں مثبت  $X$  امالہ کو ظاہر کرے گا جبکہ منفی  $X$  کپیسٹر کو ظاہر کرے گا۔ اس طرح مساوات 8.31 کو یوں لکھا جاسکتا ہے۔

$$(8.32) \quad 1 = \frac{-A_v j X_1 j X_2}{R_o (j X_1 + j X_2 + j X_3) + j X_2 (j X_1 + j X_3)}$$

$$1 = \frac{A_v X_1 X_2}{j R_o (X_1 + X_2 + X_3) - X_2 (X_1 + X_3)}$$

اس مساوات کے بائیں ہاتھ صرف حقیقی مقداریں جبکہ اس کے دائیں ہاتھ حقیقی اور خیالی دونوں مقداریں پائے جاتے ہیں۔ مساوات کے دو اطراف صرف اور صرف اس صورت برابر ہو سکتے ہیں جب دونوں جانب مقداریں برابر ہوں۔ چونکہ بائیں ہاتھ خیالی مقداریں نہیں پائے جاتے لہذا دائیں جانب خیالی مقداروں کی قیمت صفر ہو گی یعنی

$$(8.33) \quad X_1 + X_2 + X_3 = 0$$

اور یوں مساوات 8.32 مندرجہ ذیل صورت اختیار کر لے گا۔

$$1 = \frac{-A_v X_1 X_2}{X_2 (X_1 + X_3)} = \frac{-A_v X_1}{X_1 + X_3}$$

مساوات 8.33 سے  $X_1 + X_3 = -X_2$  حاصل ہوتا ہے جسے مندرجہ بالا مساوات میں استعمال کرتے ہوئے

$$1 = \frac{A_v X_1}{X_2}$$

یعنی

$$(8.34) \quad A_v = \frac{X_2}{X_1}$$

دیتا ہے۔ مساوات 8.34 مرتعش کی درکار  $A_v$  دیتا ہے۔ حقیقت میں  $A_v$  اس قیمت سے زیادہ رکھا جائے گا۔ اس مساوات میں  $A_v$  مثبت قیمت رکھتا ہے لہذا مساواتی نشان کے دونوں جانب مثبت قیمتیں تب ممکن ہیں جب  $X_1$  اور  $X_2$  کی قیمتیں بھی یا تو دونوں مثبت ہوں اور یا پھر دونوں منفی ہوں۔ یعنی یا یہ دونوں امالہ ہوں یا پھر دونوں کپیسٹر۔ چونکہ مساوات 8.33 کے تحت  $X_1 + X_2 = -X_3$  ہو گا لہذا اگر  $X_1$  اور  $X_2$  دونوں امالہ ہوں تب  $X_3$  کپیسٹر ہو گا اور ایسی صورت میں مرتعش کو ہارٹلی مرتعش<sup>13</sup> پکارتے ہیں اور اگر  $X_1$  اور  $X_2$  دونوں کپیسٹر ہوں تب  $X_3$  امالہ ہو گا اور ایسی صورت میں اسے کالپیٹس مرتعش<sup>14</sup> پکارا جاتا ہے۔<sup>15</sup>

<sup>13</sup> Hartley oscillator

<sup>14</sup> Colpitts oscillator

<sup>15</sup> رالف ہارٹلی نے ہارٹلی مرتعش جبکہ ایڈوان ہنری کالپیٹس نے کالپیٹس مرتعش کا دور در یافت کیا۔

اگر  $X_1$  اور  $X_2$  دونوں امالہ ہوں تب مساوات 8.33 کو

$$j\omega L_1 + j\omega L_2 - \frac{j}{\omega C_3} = 0$$

لکھا جا سکتا ہے جس سے

$$(8.35) \quad \omega_0 = \frac{1}{\sqrt{(L_1 + L_2) C}}$$

حاصل ہوتا ہے۔ اسی طرح اگر  $X_1$  اور  $X_2$  کپیٹر ہوں تب مساوات 8.33 کو

$$-\frac{j}{\omega C_1} - \frac{1}{\omega C_2} + j\omega L_3 = 0$$

لکھا جا سکتا ہے جس سے

$$(8.36) \quad \omega_0 = \frac{1}{\sqrt{LC}}$$

حاصل ہوتا ہے جہاں

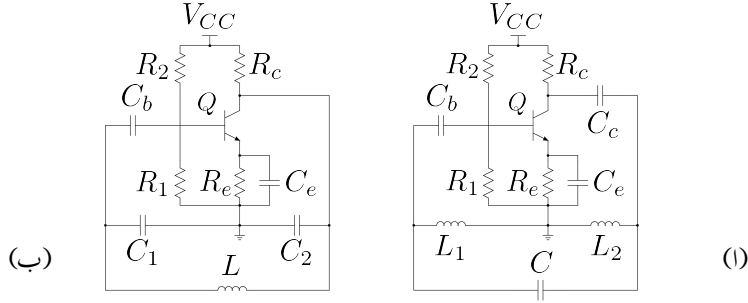
$$(8.37) \quad C = \frac{C_1 C_2}{C_1 + C_2}$$

یعنی  $C_1$  اور  $C_2$  کی سلسلہ وار جڑی کل کپیٹر ہے۔

## 8.7 ہارٹلے اور کاپلٹس مر تعش

شکل 8.12 میں ٹرانزسٹر ایمپلیفائر استعمال کرتے ہوئے ہارٹلے اور کاپلٹس مر تعش بنائے گئے ہیں۔ شکل الف میں واپس کار یعنی  $L_1$ ،  $L_2$  اور  $C$  کی شمولیت سے بنیادی ایمپلیفائر مر تعش میں تبدیل ہو جاتا ہے۔ شکل 8.11 کے ساتھ موازنہ کرنے سے آپ دیکھ سکتے ہیں کہ  $L_1$  دراصل  $X_1$  ہے،  $L_2$  دراصل  $X_2$  ہے جبکہ  $C$  دراصل  $X_3$  ہے۔  $C_b$  اور  $C_c$  اس بات کو یقینی بناتے ہیں کہ واپس کار کی شمولیت سے بنیادی ایمپلیفائر کے نقطہ مائل پر کوئی اثر نہیں ہوگا۔ شکل ب میں  $C_c$  کی ضرورت نہیں چونکہ  $C_1$ ،  $C_2$  اور  $C_b$  کی موجودگی میں اس راستے ایک سمتی رو کا گزر ممکن نہیں۔  $C_e$  قسری کپیٹر<sup>16</sup> ہے جبکہ  $C_c$  اور  $C_b$  جفتی کپیٹر<sup>17</sup> ہیں۔ چالو تعدد پر  $C_e$ ،  $C_b$  اور  $C_c$  کو لامحدود تصور کیا جاتا ہے۔

<sup>16</sup>bypass capacitor  
<sup>17</sup>coupling capacitors



شکل 8.12: ٹرانزسٹر پر ہارٹے اور کاپٹس سر تعش

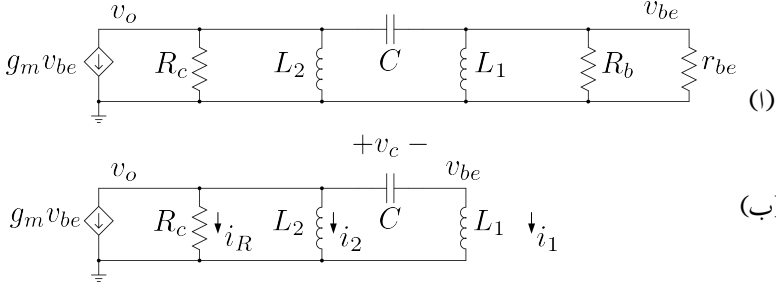
بلند تعدد پر ان اشکال کو حل کرتے ہوئے ٹرانزسٹر کے بلند تعددی ریاضی نمونہ استعمال ہو گا۔ ایسا کرتے وقت ریاضی نمونے کے مختلف جزو کو بھی واپس کار کا حصہ تصور کیا جاسکتا ہے۔ مثلاً نہایت بلند تعدد کاپٹس سر تعش تخلیق دیتے وقت ٹرانزسٹر کے بلند تعدد ریاضی نمونے کے جزو  $C_{be}$  اور  $C_{bc}$  کا مساوی ملر کپیسٹر  $^{18}C_M$  کے مجموعے کو بطور  $C_1$  استعمال کیا جاتا ہے (یعنی  $C_1 = C_{be} + C_M$ )۔

شکل 8.11 کے عمومی مرتعش میں بنیادی ایمپلیفائر کا داخلی مزاحمت لا محدود ہے جبکہ شکل 8.12 کے دونوں مرتعش میں ایسا نہیں ہے۔

مثال 8.2: ٹرانزسٹر کا پست تعددی ریاضی نمونہ استعمال کرتے ہوئے شکل 8.12 الف کو حل کریں۔ حل کرتے وقت بنیادی ایمپلیفائر کے داخلی مزاحمت کو لا محدود تصور کرتے ہوئے نظر انداز کریں۔

حل: شکل 8.13 الف میں اس کا باریک اشاراتی مساوی دور دکھایا گیا ہے جس میں  $R_1 \parallel R_2$  کو  $R_b$  لکھا گیا ہے۔ بنیادی ایمپلیفائر کا داخلی مزاحمت  $r_{be} \parallel R_b$  کے برابر ہے جو  $j\omega L_1$  کے متوازی جڑا ہے۔ اگرچہ ہم مزاحمت  $R_b \parallel r_{be}$  کو شامل کرتے ہوئے آگے بڑھ سکتے ہیں، میں چاہوں گا کہ  $R_b \parallel r_{be} \gg |j\omega L_1|$  تصور کرتے ہوئے آگے بڑھیں تاکہ عمومی مرتعش کی طرح نتائج حاصل ہوں جہاں ایمپلیفائر کا داخلی مزاحمت لا متناہی ہے۔ یوں شکل ب حاصل ہوتا ہے۔

<sup>18</sup> Miller capacitance



شکل 8.13: ٹرانزسٹر پر مبنی ہارٹے مرتعش کا پست تعددی مساوی دور

شکل ب میں اگر ٹرانزسٹر کا داخلی برقی دباؤ  $v_{be}$  ہو تب  $L_1$  میں برقی رو

$$i_1 = \frac{v_{be}}{j\omega L_1}$$

ہو گی جو کپیسٹر  $C$  سے گزرتے ہوئے اس پر

$$v_c = \frac{v_{be}}{j\omega L_1} \times \frac{1}{j\omega C} = -\frac{v_{be}}{\omega^2 L_1 C}$$

برقی دباؤ پیدا کرے گا۔ یوں

$$\begin{aligned} v_o &= v_{be} + v_c \\ &= v_{be} - \frac{v_{be}}{\omega^2 L_1 C} \end{aligned}$$

ہو گا۔  $L_2$  میں

$$i_2 = \frac{v_o}{j\omega L_2} = \frac{v_{be} - \frac{v_{be}}{\omega^2 L_1 C}}{j\omega L_2}$$

اور  $R_c$  میں

$$i_R = \frac{v_o}{R_c} = \frac{v_{be} - \frac{v_{be}}{\omega^2 L_1 C}}{R_c}$$



پایا جائے گا۔ یوں کر خوف کے قانون برائے برقی رو کی مدد سے ہم لکھ سکتے ہیں

$$\begin{aligned} -g_m v_{be} &= \frac{v_{be} - \frac{v_{be}}{\omega^2 L_1 C}}{R_c} + \frac{v_{be} - \frac{v_{be}}{\omega^2 L_1 C}}{j\omega L_2} + \frac{v_{be}}{j\omega L_1} \\ &= v_{be} \left[ \frac{1}{R_c} - \frac{1}{\omega^2 R_c L_1 C} + \frac{1}{j\omega L_2} - \frac{1}{j\omega^3 L_1 L_2 C} + \frac{1}{j\omega L_1} \right] \end{aligned}$$

اس مساوات کے خیالی اور حقیقی اور اجزاء علیحدہ علیحدہ کرتے ملتا ہے

$$\begin{aligned} 0 &= \frac{1}{j\omega L_2} - \frac{1}{j\omega^3 L_1 L_2 C} + \frac{1}{j\omega L_1} && \text{خیالی} \\ -g_m &= \frac{1}{R_c} - \frac{1}{\omega^2 R_c L_1 C} && \text{حقیقی} \end{aligned}$$

خیالی جزو سے

$$(8.38) \quad \omega_0 = \frac{1}{\sqrt{(L_1 + L_2) C}}$$

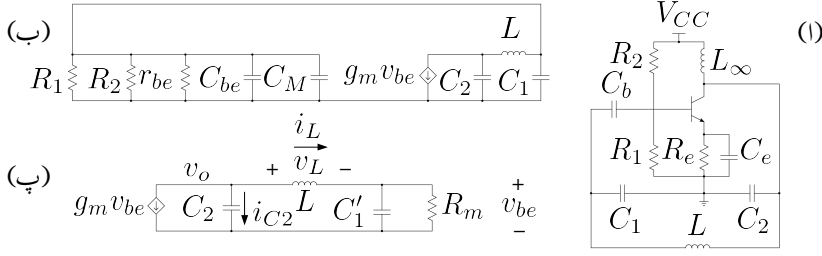
اور حقیقی جزو سے

$$(8.39) \quad g_m R_c = |A_v| = \frac{L_2}{L_1}$$

حاصل ہوتا ہے۔ ان دو مساوات کا مساوات 8.35 اور مساوات 8.34 سے موازنہ کریں۔

مثال 8.3: شکل 8.14 الف میں ٹرانزسٹر پر مبنی کاپٹس مر تعش دکھایا گیا ہے جس میں ٹرانزسٹر کے کلکٹر پر امالہ  $L_\infty$  نسب کیا گیا ہے۔ اس امالہ کی قیمت مر تعش کے تعدد پر لامحدود تصور کی جاتی ہے۔ مر تعش کو حل کریں۔

حل: شکل ب میں ٹرانزسٹر کا بلند تعدد ریاضی نمونہ استعمال کرتے ہوئے مر تعش کا مساوی دور دکھایا گیا ہے جہاں مسئلہ ملر کی مدد سے  $C_{bc}$  کا مساوی  $C_M$  دکھایا گیا ہے۔ متوازی جڑے مزاحمت  $R_2, R_1$  اور  $r_{be}$  کو  $R_m$  جبکہ متوازی جڑے کپیسٹر  $C_M, C_{be}$  اور  $C_1$  کو  $C_1'$  لکھتے ہوئے شکل پ حاصل کی گئی ہے۔ حقیقت میں  $r_{be}$  کی قیمت  $R_1$  اور  $R_2$



شکل 8.14: ٹرانزسٹر پر مبنی کاپلٹس مرتعش

سے بہت کم ہوتی ہے اور  $R_m \approx r_{be}$  لیا جاسکتا ہے۔  $R_m$  اور  $C_1'$  متوازی جڑے ہیں اور ان پر برقی دباؤ  $v_{be}$  پایا جاتا ہے۔ یوں ان میں برقی رو

$$i_{R_m} = \frac{v_{be}}{R_m}$$

$$i_{C_1'} = j\omega C_1' v_{be}$$

ہوگی۔ یوں کر خوف کے قانون برائے برقی رو کے تحت

$$i_L = i_{R_m} + i_{C_1'} = \frac{v_{be}}{R_m} + j\omega C_1' v_{be}$$

ہوگا۔ اس طرح

$$v_L = j\omega L i_L = j\omega L \left( \frac{1}{R_m} + j\omega C_1' \right) v_{be}$$

جبکہ

$$v_o = v_{be} + v_L = \left[ 1 + j\omega L \left( \frac{1}{R_m} + j\omega C_1' \right) \right] v_{be}$$

اور

$$i_{C_2} = j\omega C_2 v_o = j\omega C_2 \left[ 1 + j\omega L \left( \frac{1}{R_m} + j\omega C_1' \right) \right] v_{be}$$

ہوں گے۔ کرخوف کے قانون برائے برقی رو کے تحت  $i_{C_2} + i_L = -g_m v_{be}$  یعنی

$$\begin{aligned}
 -g_m v_{be} &= j\omega C_2 \left[ 1 + j\omega L \left( \frac{1}{R_m} + j\omega C'_1 \right) \right] v_{be} + \left( \frac{1}{R_m} + j\omega C'_1 \right) v_{be} \\
 -g_m &= j\omega C_2 \left[ 1 + j\omega L \left( \frac{1}{R_m} + j\omega C'_1 \right) \right] + \left( \frac{1}{R_m} + j\omega C'_1 \right) \\
 -g_m &= j\omega C_2 - \omega^2 LC_2 \left( \frac{1}{R_m} + j\omega C'_1 \right) + \frac{1}{R_m} + j\omega C'_1 \\
 -g_m &= j\omega C_2 - \frac{\omega^2 LC_2}{R_m} - j\omega^3 C'_1 LC_2 + \frac{1}{R_m} + j\omega C'_1
 \end{aligned}
 \tag{8.40}$$

اس مساوات کے خیالی جزو سے حاصل ہوتا ہے

$$\begin{aligned}
 \omega C_2 - \omega^3 C'_1 LC_2 + \omega C'_1 &= 0 \\
 \omega \left( C_2 - \omega^2 C'_1 LC_2 + C'_1 \right) &= 0
 \end{aligned}$$

چونکہ چالو مرتعش کی تعدد صفر نہیں ہوتی (یعنی  $\omega \neq 0$ ) لہذا

$$C_2 - \omega^2 C'_1 LC_2 + C'_1 = 0$$

ہو گا جس سے حاصل ہوتا ہے

$$\omega = \omega_0 = \sqrt{\frac{C'_1 + C_2}{LC'_1 C_2}} = \frac{1}{\sqrt{LC}} \tag{8.41}$$

جہاں

$$\frac{1}{C} = \frac{1}{C'_1} + \frac{1}{C_2} = \frac{C'_1 + C_2}{C'_1 C_2} \tag{8.42}$$

کے برابر ہے۔  $\omega_0$  مرتعش کی قدرتی تعدد ہے۔

مساوات 8.40 کے حقیقی جزو سے حاصل ہوتا ہے۔

$$-g_m = -\frac{\omega^2 LC_2}{R_m} + \frac{1}{R_m}$$

اس میں  $\omega_0$  کی قیمت استعمال کرتے حاصل ہوتا ہے

$$-g_m = - \left( \frac{C_1' + C_2}{LC_1' C_2} \right) \frac{LC_2}{R_m} + \frac{1}{R_m}$$

$$g_m R_m = \frac{C_2}{C_1'}$$

$R_m \approx r_{be}$  لیتے ہوئے اور  $\beta = g_m r_{be}$  کے برابر ہوگا اور یوں مندرجہ بالا مساوات سے حاصل ہوگا

$$\beta \approx \frac{C_2}{C_1'} \quad (8.43)$$

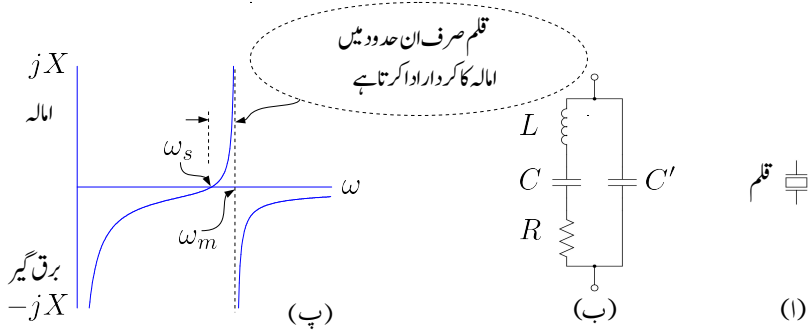
حقیقت میں  $\beta$  کی قیمت اس مساوات میں دیے قیمت سے زیادہ رکھی جائے گی۔

### 8.7.1 قلمی مرتش

ایسا قلم<sup>19</sup> جسے دبائے سے اس کے دو اطراف کے مابین برقی دباؤ پیدا ہوتا ہے کو دابہ برقی قلم<sup>20</sup> کہتے ہیں۔ دابہ برقی قلم پر برقی دباؤ لاگو کرنے سے یہ پھیلتا (یا سکڑتا) ہے۔ ایسے دابہ برقی قلم کے قدرتی میکانیکی تعدد پر برقی دباؤ فراہم کرتے ہوئے اسے ارتعاش پذیر بنایا جاسکتا ہے۔ قلموں کی طبیعیاتی خوبیاں انتہائی مستحکم ہوتی ہیں جو وقت یا حرارت سے بہت کم متاثر ہوتی ہیں۔ اسی لئے ایسے قلم کی قدرتی گمکی تعدد کی قیمت بھی مستحکم رہتے ہوئے تبدیل نہیں ہوتی۔ اسی خوبی کی بنا پر انہیں عموماً وقت ناپنے کے لئے استعمال کیا جاتا ہے۔ کوارٹز<sup>21</sup> گھڑی کا صحیح وقت دکھانا مثالی ہے۔ دھاتی ڈبے میں بند، چند کلو ہرٹز kHz سے کئی میگا ہرٹز MHz تک کے قدرتی گمکی تعدد والے کوارٹز کے قلم، منڈی میں عام دستیاب ہیں۔ ڈبے پر قلم کی قدرتی گمکی تعدد کی قیمت لکھی گئی ہوتی ہے۔

شکل 8.15 الف میں قلم کی علامت دکھائی گئی ہے جبکہ شکل ب میں اس کا مساوی دور دکھایا گیا ہے۔ مساوی دور میں قلم کے میکانیکی خوبی ماس  $m$  کو امالہ  $L$ ، اسپرنگ کے مستقل  $K$  کے معکوس کو کپیسٹر  $C$  اور میکانیکی مزاحمت کو برقی مزاحمت  $R$  سے ظاہر کیا جاتا ہے جبکہ  $C'$  قلم کے دونوں سروں پر دھاتی جوڑوں کے مابین کپیسٹر ہے۔

<sup>19</sup>crystal  
<sup>20</sup>piezoelectric crystal  
<sup>21</sup>quartz



شکل 8.15: داب برقی قلم

شکل ب میں مزاحمت  $R$  کو نظر انداز کرتے ہوئے قلم کی برقی رکاوٹ حاصل کرتے ہیں۔

$$\begin{aligned}
 \frac{1}{Z} &= j\omega C' + \frac{1}{j\omega L + \frac{1}{j\omega C}} \\
 &= \frac{j\omega C' \left( j\omega L + \frac{1}{j\omega C} \right) + 1}{j\omega L + \frac{1}{j\omega C}} \\
 (8.44) \quad &= \frac{j\omega C' \left( j\omega L + \frac{1}{j\omega C} + \frac{1}{j\omega C'} \right)}{j\omega L + \frac{1}{j\omega C}} \\
 &= \frac{j\omega C' \left( j\omega L + \frac{1}{j\omega} \left( \frac{1}{C} + \frac{1}{C'} \right) \right)}{j\omega L + \frac{1}{j\omega C}}
 \end{aligned}$$

شکل ب میں  $C$  اور  $C'$  کو سلسلہ وار جڑے تصور کرتے ہوئے ہم دیکھتے ہیں کہ یہ دونوں  $L$  کے متوازی جڑے ہیں۔ یوں  $L$  کے متوازی جڑے کپیسٹر کو  $C_m$  لکھا جاسکتا ہے جہاں

$$\frac{1}{C_m} = \frac{1}{C} + \frac{1}{C'}$$

کے برابر ہے۔ اس طرح مساوات 8.44 کو یوں لکھا جاسکتا ہے

$$\begin{aligned}\frac{1}{Z} &= \frac{j\omega C' \left( j\omega L + \frac{1}{j\omega C_m} \right)}{j\omega L + \frac{1}{j\omega C}} \\ &= \frac{j\omega C' \left( j\omega L - \frac{j}{\omega C_m} \right)}{j\omega L - \frac{j}{\omega C}} \\ &= \frac{j\omega C' \left( \frac{jL}{\omega} \right) \left( \omega^2 - \frac{1}{LC_m} \right)}{\left( \frac{jL}{\omega} \right) \left( \omega^2 - \frac{1}{LC} \right)} \\ &= \frac{j\omega C' \left( \omega^2 - \frac{1}{LC_m} \right)}{\left( \omega^2 - \frac{1}{LC} \right)}\end{aligned}$$

جہاں  $-j = \frac{1}{j}$  کا استعمال کیا گیا ہے۔

قلم کے دو سرورں سے دیکھتے ہوئے  $L$  کے ساتھ  $C$  سلسلہ وار جڑا معلوم ہوتا ہے جبکہ  $L$  کے دو سرورں سے دیکھتے ہوئے  $L$  کے ساتھ  $C_m$  متوازی جڑا معلوم ہوتا ہے۔  $\omega_s^2 = \frac{1}{LC}$  کو  $L$  اور اس کے ساتھ سلسلہ وار جڑے کپیسٹر  $C$  کی سلسلہ وار قدرتی گنگی تعدد جبکہ  $\omega_m^2 = \frac{1}{LC_m}$  کو  $L$  اور اس کے ساتھ متوازی جڑے کپیسٹر  $C_m$  کی متوازی قدرتی گنگی تعدد تصور کرتے ہوئے مندرجہ بالا مساوات کو یوں لکھا جاسکتا ہے

$$\frac{1}{Z} = \frac{j\omega C' (\omega^2 - \omega_m^2)}{(\omega^2 - \omega_s^2)}$$

جس سے حاصل ہوتا ہے

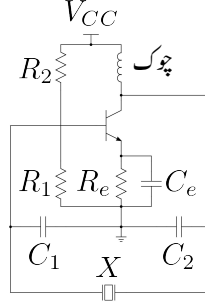
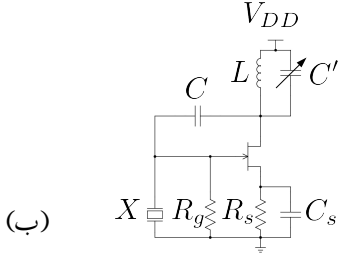
$$(8.45) \quad Z = \frac{-j (\omega^2 - \omega_s^2)}{\omega C' (\omega^2 - \omega_m^2)}$$

اس مساوات کو شکل 8.15 پ میں گراف کیا گیا ہے۔ حقیقت میں  $C'$  کی قیمت  $C$  کے قیمت سے کئی درجہ زیادہ ہوتی ہے (یعنی  $C' \gg C$ )۔ یوں  $C_m$  کی قیمت  $C$  سے قدر کم ہوتا ہے جس سے  $\omega_s$  کی قیمت  $\omega_m$  کے قیمت سے قدر کم ہوتا ہے۔ ان دو قدرتی گنگی تعدد کی قیمتوں میں 1% سے بھی کم فرق ہوتا ہے۔ مساوات 8.45 میں دیا برقی رکاوٹ  $\omega_s < \omega < \omega_m$  کے حدود میں بطور امالہ جبکہ  $\omega < \omega_s$  یا  $\omega > \omega_m$  کے حدود میں بطور کپیسٹر کردار ادا کرتا ہے۔

مندرجہ بالا تذکرے کو مد نظر رکھتے ہوئے ہم دیکھتے ہیں کہ کاپٹس مر تعش میں امالہ کی جگہ قلم استعمال کیا جا سکتا ہے۔ شکل 8.14 میں ایسا کرتے ہوئے شکل 8.16 الف کا کاپٹس قلم مر تعش حاصل ہوتا ہے۔ چونکہ قلم صرف  $\omega_s < \omega < \omega_m$  حدود میں بطور امالہ کردار ادا کرتا ہے لہذا ایسا مر تعش صرف اور صرف انہیں حدود کے درمیان ارتعاش پذیر رہ سکتا ہے اور اس کی تعدد انہیں حدود کے درمیان رہے گی۔ آپ دیکھ سکتے ہیں کہ قلم مر تعش<sup>22</sup> کی تعدد صرف اور صرف قلم کی قدرتی گمگی تعدد پر منحصر ہے۔ اب چونکہ  $\omega_s \approx \omega_m$  ہوتا ہے لہذا حقیقت میں ایسے مر تعش کی  $\omega_s \approx \omega_m$  رہے گی۔ چونکہ مساوات 8.41 بھی اس مر تعش کی تعدد دیتا ہے لہذا قلمی مر تعش اپنی تعدد  $\omega_s$  اور  $\omega_m$  کے درمیان اس جگہ برقرار رکھے گا جہاں مساوات 8.45 سے حاصل قلم کی برقی رکاوٹ (یعنی  $L$ ) کو استعمال کرتے ہوئے مساوات 8.41 سے بھی یہی تعدد حاصل ہو۔ قلمی مر تعش کے استعمال کا مقصد ایک حتی تعدد حاصل کرنا ہے جو قلم کو  $\omega_s \approx \omega_m$  حدود میں استعمال کرتے حاصل ہوتا ہے۔

شکل 8.16 ب میں قلمی ہارٹے مر تعش دکھایا گیا ہے۔  $C'$  کو نظر انداز کرتے اور قلم کو امالہ تصور کرتے ہوئے  $C$ ،  $L$  اور قلم ہارٹے مر تعش کی جانی پہچانی شکل میں جڑے ہیں۔  $C'$  کی قیمت اتنی رکھی جاتی ہے کہ درکار تعدد پر متوازی جڑے  $L$  اور  $C'$  (جنہیں عام فہم میں  $LC$  ٹینک<sup>23</sup> کہا جاتا ہے) کا مجموعہ امالہ کا کردار ادا کرے۔ عموماً  $C'$  قابل تبدیل کپیسٹر ہوتا ہے جس کی قیمت تبدیل کرتے ہوئے مر تعش کی تعدد باریکی سے قابو کی جاتی ہے۔ چونکہ متوازی جڑے  $LC$  کی برقی رکاوٹ ان کے قدرتی متوازی تعدد پر لامحدود ہوتی ہے لہذا  $LC$  ٹینک کی قدرتی متوازی تعدد کو مر تعش کے تعدد کے قریب رکھتے ہوئے  $nJFET$  کے ڈرین پر بہت زیادہ برقی رکاوٹ حاصل کیا جاتا ہے جس سے بنیادی امپلیفائر کی افزائش زیادہ حاصل ہوتی ہے اور ارتعاشی اشارے کا حیثہ زیادہ سے زیادہ حاصل کرنا ممکن ہوتا ہے۔ اس مر تعش میں بیرونی کپیسٹر  $C$  کا استعمال ضروری نہیں۔ نہایت بلند تعدد حاصل کرتے وقت اس کپیسٹر کو نسب نہیں کیا جاتا اور  $nJFET$  کی اندرونی کپیسٹر  $C_{gd}$  اور  $nJFET$  کے ڈرین اور گیٹ کے مابین تاروں کے مابین بلا ارادہ پائے جانے والے کپیسٹر کو زیر استعمال لایا جاتا ہے۔

$$C = C_{gd} + C_{\text{بلر اراود}}$$



(i)

شکل 8.16: قلمی کاپلس اور ہارٹے مرتعش

## سوالات

سوال 8.1: شکل 8.3 ب میں RC کے دو حصے ترتیب وار جوڑے گئے ہیں۔ اس میں  $\frac{\hat{V}_o}{\hat{V}_i}$  کی مساوات حاصل کریں۔ اگر  $f = 10 \text{ kHz}$  اور  $C = 0.01 \mu\text{F}$  ہوں تب  $\hat{V}_o$  اور  $\hat{V}_i$  میں کل  $-120^\circ$  کا زاویہ حاصل کرنے کی خاطر درکار مزاحمت حاصل کریں۔

جوابات:

$$\frac{\hat{V}_o}{\hat{V}_i} = \frac{1}{1 + j3\omega RC - \omega^2 R^2 C^2}$$

$$R = 1196 \Omega$$

سوال 8.2: RC مرتعش میں کم سے کم ممکنہ  $\beta$  کا ٹرانزسٹر استعمال کیا جاتا ہے۔  $R = 200 \Omega$  کی صورت میں  $Z_{RC}$  کی قیمت حاصل کریں۔

$$Z_{RC} = 372 - j198$$

سوال 8.3: شکل 8.4 میں RC مرتعش دکھایا گیا ہے جس میں

$$V_{CC} = 9 \text{ V}, \quad R_c = 3 \text{ k}\Omega, \quad R_e = 1 \text{ k}\Omega$$

$$R_1 = 12.5 \text{ k}\Omega, \quad R_2 = 50 \text{ k}\Omega, \quad \beta = 99$$



ہیں۔ 10 kHz پر چلنے کی خاطر درکار C اور R' حاصل کریں۔

جوابات:  $I_{CQ} = 1 \text{ mA}$  اور  $r_{be} = 2.54 \text{ k}\Omega$  ہیں۔  $k = 2.69$  استعمال کرتے ہوئے  $R = 1115 \Omega$  حاصل ہوتا ہے جس سے  $C = 3.5 \text{ nF}$  حاصل ہوتا ہے۔  $R_m = 2 \text{ k}\Omega$  حاصل ہوتا ہے۔ چونکہ  $R_m > R'$  ہے لہذا تمام R برابر رکھنا ممکن نہ ہو گا اور یوں  $R' = 0 \Omega$  رکھا جائے گا۔ قدرتی تعدد 10 kHz سے قدر مختلف ہو گی۔

سوال 8.4: شکل 8.4 کے RC مرتعش میں

$$V_{CC} = 9 \text{ V}, \quad R_c = 3.36 \text{ k}\Omega, \quad R_e = 1 \text{ k}\Omega \\ R_1 = 6.25 \text{ k}\Omega, \quad R_2 = 25 \text{ k}\Omega, \quad \beta = 49$$

ہیں۔ 10 kHz پر چلنے کی خاطر درکار C اور R' حاصل کریں۔

جوابات:  $I_{CQ} = 1 \text{ mA}$  اور  $r_{be} = 1.25 \text{ k}\Omega$  ہیں۔  $k = 2.69$  کی صورت میں  $R = 1250 \Omega$  حاصل ہوتا ہے جس سے  $C = 3.1 \text{ nF}$  حاصل ہوتا ہے۔  $R_m = 1 \text{ k}\Omega$  حاصل ہوتا ہے یوں  $R' = 250 \Omega$  رکھا جائے گا۔

سوال 8.5: صفحہ 835 پر شکل 8.7 میں وائن مرتعش دکھایا گیا ہے۔  $C = 0.1 \mu\text{F}$ ،  $R = 15.9 \text{ k}\Omega$ ،  $R_1 = 10 \text{ k}\Omega$  اور  $R_2 = 25 \text{ k}\Omega$  کی صورت میں مرتعش کی قدرتی تعدد حاصل کریں۔

جواب:  $f_o = 100 \text{ Hz}$

سوال 8.6: شکل 8.9 میں ٹرانزسٹر کا  $\beta = 39$ ،  $V_A = 200 \text{ V}$  اور  $C_{be} = 10 \text{ pF}$  اور  $C_{bc} = 4 \text{ pF}$  ہیں جبکہ  $R_B = 5 \text{ k}\Omega$  اور  $I_{CQ} = 1 \text{ mA}$  ہیں۔ ٹرانسفارمر کی  $\frac{n_1}{n_2}$  حاصل کریں۔ اگر  $C = 20 \text{ nF}$  اور  $L = 200 \text{ nH}$  ہوں تب  $f_o$  کیا ہو گا۔

جوابات:  $\frac{n_2}{n_1} = 0.02564$ ،  $g_m = 0.04 \text{ S}$ ،  $r_{be} = 925 \Omega$ ،  $r_o = 200 \text{ k}\Omega$ ،  $R'_p = 0.51 \Omega$ ،  $f_o = 1.798 \text{ MHz}$  ہیں اور یوں  $C_p = 39.166 \text{ nF}$ ،  $C_M \approx 4 \text{ pF}$ ،  $R \approx 0.51 \Omega$  ہو گا۔

سوال 8.7: شکل 8.12 ب میں  $R_c$  کی جگہ لامحدود L نسب کیا جاتا ہے۔  $R_B$  کو نظر انداز کرتے اور ٹرانزسٹر کا پست تعددی مساوی پائے ریاضی نمونہ استعمال کرتے ہوئے اسے حل کریں۔

جوابات:  $\omega_o = \frac{1}{\sqrt{LC}}$  جہاں  $C = \frac{C_1 C_2}{C_1 + C_2}$  کے برابر ہے جبکہ  $\beta = \frac{C_2}{C_1}$  حاصل ہوتا ہے۔

سوال 8.8: سوال 8.7 کے کاپٹس مر تعش میں ٹرانزسٹر کا  $\beta = 50$  ہے۔ اگر اس میں  $C_1 = 0.01 \mu F$  رکھا جائے تب  $200 \text{ kHz}$  پر ارتعاش کرتے مر تعش کے بقایا اجزاء کے قیمتیں کیا ہوں گی؟

جوابات:  $L = 65 \mu F$ ،  $C_2 = 0.5 \mu F$

سوال 8.9: شکل 8.12 کے کاپٹس مر تعش میں ٹرانزسٹر کا پست تعدوی ریاضی نمونہ استعمال کرتے ہوئے حل کریں۔ ایسا کرتے ہوئے بنیادی ایمپلیفائر کی داخلی مزاحمت لامحدود تصور کریں۔

جوابات:  $\omega_0 = \frac{1}{\sqrt{LC}}$  جہاں  $C = \frac{C_1 C_2}{C_1 + C_2}$  کے برابر ہے،  $g_m R_c = \frac{C_1}{C_2}$ ۔ ان مساوات کا مساوات 8.34 اور مساوات 8.36 کے ساتھ موازنہ کریں۔